

FORM UND ZEIT

Computerbasiertes Entwerfen
in der Architektur

Abbildungen

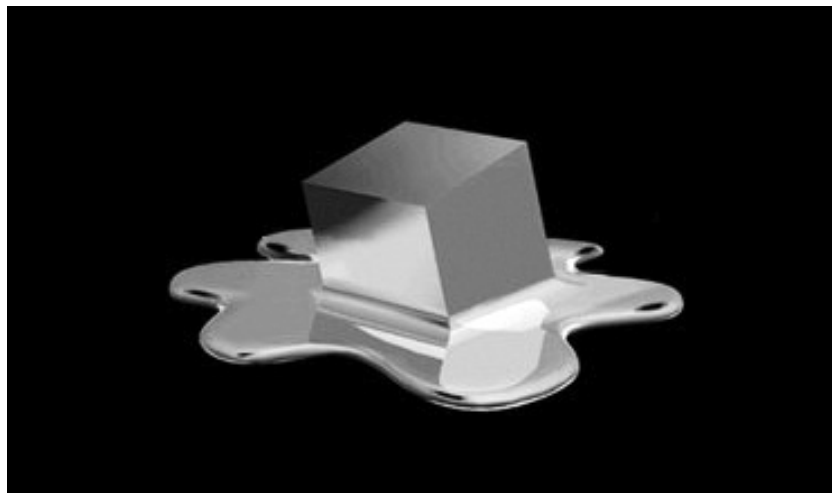


Abb. 1: Minoru Yamasaki, Siedlung Pruitt-Igoe, St. Louis/Missouri, USA, 1952–55. Sprengung mehrerer Hochhausscheiben, 1972, Fotografie.

Abb. 2: Signet des Fonds Regional d'Art Contemporain du Centre, Orléans, Frankreich, 1999. Computerrendering.



Abb. 3: Blick in die Ausstellung *ArchiSkulptur. Dialoge zwischen Architektur und Plastik vom 18. Jahrhundert bis heute*, Fondation Beyeler, Basel, Schweiz, 2004. Vorne: Greg Lynn FORM, Modelle des Embryological House, Entwurf 1997–2001; hinten: Hans (Jean) Arp, Torso-Garbe (Torse-gerbe), 1958, Fotografie.



Abb. 4: Frank O. Gehry, Haus des Architekten, Santa Monica/Kalifornien, USA, 1978/79. Außenansicht, Fotografie.

Abb. 5: Frank O. Gehry, Walt Disney Concert Hall, Los Angeles/Kalifornien, USA, 1987–99, 2003. Ostseite, Fotografie.

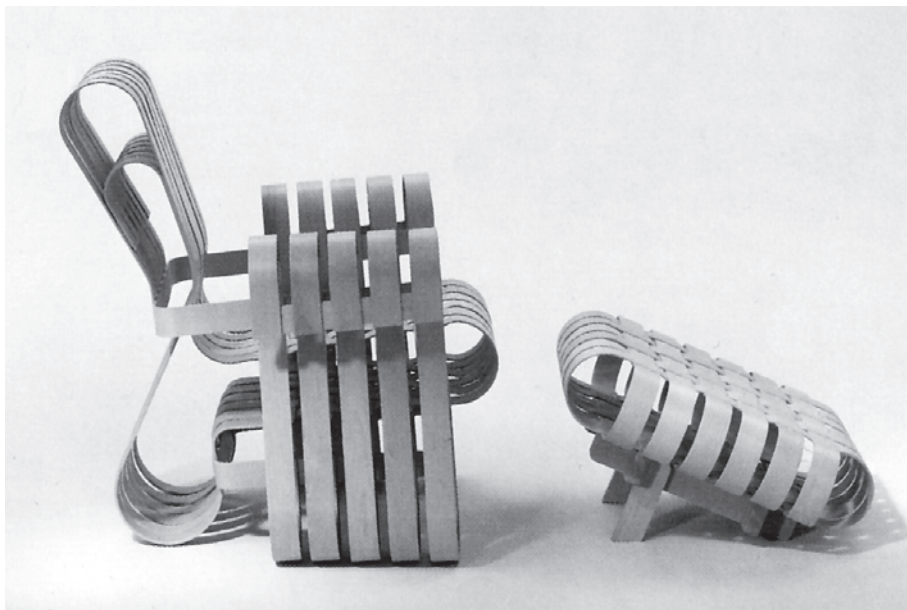


Abb. 6: Frank O. Gehry, Stuhl *Wiggle* aus der *Easy-Edges*-Serie, 1972. Wellpappe, Fotografie.
Abb. 7: Frank O. Gehry, Stuhl *Powerplay*, 1990–92. Schichtverleimtes Sperrholz, Fotografie.



Abb. 8: Frank O. Gehry, Ohr-O'Keefe Museum, Biloxi, USA, 1999–2007. Tinte auf Papier, Zeichnung, 2001.

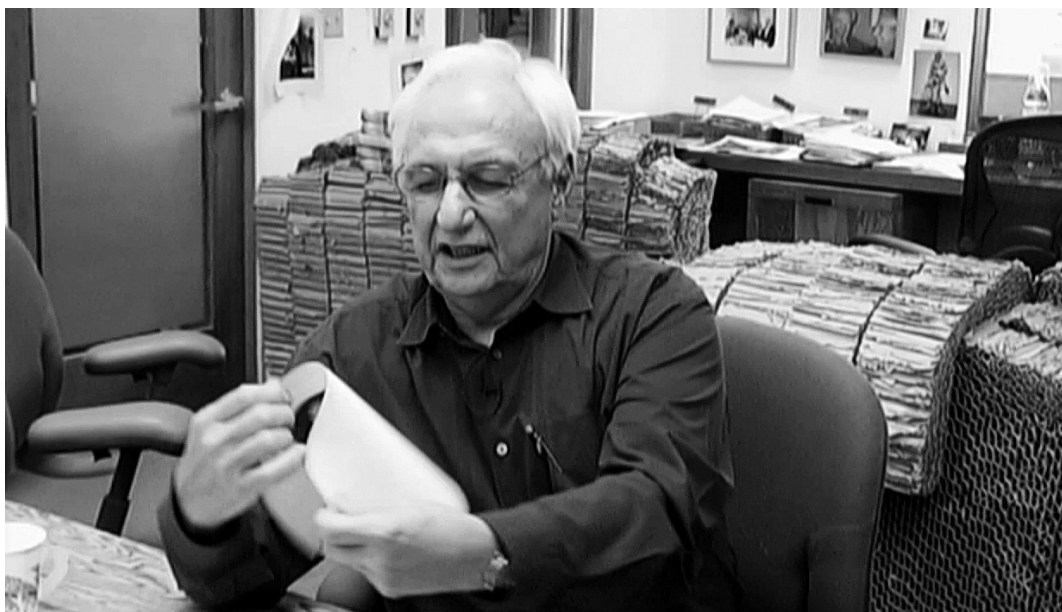
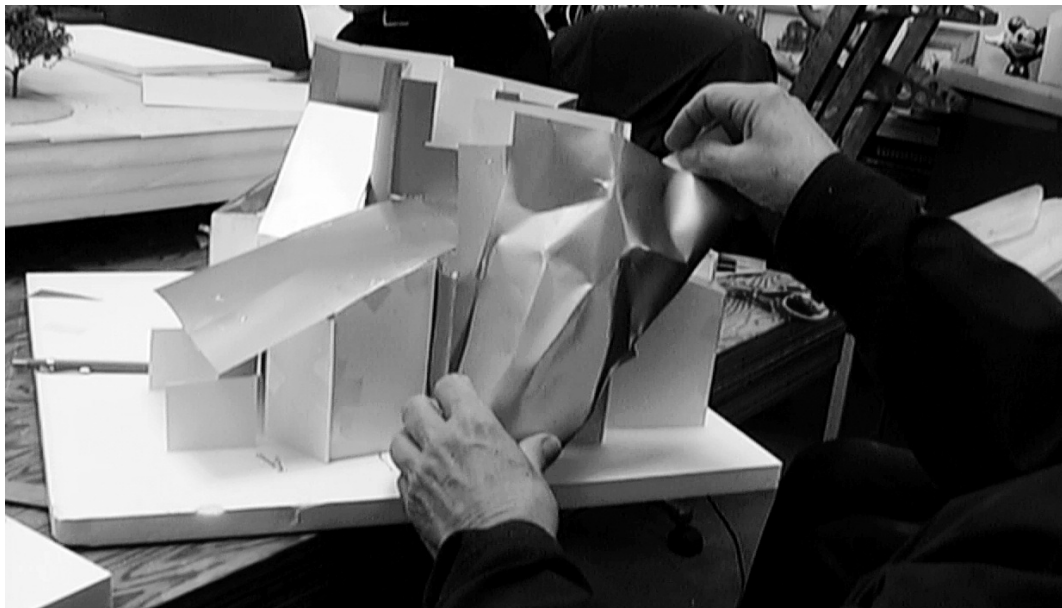


Abb. 9: Frank O. Gehry, Arbeit an einem Konzeptmodell aus Papier, Pappe und Polystyrol, Standbild aus dem US-amerikanischen Dokumentarfilm *Sketches of Frank Gehry* von Sydney Pollak, 2005.

Abb. 10: Frank O. Gehry, Faltung eines Blattes Papier zu einem Raummodell, Standbild aus dem US-amerikanischen Dokumentarfilm *Sketches of Frank Gehry* von Sydney Pollak, 2005.

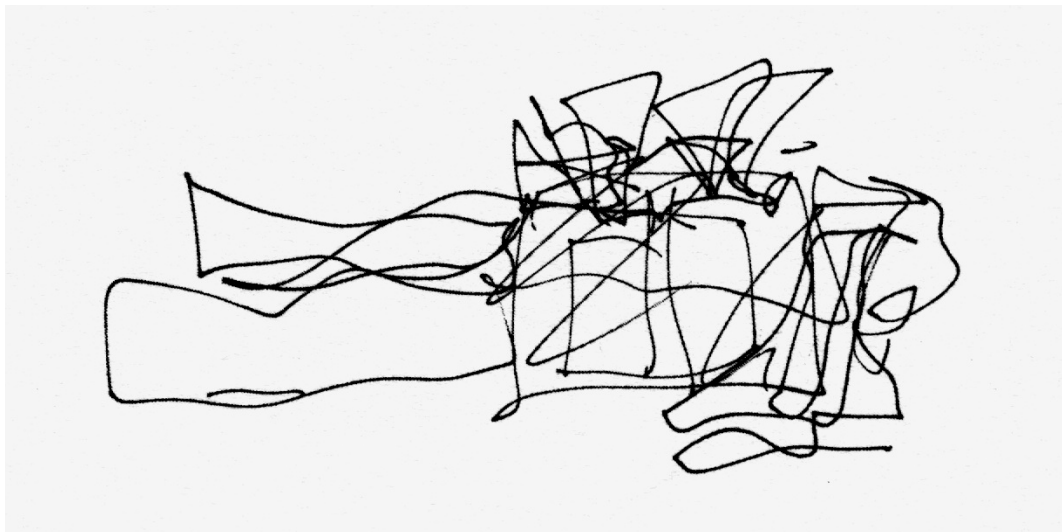


Abb. 11: Frank O. Gehry, Guggenheim Museum, Bilbao, Spanien, 1991–97. Tinte auf Papier, Zeichnung, Standbild aus dem US-amerikanischen Dokumentarfilm *Sketches of Frank Gehry* von Sydney Pollak, 2005.

Abb. 12: Nordostseite, Luftfotografie, Standbild aus dem US-amerikanischen Dokumentarfilm *Sketches of Frank Gehry* von Sydney Pollak, 2005.

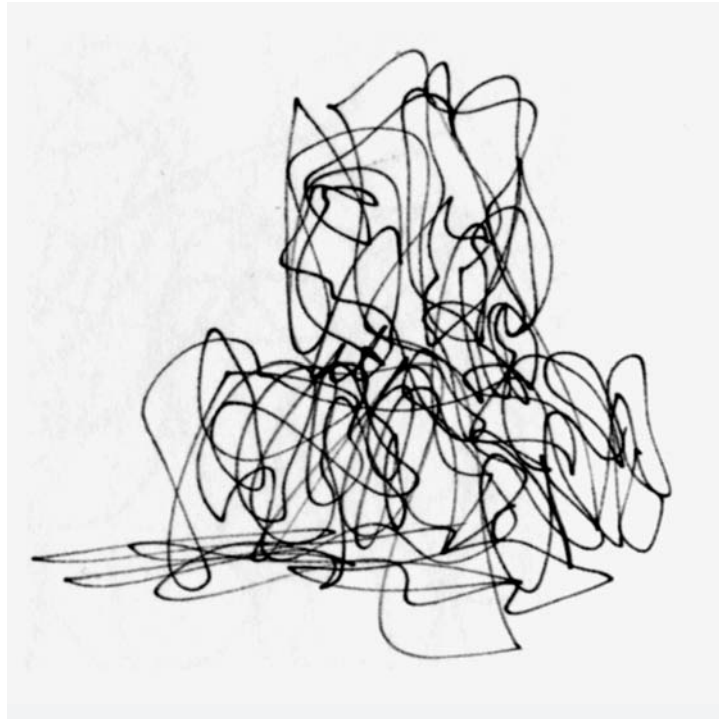


Abb. 13: Frank O. Gehry, Museum of Tolerance, Center for Human Dignity, Project of the Simon Wiesenthal Center, Jerusalem, Israel, 2000–08. Tinte auf Papier, Zeichnung.

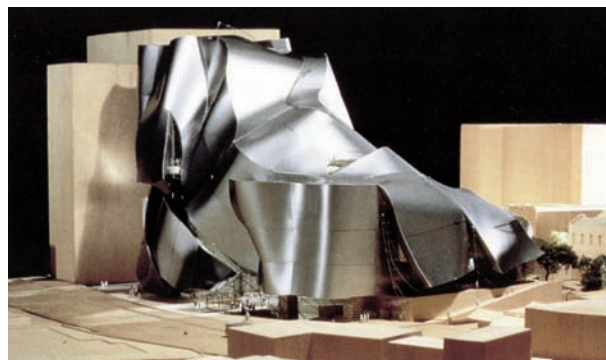
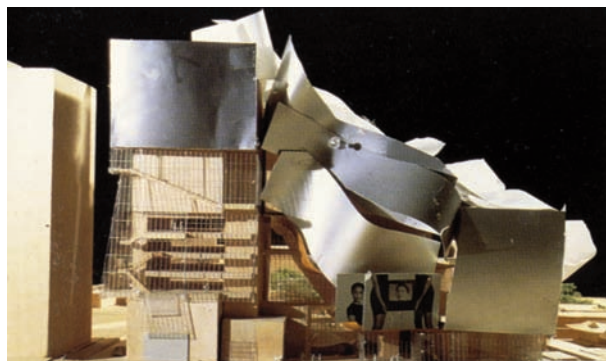


Abb. 14–16: Frank O. Gehry, Samsung Museum of Modern Art, Seoul, Korea, Entwurf 1995–97. Studienmodelle, Fotografien.
Abb. 17: Modell der endgültigen Entwurfsfassung mit Blick nach Südosten, Fotografie.

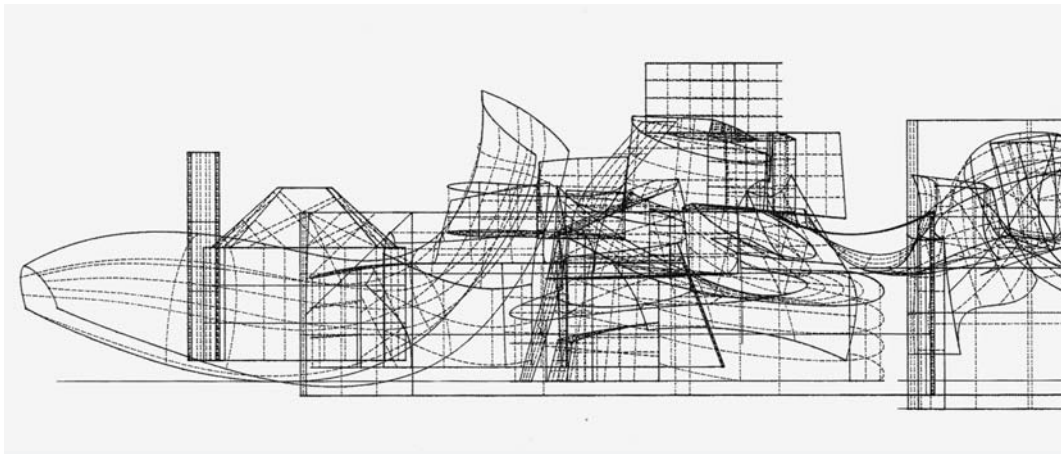


Abb. 18: Frank O. Gehry, Lewis Residence, Lyndhurst bei Cleveland/Ohio, USA, Entwurf 1989–95. Studienmodell, September 1992, Fotografie.
Abb. 19: Drahtgittermodell, September 1992, Ansicht, Computerzeichnung (Ausschnitt).

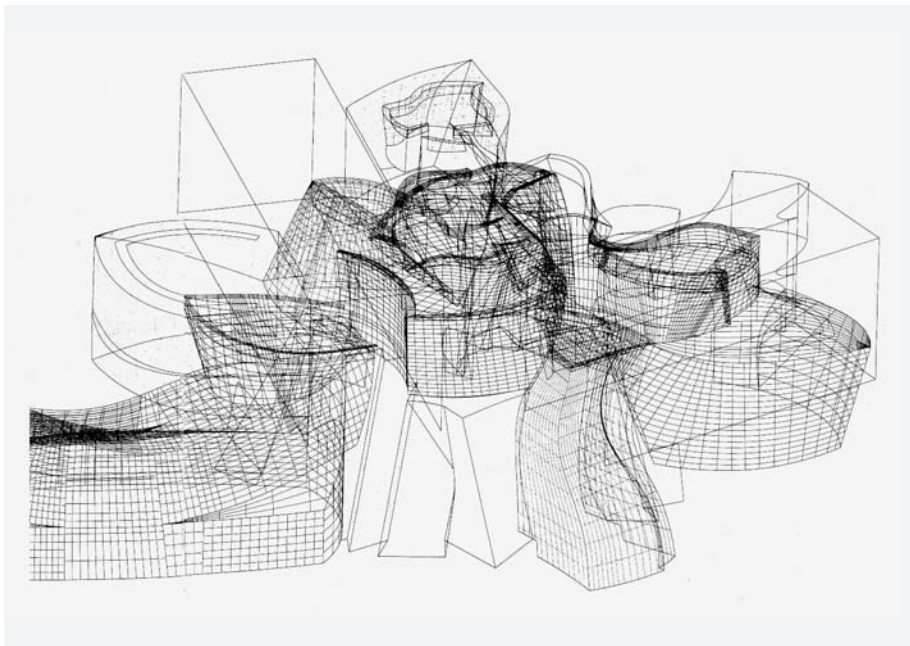


Abb. 20: Frank O. Gehry, Guggenheim Museum, Bilbao, Spanien, 1991–97. Präsentationsmodell, Fotografie.

Abb. 21: Drahtgittermodell, Axonometrie, Computerzeichnung.

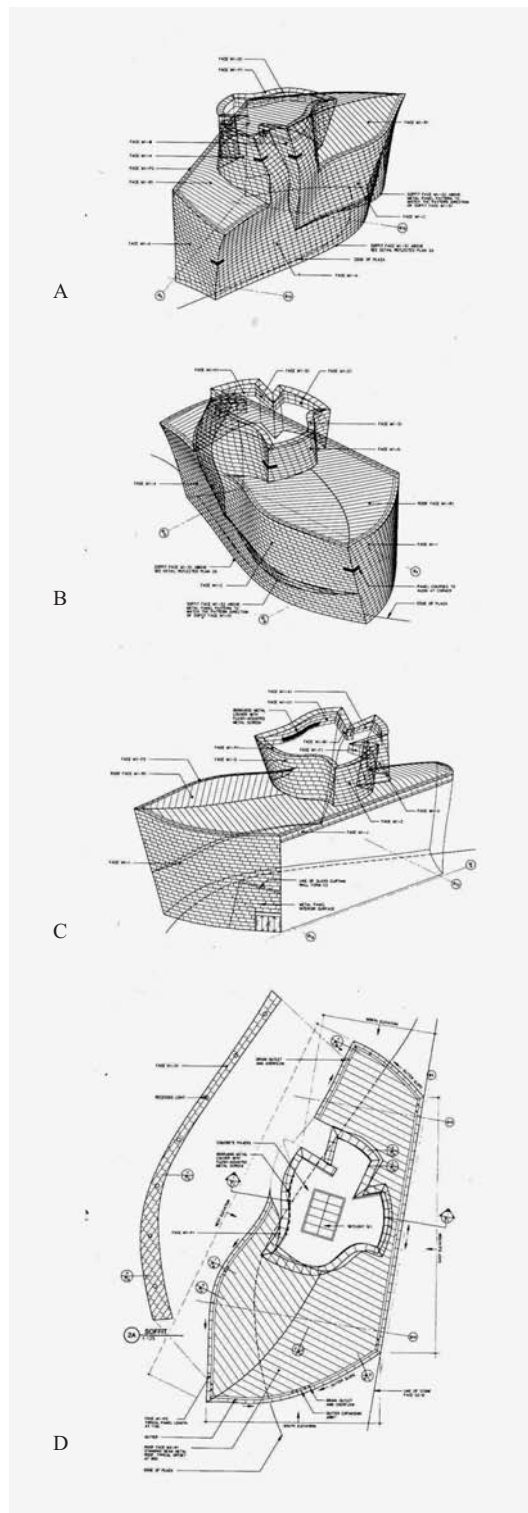


Abb. 22: Frank O. Gehry, Guggenheim Museum, Bilbao, Spanien, 1991–97. 3D-Modell der metallischen Blüte mit Fassadenraster, Axonometrien von verschiedenen Seiten (A–C) und Dachaufsicht (D), Computerzeichnungen.



Abb. 23: Frank O. Gehry, Vitra Design Museum, Weil am Rhein, Deutschland, 1987–89. Südostseite, Fotografie.

Abb. 24: Frank O. Gehry, Center for Visual Arts, University of Toledo/Ohio, USA, 1990–92. Nordostseite, Fotografie.



Abb. 25: Frank O. Gehry, Nationale-Nederlanden Building, Prag, Tschechien, 1992–96. Nordseite, Fotografie.

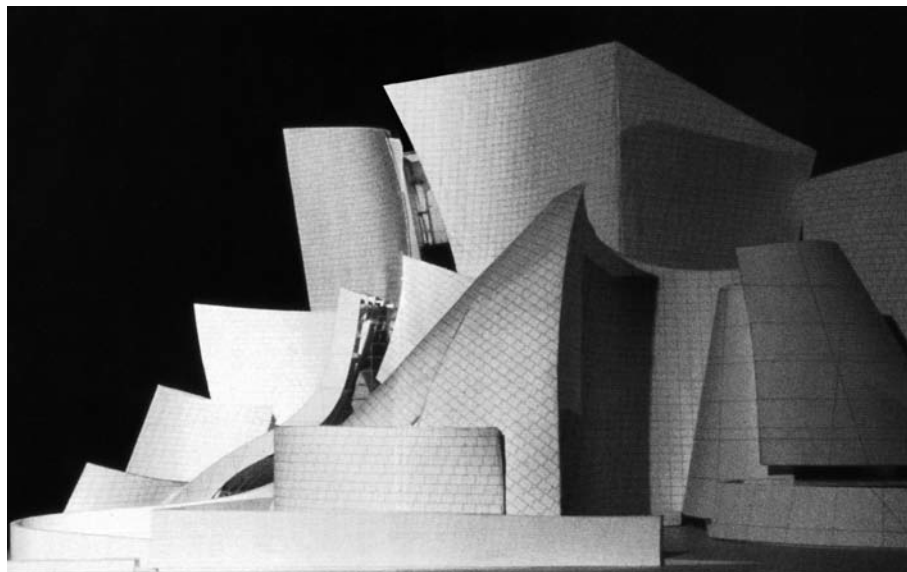


Abb. 26: Frank O. Gehry, Walt Disney Concert Hall, Los Angeles/Kalifornien, USA, 1987–99, 2003. Analog-digitales Entwerfen am Modell, Fotografie.
Abb. 27: Modell, Fotografie.



Abb. 28: Frank O. Gehry, Der Neue Zollhof, Düsseldorf, Deutschland, 1994–2000. Präsentationsmodell, Südwestseite, Fotografie.

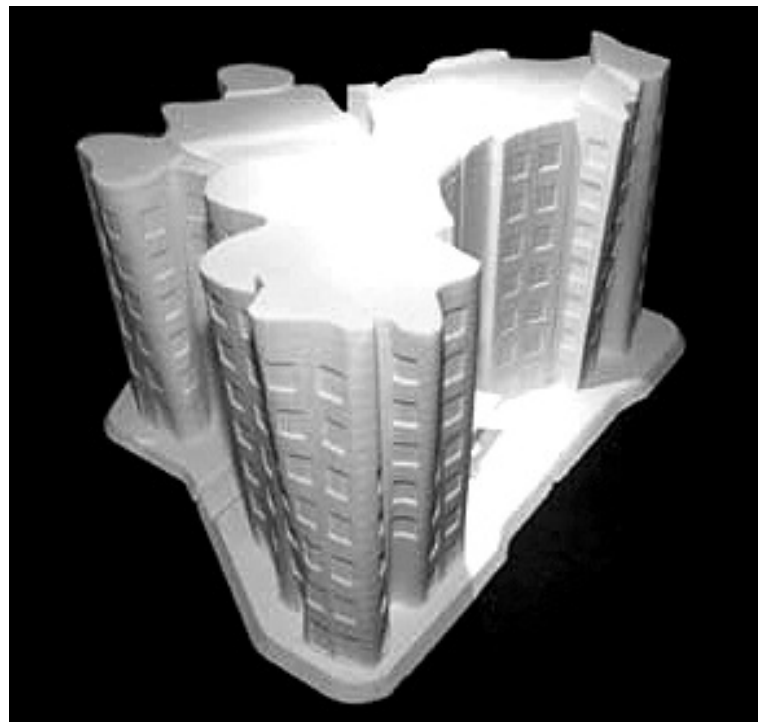
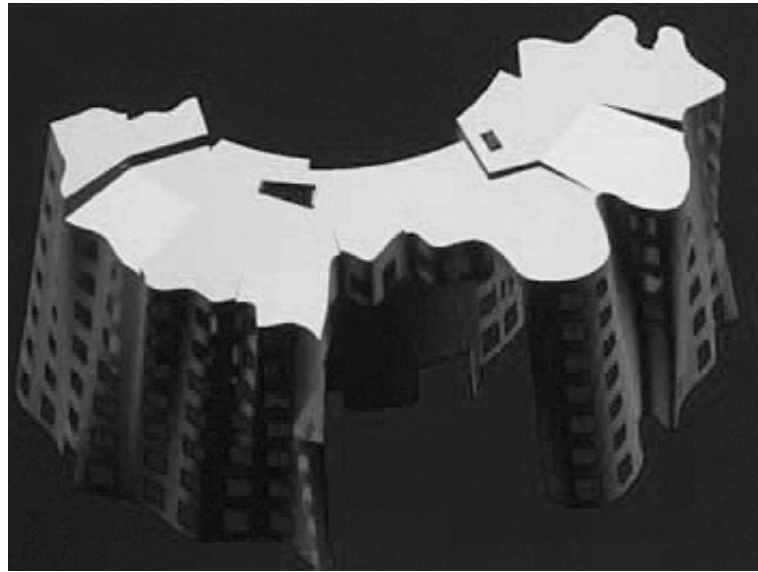


Abb. 29: Frank O. Gehry, Der Neue Zollhof, Düsseldorf, Deutschland, 1994–2000. 3D-Modell der Hülle, Perspektive, Computerrendering, Fotografie des Bildschirms.
Abb. 30: Stereolithografiemodell, Fotografie.

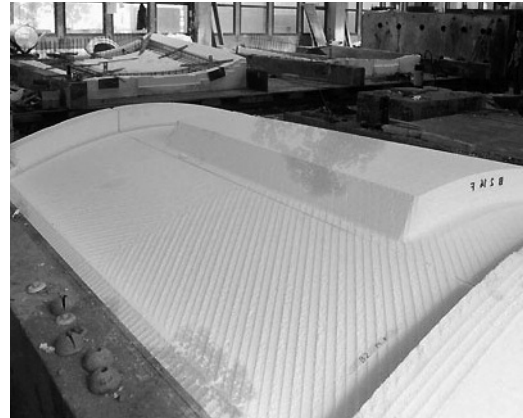


Abb. 31: Frank O. Gehry, Der Neue Zollhof, Düsseldorf, Deutschland, 1994–2000. CNC-gefräste Schalformen aus Polystyrol zur Herstellung von Betonbauteilen, Fotografie.
Abb. 32: Betonfertigteile, Fotografie.

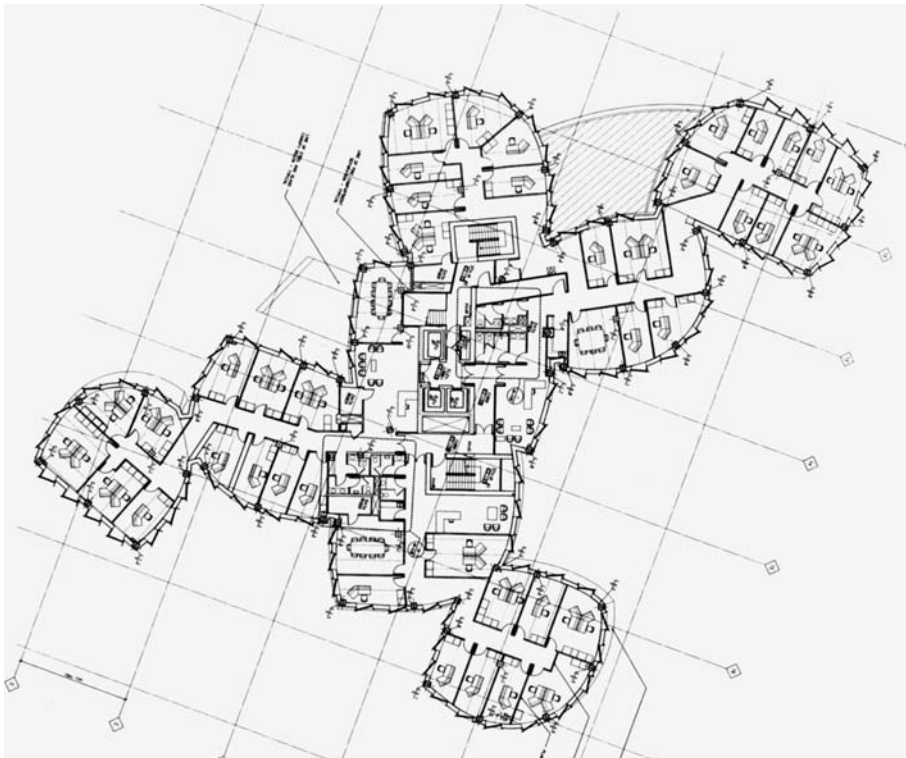


Abb. 33: Frank O. Gehry, Der Neue Zollhof, Düsseldorf, Deutschland, 1994–2000. Nordostseite, Fotografie.

Abb. 34: Grundriss eines typischen Bürogeschosses von Haus C (weiß verputzt).

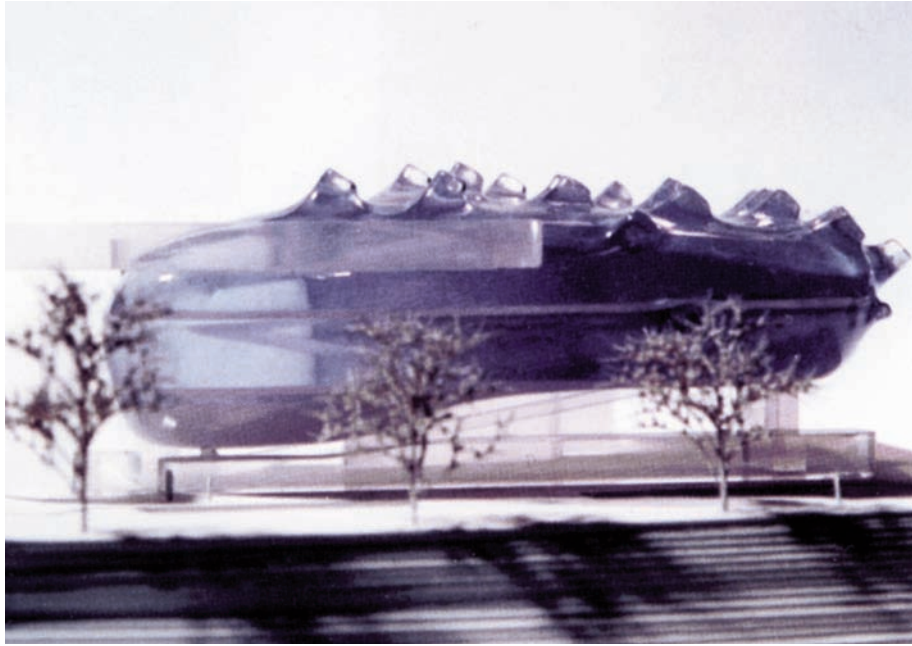


Abb. 35: Peter Cook und Colin Fournier/Spacelab UK, Kunsthaus Graz, Österreich, 1999–2003. Wettbewerbsmodell aus Acryl, Fotografie.

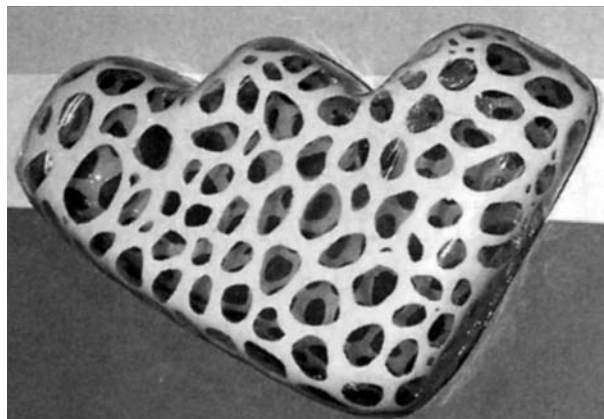
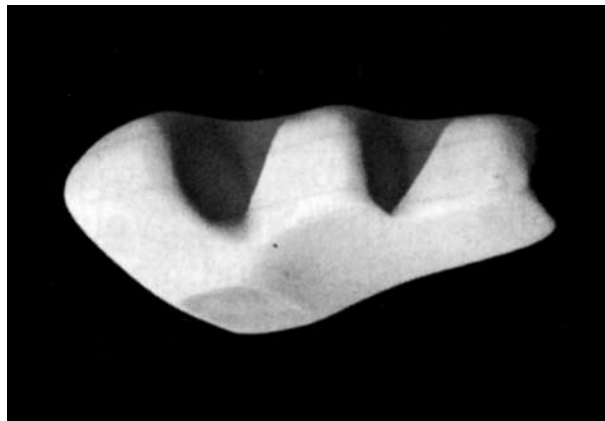


Abb. 36: Peter Cook und Colin Fournier/Spacelab UK, Kunsthaus Graz, Österreich, 1999–2003. Studienmodell aus Plastilin aus der Wettbewerbsphase, Fotografie.

Abb. 37: Studienmodell aus Holz aus der Wettbewerbsphase, Fotografie.

Abb. 38: Studienmodell aus der Wettbewerbsphase, Fotografie.

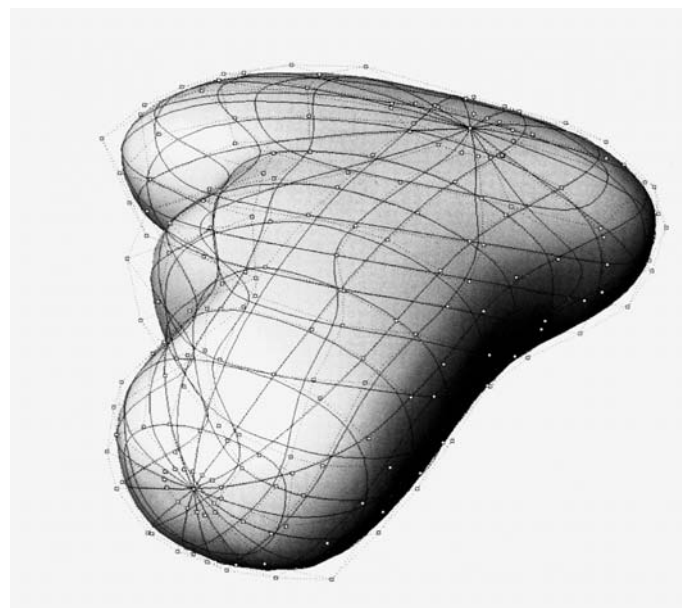
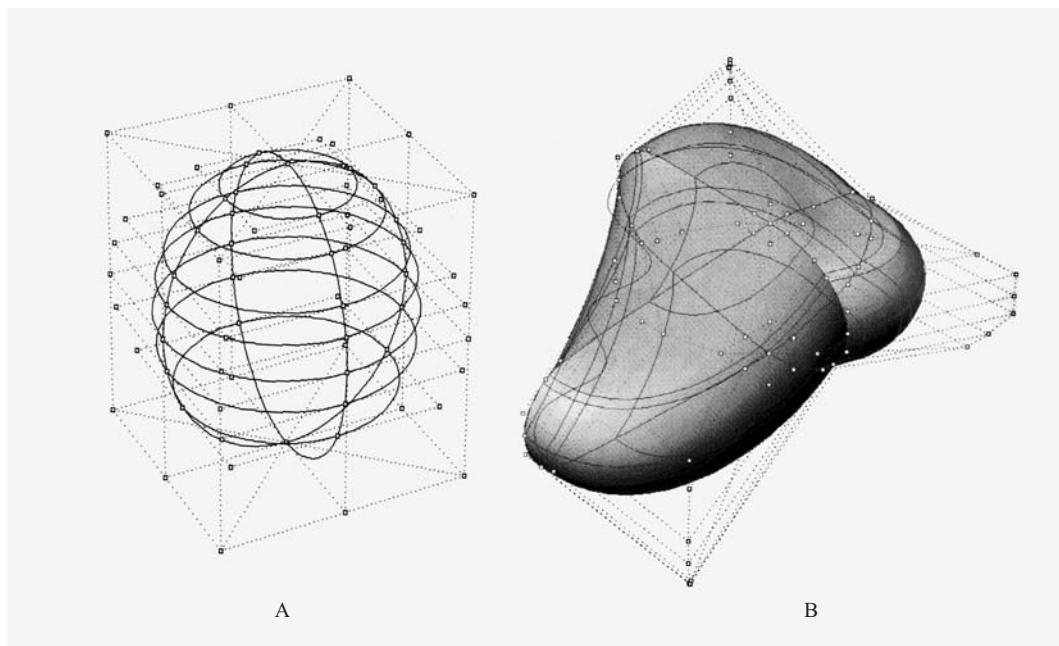


Abb. 39: Peter Cook und Colin Fournier/Spacelab UK, Kunsthaus Graz, Österreich, 1999–2003. Studien, 3D-Modelle, Drahtgitterkugel in einem Netz von Gravitationspunkten (A) und Entwurfsvariante (B), Axonometrien, Computerzeichnung und -rendering.
 Abb. 40: 3D-Modell der Gebäudeform, Axonometrie, Computerrendering.



Abb. 41: Peter Cook und Colin Fournier/Spacelab UK, Kunsthaus Graz, Österreich, 1999–2003.
3D-Modell, Tragwerk, Perspektive, Computerrendering.

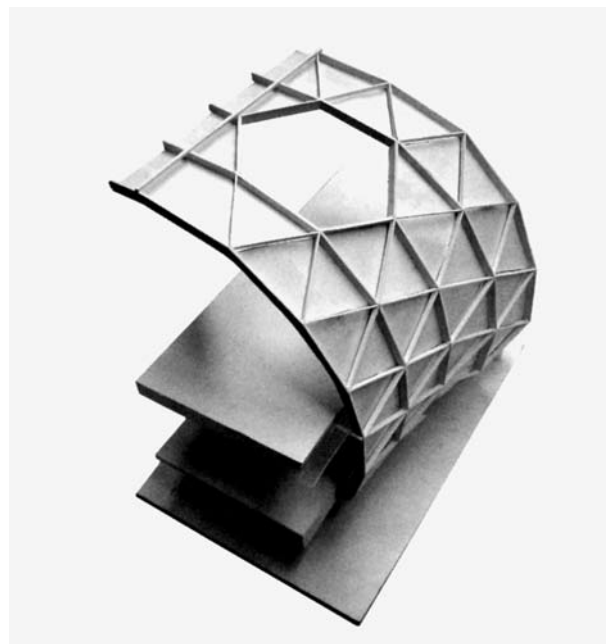
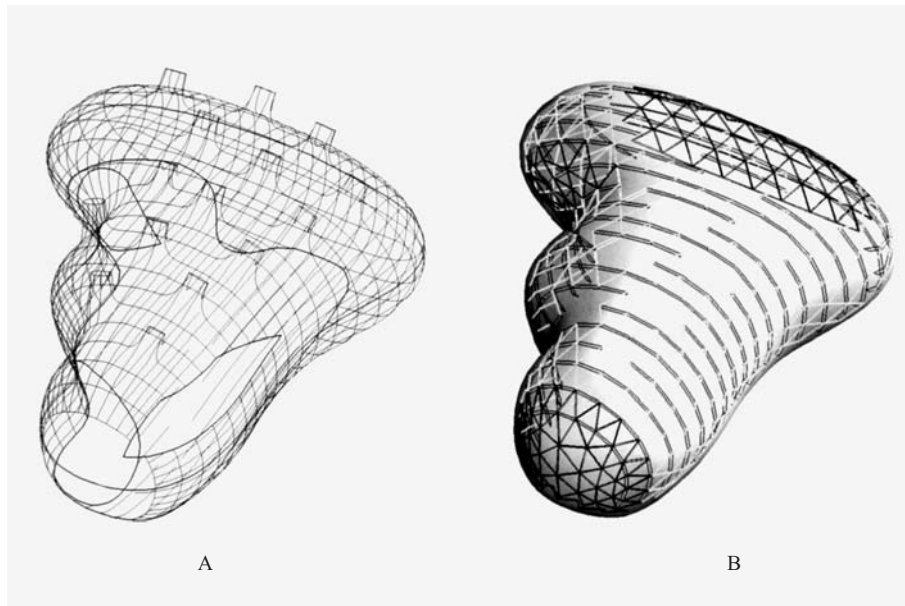


Abb. 42: Peter Cook und Colin Fournier/Spacelab UK, Kunsthaus Graz, Österreich, 1999–2003. Strukturoptimierung des Tragwerkes, Zerlegung der doppelt gekrümmten Oberflächen in einfach gekrümmte, polygonalisierte Kurven, Drahtgittermodell (A) und 3D-Modell der konstruktiven Primärstruktur (B), Axonometrien, Computerzeichnung und -rendering.
 Abb. 43: Ausschnittsmodell mit triangulärem Stabwerk aus der Ausführungsphase, Fotografie.



Abb. 44: Peter Cook und Colin Fournier/Spacelab UK, Kunsthaus Graz, Österreich, 1999–2003. Lichtfassade von „realities:united“ (Berlin), Fotografie.

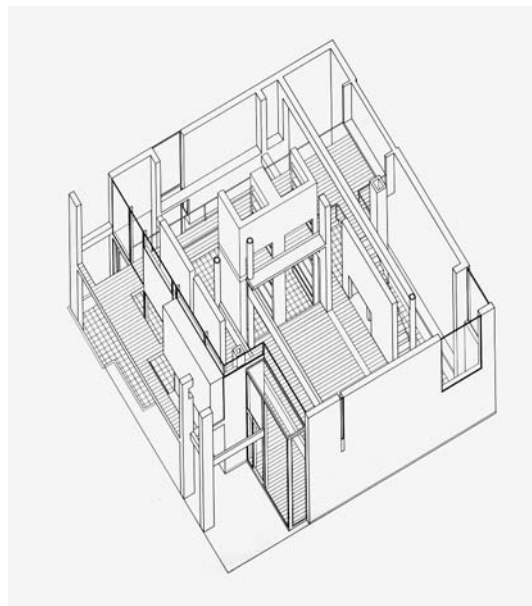
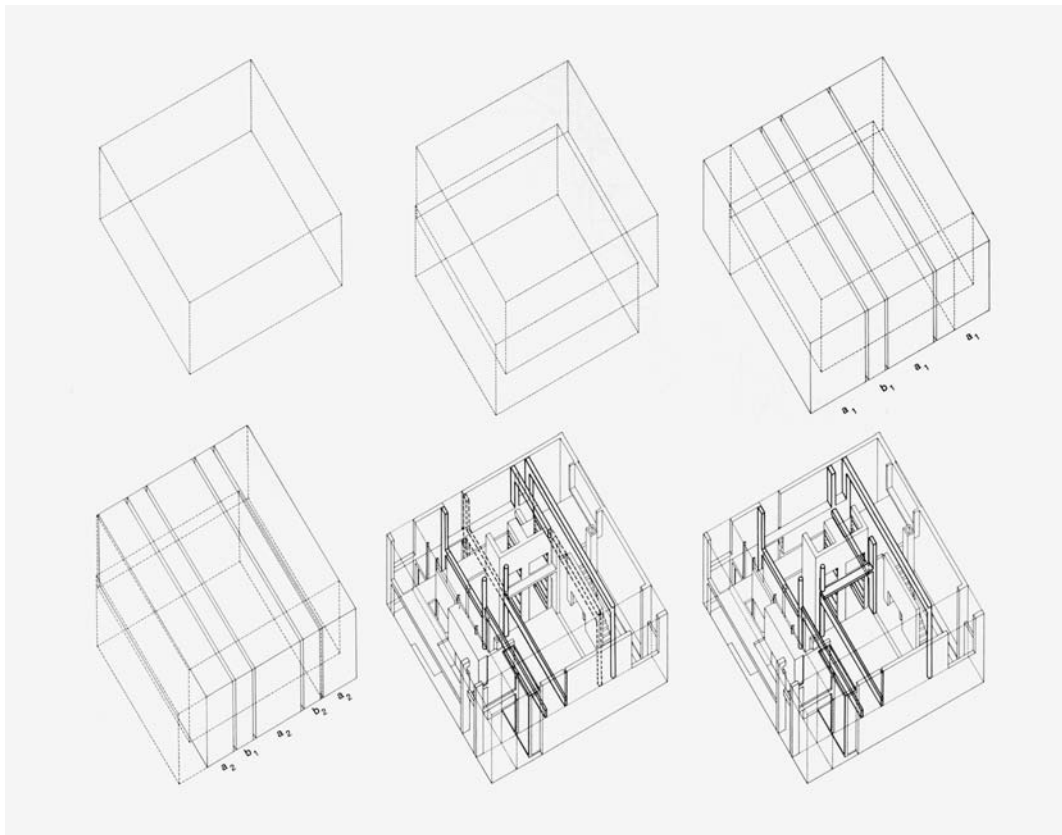


Abb. 45: Peter Eisenman, House I, Princeton/New Jersey, USA, 1967/68. Axonometrische Diagramme.

Abb. 46: Axonometrischer Schnitt, in: Five Architects, 1975, S. 21.

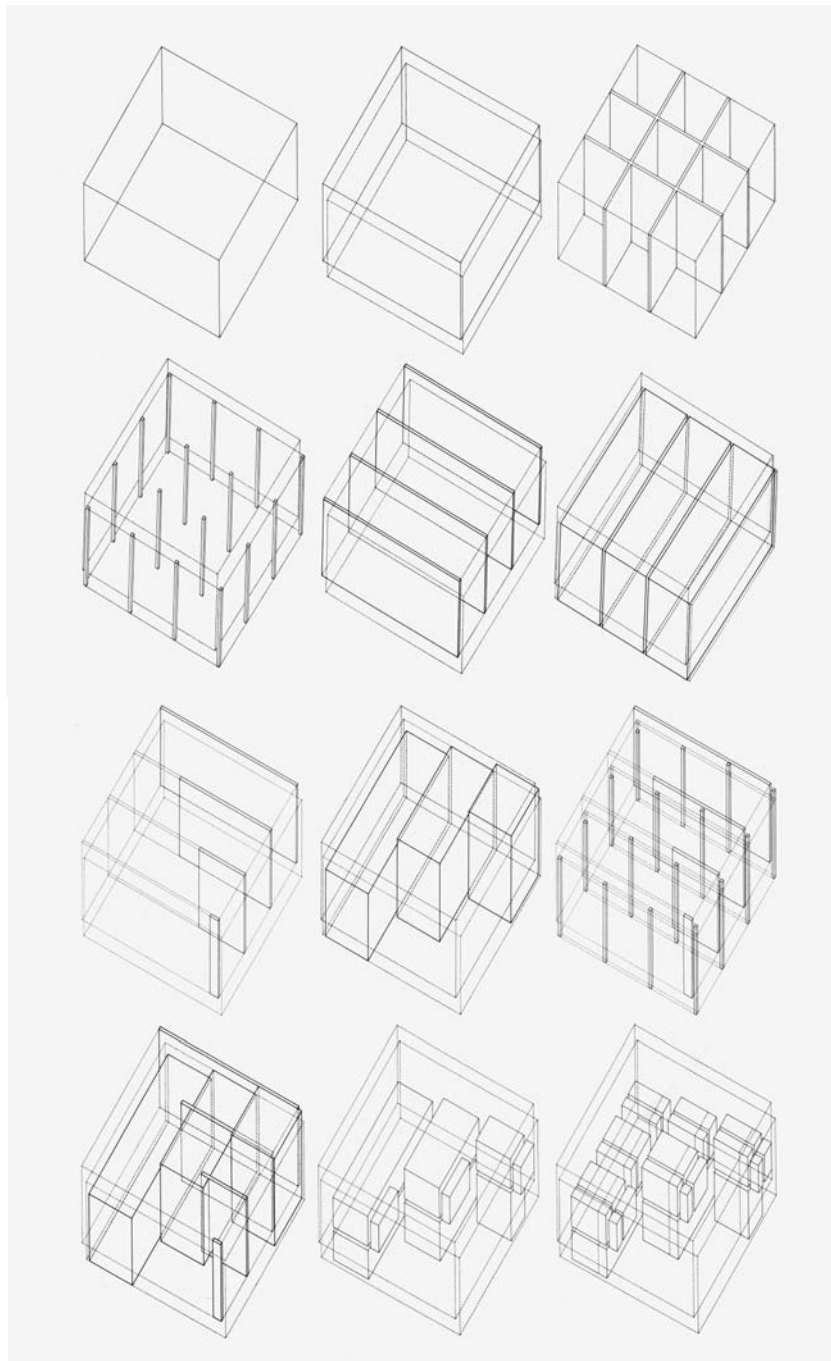


Abb. 47: Peter Eisenman, House II, Hardwick/Vermont, USA, 1969/70. Axonometrische Diagramme.

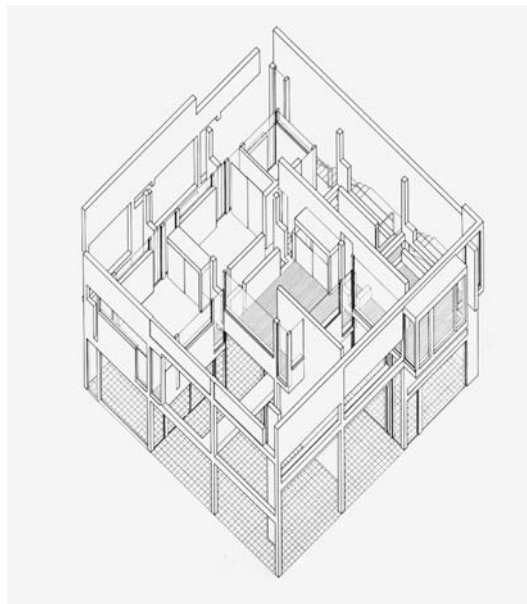
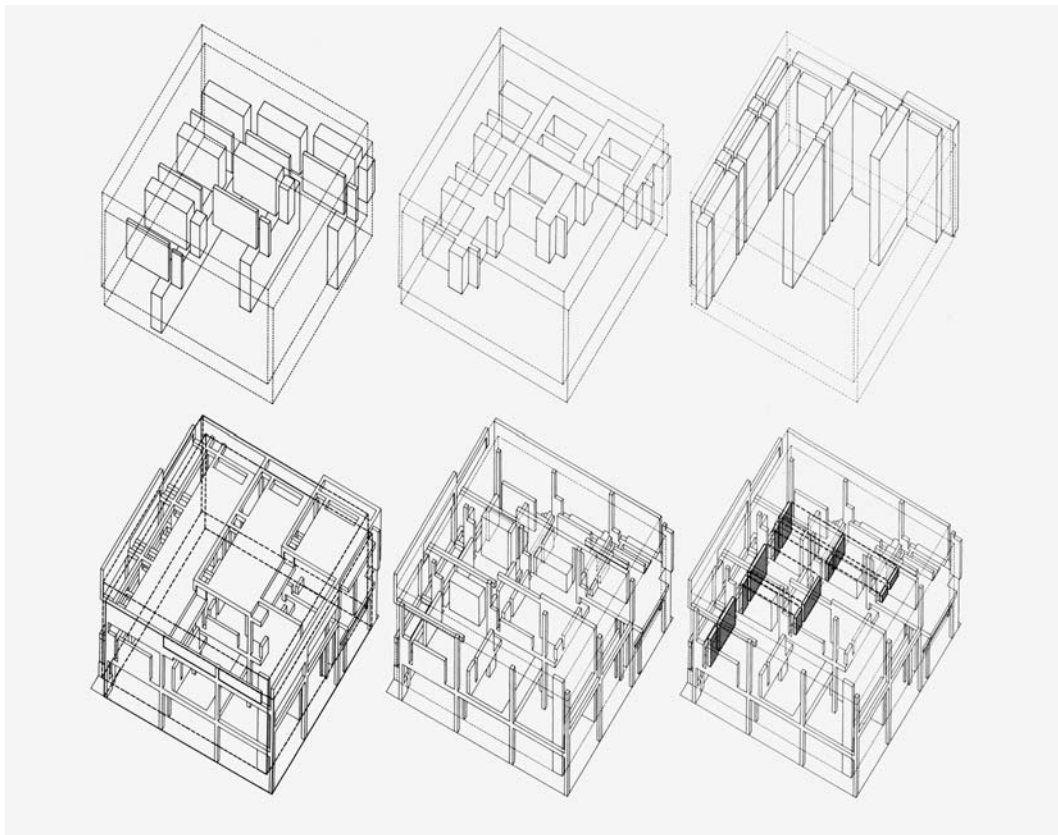


Abb. 48: Peter Eisenman, House I, Princeton/New Jersey, USA, 1967/68. Axonometrische Diagramme.

Abb. 49: Peter Eisenman, House II, Hardwick/Vermont, USA, 1969/70. Axonometrischer Schnitt.

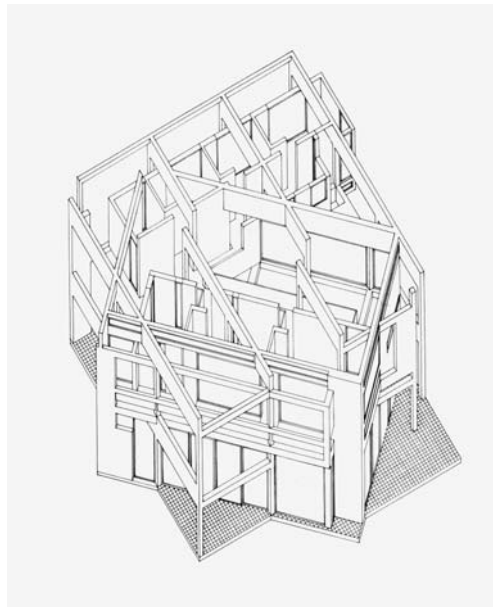
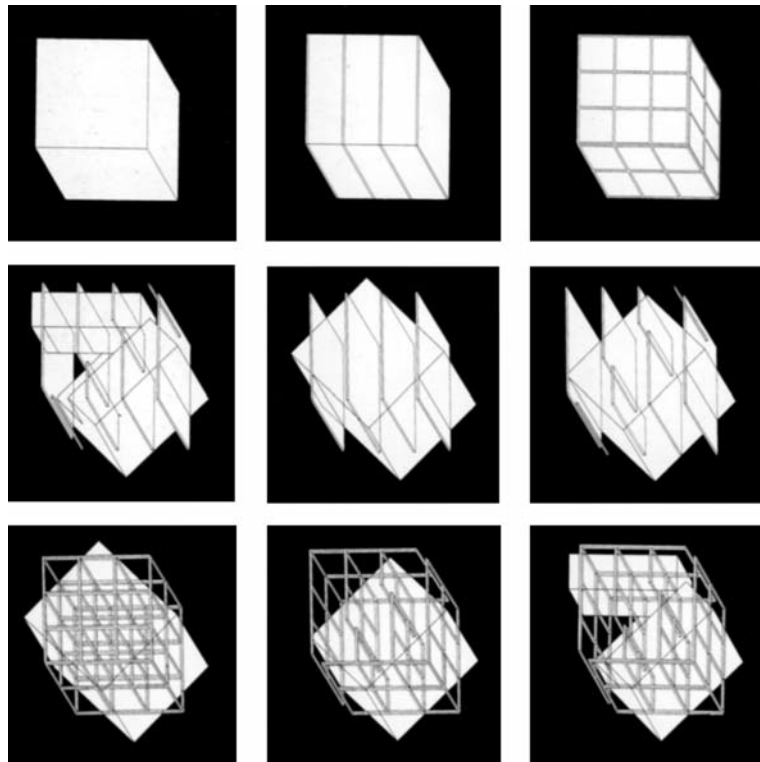


Abb. 50: Peter Eisenman, House III, Lakeville/Connecticut, USA, 1969–71. Axonometrische Diagramme.

Abb. 51: Axonometrischer Schnitt.

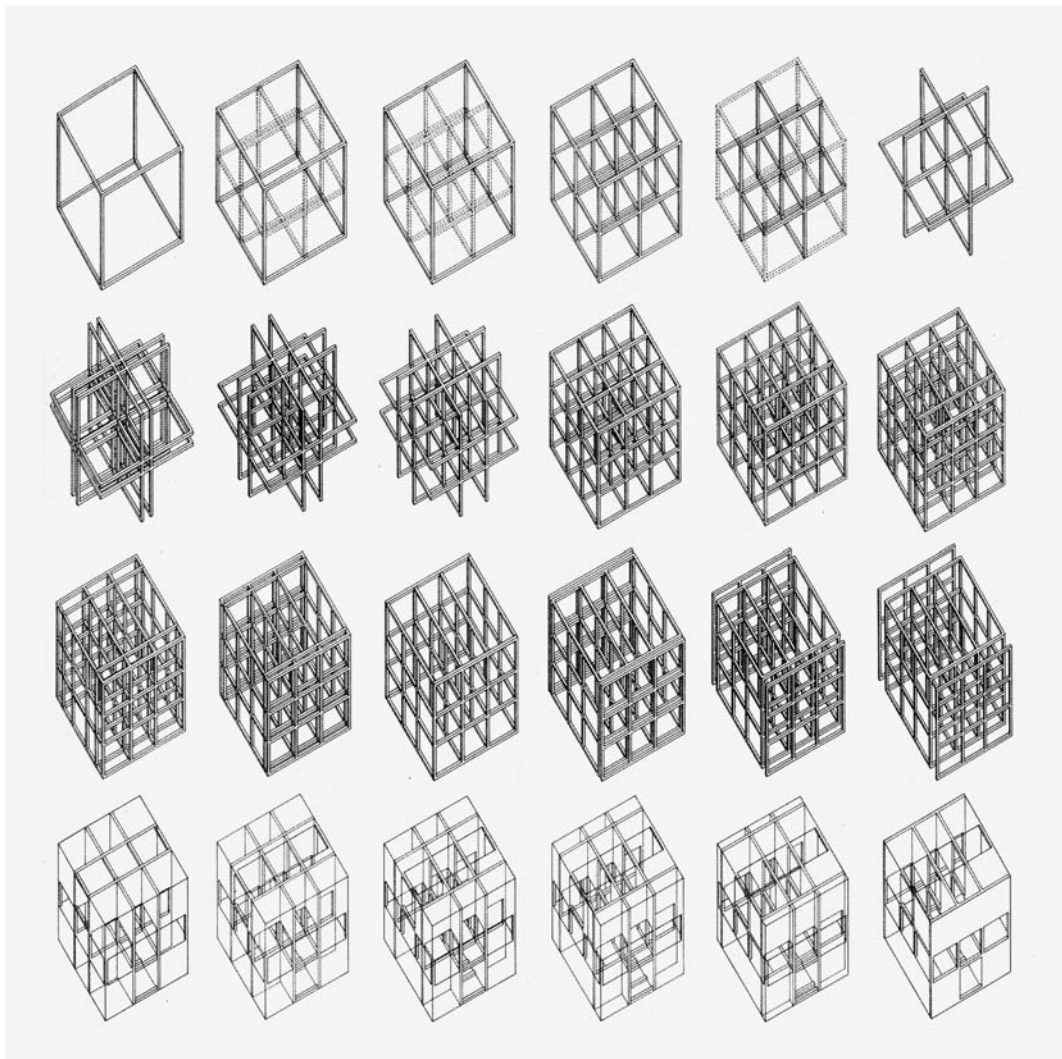


Abb. 52: Peter Eisenman, House IV, Falls Village/Connecticut, USA, Entwurf 1971. Axonometrische Diagramme.

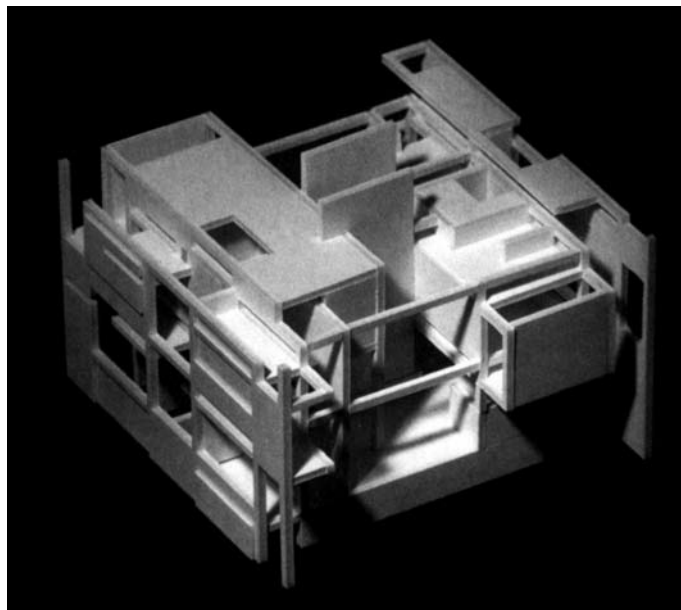
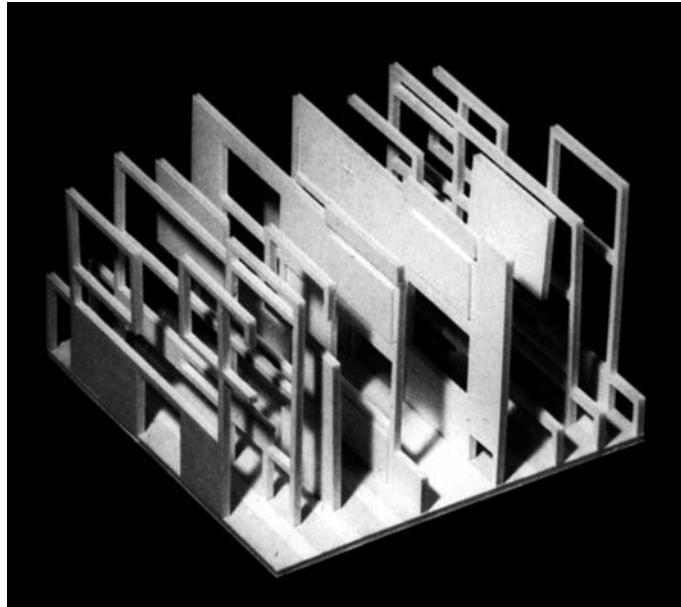


Abb. 53: Peter Eisenman, House IV, Falls Village/Connecticut, USA, Entwurf 1971. Studienmodell aus parallel angeordneten Rahmen und Flächen, Fotografie.
Abb. 54: Präsentationsmodell, Fotografie.

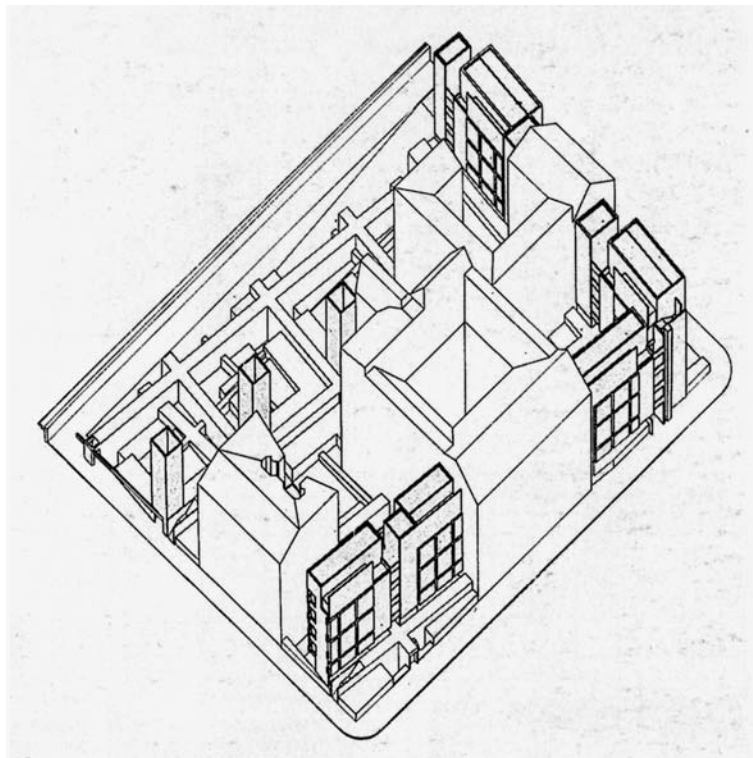
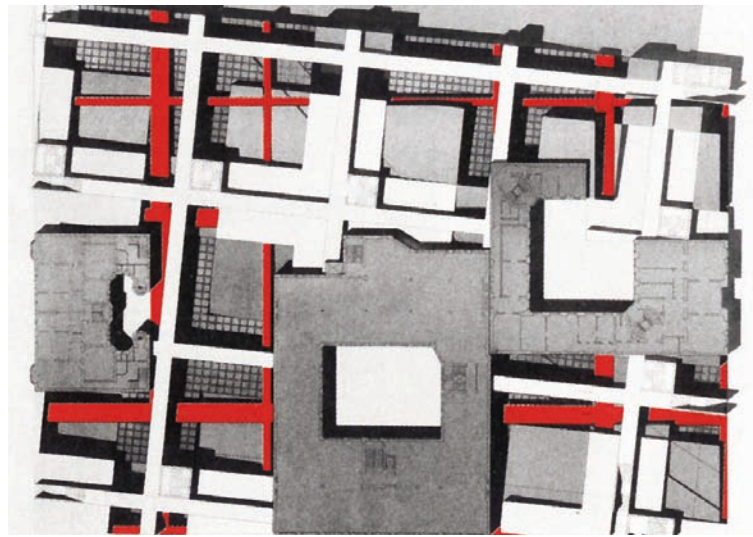


Abb. 55: Peter Eisenman, Wohnblock Kochstraße, Projekt für die Internationale Bauausstellung 1984 (IBA), West-Berlin, Deutschland, 1981–85. Lageplan des Wettbewerbsentwurfes.
Abb. 56: Axonometrie des Wettbewerbsentwurfes.



Abb. 57: Peter Eisenman, Wohnblock Kochstraße, Projekt für die Internationale Bauausstellung 1984 (IBA), West-Berlin, Deutschland, 1981–85. Südseite mit Rasterfassade zur Kochstraße.

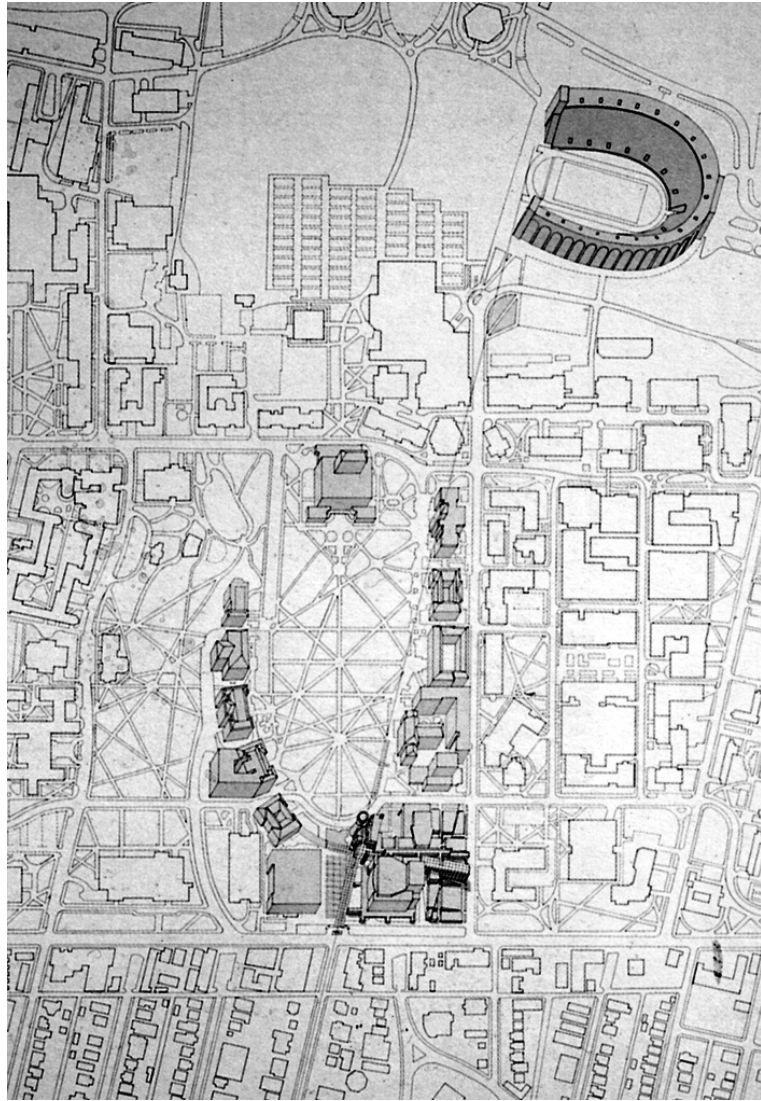


Abb. 58: Peter Eisenman, Wexner Center for the Visual Arts and Fine Arts Library, The Ohio State University, Columbus/Ohio, USA, 1983–89. Lageplan mit Axonometrien der bestehenden Universitätsgebäude und des neuen Wexner Center (Ausschnitt).

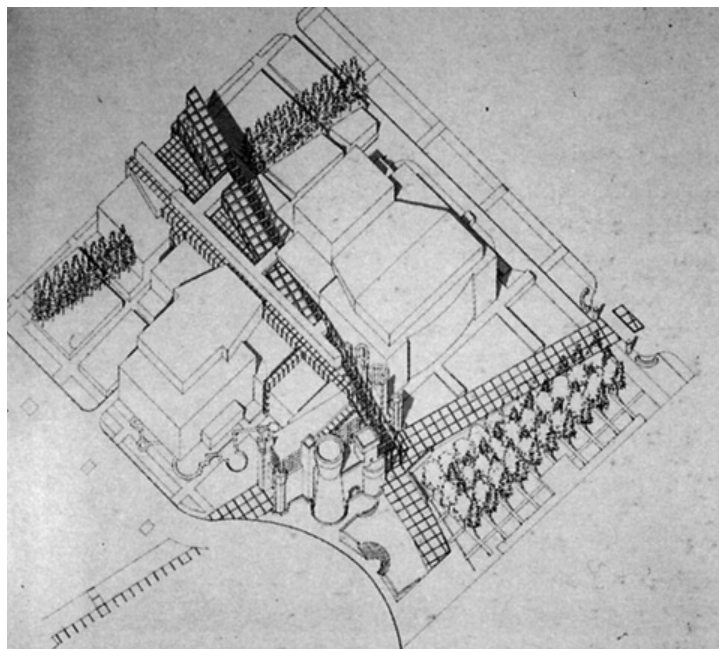
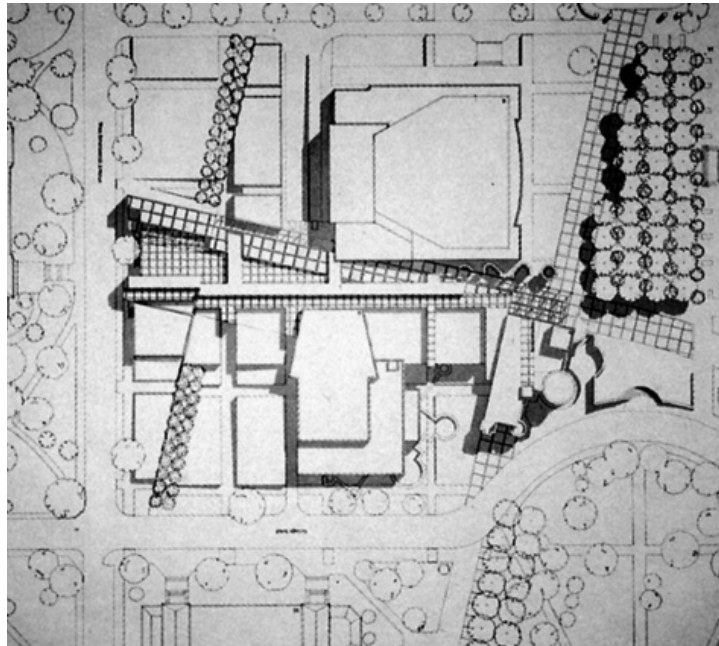


Abb. 59: Peter Eisenman, Wexner Center for the Visual Arts and Fine Arts Library, The Ohio State University, Columbus/Ohio, USA, 1983–89. Dachaufsicht.
Abb. 60: Axonometrie.

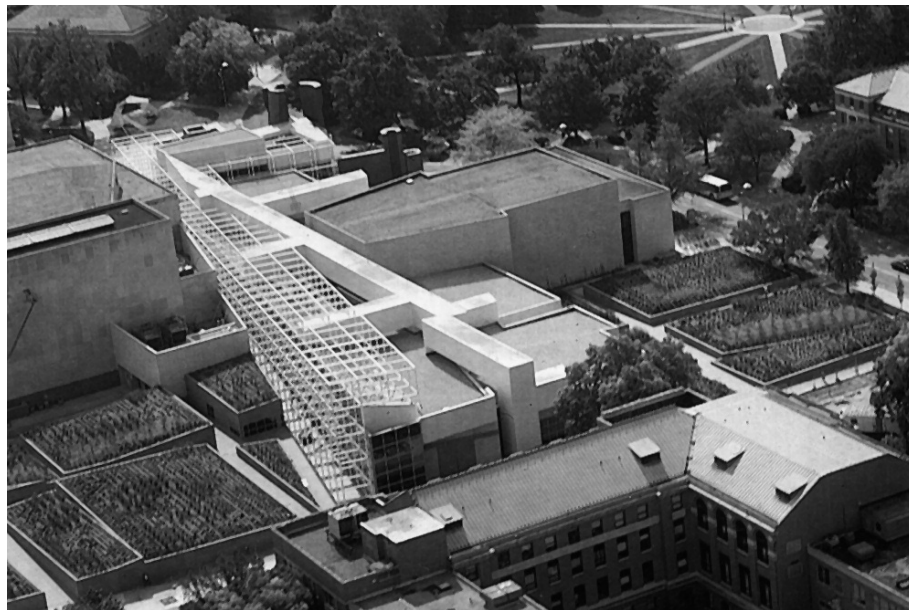
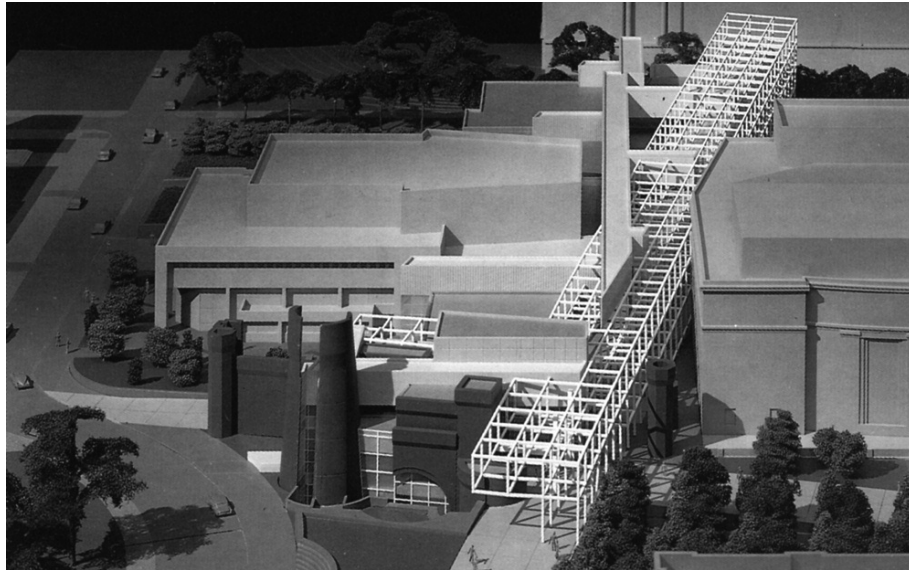


Abb. 61: Peter Eisenman, Wexner Center for the Visual Arts and Fine Arts Library, The Ohio State University, Columbus/Ohio, USA, 1983–89. Präsentationsmodell, Südostseite, Fotografie.
Abb. 62: Fertiggestellter Baukomplex, Nordostseite, Luftfotografie.

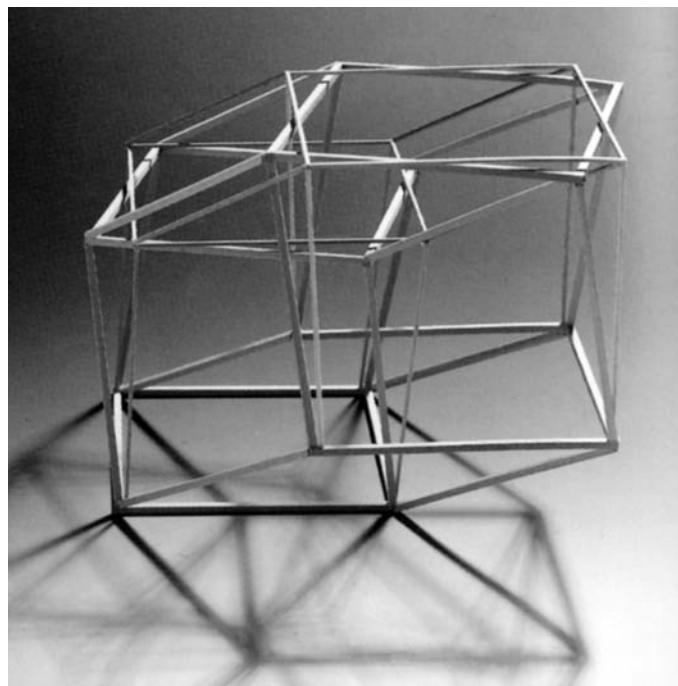
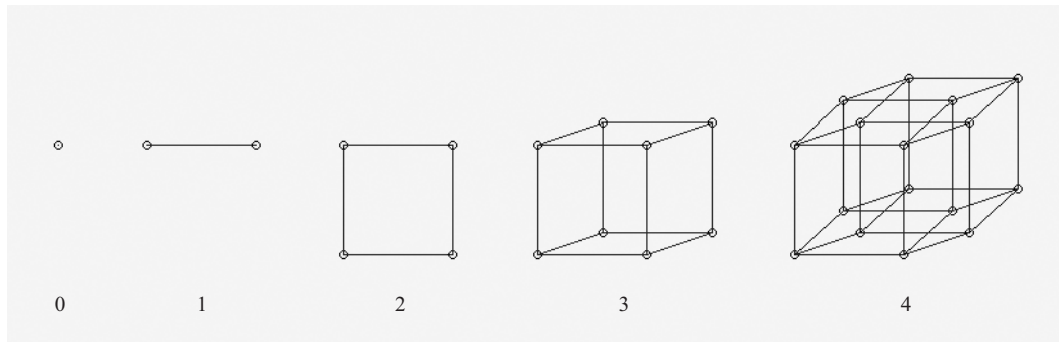


Abb. 63: Null- bis vierdimensionale Würfelanaloge, Axonometrien, Computerzeichnungen.
 Abb. 64: Peter Eisenman, Carnegie Mellon Research Institute, Pittsburgh/Pennsylvania, USA,
 Entwurf 1987–89. Studienmodell des Booleschen Würfels, Fotografie.

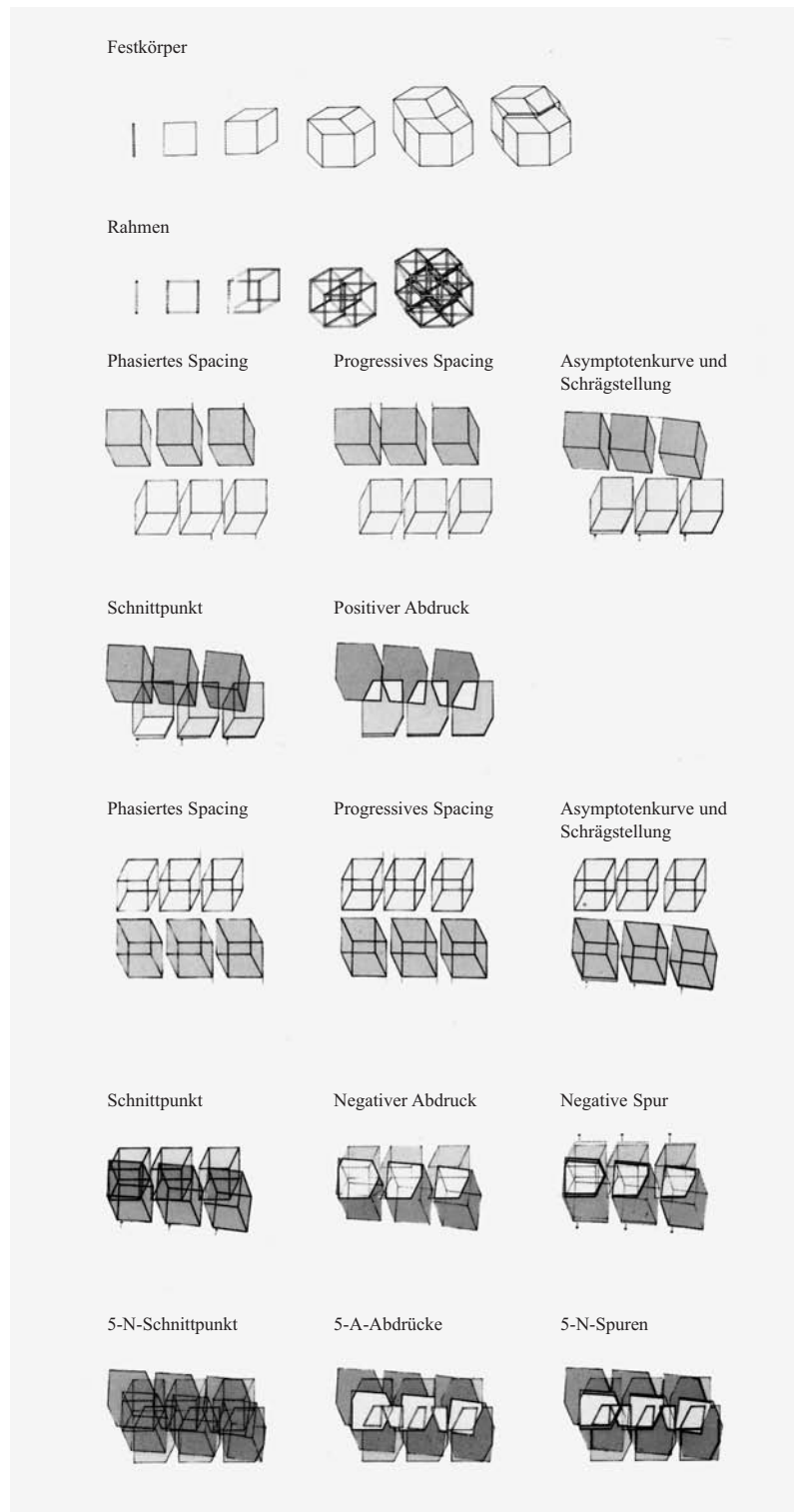


Abb. 65: Peter Eisenman, Carnegie Mellon Research Institute, Pittsburgh/Pennsylvania, USA, Entwurf 1987–89. Konzeptdiagramme: 4-n-Kubus, Solid/Frame, Anreihung, Kurvierung.

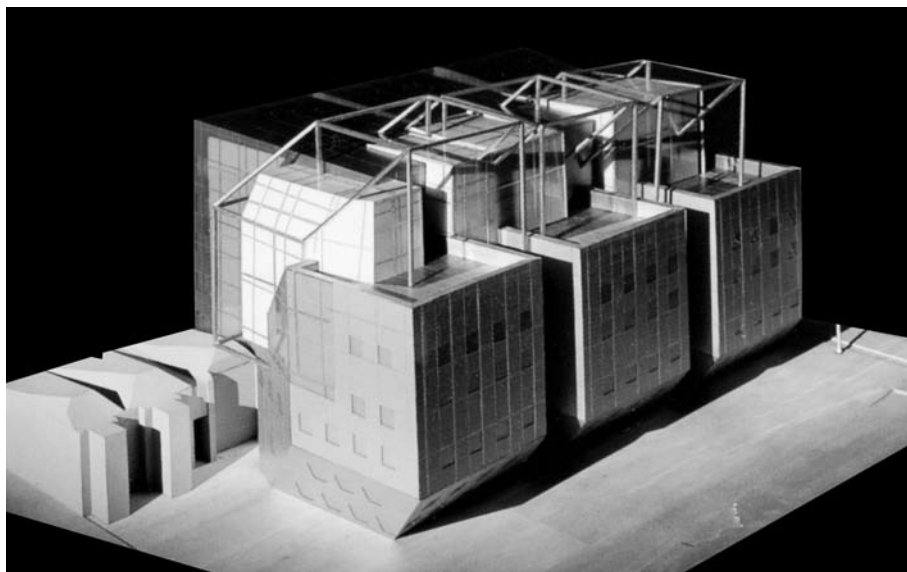
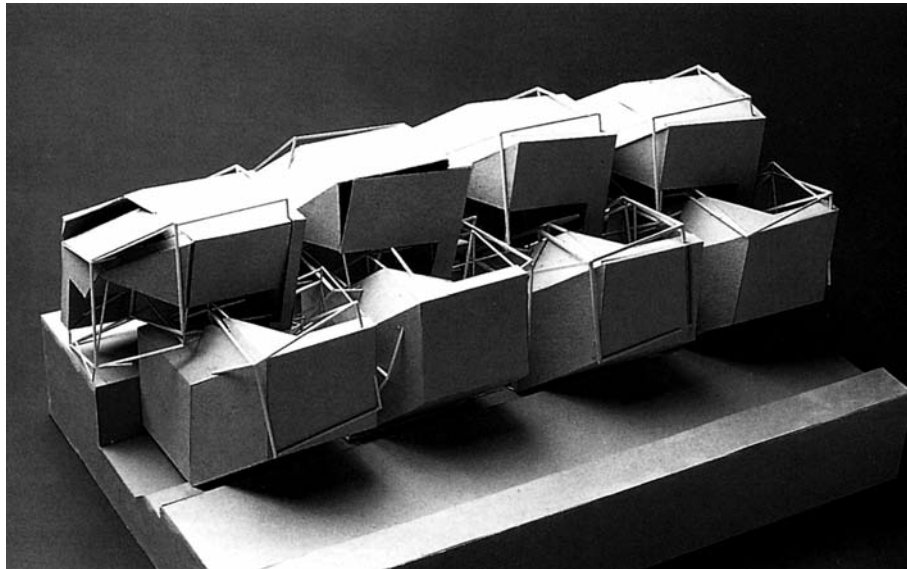


Abb. 66: Peter Eisenman, Carnegie Mellon Research Institute, Pittsburgh/Pennsylvania, USA, Entwurf 1987–89. Studienmodell, Fotografie.
Abb. 67: Präsentationsmodell, Fotografie.

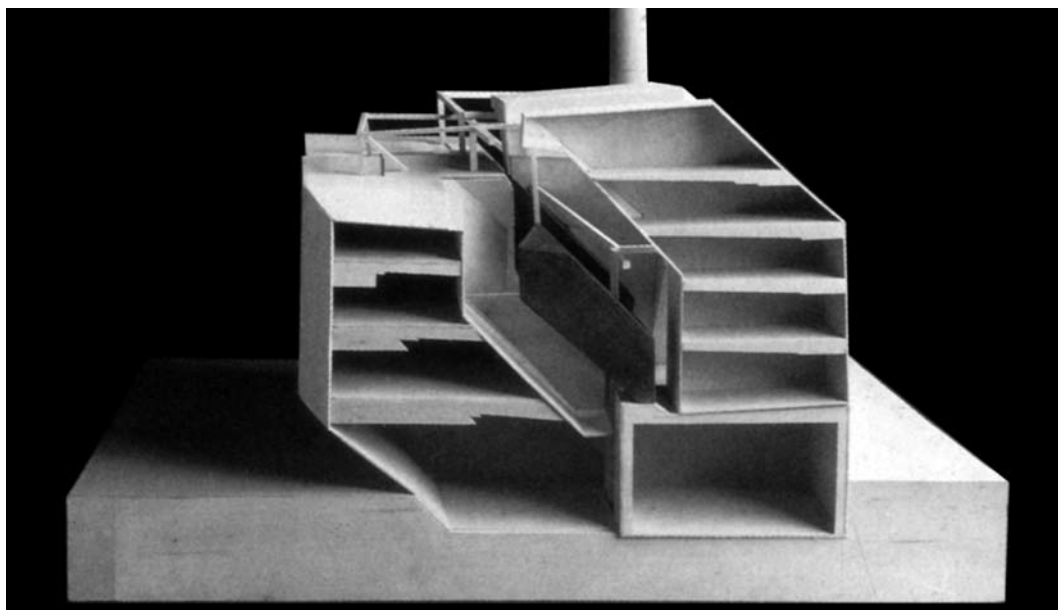


Abb. 68: Peter Eisenman, Carnegie Mellon Research Institute, Pittsburgh/Pennsylvania, USA, Entwurf 1987–89. Schnittmodell eines Moduls mit Lichthof, Fotografie.

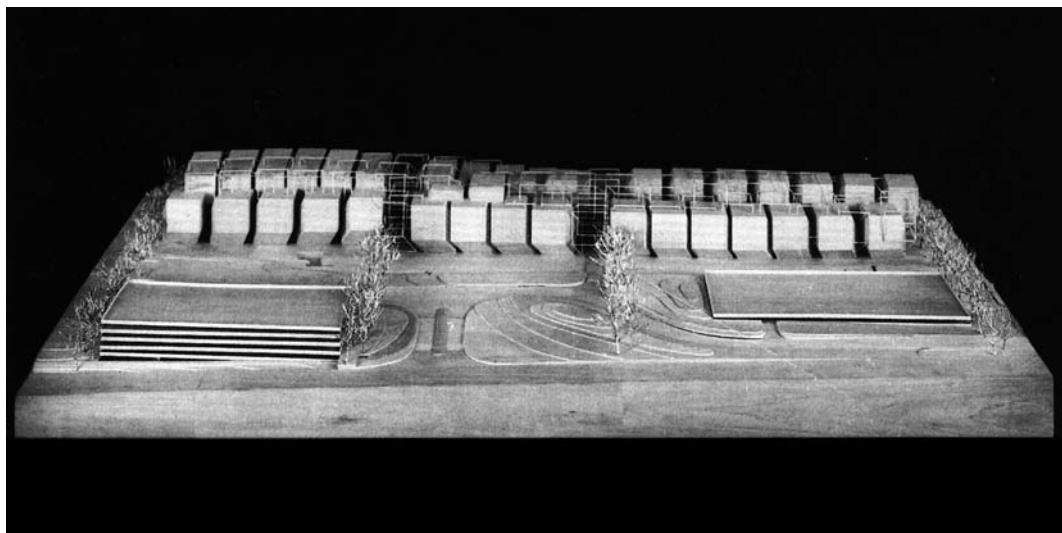
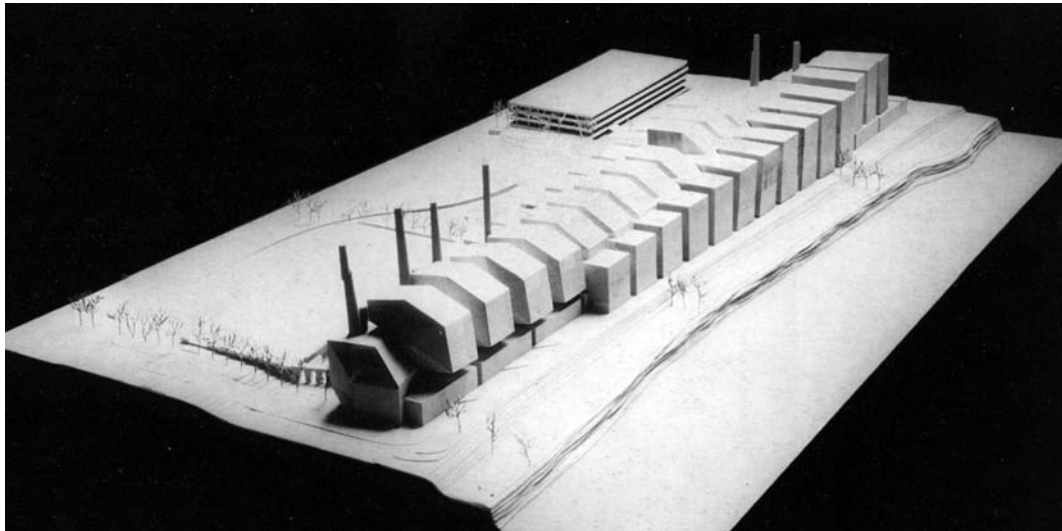


Abb. 69: Peter Eisenman, Carnegie Mellon Research Institute, Pittsburgh/Pennsylvania, USA, Entwurf 1987–89. Lageplanmodell, Südwestseite, Fotografie.
Abb. 70: Präsentationsmodell, Nordseite, Fotografie.

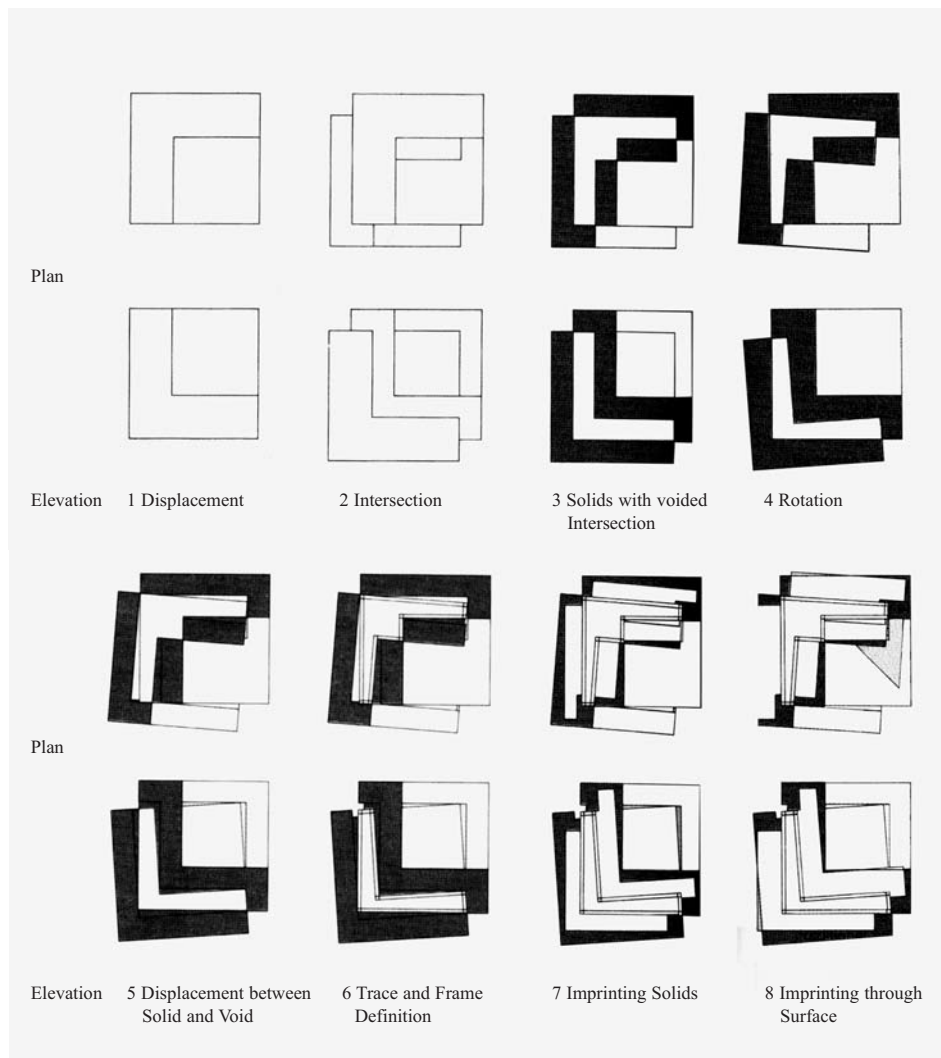
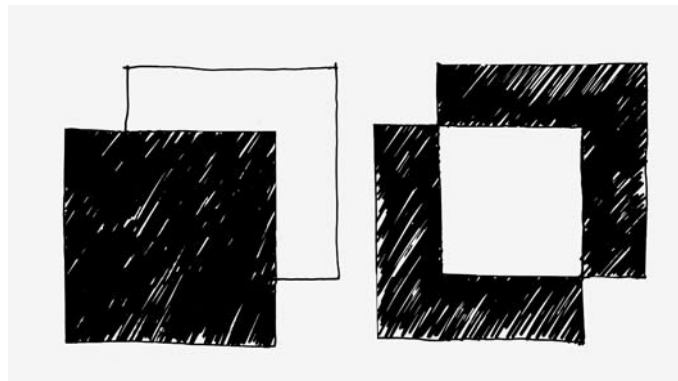


Abb. 71: Peter Eisenman, Guardiola House, Cádiz, Spanien, Entwurf 1986–88. Konzeptdiagramm, Quadrat- und L-Figuren.

Abb. 72: Konzeptdiagramme in Grundriss (erste und dritte Reihe) und Aufriss (zweite und vierte Reihe), Fotopapier, Farbklebefilm und Farbe, 118 x 84 cm (Ausschnitt).

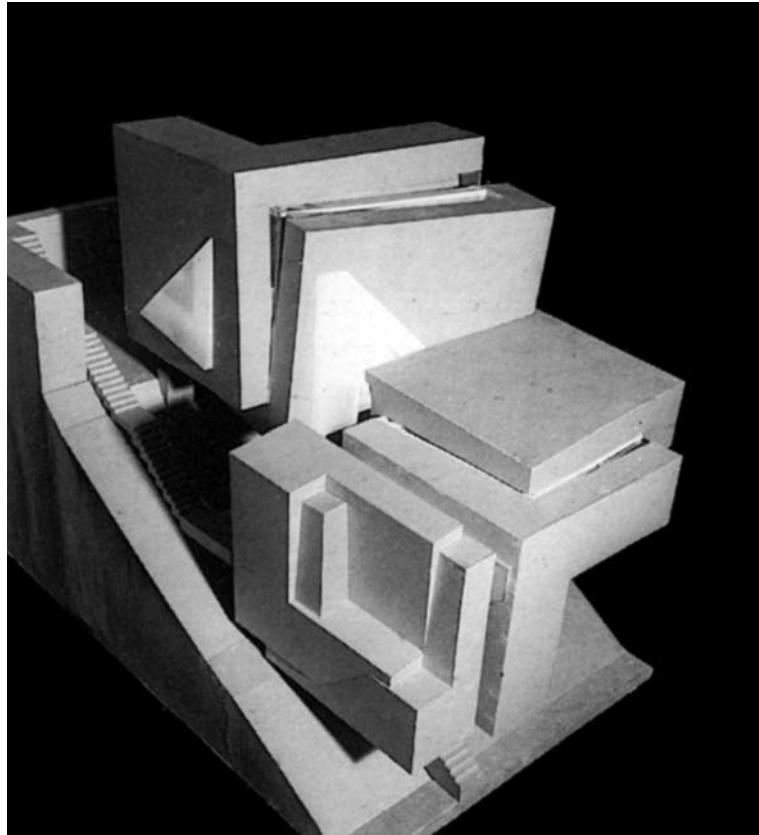


Abb. 73: Peter Eisenman, Guardiola House, Cádiz, Spanien, Entwurf 1986–88. Studienmodell aus Karton und Plexiglas, 112 x 135 x 88, Südwestseite, Fotografie.

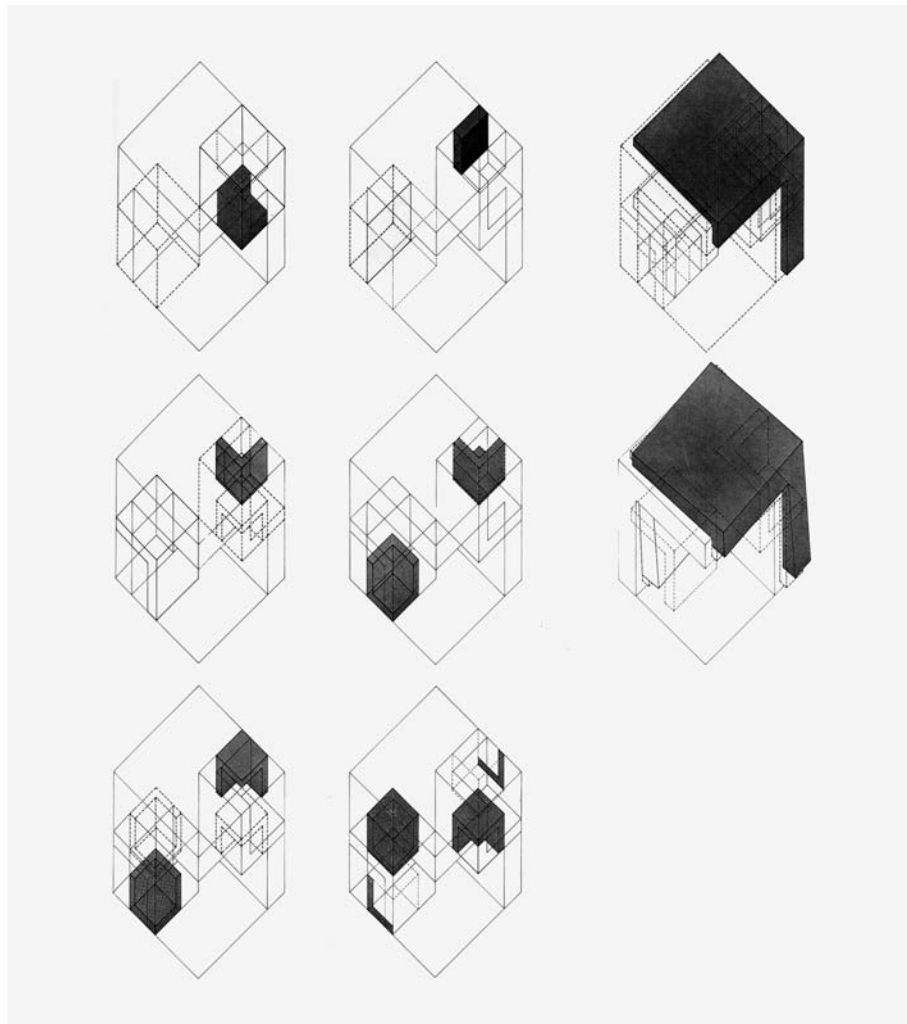


Abb. 74: Peter Eisenman, Koizumi Sangyo Corporation, Tokio, Japan, 1988–90. Axonometrische Konzeptdiagramme.



Abb. 75: Peter Eisenman, Koizumi Sangyo Corporation, Tokio, Japan, 1988–90. Fassadendetail, Fotografie.

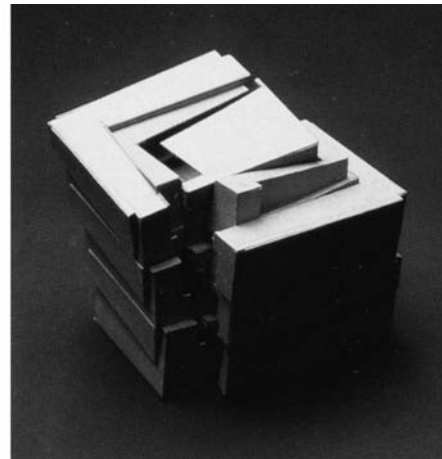
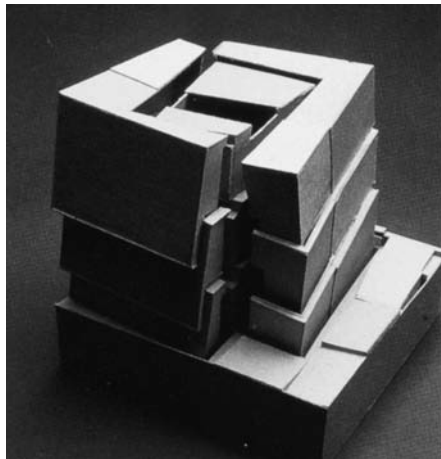
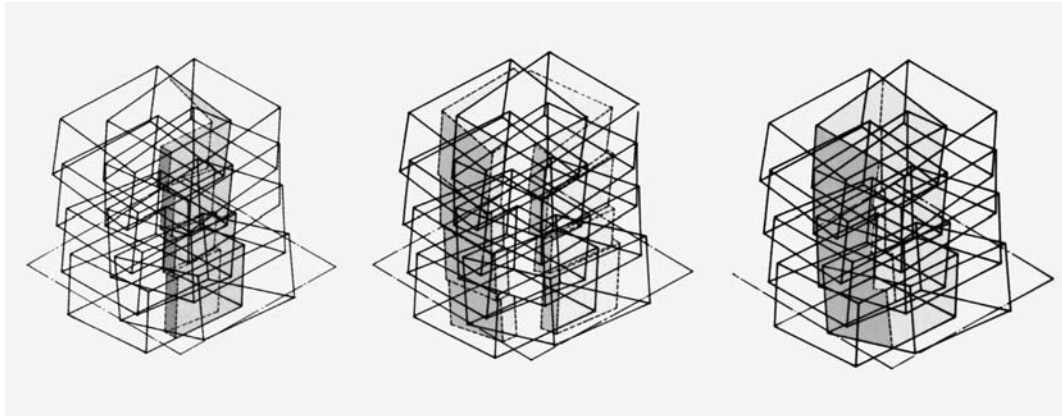


Abb. 76: Peter Eisenman, Nunotani Corporation Headquarters Building, Tokio, Japan, 1990–92.
Axonometrische Konzeptdiagramme.
Abb. 77: Studienmodelle, Fotografien.

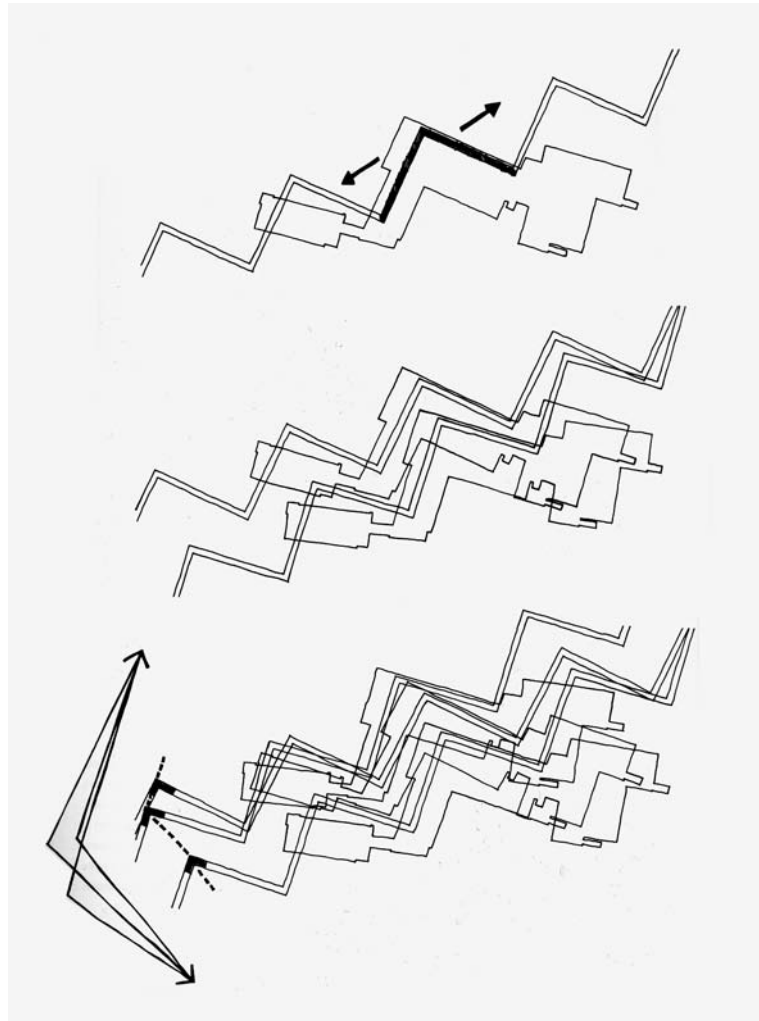


Abb. 78: Peter Eisenman, Aronoff Center for Design and Art, University of Cincinnati/Ohio, USA, 1988–96. Konzeptdiagramme, Ableitung der Zickzackfigur aus Grundrisskontur der bestehenden Gebäude und ihre Verschiebung.

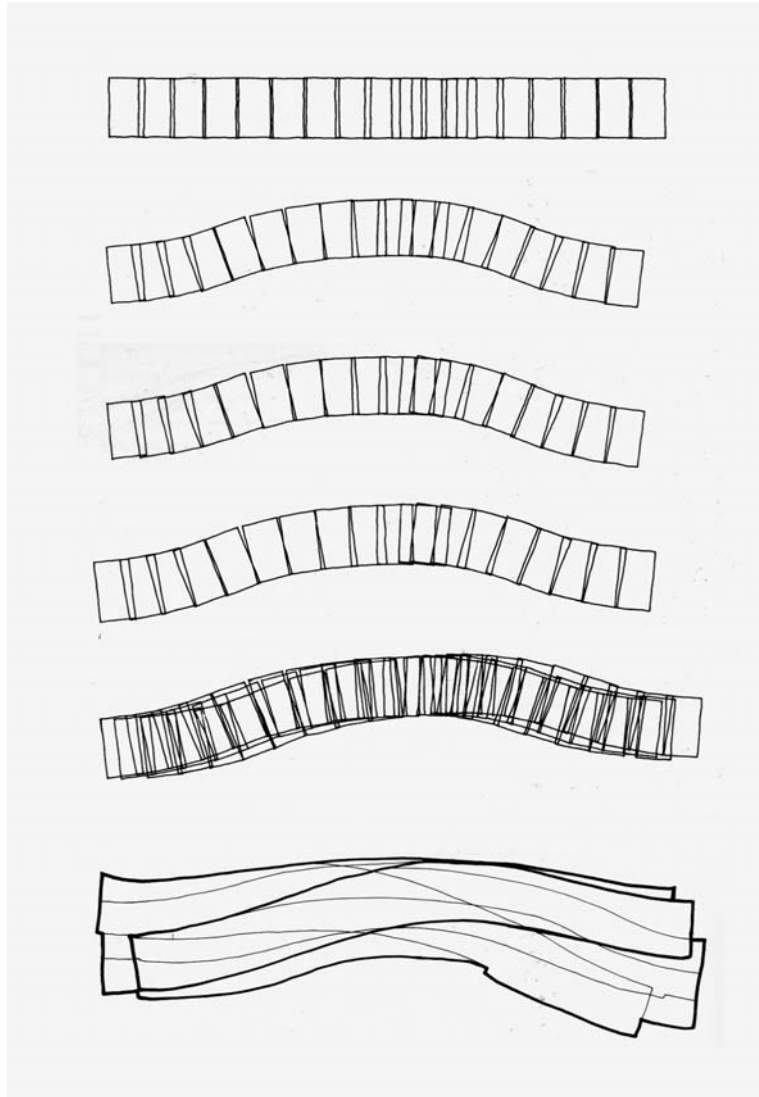


Abb. 79: Peter Eisenman, Aronoff Center for Design and Art, University of Cincinnati/Ohio, USA, 1988–96. Konzeptdiagramme, Anreihung geometrischer Körper und ihre Deformation durch Kurven.

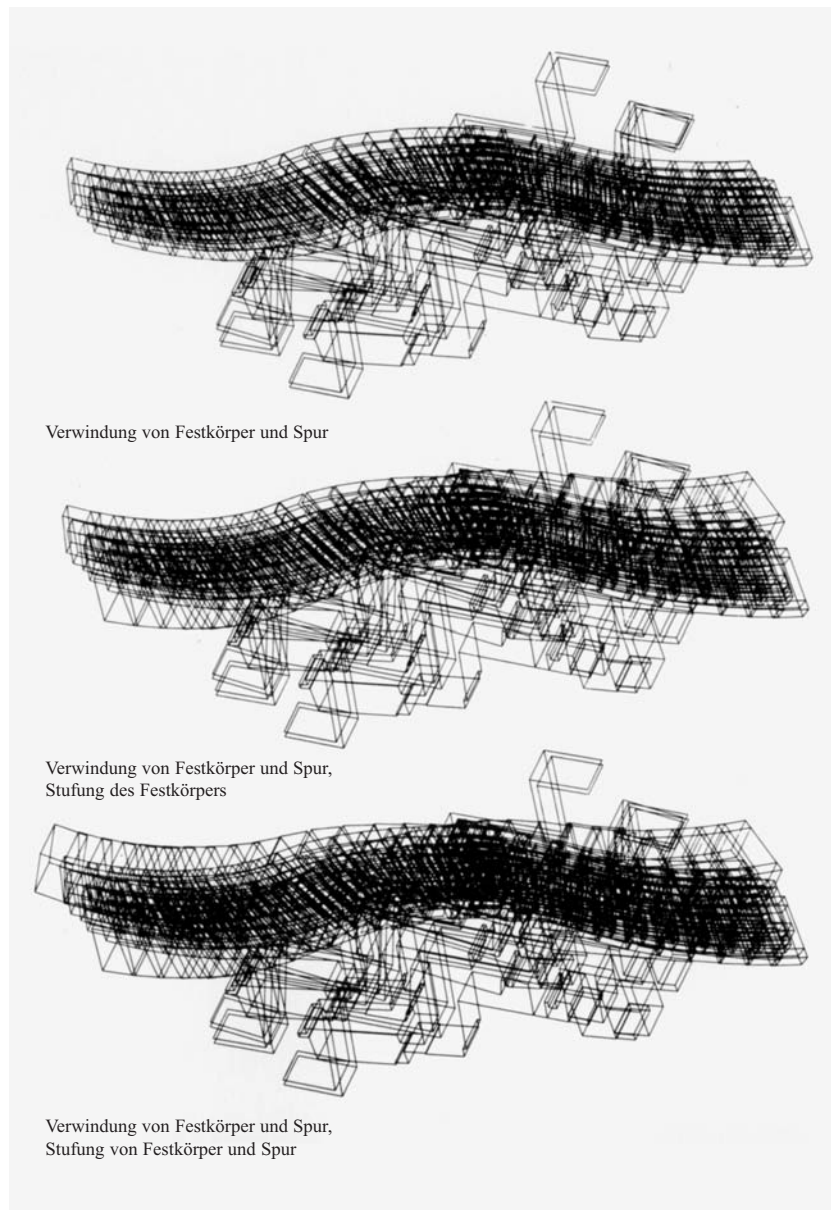


Abb. 80: Peter Eisenman, Aronoff Center for Design and Art, University of Cincinnati/Ohio, USA, 1988–96. Axonometrische Konzeptdiagramme mit Drahtgittermodellen der Zickzack- und Kurvenfiguren.

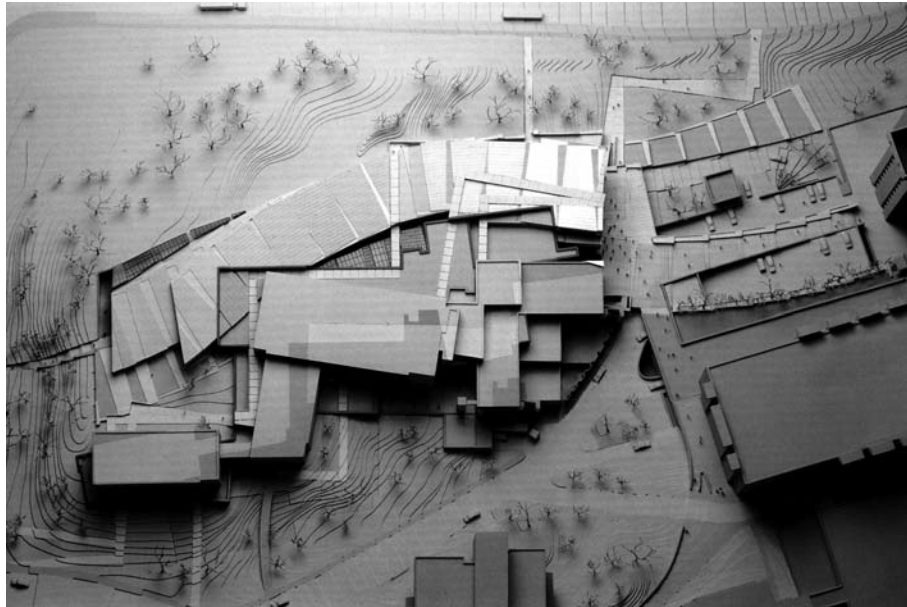


Abb. 81: Peter Eisenman, Aronoff Center for Design and Art, University of Cincinnati/Ohio, USA, 1988–96. Präsentationsmodell mit Umgebung, Aufsicht, Fotografie.
Abb. 82: Präsentationsmodell mit Umgebung, Westseite, Fotografie.

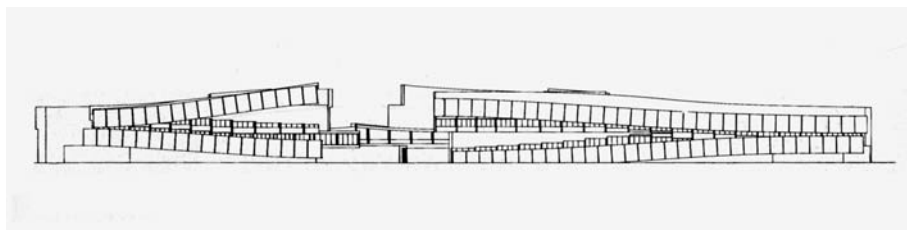
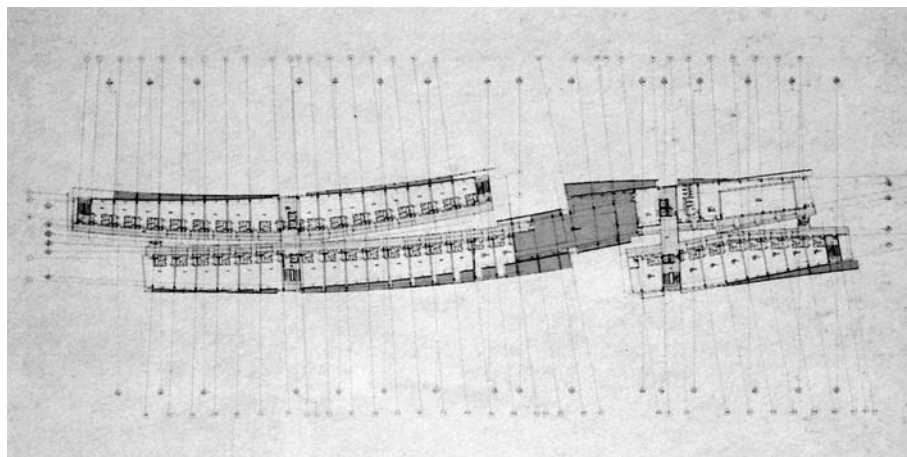


Abb. 83: Peter Eisenman, Banyoles Olympic Hotel, Banyoles, Spanien, Entwurf 1989. Lageplanmodell, Fotografie.

Abb. 84: Grundriss des vierten Geschosses.

Abb. 85: Nordseite, schematische Ansicht.

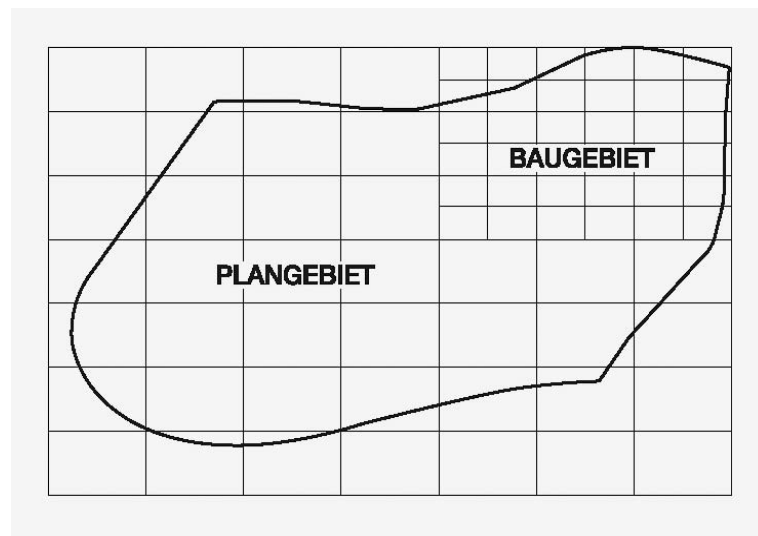


Abb. 86: Peter Eisenman, Masterplan Rebstockpark, Frankfurt am Main, Deutschland, Entwurf 1990–92. Lageplan des Zustandes von 1990 mit blau markiertem Wettbewerbsgelände.
Abb. 87: Konzeptdiagramm mit Plangebietsumriss, Anordnung des großen und kleinen Rasternetzes.

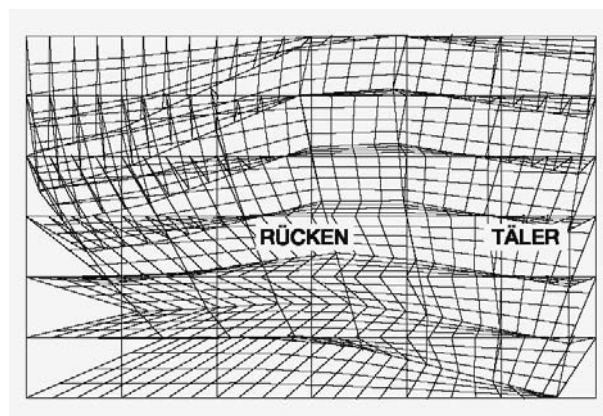
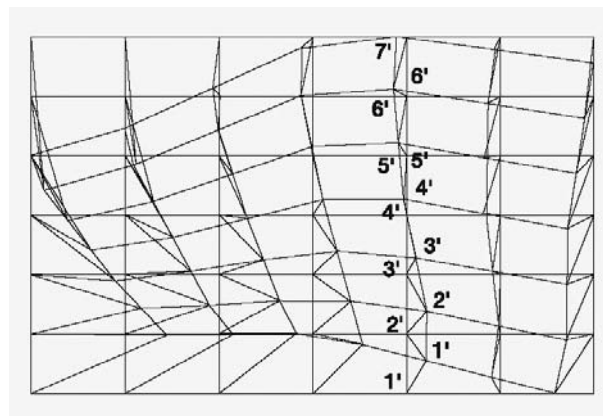
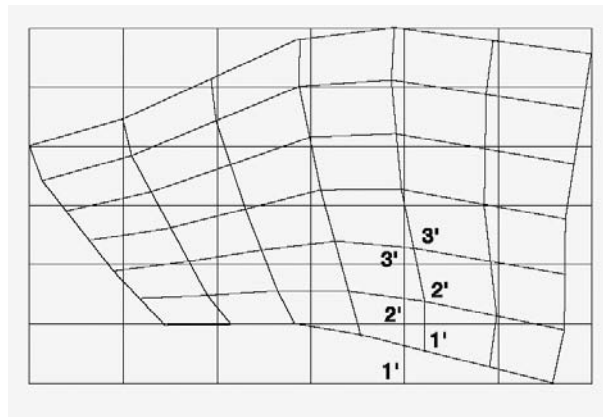


Abb. 88: Peter Eisenman, Masterplan Rebstockpark, Frankfurt am Main, Deutschland, Entwurf 1990–92. Konzeptdiagramm, Projektion des Rasters auf den Baugebietsumriss.

Abb. 89: Konzeptdiagramm, Verbindung der Punkte mit den Bildpunkten.

Abb. 90: Konzeptdiagramm mit durchgehendem, dreidimensionalen Netz als Endergebnis.

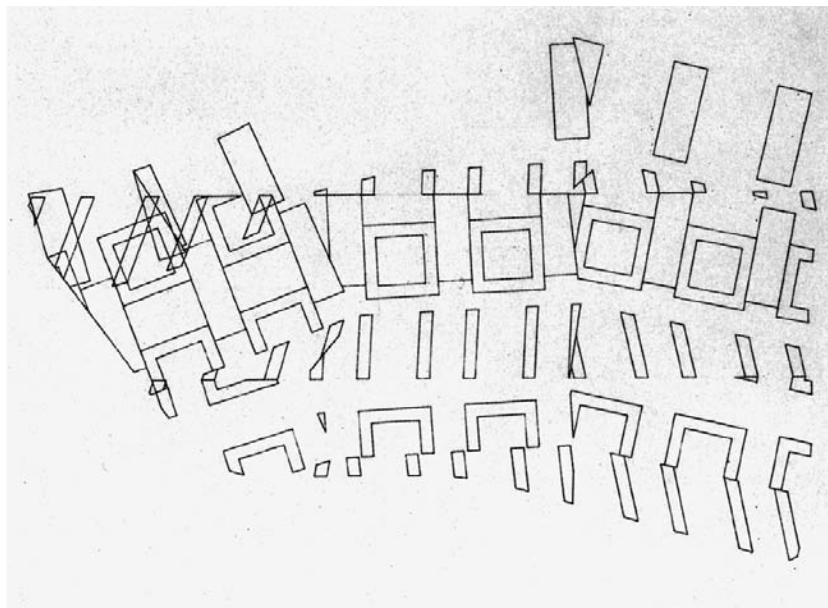
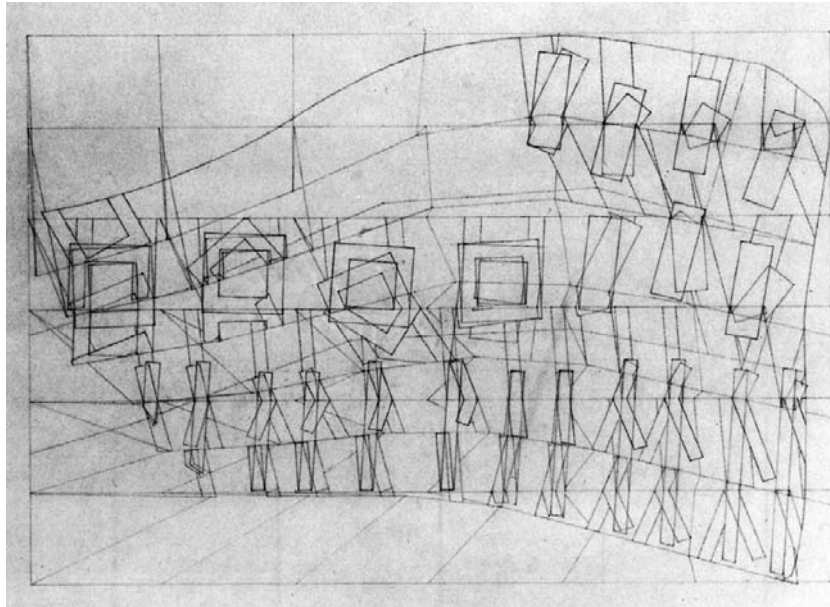


Abb. 91: Peter Eisenman, Masterplan Rebstockpark, Frankfurt am Main, Deutschland, Entwurf 1990–92. Studie der Gebäudetypologien, gefaltet durch ein in Ost-West-Richtung verlaufendes Netz, Aufsicht, Zeichnung.

Abb. 92: Studie der Gebäudetypologien, unterteilt durch die großen, das Wettbewerbsgrundstück durchziehenden Falten des Parks, Aufsicht, Zeichnung.

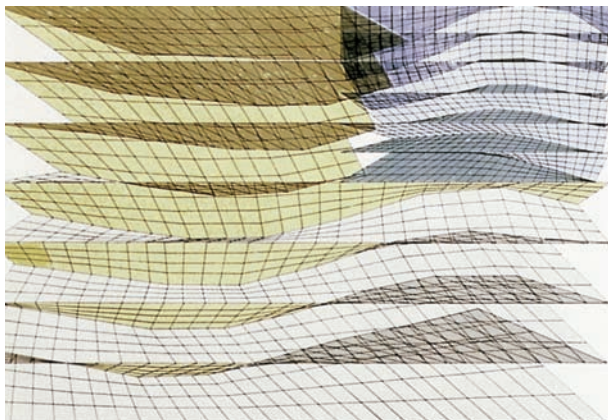
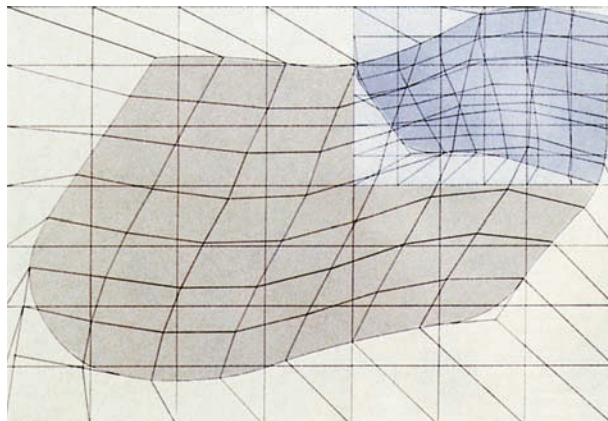
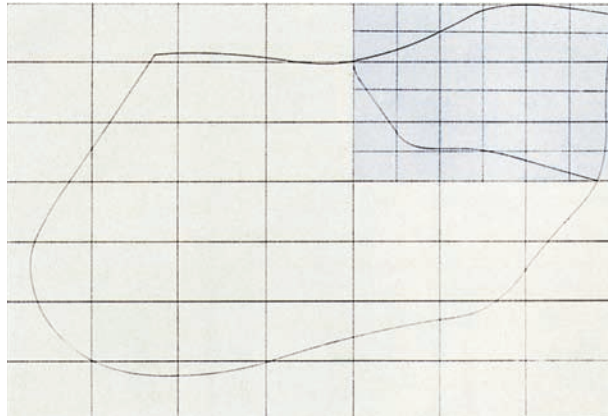


Abb. 93: Peter Eisenman, Masterplan Rebstockpark, Frankfurt am Main, Deutschland, Entwurf 1990–92. Konzeptdiagramm, Plan- und Baugebietsumriss (blau), Anordnung eines orthogonalen Rasters aus sieben mal sieben Feldern und Unterteilung des Baugebiets durch sieben Linien in sechs mal sechs Felder.

Abb. 94: Projektion der Raster auf Plan- und Baugebietsumriss sowie Rückverbindung der Punkte des verformten Rasters mit den Punkten des ursprünglichen orthogonalen Rasters.

Abb. 95: Entwicklung eines durchgehenden, dreidimensional gefalteten Netzes.

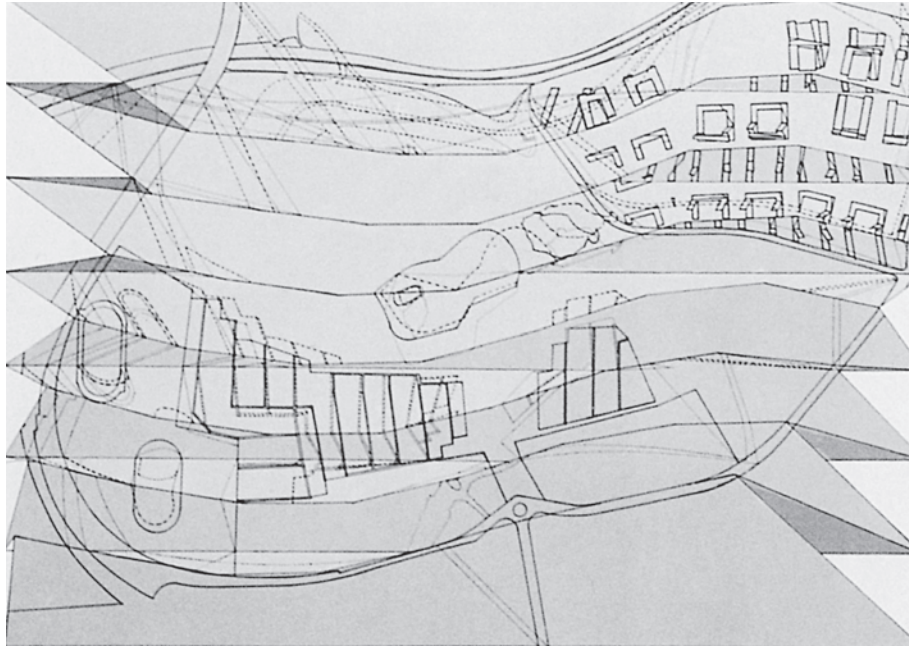


Abb. 96: Peter Eisenman, Masterplan Rebstockpark, Frankfurt am Main, Deutschland, Entwurf 1990–92. Konzeptdiagramm des großen Parknetzes.

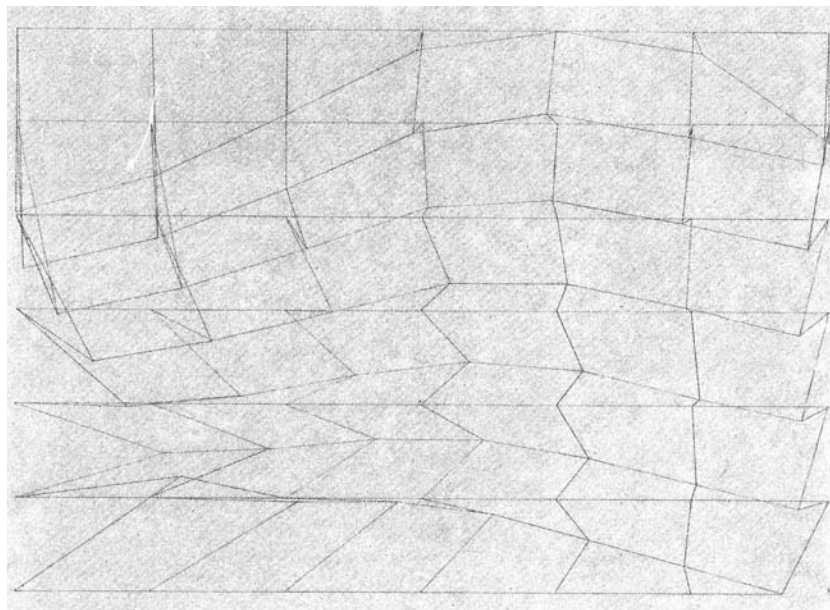
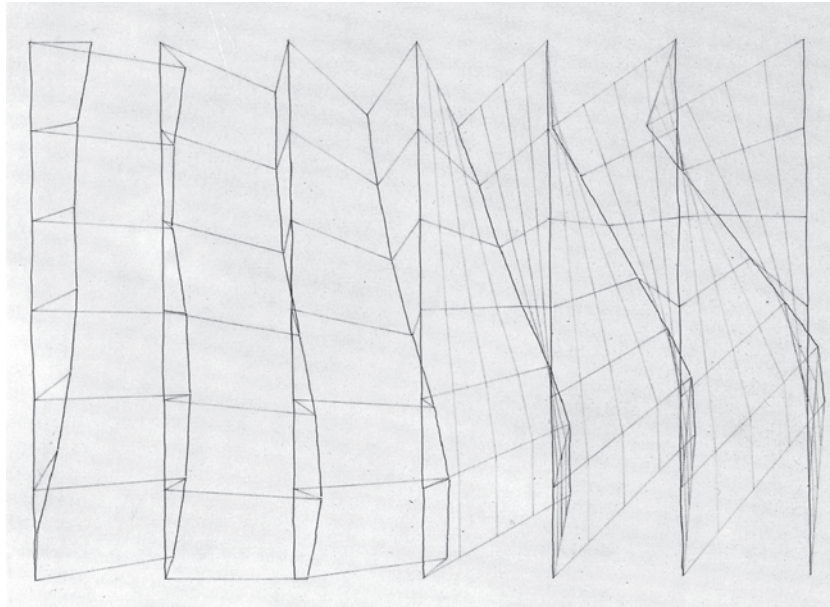


Abb. 97: Peter Eisenman, Masterplan Rebstockpark, Frankfurt am Main, Deutschland, Entwurf 1990–92. Studie der in Nord-Süd-Richtung verlaufenden Falten, Aufsicht, Zeichnung.
Abb. 98: Studie der in Ost-West-Richtung verlaufenden Falten, Aufsicht, Zeichnung.

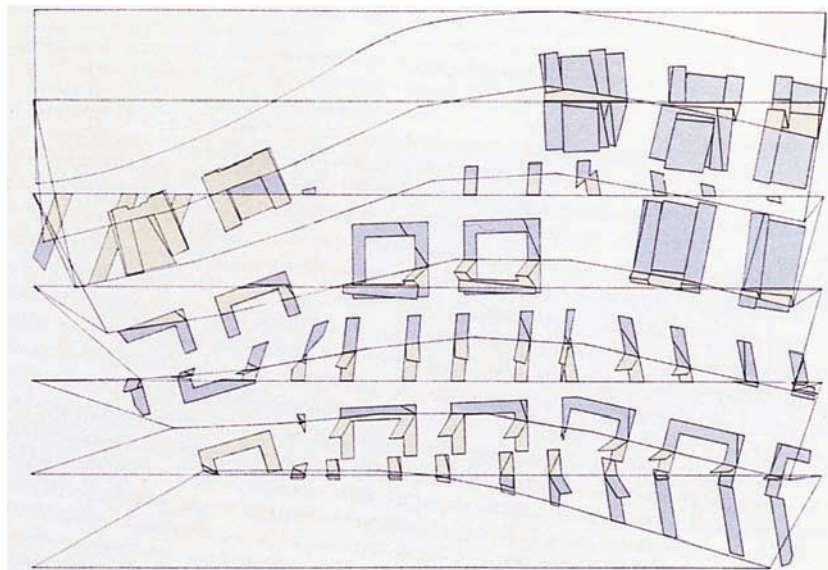
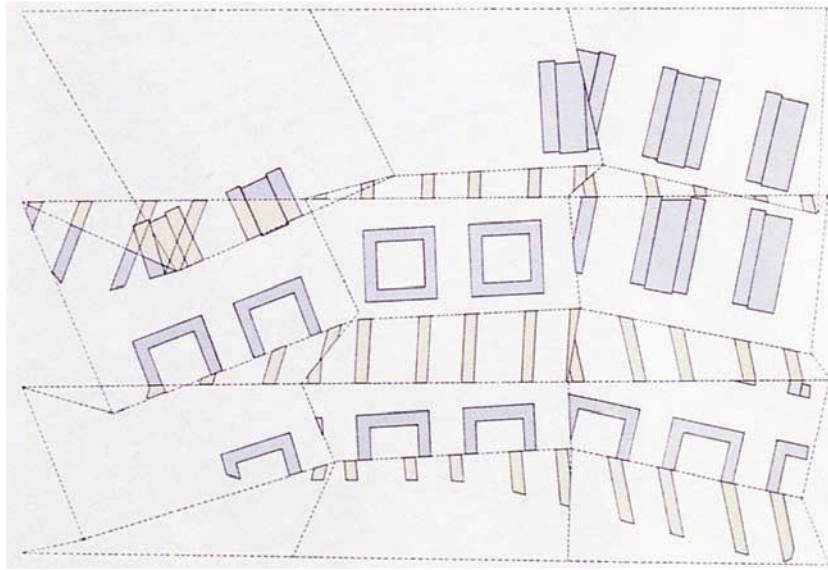


Abb. 99: Peter Eisenman, Masterplan Rebstockpark, Frankfurt am Main, Deutschland, Entwurf 1990–92. Konzeptdiagramm, Positionierung der typologischen Figuren, unterteilt durch die großen Parkfalten, Zeichnung.

Abb. 100: Konzeptdiagramm, endgültige Faltung der Gebäudetypologien durch die in Ost-West-Richtung verlaufenden Netze der kleinen Faltung, Zeichnung.



Abb. 101: Peter Eisenman, Masterplan Rebstockpark, Frankfurt am Main, Deutschland, Entwurf 1990–92. Wettbewerbsmodell, Aufsicht, Fotografie.

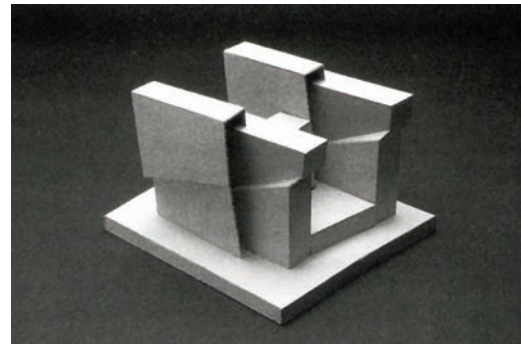
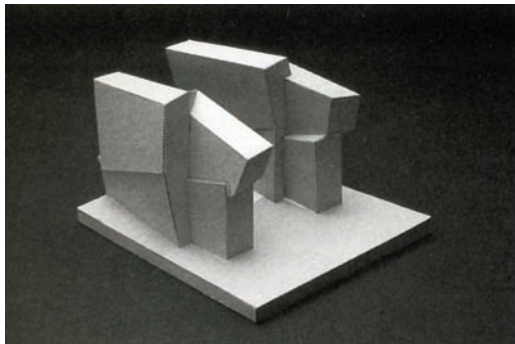
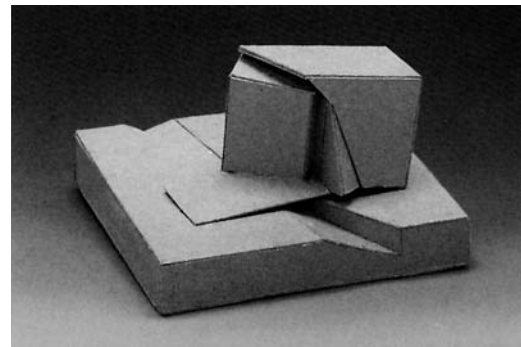
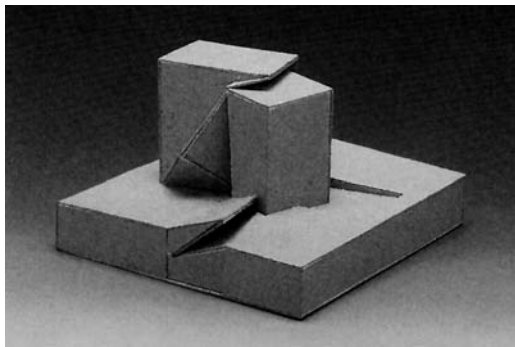
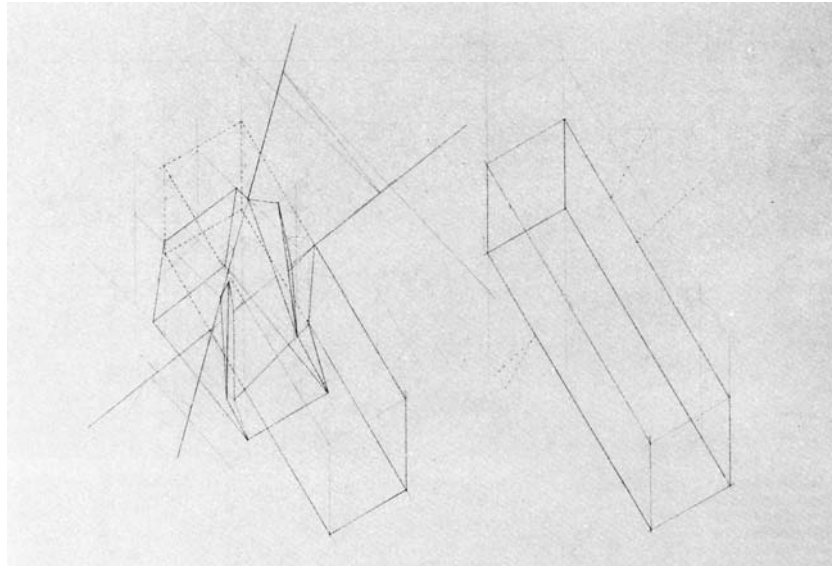


Abb. 102: Peter Eisenman, Masterplan Rebstockpark, Frankfurt am Main, Deutschland, Entwurf 1990–92. Axonometrisches Diagramm der volumetrischen Faltung.

Abb. 103: Studienmodelle eines nach dem Rasternetz gefalteten Gewerbeblocks, Fotografien.

Abb. 104: Studienmodelle der gefalteten Doppel- und Zwillingsbauten, Fotografien.

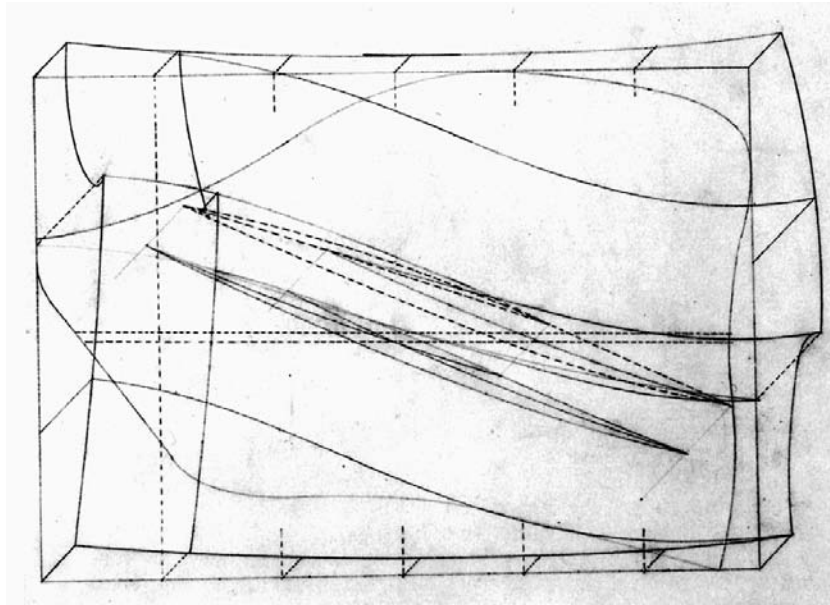
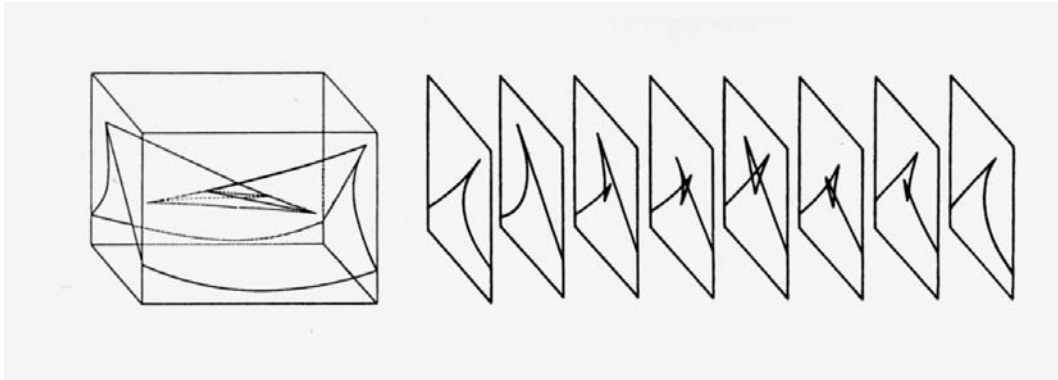


Abb. 105: Peter Eisenman, Masterplan Rebstockpark, Frankfurt am Main, Deutschland, Entwurf 1990–92. Modell und Schnittzeichnungen der Schmetterlingskatastrophe nach René Thom, Axonometrie (Ausschnitt).

Abb. 106: Dreidimensionales Diagramm eines Katastrophenereignisses, Axonometrie.

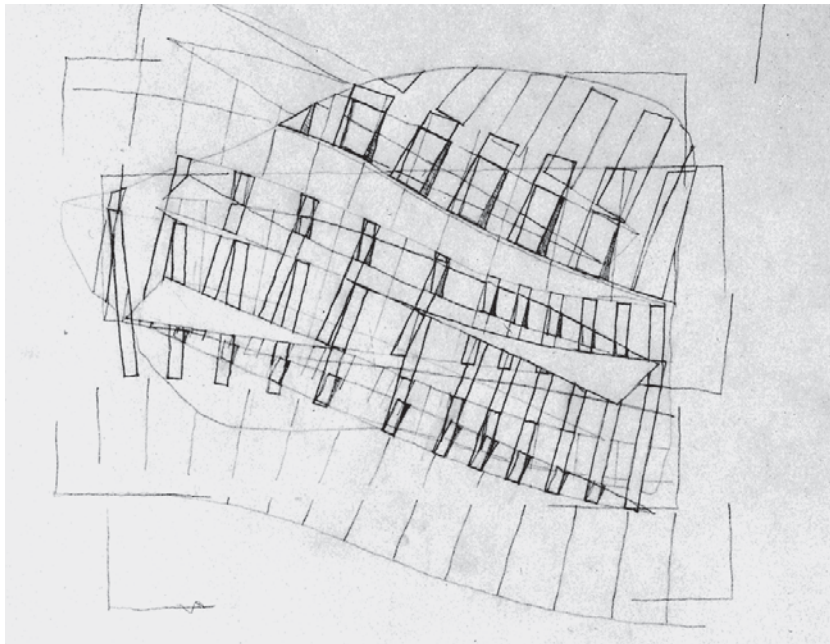
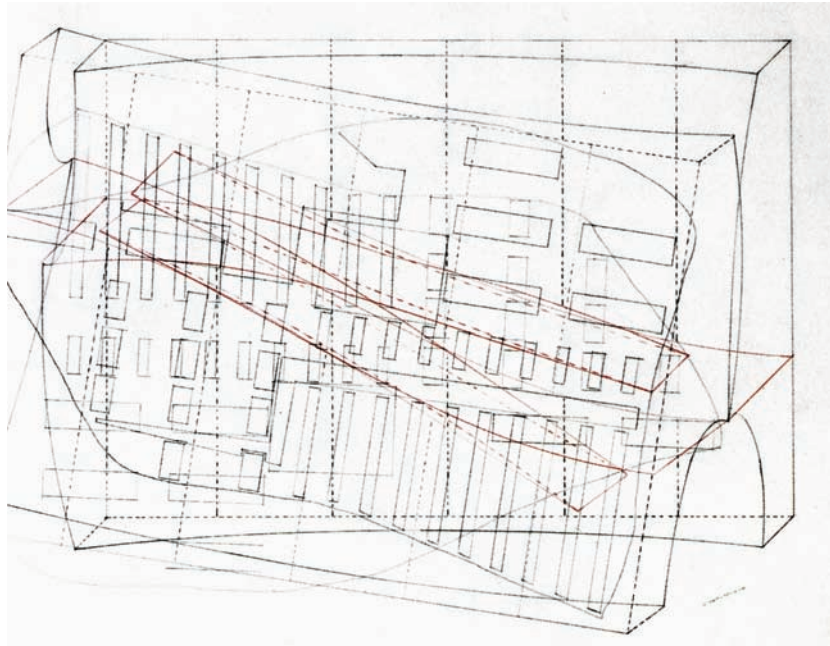


Abb. 107: Peter Eisenman, Masterplan Rebstockpark, Frankfurt am Main, Deutschland, Entwurf 1990–92. Studie der typologischen Einheiten, transformiert durch Wiederholungen des Ereignisdiagramms, Grundriss und Axonometrie.

Abb. 108: Studie der typologischen Einheiten, transformiert durch Wiederholungen des Ereignisdiagramms, Grundriss.

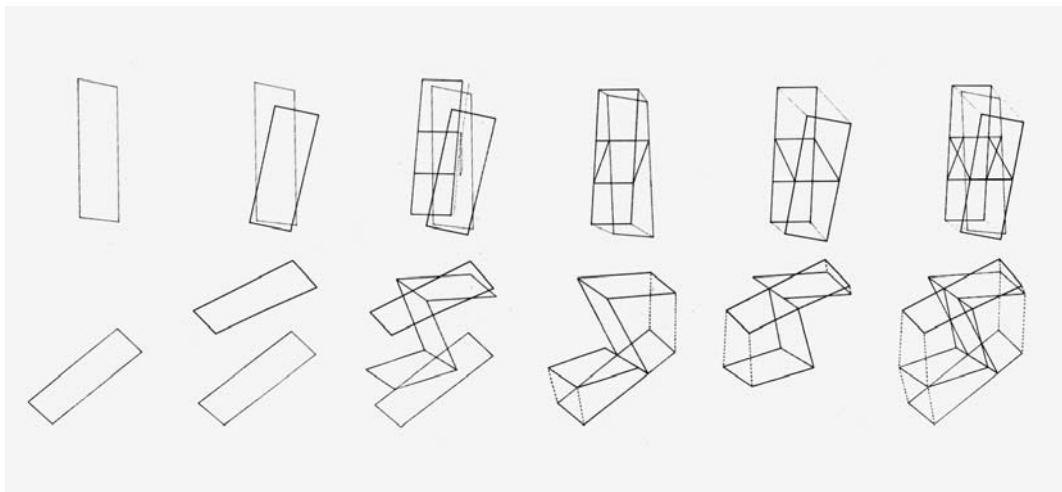
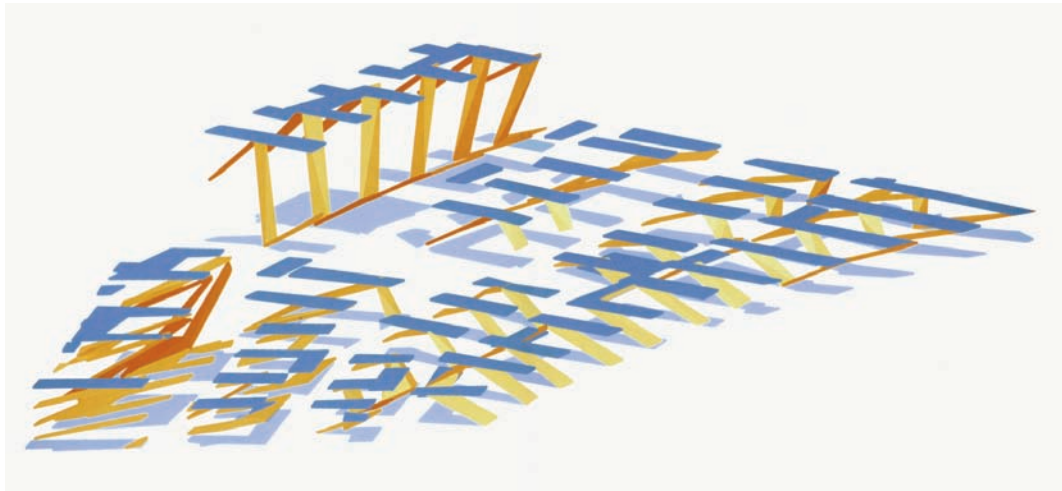


Abb. 109: Peter Eisenman, Masterplan Rebstockpark, Frankfurt am Main, Deutschland, Entwurf 1990–92. Verfaltungsstudie, Perspektive, Computerrendering.
Abb. 110: Verfaltungsdiagramme, Axonometrien, Computerzeichnungen.

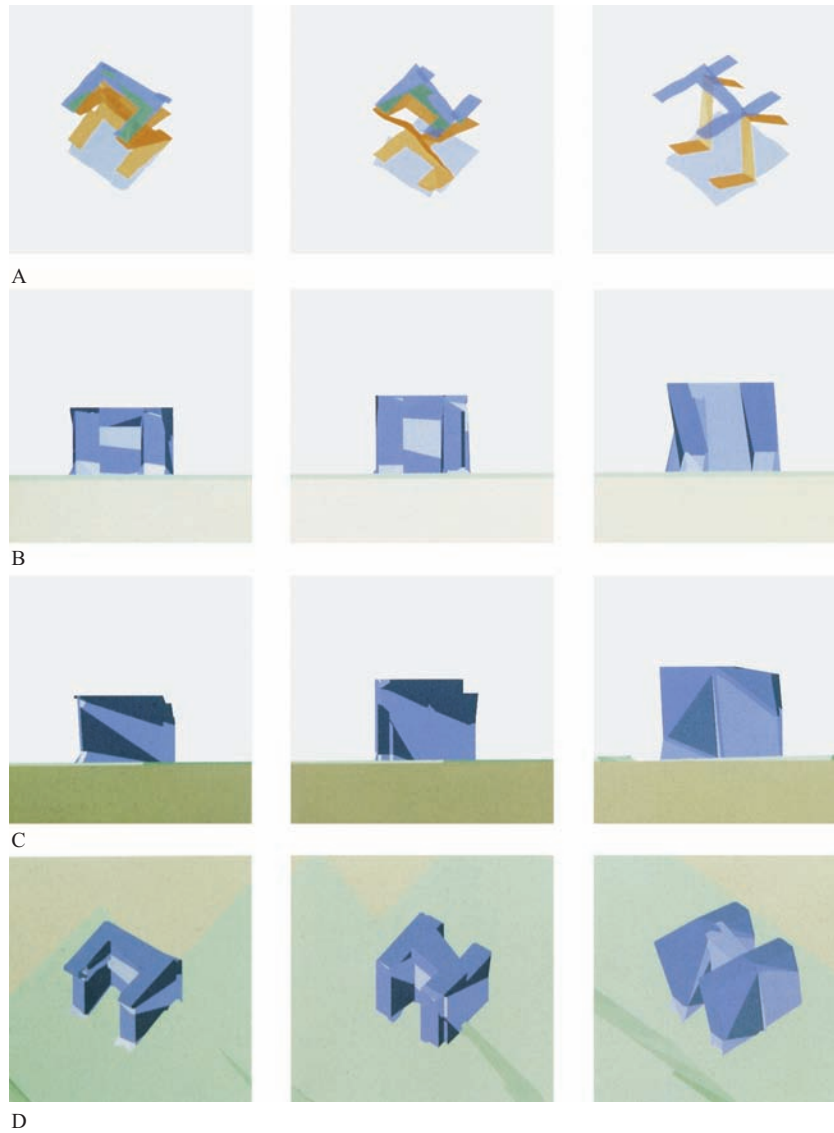


Abb. 111: Peter Eisenman, Masterplan Rebstockpark, Frankfurt am Main, Deutschland, Entwurf 1990–92. Überarbeitete Gebäudetypologien, Faltungsdigramme (A), Ansichten (B und C) und Axonometrien (D), Computerrenderings.



Abb. 112: Peter Eisenman, Masterplan Rebstockpark, Frankfurt am Main, Deutschland, Entwurf 1990–92. Perspektivische Ansicht der Häuserblocks, Computerrendering (Ausschnitt).
Abb. 113: Detail, perspektivische Ansicht von Süden auf die Büroblocks, Computerrendering.

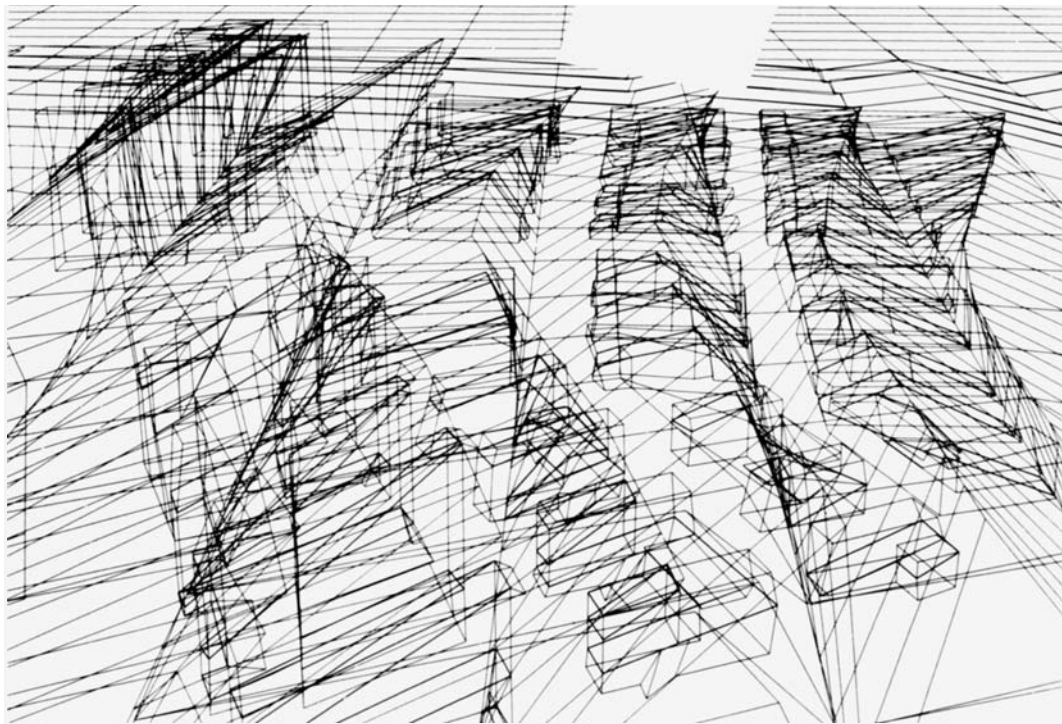


Abb. 114: Peter Eisenman, Masterplan Rebstockpark, Frankfurt am Main, Deutschland, Entwurf 1990–92. Drahtgittermodell des gefalteten Rasters und der Gebäudekubaturen, Axonometrie, Computerzeichnung.

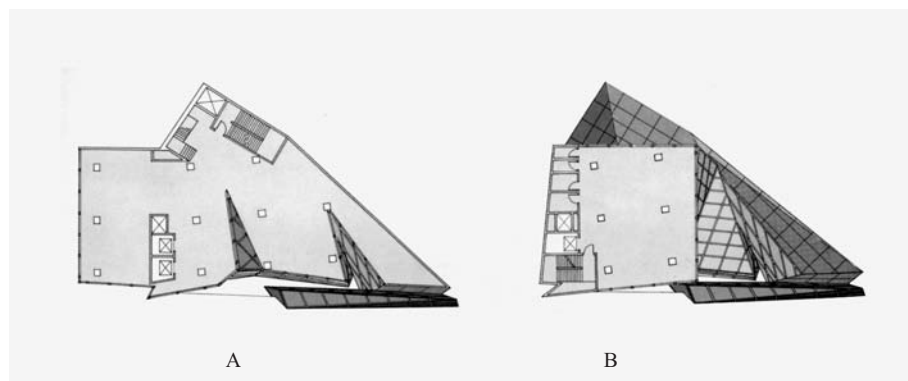
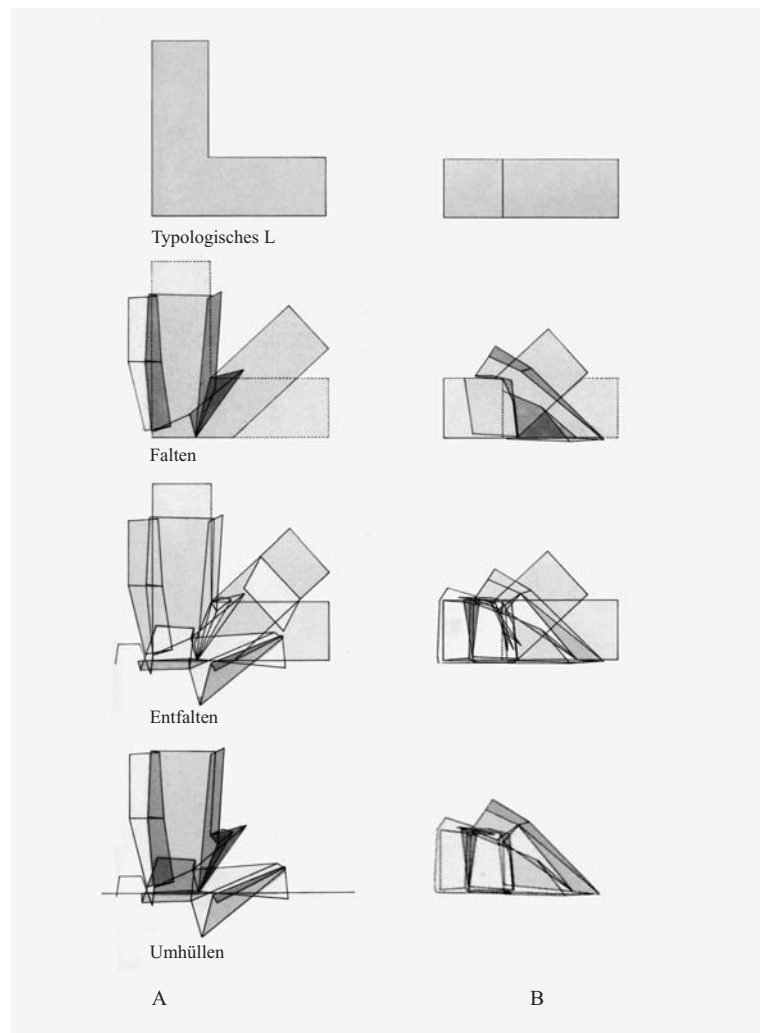


Abb. 115: Peter Eisenman, Alteka Office Building, Tokio, Japan, Entwurf 1991. Konzeptdiagramme: Faltung des Aufrisses (A) und des Grundrisses (B) aus L-Figur.
 Abb. 116: Grundriss des zweiten Geschosses (A) und der Geschosse acht bis zehn (B).

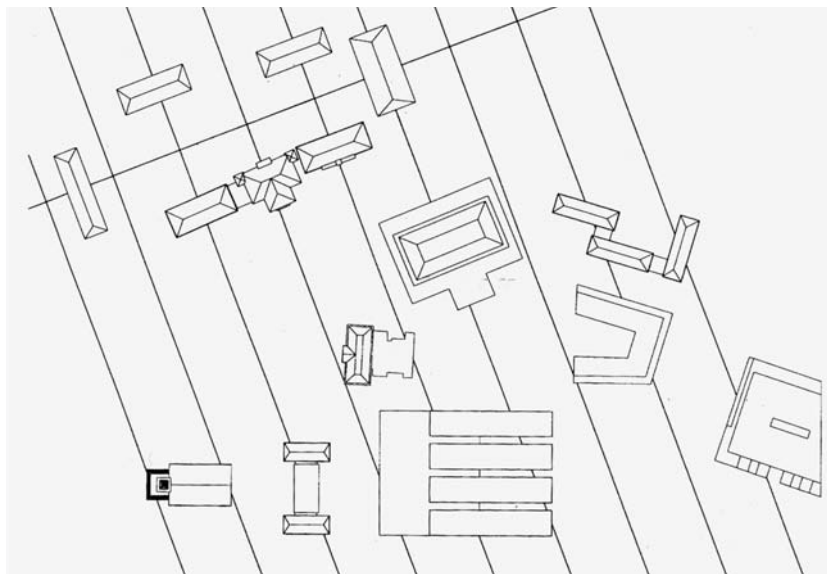
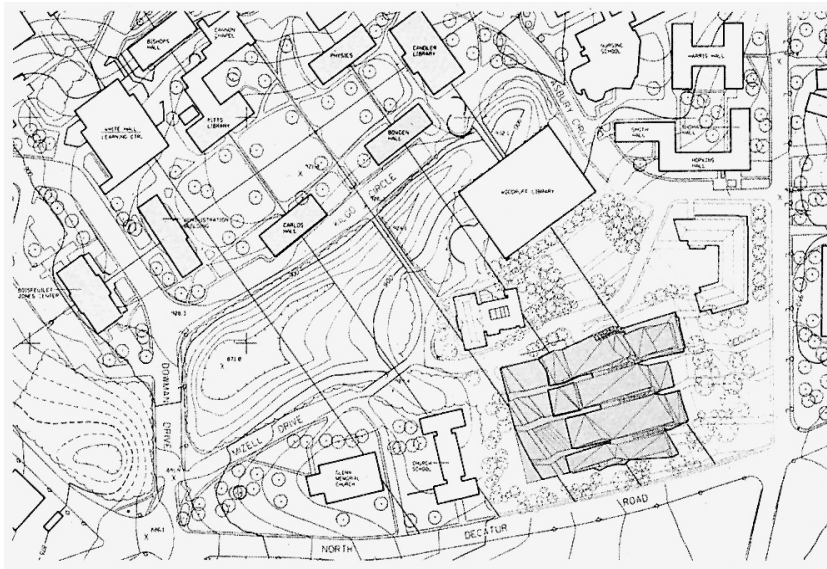


Abb. 117: Peter Eisenman, Emory University Center for the Arts, Atlanta/Georgia, USA, Entwurf 1991. Lageplan.

Abb. 118: Konzeptdiagramm des Campusrasters mit Grundrisskonturen der bestehenden Gebäude und des Neubaus.

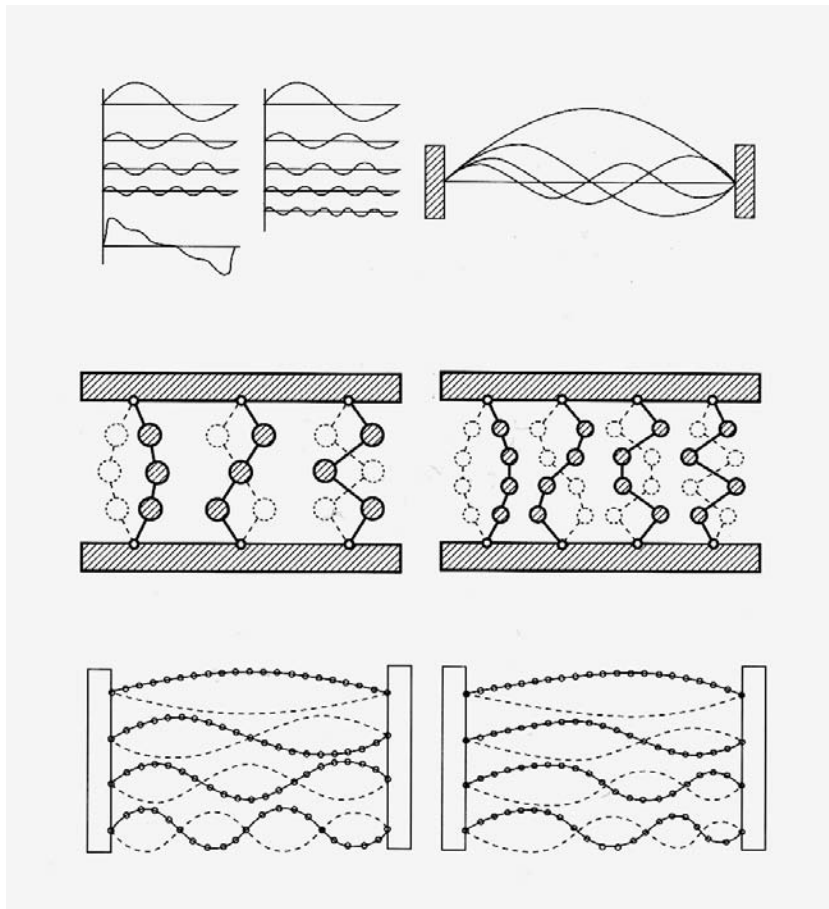


Abb. 119: Peter Eisenman, Emory University Center for the Arts, Atlanta/Georgia, USA, Entwurf 1991. Konzeptdiagramm der Tonschwingungskurven in der Harmonielehre.

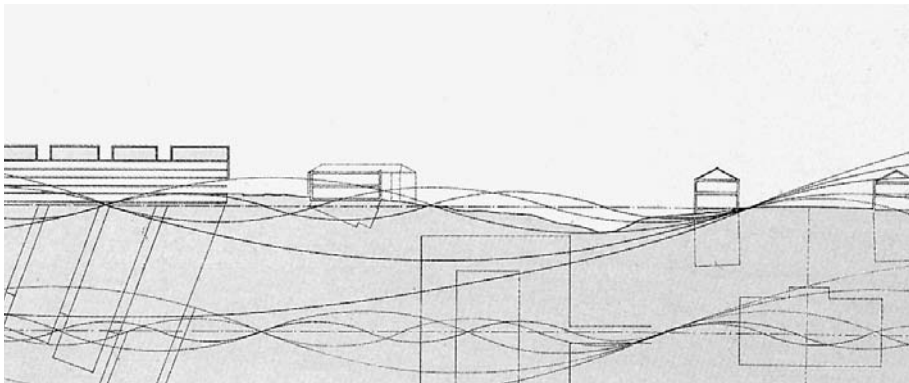
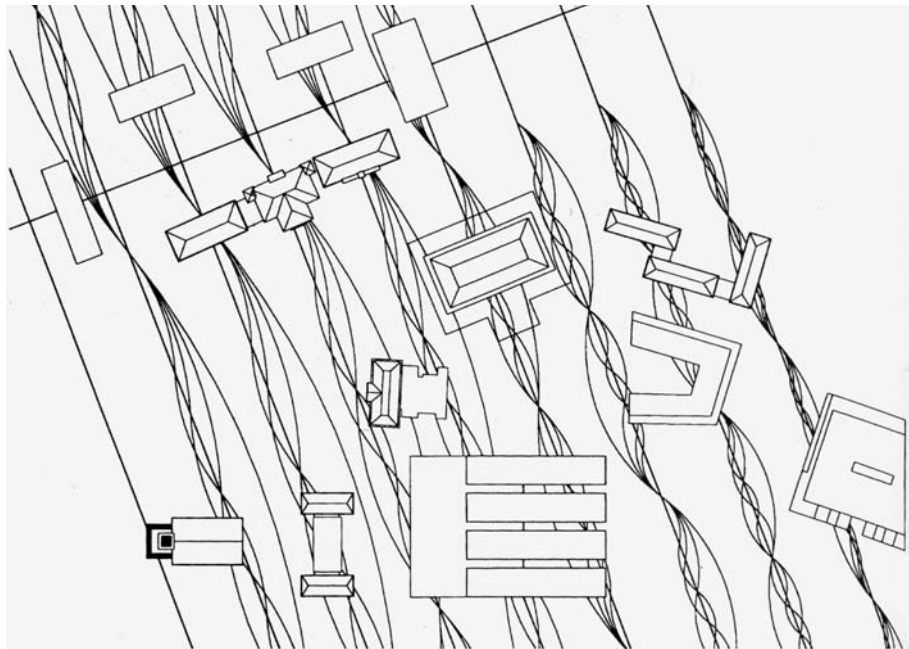


Abb. 120: Peter Eisenman, Emory University Center for the Arts, Atlanta/Georgia, USA, Entwurf 1991. Konzeptdiagramm des überformten Campusrasters.
Abb. 121: Topographic Harmonics, Konzeptdiagramm des überformten Geländeschnitts.

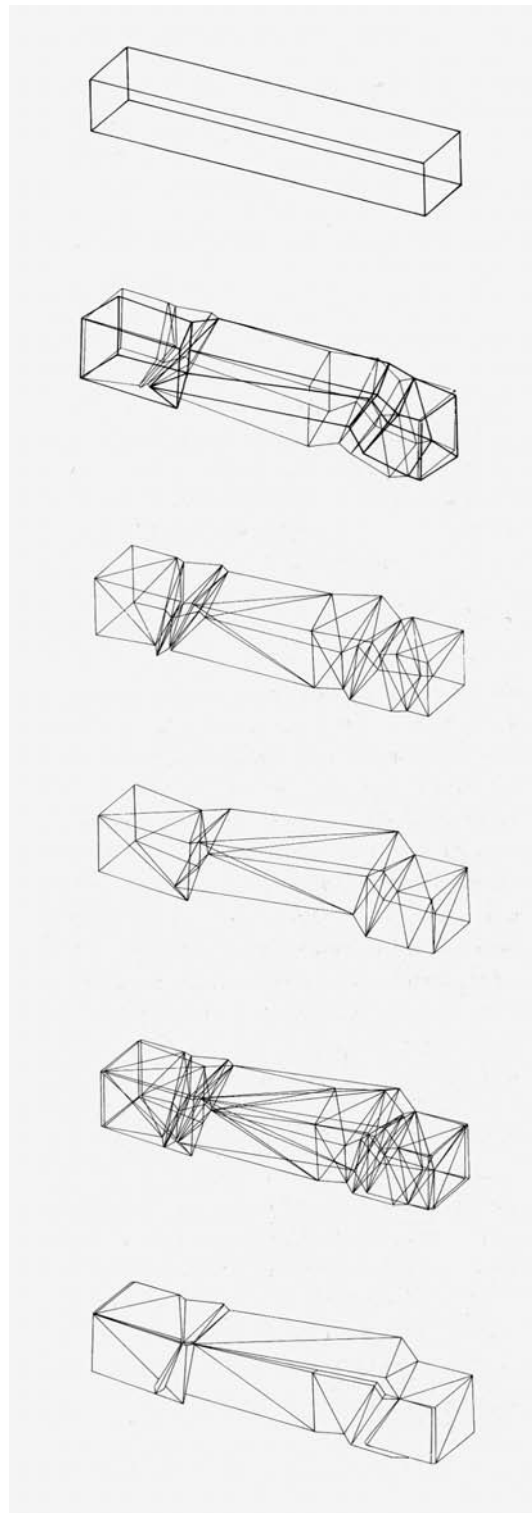


Abb. 122: Peter Eisenman, Emory University Center for the Arts, Atlanta/Georgia, USA. Entwurf 1991. Konzeptdiagramme der volumetrischen Faltung.

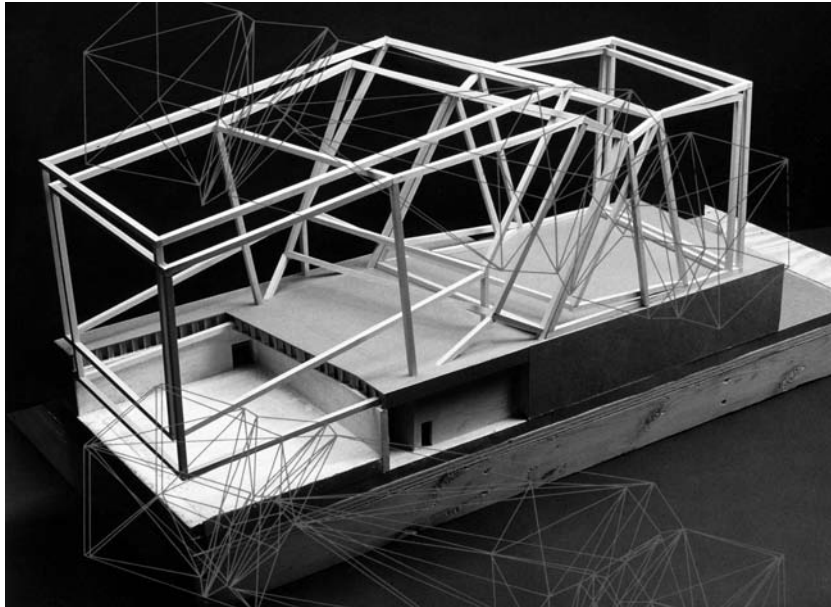


Abb. 123: Peter Eisenman, Emory University Center for the Arts, Atlanta/Georgia, USA. Entwurf 1991. Konstruktives Studienmodell, Fotografie (überlagert mit Konzeptdiagrammen der volumetrischen Faltung).

Abb. 124: Präsentationsmodell mit Umgebung, Südostseite, Fotografie.

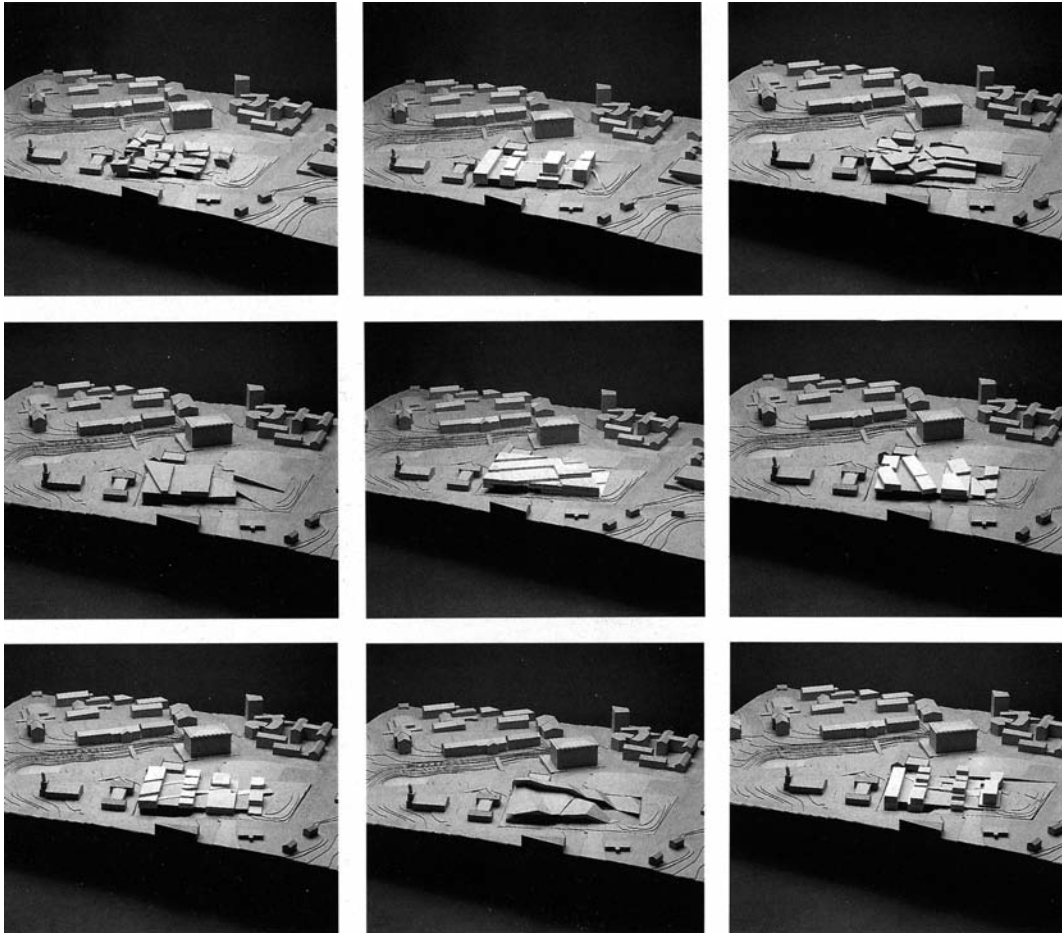


Abb. 125: Peter Eisenman, Emory University Center for the Arts, Atlanta/Georgia, USA. Entwurf 1991. Studienmodelle städtebaulicher Entwurfslösungen, Fotografien.

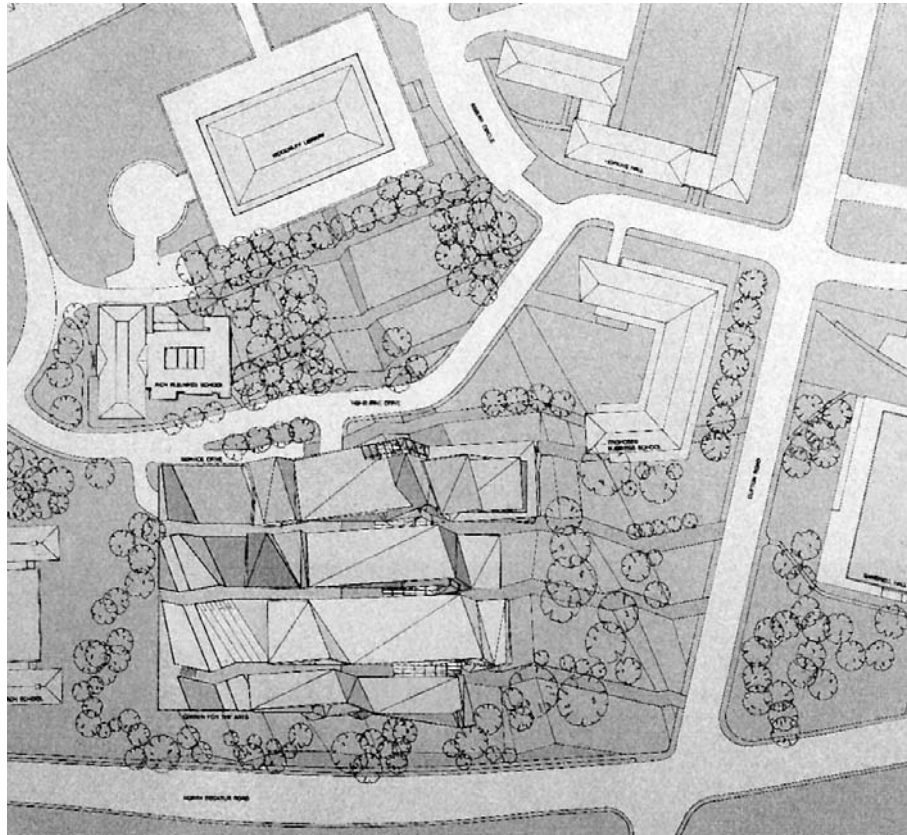


Abb. 126: Peter Eisenman, Emory University Center for the Arts, Atlanta/Georgia, USA. Entwurf 1991. Lageplan.



Abb. 127: Peter Eisenman, Greater Columbus Convention Center, Columbus/Ohio, USA, 1990–93. Nordostseite, Luftfotografie (Ausschnitt).

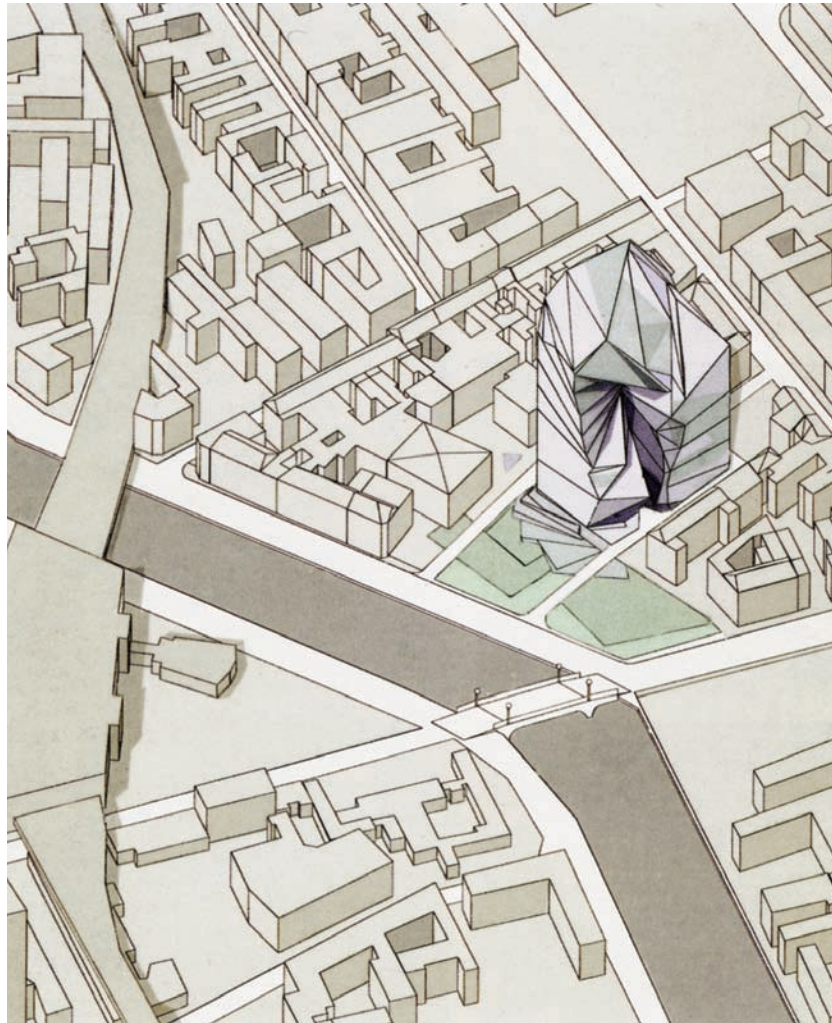


Abb. 128: Peter Eisenman, Max-Reinhardt-Haus, Berlin, Deutschland, Entwurf 1992. Baukörper mit Umgebung, Axonometrie.

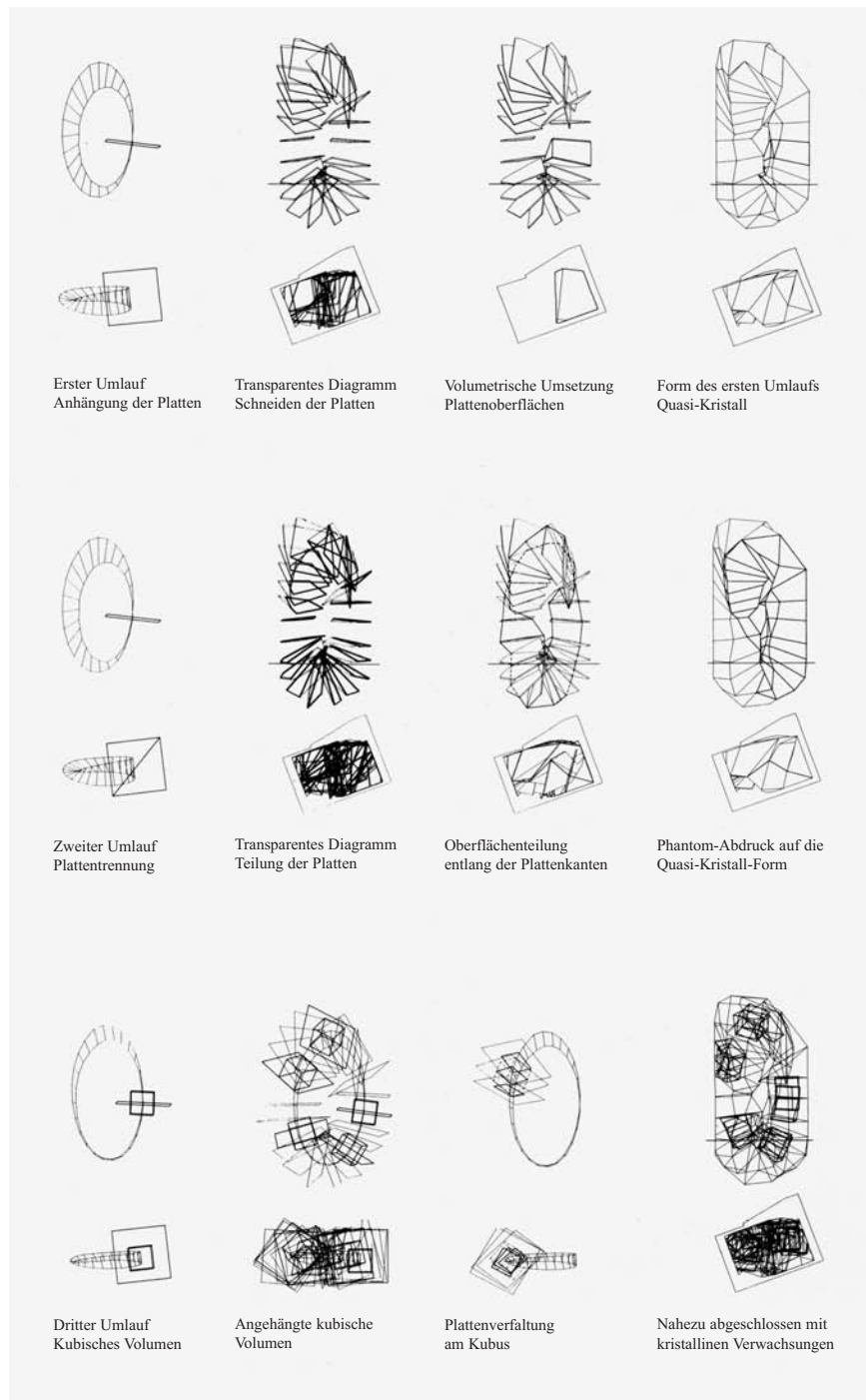


Abb. 129: Peter Eisenman, Max-Reinhardt-Haus, Berlin, Deutschland, Entwurf 1992. Konzeptdiagramme in drei Reihen mit jeweils An- und Aufsichten des 3D-Modells.

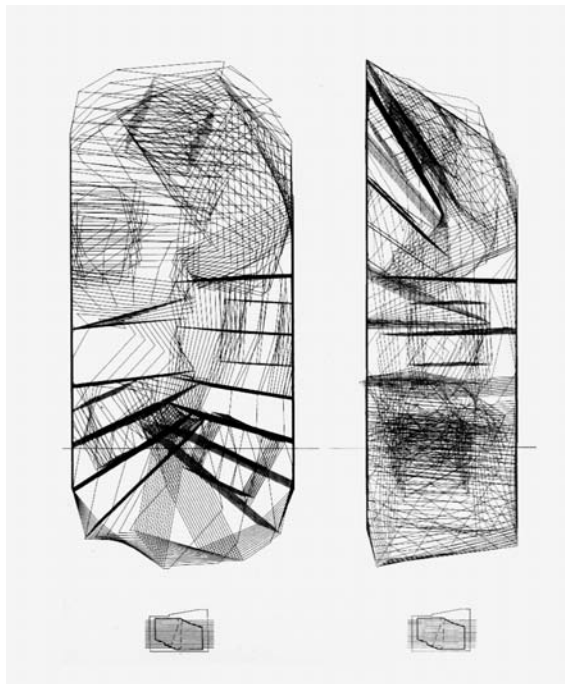
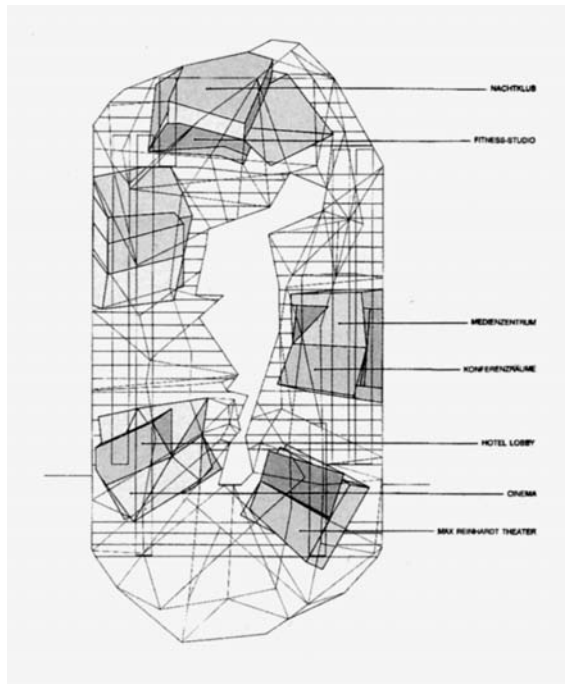


Abb. 130: Peter Eisenman, Max-Reinhardt-Haus, Berlin, Deutschland, Entwurf 1992. Drahtgittermodell mit Publikumsräumen (grau markiert), Ansicht, Computerzeichnung.
 Abb. 131: Drahtgittermodell, Schnitte, Computerzeichnungen.



Abb. 132: Peter Eisenman, Max-Reinhardt-Haus, Berlin, Deutschland, Entwurf 1992. Präsentationsmodell mit Umgebung, Ostseite, Fotografie.

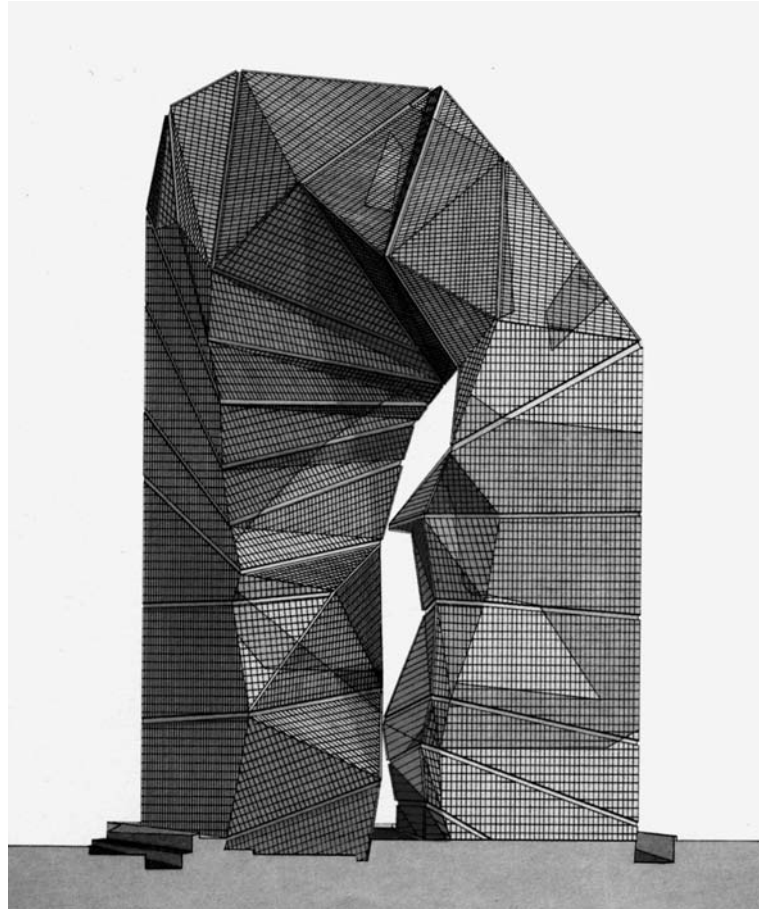


Abb. 133: Peter Eisenman, Max-Reinhardt-Haus, Berlin, Deutschland, Entwurf 1992. Ansicht der Ostseite.

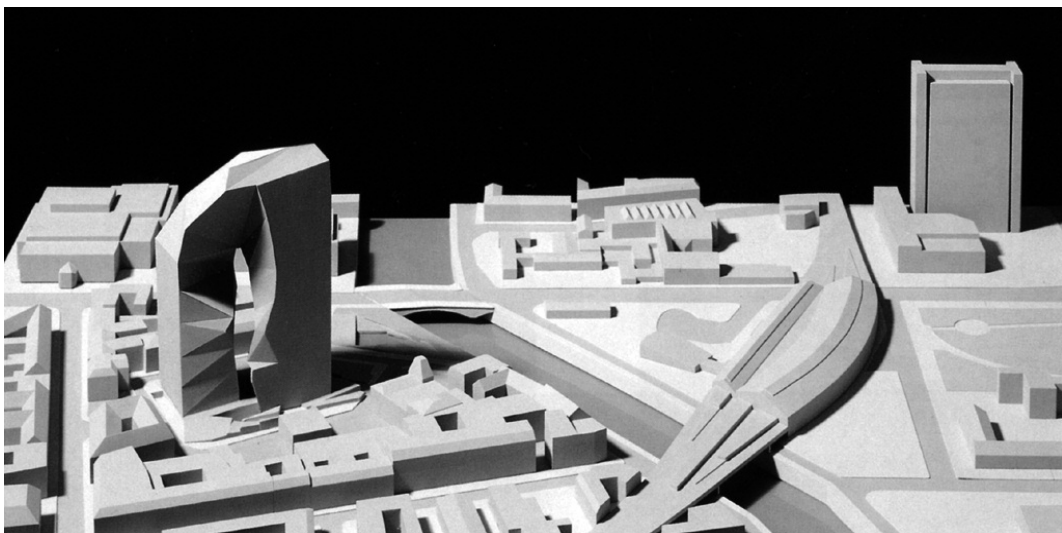
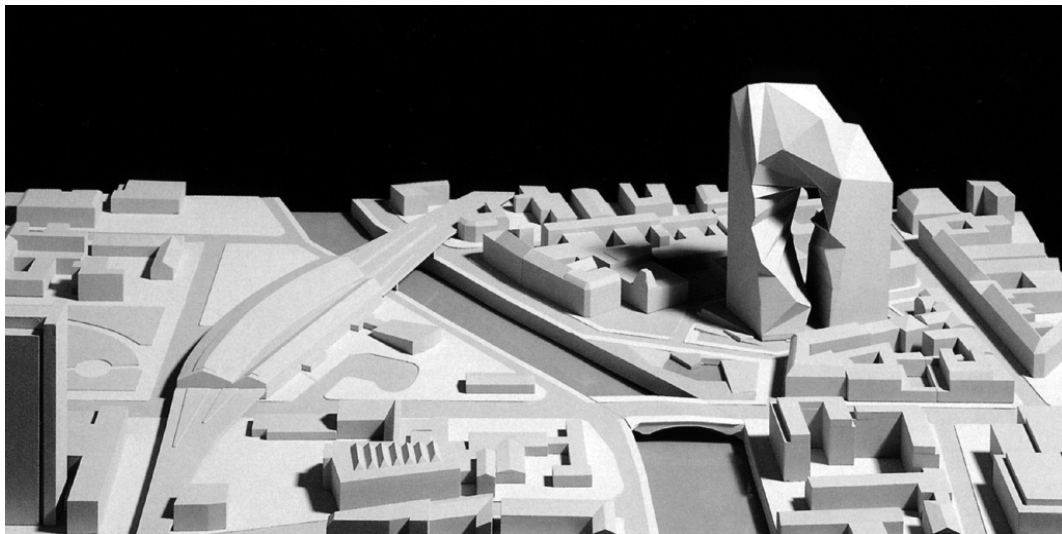


Abb. 134: Peter Eisenman, Max-Reinhardt-Haus, Berlin, Deutschland, Entwurf 1992. Lageplanmodell, Ostseite, Fotografie.
Abb. 135: Lageplanmodell, Westseite, Fotografie.

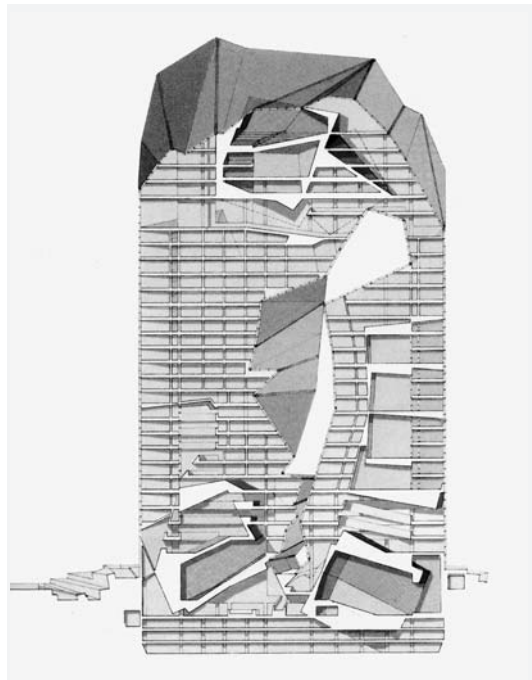
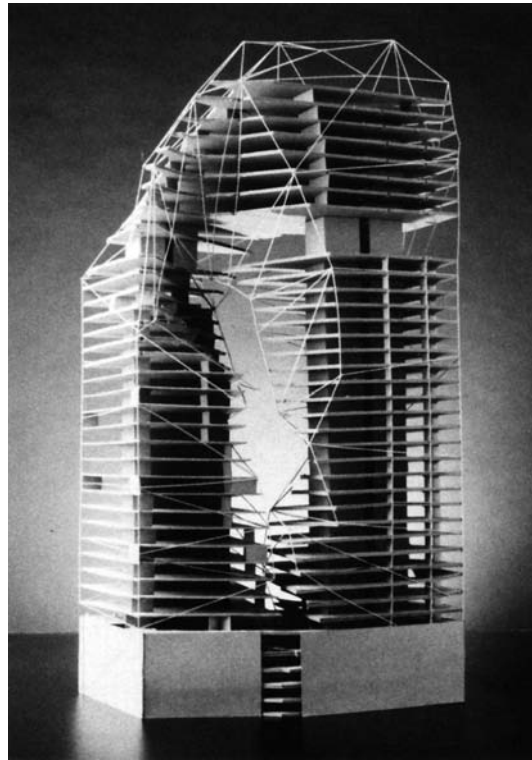


Abb. 136: Peter Eisenman, Max-Reinhardt-Haus, Berlin, Deutschland, Entwurf 1992. Konstruktives Studienmodell, Fotografie.
Abb. 137: Vertikalschnitt.

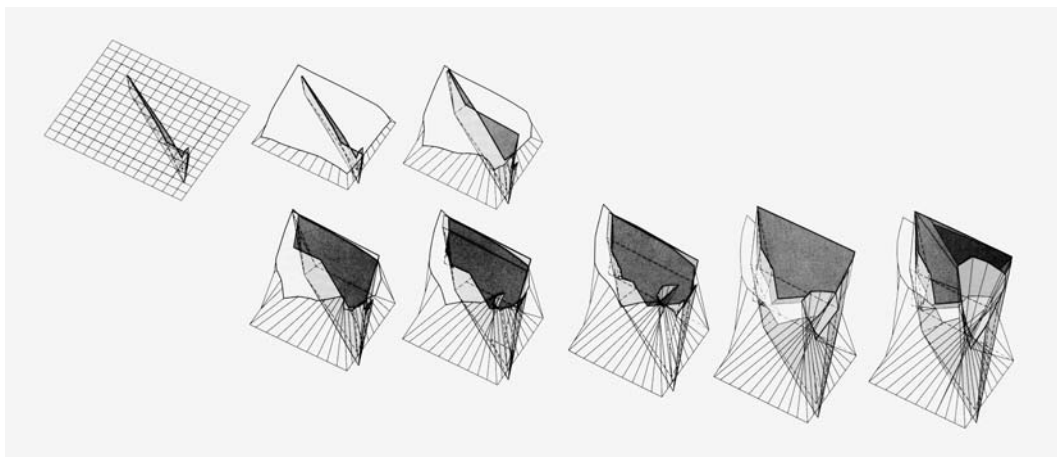
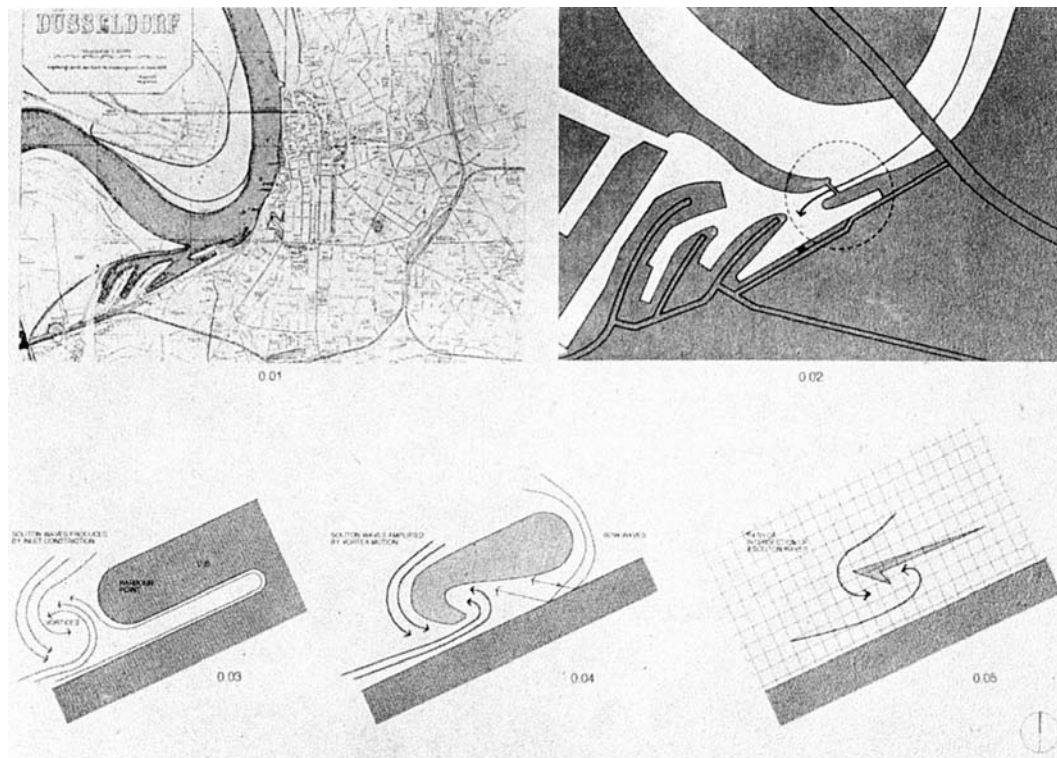


Abb. 138: Peter Eisenman, Haus Immendorff, Düsseldorf, Deutschland, Entwurf 1993. Plan von Düsseldorf (0.01), Lageplan (0.02), Konzeptdiagramme zur geometrischen Entwicklung des Baukörpers auf Grundlage von Hafengestalt und Solitonwellen (0.03 bis 0.05).
 Abb. 139: Diagrammatische Darstellung des Gebäudeaufbaus von unten nach oben, Axonometrien.

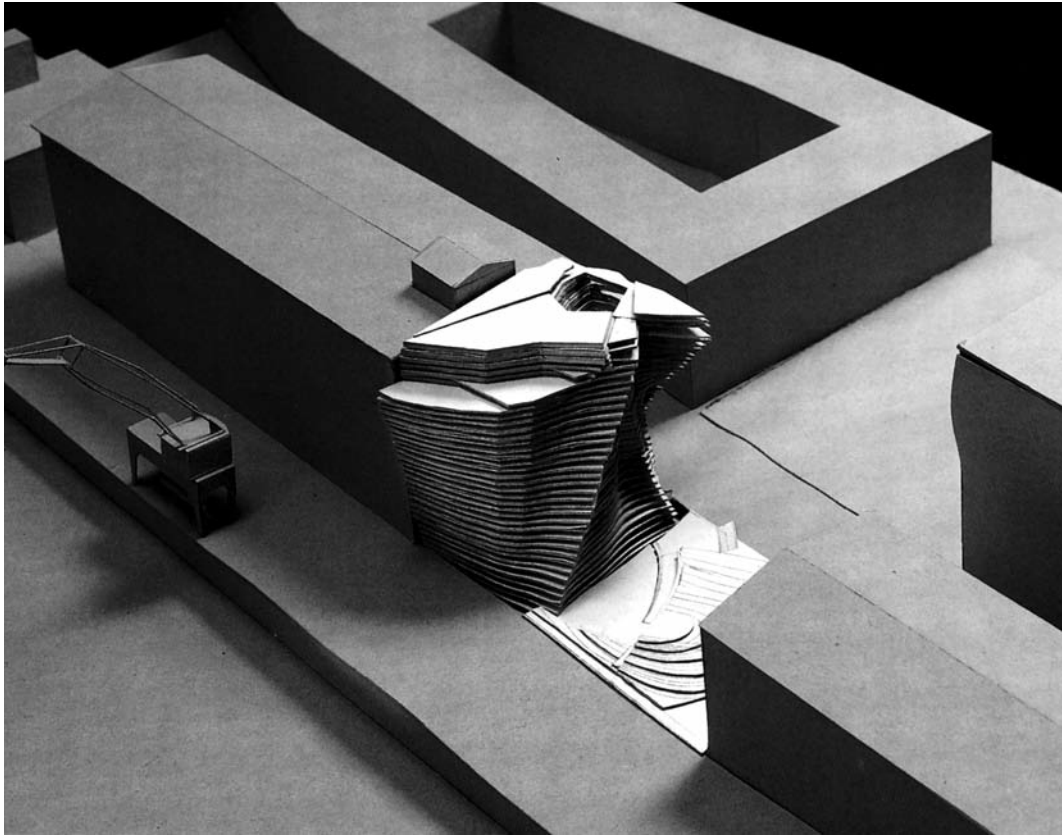


Abb. 140: Peter Eisenman, Haus Immendorff, Düsseldorf, Deutschland, Entwurf 1993. Lageplanmodell, Nordwestseite, Fotografie.

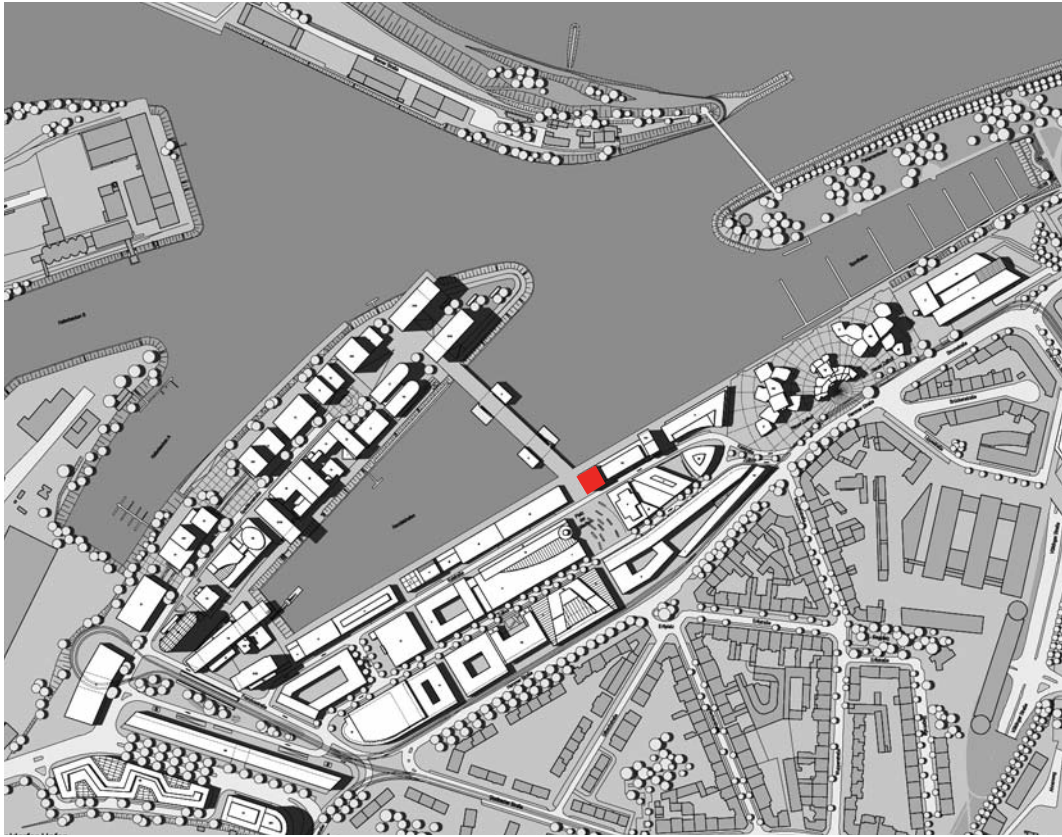


Abb. 141: Lageplan des Medienhafens Düsseldorf (rote Markierung des Baugrundstückes für das Haus Immendorff von der Verf.).

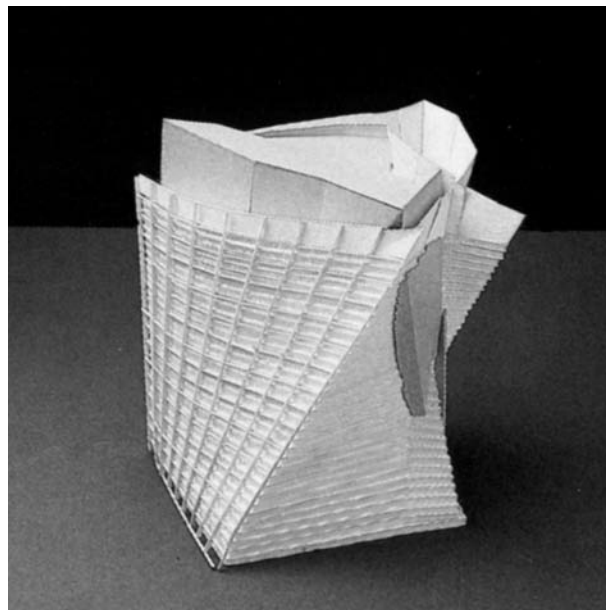
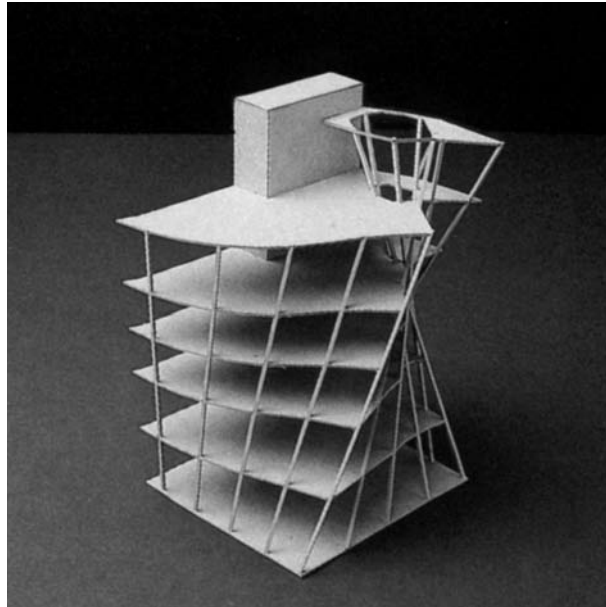


Abb. 142: Peter Eisenman, Haus Immendorff, Düsseldorf, Deutschland, Entwurf 1993. Studienmodell ohne Hülle, Fotografie.

Abb. 143: Studienmodell mit Hülle, Fotografie.

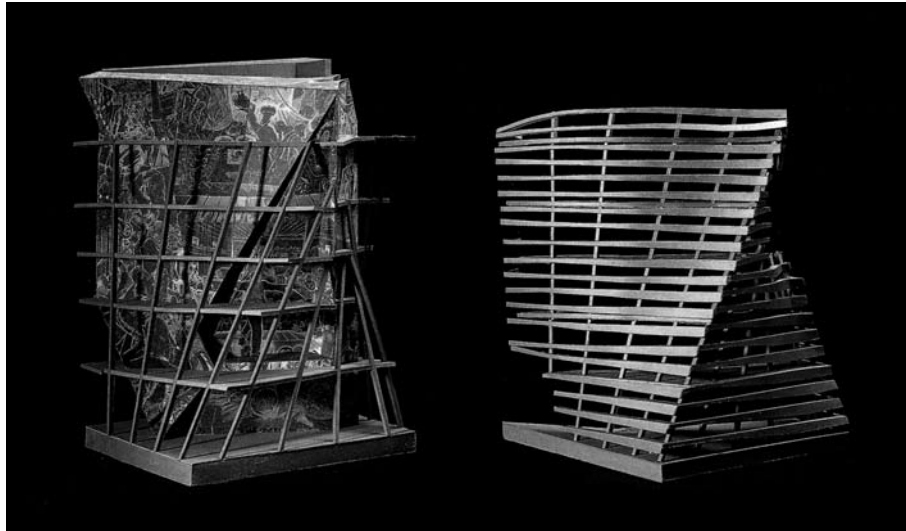


Abb. 144: Peter Eisenman, Haus Immendorff, Düsseldorf, Deutschland, Entwurf 1993. Studienmodelle, Fotografie.

Abb. 145: Studienmodell, Fotografie.

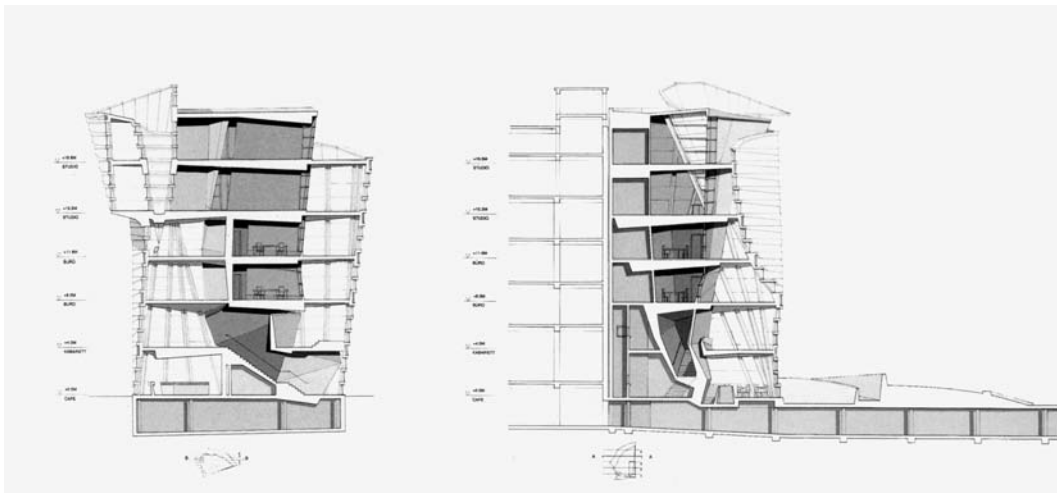
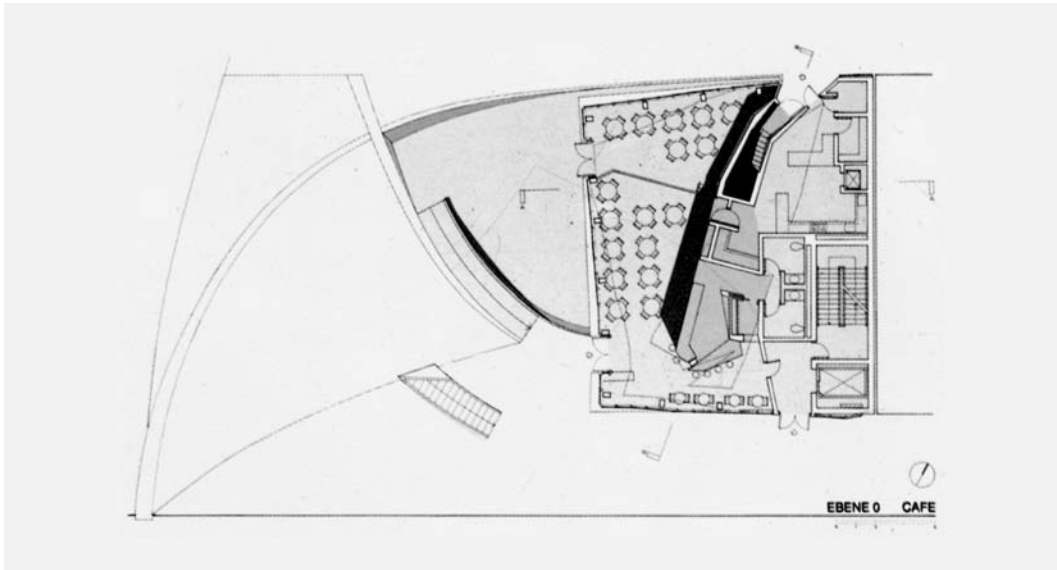


Abb. 146: Peter Eisenman, Haus Immendorff, Düsseldorf, Deutschland, Entwurf 1993. Grundriss des Erdgeschosses.
Abb. 147: Vertikalschnitte.

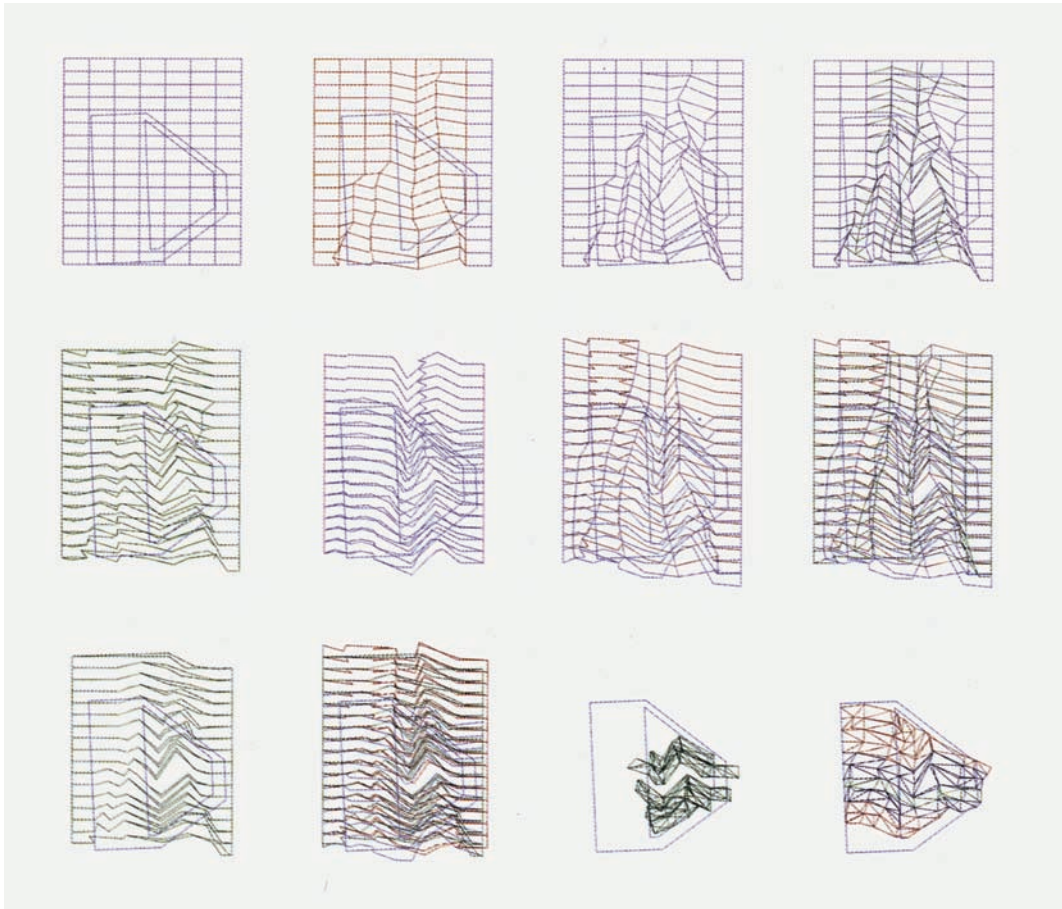


Abb. 148: Peter Eisenman, Church of the Year 2000, Rom, Italien, Entwurf 1996. Konzeptdiagramme mit Gelände und Gebäude.



Abb. 149: Peter Eisenman, Church of the Year 2000, Rom, Italien, Entwurf 1996. Präsentationsmodell, Aufsicht, Fotografie.

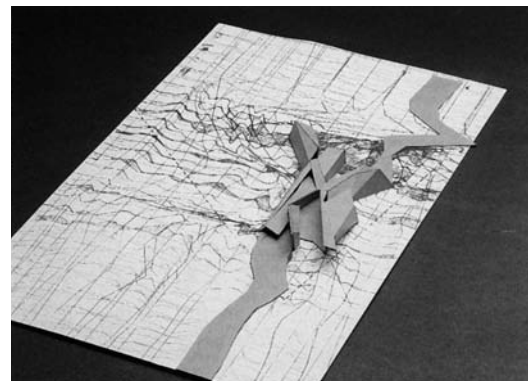
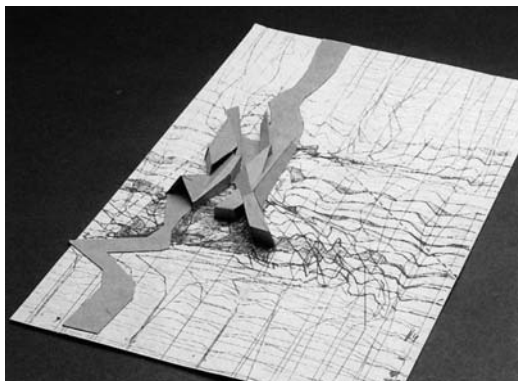
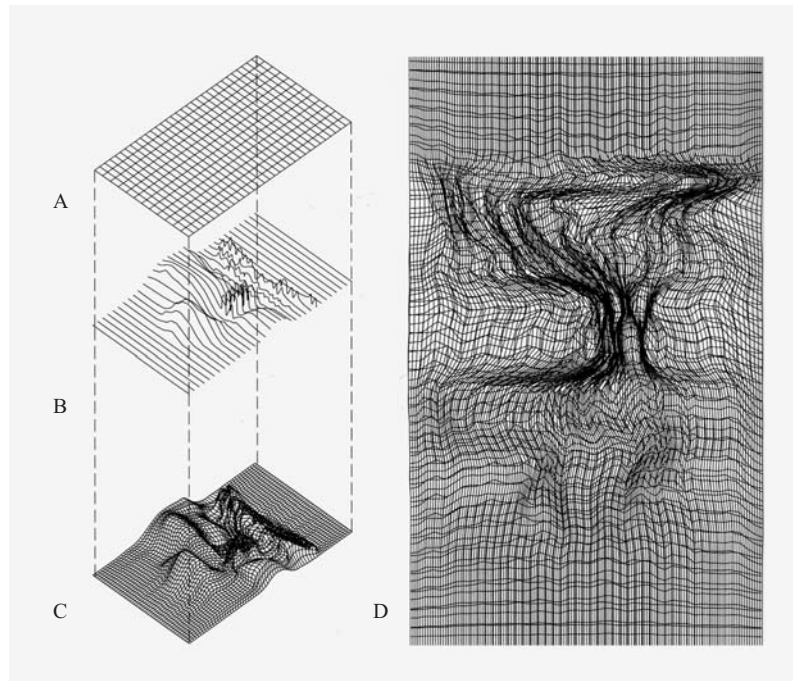
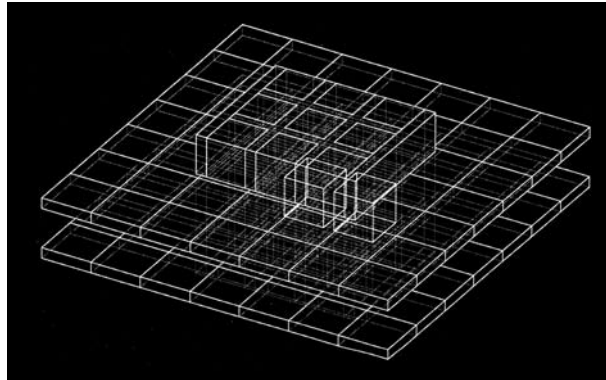
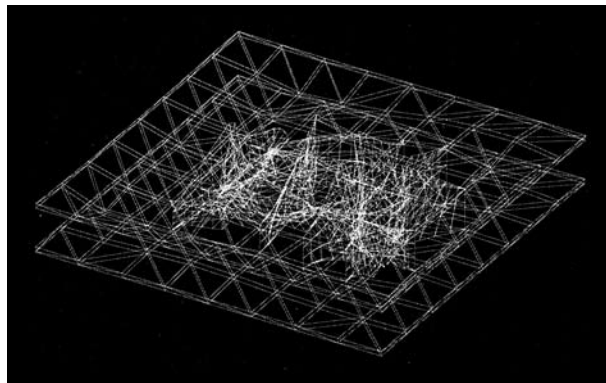


Abb. 150: Peter Eisenman, Bibliothèque de L'IHUEI, Genf, Schweiz, Entwurf 1997. Konzeptdiagramm: Stadtraster (A), Diagramm neurologischer Aktivität (B), Axonometrie der neuen Landschaft (C), Aufsicht der neuen Landschaft (D).
 Abb. 151: Studienmodell, Fotografien.



A



B

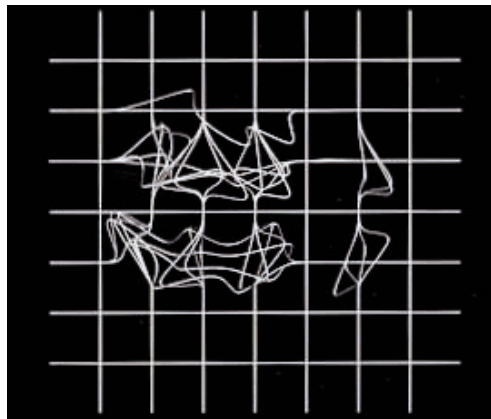


Abb. 152: Peter Eisenman, Virtual House, FSB – Franz Schneider Brakel, Berlin, Deutschland, Entwurf 1997. Konzeptdiagramme, Linienraster, unverformt (A) und verformt (B), Axonometrien.
Abb. 153: Konzeptdiagramm, Linienraster, verformt, Grundriss.

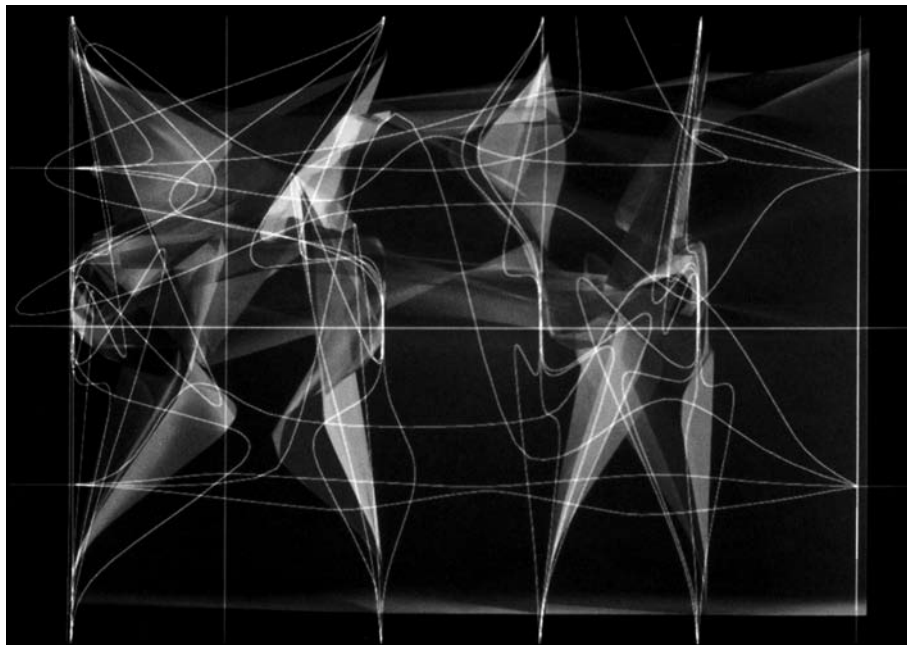
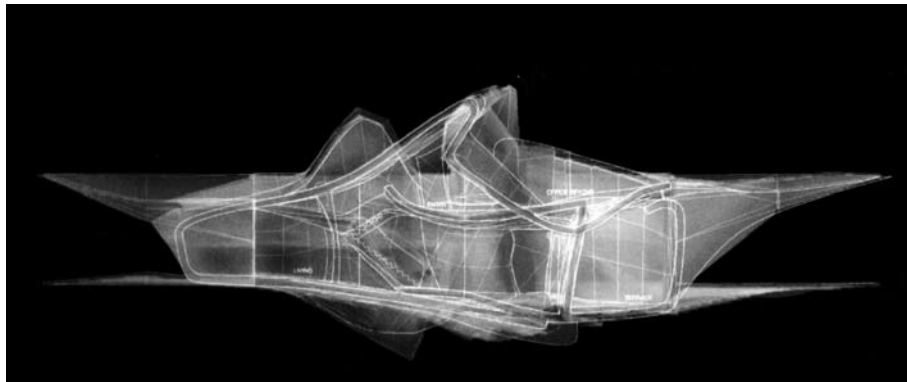


Abb. 154: Peter Eisenman, Virtual House, FSB – Franz Schneider Brakel, Berlin, Deutschland, Entwurf 1997. 3D-Modell, Schnitt, Computerrendering.
Abb. 155: 3D-Modell, Aufsicht, Computerrendering

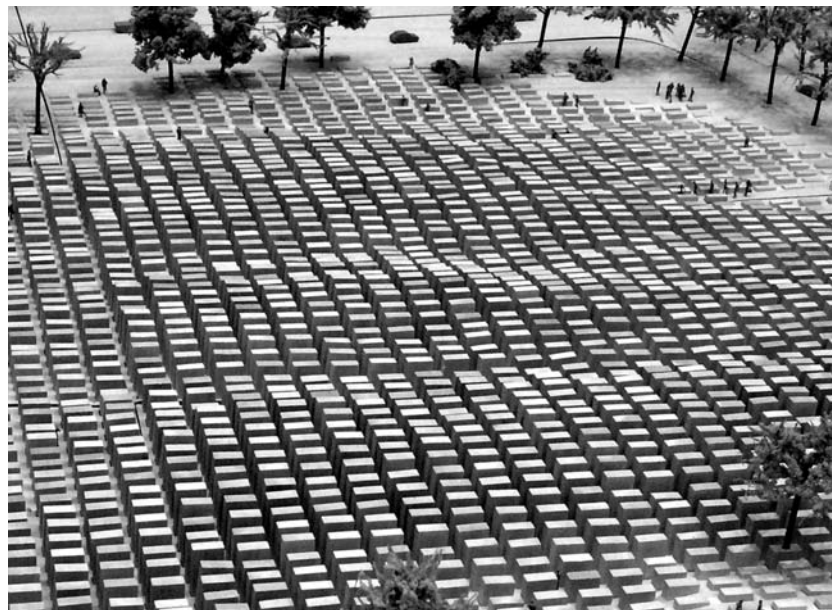
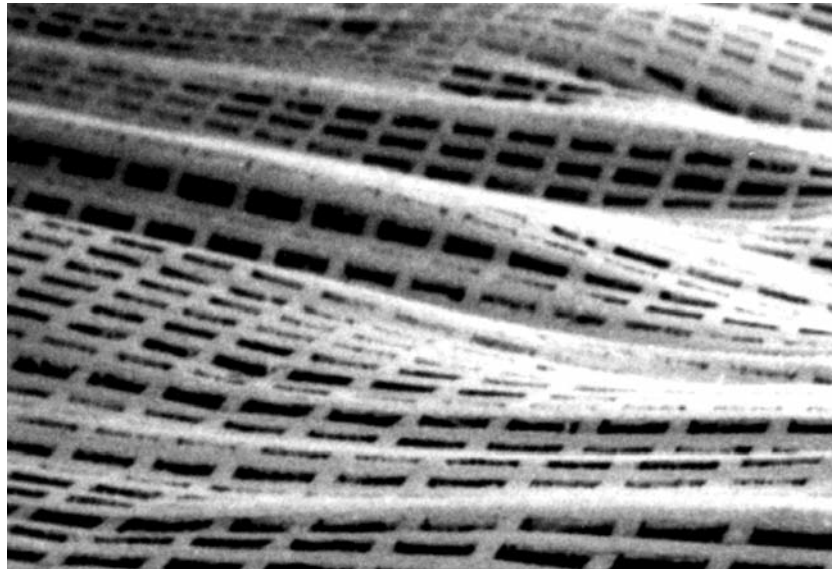


Abb. 156: Peter Eisenman, Denkmals für die ermordeten Juden Europas, Berlin, Deutschland, 1997–2005. Studienmodell der Grundfläche, Fotografie.
Abb. 157: Präsentationsmodell, Fotografie.

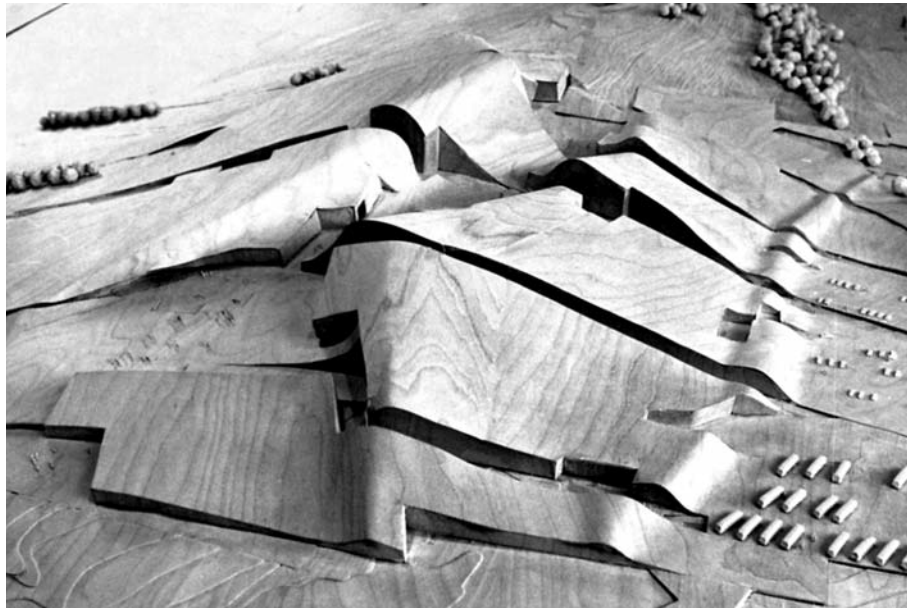


Abb. 158: Peter Eisenman, Cidade da Cultura e Creatividade Contemporânea de Galicia, Santiago de Compostela, Spanien, 1999, seit 2001 in Bau. Wettbewerbsmodell von 1999, Fotografie.
Abb. 159: Luftfotografie des Bauplatzes, Dezember 2001.

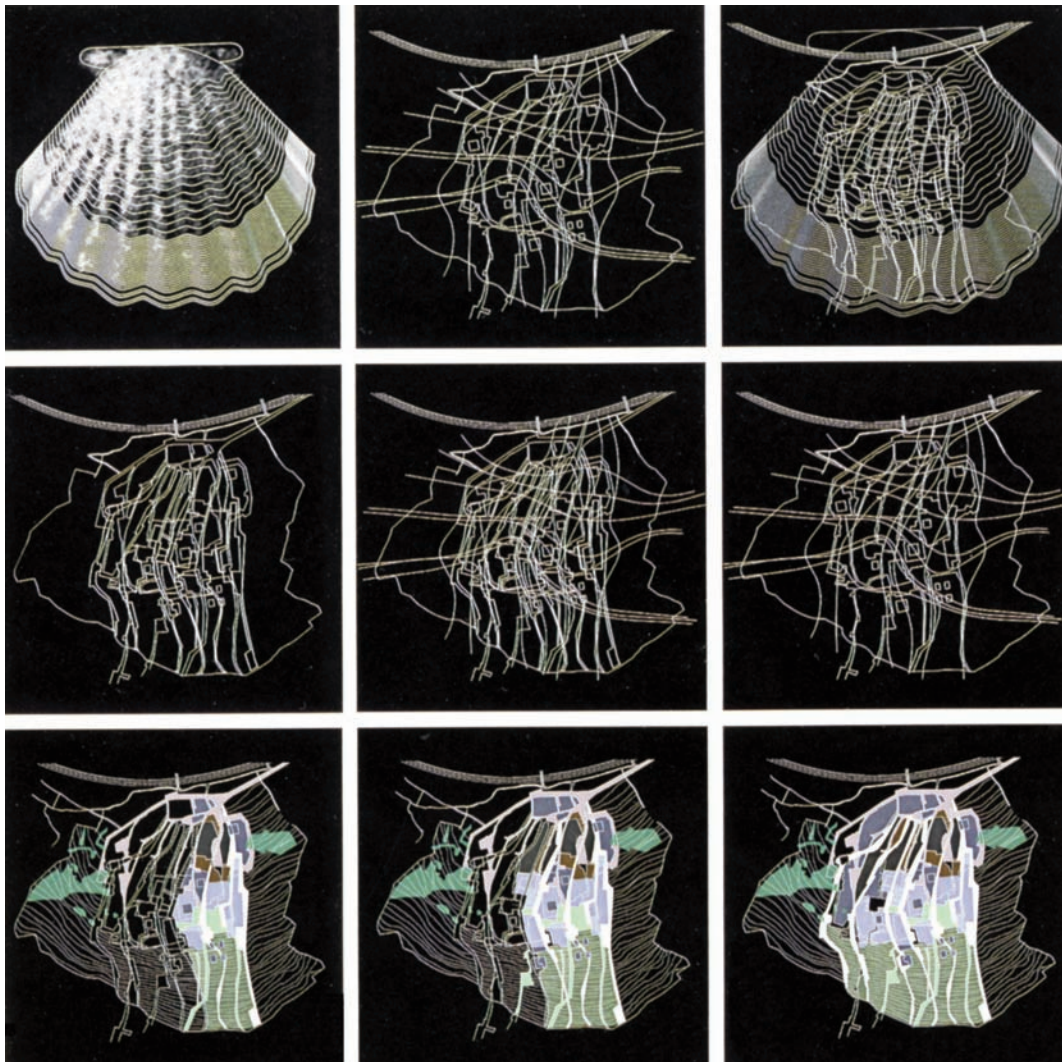


Abb. 160: Peter Eisenman, Cidade da Cultura e Creatividade Contemporânea de Galicia, Santiago de Compostela, Spanien, 1999, seit 2001 in Bau. Serie zur Entwicklung des Lageplandiagramms.

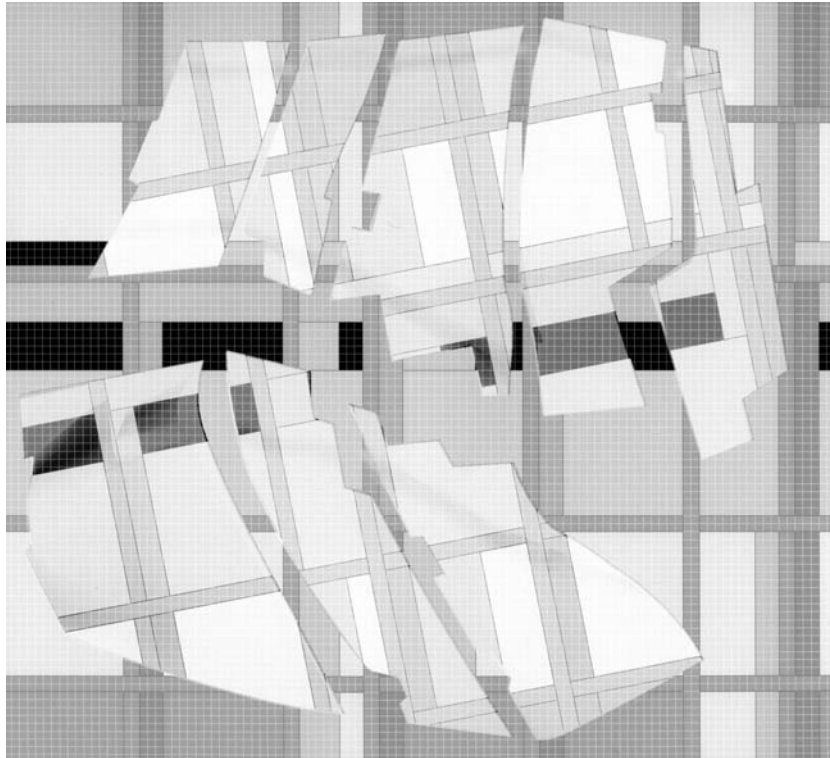


Abb. 161: Peter Eisenman, Cidade da Cultura e Creatividade Contemporânea de Galicia, Santiago de Compostela, Spanien, 1999, seit 2001 in Bau. Raster im Schottenmuster zur Organisation programmatischer Elemente innerhalb der sechs Gebäude, Computerzeichnung.

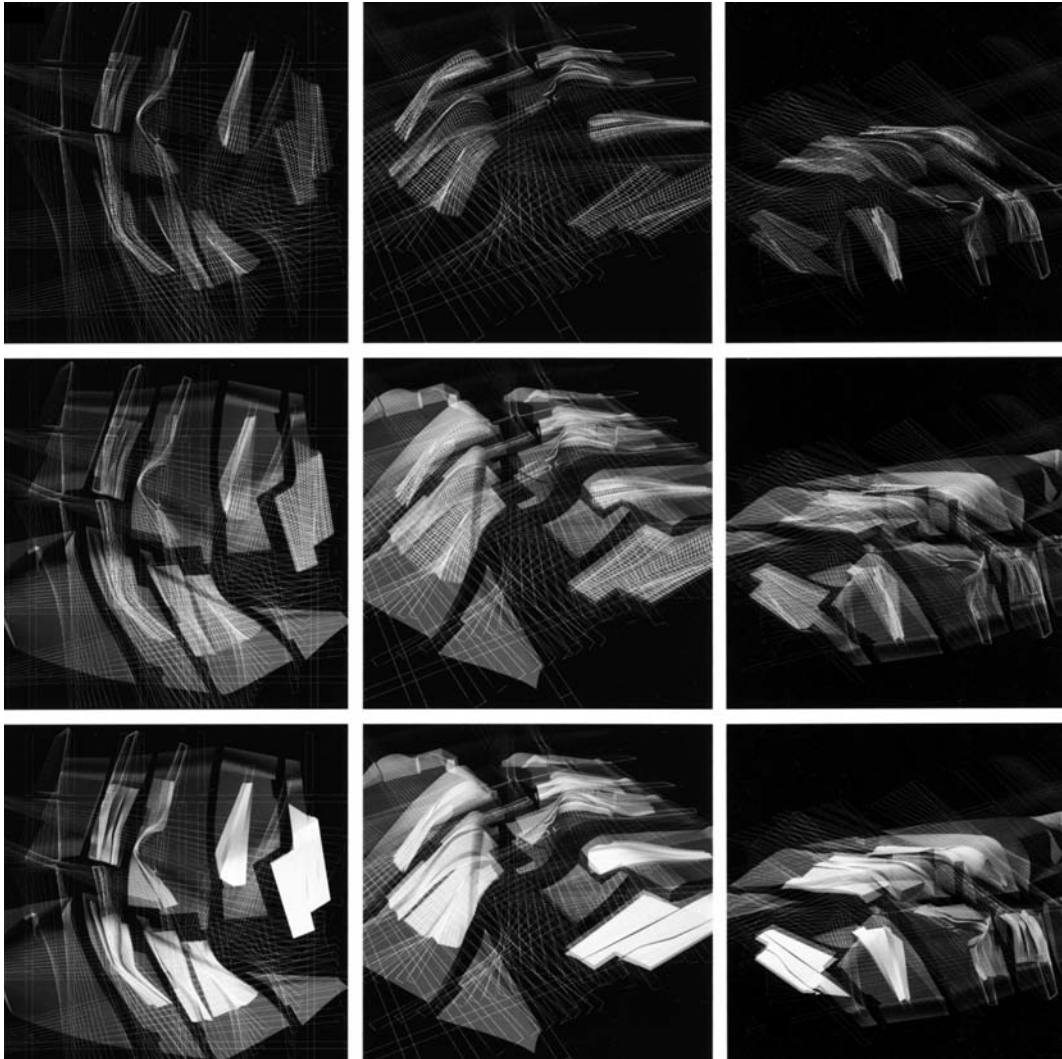


Abb. 162: Peter Eisenman, Cidade da Cultura e Creatividade Contemporânea de Galicia, Santiago de Compostela, Spanien, 1999, seit 2001 in Bau. Serie von Deformationsdiagrammen.

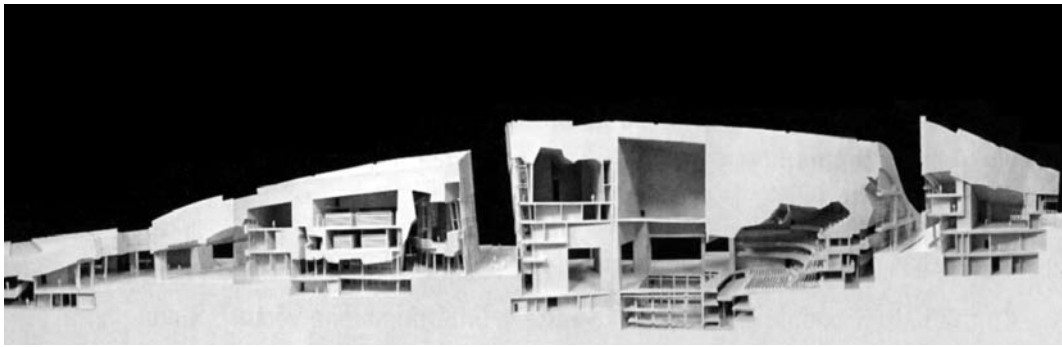
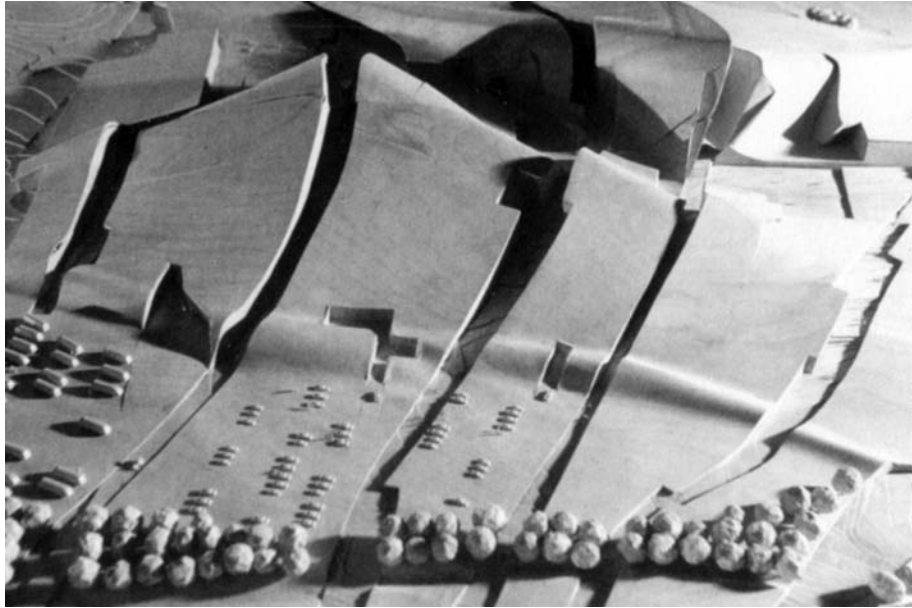


Abb. 163: Peter Eisenman, Cidade da Cultura e Creatividade Contemporánea de Galicia, Santiago de Compostela, Spanien, 1999, seit 2001 in Bau. Wettbewerbsmodell von 1999, Fotografie.

Abb. 164: Schnittmodell des Zeitschriftenarchivs, der Bibliothek, des Musiktheaters und des Gebäudes für Zentrale Dienste, Fotografie.

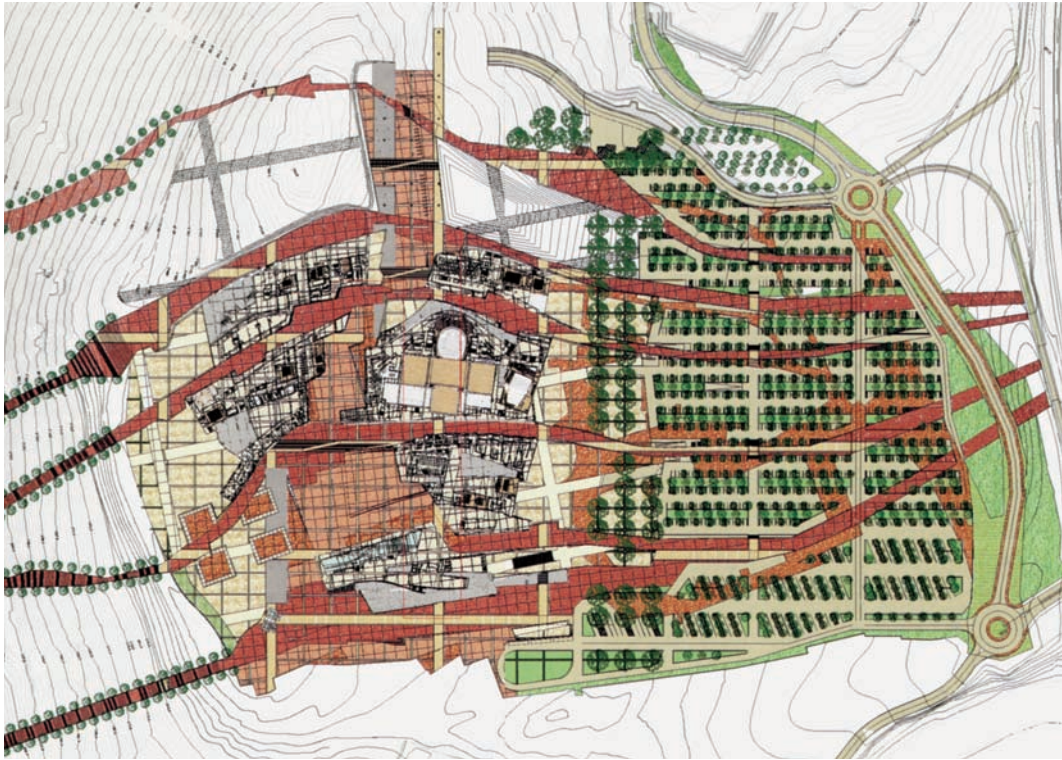


Abb. 165: Peter Eisenman, Cidade da Cultura e Creatividade Contemporánea de Galicia, Santiago de Compostela, Spanien, 1999, seit 2001 in Bau. Grundriss des Erdgeschosses mit Umgebung.

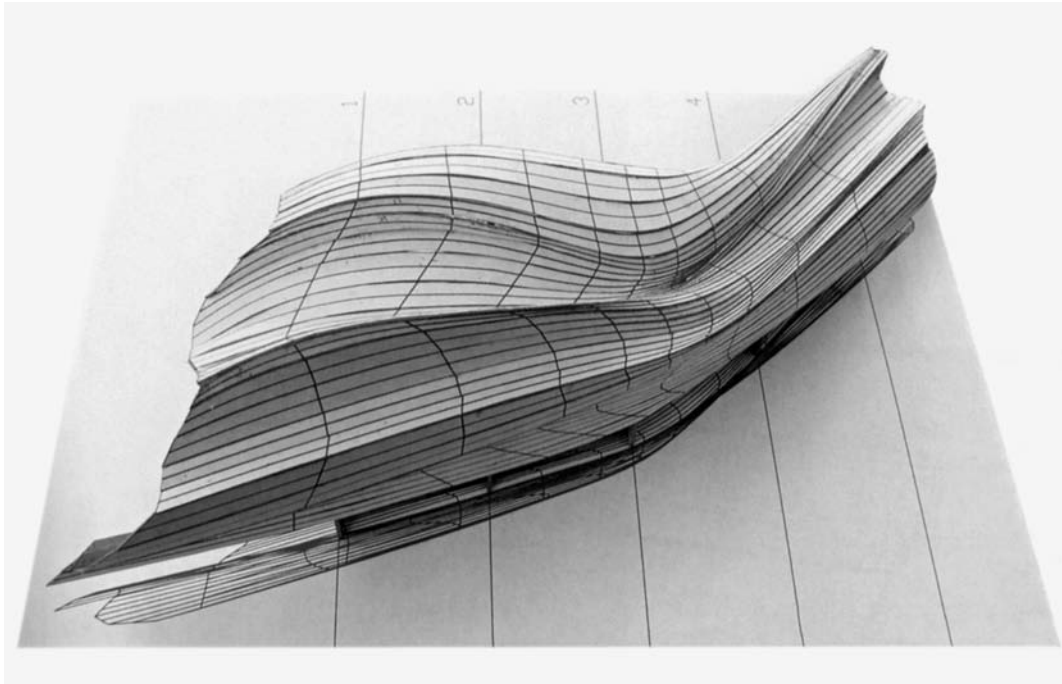


Abb. 166: Peter Eisenman, Cidade da Cultura e Creatividade Contemporânea de Galicia, Santiago de Compostela, Spanien, 1999, seit 2001 in Bau. Studie, Soffittenmodell für das Geschichtsmuseum, Fotografie.

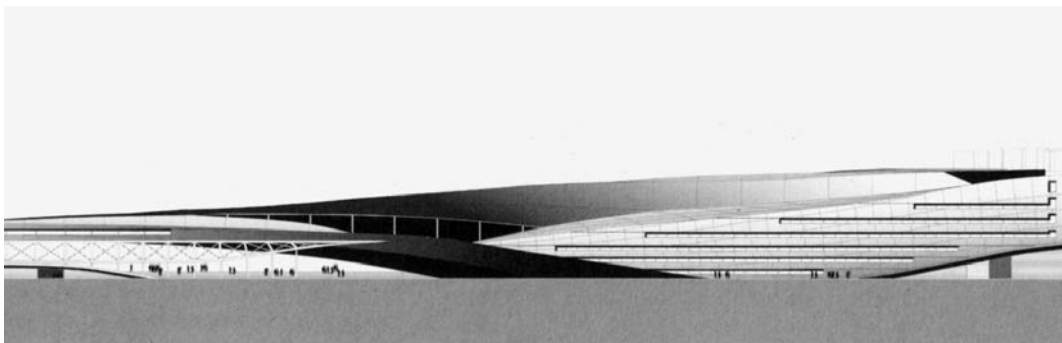


Abb. 167: Peter Eisenman, Musée du Quai Branly, Paris, Frankreich, Entwurf 1999. Präsentationsmodell, Fotografie.

Abb. 168: Façade sur Quai, Schnitt (Ausschnitt).

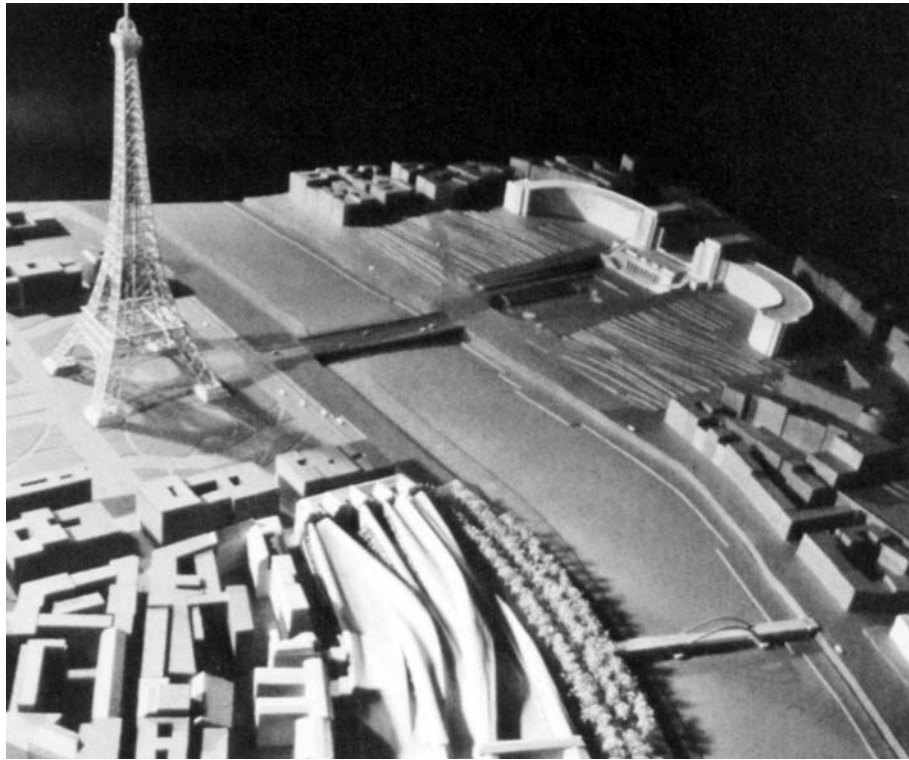


Abb. 169: Peter Eisenman, Musée du Quai Branly, Paris, Frankreich, Entwurf 1999. Lageplanmodell, Fotografie.

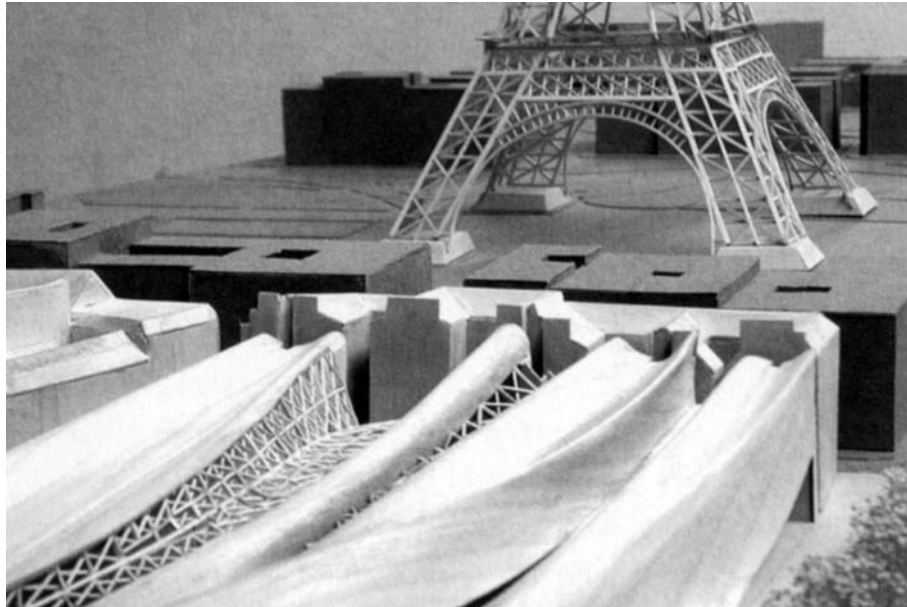


Abb. 170: Peter Eisenman, Musée du Quai Branly, Paris, Frankreich, Entwurf 1999. Präsentationsmodell, Detail der Dachkonstruktion (mit Eiffelturm im Hintergrund), Fotografie.
Abb. 171: Präsentationsmodell, Detail der Dachkonstruktion, Fotografie.



Abb. 172: Peter Eisenman, Musée du Quai Branly, Paris, Frankreich, Entwurf 1999. Horizontales Schnittmodell, Fotografie.

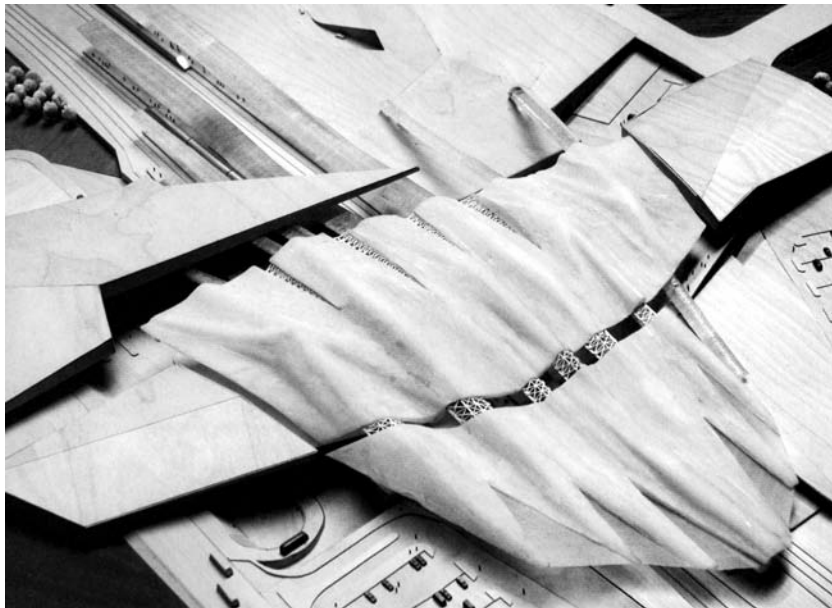
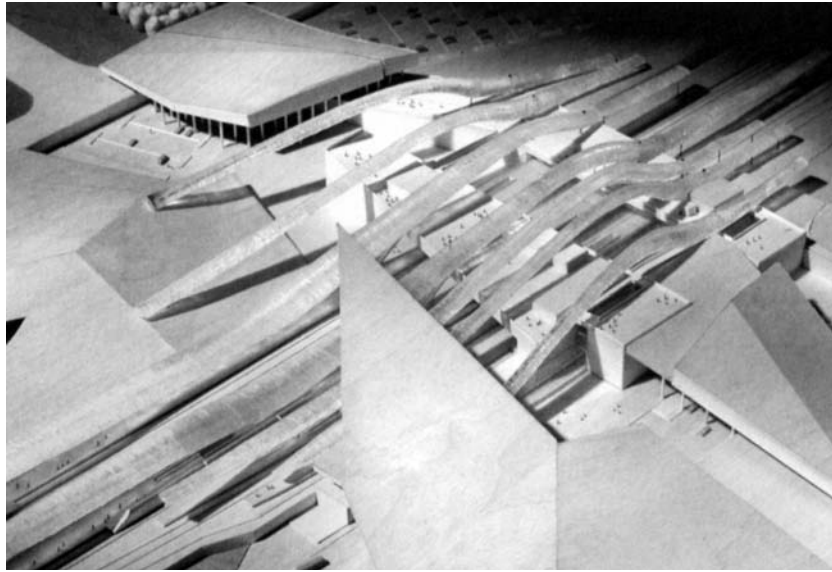


Abb. 173: Peter Eisenman, Stazione TAV Neapel, Afragola, Italien Entwurf 2003. Präsentationsmodell, Detail der Röhrenstruktur (ohne Dach), Fotografie.

Abb. 174: Präsentationsmodell, Detail des verhüllten Daches, Fotografie.

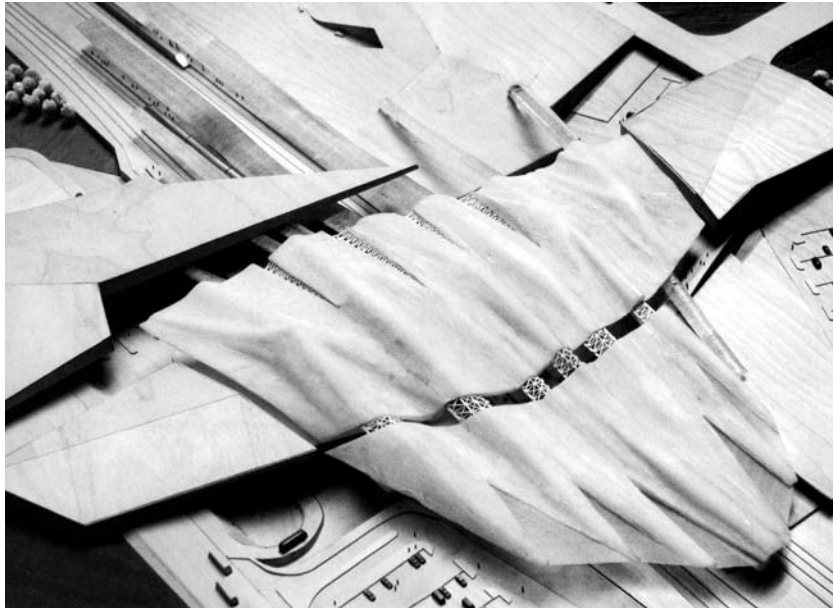


Abb. 175: Peter Eisenman, Stazione TAV Neapel, Afragola, Italien Entwurf 2003. Präsentationsmodell, Detail des verhüllten Daches, Fotografie.

Abb. 176: Guiseppe Sanmartino, Christo velato, Cappella Sansevero, Neapel, Italien, 1751. Skulptur aus Marmor (Ausschnitt), Fotografie.

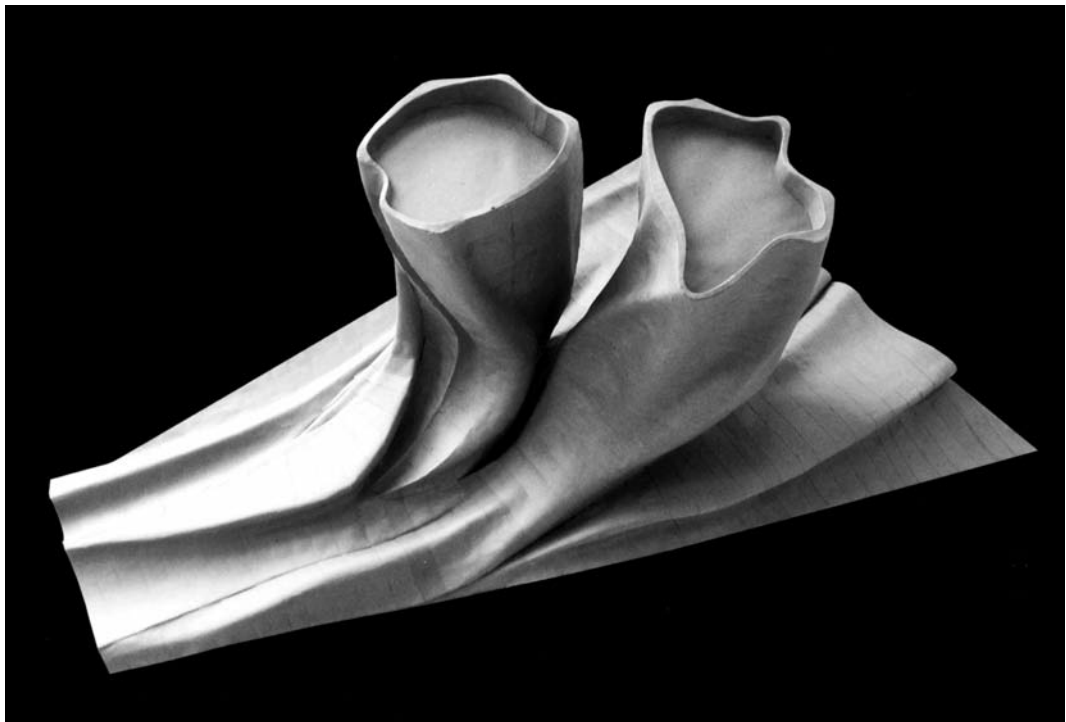


Abb. 177: Peter Eisenman, Musée des Confluences, Lyon, Frankreich, Entwurf 2002. Volumenmodell, Fotografie.

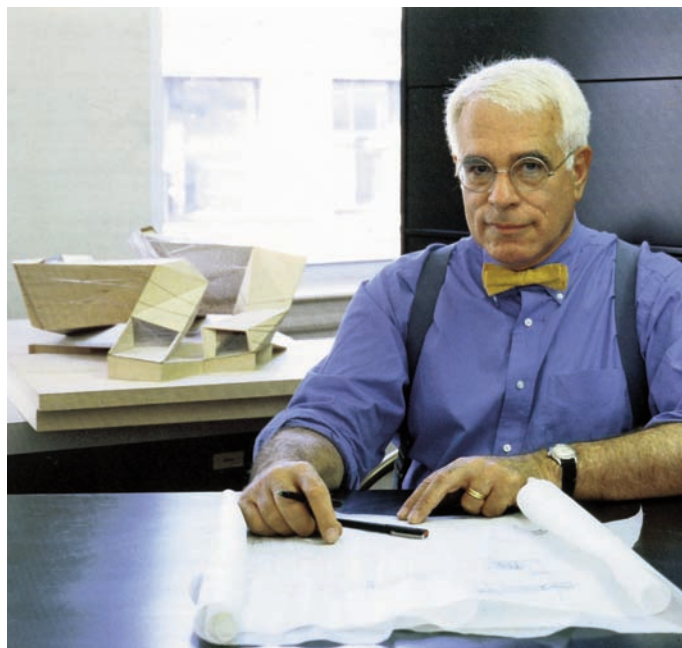


Abb. 178: Porträt von Frank O. Gehry, Fotografie, Titelbild von El Croquis, Nr. 117, 2003.
Abb. 179: Porträt von Peter Eisenman, Fotografie, Titelbild von El Croquis, Nr. 83, 1997.

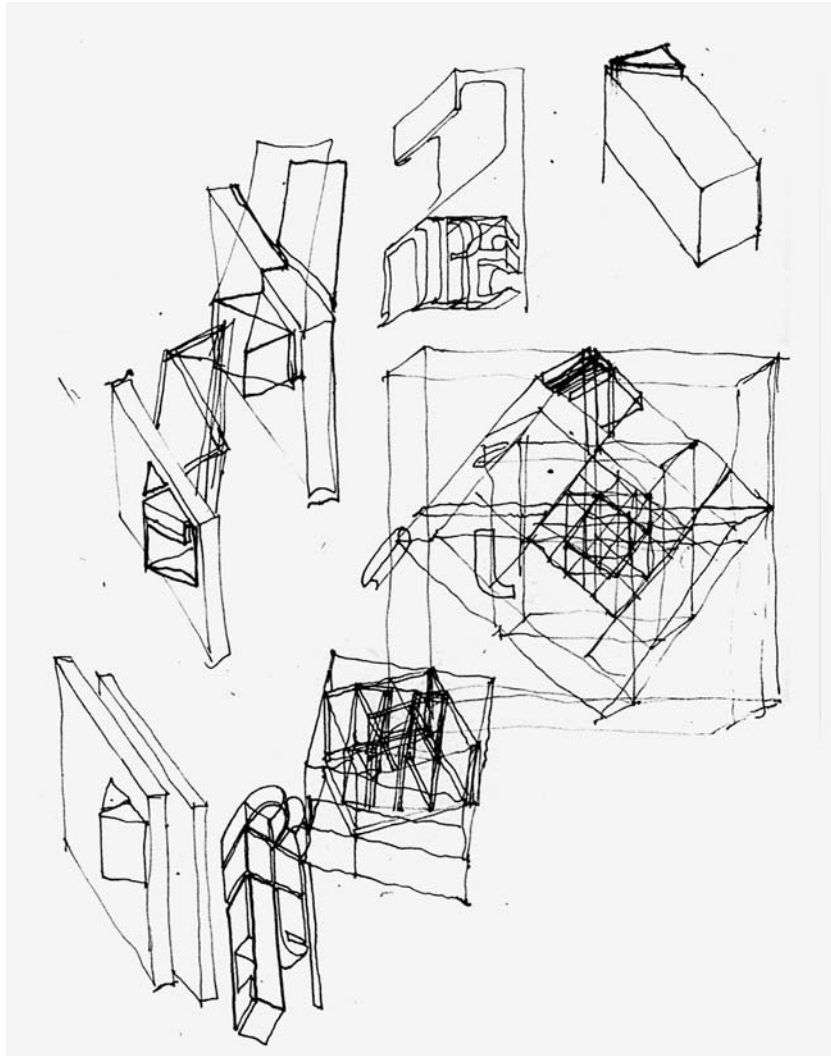


Abb. 180: Peter Eisenman, House IV, Falls Village/Connecticut, USA, Entwurf 1971. Konzeptskizze mit gezeichneten Initialen des Architekten.



Abb. 181: Frank O. Gehry, Guggenheim Museum, Bilbao, Spanien, 1991–1997. Nordwestseite, Fotografie.

Abb. 182: Bilbao Nao. Wappenschild der Consulado y Casa de Contratación, um 1511. Fotografie.

Abb. 183: Siegel der Casa de Contratación of Bilbao, im Besitz von Frank O. Gehry, Fotografie.



Abb. 184: Claus Sluter, Mosesbrunnen, Kartause von Champmol, Dijon, Frankreich, 1395 bis um 1405. Stein, h = 1,83 m, Fotografie.

Abb. 185: Claus Sluter, Pleurant, Grabmal Philipp des Kühnen von Burgund, Musée des Beaux-Arts, Dijon, Frankreich, um 1385–1406 (vollendet von Claus de Werve). Alabaster, Fotografie.



Abb. 186: Frank O. Gehry, DZ Bank (ehemals DG Bank), Berlin, Deutschland, 1995–2001. Atrium mit Konferenzraum, Fotografie.

Abb. 187: Claus Sluter, Pleurant, Grabmal Philipp des Kühnen von Burgund, Musée des Beaux-Arts, Dijon, Frankreich, um 1385–1406 (vollendet von Claus de Werve). Alabaster, Kopfdetail, Fotografie.

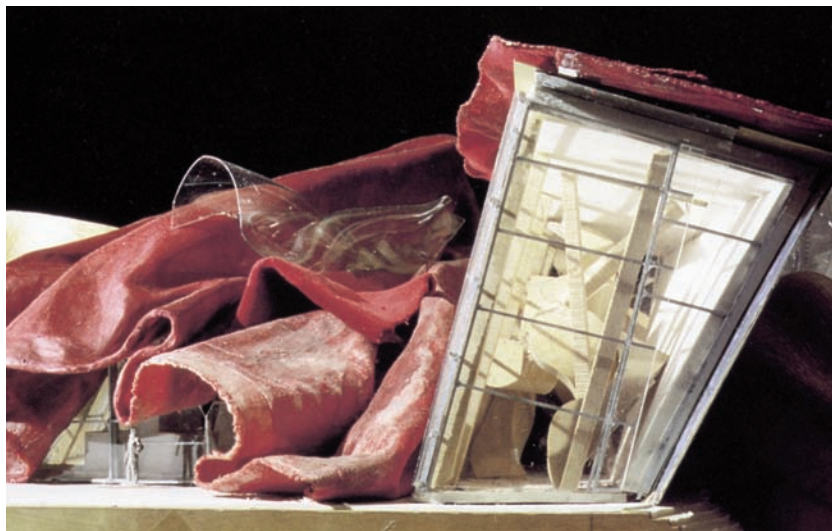
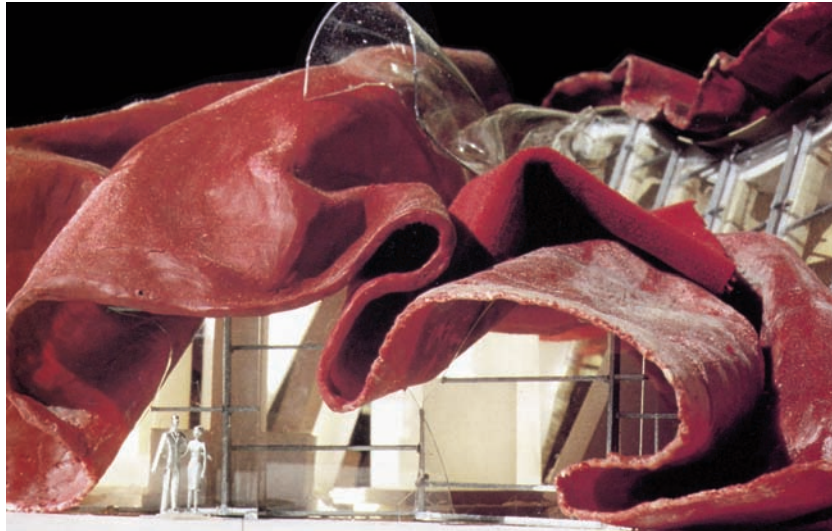


Abb. 188: Frank O. Gehry, Lewis Residence, Lyndhurst bei Cleveland/Ohio, USA, Entwurf 1989–95. Studienmodell aus rotem Samt, Holz, Plexiglas, Ostseite, Ausschnitt „Conservatory“, Februar 1995, Fotografie.

Abb. 189: Studienmodell aus rotem Samt, Holz, Plexiglas, Ostseite, Ausschnitt „Pool“, Februar 1995, Fotografie

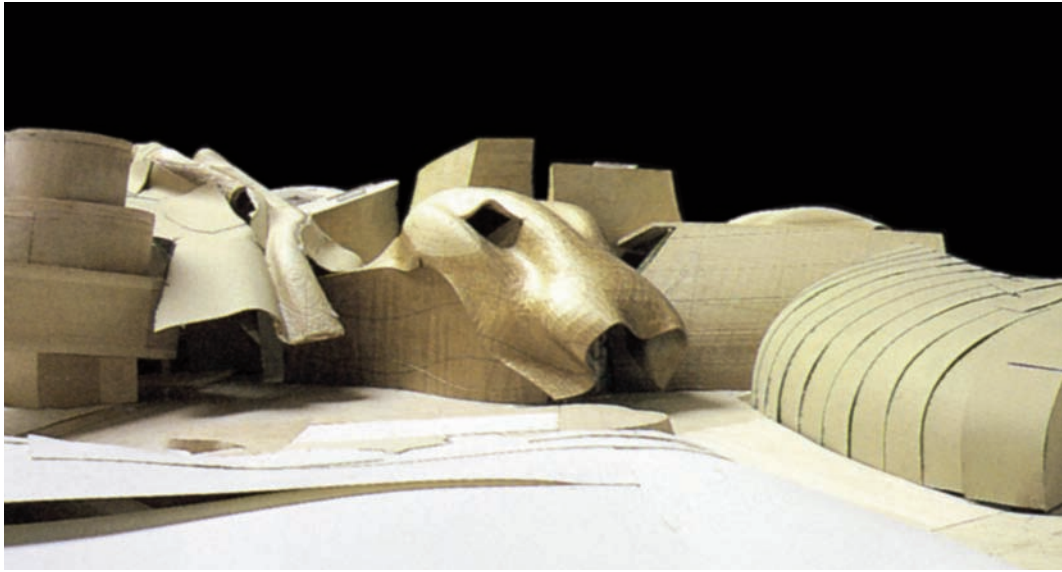


Abb. 190: Frank O. Gehry, Lewis Residence, Lyndhurst bei Cleveland/Ohio, USA, Entwurf 1989–95. Präsentationsmodell der letzten Entwurfsfassung, Fotografie (Ausschnitt).

Abb. 191: The Ringlemere Gold Cup, Fundort nahe Sandwich/Kent, England, Bronzezeit, um 1700 bis 1500 vor Christus. Gold, h = 140 mm, g = 184 g, Fotografie.



Abb. 192: George E. Ohr, Glazed Terracotta Vase, um 1900. Fotografie.

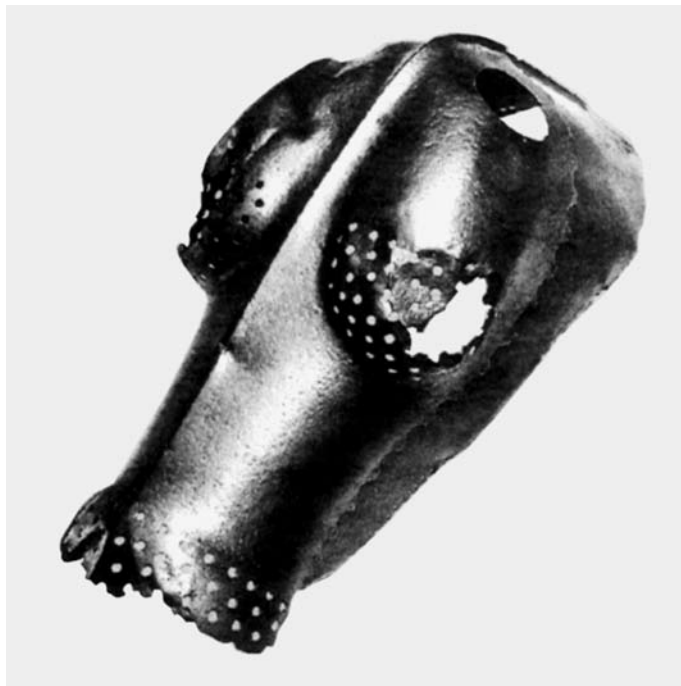
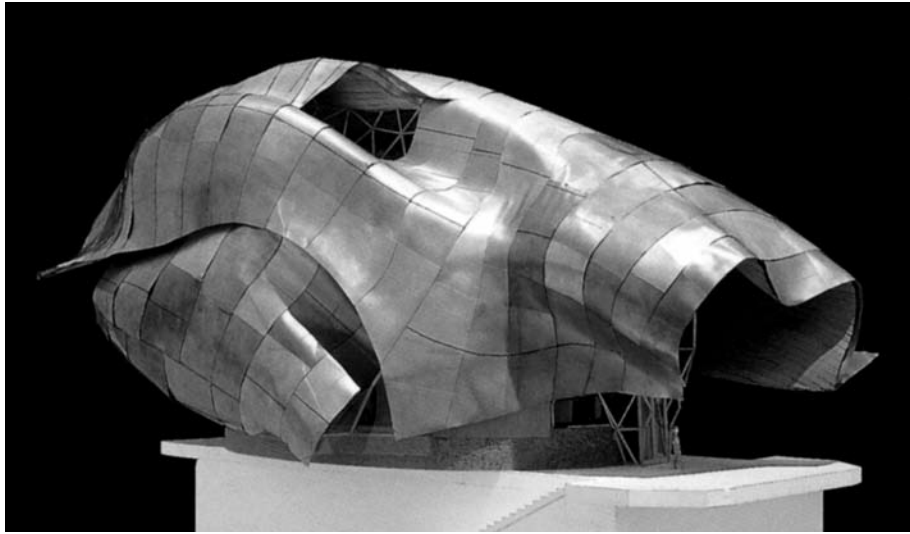


Abb. 193: Frank O. Gehry, DZ Bank (ehemals DG Bank), Berlin, Deutschland, 1995–2001. Präsentationsmodell des Konferenzraumes, Fotografie.

Abb. 194: The Warwick Shaffron, Royal Armouries, Leeds, England, um 1400. Fotografie.



Abb. 195: Frank O. Gehry, One Times Square, New York, USA, Entwurf 1997. Präsentationsmodell, Fotografie.

Abb. 196: Gianlorenzo Bernini, Büste des Francesco I d'Este, 1650/51. Marmor, 107 cm, Fotografie.

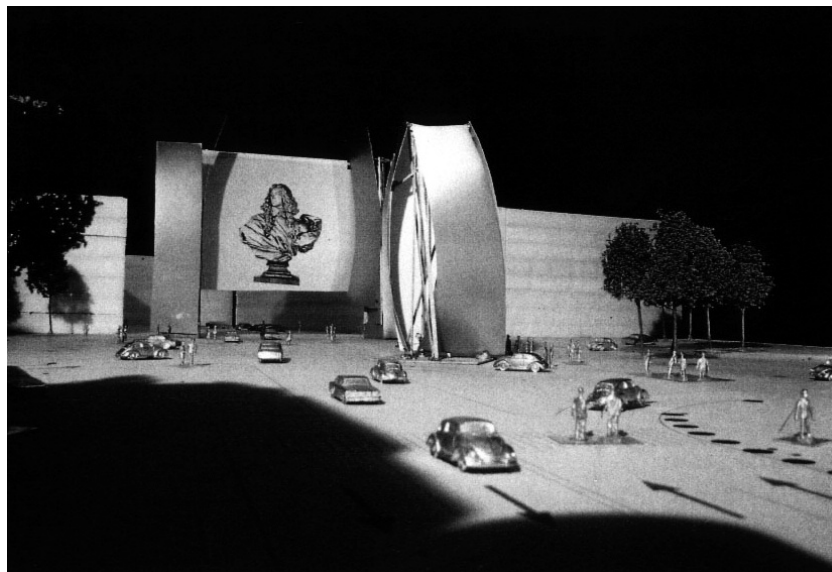
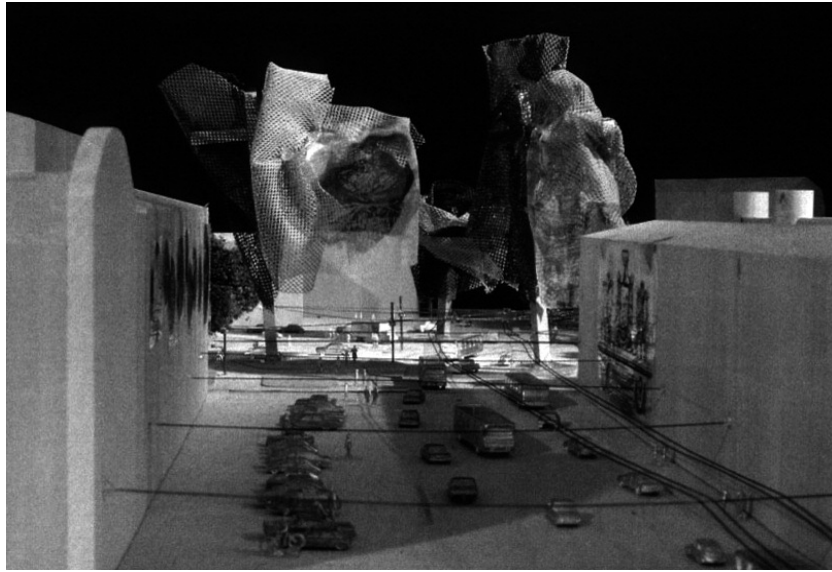


Abb. 197: Frank O. Gehry, Porta S. Agostino, Largo Aldo Moro, Modena, Italien, Entwurf 1997–2000. Modellstudie, Fotografie.

Abb. 198: Präsentationsmodell mit Bild von Berninis Büste des Francesco I d'Este, Fotografie.

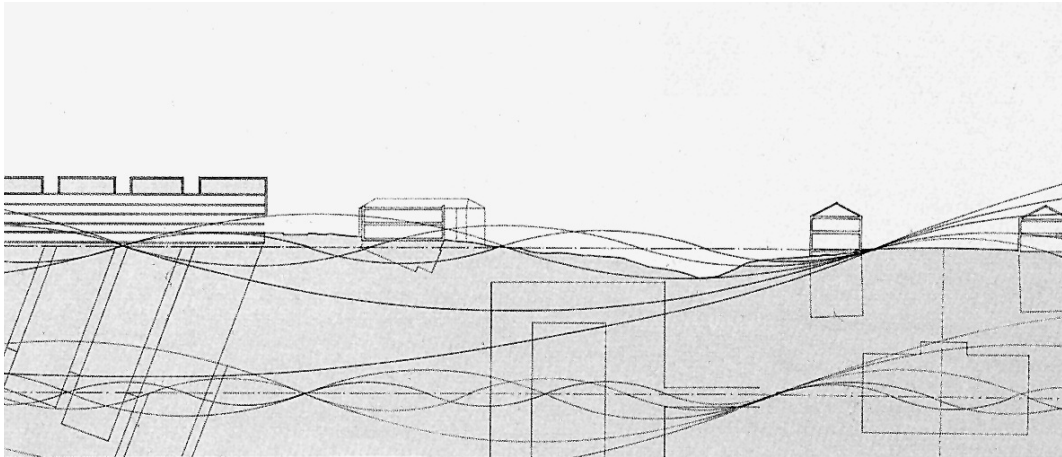


Abb. 199: Peter Eisenman, Emory University Center for the Arts, Atlanta/Georgia, USA, Entwurf 1991. Topographic Harmonics, Konzeptdiagramm des überformten Geländeschnitts.

Abb. 200: Desurbanistisches Projekt der konstruktivistischen Architekten, 1929/30. Rhythmische Verteilung der Serien entlang der fortlaufenden, im ganzen Land verbreiteten „Siedlungsbänder“, Zeichnung (Ausschnitt).

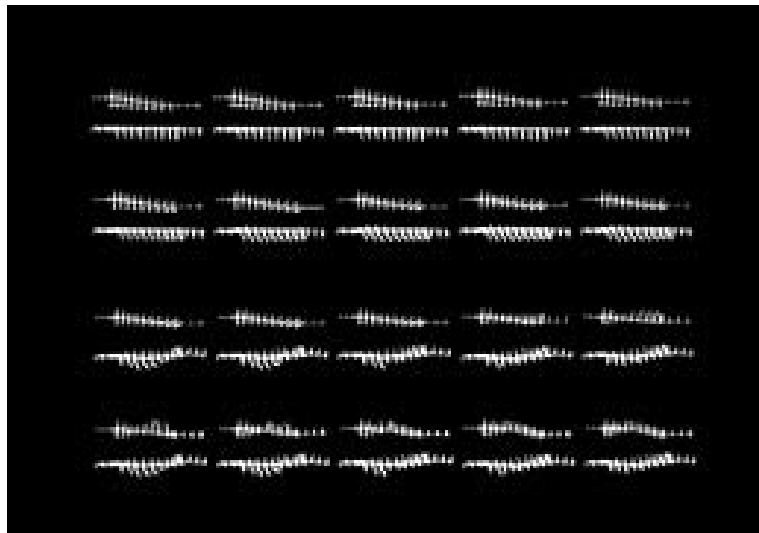
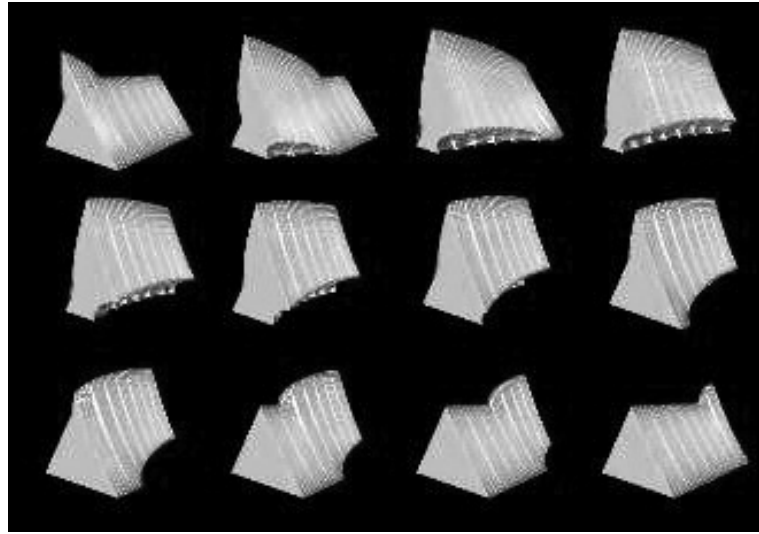


Abb. 201: Greg Lynn, Hydrogen House Visitors Pavilion & Information Center, Schwechat, Österreich, Entwurf 1996. Studie, Verformung eines Rahmenobjektes unter Einwirkung des Sonnenlichtes als dynamischer Kraft, Computeranimation, Standbilder.

Abb. 202: Studie, Verformung einer Rahmenstruktur unter Einwirkung der Verkehrsbewegung auf angrenzender Autobahn, Computeranimation, Standbilder.

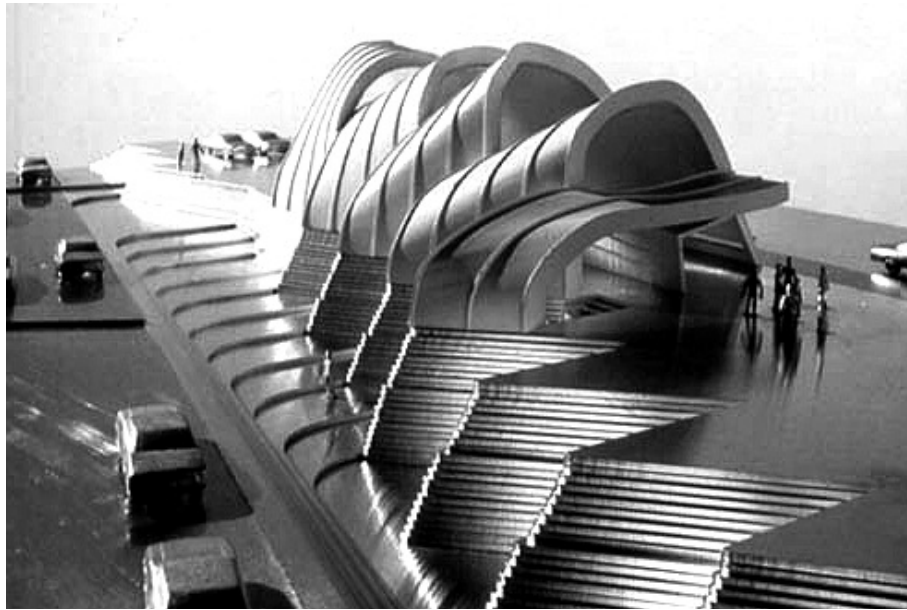


Abb. 203: Greg Lynn, Hydrogen House Visitors Pavilion & Information Center, Schwechat, Österreich, Entwurf 1996. Präsentationsmodell, Nordostseite, Fotografie.

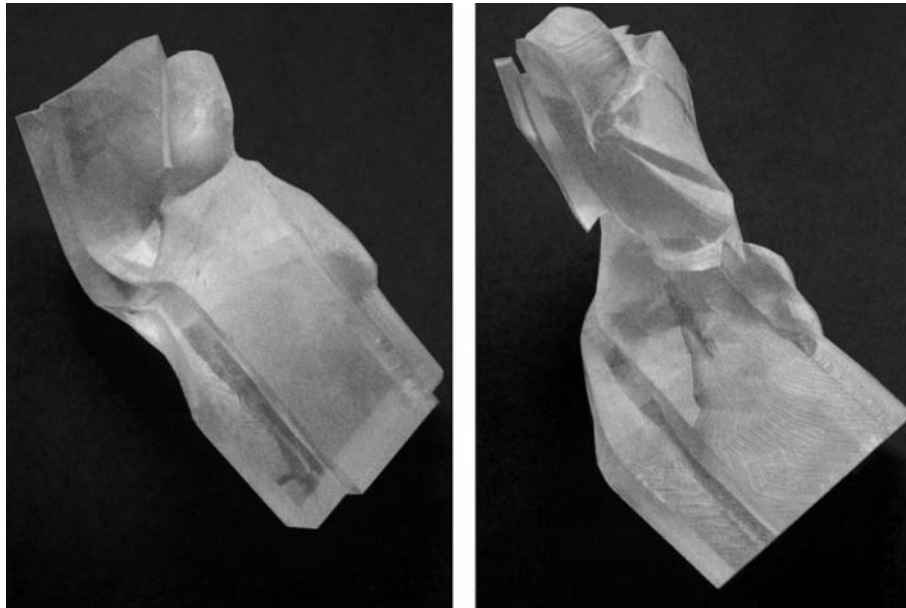


Abb. 204: Greg Lynn, House Prototype, Long Island/New York, USA, Entwurf 1994. Stereolithografiemodelle der vierten Version des Prototyps mit mittlerem (links) und hohem (rechts) Bieungsgrad der Kurven, Fotografien.

Abb. 205: Greg Lynn, Embryological House, Entwurf 1997–2001. Polystyrolmodell, hergestellt mit computergesteuerter Fräse, Fotografie.



Abb. 206: Frank O. Gehry, Sculptural Study, 2001. Handzeichnung.
Abb. 207: Modell, Fotografie (Ausschnitt).

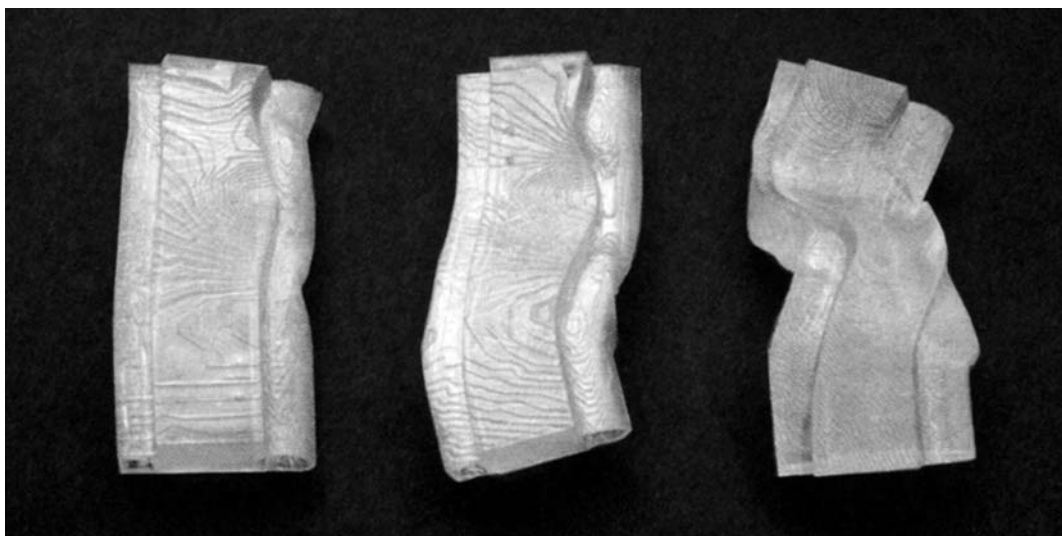
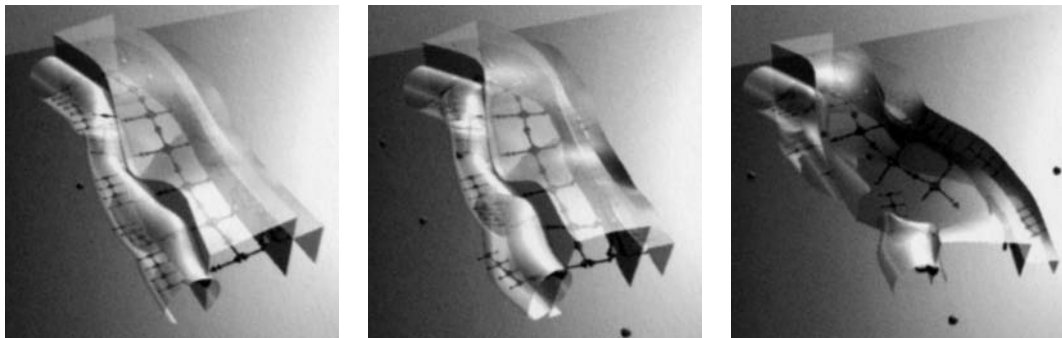


Abb. 208: Greg Lynn, House Prototype, Long Island/New York, USA, Entwurf 1994. Studie, 3D-Modell des vierten Prototyps, Verformung des Hüllkörpers, zusammengesetzt aus zwei unterschiedlichen großen Quadern und einer Röhre, mit innenliegendem Skelett, Perspektiven, Computeranimation, Standbilder.

Abb. 209: Stereolithografiemodelle des vierten Prototyps in drei verschiedenen Krümmungsstufen aus verfestigtem Harz, gehärtet durch CAD-kontrollierten UV-Laser, Fotografie (Ausschnitt).

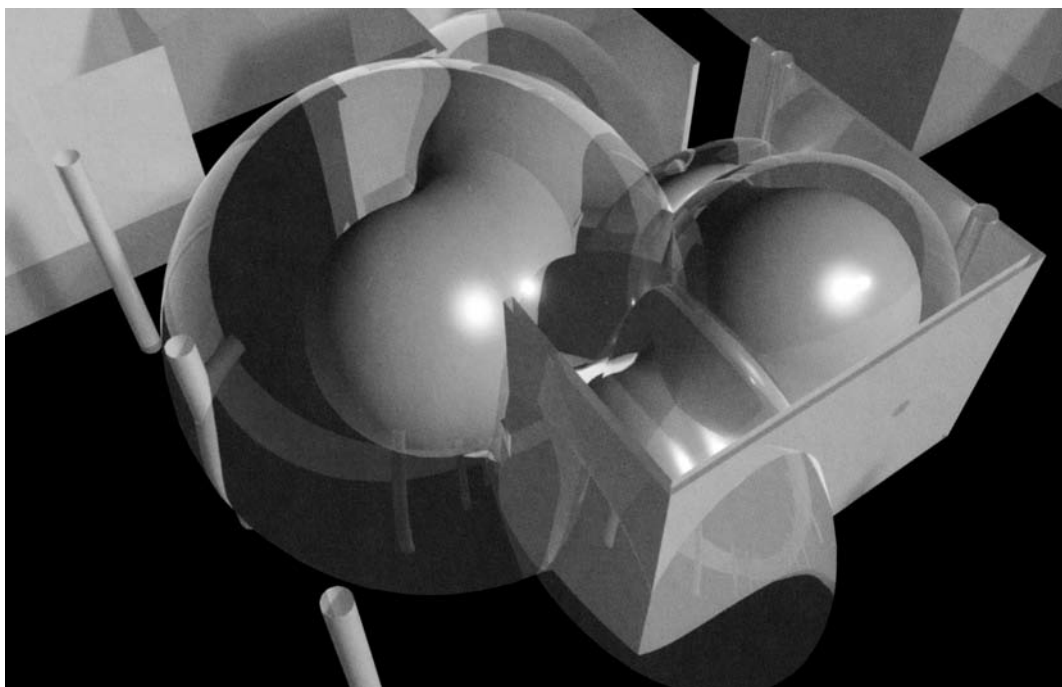
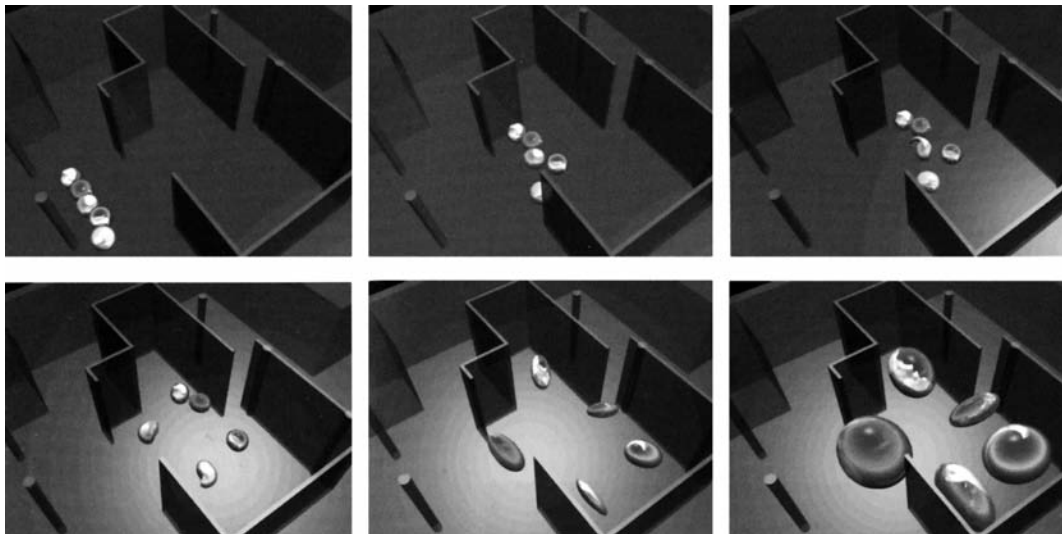


Abb. 210: Greg Lynn, Artists Space, Installation Design, New York, USA, 1995. Studie, Anordnung und Interaktion von fünf Kugelobjekten im Galerieraum, Perspektiven, Computeranimation, Standbilder.

Abb. 211: Studie, 3D-Modell von fünf verschmolzenen Kugelobjekten mit Einflusszonen im Galerieraum, Perspektive, Computerrendering

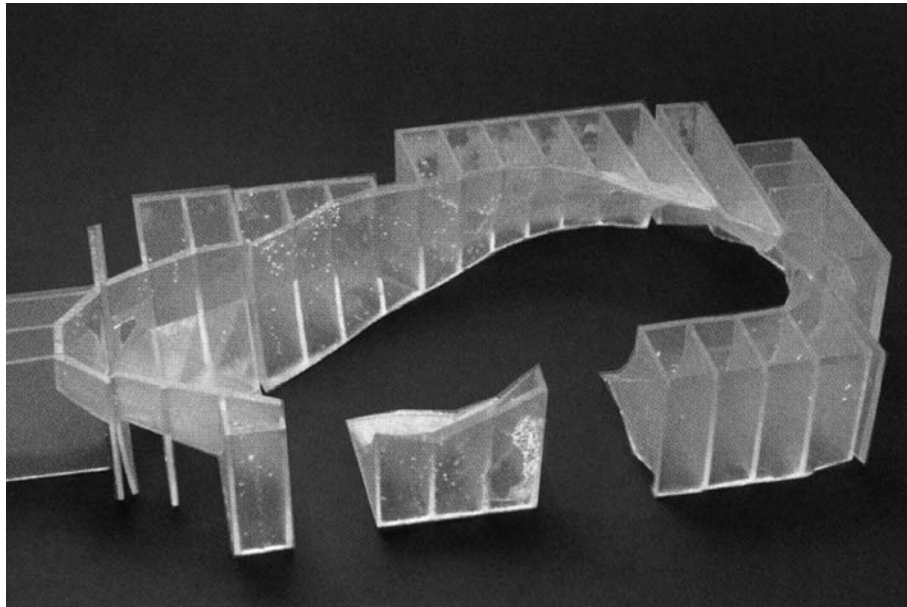


Abb. 212: Greg Lynn, Artists Space, Installation Design, New York, USA, 1995. Stereolithografie-
modell der Ausstellungswand, Fotografie.

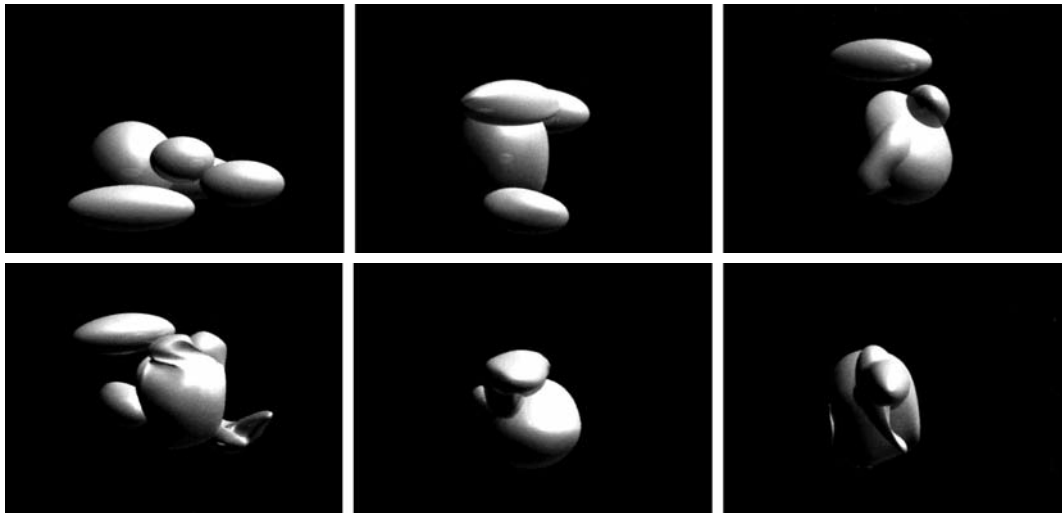


Abb. 213: Greg Lynn, Henie Onstad Kunstsenter, Installation Design, Oslo, Norwegen, 1995. Studie, Verschmelzung von fünf kugeligen und ellipsoiden Objekten, Vorderansichten, Computeranimation, Standbilder.

Abb. 214: Studie, 3D-Modell von fünf verformten Kugelobjekten in der Deckenöffnung der Galerie, Perspektive, Computerrendering

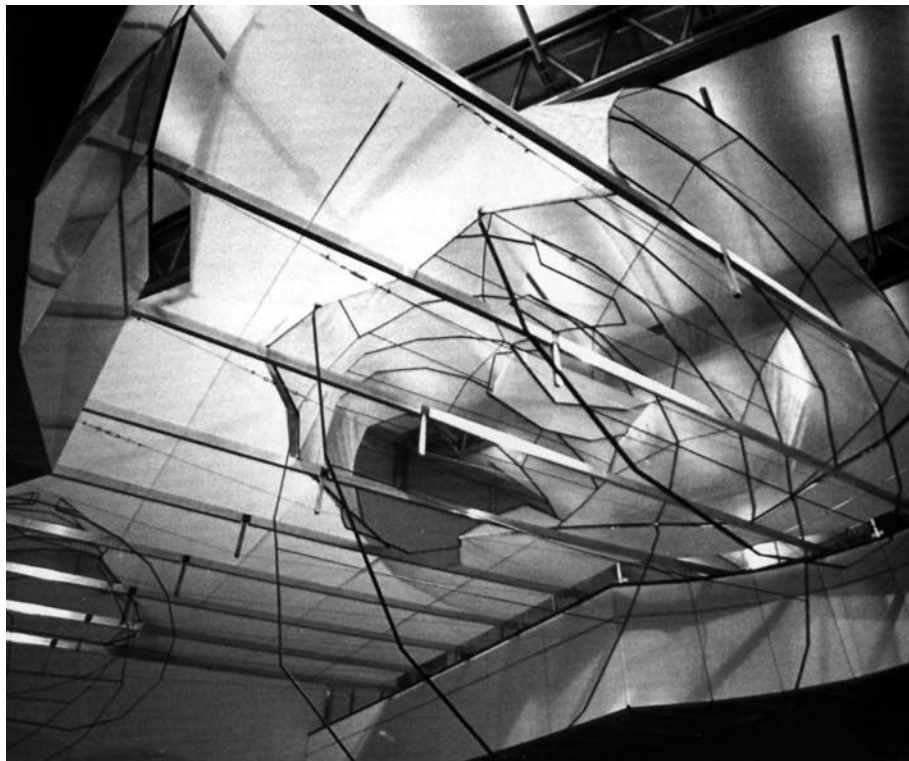
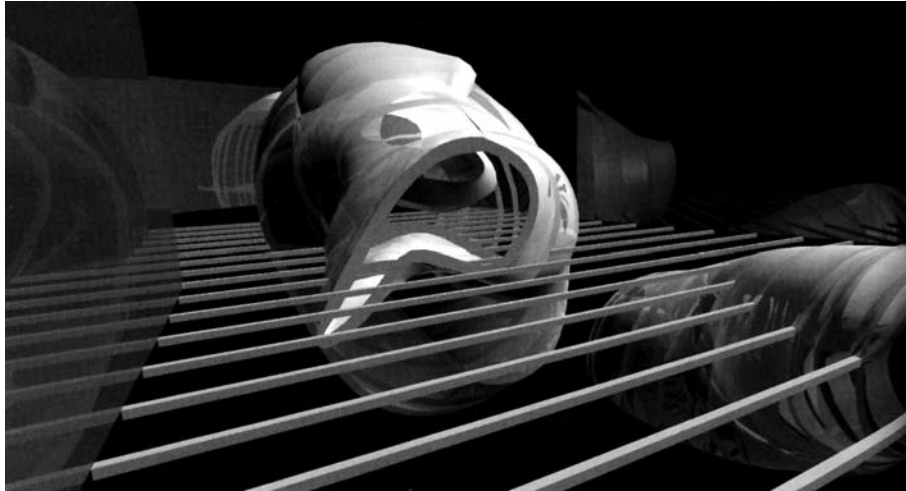


Abb. 215: Greg Lynn, Henie Onstad Kunstsenter, Installation Design, Oslo, Norwegen, 1995.
3D-Modell, Perspektive, Computerrendering.
Abb. 216: Blick von unten auf das Deckenobjekt, Fotografie.

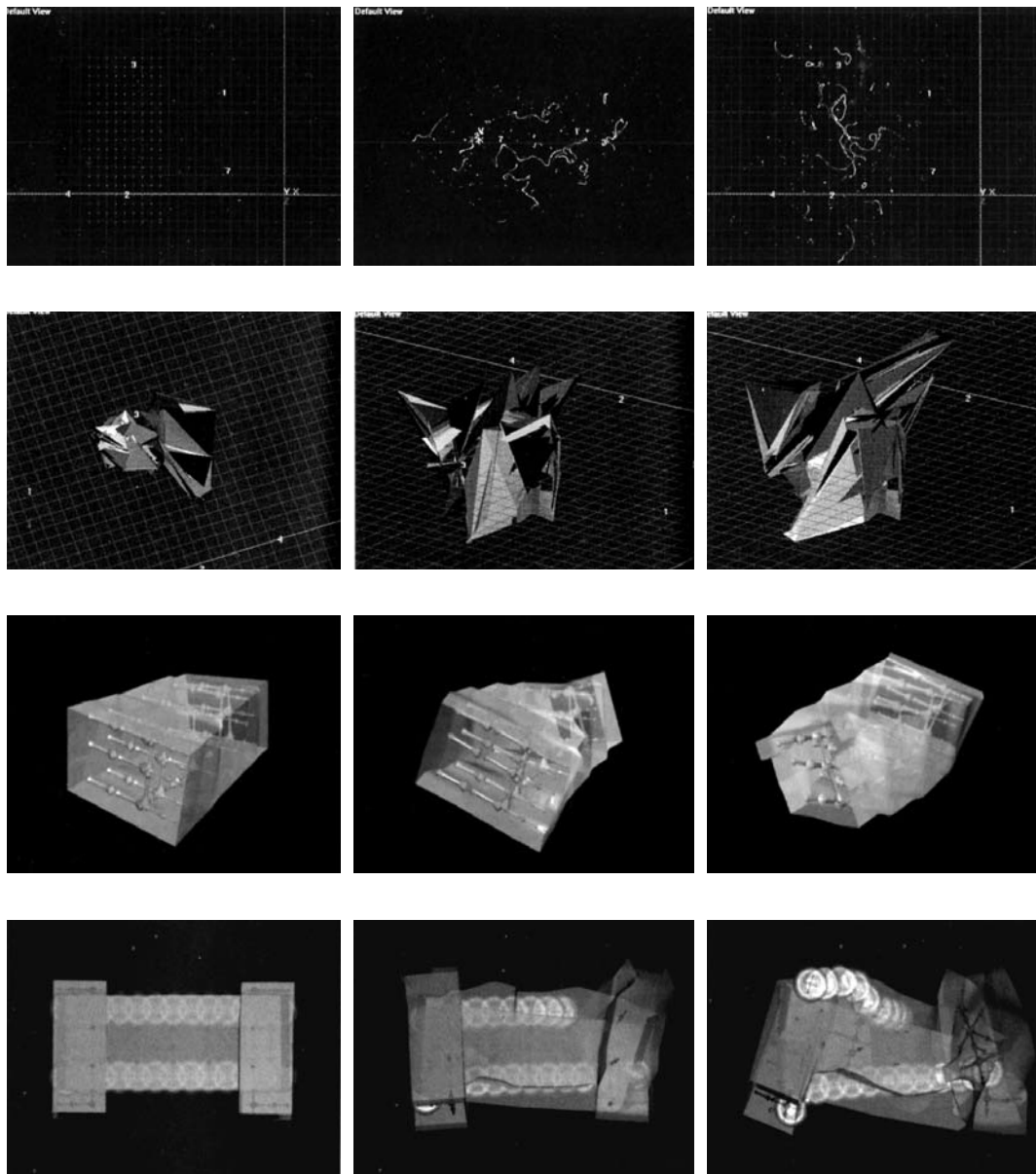


Abb. 217: Greg Lynn, House Prototype, Long Island/New York, USA, Entwurf 1994. Studie, Bewegung digitaler Partikel unter Einwirkung dynamischer Kräfte, Aufsichten, Computeranimation, Standbilder.

Abb. 218: Verformung eines geometrischen Objektes mit elastischen Verbindungen an den *Vertices*, Axonometrien, Computeranimation, Standbilder.

Abb. 219: 3D-Modell des ersten Prototyps, Verformung eines quaderförmigen Volumens mit innen liegendem Skelett, Perspektiven, Computeranimation, Standbilder.

Abb. 220: 3D-Modell des zweiten Prototyps, Verformung eines H-förmigen Volumens mit innen liegendem Skelett und zwei elastischen Kugelketten, Aufsichten, Computeranimation, Standbilder.

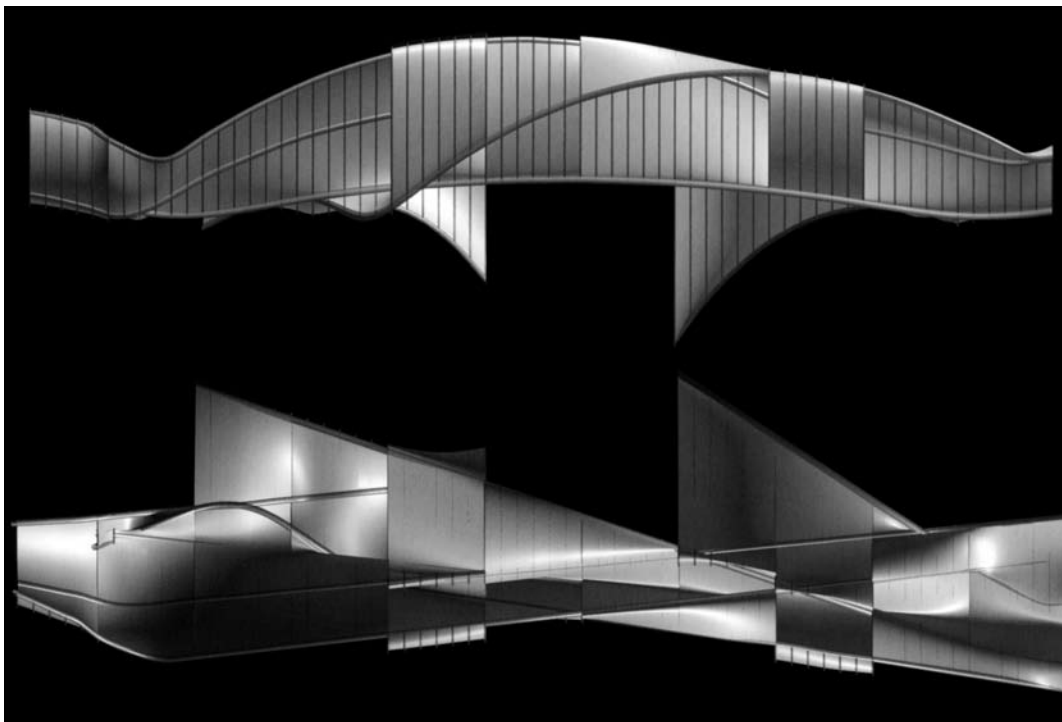
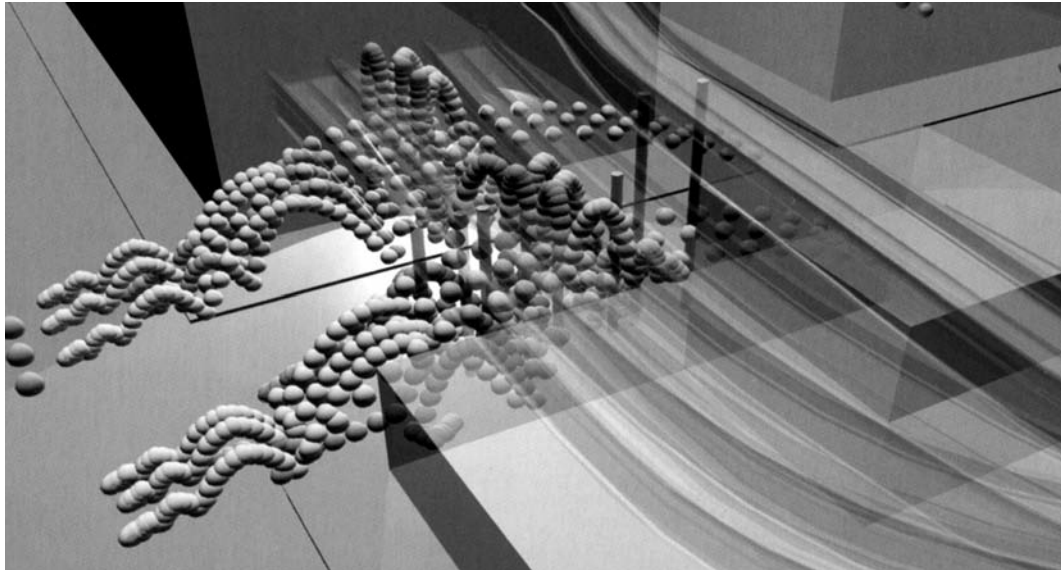


Abb. 221: Greg Lynn, Port Authority Gateway, New York, USA, Entwurf 1995. Studie, 3D-Modell überlagerter Bewegungsspuren von Partikeln in der Ninth Avenue, Perspektive, Computerrendering.
Abb. 222: Längsansicht und Aufsicht des Flugdaches, Computerrenderings.

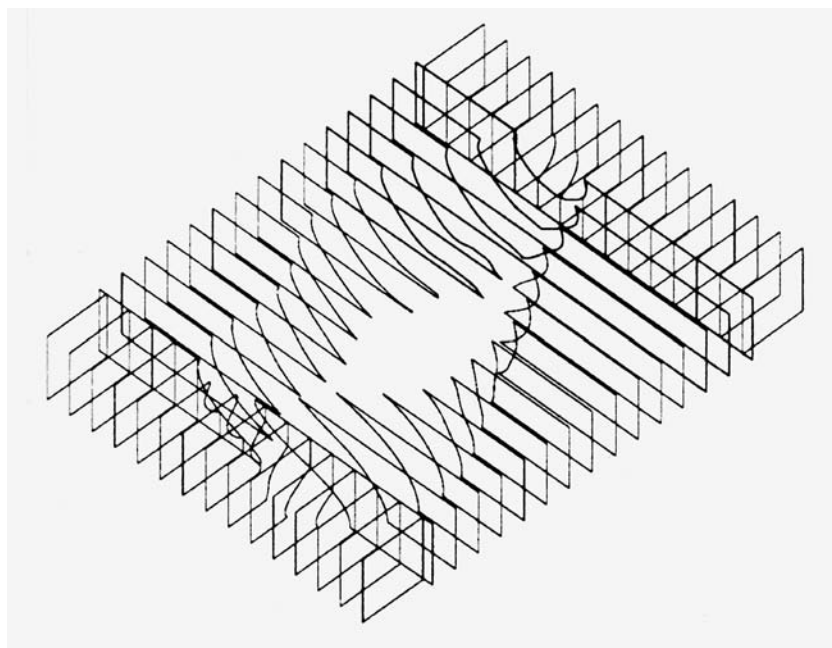
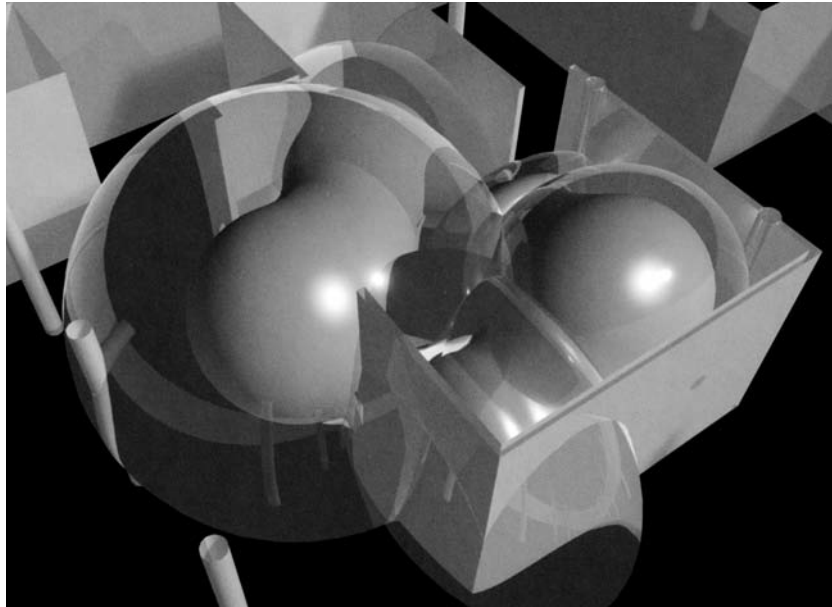


Abb. 223: Greg Lynn, Artists Space, Installation Design, New York, USA, 1995. Studie, 3D-Modell von fünf verschmolzenen Kugelobjekten mit Einflusszonen im Galerieraum, Perspektive, Computer-rendering.

Abb. 224: Greg Lynn, Artists Space, Installation Design, New York, USA, 1995. Strukturmodell, Axonometrie, Computerzeichnung.

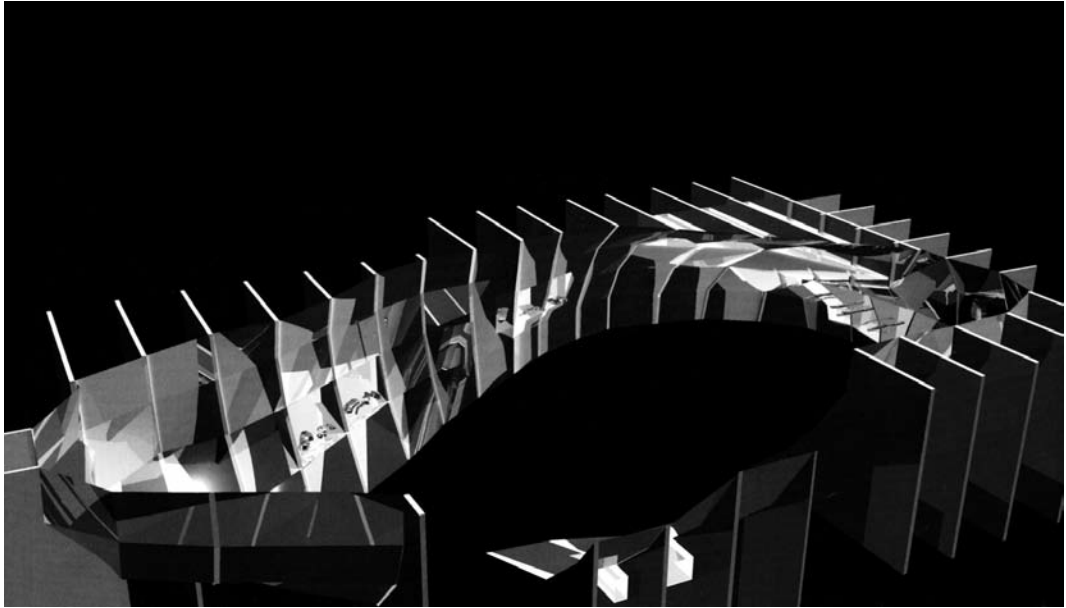


Abb. 225: Greg Lynn, Artists Space, Installation Design, New York, USA, 1995. 3D-Modell, Perspektive, Computerrendering.

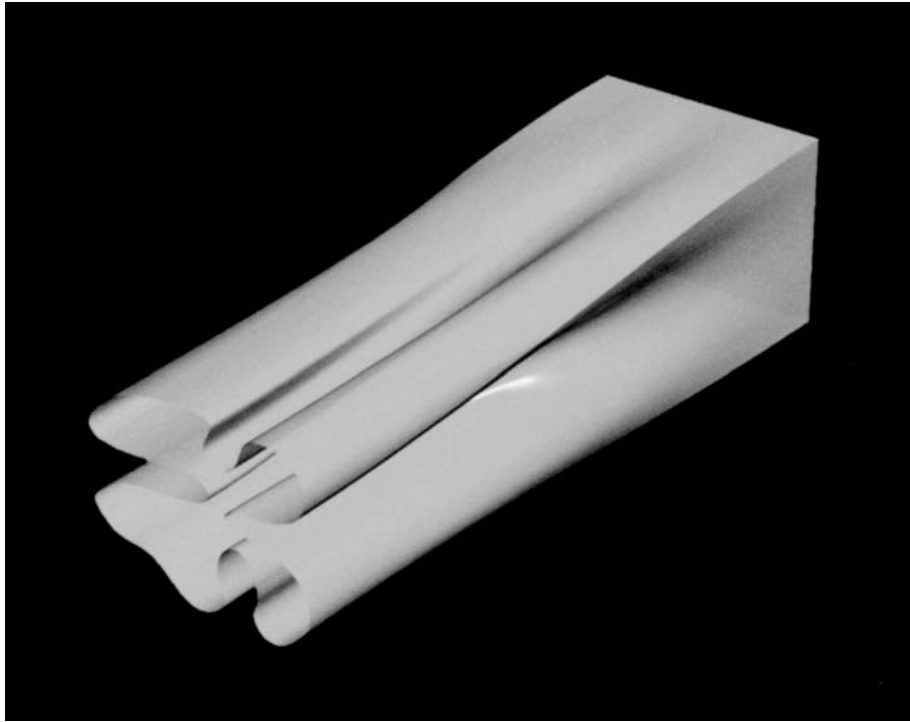


Abb. 226: Ben van Berkel und Caroline Bos/UN Studio, Musiktheater, Graz, Österreich, 1998–2008.
From blob to box and back again, Konzeptmodell, Perspektive, Computerrendering.

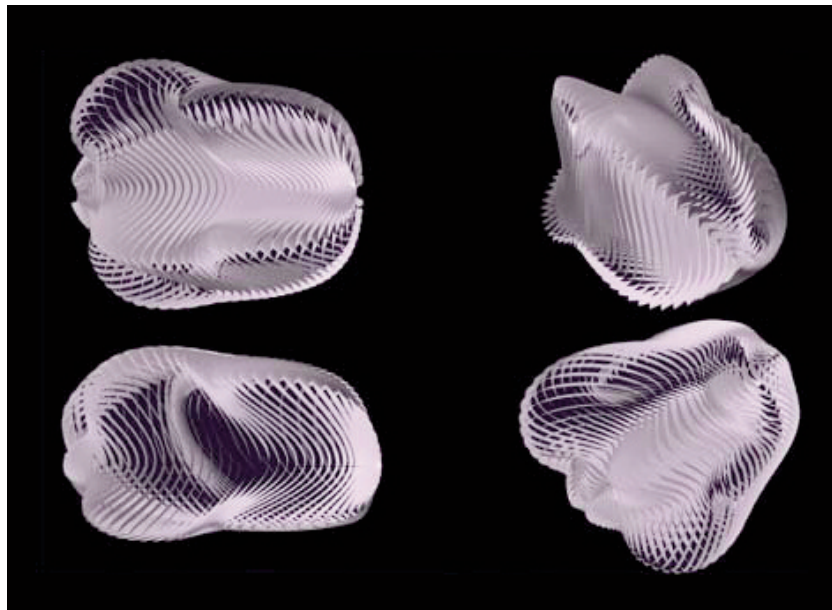
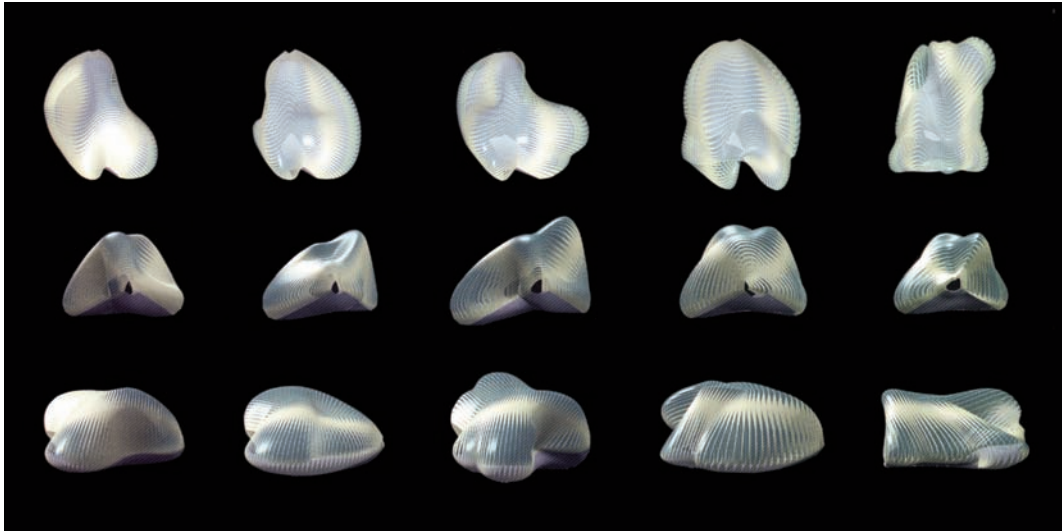


Abb. 227: Greg Lynn, Embryological House, Entwurf 1997–2001. Fünf Formvariationen, von oben nach unten: Aufsicht, Vorderansicht, Seitenansicht, Computerrenderings.
 Abb. 228: Studie der Hülle, Perspektiven, Computerrenderings.

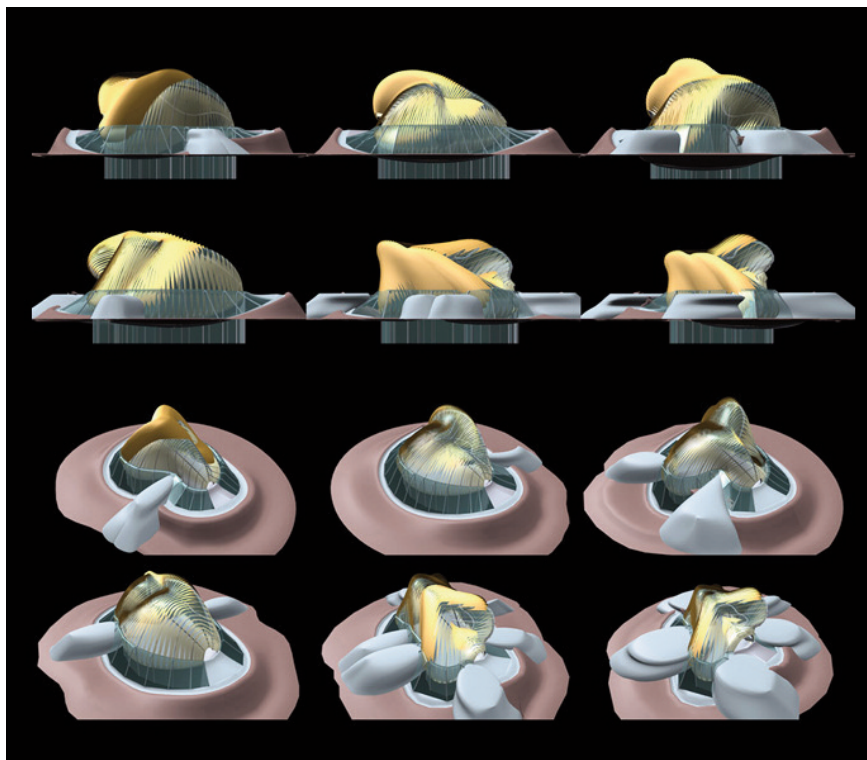
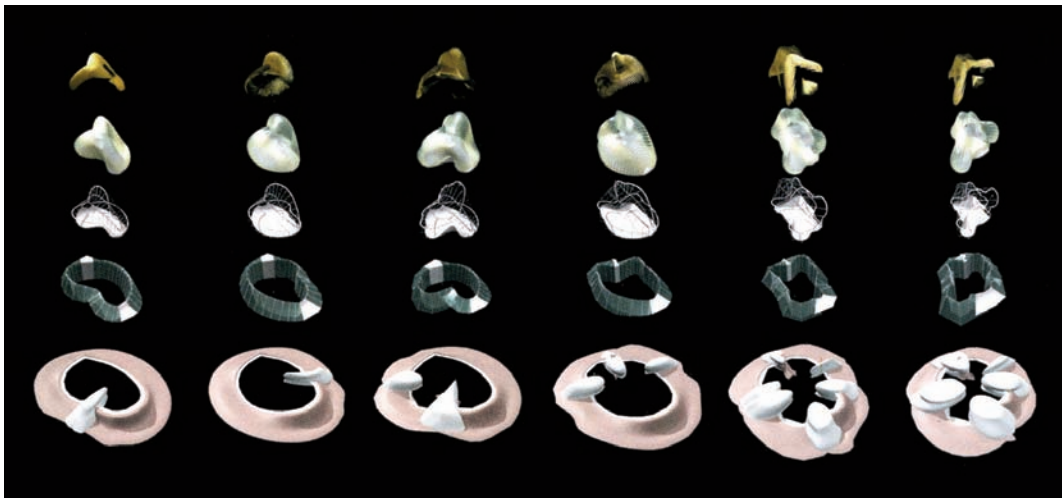


Abb. 229: Greg Lynn, Embryological House, Entwurf 1997–2001. 3D-Modelle von sechs Prototypen, bestehend aus fünf Aufbauelementen, Explosionsaxonometrie, Computerrendering.
 Abb. 230: 3D-Modelle der sechs Prototypen, Ansichten und Axonometrien, Computerrenderings.

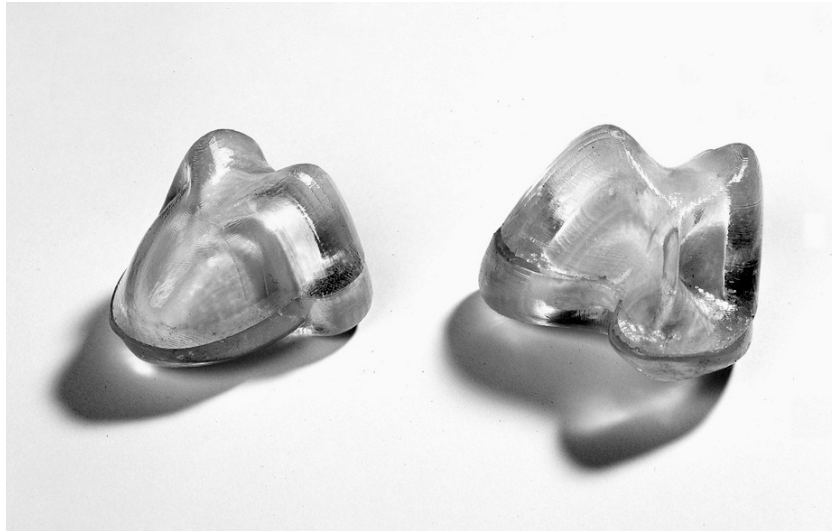


Abb. 231–232: Greg Lynn, Embryological House, Entwurf 1997–2001. Volumenstudien, computererzeugte Stereolithografiemodell, 1998, 2,86 cm x 4,45 cm x 4,13 cm, Fotografien.



Abb. 233: Greg Lynn, Embryological House, Entwurf 1997–2001. Studie der Hülle, CNC-wasserstrahlgeschnittenes Metallmodell, 1998, 24,77 cm x 29,21 cm x 29,21 cm, Fotografie.

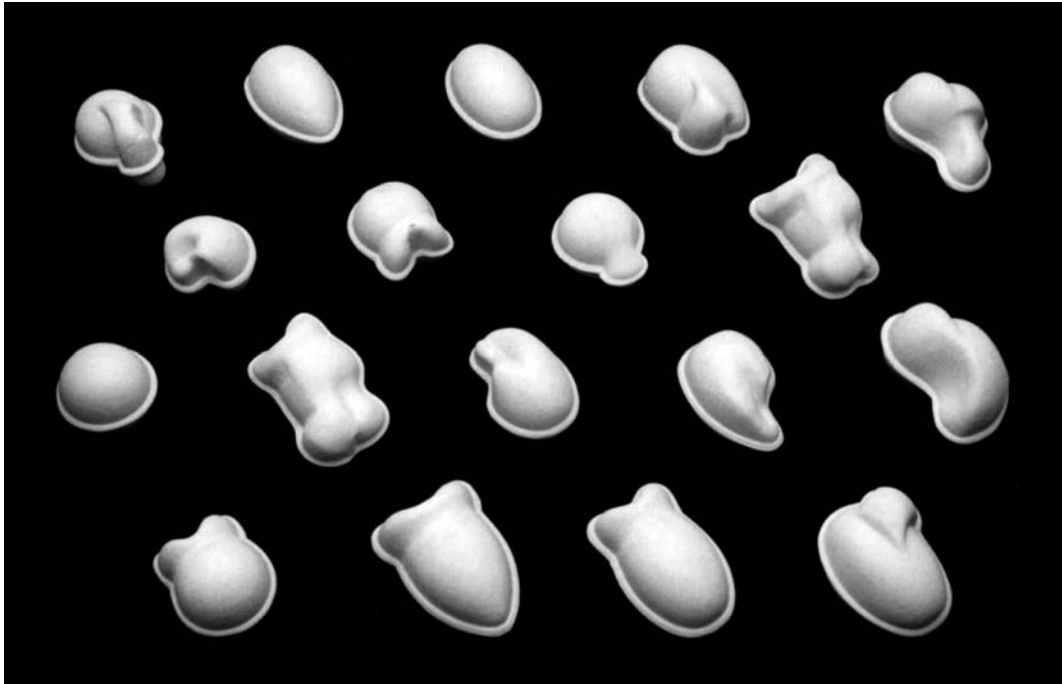


Abb. 234: Greg Lynn, Embryological House, Entwurf 1997–2001. ABS Eggs – Size A Pockets, um 1999, Modelle aus vakuumgeformtem ABS-Kunststoff, ca. 8 x 7 x 6 cm, Fotografie.



Abb. 235: Greg Lynn, Embryological House, Entwurf 1997–2001. ABS Egg – Size C Pocket and MDF Formwork – Size C Panel. Präsentationsmodell aus vakuumgeformtem ABS-Kunststoff und CNC-gefrästem MDF Holz, Fotografie.

Abb. 236: Negativmodell aus CNC-gefrästem MDF Holz, Fotografie (Ausschnitt).



Abb. 237: Greg Lynn, Embryological House, Entwurf 1997–2001. ABS Eggs – Size B Pockets and MDF Formwork – Size B Panel. Präsentationsmodell aus vakuumgeformtem ABS-Kunststoff und CNC-gefrästem MDF Holz, Fotografie.

Abb. 238: MDF Formwork – Size B Panel. Negativmodell aus CNC-gefrästem MDF-Holz, Fotografie.

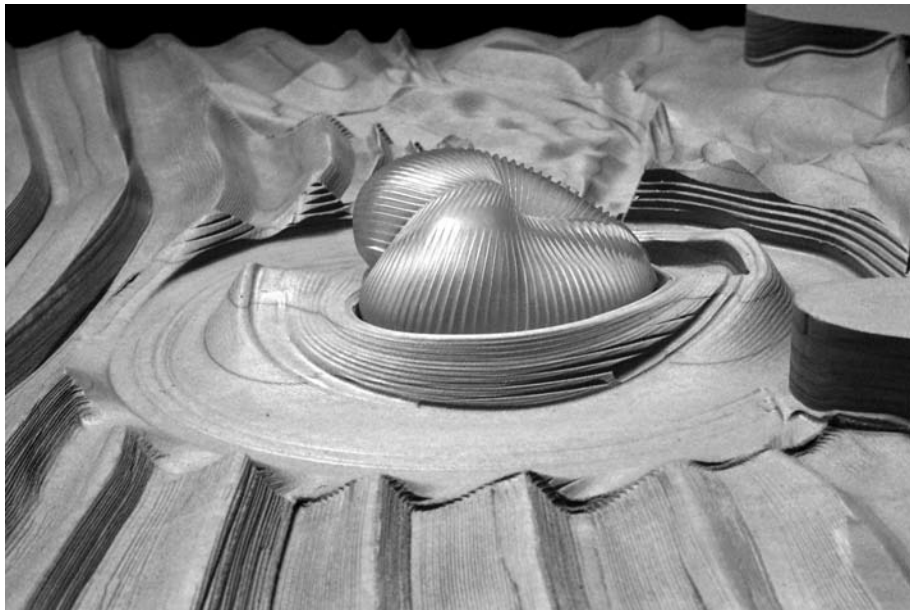
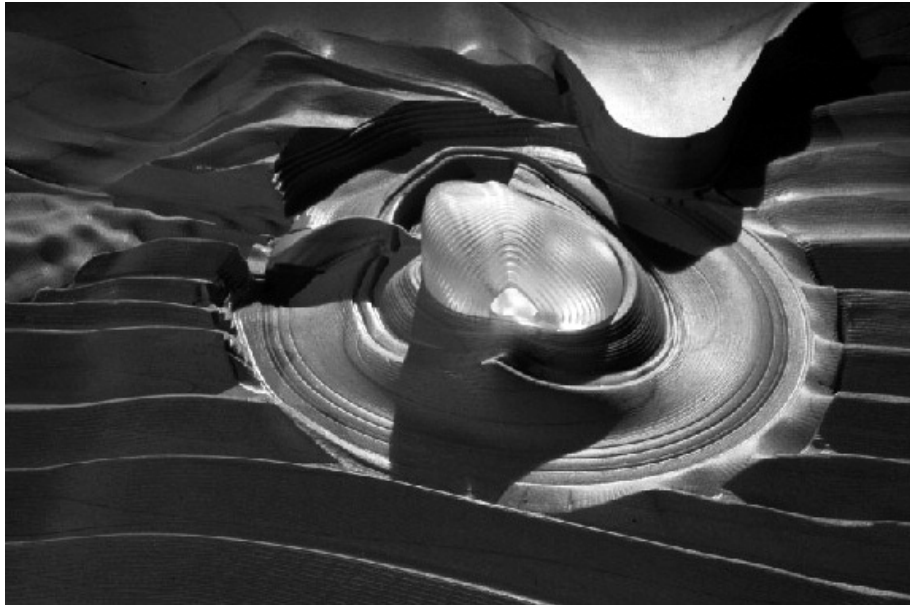


Abb. 239: Greg Lynn, Embryological House, Entwurf 1997–2001. Small Case Study. Präsentationsmodell aus Stereolithografieharz und CNC-gefrästem MDF, 15 x 20 x 20 cm (Haus), 15 x 120 x 150 cm (Basis), Aufsicht, Fotografie.
Abb. 240: Ansicht, Fotografie.

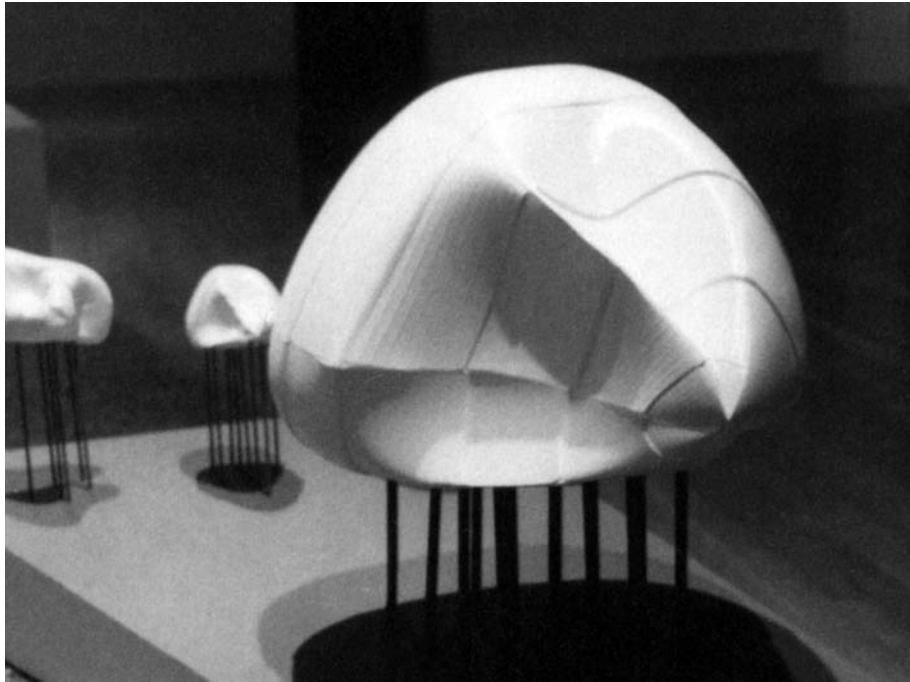


Abb. 241: Greg Lynn, Embryological House, Entwurf 1997–2001. ABS Eggs. Aufgeständerte Präsentationsmodelle aus vakuumgeformtem ABS-Kunststoff, Fotografie.



Abb. 242: Greg Lynn, Embryological House, Entwurf 1997–2001. Mock-up auf der siebten Internationalen Architekturbiennale, Italienischer Pavillon, Venedig, Italien, 2000. Ansicht von links, Fotografie.

Abb. 243: Ansicht von rechts, Fotografie.

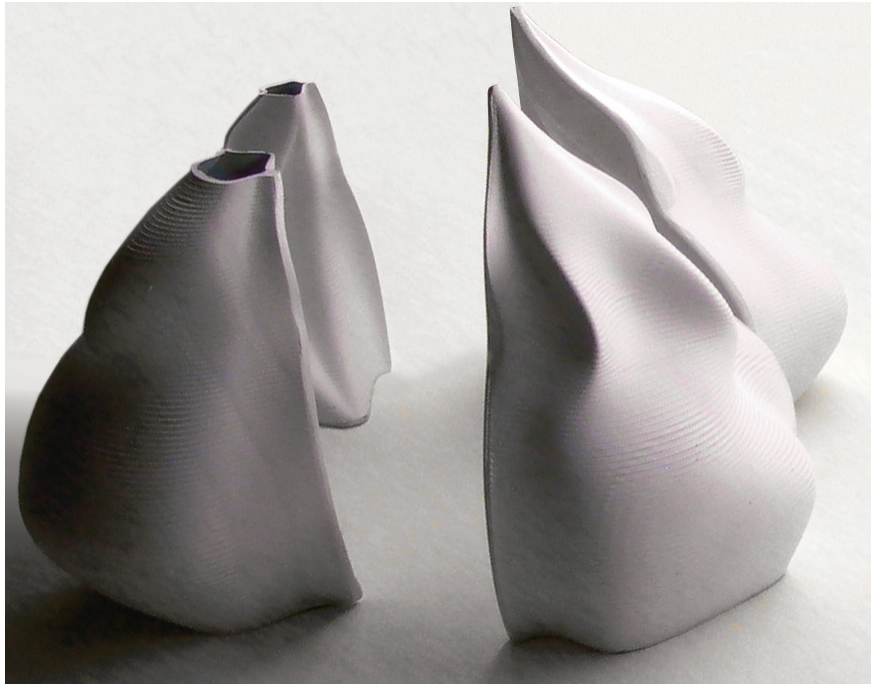


Abb. 244: Greg Lynn, Alessi Tea & Coffee Towers, tea and coffee service, 2001–03. Vakuumgeformte Prototypen, zusammengehörender Satz in offener Anordnung, Fotografie.
Abb. 245: Zusammengehörender Satz in geschlossener Anordnung, Fotografie.

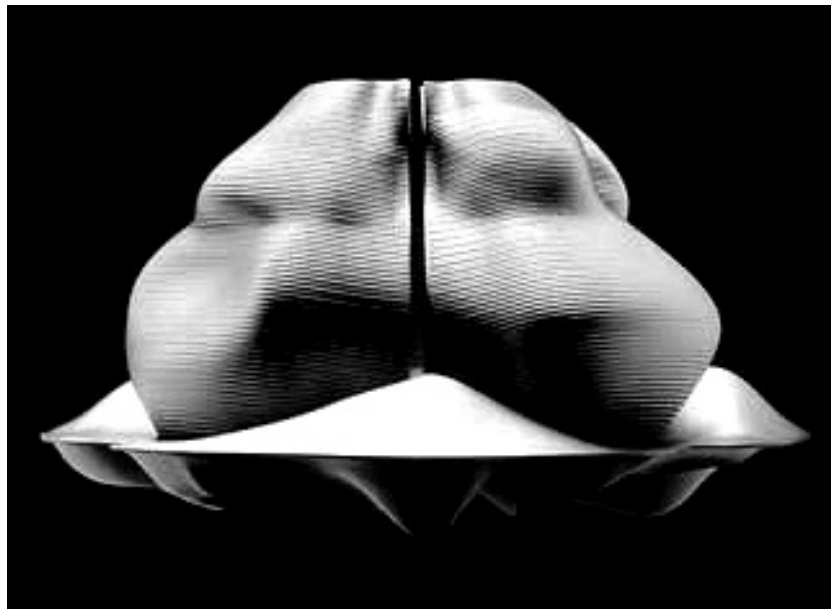
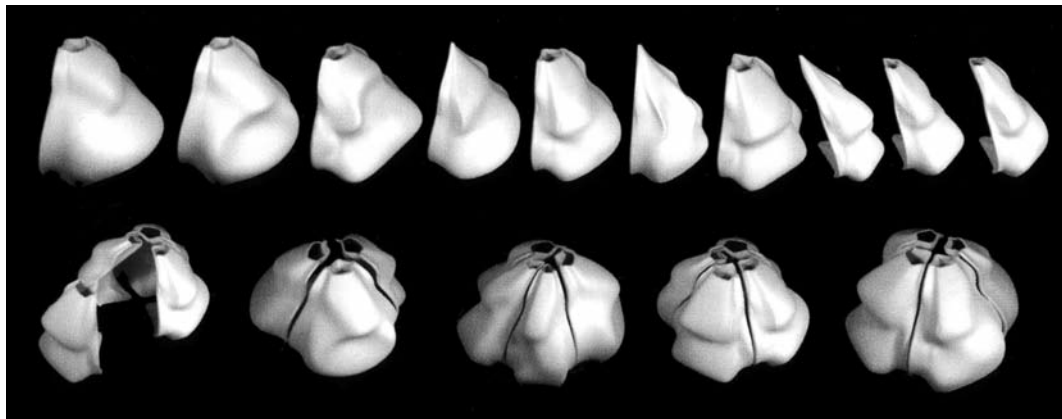


Abb. 246: Greg Lynn, Alessi Tea & Coffee Towers, tea and coffee service, 2001–03. Vakuumgeformte Prototypen aus Polystyrol, 25 x 17 x 13 cm, Einzelstücke und zusammengehörende Sätze, Fotografie.

Abb. 247: Teekanne, Kaffeekanne, Milchkännchen und Zuckerdose auf Tablett, Titan, 44,5 x 44 x 28,5 cm, Fotografie.



Abb. 248: Greg Lynn, Embryological House, Entwurf 1997–2001. 11 ABS Eggs – Size B Pockets and 2 MDF Formwork – Size B Panel. Präsentationsmodell aus vakuumgeformtem ABS-Kunststoff und CNC-gefrästem MDF Holz, Fotografie.



Abb. 249: ABB Architekten & Bernhard Franken, The Bubble BMW, Pavillon anlässlich der Internationalen Automobil-Ausstellung, Frankfurt am Main, Deutschland, 1999. Fotografie.

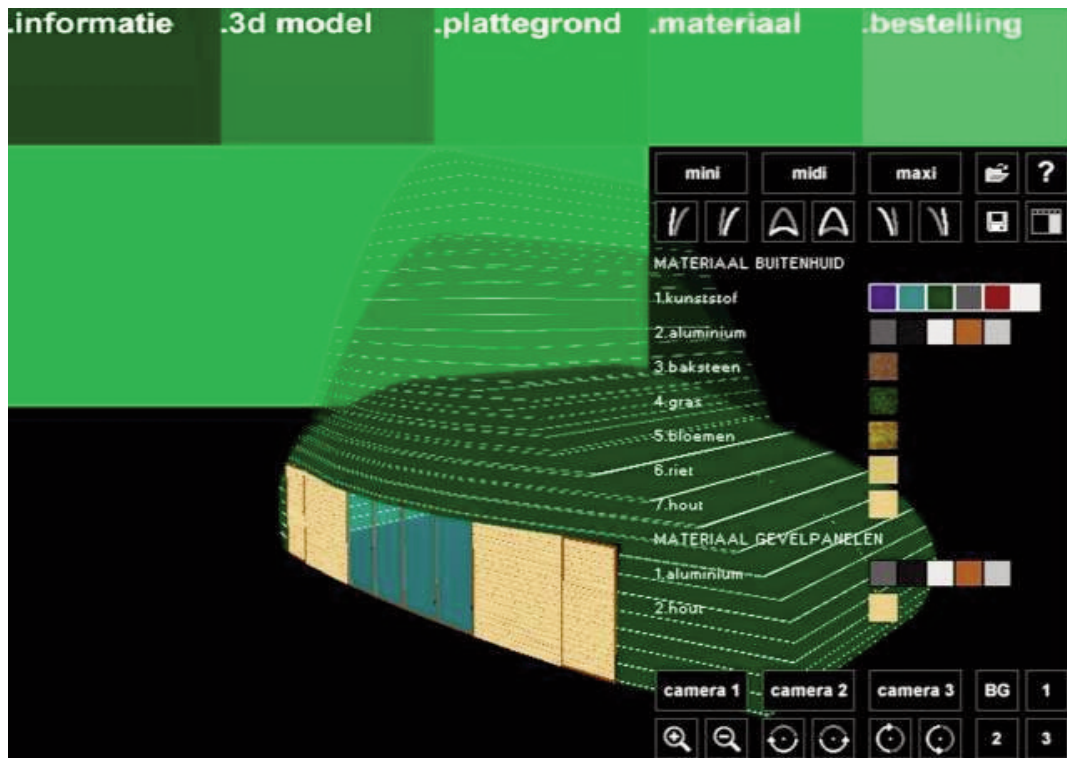


Abb. 250: Kas Oosterhuis, Variomatic, Entwurf 1999–2003. Internetseite.

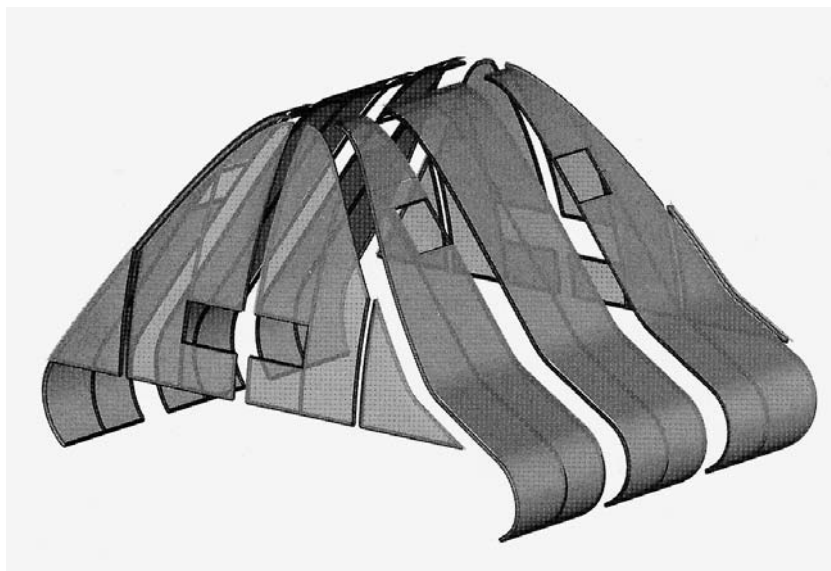
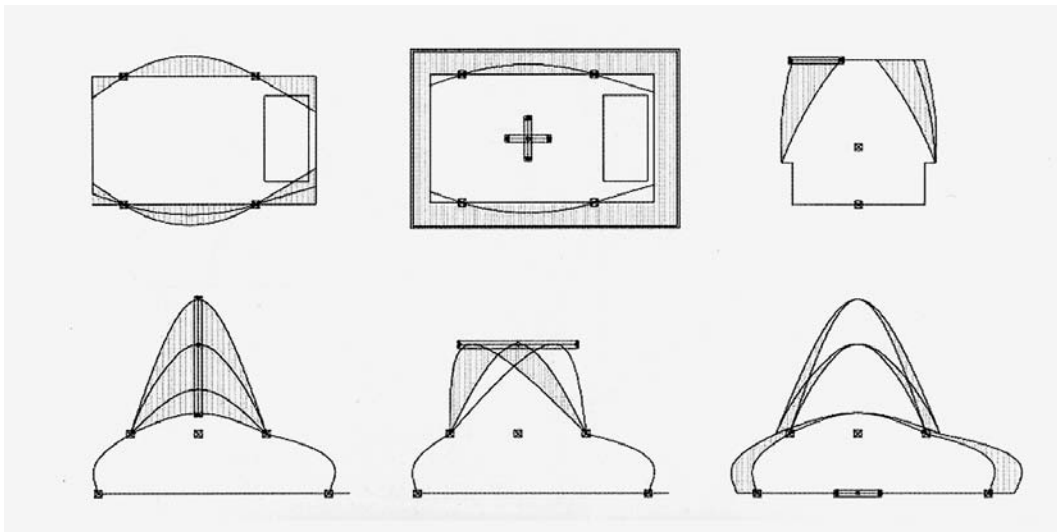


Abb. 251: Kas Oosterhuis, Variomatic, Entwurf 1999–2003. Grundgeometrie des parametrischen Computermodells, Grundrisse (oben) und Ansichten (unten).

Abb. 252: Hülle aus computergefertigten Stahlpaneelen. 3D-Modell, Axonometrie, Computer-rendering.

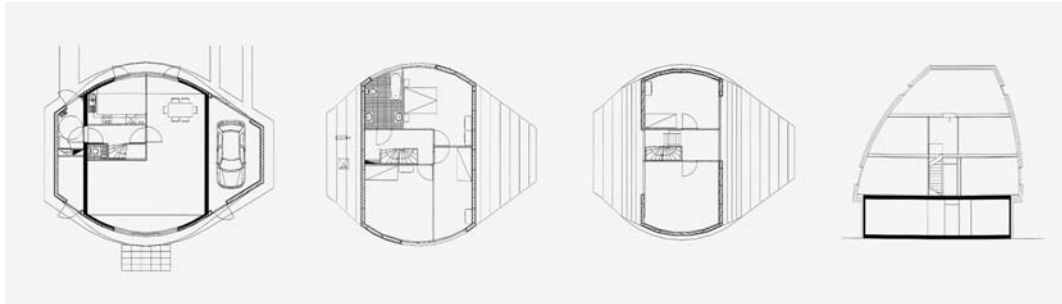


Abb. 253: Kas Oosterhuis, Variomatic, Entwurf 1999–2003. Grundrisse und Querschnitt eines exemplarischen Variomatic Maxi.

Abb. 254: 3D-Modell der ersten Variomatic-Siedlung in Zoetermeer, Niederlande, Perspektive, Montage aus Computerrendering und Fotografie.

Abb. 255: Aufsicht, Computerrendering.

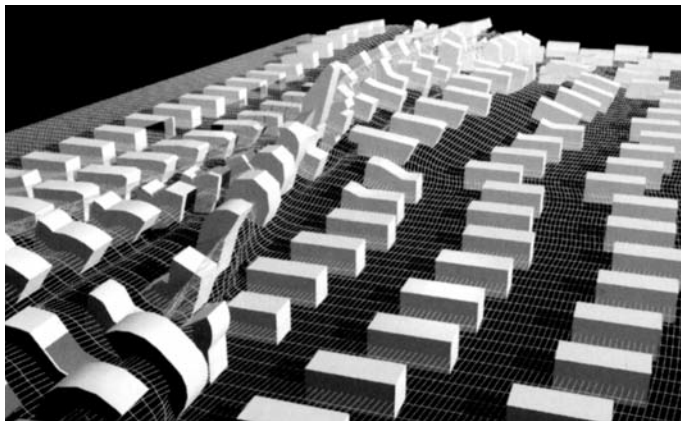
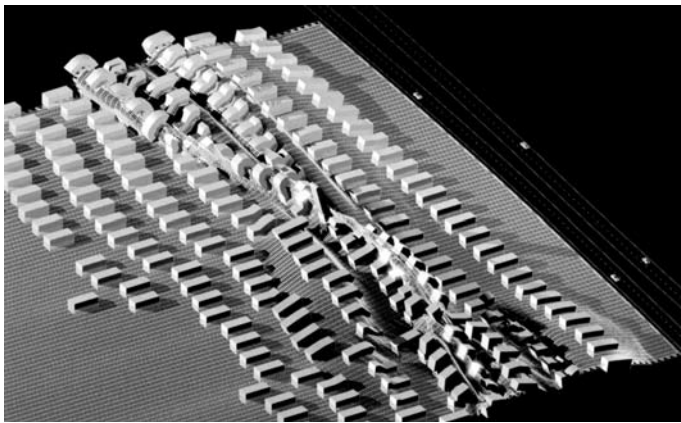
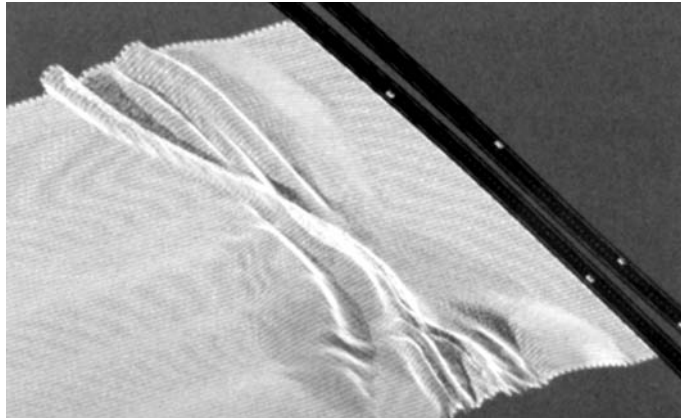


Abb. 256: Lars Spuybroek/NOX, OffTheRoad/103.8 Mhz, Wohnen und Lärmschutzwand an der Autobahn A 58, Eindhoven, Niederlande, Entwurf 1998. 3D-Modell des akustisch verformten Geländes, Axonometrie, Computerrendering.

Abb. 257: 3D-Modell des akustisch verformten Geländes mit Wohnhäusern, Axonometrie, Computerrendering.

Abb. 258: Ausschnitt, Perspektive, Computerrendering.

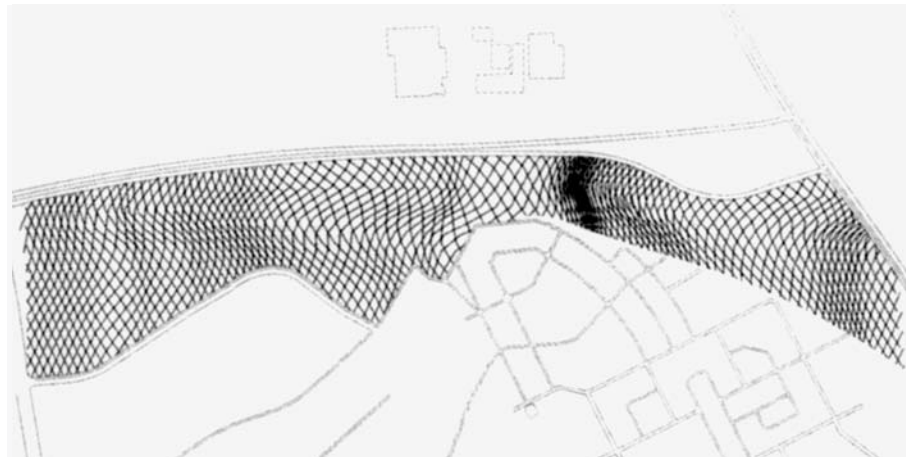
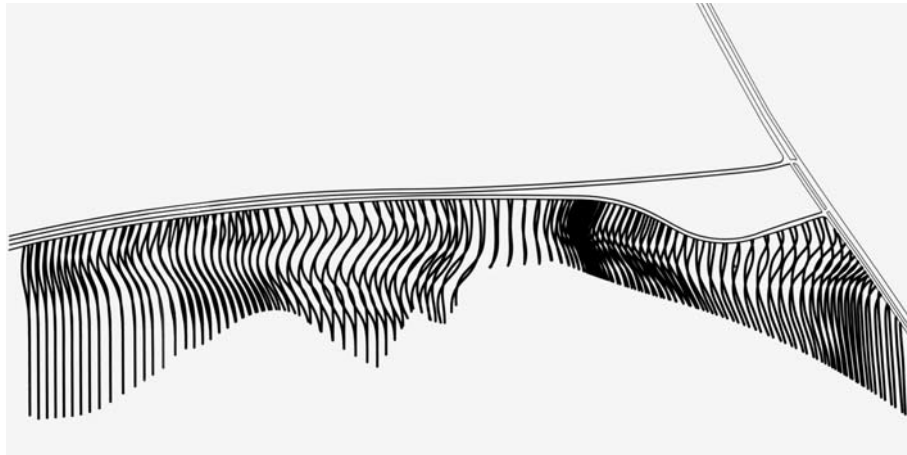


Abb. 259: Lars Spuybroek/NOX, OffTheRoad_5speed, Entwicklungsprojekt für Nicht-Standard-Fertighäuser an der Autobahn A 58 für die Wohnungsbaugesellschaft TRUDO, Eindhoven, Niederlande, Entwurf 1999/2000. Lageplan mit Moirémuster aus Doppellinien zur Positionierung der Häuser, Computerzeichnung.

Abb. 260: Lageplan mit Federnsystem zwischen den Doppellinien zur Ausrichtung der Häuser, Computerzeichnung.

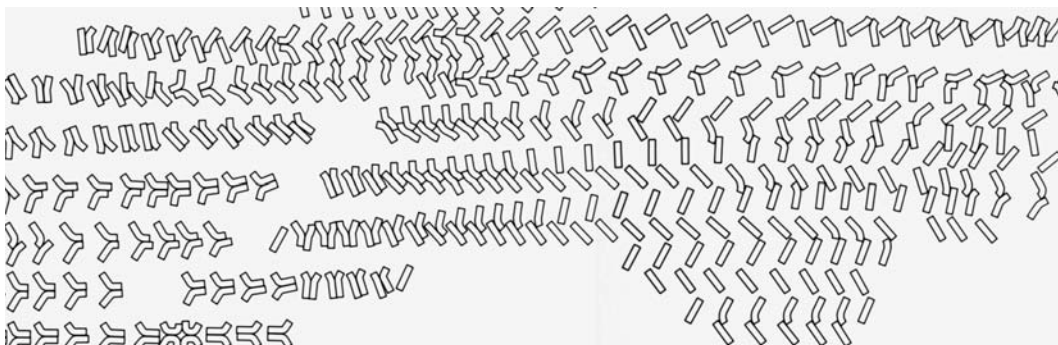
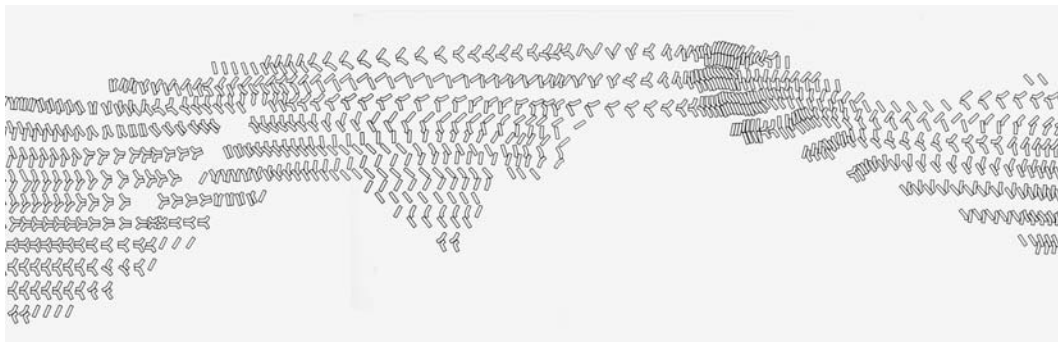
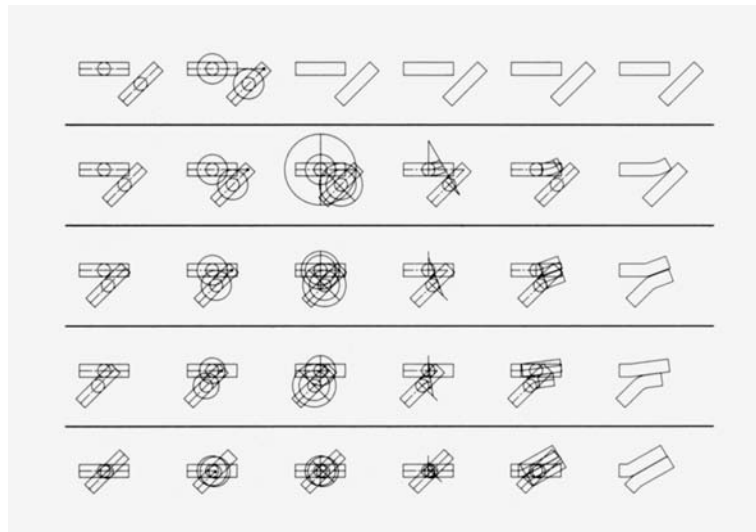


Abb. 261: Lars Spuybroek/NOX, OffTheRoad_5speed, Entwicklungsprojekt für Nicht-Standard-Fertighäuser an der Autobahn A 58 für die Wohnungsbaugesellschaft TRUDO, Eindhoven, Niederlande, Entwurf 1999/2000. Neukonfiguration der Verbindungen von zwei Häusern im Grundriss, Computerzeichnung.

Abb. 262: Siedlungsplan mit Umrissen der Häuser, Computerzeichnung.

Abb. 263: Ausschnitt aus Abb. 262.

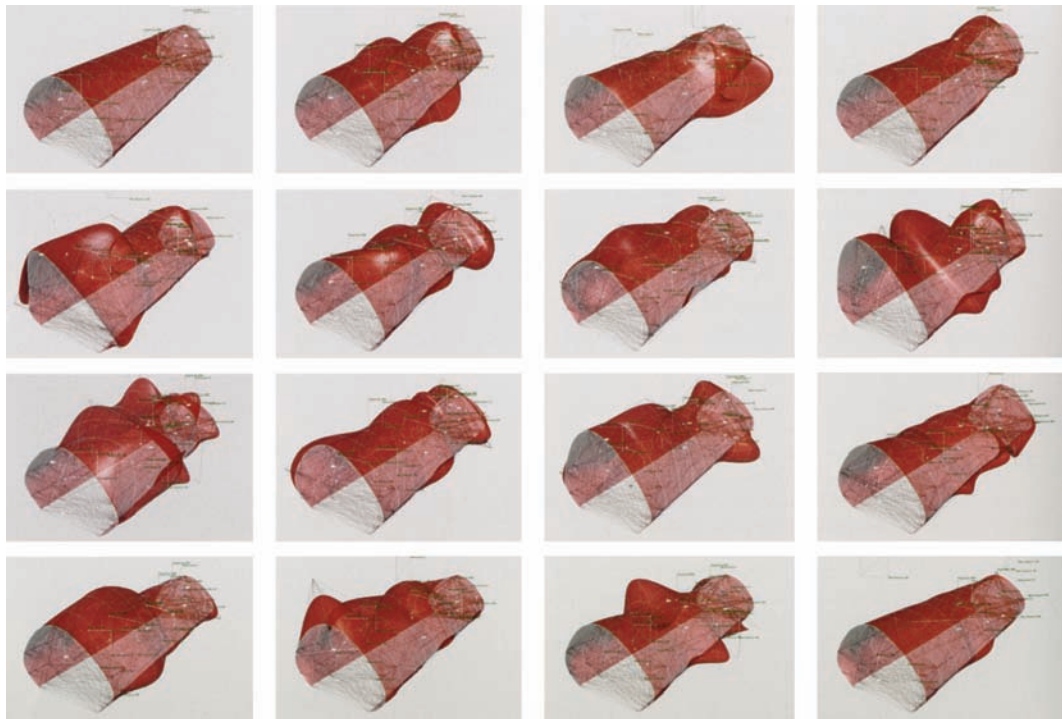


Abb. 264: Lars Spuybroek/NOX, OffTheRoad_5speed, Entwicklungsprojekt für Nicht-Standard-Fertighäuser an der Autobahn A 58 für die Wohnungsbaugesellschaft TRUDO, Eindhoven, Niederlande, Entwurf 1999/2000. 3D-Modell der Gebäudehülle in verschiedenen Formzuständen, Perspektiven, Computeranimation, Standbilder.

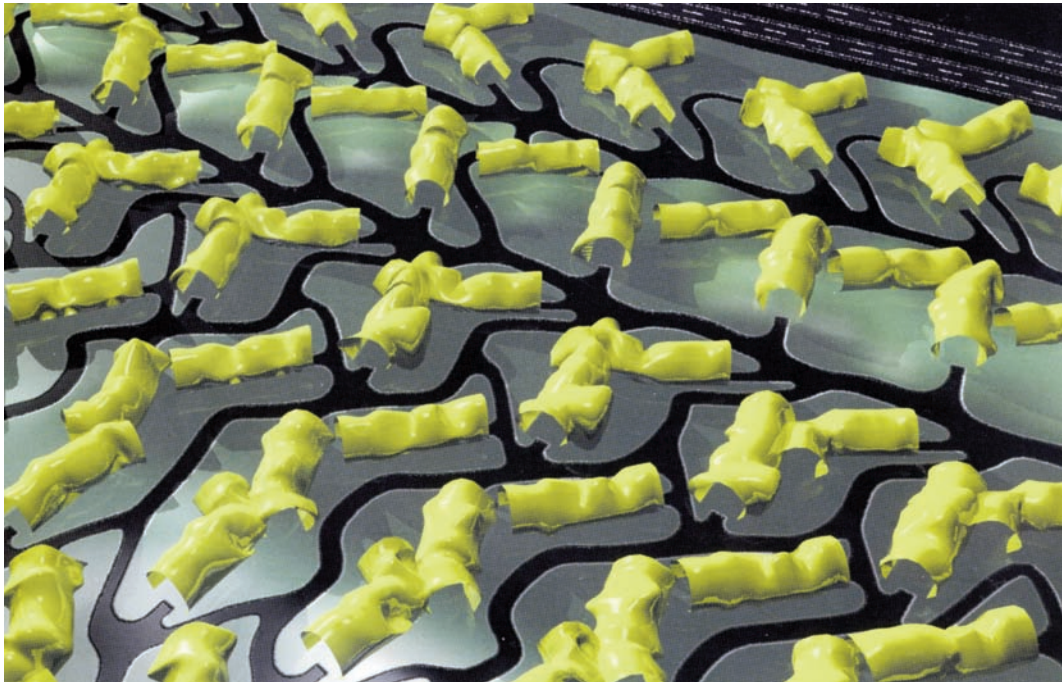


Abb. 265: Lars Spuybroek/NOX, OffTheRoad_5speed, Entwicklungsprojekt für Nicht-Standard-Fertighäuser an der Autobahn A 58 für die Wohnungsbaugesellschaft TRUDO, Eindhoven, Niederlande, Entwurf 1999/2000. 3D-Modell der Siedlung, Perspektive, Computerrendering (Ausschnitt).

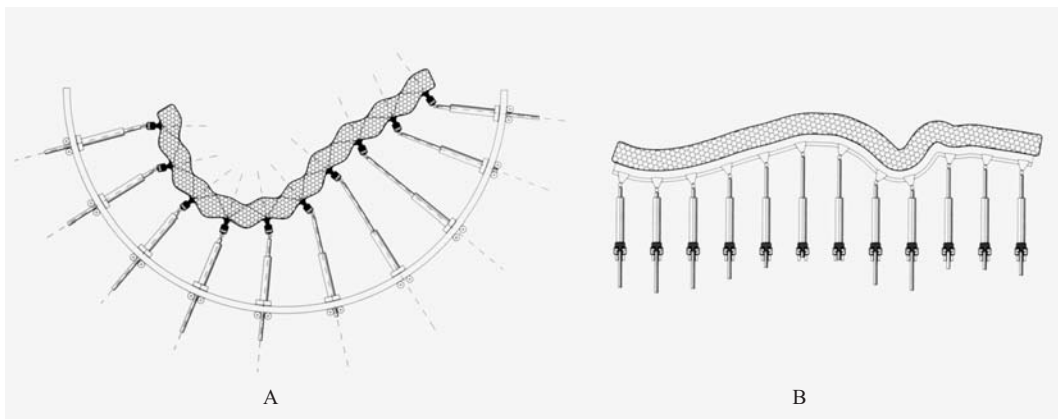
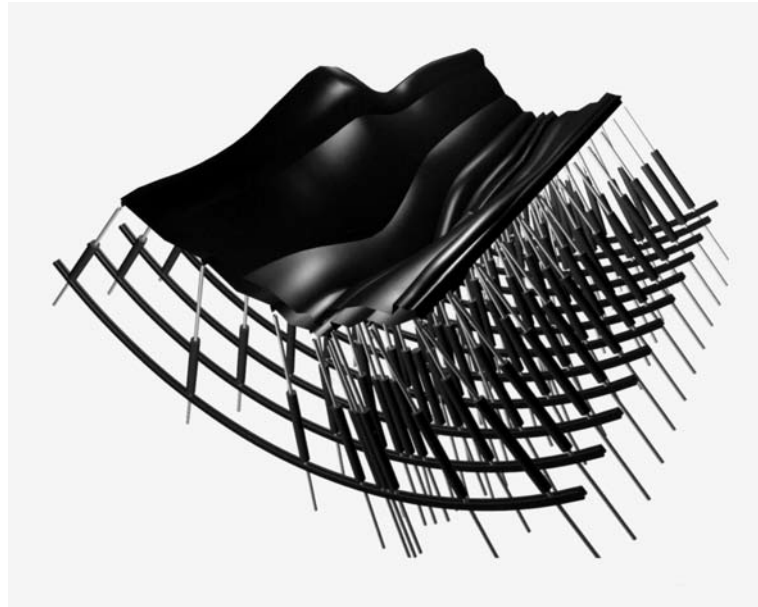


Abb. 266: Lars Spuybroek/NOX, OffTheRoad_5speed, Entwicklungsprojekt für Nicht-Standard-Fertighäuser an der Autobahn A 58 für die Wohnungsbaugesellschaft TRUDO, Eindhoven, Niederlande, Entwurf 1999/2000. 3D-Modell des flexiblen Schalungssystems, Perspektive, Computerrendering.

Abb. 267: Seitenansicht (A) und Schnitt (B) des flexiblen Schalungssystems mit Füllung aus Polyurethan, Computerzeichnungen.

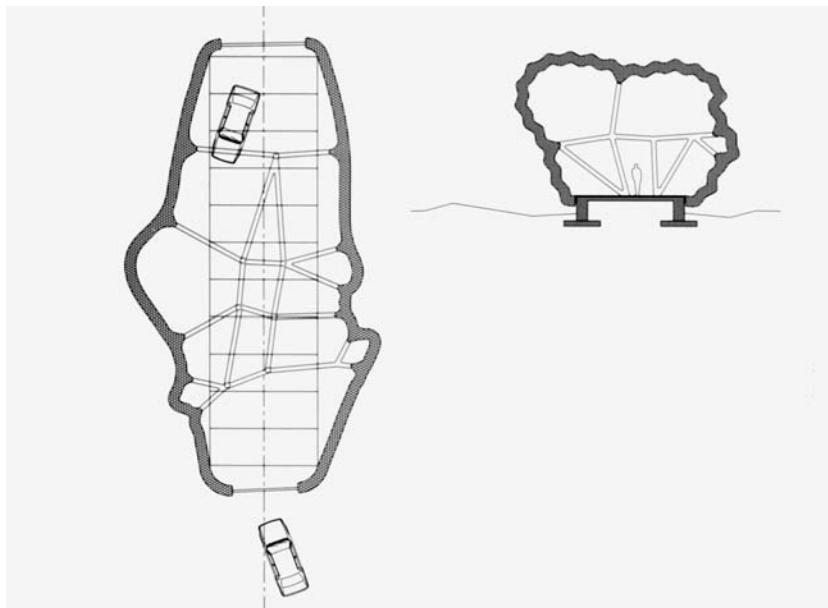


Abb. 268: Lars Spuybroek/NOX, OffTheRoad_5speed, Entwicklungsprojekt für Nicht-Standard-Fertighäuser an der Autobahn A 58 für die Wohnungsbaugesellschaft TRUDO, Eindhoven, Niederlande, Entwurf 1999/2000. 3D-Modell eines Nicht-Standard-Fertighauses, Perspektive, Computerrendering.

Abb. 269: Grundriss und Querschnitt des Nicht-Standard-Fertighauses mit Stahlkonstruktion und Stahlunterbau für die Bodenfläche, Computerzeichnungen.

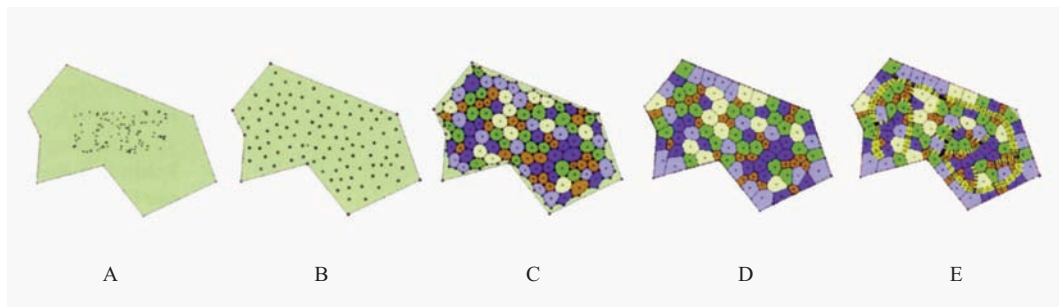


Abb. 270: Ludger Hovestadt/Universität Kaiserslautern, Lehrstuhl CAAD und Kees Christiaanse/KCAP Rotterdam, KaisersRot, Parzellenplan für eine Einfamilienhaussiedlung, 2000. Entstehung des Plans nach Parametern: Import der Bürgerwünsche (A), Verteilung unter Berücksichtigung der individuellen Bedürfnisse (B), Triangulation und Polygonbildung (C), Straffung der Polygone (D), Straßenbildung (E), Computerzeichnungen.
 Abb. 271: Parametrisch erzeugter Plan, Computerzeichnung.

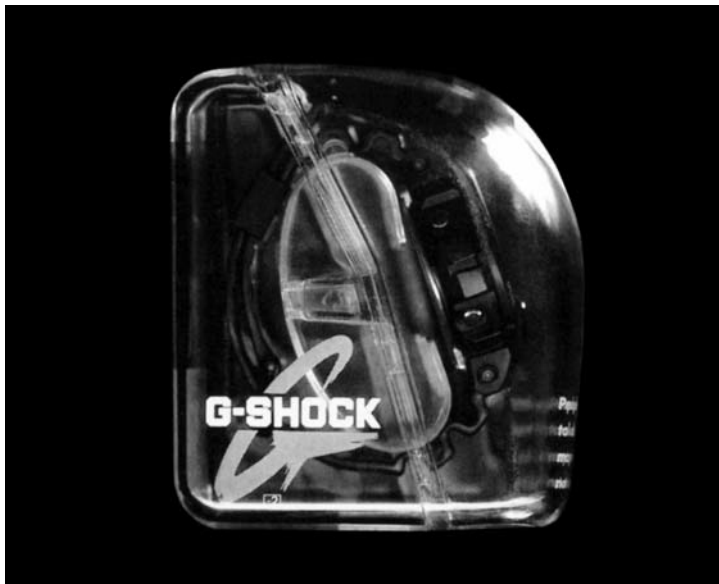
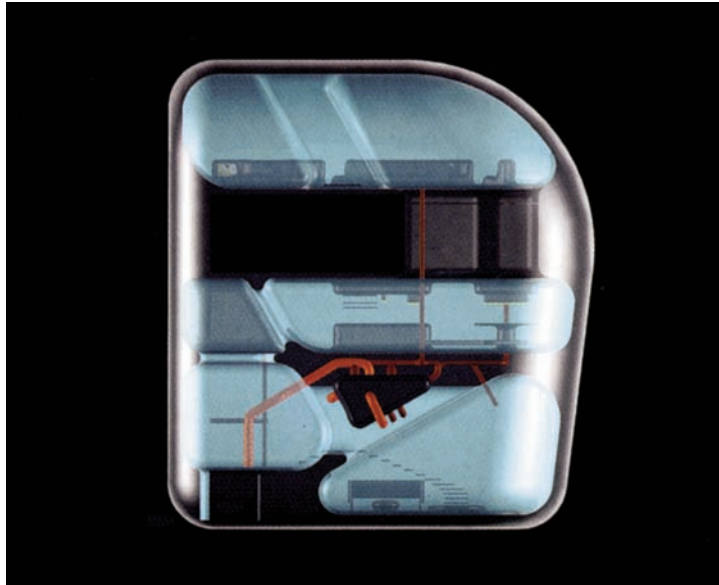


Abb. 272: André Poitiers, Plasma House, Entwurf 1999/2000. 3D-Modell, Überlagerung von Hülle und Binnenform, Ansicht, Computerrendering.

Abb. 273: G-Shock Watch, Herrenarmbanduhr von Casio aus den neunziger Jahren. Armbanduhr in Verpackungshülle aus transparentem Kunststoff, Fotografie.

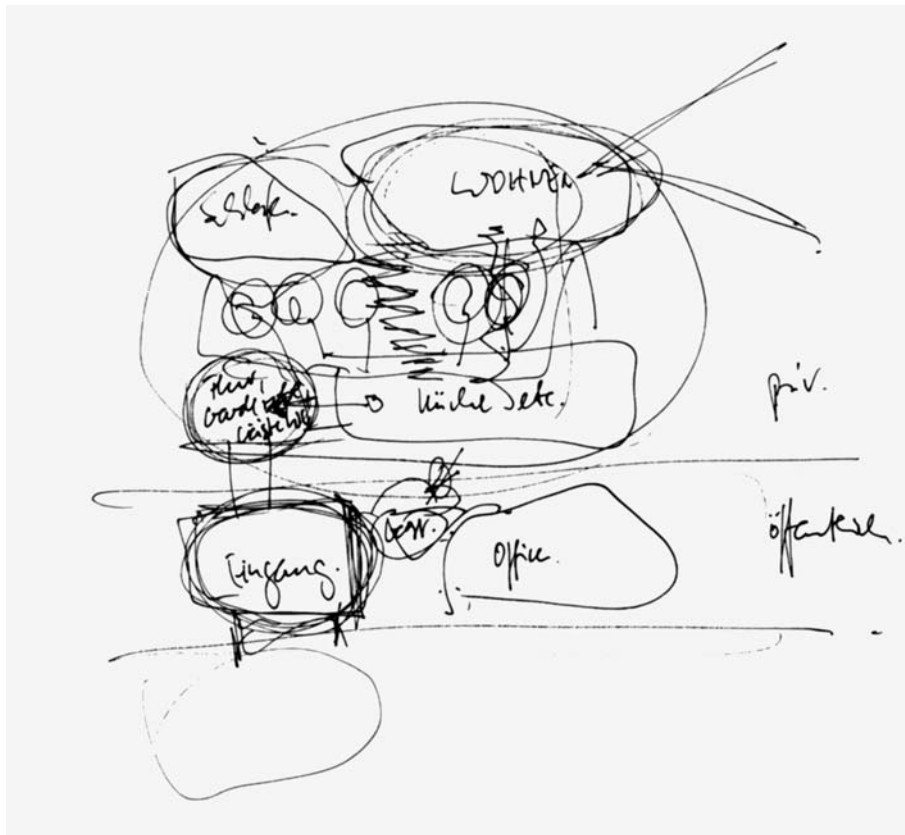


Abb. 274: André Poitiers, Plasma House, Entwurf 1999/2000. Verteilung der Wohnfunktionen innerhalb eines Moduls, Querschnitt, Skizze.

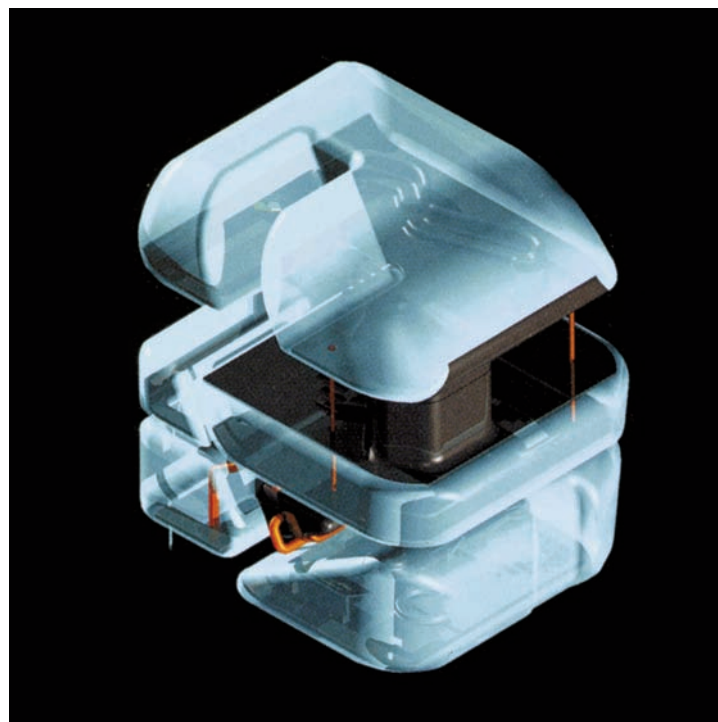
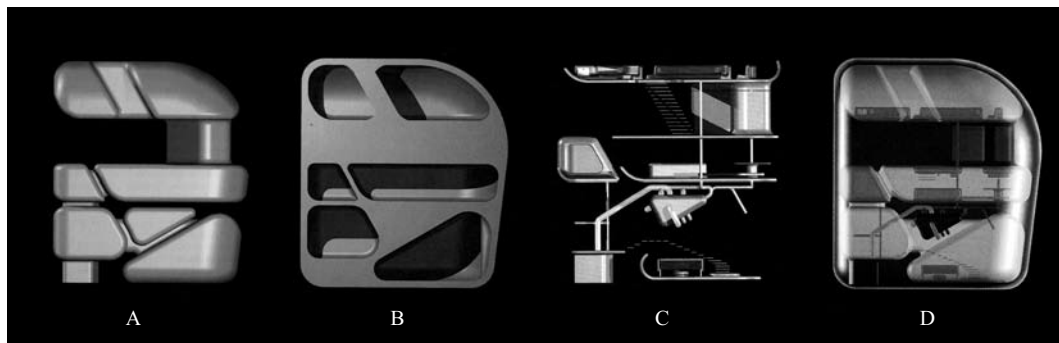


Abb. 275: André Poitiers, Plasma House, Entwurf 1999/2000. 3D-Modell, räumliche Gliederung des Gesamtvolumens (A, B), Versorgungsstränge/Innenausbau (C), Binnenform und Hülle (D), Ansichten, Computerrenderings.

Abb. 276: Überlagerung von Hülle und Binnenform, Axonometrie, Computerrendering.

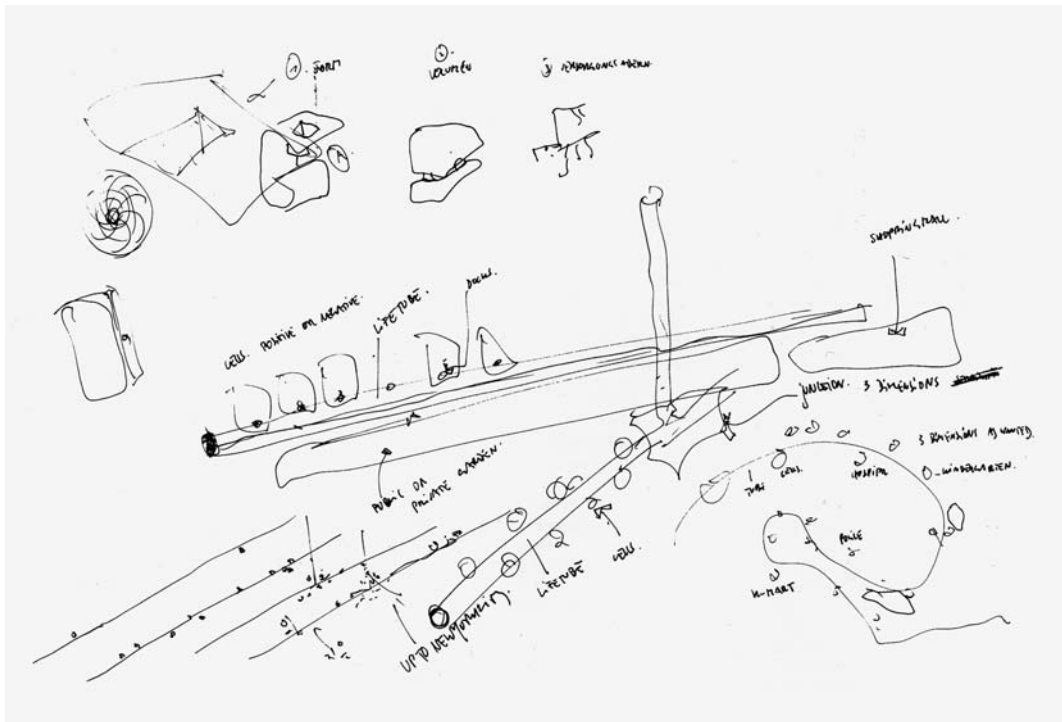


Abb. 277: André Poitiers, Plasma House, Entwurf 1999/2000. Variable Module in einer städtebaulichen Megainfrastruktur, Skizze.

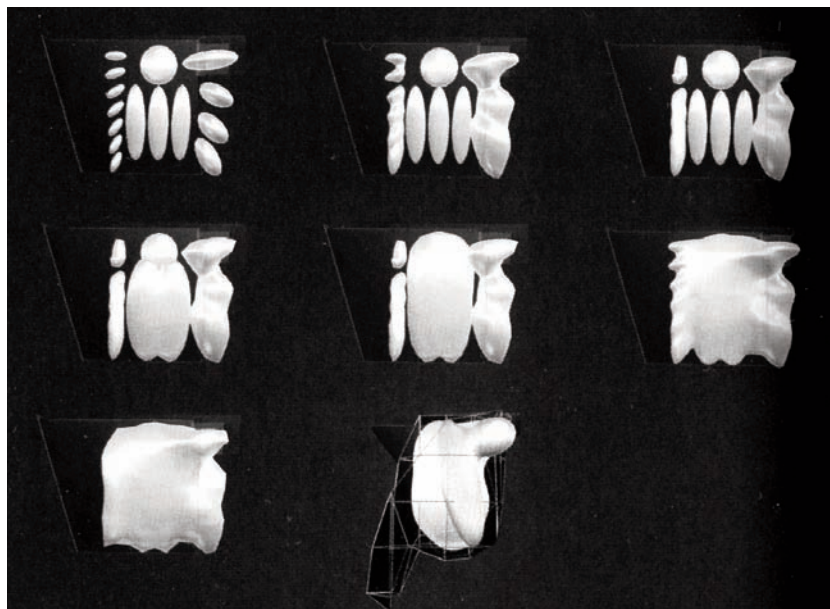
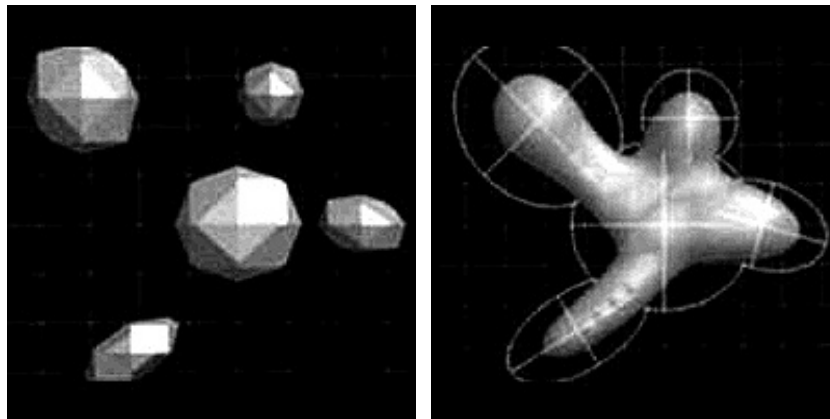


Abb. 278: Greg Lynn, *Metaball*-Modellierung, Konstruktion eines Objektes aus polygonalen Körpern, deren Oberflächen miteinander verschmelzen, 1998. Aufsichten, Computerrenderings.

Abb. 279: Greg Lynn, Douglas Garofalo und Michael McInturf, Korean Presbyterian Church of New York, USA, 1995–99. Studie, Verschmelzung von kugeligen und ellipsoiden Objekten zu einem geschmeidigen Großform, Aufsicht, Computeranimation, Standbilder.

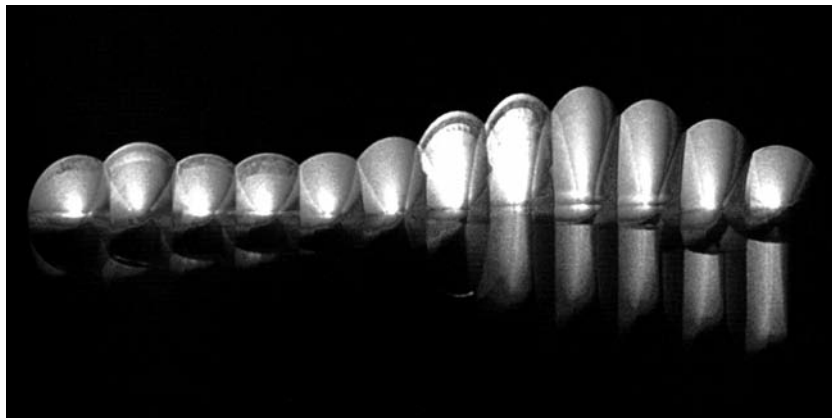
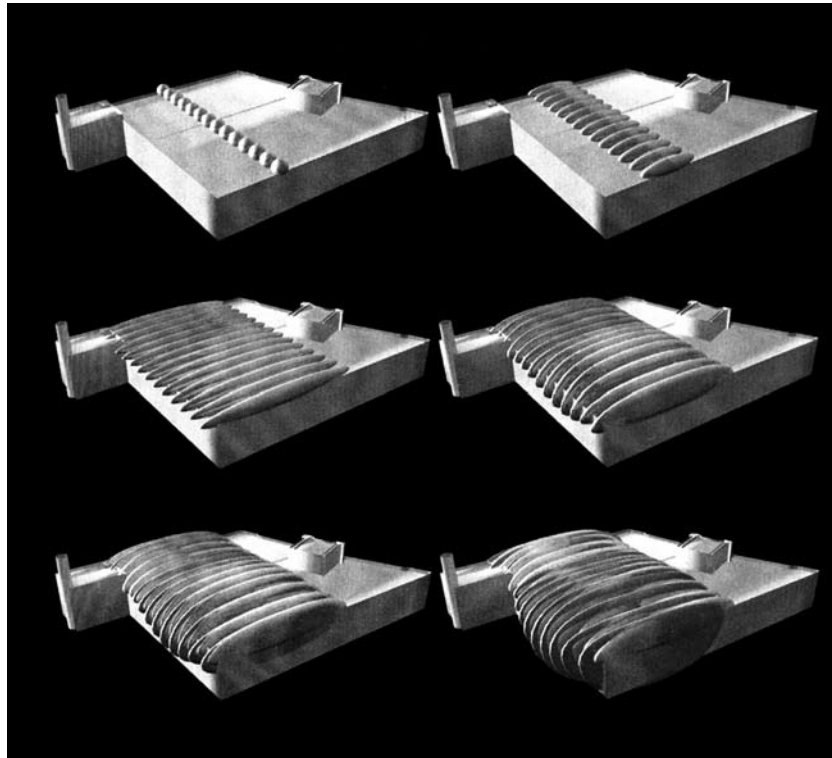


Abb. 280: Greg Lynn, Douglas Garofalo und Michael McInturf, Korean Presbyterian Church of New York, USA, 1995–99. Studie, Verwandlung des ehemaligen Produktionsbereiches in einen Kirchenraum mithilfe wachsender und verschmelzender Kugelkörper, Perspektive, Computeranimation, Standbilder.

Abb. 281: Studie des Kirchenraumes, Ansicht der Längsseite, Computerrendering.

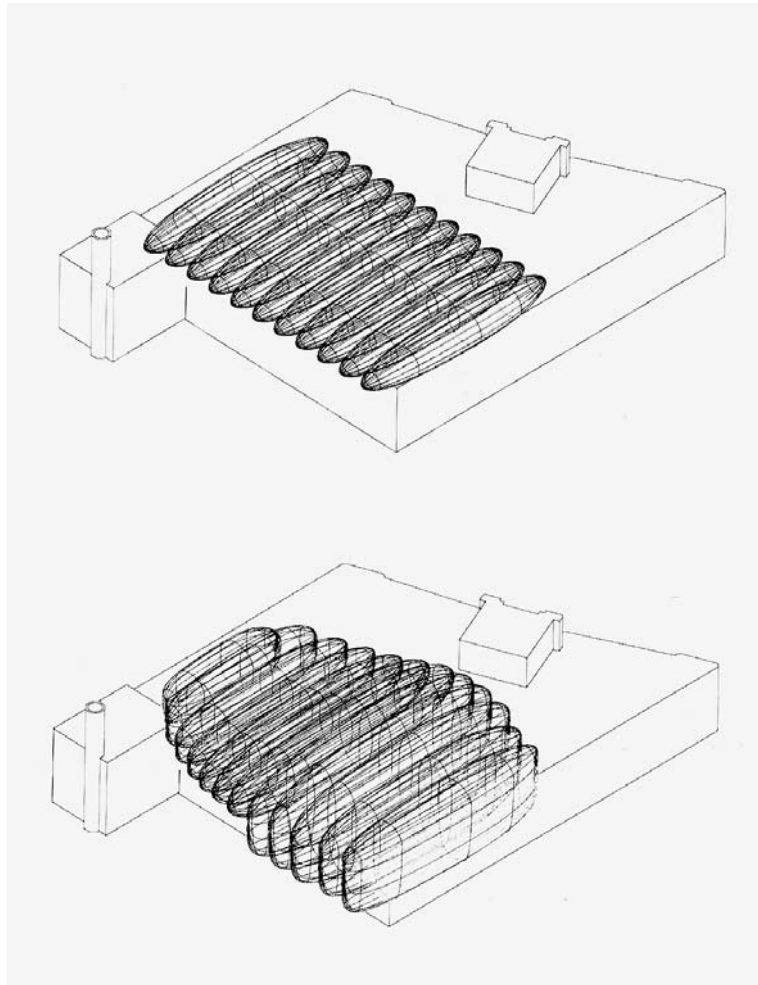


Abb. 282: Greg Lynn, Douglas Garofalo und Michael McInturf, Korean Presbyterian Church of New York, USA, 1995–99. Studie, Verwandlung des ehemaligen Produktionsbereiches in einen Kirchenraum mithilfe wachsender und verschmelzender Kugelkörper, Axonometrien im Drahtgittermodus.

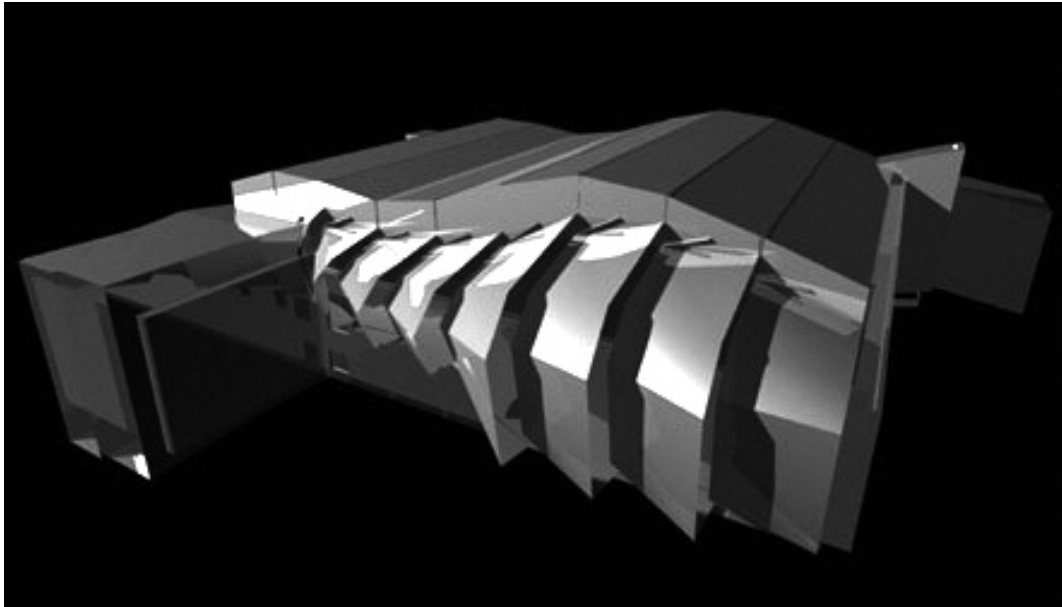


Abb. 283: Greg Lynn, Douglas Garofalo und Michael McInturf, Korean Presbyterian Church of New York, USA, 1995–99. 3D-Modell, Perspektive, Nordseite, Computerrendering.

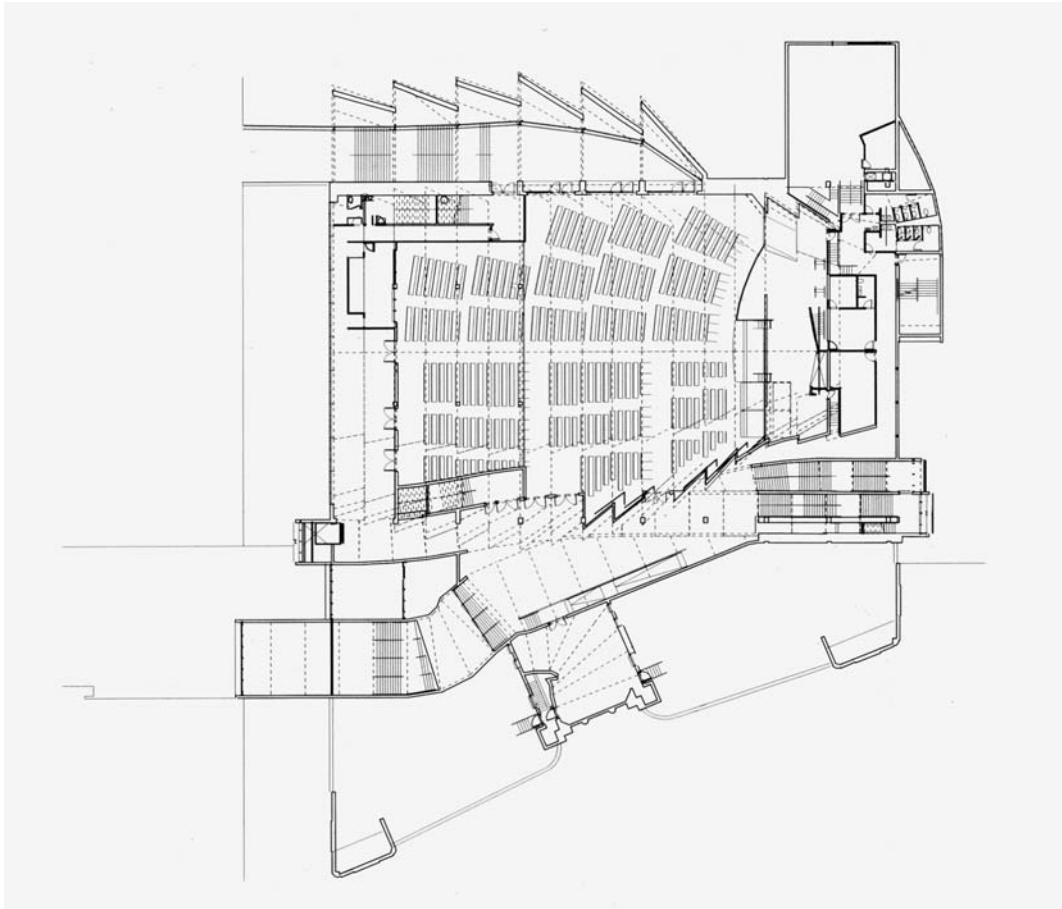


Abb. 284: Greg Lynn, Douglas Garofalo und Michael McInturf, Korean Presbyterian Church of New York, USA, 1995–99. Grundriss des ersten Geschosses mit Kirchenraum.
Abb. 285: Kirchenraum und Hochzeitskapelle (ehemaliger Produktionsbereich), Längsschnitt.

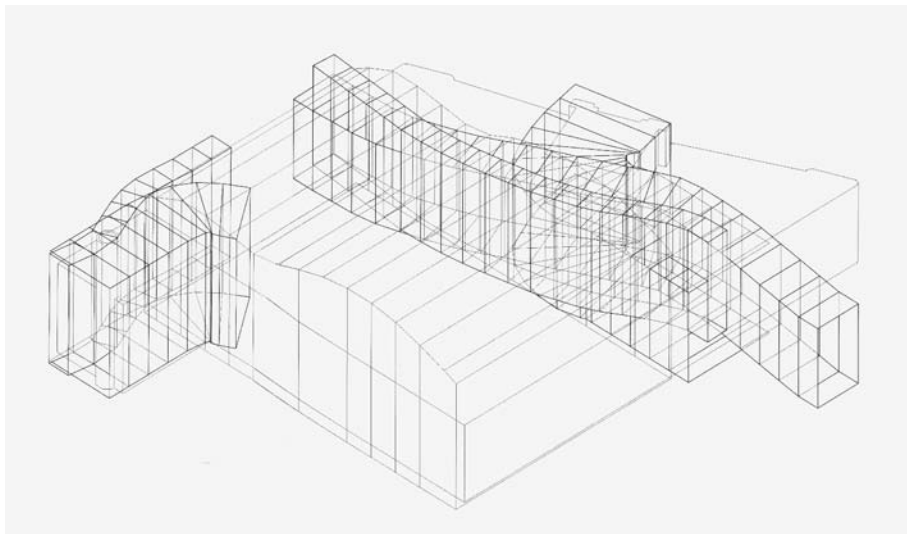
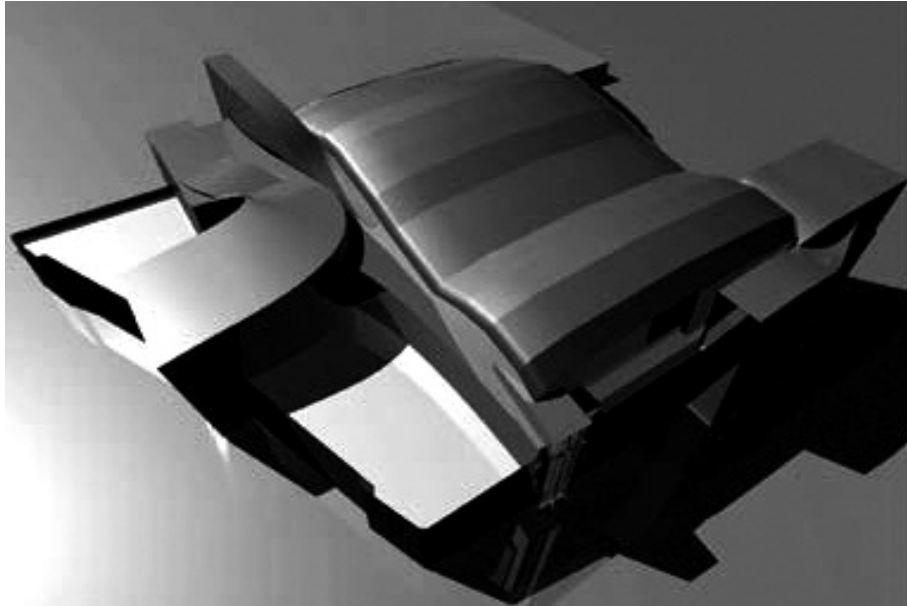


Abb. 286: Greg Lynn, Douglas Garofalo und Michael McInturf, Korean Presbyterian Church of New York, USA, 1995–99. Perspektive Südostseite, Computerrendering.

Abb. 287: Drahgittermodell des Baukörpers mit Erschließungsröhren, Axonometrie, Nordwestseite, Computerzeichnung.

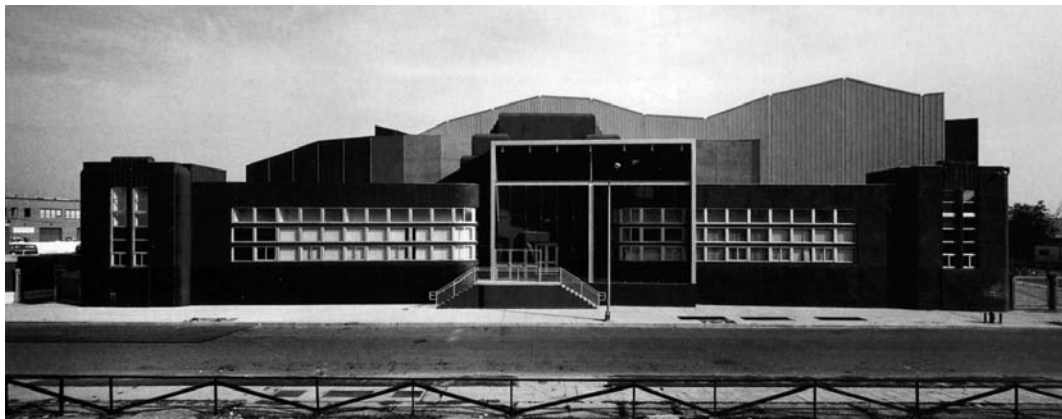


Abb. 288: Greg Lynn, Douglas Garofalo und Michael McInturf, Korean Presbyterian Church of New York, USA, 1995–99. Südseite, Straßenseite (ehemals Verwaltungstrakt und Haupteingang), Fotografie.

Abb. 289: Nordwestseite, Fassade Kirchenraum mit Außentreppe, Fotografie.

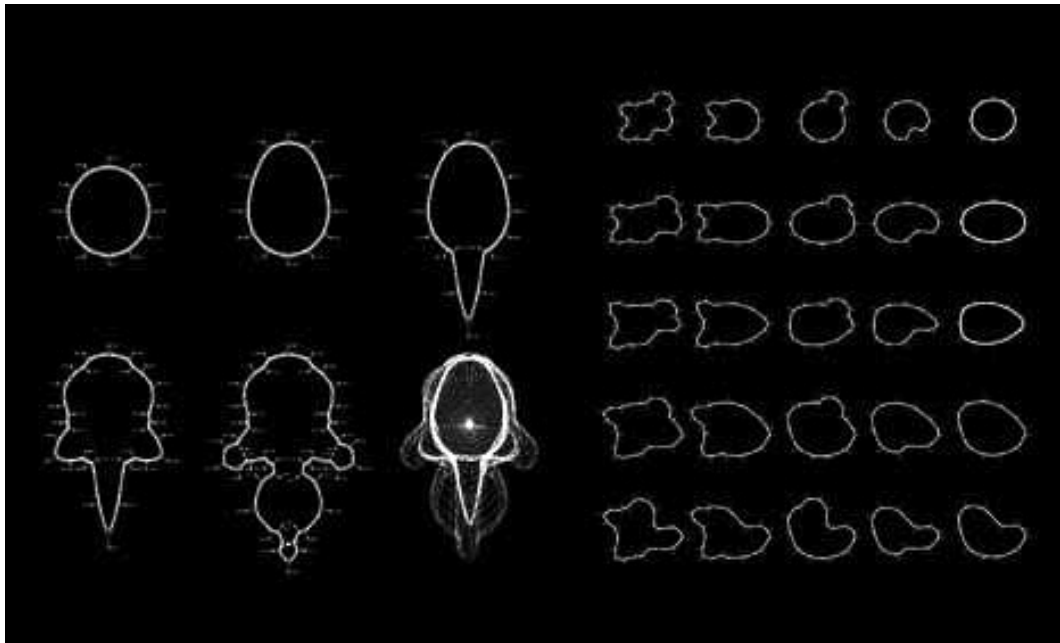


Abb. 290: Greg Lynn, Embryological House, Entwurf 1997–2001. Studie, *Spline*-Kurvenformen für Grundriss und Schnitt, Computerzeichnung.



Abb. 291: Greg Lynn, Embryological House, Entwurf 1997–2001. Volumenstudien, computererzeugte Kunststoffmodelle, Fotografie.

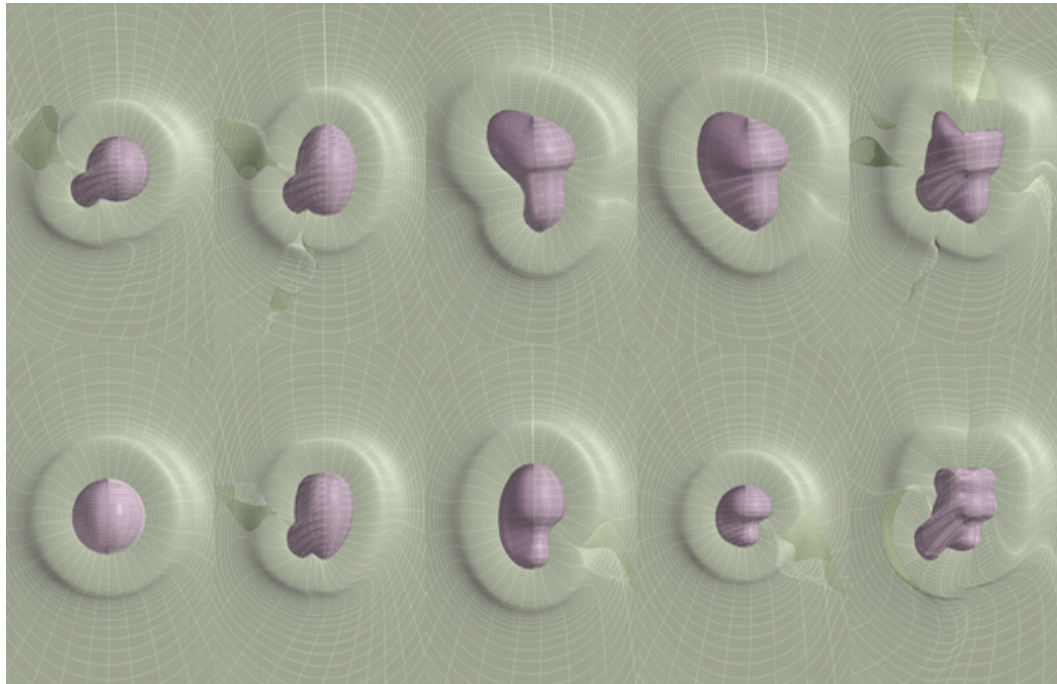


Abb. 292: Greg Lynn, Embryological House, Entwurf 1997–2001. Studie, 3D-Modelle, Aufsicht, Montage aus Computerrenderings.



Abb. 293: Greg Lynn, Embryological House, Entwurf 1997–2001. Studie, Explosionszeichnung von Kern und Hülle (oben), Abwicklung der Hülle (unten), Computerrendering.

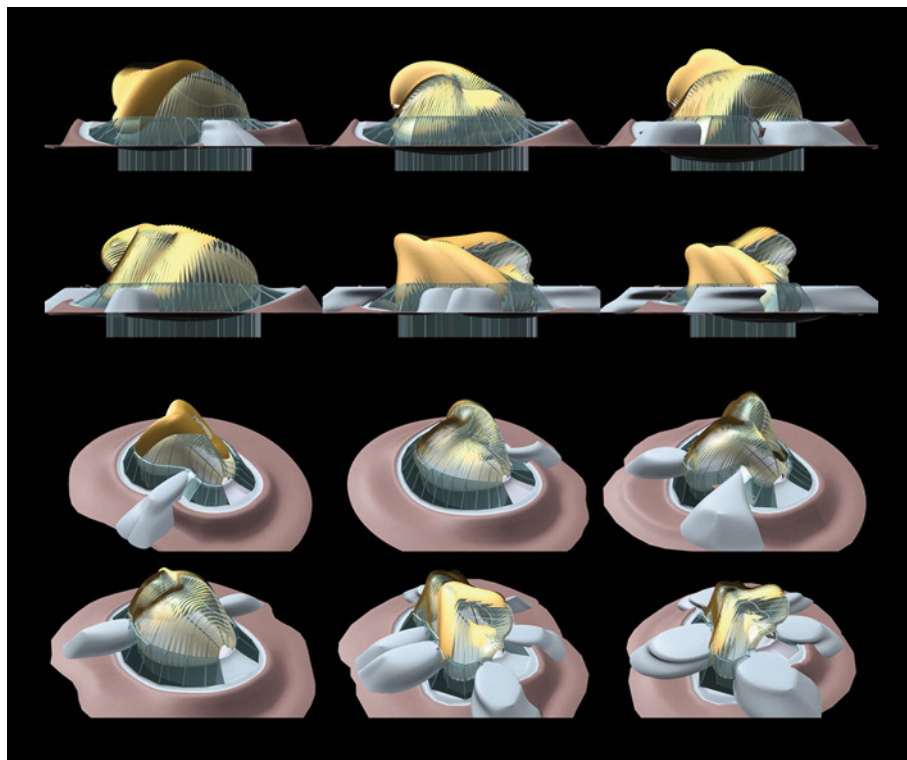
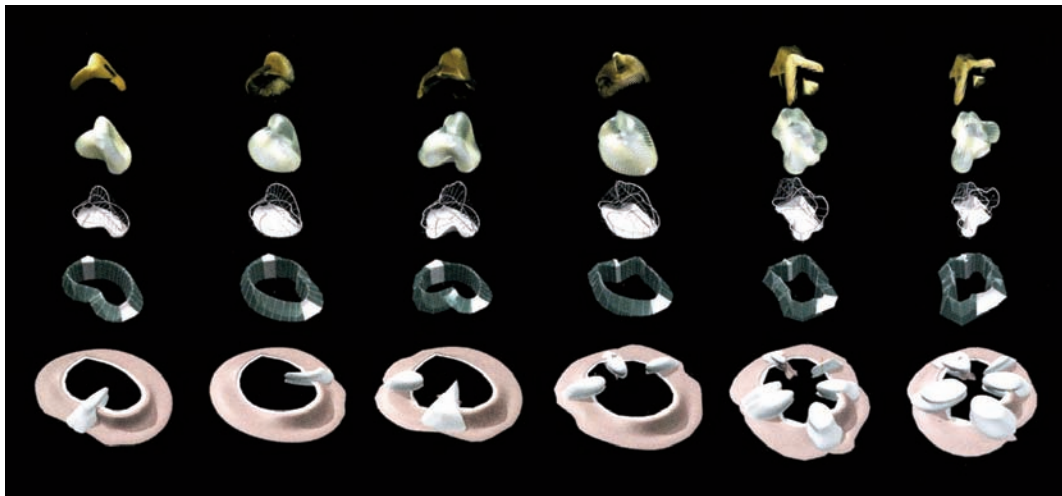


Abb. 294: Greg Lynn, Embryological House, Entwurf 1997–2001. 3D-Modelle von sechs Prototypen, bestehend aus fünf Aufbauelementen, Explosionsaxonometrie, Computerrendering.
 Abb. 295: Ansichten und Axonometrien, Computerrenderings.

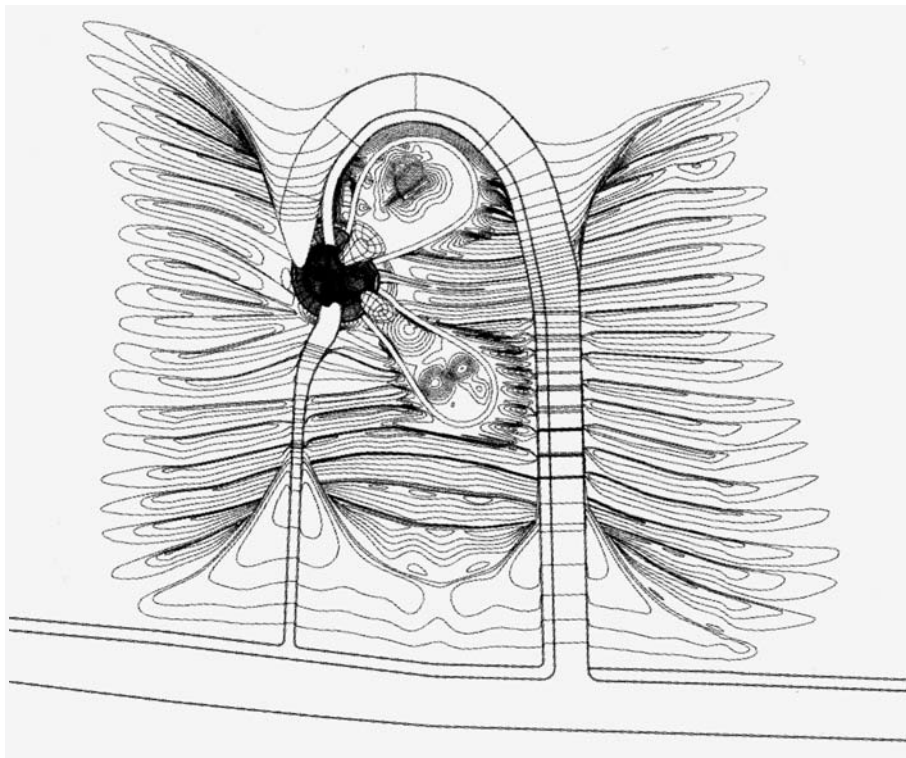
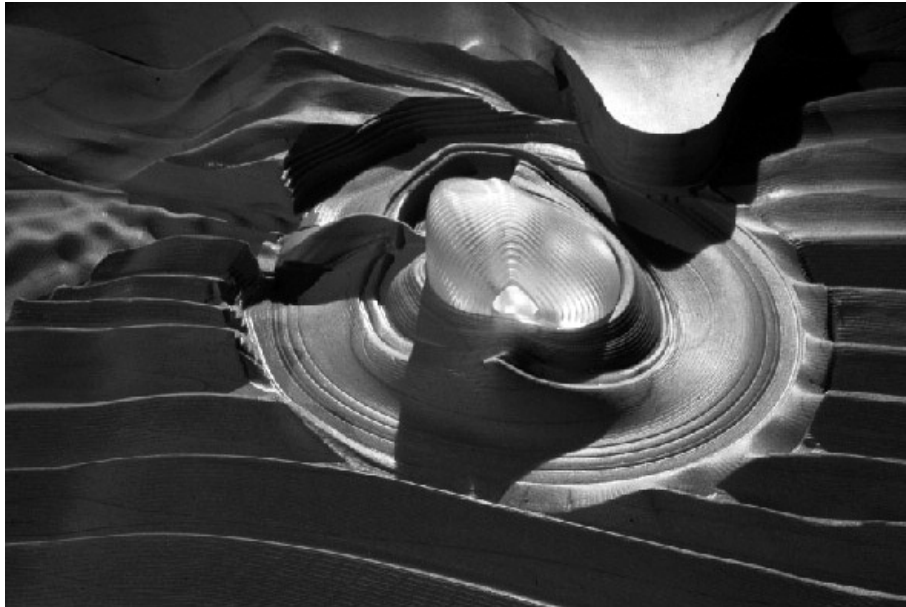


Abb. 296: Greg Lynn, Embryological House, Entwurf 1997–2001. Small Case Study, Präsentationsmodell aus Stereolithografieharz und CNC-gefrästem MDF, 15 x 20 x 20 cm (Haus), 15 x 120 x 150 cm (Basis), Fotografie (Ausschnitt).
Abb. 297: Lageplan, Computerzeichnung.

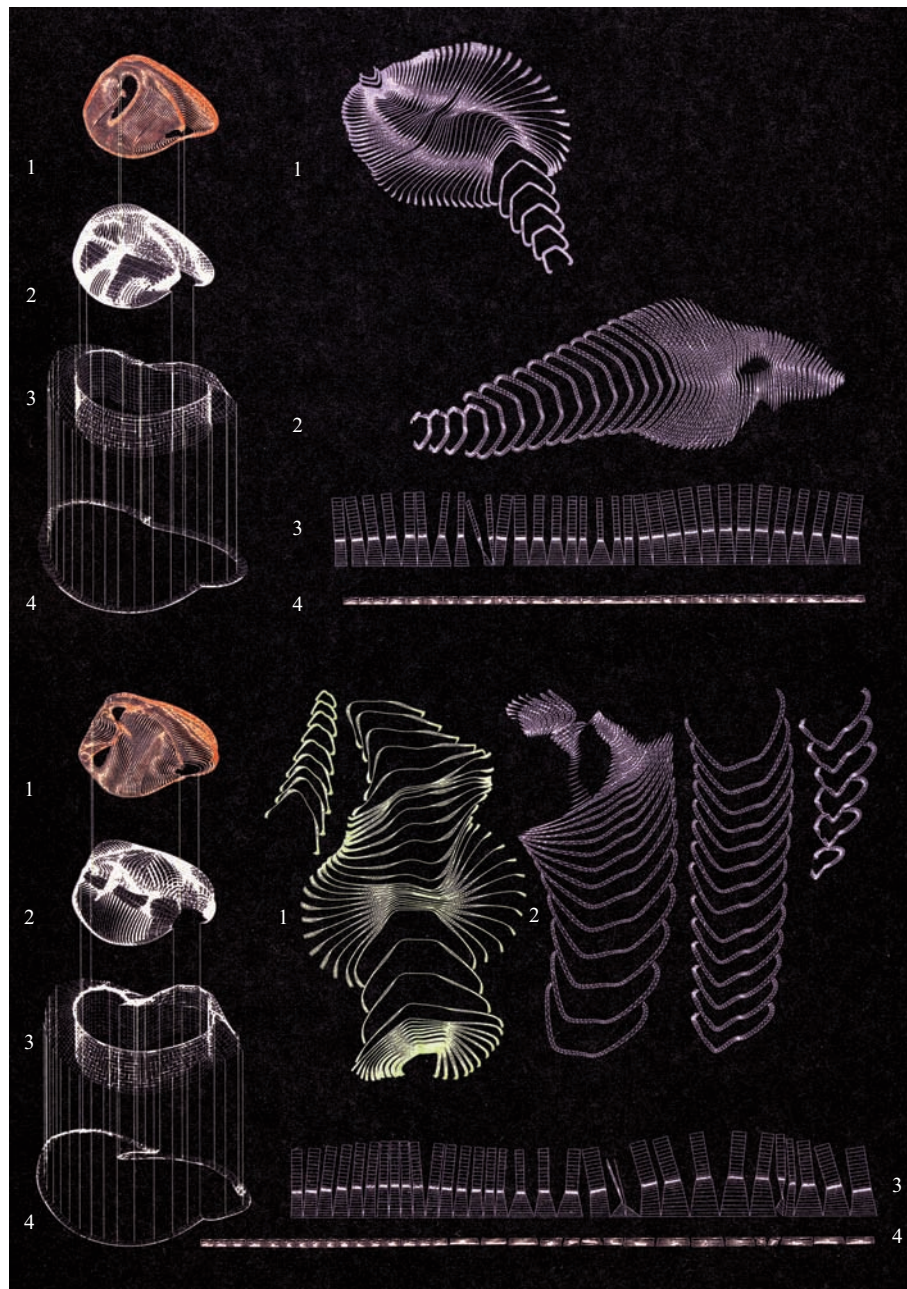


Abb. 298: Greg Lynn, Embryological House, Entwurf 1997–2001. Explosionsaxonomie und Abwicklung der Paneele von zwei verschiedenen Hausvarianten, Computerzeichnung.

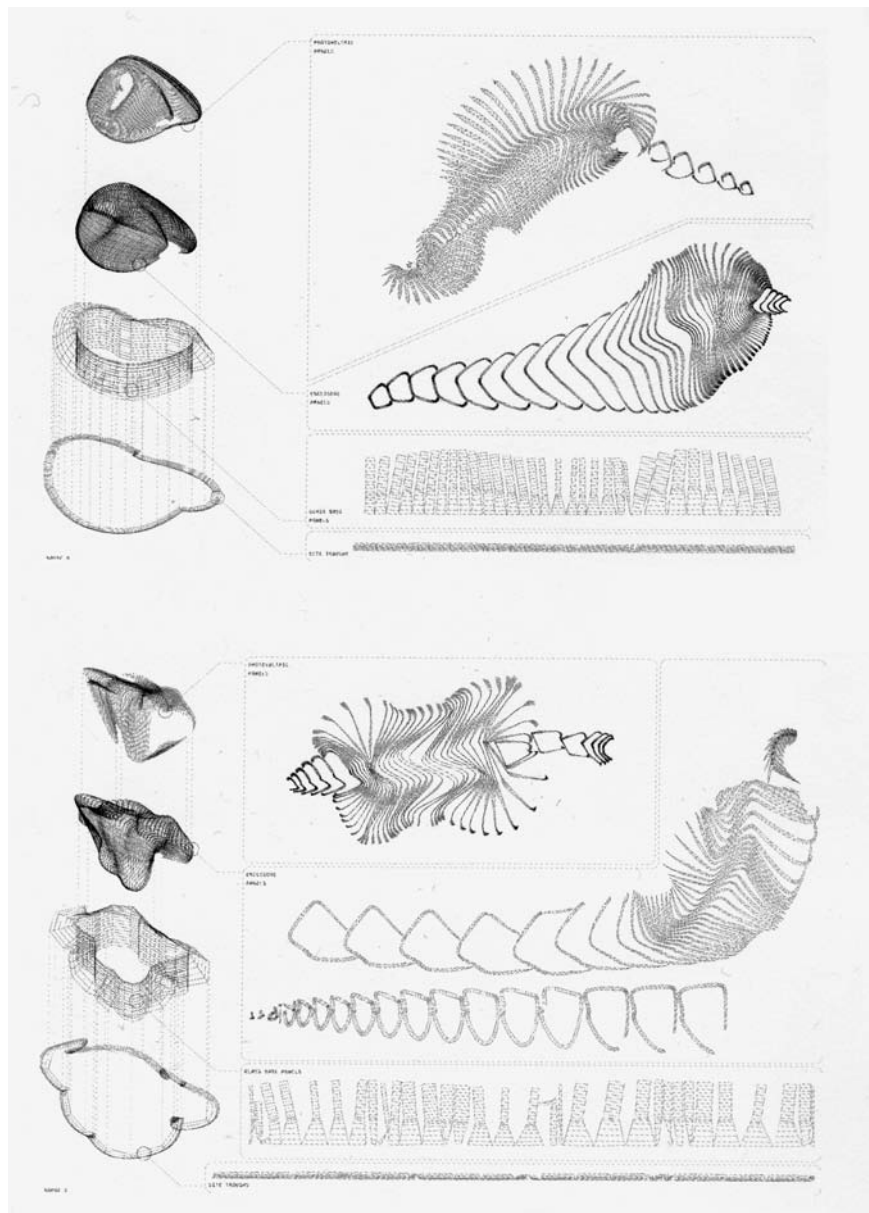


Abb. 299: Greg Lynn, Embryological House, Entwurf 1997–2001. Explosionsaxonomie und Abwicklung der Paneele von zwei verschiedenen Hausvarianten, Computerzeichnungen.

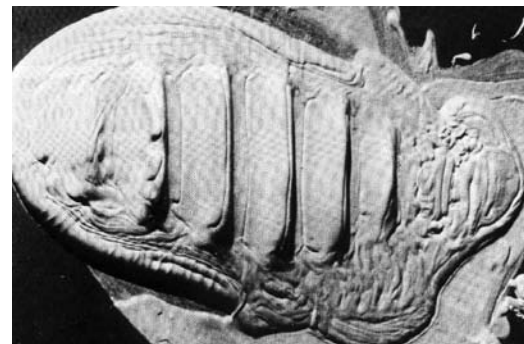
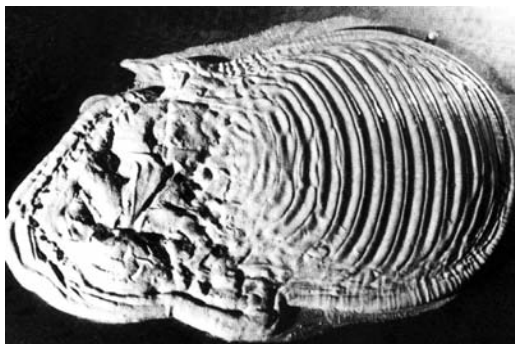
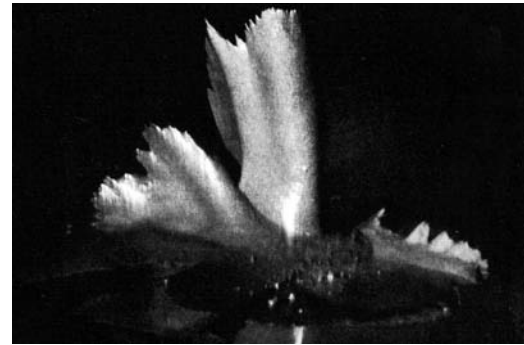


Abb. 300: Hans Jenny, Ferromagnetische Masse in einem magnetischen Feld unter Einwirkung einer hochfrequenten Schwingung, Fotografien aus *Kymatik*, 1974, abgebildet in: Greg Lynn, *Animate Form*, New York 1999, S. 37, Abb. 30 und 31.

Abb. 301: Hans Jenny, Fließfähige Masse unter Einwirkung einer hochfrequenten Schwingung, Fotografien aus *Kymatik*, 1974, abgebildet in: Greg Lynn, *Animate Form*, New York 1999, S. 38, Abb. 32 und 33.



Abb. 302: Plakat des US-amerikanischen Science-Fiction-Films *The Blob* von Irvin S. Yeaworth Jr., USA, 1958, abgebildet auf der Internetseite von Greg Lynn FORM, <www.giform.com>, Unterseite „Blob“ (Dezember 2006).

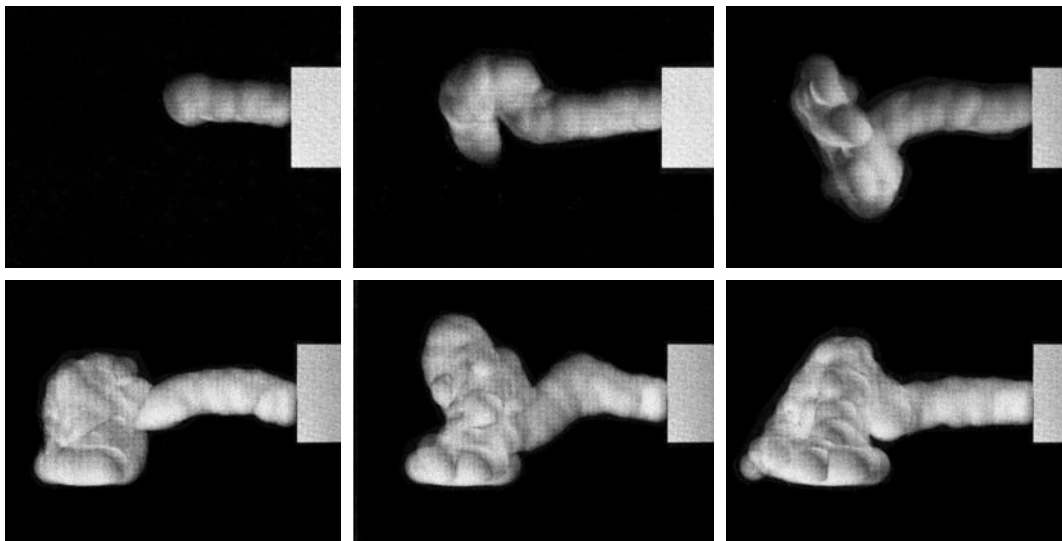
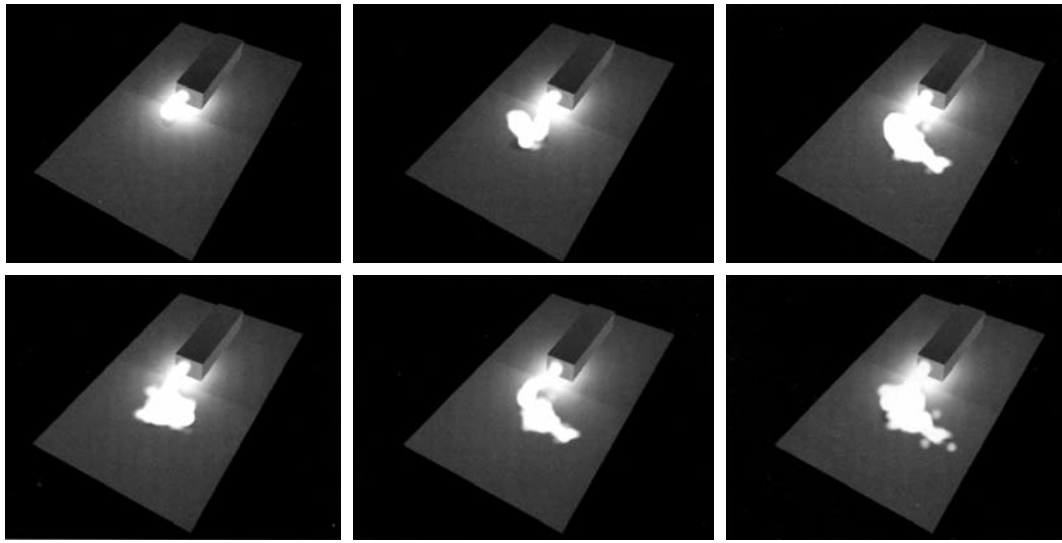


Abb. 303: Greg Lynn, Port Authority Gateway, New York, USA, Entwurf 1995. Studie mit digitalen Partikeln, Perspektive, Computeranimation, Standbilder.
Abb. 304: Seitenansicht, Computeranimation, Standbilder

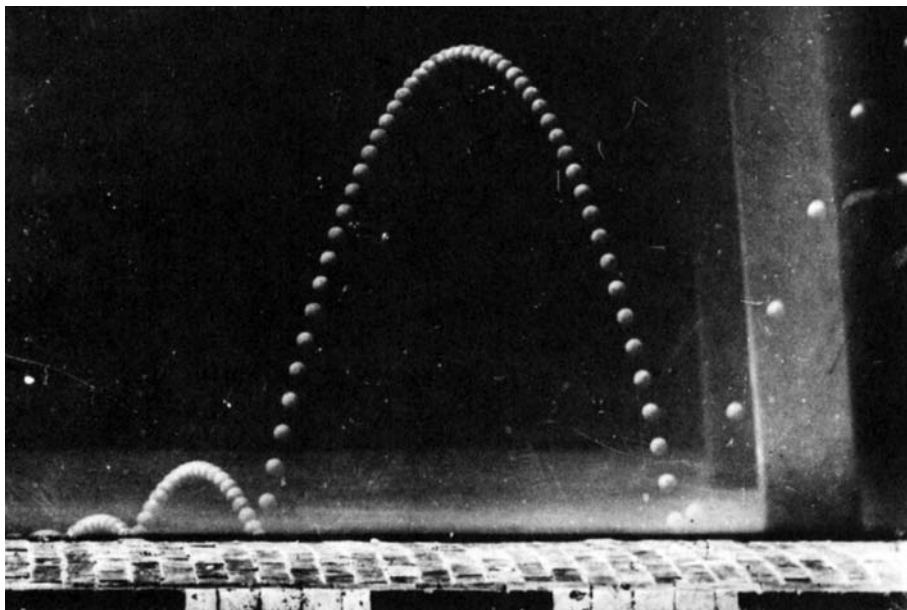
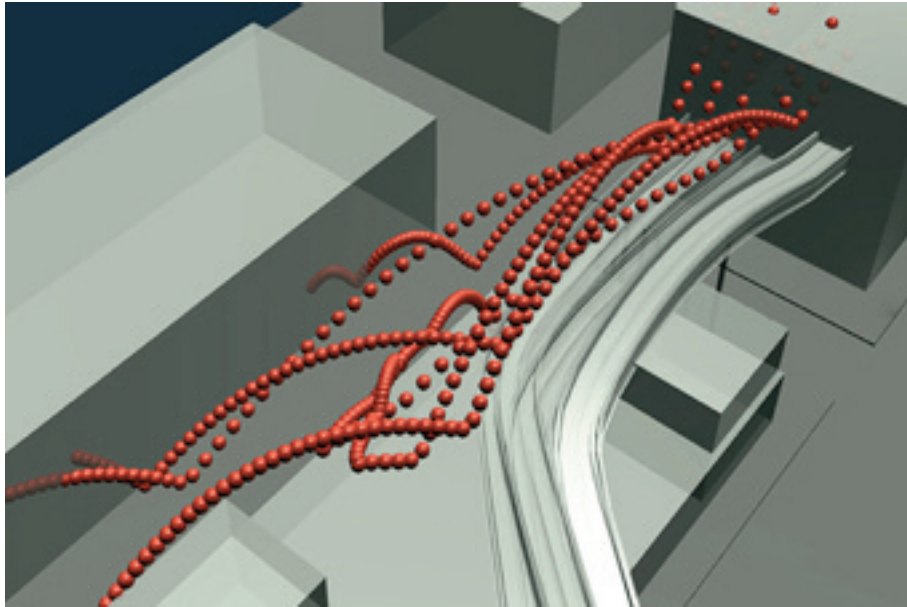


Abb. 305: Greg Lynn, Port Authority Gateway, New York, USA, Entwurf 1995. Studie, 3D-Modell überlagert Bewegungsspuren von Partikeln auf Fahrrampen, Perspektive, Computerrendering (Ausschnitt).

Abb. 306: Étienne-Jules Marey, Springender Ball, 1886. Chronofotografie (Ausschnitt).

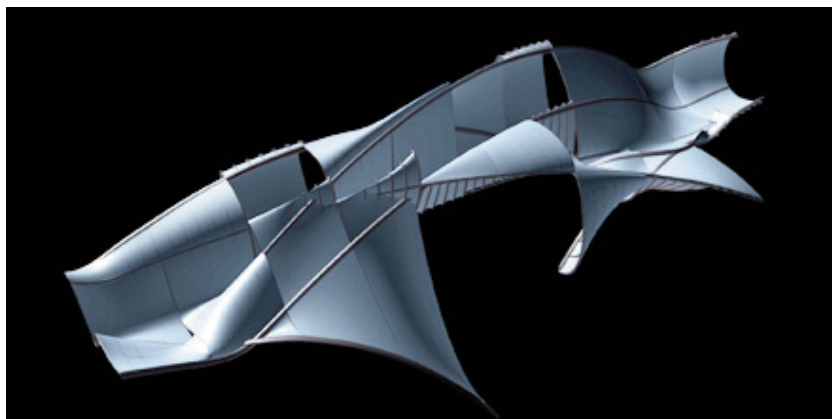
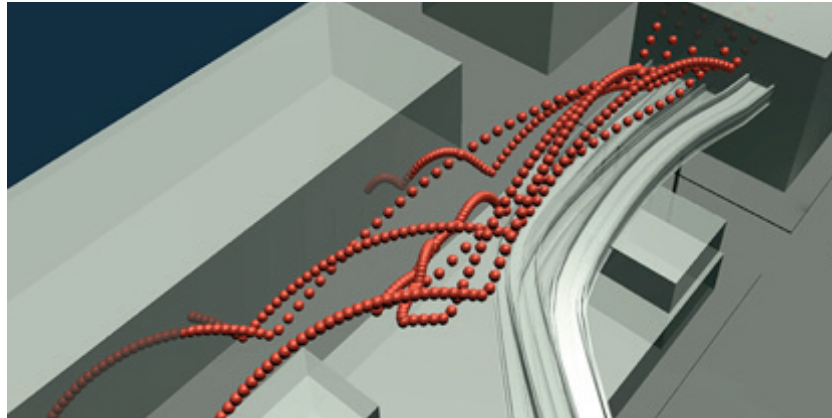


Abb. 307: Greg Lynn, Port Authority Gateway, New York, USA, Entwurf 1995. Studie, 3D-Modell überlagerter Bewegungsspuren von Partikeln auf Fahrrampen, Perspektive, Computerrendering.
Abb. 308: 3D-Modell der Stahlrohrkonstruktion des Flugdaches, Perspektive, Computerrendering.
Abb. 309: 3D-Modell der Stahlrohrkonstruktion mit Flächen, Perspektive, Computerrendering.

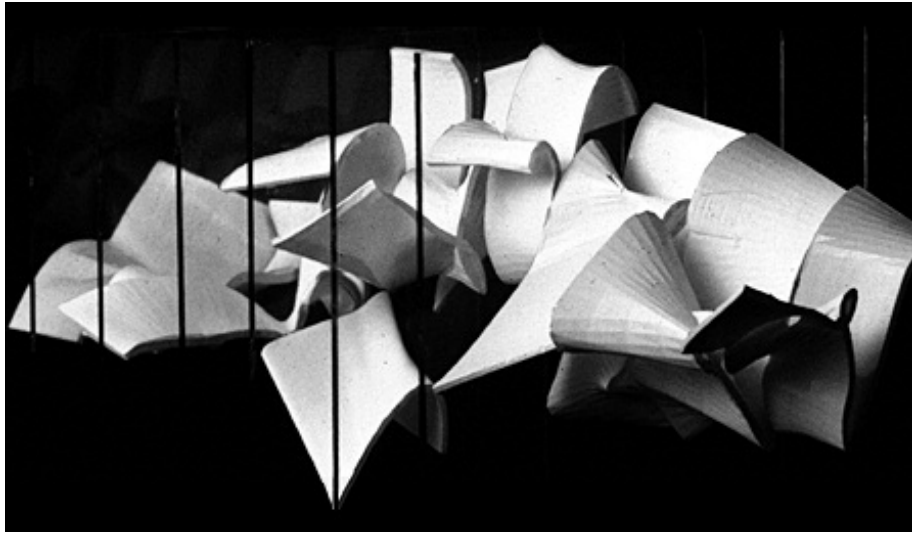


Abb. 310: Greg Lynn, Port Authority Gateway, New York, USA, Entwurf 1995. Stereolithografie-
modell des faltwerkes, befestigt zwischen transparenten Scheiben, Fotografie.

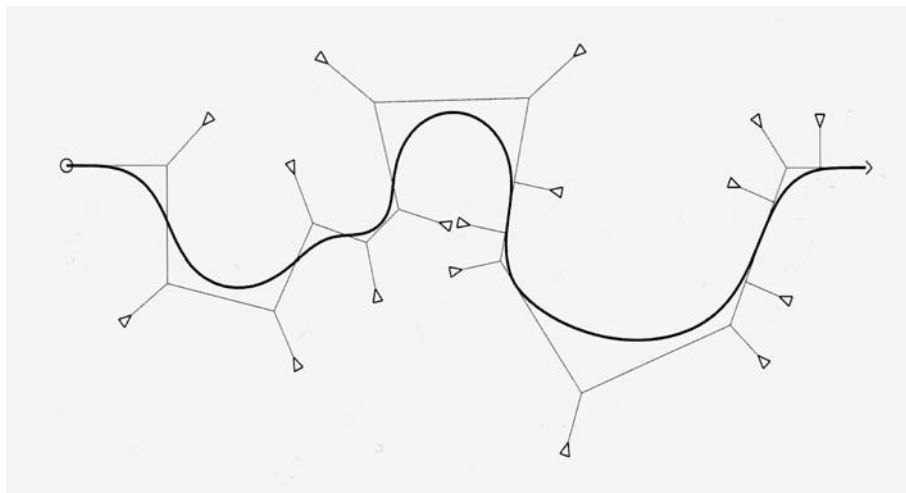
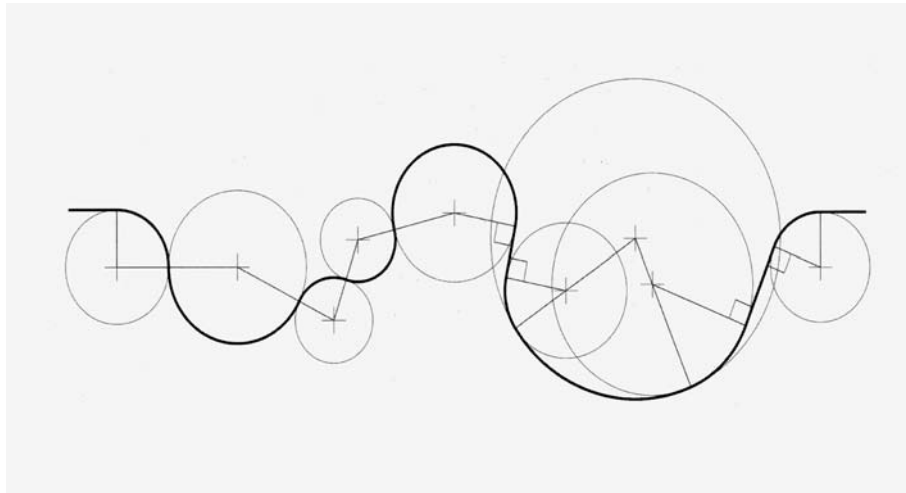


Abb. 311: Greg Lynn, Kurvenlinie aus Kreissegmenten, Computerzeichnung, abgebildet in: Greg Lynn, *Animate Form*, New York 1999, S. 21, Abb. 10.

Abb. 312: Greg Lynn, *Spline*-Kurvenlinie, Computerzeichnung, abgebildet in: Greg Lynn, *Animate Form*, New York 1999, S. 21, Abb. 11.

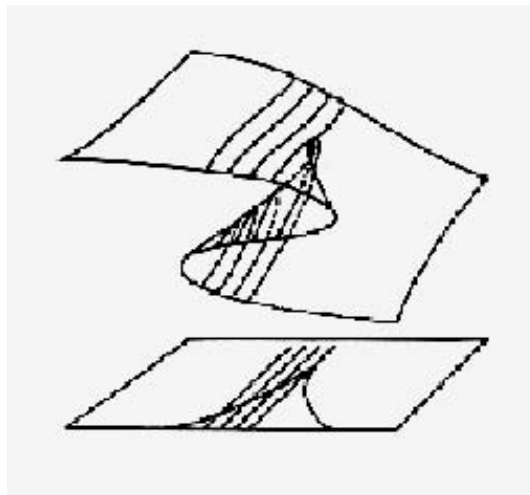
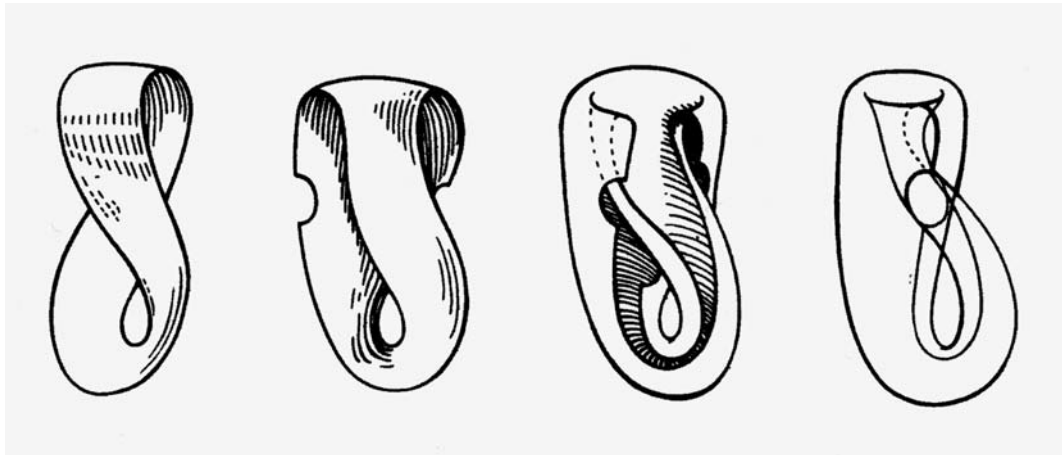


Abb. 313: Stephen Barr, Verwandlung vom Möbiusband zur Kleinschen Flasche, Illustration aus *Experiments in Topology*, 1964, abgebildet in: Greg Lynn, *Animate Form*, New York 1999, S. 22, Abb. 12.

Abb. 314: Darstellung der Kuspenskatastrophe als Falte, Zeichnung nach René Thom, abgebildet auf der Internetseite von Greg Lynn FORM, www.glform.com, Unterseite „Fold“ (Dezember 2006).

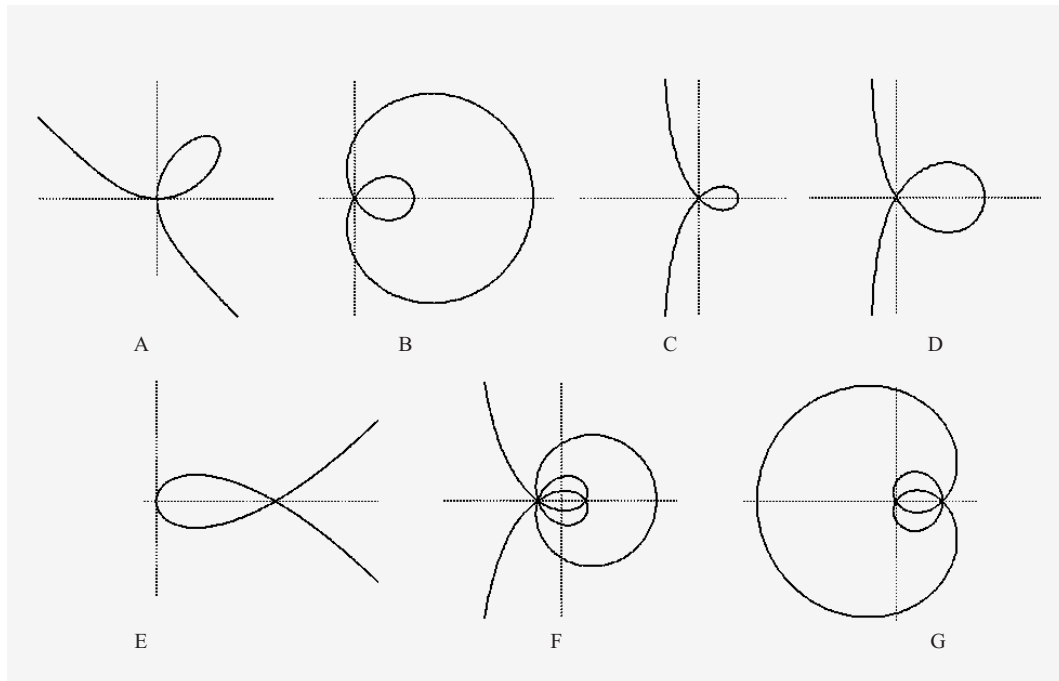


Abb. 315: Greg Lynn, Algebraische Kurven: Folium (A), Limaçon (B), Strophoid (C), Trisectrix (D), Kubik (E), Plateau-Kurve (F), Nephroid (G), Computerzeichnungen, abgebildet auf der Internetseite von Greg Lynn FORM, www.glform.com, Unterseite „Bleb“ (Dezember 2006).

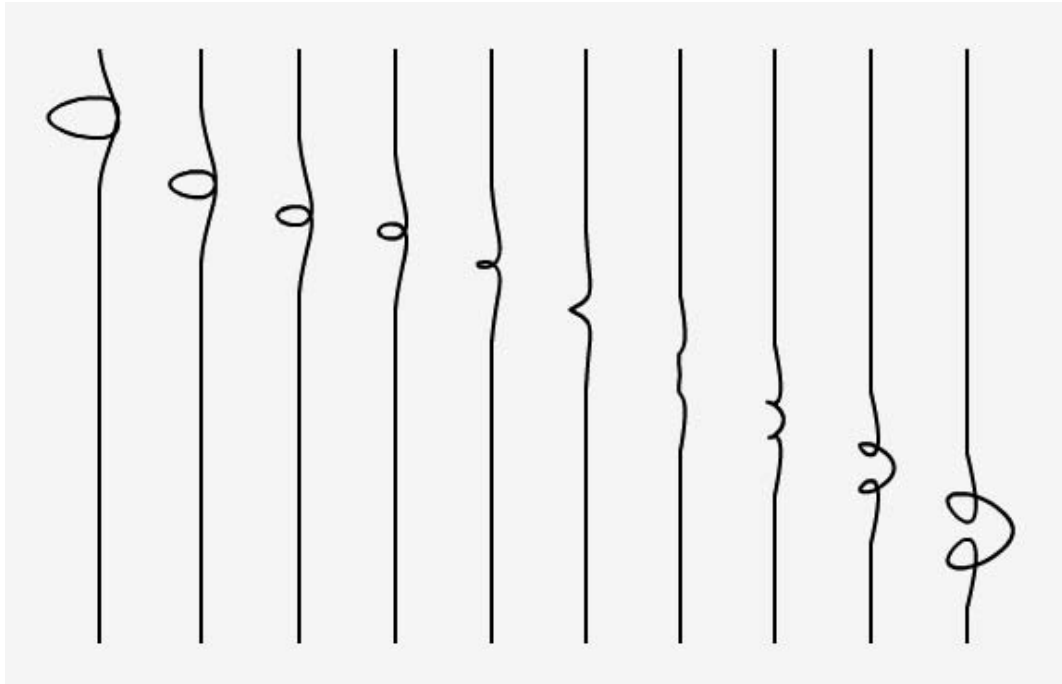


Abb. 316: Greg Lynn, Navigationswerkzeug auf der Internetseite von Greg Lynn FORM, www.glform.com (Dezember 2006).

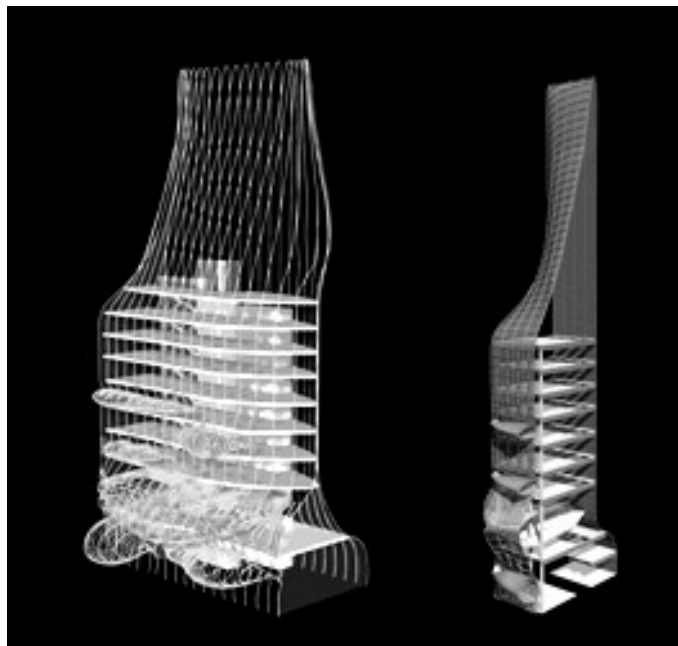
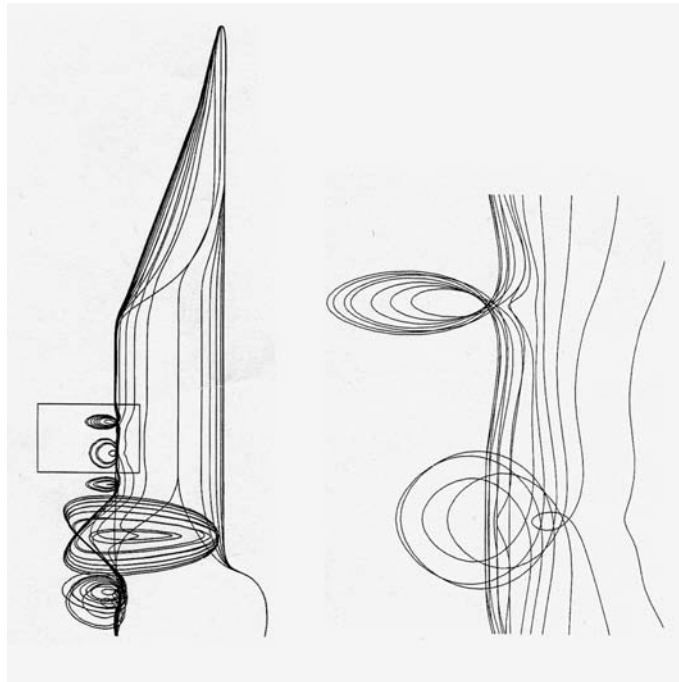


Abb. 317: Greg Lynn, Eyebeam Museum of Art and Technology, New York, USA, Entwurf 2001.
Studie, Seitenansicht und Detail, Computerzeichnung.
Abb. 318: 3D-Modell, Vorder- und Rückseite, Computerrendering.

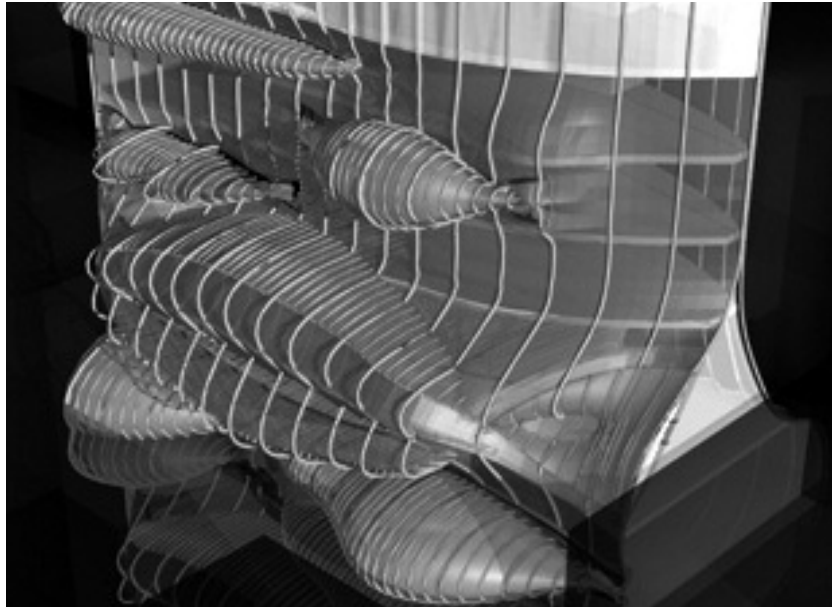


Abb. 319: Greg Lynn, Eyebeam Museum of Art and Technology, New York, USA, Entwurf 2001.
3D-Modell, Fassadenausschnitt, Perspektive, Computerrendering.

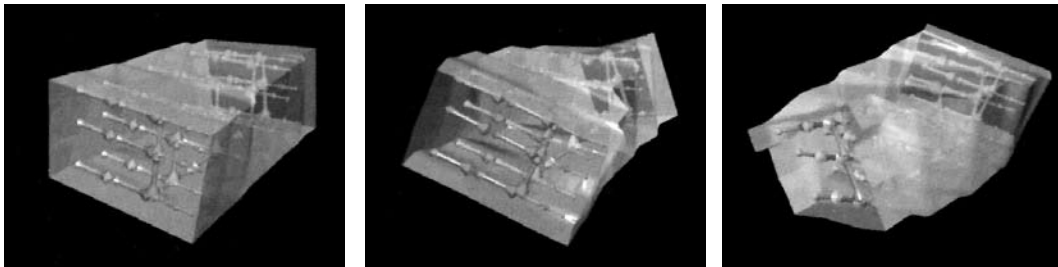
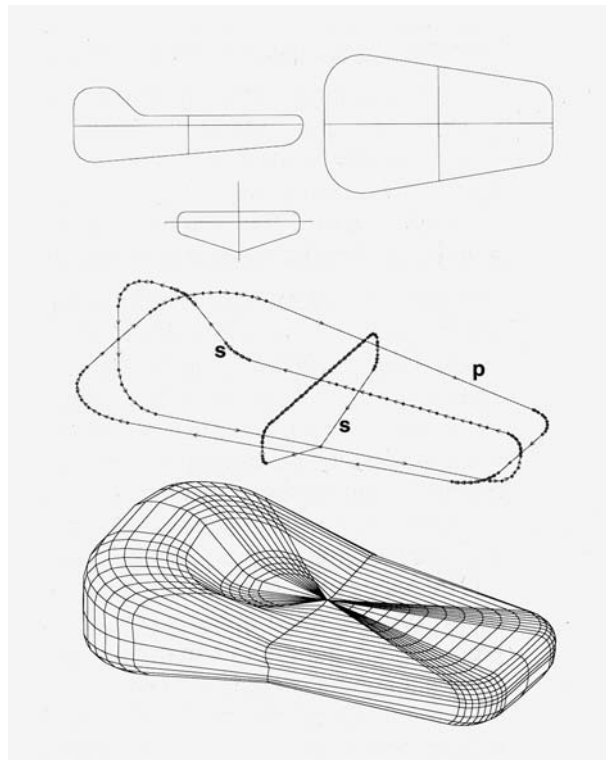


Abb. 320: *Skin-Operation* in der digitalen 3D-Modellierung mit Ausgangsprofil (s = „source“) und Pfad (p = „path“). *Cross Skin* entlang eines geschlossenen Pfads, Computerzeichnung.

Abb. 321: Greg Lynn, House Prototype, Long Island/USA, Entwurf 1994. Studie, 3D-Modell des ersten Prototyps, Verformung eines quaderförmigen Hüllkörpers mit innen liegendem Skelett, Perspektiven, Computeranimation, Standbilder.

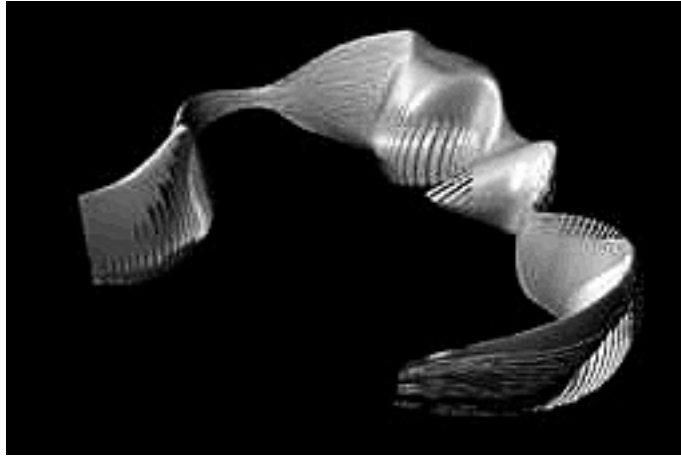


Abb. 322: Greg Lynn und Fabian Marcaccio, Predator, Rauminstallation, Wexner Center for the Arts, Columbus/Ohio, USA, 2000/01. 3D-Modell, Perspektive, Computerrendering.
Abb. 323: 3D-Modell mit Malerei von Fabian Marcaccio, Perspektive, Computerrendering.



Abb. 324: Greg Lynn und Fabian Marcaccio, Predator, Rauminstallation, Wexner Center for the Arts, Columbus/Ohio, USA, 2000/01. Abwicklung der gemalten und der strukturierten Oberfläche, Computerrendering.

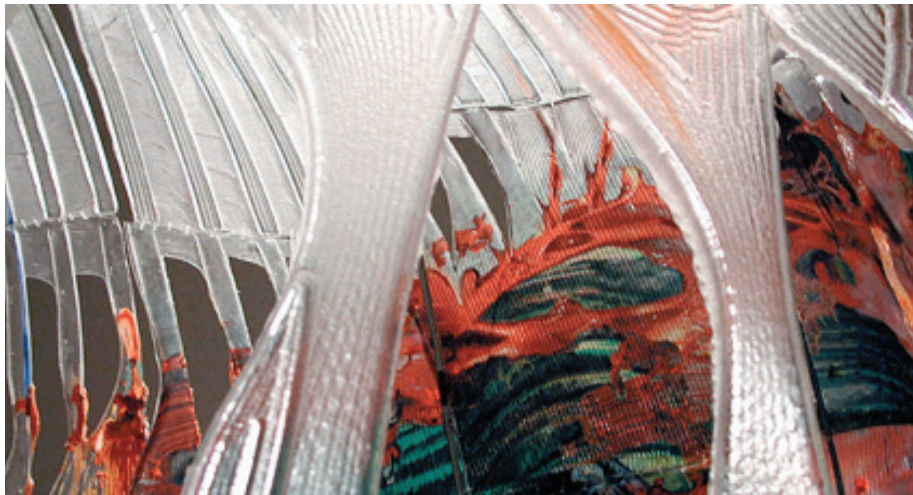
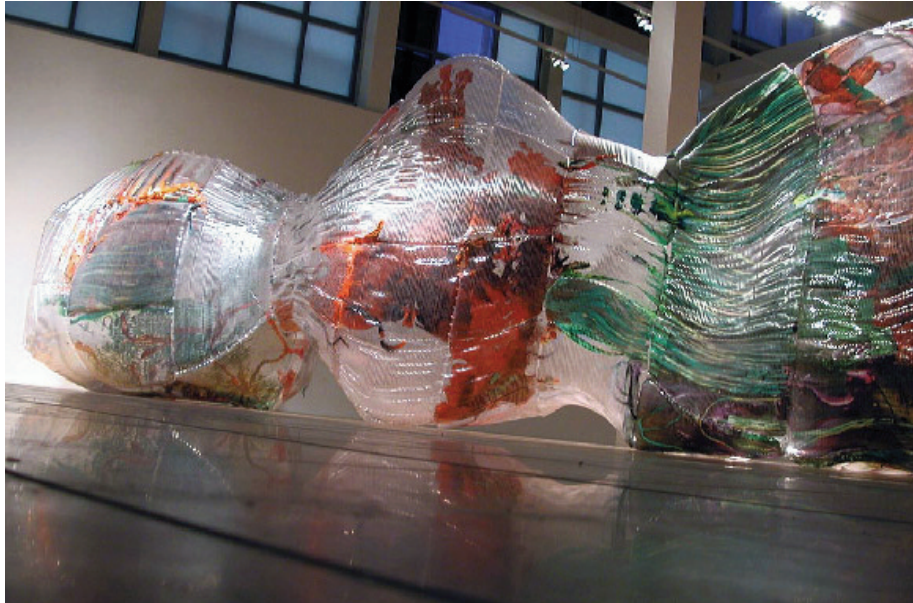


Abb. 325: Greg Lynn und Fabian Marcaccio, Predator, Rauminstallation, Wexner Center for the Arts, Columbus/Ohio, USA, 2000/01. Fotografie.
Abb. 326: Detail, Fotografie.

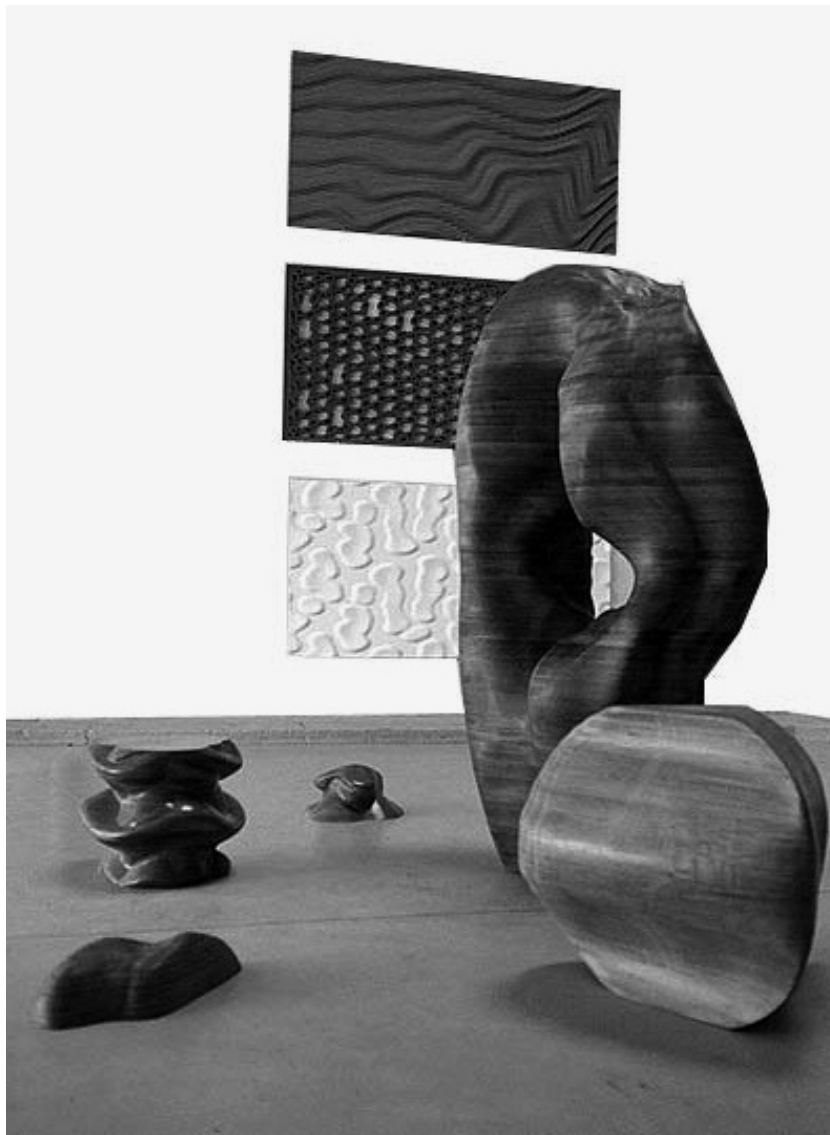


Abb. 327: Bernard Cache und Patrick Beaucé/Objectile, Toric Sculpture, Objekte und Wandpaneele in der Ausstellung *Archilab 1999*, Site des Substances militaires, Orléans, Frankreich, 1999. Blick in den Ausstellungsraum, Fotografie.

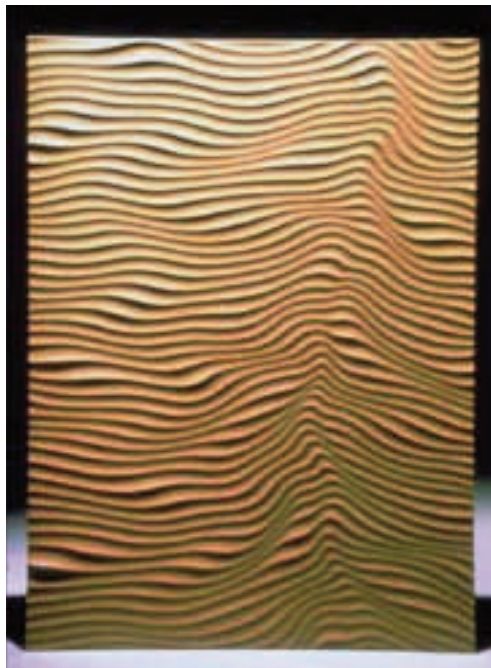


Abb. 328: Bernard Cache und Patrick Beaucé/Objectile, Computergefrästes Türpaneel aus Holz, 1996. Fotografie.

Abb. 329: Bernard Cache und Patrick Beaucé/Objectile, Computergefrästes Akustikpaneel aus Holz, 1996. Fotografie.

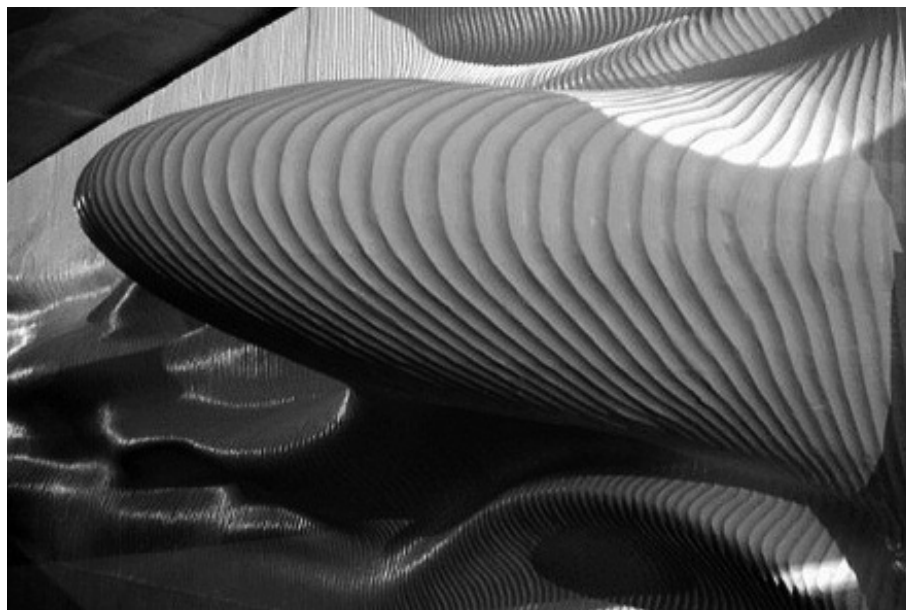
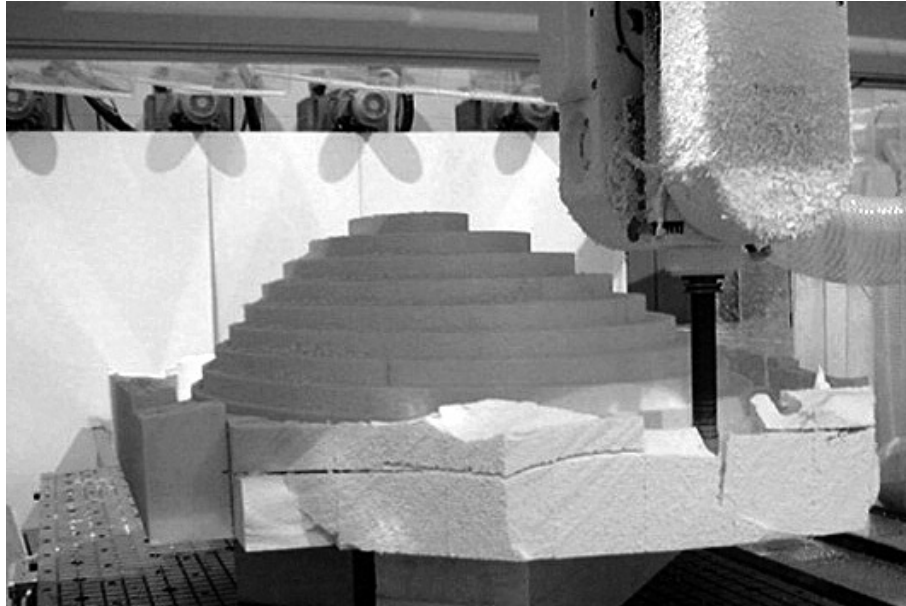


Abb. 330: Greg Lynn, Embryological House, Entwurf 1997–2001. Computergefrästes Polystyrolmodell, Fotografie.

Abb. 331: Greg Lynn, Computergefrästes Wandobjekt in der Ausstellung *Das Weite suchen*, Werbeagentur Rendel & Spitz, Köln, Deutschland, 2002 (seitdem in Pinakothek der Moderne, Designausstellung, München). Fotografie.

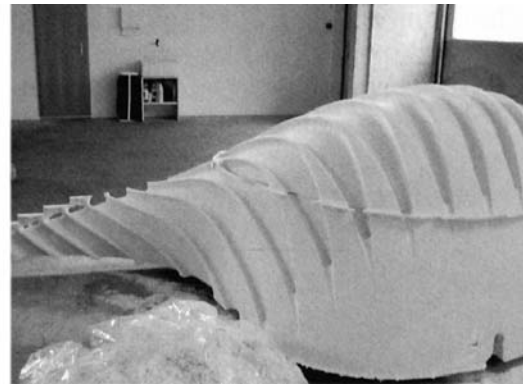
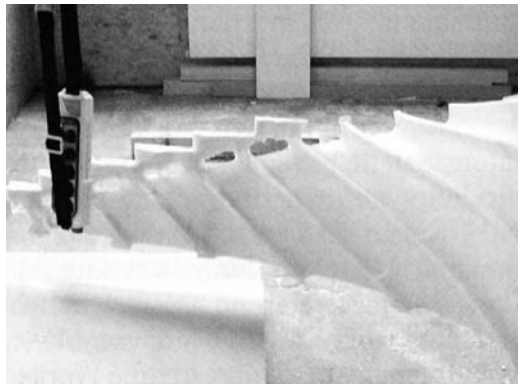


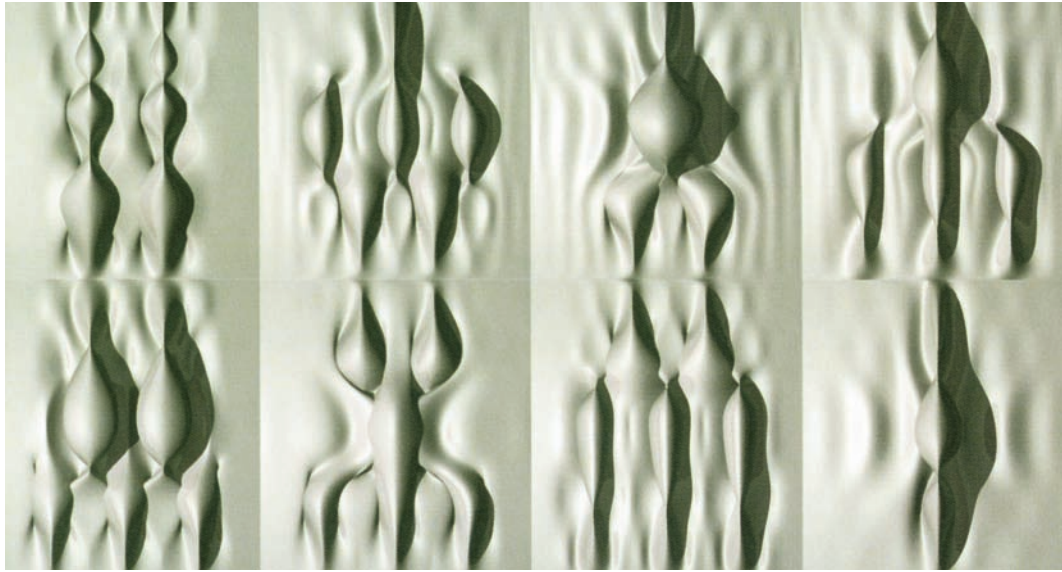
Abb. 332: Greg Lynn, Embryological House, Entwurf 1997–2001. Computergefrästes Polystyrolmodell (Ausschnitt), Fotografie.

Abb. 333: Herstellung des Polystyrolmodells mit computergesteuerter Fräse, 2000. Fotografie.

Abb. 334: Segment des Polystyrolmodells, Fotografie.



Abb. 335: Greg Lynn, Intricate Surface, Ausstellung, Österreichisches Museum für angewandte Kunst und Gegenwartskunst, Wien, Österreich, 2003. Blick in die Museumsgalerie, Fotografie.
Abb. 336: Modelle des Projektes Max Protetch Skylights, New York, USA, 2001/02, Fotografie.



* * * * *

skins



less like other digitally driven firms as we flirted with ornamentation. At the time, there was an expectation that the architecture of the digital media should have the same appearance and qualities as the renderings that described it. There was a kind of space race to produce the most seamless, unarticulated, smooth and shiny building. Contrary to this trend, Bernard Cache was explicitly working through a contemporary ornamental vocabulary while we were striving to articulate surfaces with structure, aperture and panels. More than anything, the collaboration with Fabian Marcaccio on the Predator was the origin of modulated skins. At that time the firm purchased a large CNC router and we spent over two years collaborating with Fabian to produce a relief surface modulated by painterly effects. The corrugated surface we produce by designing the tool paths for the robotic cutting machine in combination with 2.5D textures both projected on and emitted from the surface fuse to create an architectural skin rather than simple a surface. The ambition of the Ark of the World and Uniserve



Ark
 Automat
 Eyebeam
 IFNY Interior
 Uniserve
 PGLIFE.com
 MAK
 Predator Irvine
 Alessi
 Visionaire 34
 NY Times Capsule
 Predator Wexner

Abb. 337: Greg Lynn, Numinous Plastic Ceilings, Limited Edition of Ten, 2003. 3D-Modelle, Aufsichten, Montage aus Computerrenderings.

Abb. 338: Fotografie eines Pfeilgiftfrosches auf der Internetseite von Greg Lynn FORM, <www.glform.com>, Unterseite „Skin“ (Dezember 2006). Bildschirmfotografie.

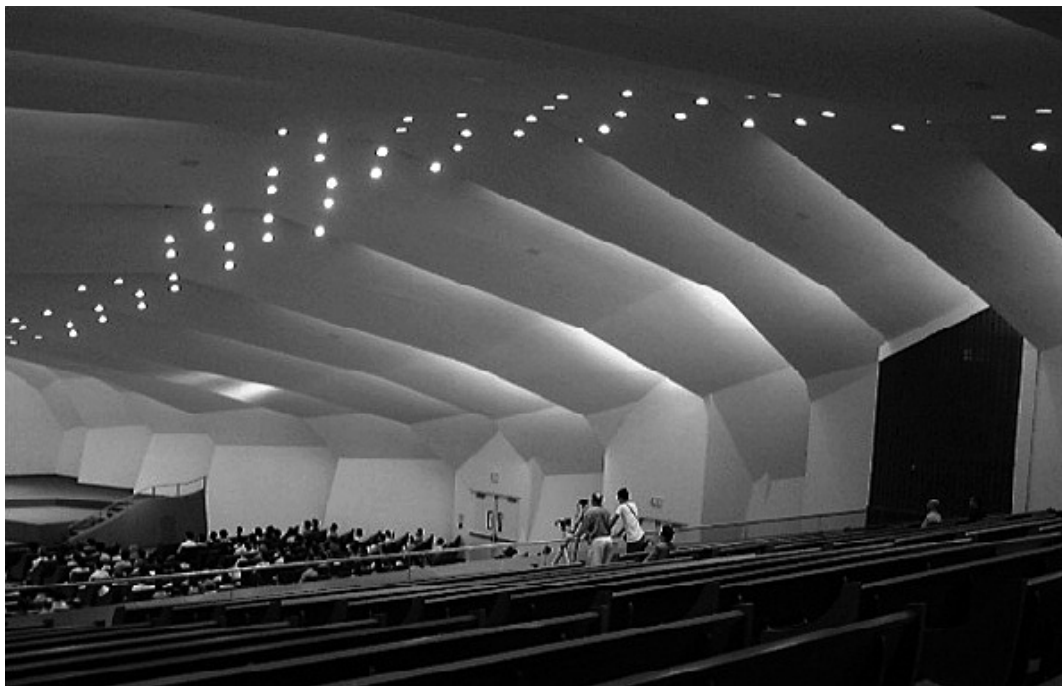


Abb. 339: Greg Lynn, Douglas Garofalo und Michael McInturf, Korean Presbyterian Church of New York, USA, 1995–99. Nordseite, Fotografie.
Abb. 340: Blick in den Kirchenraum, Fotografie.

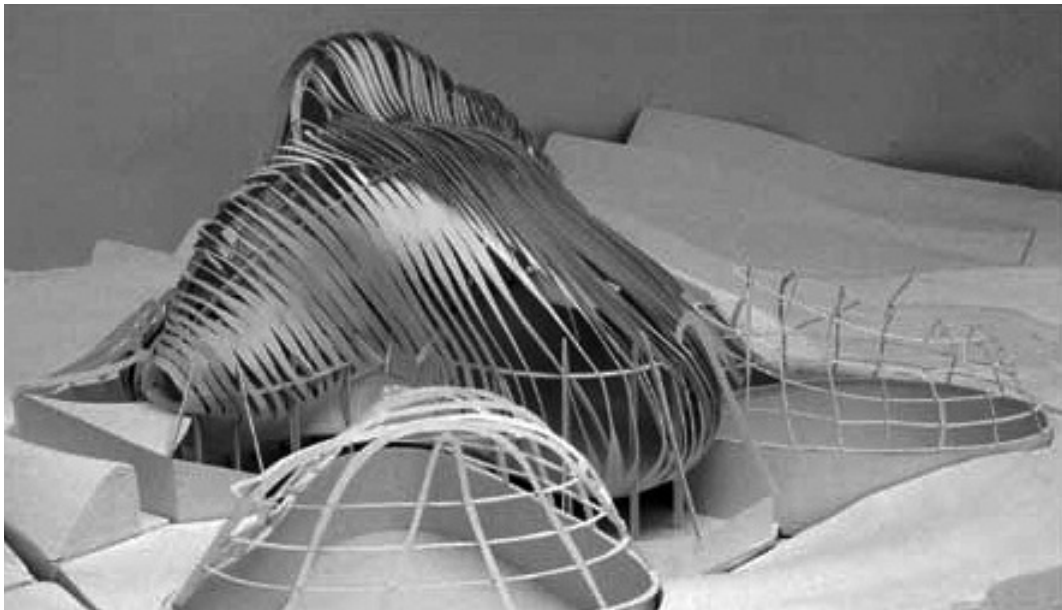
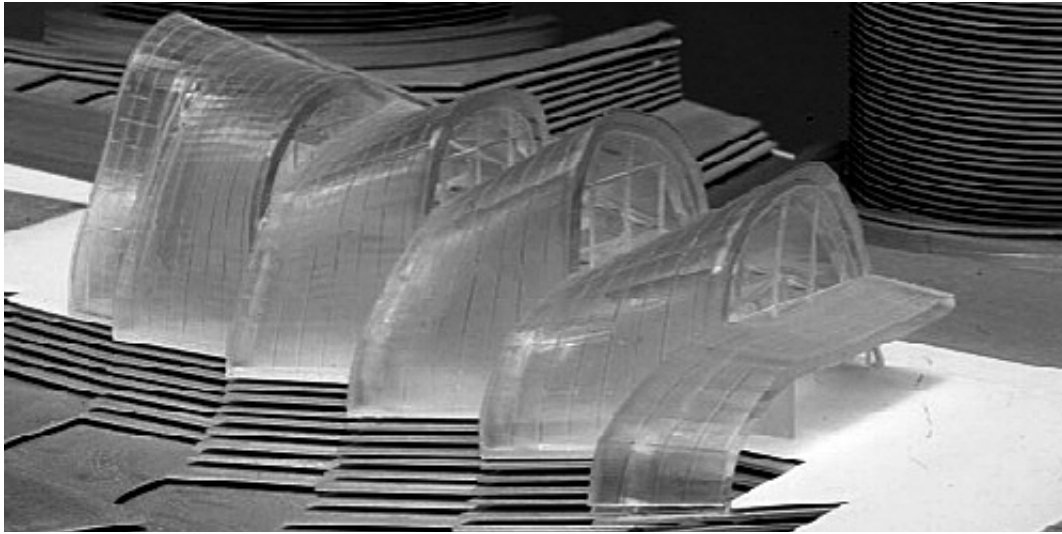


Abb. 341: Greg Lynn, Hydrogen House Visitors Pavilion & Information Center, Schwechat, Österreich, Entwurf 1996. Stereolithografiemodell, Fotografie.
Abb. 342: Computergeschnittenes Modell, Fotografie (Ausschnitt).

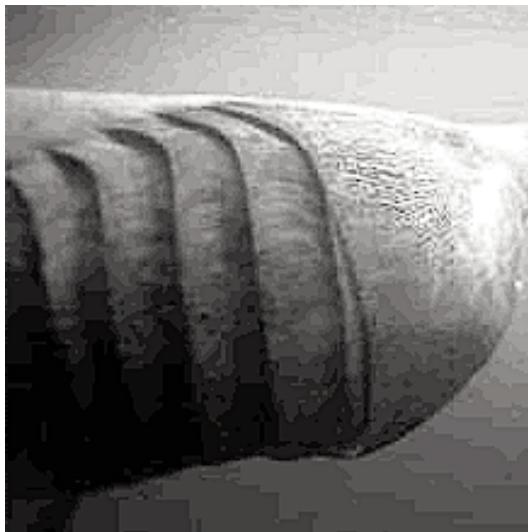
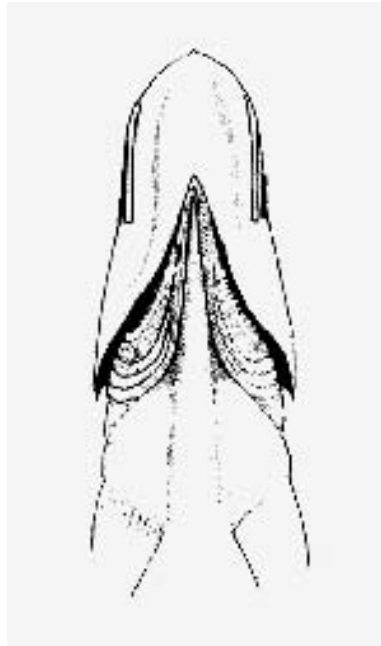


Abb. 343: Kiemen eines Fisches, Untersicht, Zeichnung, abgebildet auf der Internetseite von Greg Lynn FORM, <www.glform.com>, Unterseite „Shred“ (Dezember 2006).

Abb. 344: Kiemenähnliche Öffnungen eines marinen Lebewesens, Fotografie, abgebildet auf der Internetseite von Greg Lynn FORM, <www.glform.com>, Unterseite „Shred“ (Dezember 2006).

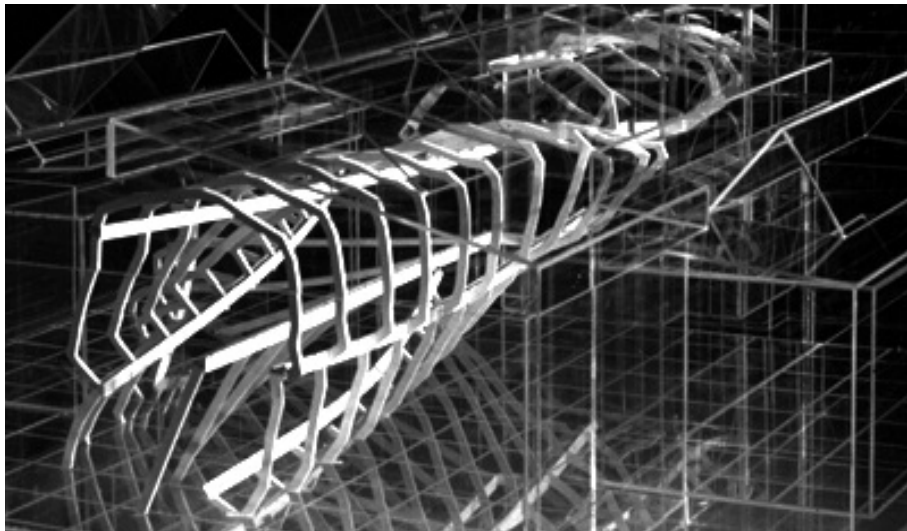
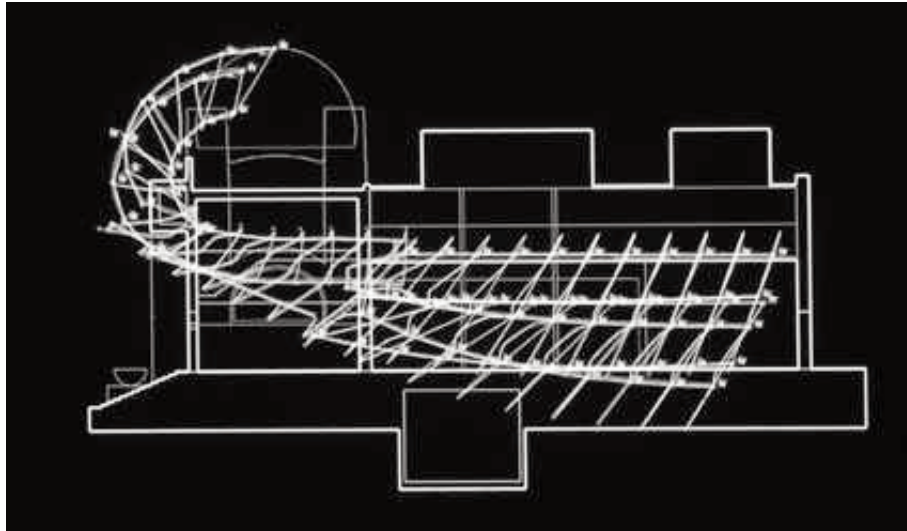


Abb. 345: Greg Lynn und Fabian Marcaccio, The Tingler, Rauminstallation, Secession, Wien, Österreich, 1999. Längsschnitt.
Abb. 346: Modell, Fotografie.



Abb. 347: Greg Lynn und Fabian Marcaccio, The Tingler, Rauminstallation, Secession, Wien, Österreich, 1999. Blick in den Ausstellungsraum, Fotografie.
Abb. 348: Blick in den Ausstellungsraum, Fotografie.



Abb. 349: Riesenblatt der Gunnera, Fotografie, abgebildet auf der Internetseite von Greg Lynn FORM, <www.glform.com>, Unterseite „Lattice“ (Dezember 2006).

Abb. 350: Natürliche Gitterstruktur, Fotografie, abgebildet auf der Internetseite von Greg Lynn FORM, <www.glform.com>, Unterseite „Lattice“ (Dezember 2006).

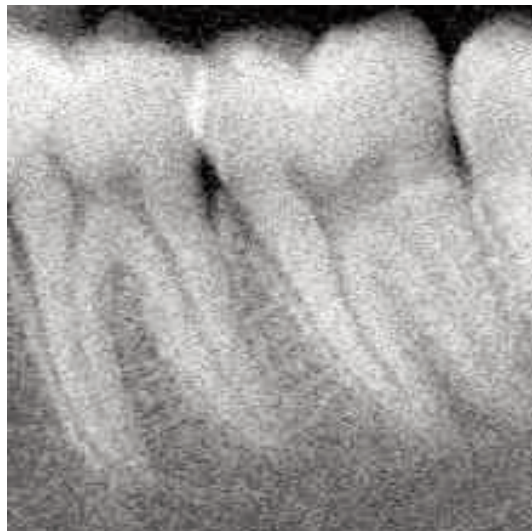


Abb. 351: Geöffneter Mund mit Zähnen, Fotografie, abgebildet auf der Internetadresse von Greg Lynn FORM, <www.glform.com>, Unterseite „Teeth“ (Dezember 2006).

Abb. 352: Menschliche Backenzähne, Röntgenfotografie, abgebildet auf der Internetseite von Greg Lynn FORM, <www.glform.com>, Unterseite „Teeth“ (Dezember 2006).

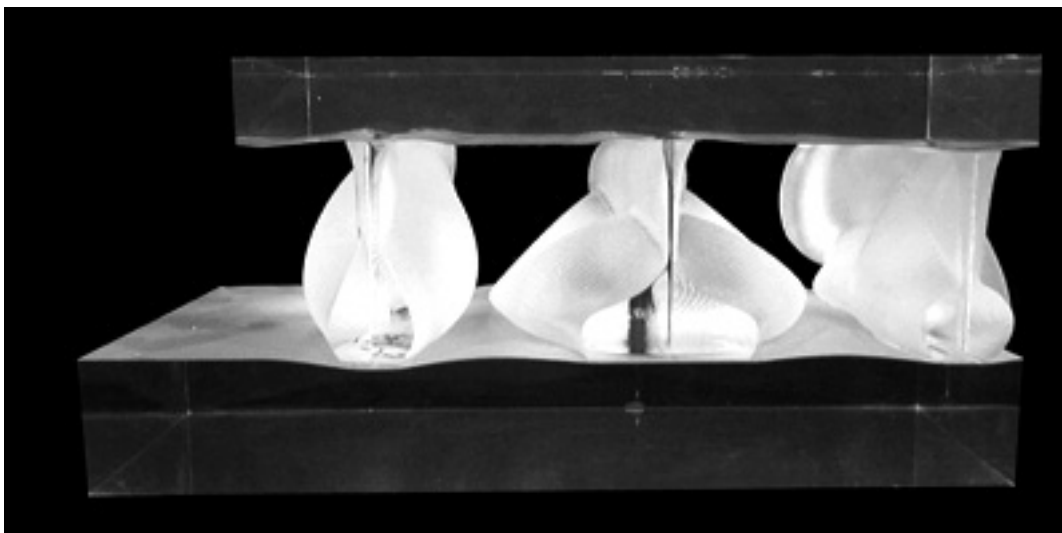
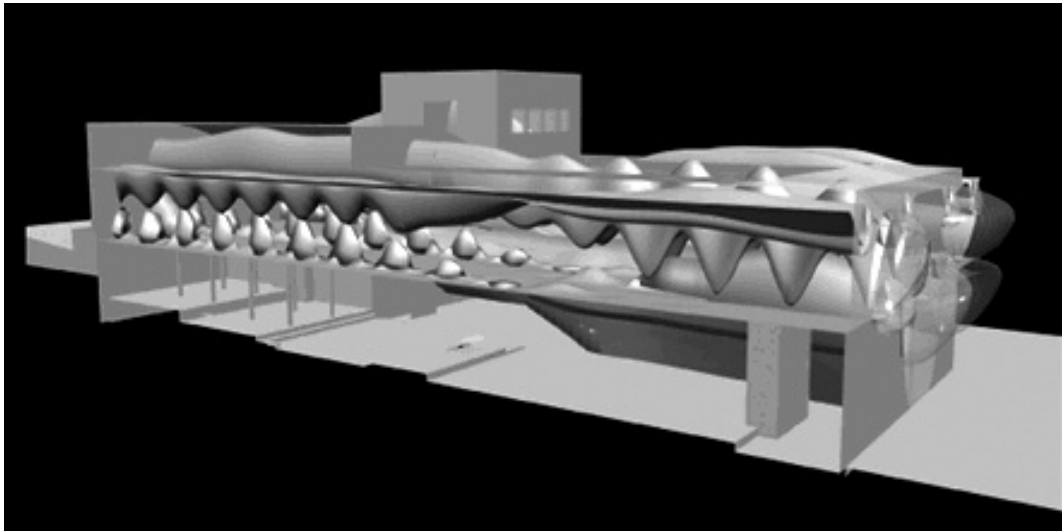


Abb. 353: Greg Lynn, Lords on Sunset, West Hollywood/Kalifornien, USA, Entwurf 2001. 3D-Modell, Perspektive, Computerrendering.

Abb. 354: Greg Lynn, Kunstmuseum St. Gallen, Schweiz, Entwurf 2001. Stereolithografiemodell, Fotografie.

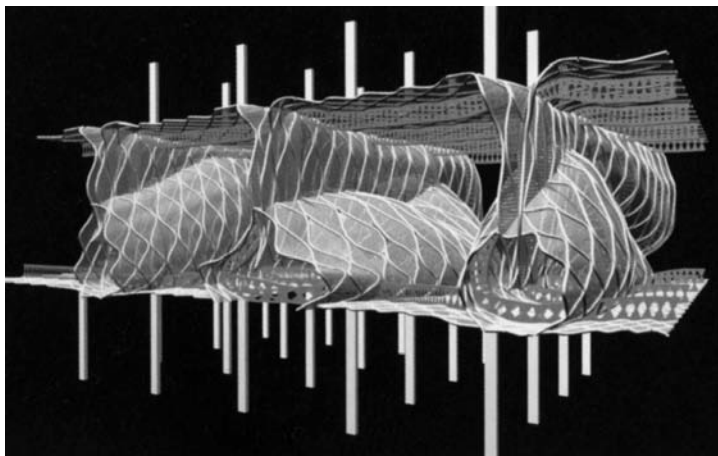
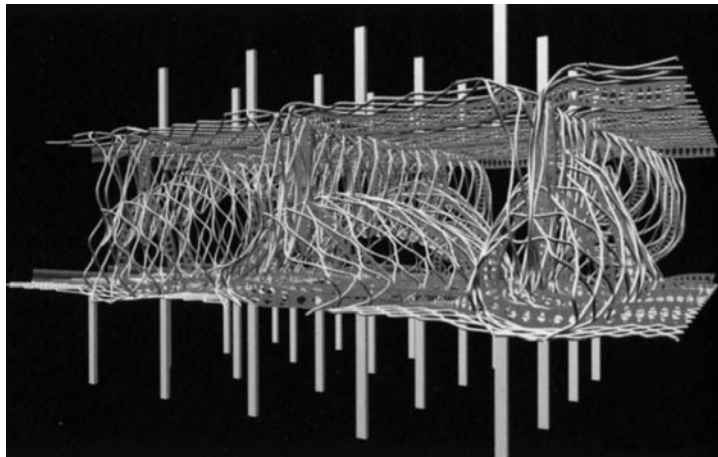
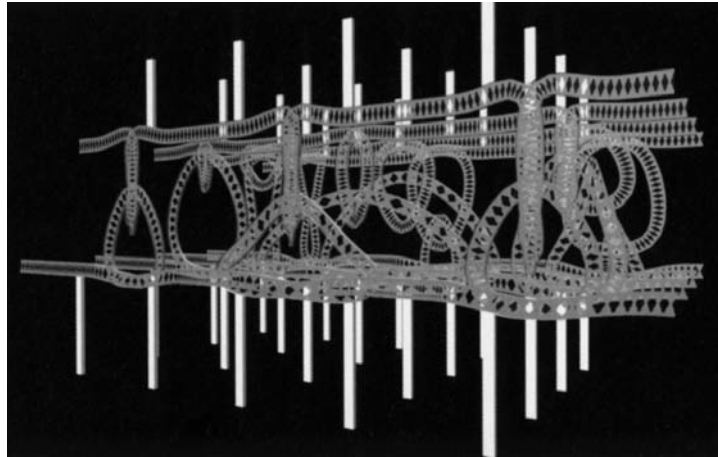


Abb. 355: Greg Lynn, Kunstmuseum St. Gallen, Schweiz, Entwurf 2001. 3D-Modell, Tragstruktur, Perspektive, Computerrendering.

Abb. 356: 3D-Modell, Gitterwerk, Perspektive, Computerrendering.

Abb. 357: 3D-Modell, Verkleidung, Perspektive, Computerrendering.

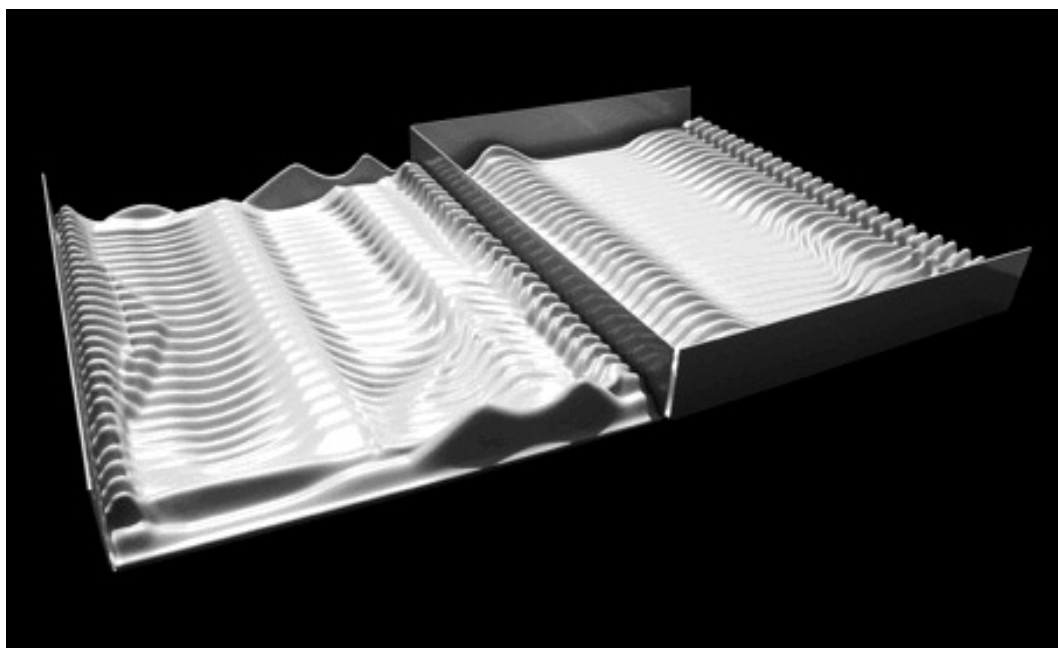


Abb. 358: Greg Lynn, Visionaire 34, Magazine Case Design, 2001/02. Hülle aus Aluminium und Einlage aus vakuumgeformten Kunststoff, Fotografie.

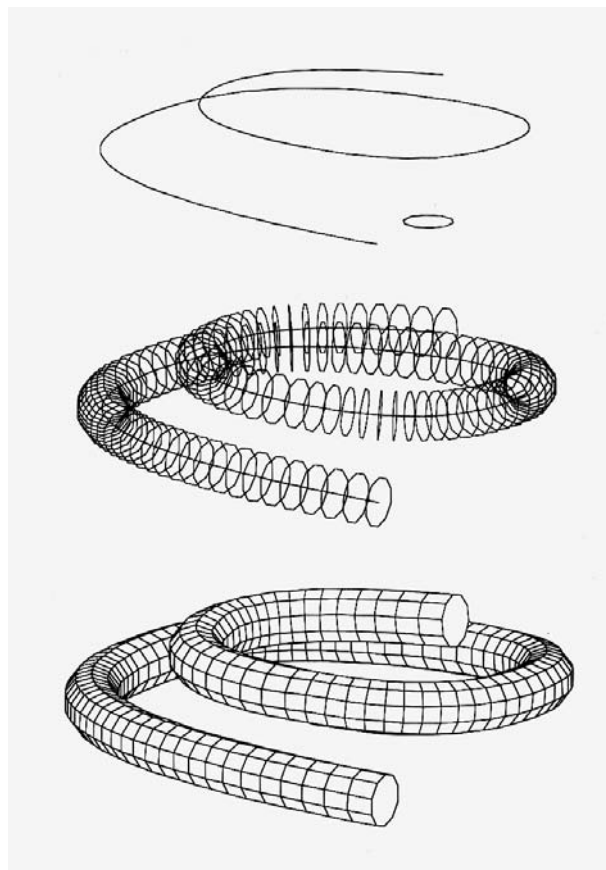
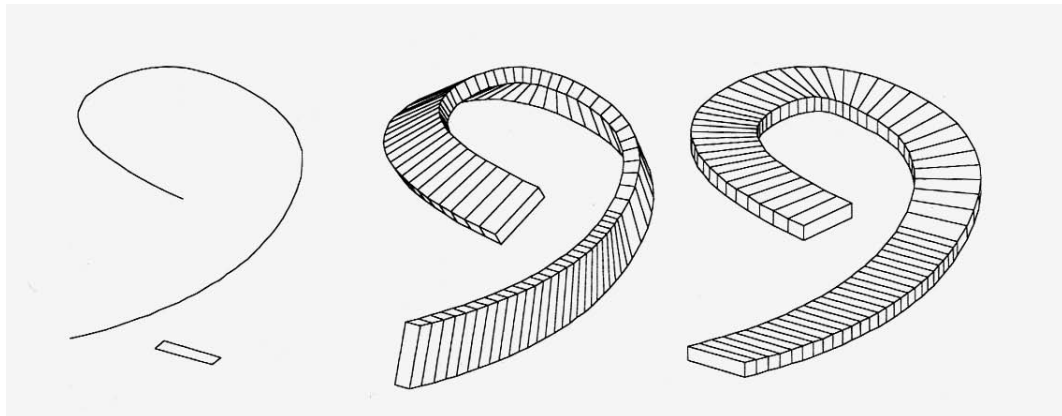


Abb. 359: *Sweep*-Operation in der digitalen 3D-Modellierung mit Rechteck als Profil und einer freigeformten Kurve als Pfad. *Axial Sweeps* mit der Option „Senkrecht zur Ebene“ (a) aus- und (b) angeschaltet, Computerzeichnung.

Abb. 360: *Place*-Operation mit Kreis als Profil und einer spiralförmigen Linie als Pfad. Erzeugung eines Netzes nach Platzierung von Formen entlang einer nicht planaren Linie, Computerzeichnung.

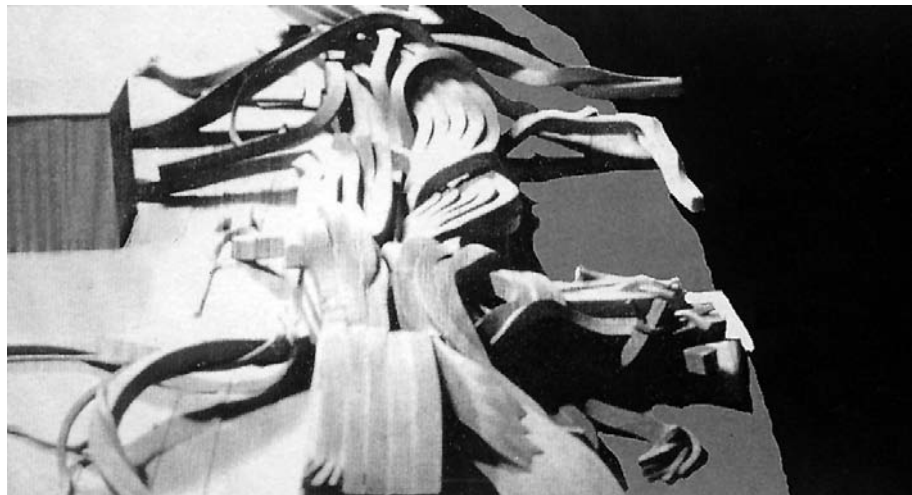


Abb. 361: Greg Lynn, Stranded Sears Tower, Chicago/Illinois, USA, Entwurf 1992. Präsentationsmodell mit Umgebung, Südwestseite, Fotografie.

Abb. 362: Präsentationsmodell mit Umgebung, Westseite, Fotografie

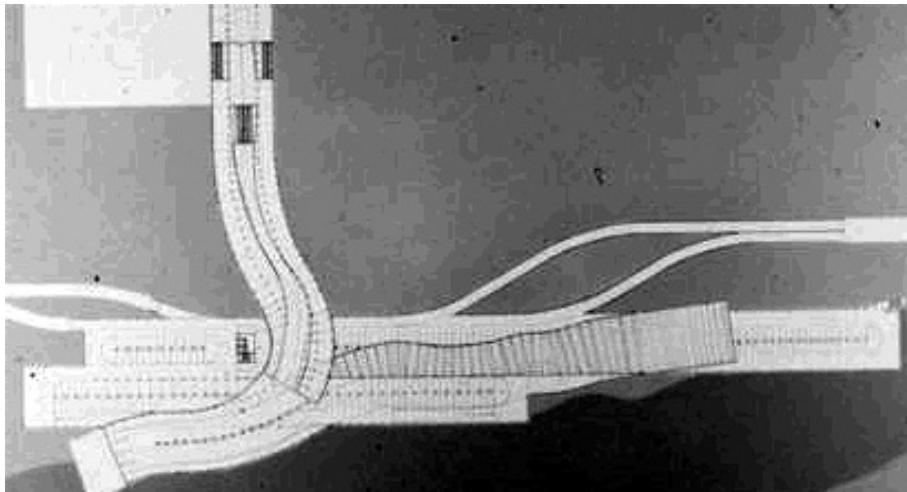
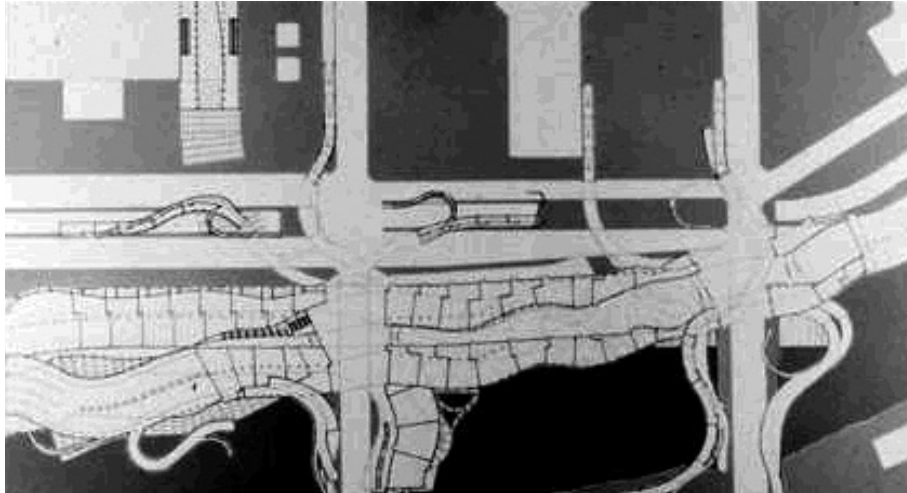


Abb. 363: Greg Lynn, Stranded Sears Tower, Chicago/Illinois, USA, Entwurf 1992. Grundriss des Erdgeschosses mit Umgebung.

Abb. 364: Grundriss des Untergeschosses mit Sears Tower.

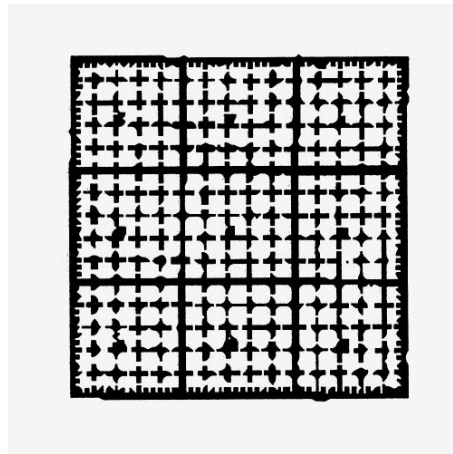
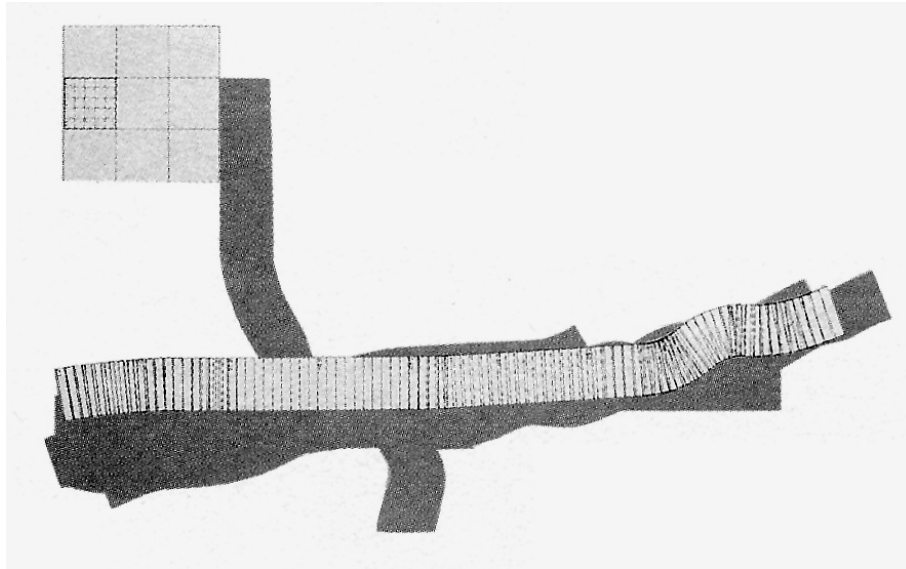


Abb. 365: Greg Lynn, Stranded Sears Tower, Chicago/Illinois, USA, Entwurf 1992. Schematischer Plan mit quadratischem Rastergrundriss des Sears Tower.

Abb. 366: Skidmore, Owings & Merrill, Sears Tower, Chicago/Illinois, USA, 1973/74. Quadratischer Rastergrundriss der Ebene 1, abgebildet in: Greg Lynn, Multiplicitous and Inorganic Bodies, 1992.



Abb. 367: Skidmore, Owings & Merrill, Sears Tower, Chicago/Illinois, USA, 1973/74. Außenfotografie, abgebildet auf der Internetseite von Greg Lynn FORM, www.glform.com, Unterseite „Sears Tower“ (Dezember 2006).

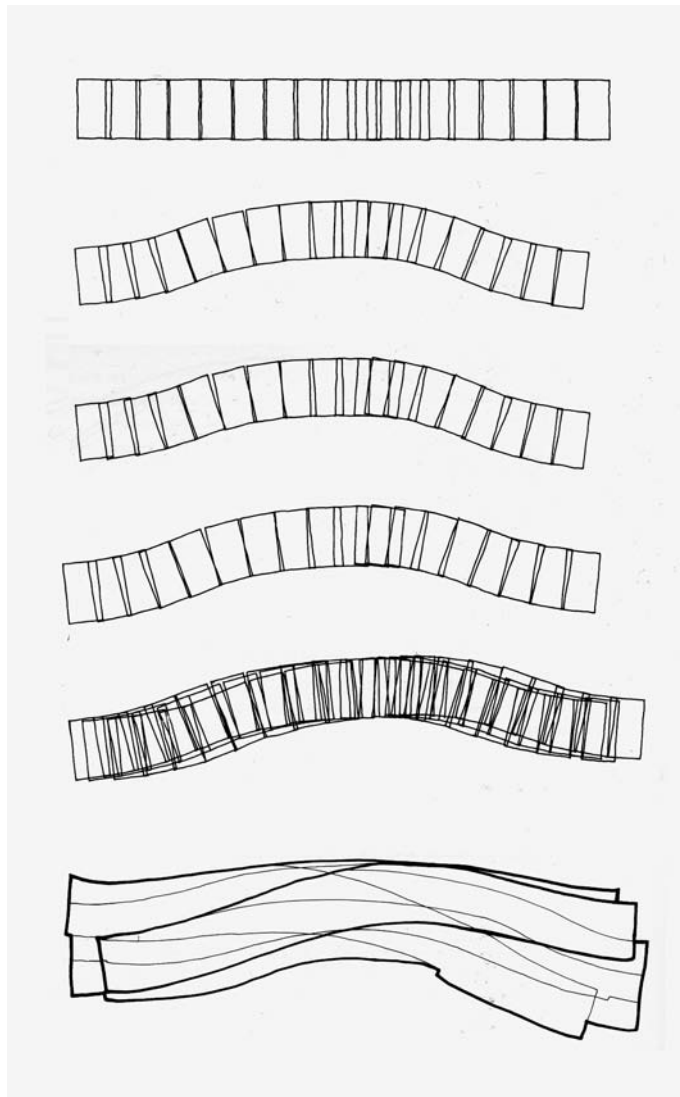


Abb. 368: Peter Eisenman, Aronoff Center for Design and Art, University of Cincinnati/Ohio, USA, 1988–96. Konzeptdiagramme, Anreihung geometrischer Körper und ihre Deformation durch Kurven.

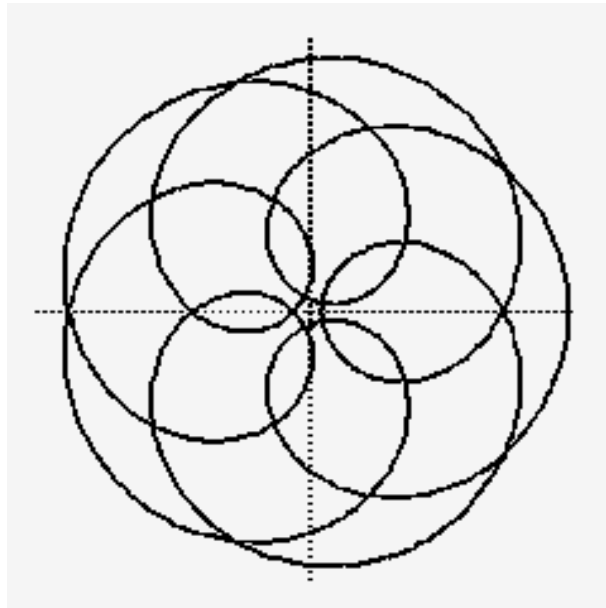


Abb. 369: Greg Lynn, Algebraische Kurve: Hypotrochoid, abgebildet auf der Internetseite von Greg Lynn FORM, www.glform.com, Unterseite „Flower“ (Dezember 2006).

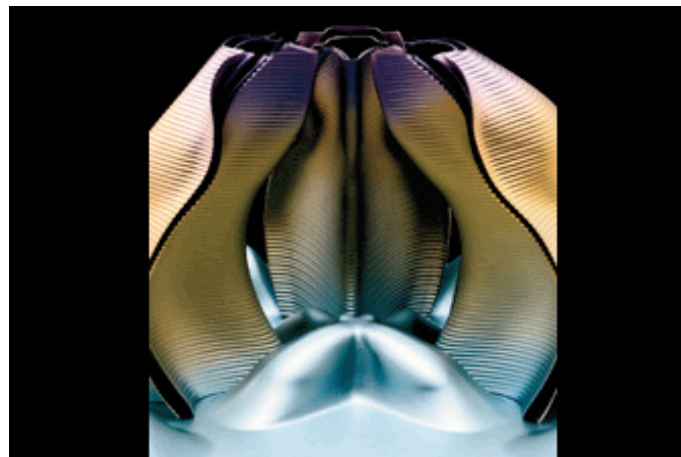
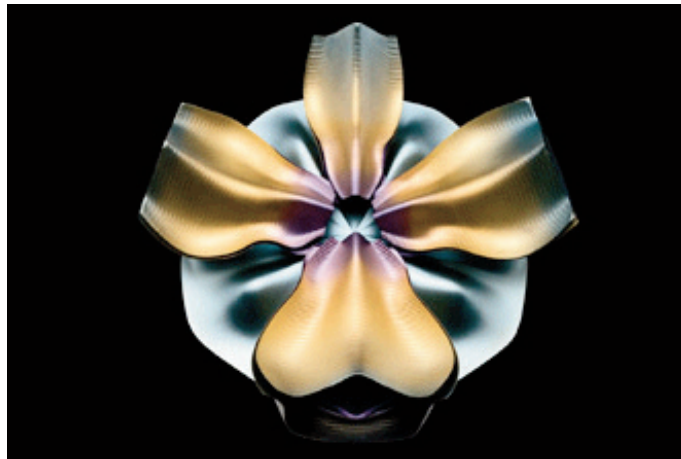
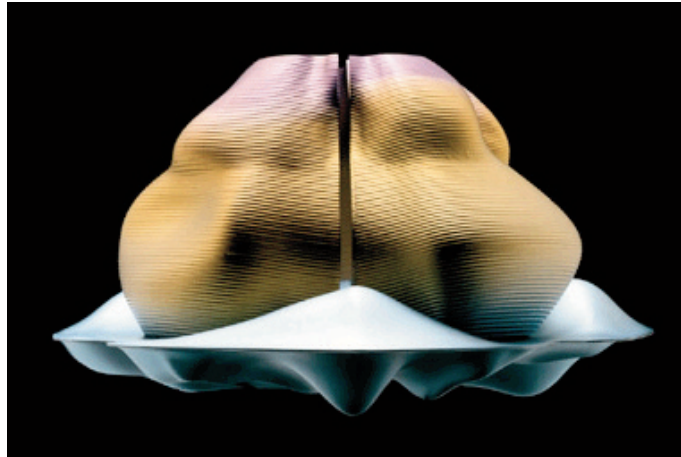


Abb. 370: Greg Lynn, Alessi Tea & Coffee Towers, tea and coffee service, 2001–03. Teekanne, Kaffeeanne, Milchkännchen und Zuckerdose auf Tablett, Titan, 44,5 x 44 x 28,5 cm, Ansicht mit stehenden Gefäßen, Fotografie.

Abb. 371: Teekanne, Kaffeeanne, Milchkännchen und Zuckerdose auf Tablett, Titan, Aufsicht mit liegenden Gefäßen, Fotografie.

Abb. 372: Drei Kannen auf Tablett, Titan, Ansicht mit stehenden Gefäßen, Fotografie.

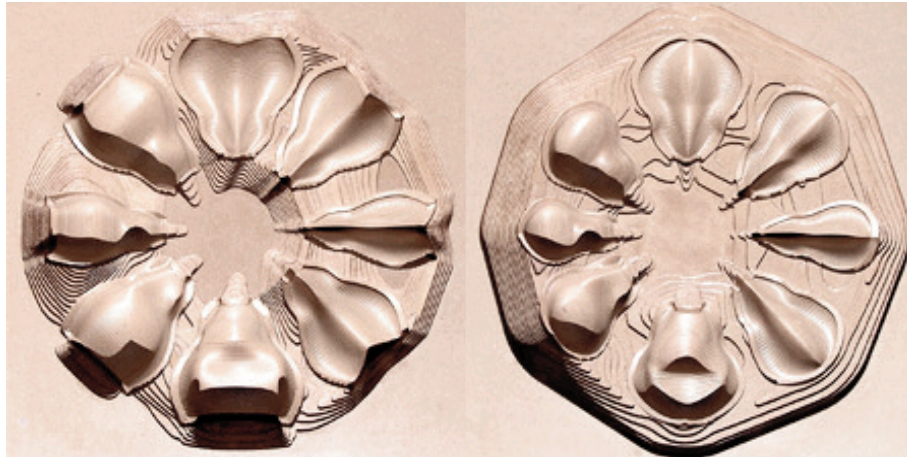


Abb. 373: Greg Lynn, Alessi Tea & Coffee Towers, tea and coffee service, 2001–03. CNC-geschnittene Negativformen aus Karbon, Aufsicht, Fotografie.
Abb. 374: CNC-geschnittene Negativform aus Karbon, Fotografie.

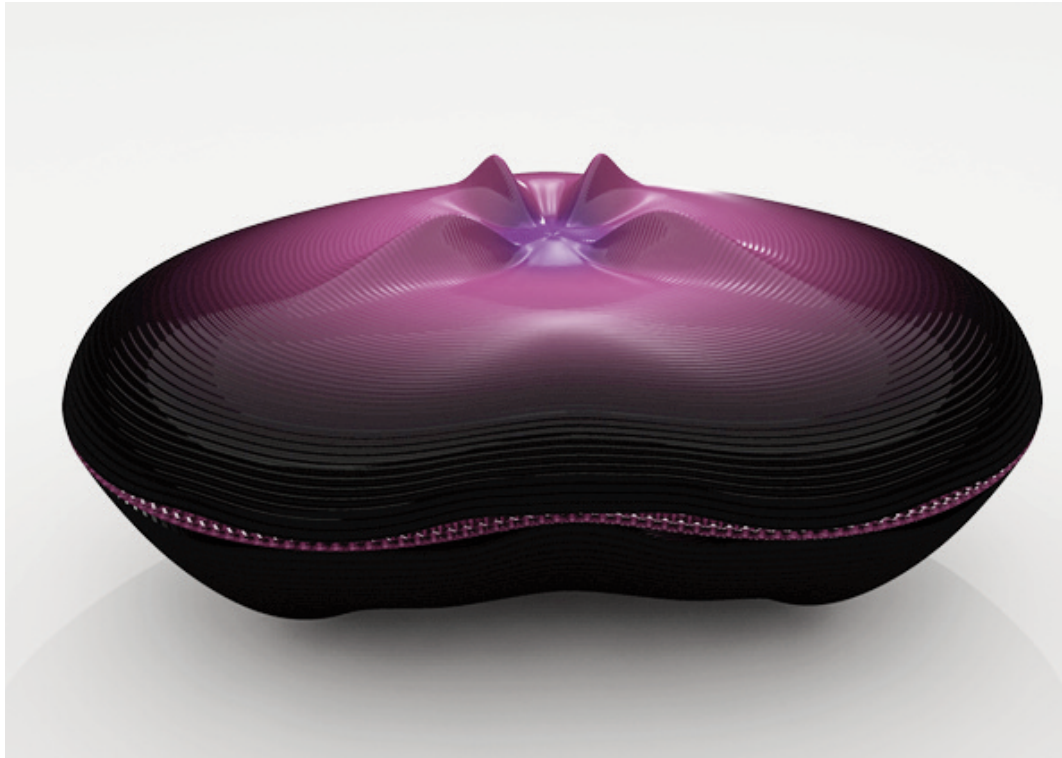


Abb. 375: Greg Lynn, Alessi Grill prototype, Entwurf 2005. Computerrendering.

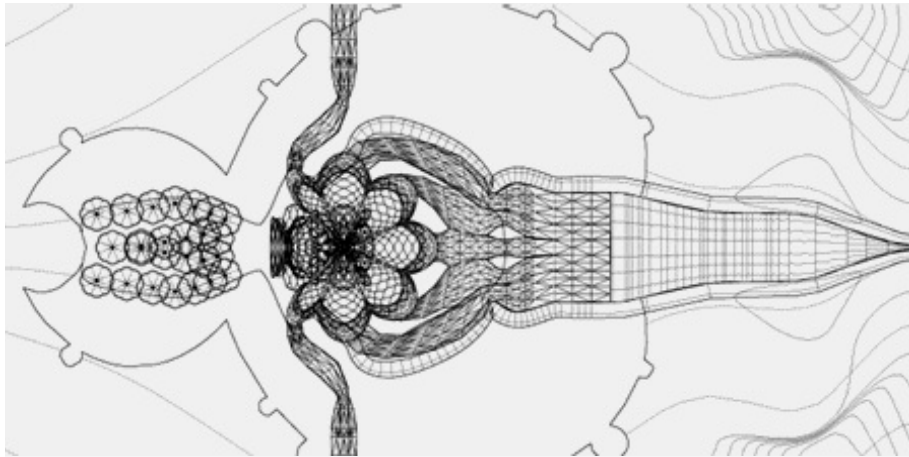


Abb. 376: Greg Lynn, Ark of the World Museum & Visitors Center, Carada Park Area & Río Tárcoles, Costa Rica, Entwurf 2002. Präsentationsmodell mit Umgebung, Fotografie.
Abb. 377: Dachaufsicht, Computerzeichnung.

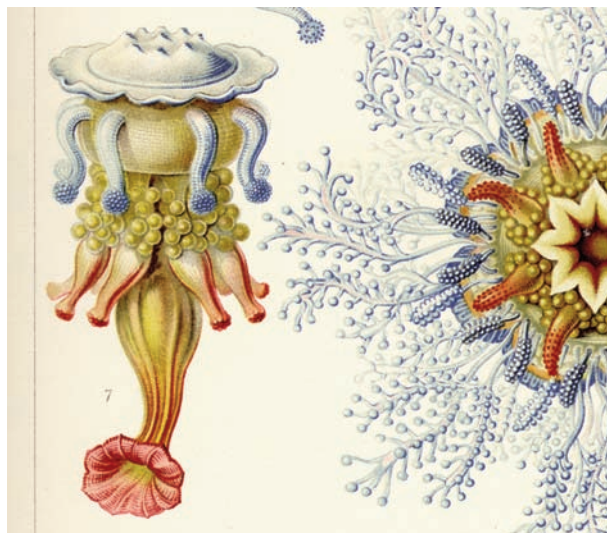


Abb. 378: Erich Haeckel, *Kunstformen der Natur*, 1899–1904. Tafel 8 *Desmonema*, Lithografie.
 Abb. 379: Tafel 17 *Porpema*, Ausschnitt mit Figur 7 (links), Lithografie.

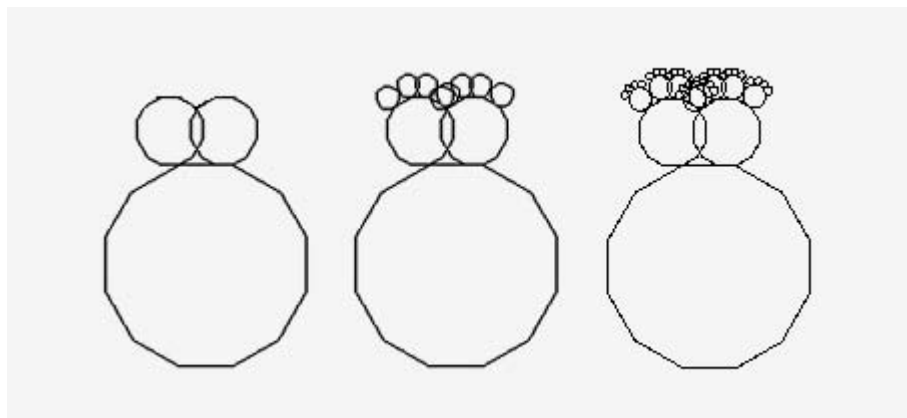
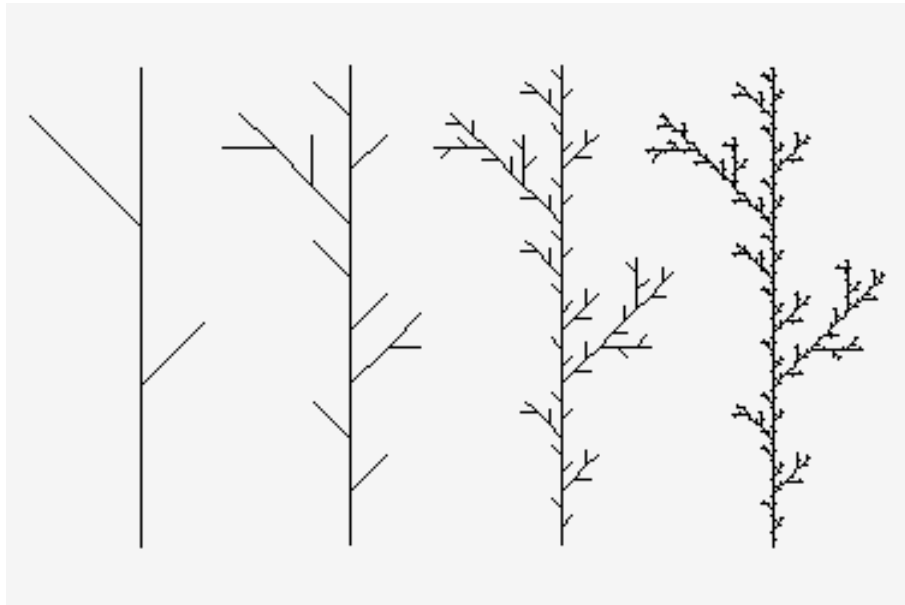


Abb. 380: Modellierung einer Pflanze durch Lindenmayer-Systeme, Beispiel Zweig, Computerzeichnung.
Abb. 381: Beispiel Kaktus, Computerzeichnung.

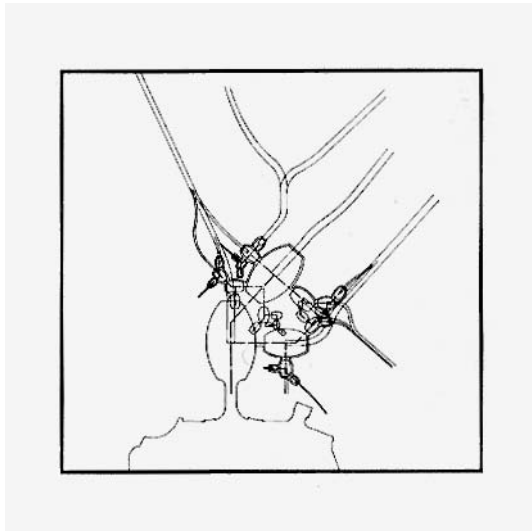


Abb. 382: Fotografie eines natürlichen Astwerkes, abgebildet auf der Internetseite von Greg Lynn FORM, www.glform.com, Unterseite „Branch“ (Dezember 2006).

Abb. 383: Greg Lynn, Cardiff Bay Opera House, Cardiff/Wales, Großbritannien, Entwurf 1994. Städtebauliche Studie, Aufsicht, Computerzeichnung.

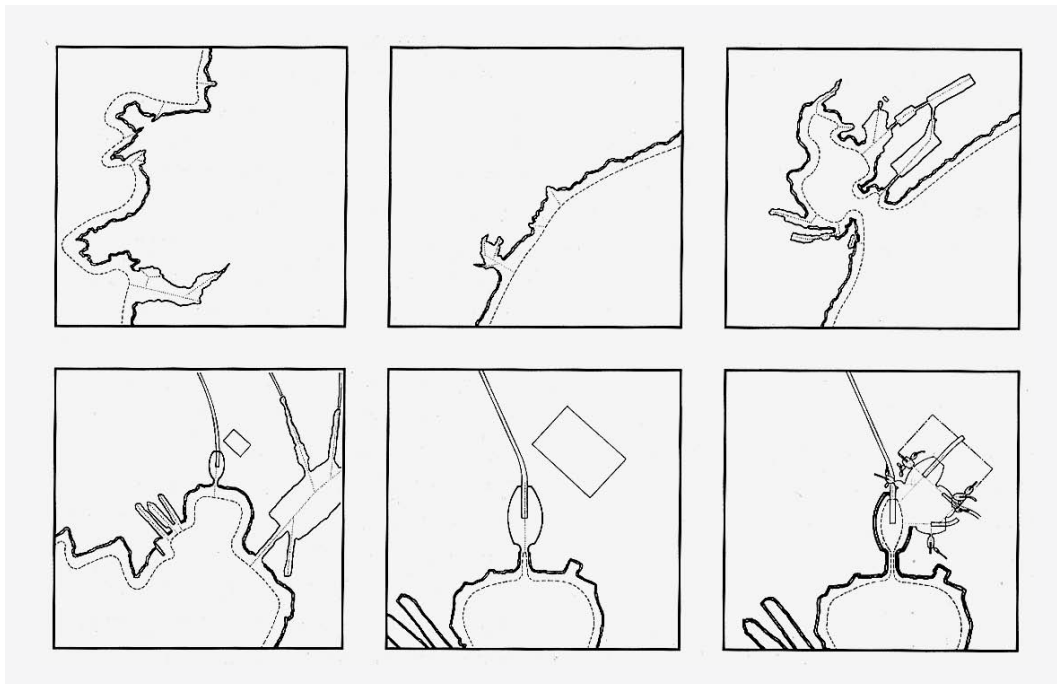


Abb. 384: Greg Lynn, Cardiff Bay Opera House, Cardiff/Wales, Großbritannien, Entwurf 1994. Studie der Küstenlinie, von oben links nach unten rechts absteigend: Westküste Großbritanniens, Hafenbecken von Cardiff, Baugrundstück mit Kontur des Wettbewerbsentwurfes, Aufsichten, Computerzeichnungen.

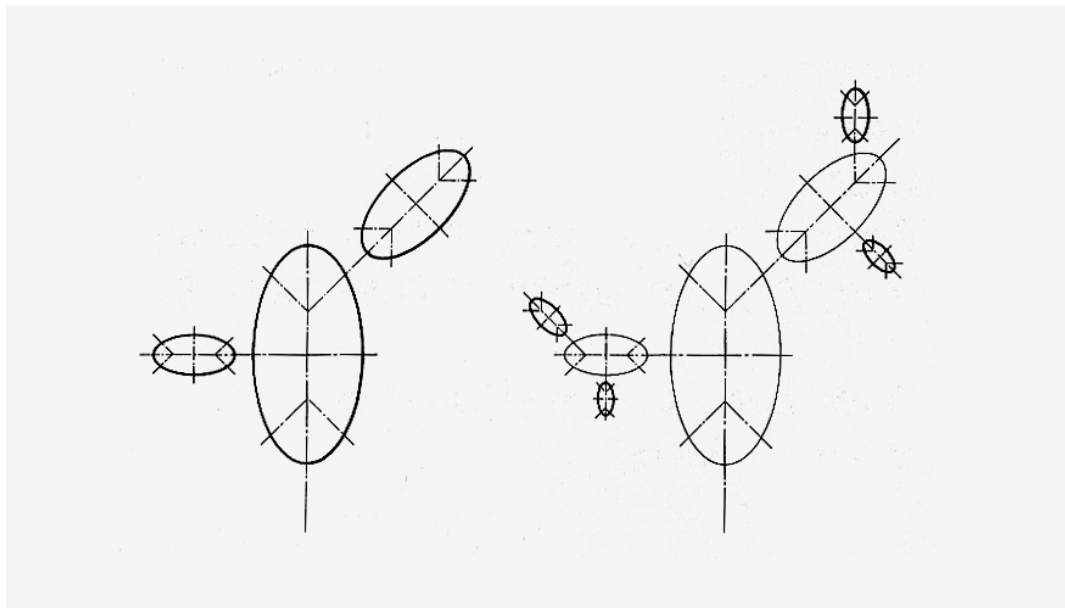


Abb. 385: Greg Lynn, Cardiff Bay Opera House, Cardiff/Wales, Großbritannien, Entwurf 1994. Verzweigungsschema, erste und zweite Generation, Aufsicht, Computerzeichnung.

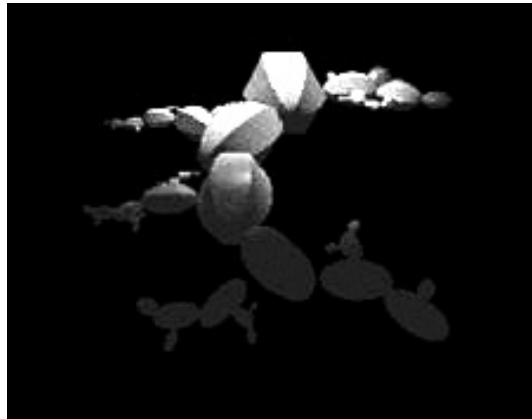
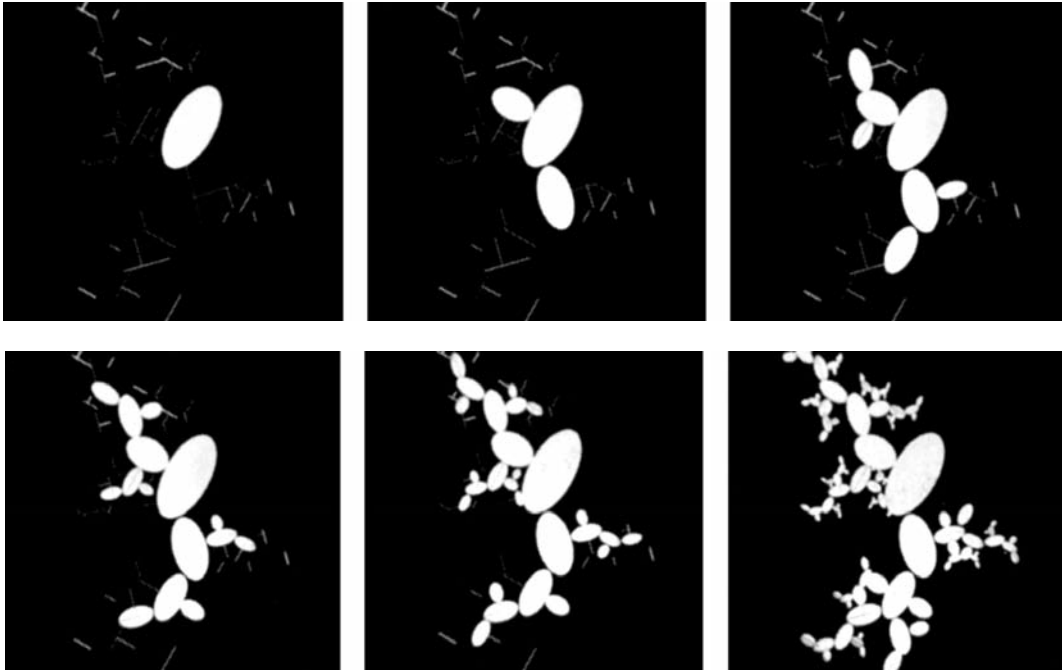


Abb. 386: Greg Lynn, Cardiff Bay Opera House, Cardiff/Wales, Großbritannien, Entwurf 1994.
Verzweigungsschema, fünf Generationen, Aufsicht, Computerzeichnung.
Abb. 387: Verzweigungsmodell, fünf Generationen, Perspektive, Computerrendering.

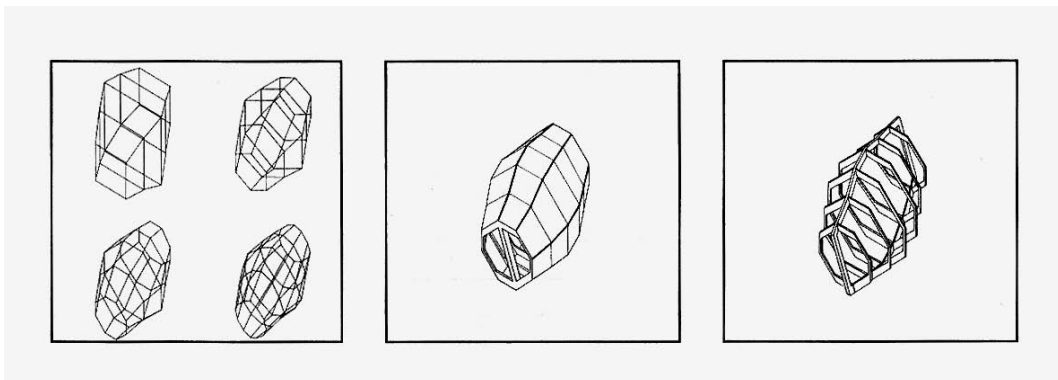
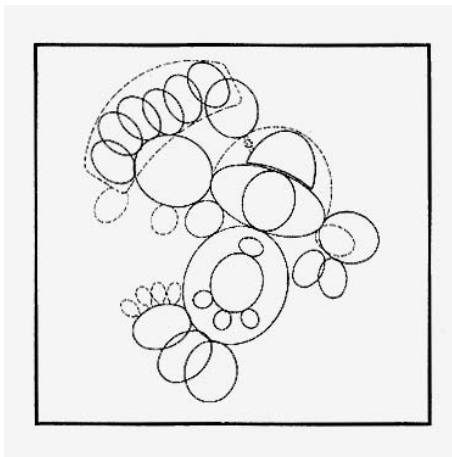
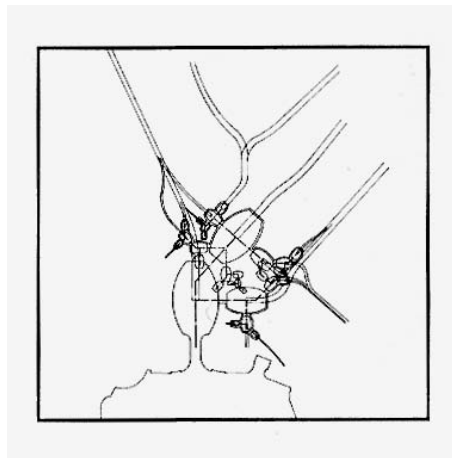


Abb. 388: Greg Lynn, Cardiff Bay Opera House, Cardiff/Wales, Großbritannien, Entwurf 1994. Städtebauliche Studie, Aufsicht, Computerzeichnung.

Abb. 389: Programmatische Neukonfiguration der Ovalformen, Aufsicht, Computerzeichnung.

Abb. 390: Von links nach rechts: vier Polypentypen, facettierte Oberfläche, Spantenbauweise, Axonometrien, Computerzeichnungen.

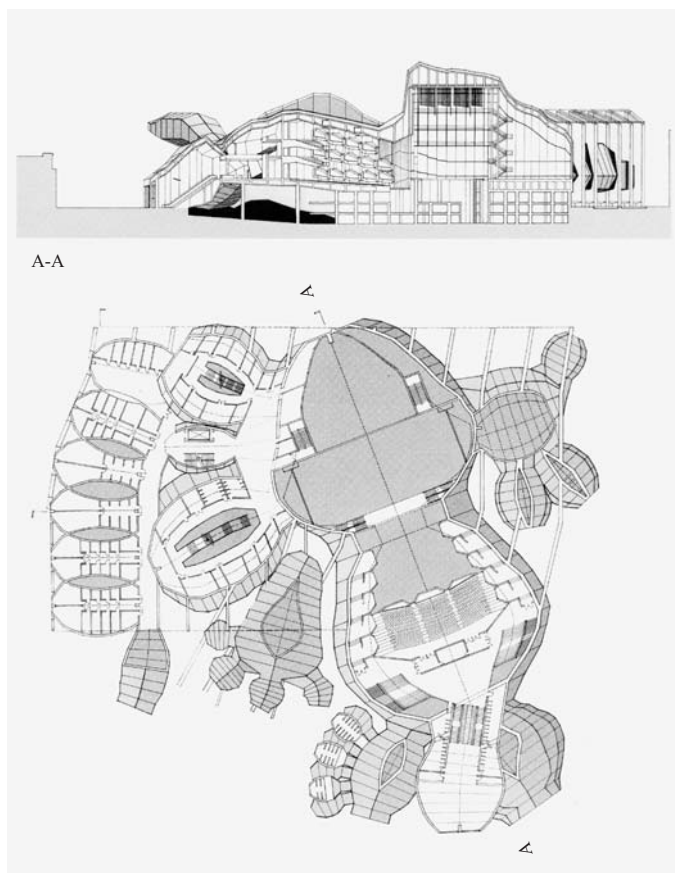
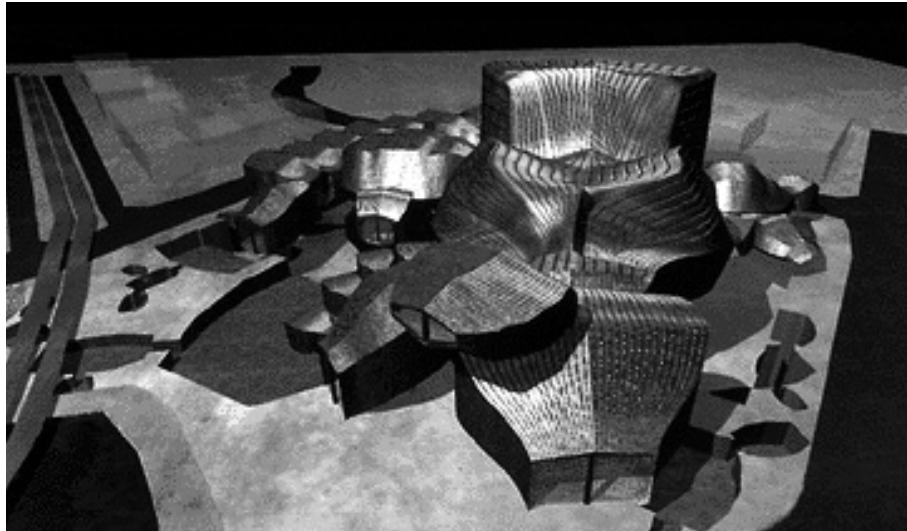


Abb. 391: Greg Lynn, Cardiff Bay Opera House, Cardiff/Wales, Großbritannien, Entwurf 1994.
3D-Modell der Raumkörper mit Umgebung, Vogelperspektive, Südseite, Computerrendering.
Abb. 392: Längsschnitt und Grundriss des zweiten Obergeschosses.

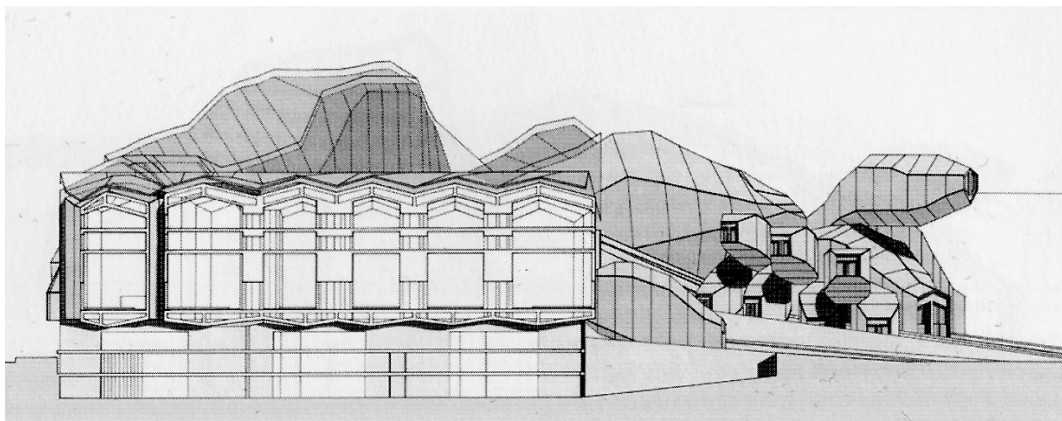
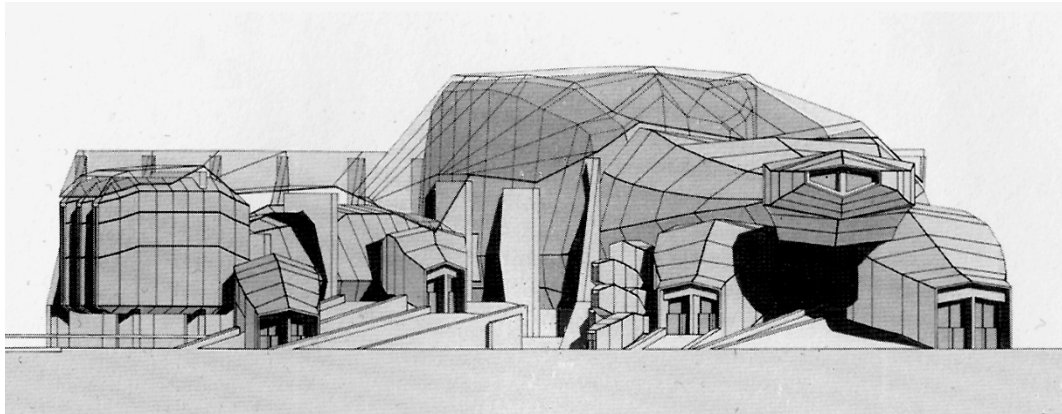


Abb. 393: Greg Lynn, Cardiff Bay Opera House, Cardiff/Wales, Großbritannien, Entwurf 1994.
Ansicht der Südwestseite, Computerzeichnung.
Abb. 394: Ansicht der Nordwestseite mit Schnitt durch die Probenräume, Computerzeichnung.

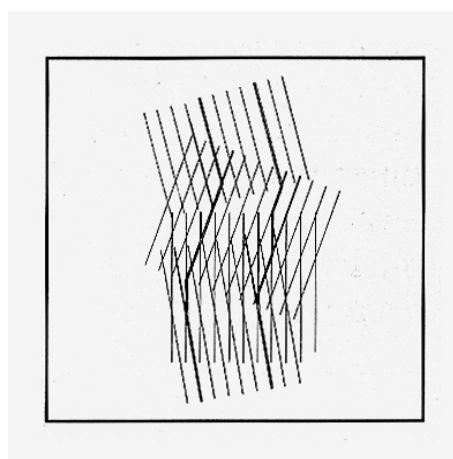
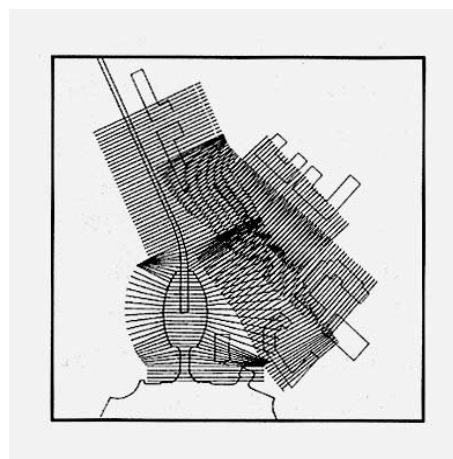
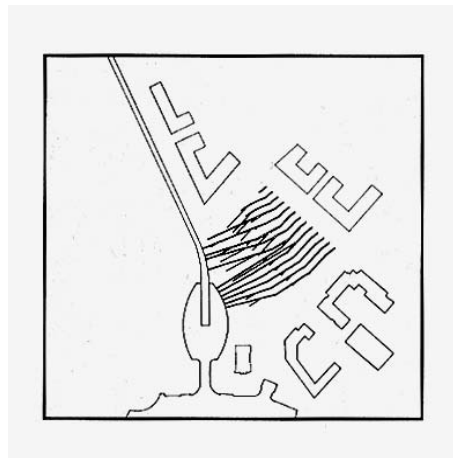


Abb. 395: Greg Lynn, Cardiff Bay Opera House, Cardiff/Wales, Großbritannien, Entwurf 1994. Schematischer Lageplan mit Schottenwänden, Computerzeichnung.

Abb. 396: Schematischer Lageplan mit überlagerten Parallellinienmustern, Computerzeichnung.

Abb. 397: Ausschnitt der überlagerten Parallellinienmuster (schwache Linien) mit zwei sich daraus ergebenden Schottenwänden (starke Linien), Aufsicht, Computerzeichnung.

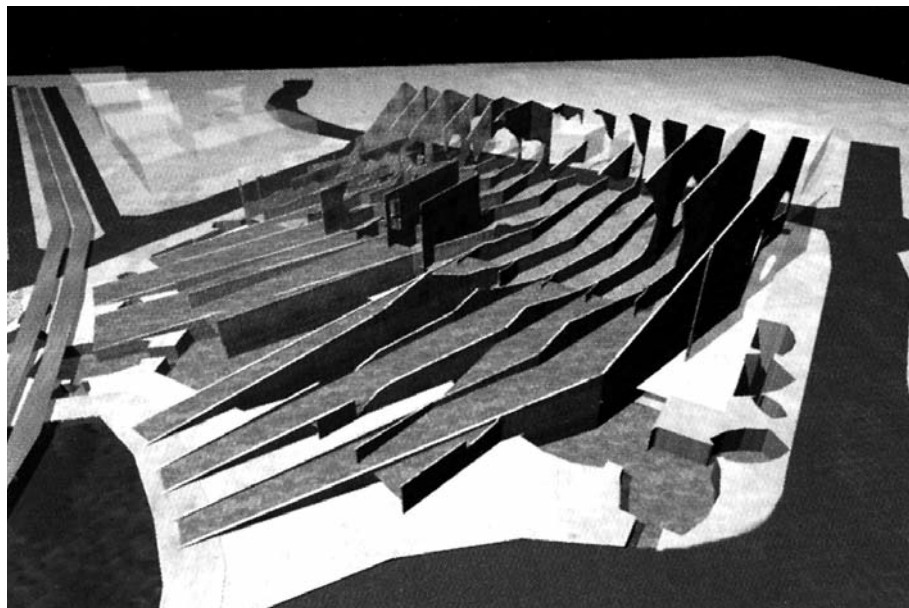
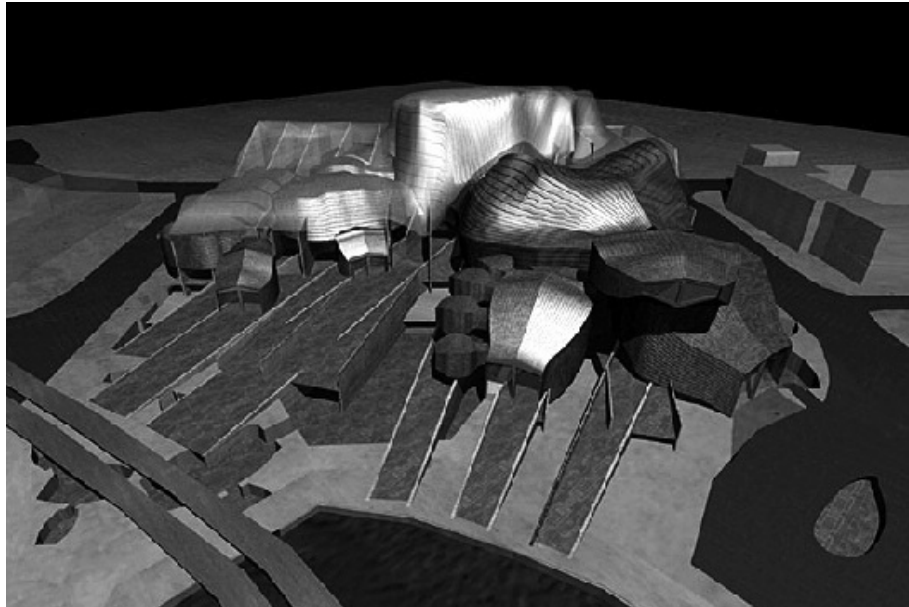


Abb. 398: Greg Lynn, Cardiff Bay Opera House, Cardiff/Wales, Großbritannien, Entwurf 1994.
3D-Modell mit Umgebung, Vogelperspektive, Südwestseite, Computerrendering.
Abb. 399: 3D-Modell der Rippenkonstruktion mit Umgebung, Vogelperspektive, Südseite, Computerrendering.

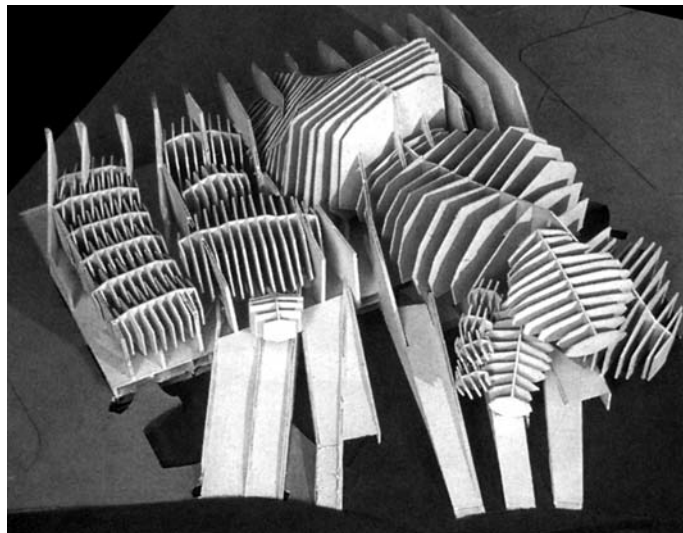
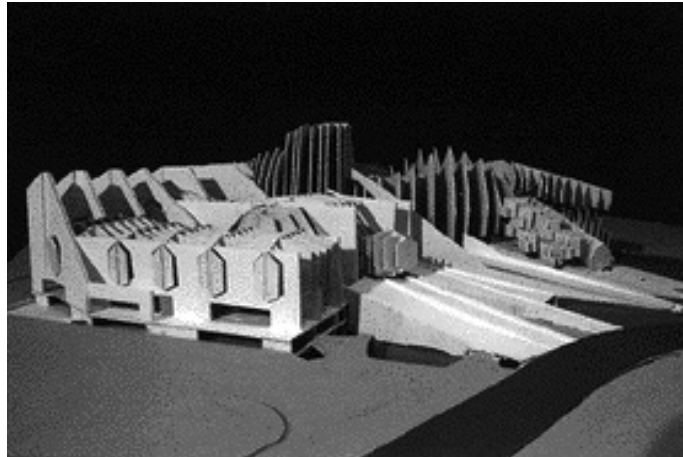


Abb. 400: Greg Lynn, Cardiff Bay Opera House, Cardiff/Wales, Großbritannien, Entwurf 1994.
Strukturmodell, Nordwestseite, Fotografie.
Abb. 401: Strukturmodell, Südwestseite, Fotografie.



Abb. 402: Greg Lynn, Cardiff Bay Opera House, Cardiff/Wales, Großbritannien, Entwurf 1994. 3D-Modell mit Umgebung, Aufsicht, Computerrendering.



Abb. 403: Greg Lynn, Cardiff Bay Opera House, Cardiff/Wales, Großbritannien, Entwurf 1994.
Stereolithografiemodell, 7,62 x 5,08 x 2,54 cm, Blick auf Nordseite, Fotografie.
Abb. 404: Blick auf Südseite, Fotografie.

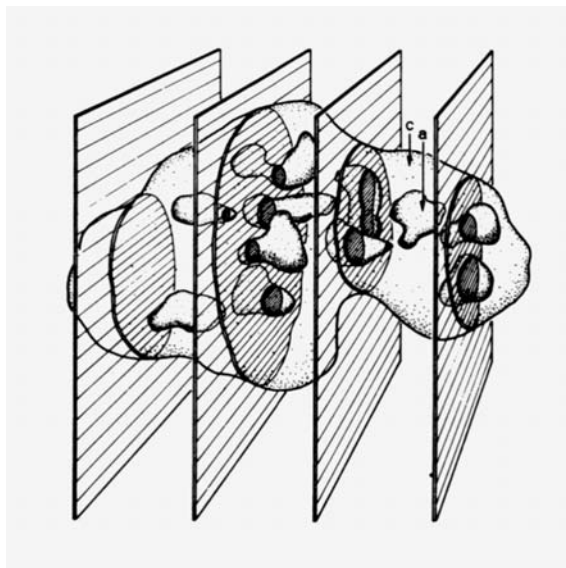
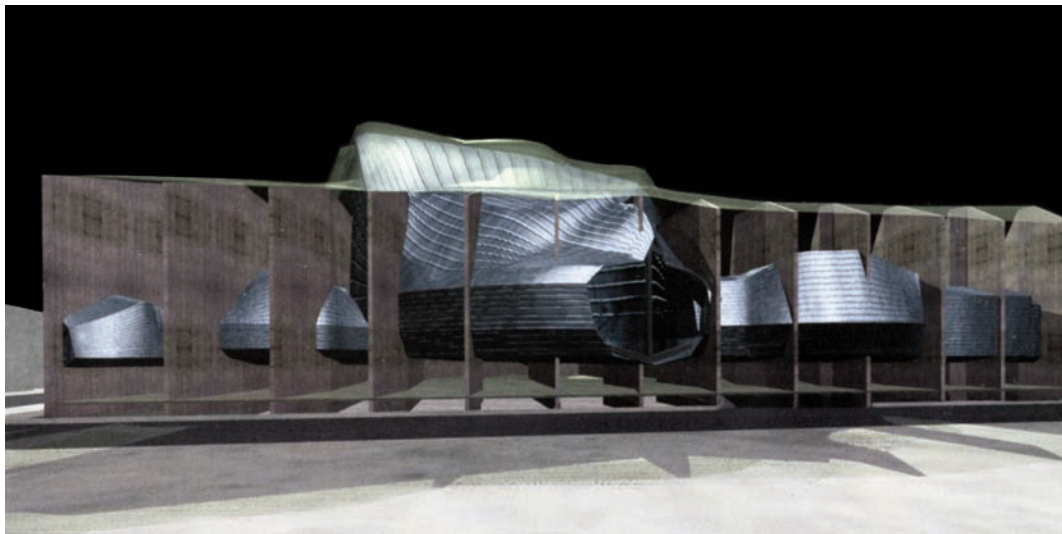


Abb. 405: Greg Lynn, Cardiff Bay Opera House, Cardiff/Wales, Großbritannien, Entwurf 1994. 3D-Modell, Perspektive, Nordostseite, Computerrendering.

Abb. 406: Ewald R. Weibel und Hans Elias, Parallele Schnitte zur geometrischen Bestimmung unregelmäßiger Körper, Illustration aus *Quantitative Methods in Morphology*, 1967, abgebildet in: Greg Lynn, *Probable Geometries*, 1993.

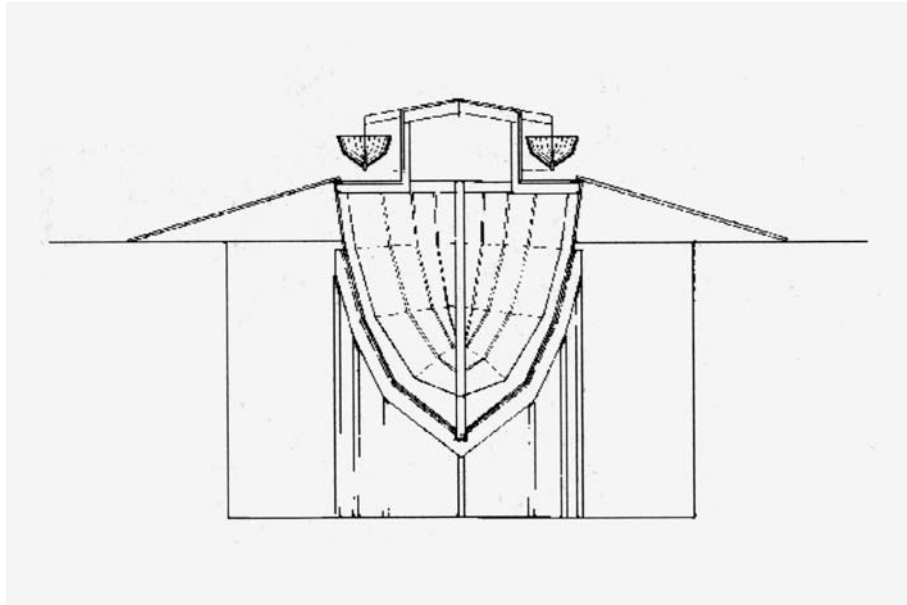


Abb. 407: Greg Lynn, Cardiff Bay Opera House, Cardiff/Wales, Großbritannien, Entwurf 1994. Querschnitt durch ein Trockendock, abgebildet in: Greg Lynn, *Animate Form*, New York 1999, S. 94, Abb. 205.

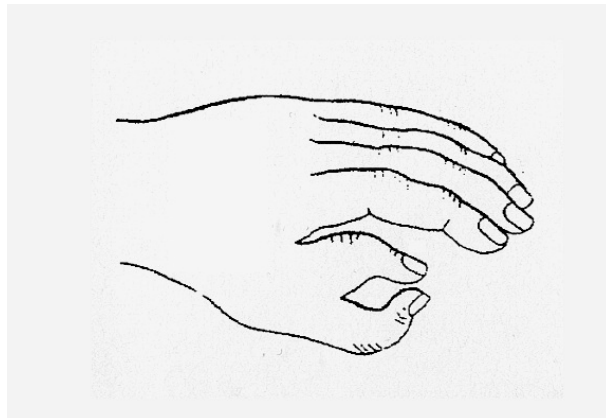
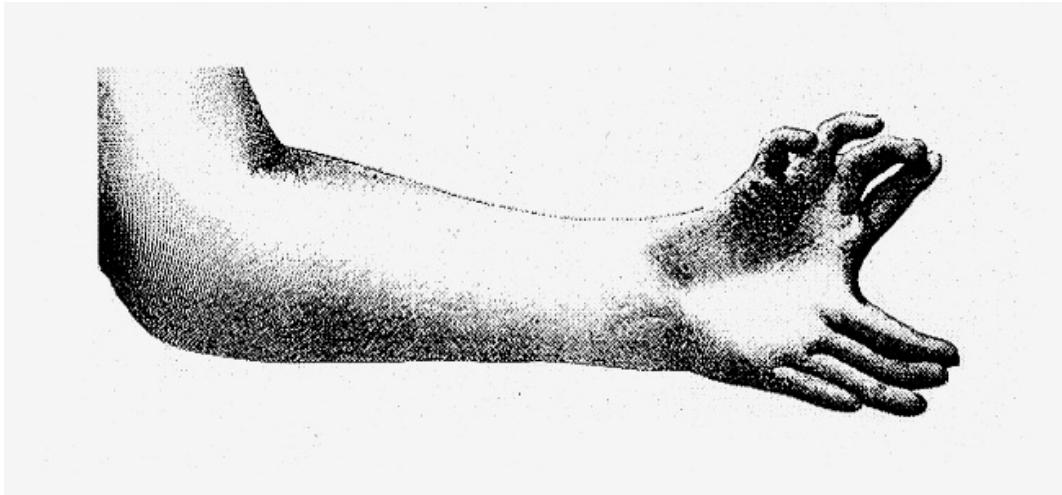


Abb. 408: William Bateson, Menschliche Fingermutationsanalyse, Illustration aus *Materials for the Study of Variation* von 1894, abgebildet in: Greg Lynn, *The Renewed Novelty of Symmetry*, 1995.
Abb. 409: William Bateson, Menschliche Daumenmutationsanalyse, Illustration aus *Materials for the Study of Variation* von 1894, abgebildet in: Greg Lynn, *The Renewed Novelty of Symmetry*, 1995.

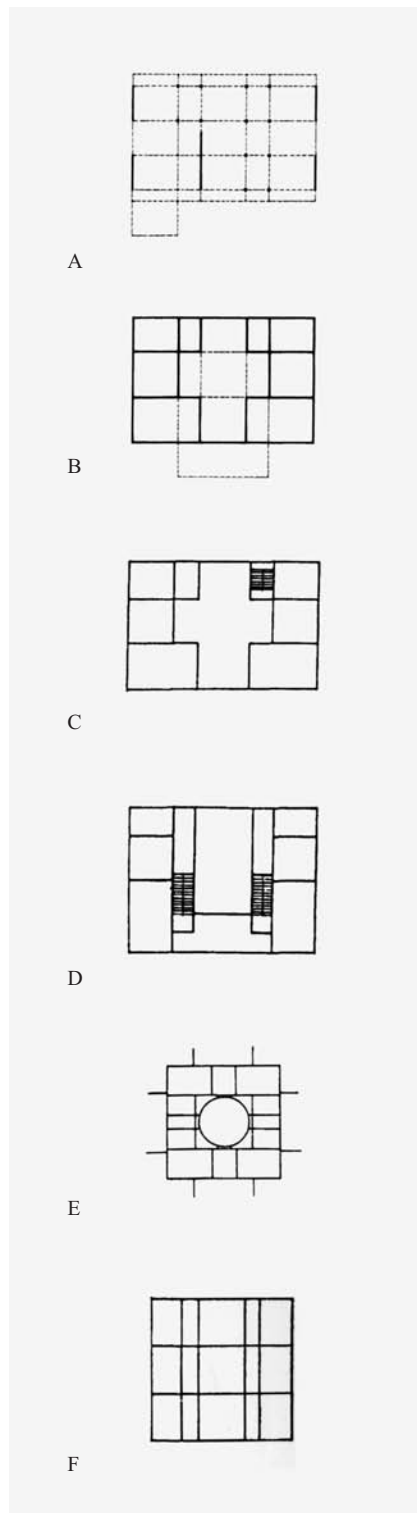


Abb. 410: Colin Rowe, Le Corbusiers Villa Stein in Garche (A) und Palladios Villa Malcontenta (B), Grundrissanalysen aus *The Mathematics of the Ideal Villa and Other Essays*, 1976. Rudolf Wittkower, Palladios Villa Malcontenta (C), Villa Sarego in Miega (D) und Villa Rotonda (E) sowie Geometrischer Schlüssel zu Palladios Villen (F), Grundrissanalysen aus *Architectural Principles in the Age of Humanism*, 1949, abgebildet in: Greg Lynn, *Multiplicitous and Inorganic Bodies*, 1992.

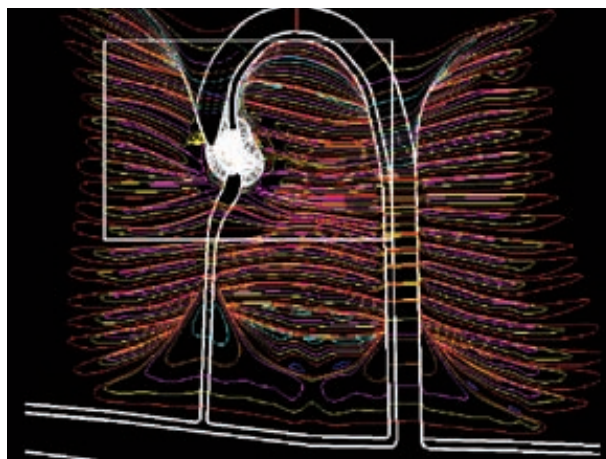
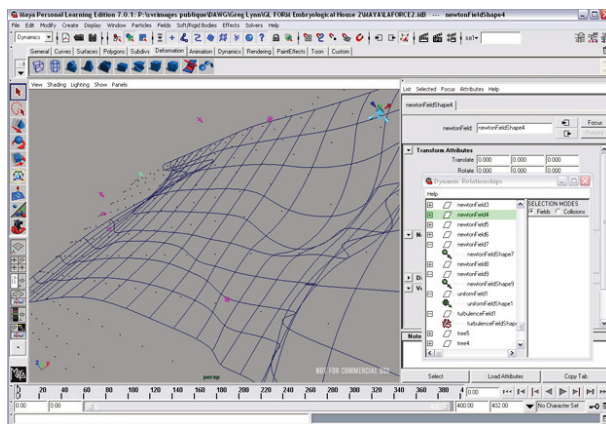
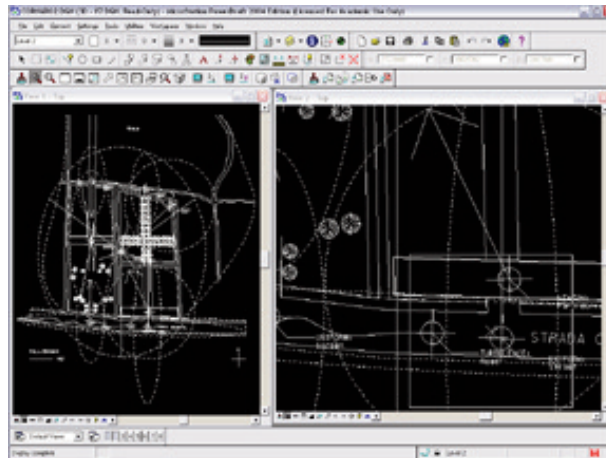


Abb. 411: Greg Lynn, Embryological House, Entwurf 1997–2001. Site of Villa Cornaro by Palladio, with landscape features identified as sources of distortion, Microstation file, Bildschirmfotografie.
 Abb. 412: Forces generated by these features are applied to the ground plane, Maya file, Bildschirmfotografie.
 Abb. 413: Contour drawing of landscape thus generated, Computerzeichnung.

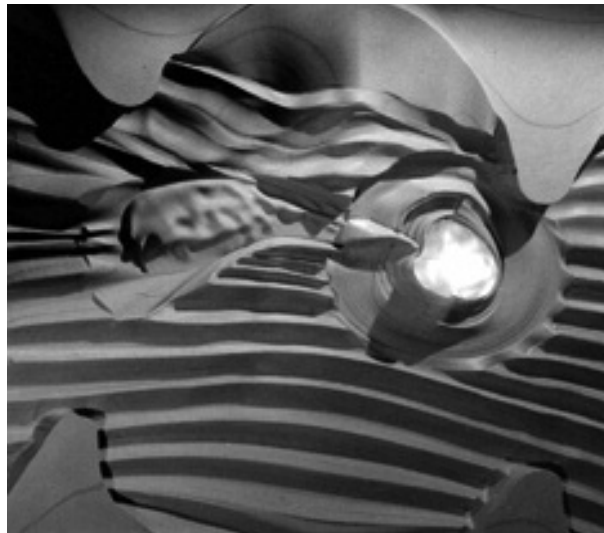
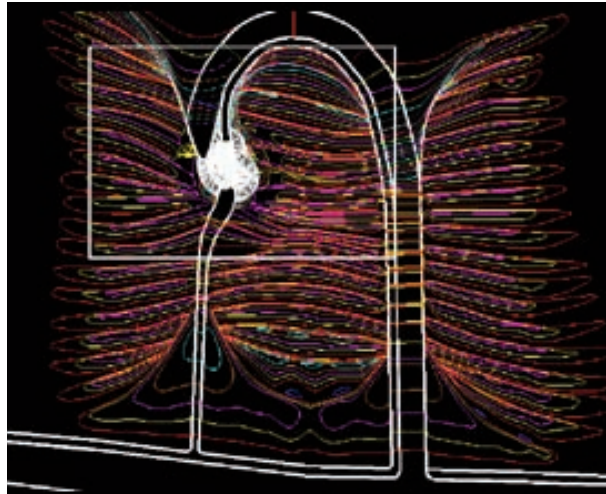


Abb. 414: Greg Lynn, Embryological House, Entwurf 1997–2001. Contour drawing of landscape, Computerzeichnung.

Abb. 415: Physical model of one iteration of the Embryological House, Fotografie.

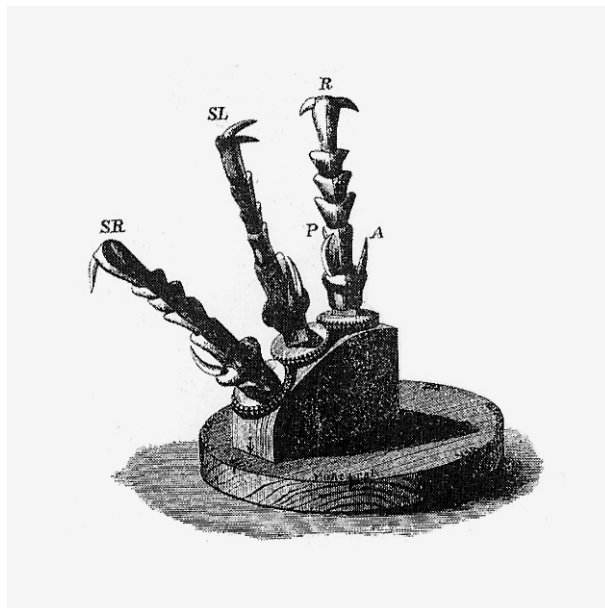
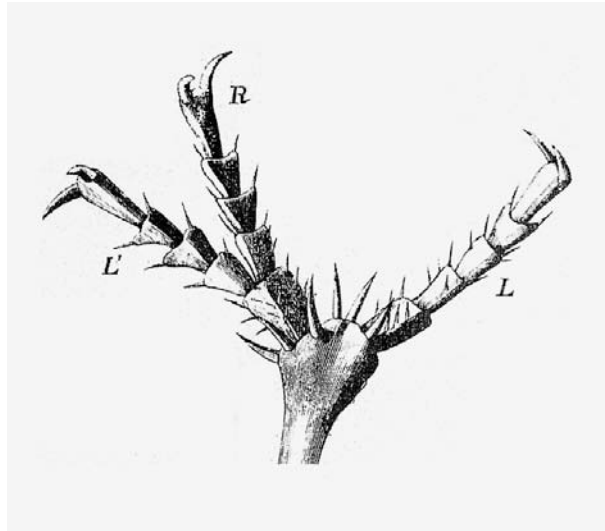


Abb. 416: William Bateson, Analyse der Beinmutation bei einem Coleoptera-Käfer, Illustration aus *Materials for the Study of Variation*, 1894, abgebildet in: Greg Lynn, *The Renewed Novelty of Symmetry*, 1995.

Abb. 417: William Bateson, Mechanisches Gerät zur Analyse der Beinmutation bei einem Coleoptera-Käfer, Illustration aus *Materials for the Study of Variation*, 1894, abgebildet in: Greg Lynn, *The Renewed Novelty of Symmetry*, 1995.

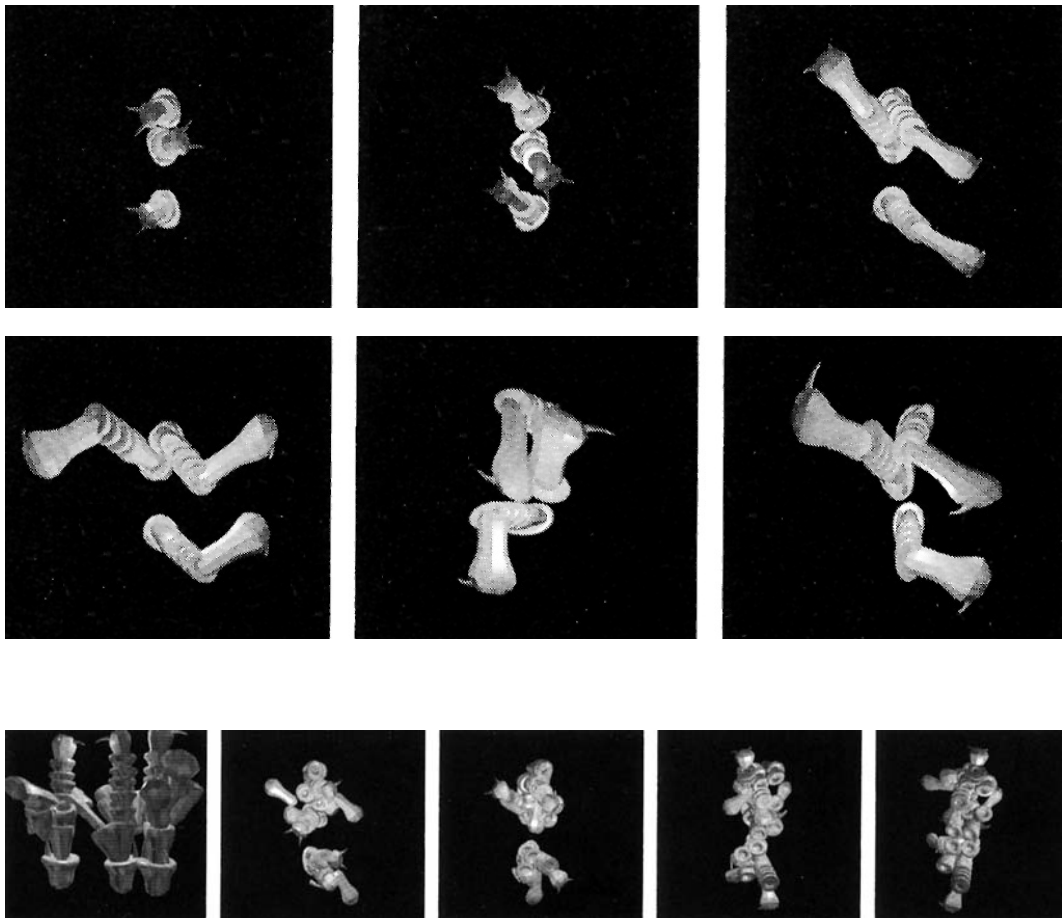


Abb. 418: Greg Lynn, Computermodell von William Batesons mechanischem Gerät zur Analyse der Beinmutation bei einem Coleoptera-Käfer, 1995. Computeranimation, Standbilder.
Abb. 419: Drei Generationen von Mutationen, 1995. Computeranimation, Standbilder.

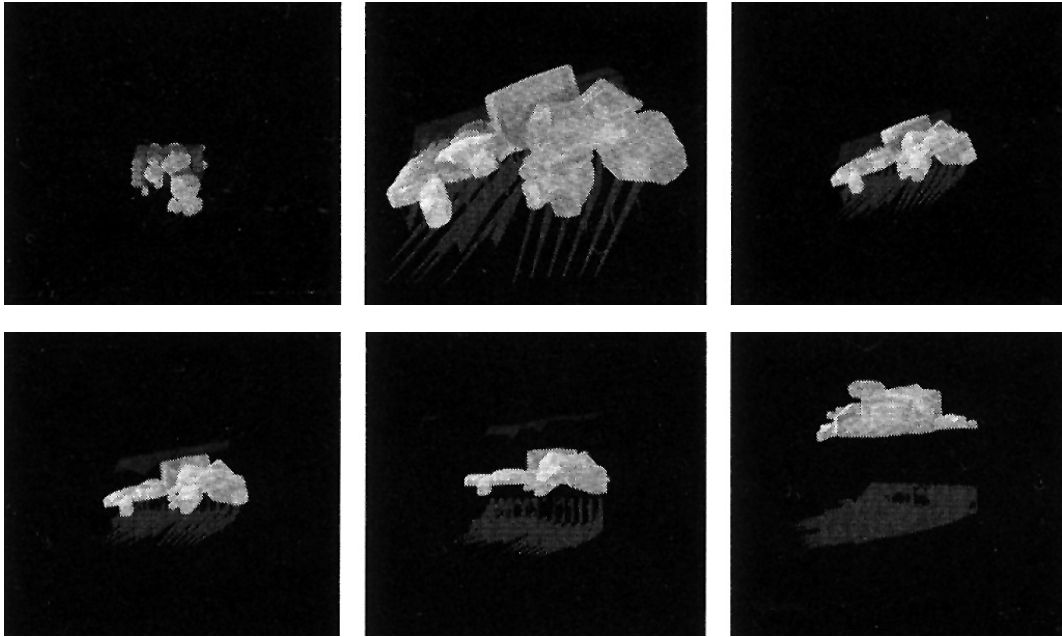


Abb. 420: Greg Lynn, Cardiff Bay Opera House, Cardiff/Wales, Großbritannien, Entwurf 1994.
3D-Modell, Computeranimation, Standbilder.

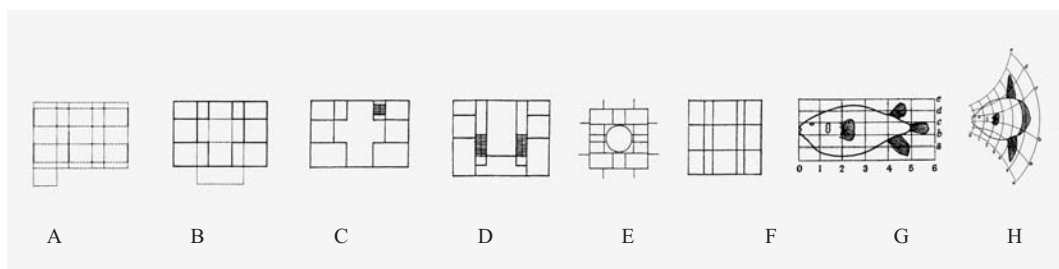
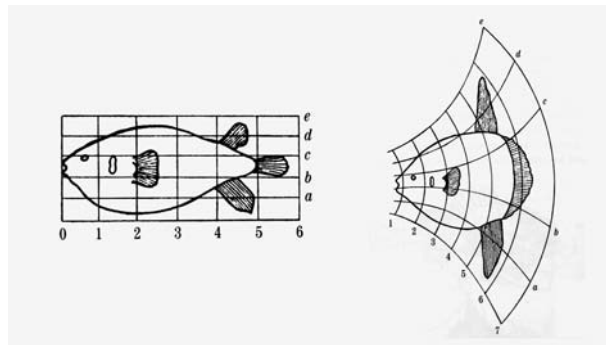
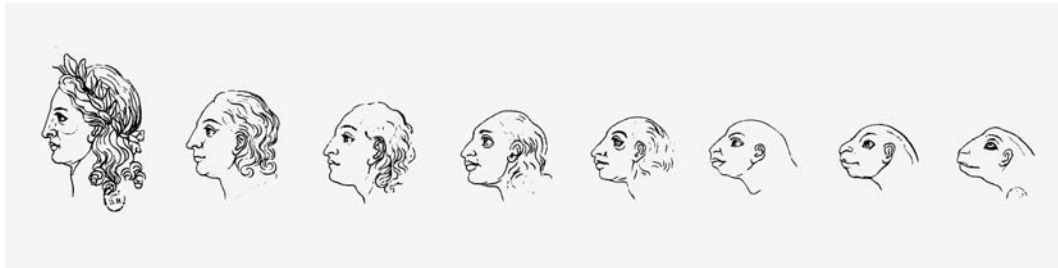


Abb. 421: Johann Caspar Lavater, Metamorphose vom Frosch zu Apollo, Illustration aus *Physiognomische Fragmente zur Beförderung der Menschenkenntnis und Menschenliebe*, 1775–1778, abgebildet in: Greg Lynn, *Multiplicitous and Inorganic Bodies*, 1992.

Abb. 422: D'Arcey Wentworth Thompson, Kartesische Transformation eines Igel-fisches in einen Sonnenfisch, Illustrationen aus *On Growth and Form*, 1917, abgebildet in: Greg Lynn, *Multiplicitous and Inorganic Bodies*, 1992.

Abb. 423: Colin Rowe, Le Corbusiers Villa Stein in Garche (A) und Palladios Villa Malcontenta (B), Grundrissanalysen aus *The Mathematics of the Ideal Villa and Other Essays*, 1976. Rudolf Wittkower, Palladios Villa Malcontenta (C), Villa Sarego in Miega (D) und Villa Rotonda (E) sowie Geometrischer Schlüssel zu Palladios Villen (F), Grundrissanalysen aus *Architectural Principles in the Age of Humanism*, 1949. D'Arcey Wentworth Thompson, Kartesische Transformation eines Igel-fisches in einen Sonnenfisch (G, H), Illustrationen aus *On Growth and Form*, 1917, abgebildet in: Greg Lynn, *Multiplicitous and Inorganic Bodies*, 1992.

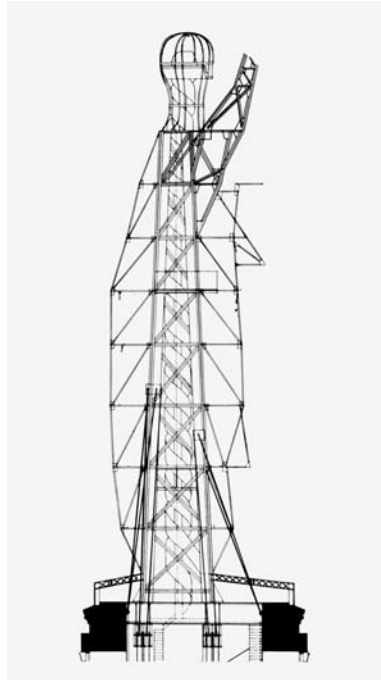


Abb. 424: Frédéric-Auguste Bartholdi und Gustave Eiffel, Statue of Liberty, New York, USA, 1870–86. Längsschnitt, Blickrichtung Westen, abgebildet in: Greg Lynn, *Multiplicitous and Inorganic Bodies*, 1992.

Abb. 425: Blick in das Innere des Monuments, Fotografie, abgebildet in: Greg Lynn, *Multiplicitous and Inorganic Bodies*, 1992.

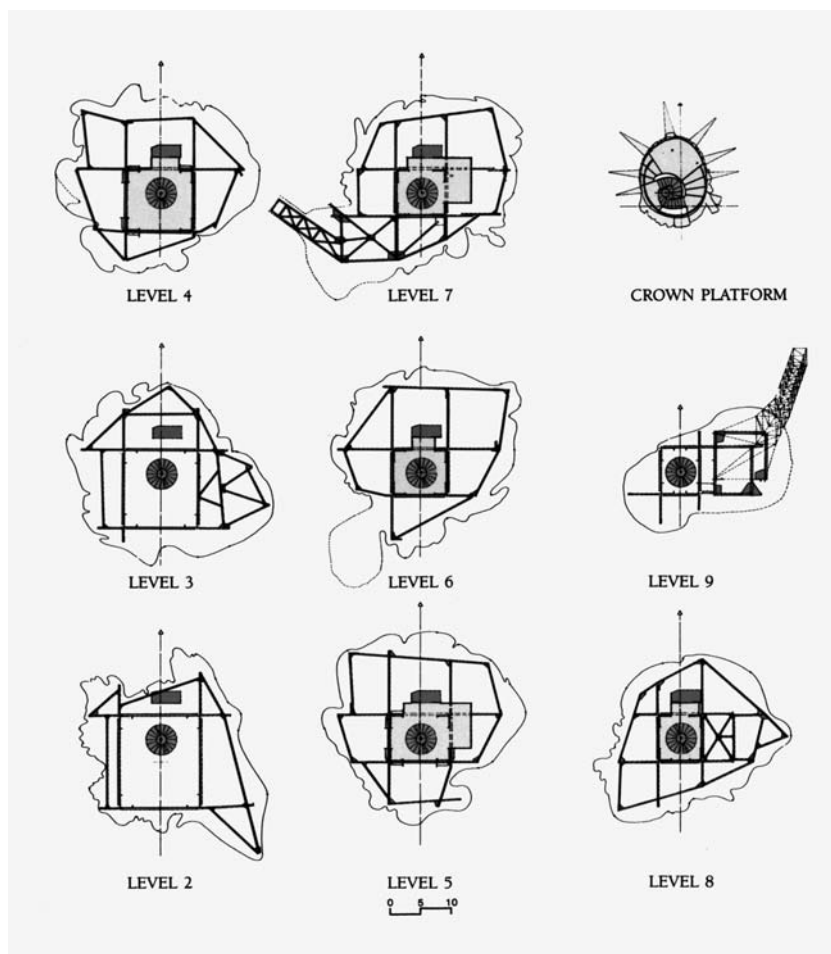
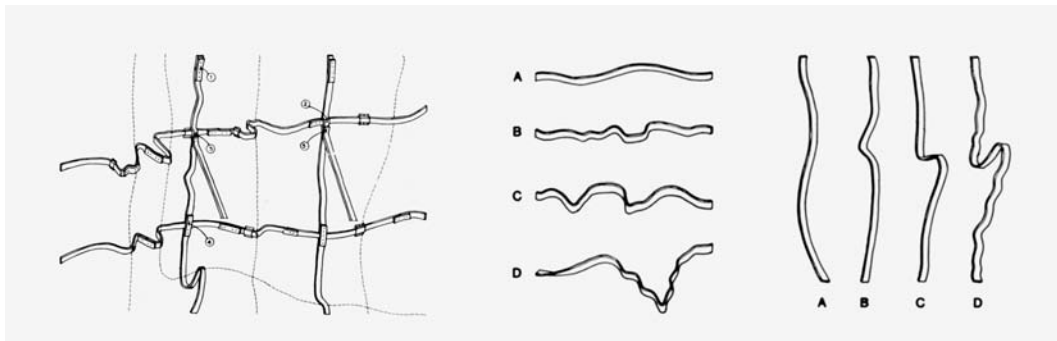


Abb. 426: Frédéric-Auguste Bartholdi und Gustave Eiffel, Statue of Liberty, New York, USA, 1870–86. Verankerung der Kupferplatten am inneren Grundgerüst (A), typische Formen der horizontalen (B) und vertikalen Flachstäbe (C), Axonometrien, abgebildet in: Greg Lynn, *Multiplicitous and Inorganic Bodies*, 1992.

Abb. 427: Grundrisse verschiedener Ebenen, abgebildet in: Greg Lynn, *Multiplicitous and Inorganic Bodies*, 1992.

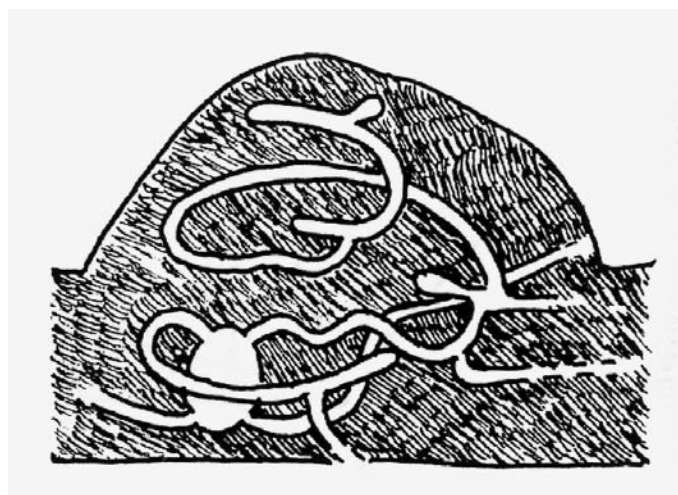
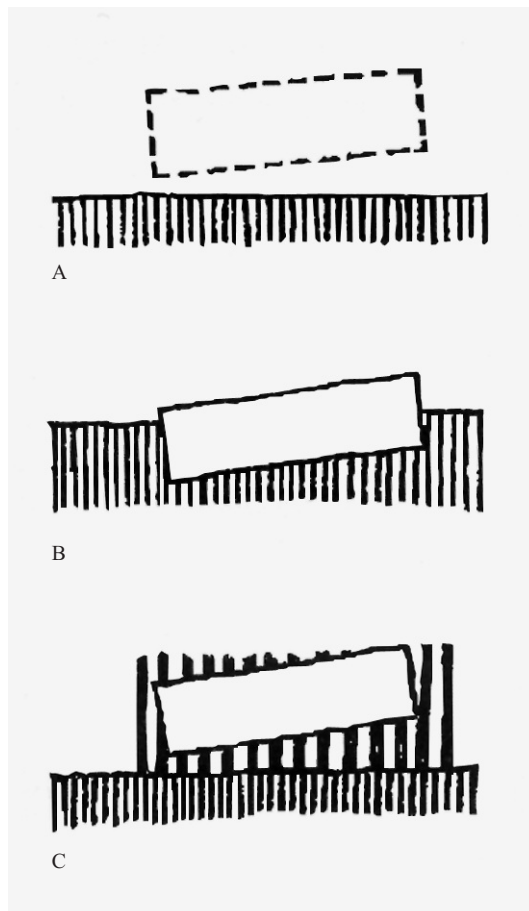


Abb. 428: Greg Lynn, Coincidental ground with dematerialized lightness (A), with diffused structure (B) with subterranean burrowing (C). Skizzen, abgebildet in: Greg Lynn, *Differential Gravities*, 1994.

Abb. 429: Rudolf Arnheim, Schnitt durch einen Maulwurfshügel, nach Karl von Frisch, *Tiere als Baumeister*, Berlin, 1974, Illustration aus *The Dynamics of Architectural Form*, 1977, abgebildet in: Greg Lynn, *Differential Gravities*, 1994.



Abb. 430: Lina Bo Bardi, Museu de Arte de São Paulo, Brasilien, 1957–68. Museum im Bau, 1968, Blick von der Avenida Paulista, Fotografie.

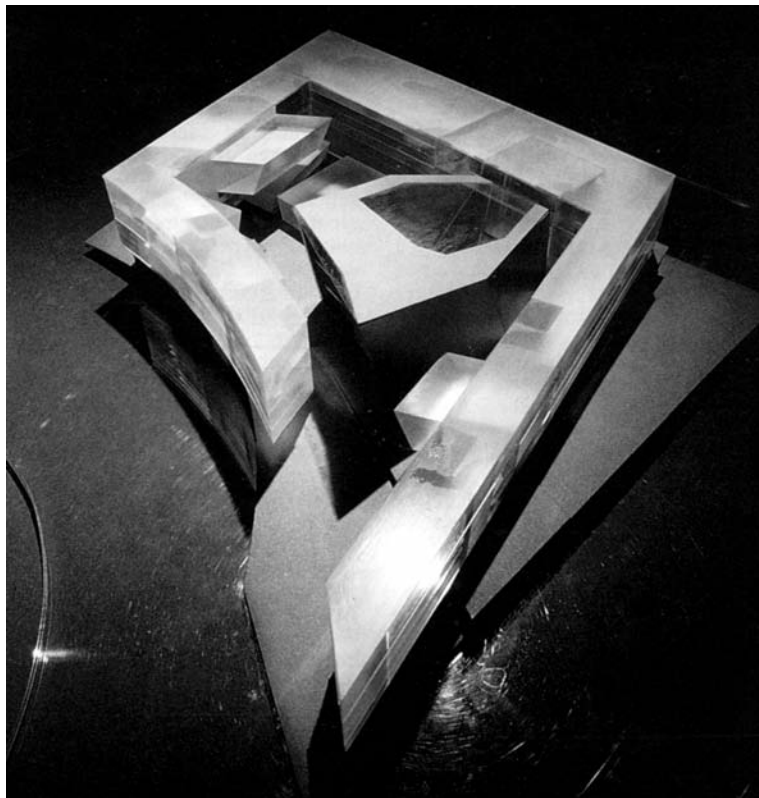
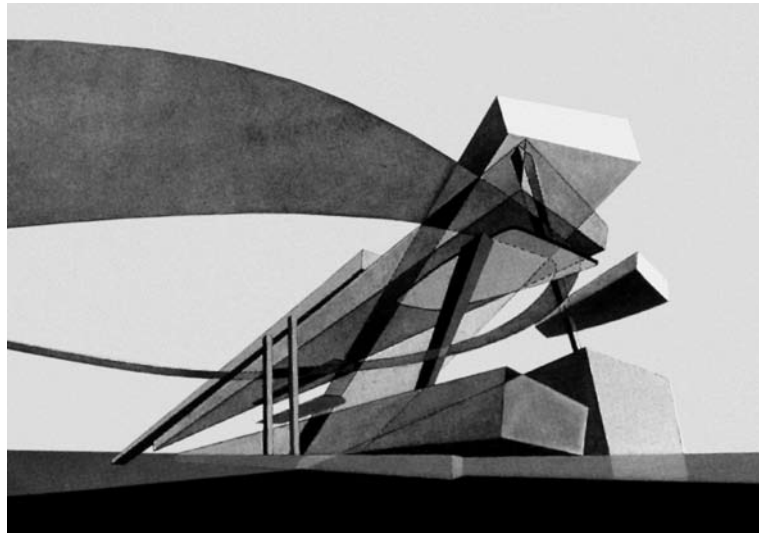


Abb. 431: Zaha M. Hadid, Hong Kong Peak, Hongkong, Entwurf 1982/83. Perspektive der frei aufgehängten Elemente, Acryl auf Papier, 1986, abgebildet in: Greg Lynn, *Differential Gravities*, 1994.

Abb. 432: Zaha M. Hadid, Cardiff Bay Opera House, Cardiff/Wales, Großbritannien, Entwurf 1992. Präsentationsmodell, Fotografie, abgebildet in: Greg Lynn, *Leicht und Schwer*, 1994.

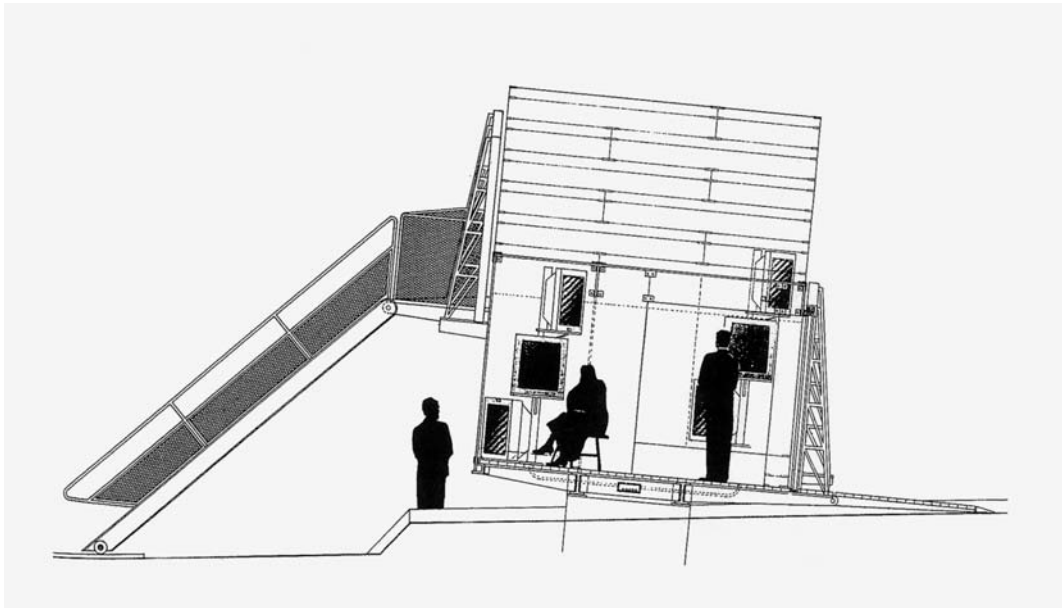


Abb. 433: Bernard Tschumi, Glass Video Gallery, Groningen, Niederlande, 1990. Querschnitt, abgebildet in: Greg Lynn, Differential Gravities, 1994.

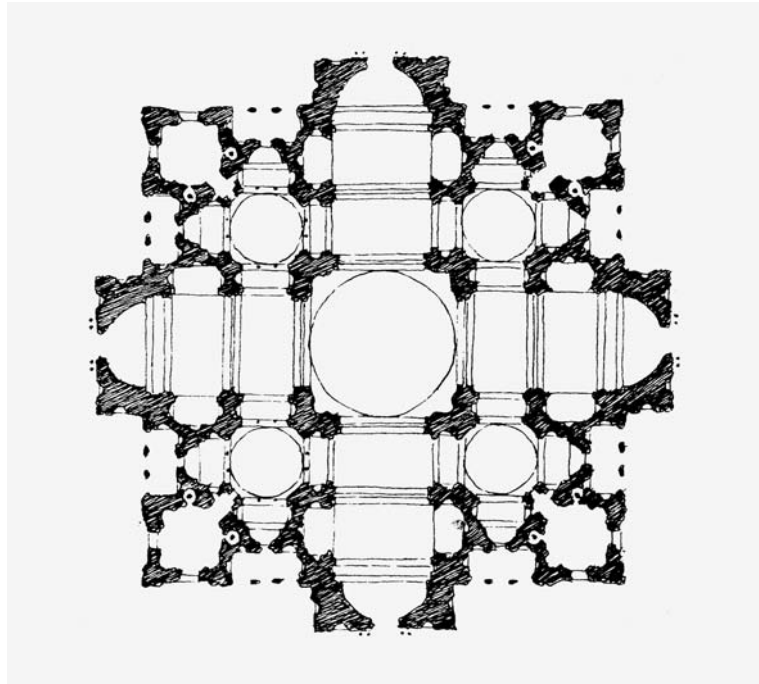


Abb. 434: Donato Bramante, Basilica di San Pietro, Rom, Italien, Entwurf 1504–06. Grundriss, abgebildet in: Rudolf Arnheim, *The Dynamics of Architectural Form*, Berkeley, Los Angeles und London, 1977.

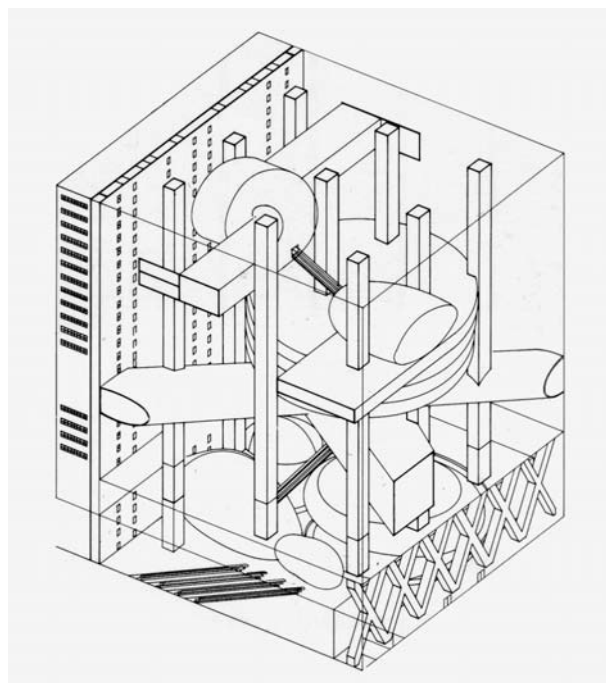
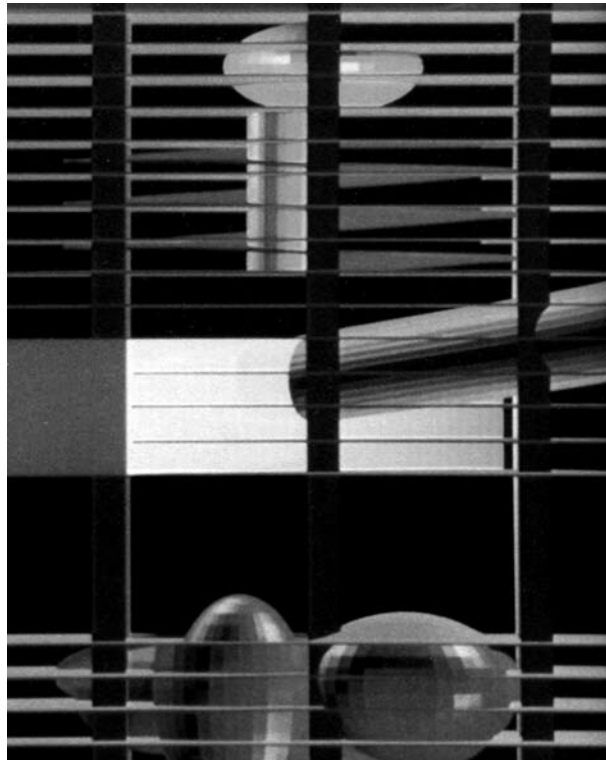


Abb. 435: Rem Koolhaas/OMA, Bibliothèque Nationale, Paris, Frankreich, Entwurf 1989. 3D-Modell (Ausschnitt), Perspektive, Computerrendering, abgebildet in: Greg Lynn, Leicht und Schwer, 1994.

Abb. 436: Axonometrie des Gebäudes ohne Geschossebenen, abgebildet in: Greg Lynn, Leicht und Schwer, 1994.

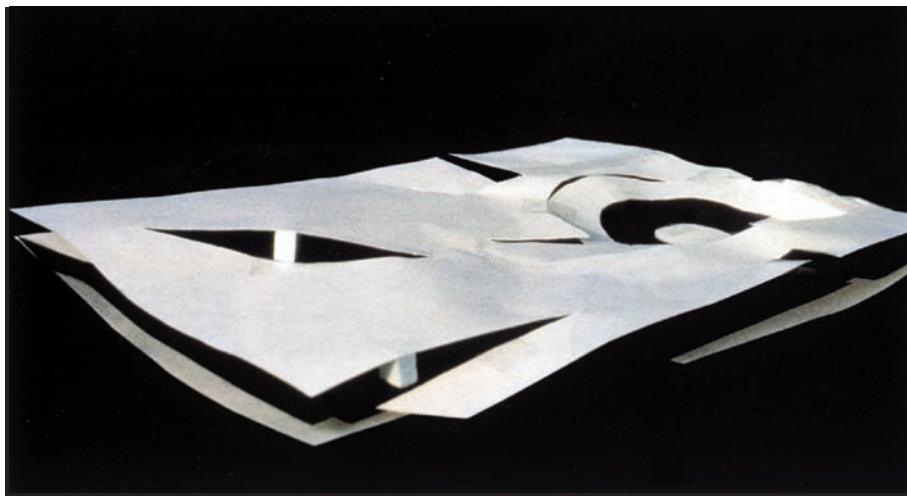
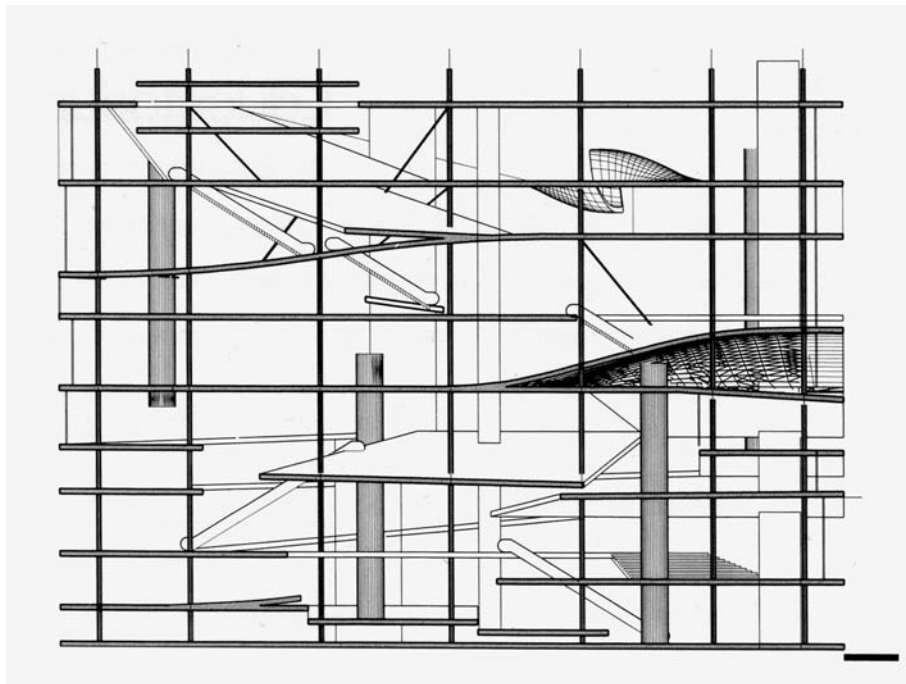


Abb. 437: Rem Koolhaas/OMA, Bibliothèques de Jussieu, Paris, Frankreich, Entwurf 1992. Schnitt, abgebildet in: Greg Lynn, Wahrscheinlichkeitsgeometrien, 1993.

Abb. 438: Rem Koolhaas/OMA, Yokohama Urban Ring, Japan, Entwurf 1992. Studienmodell, Fotografie, abgebildet in: Greg Lynn, Differential Gravities, 1994.

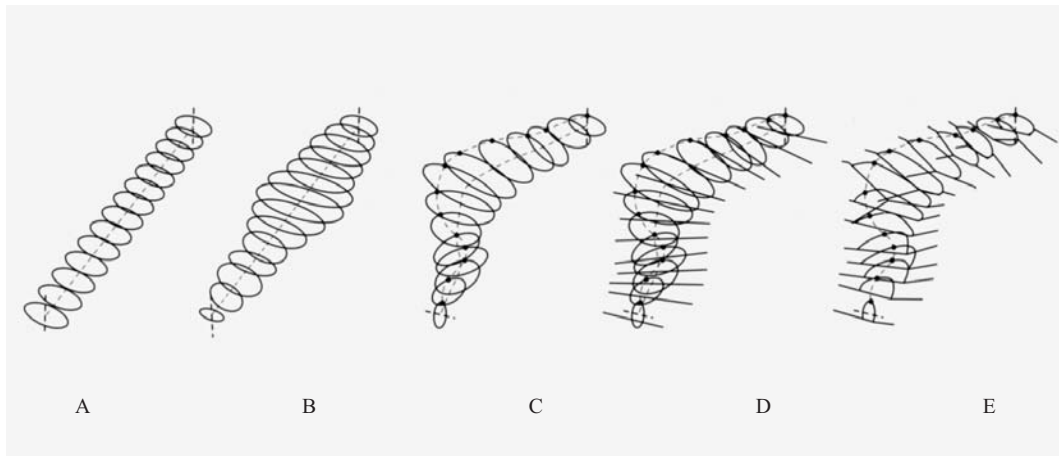


Abb. 439: Lars Spuybroek/NOX, H₂Oexpo, Wasser-Erlebnispavillon und interaktive Installation für „WaterLand“, Neeltje Jans, Niederlande, 1993–97. Axonometrische Konzeptdiagramme: elliptische Querschnitte (A), Skalierung der Röhre entsprechend des Raumprogramms (B), Verdrehung entsprechend der von außen wirkenden Kräfte (C), Einfügung des Bodenniveaus (D), Deformation der Grundfläche (E), Computerzeichnungen.

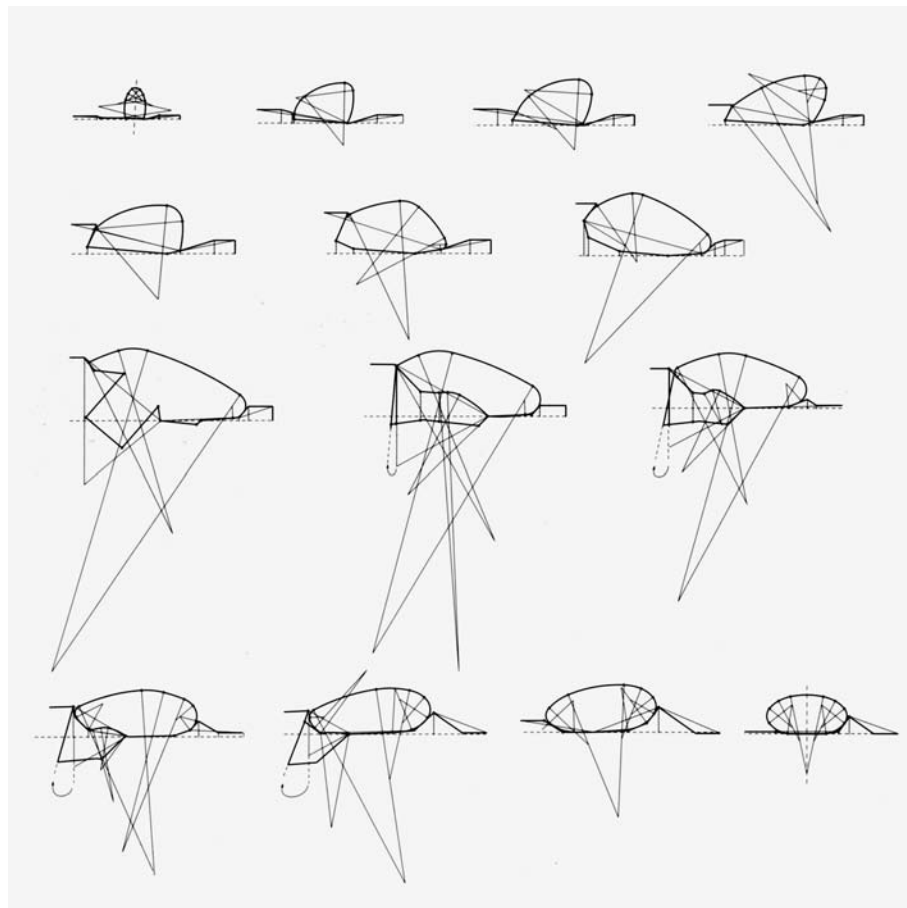
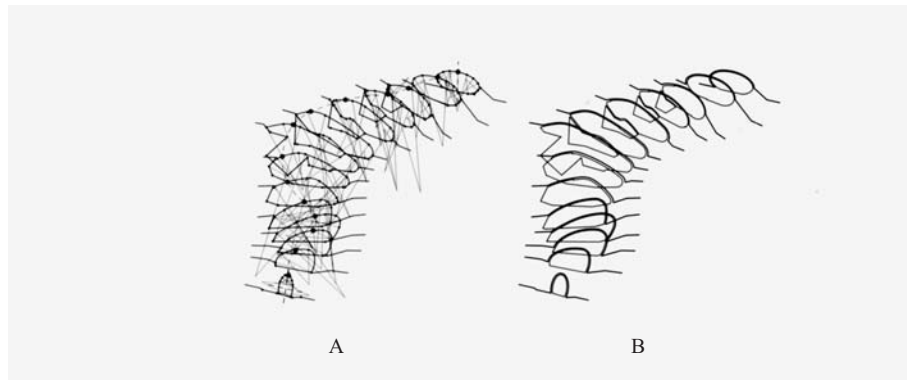


Abb. 440: Lars Spuybroek/NOX, H₂Oexpo, Wasser-Erlebnispavillon und interaktive Installation für „WaterLand“, Neeltje Jans, Niederlande, 1993–97. Axonometrische Konzeptdiagramme: Um-
 arbeitung des Bodenniveaus innerhalb des Gebäudes, Querschnitte aus Kreissegmenten (A),
 Querschnitte der Außen- und Innenform (B), Computerzeichnungen.
 Abb. 441: Querschnitte mit Kreisradien, Computerzeichnungen.

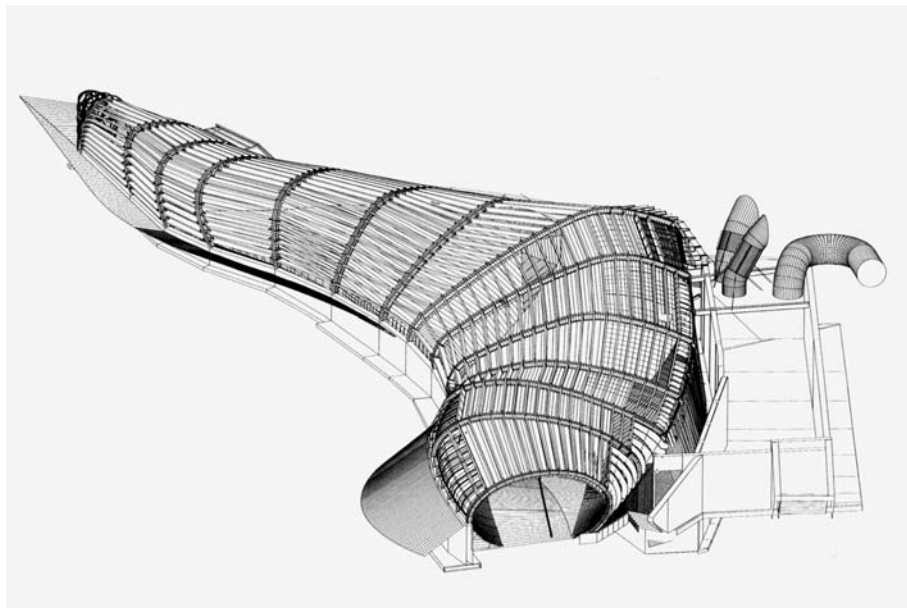
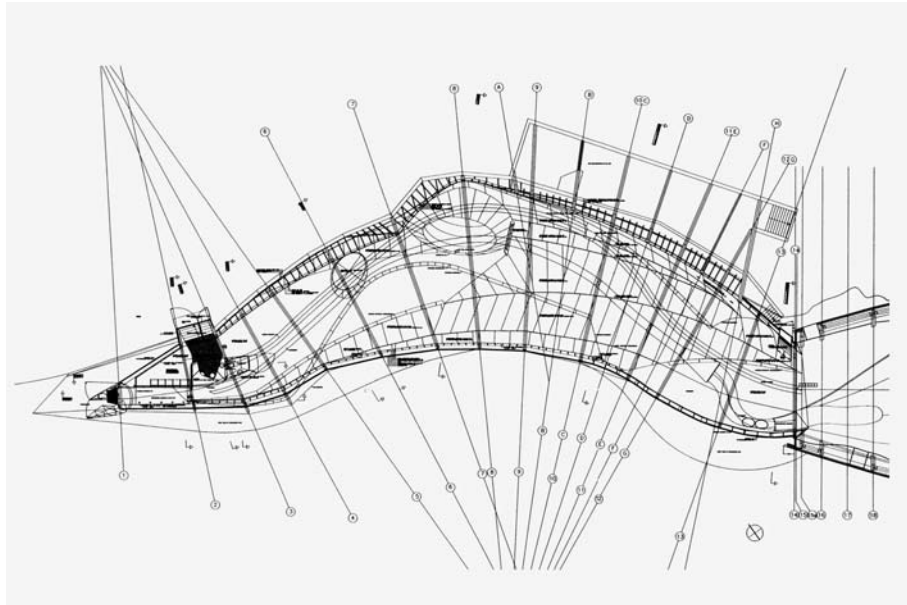


Abb. 442: Lars Spuybroek/NOX, H₂Oexpo, Wasser-Erlebnispavillon und interaktive Installation für „WaterLand“, Neeltje Jans, Niederlande, 1993–97. Grundriss, Computerzeichnung.
Abb. 443: Drahtgittermodell, Axonometrie, Ostseite, Computerzeichnung.



Abb. 444: Lars Spuybroek/NOX, H₂Oexpo, Wasser-Erlebnispavillon und interaktive Installation für „WaterLand“, Neeltje Jans, Niederlande, 1993–97. Pavillon im Bau, Westseite, Fotografie (Ausschnitt).

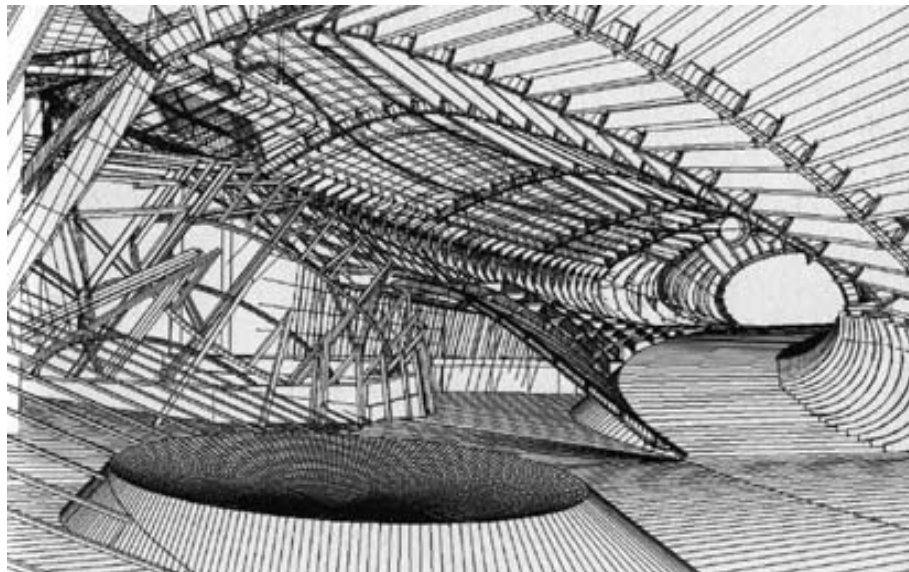
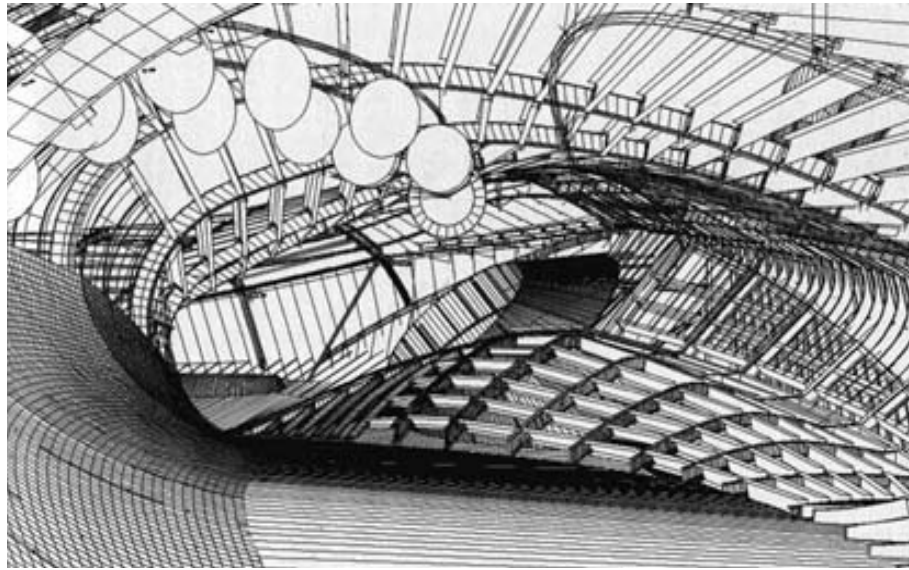


Abb. 445: Lars Spuybroek/NOX, H₂Oexpo, Wasser-Erlebnispavillon und interaktive Installation für „WaterLand“, Neeltje Jans, Niederlande, 1993–97. Konstruktionsmodell im Drahtgittermodus, Perspektive, Blick in den Ausstellungsraum nach Westen, Computerzeichnung.

Abb. 446: Konstruktionsmodell im Drahtgittermodus, Perspektive, Blick in den Ausstellungsraum nach Osten, Computerzeichnung.

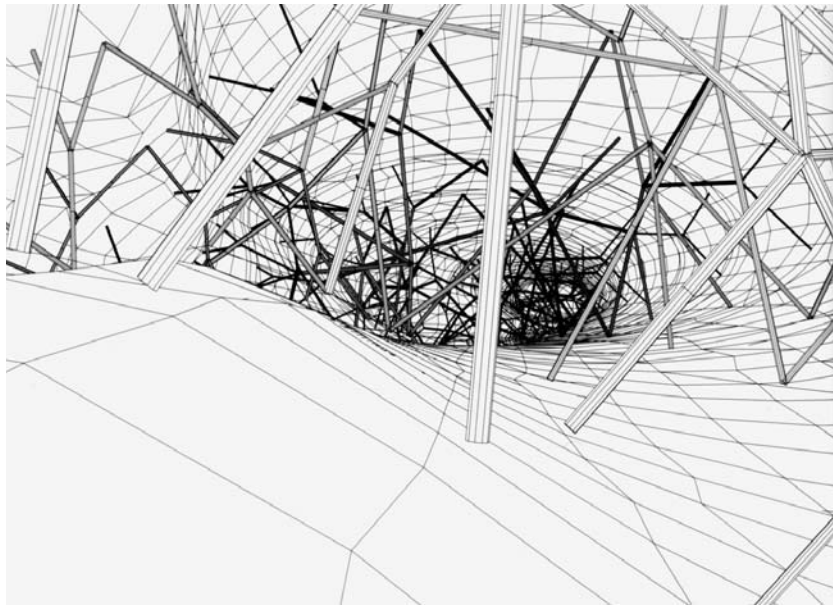


Abb. 447: Frédéric-Auguste Bartholdi und Gustave Eiffel, Statue of Liberty, New York, USA, 1870–86. Blick in das Innere des Monuments, Fotografie, abgebildet in: Greg Lynn, *Multiplicitous and Inorganic Bodies*, 1992.

Abb. 448: Lars Spuybroek/NOX, Foam House. Entwicklungsprojekt zu einer neuen Konzeption von Dachgeschossen, Nijmegen, Niederlande, Entwurf 1997. Drahtgittermodell, Perspektive, Blick ins Innere, Computerzeichnung.

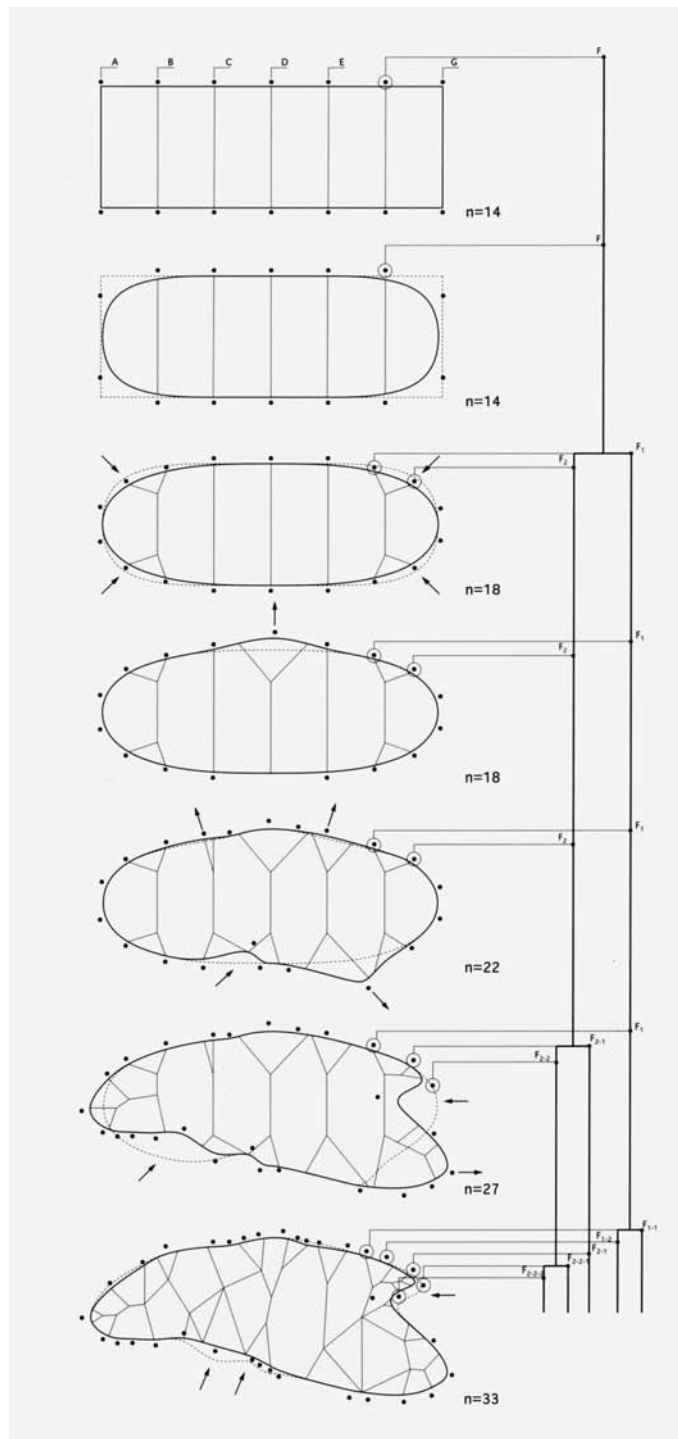


Abb. 449: Lars Spuybroek/NOX, Foam House. Entwicklungsprojekt zu einer neuen Konzeption von Dachgeschossen, Nijmegen, Niederlande, Entwurf 1997. Verwandlung eines rechteckigen in ein polygonales Linienraster, Computerzeichnung.

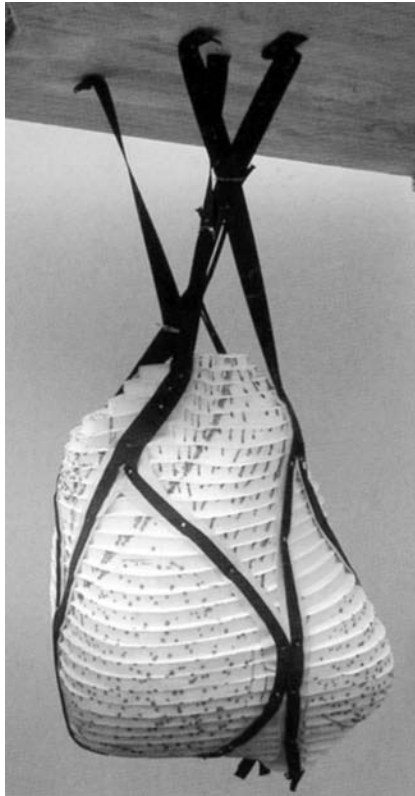


Abb. 450: Lars Spuybroek/NOX, D-tower, Kunstwerk im öffentlichen Bereich: interaktiver Turm, Fragebögen und Website für die Stadt Doetinchem, in Zusammenarbeit mit dem Künstler Q. S. Serafijn, Doetinchem, Niederlande, 1998–2004. Hängemodell, Fotografie.
Abb. 451: 3D-Modell, Perspektive, Computerrendering.

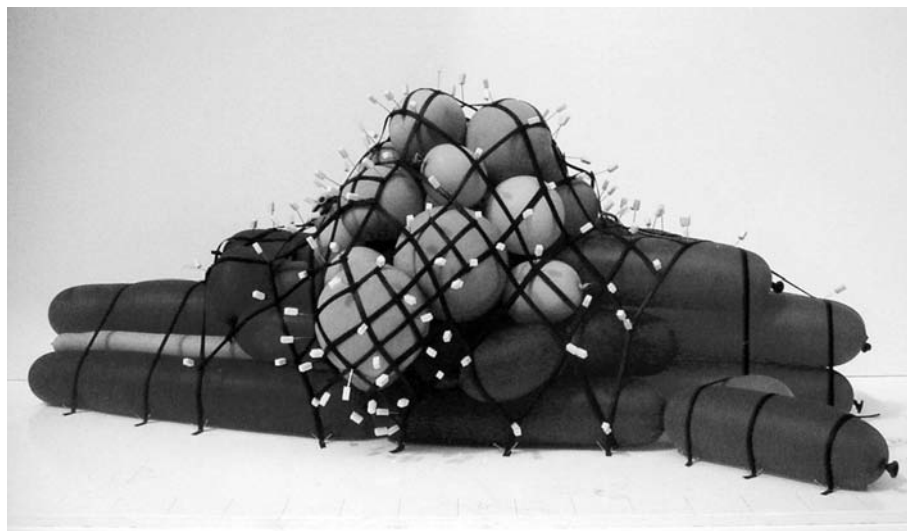
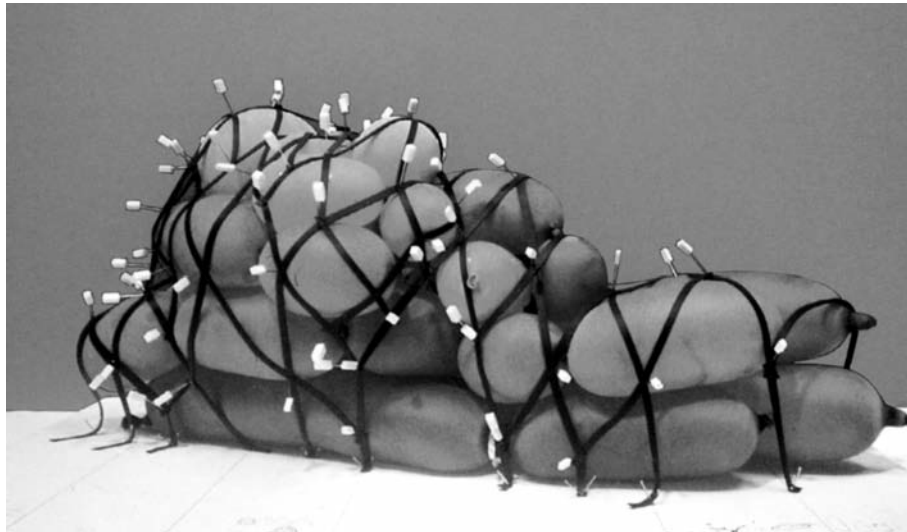


Abb. 452: Lars Spuybroek/NOX, Pompidou Two, Metz, Frankreich, Entwurf 2003. Studienmodell mit verschnürten Ballons, Fotografie.
Abb. 453: Endgültiges Ballonmodell, Fotografie.

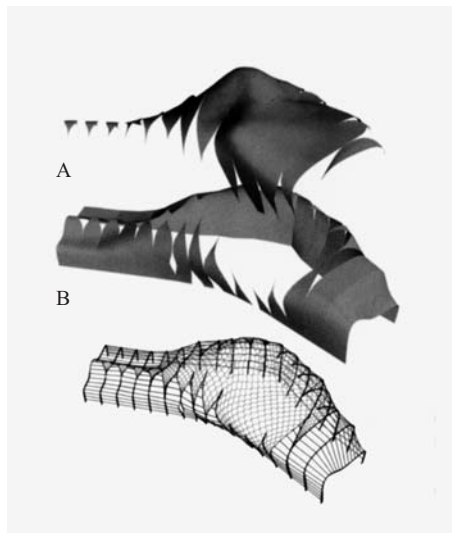
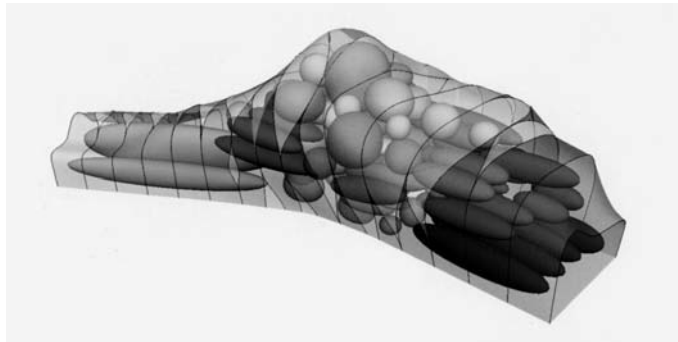
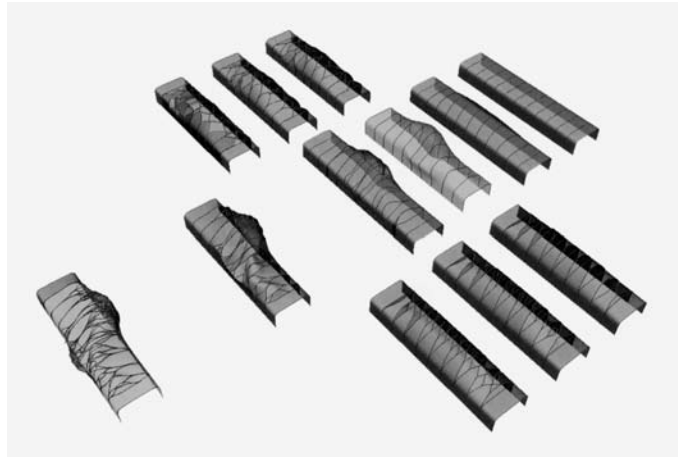


Abb. 454: Lars Spuybroek/NOX, Pompidou Two, Metz, Frankreich, Entwurf 2003. 3D-Modell der Tragstruktur, Verwandlung des Rahmenwerkes in eine Schale, Axonometrie, Computerrendering.
 Abb. 455: Digitales Ballonmodell, Perspektive, Computerrendering.
 Abb. 456: Hülle und Tragstruktur, 3600 qm Doppelkrümmung (A) und 8500 qm Einfachkrümmung (B), Explosionsperspektive, Computerrendering und -zeichnung.

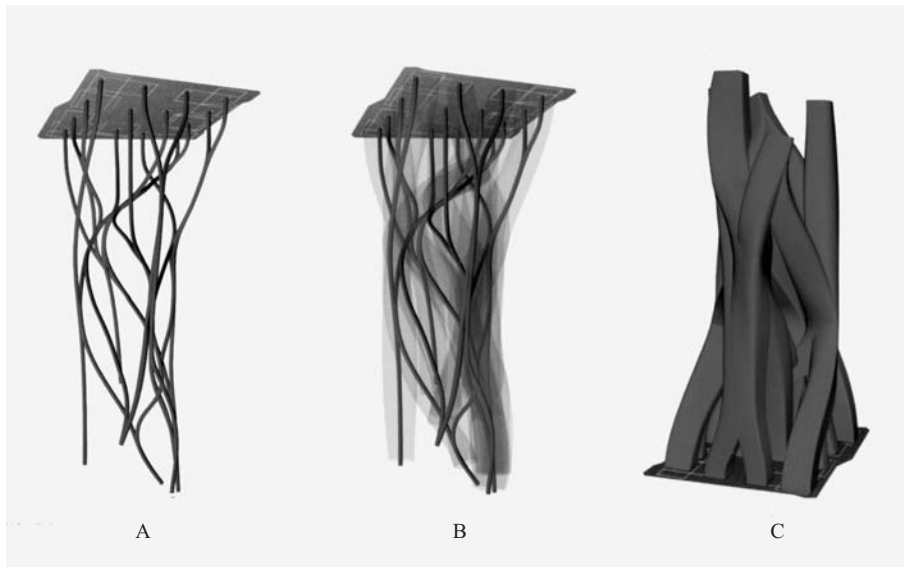
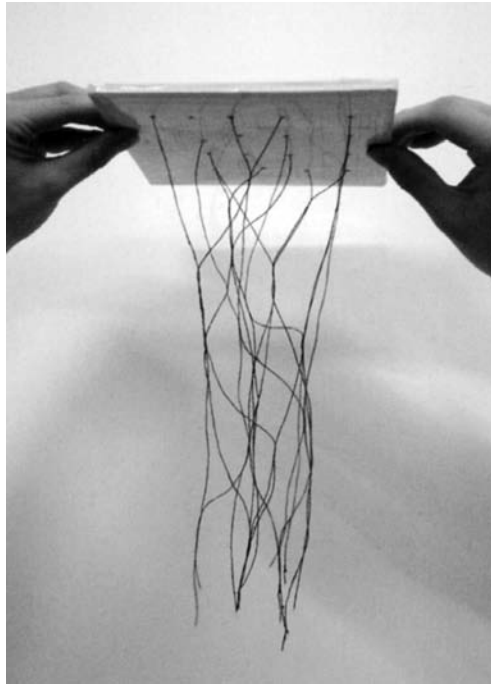


Abb. 457: Lars Spuybroek/NOX, obliqueWTC, Entwurf für ein neues World Trade Center, New York, 2001. Hängemodell aus Wollfäden nach dem Eintauchen in Wasser, Fotografie.

Abb. 458: Digitalisiertes Hängemodell (A), Modell mit verdickten Röhren (B) und gedrehtes Modell (C), Perspektiven, Computerrenderings.



Abb. 459: Lars Spuybroek/NOX, Soft Office, Firmensitz, Büro, interaktiver Spielplatz und Laden für Anne Wood/Ragdoll television Productions, Stratford-upon-Avon, Großbritannien, Entwurf 2001. Studienmodell aus Holzrahmen, Gummiröhren und flüssigem Lack, Fotografie.

Abb. 460: Studienmodell mit getrennten Holzringen und sich netzartig aufspannenden Gummiröhren und Lackflächen, Fotografie.

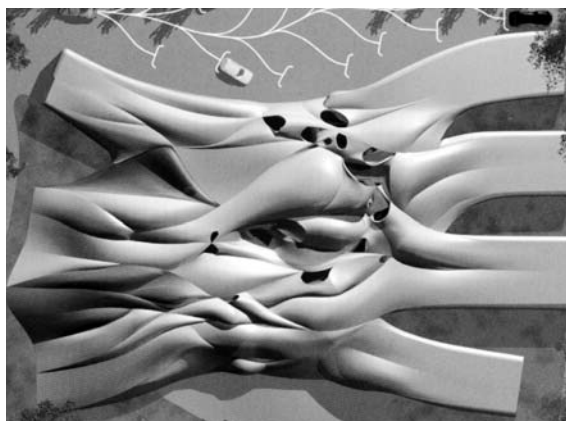
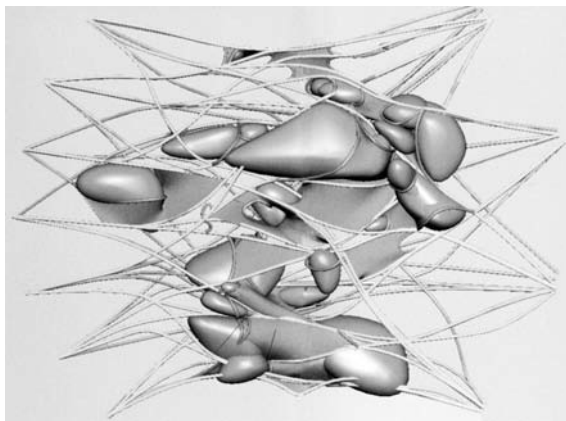
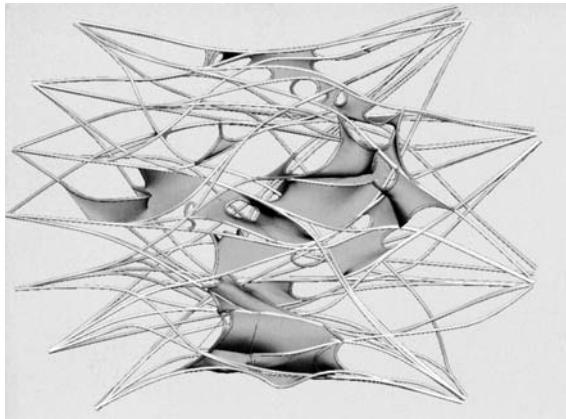


Abb. 461: Lars Spuybroek/NOX, Soft Office, Firmensitz, Büro, interaktiver Spielplatz und Laden für Anne Wood/Ragdoll television Productions, Stratford-upon-Avon, England, Entwurf 2001. 3D-Modell mit netzartig sich aufspannenden, flexiblen Stäben und Flächen, Aufsicht, Computerrendering.

Abb. 462: 3D-Modell mit mit netzartig sich aufspannenden, flexiblen Stäben und Flächen sowie verformbaren Körpern, Aufsicht, Computerrendering.

Abb. 463: 3D-Modell des Gebäudeentwurfes mit Umgebung, Aufsicht, Computerrendering.

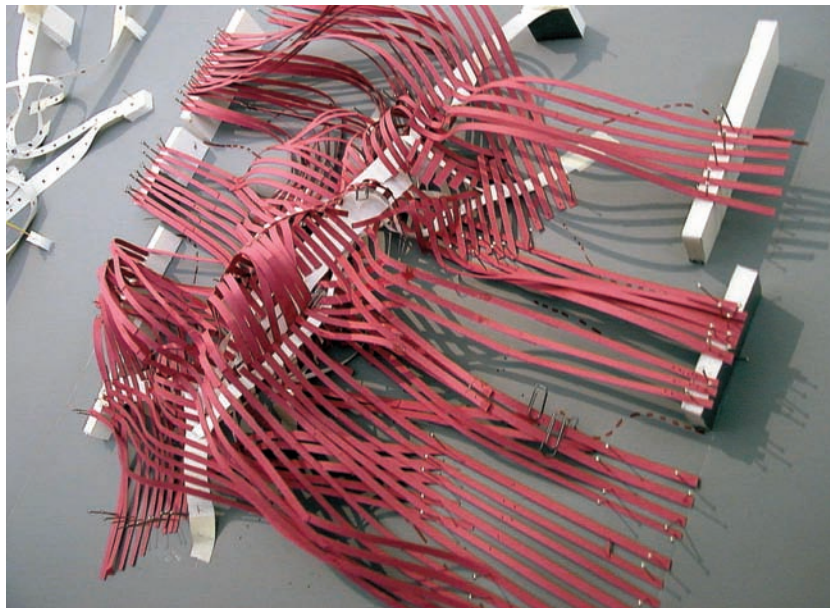
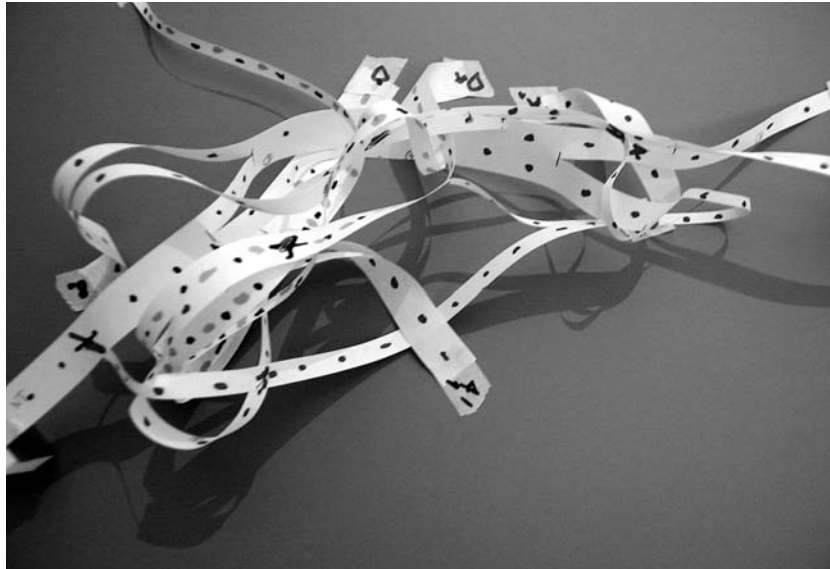


Abb. 464: Lars Spuybroek/NOX, Son-O-House, Kunstwerk im öffentlichen Bereich für den Industrieschap Ekkersrijt, in Zusammenarbeit mit dem Komponisten Edwin van der Heide, Son en Breugel, Niederlande, 2000–04. Studienmodell aus weißen, mit Filzstift gepunkteten Papierstreifen und Kreppband, Fotografie.

Abb. 465: Studienmodell aus weißen und roten Papierstreifen, Kreppband und Stecknadeln, Fotografie.

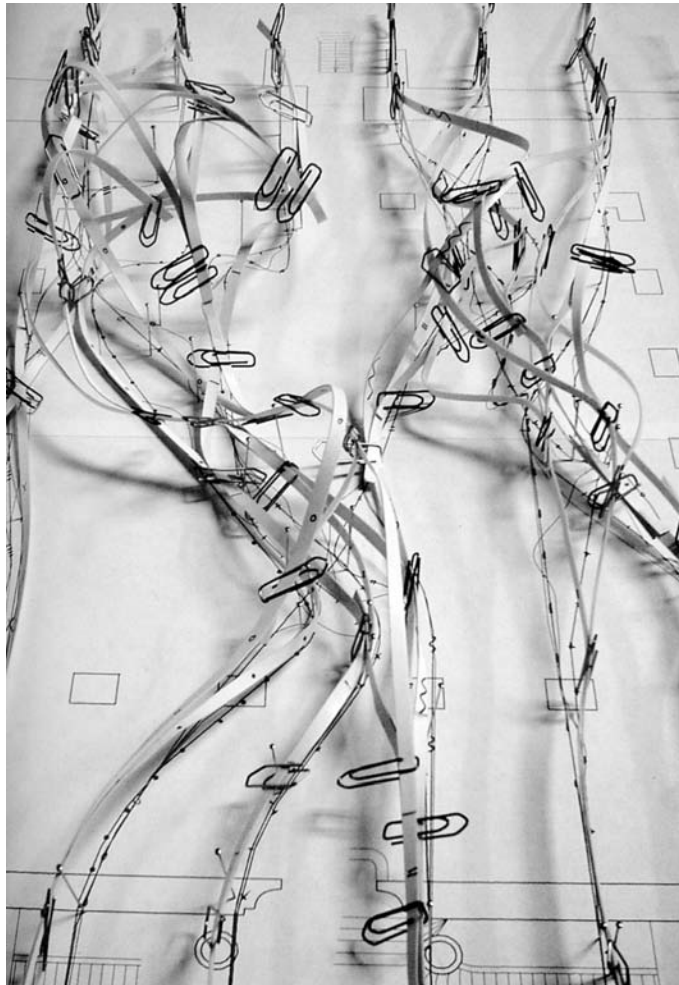


Abb. 466: Lars Spuybroek/NOX, wetGrid. Ausstellungsdesign für „Vision Machine“, Musée des Beaux-Arts, Nantes, Frankreich, 1999–2000. Studienmodell aus Papierstreifen und Büroklammern auf Grundriss des Museums, Fotografie.

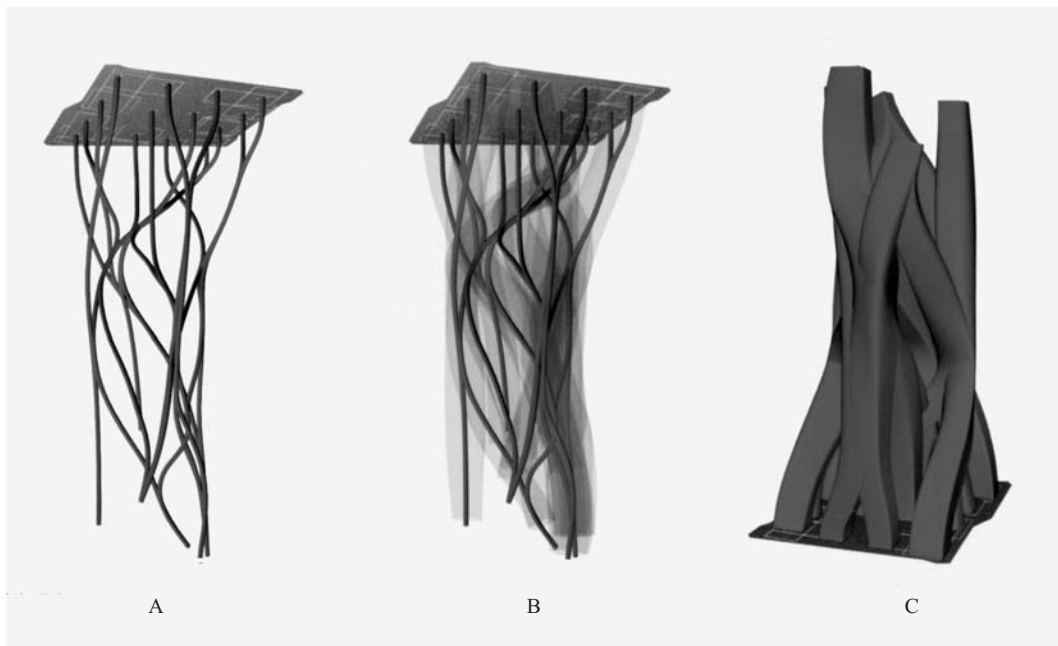
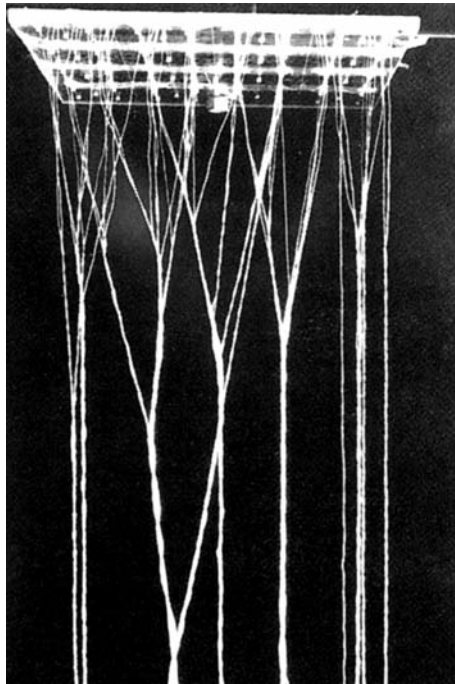


Abb. 467: Frei Otto/Institut für Leichte Flächentragwerke (IL), Verzweigungsstrukturen mit Fäden, die durch die Kapillarspannung einer Flüssigkeitshaut gebündelt werden, 1982. Fotografie.

Abb. 468: Lars Spuybroek/NOX, obliqueWTC, Entwurf für ein neues World Trade Center, New York, 2001. Digitalisiertes Hängemodell (A), Modell mit verdickten Röhren (B) und gedrehtes Modell (C), Perspektiven, Computerrenderings.

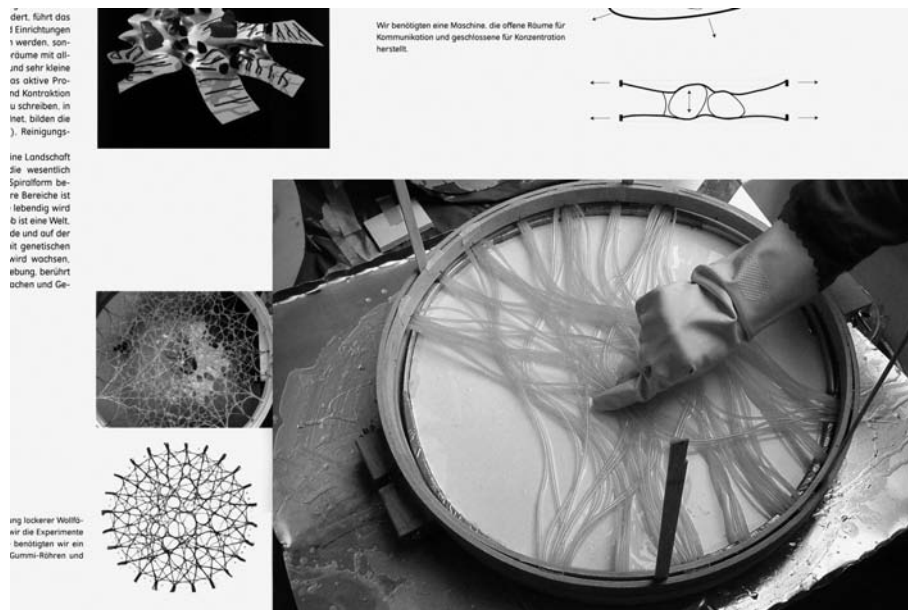
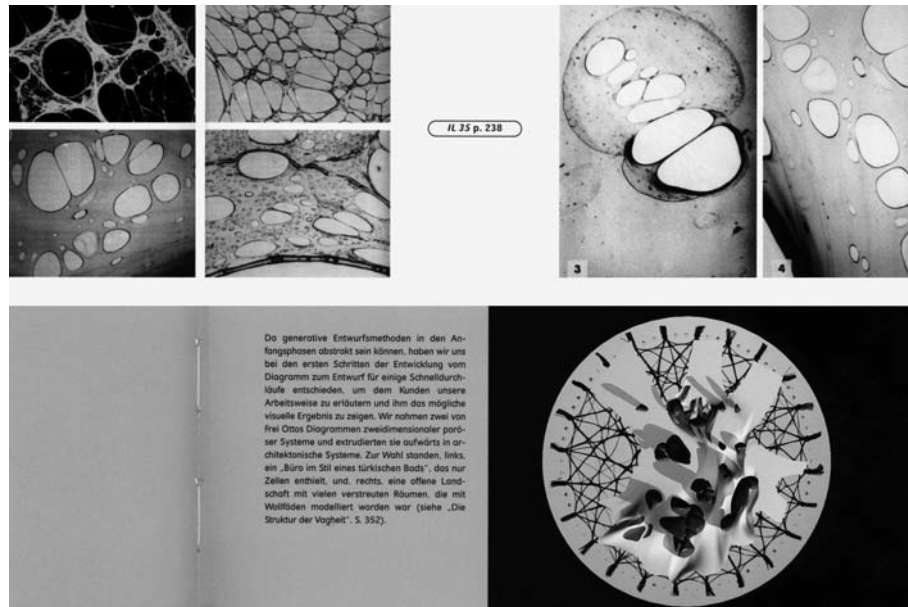


Abb. 469: Lars Spuybroek, Darstellung des Projektes *Soft Office* in dem Buch *NOX: Machining Architecture*, 2004 (Ausschnitt). Viskose Flüssigkeitsmembranen und Fadenmodell von Frei Otto/IL als Unterlage des digitalen Modells, Fotografien.

Abb. 470: Lars Spuybroek, Darstellung des Projektes *Soft Office* in dem Buch *NOX: Machining Architecture*, 2004 (Ausschnitt). Fadenmodell eines minimierten Umwegenetzes von Frei Otto/IL (links unten), Fotografie.

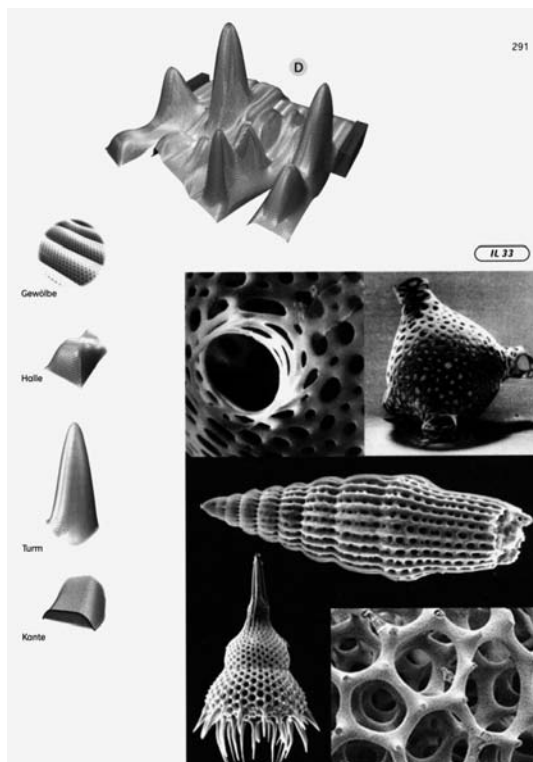
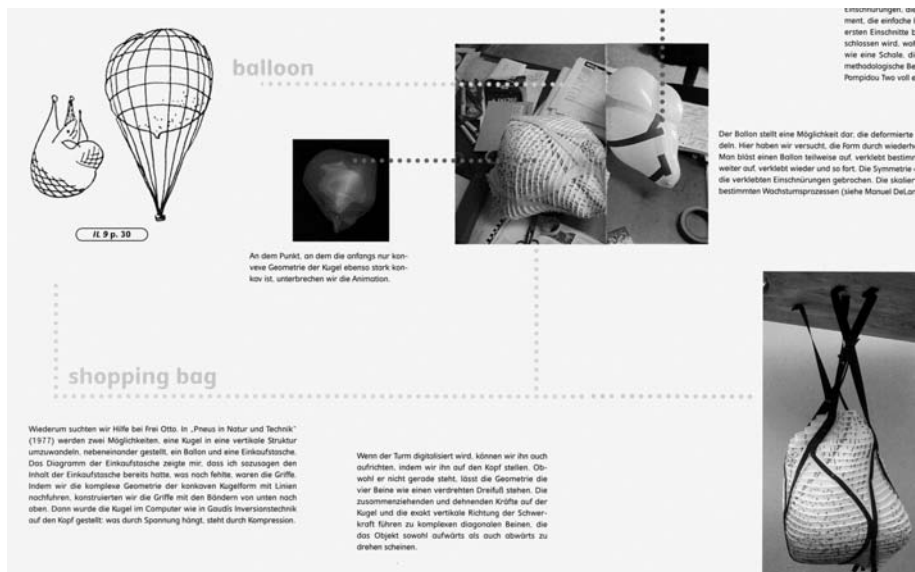


Abb. 471: Lars Spuybroek, Darstellung des Projektes *D-tower* in dem Buch *NOX: Machining Architecture*, 2004 (Ausschnitt). Netzeinkaufstasche und netzgestützter Ballon, Zeichnungen von Frei Otto/IL.

Abb. 472: Lars Spuybroek, Darstellung des Projektes *ECB* in dem Buch *NOX: Machining Architecture*, 2004 (Ausschnitt). Mikroskop-Fotografien von Radiolaren von Frei Otto/IL (rechts).

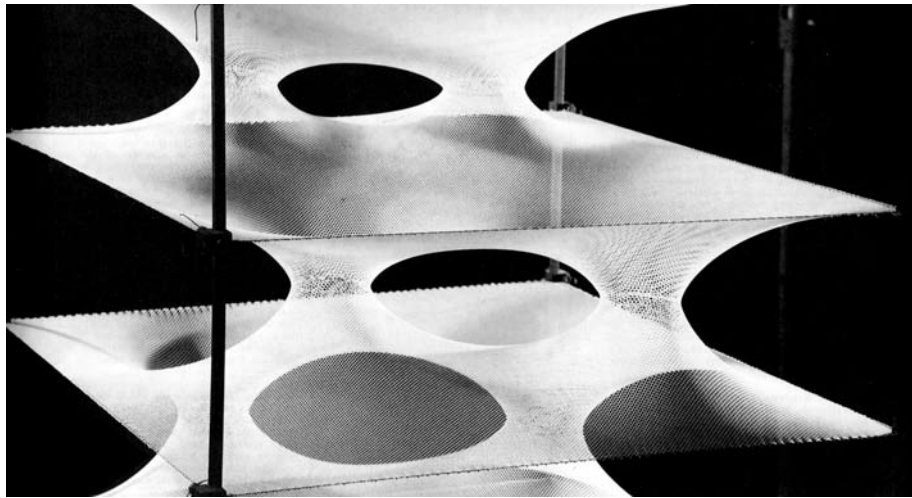
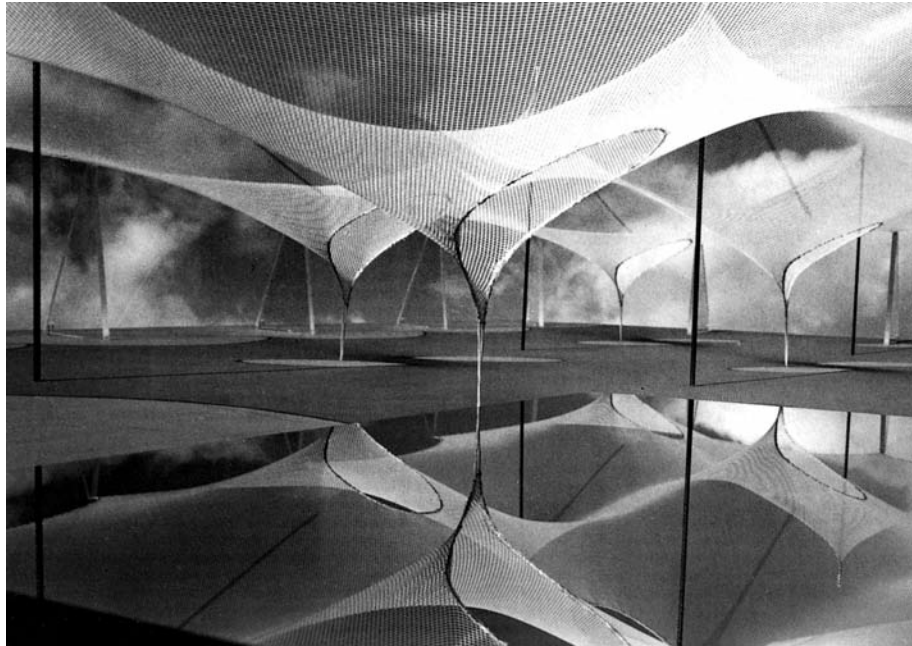


Abb. 473: Frei Otto/IL, Gittertüllmodell einer durch Seilschlaufen unterstützten Membranfläche mit Hoch- und Tiefpunkten, Teilfläche zur Verdeutlichung der Form gespiegelt, 1967. Fotografie.
Abb. 474: Frei Otto/IL, Räumliche Vernetzung eines Sechseckmaschengewirkes, Lochflächenmodell, 1987. Fotografie.

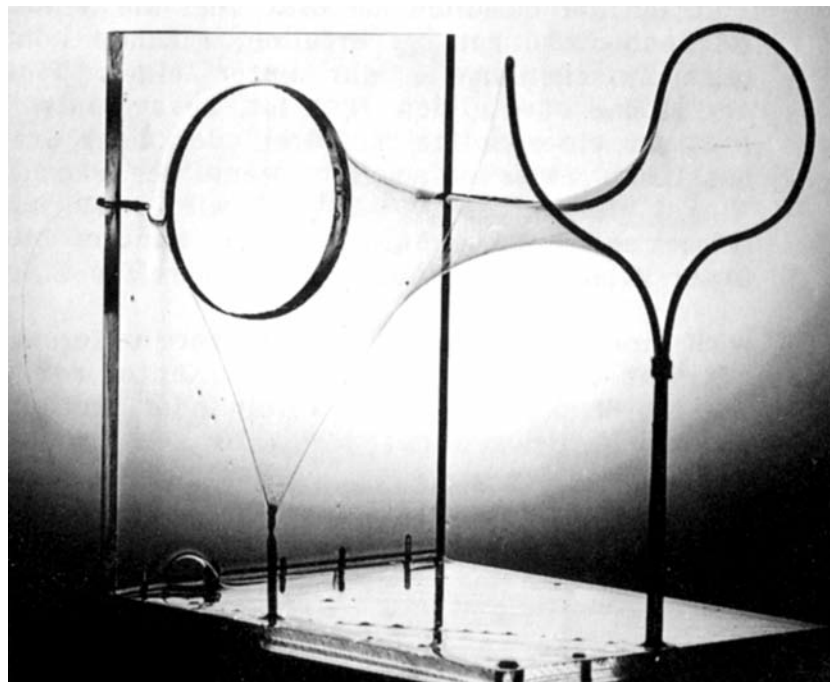
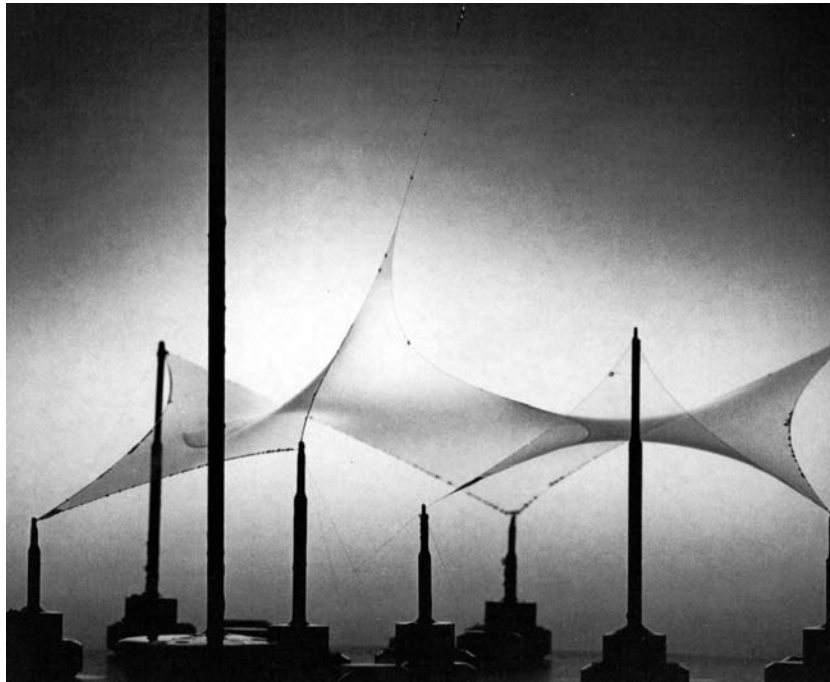


Abb. 475: Frei Otto/IL, Seifenhautmodell im Gegenlicht, 1989. Fotografie.

Abb. 476: Seifenhaut zwischen einer Kante, einem biegesteifem, biegeunsteifem und freien Rand, Modell, 1985. Fotografie.

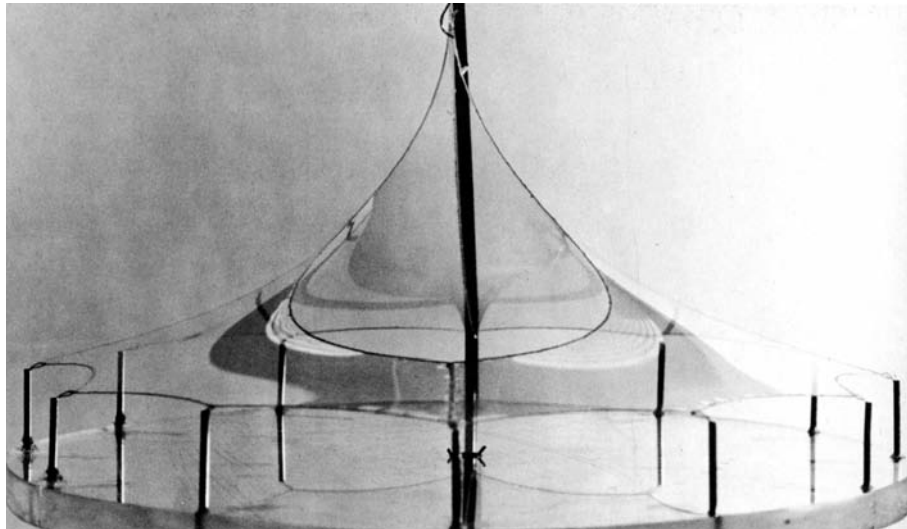


Abb. 477: Frei Otto/IL, Seifenhaut durch Seilschlaufe unterstützt, 1967. Modell, Fotografie.

Abb. 478: Rolf Gutbrod, Herman Kendel, Hermann Kies, Frei Otto, Deutscher Pavillon auf der Weltausstellung 1967, Montreal, Kanada, 1965–67. Seilnetzkonstruktion in Bau, Fotografie.

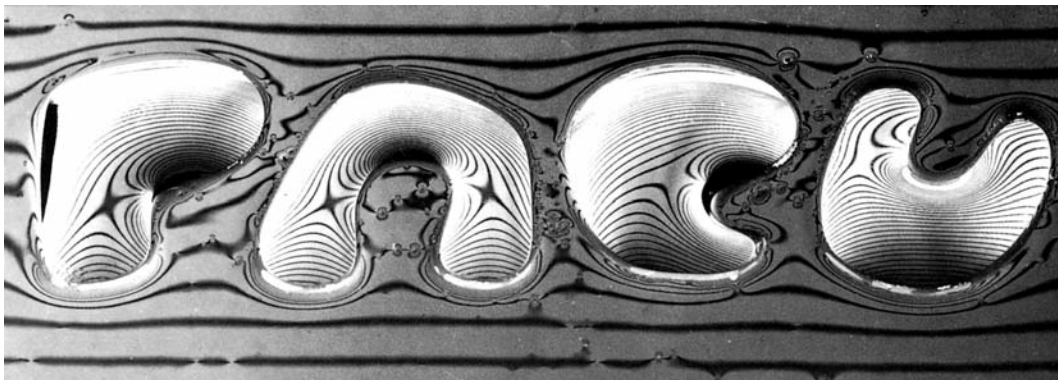
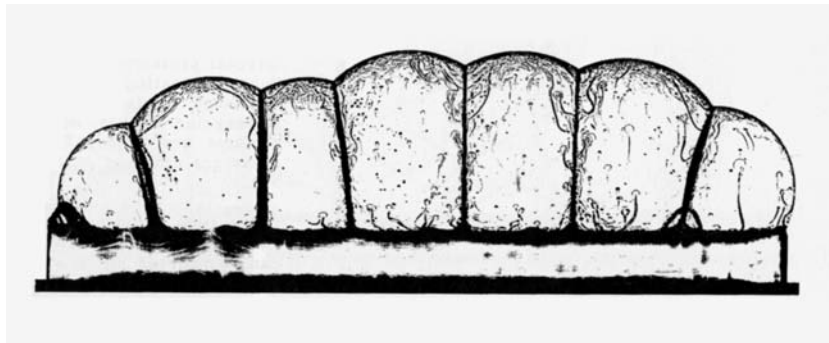
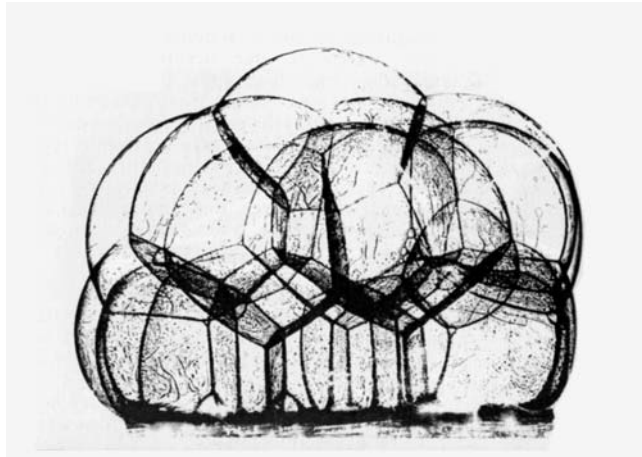


Abb. 479: Frei Otto/IL, Seifenblasenschaum im parallelen Licht, 1973. Fotogramm.
Abb. 480: Frei Otto/IL, Addition von Seifenblasen auf einer linearen Unterlage, 1973. Fotogramm.
Abb. 481: Frei Otto/IL, Seifenblasen über vorgegebenem Rand mit aufgespiegelten Rasterlinien, 1974. Fotografie.

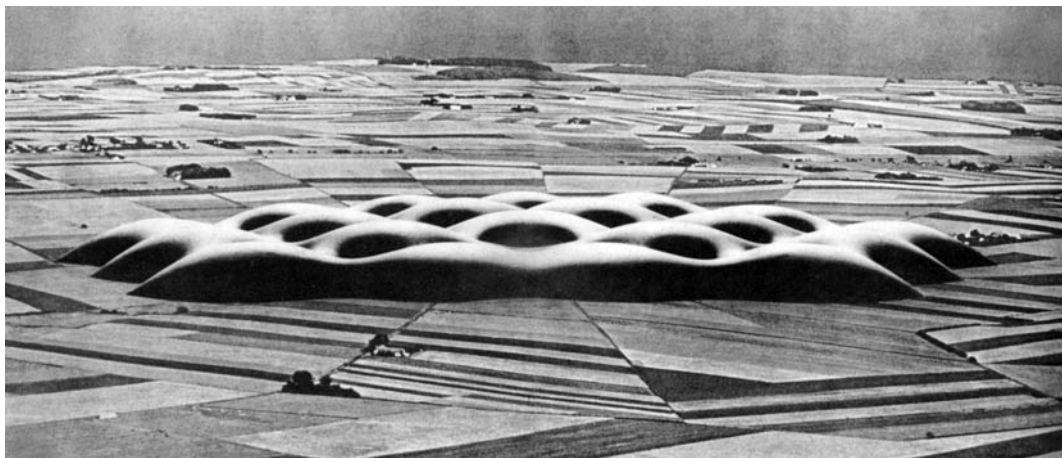
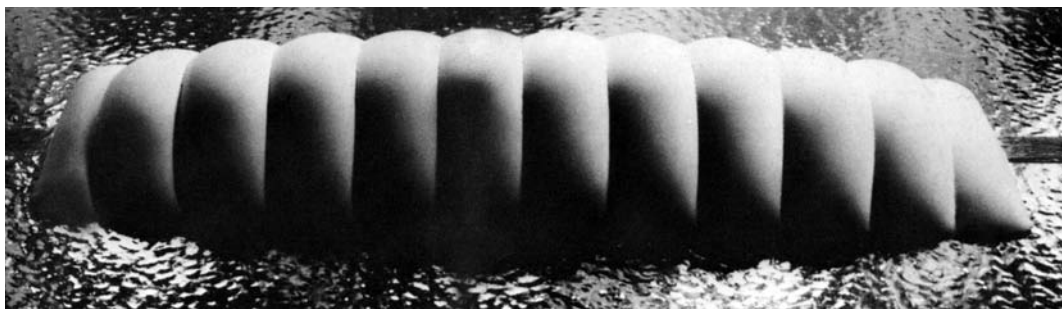
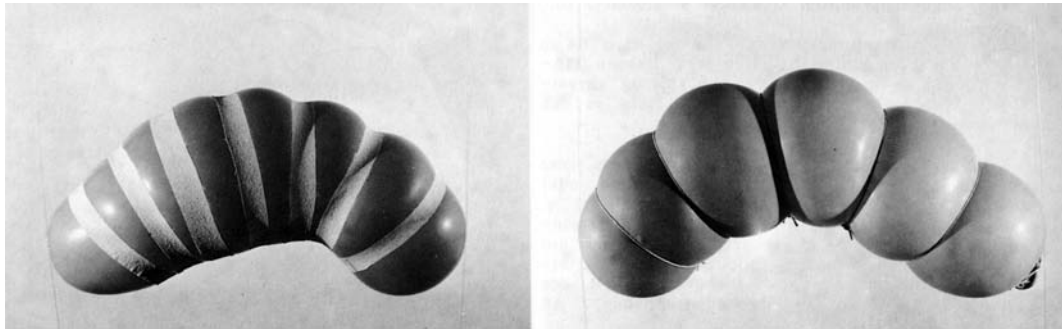


Abb. 482: Frei Otto/IL, Kugelförmige Luftballons mit Einschnürungen unterschiedlicher Einflussbreite, 1978. Fotografien.

Abb. 483: Frei Otto, Seilverstärkte Pneukonstruktion für eine Offshore-Lagerhalle, Entwurf 1958/59. Fotomontage.

Abb. 484: Frei Otto, Pneumatisch getragene Dachfläche mit Tiefpunkten für ein Groß-Gewächshaus, Entwurf 1959. Fotomontage

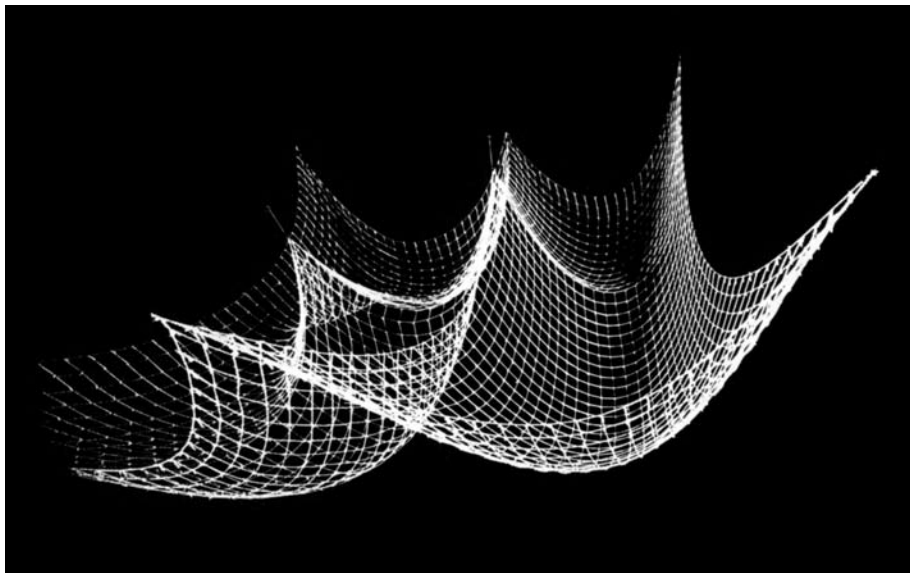
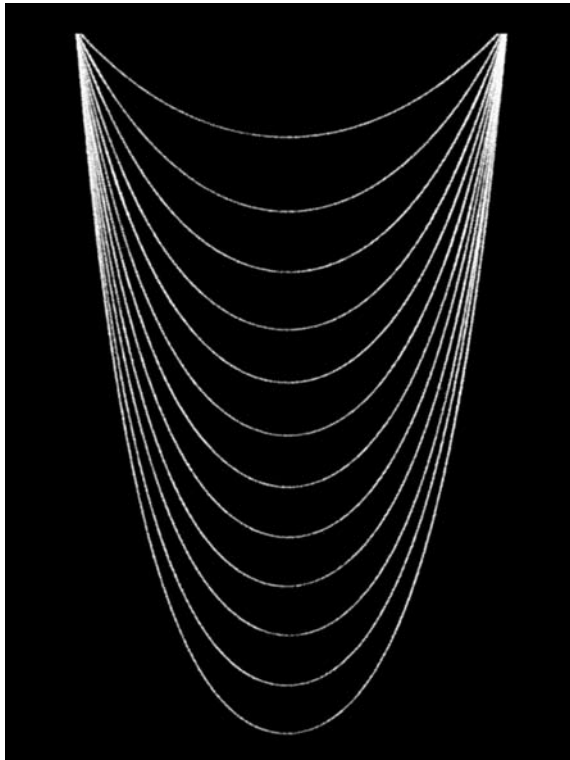


Abb. 485: Frei Otto/IL, Kettenlinien. Fotografie.

Abb. 486: Frei Otto/IL, Quadratmaschiges Kettennetz mit Graten, gebildet durch Ketten zwischen Aufhängepunkten. Fotografie.

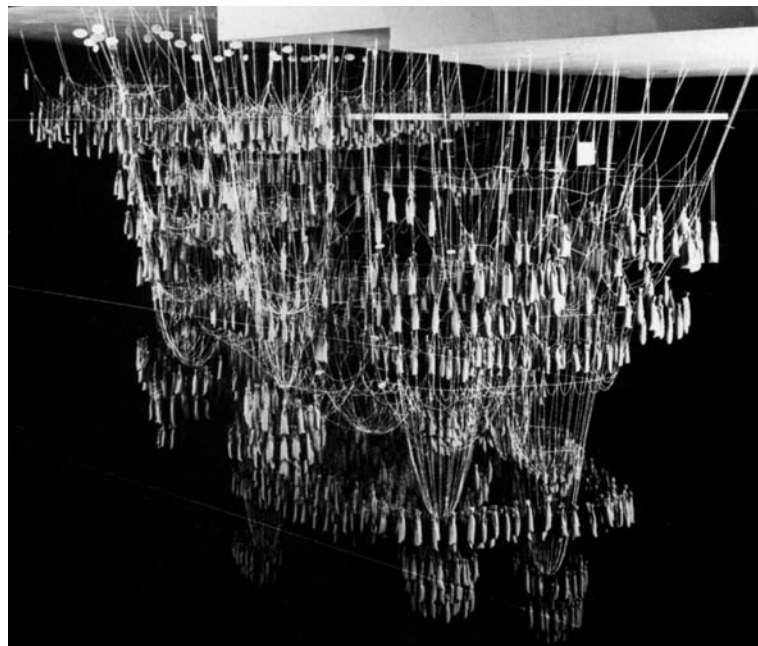
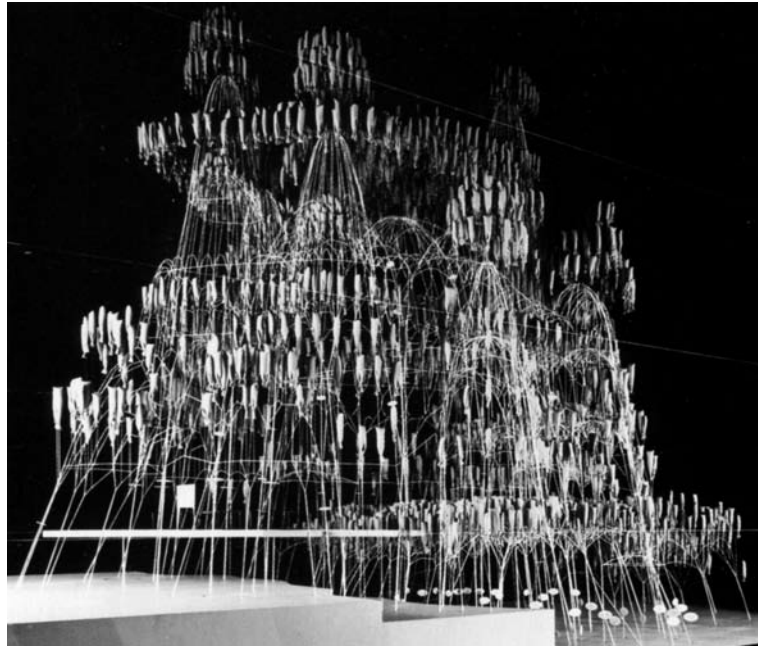


Abb. 487: Frei Otto/IL, Rekonstruktion des 1936 zerstörten Hängemodells der *Crypta de la Colònia Güell* (1898) von Antoni Gaudí, 1983. Fotografie, horizontal gespiegelt.
Abb. 488: Originalfotografie.

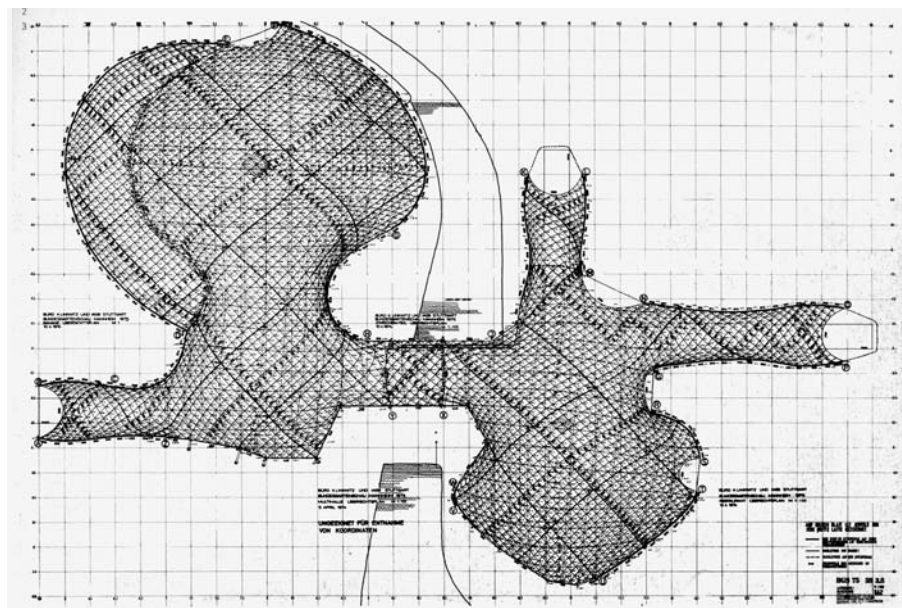


Abb. 489: Carlfried Mutschler, Joachim Langner und Dieter Wessa (Entwurf); Frei Otto und Ewald Bubner/Atelier Warmbronn mit den Ingenieuren Ove Arup & Partners, Gruppe Structures 3 (Leitung: Edmund Happold), London (Gitterschale), Multihalle Bundesgartenschau 1975, Mannheim, Deutschland, 1970–75. Gesamtansicht, Fotografie.
 Abb. 490: Dachaufsicht.



Abb. 491: Carlfried Mutschler, Joachim Langner und Dieter Wessa (Entwurf); Frei Otto und Ewald Bubner/Atelier Warmbronn mit den Ingenieuren Ove Arup & Partners, Gruppe Structures 3 (Leitung: Edmund Happold), London (Gitterschale), Multihalle Bundesgartenschau 1975, Mannheim, Deutschland, 1970–75. Hängemodell (Ausschnitt), Fotografie.
Abb. 492: Aufstellung des Lattengitters, Fotografie



Abb. 493: Carlfried Mutschler, Joachim Langner und Dieter Wessa (Entwurf); Frei Otto und Ewald Bubner/Atelier Warmbronn mit den Ingenieuren Ove Arup & Partners, Gruppe Structures 3 (Leitung: Edmund Happold), London (Gitterschale), Multihalle Bundesgartenschau 1975, Mannheim, Deutschland, 1970–75. Gitterschale während der Montage, Fotografie.

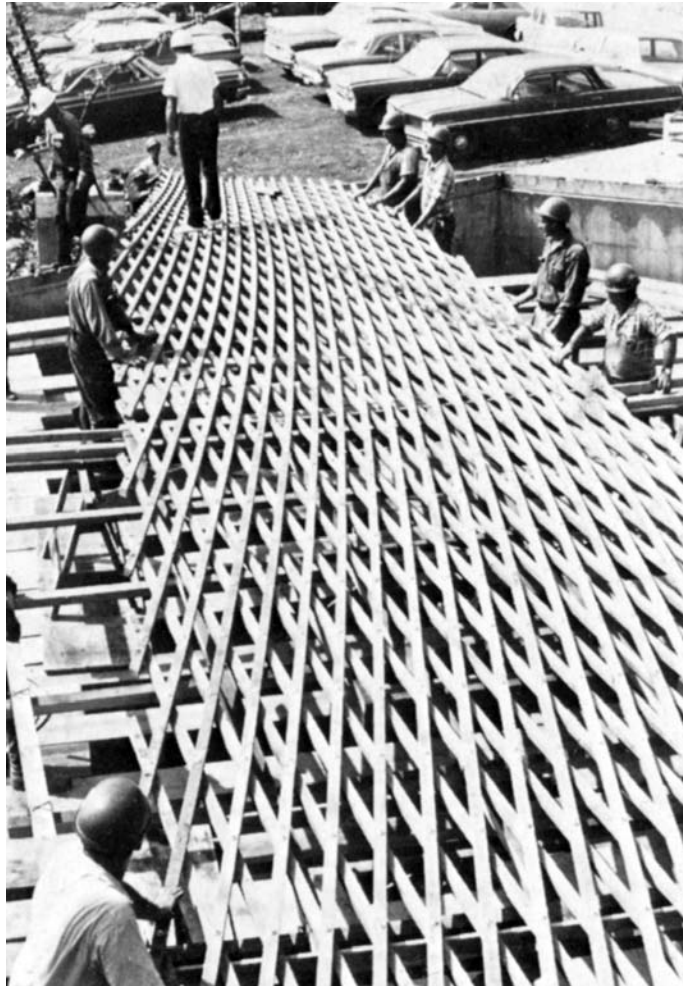


Abb. 494: Rolf Gutbrod, Herman Kendel, Hermann Kies und Frei Otto, Deutscher Pavillon auf der Weltausstellung 1967, Montreal, Kanada, 1965–67. Montage der Lattenkuppeln über Vortragssaal und Foyer, Fotografie.



Abb. 495: Shoji Yoh, Community centre for seniors and children, Uchino/Fukuoka, Japan, 1994/95. Blick von unten gegen das Dachfläche, Fotografie.

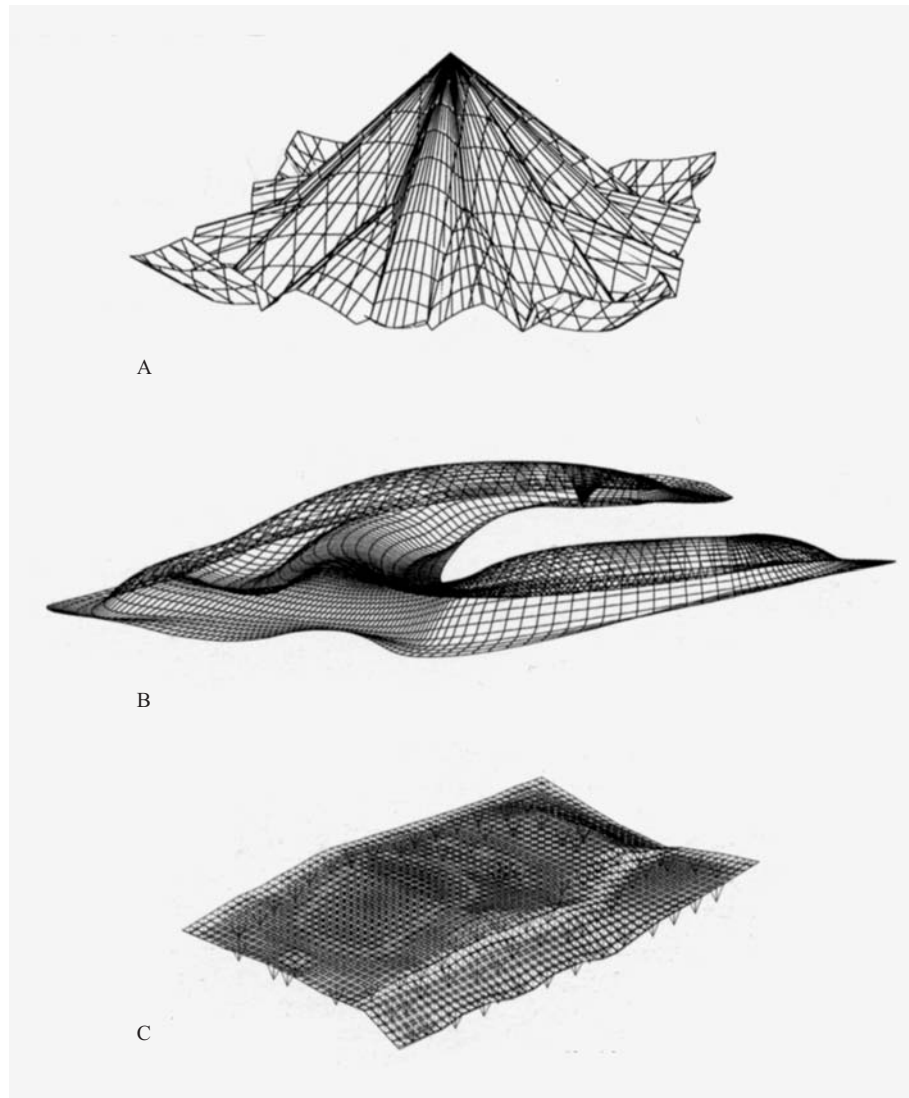


Abb. 496: Shoji Yoh, Community centre and nursery school, Naiju/Fukuoka, Japan, 1993/94 (A), Community centre for seniors and children, Uchino/Fukuoka, Japan, 1994/95 (B), Municipal sports complex, Odawara-shi/Kanagawa-ken, Japan, 1991 (C). Drahtgittermodelle, Axonometrien, Computerzeichnungen.

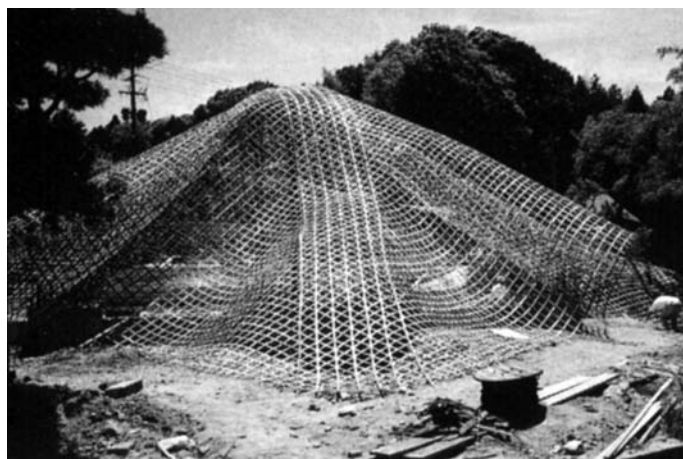


Abb. 497: Shoen Yoh, Community centre and nursery school, Naiju/Fukuoka, Japan, 1993/94.
Fertigung des Holzlattennetzes, Fotografie.

Abb. 498: Hebung des Holzlattennetzes, Fotografie.

Abb. 499: Modellierung des Holzlattennetzes, Fotografie.



Abb. 500: Shoji Yoh, Community centre and nursery school, Naiju/Fukuoka, Japan, 1993/94. Dachkonstruktion, Zustand nach dem Auftrag der Betonschicht, Fotografie.

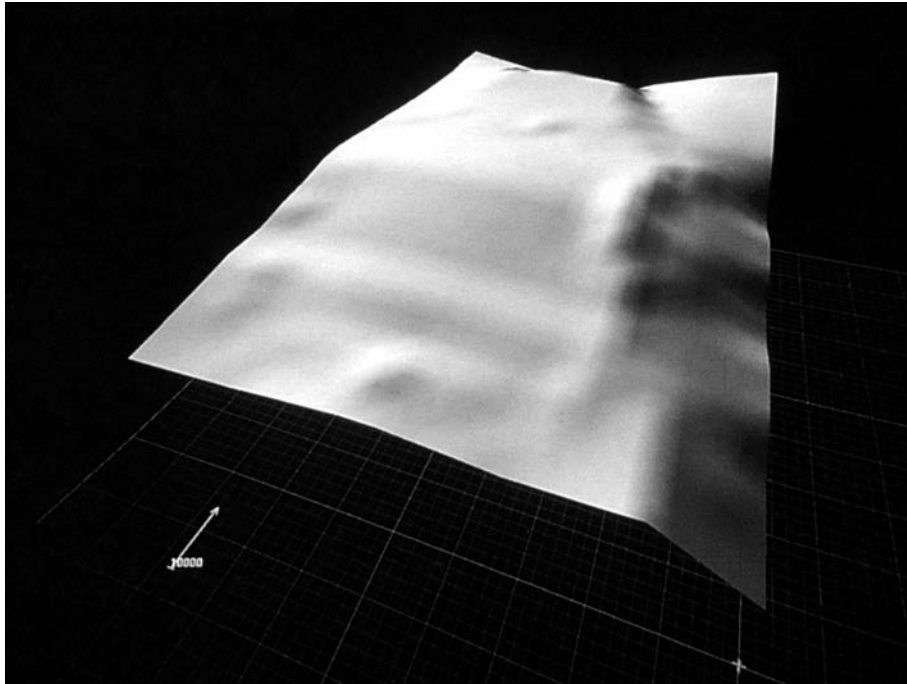


Abb. 501: Shoji Yoh, Municipal sports complex, Odawara-shi/Kanagawa-ken, Japan, 1991. 3D-Modell der Dachfläche, Perspektive, Computerrendering.

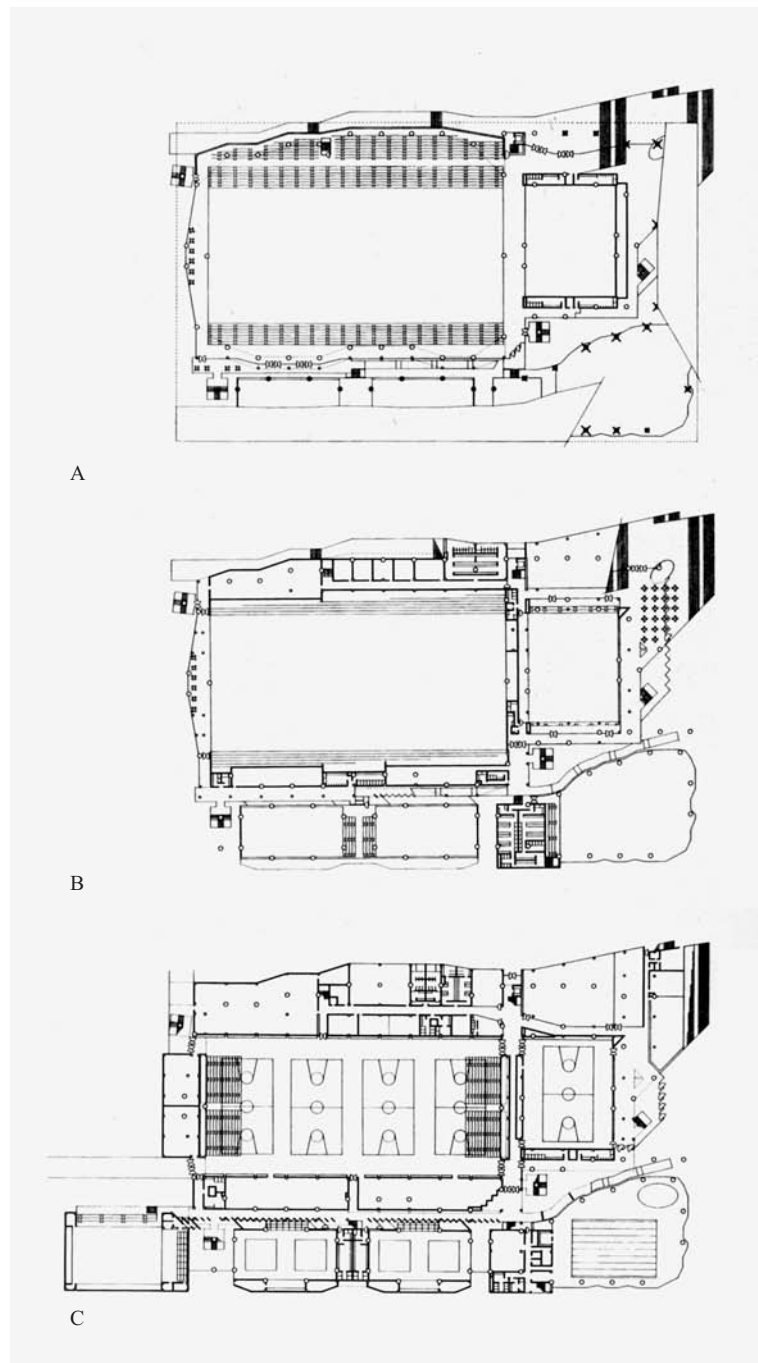


Abb. 502: Shoei Yoh, Municipal sports complex, Odawara-shi/Kanagawa-ken, Japan, 1991. Grundrisse des zweiten Obergeschosses (A), ersten Obergeschosses (B) und des Erdgeschosses (C).



Abb. 503: Shoji Yoh, Community centre for seniors and children, Uchino/Fukuoka, Japan, 1994/95.
Blick von oben auf das Dach, Fotografie.

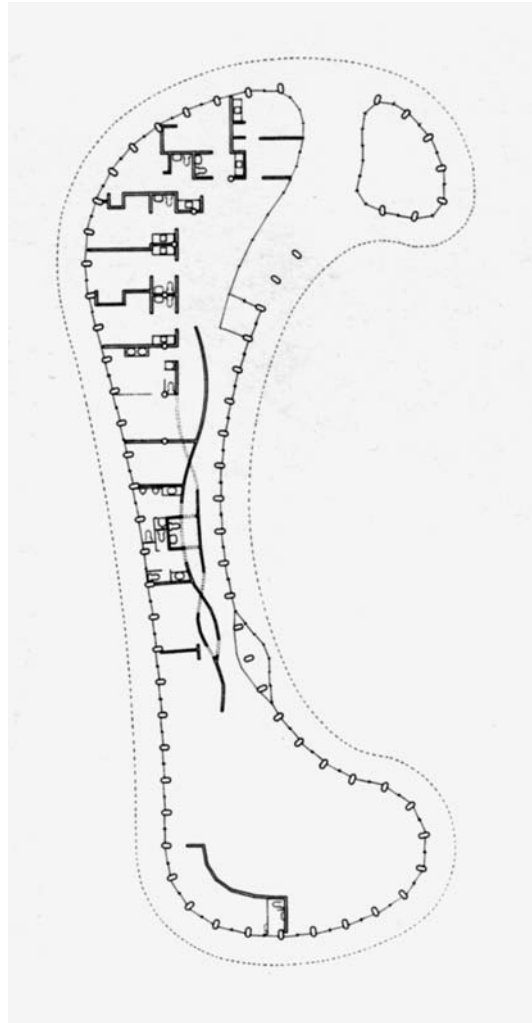


Abb. 504: Shoji Yoh, Community centre for seniors and children, Uchino/Fukuoka, Japan, 1994/95.
Grundriss des Erdgeschosses.



Abb. 505: Shoji Yoh, Community centre for seniors and children, Uchino/Fukuoka, Japan, 1994/95.
Blick von unten gegen die konkav sich aufwölbende Dachfläche, Fotografie.
Abb. 506: Blick von unten gegen die konvex sich aufwölbende Dachfläche, Fotografie



Abb. 507: Lars Spuybroek/NOX, Son-O-House, Kunstwerk im öffentlichen Bereich für den Industrieschap Ekkersrijt, in Zusammenarbeit mit dem Komponisten Edwin van der Heide, Son en Breugel, Niederlande, 2000–04. Konstruktion in Bau, Fotografie.



Abb. 508: Farshid Moussavi und Alejandro Zaera-Polo/FOA, Yokohama International Port Terminal, Japan, 1994–2002. Gebäude vor der Fertigstellung, Blick nach Nordosten, Fotografie.



Abb. 509: Lars Spuybroek/NOX, H₂Oexpo, Wasser-Erlebnispavillon und interaktive Installation für „WaterLand“, Neeltje Jans, Niederlande, 1993–97. Südostseite, Fotografie.

Abb. 510: Greg Lynn, Douglas Garofalo und Michael McInturf, Korean Presbyterian Church of New York, USA, 1995–99. Nordseite, Fotografie.

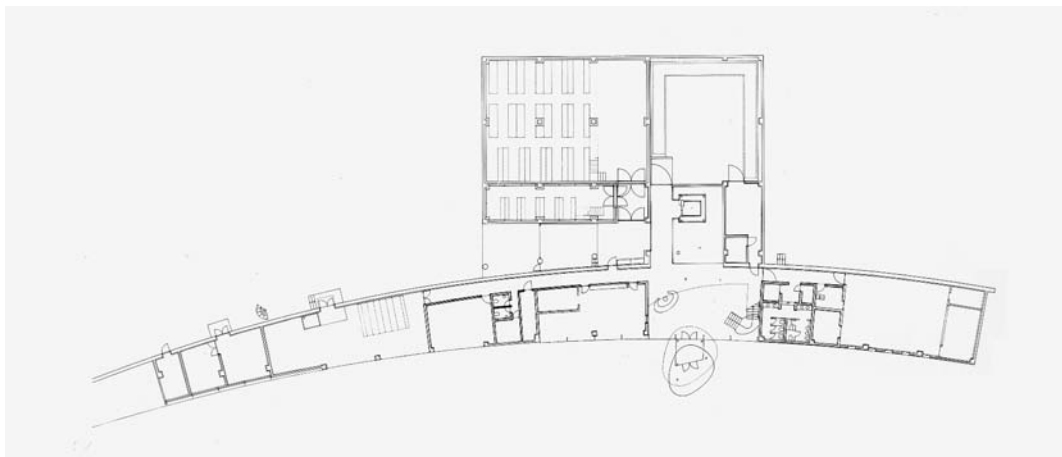
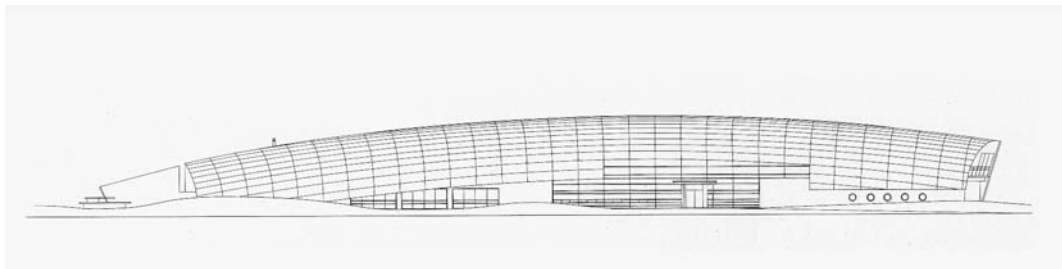


Abb. 511: Toyo Ito, Shimosuwa Municipal Museum, Shimosuwa-machi/Präfektur Nagano, Japan, 1993. Westseite, Fotografie.

Abb. 512: Ansicht der Südseite, Zeichnung.

Abb. 513: Grundriss des Erdgeschosses.

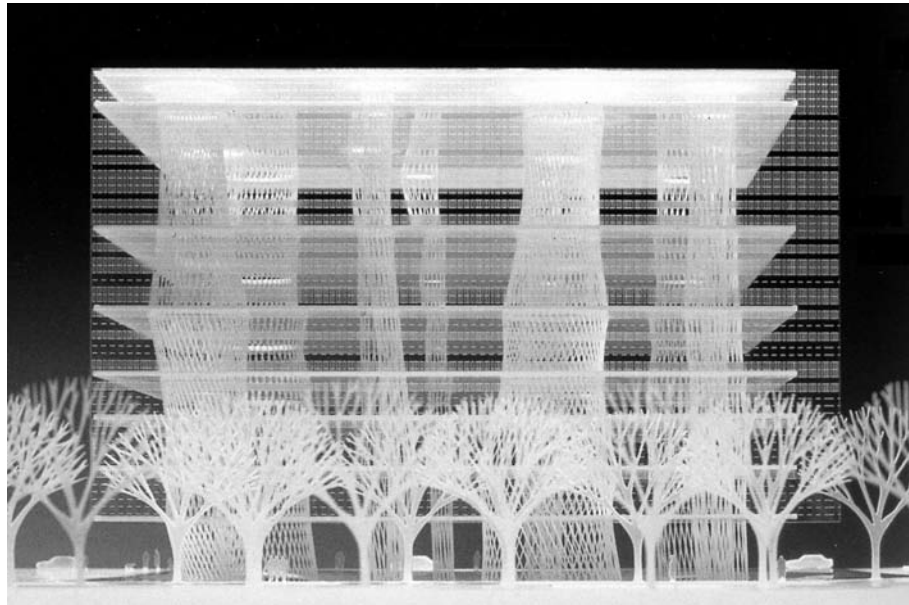


Abb. 514: Toyo Ito, Médiathèque Project, Sendai-shi/Miyagi Präfektur, Japan, 1995–2000. Präsentationsmodell, Fotografie, in: Toyo Ito. *Blurring Architecture*, 1999, S. 152.

Abb. 515: Toyo Ito, Médiathèque Project, Sendai-shi/Miyagi Präfektur, Japan, 1995–2000. Gebäude bei Nacht, Fotografie.



Abb. 516: Minato Mirai 21 – Hafen der 21. Jahrhunderts. Städtebaulicher Plan, Yokohama, Japan, 1987. Präsentationsmodell, Fotografie.

Abb. 517: Hugh Stubbins, Landmark Tower, Yokohama, Japan, 1988–93. Fotografie.

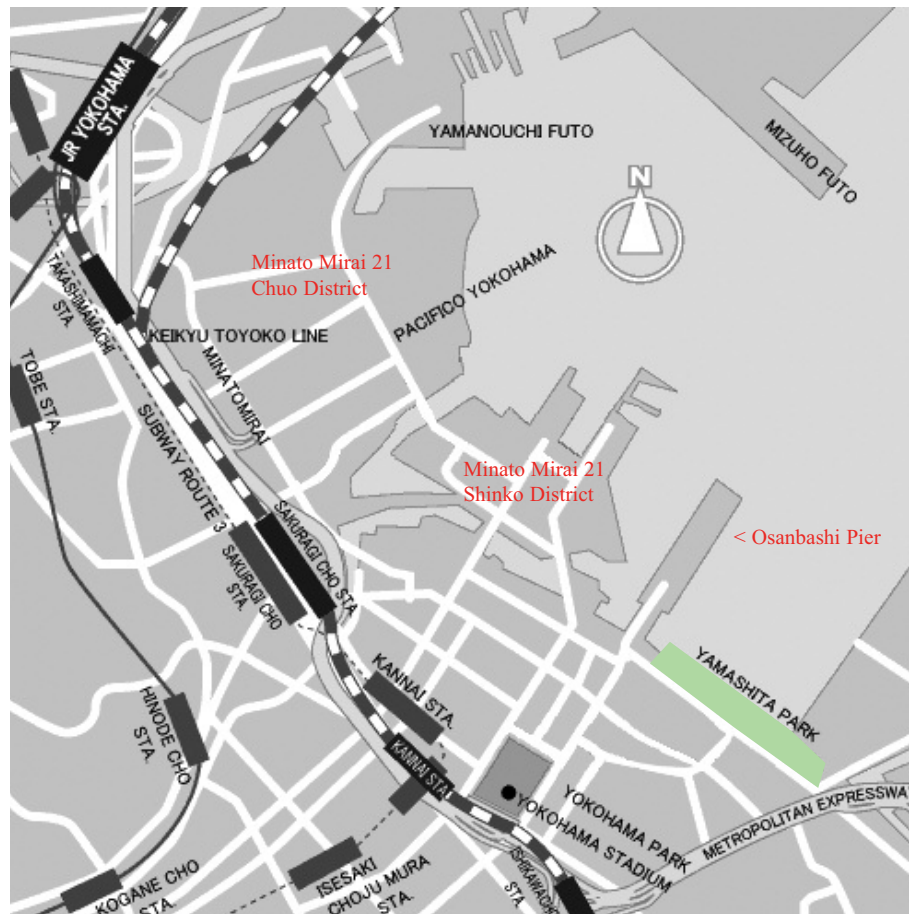


Abb. 518: Stadtplan von Yokohama mit Hafengebieten (Ausschnitt), 2006 (farbige Markierungen von der Verf.).

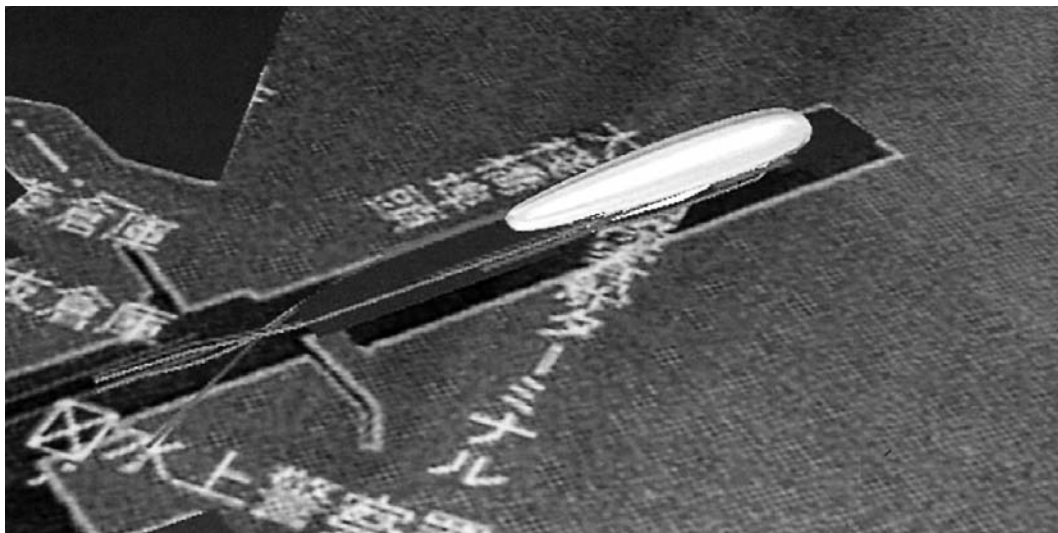
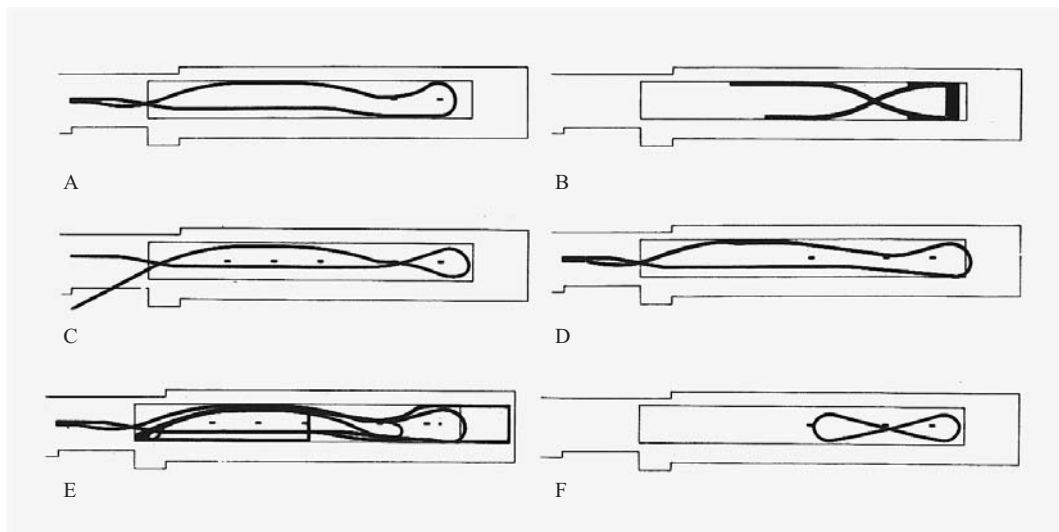


Abb. 519: Ben van Berkel, Yokohama International Port Terminal, Japan, Entwurf 1994. Wegestudien: Bus Route (A), Cruise Deck (B), Visitors' Pedestrian Loop (C), Traffic Loop (D), Access to Parking (E), Pretzel Route (F), Aufsichten, Computerzeichnungen.

Abb. 520: Ben van Berkel, Yokohama International Port Terminal, Japan, Entwurf 1994. 3D-Modell mit Umgebung, Axonometrie, Südseite, Montage aus Computerrendering und Stadtplan.

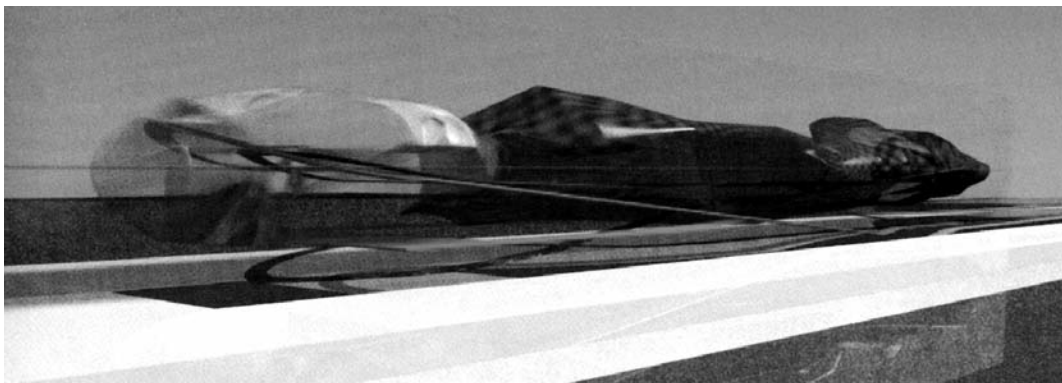
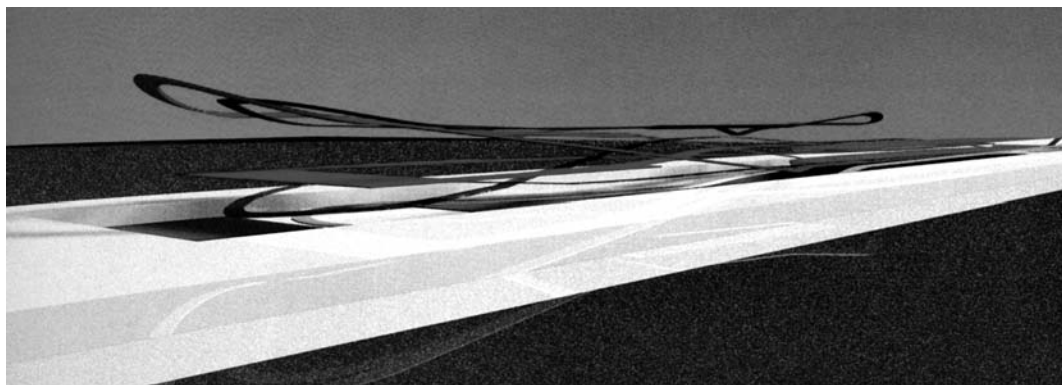
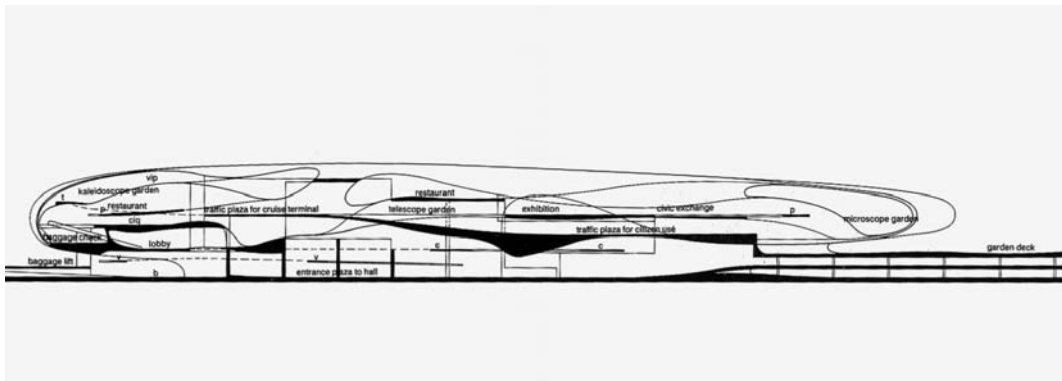


Abb. 521: Ben van Berkel, Yokohama International Port Terminal, Japan, Entwurf 1994. Längsschnitt, Computerzeichnung.

Abb. 522: 3D-Modell der Zirkulationsschleifen, Perspektive, Computerrendering (horizontal gespiegelt zur besseren Vergleichbarkeit mit dem Längsschnitt).

Abb. 523: 3D-Modell der Zirkulationsschleifen und Gartenvolumen, Perspektive, Computerrendering.

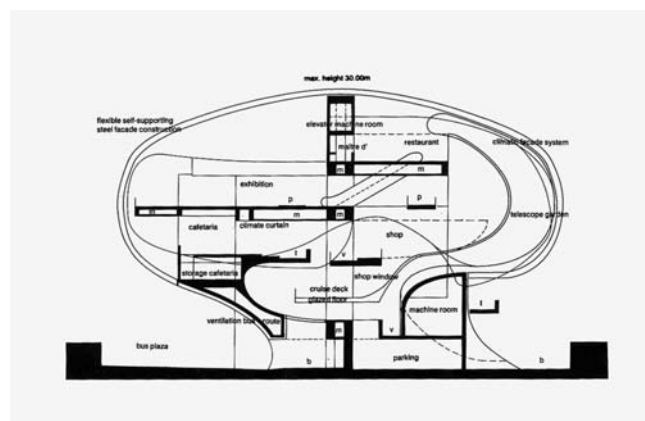
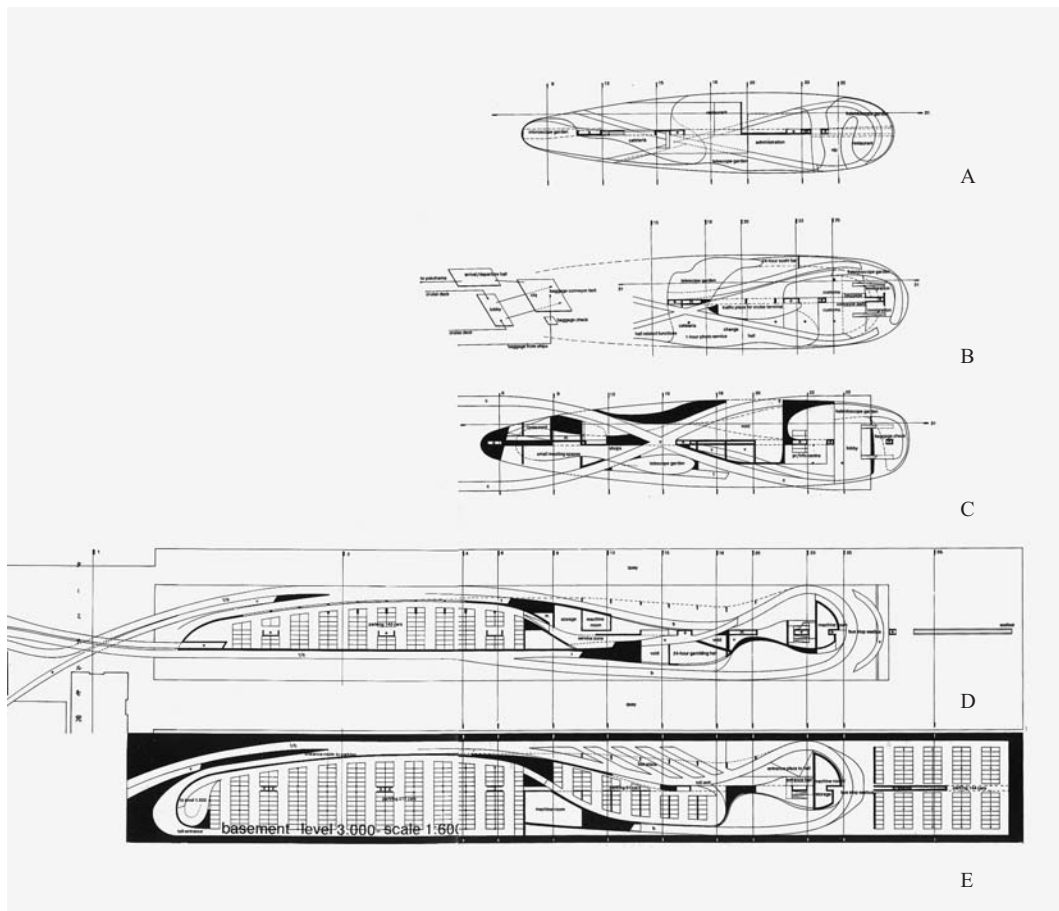


Abb. 524: Ben van Berkel, Yokohama International Port Terminal, Japan, Entwurf 1994. Grundrisse: Ebene +23.00 m (A), Funktionsschema Passagiere/Gepäck und Ebene +16.00 m (B), Ebene +9.00 m (C), Pierebene +1.00 m (D), Parkebene -3.00 m (E), Computerzeichnungen.
 Abb. 525: Querschnitt, Computerzeichnung.

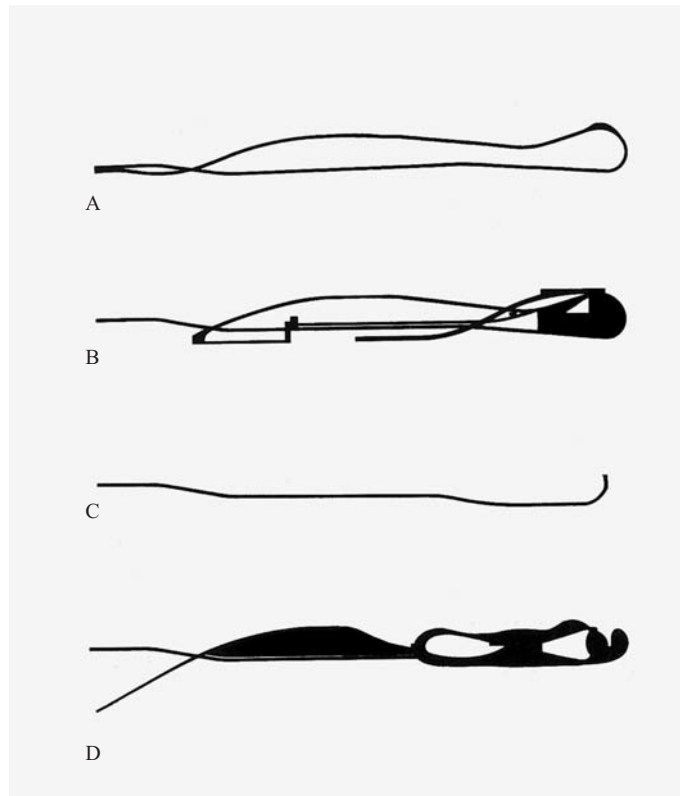


Abb. 526: Ben van Berkel, Yokohama International Port Terminal, Japan, Entwurf 1994. Wegestudien: Vergnügungsfahrt am Sonntagabend (A), Einschiffung eines Kreuzers (B), Busroute zum Seebus (C), Besuch von Yokohamas neuestem Ereignis: Osanbashi Pier (D), Aufsichten, Computerzeichnungen.

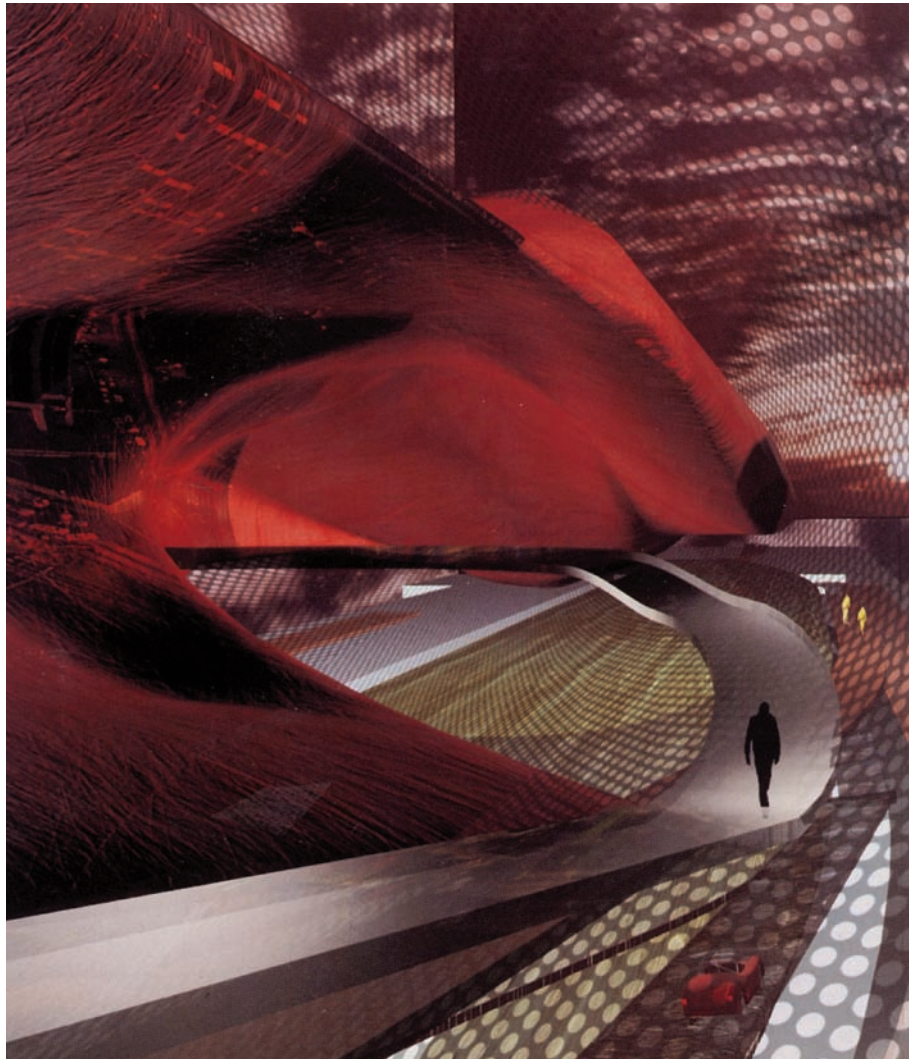


Abb. 527: Ben van Berkel, Yokohama International Port Terminal, Japan, Entwurf 1994. Mikroskop-Garten, 3D-Modell, Perspektive, Montage aus Computerrendering und Fotografie.

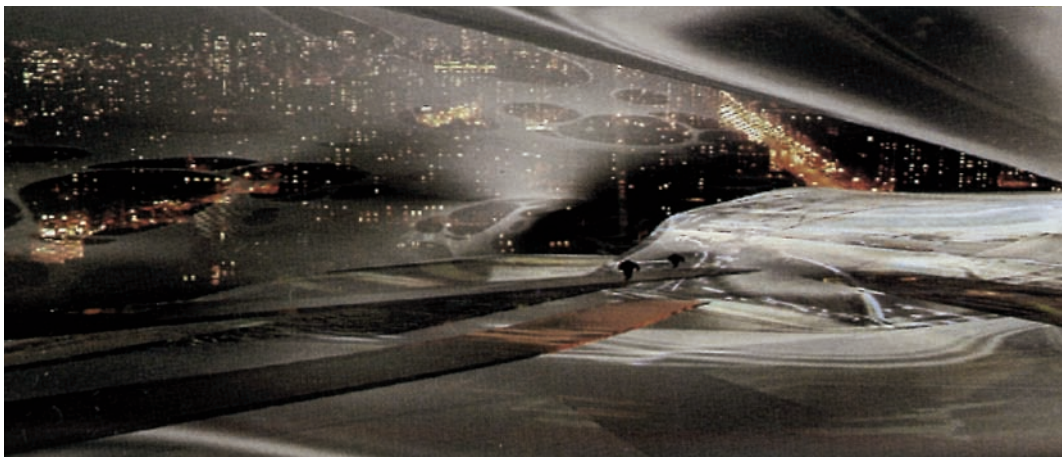
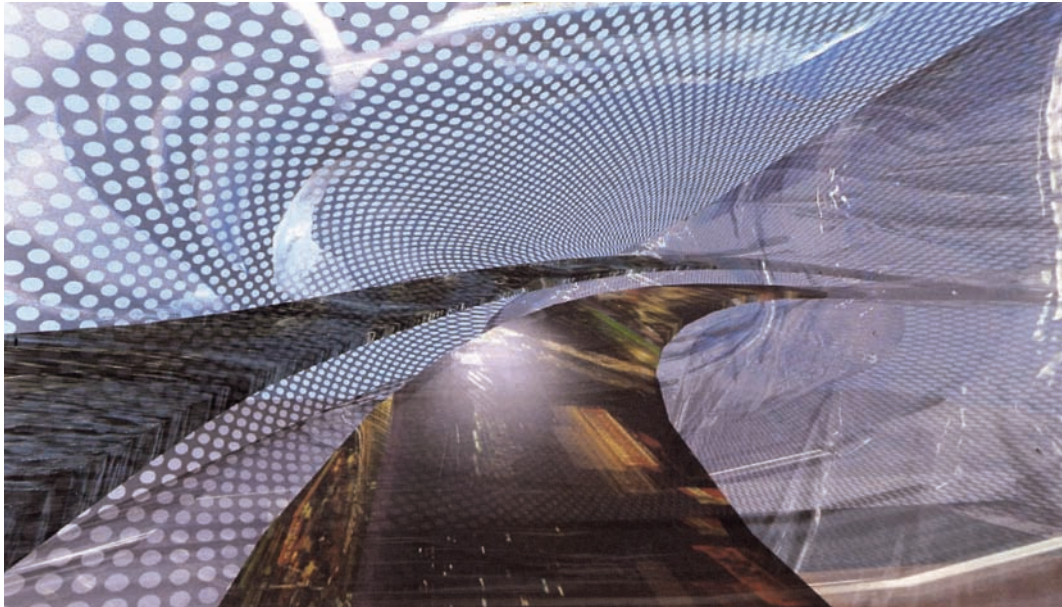


Abb. 528: Ben van Berkel, Yokohama International Port Terminal, Japan, Entwurf 1994. Kaleidoskop-Garten, 3D-Modell, Perspektive, Montage aus Computerrendering und Fotografie.
Abb. 529: Teleskop-Garten, 3D-Modell, Perspektive, Montage aus Computerrendering und Fotografie (Ausschnitt).

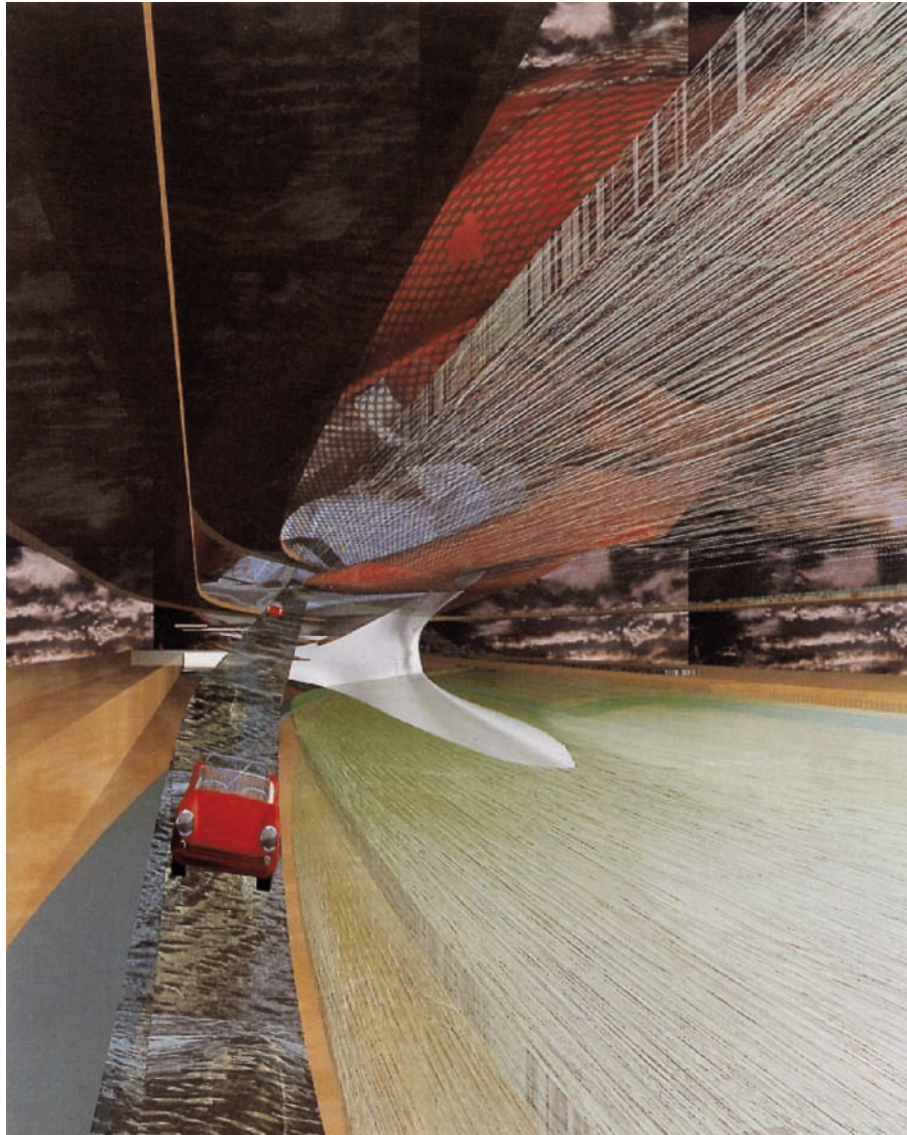


Abb. 530: Ben van Berkel, Yokohama International Port Terminal, Japan, Entwurf 1994. Parkdeck, 3D-Modell, Perspektive, Montage aus Computerrendering und Fotografie.

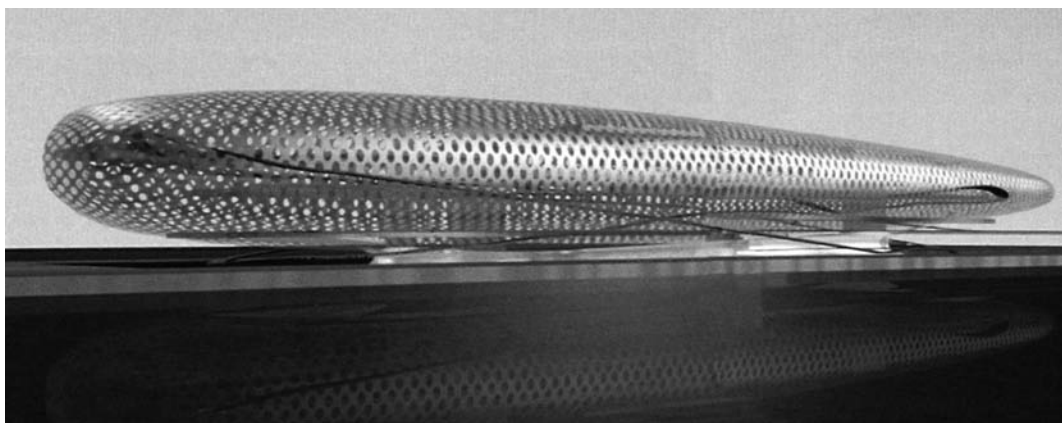
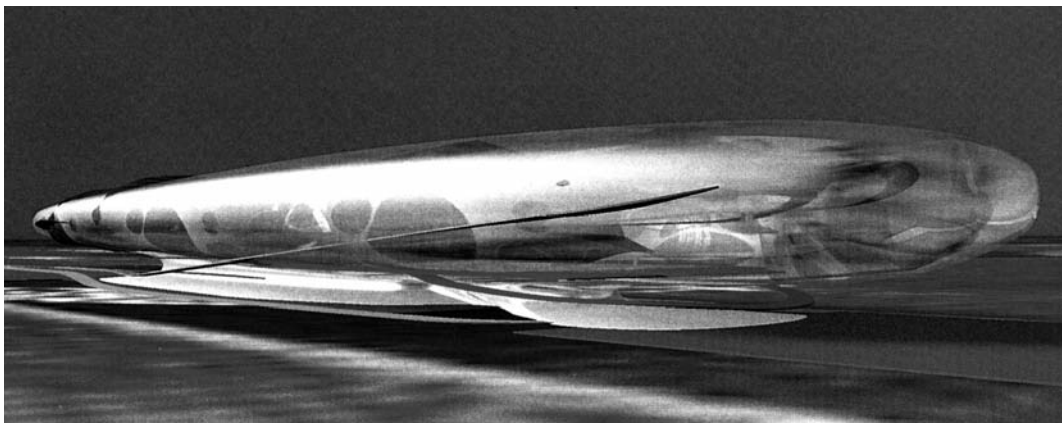
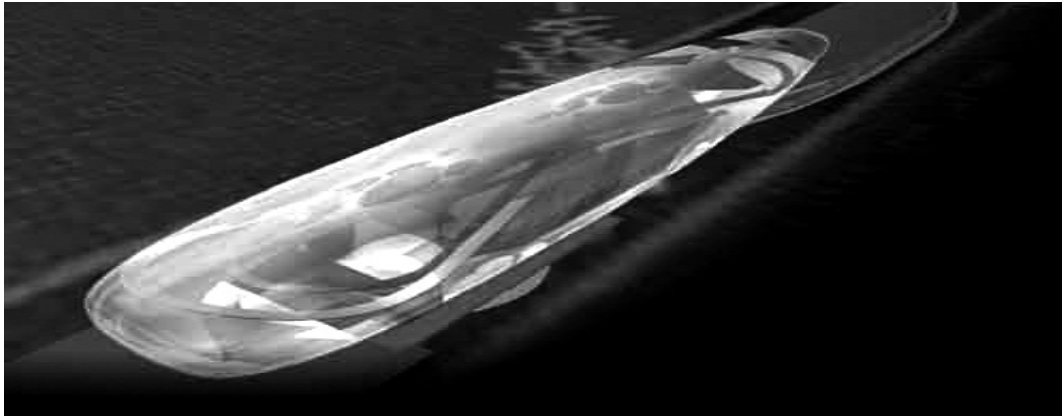


Abb. 531: Ben van Berkel, Yokohama International Port Terminal, Japan, Entwurf 1994. 3D-Modell, Perspektive, Nordseite, Computerrendering.

Abb. 532: 3D-Modell, Perspektive, Südostseite, Computerrendering.

Abb. 533: 3D-Modell mit Lochblechfassade, Perspektive, Nordwestseite, Computerrendering.

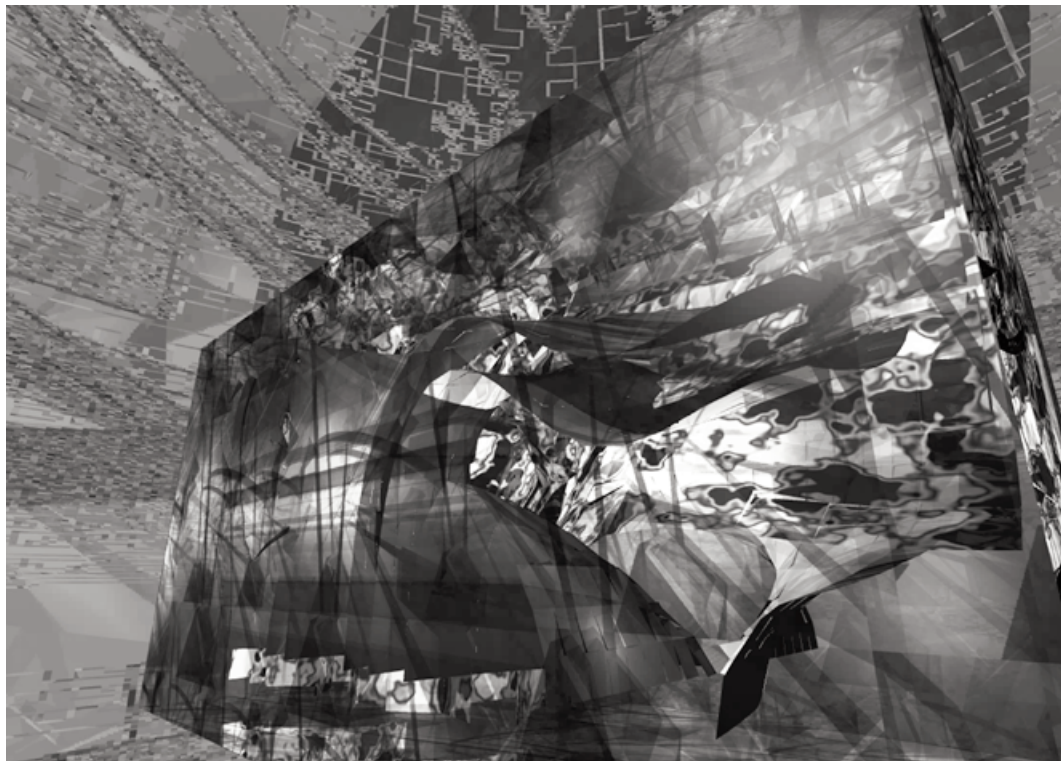


Abb. 534: Marcos Novak, MathCaveBlockHR. Model of *Liquid Architectures*, Entwurf 1997. Perspektive, Computerrendering.

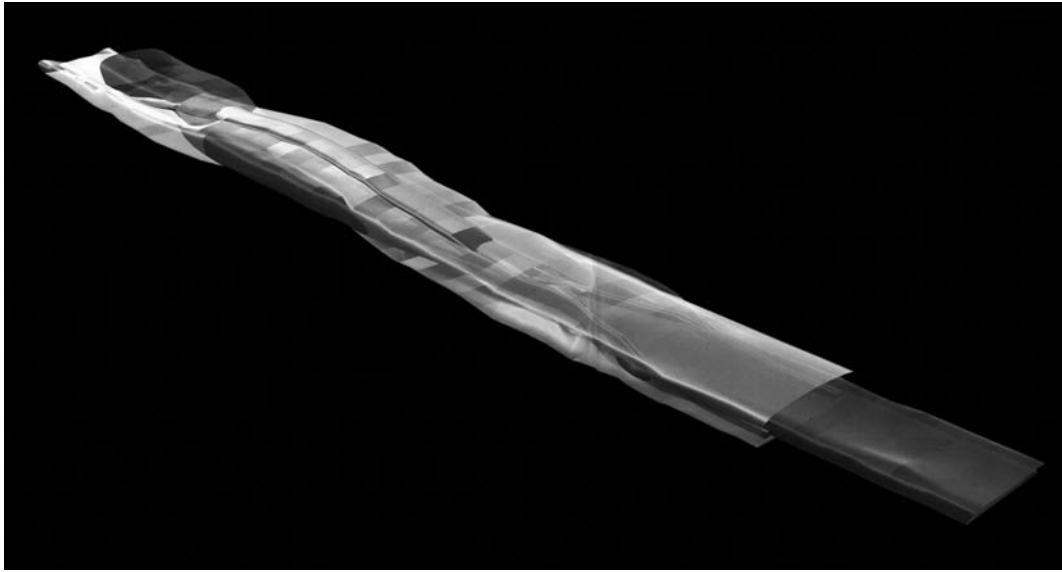


Abb. 535: Greg Lynn, Yokohama International Port Terminal, Japan, Entwurf 1994. Studie, 3D-Modell, Axonometrie, Computerrendering.

Abb. 536: 3D-Modell mit Umgebung, Perspektive, Ostseite, Computerrendering.

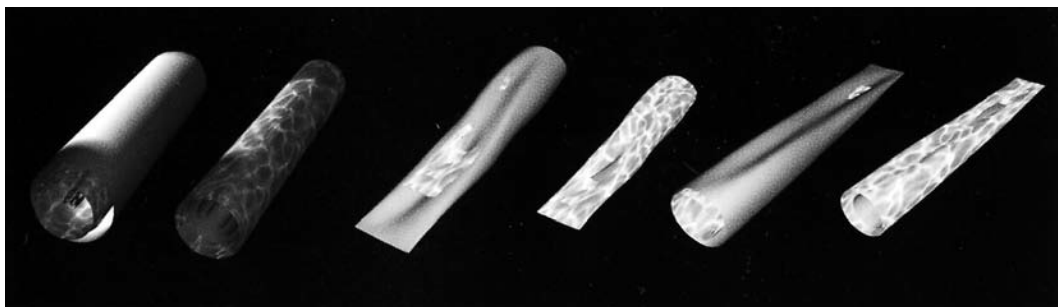
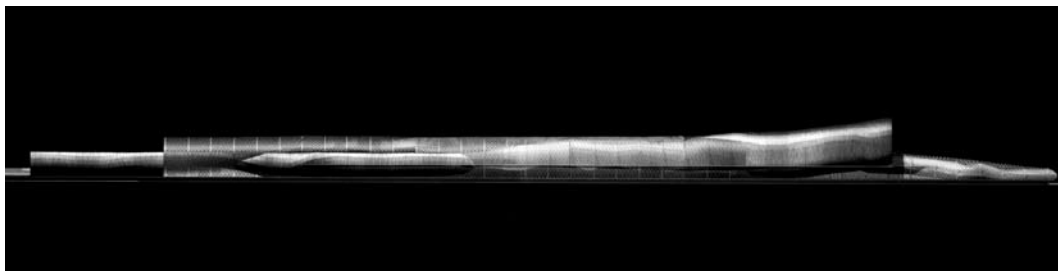
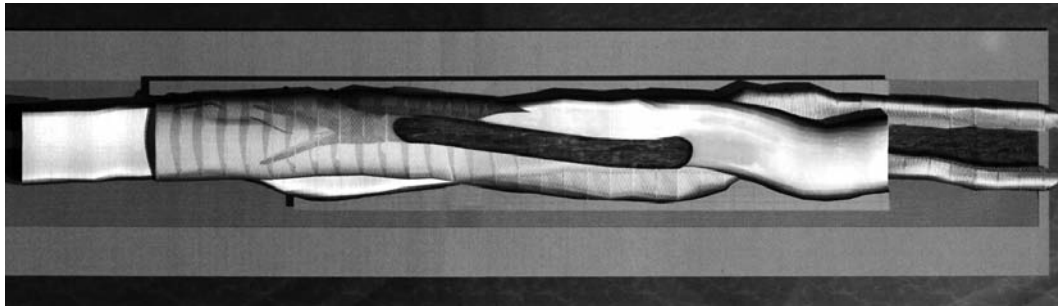


Abb. 537: Greg Lynn, Yokohama International Port Terminal, Japan, Entwurf 1994. 3D-Modell, Aufsicht, Computerrendering.

Abb. 538: 3D-Modell, Ansicht der Südostseite, Computerrendering.

Abb. 539: Schematische Darstellung der miteinander verbundenen Röhrengelände, Axonometrie, Computerrendering.

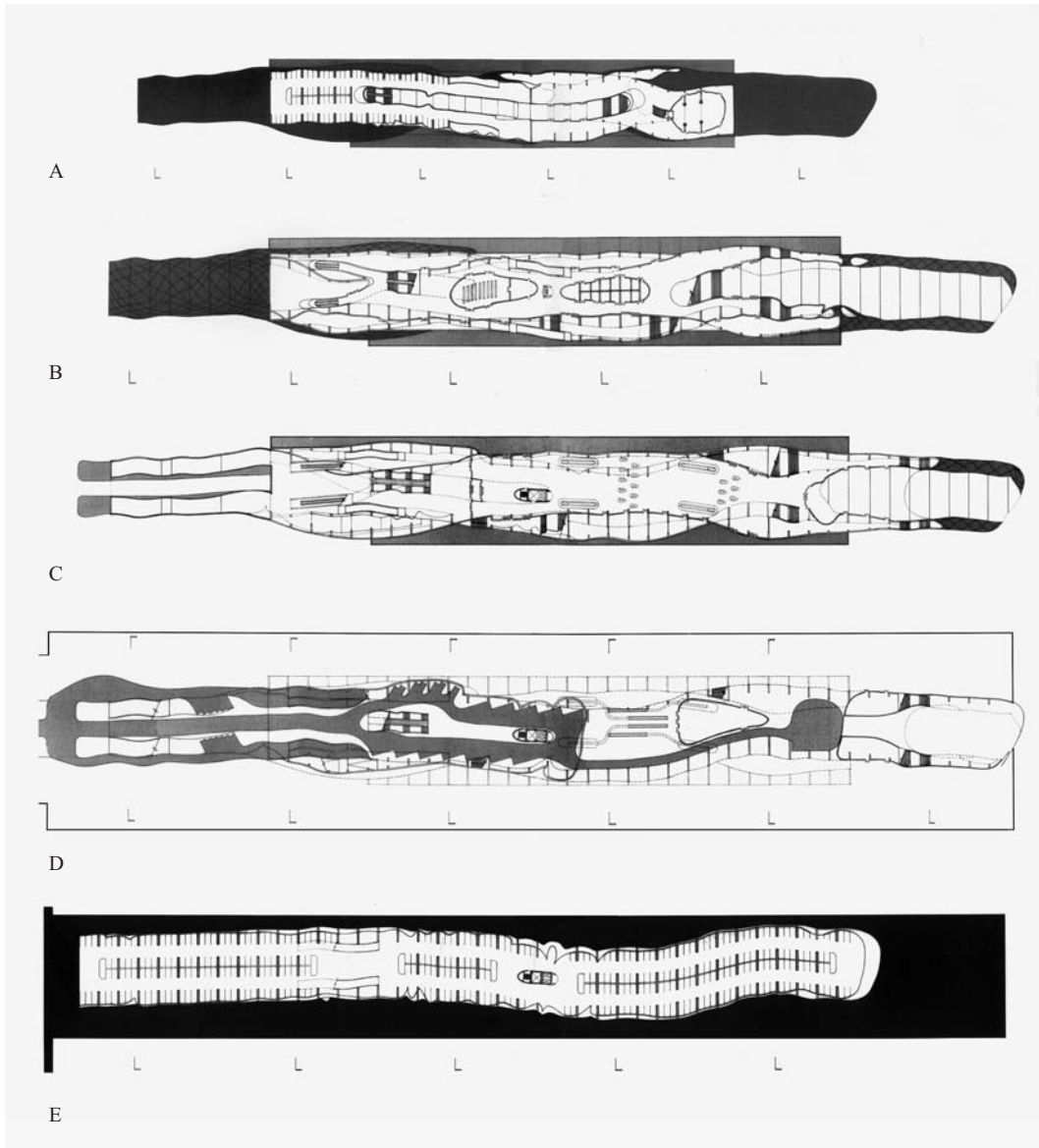
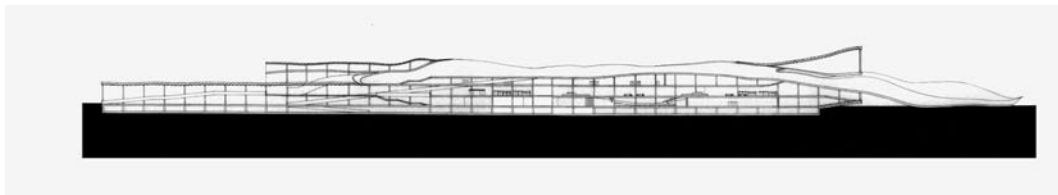


Abb. 540: Greg Lynn, Yokohama International Port Terminal, Japan, Entwurf 1994. Längsschnitt, Computerzeichnung.

Abb. 541: Greg Lynn, Yokohama International Port Terminal, Japan, Entwurf 1994. Grundrisse: drittes Obergeschoss (A), zweites Obergeschoss (B), erstes Obergeschoss (C), Erdgeschoss (D), erstes Untergeschoss (E), Computerzeichnungen.

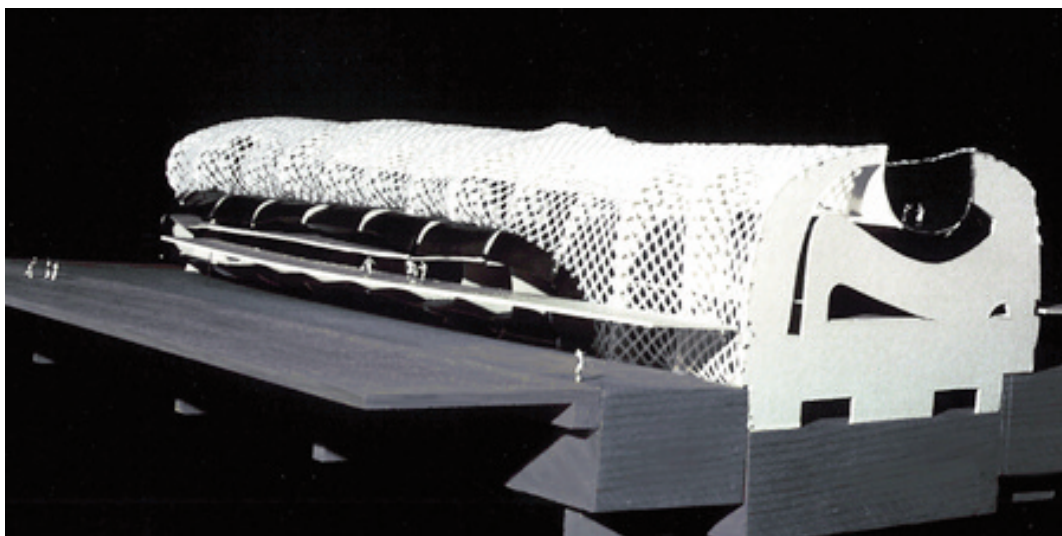
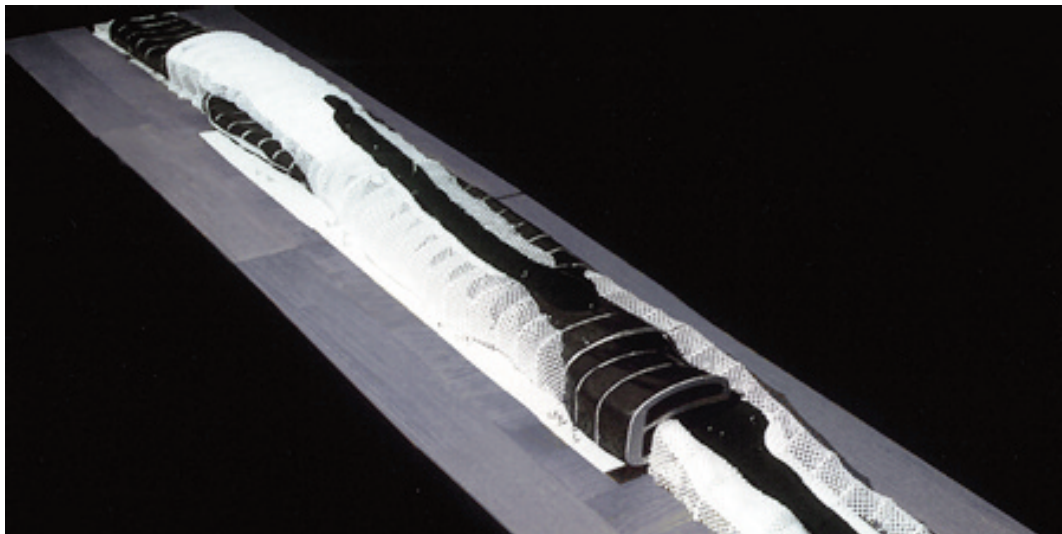


Abb. 542: Greg Lynn, Yokohama International Port Terminal, Japan, Entwurf 1994. Präsentationsmodell (Ausschnitt), Fotografie.
Abb. 543: Schnittmodell, Fotografie.

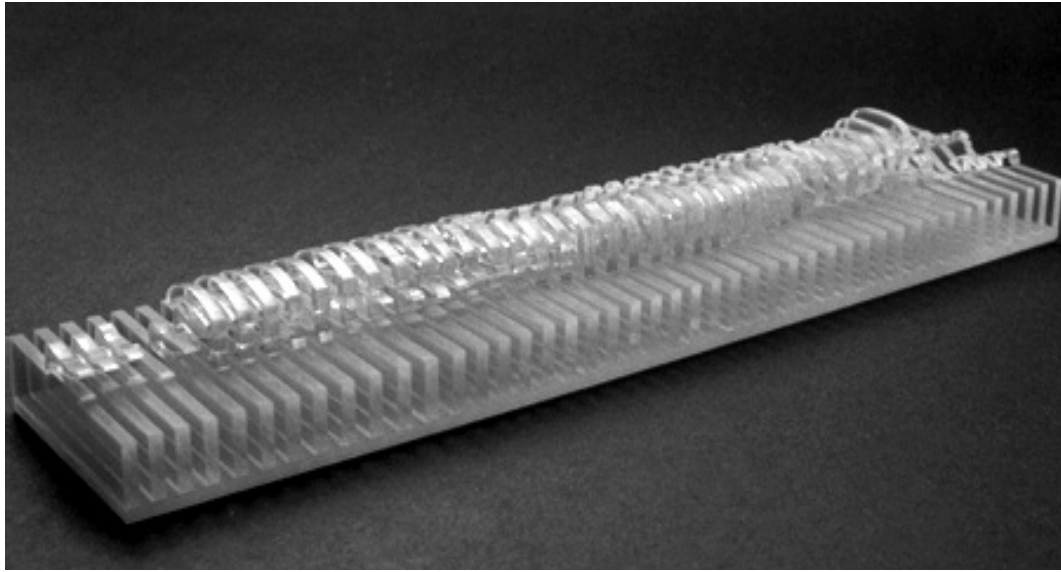


Abb. 544: Greg Lynn, Yokohama International Port Terminal, Japan, Entwurf 1994. Laserschnittenes Modell aus Acrylglasplatten, Fotografie.

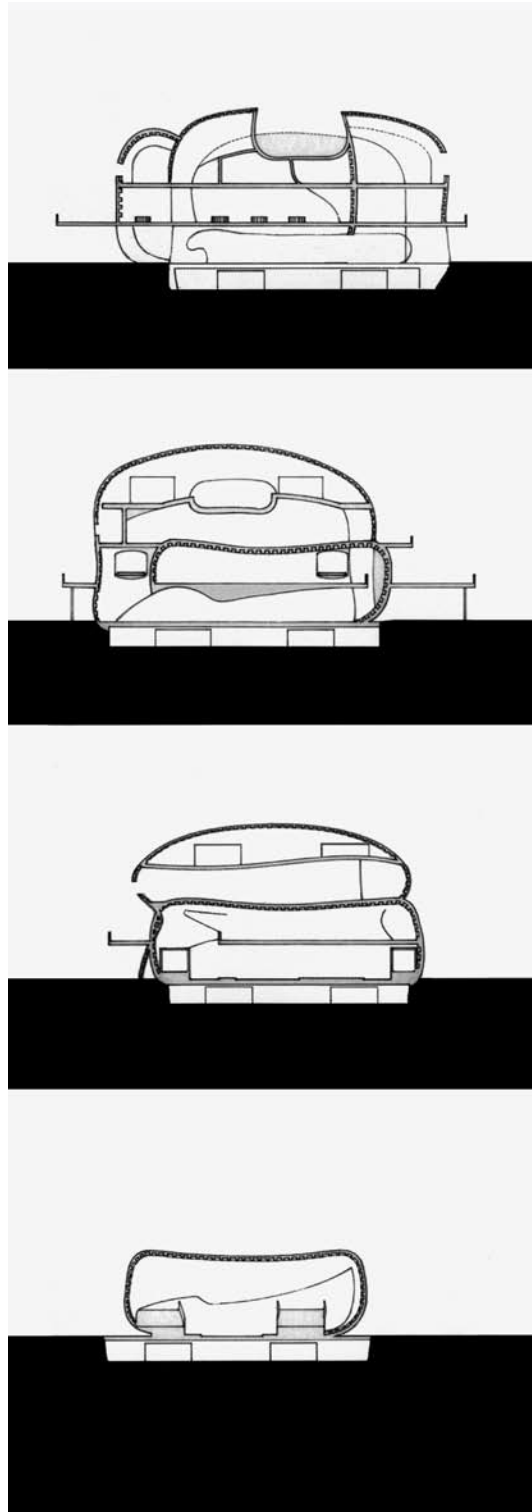


Abb. 545: Greg Lynn, Yokohama International Port Terminal, Japan, Entwurf 1994. Querschnitte, Computerzeichnungen.



Abb. 546: Greg Lynn, Yokohama International Port Terminal, Japan, Entwurf 1994. 3D-Modell, Ansicht der Westseite, Computerrendering.

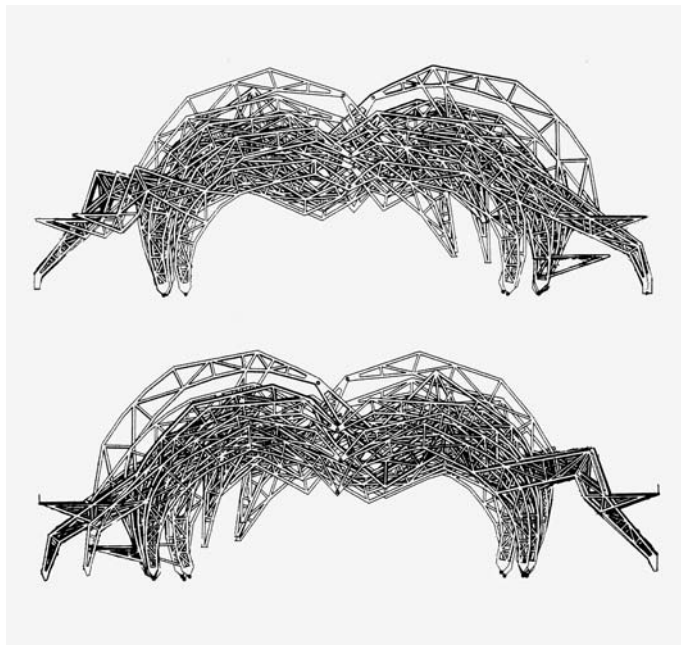
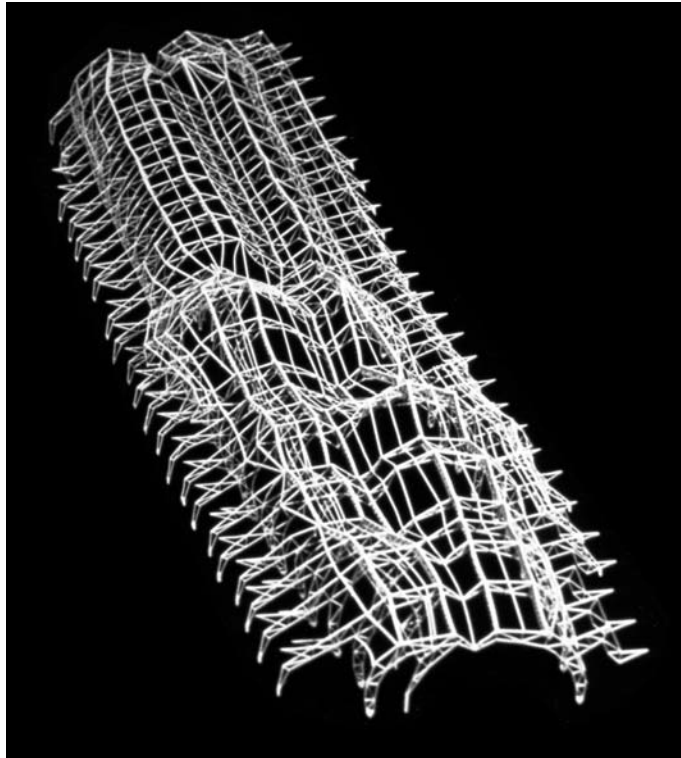


Abb. 547: Jesse Reiser und Nanako Umemoto, Yokohama International Port Terminal, Japan, Entwurf 1994. 3D-Modell der Fachwerkkonstruktion, Axonometrie, Computerrendering.
Abb. 548: Fachwerkkonstruktion, Ansichten der Stirnseiten, Computerzeichnungen.

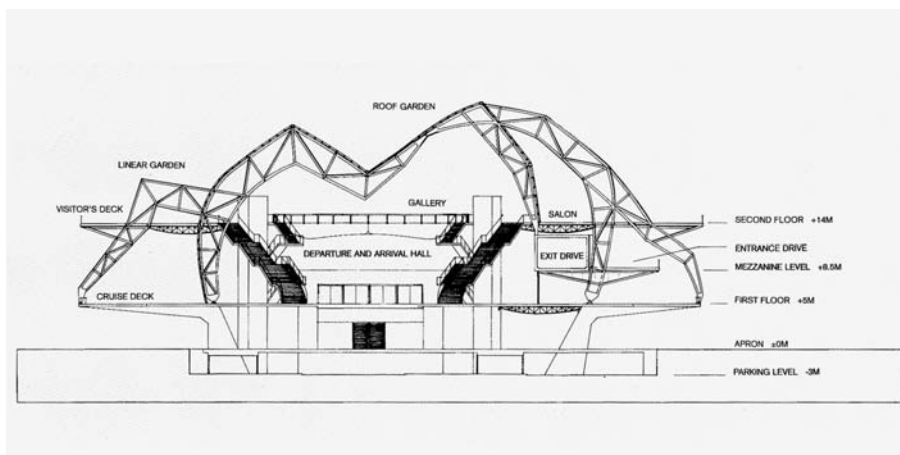
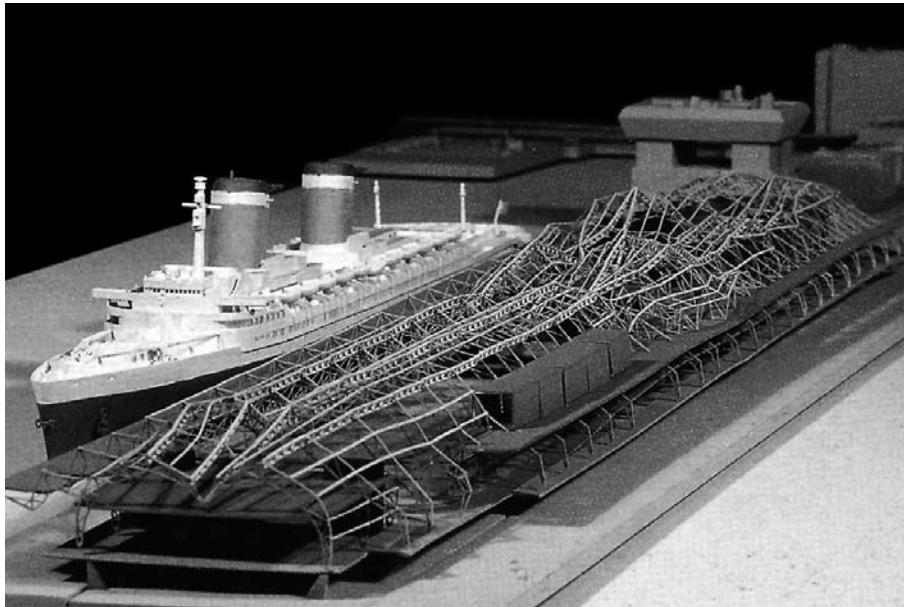


Abb. 549: Jesse Reiser und Nanako Umemoto, Yokohama International Port Terminal, Japan, Entwurf 1994. Lasergeschnittenes Präsentationsmodell (ohne Dachdeckung) mit Umgebung, Nordwestseite, Fotografie.

Abb. 550: Querschnitt durch die Abfahrts- und Ankunftshalle, Computerzeichnung.

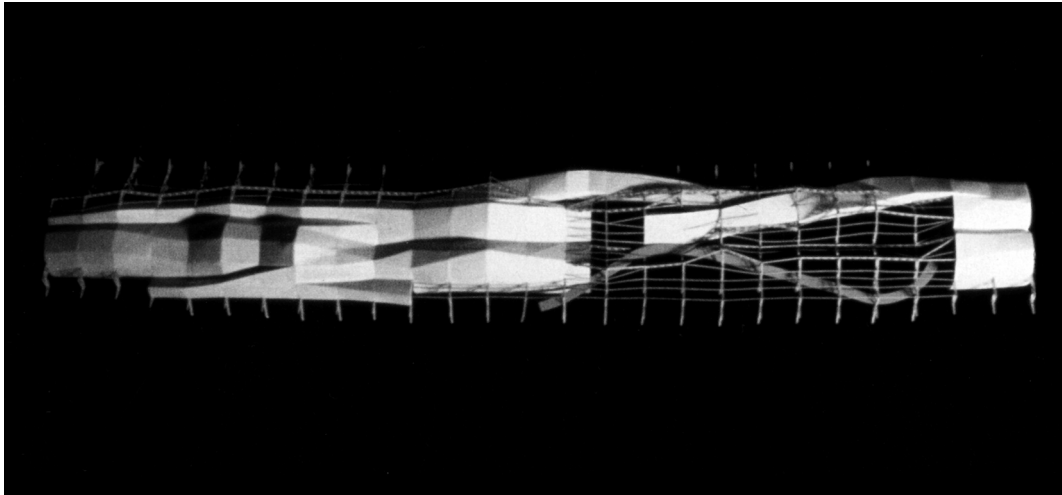


Abb. 551: Jesse Reiser und Nanako Umemoto, Yokohama International Port Terminal, Japan, Entwurf 1994. Lasergeschnittenes Präsentationsmodell der Dachstruktur, Aufsicht, Fotografie.

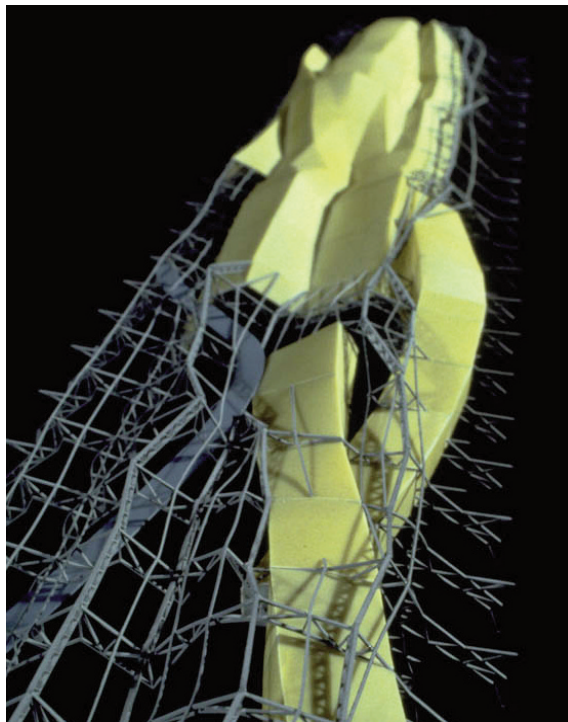
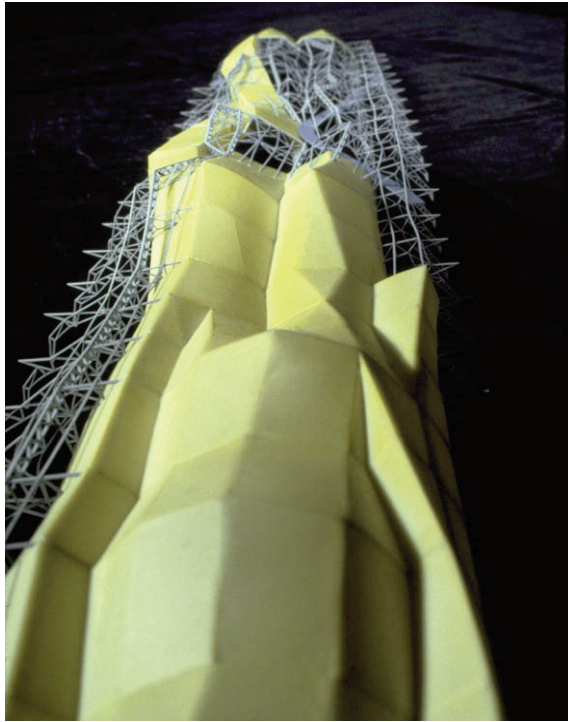


Abb. 552: Jesse Reiser und Nanako Umemoto, Yokohama International Port Terminal, Japan, Entwurf 1994. Lasergeschnittenes Präsentationsmodell der Dachstruktur (Ausschnitt), Nordostseite, Fotografie.

Abb. 553: Südwestseite, Fotografie.

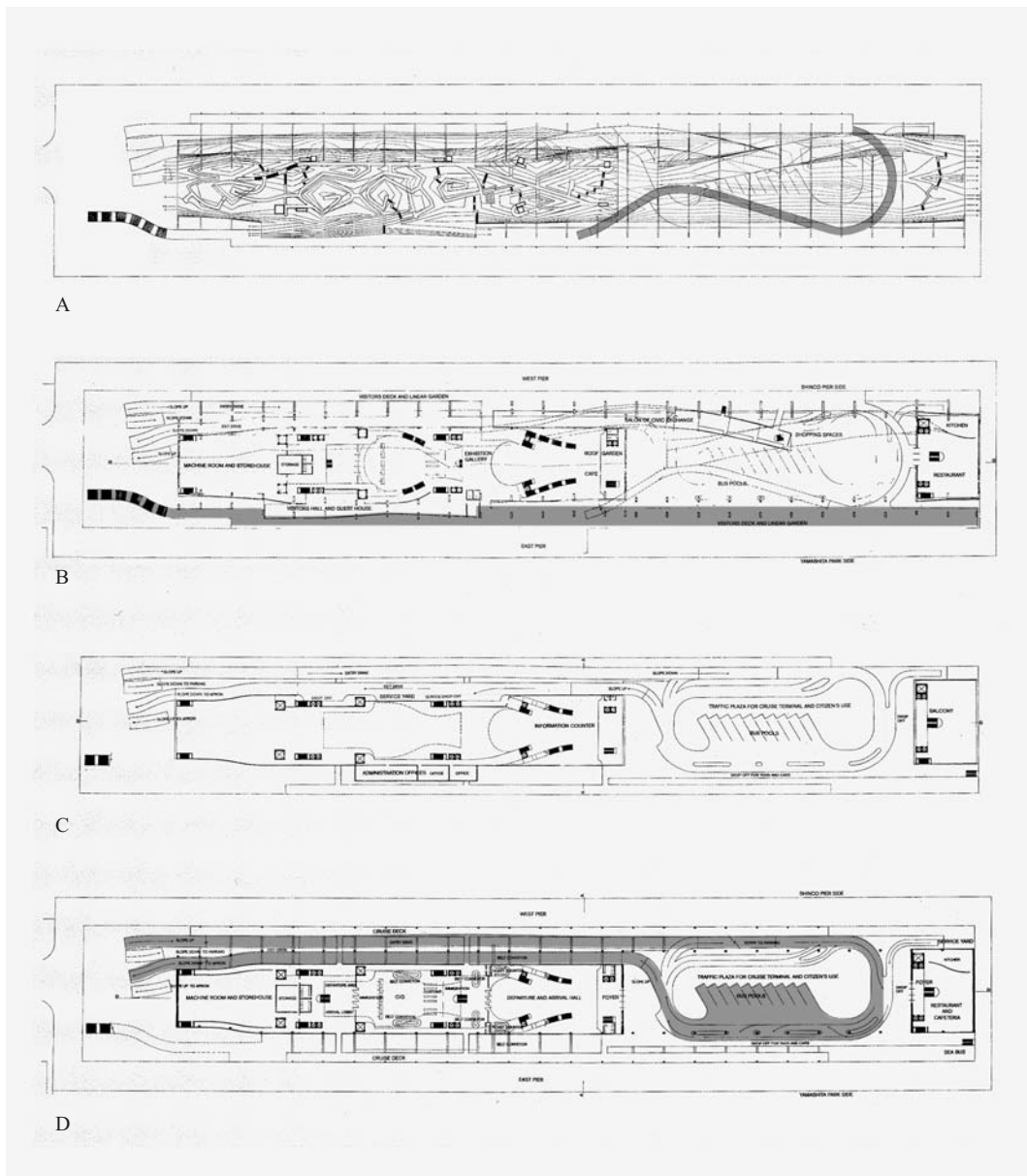


Abb. 554: Jesse Reiser und Nanako Umemoto, Yokohama International Port Terminal, Japan, Entwurf 1994. Dachaufsicht (A), Grundrisse zweites Obergeschoss (B), Zwischengeschoss (C) und erstes Obergeschoss (D), Computerzeichnungen (graue Unterlegungen von der Verf.).

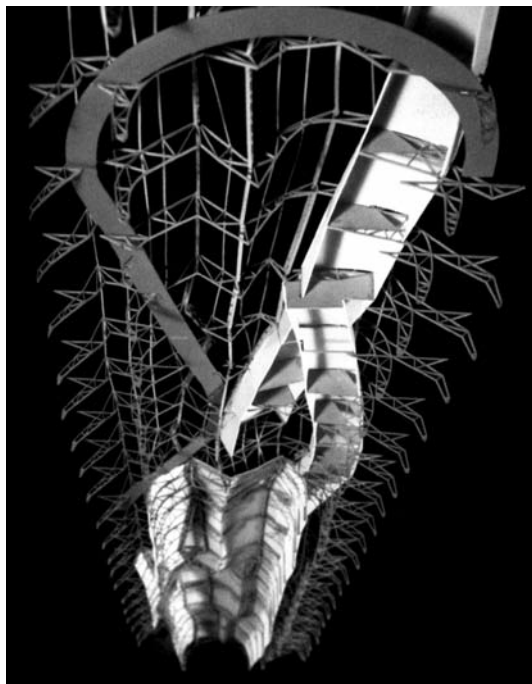


Abb. 555: Jesse Reiser und Nanako Umemoto, Yokohama International Port Terminal, Japan, Entwurf 1994. Lasergeschnittenes Präsentationsmodell der Dachstruktur (Ausschnitt), Südwestseite, Untersicht, Fotografie.

Abb. 556: Nordostseite, Untersicht, Fotografie.

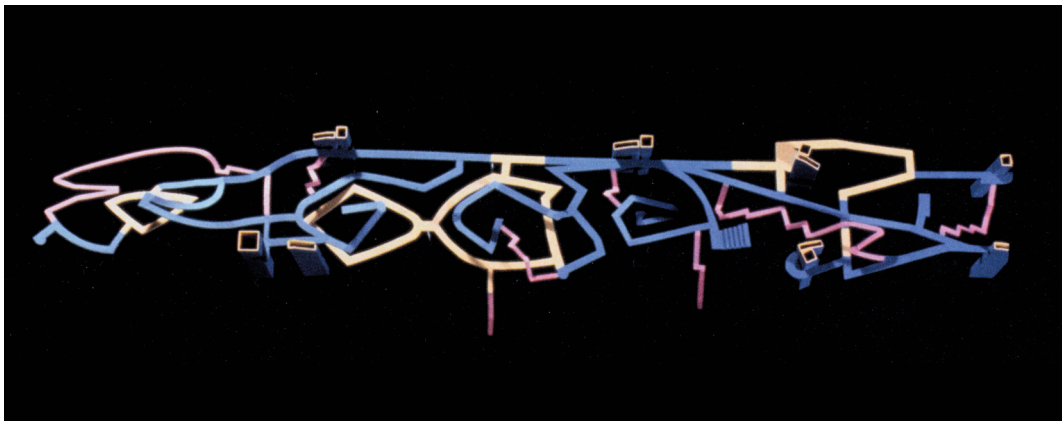
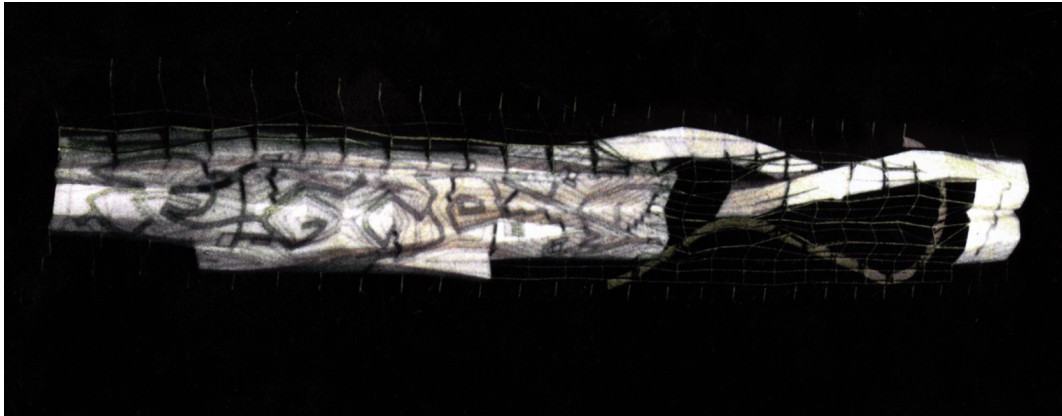


Abb. 557: Jesse Reiser und Nanako Umemoto, Yokohama International Port Terminal, Japan, Entwurf 1994. Modell der Dachstruktur mit projizierten Verkehrswegen auf der Dachfläche, Aufsicht, Fotografie.

Abb. 558: Modell der Verkehrswege, Aufsicht, Fotografie.

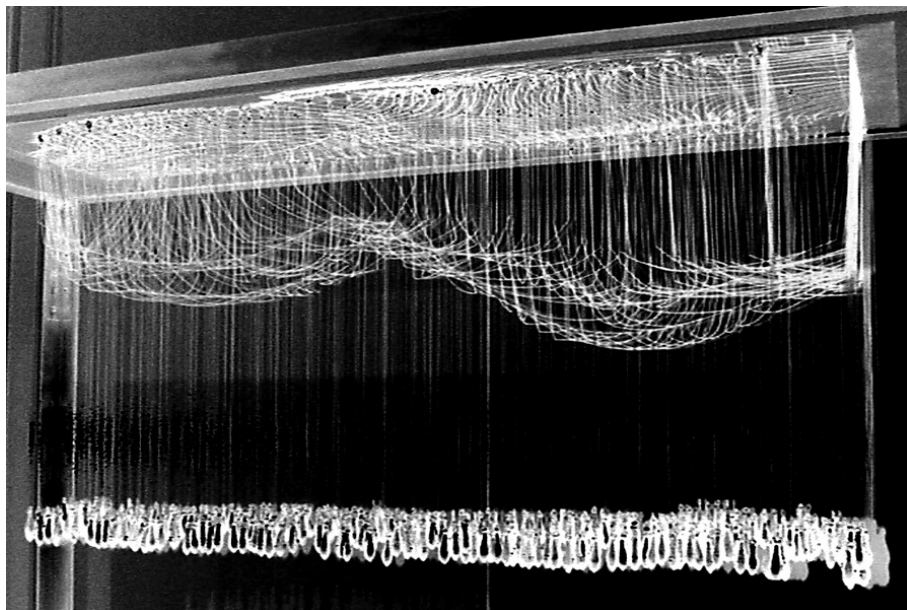
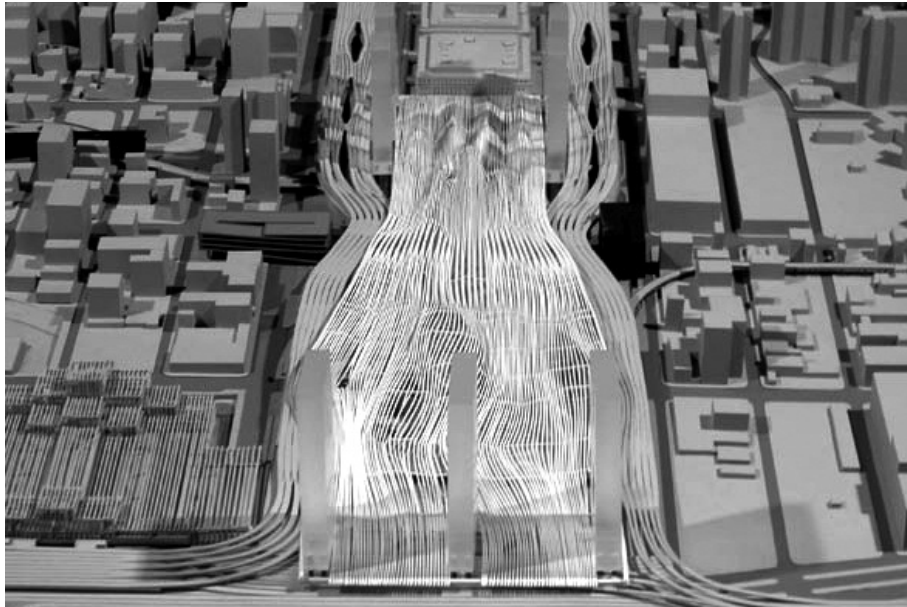


Abb. 559: Jesse Reiser und Nanako Umemoto, West Side Convergence, IFCCA Competition for Manhattan's West Side, New York, USA, 1999. Präsentationsmodell aus Lindenholz, Polystyrol, Sperrholz. Fotografie.

Abb. 560: Jesse Reiser und Nanako Umemoto, Catenary Experiments, 1998. Hängemodell, Fotografie.



Abb. 561: Farshid Moussavi und Alejandro Zaera-Polo/FOA, Yokohama International Port Terminal, Japan, 1994–2002. Wettbewerbsentwurf, 3D-Modell mit Umgebung, Perspektive, Montage aus Computerrendering und Fotografie.

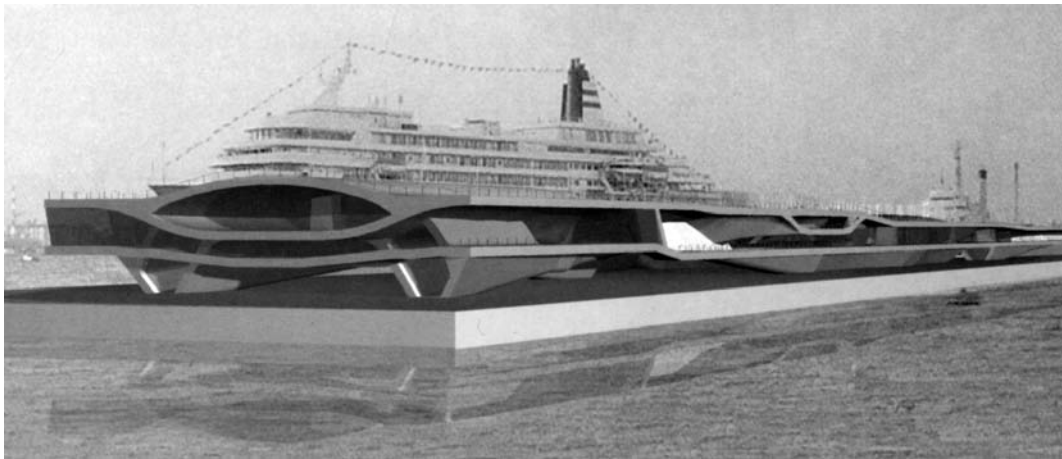


Abb. 562: Farshid Moussavi und Alejandro Zaera-Polo/FOA, Yokohama International Port Terminal, Japan, 1994–2002. Überarbeiteter Entwurf nach dem Wettbewerb, Vogelperspektive, Nordwestseite, Montage aus Computerrendering und Fotografie.

Abb. 563: Überarbeiteter Entwurf nach dem Wettbewerb, Perspektive, Nordseite, Montage aus Computerrendering und Fotografie.

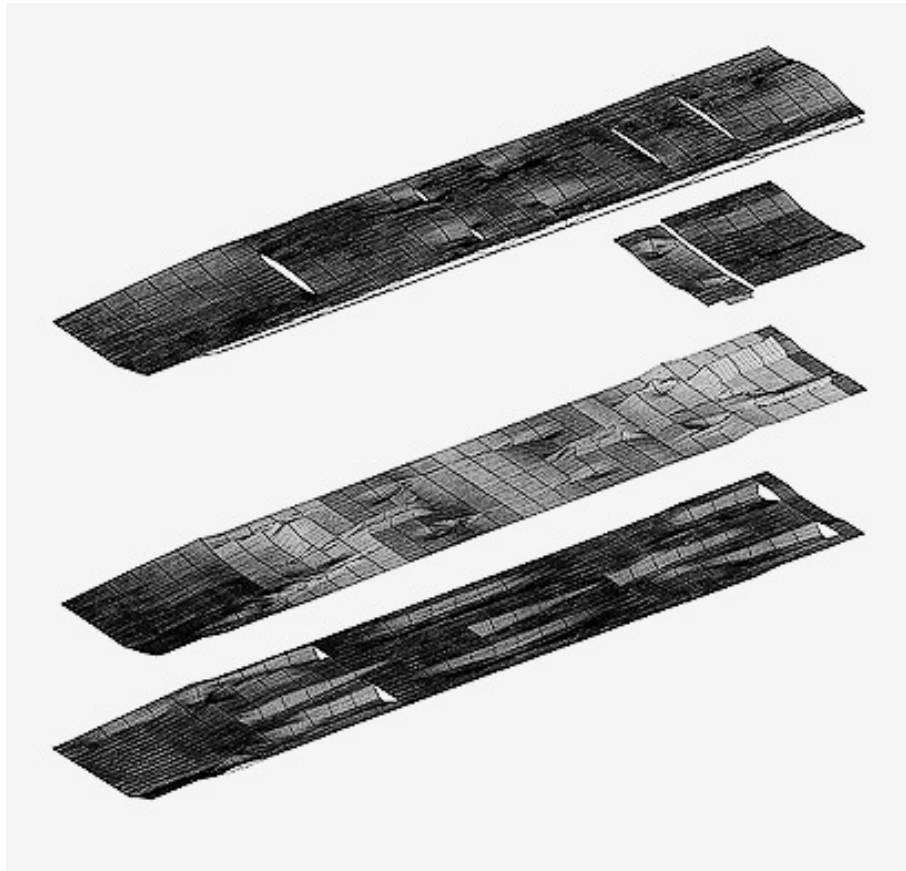


Abb. 564: Farshid Moussavi und Alejandro Zaera-Polo/FOA, Yokohama International Port Terminal, Japan, 1994–2002. Gefaltete Geschossebenen des Wettbewerbsentwurfes, Axonometrie, Computerzeichnung.



Abb. 565: Farshid Moussavi und Alejandro Zaera-Polo/FOA, Yokohama International Port Terminal, Japan, 1994–2002. Studienmodelle aus Gips, Fotografie.

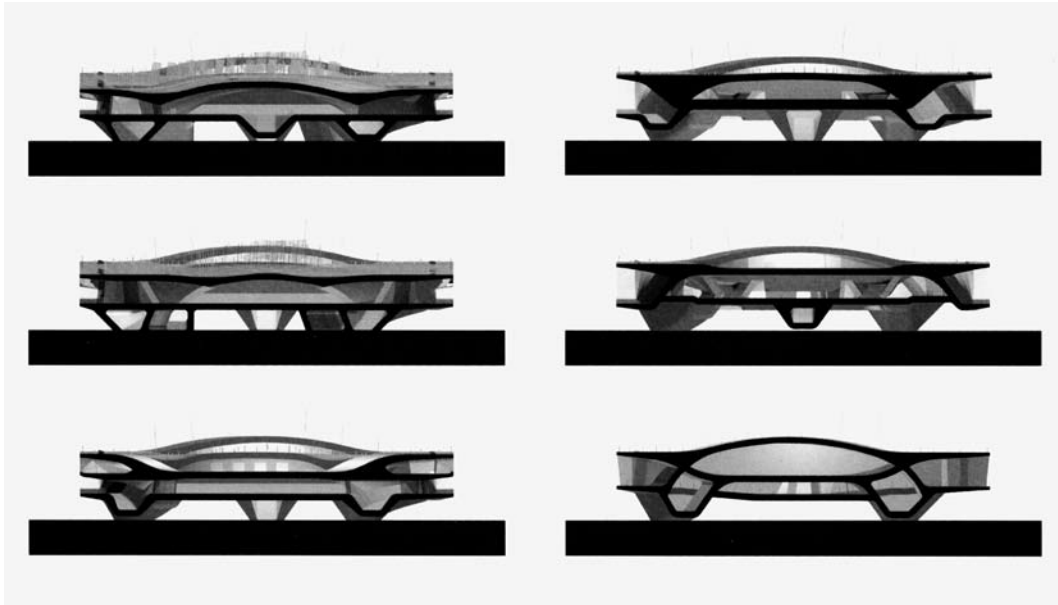


Abb. 566: Farshid Moussavi und Alejandro Zaera-Polo/FOA, Yokohama International Port Terminal, Japan, 1994–2002. Erster überarbeiteter Entwurf nach dem Wettbewerb, Längsschnitt, Computerrendering.

Abb. 567: Querschnitte, Computerrenderings.

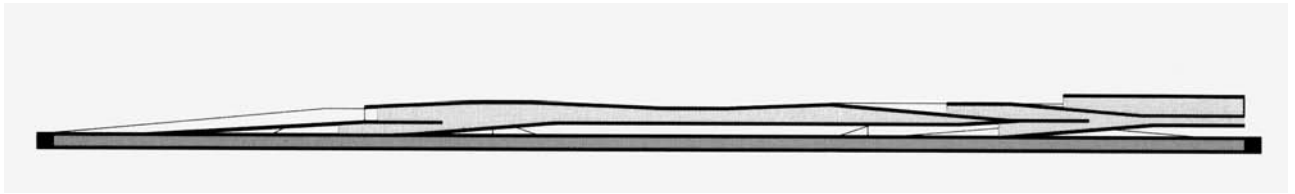
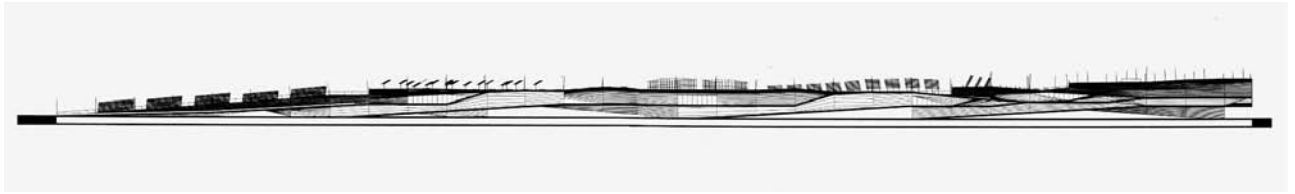


Abb. 568: Farshid Moussavi und Alejandro Zaera-Polo/FOA, Yokohama International Port Terminal, Japan, 1994–2002. Wettbewerbsentwurf, Längsschnitt, Computerzeichnung.
Abb. 569: Schematischer Längsschnitt, Computerzeichnung.

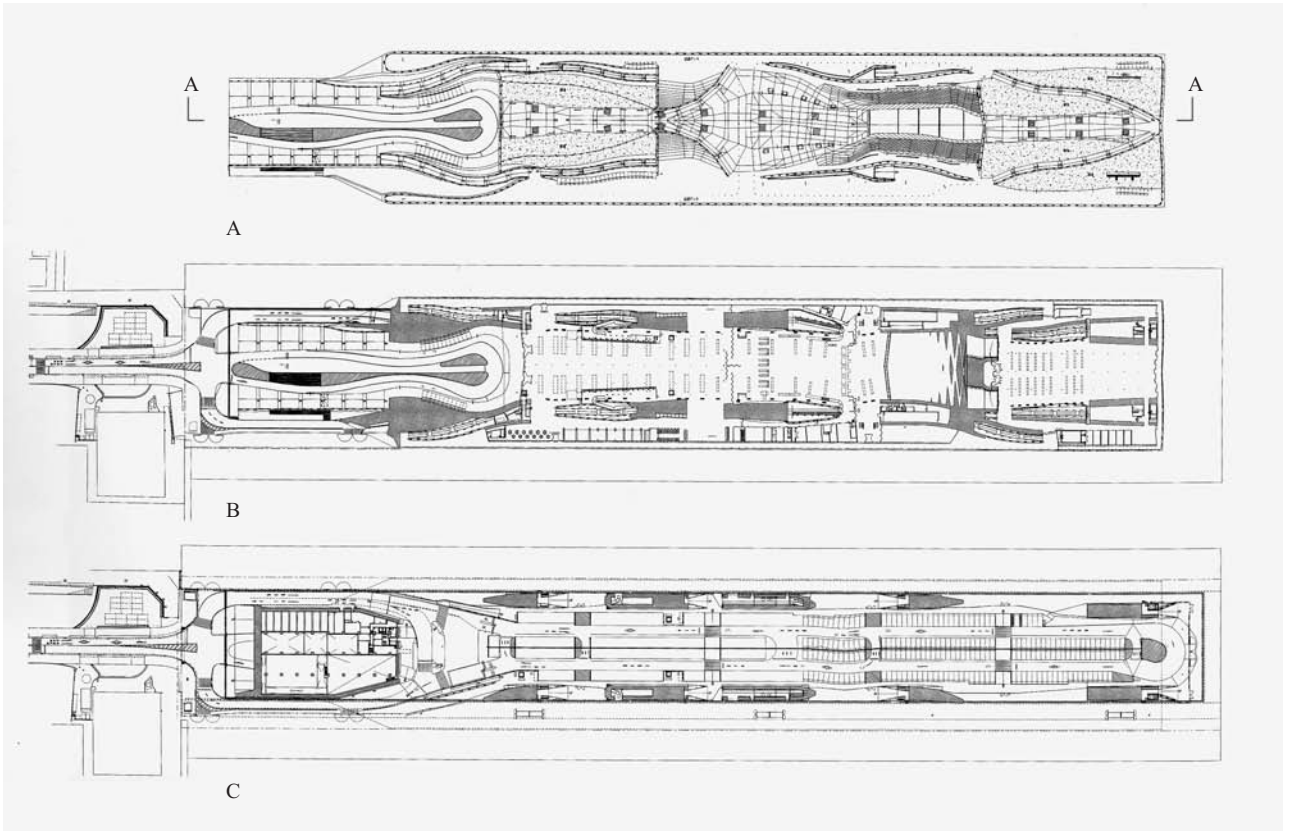
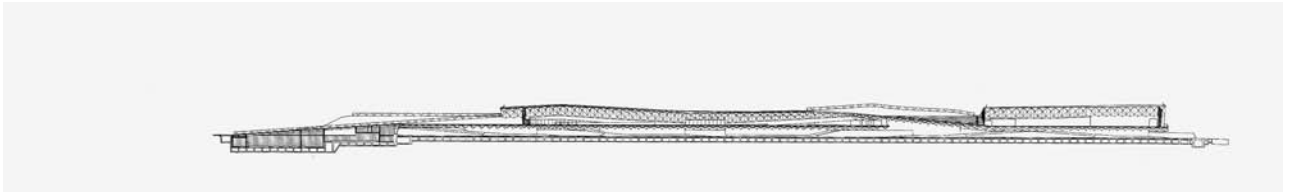


Abb. 570: Farshid Moussavi und Alejandro Zaera-Polo/FOA, Yokohama International Port Terminal, Japan, 1994–2002. Ausführungsentwurf, Längsschnitt A–A, Computerzeichnung.
Abb. 571: Ausführungsentwurf, Dachaufsicht (A), Grundrisse Terminalebene (B) und Pierebene (C), Computerzeichnungen.

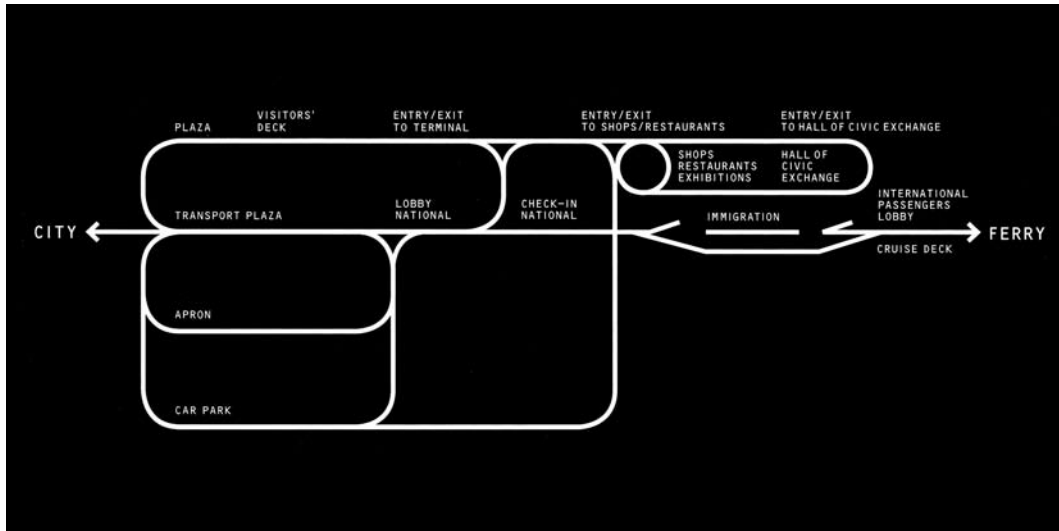


Abb. 572: Farshid Moussavi und Alejandro Zaera-Polo/FOA, Yokohama International Port Terminal, Japan, 1994–2002. Wettbewerbsentwurf, Zirkulationsschema, Längsschnitt, Computerzeichnung.

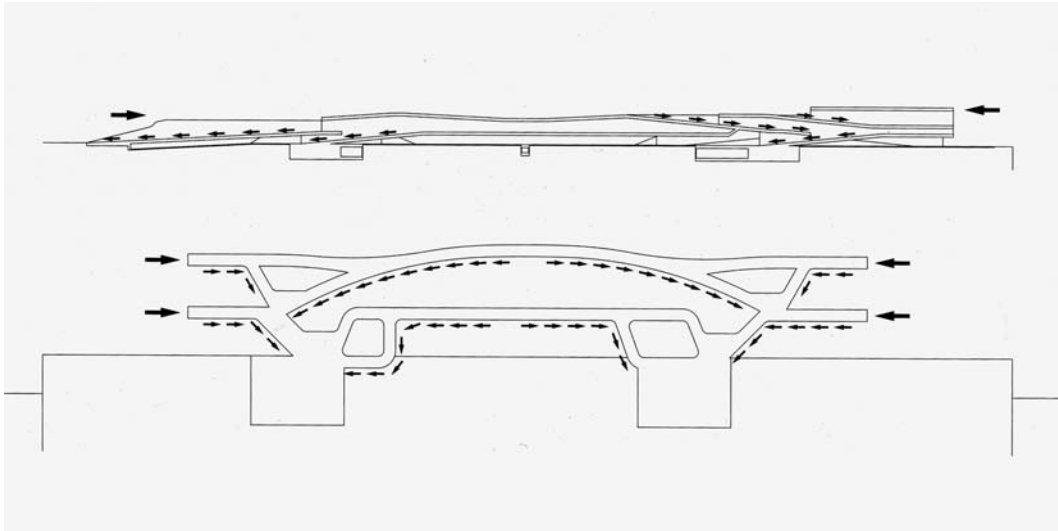


Abb. 573: Farshid Moussavi und Alejandro Zaera-Polo/FOA, Yokohama International Port Terminal, Japan, 1994–2002. Schalenstruktur des Wettbewerbsentwurfes, Verlauf der Horizontalkräfte durch die Oberfläche, Längs- und Querschnitt in unterschiedlichen Maßstäben, Computerzeichnungen.

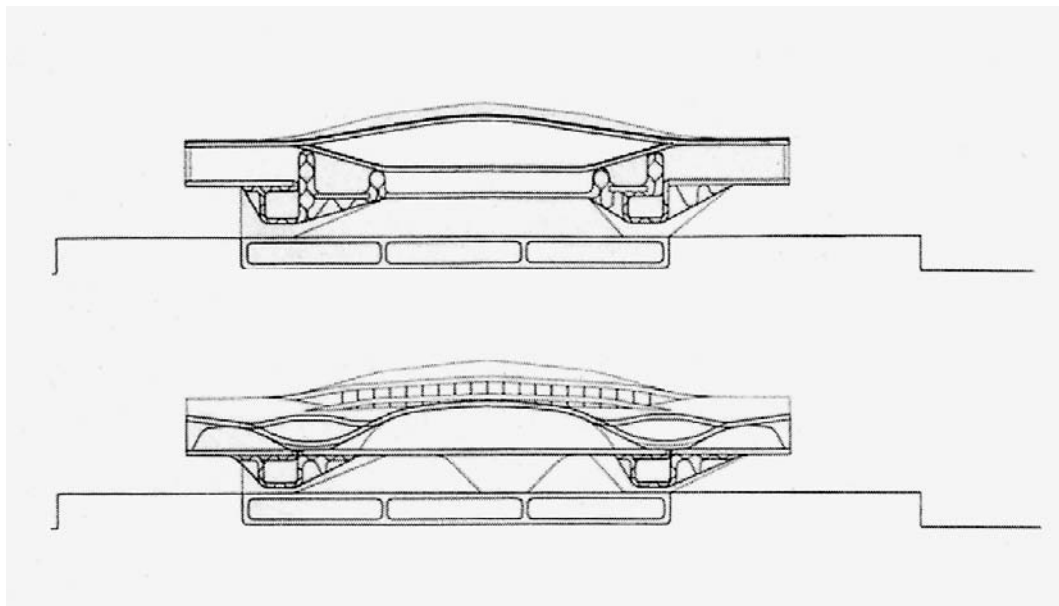
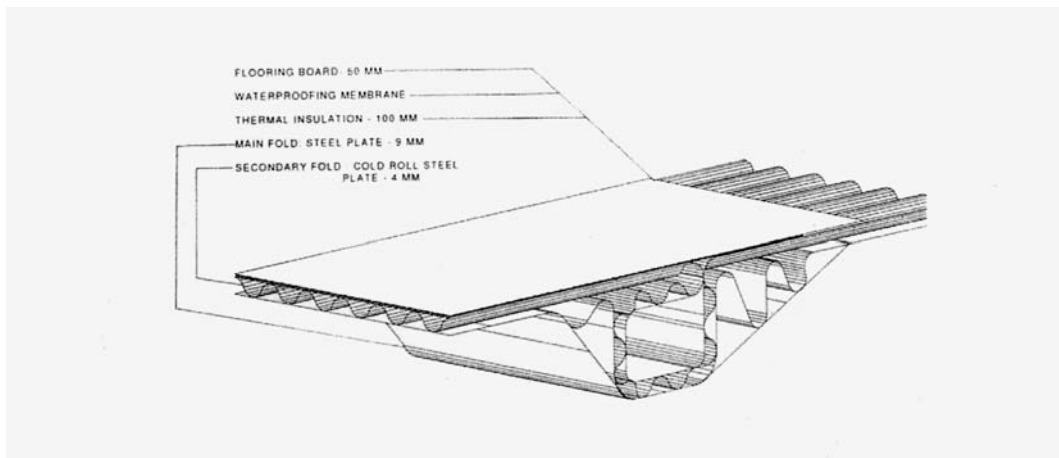


Abb. 574: Farshid Moussavi und Alejandro Zaera-Polo/FOA, Yokohama International Port Terminal, Japan, 1994–2002. Konstruktion des Wettbewerbsentwurfes aus gefalteten Stahlplatten, baukonstruktives Detail, Axonometrie, Computerzeichnung.
 Abb. 575: Querschnitte, Computerzeichnungen.

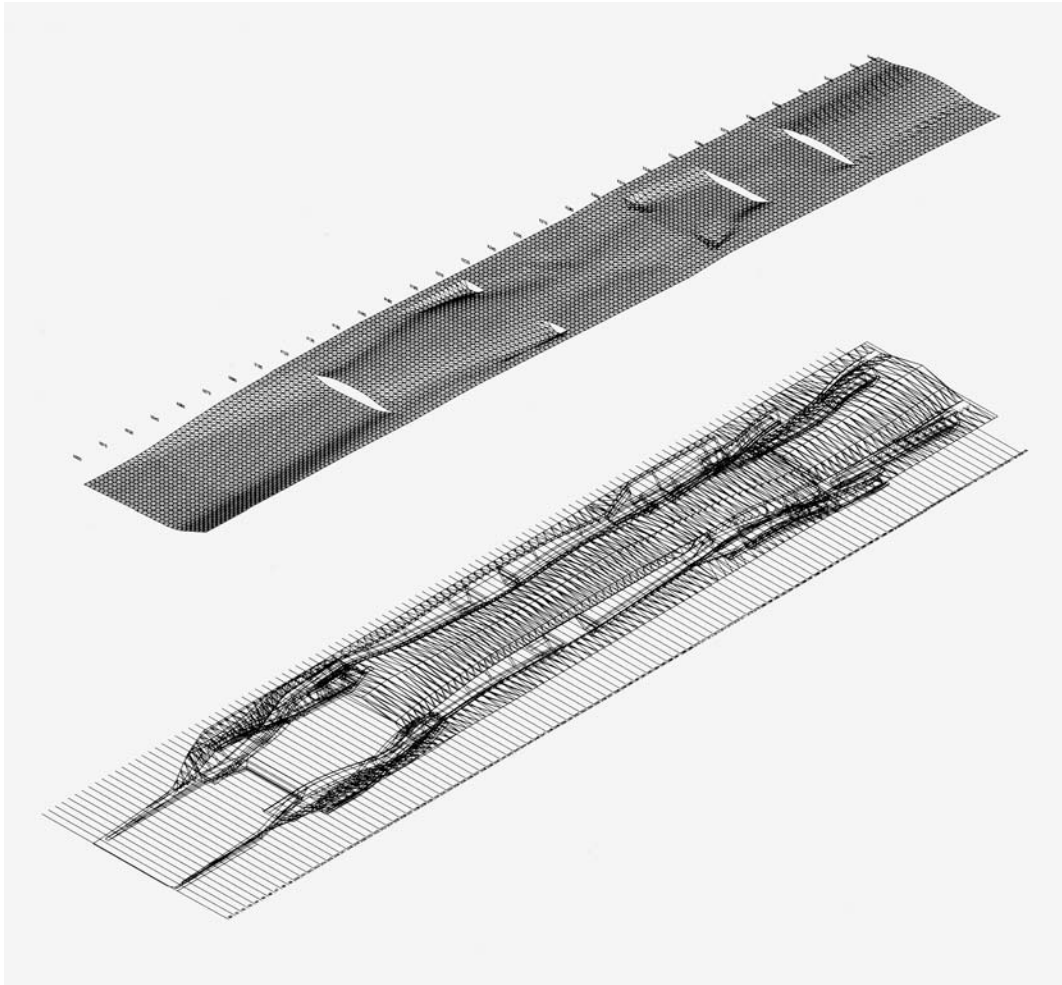


Abb. 576: Farshid Moussavi und Alejandro Zaera-Polo/FOA, Yokohama International Port Terminal, Japan, 1994–2002. Schalenstruktur des Wettbewerbsentwurfes (A), Bidirektionale Träger-Deckenfalten-Struktur des Ausführungsentwurfes (B), Axonometrie, Computerzeichnung.



Abb. 577: Farshid Moussavi und Alejandro Zaera-Polo/FOA, Yokohama International Port Terminal, Japan, 1994–2002. Hohlkastenträger als Primärstruktur (unten), Faltendecke als Sekundärstruktur (oben). Axonometrie, Computerzeichnung.

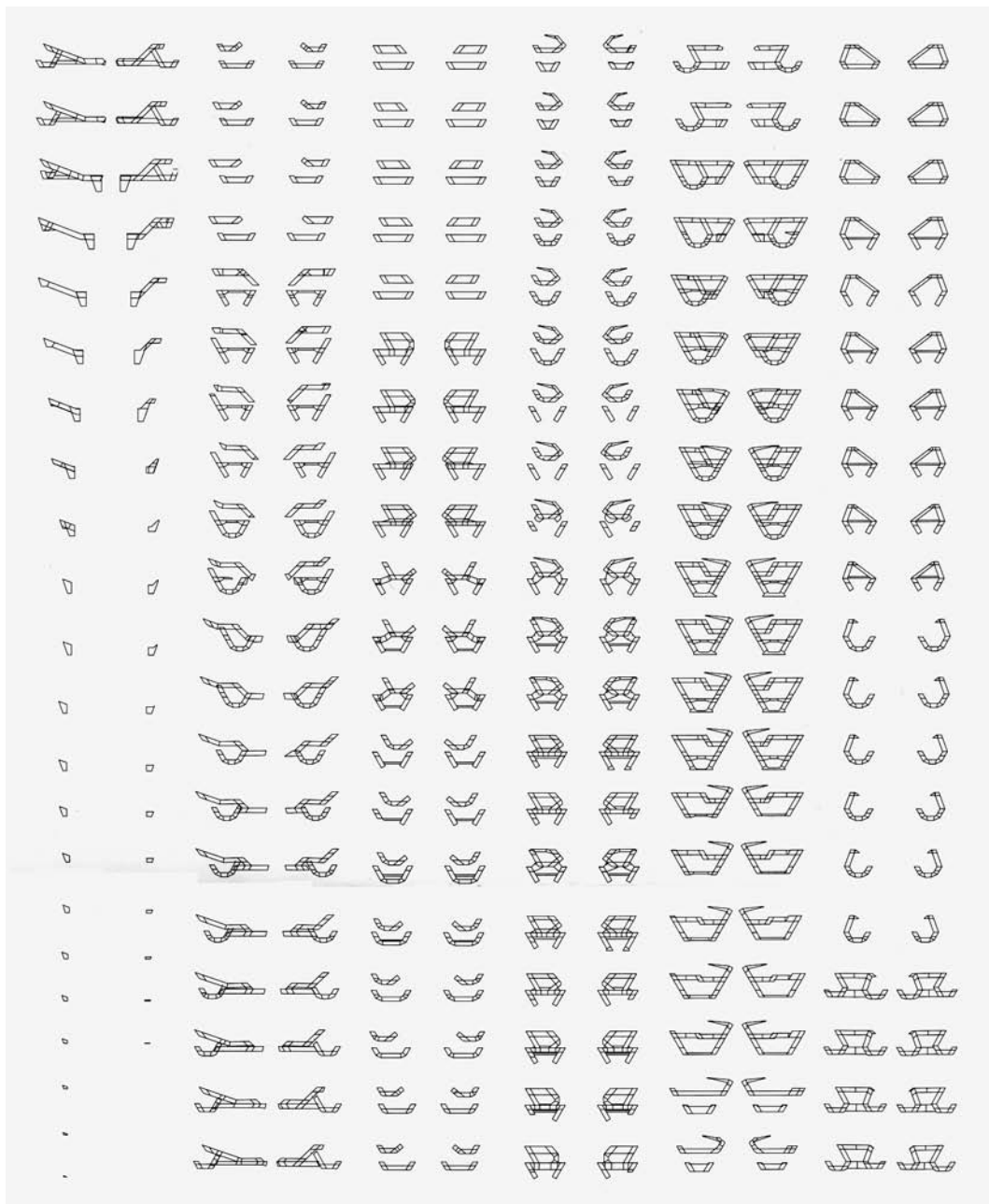


Abb. 578: Farshid Moussavi und Alejandro Zaera-Polo/FOA, Yokohama International Port Terminal, Japan, 1994–2002. Trägerquerschnitte, Computerzeichnung.

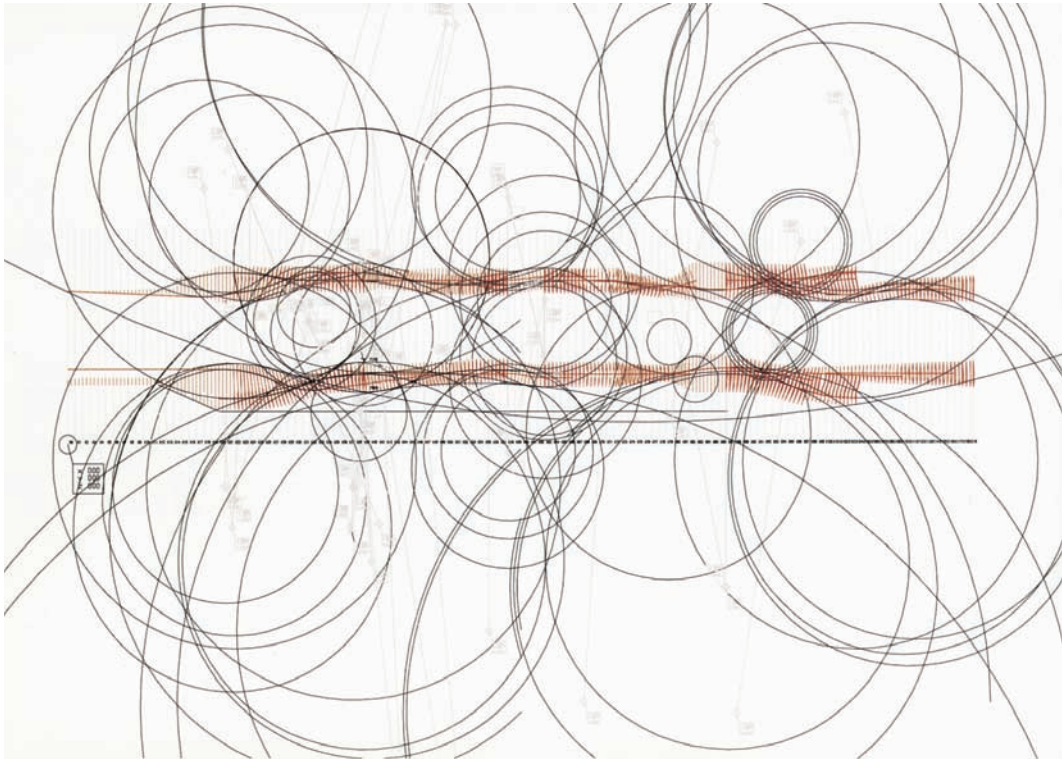


Abb. 579: Farshid Moussavi und Alejandro Zaera-Polo/FOA, Yokohama International Port Terminal, Japan, 1994–2002. Bestimmung der Trägergeometrie, Grundriss, Computerzeichnung.

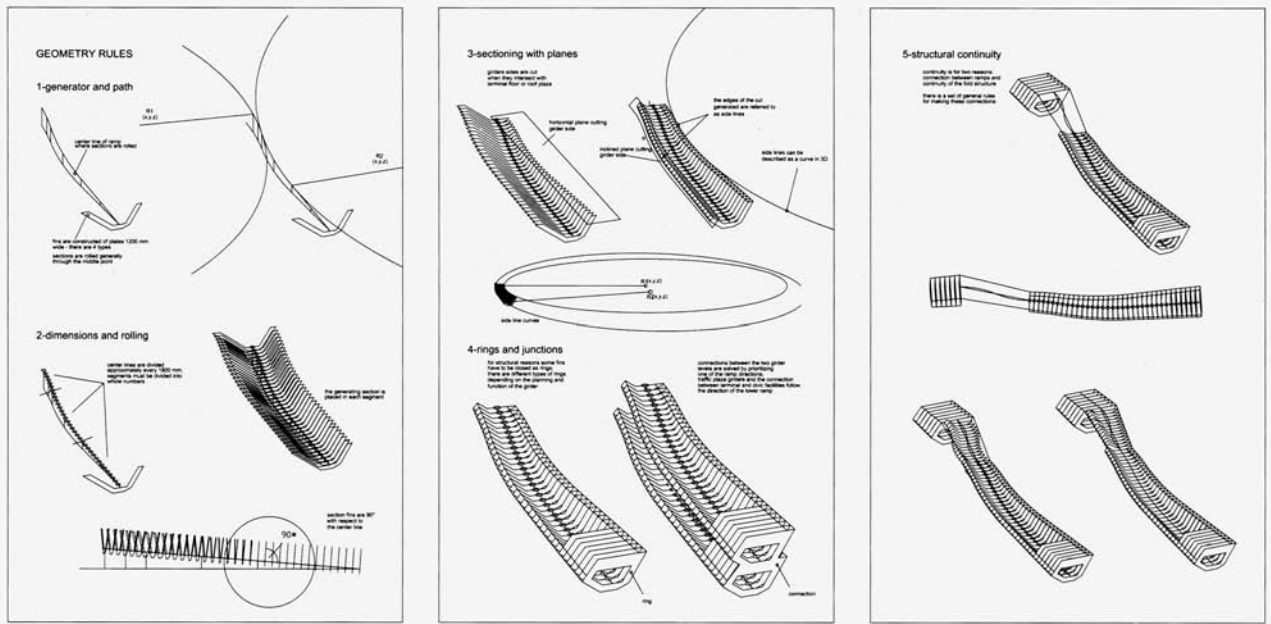


Abb. 580: Farshid Moussavi und Alejandro Zaera-Polo/FOA, Yokohama International Port Terminal, Japan, 1994–2002. Fünf Regeln zur Bestimmung der Trägergeometrie, Computerzeichnungen.



Abb. 581: Farshid Moussavi und Alejandro Zaera-Polo/FOA, Yokohama International Port Terminal, Japan, 1994–2002. Zusammensetzung der Hohlkasten-Trägerelemente, Fotografie.
Abb. 582: Konstruktion der Hohlkastenträger, Fotografie.

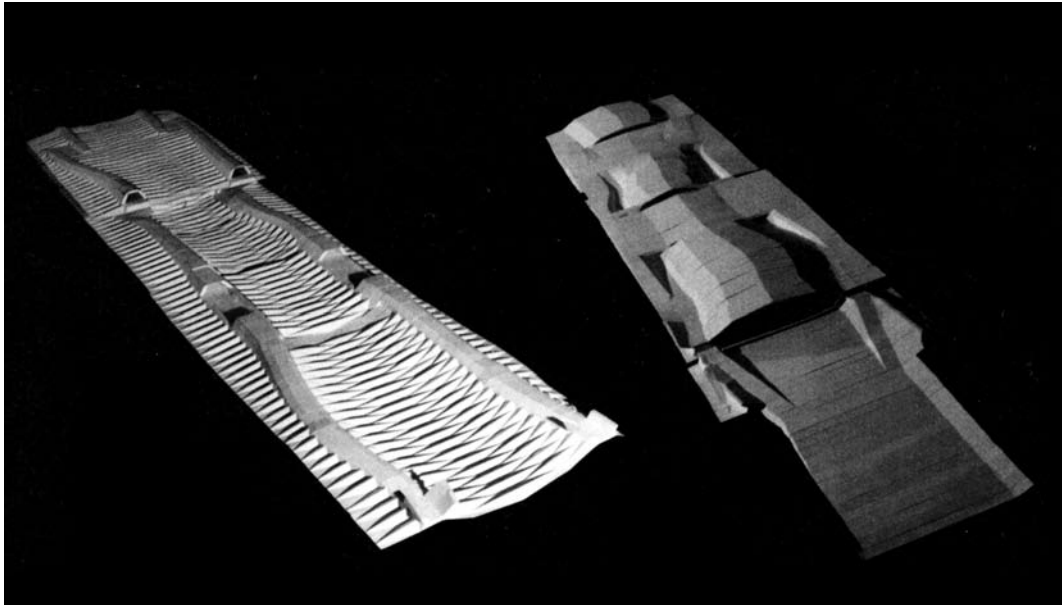


Abb. 583: Farshid Moussavi und Alejandro Zaera-Polo/FOA, Yokohama International Port Terminal, Japan, 1994–2002. Modellstudie der Deckenfaltung, Unter- und Oberseite der Dachebene, Fotografie.

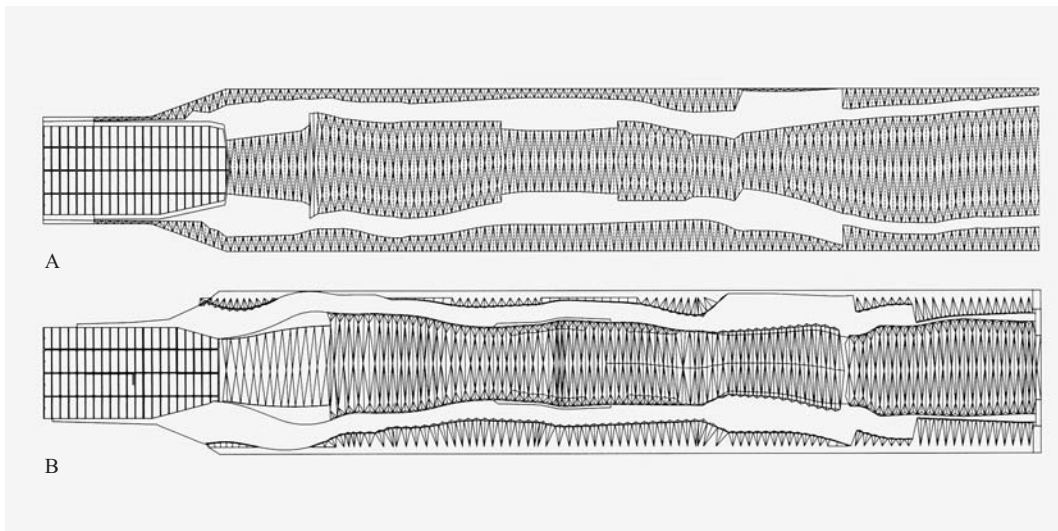
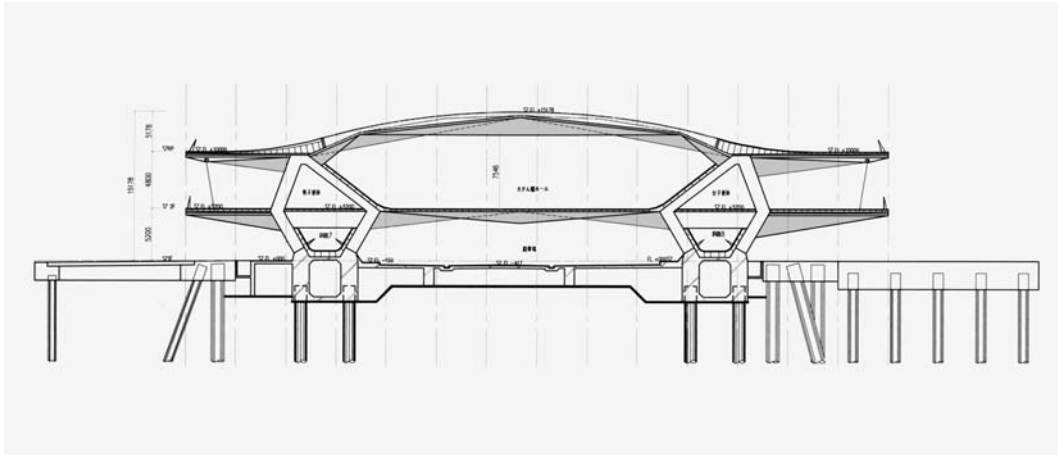


Abb. 584: Farshid Moussavi und Alejandro Zaera-Polo/FOA, Yokohama International Port Terminal, Japan, 1994–2002. Ausführungsentwurf, beispielhafter Querschnitt (graue Unterlegungen von der Verf.), Computerzeichnung.

Abb. 585: Deckenaufsicht Terminalebene, Bestimmung der Faltengeometrie, parallelverlaufendes Raster (A), topologisches Raster (B), Computerzeichnungen.

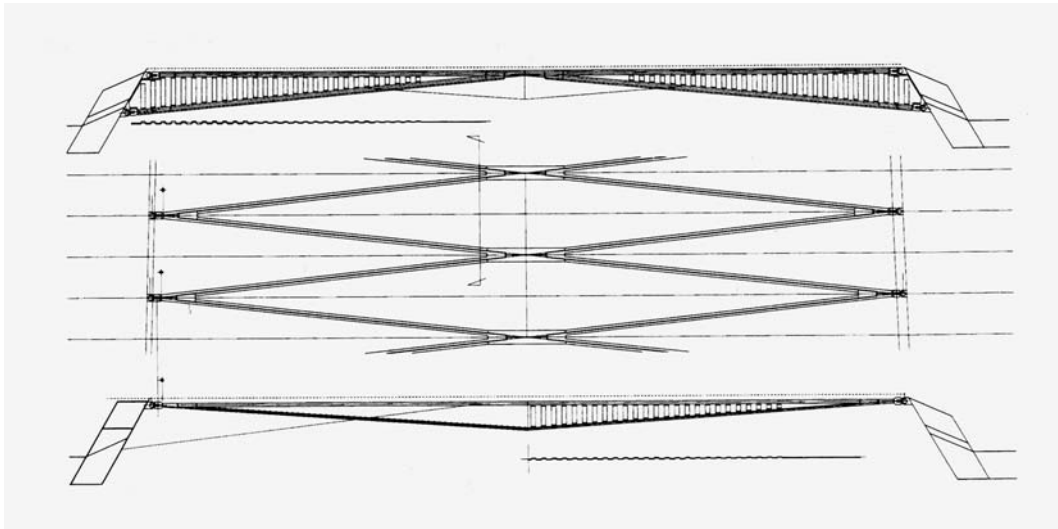
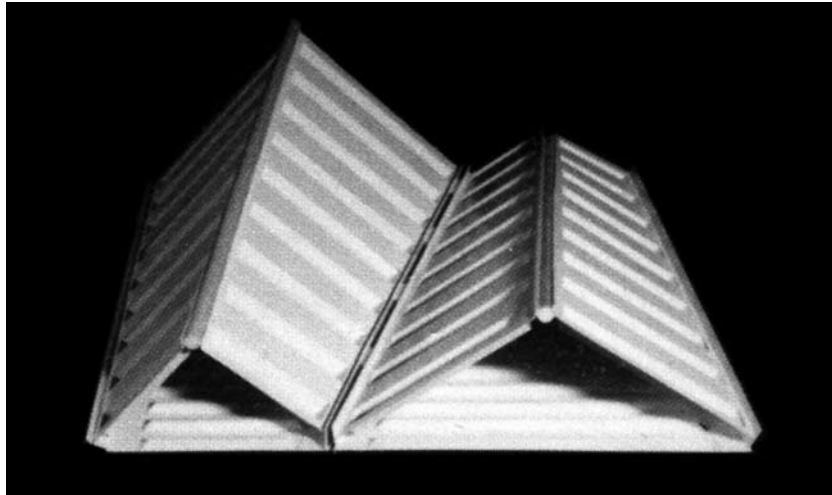


Abb. 586: Farshid Moussavi und Alejandro Zaera-Polo/FOA, Yokohama International Port Terminal, Japan, 1994–2002. Prototyp der ursprünglich vorgesehenen Deckenplatten mit gewellter Oberfläche, Fotografie.

Abb. 587: Ansicht und Grundriss der ursprünglich vorgesehenen Deckenplatten, Computerzeichnung.

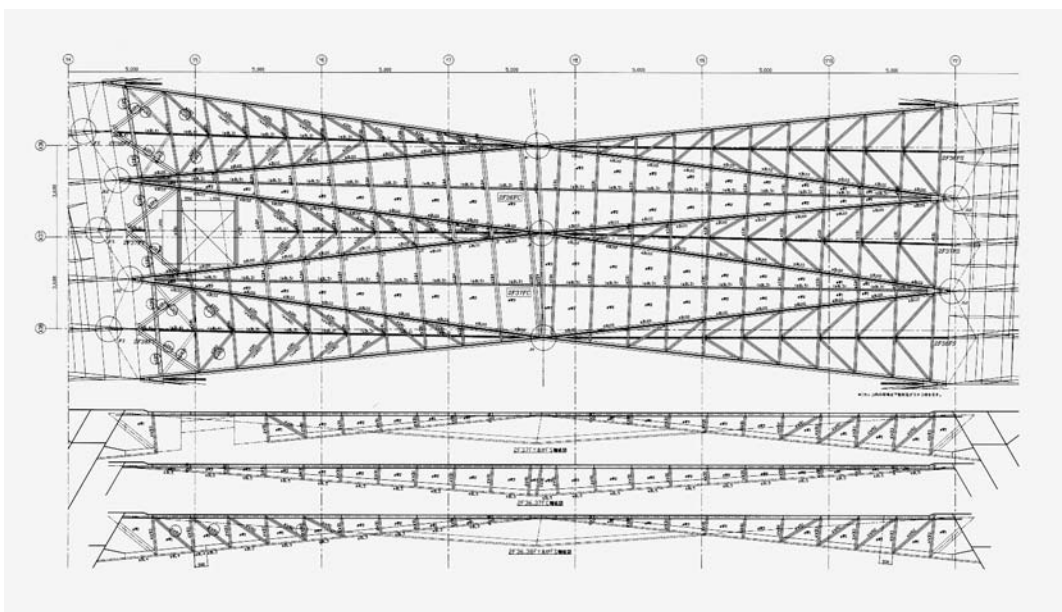


Abb. 588: Farshid Moussavi und Alejandro Zaera-Polo/FOA, Yokohama International Port Terminal, Japan, 1994–2002. Deckenfachwerk der Dachebene, Fotografie.
Abb. 589: Grundriss und Ansichten der Decken-Fachwerkrahmen, Computerzeichnungen.



Abb. 590: Farshid Moussavi und Alejandro Zaera-Polo/FOA, Yokohama International Port Terminal, Japan, 1994–2002. Parkebene, Fotografie.
Abb. 591: Auskragung der Längsseite des Gebäudes mit Deckenfaltung, Fotografie.

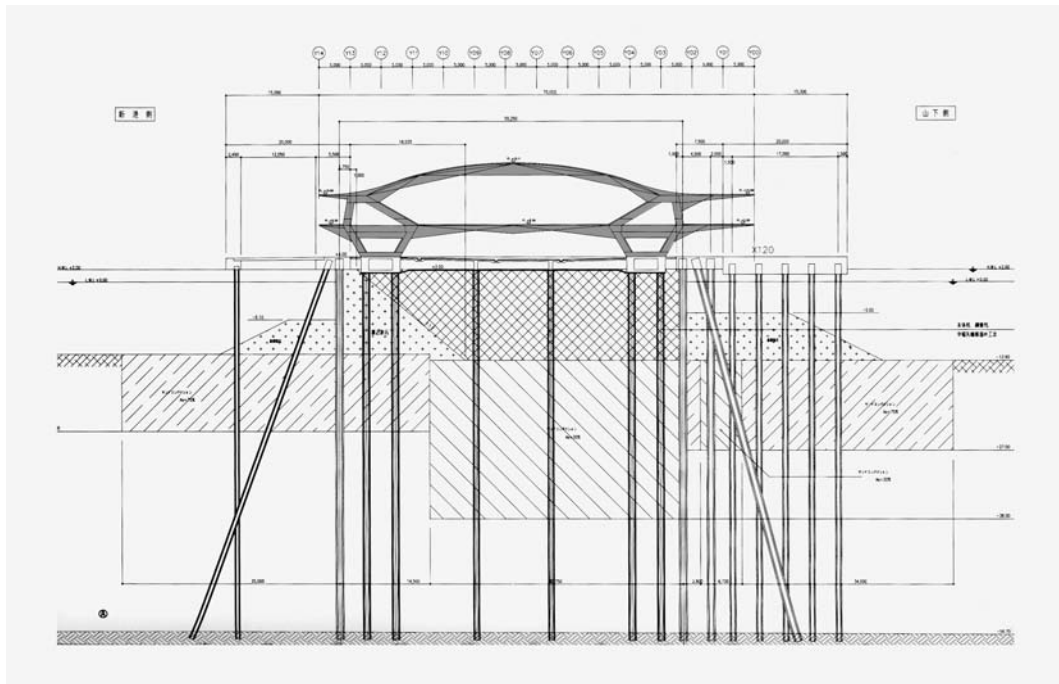


Abb. 592: Farshid Moussavi und Alejandro Zaera-Polo/FOA, Yokohama International Port Terminal, Japan, 1994–2002. Gründung, Querschnitt (graue Unterlegung von der Verf.), Computerzeichnung.

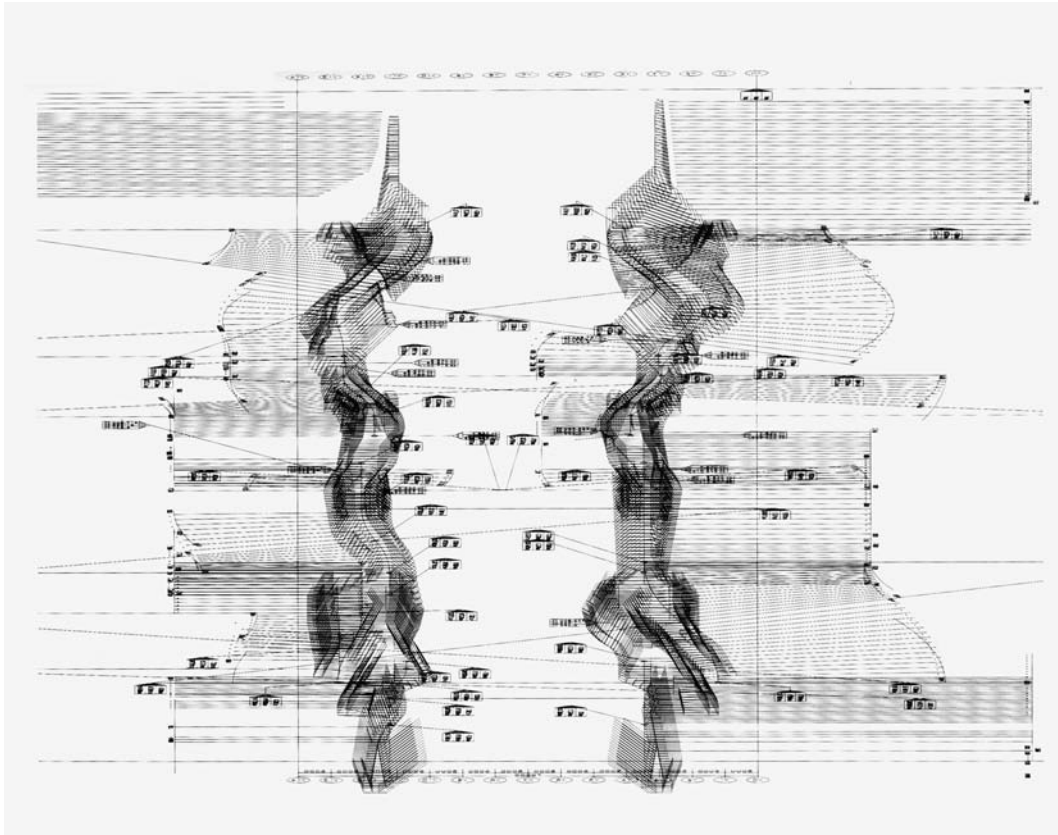


Abb. 593: Farshid Moussavi und Alejandro Zaera-Polo/FOA, Yokohama International Port Terminal, Japan, 1994–2002. Trägergeometrie, in Querschnitte zerlegt, Axonometrie, Computerzeichnung.



Abb. 594: Farshid Moussavi und Alejandro Zaera-Polo/FOA, Yokohama International Port Terminal, Japan, 1994–2002. Blick nach Nordosten, Fotografie.
Abb. 595: Blick nach Nordosten auf die Ankunfts- und Abfahrtschale, Fotografie.



Abb. 596: Farshid Moussavi und Alejandro Zaera-Polo/FOA, Yokohama International Port Terminal, Japan, 1994–2002. Holzunterkonstruktion für Dielenboden, Fotografie.

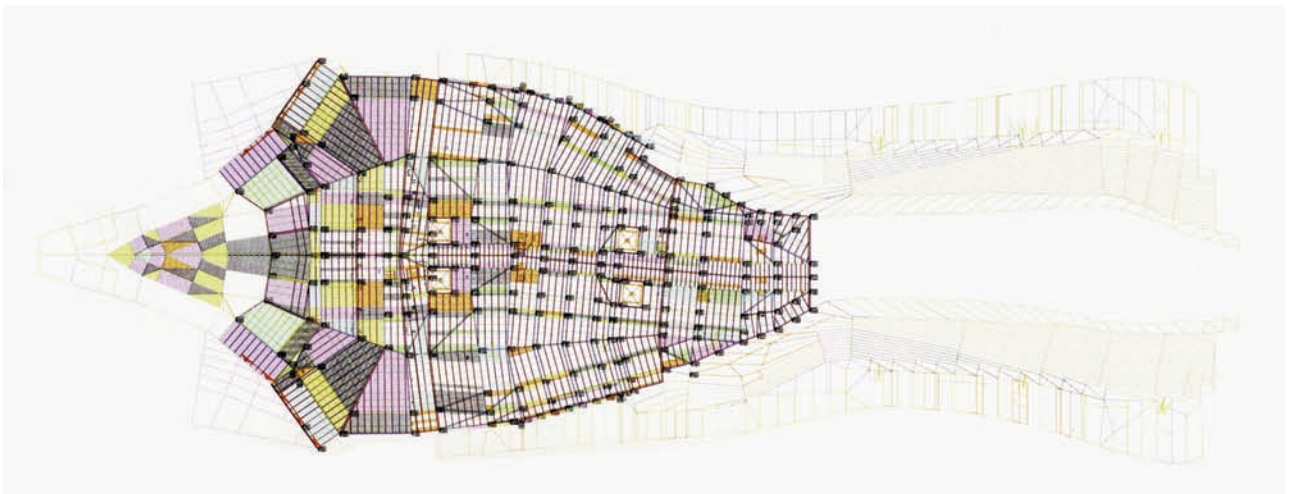
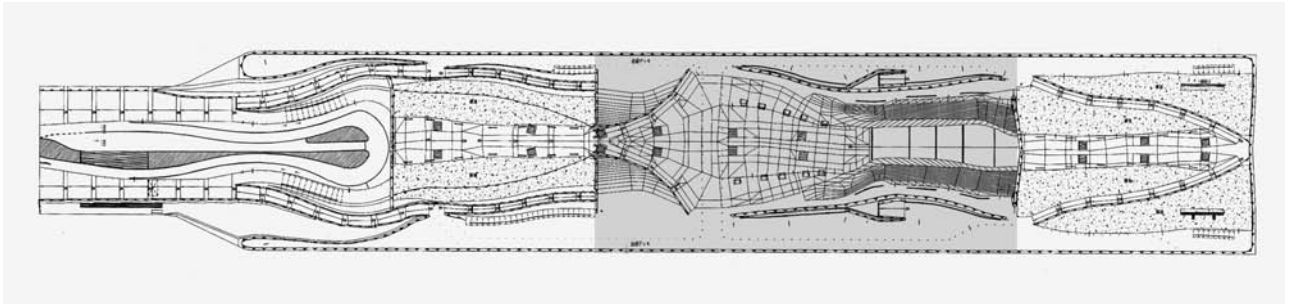


Abb. 597: Farshid Moussavi und Alejandro Zaera-Polo/FOA, Yokohama International Port Terminal, Japan, 1994–2002. Dachaufsicht (graue Unterlegung von der Verf.), Computerzeichnung.
Abb. 598: Holzdeckmuster des mittleren Bereiches (graue Unterlegung im Grundriss oben), Computerzeichnung.



Abb. 599: Farshid Moussavi und Alejandro Zaera-Polo/FOA, Yokohama International Port Terminal, Japan, 1994–2002. Symmetrische Holzdeckung, Fotografie.



Abb. 600: Farshid Moussavi und Alejandro Zaera-Polo/FOA, Yokohama International Port Terminal, Japan, 1994–2002. Auskragung der Dachebene am Anfang des Piers, Fotografie.
Abb. 601: Auditorium auf der Dachebene am Ende des Piers, Fotografie.



Abb. 602: Farshid Moussavi und Alejandro Zaera-Polo/FOA, Yokohama International Port Terminal, Japan, 1994–2002. Auffaltung der Bodenfläche am Anfang des Piers, Fotografie.



Abb. 603: Farshid Moussavi und Alejandro Zaera-Polo/FOA, Yokohama International Port Terminal, Japan, 1994–2002. Vordere Rampe zwischen Dach- und Terminalebene, Fotografie.

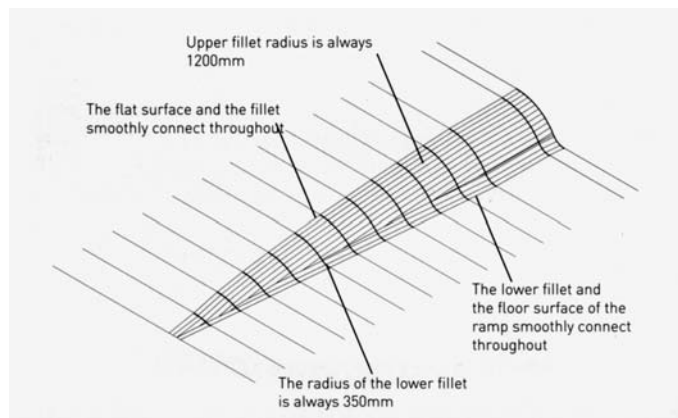
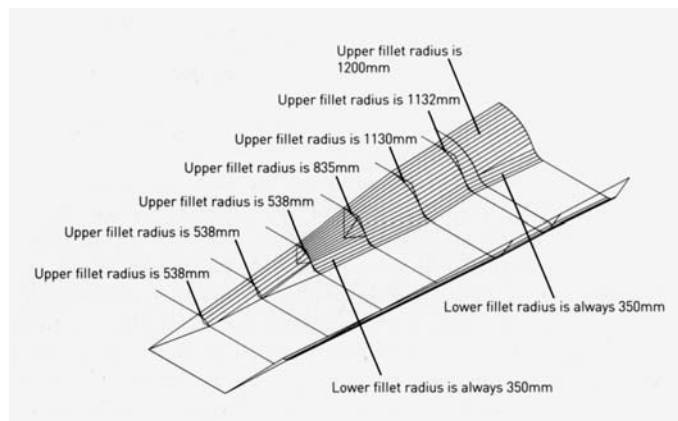
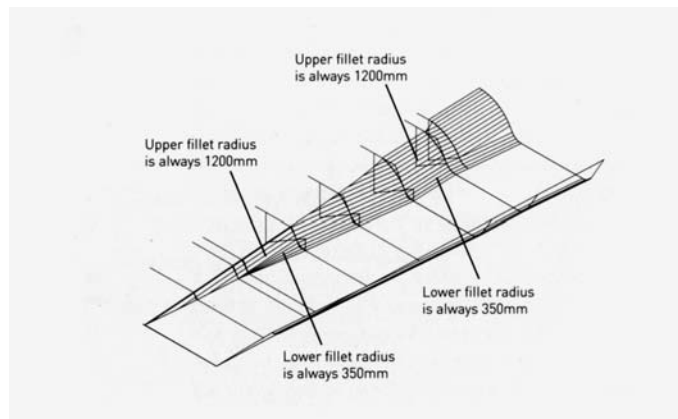


Abb. 604: Farshid Moussavi und Alejandro Zaera-Polo/FOA, Yokohama International Port Terminal, Japan, 1994–2002. Studie zum Teilstück des Holzdecks zwischen Dachebene und Rampe, Variante A, Axonometrie, Computerzeichnung.

Abb. 605: Variante B, Axonometrie, Computerzeichnung.

Abb. 606: Variante C, Axonometrie, Computerzeichnung.

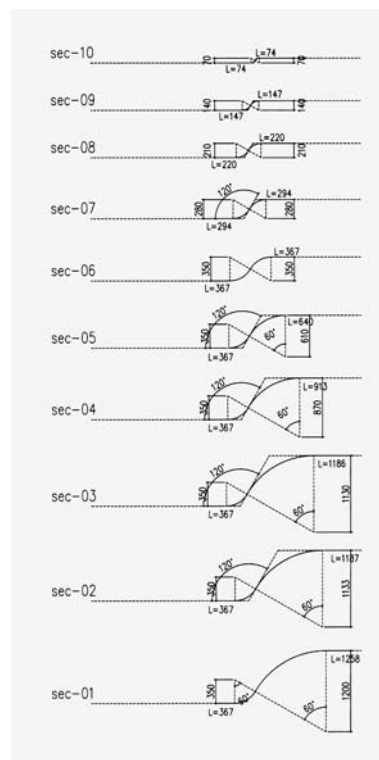
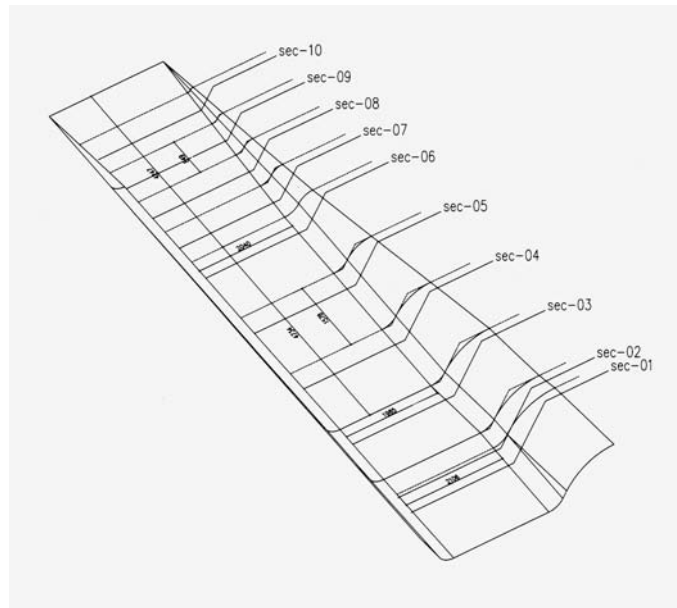


Abb. 607: Farshid Moussavi und Alejandro Zaera-Polo/FOA, Yokohama International Port Terminal, Japan, 1994–2002. Endgültiger Entwurf des Rampenendstückes, Axonometrie, Computerzeichnung.
 Abb. 608: Schematische Querschnitte des Rampenendstückes, Computerzeichnungen.



Abb. 609: Farshid Moussavi und Alejandro Zaera-Polo/FOA, Yokohama International Port Terminal, Japan, 1994–2002. Vorderer Rampeninnenraum, Fotografie.

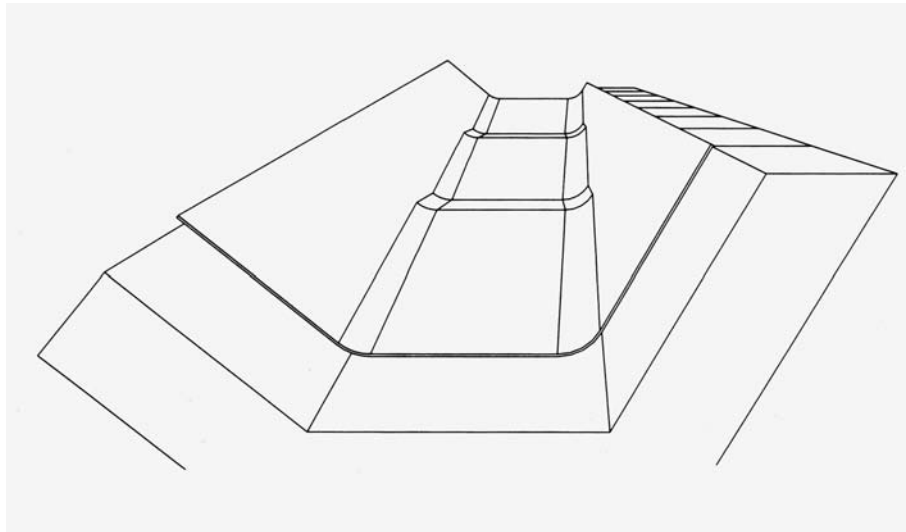


Abb. 610: Farshid Moussavi und Alejandro Zaera-Polo/FOA, Yokohama International Port Terminal, Japan, 1994–2002. Hinterer Rampeninnenraum, Fotografie.
Abb. 611: Rampeninnenraum mit zweifach gefaltetem Holzdeck, Perspektive, Computerzeichnung.

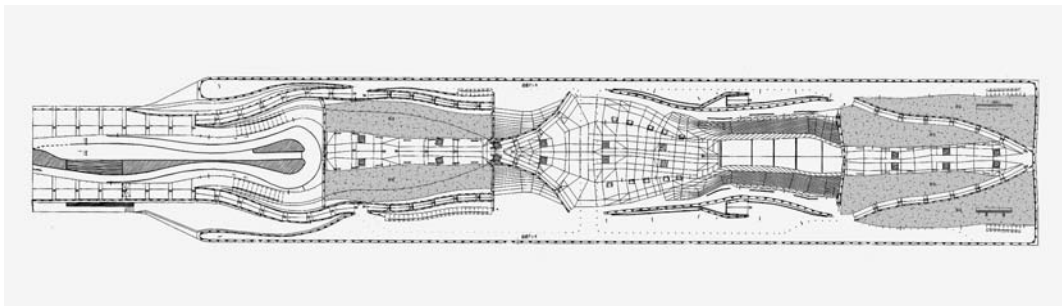


Abb. 612: Farshid Moussavi und Alejandro Zaera-Polo/FOA, Yokohama International Port Terminal, Japan, 1994–2002. Dachebene, Blick nach Nordosten, Rasenfläche am Ende des Piers, Fotografie.
Abb. 613: Dachaufsicht mit hervorgehobenen Rasenflächen (graue Unterlegung von der Verf.), Computerzeichnung.



Abb. 614: Farshid Moussavi und Alejandro Zaera-Polo/FOA, Yokohama International Port Terminal, Japan, 1994–2002. Dachebene, Blick nach Nordosten, Rasenfläche am Ende des Piers, Fotografie.



Abb. 615: Farshid Moussavi und Alejandro Zaera-Polo/FOA, Yokohama International Port Terminal, Japan, 1994–2002. Dachebene, Wetterschutz am Ende des Piers, Südostseite, Fotografie.
Abb. 616: Dachebene, Südostseite, Blick auf Ankunfts- und Abfahrtshalle, Fotografie.

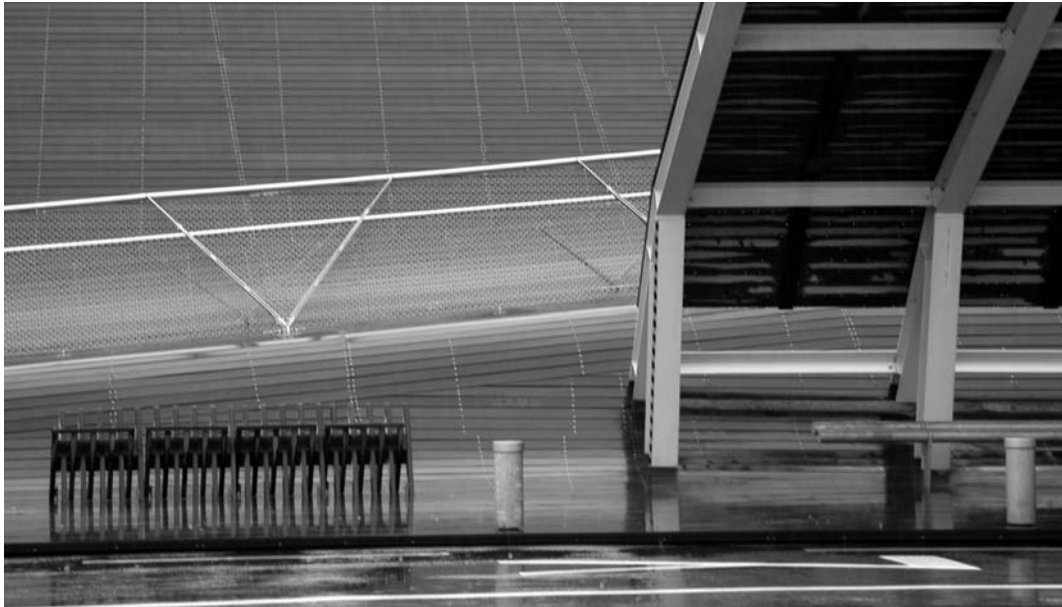


Abb. 617: Farshid Moussavi und Alejandro Zaera-Polo/FOA, Yokohama International Port Terminal, Japan, 1994–2002. Dachebene, Nordwestseite, Blick auf die Bushaltestelle an der Wendeschleife, Fotografie.

Abb. 618: Dachebene, Nordwestseite, Blick auf den neuen Stadtteil Minato Mirai, Fotografie.



Abb. 619: Farshid Moussavi und Alejandro Zaera-Polo/FOA, Yokohama International Port Terminal, Japan, 1994–2002. Dachebene, Südostseite, Kopfende des Terminalgebäudes, Fotografie (Ausschnitt).

Abb. 620: Dachebene, Südostseite, Fotografie.



Abb. 621: Farshid Moussavi und Alejandro Zaera-Polo/FOA, Yokohama International Port Terminal, Japan, 1994–2002. Nordwestseite, Fotografie.
Abb. 622: Südostseite, Kopfende des Terminalgebäudes, Fotografie.

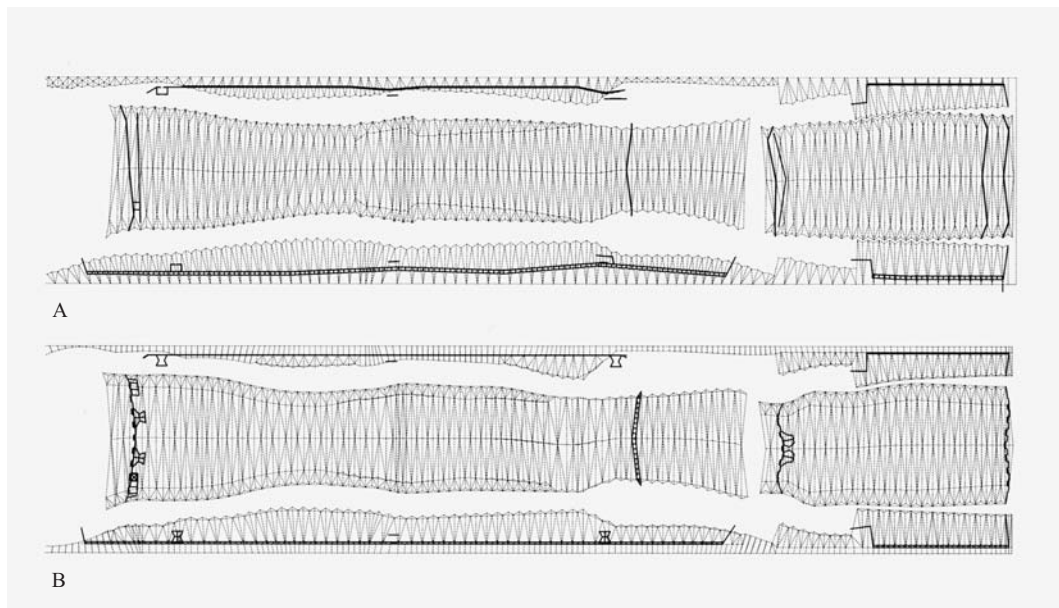


Abb. 623: Farshid Moussavi und Alejandro Zaera-Polo/FOA, Yokohama International Port Terminal, Japan, 1994–2002. Deckenaufsicht Terminalebene, Faltwerk bis zu den Gebäudekanten (A), Deckenfaltwerk bis zur Längsverglasung (B), Computerzeichnungen.



Abb. 624: Farshid Moussavi und Alejandro Zaera-Polo/FOA, Yokohama International Port Terminal, Japan, 1994–2002. Glasfaltenwand der Veranstaltungshalle mit Zugang von der Dachebene, Fotografie.

Abb. 625: Glasfaltenwand der Veranstaltungshalle am Ende des Piers, Fotografie.

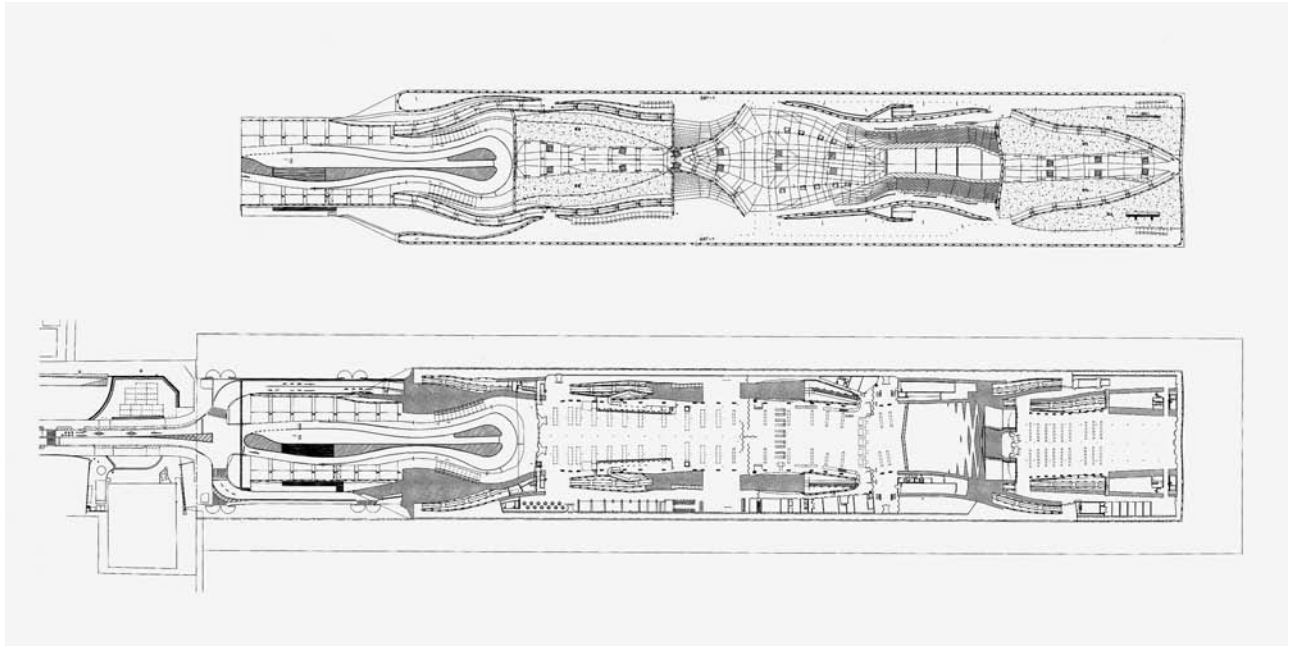


Abb. 626: Farshid Moussavi und Alejandro Zaera-Polo/FOA, Yokohama International Port Terminal, Japan, 1994–2002. Ausführungsentwurf, Dachaufsicht und Grundriss Terminalebene, Computerzeichnungen.



Abb. 627: Farshid Moussavi und Alejandro Zaera-Polo/FOA, Yokohama International Port Terminal, Japan, 1994–2002. Blick nach Nordosten auf die Anfahrtsrampe, Fotografie.
Abb. 628: Blick nach Nordosten auf die Terminal- und Veranstaltungshalle, Fotografie.



Abb. 629: Farshid Moussavi und Alejandro Zaera-Polo/FOA, Yokohama International Port Terminal, Japan, 1994–2002. Blick nach Nordosten auf die Anfahrtsrampe und Terminalhalle, Fotografie.



Abb. 630: Farshid Moussavi und Alejandro Zaera-Polo/FOA, Yokohama International Port Terminal, Japan, 1994–2002. Blick nach Nordosten auf die Ankunfts- und Abfahrtshalle, Fotografie.
Abb. 631: Südostseite, Blick nach Nordosten auf die Zugangsrampe zur Dachebene, Fotografie.

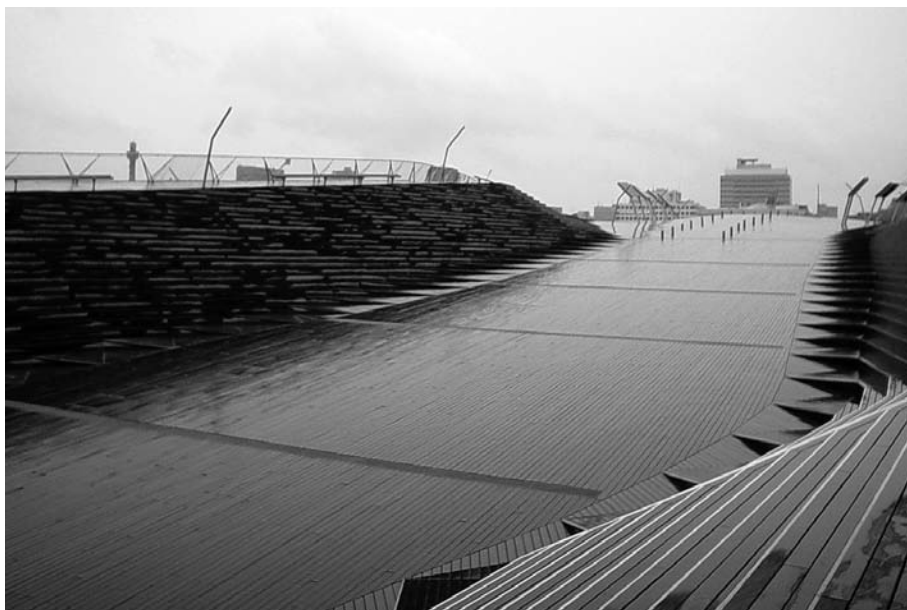


Abb. 632: Farshid Moussavi und Alejandro Zaera-Polo/FOA, Yokohama International Port Terminal, Japan, 1994–2002. Blick nach Nordosten auf die Veranstaltungshalle, Fotografie.
Abb. 633: Blick nach Südwesten von der Veranstaltungshalle auf die Zugangsrampe, Fotografie.



Abb. 634: Farshid Moussavi und Alejandro Zaera-Polo/FOA, Yokohama International Port Terminal, Japan, 1994–2002. Blick in die Ankunfts- und Abfahrtshalle, Fotografie.
Abb. 635: Blick in die Ankunfts- und Abfahrtshalle, Fotografie.

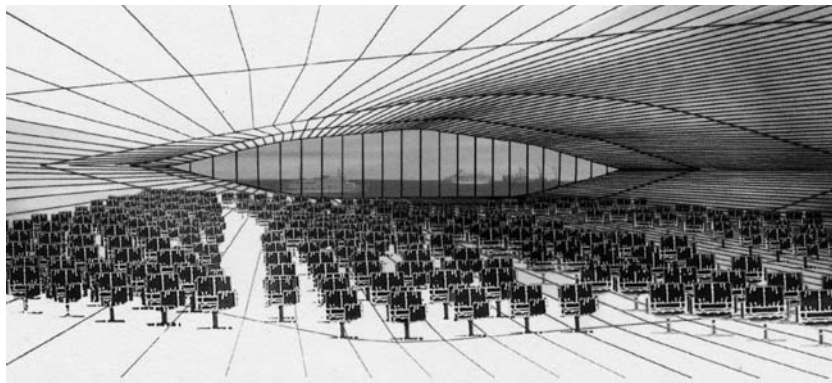
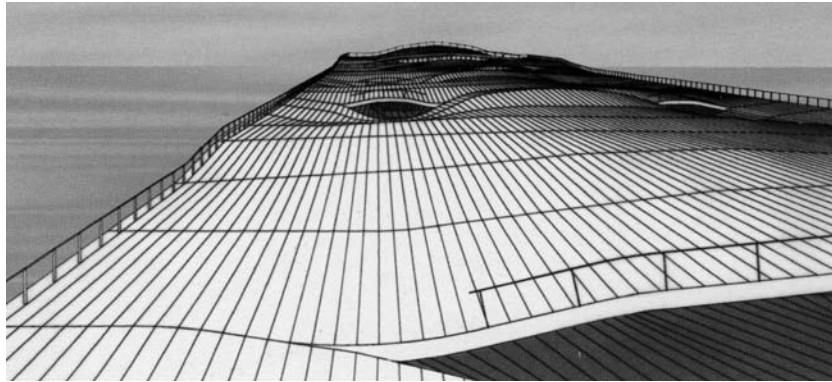


Abb. 636: Farshid Moussavi und Alejandro Zaera-Polo/FOA, Yokohama International Port Terminal, Japan, 1994–2002. Perspektive, Blick auf die Dachebene, Montage aus Computerzeichnung und Fotografie.

Abb. 637: Blick von der Dachebene auf eine Halle, Montage aus Computerzeichnung und Fotografie.

Abb. 638: Blick in die Veranstaltungshalle, Montage aus Computerzeichnung und Fotografie.

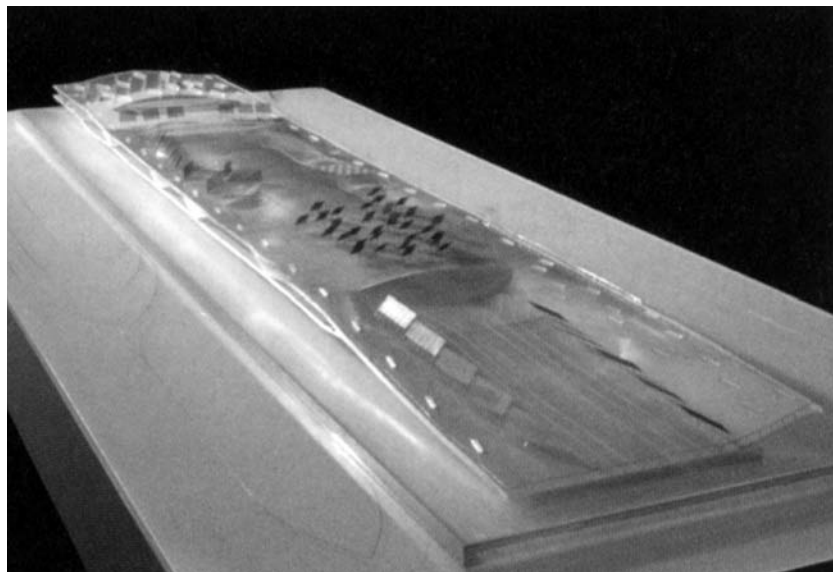
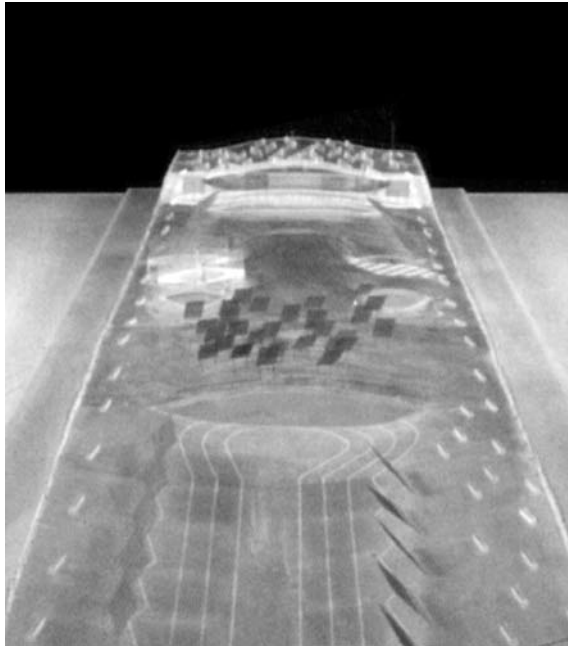


Abb. 639: Farshid Moussavi und Alejandro Zaera-Polo/FOA, Yokohama International Port Terminal, Japan, 1994–2002. Wettbewerbsmodell aus transparentem Kunststoff, Blick nach Nordosten, Fotografie.

Abb. 640: Wettbewerbsmodell aus transparentem Kunststoff, Nordwestseite, Fotografie.



Abb. 641: Farshid Moussavi und Alejandro Zaera-Polo/FOA, Yokohama International Port Terminal, Japan, 1994–2002. Laibung der gefalteten Glaswand der Veranstaltungshalle, Fotografie.

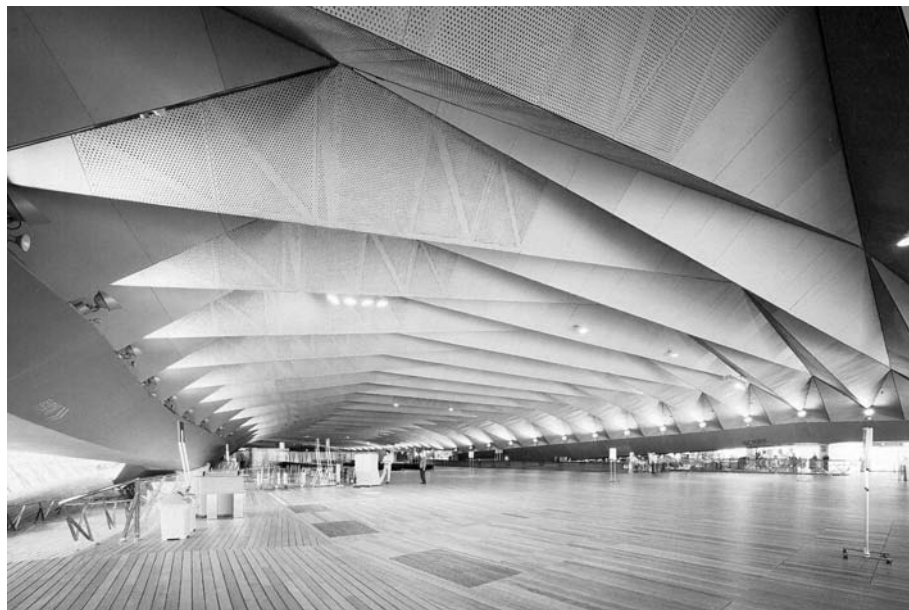


Abb. 642: Farshid Moussavi und Alejandro Zaera-Polo/FOA, Yokohama International Port Terminal, Japan, 1994–2002. Blick in die Ankunfts- und Abfahrtshalle, Fotografie.
Abb. 643: Blick in die Ankunfts- und Abfahrtshalle, Fotografie.

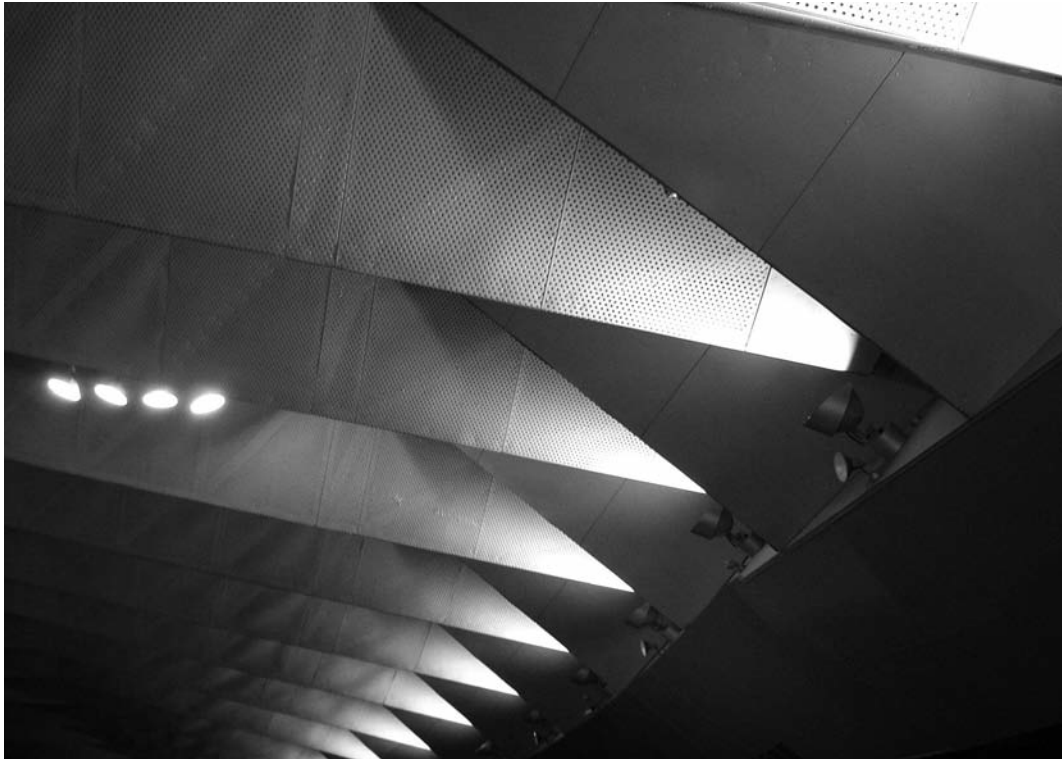


Abb. 644: Farshid Moussavi und Alejandro Zaera-Polo/FOA, Yokohama International Port Terminal, Japan, 1994–2002. Von unten beleuchtete Deckenfalten in den Hallen, Fotografie.



Abb. 645: Farshid Moussavi und Alejandro Zaera-Polo/FOA, Yokohama International Port Terminal, Japan, 1994–2002. Rampe zwischen Dach- und Terminalebene, Nordwestseite, Blick nach Nordosten, Fotografie.

Abb. 646: Rampe zwischen Dach- und Terminalebene, Südostseite, Blick nach Südwesten, Fotografie.



Abb. 647: Farshid Moussavi und Alejandro Zaera-Polo/FOA, Yokohama International Port Terminal, Japan, 1994–2002. Rampe zwischen Park- und Terminalebene, Fotografie.
Abb. 648: Rampe zwischen Terminal- und Parkebene, Fotografie.



Abb. 649: Farshid Moussavi und Alejandro Zaera-Polo/FOA, Yokohama International Port Terminal, Japan, 1994–2002. Rampe zwischen Dach- und Terminalebene, Südostseite, Blick nach Nordosten, Fotografie.

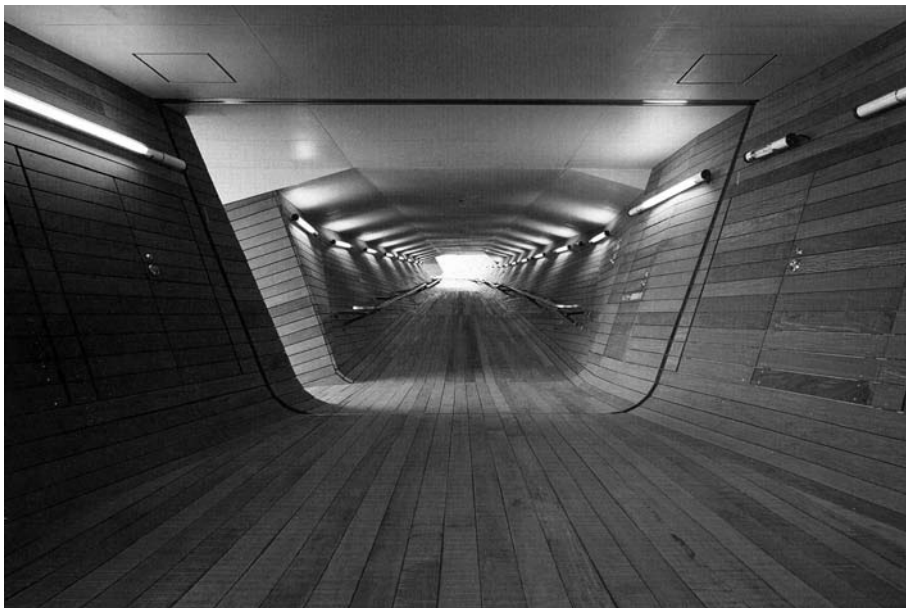


Abb. 650: Farshid Moussavi und Alejandro Zaera-Polo/FOA, Yokohama International Port Terminal, Japan, 1994–2002. Rampeninnenraum zwischen Park- und Terminalebene, Fotografie.
Abb. 651: Rampeninnenraum zwischen Terminal- und Dachebene, Fotografie.



Abb. 652: Farshid Moussavi und Alejandro Zaera-Polo/FOA, Yokohama International Port Terminal, Japan, 1994–2002. Hintere Rampe zwischen Dach- und Terminalebene, Fotografie.
Abb. 653: Hintere Rampe zwischen Terminal- und Dachebene, Fotografie.



Abb. 654: Farshid Moussavi und Alejandro Zaera-Polo/FOA, Yokohama International Port Terminal, Japan, 1994–2002. Rampe zwischen Park- und Terminalebene, Fotografie.



Abb. 655: Farshid Moussavi und Alejandro Zaera-Polo/FOA, Yokohama International Port Terminal, Japan, 1994–2002. Rampe zwischen Terminal- und Dachebene, Südostseite, Fotografie.
Abb. 656: Rampe zwischen Terminal- und Dachebene, Nordwestseite, Fotografie



Abb. 657: Farshid Moussavi und Alejandro Zaera-Polo/FOA, Yokohama International Port Terminal, Japan, 1994–2002. Rampe zwischen Terminal- und Dachebene, Südostseite, Blick nach Südwesten, Fotografie.

Abb. 658: Blick aus dem hinteren Rampeninnenraum auf den neuen Stadtteil Minato Mira, Fotografie.



Abb. 659: Farshid Moussavi und Alejandro Zaera-Polo/FOA, Yokohama International Port Terminal, Japan, 1994–2002. Südostseite, Rampe zwischen Verkehrsplatz am Anfang des Piers und Dach-ebene, Fotografie.

Abb. 660: Blick vom Dach der Veranstaltungshalle nach Südwesten auf die Stadt, Fotografie.



Abb. 661: Farshid Moussavi und Alejandro Zaera-Polo/FOA, Yokohama International Port Terminal, Japan, 1994–2002. Blick von der breiten Rampe auf ein angeordnetes Schiff, Fotografie.
Abb. 662: Blick nach Nordwesten auf den neuen Stadtteil Minato Mirai, Fotografie.



Abb. 663: Farshid Moussavi und Alejandro Zaera-Polo/FOA, Yokohama International Port Terminal, Japan, 1994–2002. Blick nach Nordwesten auf Rampe zwischen Verkehrsplatz und Dachebene, Fotografie.

Abb. 664: Blick vom Dach der Veranstaltungshalle nach Südwesten auf die breite Rampe, Fotografie (Ausschnitt).



Abb. 665: Farshid Moussavi und Alejandro Zaera-Polo/FOA, Yokohama International Port Terminal, Japan, 1994–2002. Blick von der breiten Rampe nach Südwesten, Fotografie.

Abb. 666: Blick von der breiten Rampe nach Nordwesten auf den neuen Stadtteil Minato Mirai, Fotografie.



Abb. 667: Farshid Moussavi und Alejandro Zaera-Polo/FOA, Yokohama International Port Terminal, Japan, 1994–2002. Hintere Rampe zwischen Terminal- und Dachebene, Fotografie.
Abb. 668: Blick von der Terminalebene nach Südosten, Fotografie.



Abb. 669: Farshid Moussavi und Alejandro Zaera-Polo/FOA, Yokohama International Port Terminal, Japan, 1994–2002. Blick auf das Freilichtauditorium und die Veranstaltungshalle, Fotografie.
Abb. 670: Blick von der Veranstaltungshalle auf das Freilichtauditorium, Fotografie.

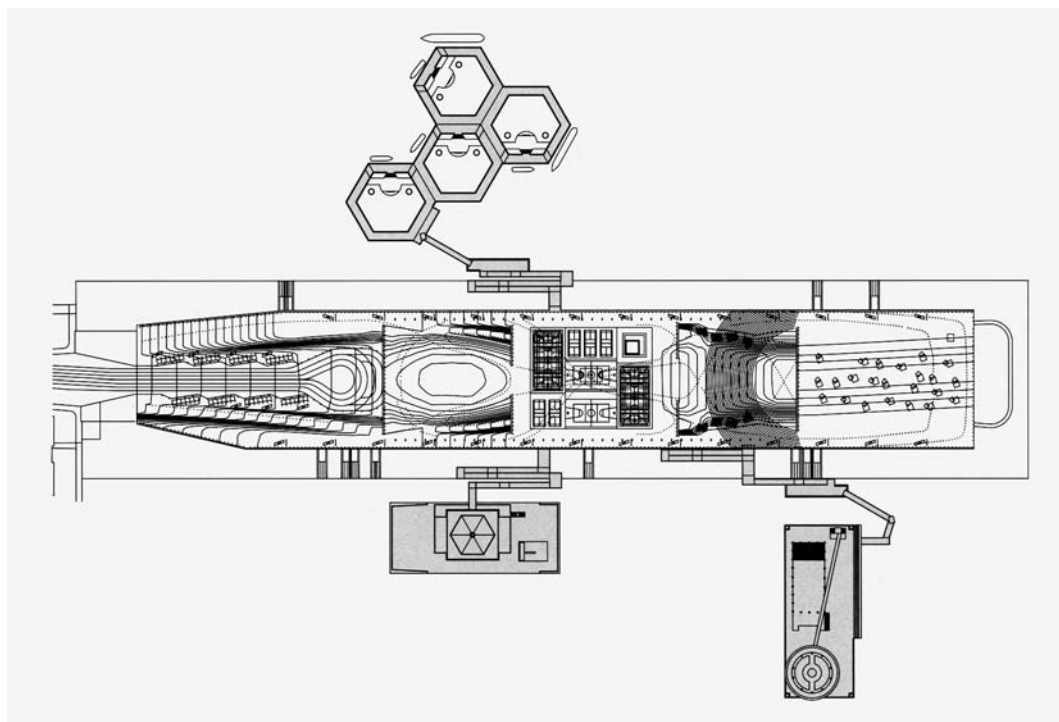
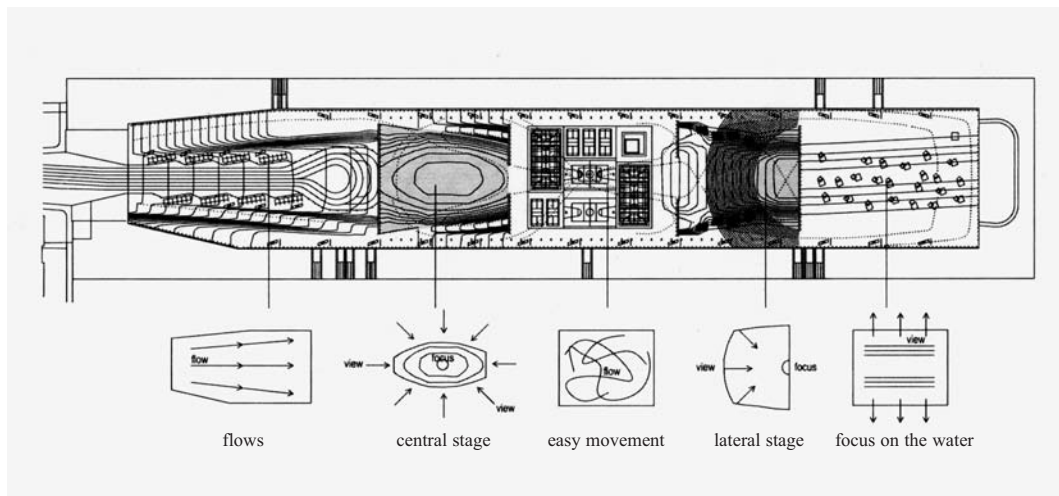


Abb. 671: Farshid Moussavi und Alejandro Zaera-Polo/FOA, Yokohama International Port Terminal, Japan, 1994–2002. Dachaufsicht, Spiel- und Bewegungsformen, Computerzeichnung.
 Abb. 672: Aufsicht auf Dachebene und schwimmende Plattformen, Computerzeichnung.



Abb. 673: Farshid Moussavi und Alejandro Zaera-Polo/FOA, Yokohama International Port Terminal, Japan, 1994–2002. Dachebene, Südostseite, Blick nach Norden auf die Terminalhalle, Fotografie.
Abb. 674: Blick vom Dach der Veranstaltungshalle nach Südwesten, Fotografie.



Abb. 675: Farshid Moussavi und Alejandro Zaera-Polo/FOA, Yokohama International Port Terminal, Japan, 1994–2002. Dachebene, Blick nach Nordwesten auf die Anfahrtsrampe und dm neuen Stadtteil Minato Mirai, Fotografie.

Abb. 676: Servicestraße auf Niveau der alten Pieranlage, Blick nach Nordosten, Fotografie.

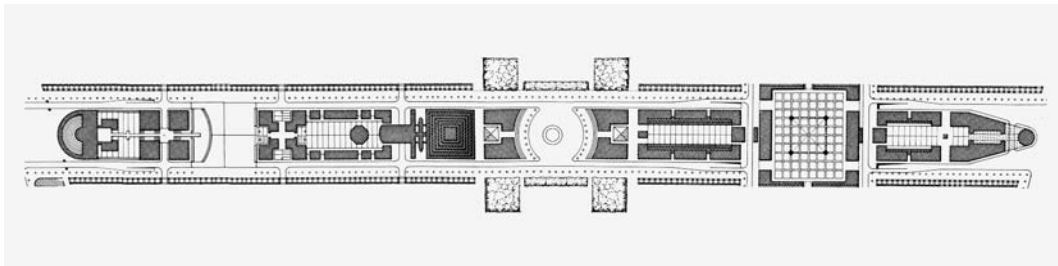


Abb. 677: Yamashita-Park, Yokohama, 2005. Blick nach Nordwesten mit dem International Port Terminal im Hintergrund, Fotografie.

Abb. 678: Leon Krier, The Grand Boulevard Nord-Sud, Project for the New Quartier of La Villette, Paris, 1976. Schwarzplan.

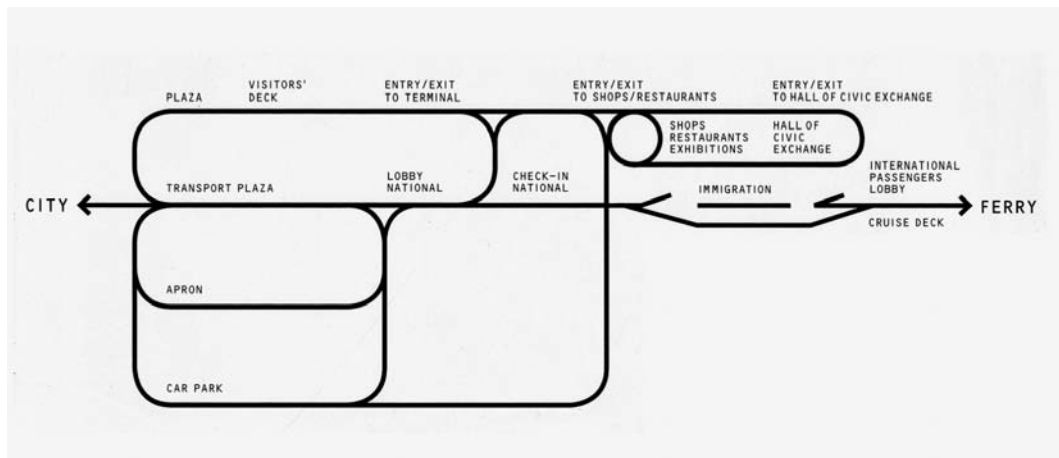


Abb. 679: Farshid Moussavi und Alejandro Zaera-Polo/FOA, Yokohama International Port Terminal, Japan, 1994–2002. Wettbewerbsentwurf, Zirkulationsschema, Längsschnitt, Computerzeichnung.
 Abb. 680: U-Bahn-Plan London (Ausschnitt), 2006.



Abb. 681: Farshid Moussavi und Alejandro Zaera-Polo/FOA, Yokohama International Port Terminal, Japan, 1994–2002. Anfahrtsrampe zur Dachebene, Blick nach Nordosten, Fotografie.
Abb. 682: San Francisco-Oakland Bay Bridge, Tunnel auf Treasure/ Yerba Buena Island, Bucht von San Francisco, USA, 1933–36. Tunnelleinfahrt in Richtung San Francisco, Fotografie.



Abb. 683: Farshid Moussavi und Alejandro Zaera-Polo/FOA, Yokohama International Port Terminal, Japan, 1994–2002. Wetterschutz auf der Dachebene, Blick nach Südwesten, Fotografie.
Abb. 684: Bushaltestellen an der Anfahrtsrampe, Blick nach Nordwesten, Fotografie.



Abb. 685: Farshid Moussavi und Alejandro Zaera-Polo/FOA, Yokohama International Port Terminal, Japan, 1994–2002. Beleuchtungskörper auf der Dachebene, Blick nach Südosten, Fotografie.
Abb. 686: Stahlrohrbänke auf der Dachebene, Blick nach Nordwesten, Fotografie.
Abb. 687: Stahlrohrzylinder auf der Dachebene, Blick nach Süden, Fotografie.



Abb. 688: Farshid Moussavi und Alejandro Zaera-Polo/FOA, Yokohama International Port Terminal, Japan, 1994–2002. Nordwestseite, im Hintergrund die Schrägseilbrücke Yokohama Bay Bridge, 1989, Fotografie.



Abb. 689: Farshid Moussavi und Alejandro Zaera-Polo/FOA, Yokohama International Port Terminal, Japan, 1994–2002. Nordwestseite, Fotografie (Ausschnitt).
Abb. 690: Südostseite, Rampe zwischen Verkehrsplatz und Dachebene, Fotografie.

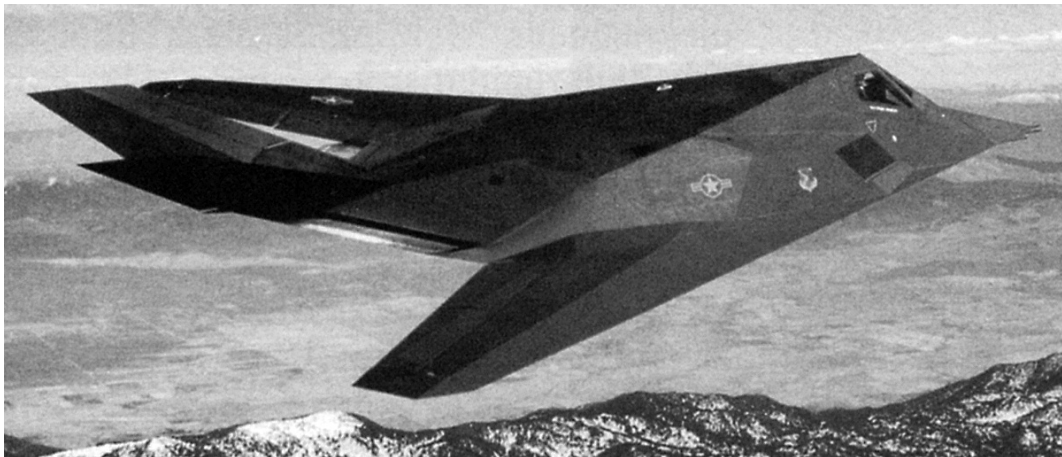


Abb. 691: Farshid Moussavi und Alejandro Zaera-Polo/FOA, Yokohama International Port Terminal, Japan, 1994–2002. Nordwestseite, Fotografie.

Abb. 692: Lockheed Martin, F-117 A Tarnkappenbomber, Fotografie, abgebildet in: Charles Jencks, The Architecture of the Jumping Universe, London 1995.



Abb. 693: Farshid Moussavi und Alejandro Zarea Polo/FOA, Virtual House, Entwurf 1997.
3D-Modell, Perspektive, Computerrendering.
Abb. 694: Studie, Schleifentypologien, Axonometrien, Computerrendering.



Abb. 695: Farshid Moussavi und Alejandro Zarea Polo/FOA, Virtual House, Entwurf 1997.
3D-Modelle, Studie mit verschiedenen Texturen, Axonometrien, Computerrenderings.
Abb. 696: Ansicht, Computerrendering.

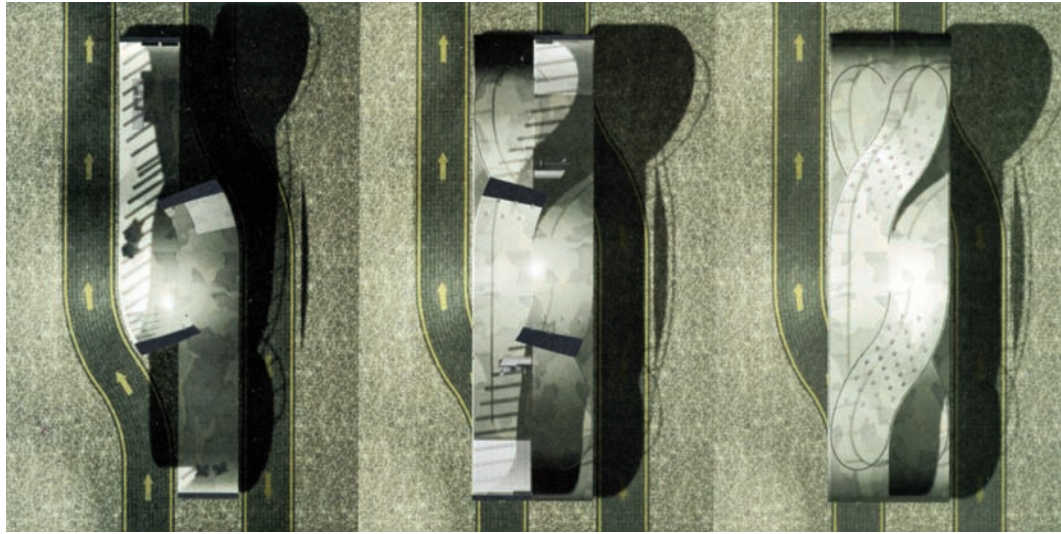


Abb. 697: Farshid Moussavi und Alejandro Zarea Polo/FOA, Virtual House, Entwurf 1997. Studie mit verschiedenen Texturen, Aufsicht, Computerrenderings.



Abb. 698: Farshid Moussavi und Alejandro Zarea Polo/FOA, Virtual House, Entwurf 1997.
3D-Modell mit Umgebung, Perspektive, Montage aus Computerrendering und Fotografie.
Abb. 699: Präsentationsmodell, Fotografie.

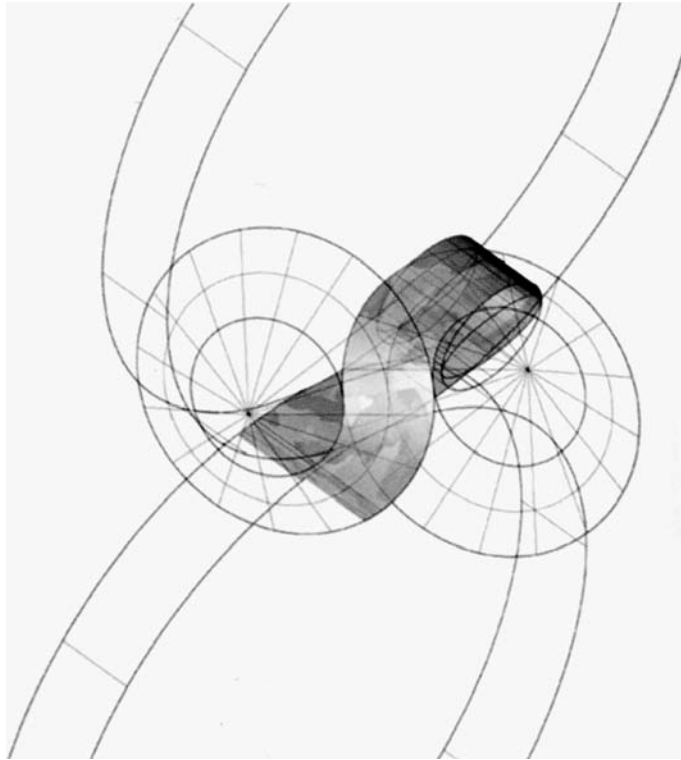


Abb. 700: Farshid Moussavi und Alejandro Zarea Polo/FOA, Virtual House, Entwurf 1997.
Geometrisches Schleifenmodul, Computerzeichnung und -rendering.

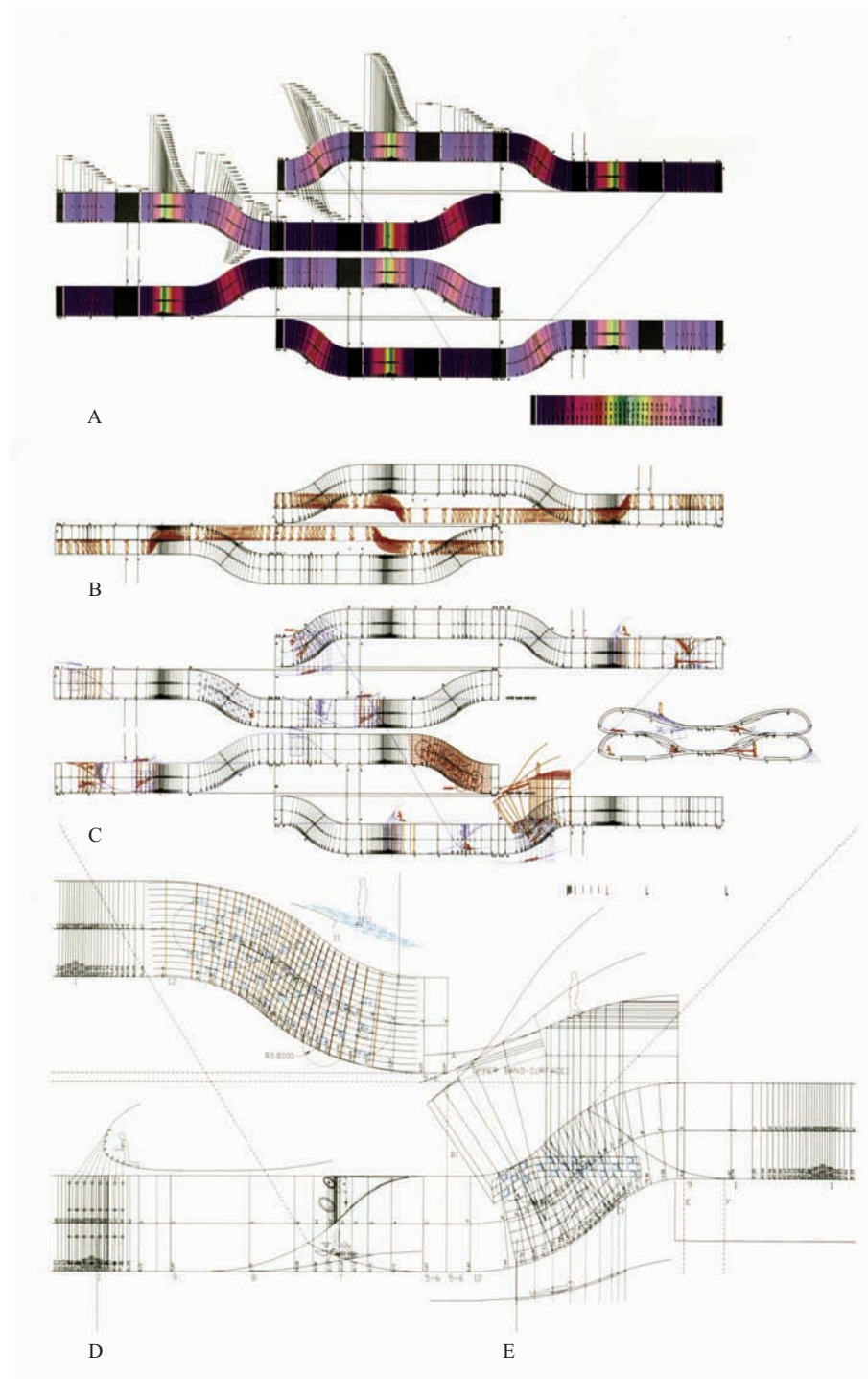


Abb. 701: Farshid Moussavi und Alejandro Zarea Polo/FOA, Virtual House, Entwurf 1997. Abwicklungen der gefalteten Geschoessebenen: Chromatographic slope analysis (A), Gravity walk (B), Unfolded plans (C), Gradated storage system (D), Padded floor public area (E), Computerzeichnungen.

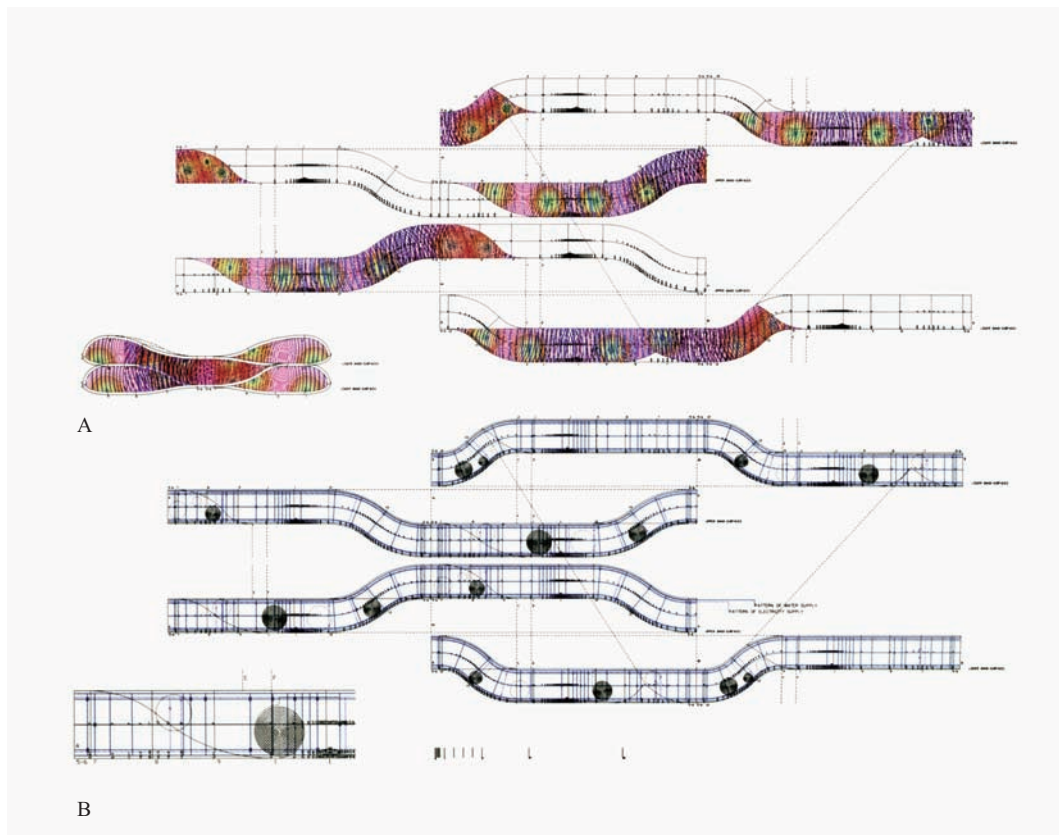


Abb. 702: Farshid Moussavi und Alejandro Zarea Polo/FOA, Virtual House, Entwurf 1997. Abwicklungen der gefalteten Geschossebenen: Heating system – Radiation analysis (A), Patterns of electricity, water supply and heating (B), Computerzeichnungen.

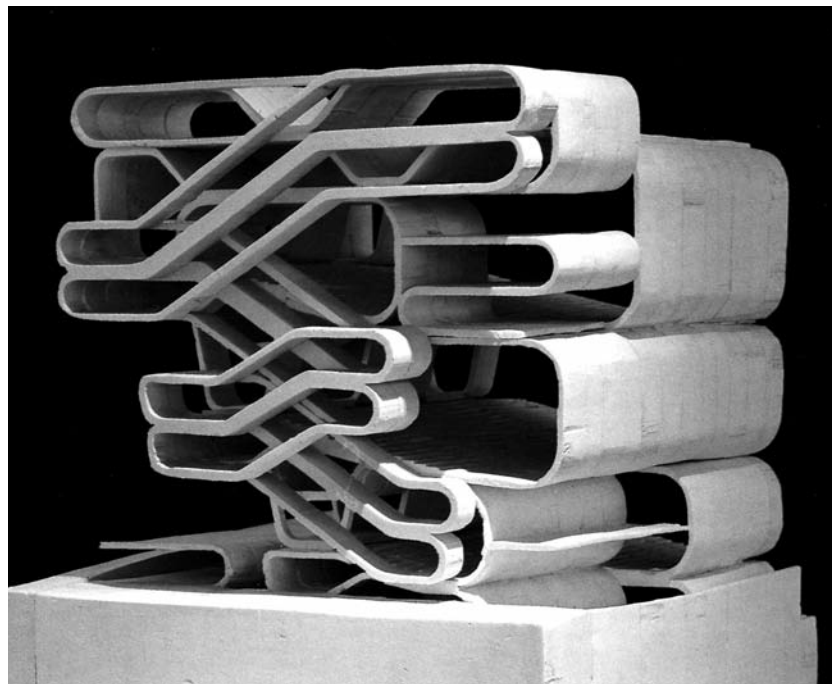
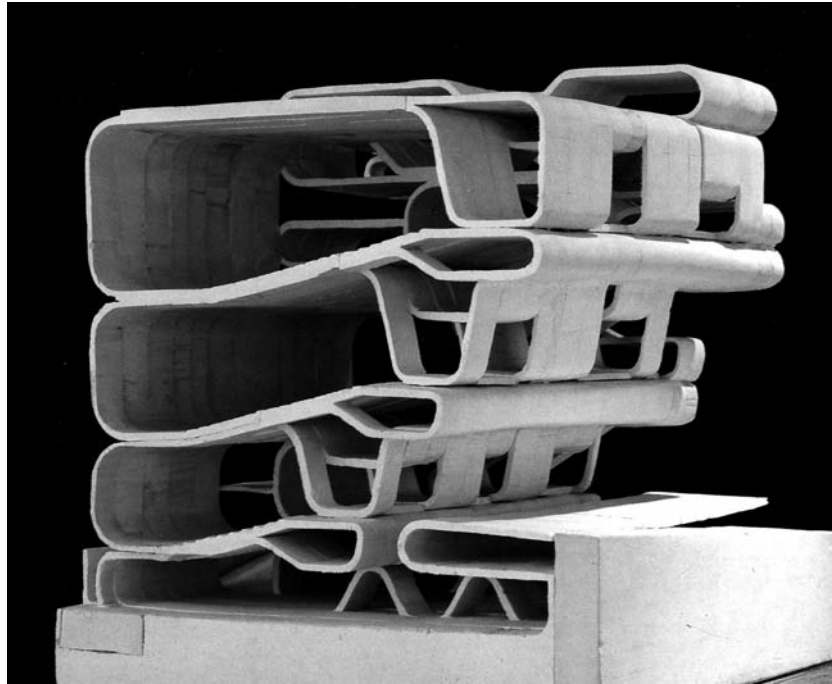


Abb. 703: Farshid Moussavi und Alejandro Zarea Polo/FOA, Azadi Cineplex, Teheran, Iran, Entwurf 1996. Präsentationsmodell, Nordwestseite, Fotografie.
Abb. 704: Präsentationsmodell, Südostseite, Fotografie.

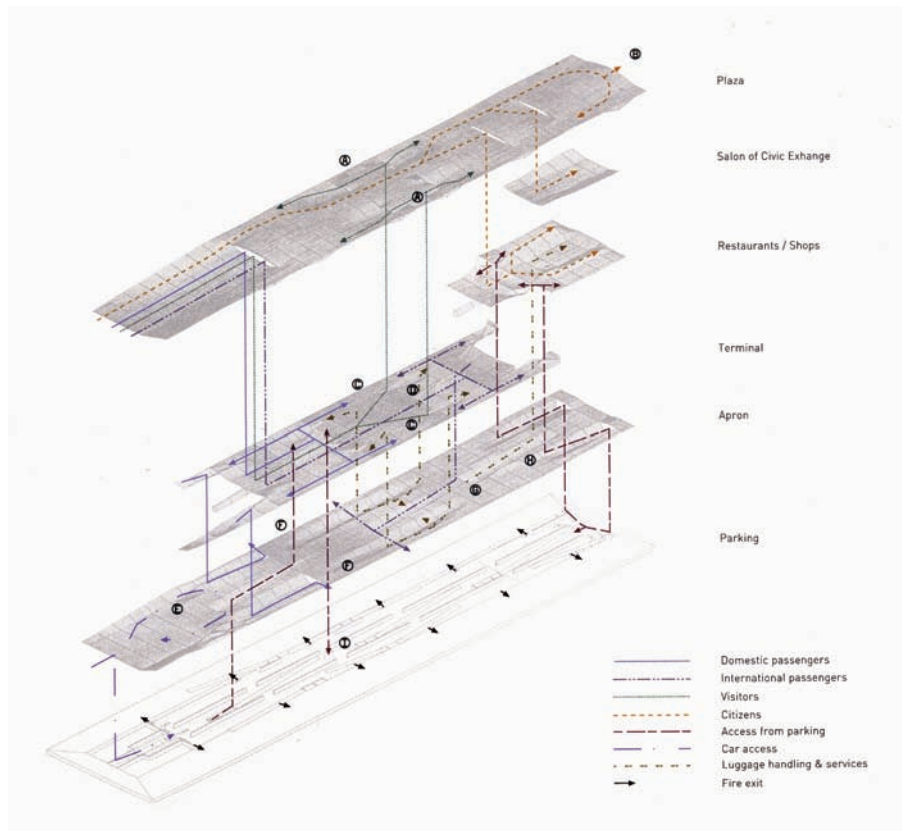
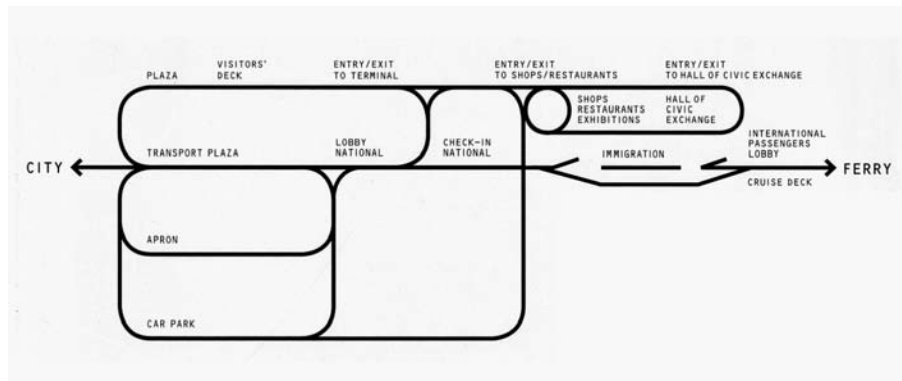


Abb. 705: Farshid Moussavi und Alejandro Zaera-Polo/FOA, Yokohama International Port Terminal, Japan, 1994–2002. Wettbewerbsentwurf, Zirkulationsschema, Längsschnitt, Computerzeichnung.
 Abb. 706: Dreidimensionales Zirkulationsschema, Axonometrie, Computerzeichnung.

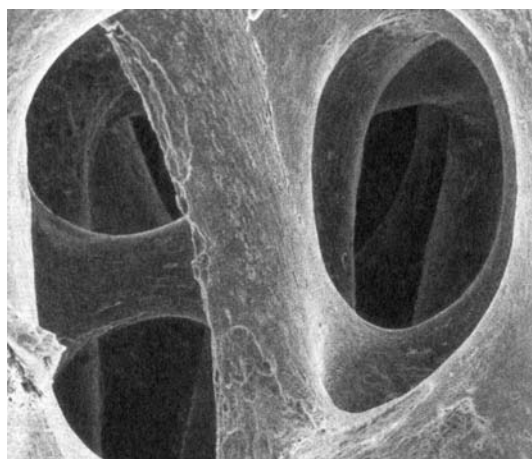


Abb. 707: Sanddünen, Fotografie, abgebildet in: Foreign Office Architects, FOA Code Remix 2000, S. 141, Abb. 6.

Abb. 708: Felsfaltungen, Fotografie, abgebildet in: Foreign Office Architects, FOA Code Remix 2000, S. 137, Abb. 4.

Abb. 709: Knochenstruktur, Fotografie, abgebildet in: Foreign Office Architects, FOA Code Remix 2000, S. 138, Abb. 16.



Abb. 710: Farshid Moussavi und Alejandro Zaera-Polo/FOA, Yokohama International Port Terminal, Japan, 1994–2002. Wettbewerbsentwurf, 3D-Modell mit Umgebung, Perspektive, Montage aus Computerrendering und Fotografie.

Abb. 711: Rochen, Fotografie, abgebildet in: Foreign Office Architects, Yokohama ni-wa-minato, 1996, S. 88.

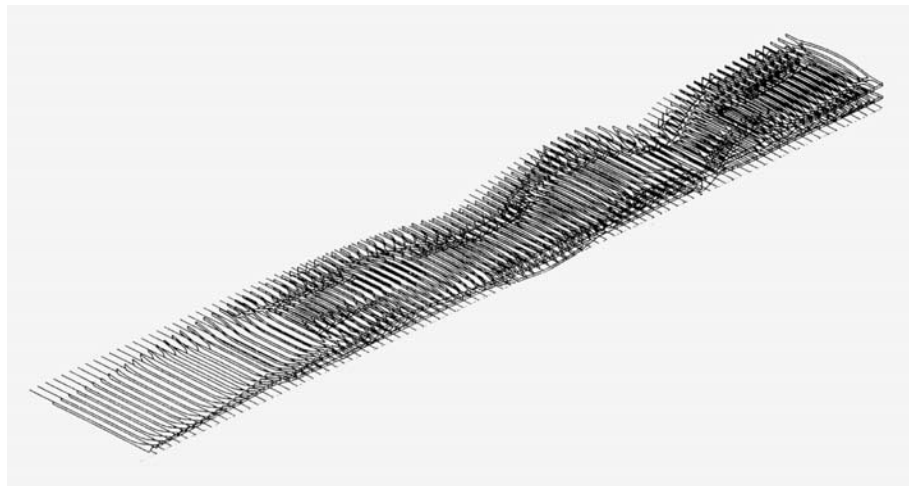
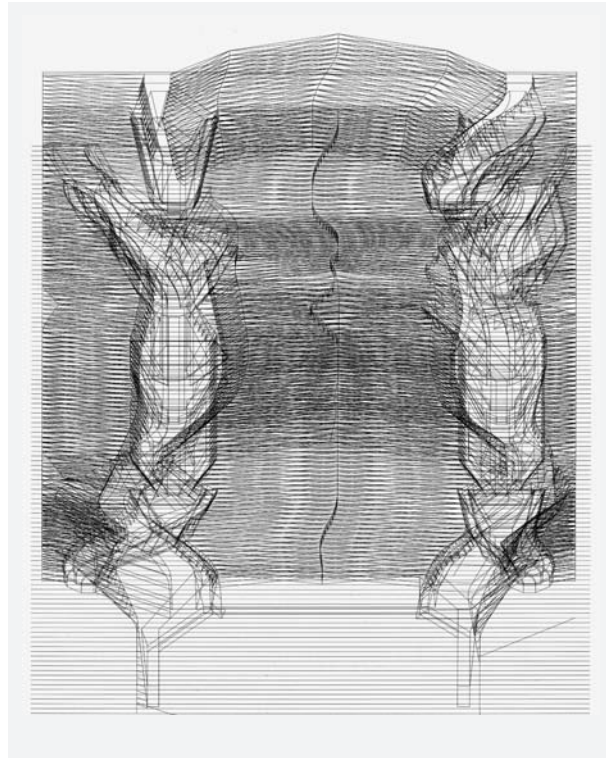
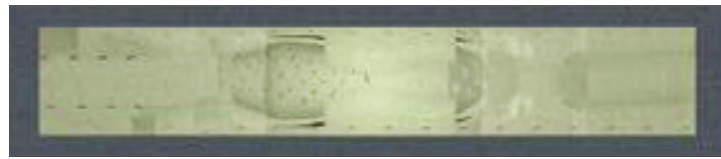
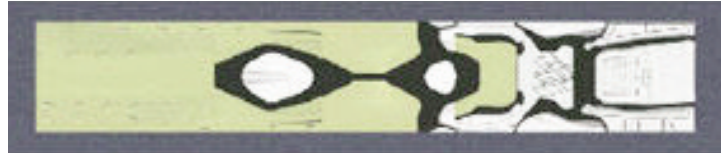


Abb. 712: Farshid Moussavi und Alejandro Zaera-Polo/FOA, Yokohama International Port Terminal, Japan, 1994–2002. Entwicklung der Struktur, Schnittfolge, Computerzeichnung.
Abb. 713: Wettbewerbsentwurf, Schnittaxonometrie, Computerzeichnung.



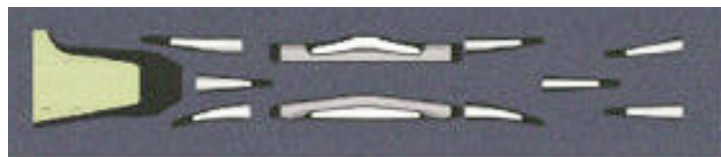
A



B



C



D

Abb. 714: Farshid Moussavi und Alejandro Zaera-Polo/FOA, Yokohama International Port Terminal, Japan, 1994–2002. Grundrissdarstellungen des Wettbewerbsentwurfes, 1995: Dachebene (A), Ebene der städtischen Einrichtungen (B), Terminalebene (C), Pier ebene (D), Computerrenderings.

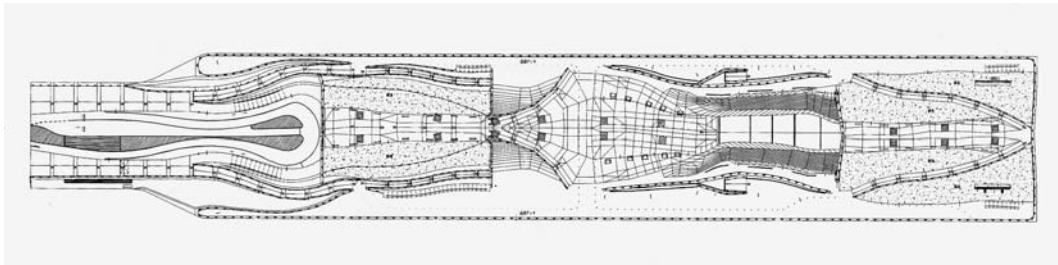
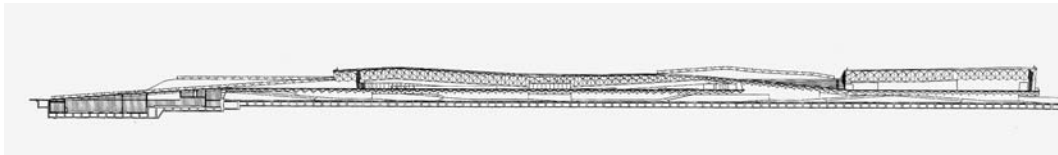
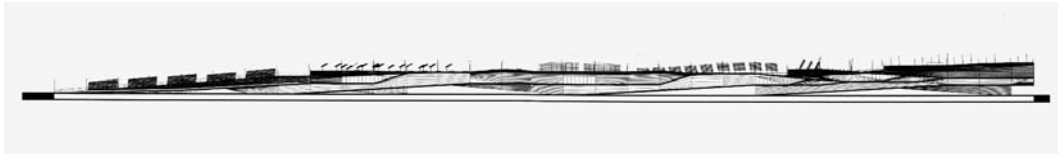


Abb. 715: Farshid Moussavi und Alejandro Zaera-Polo/FOA, Yokohama International Port Terminal, Japan, 1994–2002. Wettbewerbsentwurf, Ansicht der Südwestseite, Computerzeichnung.

Abb. 716: Ausführungsentwurf, Längsschnitt, Computerzeichnung.

Abb. 717: Ausführungsentwurf, Dachgrundriss, Computerzeichnung.

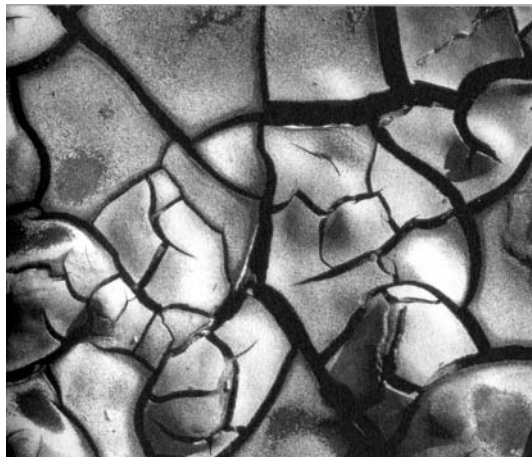
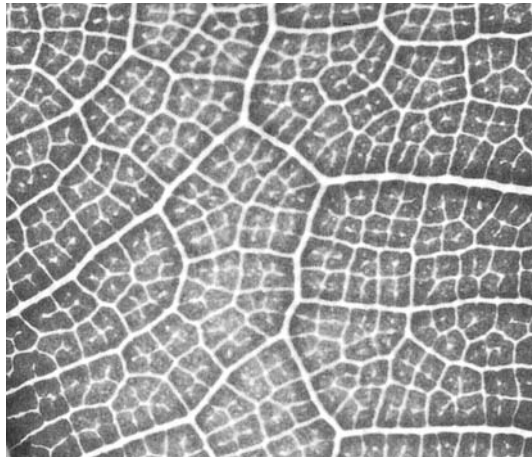


Abb. 718: Blattadern, Fotografie, abgebildet in: Foreign Office Architects, FOA Code Remix 2000, S. 127, Abb. 14.

Abb. 719: Erdrisse, Fotografie, abgebildet in: Foreign Office Architects, FOA Code Remix 2000, S. 127, Abb. 13.

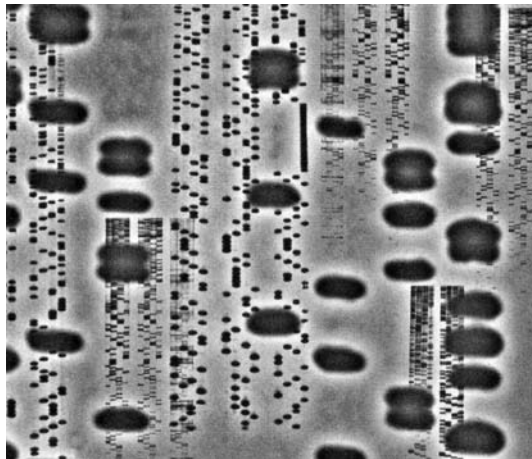
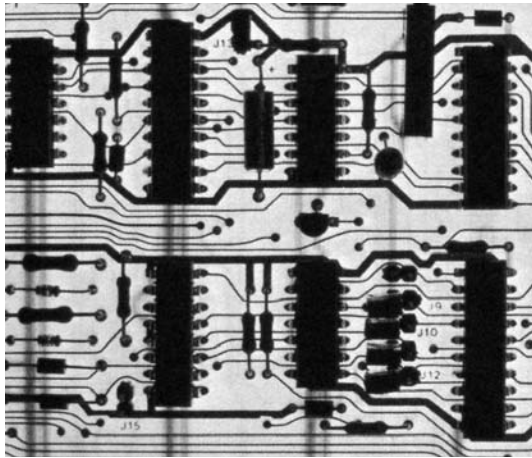


Abb. 720: Platine, Fotografie, abgebildet in: Foreign Office Architects, FOA Code Remix 2000, S. 126, Abb. 2.

Abb. 721: DNA-Sequenz auf einem Röntgenfilm, Fotografie, abgebildet in: Foreign Office Architects, FOA Code Remix 2000, S. 124, Abb. 17.

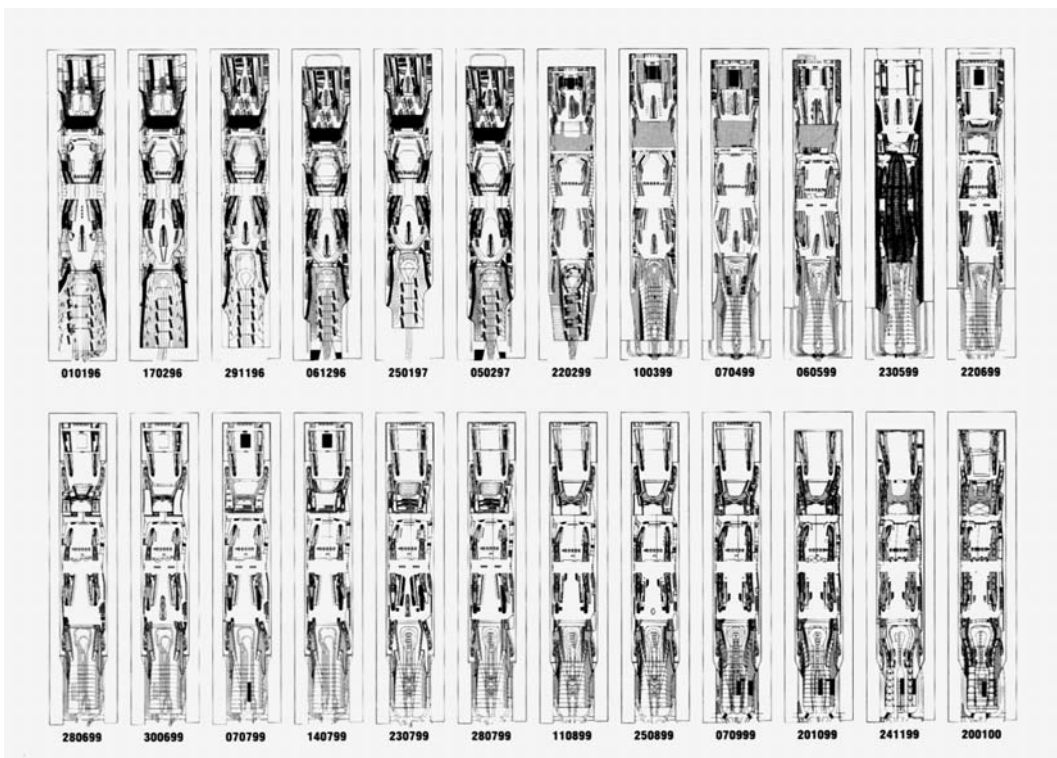
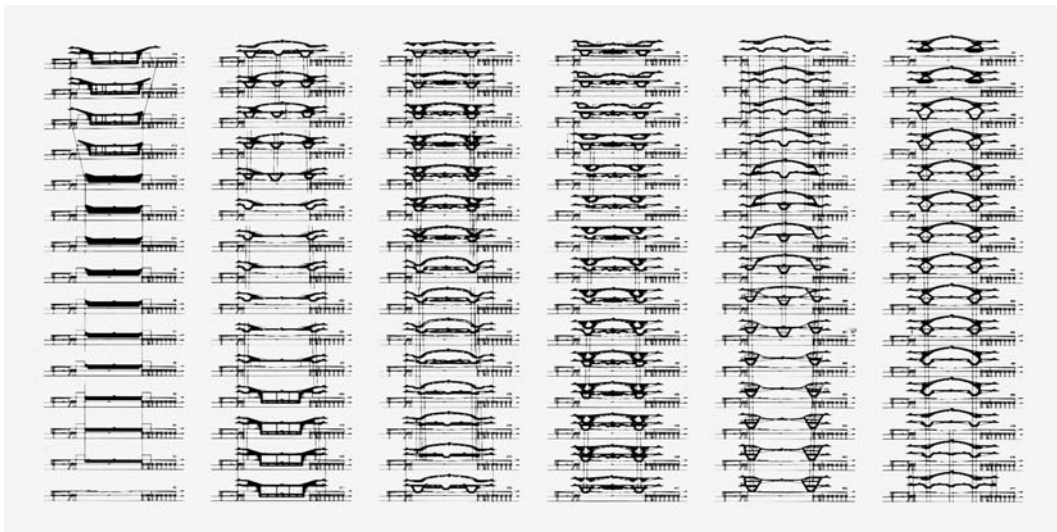


Abb. 722: Farshid Moussavi und Alejandro Zaera-Polo/FOA, Yokohama International Port Terminal, Japan, 1994–2002. Vertikalschnitte in Querrichtung, Computerzeichnungen.
 Abb. 723: Entwicklung der Grundrisse vom Januar 1996 bis Januar 2000, Computerzeichnungen.

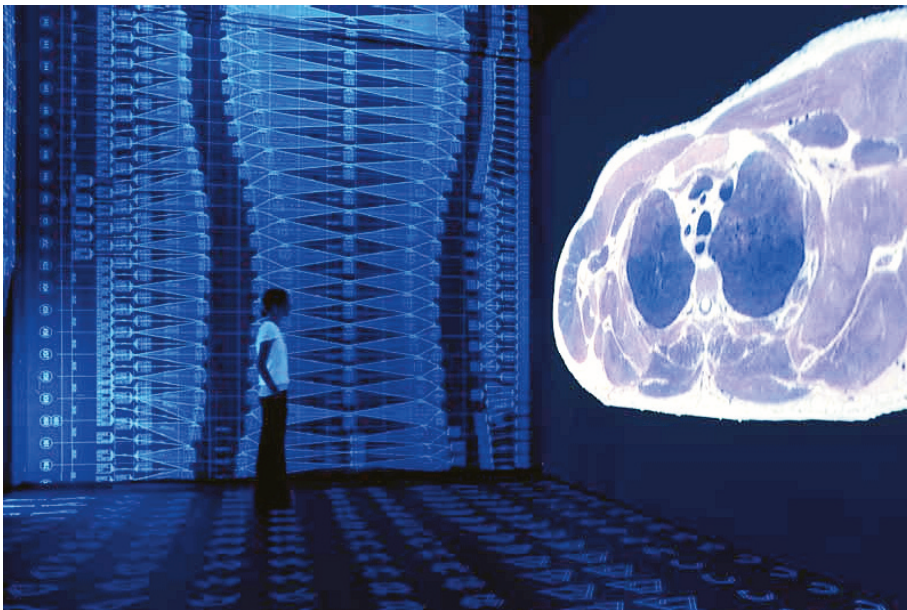


Abb. 724: Farshid Moussavi und Alejandro Zarea Polo/FOA, Ausstellung des Projektes *Yokohama International Port Terminal* auf der achten Internationalen Architekturbiennale, Britischer Pavillon, Ausstellungsraum „Growth“, Venedig, Italien, 2002. Fotografie.
Abb. 725: Ausstellungsraum „Complexity“, Venedig, Italien, 2002. Fotografie.

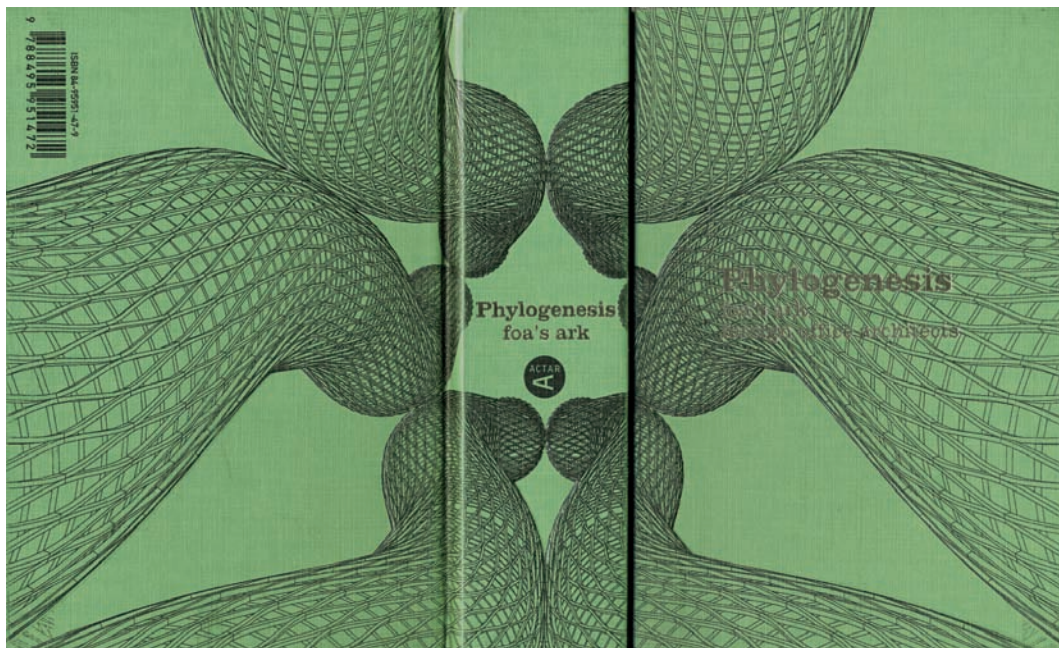


Abb. 726: Farshid Moussavi und Alejandro Zaera-Polo/FOA, Einband des Buches *Phylogenesis FOA's Ark*, 2004. Fotografie.

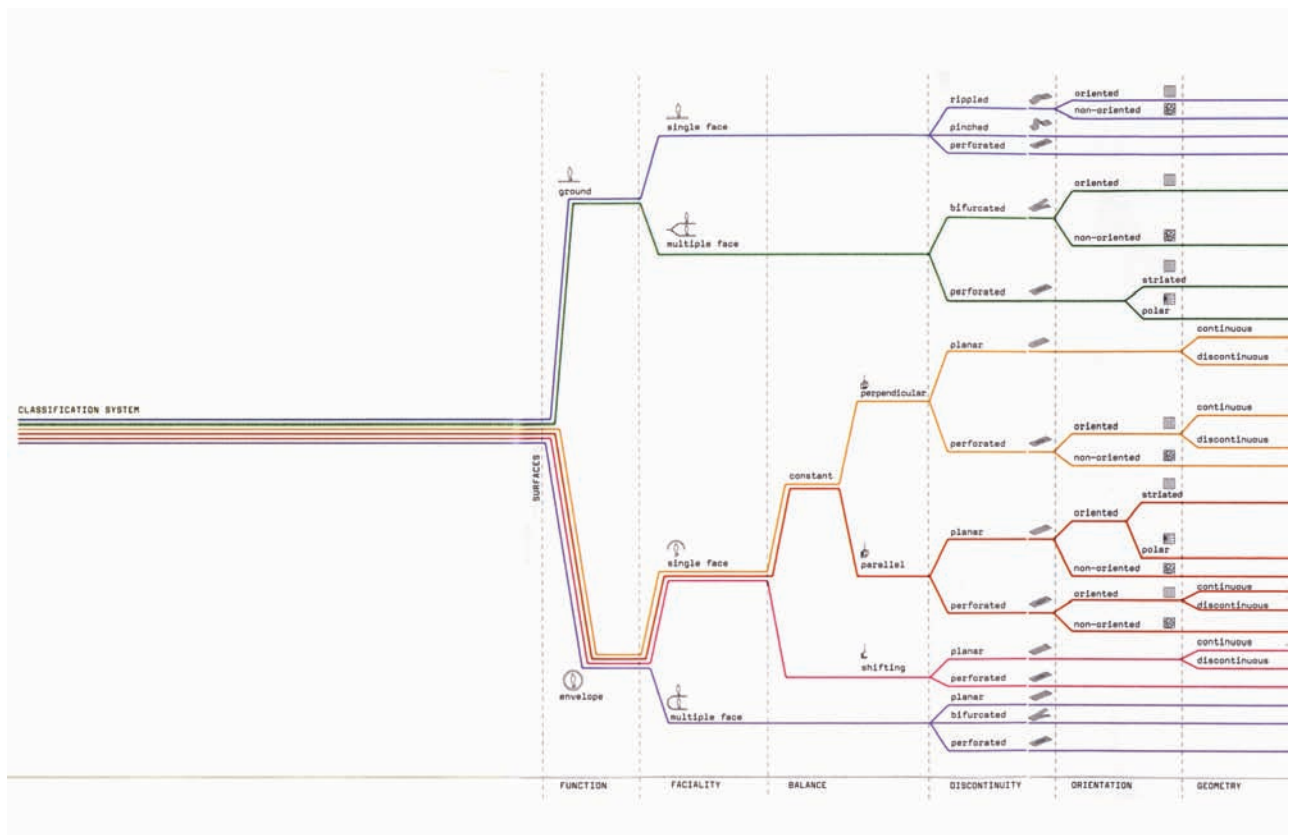


Abb. 727: Farshid Moussavi und Alejandro Zaera-Polo/FOA, Phylogensis FOA's Ark, 2004. Computerzeichnung (linke Hälfte).

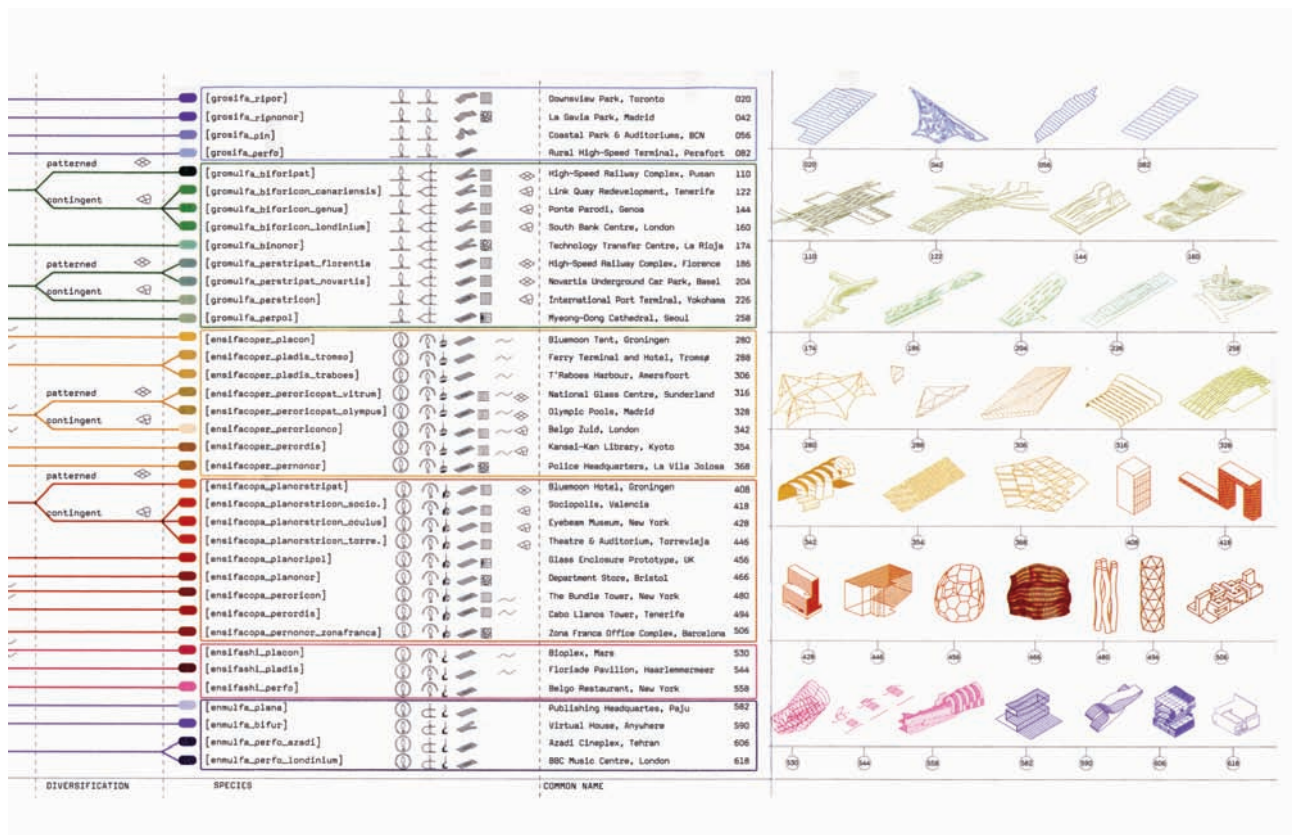


Abb. 728: Farshid Moussavi und Alejandro Zaera-Polo/FOA, Phylogenesis FOA's Ark, 2004. Computerzeichnung (rechte Hälfte).

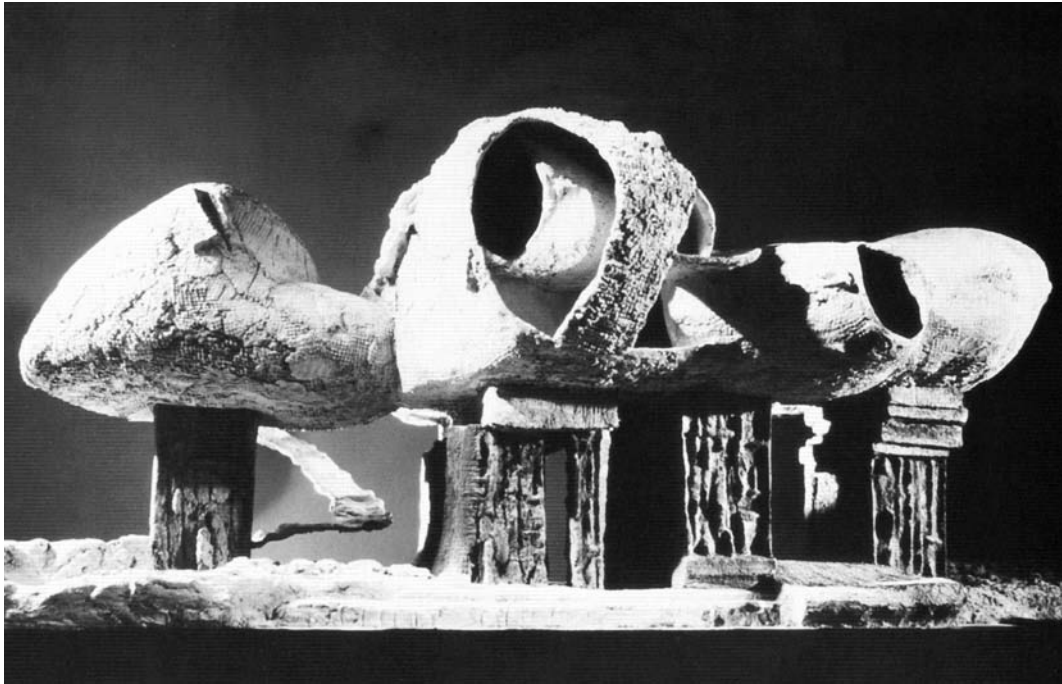


Abb. 729: Friedrich Kiesler, Endless House, Entwurf 1947–61. Modell für das Museum of Modern Art, New York, USA, 1959. Maschendraht, Zement und Plexiglas, 96,5 x 247 x 106,7 cm, Fotografie.

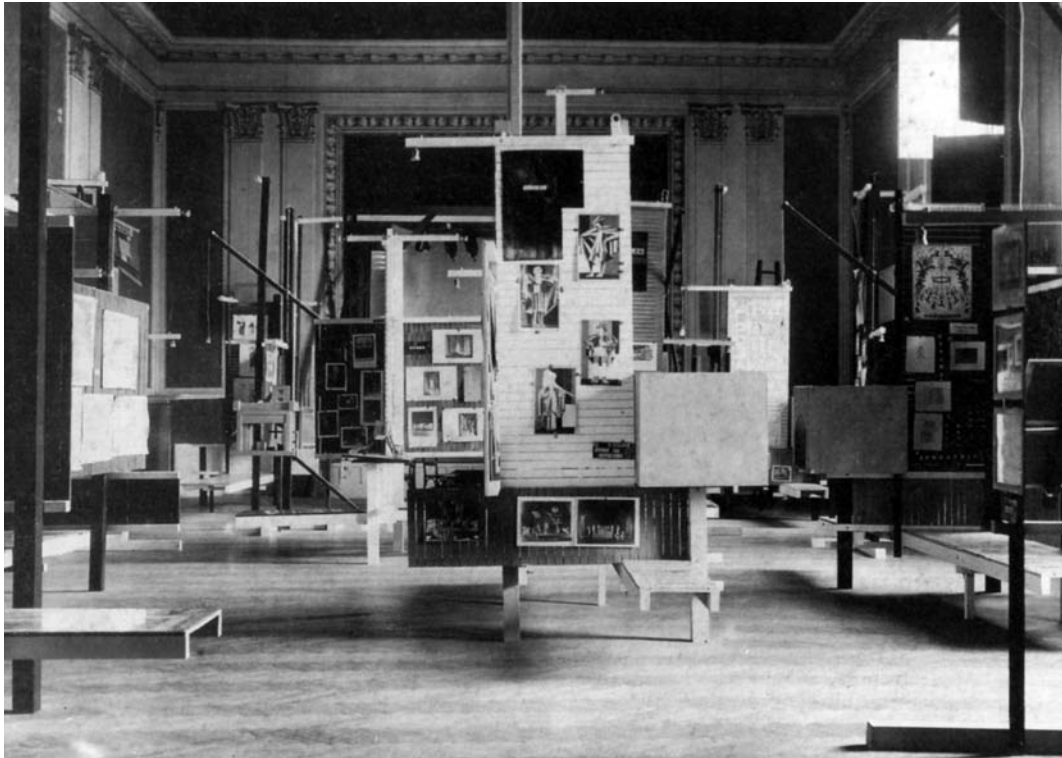


Abb. 730: Friedrich Kiesler, Leger- und Trägersystem für die *Internationale Ausstellung neuer Theatertechnik*, Wiener Konzerthaus, Schubertsaal, Wien, Österreich, 1924. Blick in die Ausstellung, Fotografie.

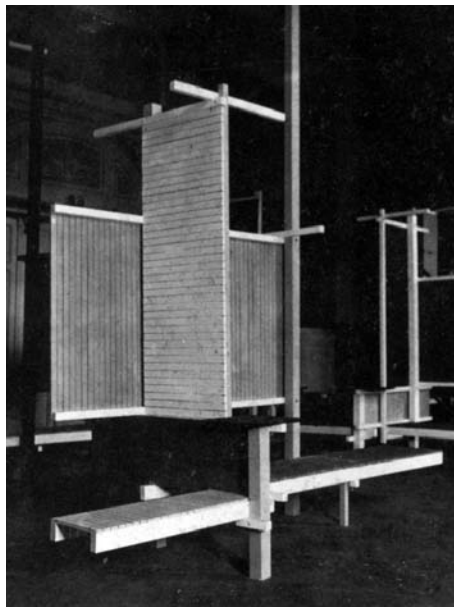
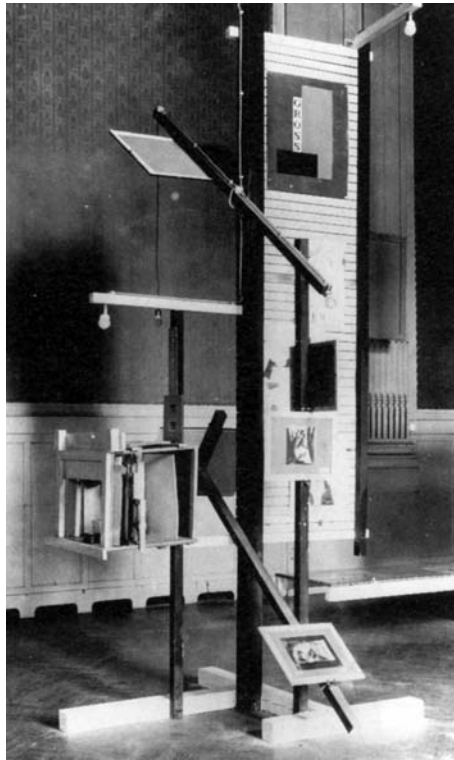


Abb. 731: Friedrich Kiesler, Leger- und Trägersystem für die *Internationale Ausstellung neuer Theatertechnik*, Wiener Konzerthaus, Wien, Österreich, 1924. Träger-Type, Fotografie.
Abb. 732: Bilderständer des Leger- und Trägersystems, Fotografie.

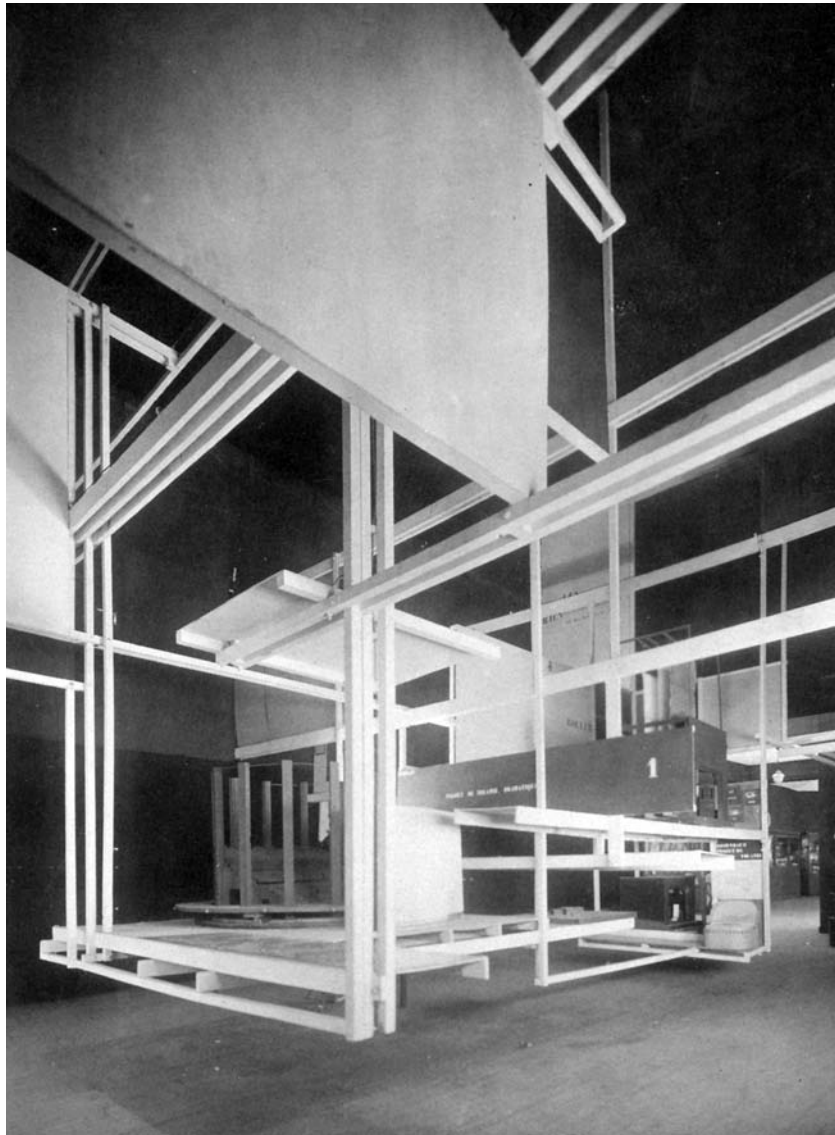


Abb. 733: Friedrich Kiesler, Raumstadt auf der *Exposition Internationale des Arts Décoratifs et Industriel Modernes*, Grand Palais, Paris, Frankreich 1925. Konstruktion aus bemalten Holzlatten und -platten, Fotografie.

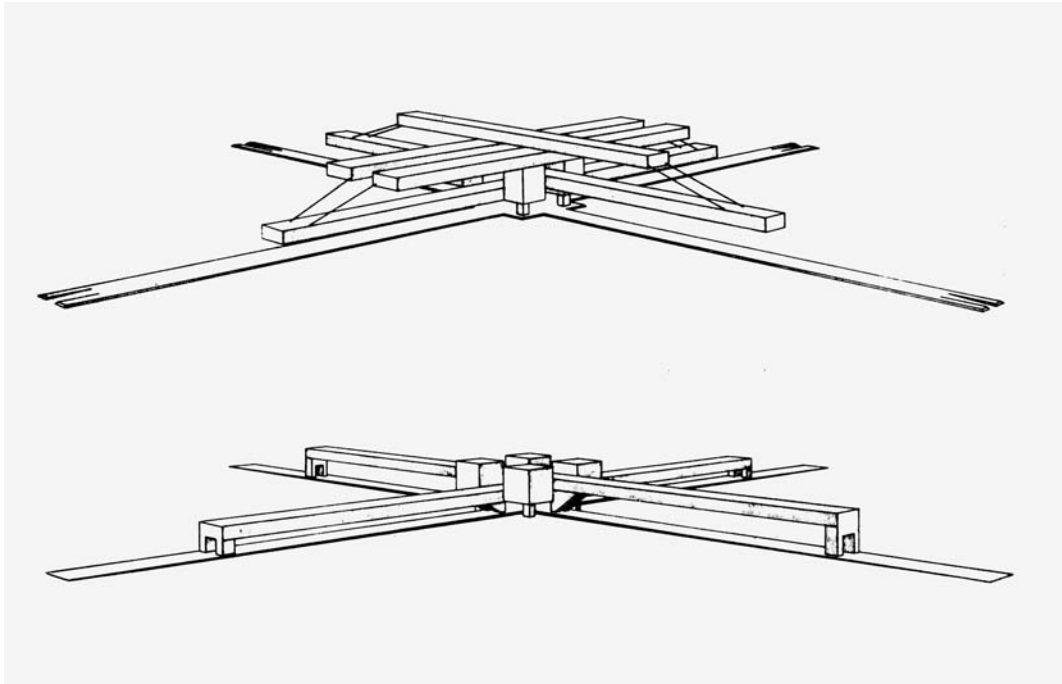


Abb. 734: Friedrich Kiesler, Entwürfe für horizontale Wolkenkratzer, 1925. Zeichnungen.

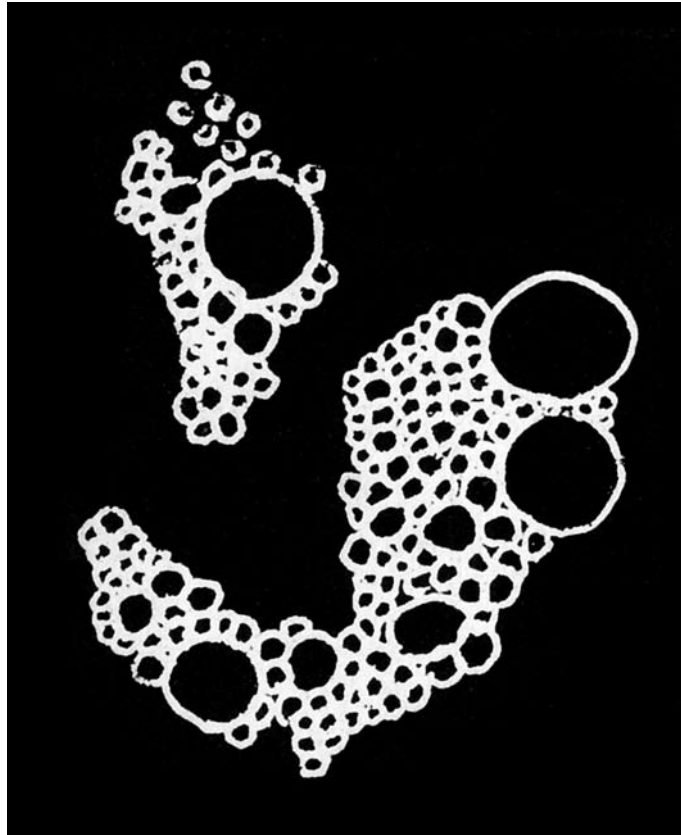


Abb. 735: Friedrich Kiesler, Structure Atomique, Zeichnung aus dem Manifeste du Corréalisme, 1947, abgedruckt in: L'Architecture d'Aujourd' hui, 2. Sonderdruck, Juni 1949.

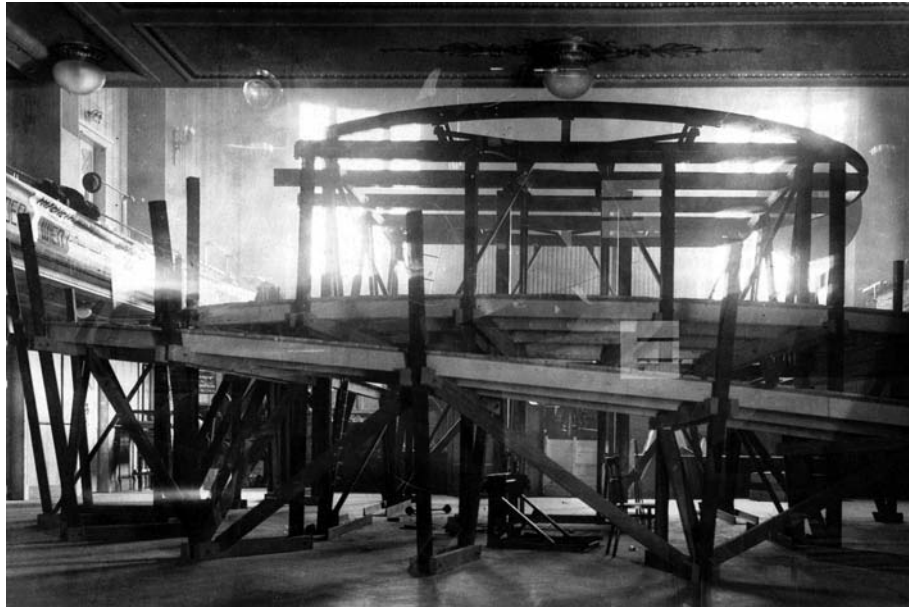


Abb. 736: Friedrich Kiesler, Raumbühne auf der *Internationalen Ausstellung neuer Theatertechnik*, Wiener Konzerthaus, Mozartsaal, Wien, Österreich, 1924. Temporäre Holz-Stahl-Konstruktion, Blick vom Zuschauerraum auf die Raumbühne, Fotografie.

Abb. 737: Temporäre Holz-Stahl-Konstruktion, Blick vom Seiteneingang auf Raumbühne und Zuschauerraum, Fotografie.

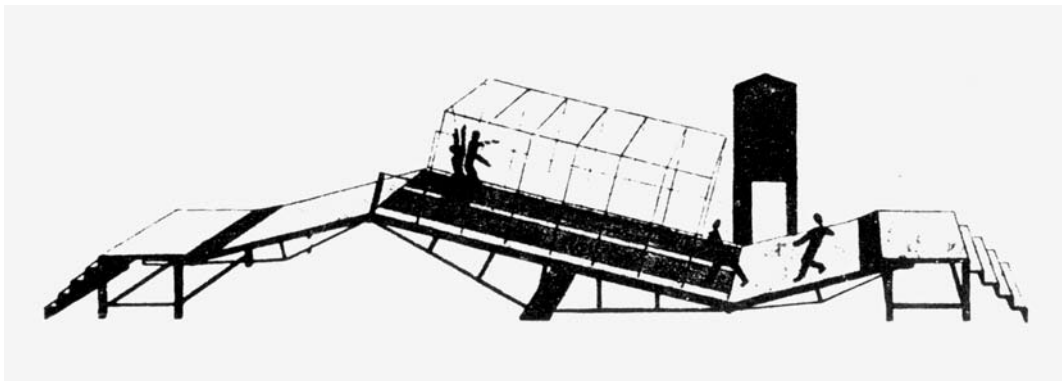
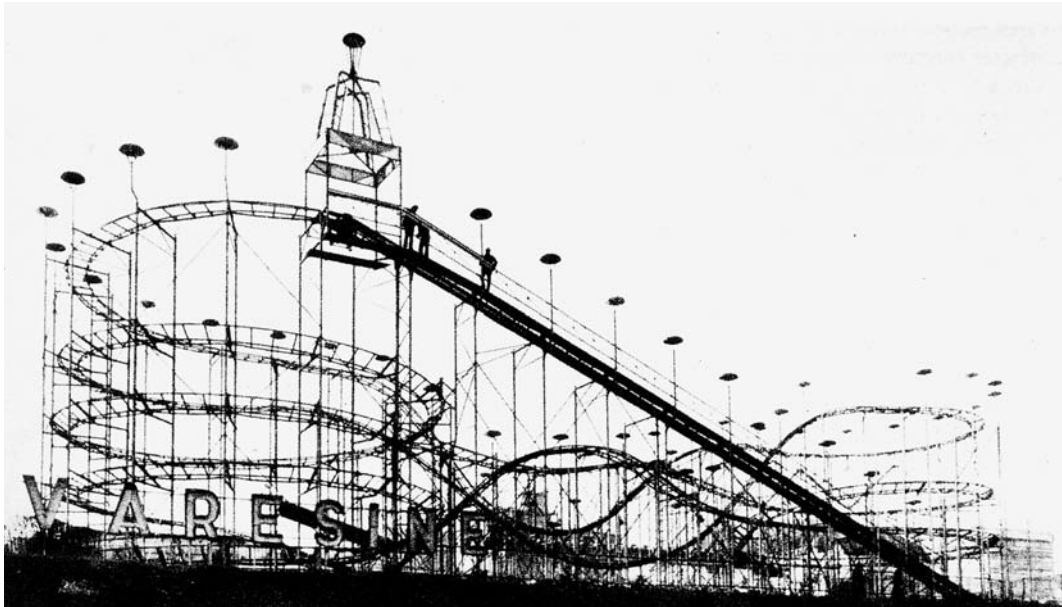


Abb. 738: Achterbahn, um 1900. Fotografie.

Abb. 739: Max Burchartz, Entwurf einer Einzelattraktion für einen Lunapark. Zeichnung, abgebildet in: G. Zeitschrift für elementare Gestaltung (Berlin), Nr. 3, 1924.

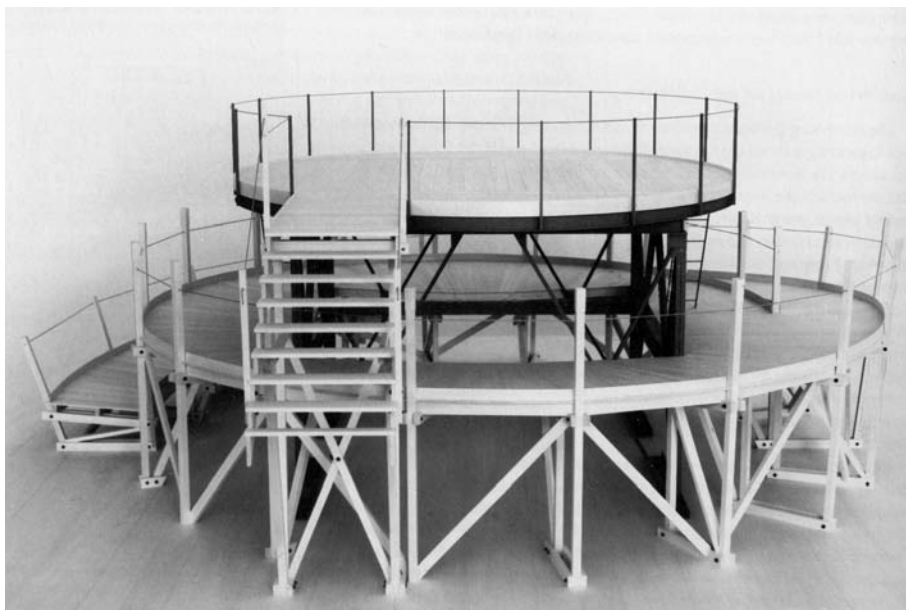


Abb. 740: Friedrich Kiesler, Modell der Raumbühne von 1924, Rekonstruktion, Wien, Österreich, 1986. Vorderseite, Fotografie.
Abb. 741: Rückseite, Fotografie.

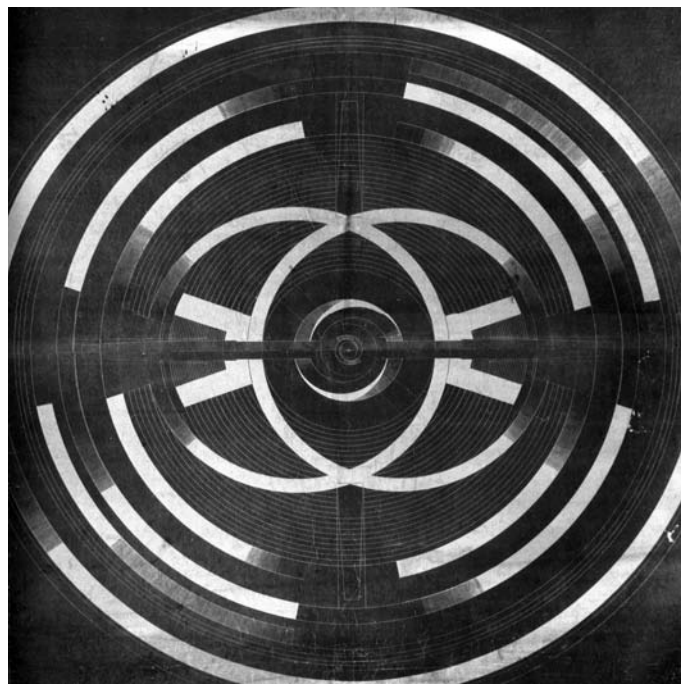
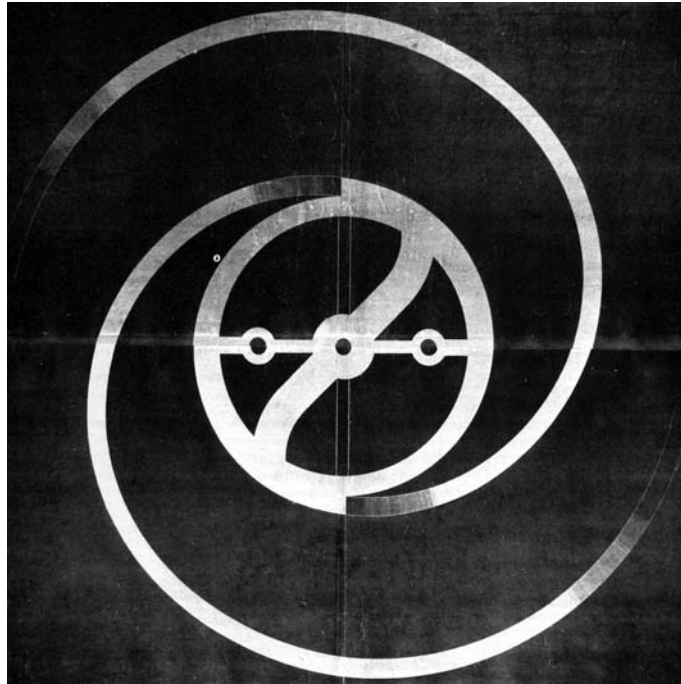


Abb. 742: Friedrich Kiesler, Entwurf einer Bühne in Form einer Doppelspirale, um 1924. Lichtpause auf Karton, 196,8 x 213,4 cm.

Abb. 743: Friedrich Kiesler, Projekt für ein Endless Theatre, Entwurf 1925. Lichtpause auf Karton, 210,8 x 213,4 cm.



Abb. 744: Ladislaus Tuszynsky, „Die Raumbühne oder: A so a Hetz war no net da“, Karikatur, abgebildet in: Der Götze von Berlichingen, Nr. 40, 3.10.1924, S. 1.



Abb. 745: Hermann Obrist, Denkmal, Entwurf um 1902. Modell aus Gips, 88 cm, Fotografie.
Abb. 746: Hans Poelzig, Flughaus, Entwurf um 1918. Zeichnung, Kohle.

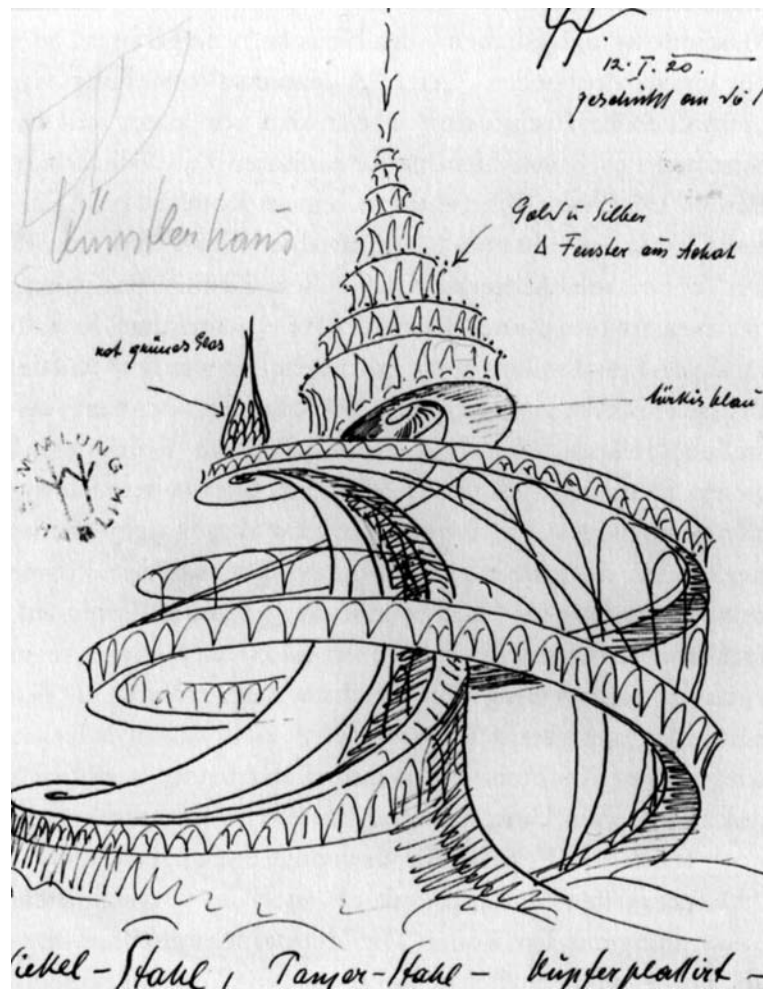


Abb. 747: Wenzel Hablik, Künstlerhaus, Itzehoe, Deutschland, Entwurf 1920. Tusche auf Pauspapier, 25,6 x 21 cm, Brief an die Gläserne Kette vom 12. Januar 1920.



Abb. 748: Wladimir Tatlin, Denkmal für die III. Internationale, Entwurf 1919/20. Modell, Fotografie.

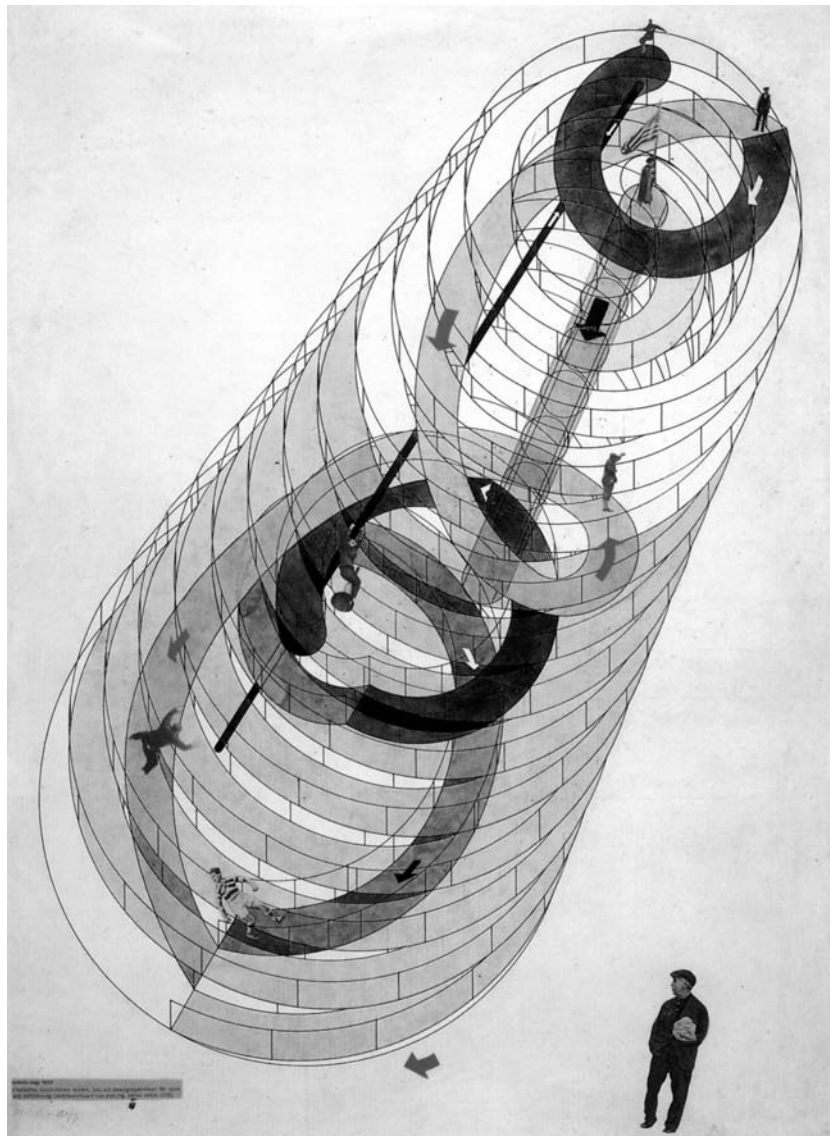


Abb. 749: László Moholy-Nagy, Kinetisch-konstruktives System, o. J. Bau mit Bewegungsbahnen für Spiel und Beförderung (Ausführung von Dipl.-Ing. Stefan Sebök 1928 nach früherem Entwurf). Collage über Lichtpause, Tusche, Aquarell und Fotomontage auf Karton, 76 x 54,5 cm.

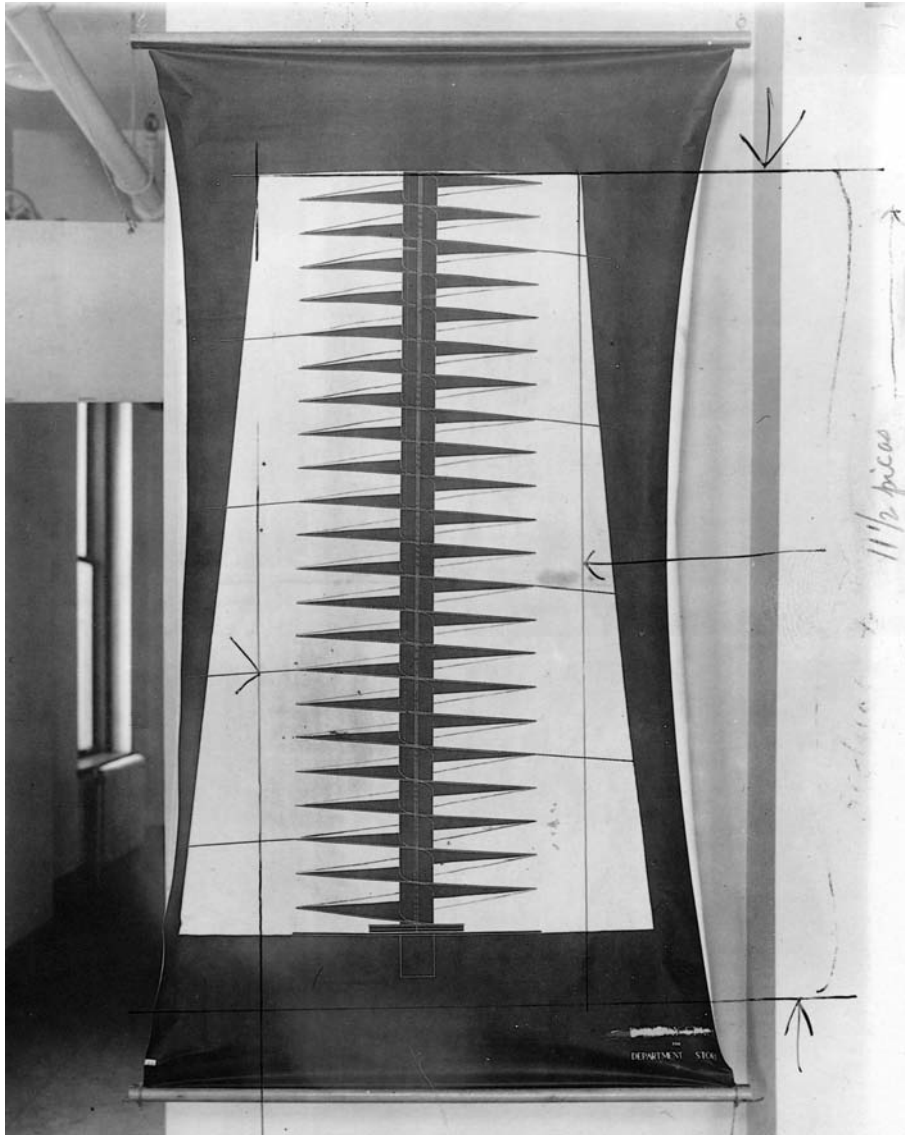


Abb. 750: Friedrich Kiesler, Projekt für ein Warenhaus in Spiralenform, Entwurf 1925. Lichtpause auf Karton, Fotografie.

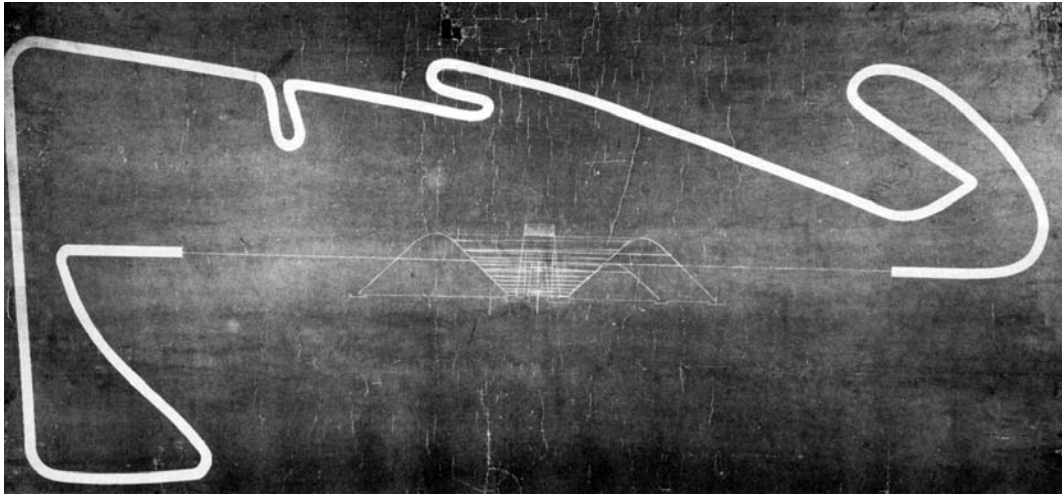


Abb. 751: Friedrich Kiesler, Projekt für die Umgestaltung der Place de la Concorde in Paris, Entwurf 1925. Lichtpause auf Karton, 92 x 194,3 cm.

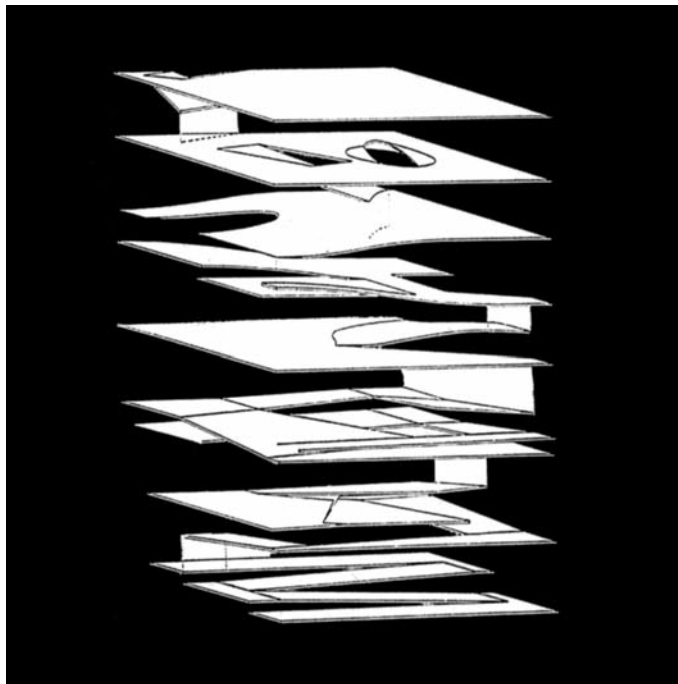
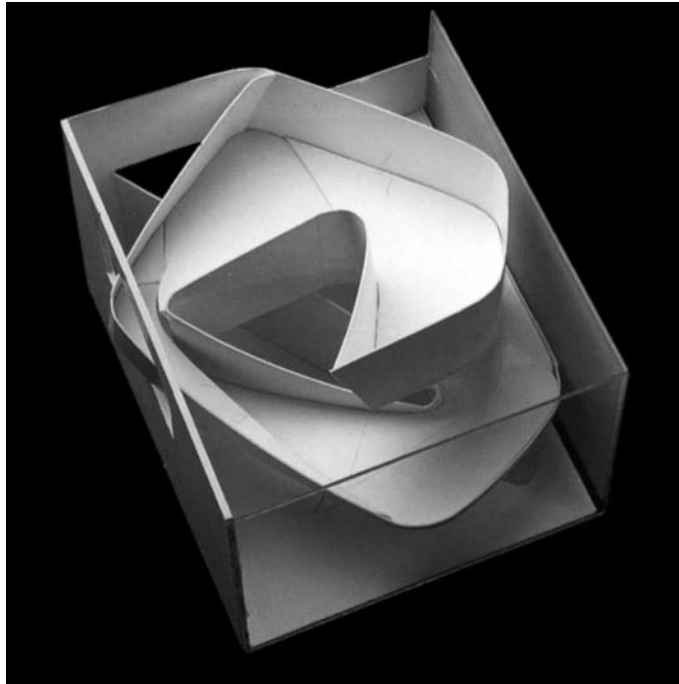


Abb. 752: Zaha Hadid, The Hague Villas, Spiral House, Den Haag, Niederlande, Entwurf 1991. Modell aus Karton und Kunststoff, 9 x 12,5 x 10,5 cm, Fotografie.

Abb. 753: Rem Koolhaas/OMA, Bibliothèques de Jussieu, Paris, Frankreich, Entwurf 1992/93. Axonometrisches Schema der gefalteten Geschossebenen (invertiert von der Verf.).

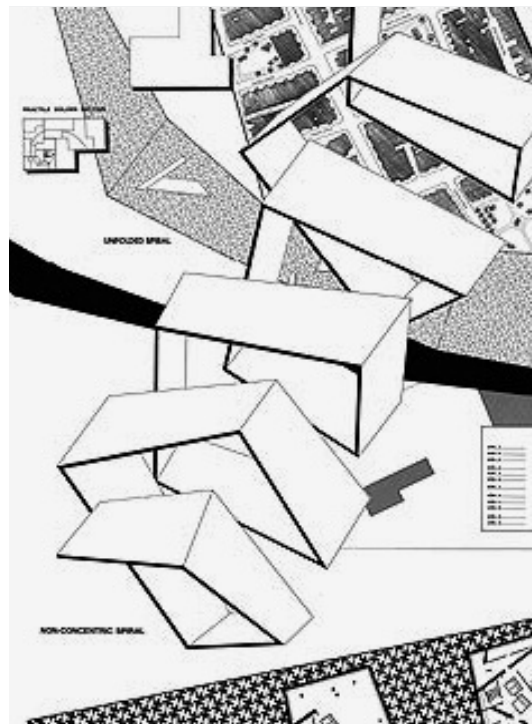
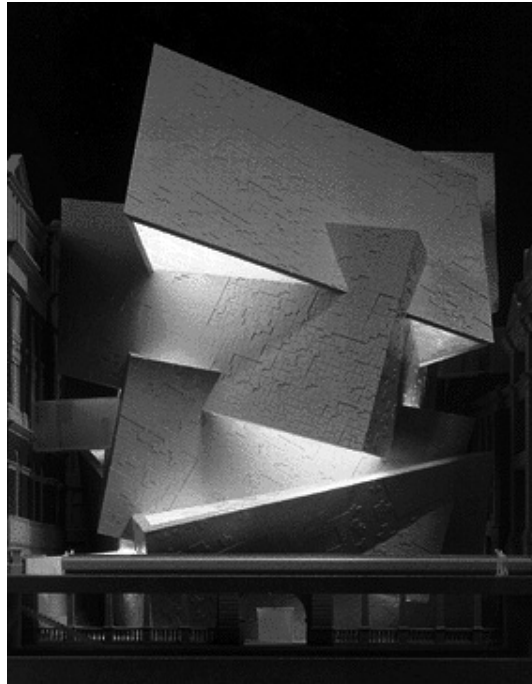


Abb. 754: Daniel Liebeskind, The Spiral on the Boilerhouse Site, Erweiterung des Victoria und Albert Museums, London, Großbritannien, Entwurf 1996. Modell, Südseite, Fotografie (Ausschnitt).
Abb. 755: Plan mit Axonometrie der spiralförmig angeordneten Wandfläche.

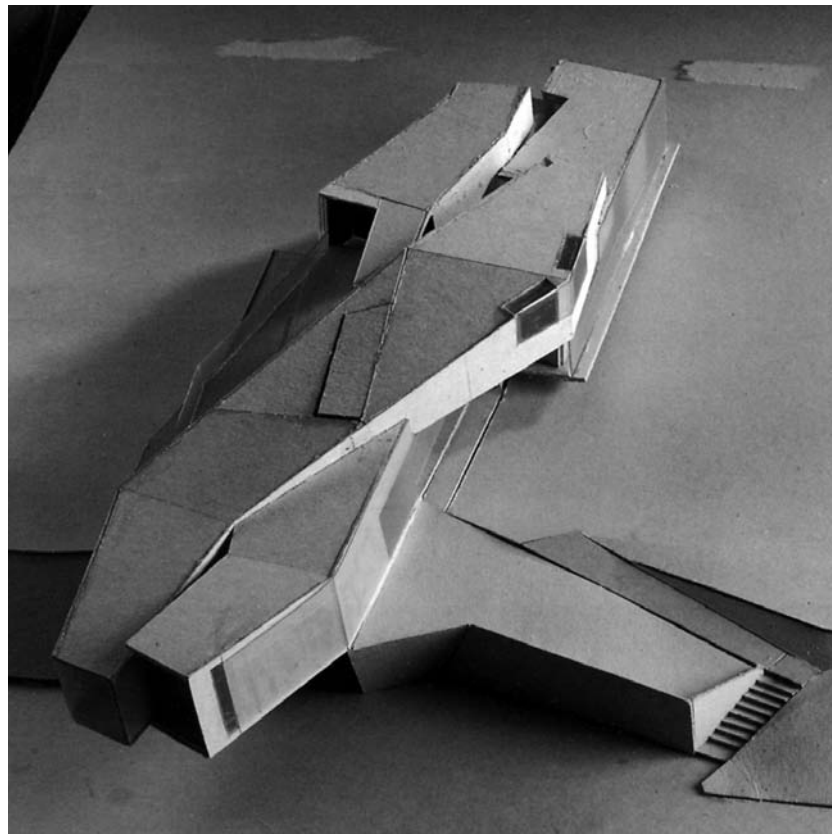
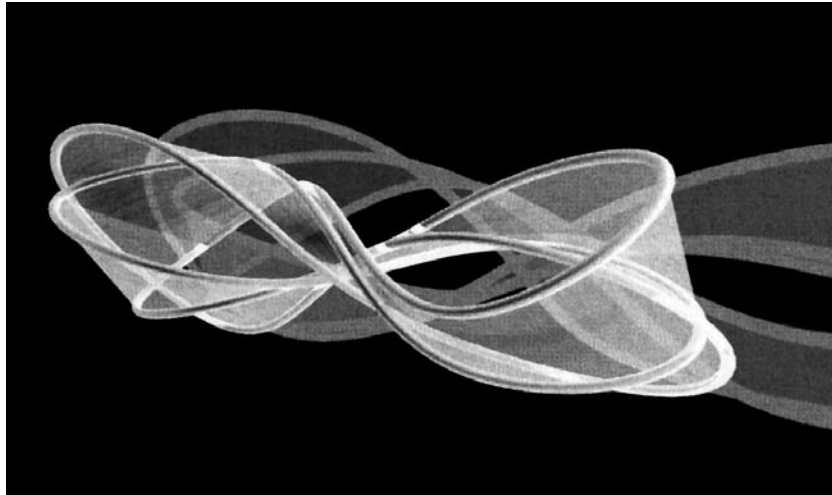


Abb. 756: Ben van Berkel, Möbius House, Het Gooi, Niederlande, 1993–98. Constructive diagram, trajectories of time, movement and construction generating column-free surface. Perspektive, Computerrendering.

Abb. 757: Modell aus Karton und Kunststoff, Südwestseite, 20 (h) x 79 x 50 cm, Fotografie.

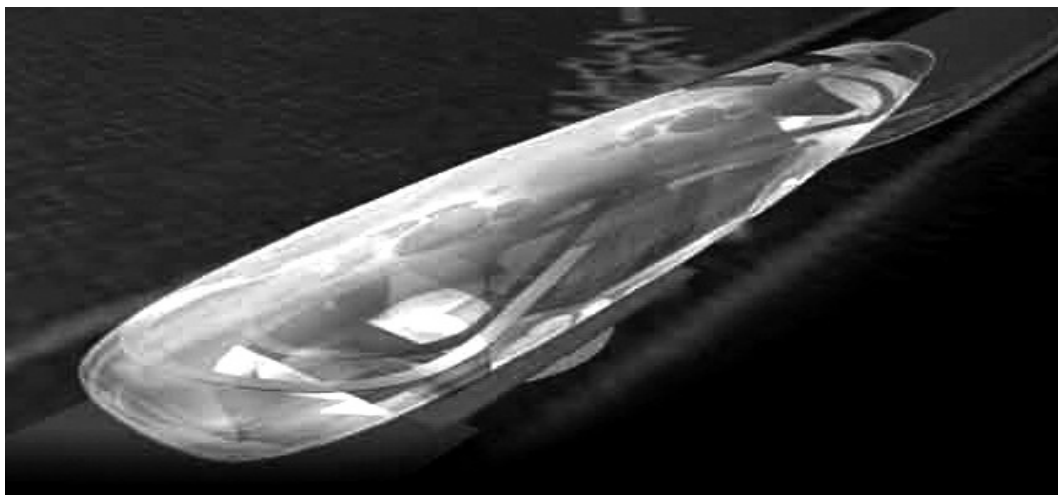
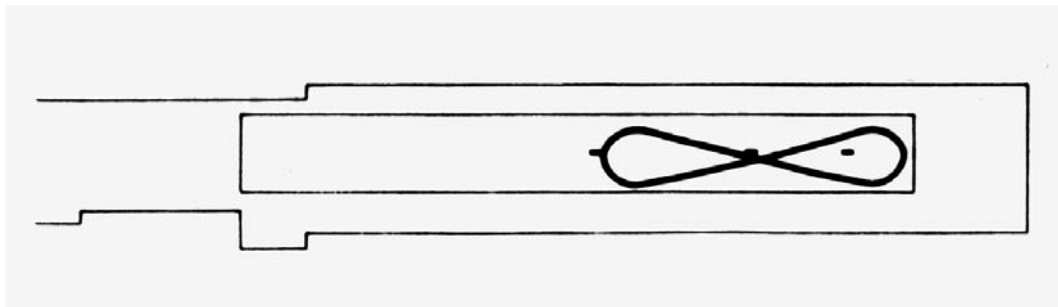


Abb. 758: Ben van Berkel, Yokohama International Port Terminal, Japan, Entwurf 1994. Wege-
studie: Pretzel Route, Aufsicht, Computerzeichnung.
Abb. 759: 3D-Modell, Perspektive, Nordseite, Computerrendering.

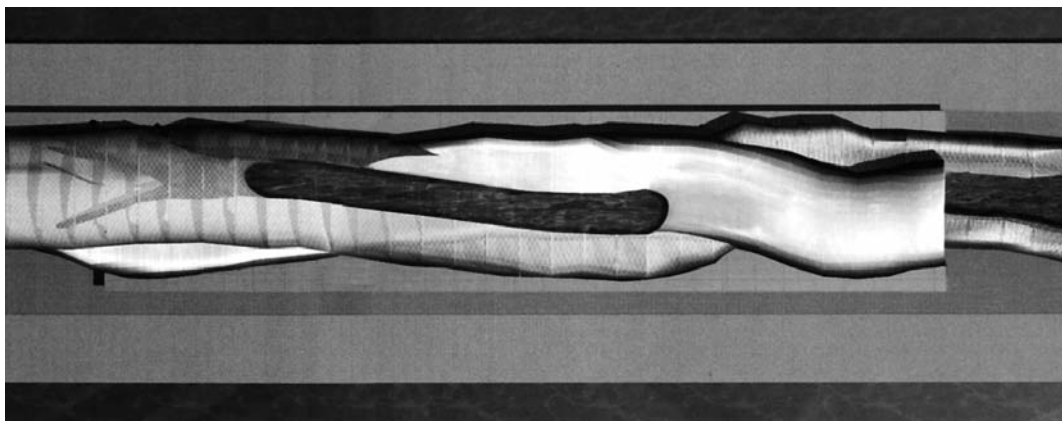
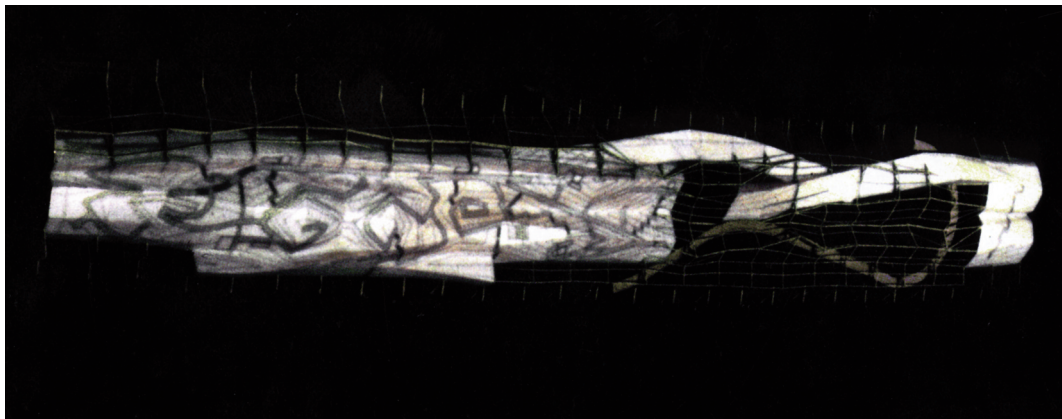


Abb. 760: Jesse Reiser und Nanako Umemoto, Yokohama International Port Terminal, Japan, Entwurf 1994. Modell der Dachstruktur mit projizierten Verkehrswegen auf der Dachfläche, Aufsicht, Fotografie.

Abb. 761: Modell der Verkehrswege, Aufsicht, Fotografie.

Abb. 762: Greg Lynn, Yokohama International Port Terminal, Japan, Entwurf 1994. 3D-Modell, Aufsicht, Computerrendering (Ausschnitt).



Abb. 763: Farshid Moussavi und Alejandro Zaera Polo/FOA, Yokohama International Port Terminal, Japan, 1994–2002. Wettbewerbsentwurf, 3D-Modell mit Umgebung, Perspektive, Montage aus Computerrendering und Fotografie.

Abb. 764: Farshid Moussavi und Alejandro Zarea Polo/FOA, Virtual House, Entwurf 1997. 3D-Modell, Perspektive, Computerrendering.



Abb. 765: Farshid Moussavi, Alejandro Zarea Polo/FOA, Virtual House, Entwurf 1997. Präsentationsmodell, Fotografie.

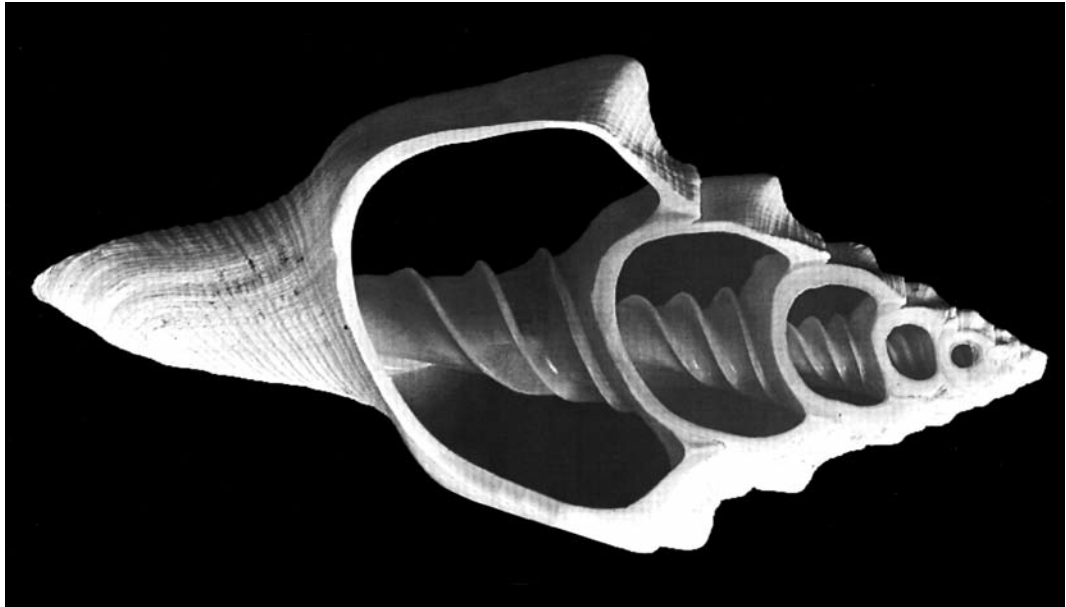


Abb. 766: Ben van Berkel und Caroline Bos/UN Studio, Concert Hall, Düsseldorf, Deutschland, Entwurf 1995. Strukturelles Vorbild: Längsschnitt durch eine Mitrasschnecke, Fotografie.



Abb. 767: Francesco Borromini, Sant' Ivo alla Sapienza, Rom, Italien, 1642–64. Laterne mit Spiral-
turm, Fotografie.

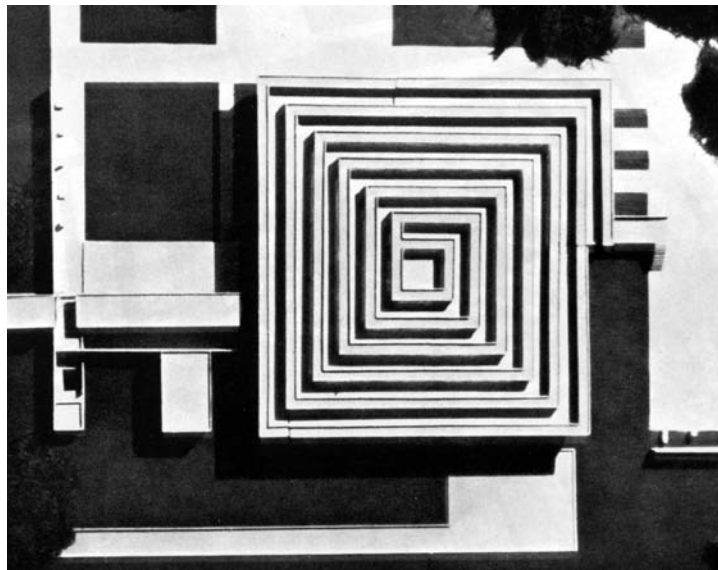
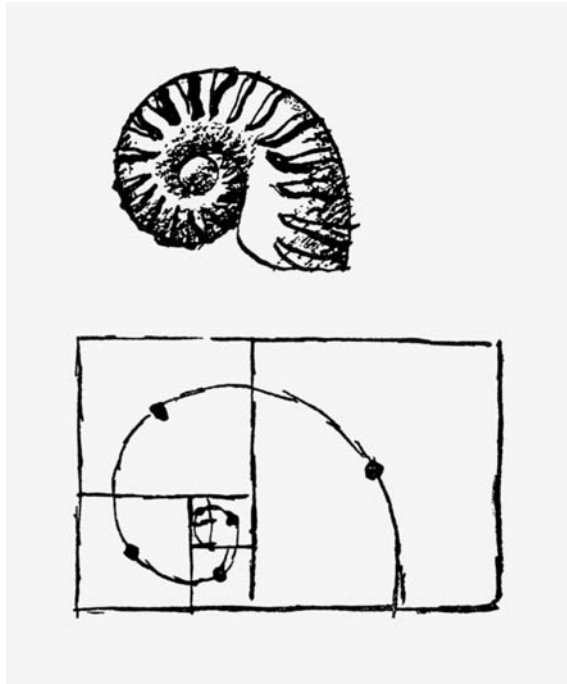


Abb. 768: Le Corbusier und Pierre Jeanneret, Musée à Croissance illimitée, Philippeville, Algerien, Entwurf 1939. Spiralförmig gewundene Schale einer Nautiluschnecke als strukturelles Vorbild (oben) und Goldene Spirale (unten), Skizze.

Abb. 769: Präsentationsmodell, Blick von oben, Fotografie

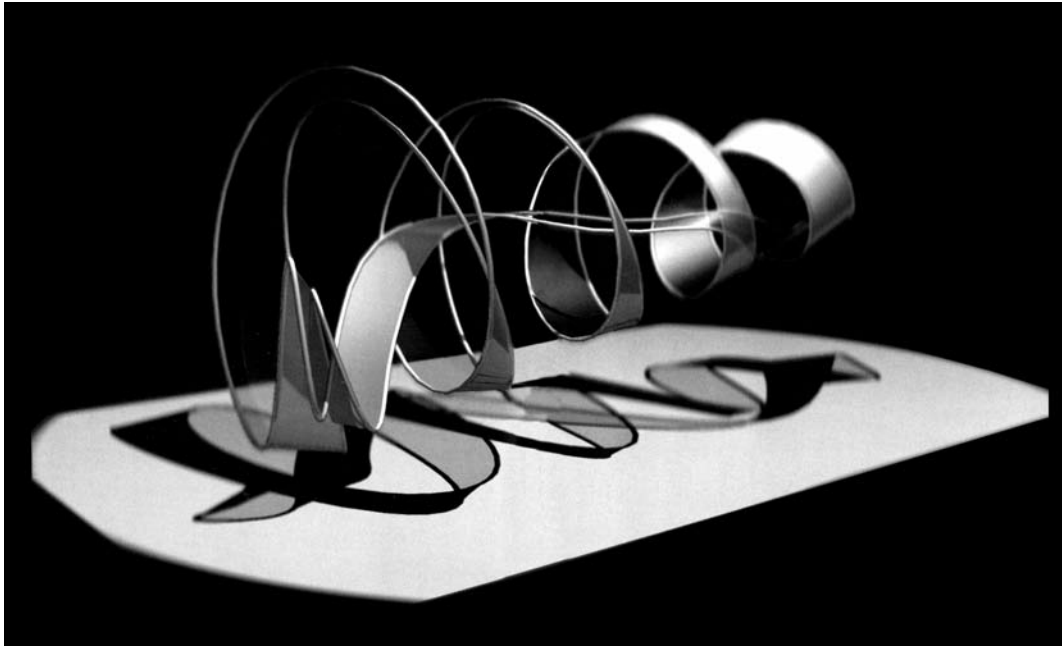


Abb. 770: Ben van Berkel und Caroline Bos/UN Studio, Hoogovens Triport, Beverwijk, Niederlande, Entwurf 1998. Diagram investigating inclusive, infrastructural, programmatic and constructive connectivity. Perspektive, Computerrendering.

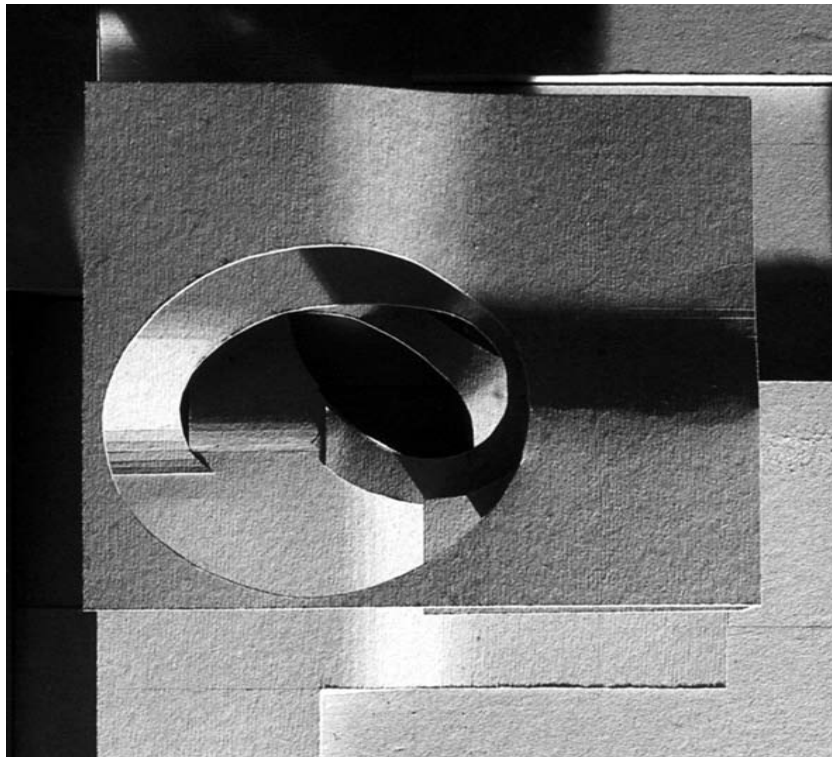
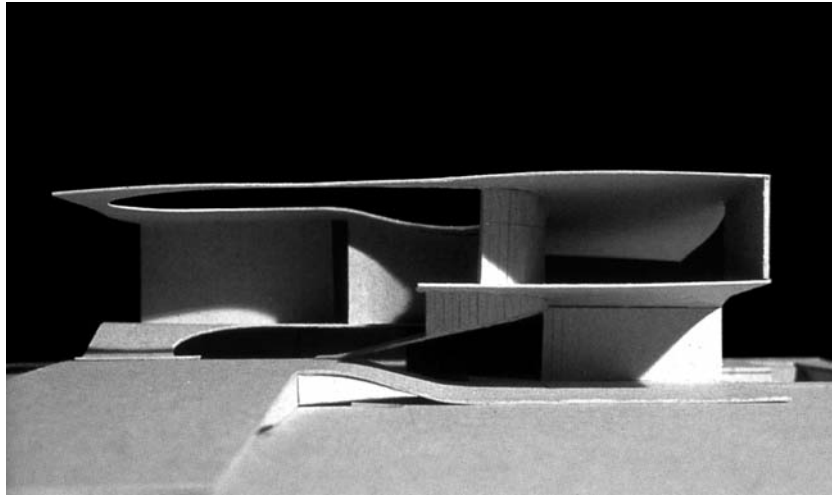


Abb. 771: Ben van Berkel, Dream House, Berlin, Entwurf 1996/97. Studienmodell aus Pappe, Südseite, Fotografie.

Abb. 772: Studienmodell aus Pappe, Aufsicht, Fotografie (Ausschnitt).

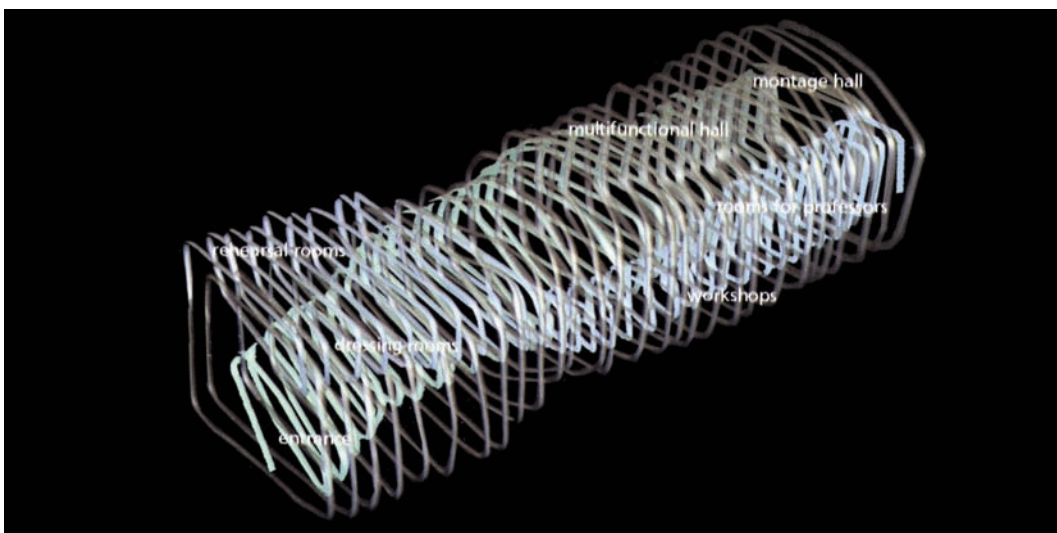
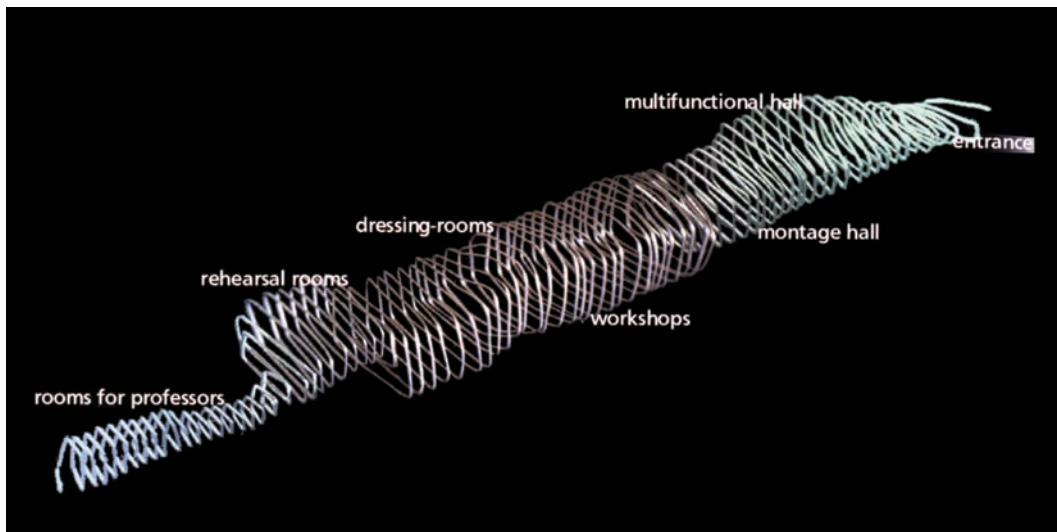


Abb. 773: Ben van Berkel und Caroline Bos/UN Studio, Musiktheater, Graz, Österreich, 1998–2008. Spring structure. Dreidimensionales Nutzungsschema mit linear angeordneten Spiralstrukturen, Computerrendering.

Abb. 774: Dreidimensionales Nutzungsschema mit sich durchdringenden Spiralstrukturen, Computerrendering

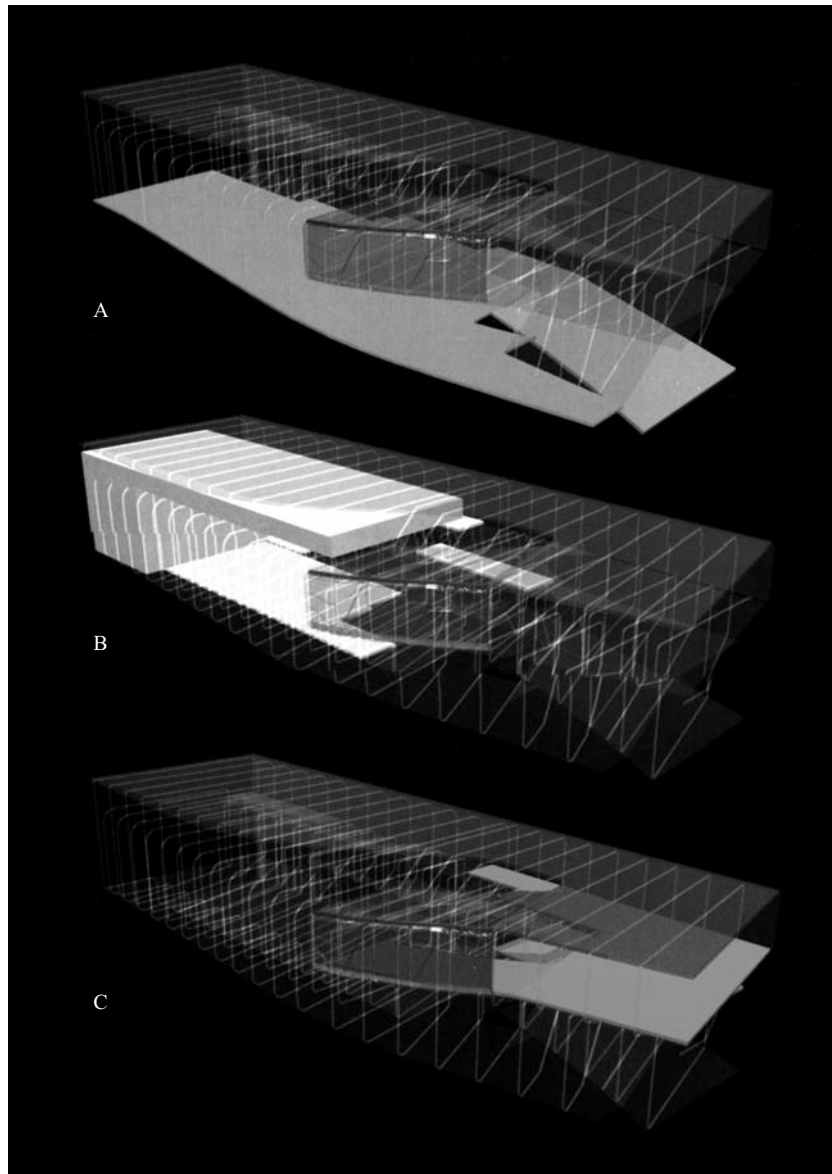


Abb. 775: Ben van Berkel und Caroline Bos/UN Studio, Musiktheater, Graz, Österreich, 1998–2008. Wettbewerbsentwurf, 3D-Modell der Konstruktion mit verschiedenen Nutzungsebenen: public surface (A), service surface (B), university surface (C), Perspektiven, Computerrenderings.

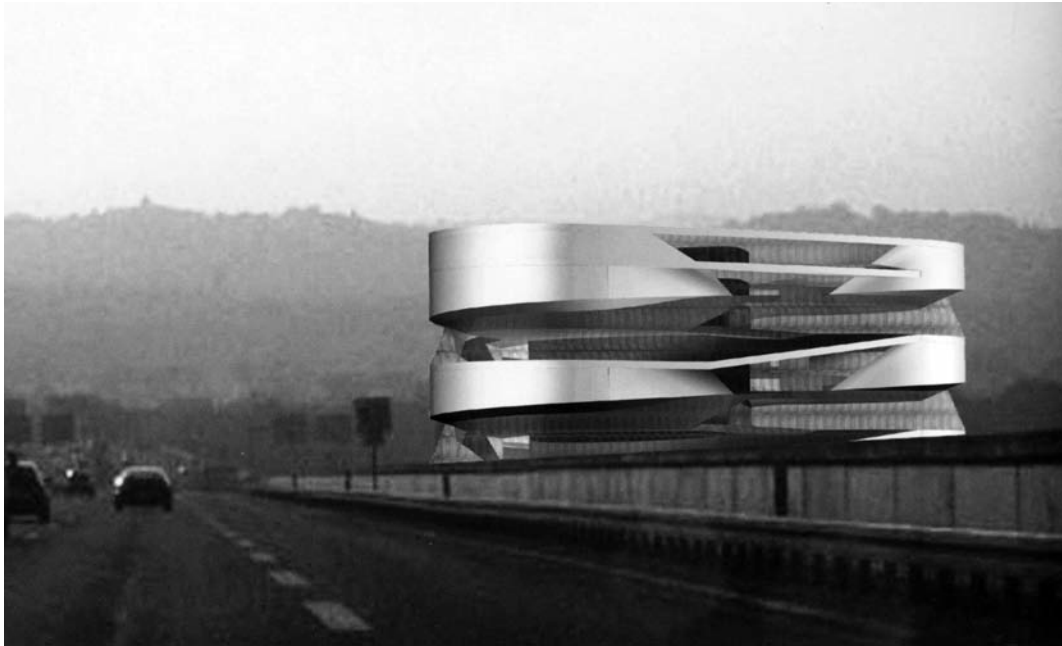


Abb. 776: Ben van Berkel und Caroline Bos/UN Studio, Mercedes-Benz Museum, Stuttgart, Deutschland, 2001–06. 3D-Modell mit Umgebung, Perspektive, Montage aus Computerrendering und Fotografie.

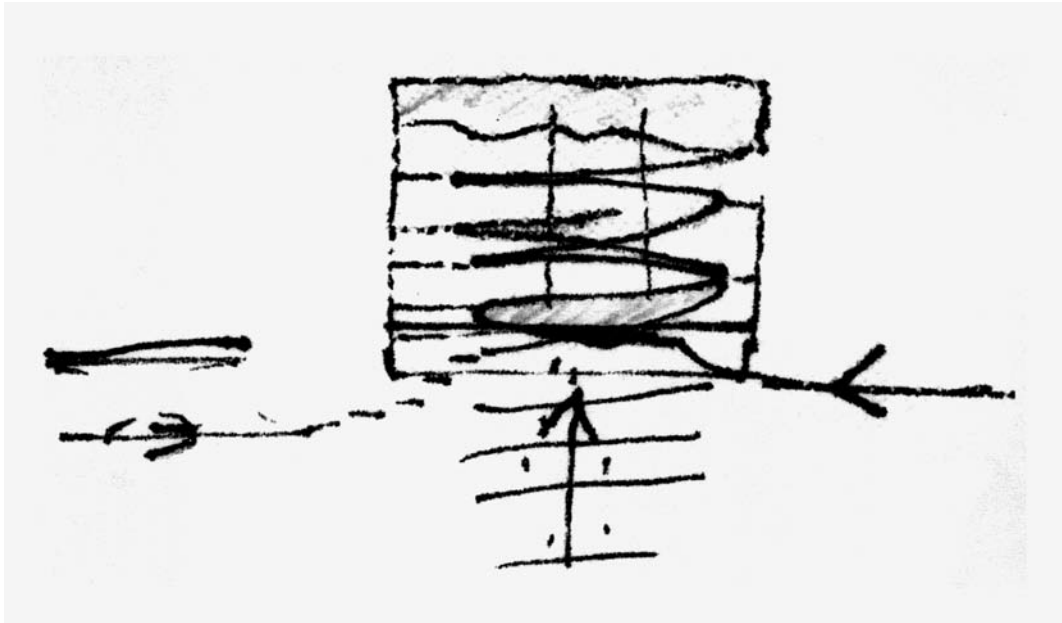


Abb. 777: Ben van Berkel und Caroline Bos/UN Studio, Mercedes-Benz Museum, Stuttgart, Deutschland, 2001–06. Erste Entwurfsskizze des erweiterten geometrischen Modells auf der Rückseite einer Strumpfhosenverpackung.

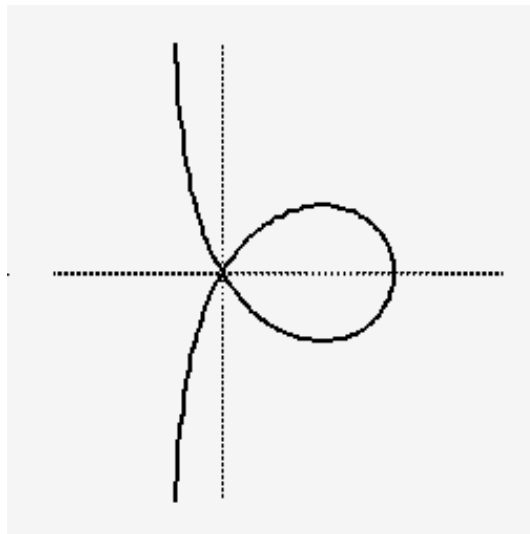
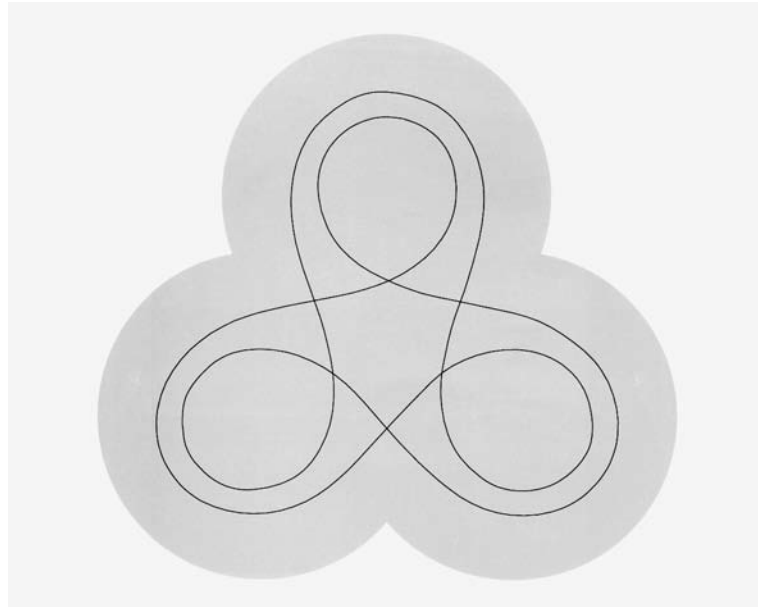


Abb. 778: Ben van Berkel und Caroline Bos/UN Studio, Mercedes-Benz Museum, Stuttgart, Deutschland, 2001–06. Organisationsform Kleeblatt, Computerzeichnung.

Abb. 779: Greg Lynn, Algebraische Kurve Trisectrix, Computerzeichnung, abgebildet auf der Internetseite von Greg Lynn FORM, www.glform.com, Unterseite „Bleb“ (Dezember 2006).

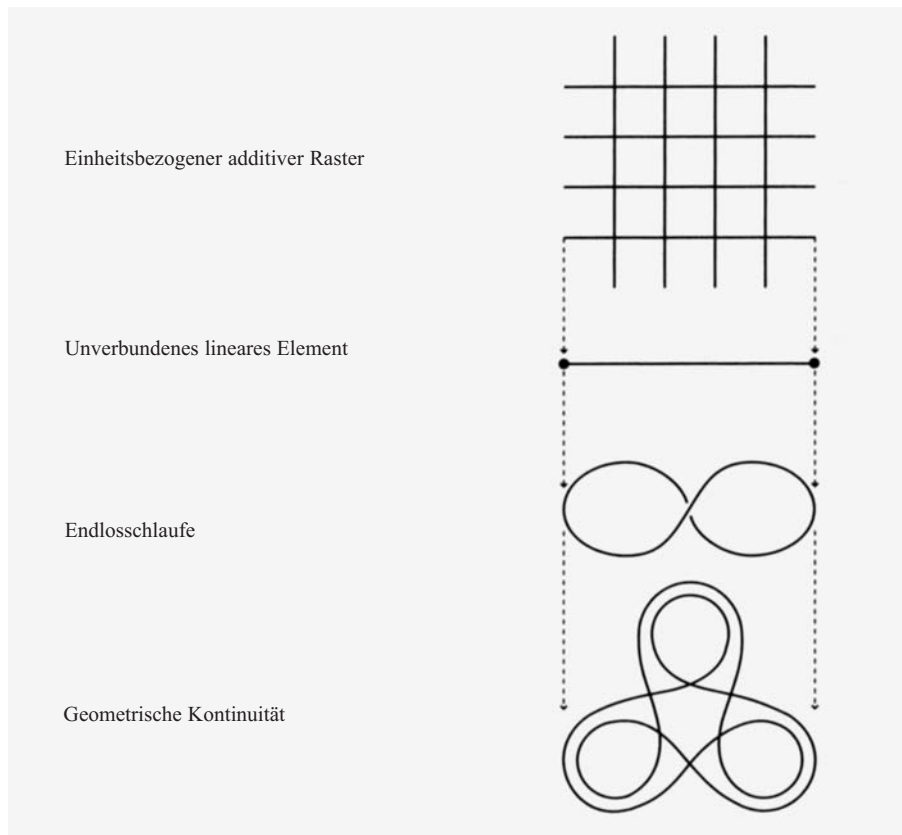


Abb. 780: Ben van Berkel und Caroline Bos/UN Studio, Mercedes-Benz Museum, Stuttgart, Deutschland, 2001–06. Verwandlung des geometrischen Ordnungssystems vom Quadratraster zur Kleeblattschleife, Computerzeichnungen.

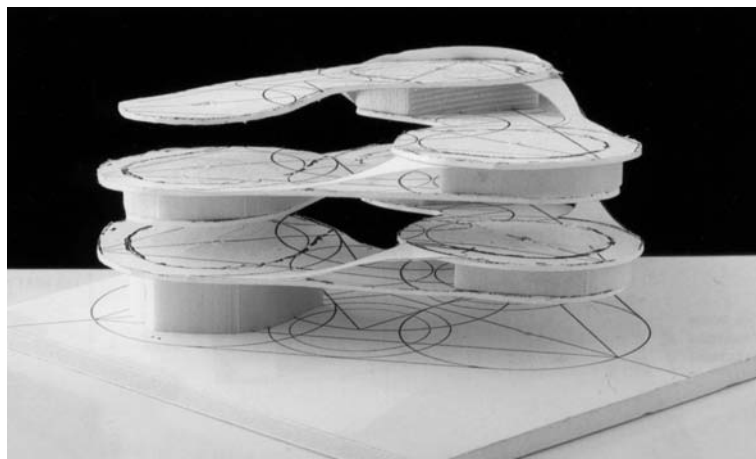
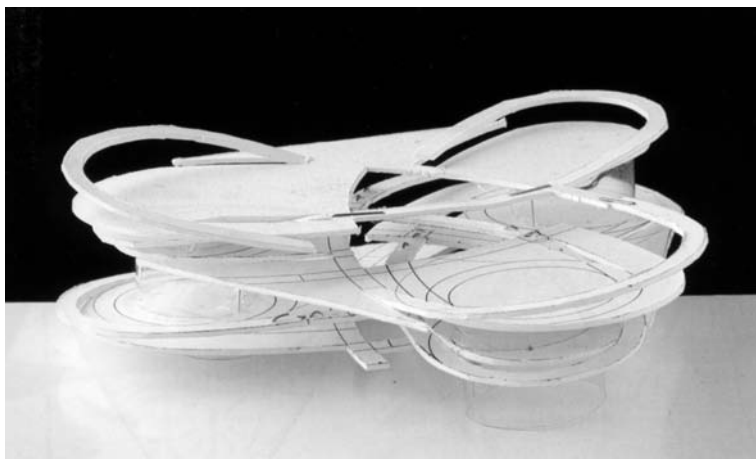
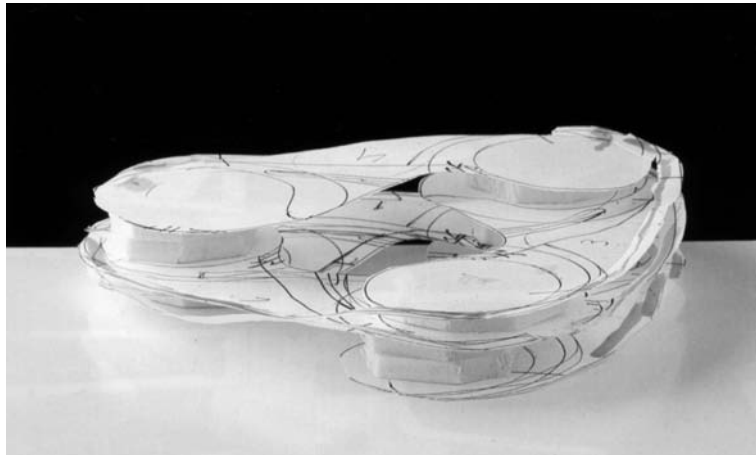


Abb. 781: Ben van Berkel und Caroline Bos/UN Studio, Mercedes-Benz Museum, Stuttgart, Deutschland, 2001–06. Studienmodell aus Papier und Polystyrol, Fotografie.

Abb. 782: Studienmodell aus Papier und Polystyrol, Fotografie.

Abb. 783: Studienmodell aus Papier und Polystyrol, Fotografie.

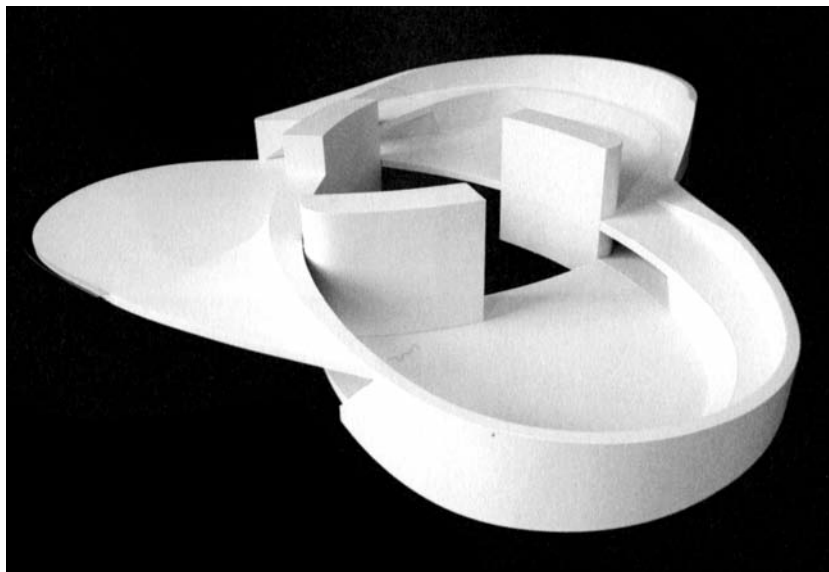
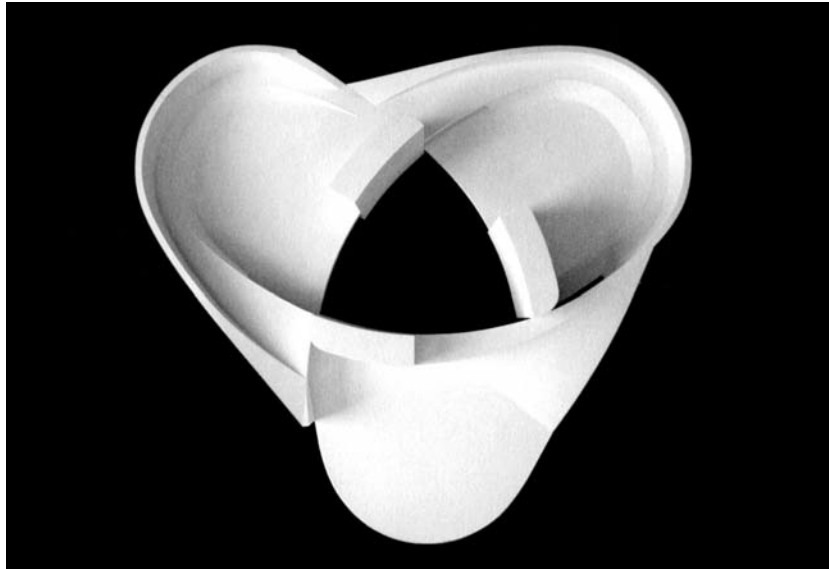


Abb. 784: Ben van Berkel und Caroline Bos/UN Studio, Mercedes-Benz Museum, Stuttgart, Deutschland, 2001–06. Modell eines Geschossmoduls, Blick von oben, Fotografie.
Abb. 785: Modell eines Geschossmoduls, Blick von der Seite, Fotografie.

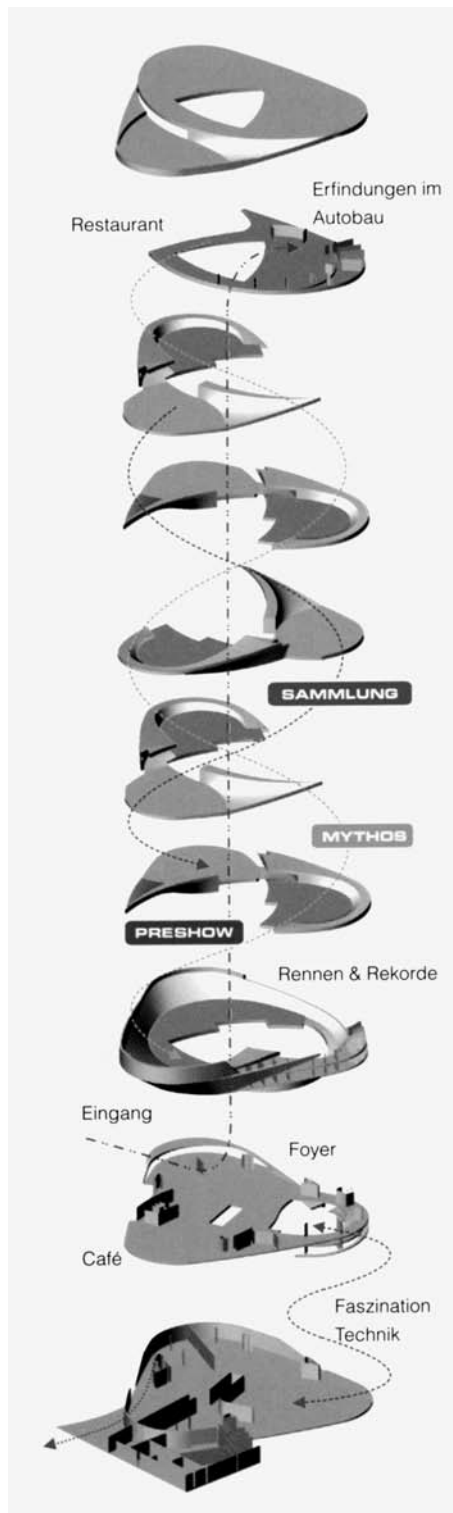


Abb. 786: Ben van Berkel und Caroline Bos/UN Studio, Mercedes-Benz Museum, Stuttgart, Deutschland, 2001–06. Mythen- und Sammlungsebenen, verbunden durch zwei schraubenartig geführte Promenaden, Explosionsaxonomie, Computerrendering.



Abb. 787: Ben van Berkel und Caroline Bos/UN Studio, Mercedes-Benz Museum, Stuttgart, Deutschland, 2001–06. 3D-Modell, Schnittperspektive, Computerrendering.

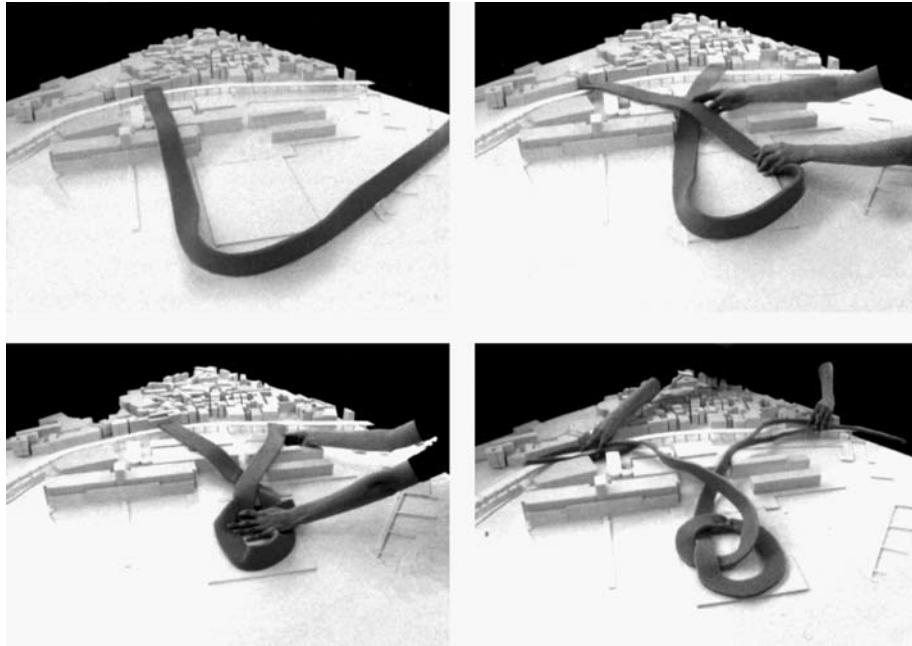


Abb. 788: MVRDV, Superloop, Public program and parking, Ponte Parodi, Genua, Italien, Entwurf 2000. Modellhafte Darstellung der Schleifenbildung im Lageplanmodell, Fotografien.
 Abb. 789: 3D-Modell mit Umgebung, Perspektive, Montage aus Computerrendering und Fotografie.

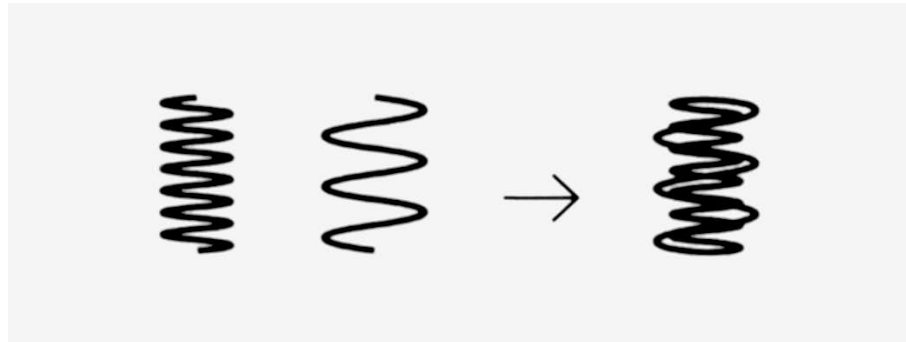


Abb. 790: MVRDV, Mobiloskop, Museum, Papenburg, Deutschland, Entwurf 2000/01. Schematische Darstellung der Verbindung von zwei Schraubenfiguren mit unterschiedlichem Durchmesser und unterschiedlicher Kurvensteigung, Computerzeichnung.
Abb. 791: 3D-Modell, Perspektive, Computerrendering.

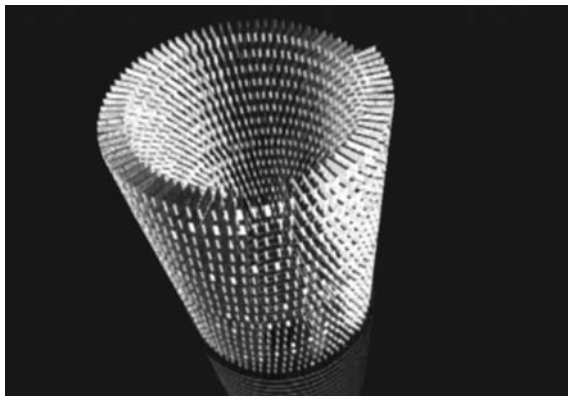
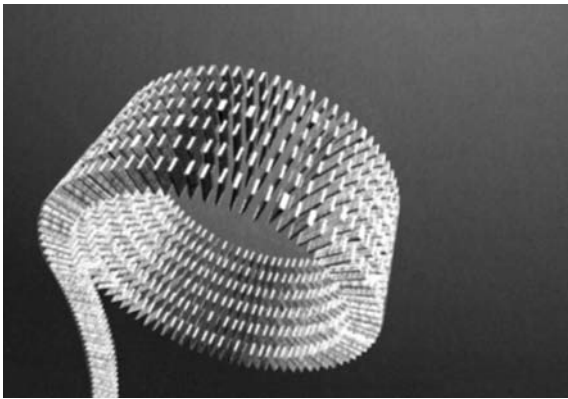
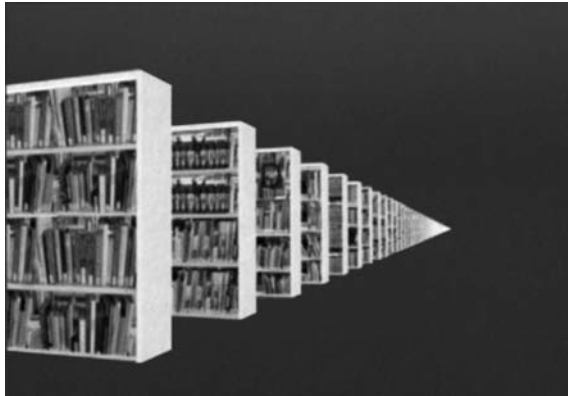


Abb. 792: MVRDV, Brabant Library, Central library for the province of North-Brabant, 's Hertogenbosch, Niederlande, Entwurf 2001. Studie, 3D-Modell, Regalreihe, Perspektive, Computeranimation, Standbild.

Abb. 793: Studie, 3D-Modell, Entwicklung von der Regalreihe zur Regalschraube, Perspektive, Computeranimation, Standbild.

Abb. 794: Studie, 3D-Modell, Regalschraube, Perspektive, Computeranimation, Standbild.

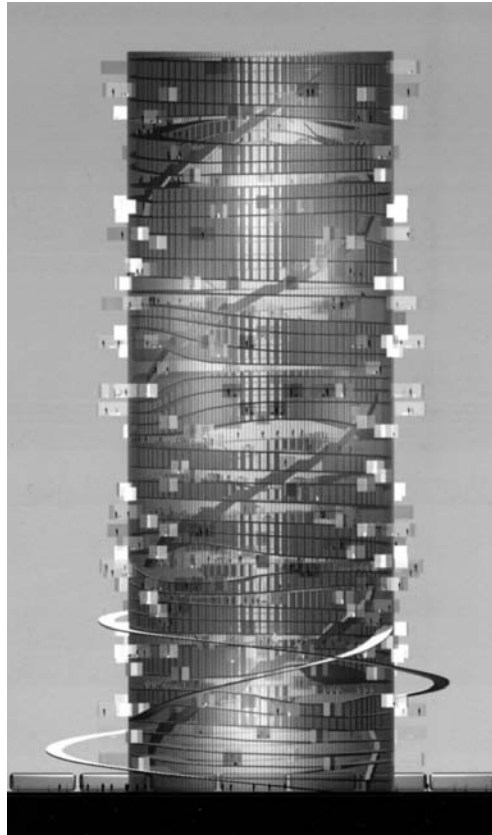


Abb. 795: MVRDV, Brabant Library, Central library for the province of North-Brabant, 's Hertogenbosch, Niederlande, Entwurf 2001. Ansicht, Computerrendering.

Abb. 796: 3D-Modell, Perspektive, Blick in das Atrium und auf die Bibliotheksebenen, Computerrendering.

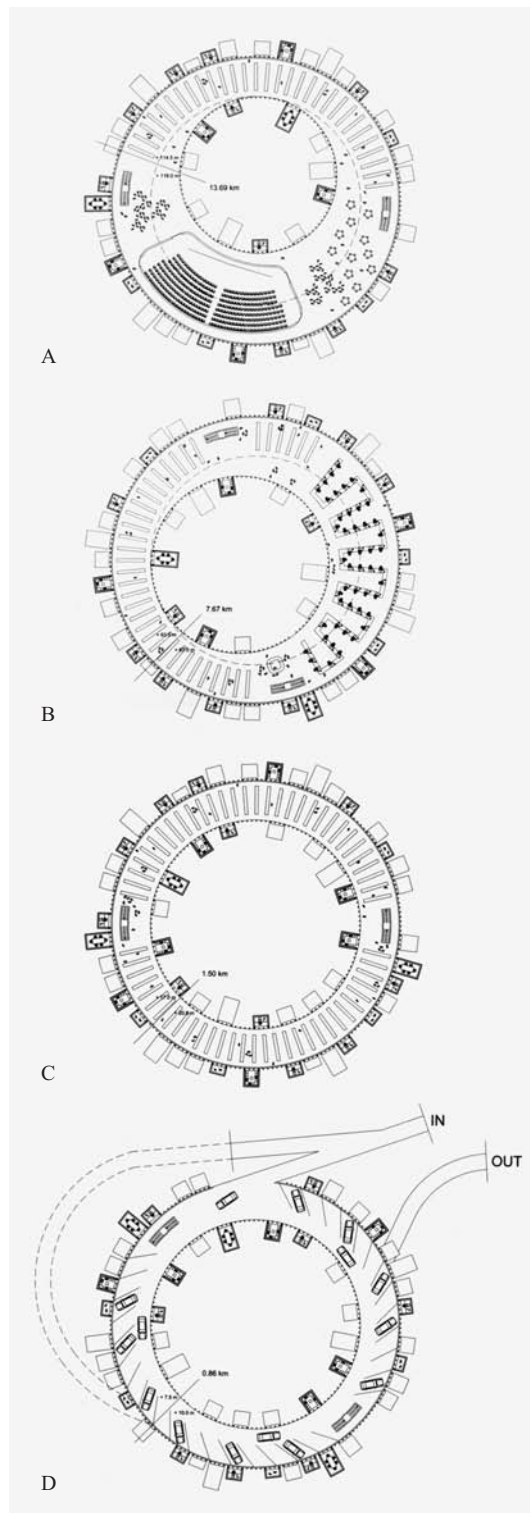


Abb. 797: MVRDV, Brabant Library, Central library for the province of North-Brabant, 's Hertogenbosch, Niederlande, Entwurf 2001. Grundrisse von oben nach unten: Theaterebene (A), Internet-caféebene (B), typische Bibliotheksebene (C), Parkebene (D).



Abb. 798: MVRDV, Brabant Library, Central library for the province of North-Brabant, 's Hertogenbosch, Niederlande, Entwurf 2001. Präsentationsmodell, Fotografie.



Abb. 799: MVRDV, Brabant Library, Central library for the province of North-Brabant, 's Hertogenbosch, Niederlande, Entwurf 2001. 3D-Modell, Perspektive, Blick in das Atrium und auf die Bibliotheksebenen, Computerrendering.

Abb. 800: Frank Lloyd Wright, Solomon R. Guggenheim Museum, New York, USA, 1943, 1956–59. Blick in das Atrium und auf die Ausstellungsebenen, Fotografie.



Abb. 801: Farshid Moussavi und Alejandro Zaera-Polo/FOA, Yokohama International Port Terminal, Japan, 1994–2002. Rampe zwischen Dach- und Terminalebene, Südostseite, Blick nach Südwesten, Fotografie.

Abb. 802: Hintere Rampe zwischen Dach- und Terminalebene, Fotografie.



Abb. 803: Frank Lloyd Wright, Solomon R. Guggenheim Museum, New York, USA, 1943, 1956–59. Blick in das Atrium und auf die Ausstellungsebenen, Fotografie.

Abb. 804: Ludwig Mies van der Rohe, Neue Nationalgalerie, Berlin, 1962–68. Obere Halle, Blick auf Eingangsfassade, Fotografie.

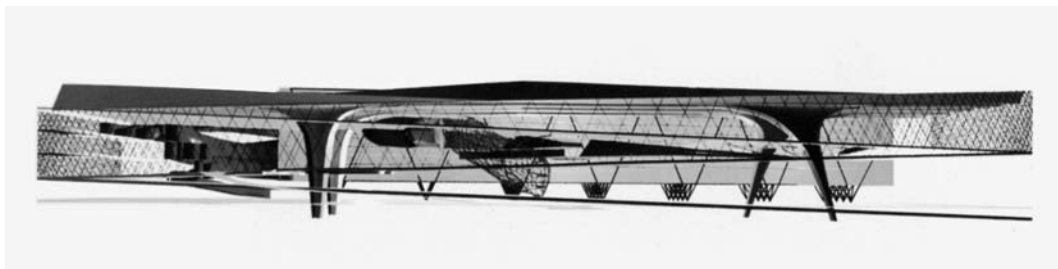
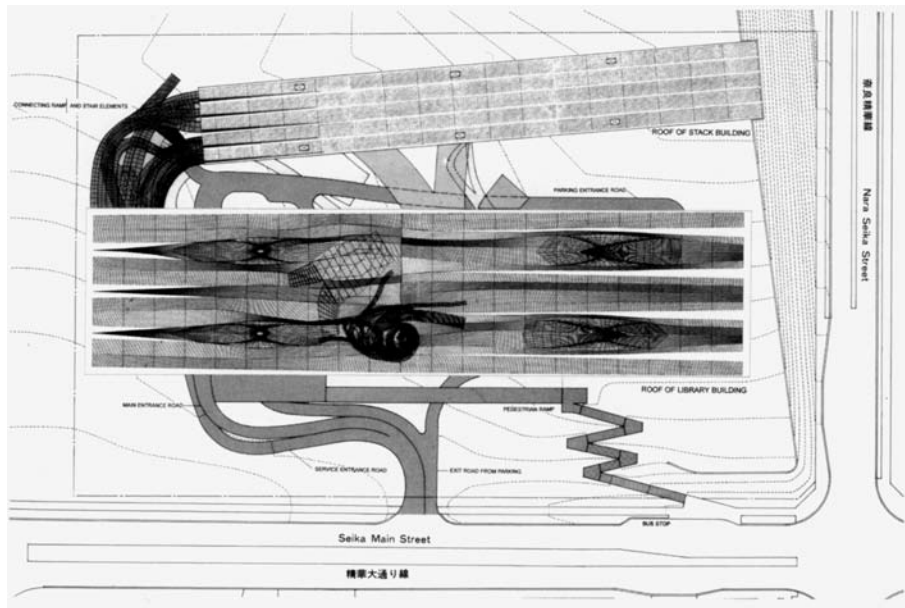


Abb. 805: Jesse Reiser, Nanako Umemoto, Kansai Library, Kyoto, Japan, Entwurf 1996. Lageplan, Computerzeichnung.
 Abb. 806: Ansicht, Computerrendering.

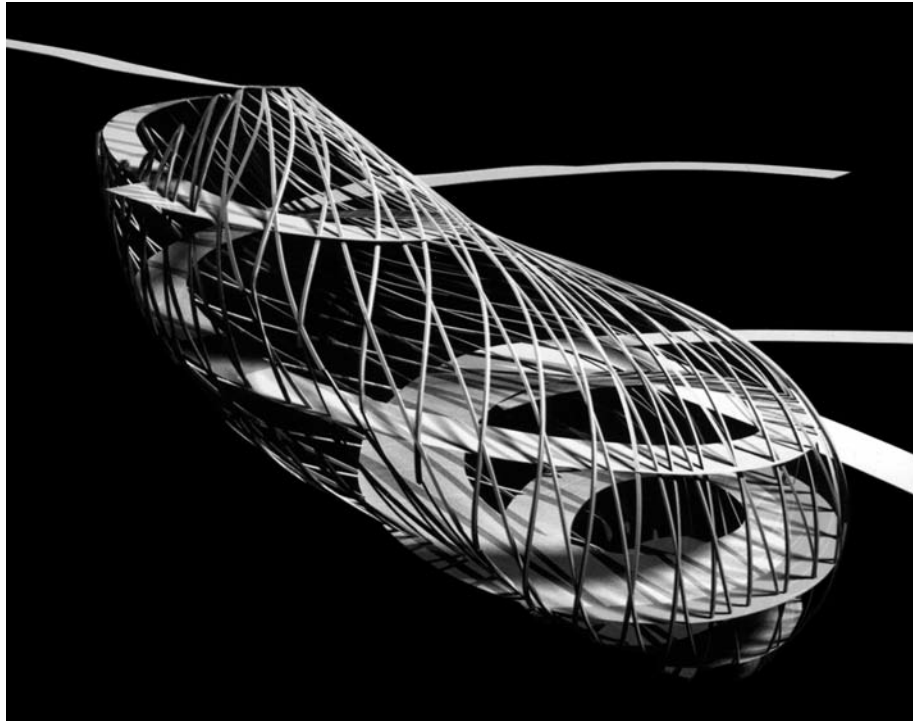


Abb. 807: Jesse Reiser, Nanako Umemoto, Kansai Library, Kyoto, Japan, Entwurf 1996. Geodetic Store, Modell, Fotografie.

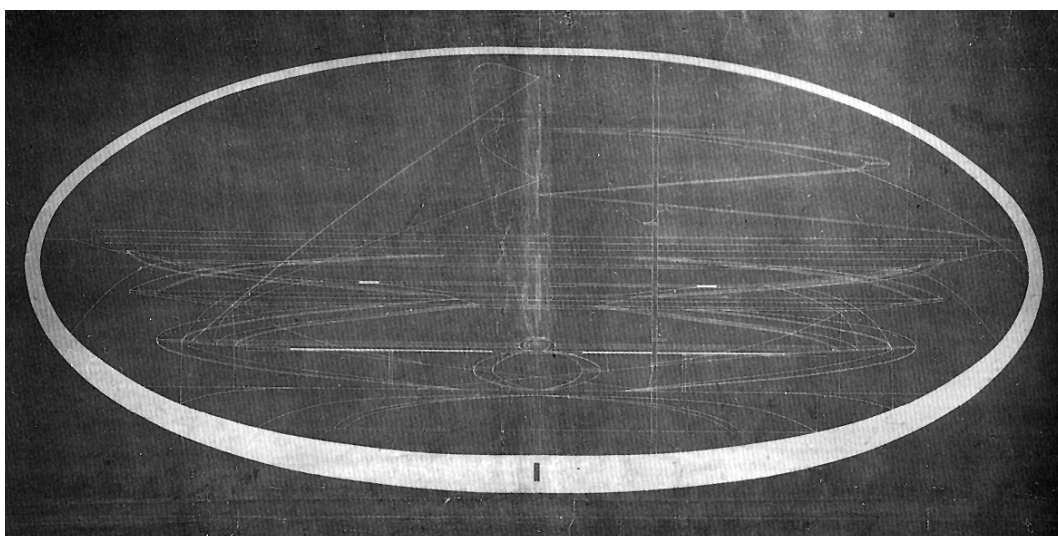
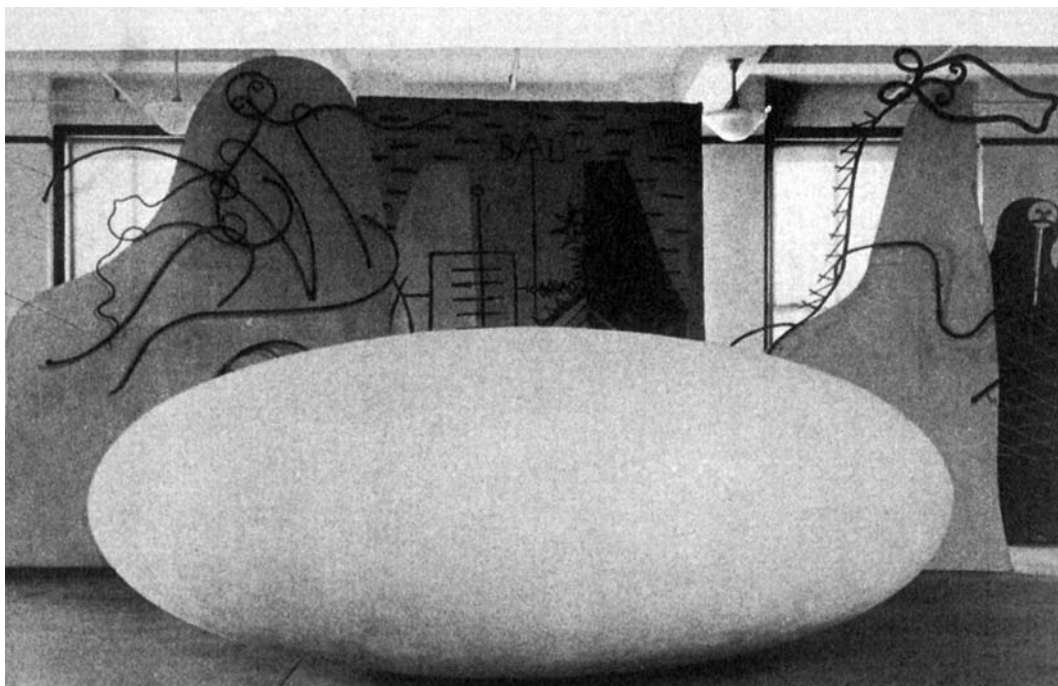


Abb. 808: Friedrich Kiesler, Endless Theatre, Entwurf 1926. Modell (zerstört) auf der *International Theatre Exhibition*, Steinway Hall, New York, USA, Fotografie.

Abb. 809: Friedrich Kiesler, Endless Theatre, Entwurf 1926. Schwarzpauze auf Leinwand aufgezogen, 118,7 x 256,5 cm, 1925.

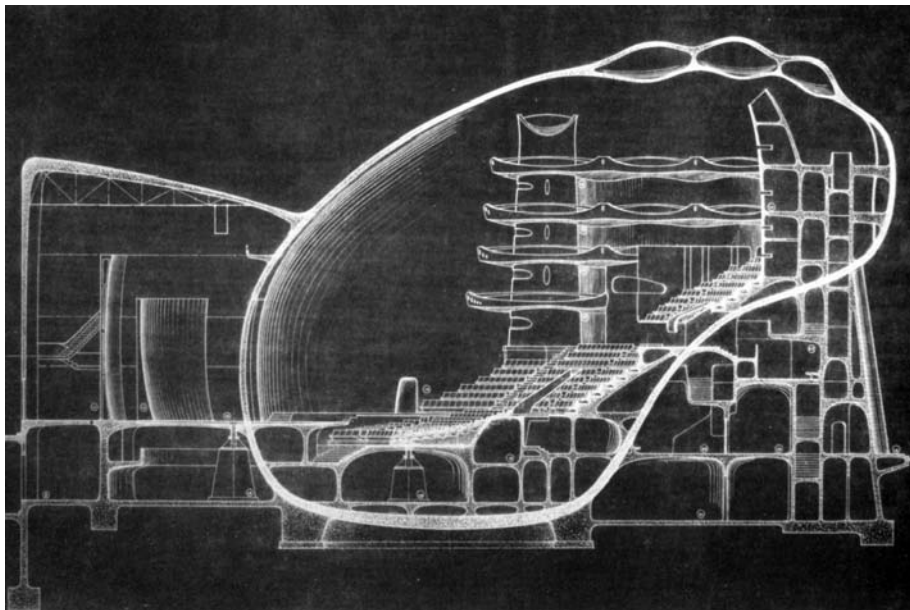
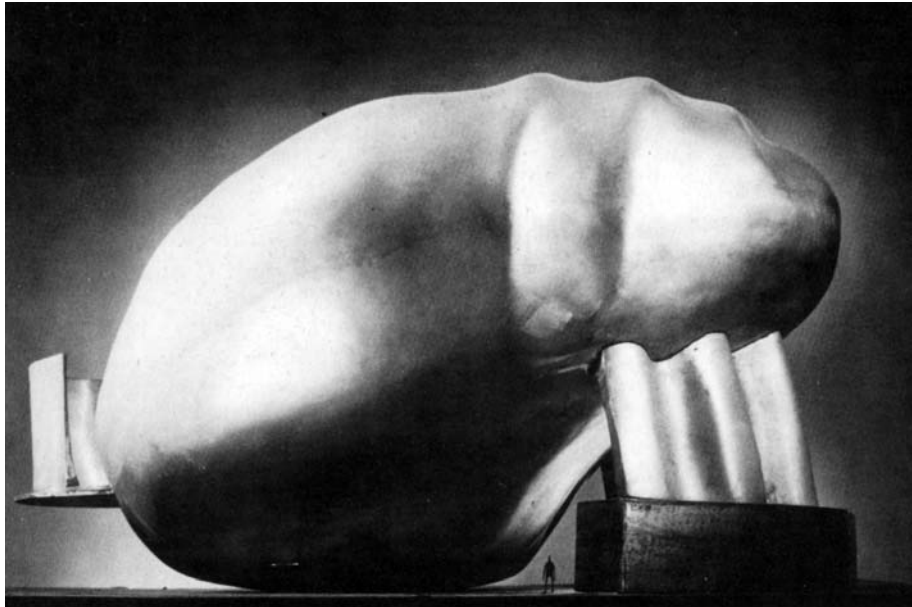


Abb. 810: Friedrich Kiesler, Universal Theatre, Entwurf 1959–62. Modell aus Aluminium, Fotografie.

Abb. 811: Längsschnitt, Lichtpause auf Karton, 91,4 x 167,6 cm.

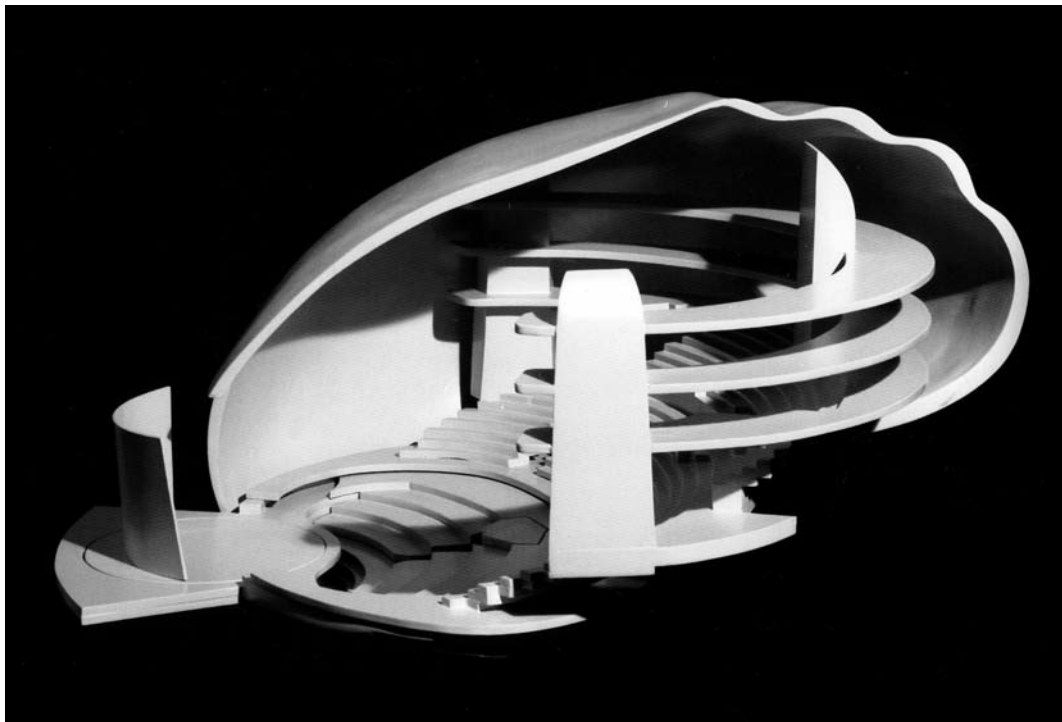


Abb. 812: Friedrich Kiesler, Universal Theatre, Entwurf 1959–62. Einblick in das Modell, Maßstab 1:100, MDF und Kunststoff, lackiert, Grundplatte 90 x 90 cm, gebaut vom Lehrstuhl für Raumkunst und Lichtgestaltung der TU München, Professorin Hannelore Deubzer, 2004, Fotografie.



Abb. 813: Friedrich Kiesler, Space House, Entwurf 1933. Fassadenprototyp (zerstört), errichtet im Verkaufslokal der Modernage Furniture Company, New York, USA, Fotografie.

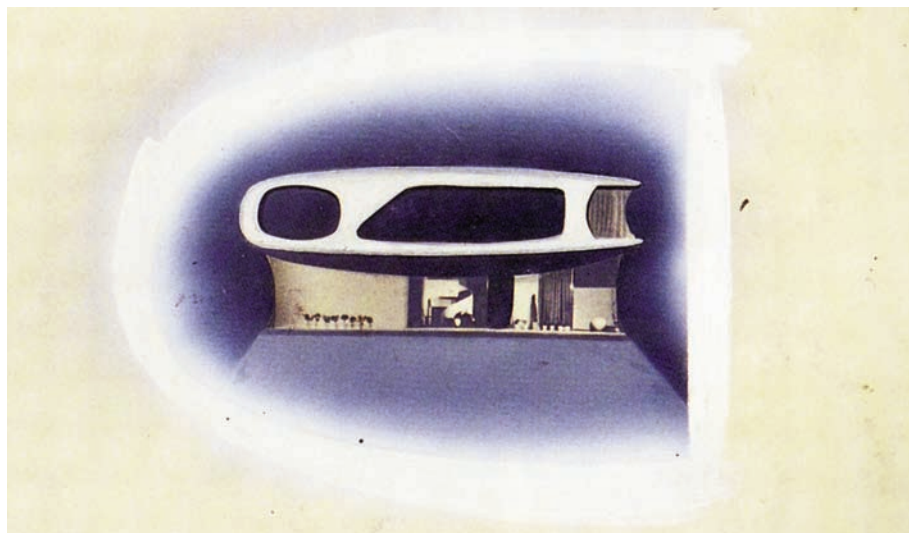
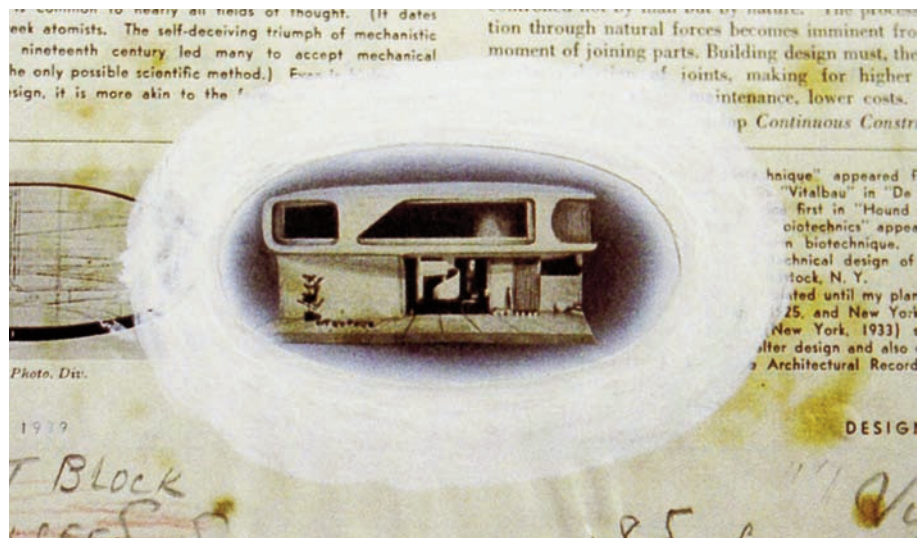


Abb. 814: Friedrich Kiesler, Space House, Entwurf 1933. Übermalter Ausschnitt aus: Frederick Kiesler, *Architecture as Biotechnique*, in: *Architectural Record*, September 1939, S. 67 (1940).
 Abb. 815: Übermalter Andruck für: Frederick Kiesler, *Architecture as Biotechnique*, in: *Architectural Record*, September 1939, S. 67 (1940), 42,5 x 52,5 cm.



Abb. 816: Friedrich Kiesler, Entwurf für einen Ausstellungsraum, 1942. Gouache auf Papier, 27,3 x 37,5 cm.

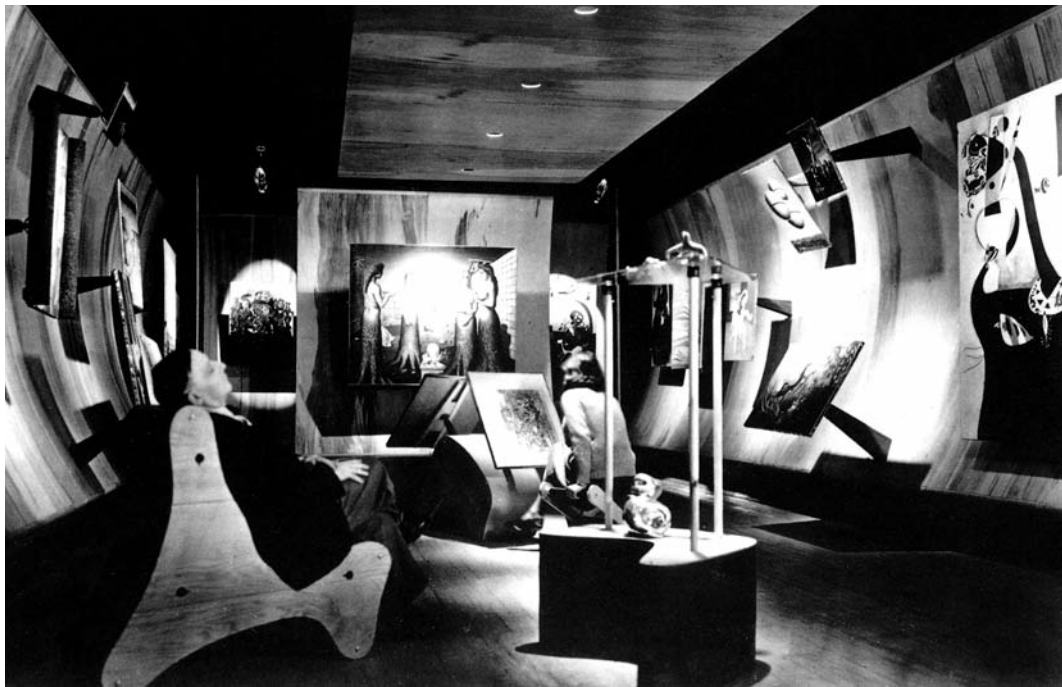


Abb. 817: Friedrich Kiesler, Art of This Century Gallery, New York, USA, 1942. Friedrich Kiesler in der Surrealisten-Galerie, Fotografie.

Abb. 818: Friedrich Kiesler, Multifunktionale Möbel, Art of This Century Gallery, New York, USA, 1942. Holz und Kunststoff, 84,8 x 39,7 x 88,9 cm, Fotografie.



Abb. 819: Friedrich Kiesler, Endless House, Entwurf 1947–61. Modell aus Ton, 1950, 15,2 x 53,3 x 25,5 cm, Fotografie.



Abb. 820: Friedrich Kiesler, Tooth House, Entwurf 1950. Studie, Tusche auf Papier, 21,3 x 27,9 cm.

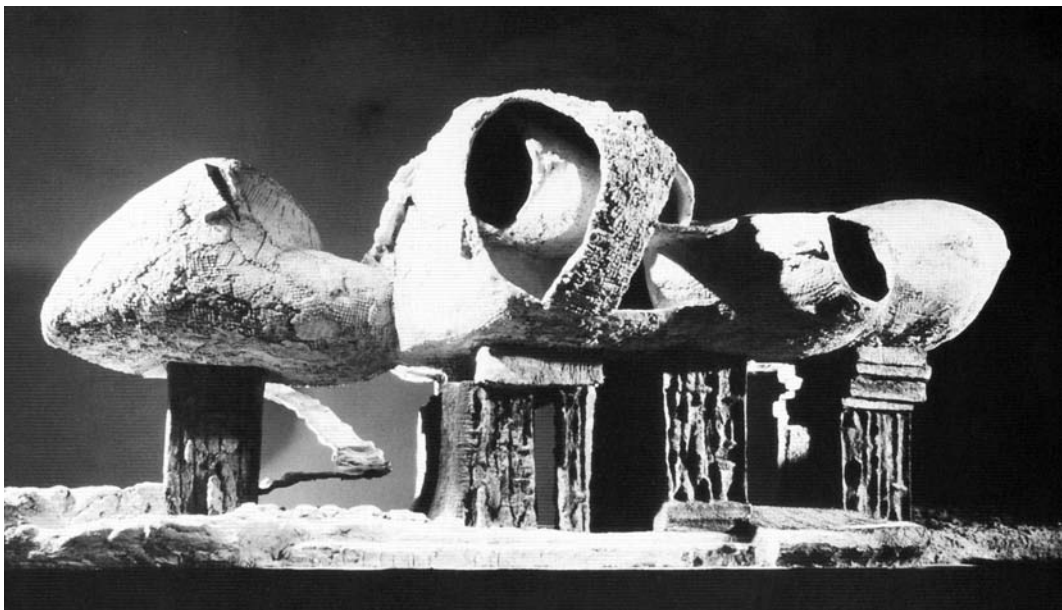
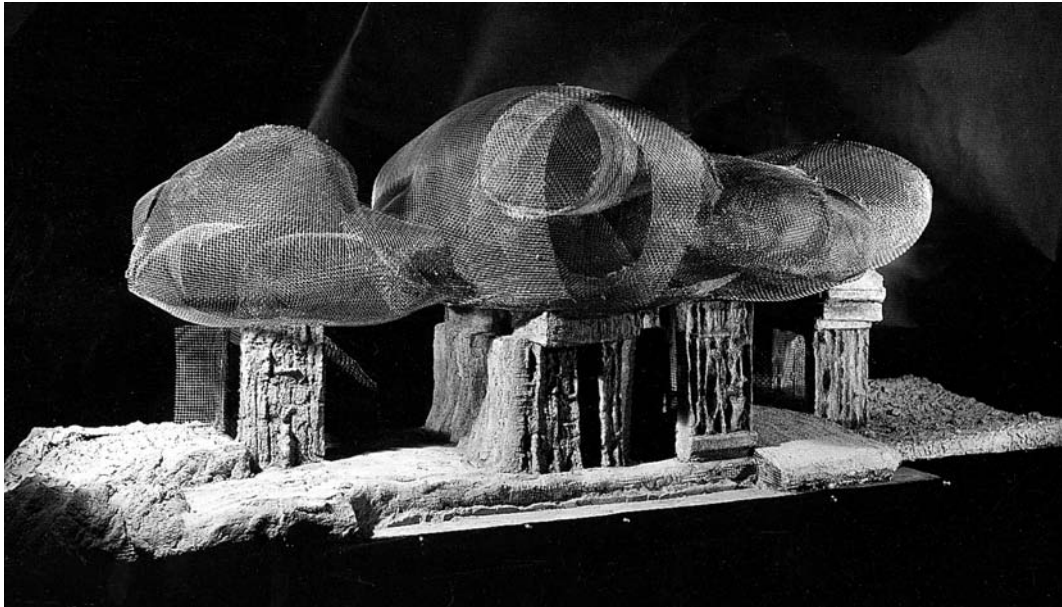


Abb. 821: Friedrich Kiesler, Endless House, Entwurf 1947–61. Modell für das Museum of Modern Art, New York, USA, 1959. Arbeitsstadium, Maschendraht, Zustand vor Zementauftrag, 96,5 x 247 x 106,7 cm, Fotografie.

Abb. 822: Modell für das Museum of Modern Art, New York, USA, 1959. Maschendraht, Zement und Plexiglas, 96,5 x 247 x 106,7 cm, Fotografie.



Abb. 823: Friedrich Kiesler, Endless House, Entwurf 1947–61. Fragment des Originalmodells, Maschendraht und Zement, 97,8 x 117 x 94 cm.



Abb. 824: Friedrich Kiesler, Endless House, Entwurf 1947–61. Einblick in das Modell für das Museum of Modern Art, New York, USA, 1959. Maschendraht, Zement und Plexiglas, 96,5 x 247 x 106,7 cm, Fotografie.

Abb. 825: Einblick in das Modell für das Museum of Modern Art, New York, USA, 1959. Maschendraht, Zement und Plexiglas, 96,5 x 247 x 106,7 cm, Fotografie.

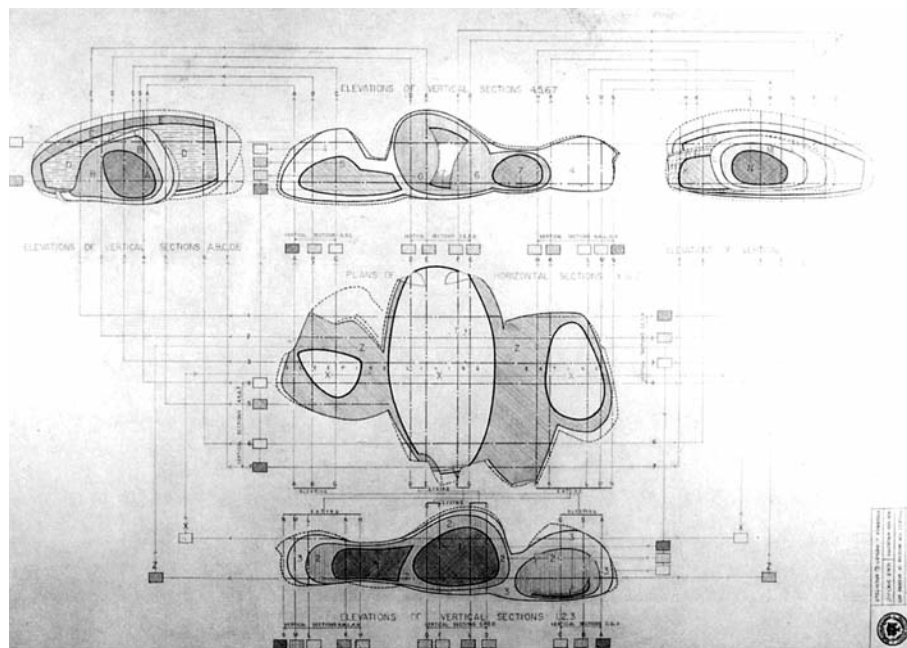
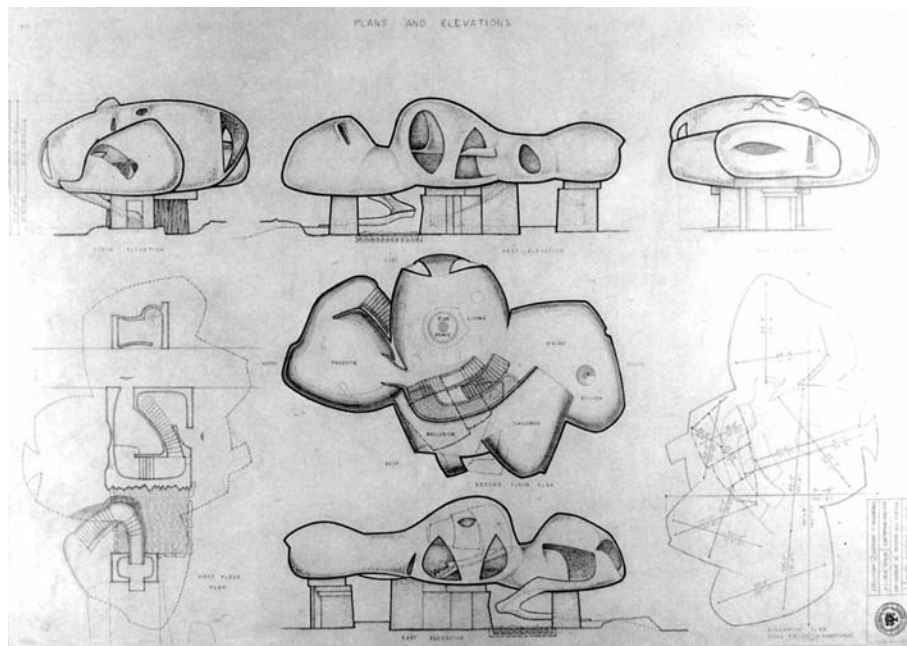


Abb. 826: Friedrich Kiesler, Endless House, Entwurf 1947–61. Projekt für das Museum of Modern Art, New York, USA, 1959. Grundrisse und Ansichten, Bleistift auf Transparentpapier, 95,5 x 132 cm.
 Abb. 827: Horizontal- und Vertikalschnitte, Bleistift auf Transparentpapier, 95,5 x 132 cm.

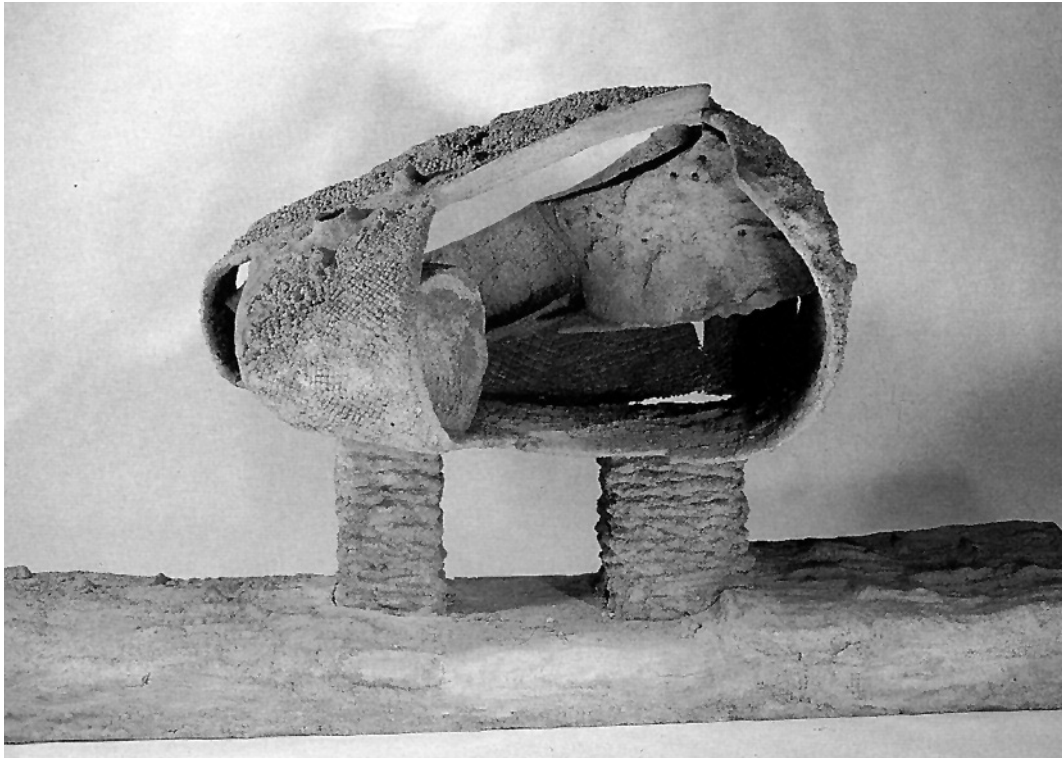


Abb. 828: Friedrich Kiesler, Endless House, Entwurf 1947–61. Modell aus Maschendraht und Zement, 1959, 65 x 128 x 65 cm, Fotografie.



Abb. 829: Friedrich Kiesler, Manifeste du Corréalisme, 1947, abgedruckt in: L'Architecture d'Aujourd'hui, 2. Sonderdruck, Juni 1949, Titelseite und Umschlag innen vorne (aufgeklappt).

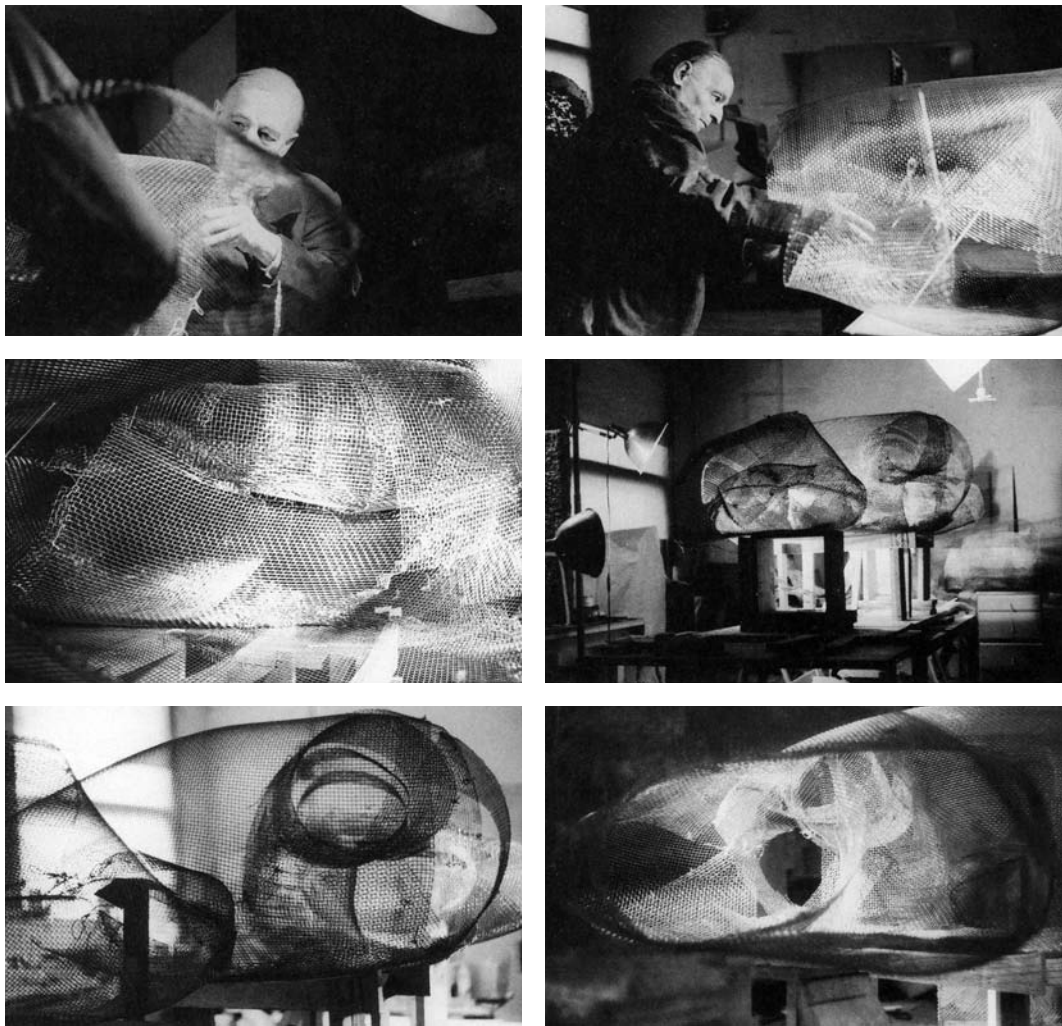


Abb. 830: Friedrich Kiesler, Endless House, Entwurf 1947–61. Modell für das Museum of Modern Art, New York, USA, 1959. Arbeitsstadium, Maschendraht, Zustand vor Zementauftrag, 96,5 x 247 x 106,7 cm, Fotografien im Atelier mit Friedrich Kiesler.



Abb. 831: Friedrich Kiesler, Bucephalus, 1964/65. Skulptur im Arbeitsstadium, Maschendraht, Zustand vor Zeitungspapier- und Zementauftrag, mit Friedrich Kiesler im Inneren, ca. 600 cm (Ausschnitt), Fotografie.

Abb. 832: Skulptur im Arbeitsstadium, Maschendraht und Zeitungspapier, Zustand vor Zementauftrag, mit Friedrich Kiesler im Inneren, ca. 600 cm (Ausschnitt), Fotografie.

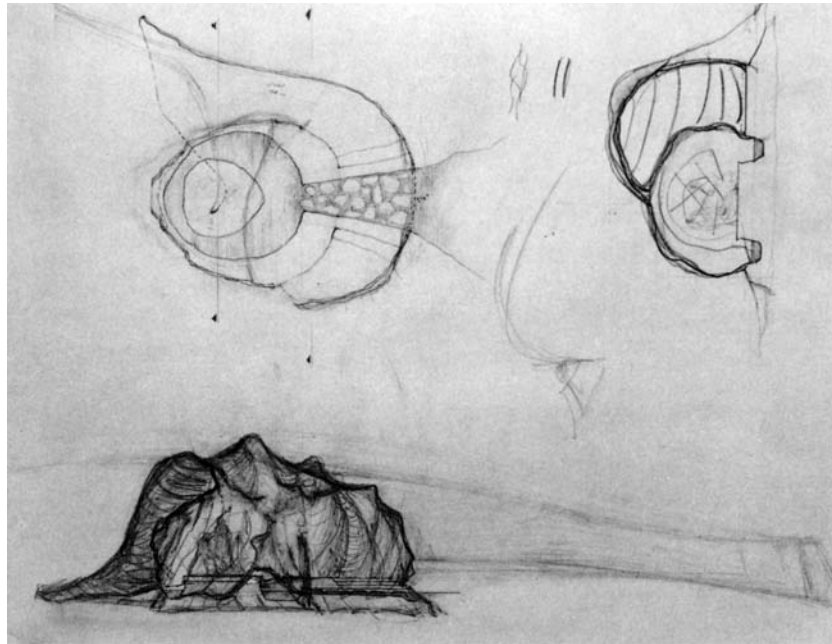


Abb. 833: Friedrich Kiesler, Grotto for Meditation, New Harmony/Indiana, USA, Entwurf 1963/64. Studien, Bleistift auf Papier, 1963.

Abb. 834: Meeresschnecke im Besitz von Jane Owen, Auftraggeberin der Grotto for Meditation, Fotografie.

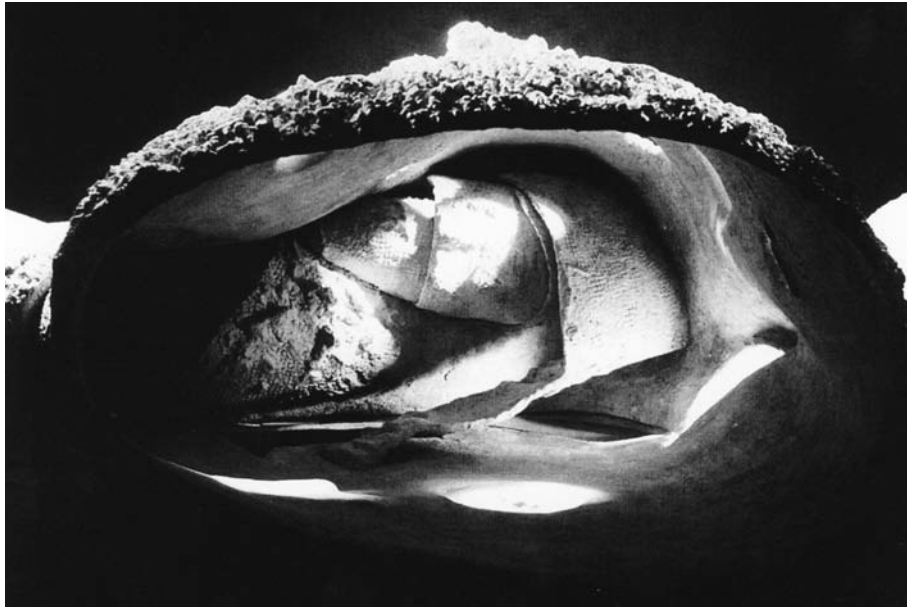


Abb. 835: Friedrich Kiesler, Endless House, Entwurf 1947–61. Einblick in das Modell für das Museum of Modern Art, New York, USA, 1959. Maschendraht, Zement und Plexiglas, 96,5 x 247 x 106,7 cm, Fotografie.

Abb. 836: Greg Lynn, Yokohama International Port Terminal, Japan, Entwurf 1994. 3D-Modell, Ansicht der Westseite, Computerrendering.



Abb. 837: Henry Moore, Helmet Head No. 3, 1960. Bronze, 33 x 33 x 27,9 cm, Fotografie.

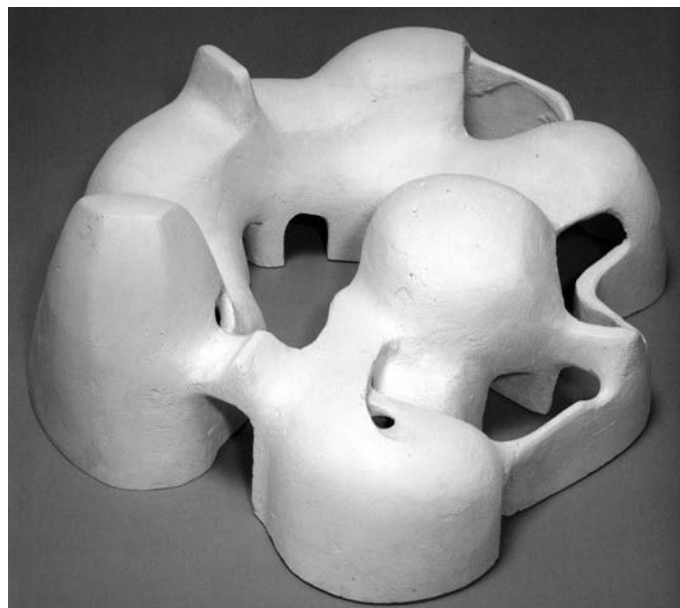


Abb. 838: André Bloc, Sculpture habitacle, Entwurf 1962–64. Skulptur, Gips auf Metallstruktur, 60 (h) x 45 x 50 cm, Fotografie.

Abb. 839: André Bloc, Habitation, Carboneras, Spanien, Entwurf 1964–66. Studienmodell aus Gips, 32 x 65 x 57 cm, Fotografie.



Abb. 840: André Bloc, Pavillon, Meudon, Frankreich, 1962. Außenansicht, Fotografie.
Abb. 841: Innenansicht mit André Bloc, Fotografie.



Abb. 842: Friedrich Kiesler, Tooth House, Entwurf 1950. Studie, Tusche auf Papier, 21,3 x 27,9 cm.

Abb. 843: Friedrich Kiesler, Multifunktionale Möbel, Art of This Century Gallery, New York, USA, 1942.

Abb. 844: Friedrich Kiesler, Zweiteiliger Beistelltisch, 1935–38. Aluminium, 24,8 x 87,6 x 56,5 cm, Fotografie.



Abb. 845: Greg Lynn, Embryological House, Entwurf 1997–2001. ABS Egg – Size C Pocket and MDF Formwork – Size C Panel. Präsentationsmodell aus vakuumgeformtem ABS-Kunststoff und CNC-gefrästem MDF Holz, Fotografie.

Abb. 846: Greg Lynn, Alessi Tea & Coffee Towers, tea and coffee service, 2001–03. Vakuumgeformte Prototypen, zusammengehörender Satz in geschlossener Anordnung, Fotografie.

Abb. 847: Greg Lynn, Ravioli Chair, Sessel für die deutsche Möbelfirma Vitra, 2007. Kunststoffschale mit Sitz aus Polyurethanschaum und Bezug aus Strickstoff, Fotografie.

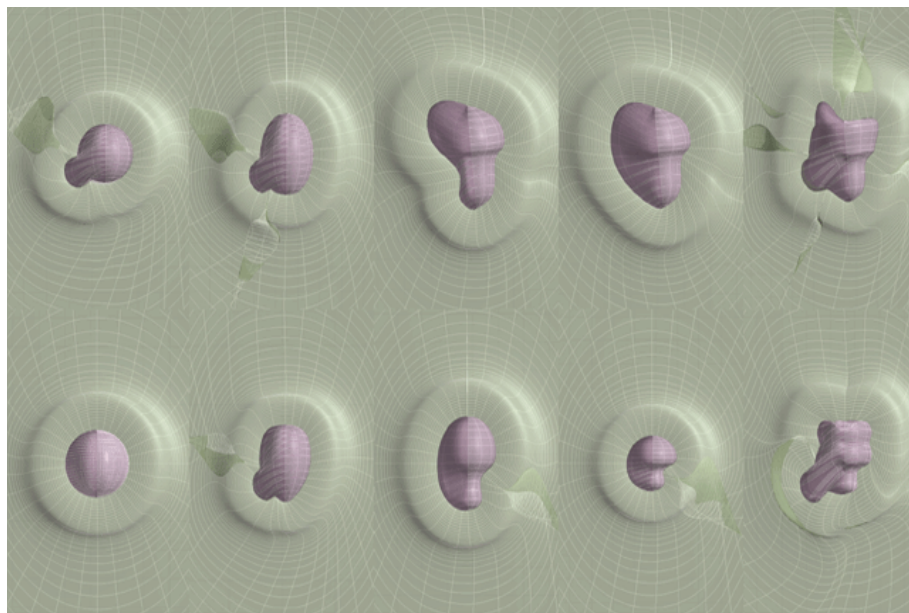
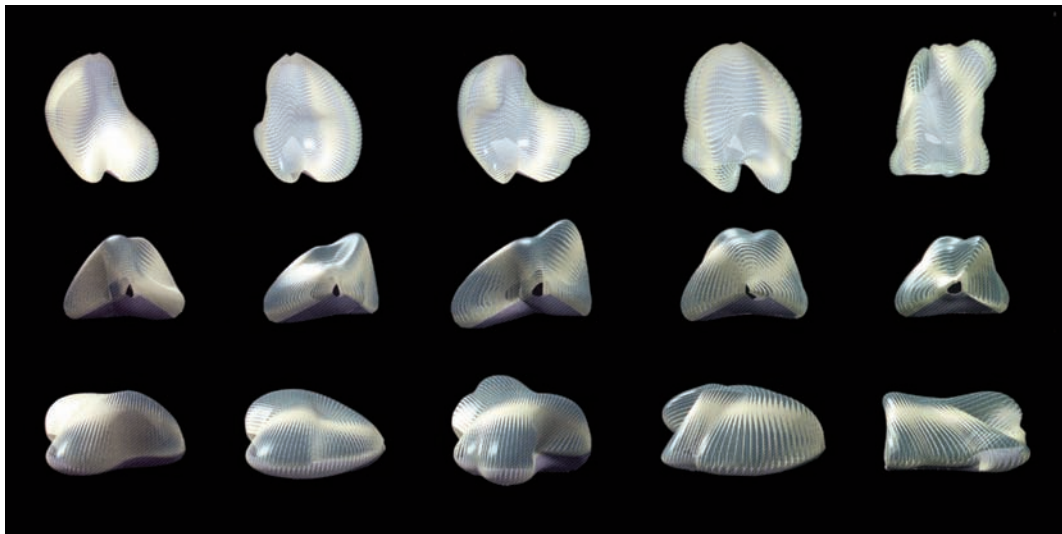


Abb. 848: Greg Lynn, Embryological House, Entwurf 1997–2001. Fünf Formvariationen, von oben nach unten: Aufsicht, Vorderansicht, Seitenansicht, Computerrenderings.
 Abb. 849: Studie, 3D-Modelle, Aufsicht, Montage aus Computerrenderings.

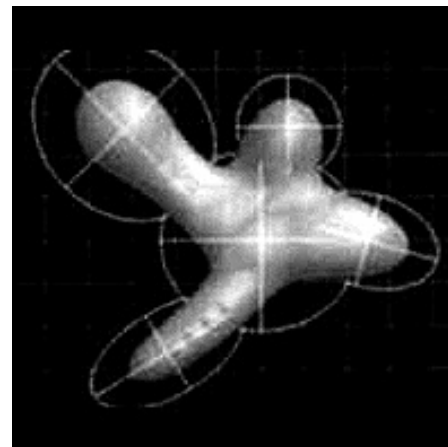
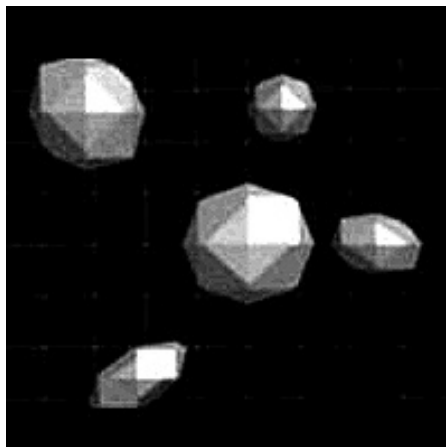
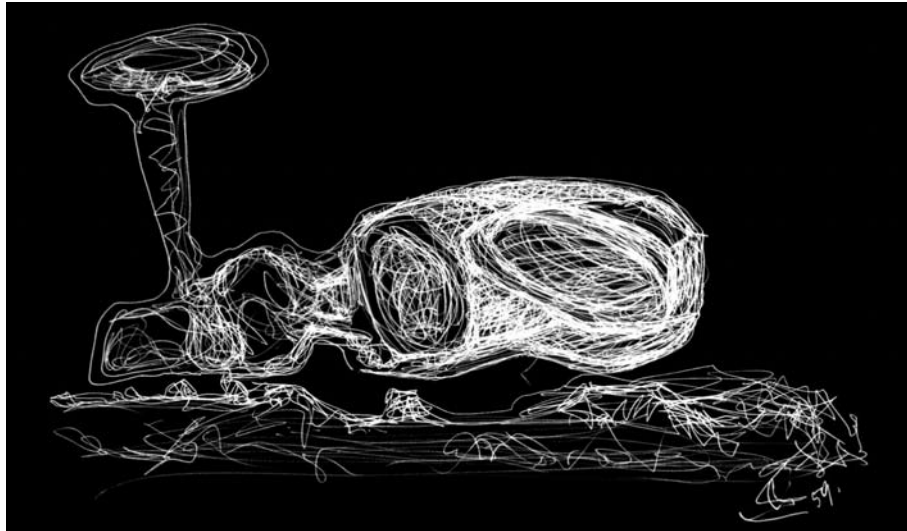


Abb. 850: Friedrich Kiesler, Endless House, Entwurf 1947–61. Studie, Zeichnung, Kugelschreiber auf Papier, 21 x 29,7 cm, 1958–60 (invertiert von der Verf.).

Abb. 851: Greg Lynn, *Metaball*-Modellierung, Konstruktion eines Objektes aus polygonalen Körpern, deren Oberflächen miteinander verschmelzen, 1998. Aufsichten, Computerrenderings.

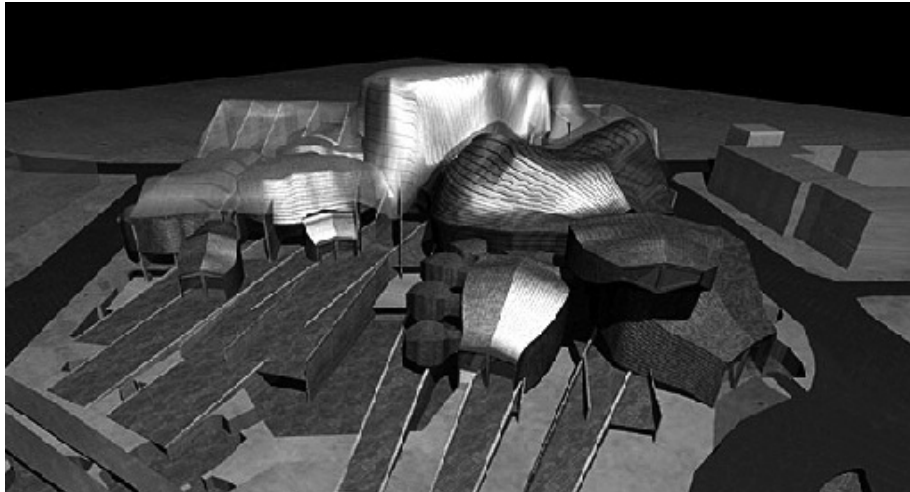
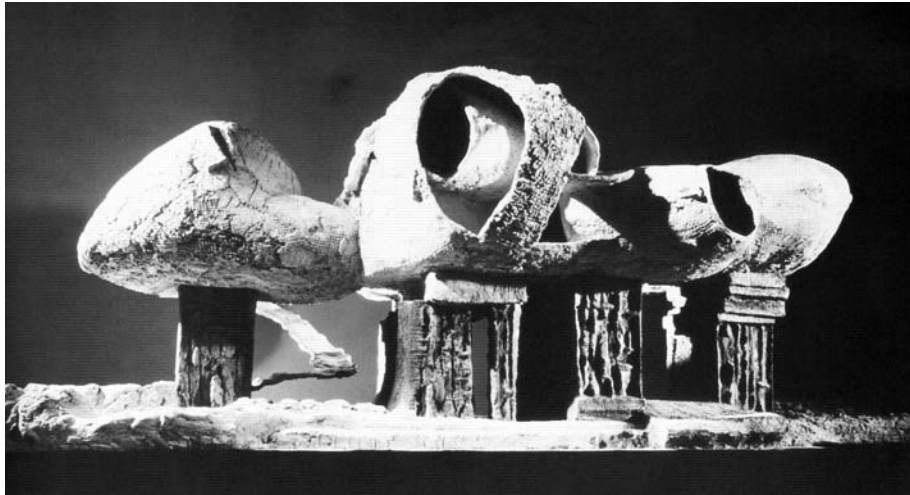


Abb. 852: Friedrich Kiesler, Endless House, Entwurf 1947–61. Modell für das Museum of Modern Art, New York, USA, 1959. Maschendraht, Zement und Plexiglas, 96,5 x 247 x 106,7 cm, Fotografie.

Abb. 853: Greg Lynn, Cardiff Bay Opera House, Cardiff/Wales, Großbritannien, Entwurf 1994. 3D-Modell mit Umgebung, Vogelperspektive, Südwestseite, Computerrendering.

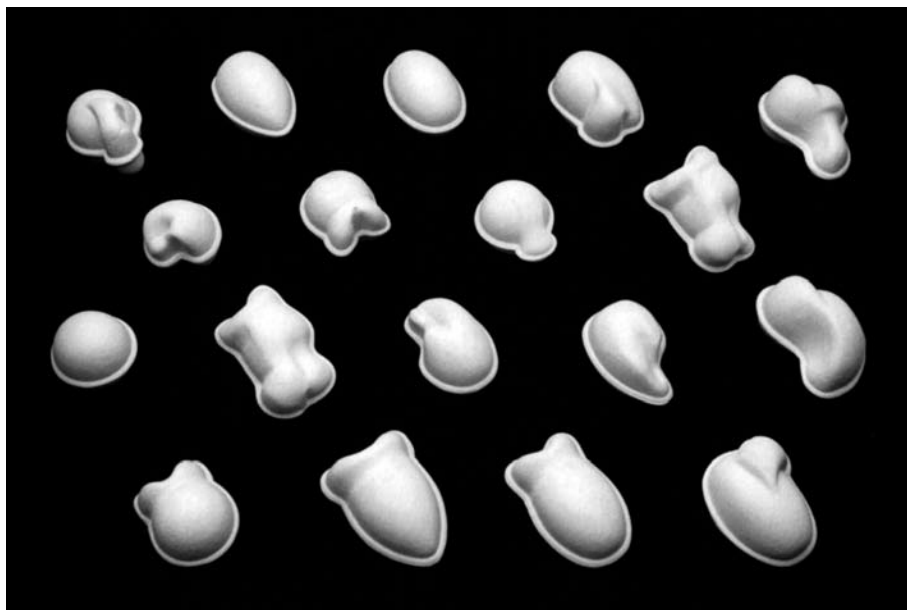


Abb. 854: Studentenarbeiten, Insitute of Design, Chicago/Illinois, USA, 1947. Handskulpturen aus Holz, Fotografie.

Abb. 855: Greg Lynn, Embryological House, Entwurf 1997–2001. ABS Eggs – Size A Pockets, um 1999. Modelle aus vakuumgeformtem ABS-Kunststoff, ca. 8 x 7 x 6 cm, Fotografie.



Abb. 856: Greg Lynn, Embryological House, Entwurf 1997–2001. ABS Eggs. Modelle aus vakuumgeformtem ABS-Kunststoff, Fotografie.

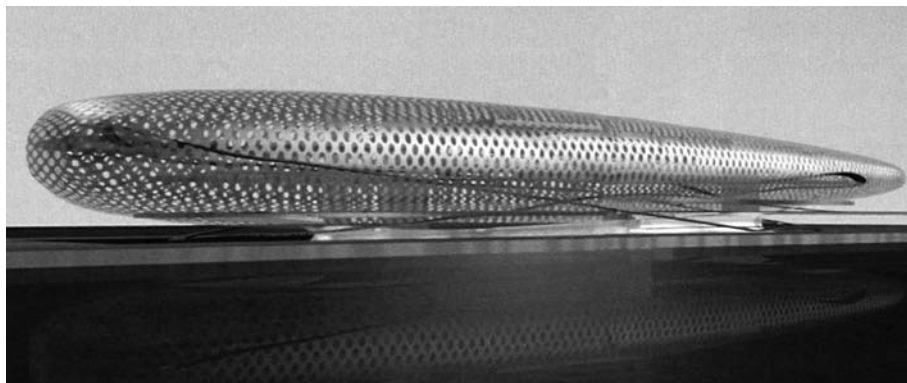
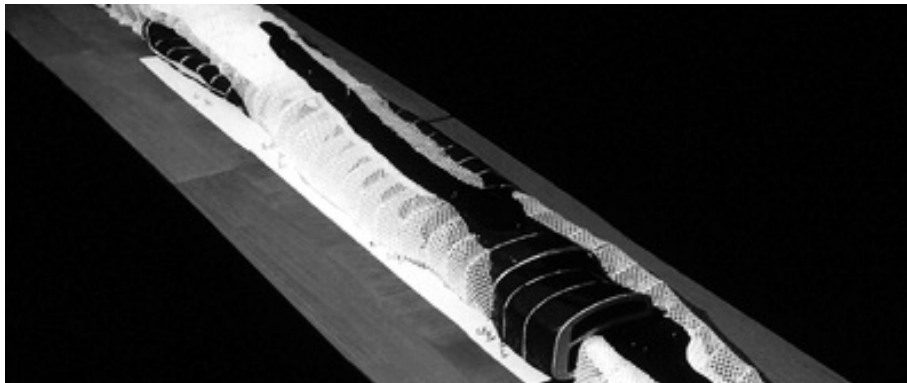
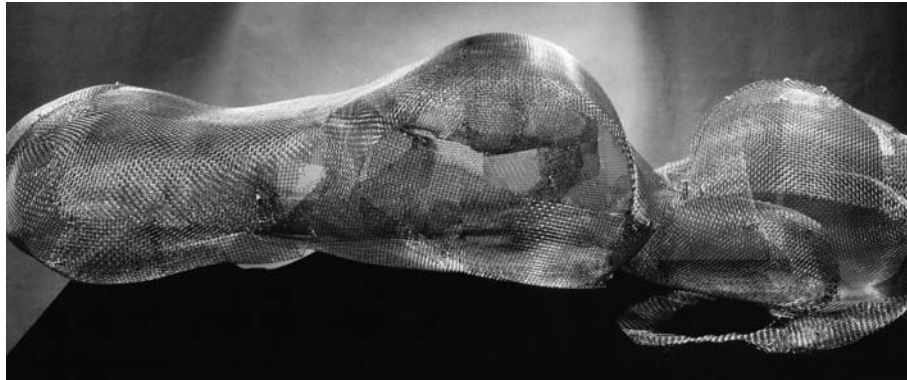


Abb. 857: Friedrich Kiesler, Endless House, Entwurf 1947–61. Modell aus Maschendraht in Arbeit, um 1959, Fotografie.

Abb. 858: Greg Lynn, Yokohama International Port Terminal, Japan, Entwurf 1994. Präsentationsmodell (Ausschnitt), Fotografie.

Abb. 859: Ben van Berkel, Yokohama International Port Terminal, Japan, Entwurf 1994. 3D-Modell mit Lochfassade, Perspektive, Nordwestseite, Computerrendering.



Abb. 860: Lars Spuybroek/NOX, Son-O-House, Kunstwerk im öffentlichen Bereich für den Industrieschap Ekkerstrijt, in Zusammenarbeit mit dem Komponisten Edwin van der Heide, Son en Breugel, Niederlande, 2000–04. Fotografie.

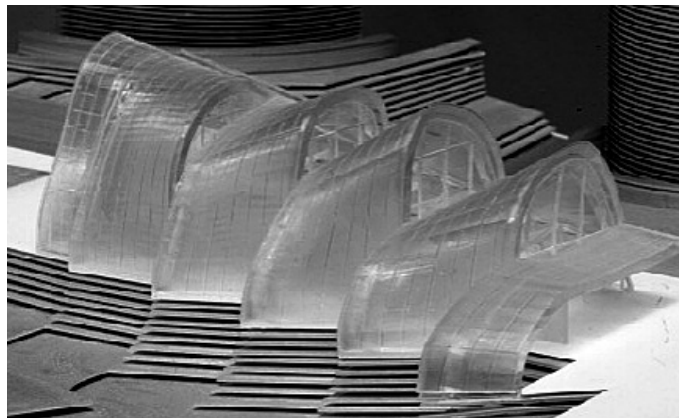
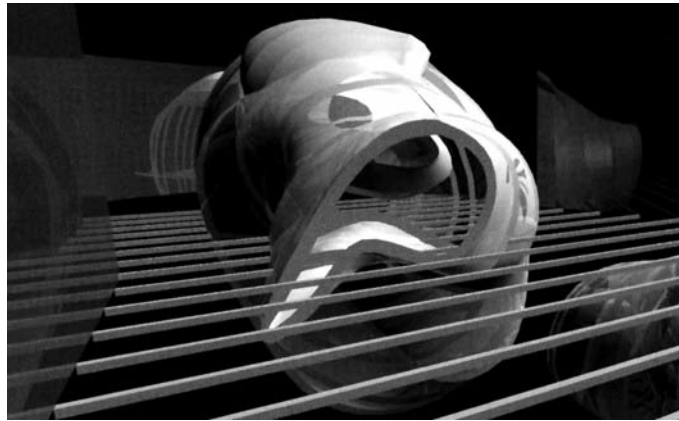


Abb. 861: Friedrich Kiesler, Endless House, Entwurf 1947–61. Einblick in das Modell für das Museum of Modern Art, New York, USA, 1959. Maschendraht, Zement und Plexiglas, 96,5 x 247 x 106,7 cm, Fotografie.

Abb. 862: Greg Lynn, Henie Onstad Kunstsenter, Installation Design, Oslo, Norwegen, 1995. 3D-Modell, Computerrendering.

Abb. 863: Greg Lynn, Hydrogen House Visitors Pavilion & Information Center, Schwechat, Österreich, Entwurf 1996. Stereolithografiemodell, Fotografie.

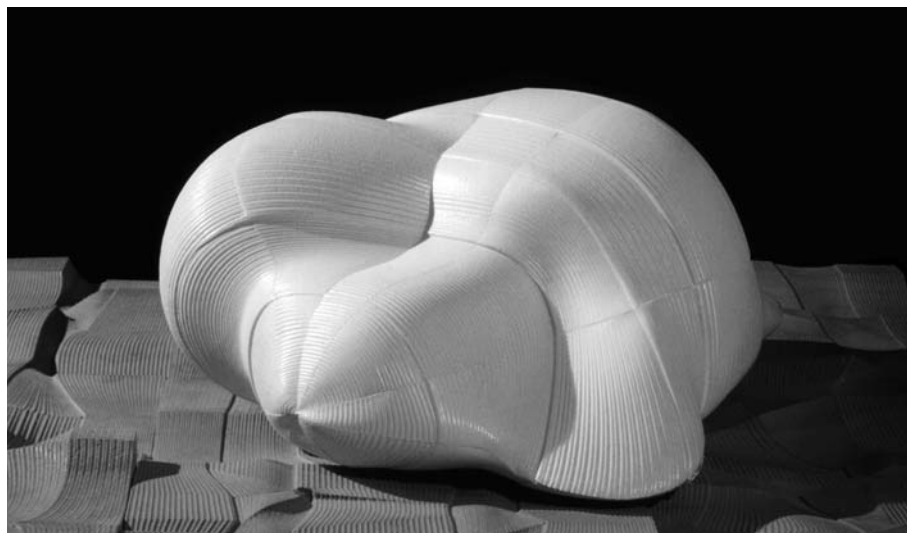
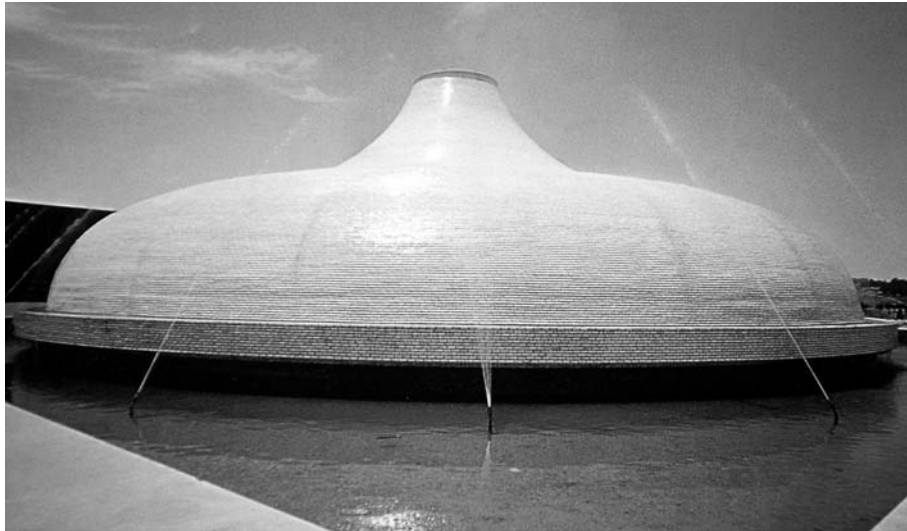


Abb. 864: Friedrich Kiesler und Armon Bartos, Der Schrein des Buches, Jerusalem, Israel, 1957–65. Fotografie.

Abb. 865: Greg Lynn, Embryological House, Entwurf 1997–2001. ABS Egg – Size C Pocket and MDF Formwork – Size C Panel. Präsentationsmodell aus vakuumgeformtem ABS-Kunststoff und CNC-gefrästem MDF Holz, Fotografie.

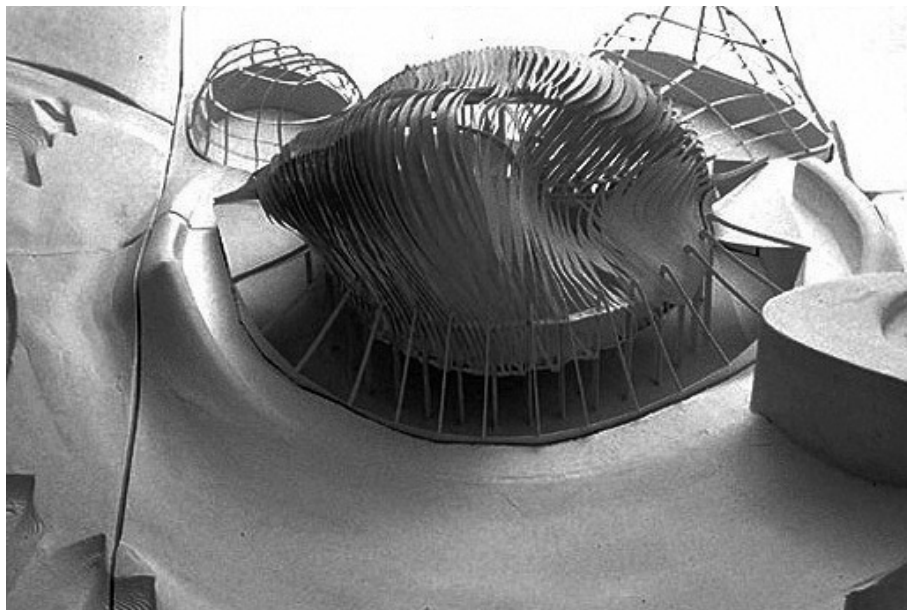
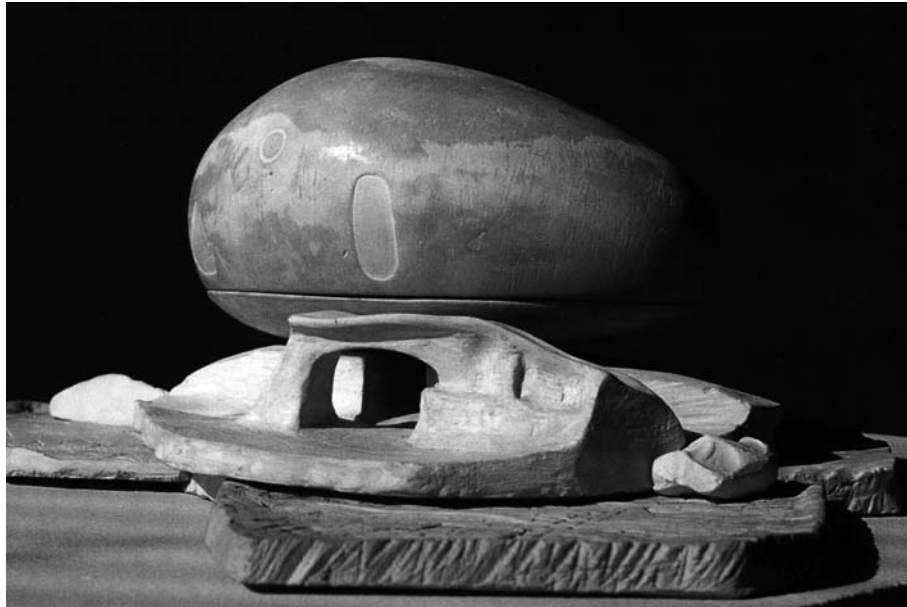


Abb. 866: Friedrich Kiesler, Endless House, Entwurf 1947–61. Modell aus Ton, 1950, 15,2 x 53,3 x 25,5 cm, Fotografie.

Abb. 867: Greg Lynn, Embryological House, Entwurf 1997–2001. Prototypisches Modell, angefertigt mit einer computergesteuerten Schneidemaschine, Fotografie.

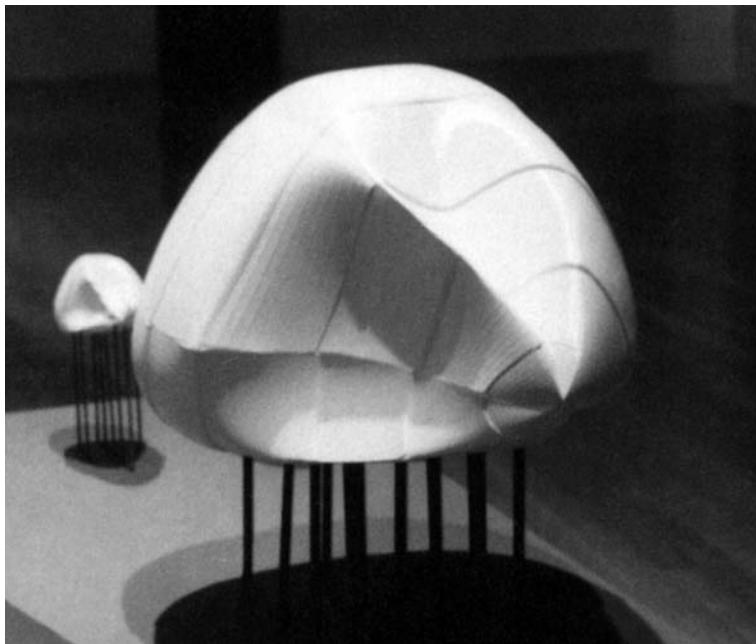


Abb. 868: Friedrich Kiesler, Endless House, Entwurf 1947–61. Modell, um 1960, Fotografie.
Abb. 869: Greg Lynn, Embryological House, Entwurf 1997–2001. ABS Eggs. Aufgeständerte Präsentationsmodelle aus vakuumgeformtem ABS-Kunststoff, Fotografie (Ausschnitt).

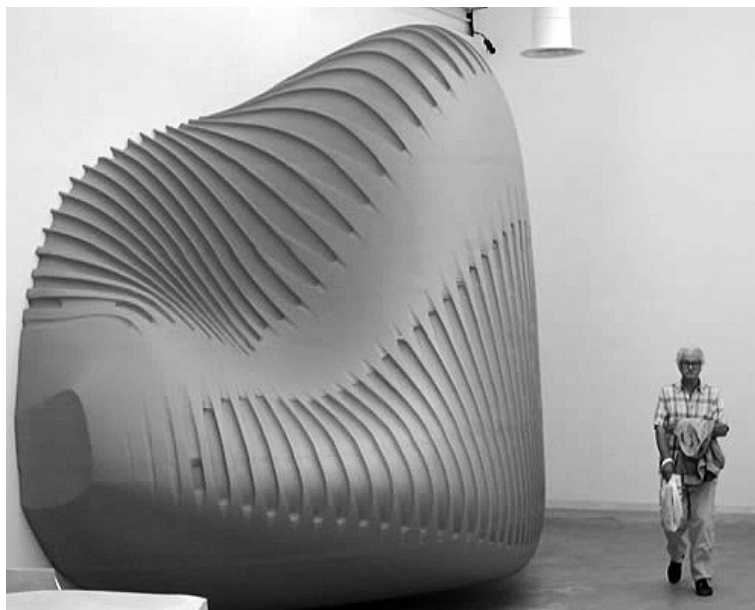


Abb. 870: Friedrich Kiesler, Bucephalus, 1964/65. Skulptur im Arbeitsstadium, Maschendraht, Zustand vor Zeitungspapier- und Zementauftrag, mit Friedrich Kiesler im Inneren, ca. 600 cm (Ausschnitt), Fotografie.

Abb. 871: Greg Lynn, Embryological House, Entwurf 1997–2001. Mock-up auf der siebten Internationalen Architekturbiennale, Italienischer Pavillon, Venedig, Italien, 2000. Ansicht von links, Fotografie.



Abb. 872: Herman Finsterlin, Haus der Andacht und Museum, Serie II, Blatt 5, 1919 oder früher (datiert auf Unterlagekarton 1915). Zeichnung, Aquarell über Bleistift auf rohweißem Papier, aufgezogen, 37,8 x 28,2 cm.

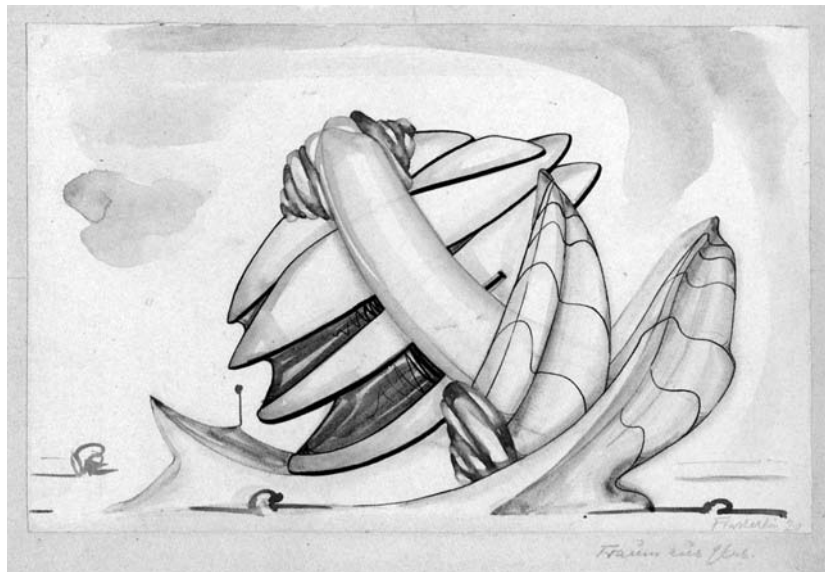


Abb. 873: Hermann Finsterlin, Traum aus Glas, Serie XI, Blatt 5, datiert 1920. Zeichnung, Aquarell, Tusche und Bleistift auf rohweißem Papier, aufgezogen, 18,8 c x 29 cm.

Abb. 874: Hermann Finsterlin, Das Haus der Atlantiden, datiert 1919. Zeichnung, Tusche, weiß gehöht, auf braungrauem Tonpapier, aufgezogen, 14,5 x 29,5 cm.



Abb. 875: Herman Finsterlin, Hygiene-Museum, datiert 1920. Modell aus Gips, weiß bemalt, leicht gelbbraun verfärbt, 37 x 26 x 23 cm, Fotografie.

Abb. 876: Herman Finsterlin, Villayette – Modell einer Villa, datiert 1952. Modell aus Gips, bemalt, 29,5 x 39 x 24 cm. Längsseite, Fotografie.

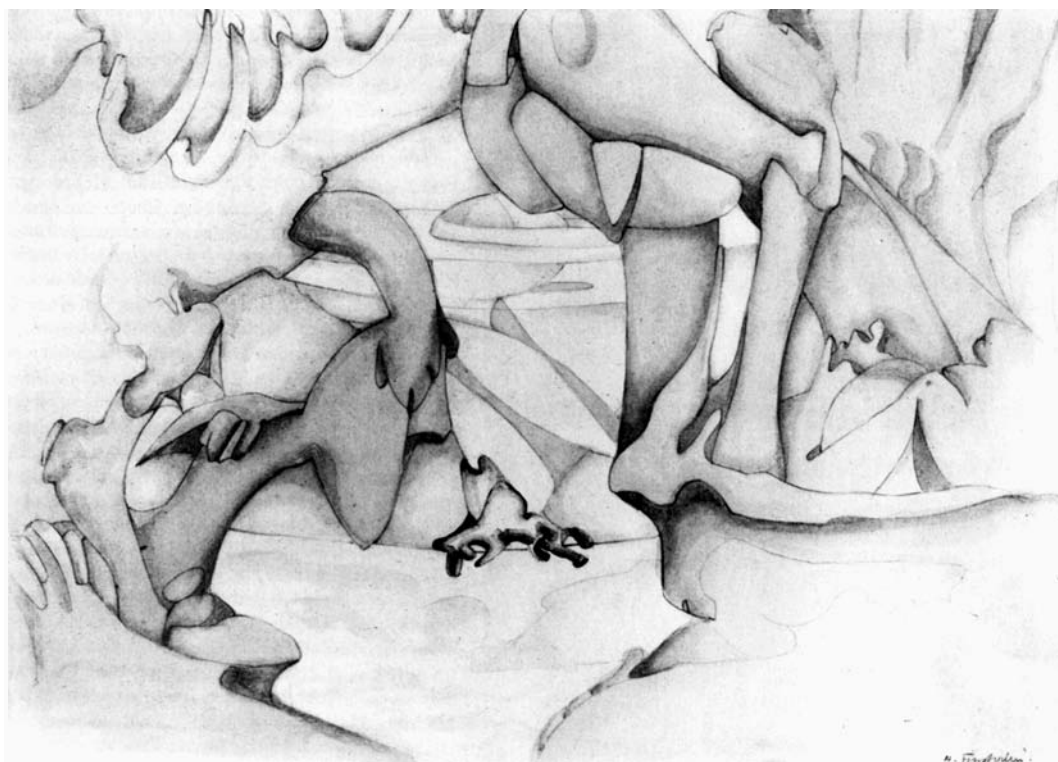


Abb. 877: Hermann Finsterlin, Sammelraum, um 1920. Zeichnung, Bleistift und Aquarell.

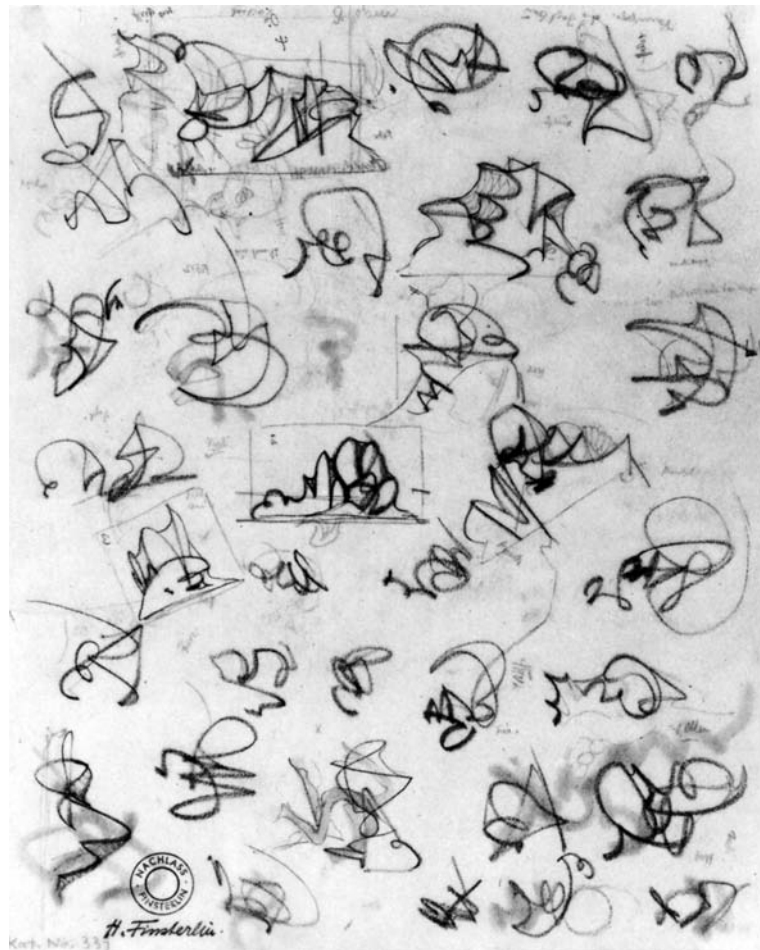


Abb. 878: Hermann Finsterlin, Skizzen (recto und verso), um 1920, später bearbeitet. Bleistift und rote Kreide auf Transparentpapier, 32,0 x 25,5 cm.

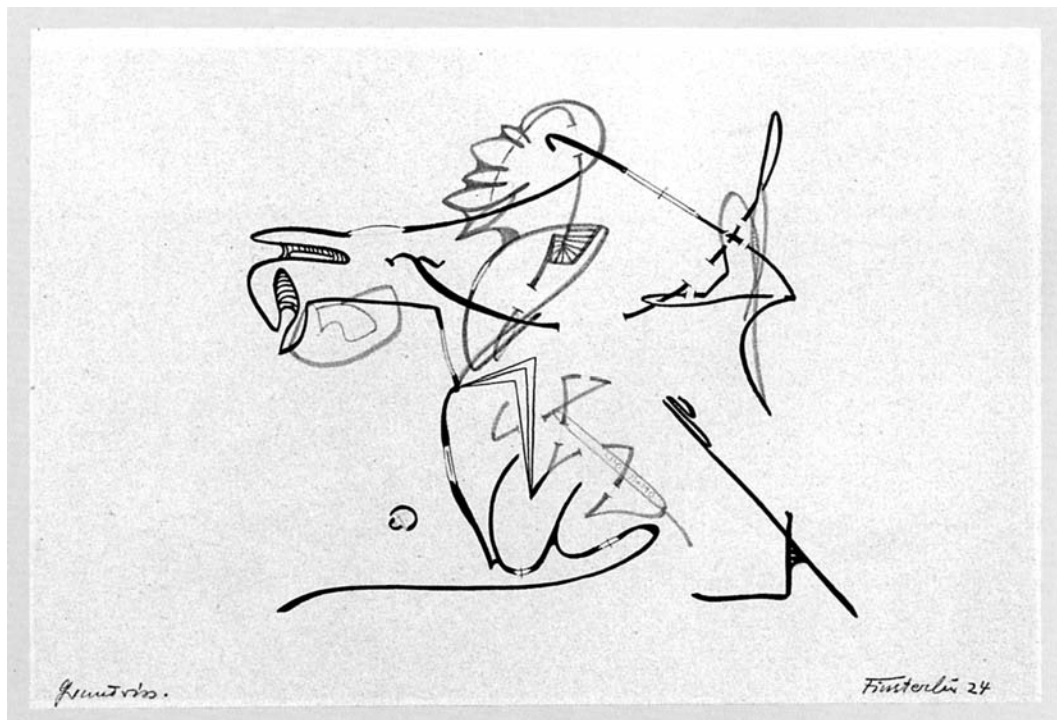


Abb. 879: Hermann Finsterlin, Grundriss, Serie K, Blatt 7, datiert 1924. Zeichnung, Tusche auf Papier, aufgezogen, 17,5 x 26,1 cm.

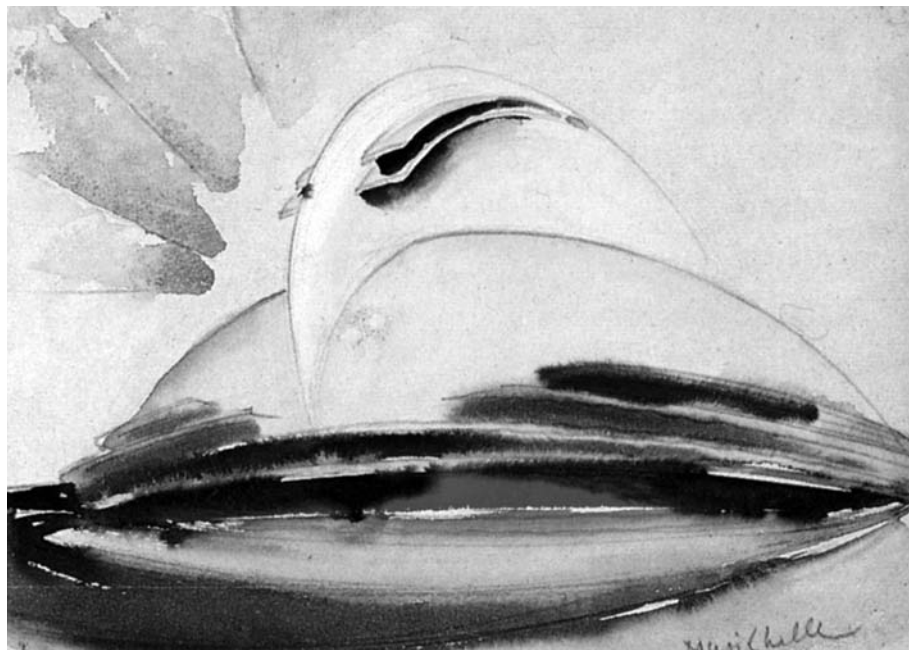
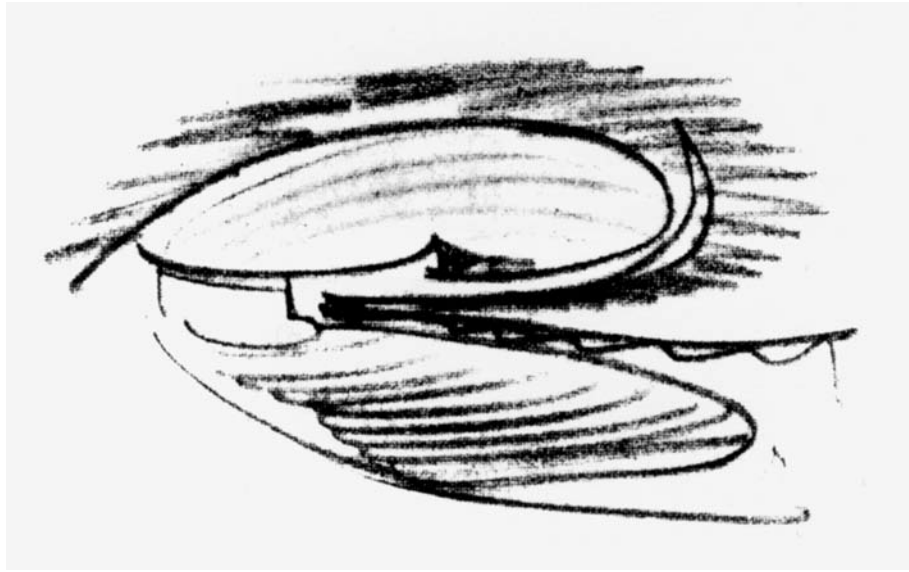


Abb. 880: Erich Mendelsohn, Lichtspieltheater Universum, Berlin, Deutschland, 1926–31. Zuschauersaal, Zeichnung mit Kohle.

Abb. 881: Hans Scharoun, Musikhalle, Entwurf 1922/23. Zeichnung, Aquarell auf Papier, 21 x 30,7 cm.

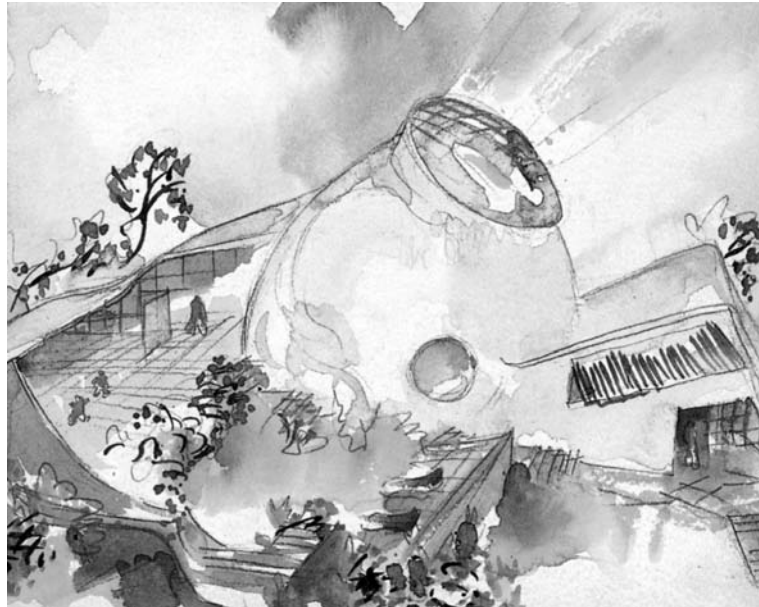


Abb. 882: Hans Scharoun, (ohne Bezeichnung), 1939–45. Zeichnung, Aquarell, 23,7 x 30,8 cm.
Abb. 883: Hans Scharoun, (ohne Bezeichnung), 1939–45. Zeichnung, Aquarell, 25 x 30,8 cm.



Abb. 884: Adalberto Libera, Cinema Airone, Rom, Italien, 1952–56. Außenansicht, Fotografie.
Abb. 885: Kinosaal, Fotografie.

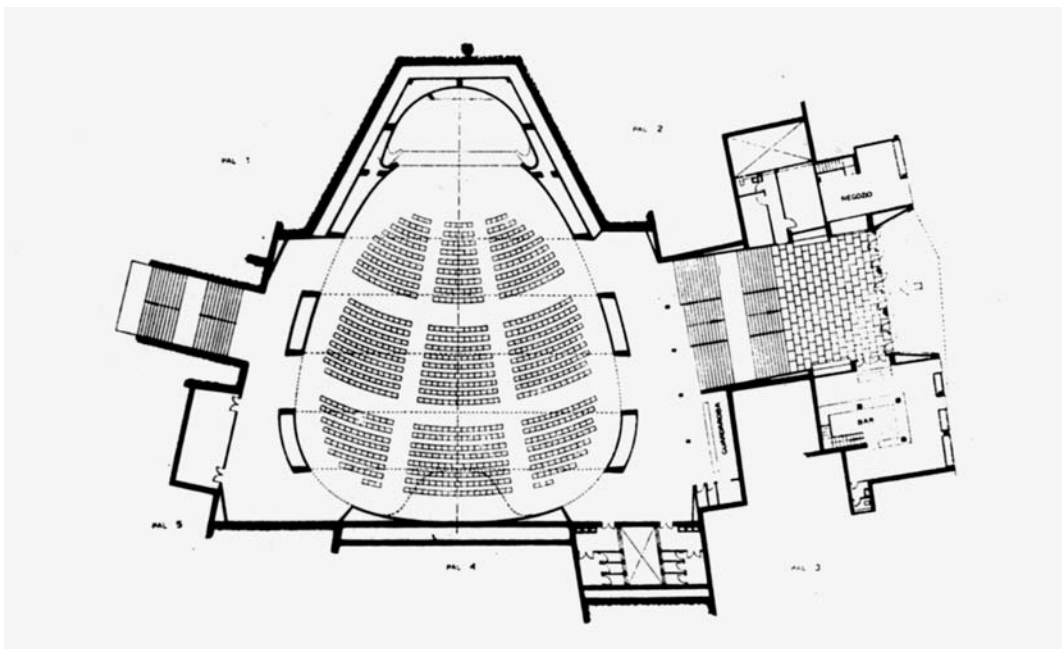
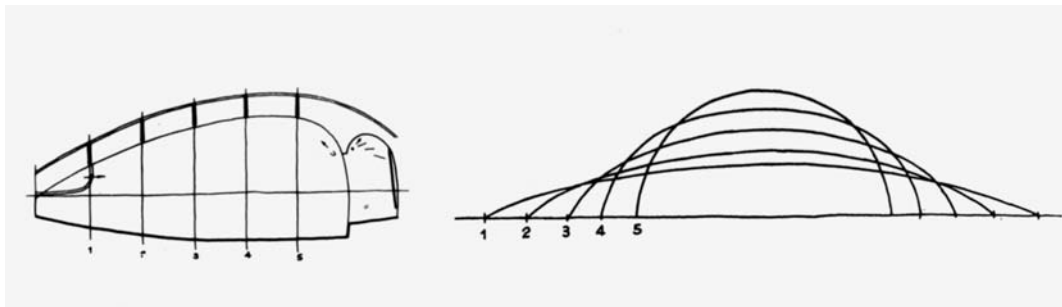


Abb. 886: Adalberto Libera, Cinema Airone, Rom, Italien, 1952–56. Schematischer Längs- und Querschnitt.

Abb. 887: Grundriss des Untergeschosses.



Abb. 888: Eero Saarinen, Trans World Airlines Terminal, Idlewild Airport (seit 1963 John F. Kennedy International Airport), New York, 1956–62. Gesamtansicht von der Auffahrt, Fotografie.
Abb. 889: Blick in die Abfertigungshalle, Fotografie.



Abb. 890: Giovanni Michelucci, Chiesa di San Giovanni Battista sull'Autostrada del Sole, Florenz, Italien, 1961–63. Fotografie.

Abb. 891: Frank O. Gehry, Vitra Design Museum, Weil am Rhein, Deutschland, 1987–89. Südseite, Fotografie.

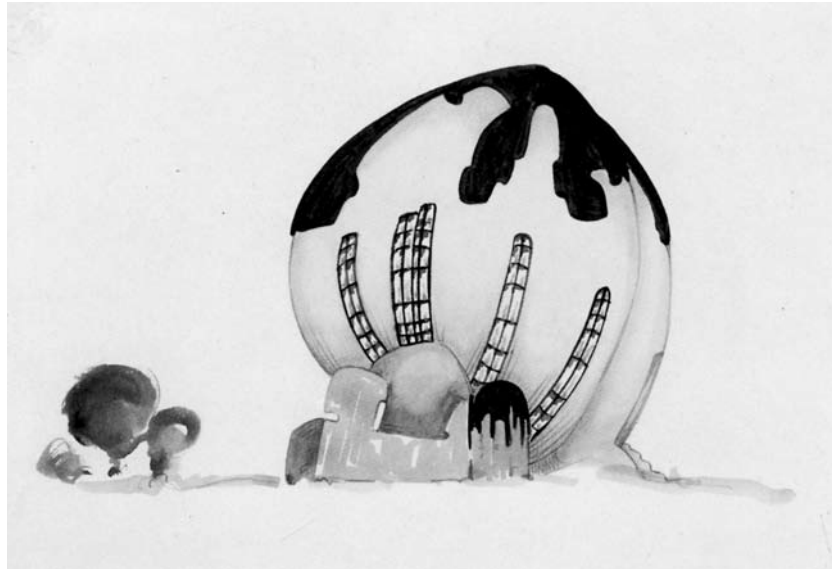


Abb. 892: Herman Finsterlin, Haus der Andacht, Serie II, Blatt 5, 1919 oder früher (datiert auf Unterlagekarton 1915). Zeichnung, Aquarell über Bleistift auf rohweißem Papier, aufgezogen, 37,8 x 28,2 cm (Ausschnitt).

Abb. 893: Greg Lynn, Embryological House, Entwurf 1997–2001. ABS Egg – Size C Pocket and MDF Formwork – Size C Panel. Präsentationsmodell aus vakuumgeformtem ABS-Kunststoff und CNC-gefrästem MDF Holz, Fotografie.



Abb. 894: Herman Finsterlin, Hygiene-Museum, datiert 1920. Modell aus Gips, weiß bemalt, leicht gelbbraun verfärbt, 37 x 26 x 23 cm, Fotografie.

Abb. 895: Lars Spuybroek/NOX, D-tower, Kunstwerk im öffentlichen Bereich: interaktiver Turm, Fragebögen und Website für die Stadt Doetinchem, in Zusammenarbeit mit dem Künstler Q. S. Serafijn, Doetinchem, Niederlande, 1998–2004. Fotografien.

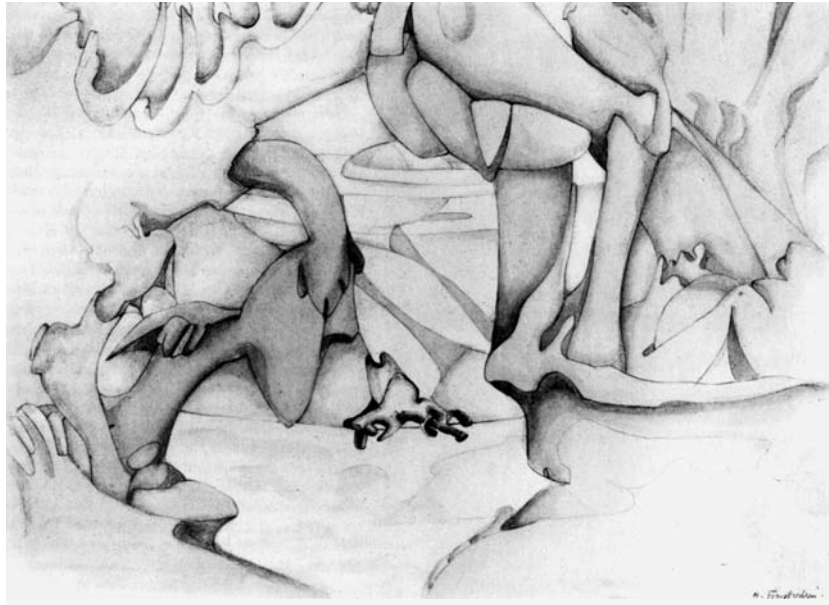


Abb. 896: Hermann Finsterlin, Sammelraum, um 1920. Zeichnung, Bleistift und Aquarell.
Abb. 897: Ben van Berkel, Yokohama International Port Terminal, Japan, Entwurf 1994. Mikroskop-Garten, 3D-Modell, Perspektive, Montage aus Computerrendering und Fotografie.



Abb. 898: Hermann Finsterlin, Traum aus Glas, Serie XI, Blatt 5 (Replik), datiert 1920. Zeichnung, Aquarell, Tusche und Farbstifte über Bleistift auf weißem Karton, aufgezogen, 21,8 x 31,3 cm.
Abb. 899: Greg Lynn, Ark of the World Museum & Visitors Center, Carada Park Area & Río Tárcoles, Costa Rica, Entwurf 2002. Präsentationsmodell mit Umgebung, Fotografie.

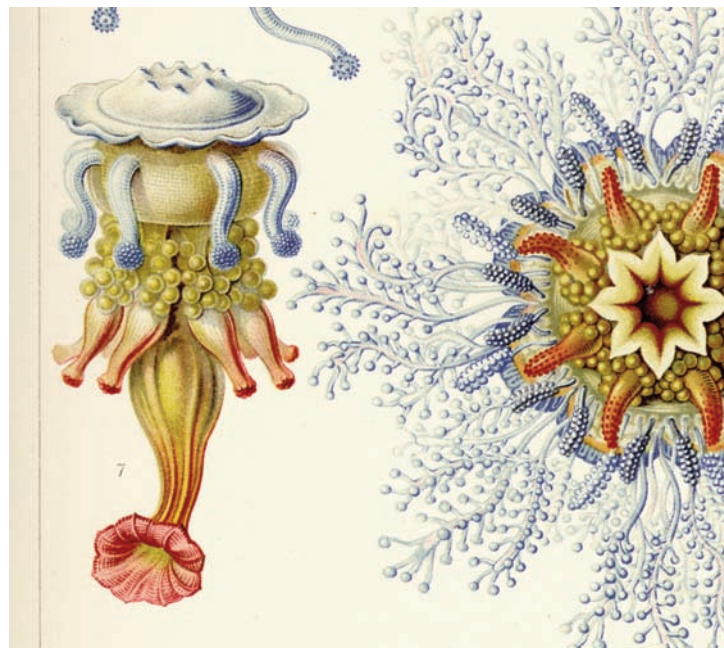


Abb. 900: Greg Lynn, Ark of the World Museum & Visitors Center, Carada Park Area & Río Tárcoles, Costa Rica, Entwurf 2002. Präsentationsmodell mit Umgebung, Fotografie.
Abb. 901: Erich Haeckel, Kunstformen der Natur, 1899–1904. Tafel 17 Porpema, Ausschnitt mit Figur 7 (links), Lithografie.



Abb. 902: Herman Finsterlin, Casa Nova, Serie XI, Blatt 9, datiert 1921. Zeichnung, Aquarell und Tusche über Bleistift auf rohweißem Papier, aufgezogen, 18,7 x 25,1 cm.

Abb. 903: Erich Haeckel, Kunstformen der Natur, 1899–1904. Tafel 49 Actiniae, Seeanemonen, Lithografie (Ausschnitt).

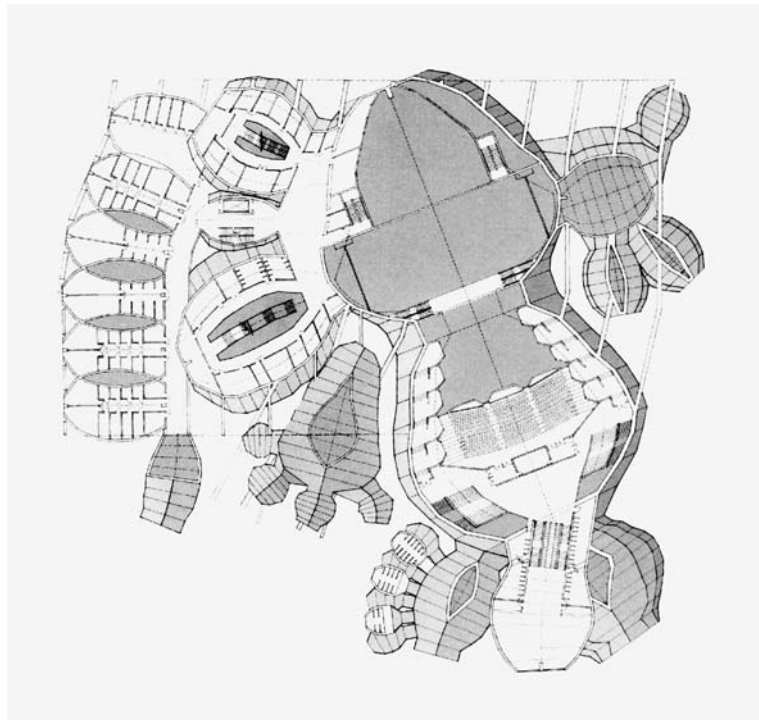
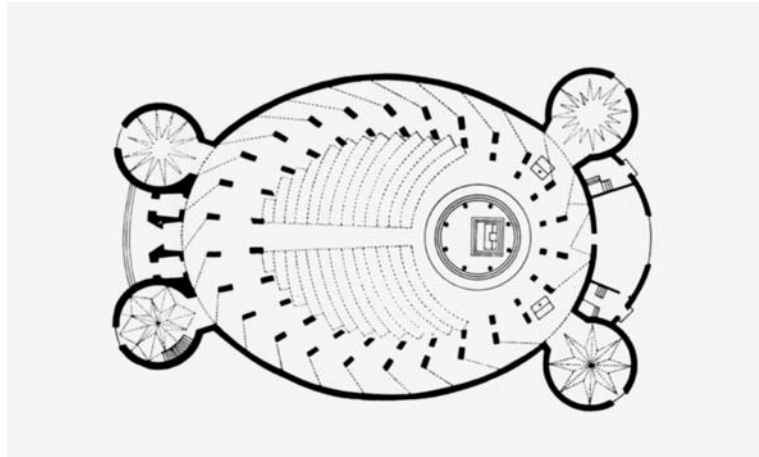


Abb. 904: Dominikus Böhm und Martin Weber, Meßopferkirche Circumstantes, Entwurf 1922. Grundriss.

Abb. 905: Greg Lynn, Cardiff Bay Opera House, Cardiff/Wales, Großbritannien, Entwurf 1994. Grundriss des zweiten Obergeschosses.

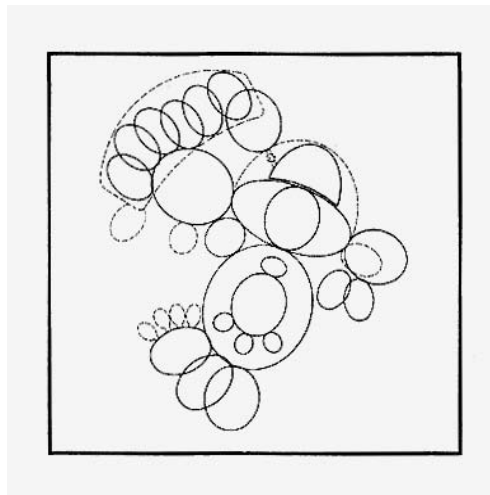
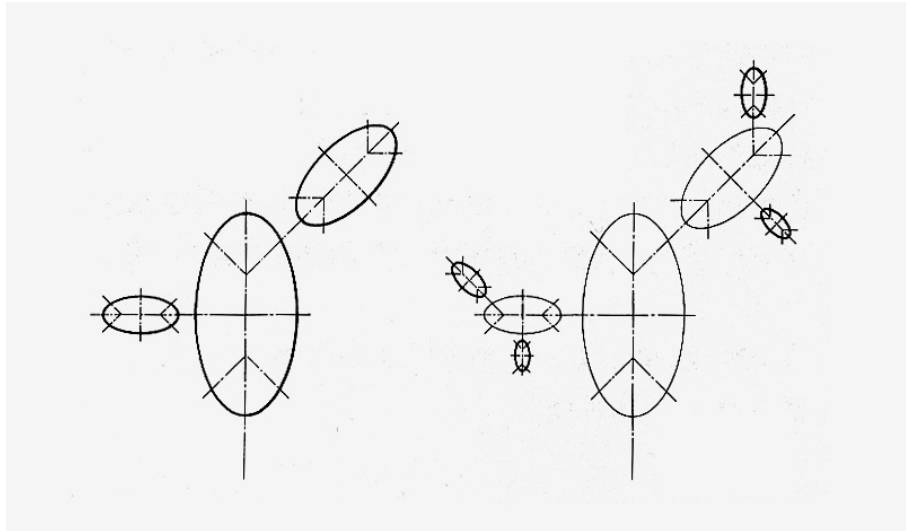


Abb. 906: Greg Lynn, Cardiff Bay Opera House, Cardiff/Wales, Großbritannien, Entwurf 1994.
Verzweigungsschema, erste und zweite Generation, Aufsicht, Computerzeichnung.
Abb. 907: Programmatische Neukonfiguration der Ovalformen, Aufsicht, Computerzeichnung.

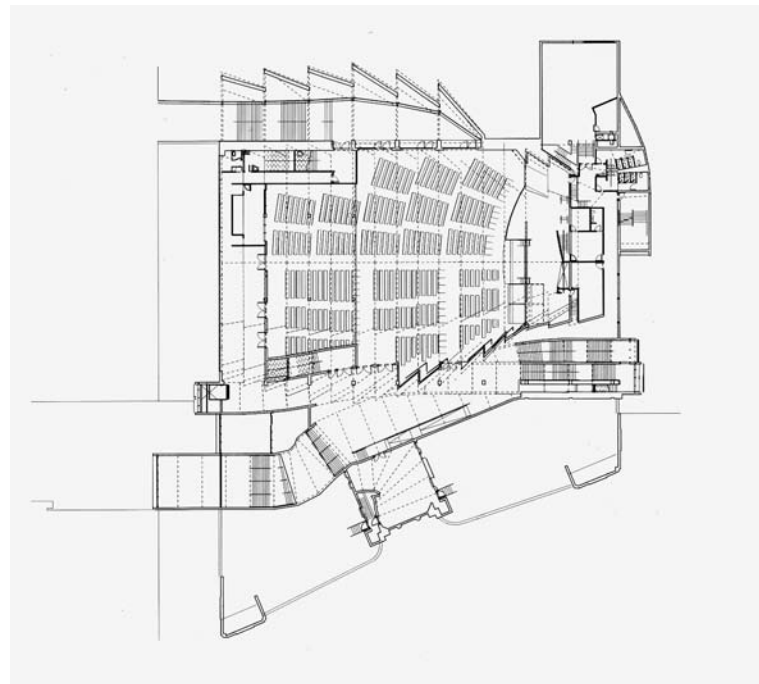
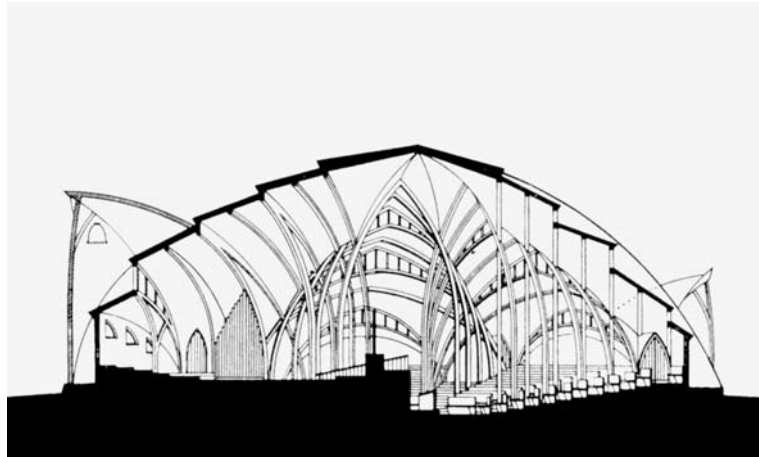


Abb. 908: Otto Bartning, Sternkirche, Entwurf 1922. Schnitt.

Abb. 909: Greg Lynn, Douglas Garofalo und Michael McInturf, Korean Presbyterian Church of New York, USA, 1995–99. Grundriss des ersten Geschosses mit Kirchenraum.

Abb. 910: Längsschnitt Kirchenraum und Hochzeitskapelle (ehemaliger Produktionsbereich).

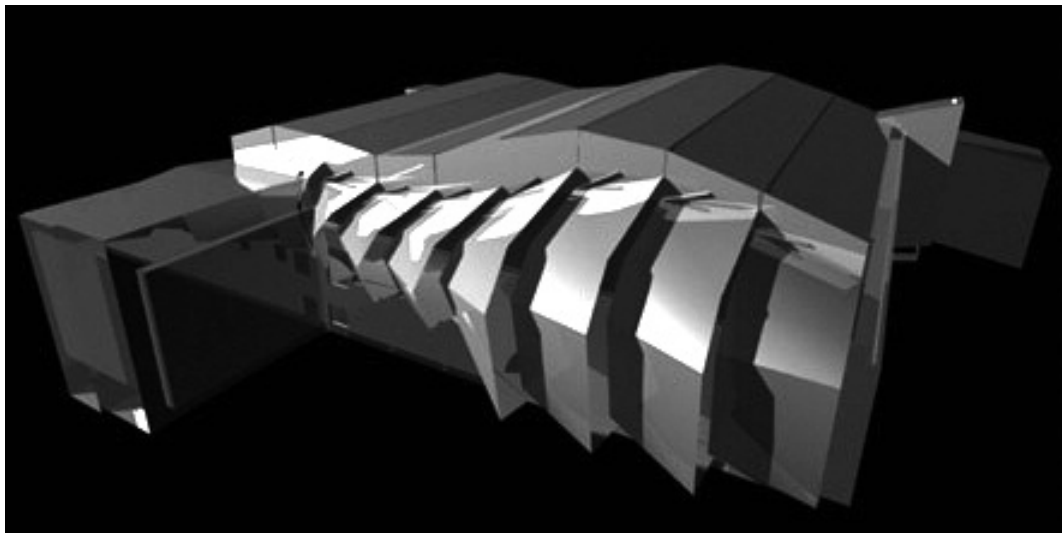
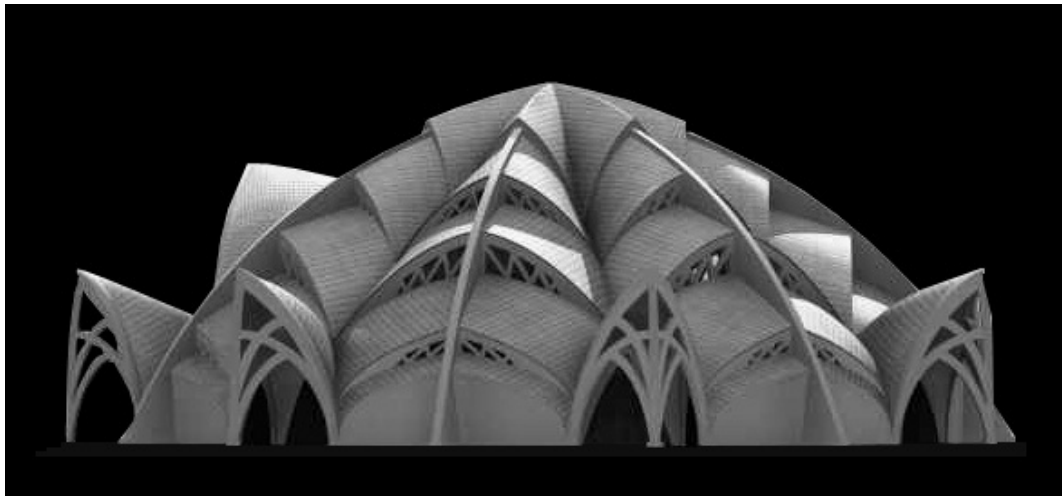


Abb. 911: Otto Bartning, Sternkirche, Entwurf 1922. 3D-Modell von Marcus Frings, 2002, Perspektive, Computerrendering (schwarzer Hintergrund von der Verf.).

Abb. 912: Greg Lynn, Douglas Garofalo und Michael McInturf, Korean Presbyterian Church of New York, USA, 1995–99. 3D-Modell, Perspektive, Nordseite, Computerrendering.

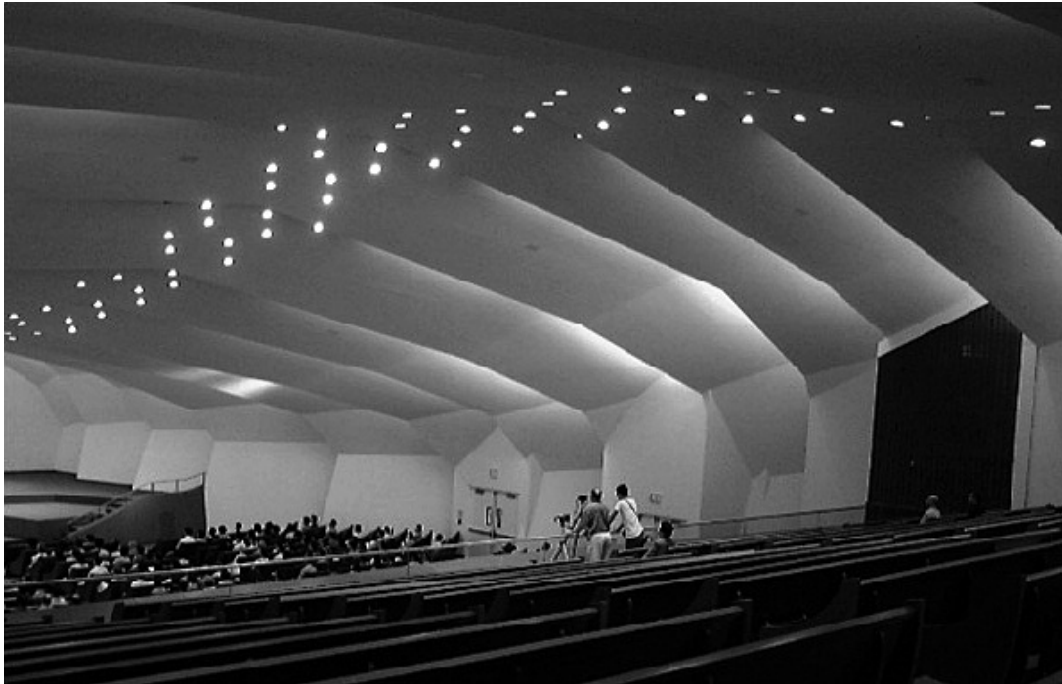


Abb. 913: Greg Lynn, Douglas Garofalo und Michael McInturf, Korean Presbyterian Church of New York, USA, 1995–99. Blick in den Kirchenraum, Fotografie.

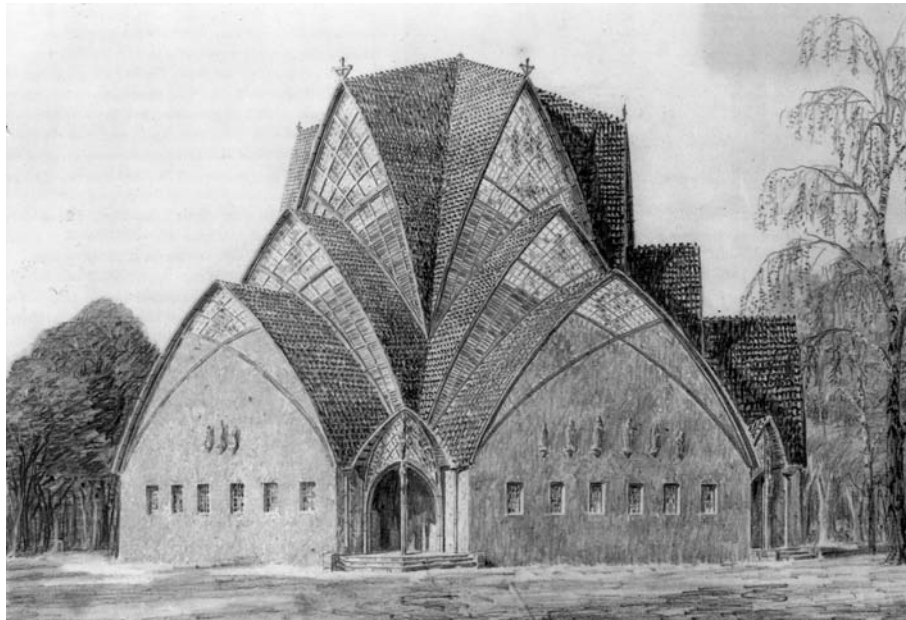
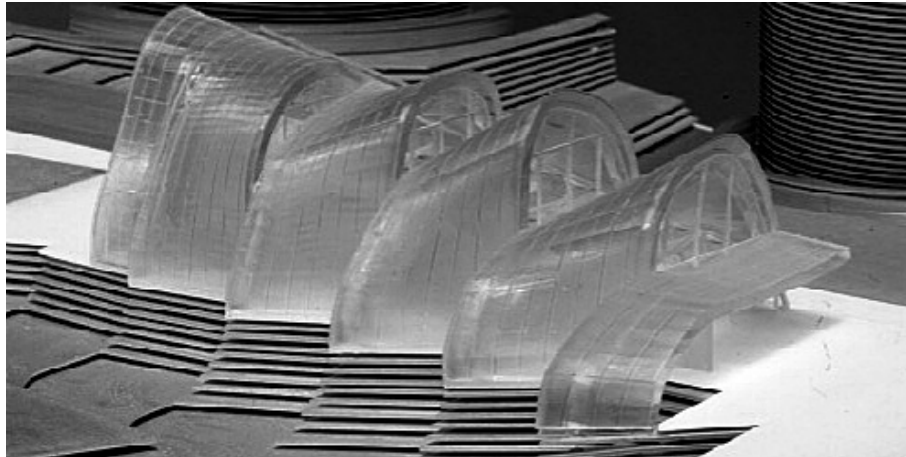


Abb. 914: Greg Lynn, Hydrogen House Visitors Pavilion & Information Center, Schwechat, Österreich, Entwurf 1996. Stereolithografiemodell, Fotografie.

Abb. 915: Otto Bartning, Pfarrkirche Luisen-/Mainastraße, Konstanz, Deutschland, Entwurf 1923. Zeichnung, Kohle.

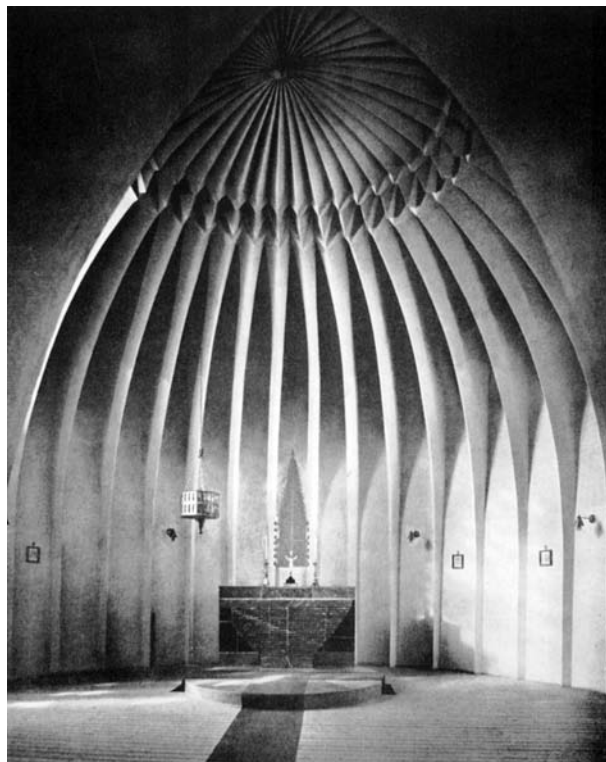


Abb. 916: Farshid Moussavi und Alejandro Zaera-Polo/FOA, Yokohama International Port Terminal, Japan, 1994–2002. Blick in die Ankunfts- und Abfahrtshalle, Fotografie.

Abb. 917: Dominikus Böhm, Abtei St. Benedikt, Vaals, Niederlande, 1921–23. Blick in den Chor der Klosterkirche, Fotografie.

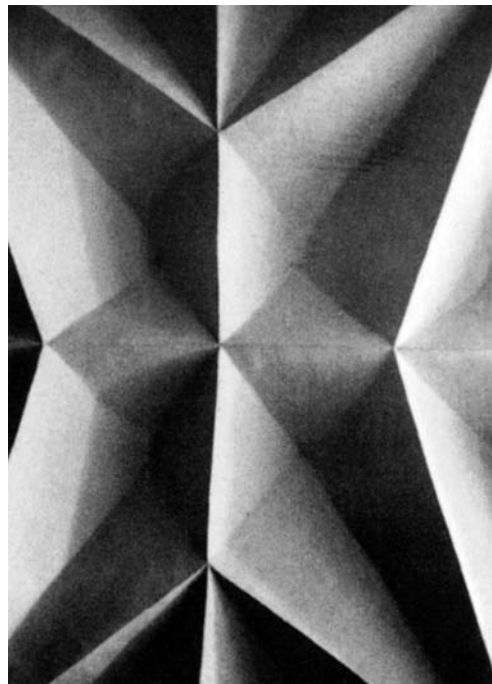


Abb. 918: Farshid Moussavi und Alejandro Zaera-Polo/FOA, Yokohama International Port Terminal, Japan, 1994–2002. Zugang zur Veranstaltungshalle auf der Dachebene, Fotografie.
Abb. 919: Spätgotisches Zellengewölbe, St. Peter und Paul, Sobeslav, Tschechien. Fotografie.



Abb. 920: Farshid Moussavi und Alejandro Zaera-Polo/FOA, Yokohama International Port Terminal, Japan, 1994–2002. Auditorium auf der Dachebene am Ende des Piers, Fotografie (Ausschnitt).
Abb. 921: Blick nach Nordosten auf die Veranstaltungshalle, Fotografie.

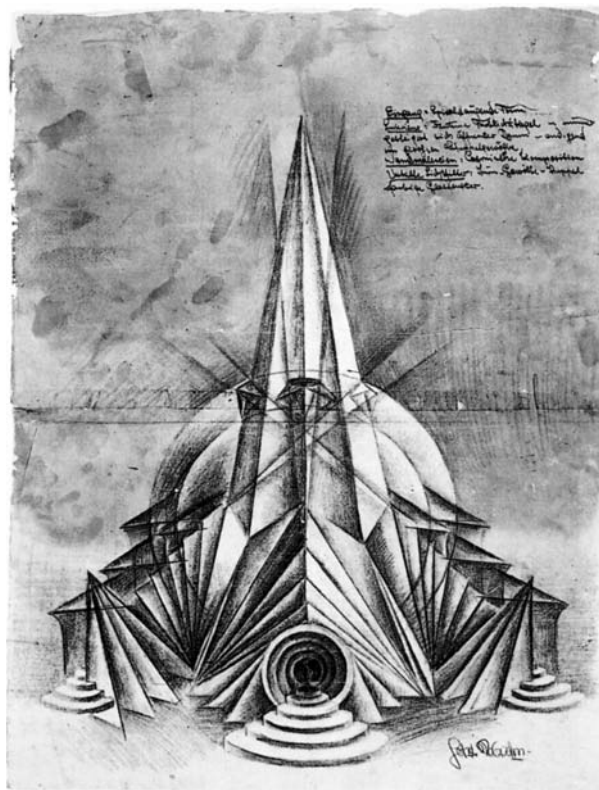


Abb. 922: Farshid Moussavi und Alejandro Zaera-Polo/FOA, Yokohama International Port Terminal, Japan, 1994–2002. Blick vom Dach der Veranstaltungshalle nach Südwesten, Fotografie.
 Abb. 923: Johannes Molzahn, ohne Titel (Unbekannte Architektur), 1919. Zeichnung, Grafitstift, Kohle auf Transparentpapier, aquarelliert, 62,7 x 47 cm.

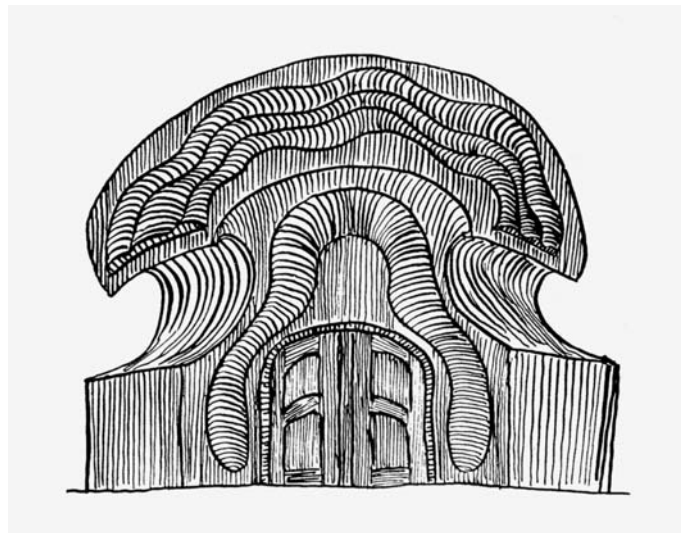


Abb. 924: Farshid Moussavi und Alejandro Zaera-Polo/FOA, Yokohama International Port Terminal, Japan, 1994–2002. Gebäude vor der Fertigstellung, Blick nach Nordosten, Fotografie (Ausschnitt).
Abb. 925: Paul Goesch, Portal, Entwurf 1920 oder früher. Zeichnung, Tusche.



Abb. 926: Farshid Moussavi und Alejandro Zaera-Polo/FOA, Yokohama International Port Terminal, Japan, 1994–2002. Blick nach Nordosten auf die Anfahrtsrampe und Terminalhalle, Fotografie.

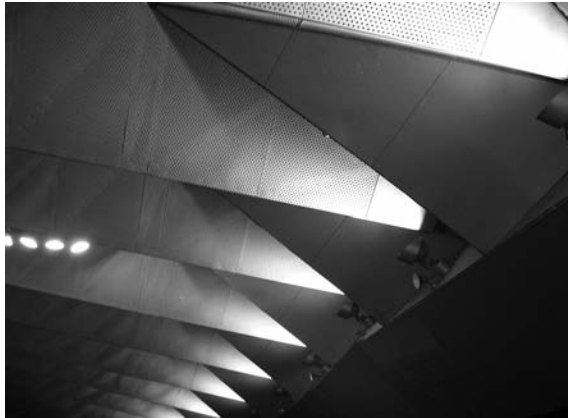


Abb. 927: Farshid Moussavi und Alejandro Zaera-Polo/FOA, Yokohama International Port Terminal, Japan, 1994–2002. Von unten beleuchtete Deckenfalten in den Hallen, Fotografie.

Abb. 928: Spitzwinklig zulaufende Treppenstufen auf der Dachebene, Fotografie (Ausschnitt).

Abb. 929: Walter Reimann, Szenenbild „Vor der Halle der Macht“ aus dem Film *Algol*, Regie: Hans Werckmeister, Deutschland, 1920. Filmbild.

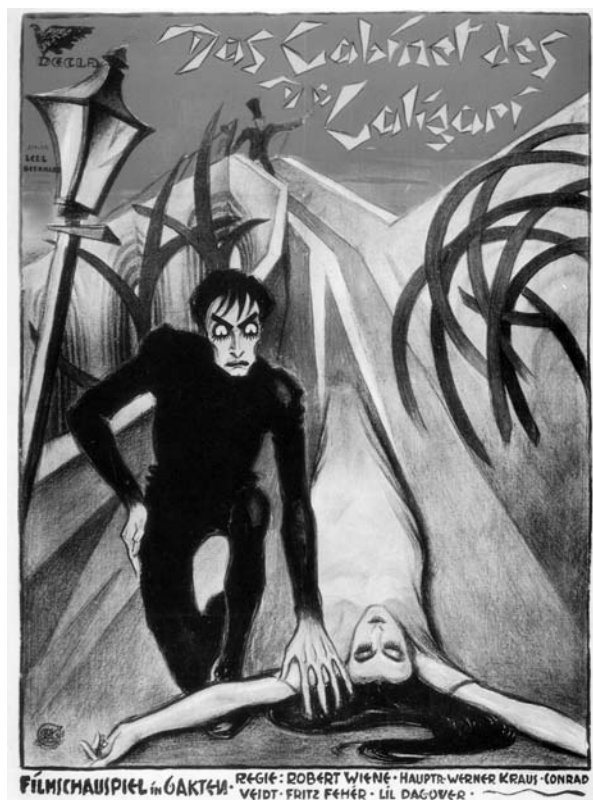


Abb. 930: Farshid Moussavi und Alejandro Zaera-Polo/FOA, Yokohama International Port Terminal, Japan, 1994–2002. Rampe zwischen Park- und Terminalebene, Fotografie.

Abb. 931: Atelier Rudolf Ledl & Fritz Bernhard, Plakat zum Film *Das Cabinet des Dr. Caligari*, Regie: Robert Wiene, Filmarchitektur: Walter Reimann, Walter Röhrig und Hermann Warm. Deutschland, 1920. Lithografie, 127 x 95 cm.

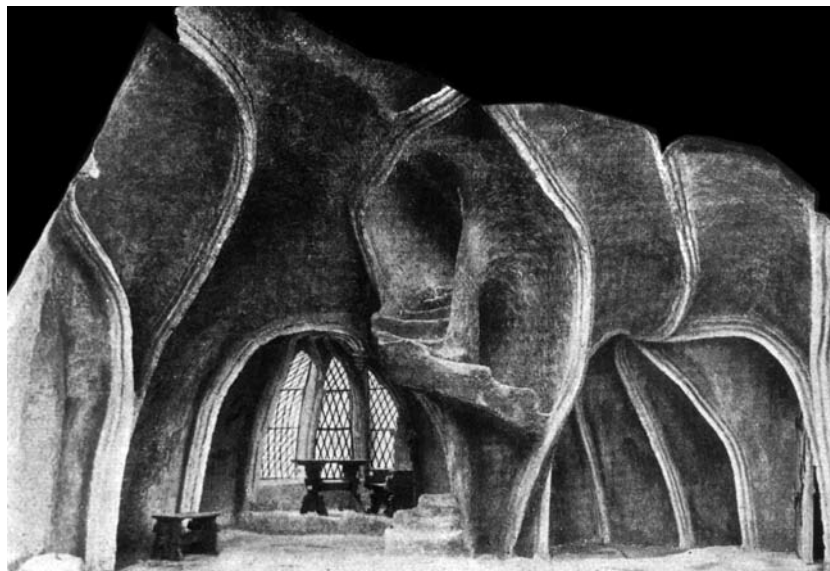


Abb. 932: Farshid Moussavi und Alejandro Zaera-Polo/FOA, Yokohama International Port Terminal, Japan, 1994–2002. Blick nach Südwesten, Fotografie.

Abb. 933: Hans Poelzig, Marianne Moeschke und Kurt Richter, Szenenbild „Im Haus von Rabbi Löw“ aus dem Film *Der Golem, wie er in die Welt kam*, Regie: Paul Wegener und Carl Boese, Deutschland, 1920. Fotografie.

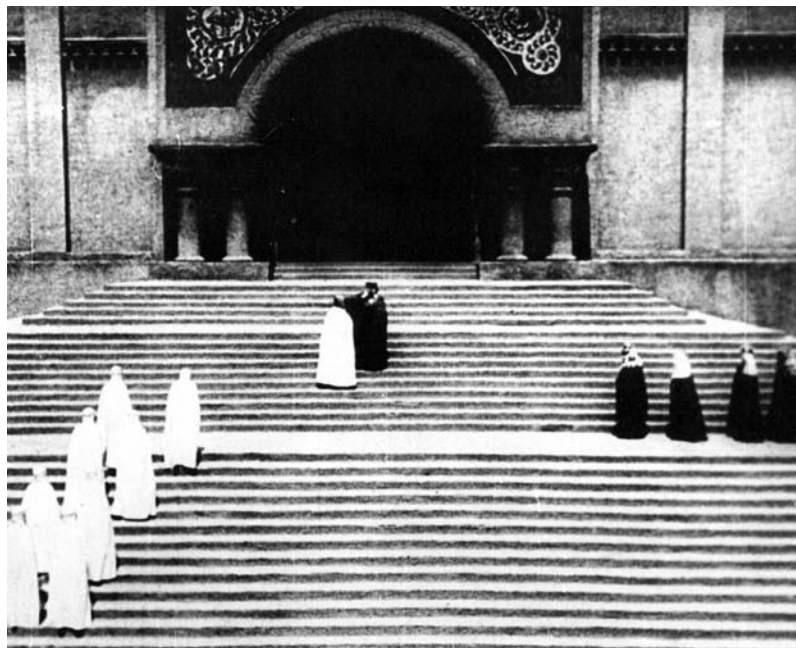


Abb. 934: Farshid Moussavi und Alejandro Zaera-Polo/FOA, Yokohama International Port Terminal, Japan, 1994–2002. Blick von der breiten Rampe auf ein angelandetes Schiff, Fotografie.
Abb. 935: Otto Hunte, Karl Vollbrecht und Erich Kettelhut, Szenenbild „Die Domtreppe“ des Films *Die Nibelungen, Teil 1, Siegfried*, Regie: Fritz Lang, Deutschland, 1922/24. Filmbild.



Abb. 936: Farshid Moussavi und Alejandro Zaera-Polo/FOA, Yokohama International Port Terminal, Japan, 1994–2002. Blick auf das Freilichtauditorium und die Veranstaltungshalle, Fotografie (Ausschnitt).

Abb. 937: Schöffler, Schloenbach & Jacobi, Titania-Palast, Berlin-Steglitz, Deutschland, 1926/27. Zuschauersaal, Fotografie.

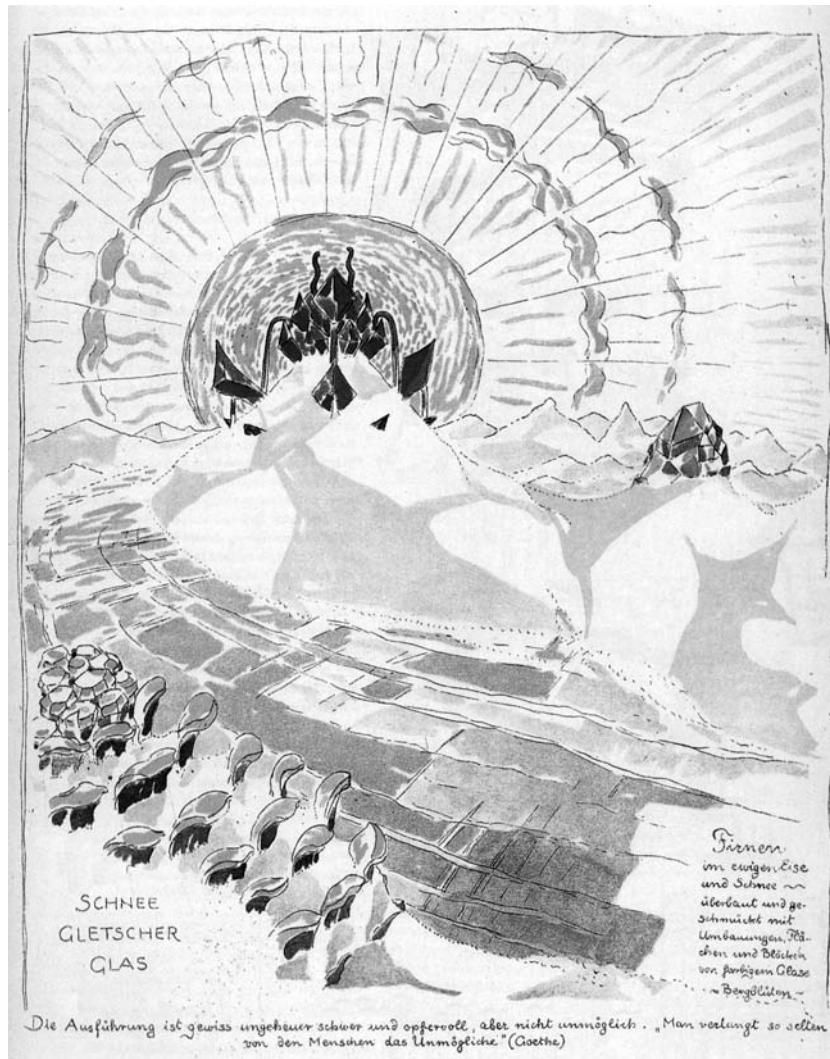


Abb. 938: Bruno Taut, Alpine Architektur, Hagen, Deutschland, 1919. Schnee Gletscher Glas, Tafel 10. Druck auf Karton, 29 x 24 cm.

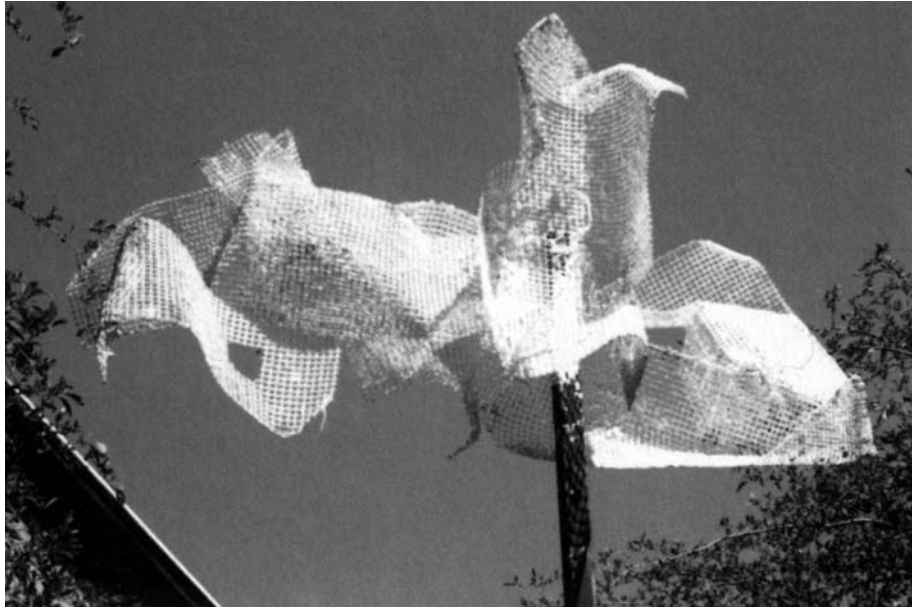


Abb. 939: Hans Hollein, Space in Space in Space, Master Dissertation, University of California, Berkeley, USA, 1960. Modell aus Gitterflächen, Fotografie.

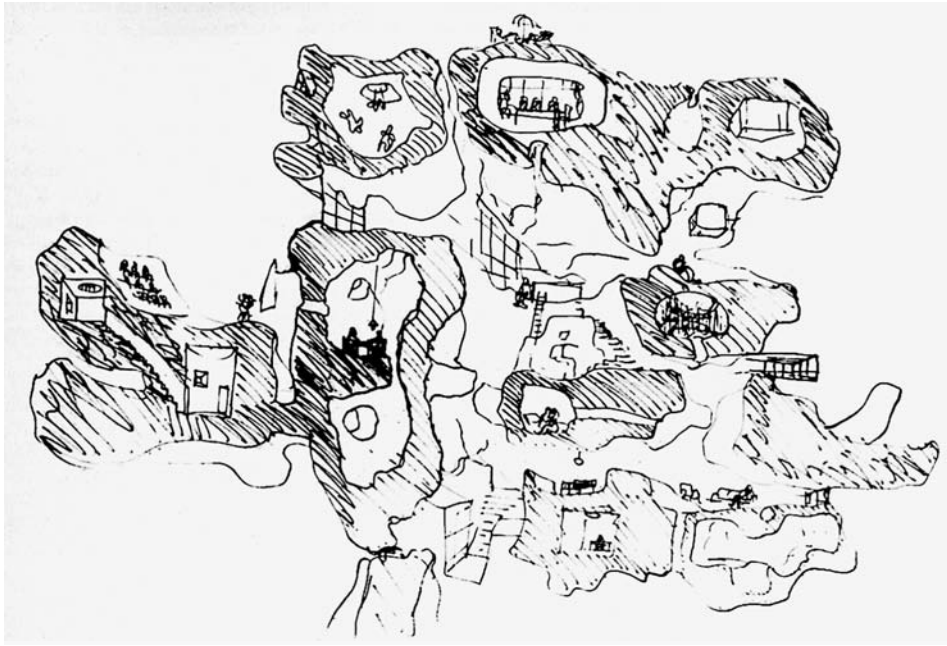


Abb. 940: Hans Hollein, Raum entwickelt sich in alle Richtungen und ist in wahrer Dreidimensionalität vernetzt, 1960. Schnitt durch eine Stadt, Zeichnung.
Abb. 941: Modell aus Ton, Fotografie.

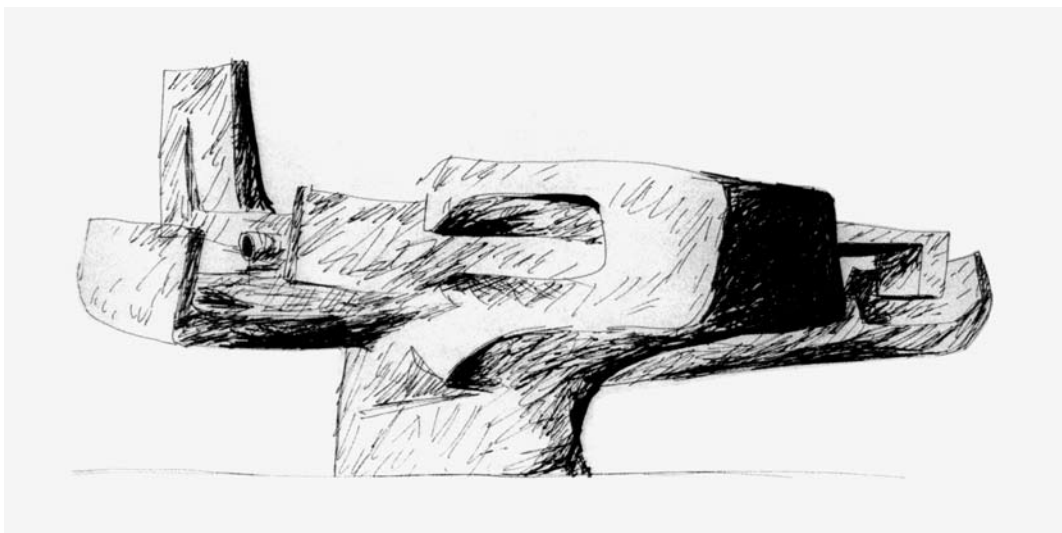


Abb. 942: Hans Hollein, Stadtgebilde über Wien, Österreich, Entwurf 1960. Farbige Fotocollage, 14 x 33 cm (Ausschnitt).

Abb. 943: Hans Hollein, Haus, Entwurf 1959. Zeichnung.

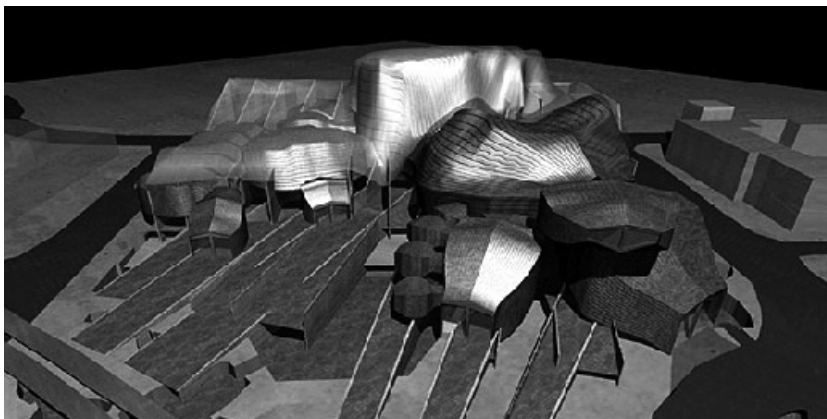


Abb. 944: Engelbert Kremser, Café Kranzler, Berlin, Entwurf 1969/70. Fotomontage.

Abb. 945: Greg Lynn, Stranded Sears Tower, Chicago/Illinois, USA, Entwurf 1992. Präsentationsmodell mit Umgebung, Südwestseite, Fotografie.

Abb. 946: Greg Lynn, Cardiff Bay Opera House, Cardiff/Wales, Großbritannien, Entwurf 1994. 3D-Modell mit Umgebung, Vogelperspektive, Südwestseite, Computerrendering.

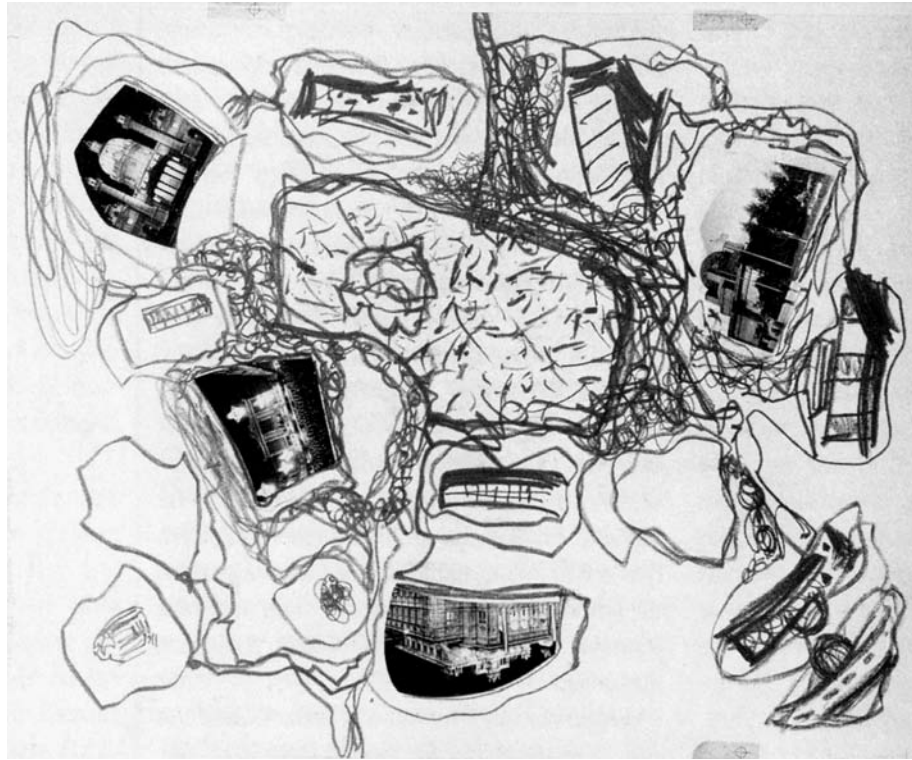


Abb. 947: Friedrich Kiesler, Der Wiener Karlsplatz mit umliegenden Kulturstätten, Österreich, 1961. Collage für die Zeitschrift *Progressive Architecture*, Juli 1961.

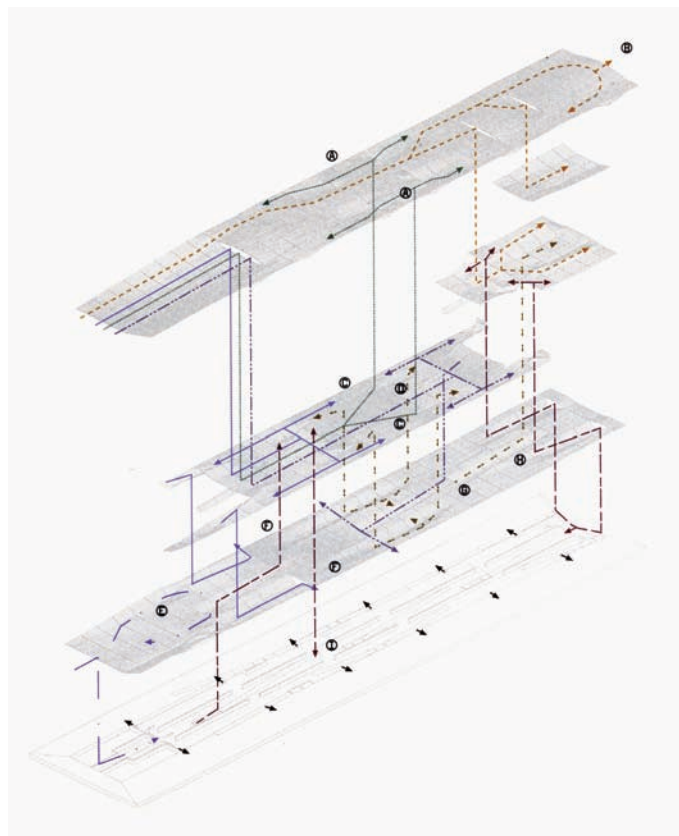
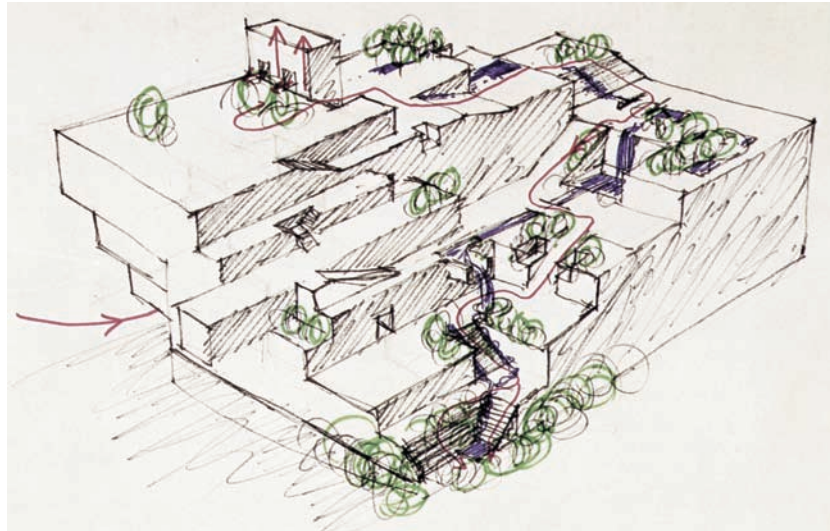


Abb. 948: Hans Hollein, Begehbares Kaufhaus, St. Louis/Missouri, USA, Entwurf 1963. Isometrie, schwarzer und farbiger Filzstift auf Papier, 50 x 70 cm.

Abb. 949: Farshid Moussavi und Alejandro Zaera-Polo/FOA, Yokohama International Port Terminal, Japan, 1994–2002. Dreidimensionales Zirkulationsschema, Axonometrie, Computerzeichnung.

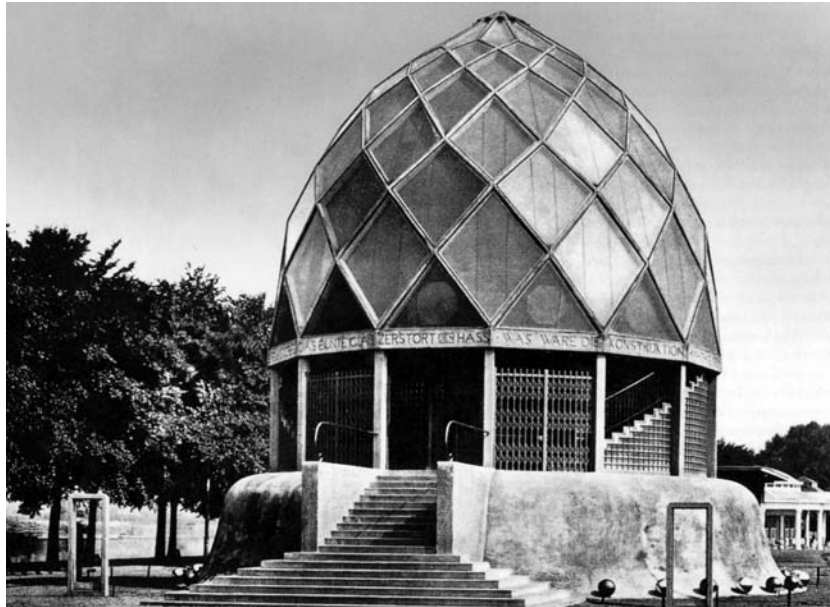


Abb. 950: Bruno Taut, Glashaus auf der Deutschen Werkbund-Ausstellung, Köln, Deutschland, 1914. Außenansicht, Fotografie.

Abb. 951: Bruno Taut, Wohnhaus „Käseglocke“, Worpswede, Deutschland, 1922–26. Außenansicht, Fotografie.

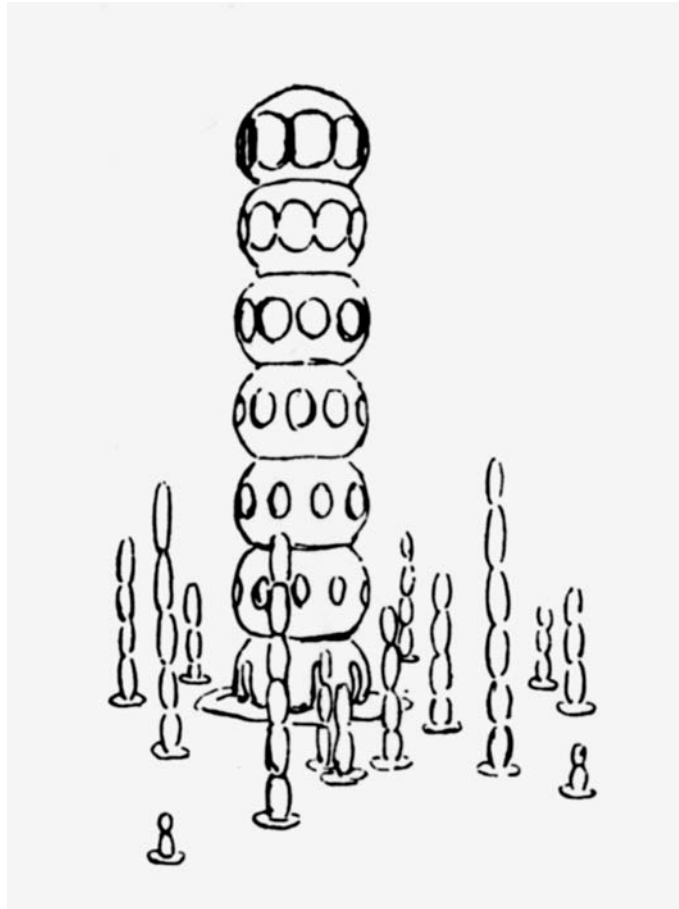


Abb. 952: Paul Goesch, Kugelgliederturm, Zeichnung, abgebildet in: Frühlicht. Beilage der Stadtbaukunst alter und neuer Zeit, Jg. 1, Nr. 12, 1920.

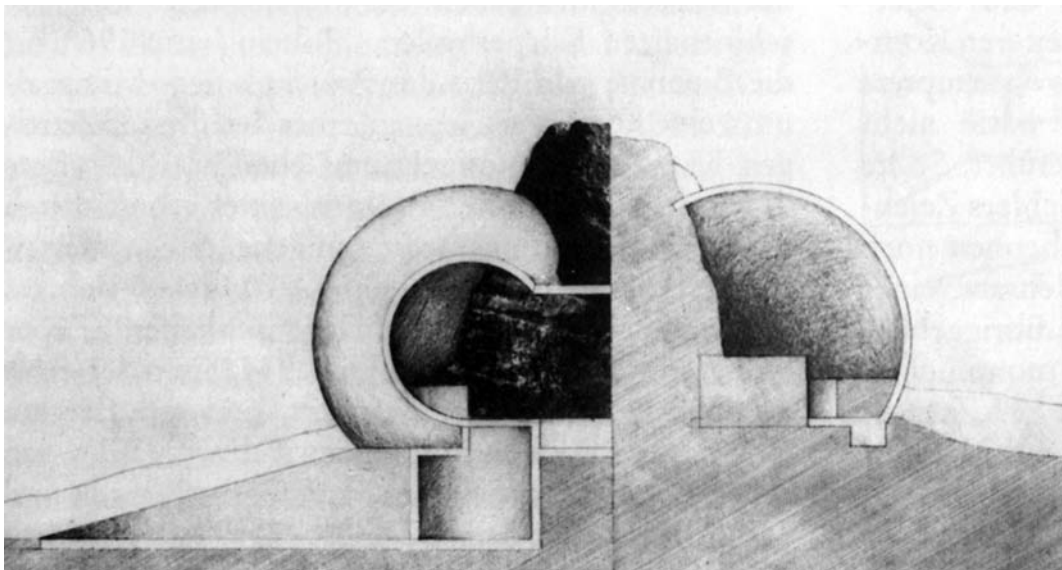
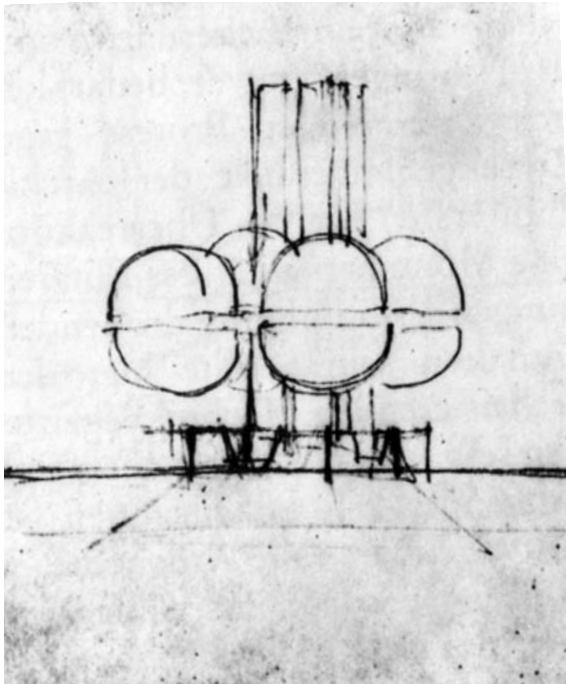


Abb. 953: Hans Hollein, Kugelhaus, Entwurf 1962. Skizze.

Abb. 954: Walter Pichler, Haus an einem Felsen, Entwurf 1964. Schnitt.

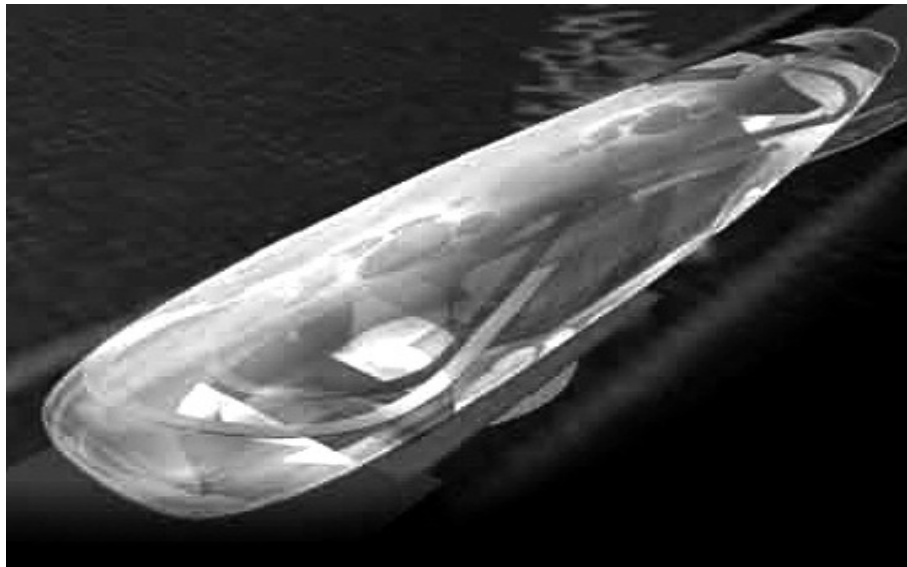
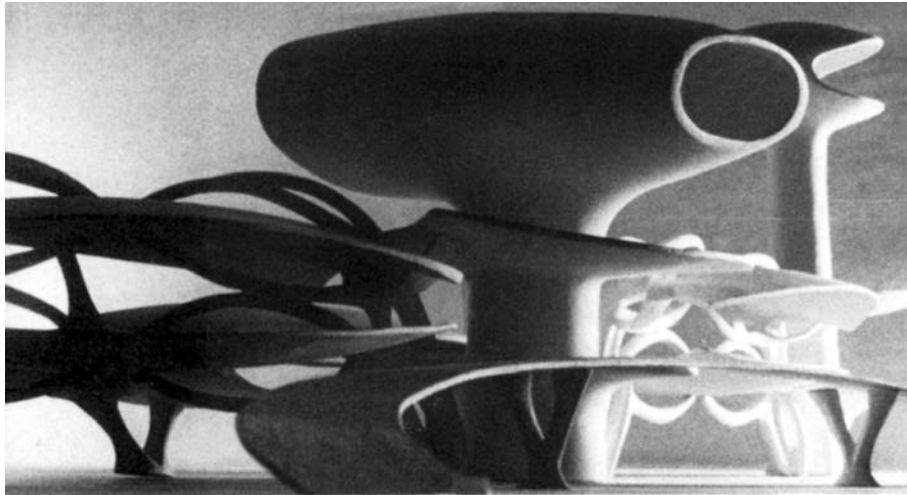


Abb. 955: Laurids Ortner, Flughafen, Entwurf 1964/65. Modell, Fotografie.

Abb. 956: Ben van Berkel, Yokohama International Port Terminal, Japan, Entwurf 1994. 3D-Modell, Perspektive, Nordseite, Computerrendering.



Abb. 957: Ionel Schein, Cabine hôtelière mobile, Entwurf 1956. Modell aus gegossenem, lackiertem Gips, sechs Teile, jeweils 25,5 x 24 x 34 cm, Fotografie.

Abb. 958: Ionel Schein, Bibliothèque mobile, Entwurf 1957. Modell aus gegossenem, lackiertem Gips, vier Teile, 12 (h) x 40 x 23 cm, Fotografie.

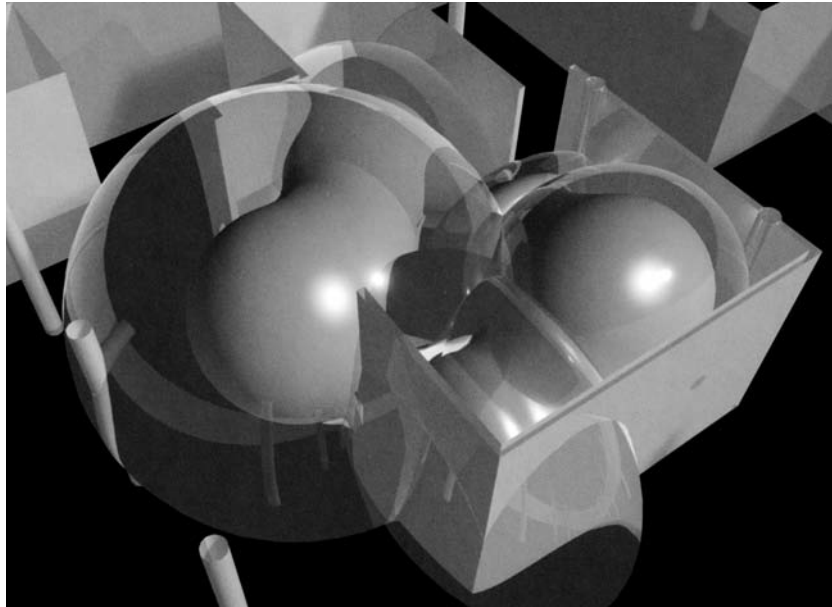


Abb. 959: Greg Lynn, Artists Space, Installation Design, New York, USA, 1995. Studie, 3D-Modell von fünf verschmolzenen Kugelobjekten mit Einflusszonen im Galerieraum, Perspektive, Computer-rendering.

Abb. 960: Haus-Rucker-Co, Ballon für Zwei, Apollogasse, Wien, Österreich, 1967. Pneumatisches Objekt mit Kragarm und Sitzvorrichtung, Fotografie (Ausschnitt).

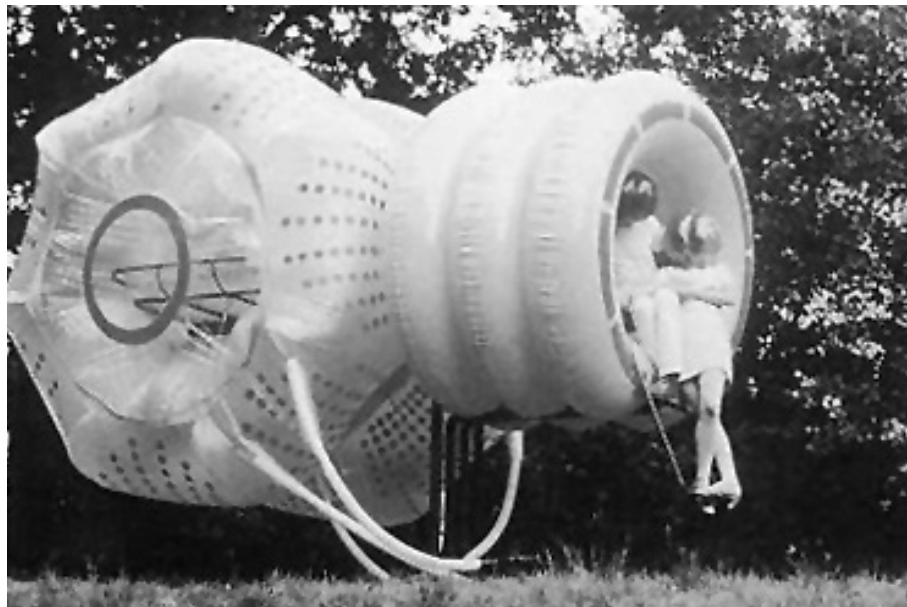
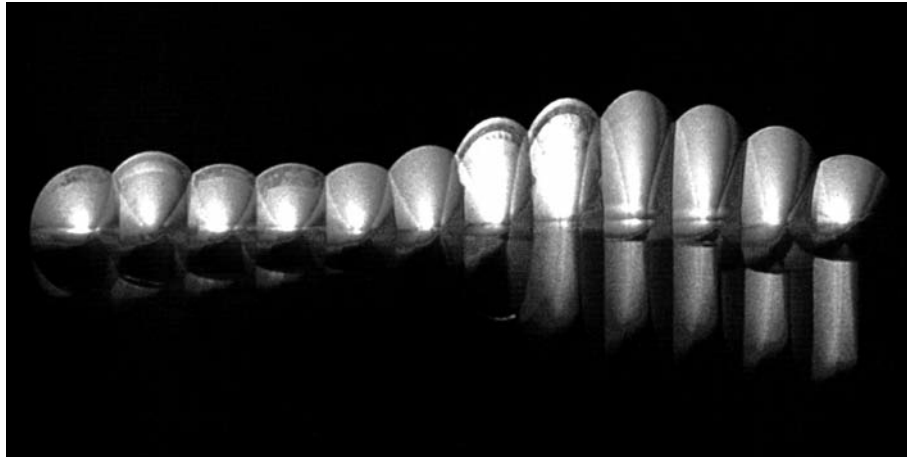


Abb. 961: Greg Lynn, Douglas Garofalo und Michael McInturf, Korean Presbyterian Church of New York, USA, 1995–99. Studie des Kirchenraumes, Ansicht der Längsseite, Computerrendering.
Abb. 962: Haus-Rucker-Co, Gelbes Herz, Wien, Österreich, 1968. Pneumatisches Objekt, aufgestellt, Präsentation im Freigelände mit zwei Bewohnern, Fotografie.

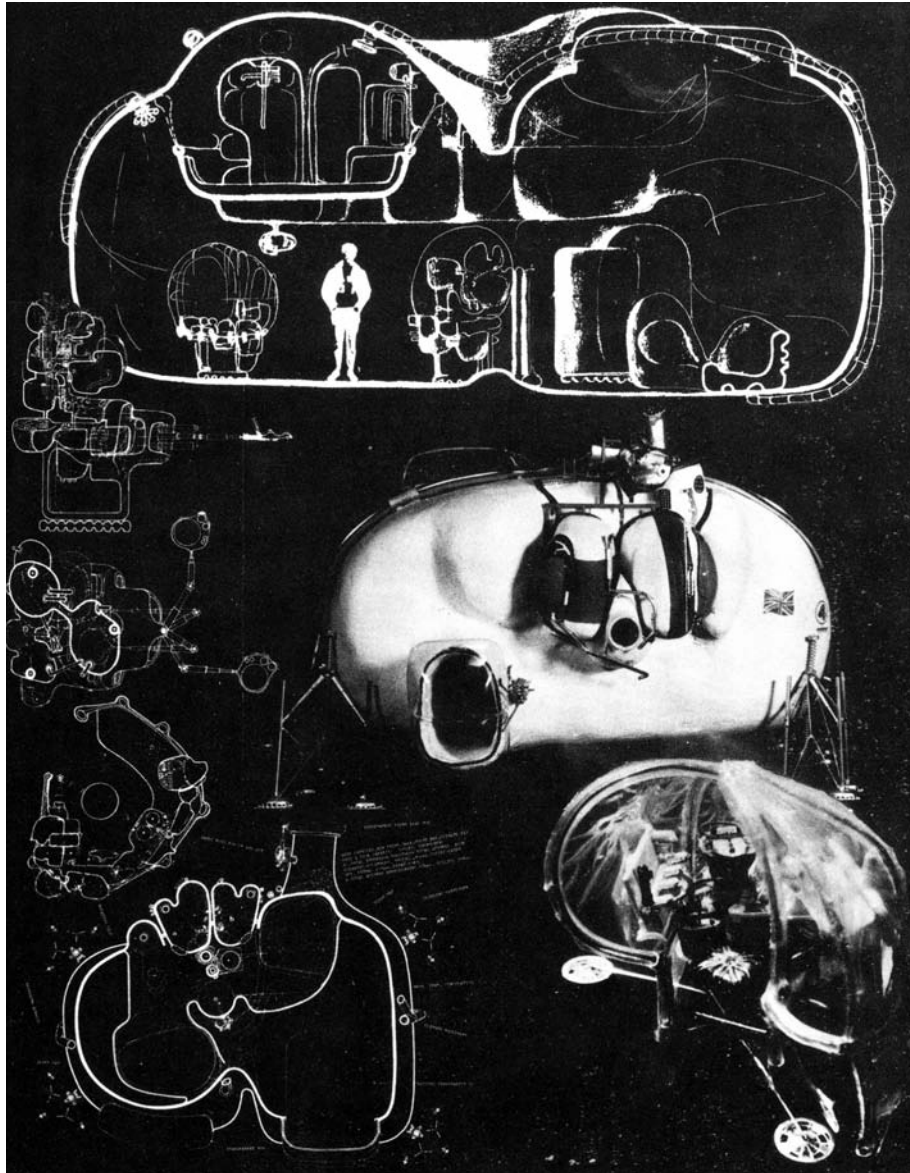


Abb. 963: David Greene/Archigram, Living Pod, Entwurf 1966/67. Collage including (top to bottom): General section, Food machine section, Food machine plan, model (made by David Greene with Buddy Clarke), teaching machine plan, teaching machine model, general plan.

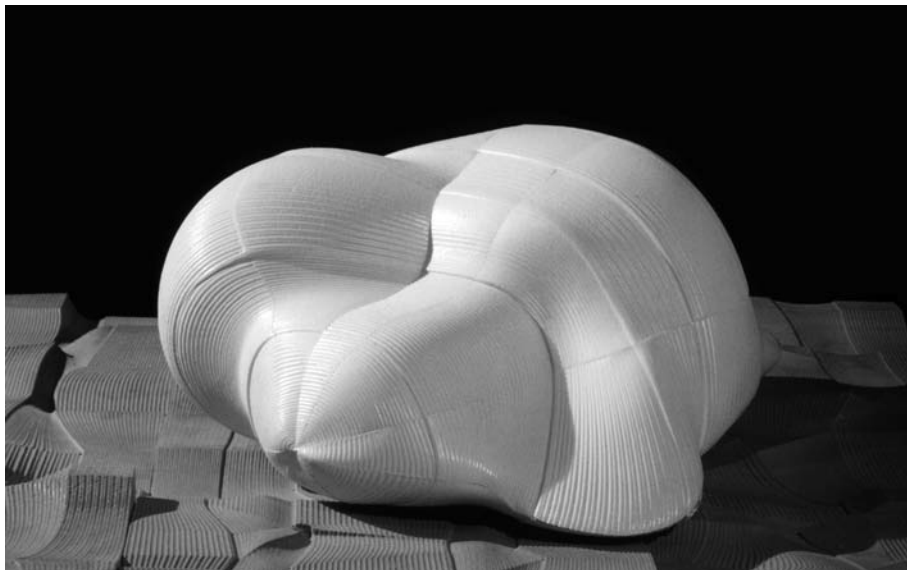


Abb. 964: David Greene/Archigram, Living Pod, Entwurf 1966/67. Präsentationsmodell aus Kunststoff, Farbe und Metall, 58 (h) x 81 x 81,5 cm, Fotografie.

Abb. 965: Greg Lynn, Embryological House, Entwurf 1997–2001. ABS Egg – Size C Pocket and MDF Formwork – Size C Panel. Präsentationsmodell aus vakuumgeformtem ABS-Kunststoff und CNC-gefrästem MDF Holz, Fotografie.

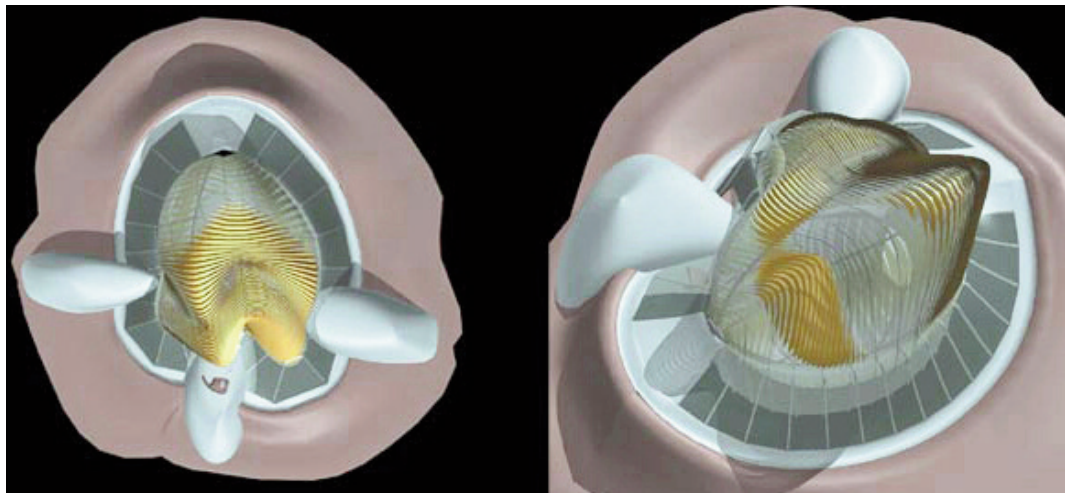


Abb. 966: David Greene/Archigram, Living Pod, Entwurf 1966/67. Modell aus bemaltem Gips auf Drahtgittergerüst, Fotografie.

Abb. 967: Greg Lynn, Embryological House, Entwurf 1997–2001. Prototypische 3D-Modelle, Aufsicht und Axonometrie, Computerrenderings.

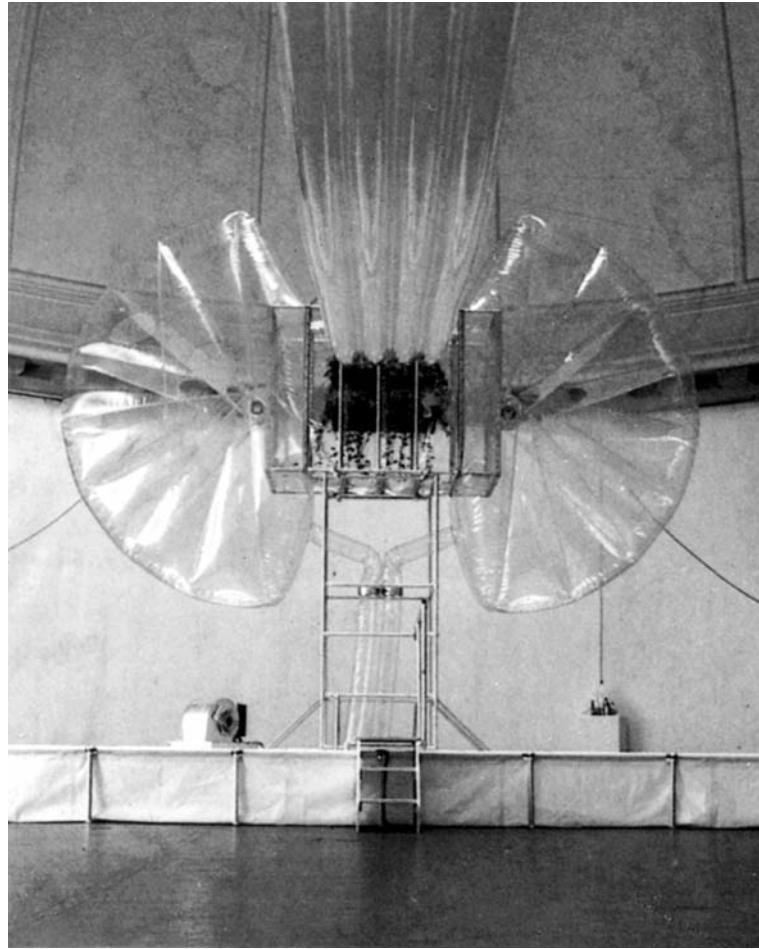


Abb. 968: Haus-Rucker-Co, Grüne Lunge, Hamburger Kunsthalle, 1973. Pneumatische Rauminstallation, Fotografie.



Abb. 969: Rudolf Doernach, Hydropolis La Marseillaise, Entwurf 1966/67. Zeichnung.

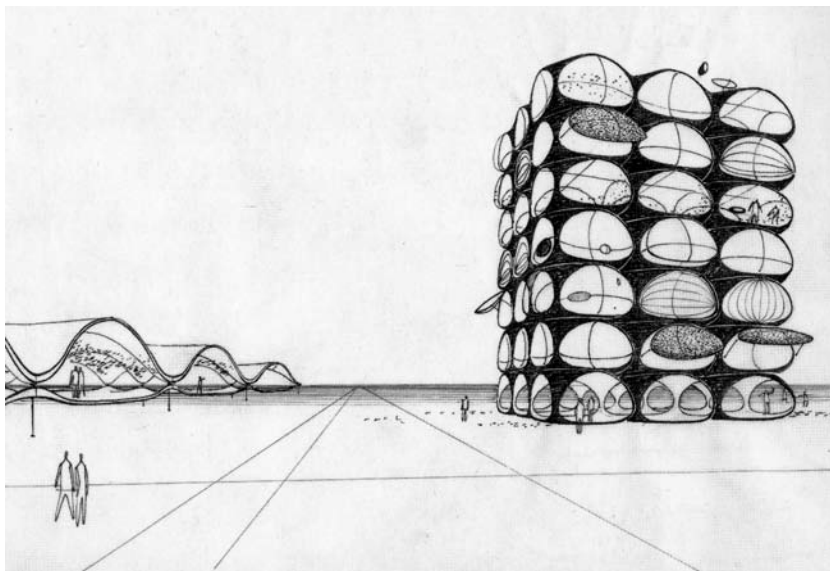


Abb. 970: Jean-Louis Chanéac, Cellules polyvalentes, Entwurf 1960. Modell, Farbe und Kunstharz, 12 Elemente, davon eins gekappt, 15 x 22,5 x 22,5 cm, Fotografie.

Abb. 971: Jean-Louis Chanéac, Cellules polyvalentes à coques plastiques, Entwurf 1961. Zeichnung, Tinte auf Pauspapier, 21 x 31,5 cm.

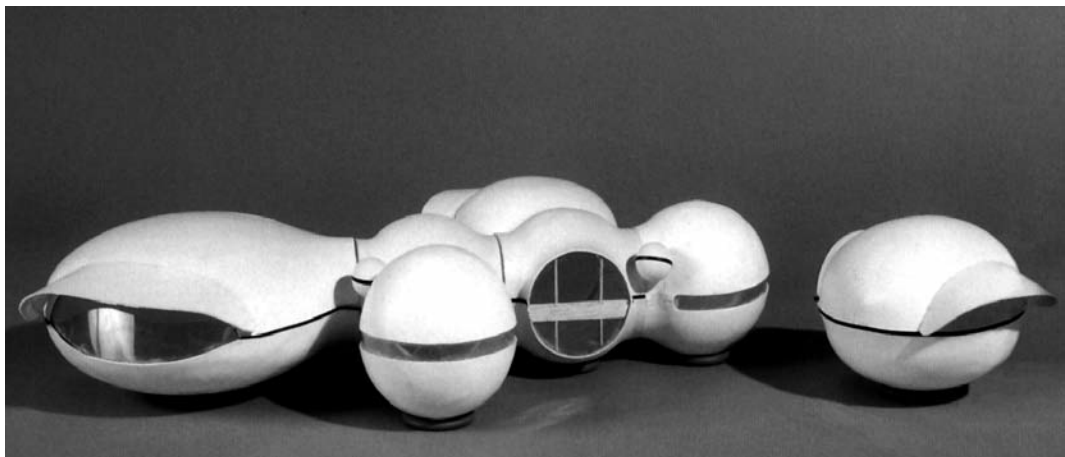
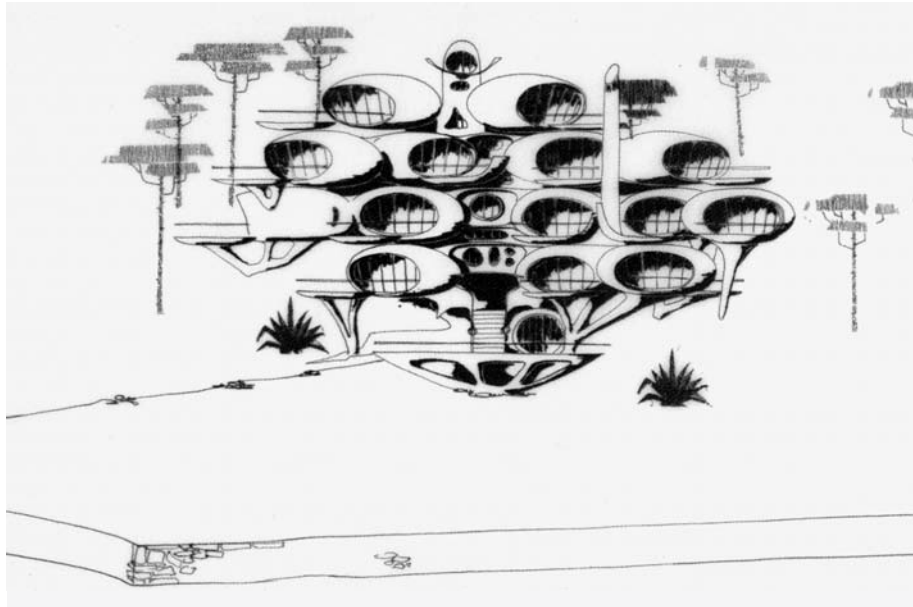


Abb. 972: Pascal Häusermann, Résidence de M. Ginet, Entwurf 1968. Zeichnung, Tinte auf Pauspapier, 63 x 80,5 cm (Ausschnitt).

Abb. 973: Pascal Häusermann, Domobiles, Entwurf 1971. Modell, Mischtechnik, Kunstharzpolyester, sieben Teile, 35 x 30 x 20 cm und 20 x 24 x 16 cm, ø 15 cm, Fotografie.



Abb. 974: David Greene/Archigram, High Rise Pod Model, Entwurf 1966/67. Präsentationsmodell aus Kunststoff und Metall, Fotografie.

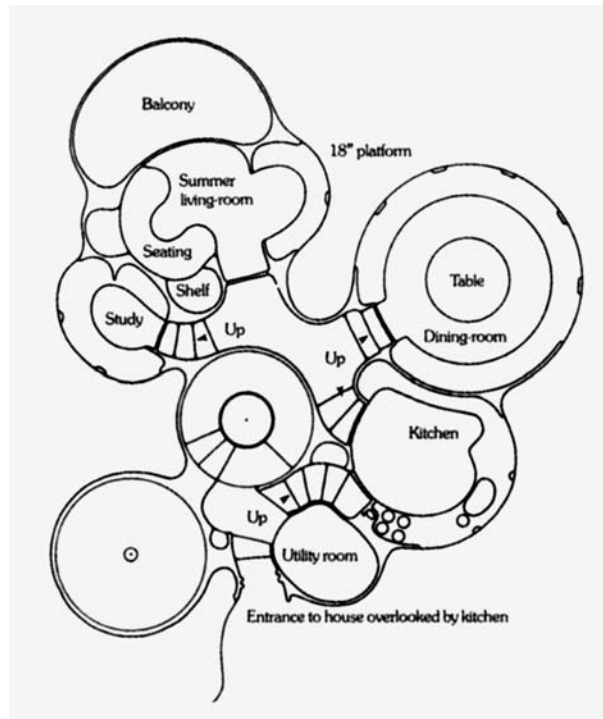


Abb. 975: Roger Dean, Wohnhaus, Entwurf 1966. Grundriss.

Abb. 976: Roger Dean, Grüne Sitzlandschaft, Entwurf 1965. Schnittansicht.

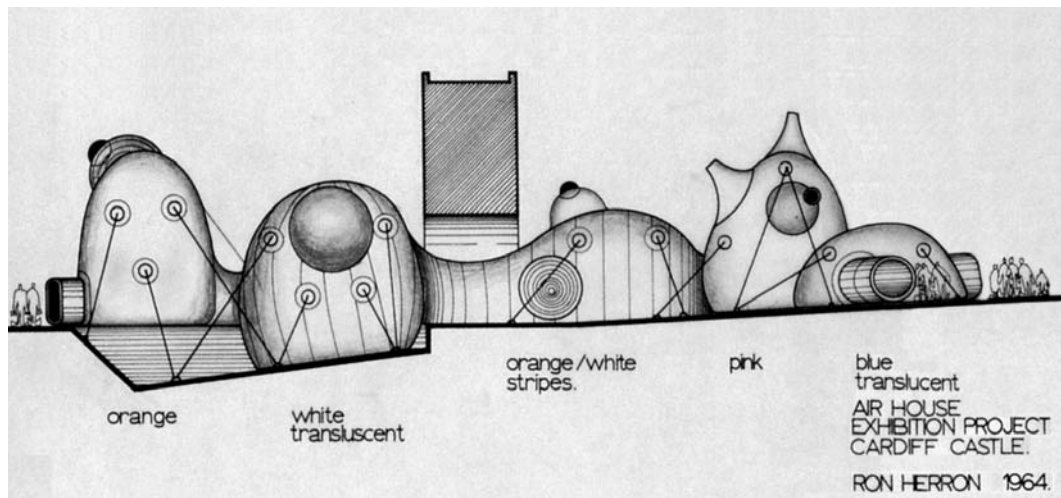


Abb. 977: Ron Herron/Archigram, Air House Exhibition Project, Teil einer Ausstellung für das Commonwealth Festival, Cardiff Castle/Wales, Großbritannien, Entwurf 1964. Schnittansicht (Ausschnitt).

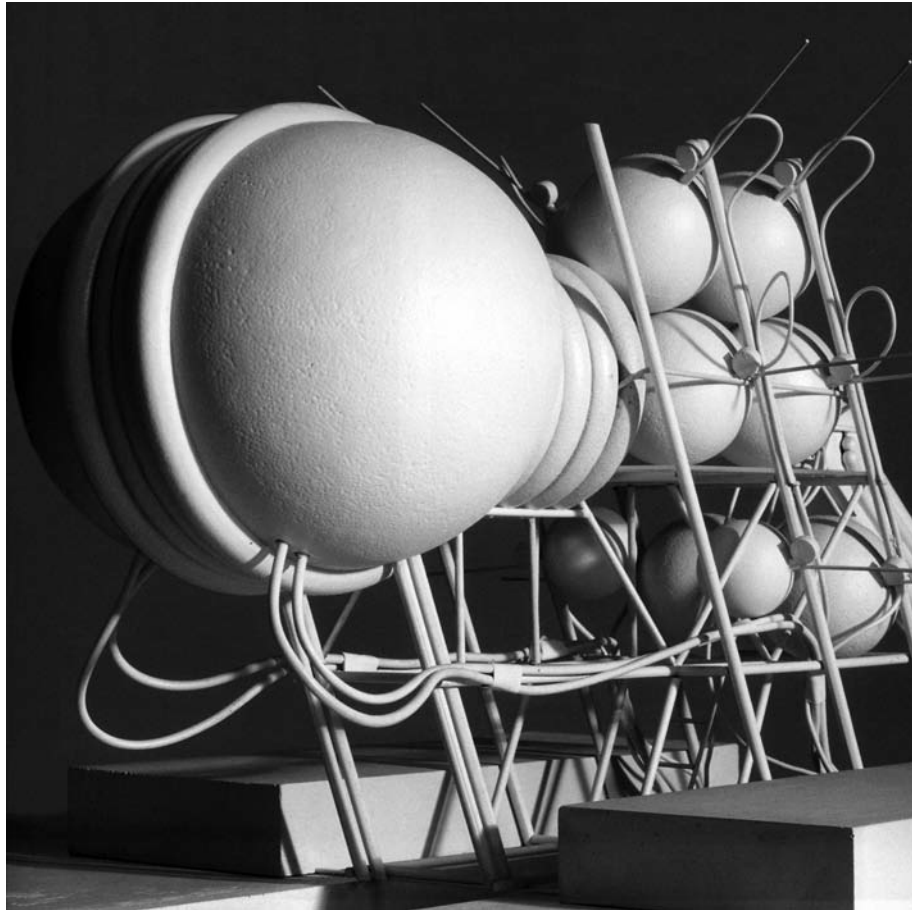


Abb. 978: Coop Himmelb(l)au, Villa Rosa, Entwurf 1968. Modell vom Prototyp, 1967, Holz, Kunststoff, Kunststoffpaste, Metall und weiße Farbe, 42,5 (h) x 68 x 68 cm, Fotografie.

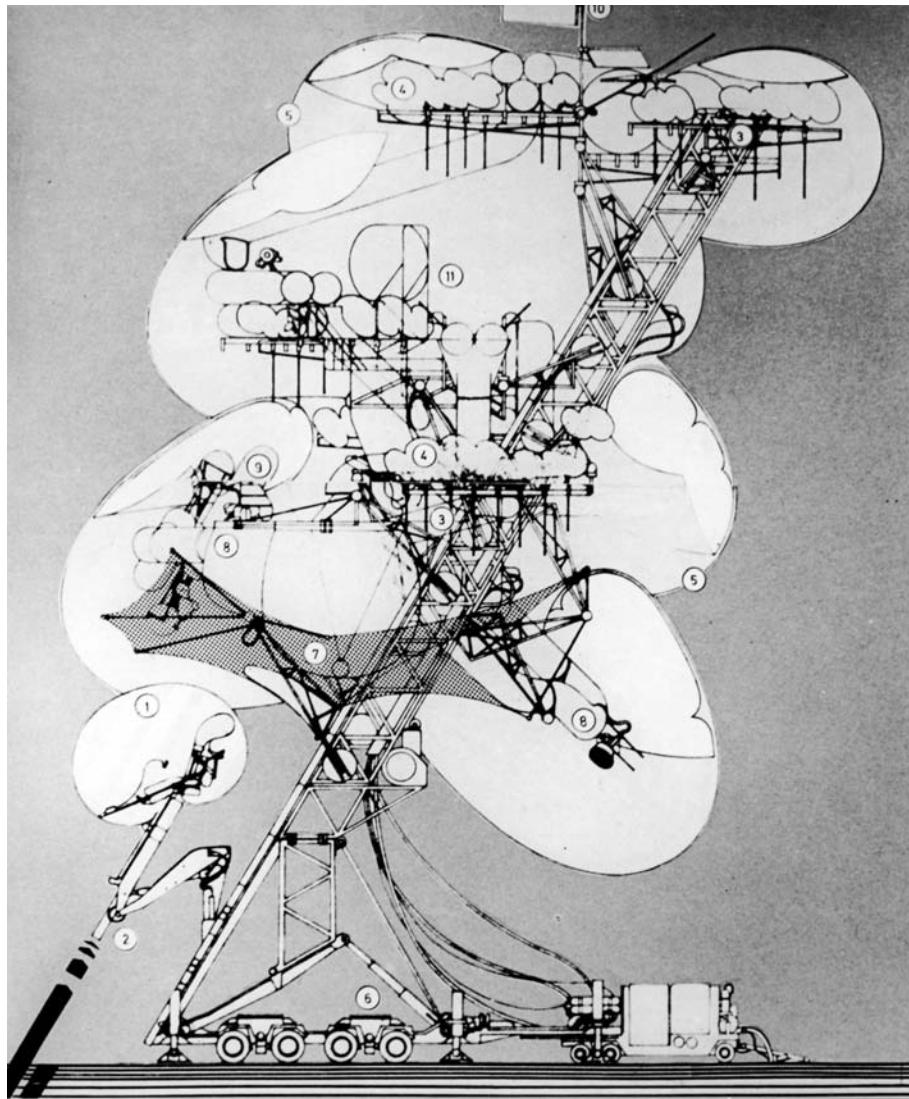


Abb. 979: Coop Himmelb(l)au, Wolke, Entwurf 1968–72. Zeichnung.

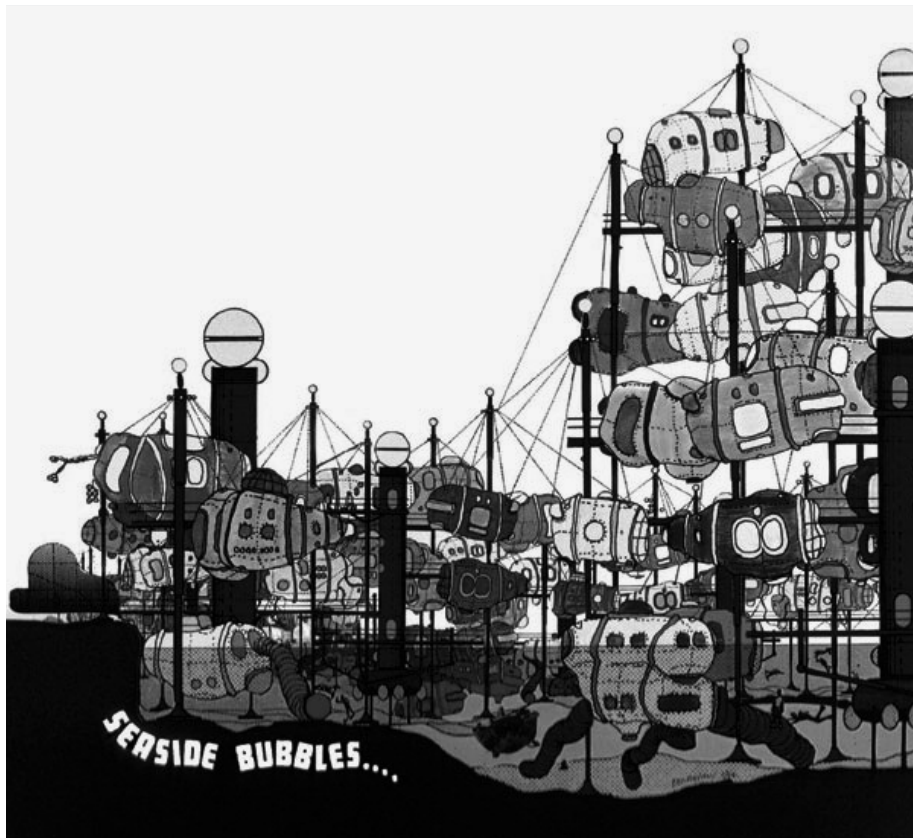


Abb. 980: Ron Herron/Archigram, Seaside Bubbles, Entwurf 1966. Zeichnung.

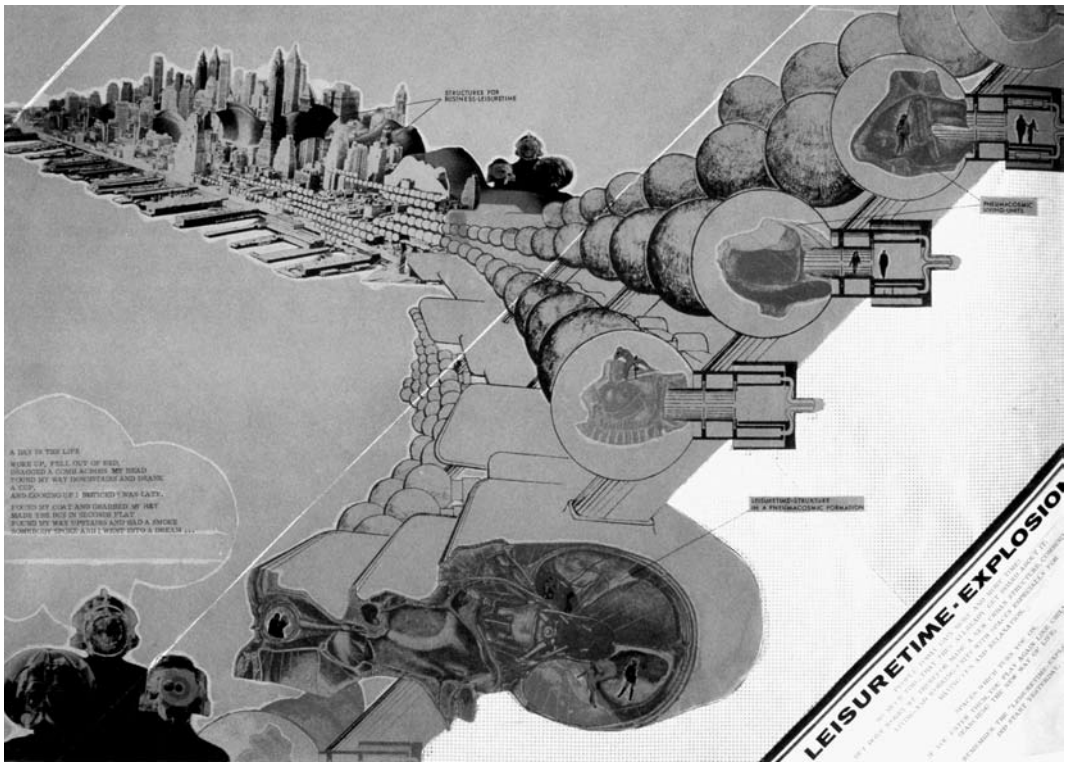


Abb. 981: Haus-Rucker-Co, Leisuretime Explosion, ohne Datum. Zeichnung, Collage, 48 x 68 cm.

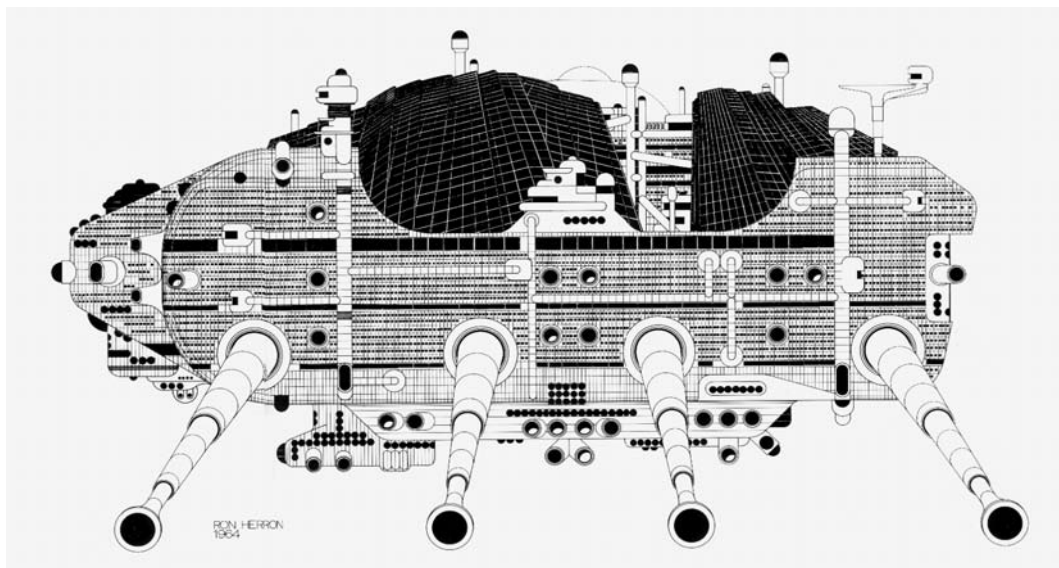
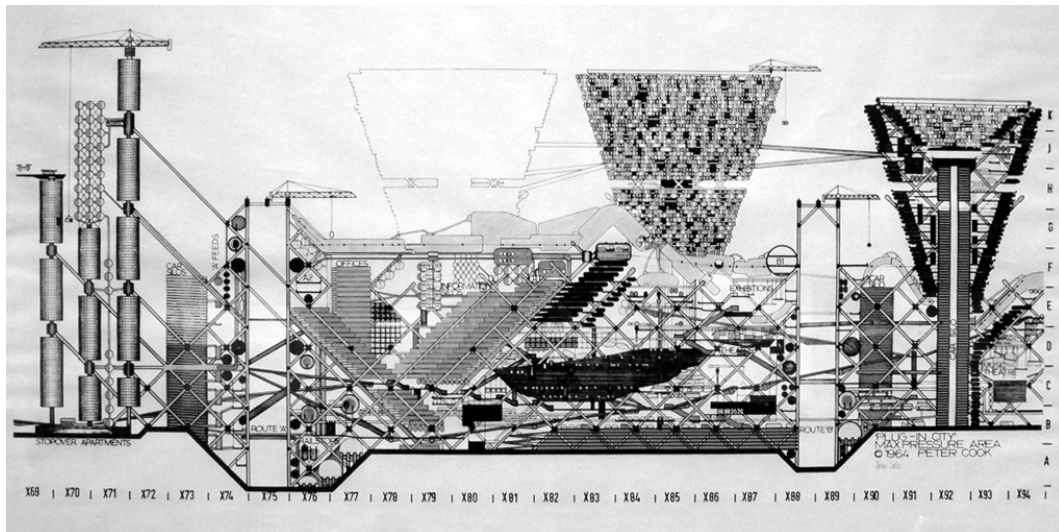


Abb. 982: Peter Cook/Archigram, Plug-in City, Entwurf 1964. Maximum Pressure Area. Schnitt, Tusche und Grafit auf Transparentpapier mit Abdeckband, 55,2 x 115,9 cm.

Abb. 983: Ron Herron/Archigram, Cities: Moving, Master Vehicle-Habitation, Entwurf 1964. Perspektive, Tusche und Grafit auf Transparentpapier, 55,2 x 83,2 cm (Ausschnitt).

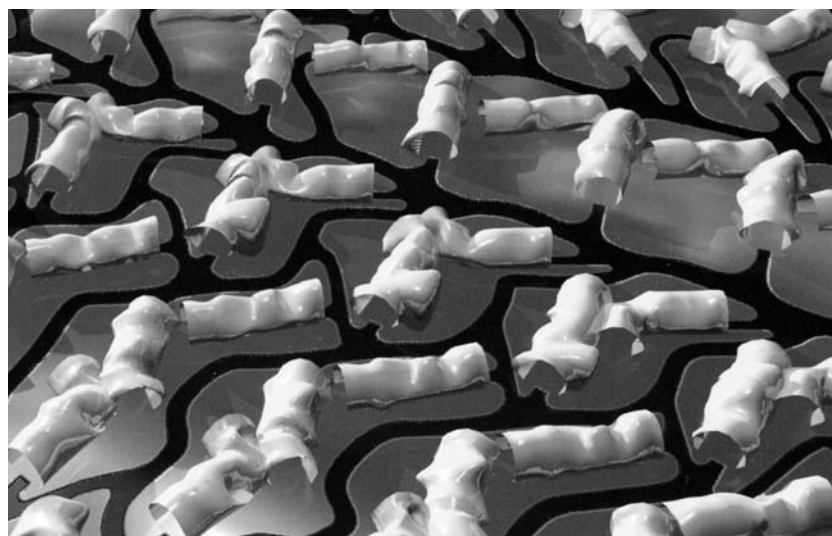
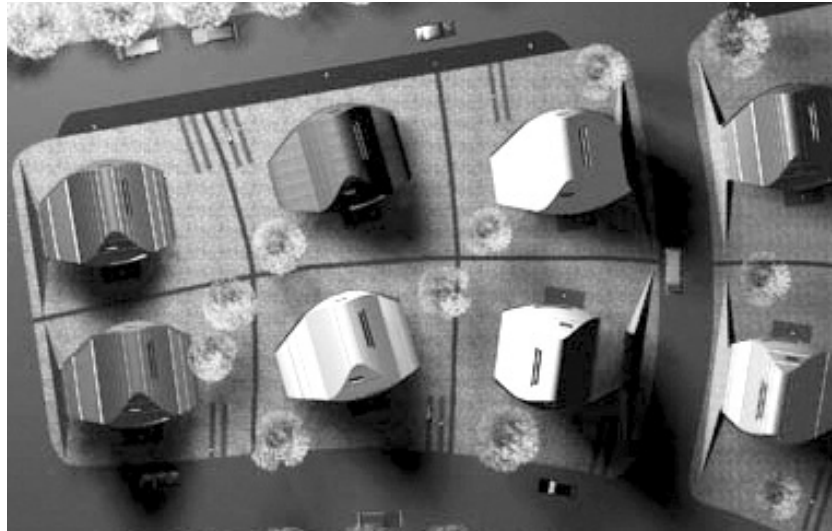


Abb. 984: Kas Oosterhuis, Variomatic, Entwurf 1999–2003. 3D-Modell der ersten Variomatic-Siedlung in Zoetermeer, Niederlande, Aufsicht, Computerrendering.

Abb. 985: Lars Spuybroek/NOX, OffTheRoad_5speed, Entwicklungsprojekt für Nicht-Standard-Fertighäuser an der Autobahn A 58 für die Wohnungsbaugesellschaft TRUDO, Eindhoven, Niederlande, Entwurf 1999/2000. 3D-Modell der Siedlung, Perspektive, Computerrendering (Ausschnitt).



Abb. 986: Kisho Kurokawa, Nagakin Capsule Tower, Tokio, Japan, 1970–72. Fotografie.

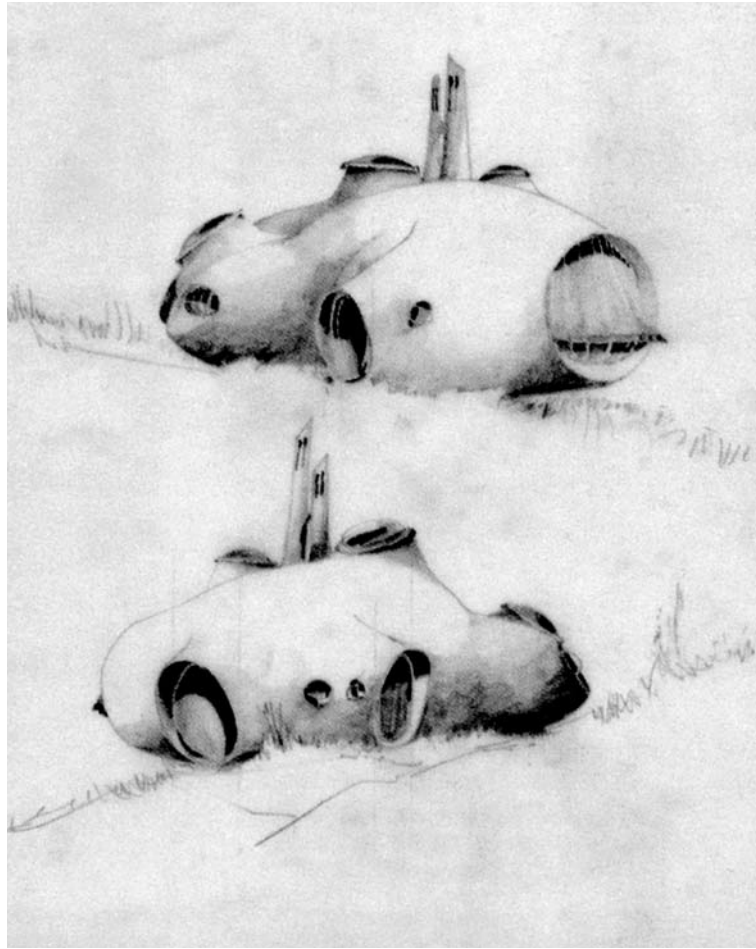


Abb. 987: Pascal Häusermann, Habitat Denis, Entwurf 1972. Zeichnung, Bleistift auf Pauspapier, 53,5 x 70,5 cm (Ausschnitt).



Abb. 988: Matti Suuronen, Futuro House, Berlin, Deutschland, 1969. Fotografie.

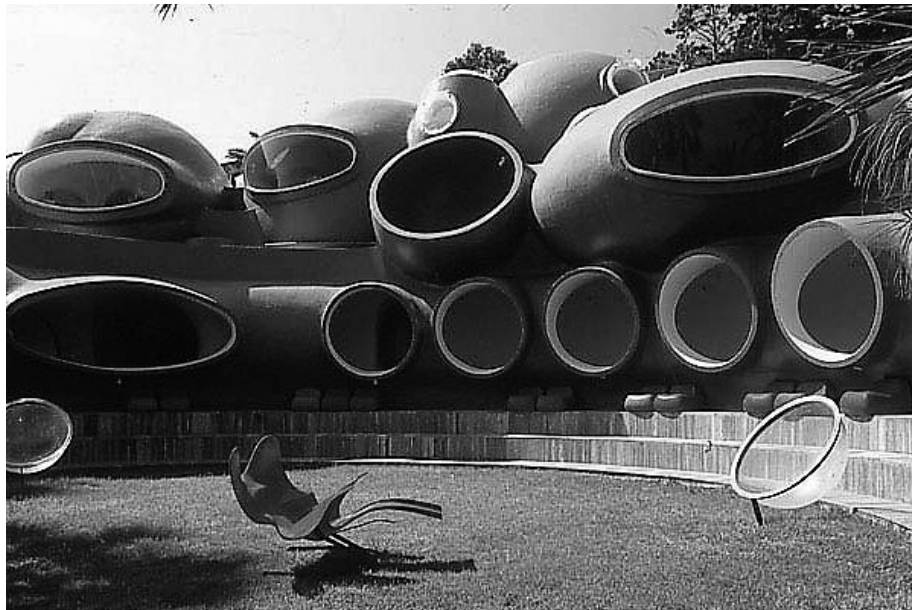


Abb. 989: Antti Lovag, Palais Bulles, Théoule-sur-Mer, Frankreich, 1988–93 (nach einem Entwurf von 1968). Blick von oben auf das Gesamtensemble, Fotografie.
Abb. 990: Ansicht von der Terrasse, Fotografie.



Abb. 991: Robert Day, Cartoon aus *The New Yorker*, 1966.

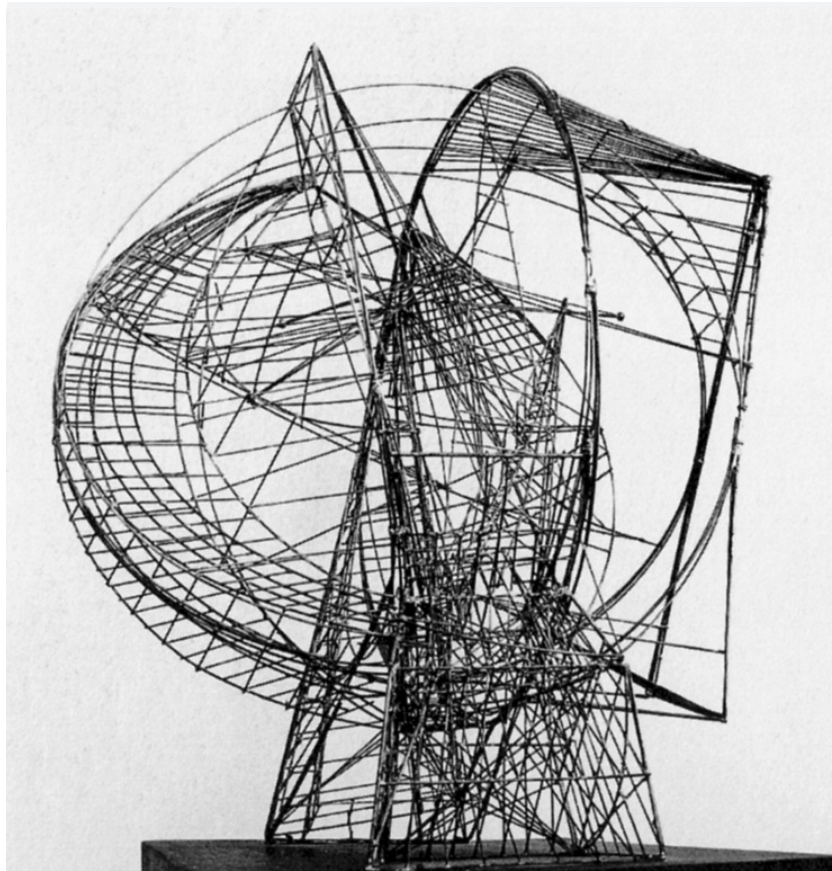


Abb. 992: Constant A. Nieuwenhuys, Ruimtecircus (Space Circus), Entwurf 1956–61. Objekt aus Eisendraht, Kupfer, Kabelschuhen und Blindnieten, 105 x 90 x 100 cm, Fotografie.

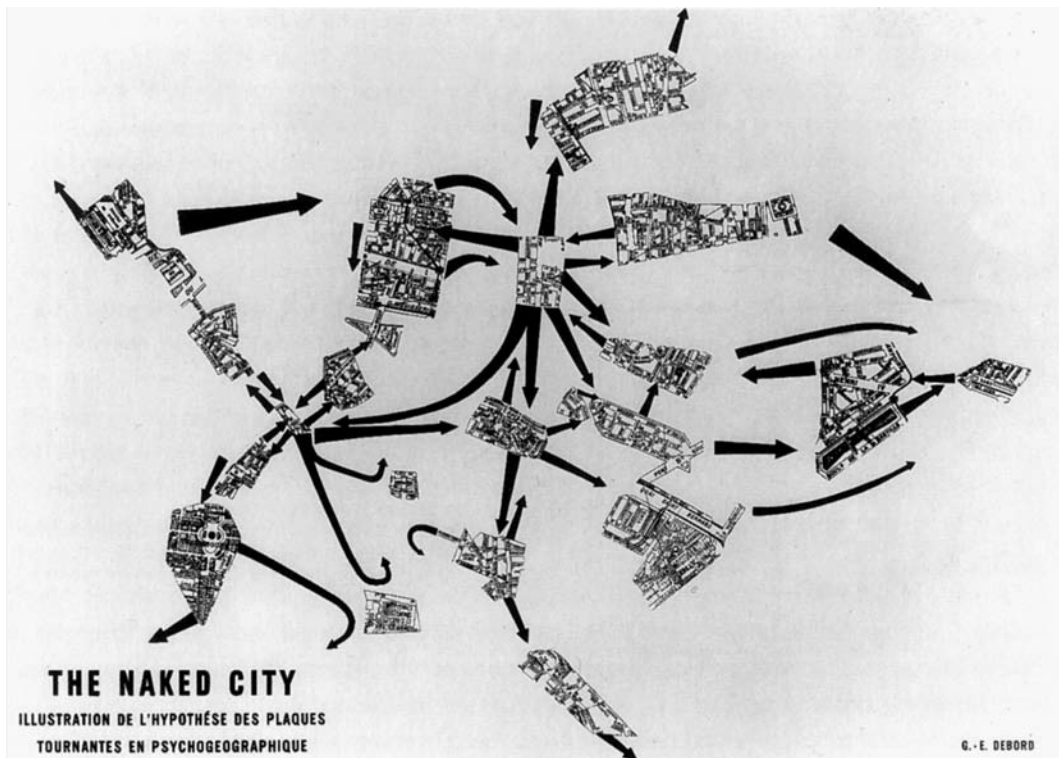


Abb. 993: Guy-Ernest Debord und Asger Jørn, The Naked City, Entwurf 1957. Siebdruck. Fotografie.

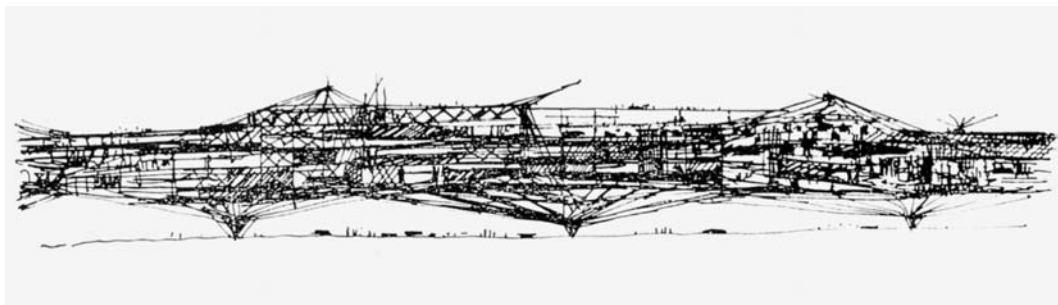
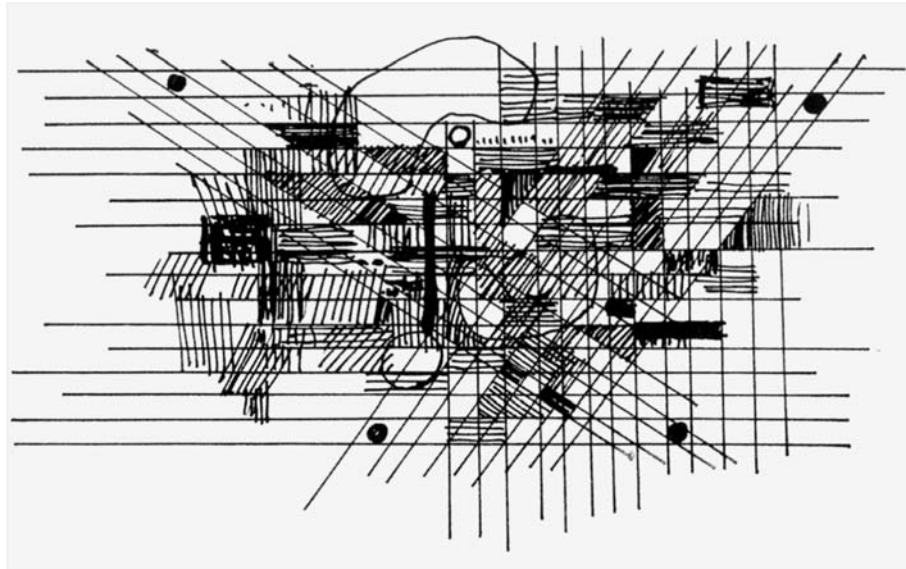


Abb. 994: Constant A. Nieuwenhuys, Principle of a Covered City. Spatial „Plan“, Zeichnung, Tinte auf Papier, abgebildet in: Internationale Situationniste, Nr. 3, Dezember 1959.

Abb. 995: Constant A. Nieuwenhuys, Transverse Section of the Covered City, Zeichnung, Tinte auf Papier, abgebildet in: Internationale Situationniste, Nr. 3, Dezember 1959.

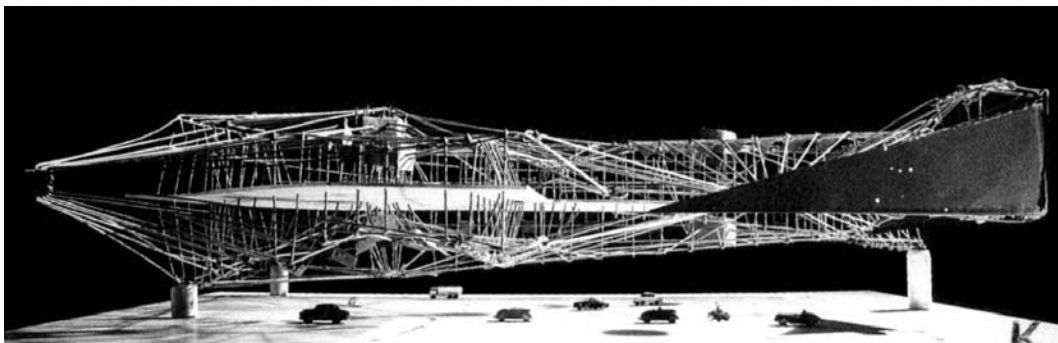
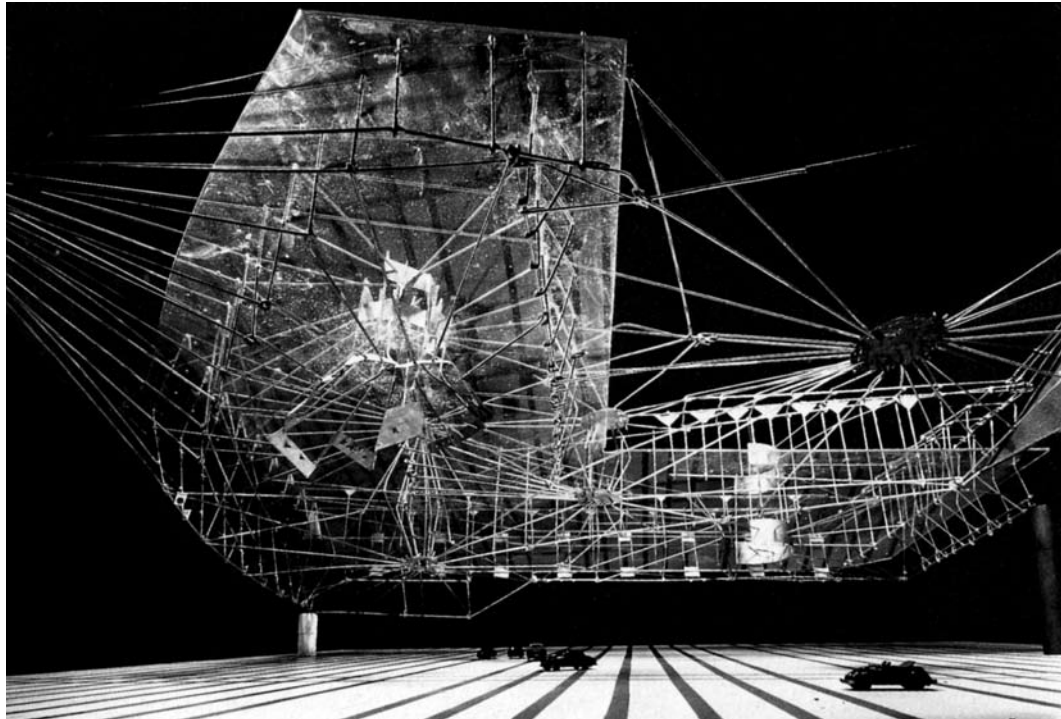


Abb. 996: Constant A. Nieuwenhuys, New Babylon, Entwurf 1957–74. Constructie in oranje (Orange Construction), 1958. Modell aus Metall, Plexiglas und Holz, 23 x 110 x 100 cm, Blick von unten, Fotografie.

Abb. 997: Blick von der Seite, Fotografie.

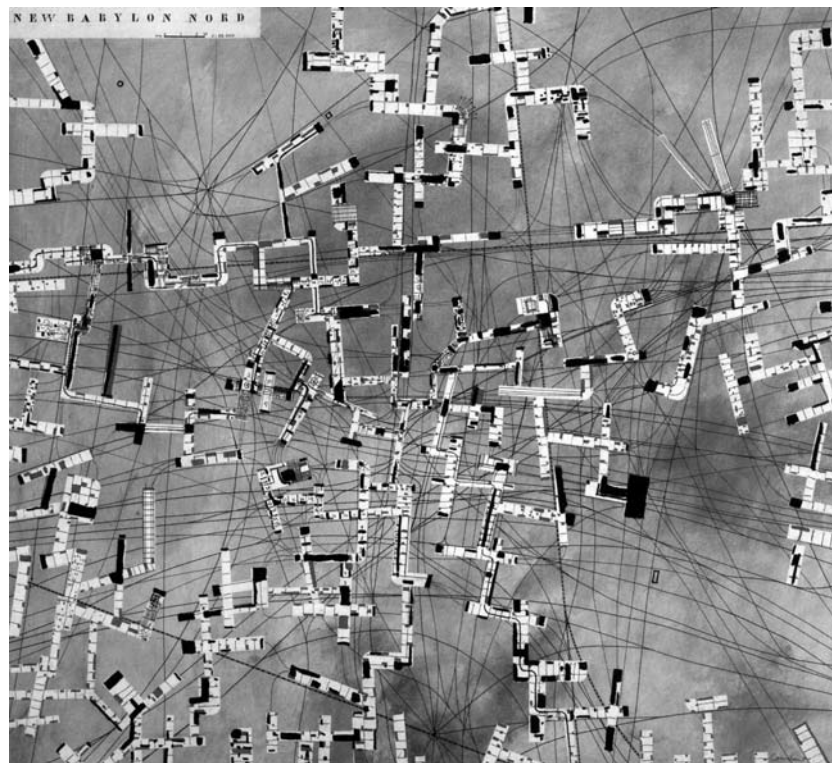
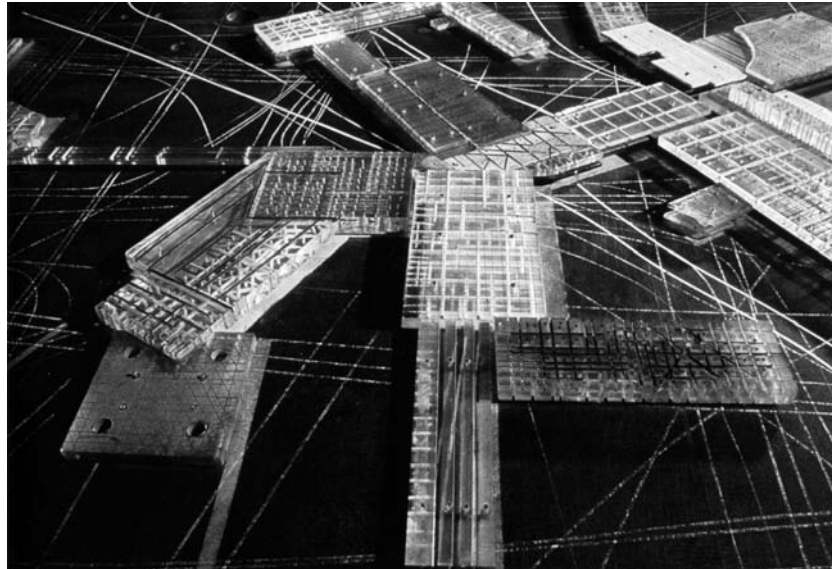


Abb. 998: Constant A. Nieuwenhuys, New Babylon, Entwurf 1957–74. Groep sectoren (Group of Sectors), 1959. Modell aus Metall (Eisen und Kupfer), Tinte auf Plexiglas und Öl auf Holz, 4,5 x 100 x 100 cm, Fotografie.

Abb. 999: New Babylon Nord, 1960. Aquarell und Collage auf Papier, 100 x 100 cm.



Abb. 1000: Constant A. Nieuwenhuys, New Babylon, Entwurf 1957–74. Lithografie aus einer Serie von zehn Zeichnungen mit Texten von Simon Vinkenoog, 1963, jede 40 x 76 cm, Auflage von 50 Stück.



Abb. 1001: Constant A. Nieuwenhuys, New Babylon, Entwurf 1957–74. Fragment sectoren keten (Fragment String of Sectors), 1969. Collage.

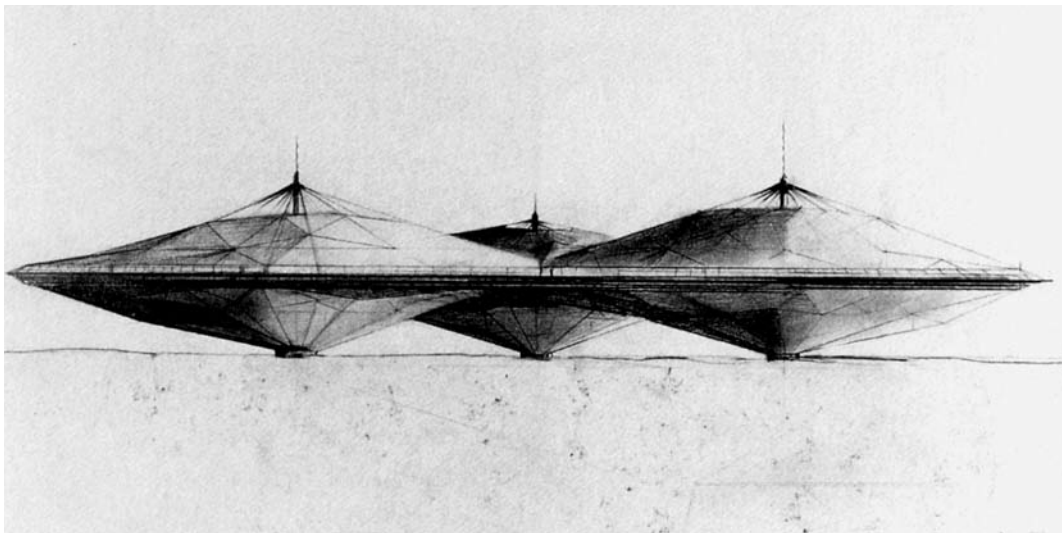
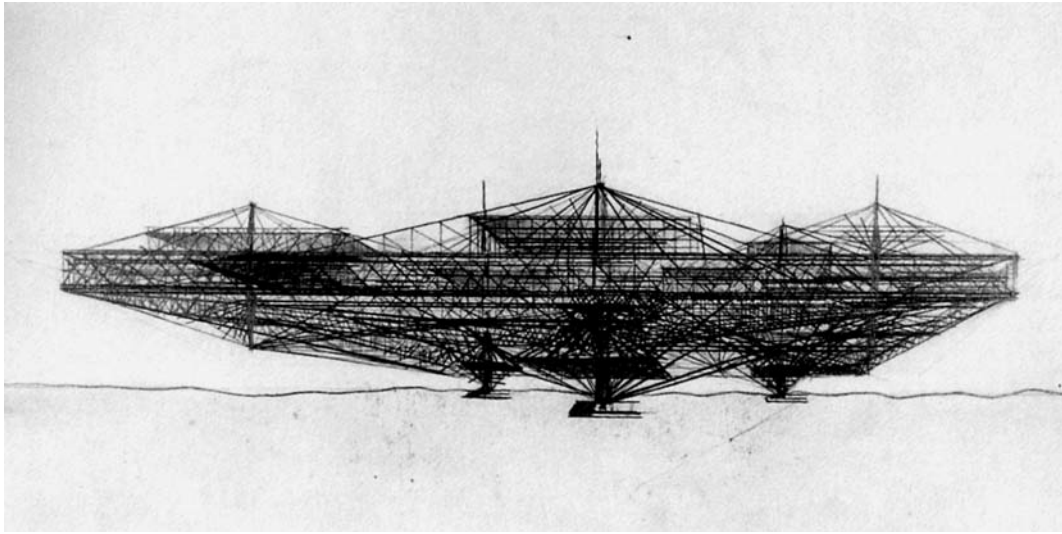


Abb. 1002: Constant A. Nieuwenhuys, New Babylon, Entwurf 1957–74. Schets voor zelfdragende sectorconstructie (Sketch for Self-supporting Sectorconstruction), 1964. Zeichnung, Bleistift auf Papier, 45 x 62,5 cm.

Abb. 1003: Schets voor een sector met een tentdak (Sketch for a Sector with Pavilion Roof), 1964. Zeichnung, Bleistift auf Papier, 48 x 65 cm.

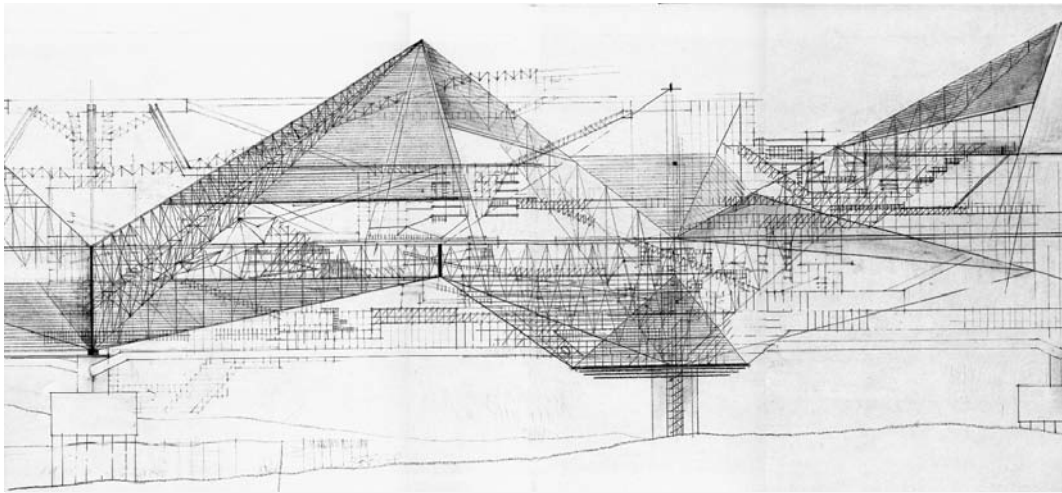


Abb. 1004: Constant A. Nieuwenhuys, New Babylon, Entwurf 1957–74. Grote gele sector (Large Yellow Sector), 1967. Modell aus Metall (Eisen, Aluminium und Kupfer), Plexiglas und Öl auf Holz, 38 x 131 x 135 cm, Fotografie.

Abb. 1005: Doorsnede voor grote gele sector (Section for Large Yellow Section), 1967. Collotypie, 62 x 145 cm.

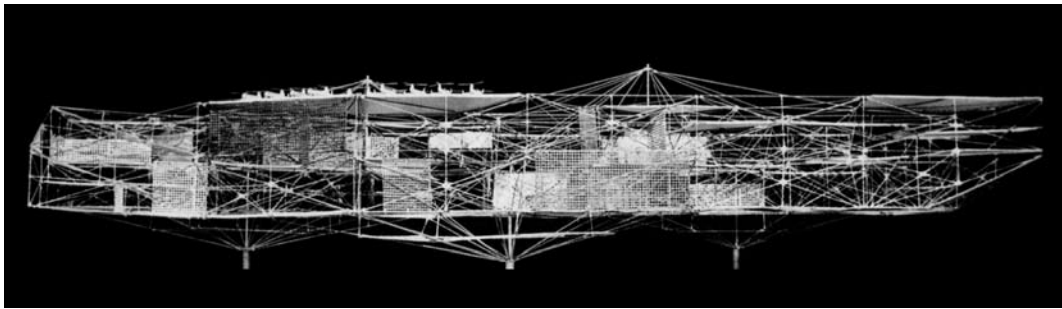
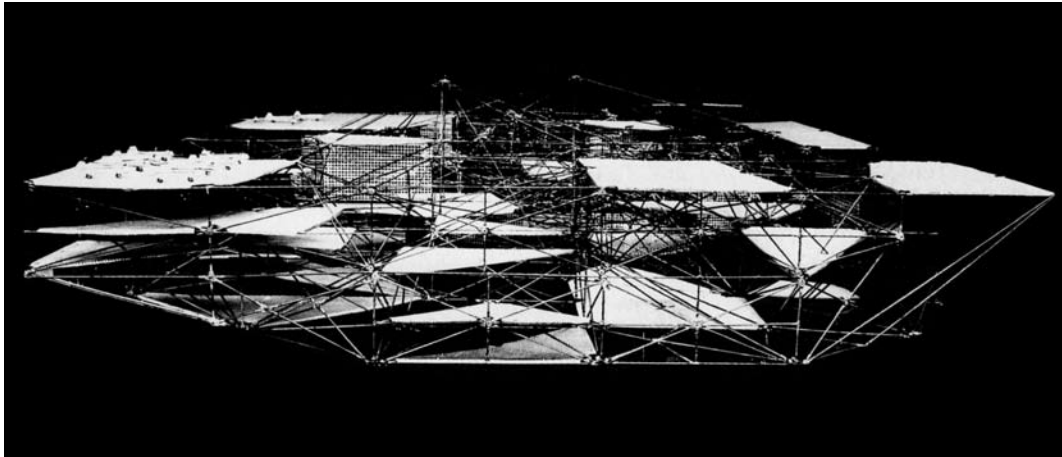


Abb. 1006: Constant A. Nieuwenhuys, New Babylon, Entwurf 1957–74. Sector constructie (Sector Construction), 1959. Modell aus Metall, 280 x 160 x 60 cm (zerstört), Blick von oben, Fotografie.
Abb. 1007: Blick von der Seite, Fotografie

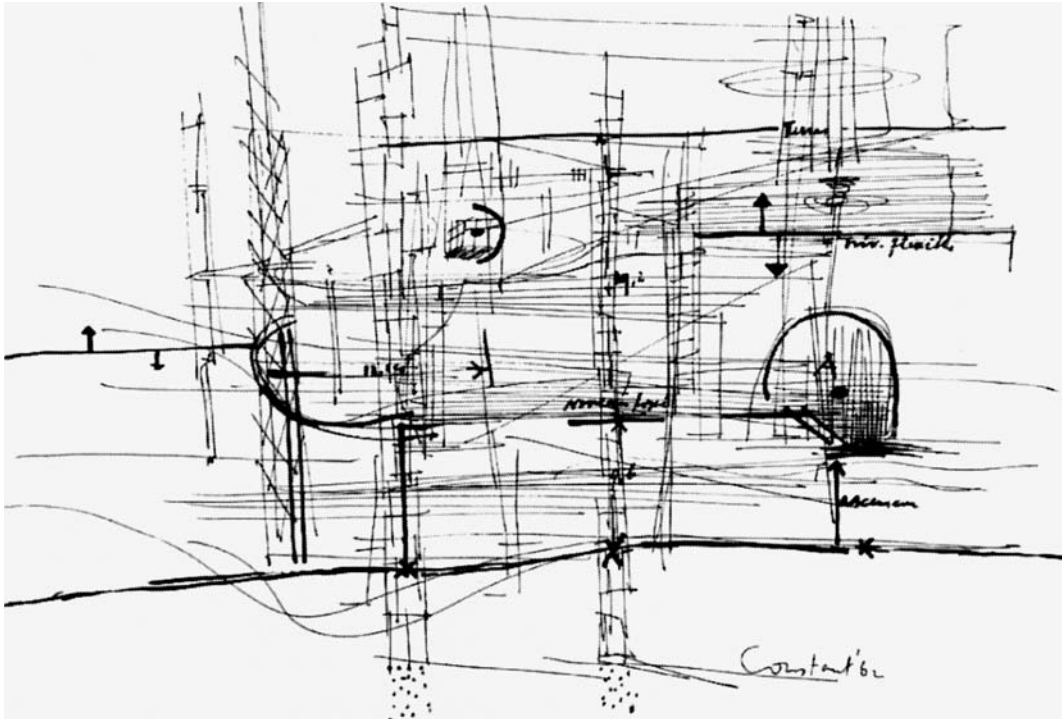


Abb. 1008: Constant A. Nieuwenhuys, New Babylon, Entwurf 1957–74. Schematische vorstellung van een sector (Diagram of a Sector), 1962. Zeichnung, Tinte auf Papier, 32 x 46 cm.

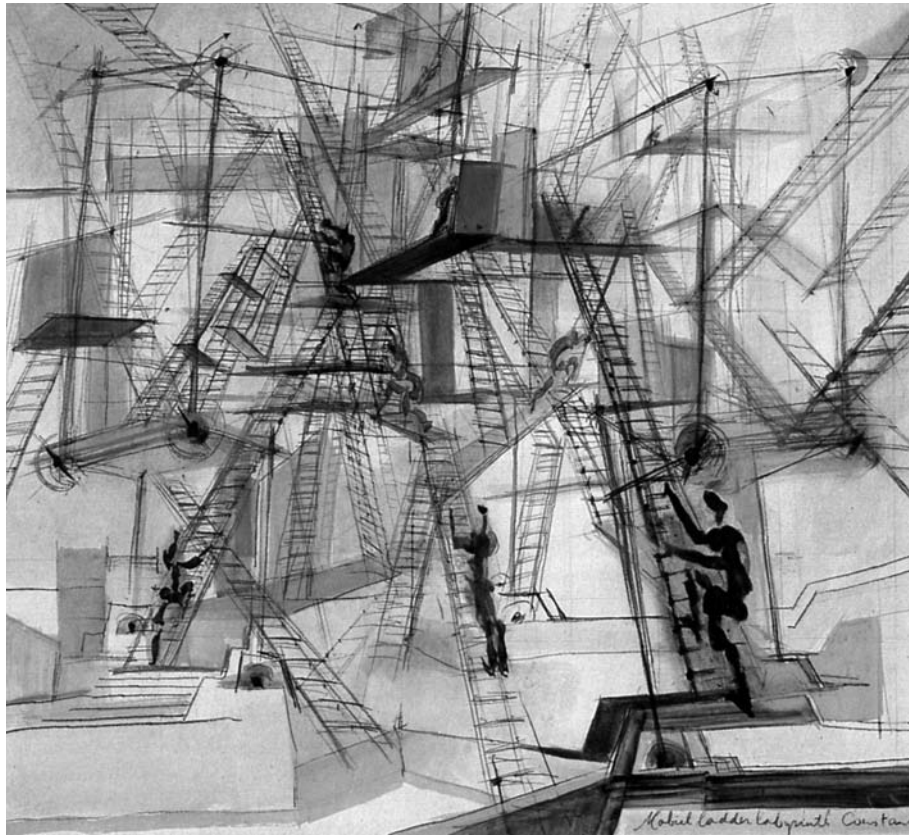


Abb. 1009: Constant A. Nieuwenhuys, New Babylon, Entwurf 1957–74. Mobile ladder labyrinth (Mobile Ladder Labyrinth), 1967. Zeichnung, Bleistift und Aquarell auf Papier, 99 x 110 cm.



Abb. 1010: Renzo Piano und Richard Rogers, Centre national d'art et de culture Georges Pompidou, Paris, Frankreich, 1971–77. Westseite, Fotografie.



Abb. 1011: Constant A. Nieuwenhuys mit Betty van Garrel und Rem Koolhaas anlässlich des Interviews „De stad van de toekomst. HP-gesprek met Constant over New Babylon“, Fotografie, abgebildet in: Haagse Post, 6.8.1966, S. 14 f.

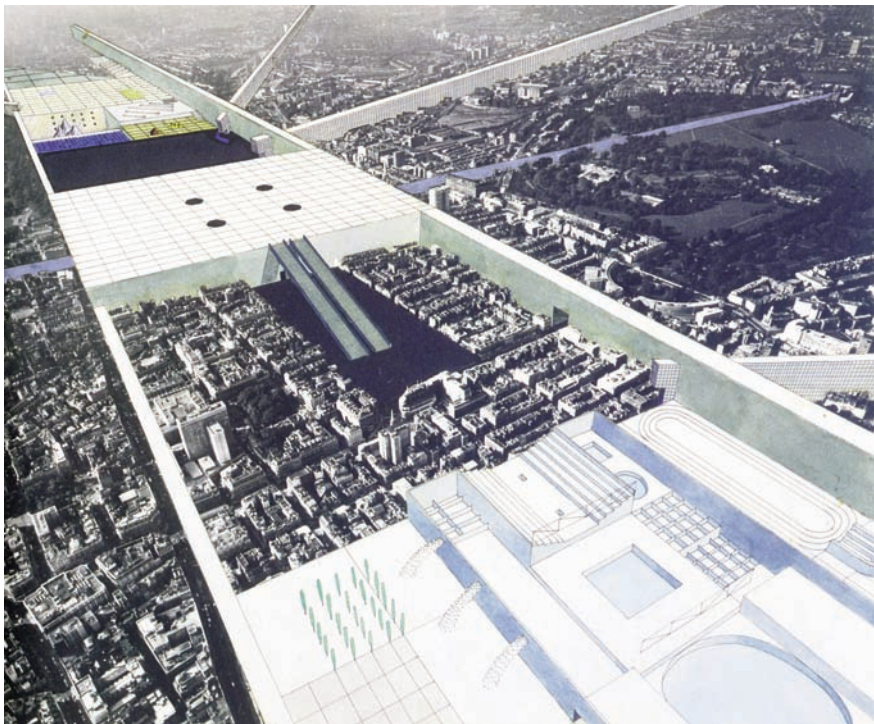
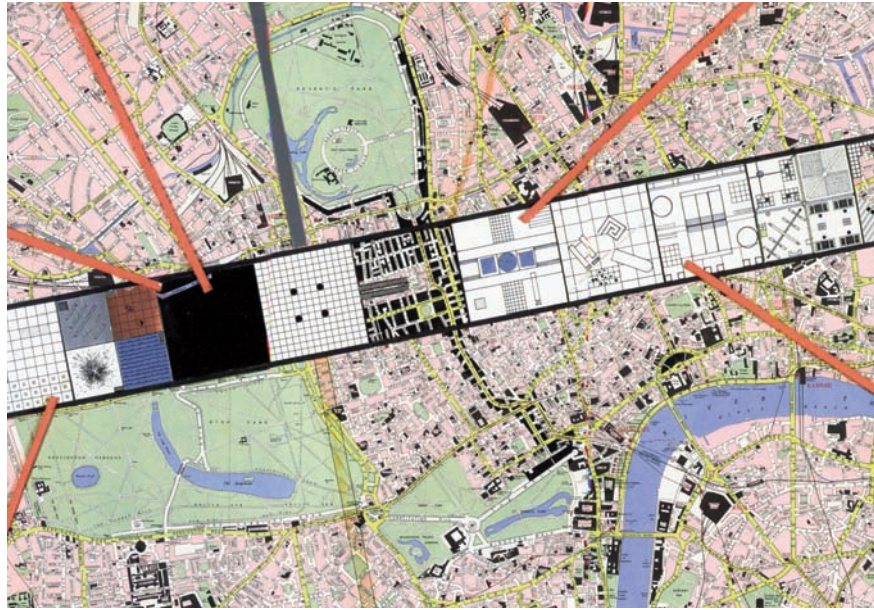


Abb. 1012: Rem Koolhaas mit Madelon Vriesendorp und Elia und Zoe Zenghelis, Exodus or the Voluntary Prisoners of Architecture. The Strip, Entwurf 1972. Aufsicht, ausgeschnittenes und aufgeklebtes Papier sowie bemaltes Papier mit Tinte, Zeichenstift, Grafit auf Fotolithografie (Stadtplan von London), 50,2 x 65,7 cm (Ausschnitt).

Abb. 1013: Vogelperspektive, ausgeschnittenes und aufgeklebtes Papier mit Aquarell, Tinte, Gouache und Farbstift auf Gelatine-Silberdruck (Luftbild von London), 40,6 x 50,5 cm (Ausschnitt).

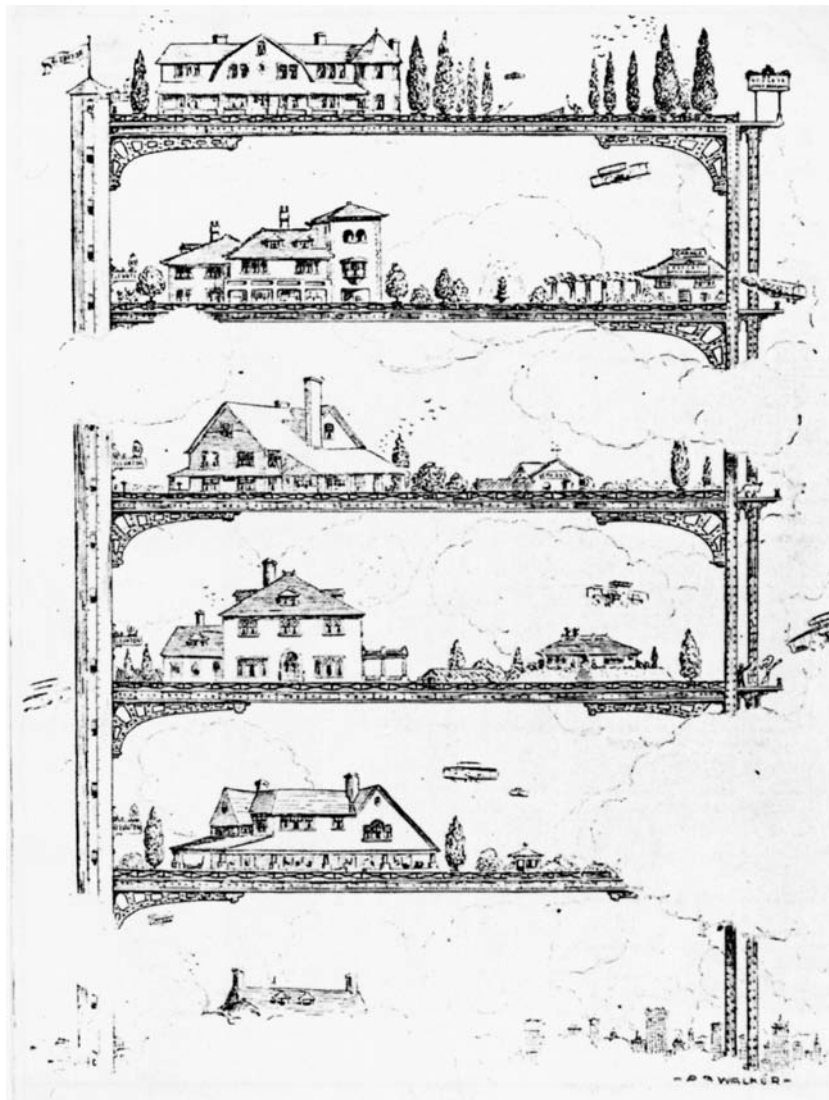


Abb. 1014: Cartoon aus *Life Magazine*, New York, Oktober 1909.

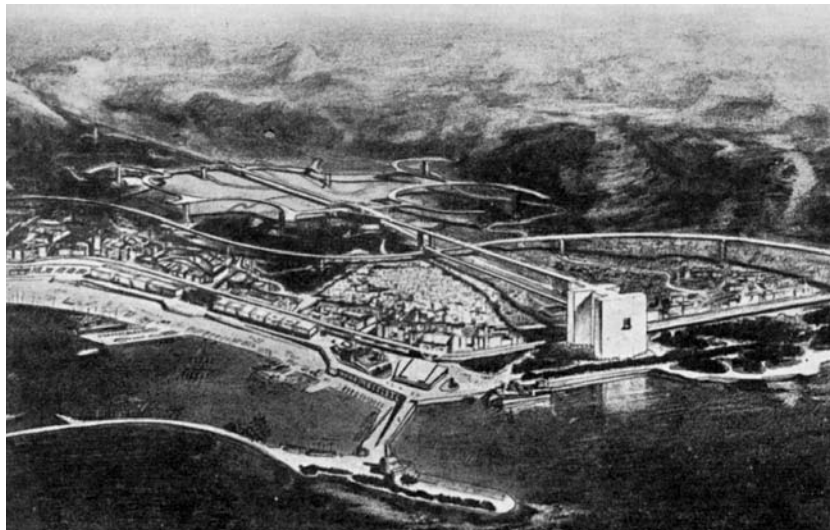
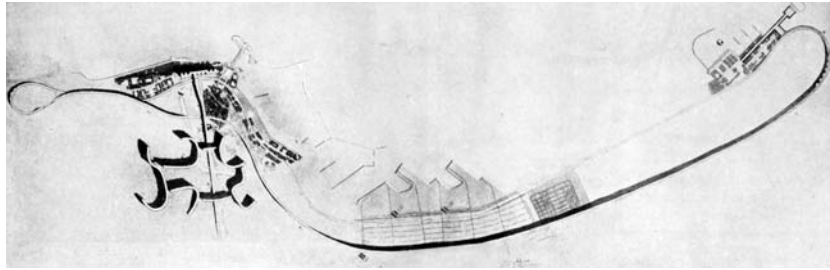


Abb. 1015: Le Corbusier und Pierre Jeanneret, Urbanisation de la Ville D'Alger, Projet A, genannt Projet Obus, Algerien, Entwurf 1930. Städtebaulicher Plan.

Abb. 1016: Projekt A, genannt Projet Obus, Algerien, Entwurf 1930. Modell, Fotografie.

Abb. 1017: Projekt B, Algerien, Entwurf 1931–34. Perspektive.

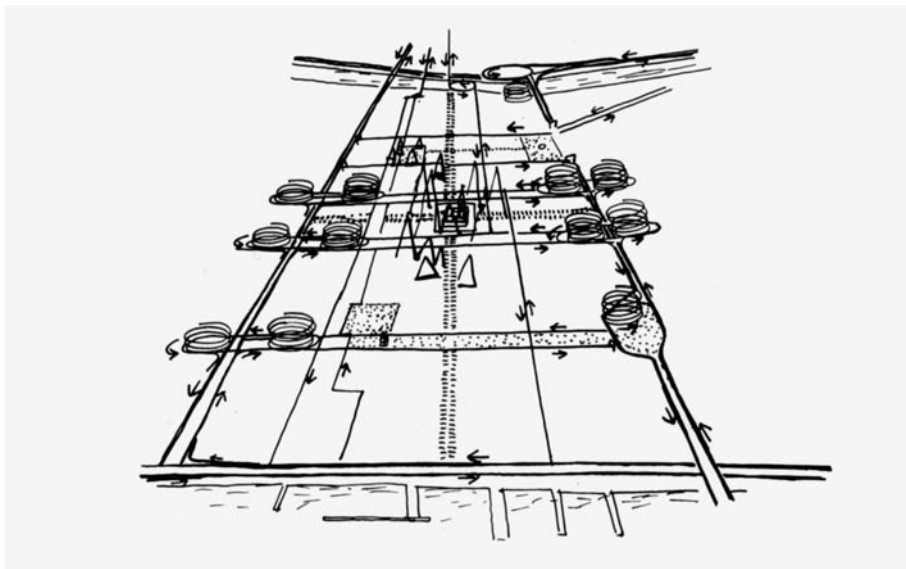
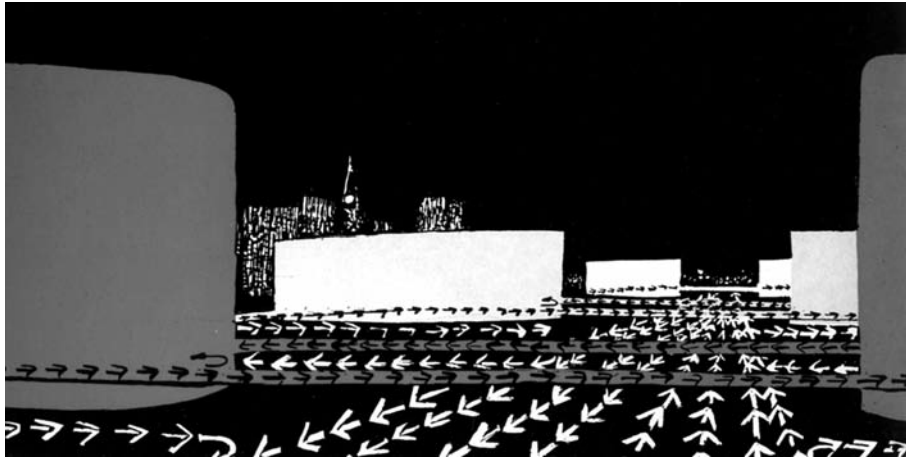


Abb. 1018: Louis I. Kahn, Traffic Study Project, Philadelphia/Pennsylvania, USA, 1951–53.
Perspektivische Skizze, um 1953.

Abb. 1019: Vogelperspektivische Skizze mit Blick nach Westen.

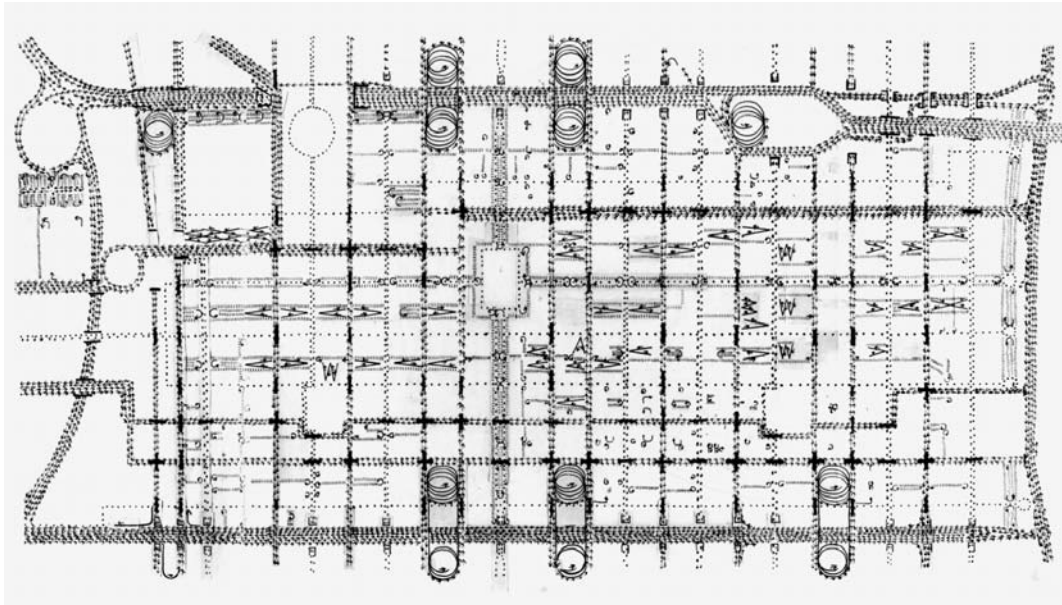


Abb. 1020: Louis I. Kahn, Traffic Study Project, Philadelphia/Pennsylvania, 1951–53. Schematischer Plan der beabsichtigten Verkehrsbewegungsstrukturen, 1952. Zeichnung, Tinte, Grafit, ausgeschnittene und aufgeklebte Papierstücke auf Papier, 62,2 x 108,6 cm.

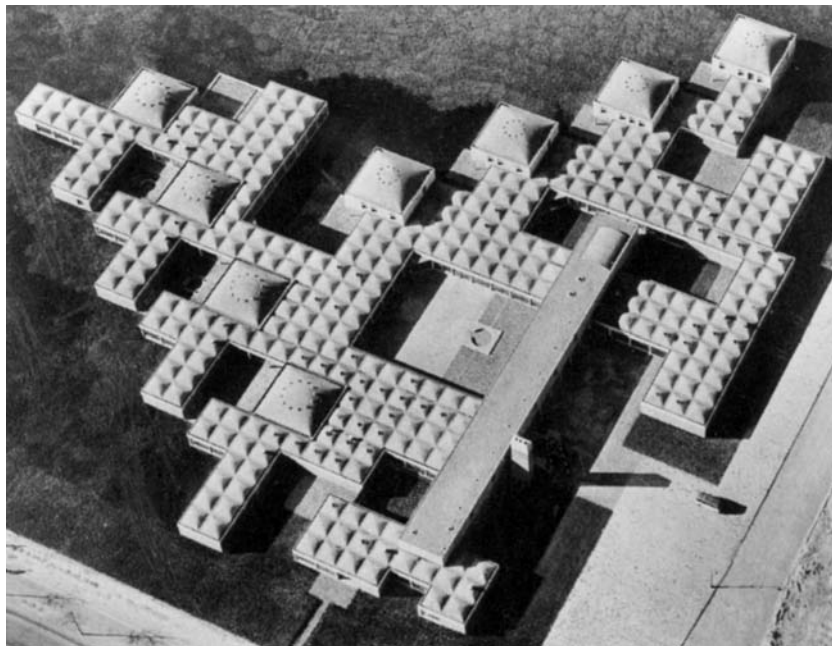
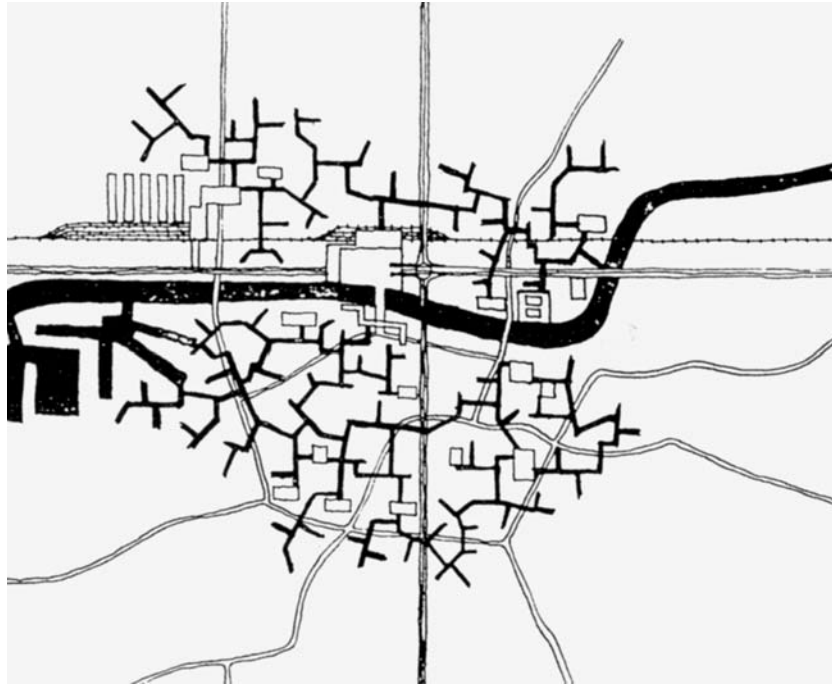


Abb. 1021: Alison und Peter Smithson, Golden Lane Housing, London, Großbritannien, Entwurf 1952. Schematischer Lageplan.

Abb. 1022: Aldo van Eyck, Burger Weeshuis (Städtisches Waisenhaus), Amsterdam, Niederlande, 1955–60. Luftfotografie.

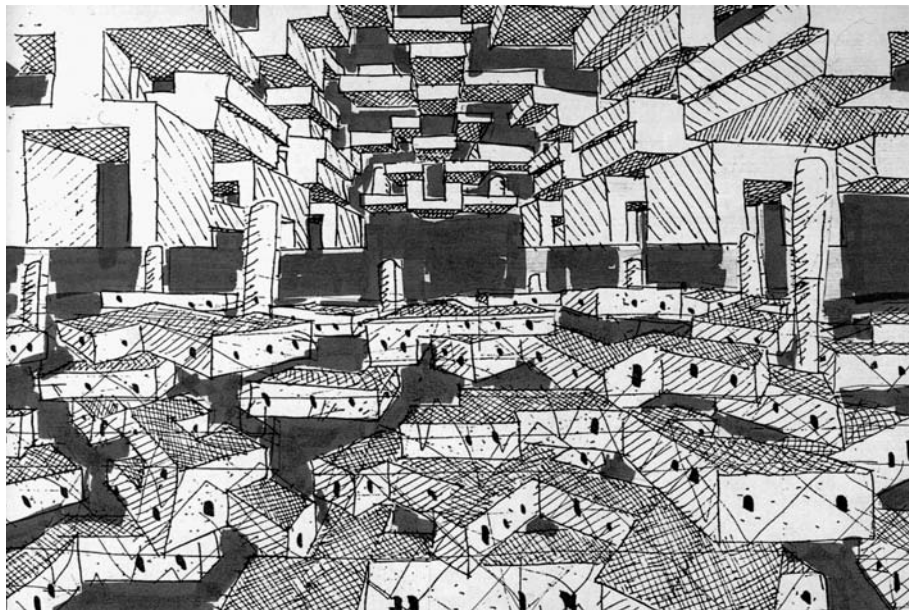
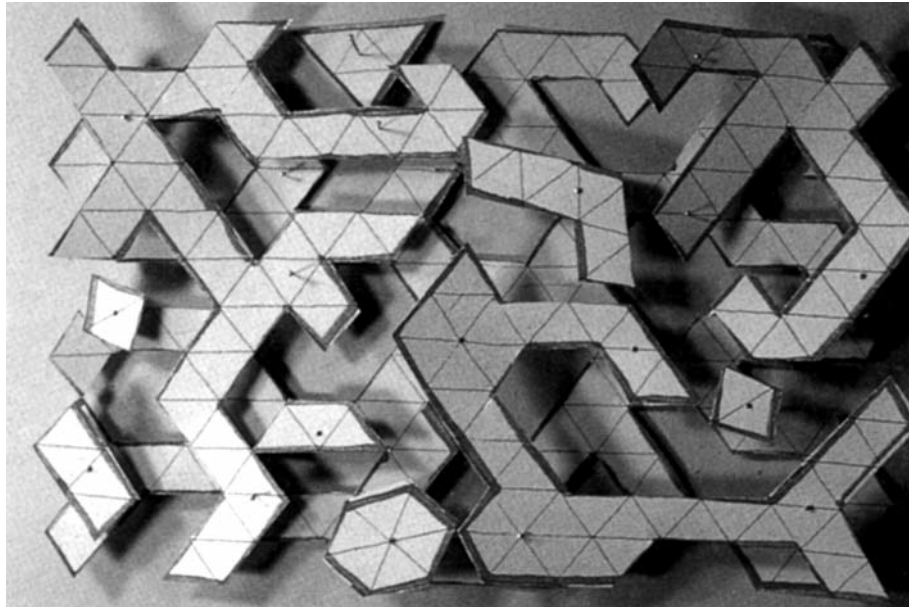


Abb. 1023: Yona Friedman, Ville spatiale, Entwurf 1958–62. Interwoven City, a spatial labyrinth. Modell, Aufsicht, Fotografie.
Abb. 1024: Perspektivische Zeichnung.

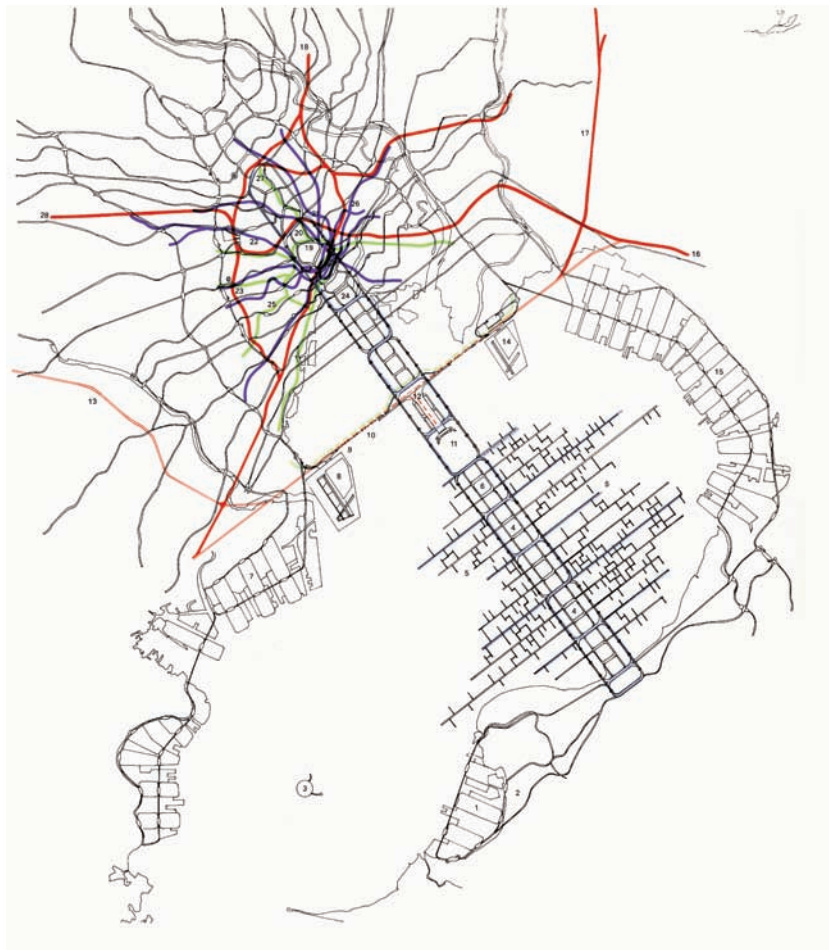


Abb. 1025: Kenzo Tange, Plan für Tokyo, Japan, Entwurf 1960. Schematischer Lageplan mit bestehenden und geplanten Verkehrsverbindungen: Schnellstraße (grün), Untergrundbahn (dunkelblau), Nationale Eisenbahn (rot) und Einschienenbahn (hellblau).

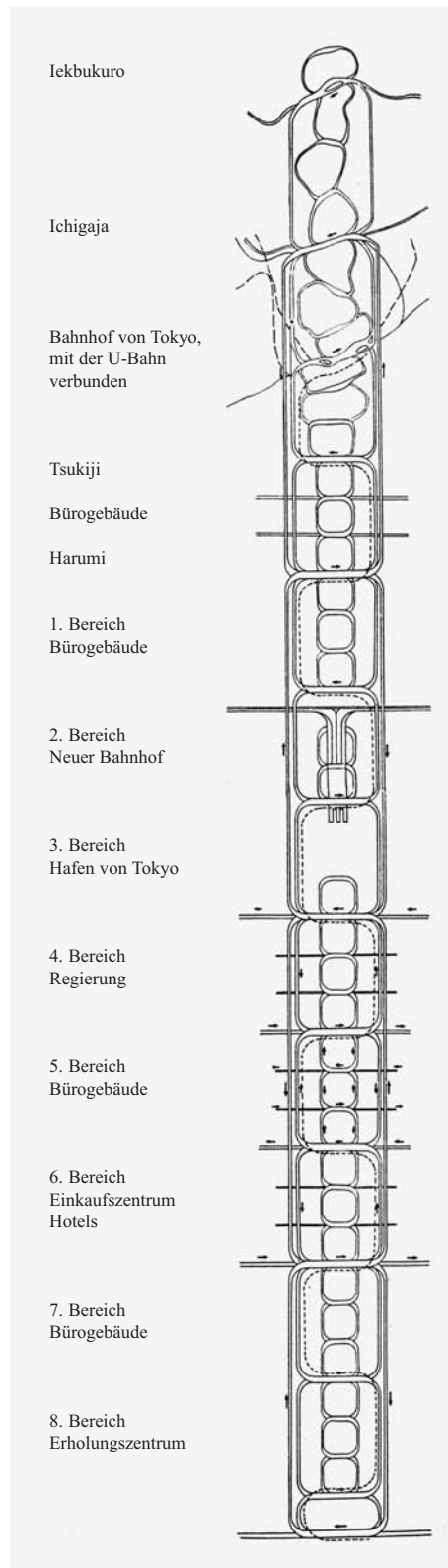


Abb. 1026: Kenzo Tange, Plan für Tokio, Japan, Entwurf 1960. Struktur der Kommunalachse, Aufsicht.

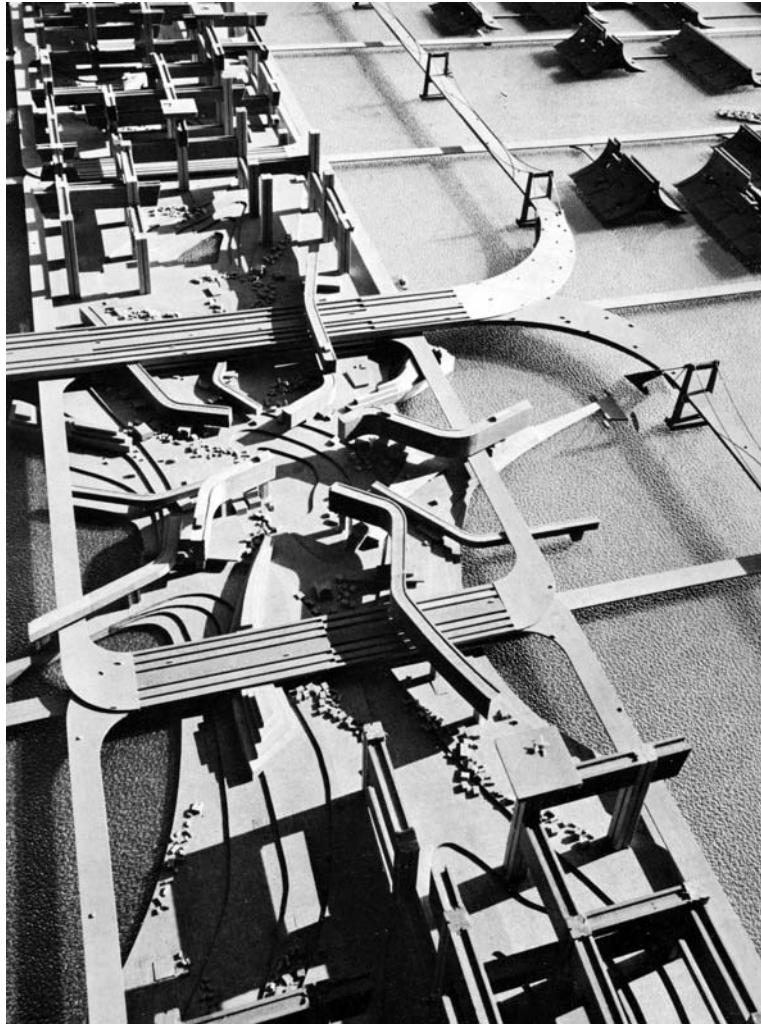


Abb. 1027: Kenzo Tange, Plan für Tokio, Japan, Entwurf 1960. Präsentationsmodell, Fotografie.

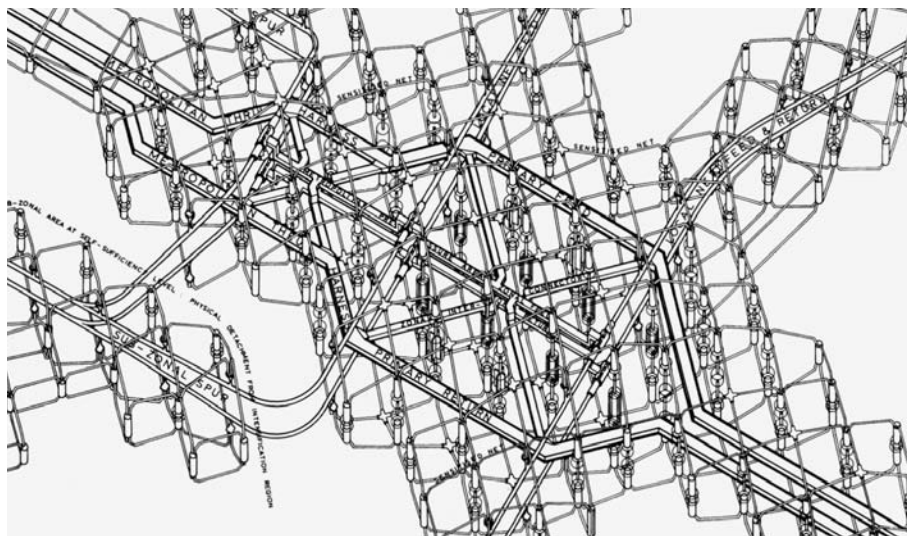
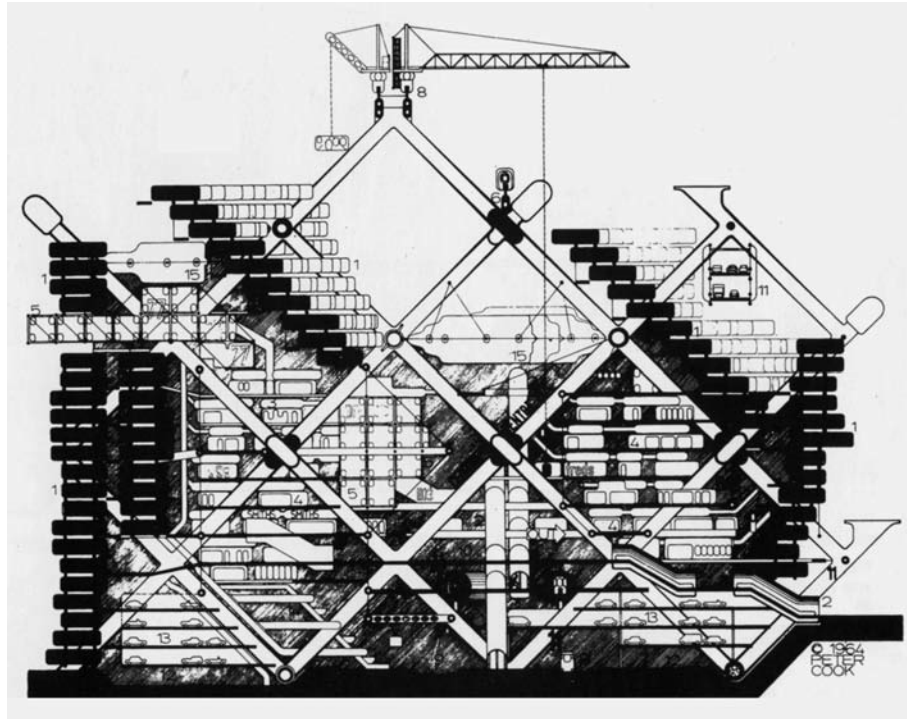


Abb. 1028: Peter Cook/Archigram, Plug-in City, Entwurf 1964. Typischer Schnitt.
Abb. 1029: Dennis Crompton, Computer City, Entwurf 1964. Axonometrie.

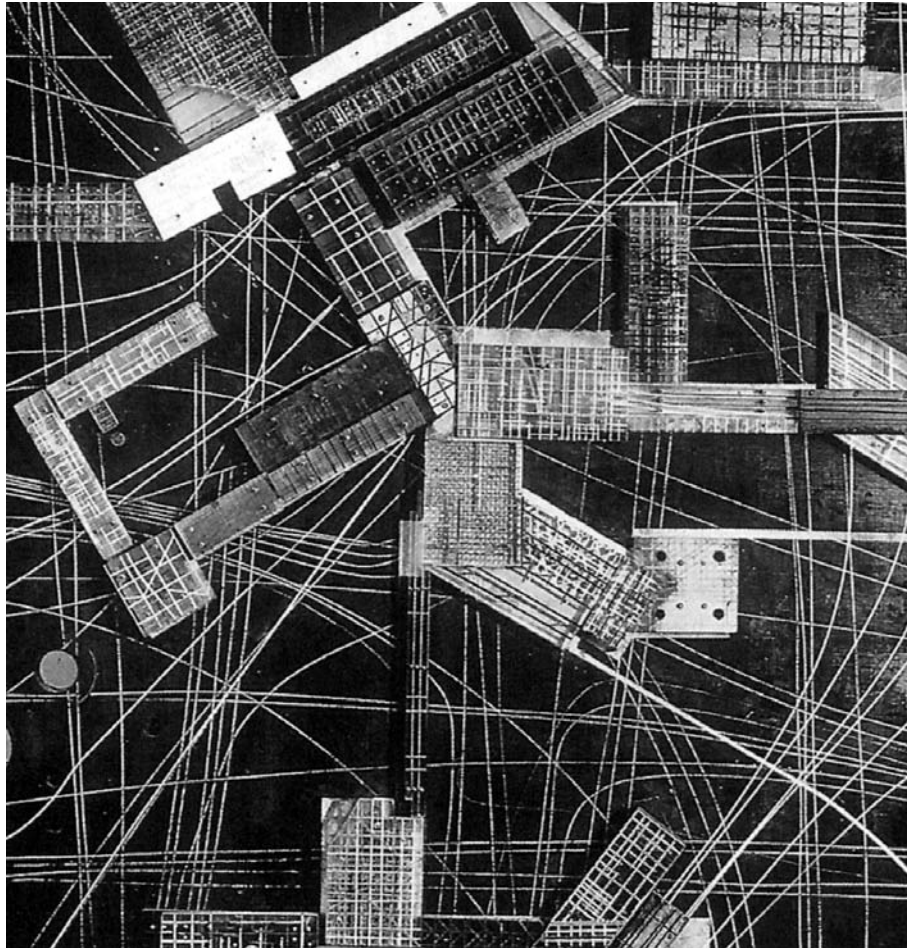


Abb. 1030: Constant A. Nieuwenhuys, New Babylon, Entwurf 1957–74. Groep sectoren (Group of Sectors), 1959. Modell aus Metall (Eisen, Kupfer), Tinte auf Plexiglas und Öl auf Holz, 4,5 x 100 x 100 cm, Blick von oben, Fotografie.

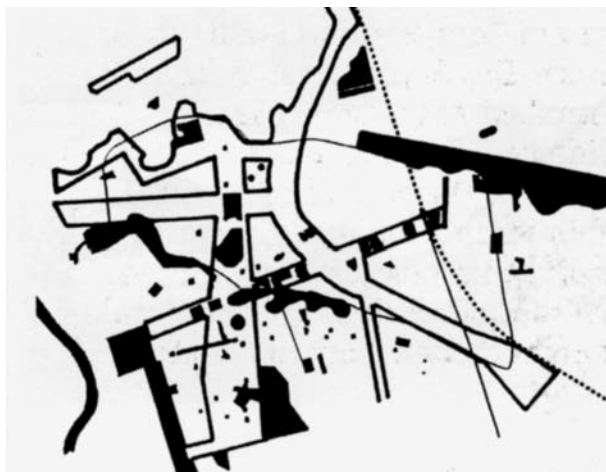
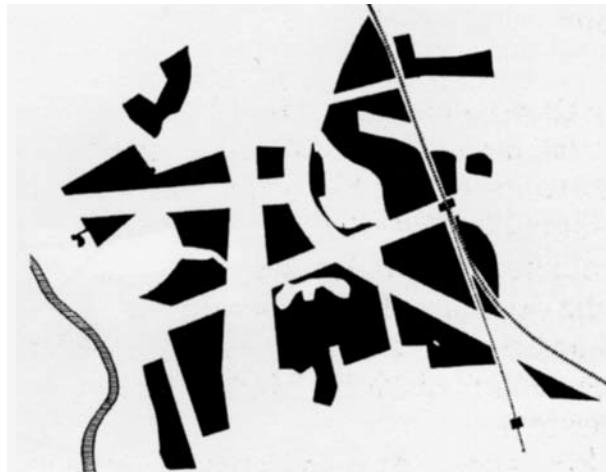


Abb. 1031: Rem Koolhaas/OMA, Melun-Sénart, Projekt für den internationalen Städtebau- und Architekturwettbewerb, Frankreich, 1987. Schematische Darstellung der Leerräume als Bänder (A), der Zwischenräume als Inseln (B) sowie der Verteilung der öffentlichen Funktionen und Freizeiteinrichtungen (C), Zeichnungen.

Abb. 1032: Schematische Darstellung der Leerräume als Bänder, Zeichnung.

Abb. 1033: Schematische Darstellung der Zwischenräume als Inseln, Zeichnung.

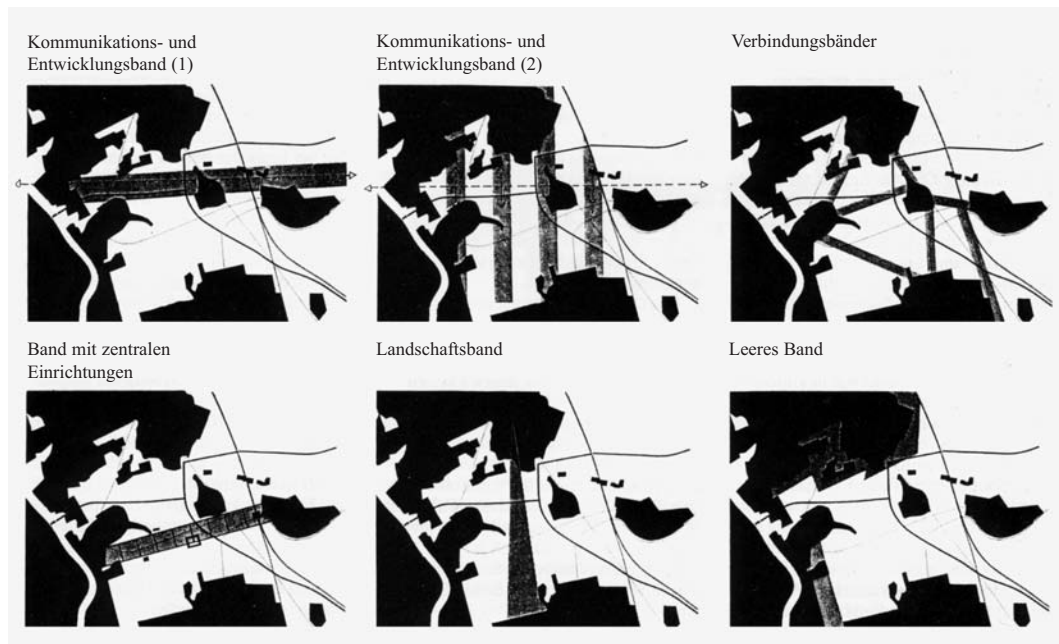


Abb. 1034: Rem Koolhaas/OMA, Melun-Sénart, Projekt für den internationalen Städtebau- und Architekturwettbewerb, Frankreich, 1987. Schematische Darstellung der Verteilung der öffentlichen Funktionen und Freizeiteinrichtungen, Zeichnung.

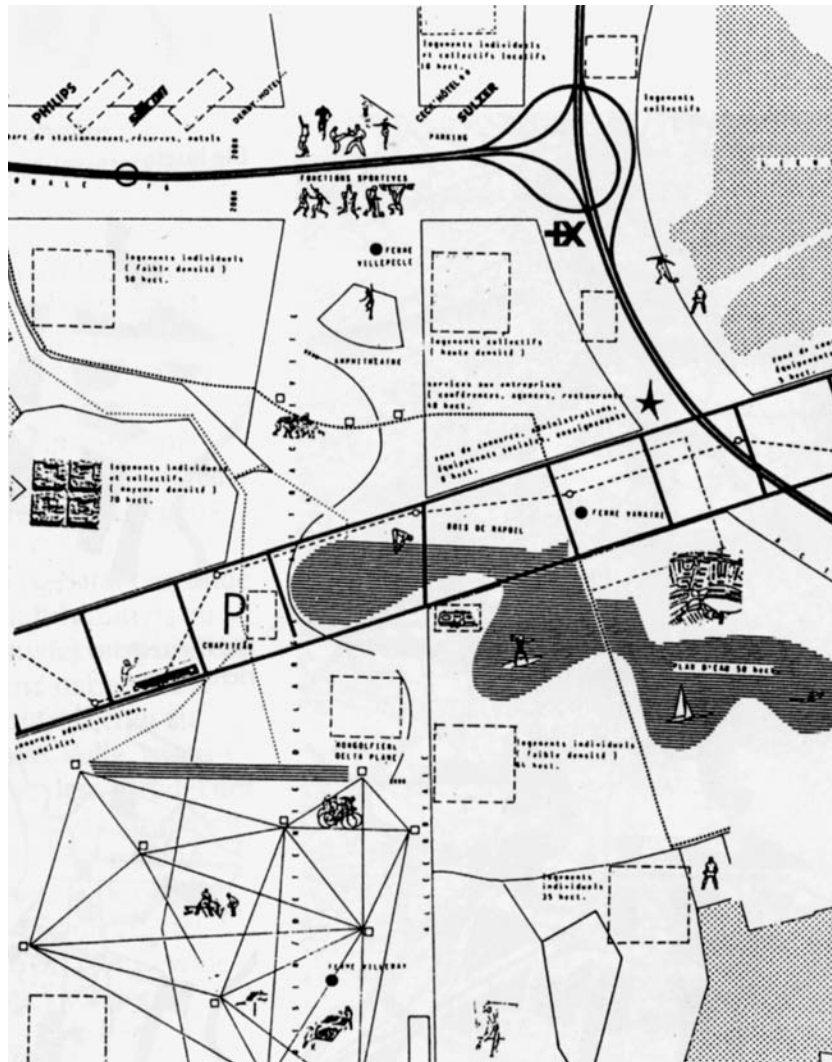


Abb. 1035: Rem Koolhaas/OMA, Melun-Sénart, Projekt für den internationalen Städtebau- und Architekturwettbewerb, Frankreich, 1987. Ausschnitt aus dem Gesamtplan mit detaillierter Ausformulierung der programmatischen Bänder.

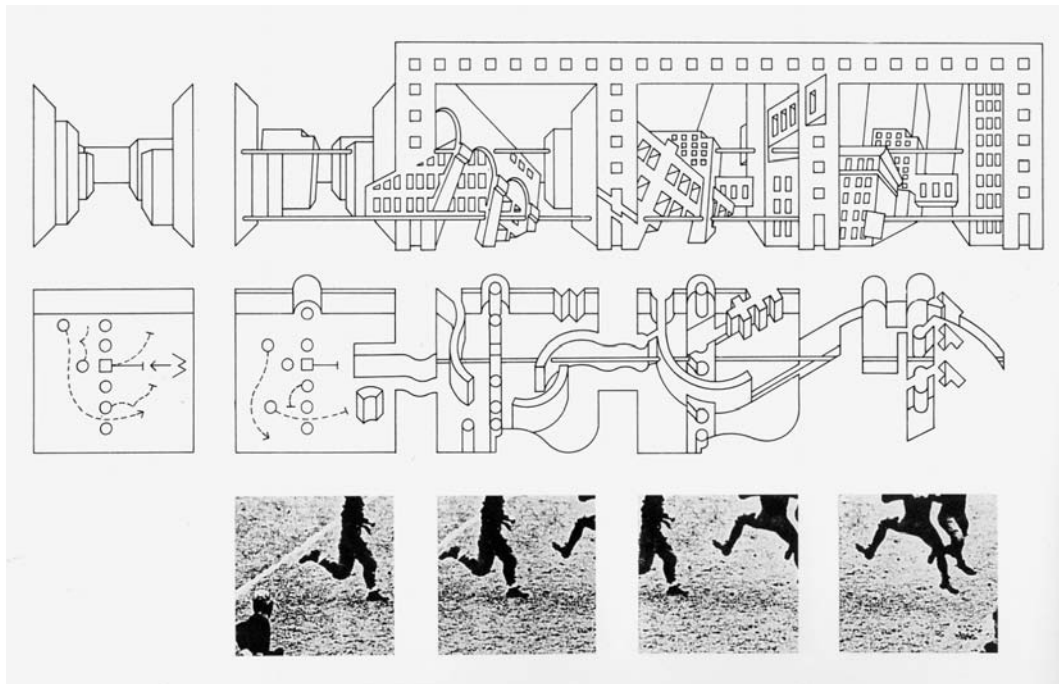


Abb. 1036: Bernard Tschumi, Manhattan Transcripts, 1977–81. Extract from Part 4, The Block, 1980/81. Tusche und ausgeschnittener und aufgeklebter Gelatine-Silberdruck auf Transparentpapier, 48,3 x 78,7 cm.

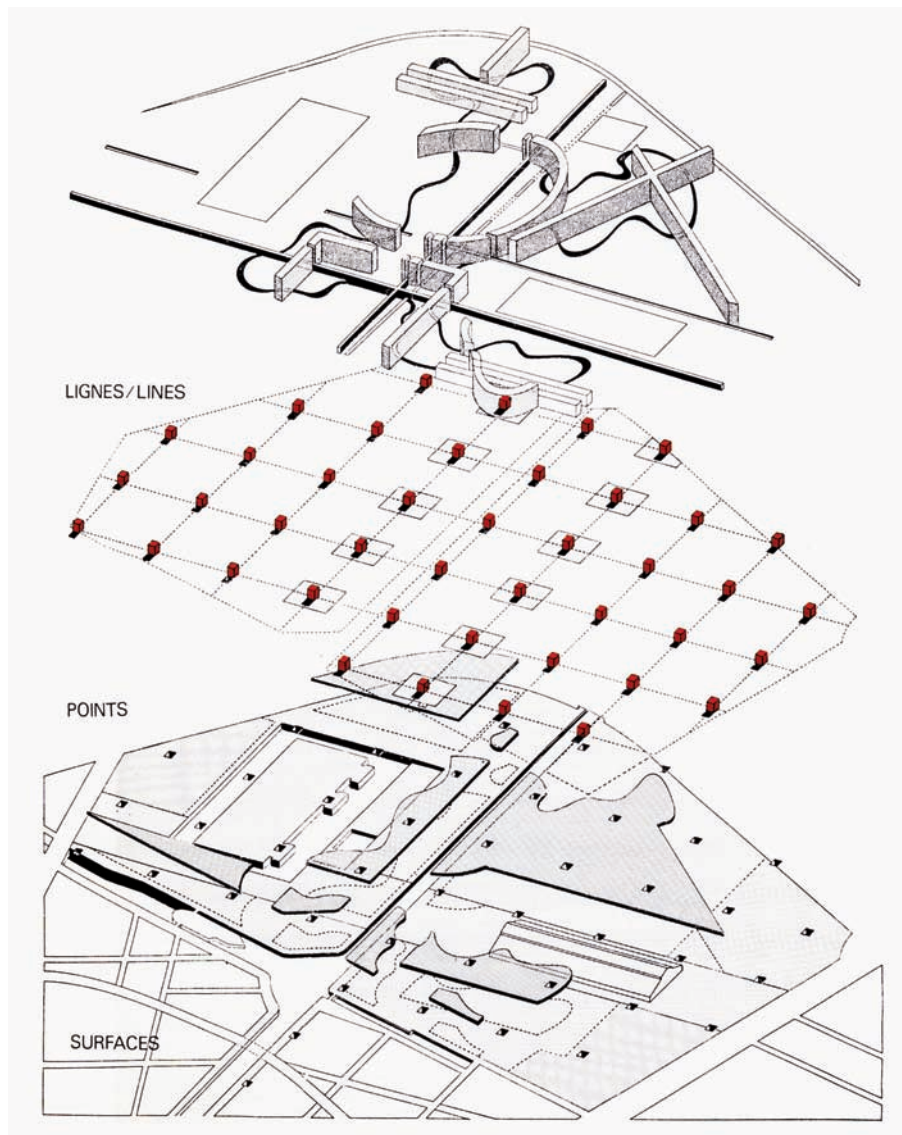


Abb. 1037: Bernard Tschumi, Parc de la Villette, Paris, Frankreich, 1982–86. Explosionsaxonometrie der drei Entwurfsschichten: Flächen, Punktraster und Linien.

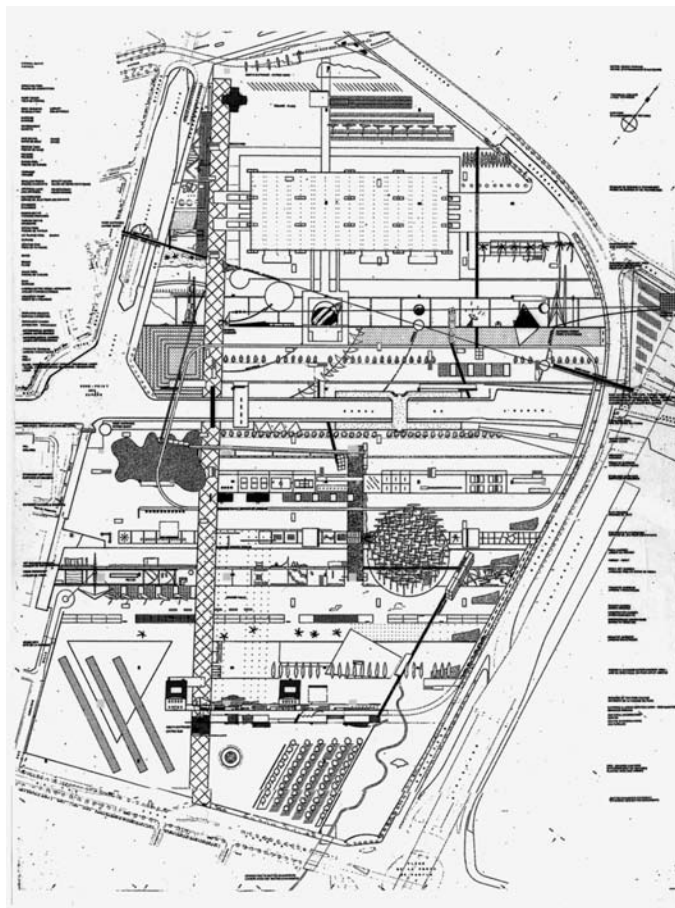
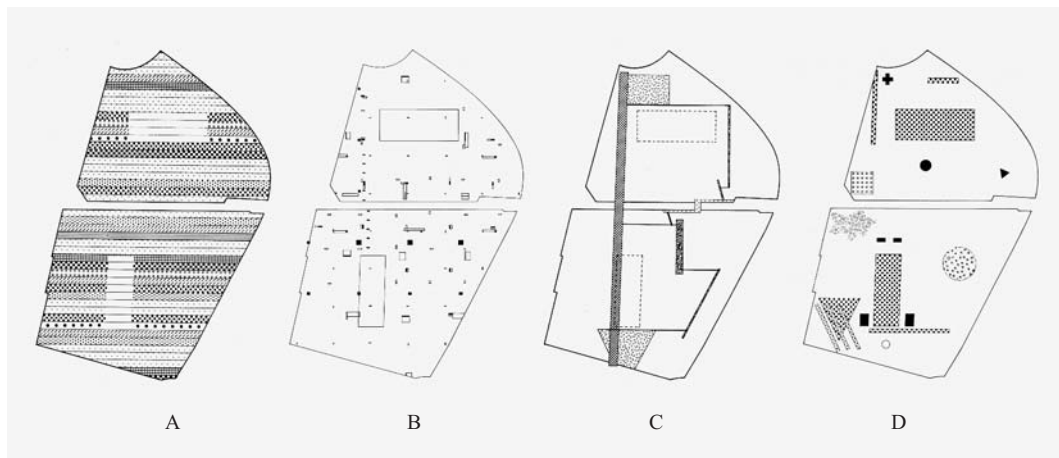


Abb. 1038: Rem Koolhaas, Parc de la Villette, Paris, Frankreich, Entwurf 1982. Schematische Aufsicht auf Entwurfsschichten: Gartenstreifen (A), Kleinarchitekturen Confetti (B), Verkehrswege (C) und existierende Gebäude (D).
 Abb. 1039: Lageplan.

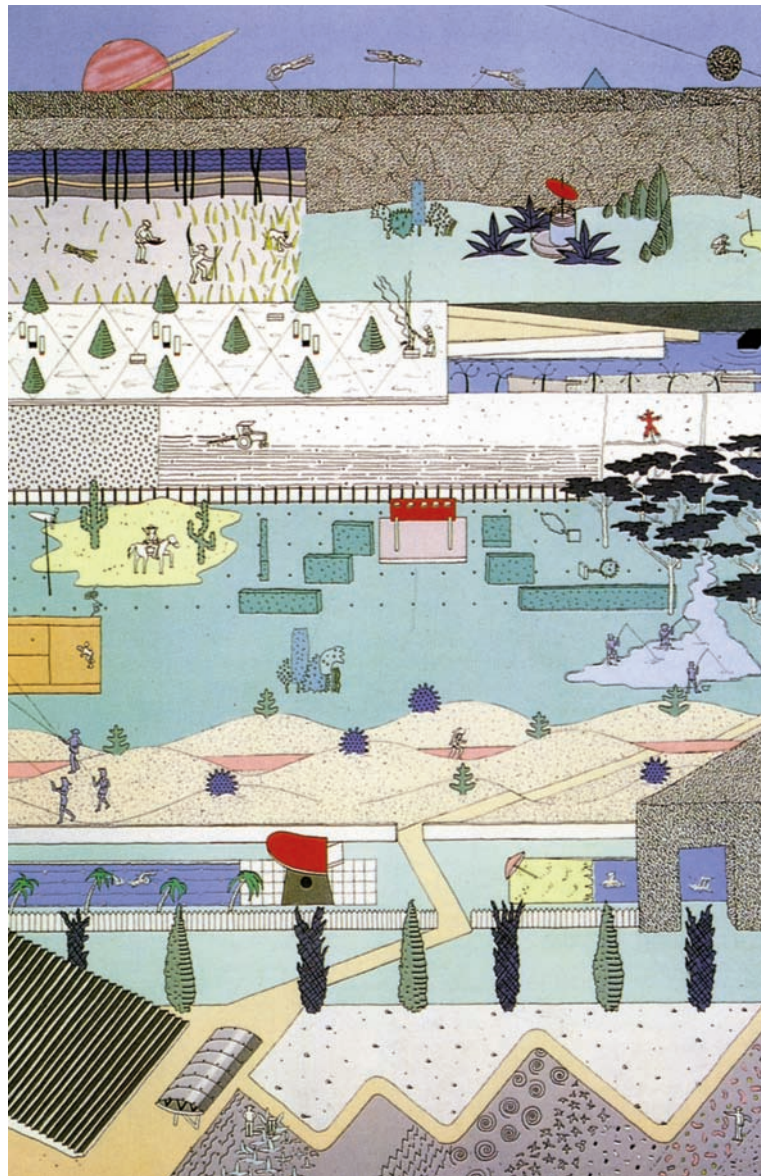


Abb. 1040: Rem Koolhaas, Parc de la Villette, Paris, Frankreich, Entwurf 1982. Zeichnung von Alex Wall.

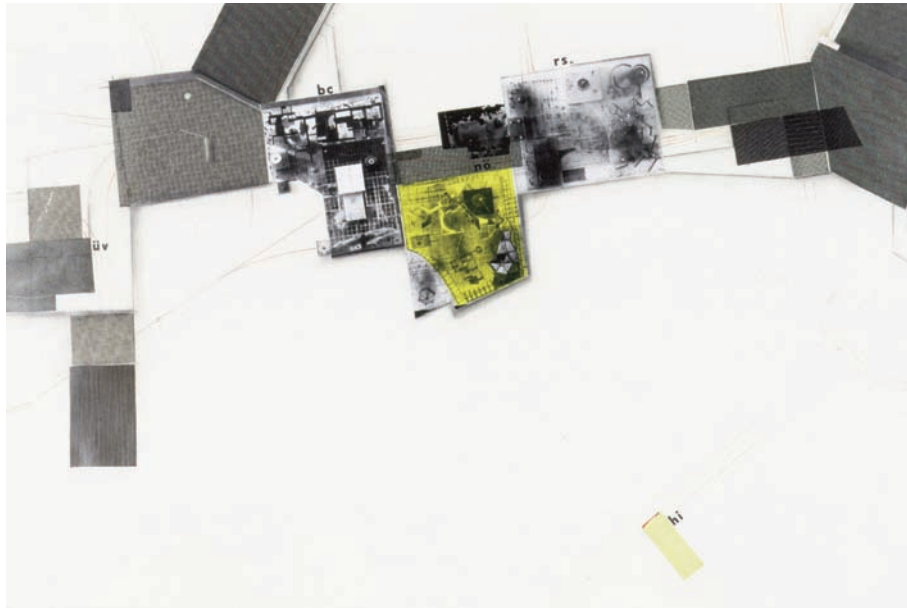


Abb. 1041: Constant A. Nieuwenhuys, New Babylon, Entwurf 1957–74. Reeks sectoren (Series of Sectors), 1959. Fotocollage, 120 x 132 cm.

Abb. 1042: Combinatie van sectoren (Combination of Sectors), um 1971. Modell aus Metall und Plexiglas, Fotografie.

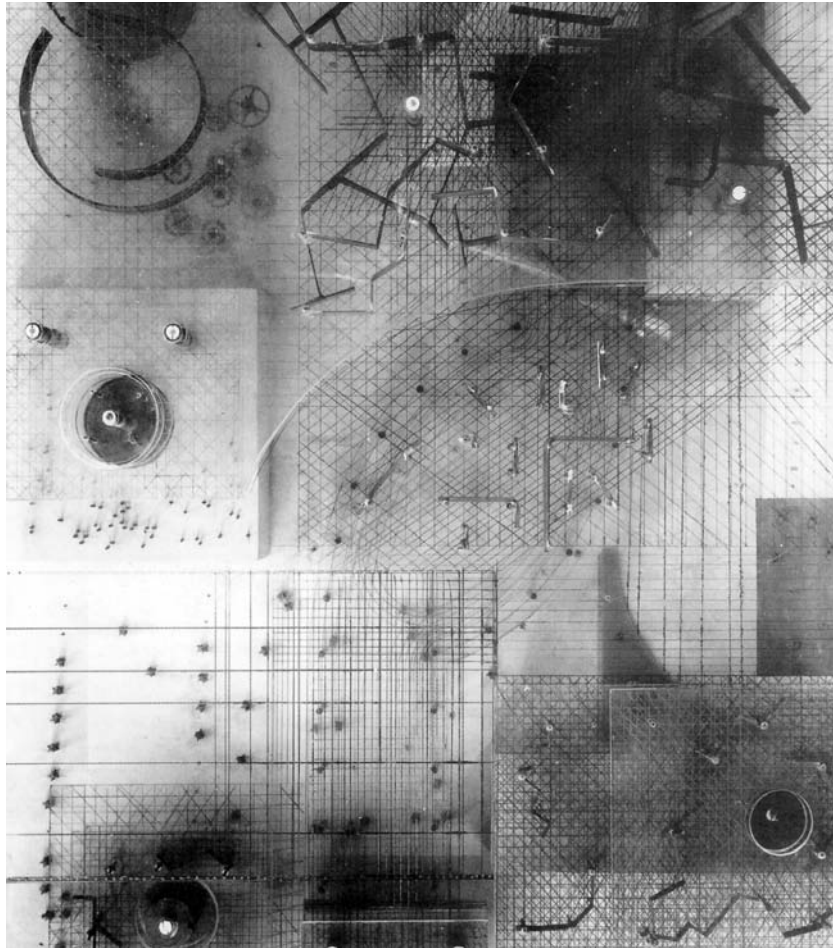


Abb. 1043: Constant A. Nieuwenhuys, New Babylon, Entwurf 1957–74. Oriënt sector (Orient Sector), 1959. Modell aus Metall, Tinte auf Plexiglas und Öl auf Holz, 17 x 77 x 60,5 cm, Fotografie.



Abb. 1044: Constant A. Nieuwenhuys, New Babylon, Entwurf 1957–74. Rode Sector (Red Sector), 1958. Modell aus Metall (Eisen, Stahl, Aluminium, Kupfer), Tinte auf Plexiglas und Öl auf Holz, 24 x 96,5 x 77,5 cm, Fotografie.

Abb. 1045: Rem Koolhaas, Universal Headquarters, Los Angeles/USA, Entwurf 1996. Präsentationsmodell, Fotografie. Exponat der Ausstellung *Content. Rem Koolhaas und OMA-AMO. Bauten, Projekte und Konzepte seit 1996*, Berlin, Neue Nationalgalerie, 2003.

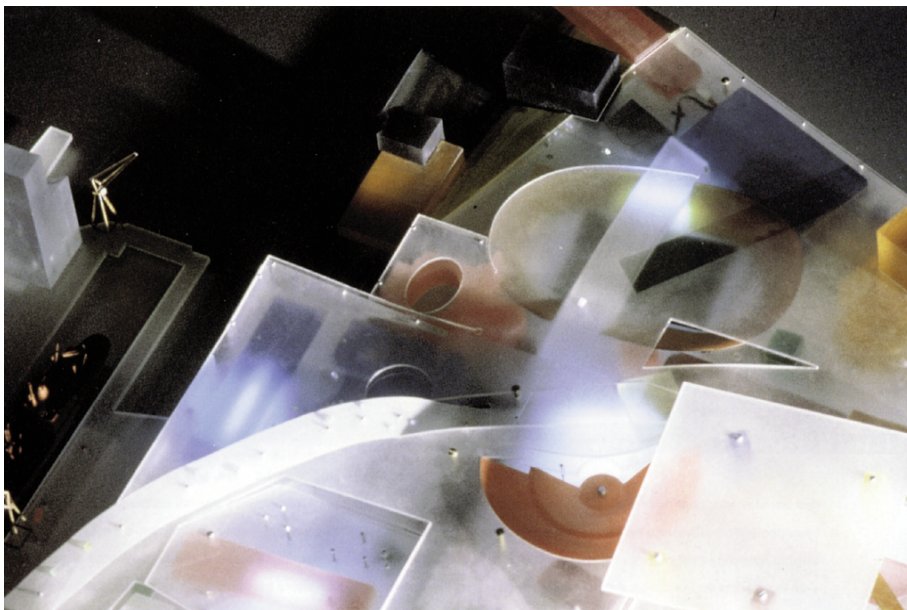
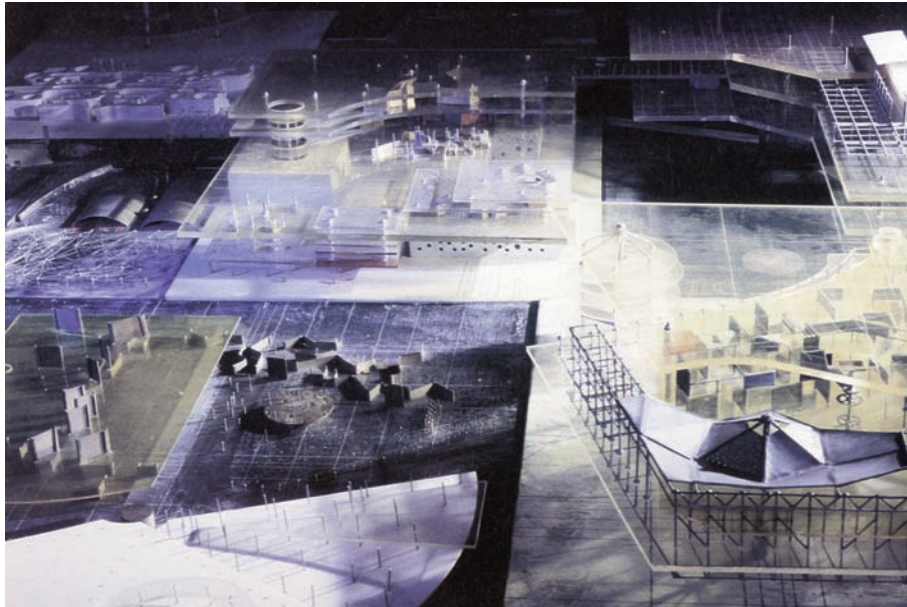


Abb. 1046: Constant A. Nieuwenhuys, New Babylon, Entwurf 1957–74. Combinatie van Sectoren (Combination of Sectors), um 1971. Modell aus Metall (Eisen, Aluminium und Kupfer), Tinte auf Plexiglas und Öl auf Holz. Fotografie.

Abb. 1047: Rem Koolhaas/OMA, Yokohama Urban Ring, Japan, Entwurf 1992. Präsentationsmodell aus Plexiglas und Metall, Fotografie.

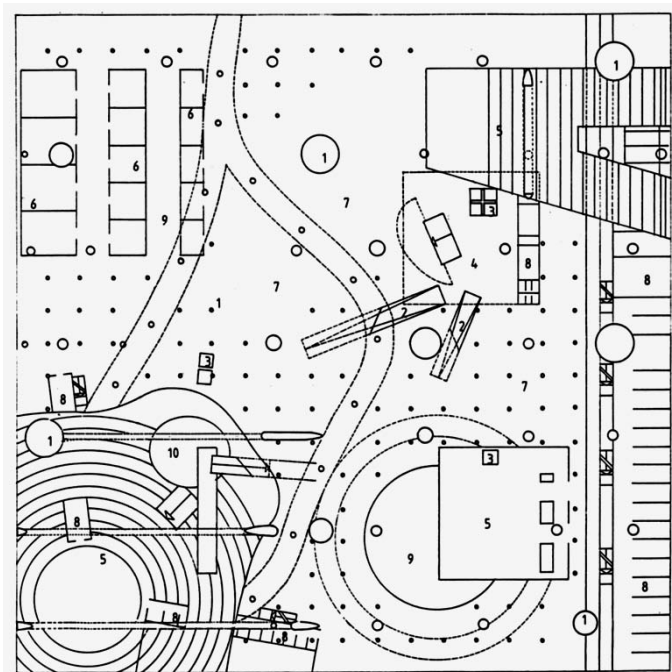
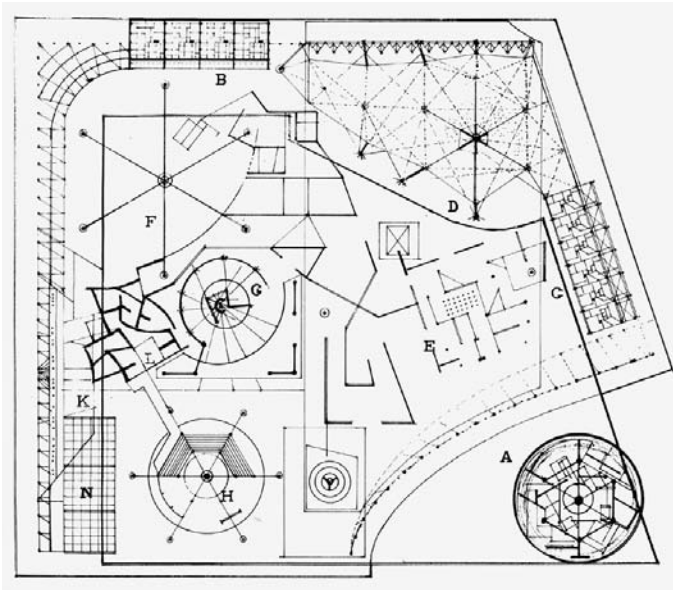


Abb. 1048: Constant A. Nieuwenhuys, New Babylon, Entwurf 1957–1974. Plattegrond van de gele sector (Map of the Yellow Sector), 1959. Zeichnung, Bleistift und Tinte auf Papier, 40 x 51 cm, abgebildet in: Internationale Situationniste, Nr. 4, Juni 1960.

Abb. 1049: Rem Koolhaas/OMA, Hotel and Convention Center Agadir, Marokko, Entwurf 1990. Grundriss des Konferenzentrums, h = 0 m.

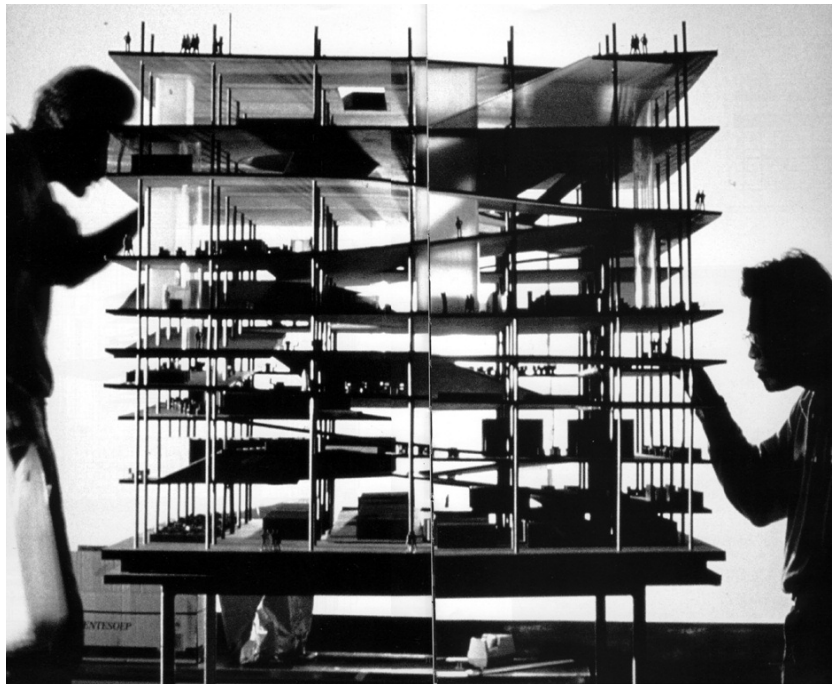


Abb. 1050: Constant A. Nieuwenhuys, Untitled (Model with electronics), Entwurf 1969. Modell aus Metall, 150 x 150 x 200 cm (zerstört), Fotografie.

Abb. 1051: Rem Koolhaas/OMA, Bibliothèques de Jussieu, Paris, Frankreich, Entwurf 1992/93. Präsentationsmodell aus Holz, Plexi und Metall, Fotografie.

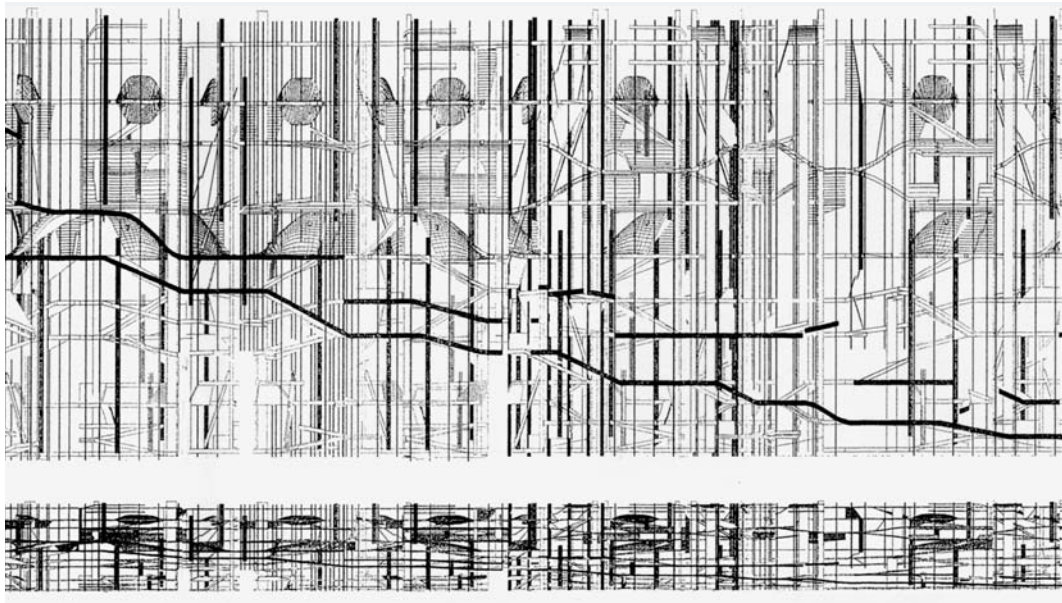


Abb. 1052: Rem Koolhaas/OMA, Bibliothèques de Jussieu, Paris, Frankreich, Entwurf 1992/93. Abwicklung des Wegraumes, zusammengesetzt aus Vertikalschnitten, in Längsrichtung gestaucht (oben) und ungestaucht (unten) (Ausschnitt).

Abb. 1053: Constant A. Nieuwenhuys, New Babylon, Entwurf 1957–74. Grote gele sector (Large Yellow Sector), 1967. Modell aus Metall (Eisen, Aluminium und Kupfer), Plexiglas und Öl auf Holz, 38 x 131 x 135 cm, Fotografie.

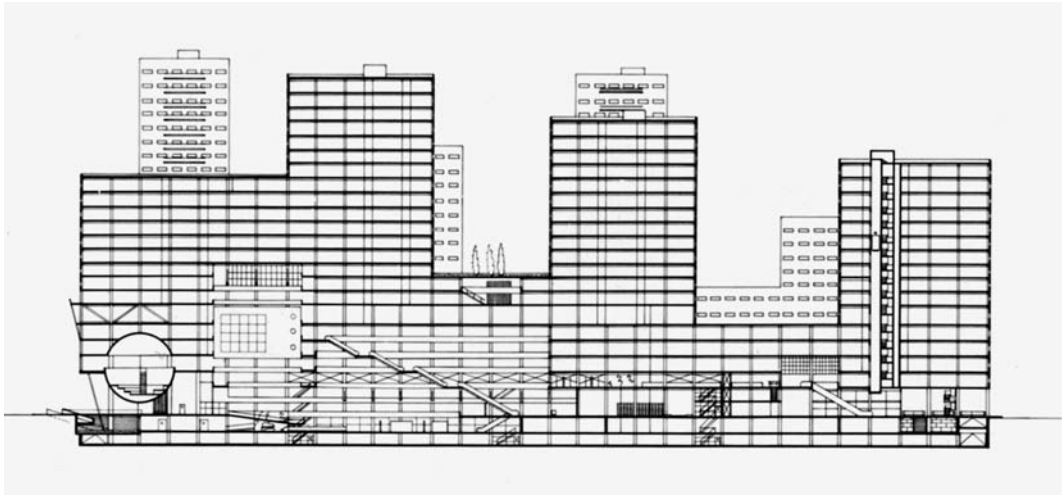


Abb. 1054: Rem Koolhaas/OMA, City Hall, Den Haag, Niederlande, Entwurf 1986. Längsschnitt.
Abb. 1055: Axonometrische Darstellung des öffentlichen Raumes mit Platz, Bibliothek und Rathaus, eingefügt in Schwarzplan.

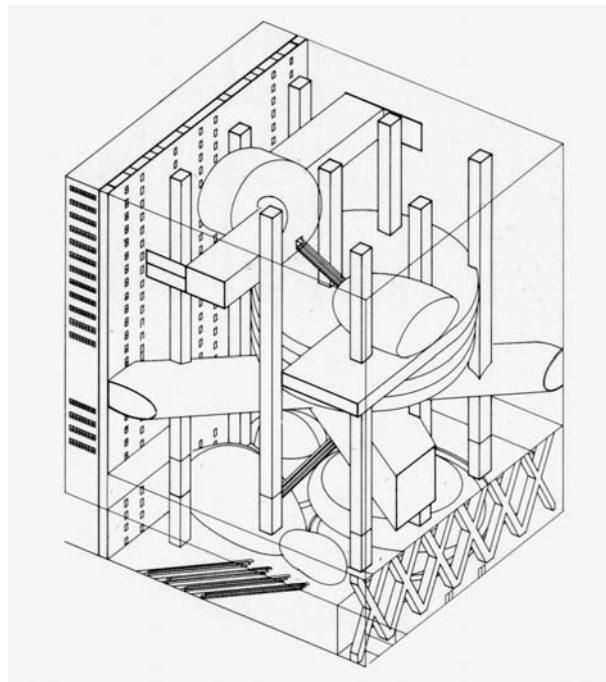
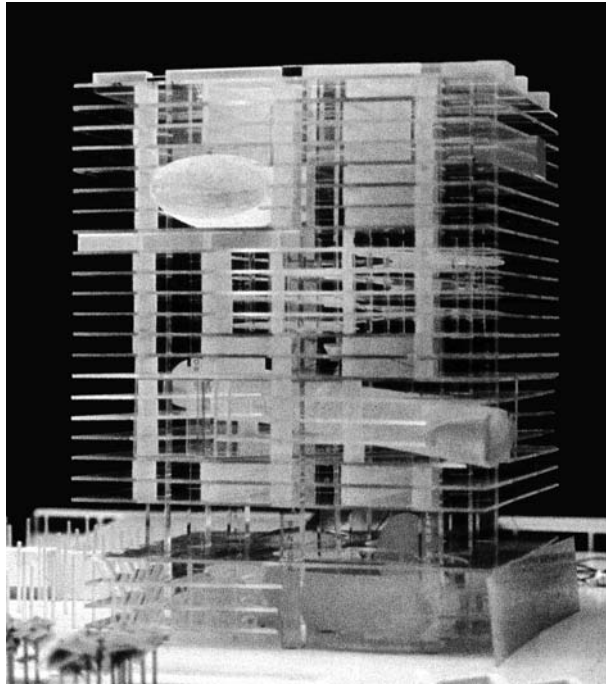


Abb. 1056: Rem Koolhaas/OMA, Bibliothèque Nationale, Paris, Frankreich, Entwurf 1989.
Präsentationsmodell, Fotografie.
Abb. 1057: Axonometrie des Gebäudes ohne Geschossebenen.

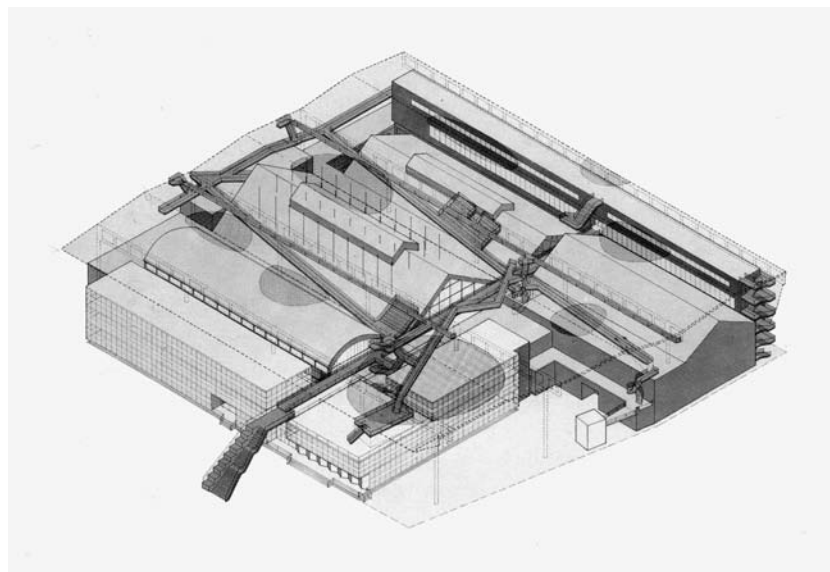
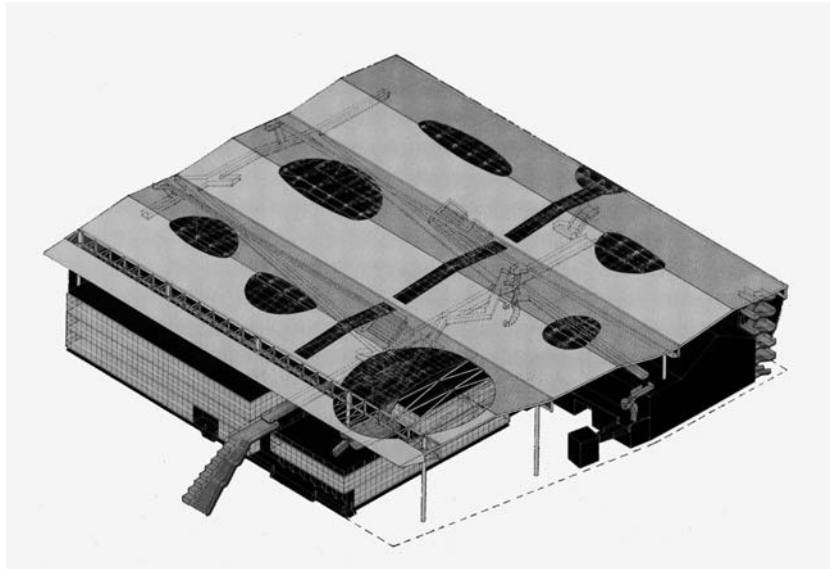


Abb. 1058: Bernard Tschumi, Le Fresnoy, Studio national des arts contemporains, Tourcoing, Frankreich, 1992–98. Isometrie.

Abb. 1059: Isometrie mit transparentem Dach, Blick auf die Wegstruktur.

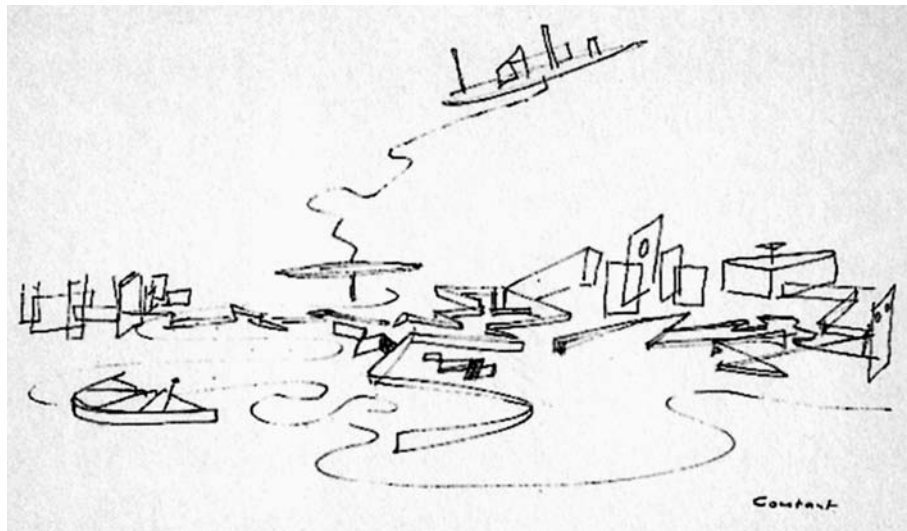
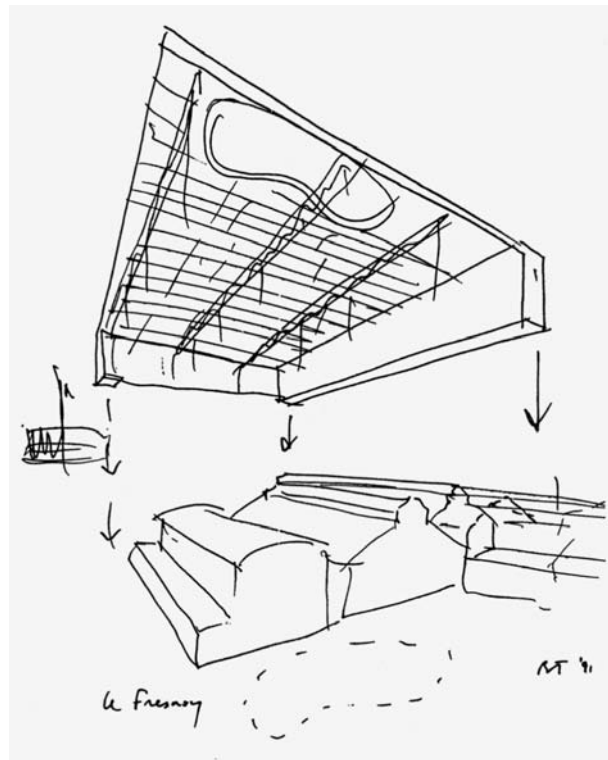


Abb. 1060: Bernard Tschumi, Le Fresnoy, Studio national des arts contemporains, Tourcoing, Frankreich, 1992–98. Konzeptskizze, Tusche auf Papier, 28 x 38 cm.

Abb. 1061: Constant A. Nieuwenhuys, New Babylon, Entwurf 1957–74. Zeichnung, 1960, Tinte auf Papier, 23 x 28 cm.

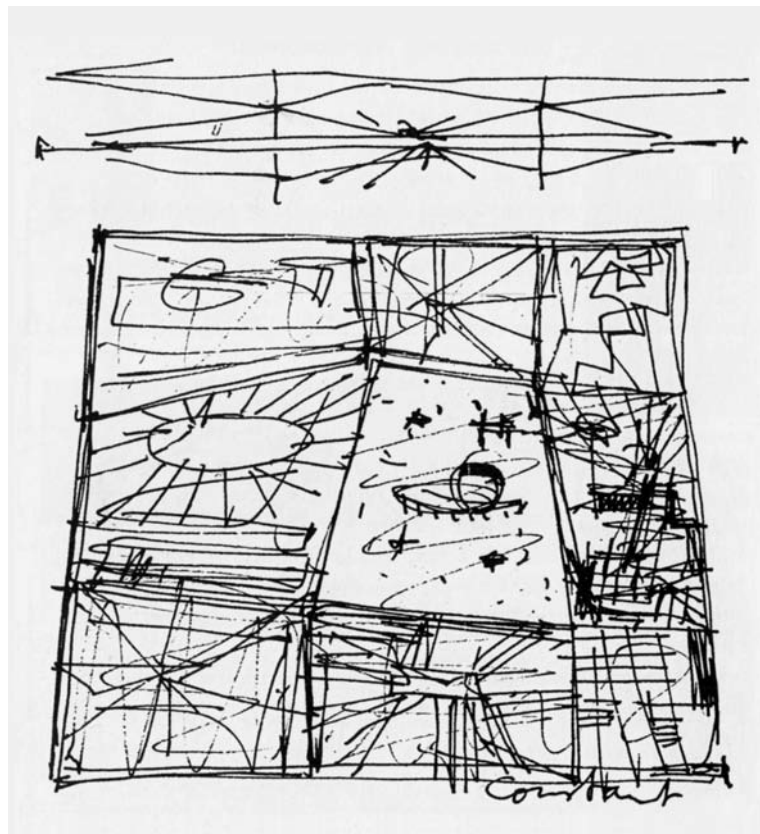
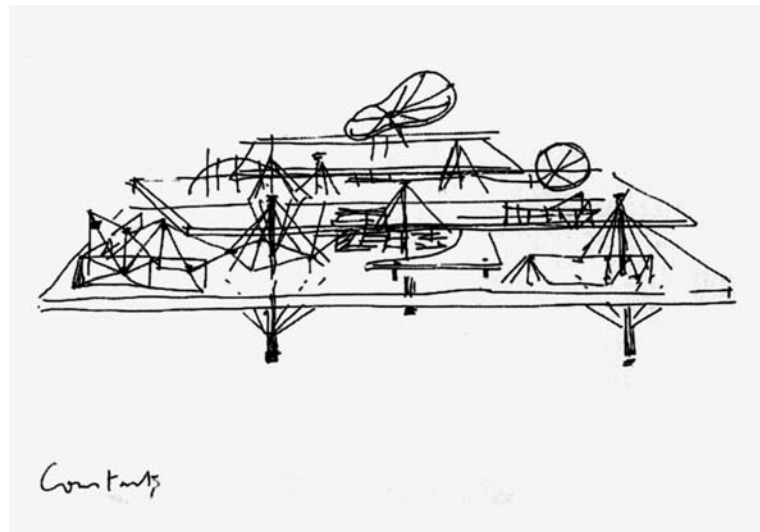


Abb. 1062: Constant A. Nieuwenhuys, New Babylon, Entwurf 1957–74. Zeichnung, 1960, Tinte auf Papier, 23 x 28 cm.

Abb. 1063: Untitled (Plan and Section of Grouped Sectors), 1959. Skizze, Tinte auf Papier, 14 x 12,7 cm.

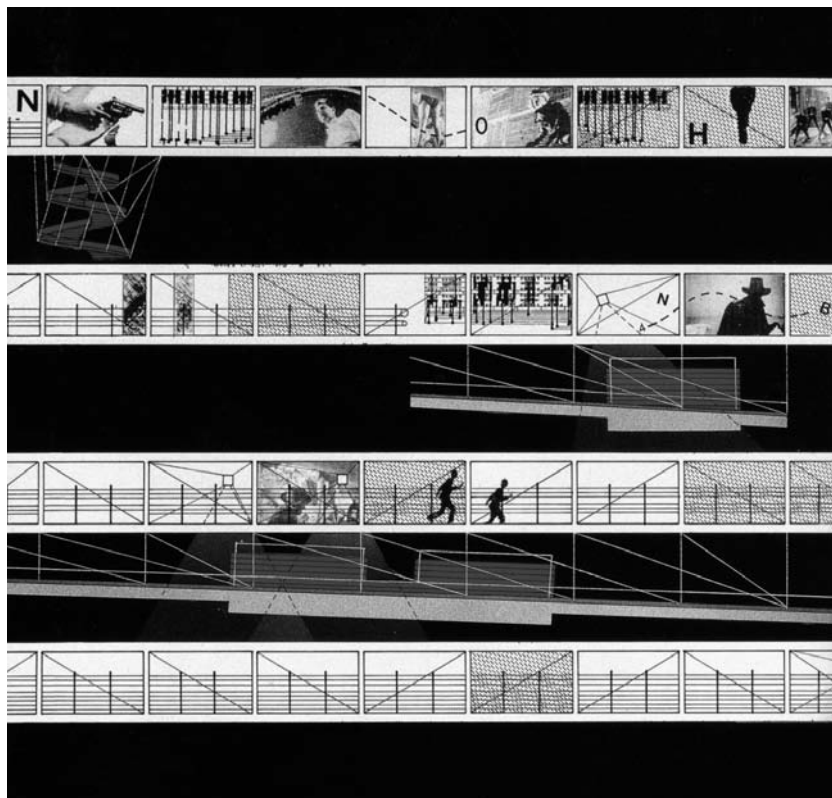
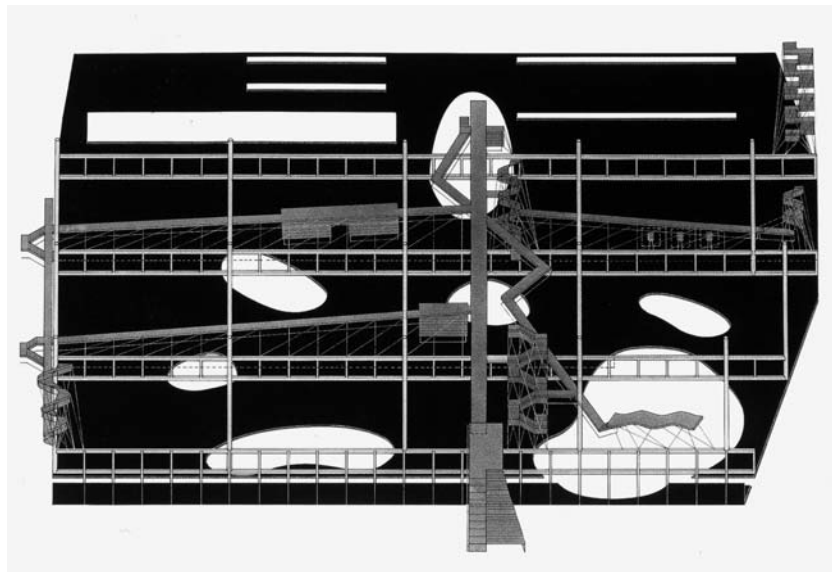


Abb. 1064: Bernard Tschumi, Le Fresnoy, Studio national des arts contemporains, Tourcoing, Frankreich, 1992–98. Perspektivische Untersicht des Daches.

Abb. 1065: Cinematic beams elevation, 1992. Farbige Tusche auf Fotodruck, 59 x 79,4 cm (Ausschnitt).



Abb. 1066: Bernard Tschumi, Le Fresnoy, Studio national des arts contemporains, Tourcoing, Frankreich, 1992–98. Freitreppe zur Dachebene, Fotografie.
Abb. 1067: Dachebene, Fotografie.

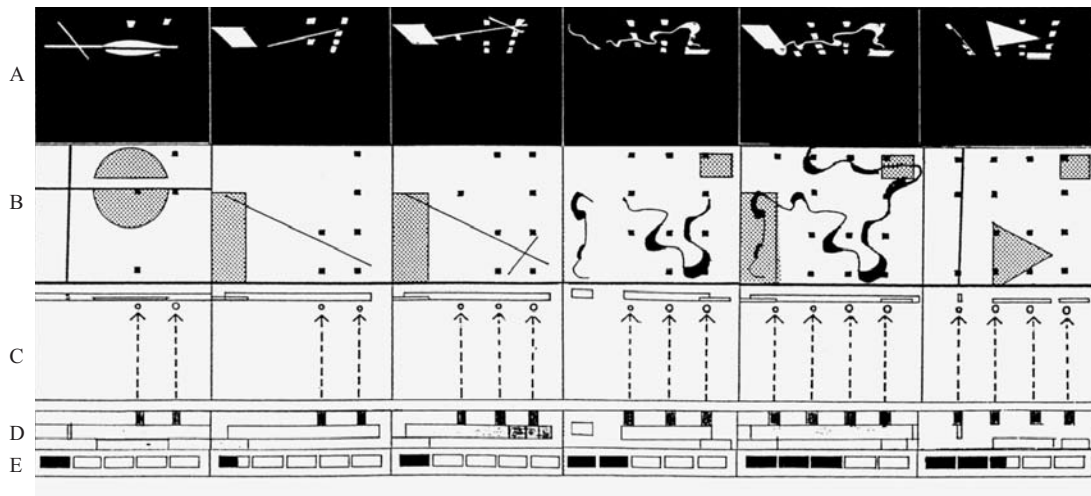


Abb. 1068: Bernard Tschumi, Parc de la Villette, Fireworks, 1992. Diagrammatische Darstellung des Feuerwerkes: Perspektivischer Blick vom Boden aus (A), Grundriss (B), Ansicht (C), Farbe (D), Tonintensität (E).

Abb. 1069: Bernard Tschumi, Parc de la Villette, Fireworks, 1992. Fotografie.

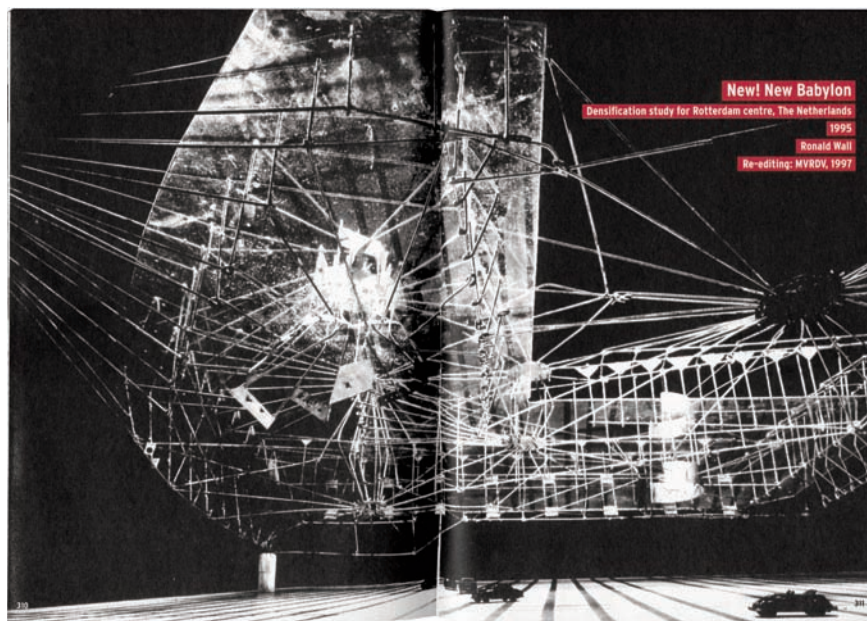
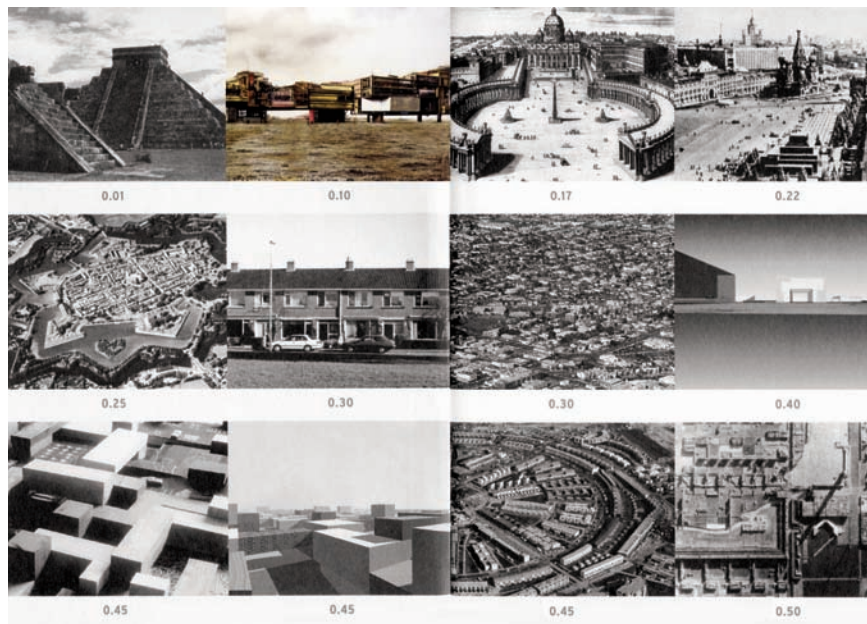


Abb. 1070: Constant A. Nieuwenhuys, New Babylon, Entwurf 1957–74. Gezicht op New Babylonische sectoren (View of New Babylonian Sectors). Zeichnung, Aquarell und Bleistift auf Fotomontage, 135 x 223 cm. Reproduktion (Ausschnitt), eingefügt in eine Serie historischer und zeitgenössischer Entwürfe urbaner Dichte (zur Hervorhebung des Modells Farbbilder von der Verf. in Graustufen umgewandelt), abgebildet in: MVRDV, FARMAX, 1998, S. 2, Abb. 0.10.

Abb. 1071: Constructie in oranje (Orange Construction), 1958. Modell aus Metall, Plexiglas, Holz, 23 x 110 x 100 cm, Blick von unten, Fotografie, als Referenzbild eingefügt in die Beschreibung des Projektes *New! New Babylon* von MVRDV, 1995, abgebildet in: MVRDV, FARMAX, 1998, S. 310 f.

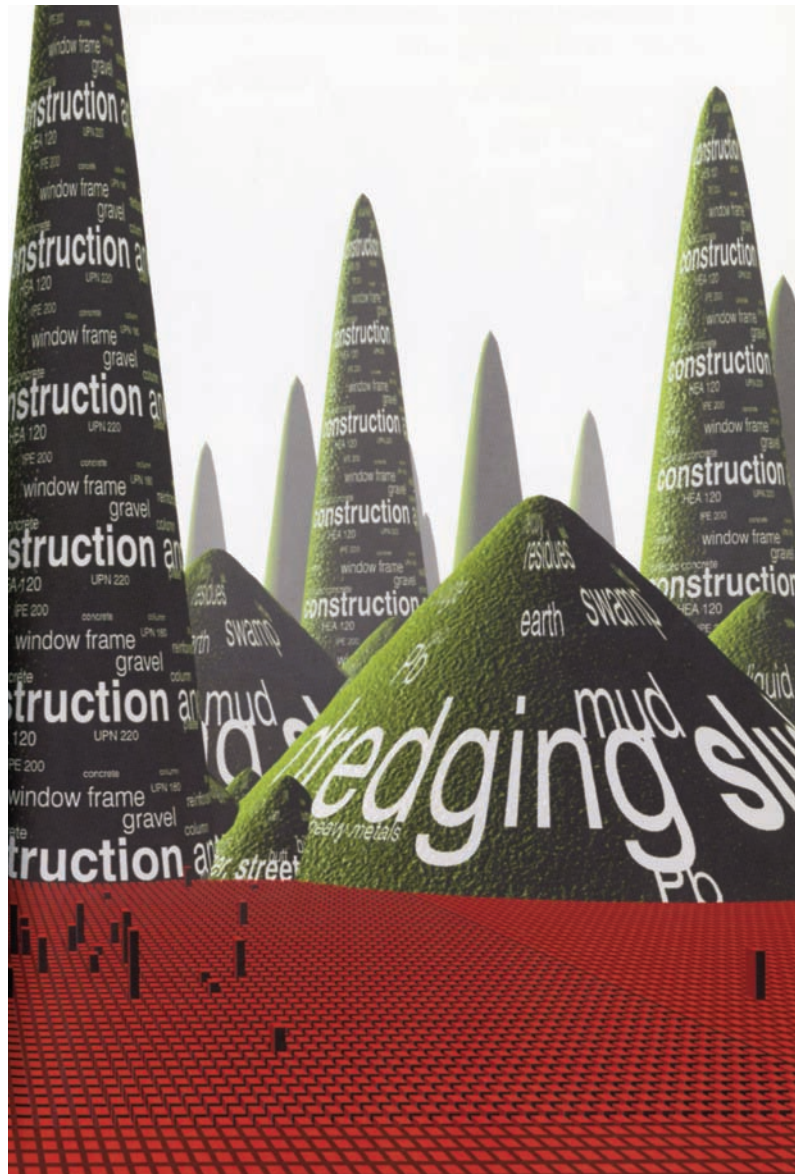


Abb. 1072: MVRDV, Datatown, Sector Waste, Niederlande, Entwurf 1998. Waste production after 150 years. 3D-Modell, Perspektive, Computerrendering.

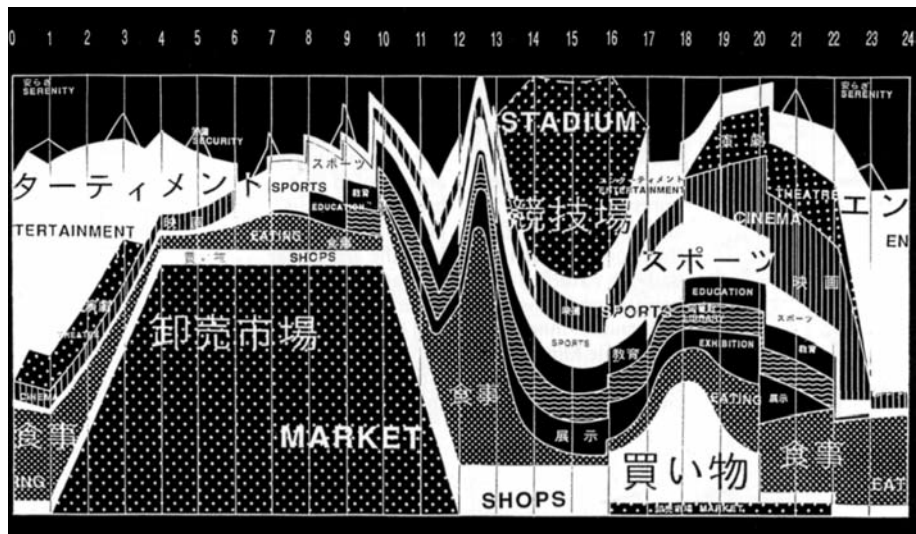
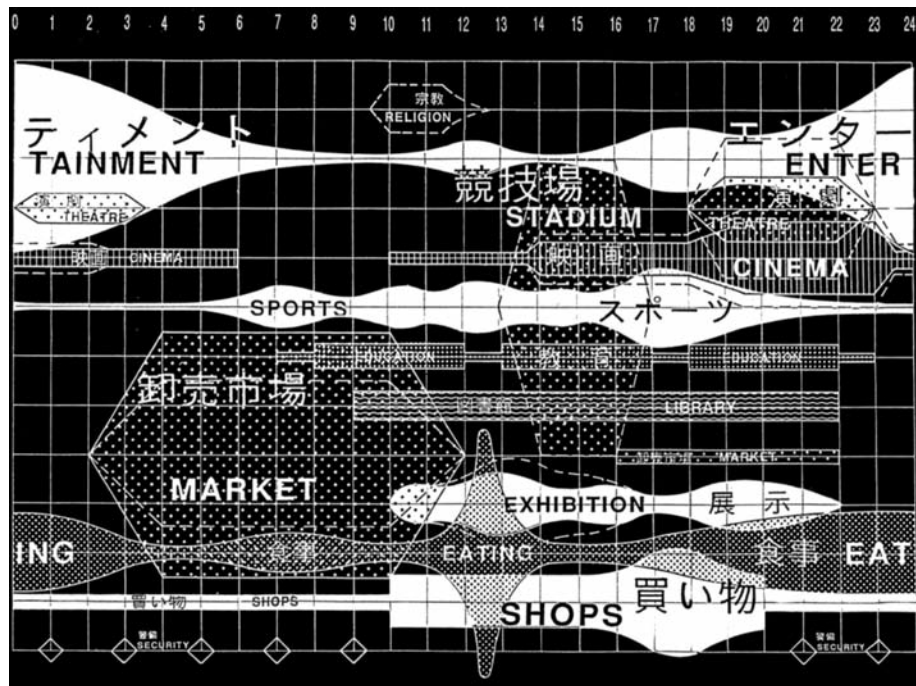
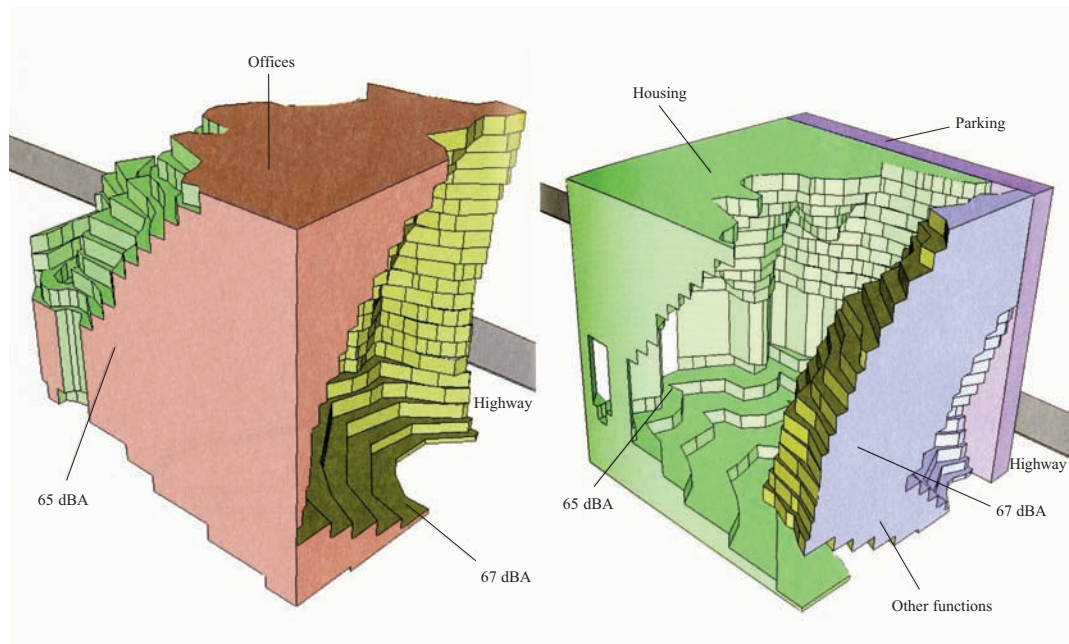


Abb. 1073: Rem Koolhaas/OMA, Yokohama Urban Ring, Japan, Entwurf 1992. Städtebauliche Studie, Diagramm der baulichen Programme und der Hauptnutzungszeiten (durchgehende Linie = werktags; gestrichelte Linie = Wochenende).
 Abb. 1074: Diagramm der Programmassemblage.



Datendesign

1. Quelle: bewegtes Objekt, 0,75 m über dem Boden
2. Stadtautobahn: 20 m breit, 8 Spuren, symmetrisch angeordnet, Verkehr in beiden Richtungen
3. Verkehr: Tempo 120 km/h, 4000 Fahrzeuge pro Stunde, 25 % leicht, 25 % mittelschwer, 25 % schwer, 25 % Motorräder
4. Straße: Asphalt
5. Belag: absorbierend
6. Emission nach Wegverkeerslawaaai SRM 2
7. Hindernis: Parkhaus am Rande der Stadtautobahn 5 x 200 x 100 m
8. Wirkung: Profile für 65 dB(A), 67 dB(A), 70 dB(A), 75 dB(A) bei Längen von +1,5 m, +25 m, +50 m, +75 m, +99,9 m nach SRM 2

Abb. 1075: Penelope Dean, Re-editing: MVRDV, Noisescape, Entwurf 1997. Dreidimensionales Schema, Perspektive, Computerzeichnung.

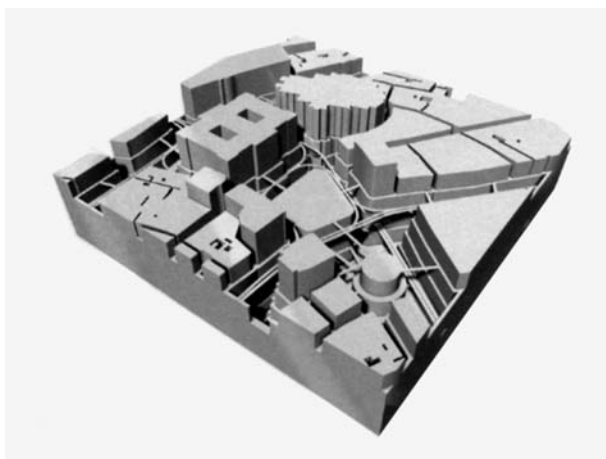
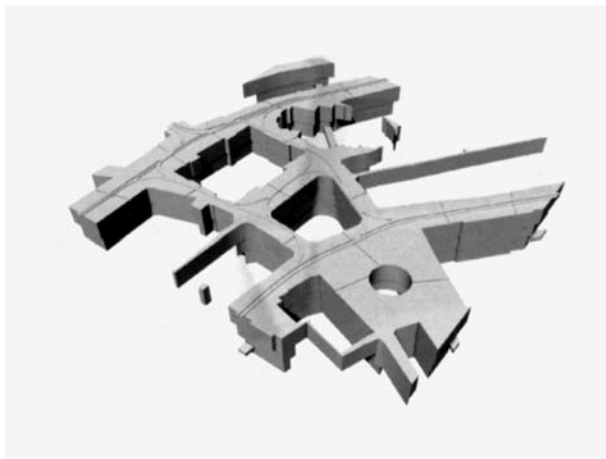
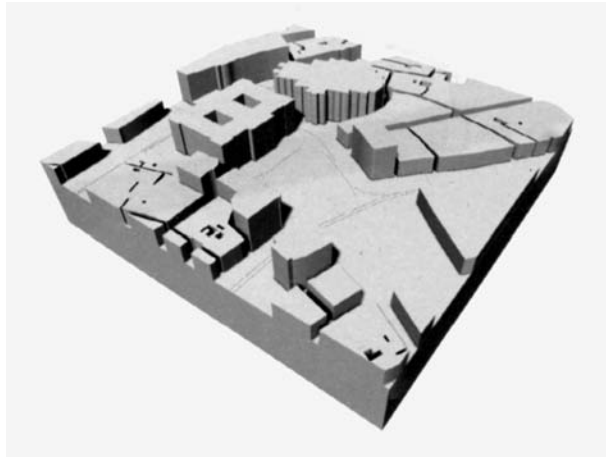


Abb. 1076: MVRDV, Ballast Nedam Engineering und Nieuwland, KM3, Gotham City, Amsterdam, Niederlande, Entwurf 1999. Existing situation. 3D-Modell, Perspektive, Computerrendering.
Abb. 1077: Subtraction of extruded volume. 3D-Modell, Perspektive, Computerrendering.
Abb. 1078: New situation. 3D-Modell, Perspektive, Computerrendering.

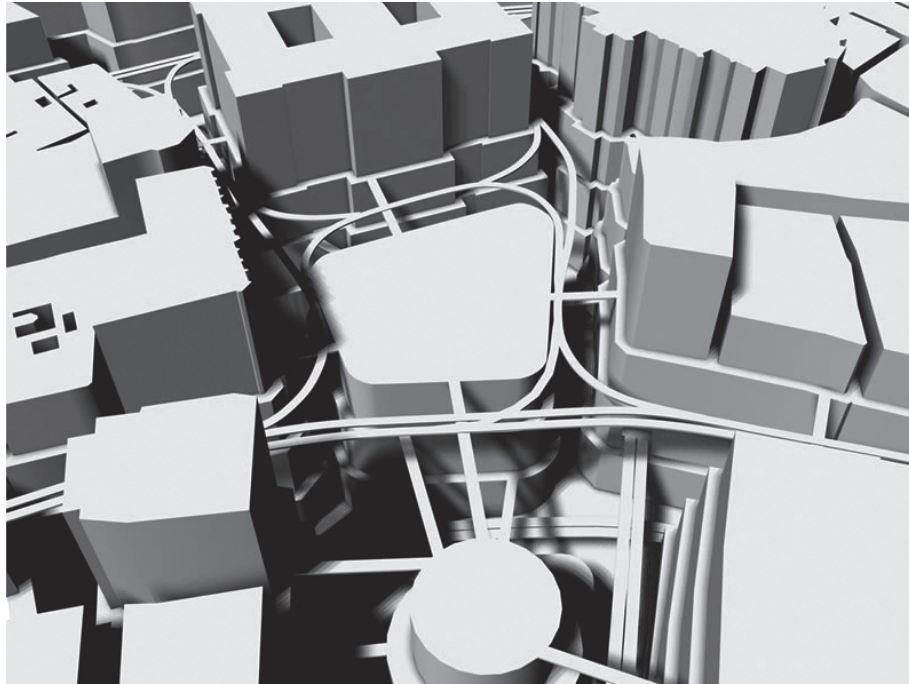


Abb. 1079: MVRDV/Ballast Nedam Engineering und Nieuwland, KM3, Gotham City, Amsterdam, Niederlande, Entwurf 1999. 3D-Modell (Ausschnitt), Perspektive, Computerrendering.

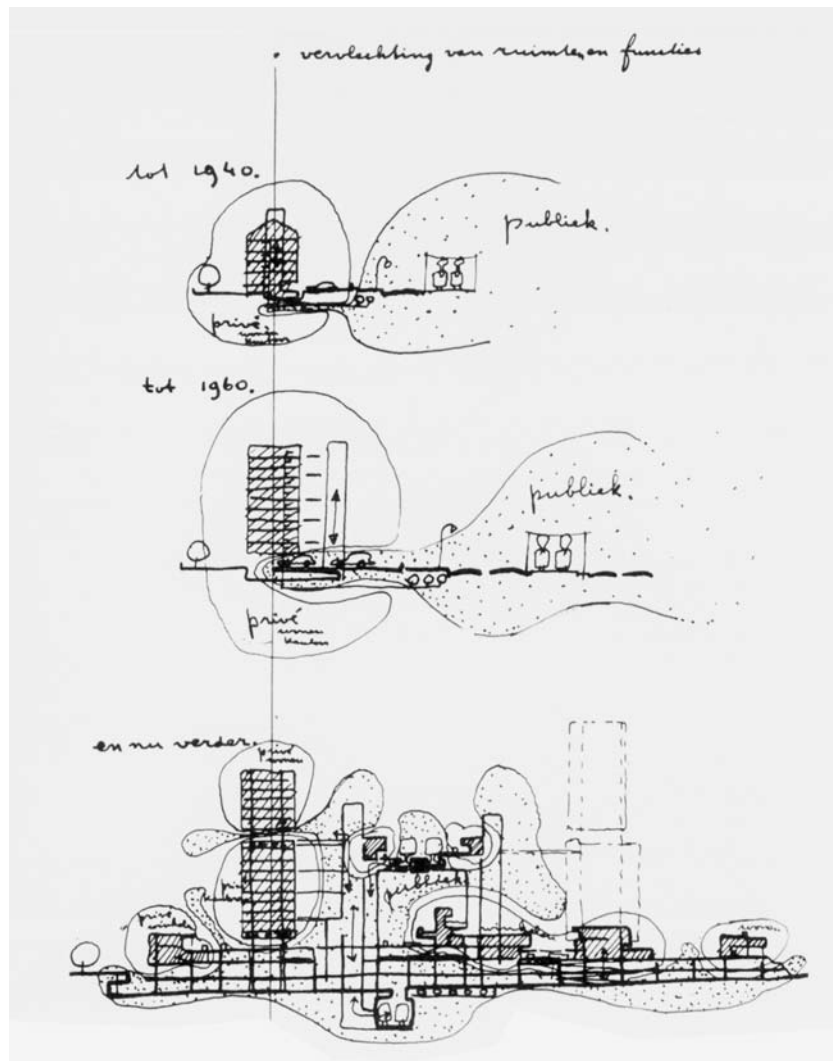


Abb. 1080: Johannes Hendrik van Broek & Jacob Berend Bakema, Cityplan für Eindhoven, Entwurf 1967–69. Vervoeging van ruimten en functies to 1940, tot 1960 en nu verder (Vernetzung der Räume und Funktionen bis 1940, bis 1960 und nun weiter), Schnittskizzen.

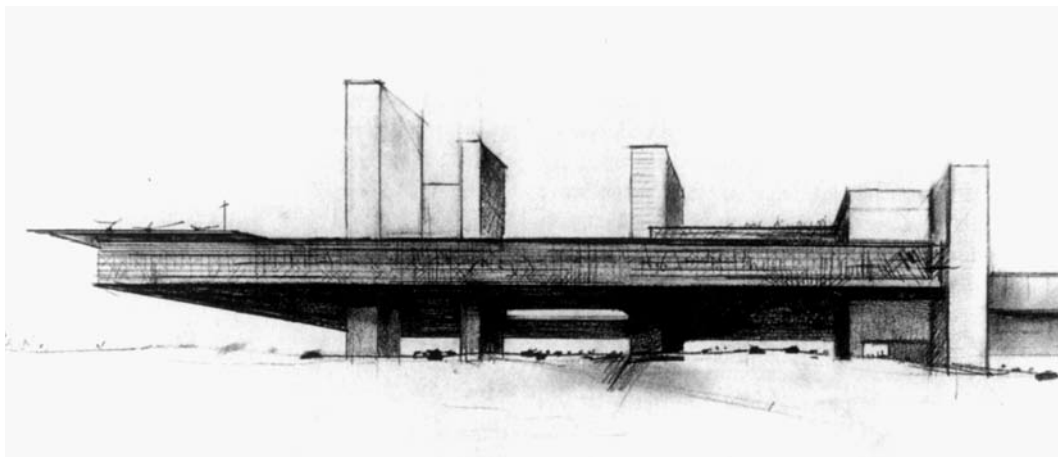
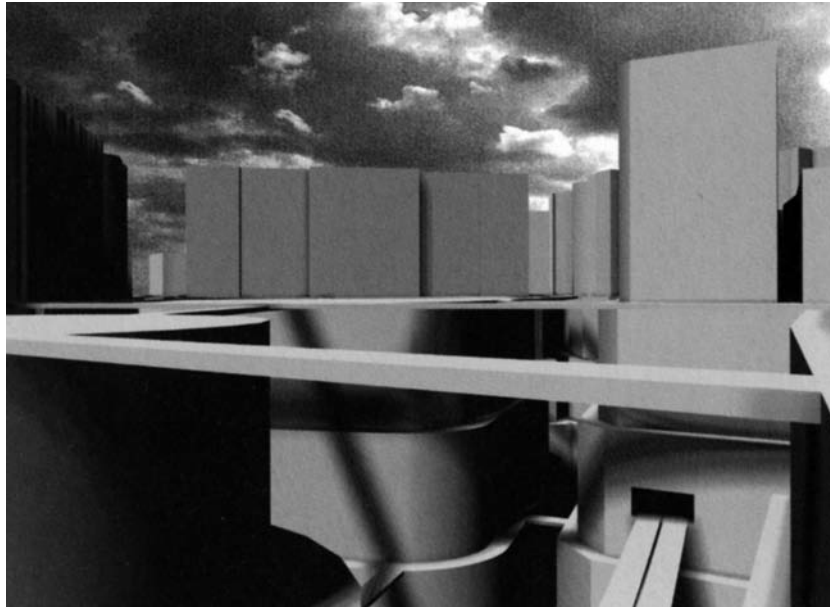


Abb. 1081: MVRDV/Ballast Nedam Engineering und Nieuwland, KM3, Gotham City, Amsterdam, Niederlande, Entwurf 1999. 3D-Modell, Perspektive, Montage aus Computerrendering und Fotografie.

Abb. 1082: Constant A. Nieuwenhuys, New Babylon, Entwurf 1957–74. Schets voor en sector (Sketch for a Sector), 1964. Bleistift auf Papier, 45 x 64 cm (Ausschnitt).

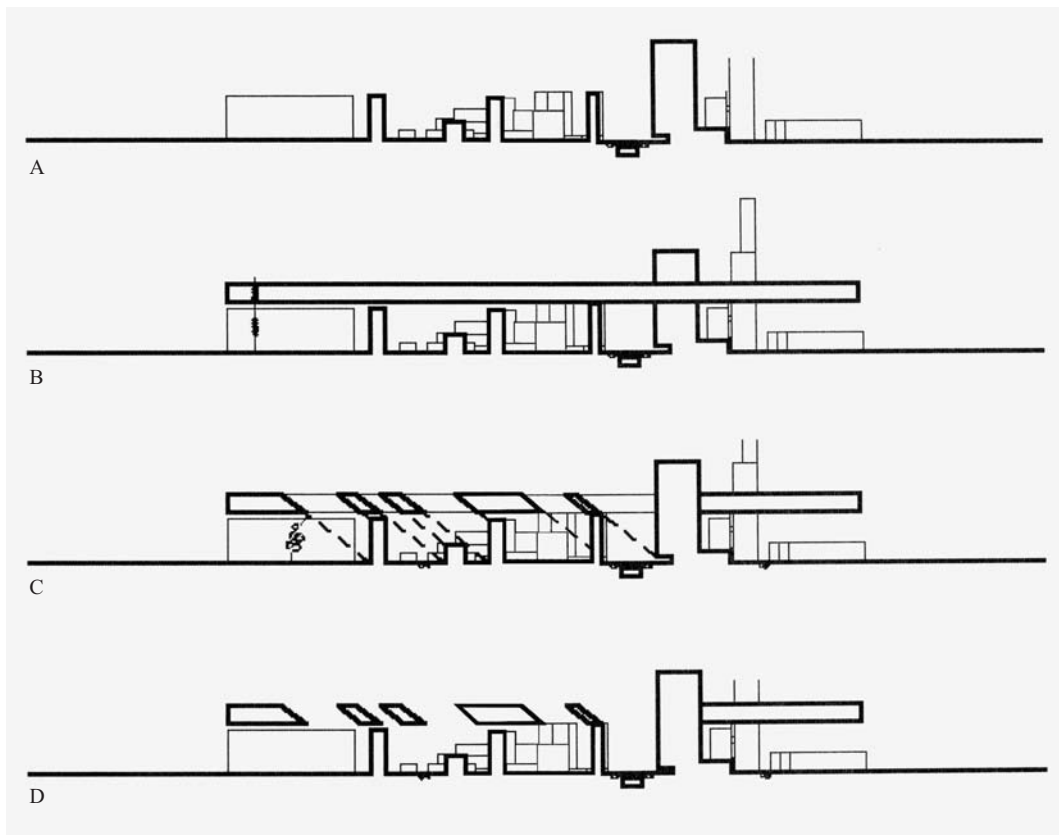


Abb. 1083: Donald Wall und MVRDV, New! New Babylon, Densification study for Rotterdam centre, Niederlande, Entwurf 1995. Diagrammatische Darstellung der Formbildung des Daches: Existing situation (A), Imaginary roof (B), Cut-out in the potential roof (C) und Potential roof (D), schematische Schnitte.

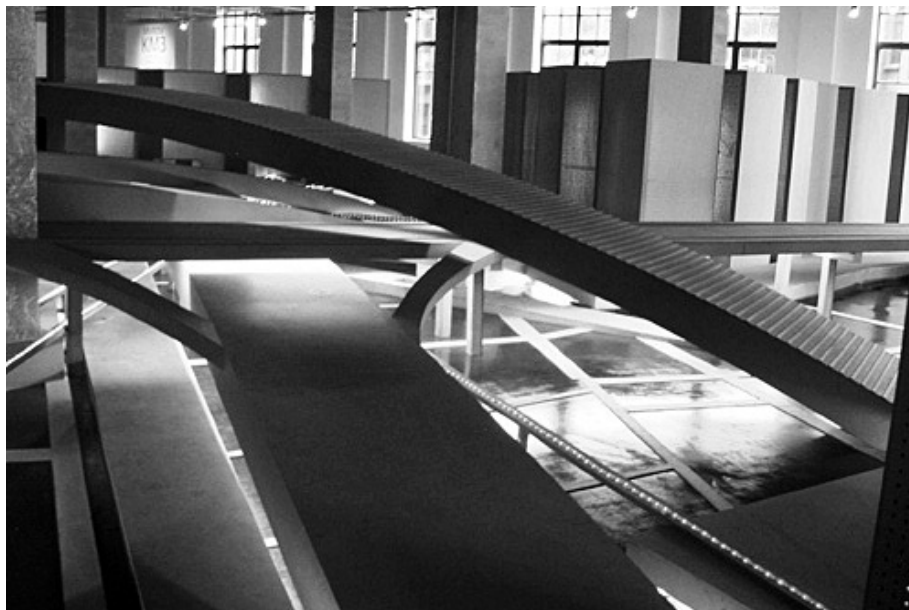
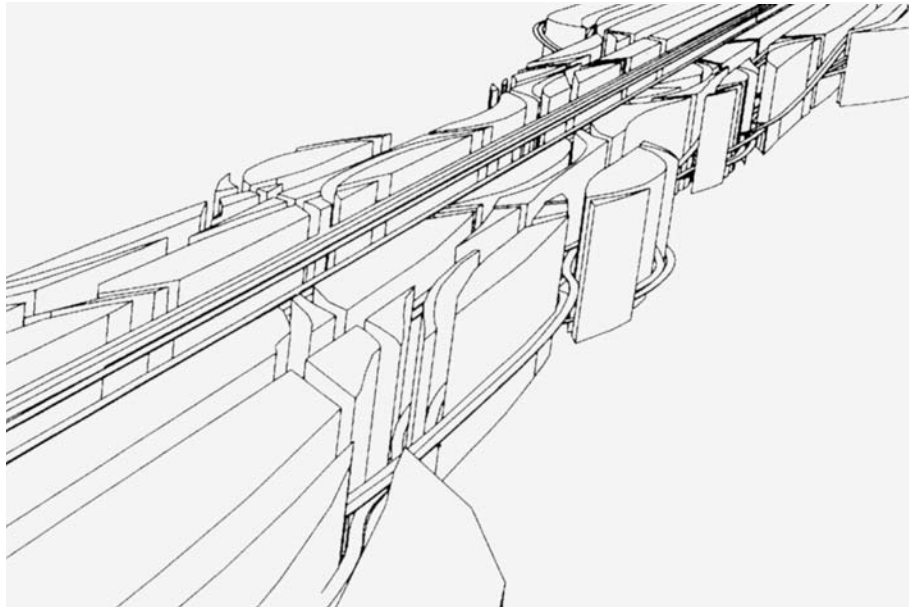


Abb. 1084: MVRDV, Lace, Studie über Mobilitätsszenarien in den Niederlanden, 1997. Vertikales Straßenbündel, Axonometrie, Computerzeichnung.

Abb. 1085: MVRDV, KM3. Proposals for Chinese Cities, Shanghai Gallery of Art, China, 2005. Großmodell und Ausstellungsarchitektur „Infra Jungle“, Fotografie.



Abb. 1086: MVRDV, Costa Ibérica, Spanien, Entwurf 2000. 3D-Modell mit Umgebung, Perspektive, Montage aus Computerrendering und Fotografie.

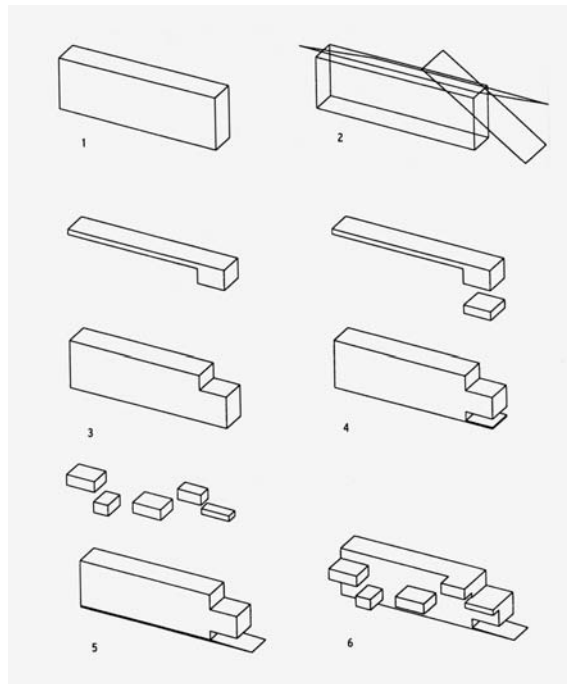


Abb. 1087: MVRDV, WoZoCo, Amsterdam, Niederlande, 1994–97. Effect of the shading angle: from sheltered housing units to suspended outboard units. Axonometrische Diagramme.
 Abb. 1088: Nordostseite, Fotografie.

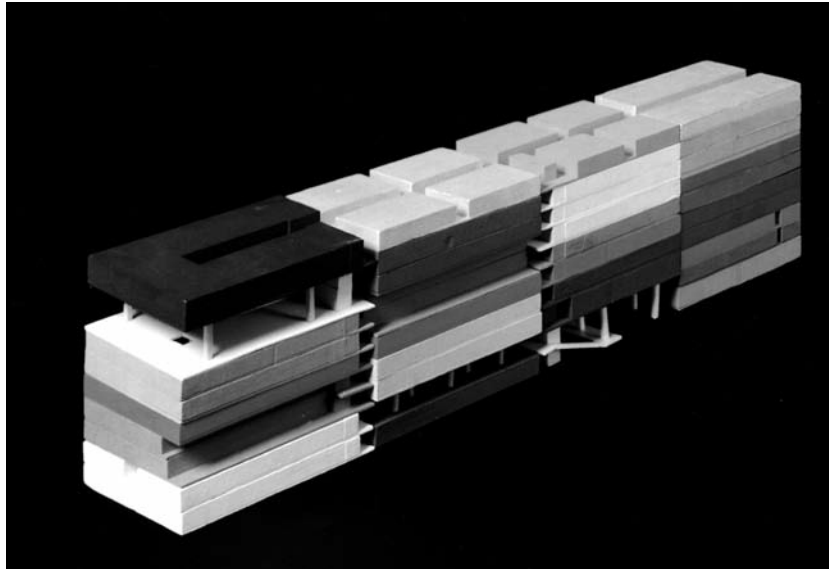


Abb. 1089: MVRDV, Housing Silo, Amsterdam, Niederlande 1995–2002. Konzeptmodell der verschiedenen Wohntypologien, Nordostseite, Fotografie.
Abb. 1090: Südwestseite, Fotografie.



Abb. 1091: MVRDV, Niederländischer Pavillon für die Expo 2000, Hannover, 1997–2000. Präsentationsmodell, Fotografie.

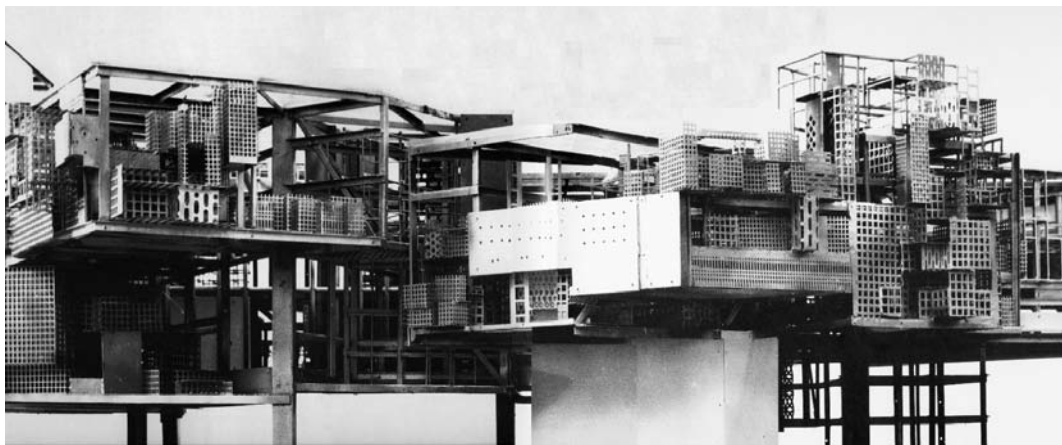
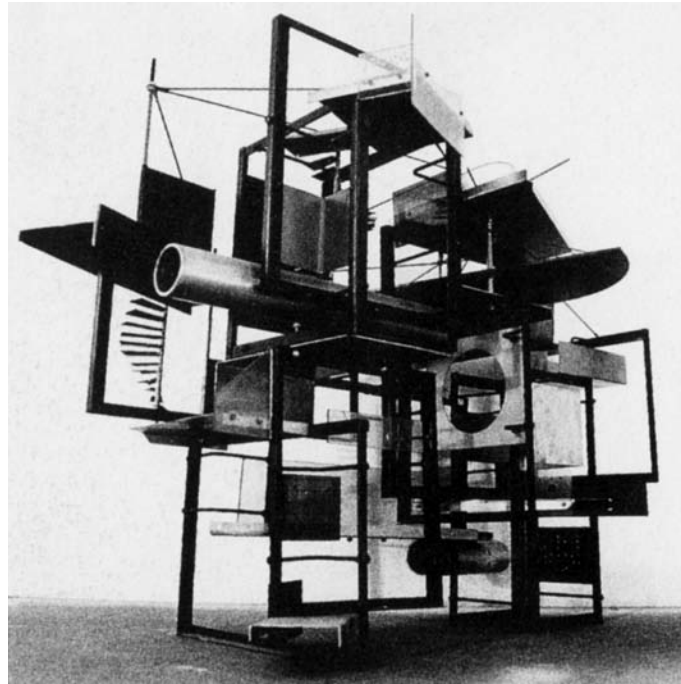


Abb. 1092: Constant A. Nieuwenhuys, New Babylon, Entwurf 1957–74. Klein Labyr (Kleines Labyrinth), Entwurf 1959. Modell aus Metall (Aluminium und Eisen), Plexiglas, Holz, Öl und Kreide, 70 x 35 x 56 cm, Fotografie.

Abb. 1093: Fragment van een sector (Detail of a Sector), Entwurf 1969. Modell aus Metal, Plexiglas, Holz, 62 x 144 x 162 cm, Fotografie (Ausschnitt).

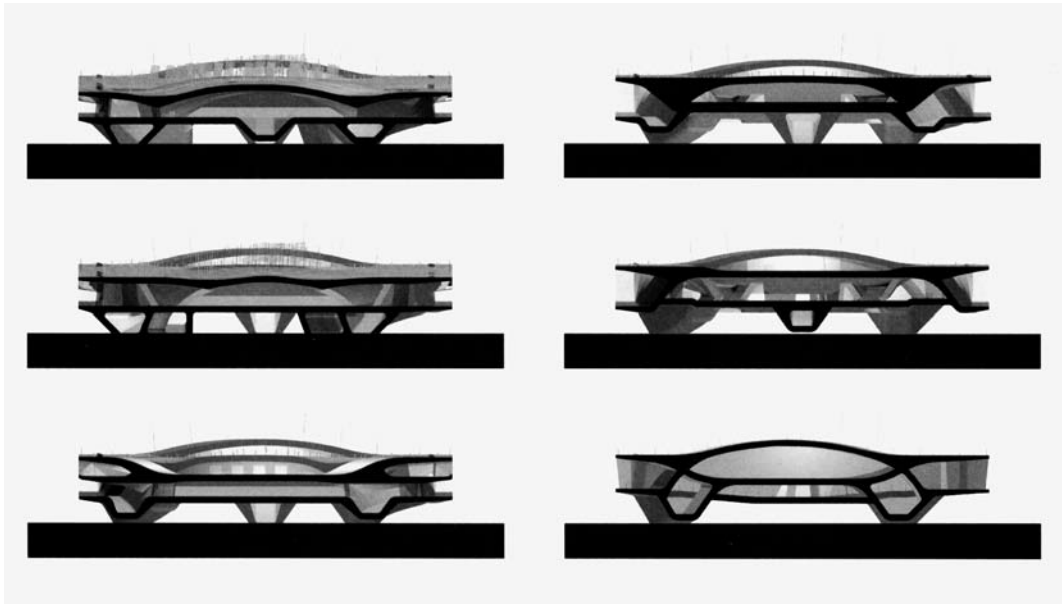


Abb. 1094: Constant A. Nieuwenhuys, New Babylon, Entwurf 1957–74. Sector constructie (Sector Construction), 1959. Modell aus Metall, 280 x 160 x 60 cm (zerstört), Blick von oben, Fotografie.
Abb. 1095: Farshid Moussavi und Alejandro Zaera-Polo/FOA, Yokohama International Port Terminal, Japan, 1994–2002. Erster überarbeiteter Entwurf nach dem Wettbewerb, Querschnitte, Computerrenderings.

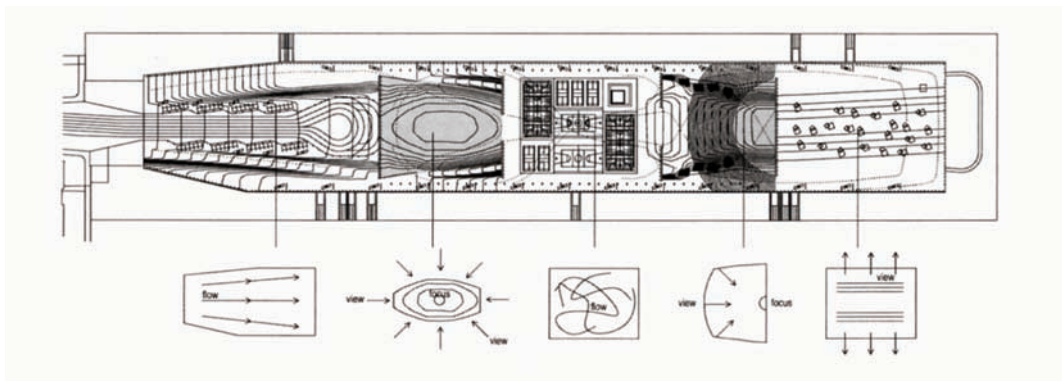


Abb. 1096: Farshid Moussavi und Alejandro Zaera-Polo/FOA, Yokohama International Port Terminal, Japan, 1994–2002. Perspektive, Akrobatik- und Kleinkunstaufführungen, Montage aus Computerrendering und Fotografie.

Abb. 1097: Perspektive, Outdoor-Sportveranstaltungen, Montage aus Computerrendering und Fotografie.

Abb. 1098: Dachaufsicht, Spiel- und Bewegungsformen, Computerzeichnung.

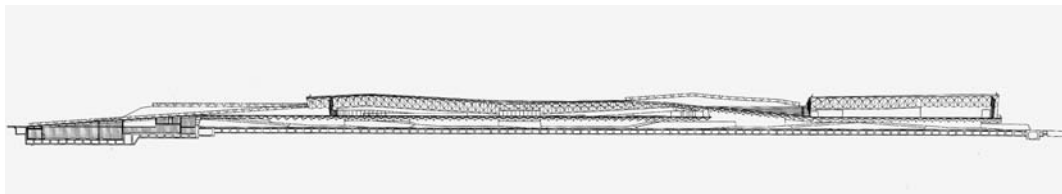
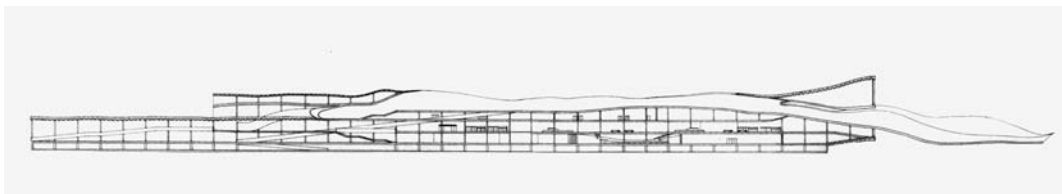
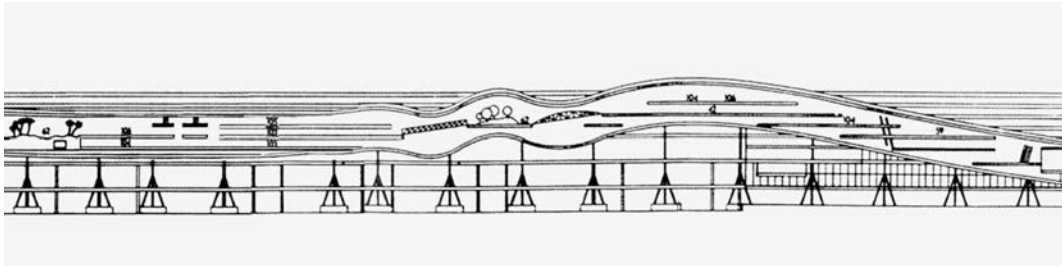
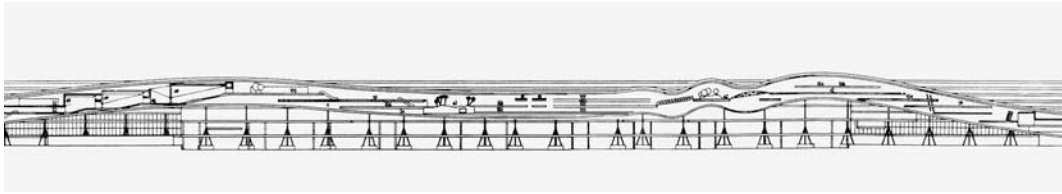


Abb. 1099: Bernard Tschumi, International Airport, Kansai, Entwurf 1988. Längsschnitt in Ost-West-Richtung (Ausschnitt).

Abb. 1100: Ausschnitt aus Abb. 1099.

Abb. 1101: Greg Lynn, Yokohama International Port Terminal, Japan, Entwurf 1994. Längsschnitt.

Abb. 1102: Farshid Moussavi und Alejandro Zaera-Polo/FOA, Yokohama International Port Terminal, Japan, 1994–2002. Ausführungsentwurf, Längsschnitt.

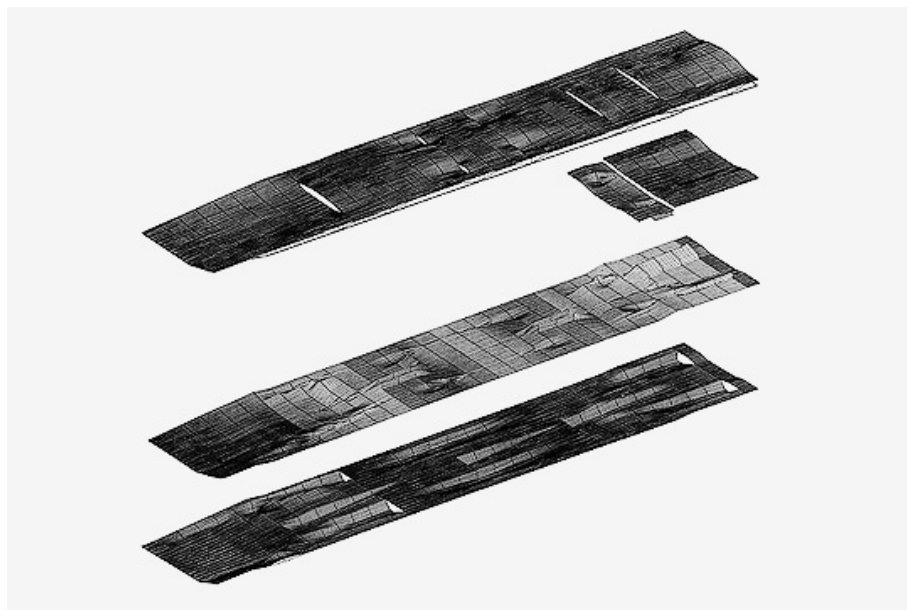
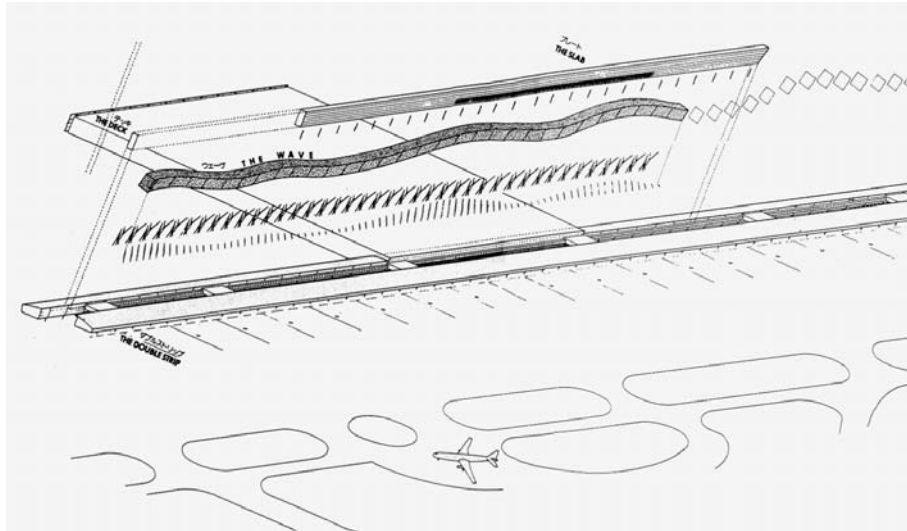


Abb. 1103: Bernard Tschumi, International Airport, Kansai, Entwurf 1988. Lineare Elemente von oben nach unten: „The Slab“, „The Wave“ und „The Double Strip“, Axonometrie.

Abb. 1104: Farshid Moussavi und Alejandro Zaera-Polo/FOA, Yokohama International Port Terminal, Japan, 1994–2002. Gefaltete Geschossebenen des Wettbewerbsentwurfes, Axonometrie, Computerzeichnung.

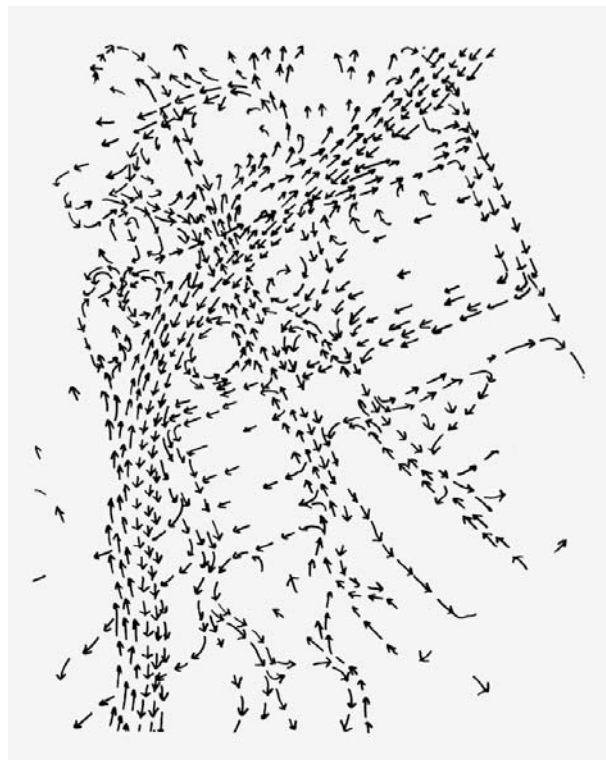
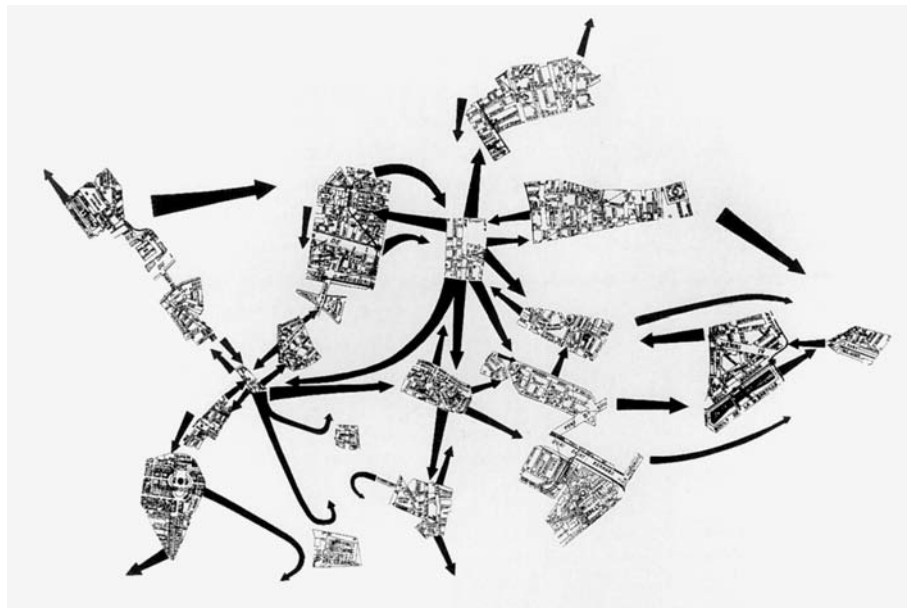


Abb. 1105: Guy-Ernest Debord und Asger Jørn, *The Naked City*, Entwurf 1957. Siebdruck (Ausschnitt). Fotografie.

Abb. 1106: Rem Koolhaas/OMA, *Yokohama Urban Ring*, Japan, Entwurf 1992. Schematische Darstellung der Bewegungsströme auf dem zu planenden Areal.

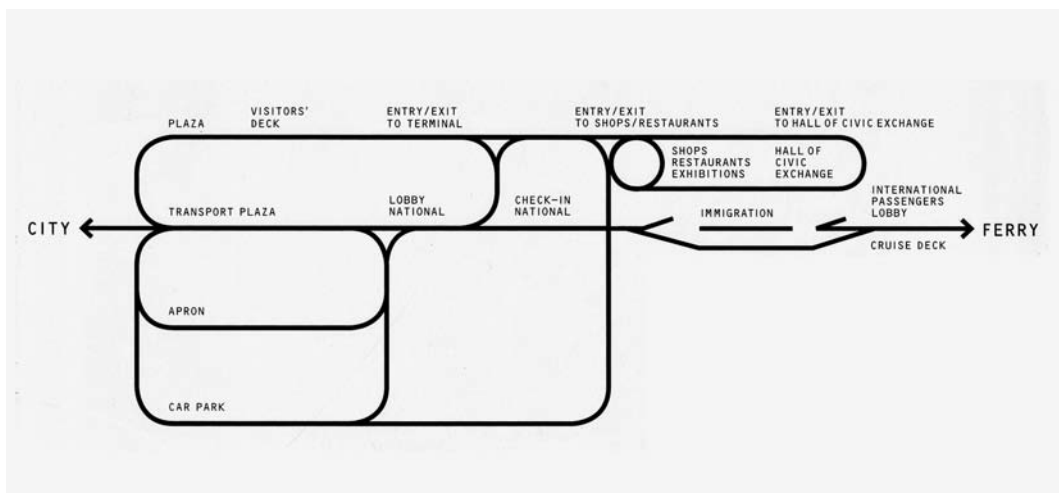
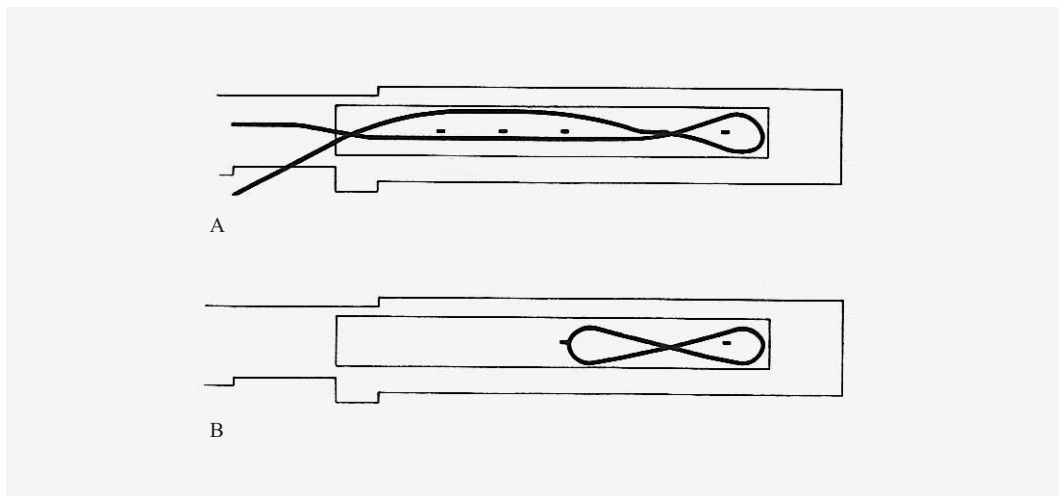


Abb. 1107: Ben van Berkel, Yokohama International Port Terminal, Japan, Entwurf 1994. Wege-
studien: Visitors' Pedestrian Loop (A) und Pretzel Route (B), Aufsichten, Computerzeichnungen.
Abb. 1108: Farshid Moussavi und Alejandro Zaera-Polo/FOA, Yokohama International Port Ter-
minal, Japan, 1994–2002. Wettbewerbsentwurf, Zirkulationsschema, Längsschnitt, Computer-
zeichnung.

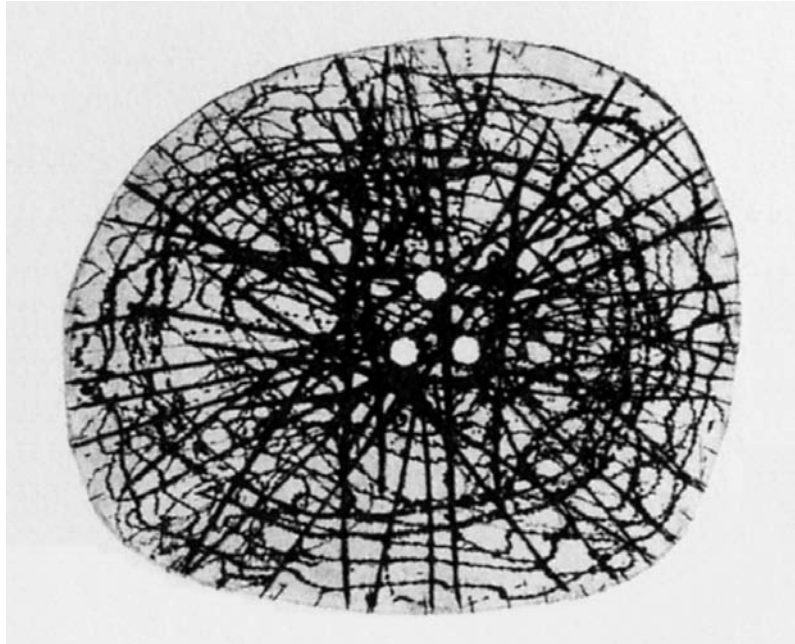


Abb. 1109: Constant A. Nieuwenhuys, Ronde ets met drie gaten (Round Etching with Three Holes), um 1958. Kaltnadelradierung, 29,7 x 25 cm, Fotografie.

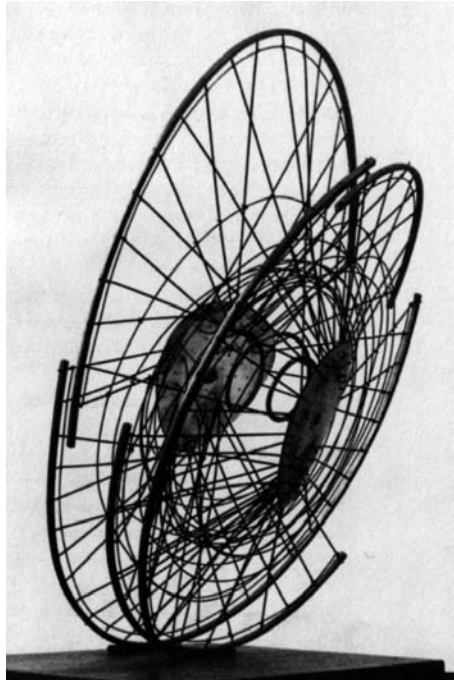


Abb. 1110: Constant A. Nieuwenhuys, *Nébulose mécanique*, 1958. Objekt aus Eisendraht, Aluminium und Marmor, 136 x 104 x 25 cm, Fotografie.

Abb. 1111: Constant A. Nieuwenhuys, *Lijn zonder einde (Endless Line)*, 1958. Objekt aus Metall und Plexiglas, h = 150 cm, Fotografie.

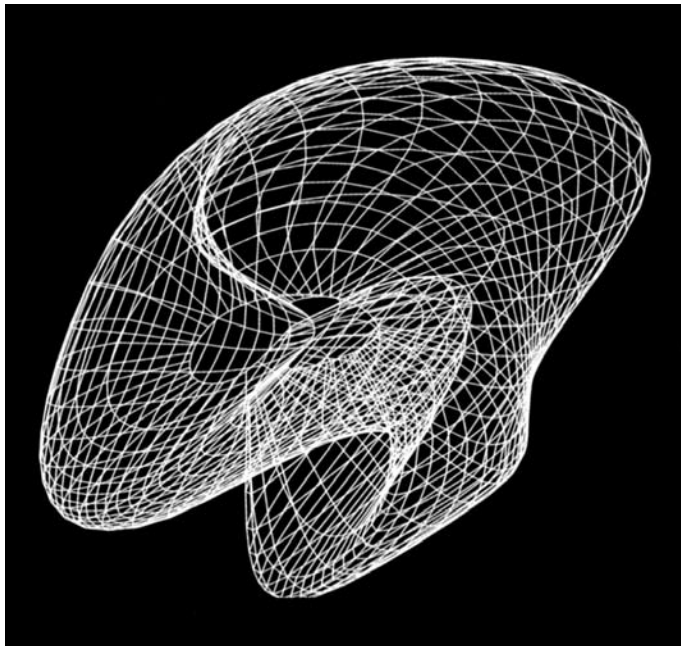
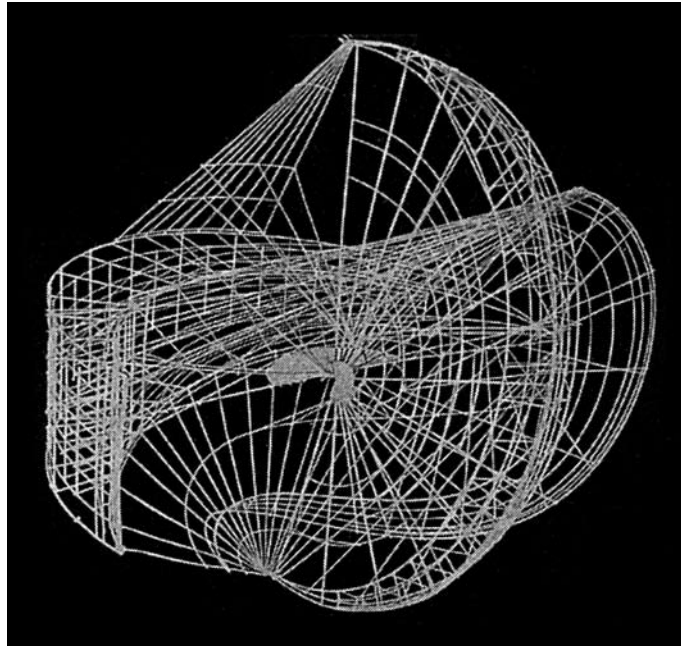


Abb. 1112: Constant A. Nieuwenhuys, Draadconstructie (Wire Construction), 1958. Objekt aus Eisendraht, 93 x 96 x 84 cm, bearb. Fotografie auf dem Einband eines New Babylon-Ausstellungskatalogs.

Abb. 1113: Kas Oosterhuis und Ilona Lénárd, Parascape, Rotterdam, Niederlande, Entwurf 1998. Drahtgittermodell, Computerzeichnung.

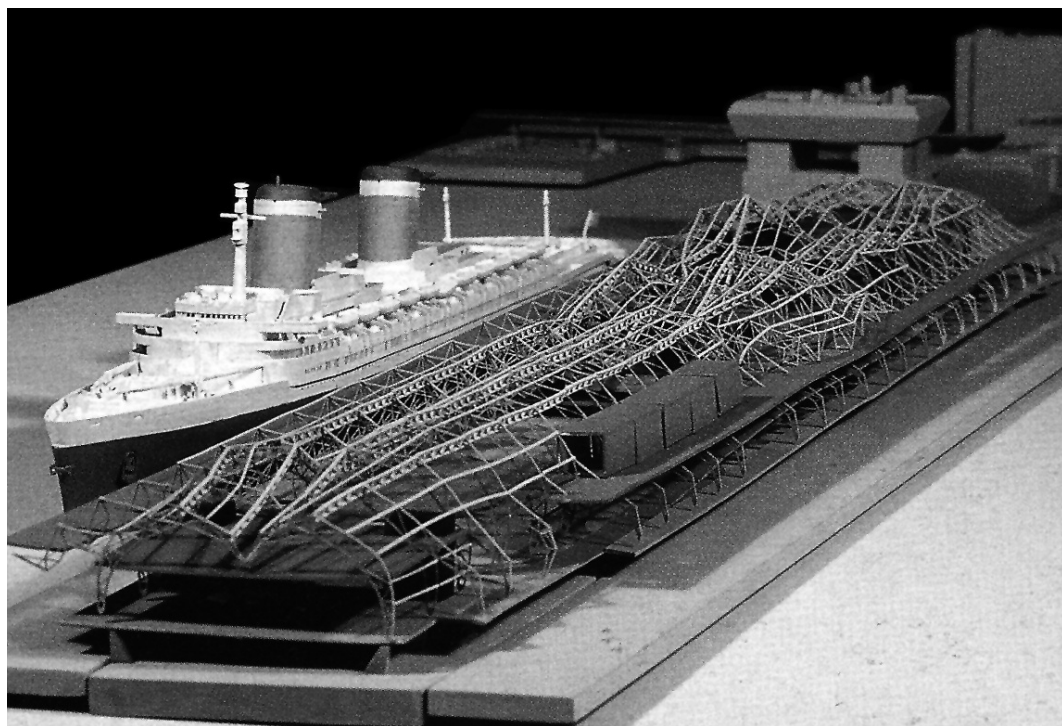
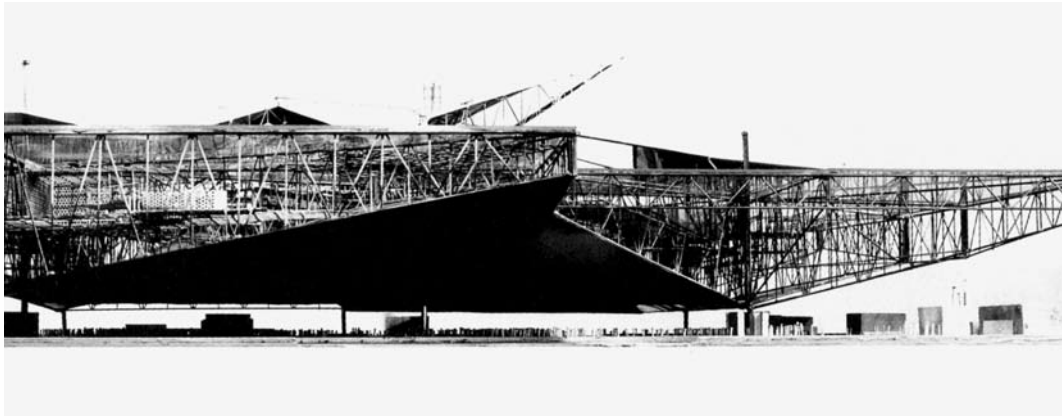


Abb. 1114: Constant A. Nieuwenhuys, New Babylon, Entwurf 1957–74. Grote gele sector (Large Yellow Sector), 1967. Modell aus Metall (Eisen, Aluminium, Kupfer), Plexiglas und Öl auf Holz, 38 x 131 x 135 cm, Fotografie.

Abb. 1115: Jesse Reiser und Nanako Umemoto, Yokohama International Port Terminal, Japan, Entwurf 1994. Lasergeschnittenes Präsentationsmodell (ohne Dachdeckung) mit Umgebung, Nordwestseite, Fotografie.

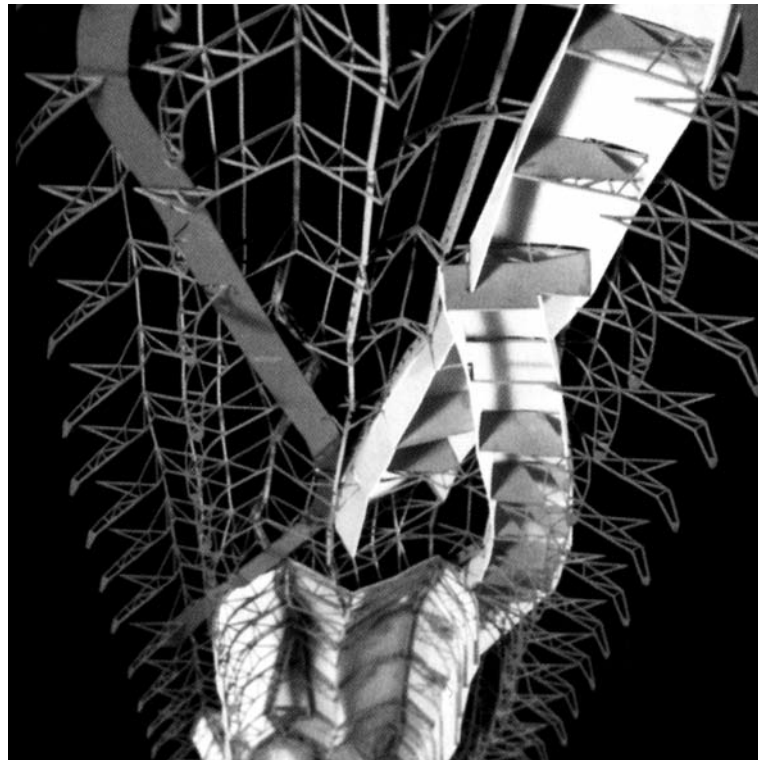


Abb. 1116: Constant A. Nieuwenhuys, New Babylon, 1957–74. Grote gele sector (Large Yellow Sector), 1967. Modell aus Metall (Eisen, Aluminium, Kupfer), Plexiglas und Öl auf Holz, 38 x 131 x 155 cm, Fotografie (Ausschnitt).

Abb. 1117: Jesse Reiser und Nanako Umemoto, Yokohama International Port Terminal, Japan, Entwurf 1994. Lasergeschnittenes Präsentationsmodell der Dachstruktur (Ausschnitt), Nordostseite, Untersicht, Fotografie.



Abb. 1118: Constant A. Nieuwenhuys, New Babylon, Entwurf 1957–74. Spatiovore (Space Eater), 1959. Modell aus Metall, Tinte auf Plexiglas, Farbe auf Holz, 65 x 90 x 65 cm, Fotografie.

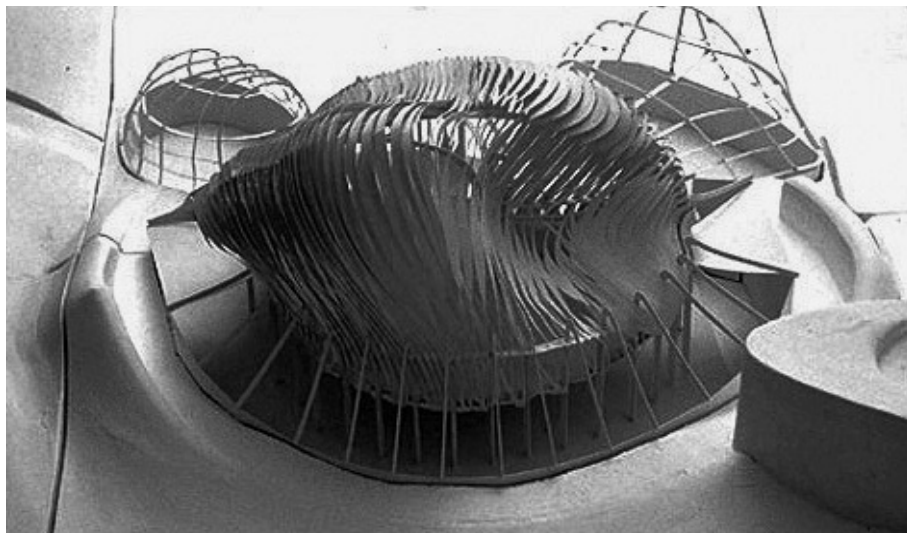
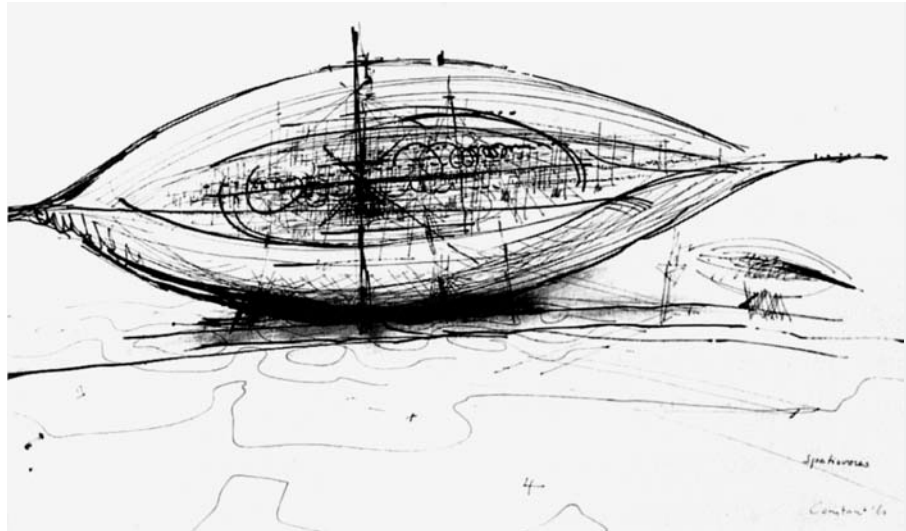


Abb. 1119: Constant A. Nieuwenhuys, New Babylon, Entwurf 1957–74. Spatiovore (Space Eater), 1961. Zeichnung, Tinte auf Papier, 45,1 x 65,1 cm.

Abb. 1120: Greg Lynn, Embryological House, Entwurf 1997–2001. Prototypisches Modell, angefertigt mit computergesteuerter Schneidemaschine, Fotografie.

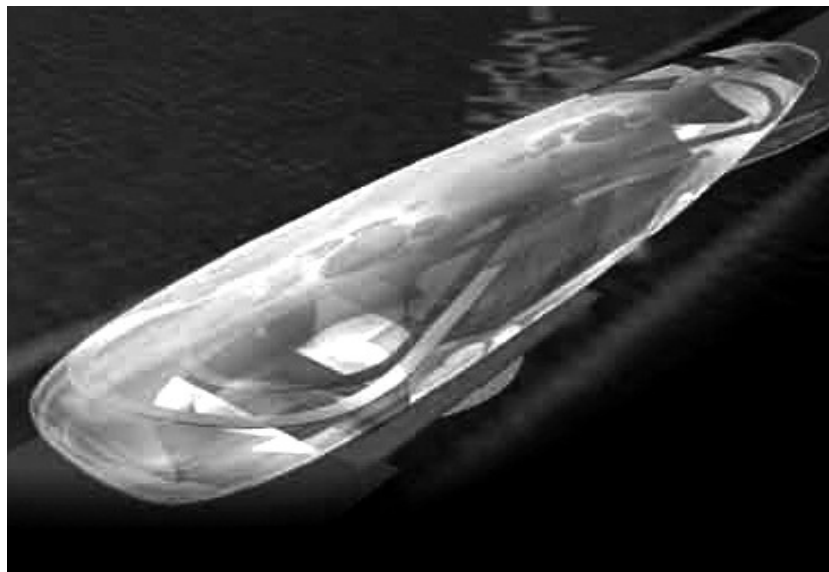
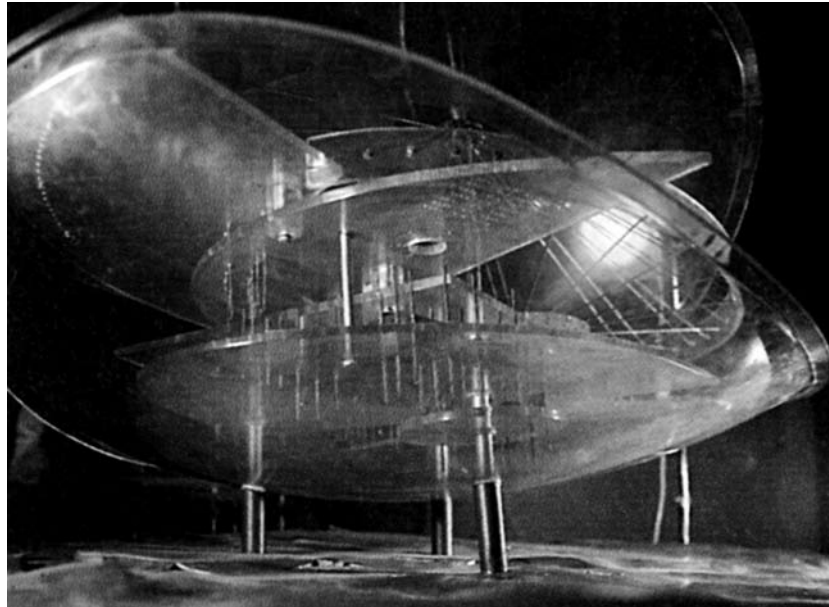


Abb. 1121: Constant A. Nieuwenhuys, New Babylon, Entwurf 1957–74. Spatiovore (Space Eater), 1959. Modell aus Metall, Tinte auf Plexiglas und Farbe auf Holz, 65 x 90 x 65 cm, Fotografie.

Abb. 1122: Ben van Berkel, Yokohama International Port Terminal, Japan, Entwurf 1994. 3D-Modell, Perspektive, Nordseite, Computerrendering.

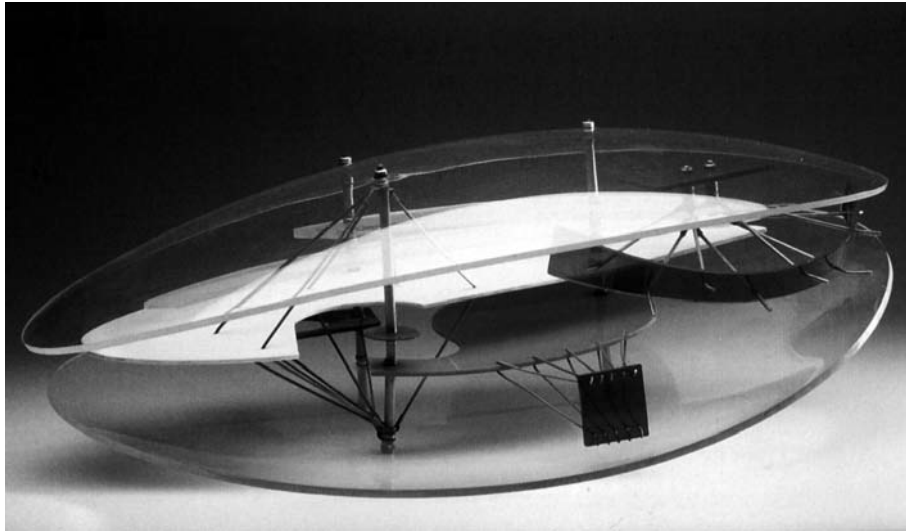


Abb. 1123: Constant A. Nieuwenhuys, New Babylon, Entwurf 1957–74. Spatiovore (Space Eater), 1959, Modell aus Stahl, Holz und Acrylglas, 52,2 x 130,5 x 68,2 cm, Fotografie.

Abb. 1124: ABB Architekten & Bernhard Franken, The Bubble BMW, Pavillon auf der Internationalen Automobil-Ausstellung, Frankfurt am Main, Deutschland, 1999. Fotografie.

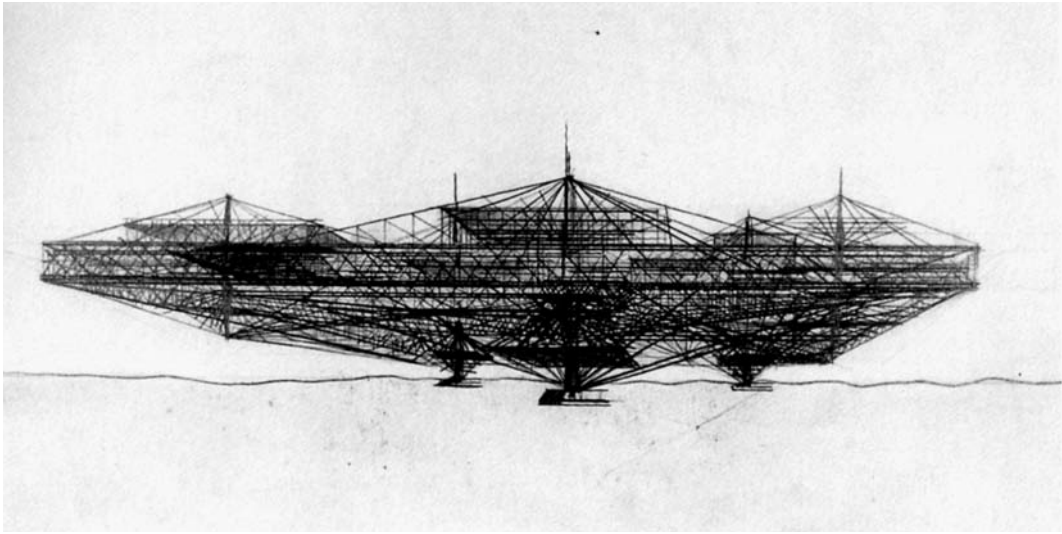


Abb. 1125: Constant A. Nieuwenhuys, New Babylon, Entwurf 1957–74. Schets voor zelfdragende sectorconstructie (Sketch for Self-supporting Sectorconstruction), 1964. Bleistift auf Papier, 45 x 62,5 cm.

Abb. 1126: Elizabeth Diller und Ricardo Scofidio, Blur Building, Pavillon auf der *Expo.02* (6. Schweizer Landesausstellung), Yverdon-les-Bains, Schweiz, 2000–02. Fotografie.

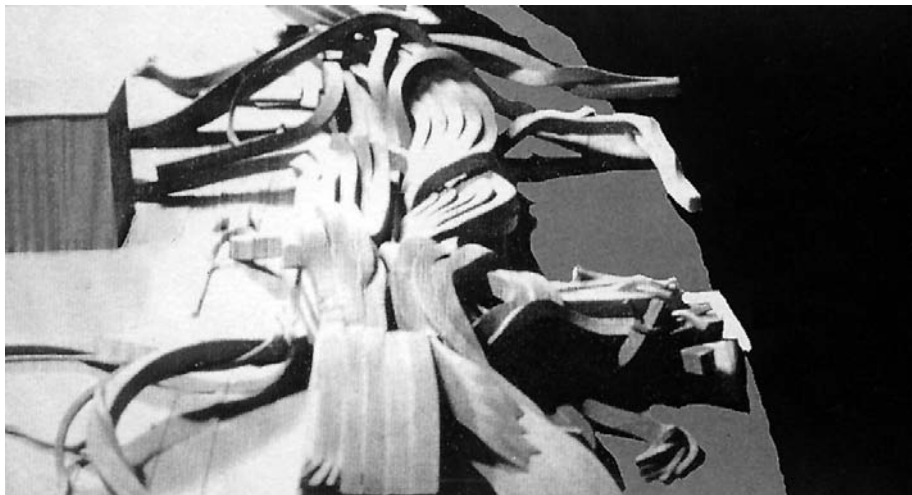


Abb. 1127: Hans Matthäus Bachmayer/GEFLECHT, Antiobjekt, 1965/66. Wandobjekt aus farbig bemaltem Holz, 150 x 180 x 30 cm, Fotografie.

Abb. 1128: Greg Lynn, Stranded Sears Tower, Chicago/Illinois, USA, Entwurf 1992. Präsentationsmodell mit Umgebung, Westseite, Fotografie.

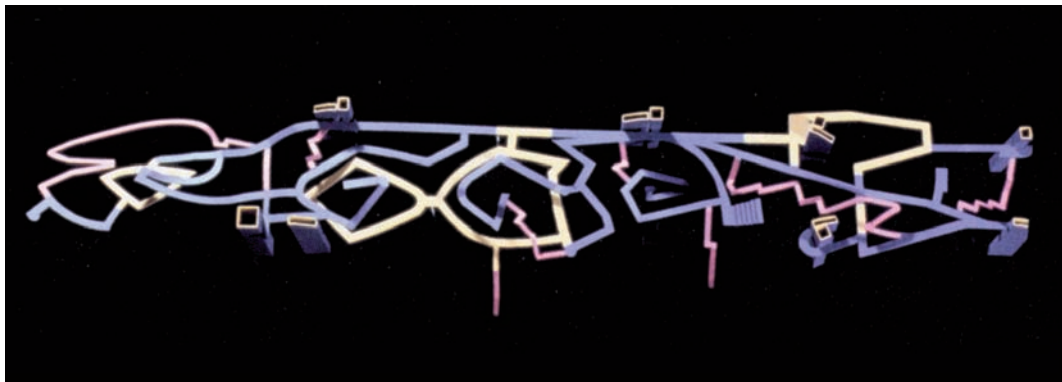


Abb. 1129: Heino Naujoks und Helmut Sturm/GEFLECHT, Schiff, 1965/66. Wandobjekt aus farbig bemaltem Holz und Metallstäben, ca. 120 x 360 x 70 cm (zerstört), Fotografie.

Abb. 1130: Jesse Reiser und Nanako Umemoto, Yokohama International Port Terminal, Japan, Entwurf 1994. Modell der Verkehrswege, Aufsicht, Fotografie.

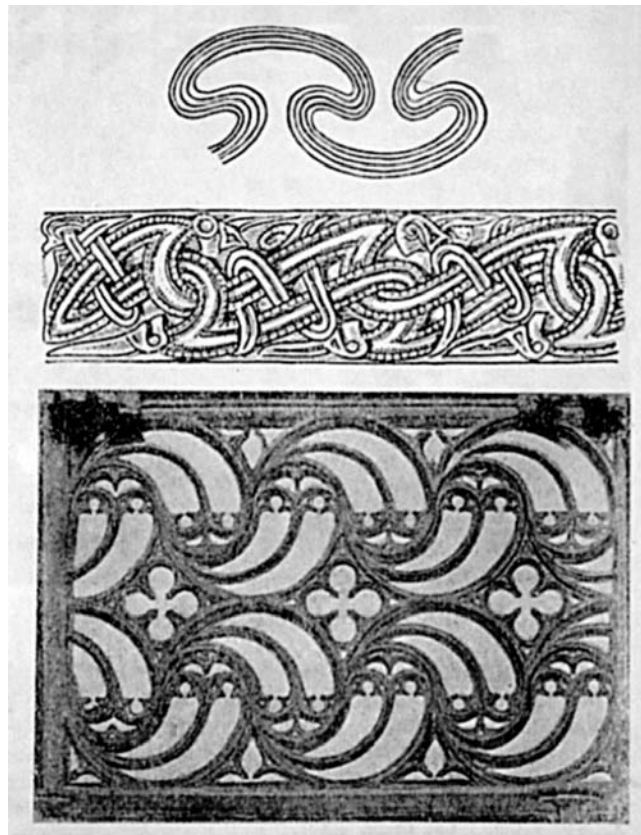


Abb. 1131: „Ornamentale Fugen“: nordische Bronzezeit, germanische Tierornamentik und Gotik, abgebildet in: F. Adama van Scheltema, Die Kunst des Barock (= Kunst des Abendlandes, Bd. 4), Stuttgart 1958.

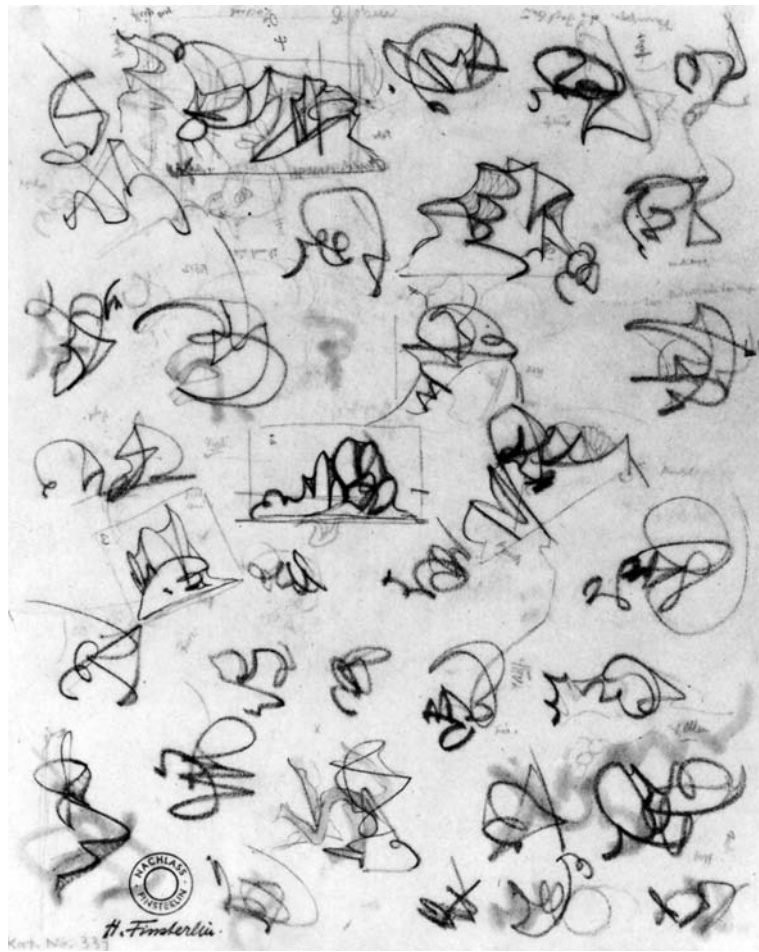


Abb. 1132: Hermann Finsterlin, Skizzen (recto und verso), um 1920, später bearbeitet. Bleistift, rote Kreide auf Transparentpapier, 32,0 x 25,5 cm.

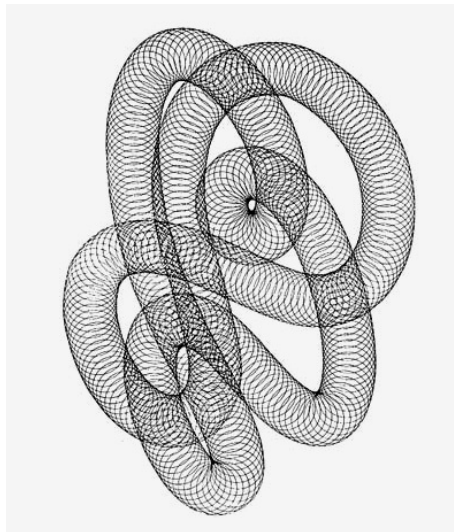
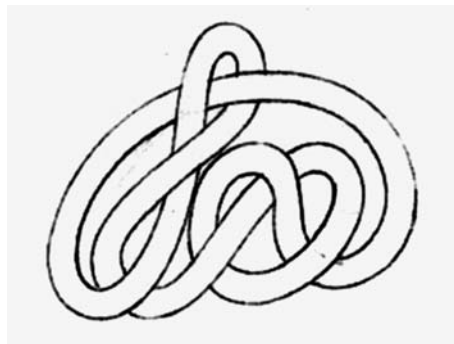
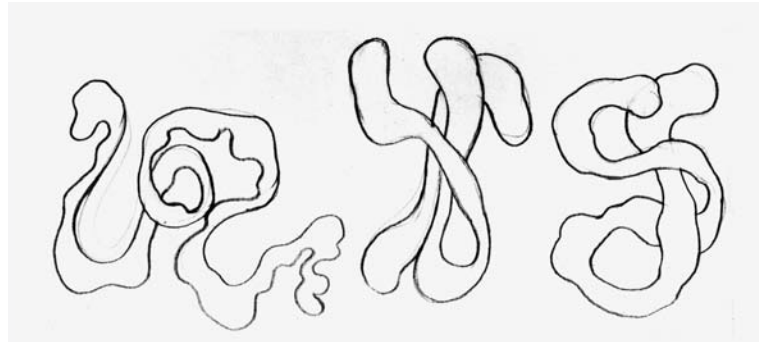


Abb. 1133: Jakov Cernichov, Skizzen aus *Graficeskie kroki dlja estestvennykh nauk* (Grafische Skizzen zu den Naturwissenschaften), 1923. Zeichnung, Bleistift, Tinte auf Papier, 20,1 x 25,3 cm.

Abb. 1134: Jakov Cernichov, Skizze aus *Graficeskie kroki dlja estestvennykh nauk* (Grafische Skizzen zu den Naturwissenschaften), 1923. Zeichnung, Bleistift, Tinte auf Papier, 20,1 x 25,3 cm.

Abb. 1135: Jakov Cernichov, Ornament, 1915–27. Zeichnung, Tinte auf Papier.

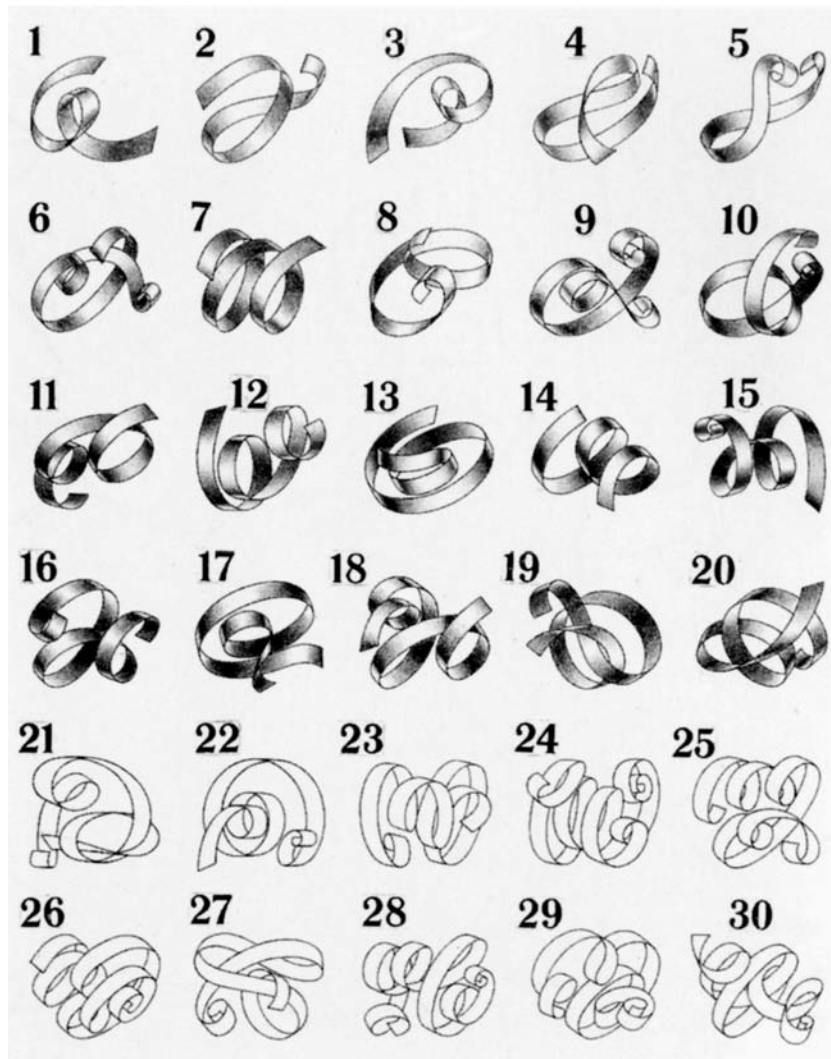


Abb. 1136: Jakov Cernichov, Grafische Untersuchungen, 1940er Jahre. Zeichnung, Bleistift und Tinte auf Papier.



Abb. 1137: Jakov Cernichov, Wiedergabe von Drehung und Umfassung bei komplex gekrümmten Körpern mit dynamischen Merkmalen. Zeichnung aus *Konstruktion der Architektur und Maschinenformen*, Leningrad, 1931.

Abb. 1138: Jakov Cernichov, Darstellung der komplizierten Verflechtung eines gebogenen Stabes mit kreisförmigem Schnitt. Zeichnung aus *Konstruktion der Architektur und Maschinenformen*, Leningrad, 1931.

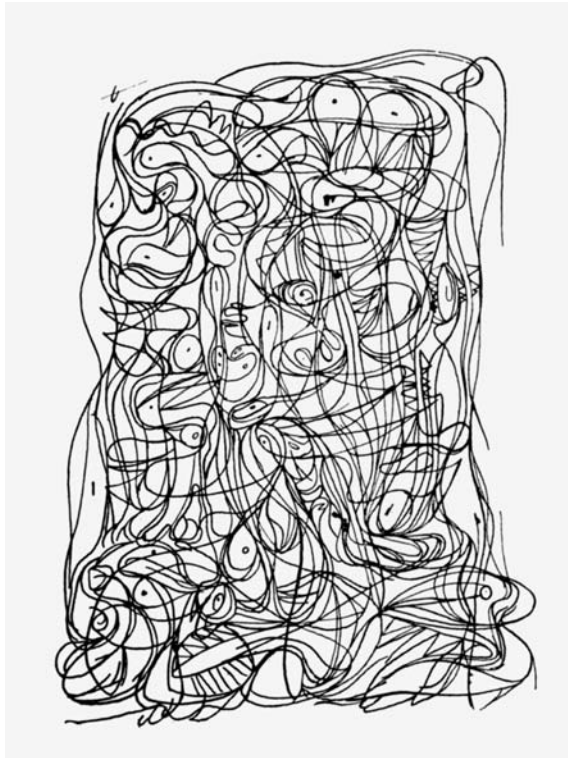
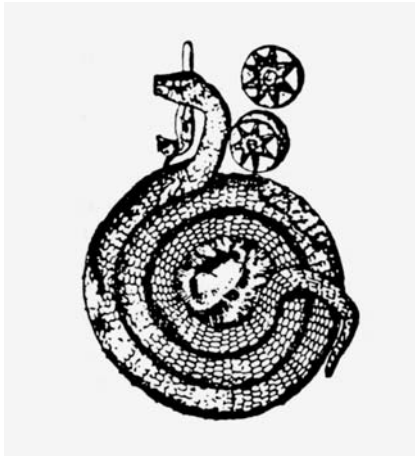


Abb. 1139: Gruppenzeichen von CoBrA, abgebildet in: Cobra, Nr. 4, 1949, Umschlag hinten.
Abb. 1140: Asger Jørn, Automatic Drawing, 1946. Zeichnung.

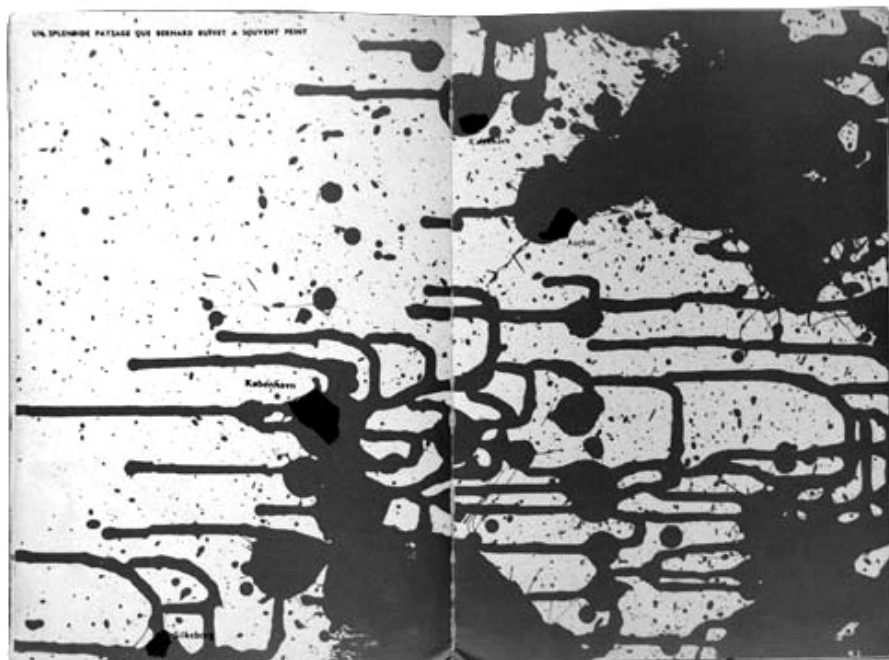


Abb. 1141: Asger Jørn und Guy-Ernest Debord, Doppelseite aus *Fin de Copenhague*, Publikation der Situationistischen Internationale, 1957. Collage.

Abb. 1142: Doppelseite aus *Fin de Copenhague*, 1957. Collage.



Abb. 1143: Hans M. Bachmayer, Reinhold Heller und Helmut Rieger/GEFLECHT, Antiobjekt, 1966. Wandobjekt aus farbig bemaltem Draht und Eisenblech, 155 x 250 x 60 cm, Fotografie.

Abb. 1144: GEFLECHT, Antiobjekt für die Ausstellung *Labyrinthe*, Berlin, 1966. Gemeinschaftsarbeit, Wandobjekt aus farbig bemaltem Draht und Eisenblech, 230 x 460 x 95 cm (zerstört). Fotografie.

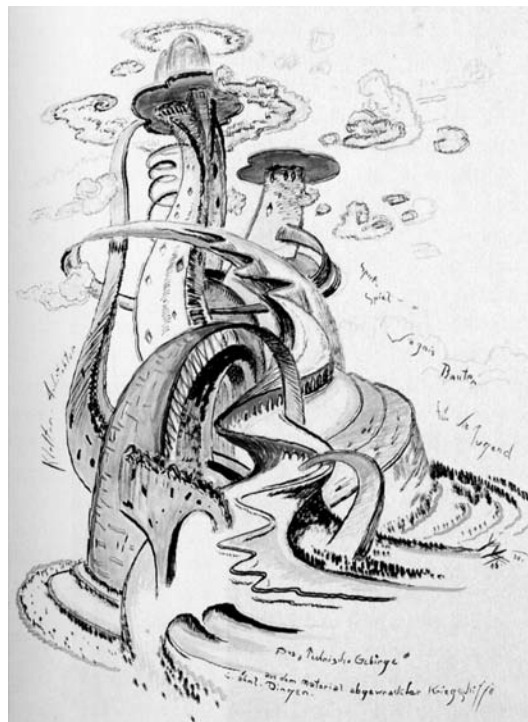
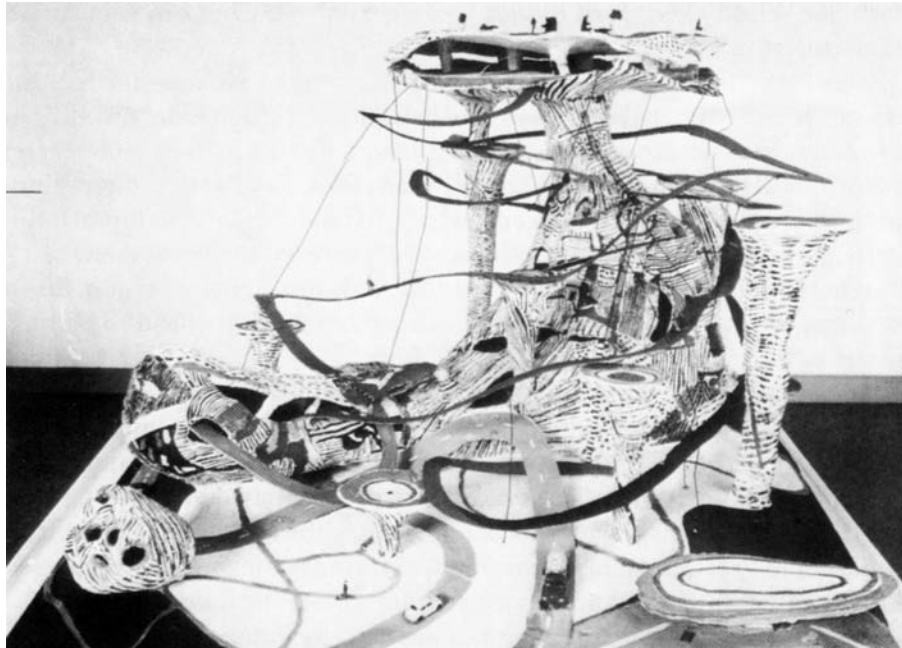


Abb. 1145: SPUR, SPUR-Bau, Entwurf 1963. Gemeinschaftsarbeit, Modell aus farbig bemaltem Karton und Metallstäben, 90 x 90 x 60 cm, Maßstab 1:87, Fotografie.

Abb. 1146: Wenzel Hablik, Sport – Spiel – Wagnis – Bauten für die Jugend. Das Technische Gebirge aus dem Material abgewrackter Kriegsschiffe u. ähnl. Dinge, Entwurf 1916/20. Tusche, Aquarell und Bleistift, 64,4 x 47,4 cm.



Abb. 1147: Hans M. Bachmayer und Renate Bachmayer/GEFLECHT, Urbanistische Struktur, 1966. Tischobjekt aus farbig bemaltem Holz, 117 x 160 x 59 cm, Fotografie.

Abb. 1148: Helmut Rieger/GEFLECHT, Urbanistische Struktur, 1966. Objekt aus farbig bemaltem Karton und Metallstäben, 80 x 92 x 21 cm (zerstört), Fotografie.

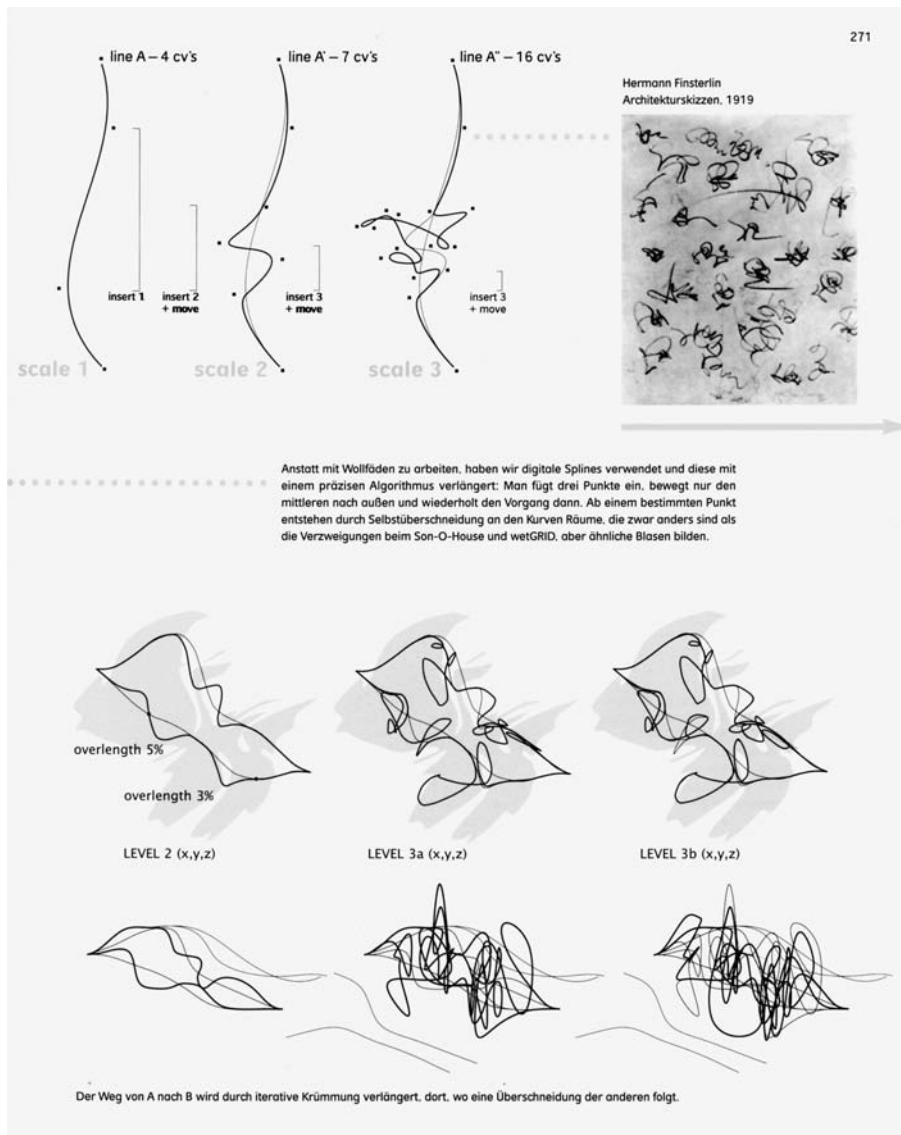


Abb. 1149: Lars Spuybroek/NOX, La Tana di Alice. Pavillon „Alice im Wunderland“, „Pinopoli“, Erweiterung des Pinocchio-Parks in Collodi, Italien, 2001. Darstellung der digitalen Formbildung mit Skizzenblatt von Hermann Finsterlin, abgebildet in: Lars Spuybroek, NOX: Machining Architecture, München 2004, S. 271.



Abb. 1150: Hermann Finsterlin, Vor dem aufgereihten (?) Weg – Skizzen (recto und verso), um 1920. Bleistift auf Transparentpapier, 32,0 x 25,5 cm.

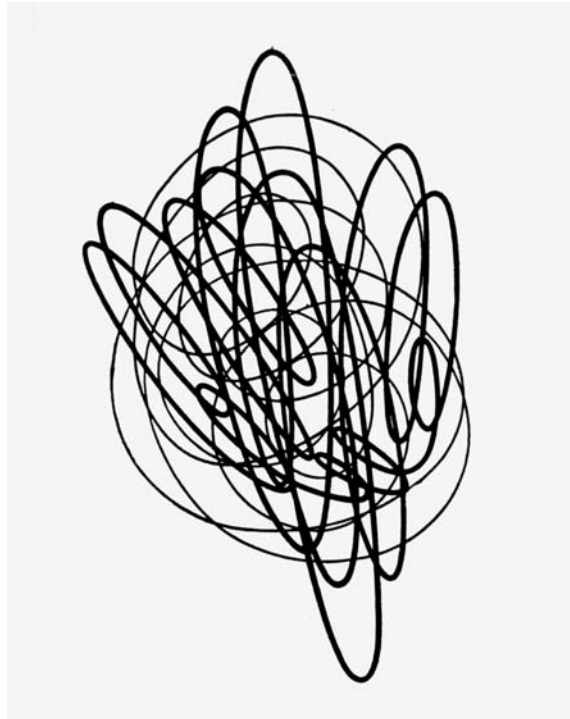


Abb. 1151: Jakov Cernichov, Komposition aus geschlossenen Kurven mit dynamischen Merkmalen (experimentelle Aufgabe), Zeichnung aus *Konstruktion der Architektur und Maschinenformen*, Leningrad, 1931.

Abb. 1152: Lars Spuybroek/NOX, La Tana di Alice. Pavillon „Alice im Wunderland“, „Pinopoli“, Erweiterung des Pinocchio-Parks in Collodi, Italien, Entwurf 2001. Studie, Verlängerung von digitalen *Splines* durch iterative Krümmung, Axonometrie, Computerzeichnung.

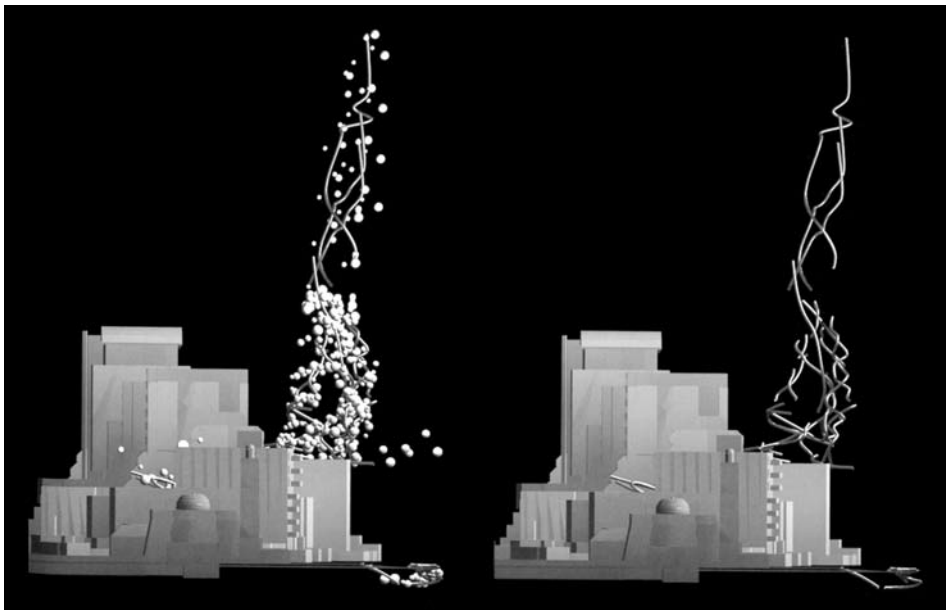


Abb. 1153: Jakov Cernichov, Komposition aus komplex gekrümmten Körpern mit dynamischen Merkmalen, Zeichnung aus *Konstruktion der Architektur und Maschinenformen*, Leningrad, 1931 (invertiert von der Verf.).

Abb. 1154: Lars Spuybroek/NOX, Beachness, Entwicklungsprojekt für ein Strandhotel und eine Promenade, Noordwijk, Niederlande, Entwurf 1997. Ansichten der Linienstruktur mit und ohne Kugelkörpern, Computerrenderings.

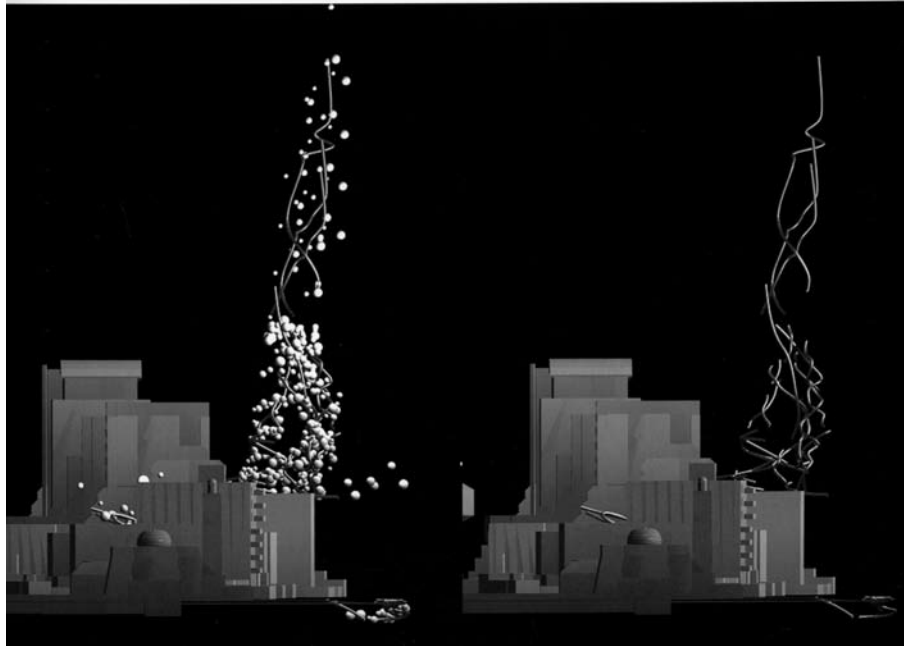
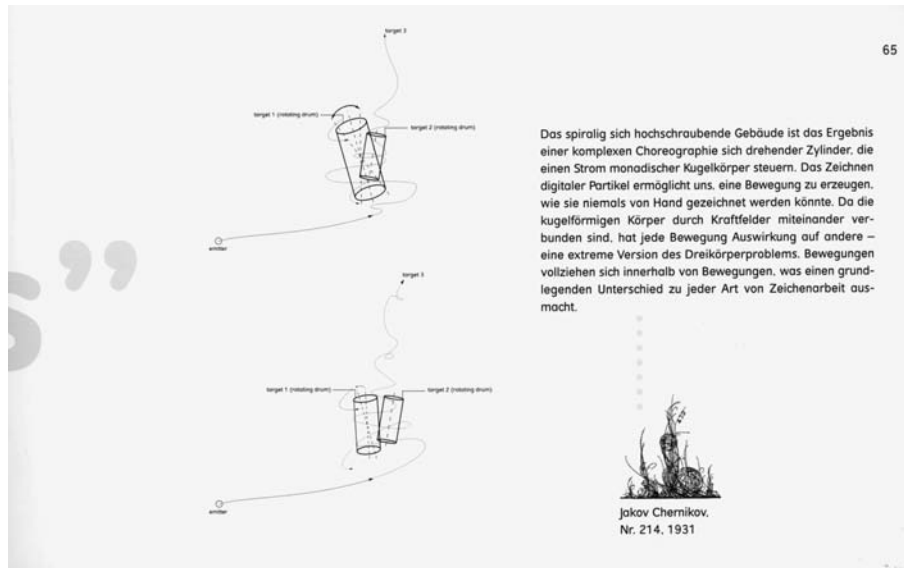


Abb. 1155: Lars Spuybroek/NOX, Beachness, Entwicklungsprojekt für ein Strandhotel und eine Promenade, Noordwijk, Niederlande, Entwurf 1997. Darstellung der digitalen Formbildung mit Zeichnung von Jakov Cernichov, abgebildet in: Lars Spuybroek, NOX: Machining Architecture, München 2004, S. 65.

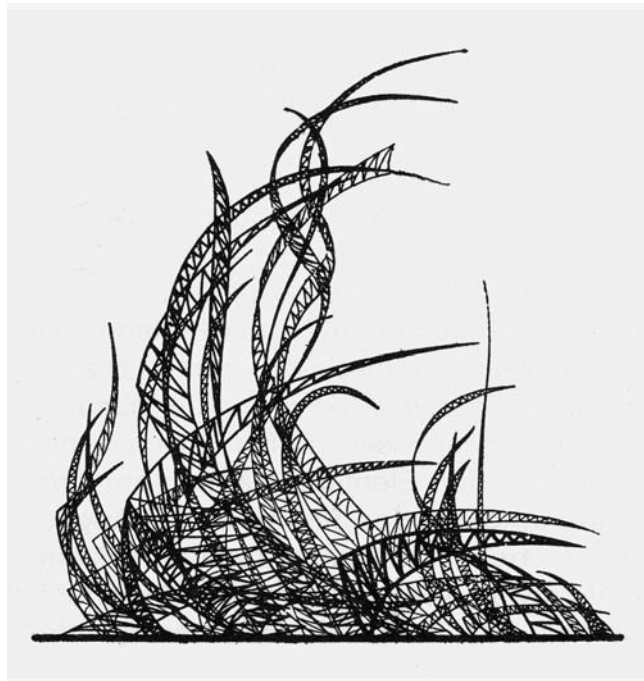
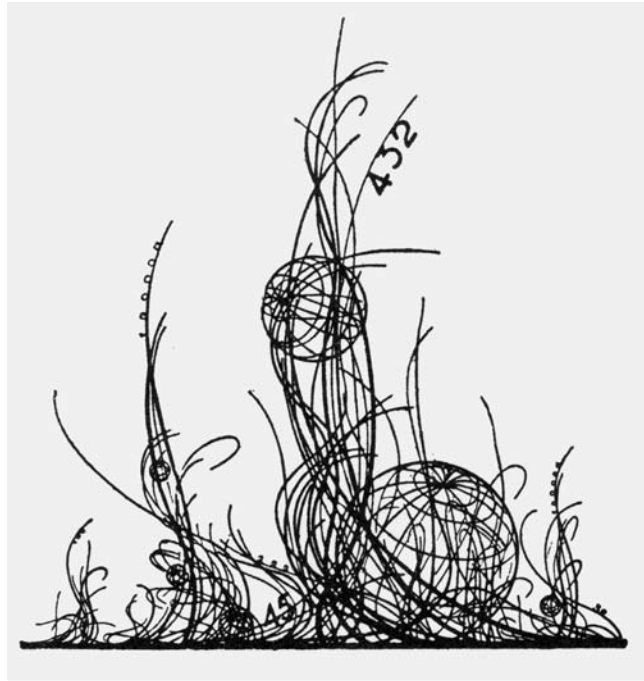


Abb. 1156: Jakov Cernichov, Räumliche Komposition aus Linien (Phantasie), Zeichnung aus *Konstruktion der Architektur und Maschinenformen*, Leningrad, 1931.

Abb. 1157: Räumliche Komposition aus Linien (Phantasie), Zeichnung aus *Konstruktion der Architektur und Maschinenformen*, Leningrad, 1931.

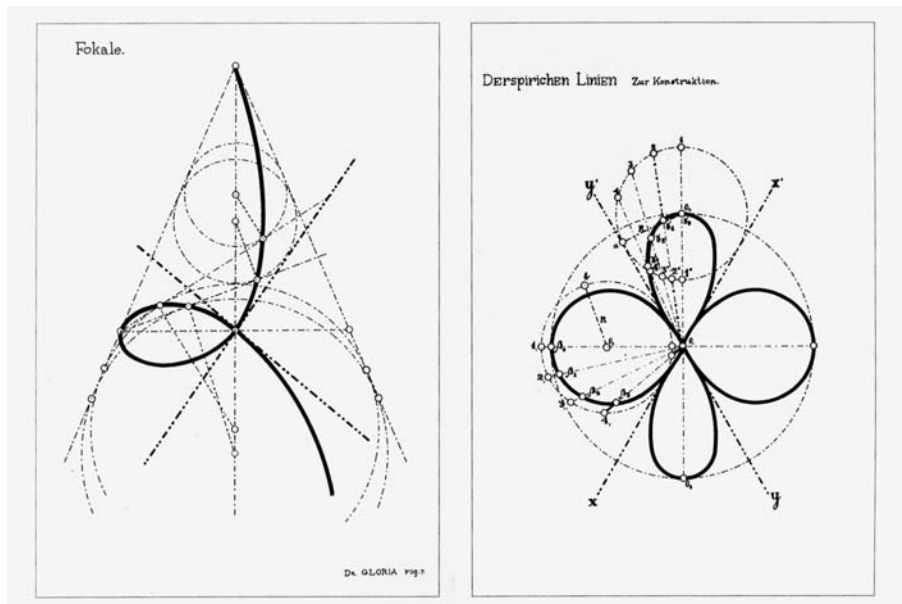
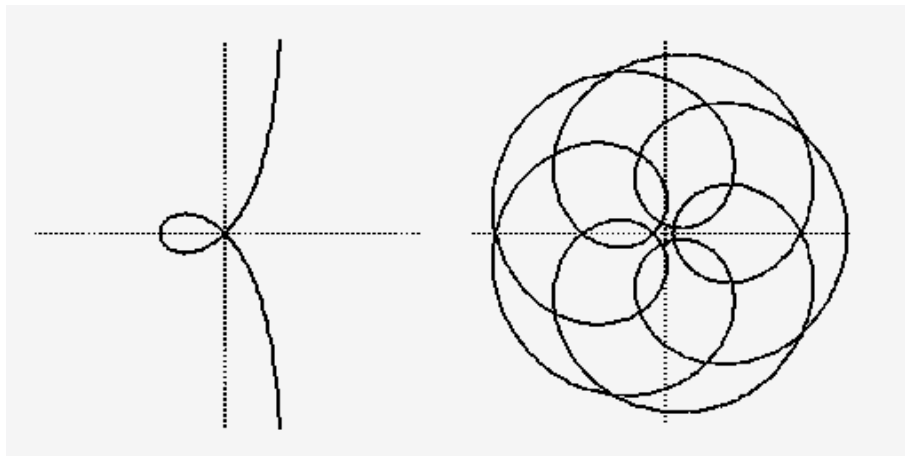


Abb. 1158: Greg Lynn, Algebraische Kurven: Strophoid (links) und Hypotrochoid (rechts), Computerzeichnungen, abgebildet in: Greg Lynn FORM, www.glform.com, Unterseiten „Bleb“ und „Flower“ (Dezember 2006).

Abb. 1159: Jakov Cernichov, Algebraische Kurven, Seiten 3 und 21 aus *Krivyya* (Kurven), St. Petersburg, 1920. Zeichnungen, Tinte auf Papier, 16 x 22,5 cm.



Abb. 1160: Jakov Cernichov, Wiedergabe von Drehung und Umfassung bei komplex gekrümmten Körpern mit dynamischen Merkmalen, Zeichnung aus *Konstruktion der Architektur und Maschinenformen*, Leningrad, 1931.

Abb. 1161: Greg Lynn, Stranded Sears Tower, Chicago/Illinois, USA, Entwurf 1992. Präsentationsmodell mit Umgebung (Ausschnitt), Aufsicht, Fotografie.

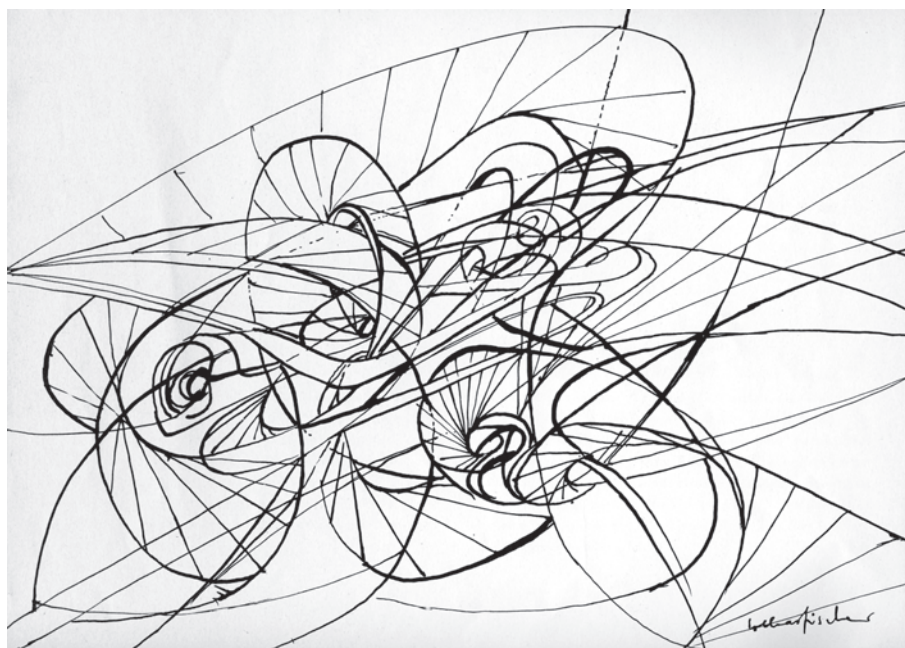
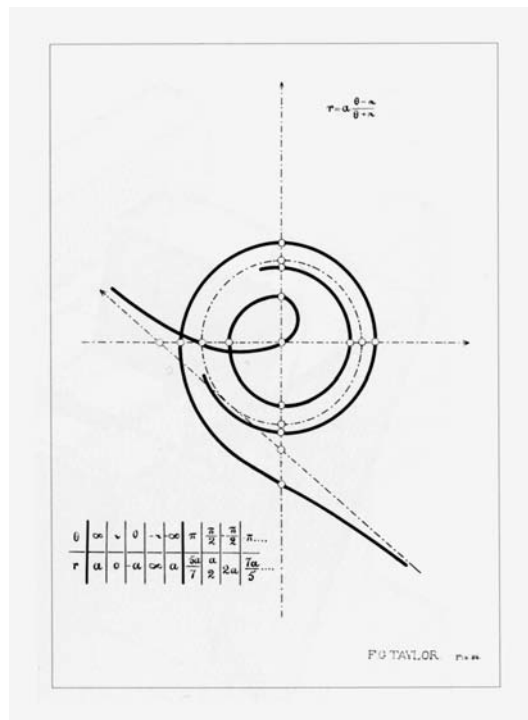


Abb. 1162: Jakov Cernichov, Algebraische Kurve, Seite 4 aus *Krivyyja* (Kurven), St. Petersburg, 1920. Zeichnung, Tinte auf Papier, 16 x 22,5 cm.
Abb. 1163: Lothar Fischer/GEFLECHT, Zeichnung, 1965/66.

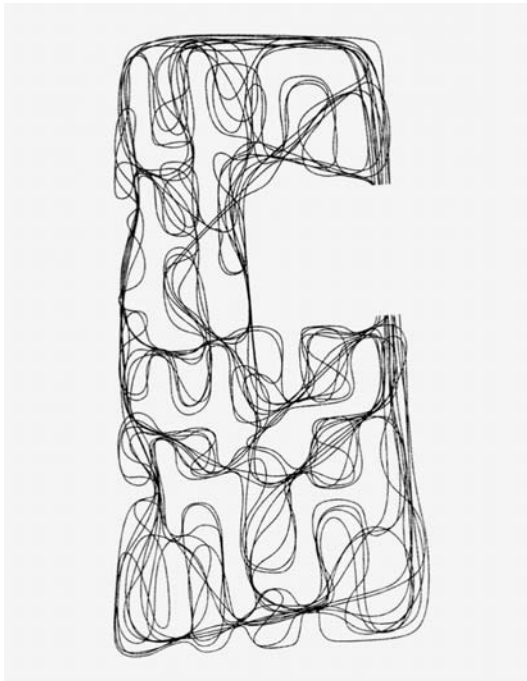
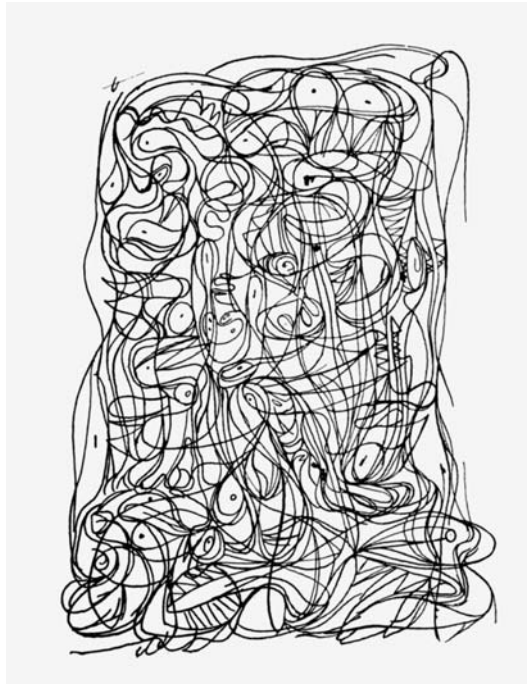


Abb. 1164: Asger Jørn, Automatic Drawing, 1946. Zeichnung.

Abb. 1165: Ben van Berkel und Caroline Bos/UN Studio, Museum Het Valkhof, Nijmegen, Niederlande, 1995–98. Grundrisskizze der Zirkulationsschleifen.

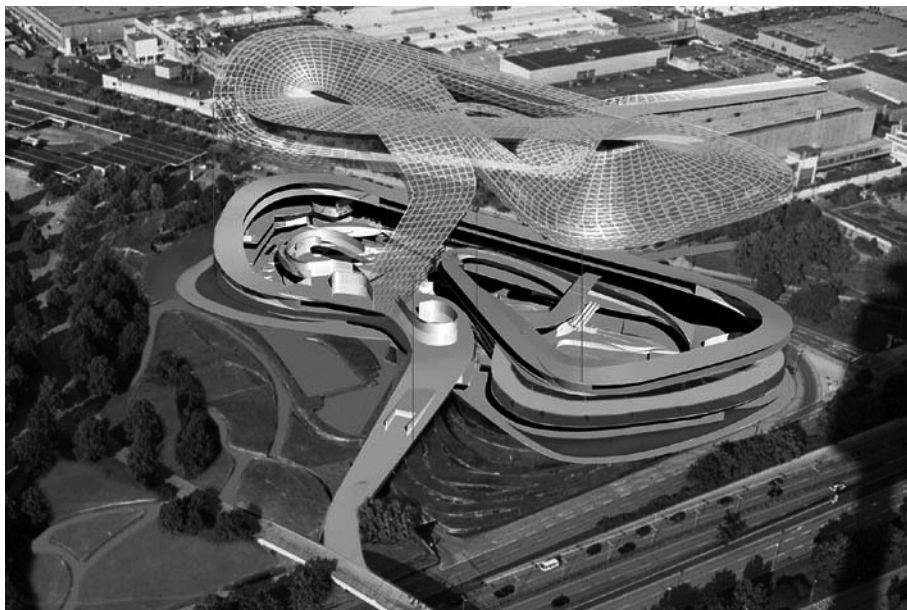


Abb. 1166: Helmut Rieger/GEFLECHT, Urbanistische Struktur, 1966. Objekt aus farbig bemaltem Karton und Metallstäben, 80 x 92 x 21 cm (zerstört), Fotografie.

Abb. 1167: Jesse Reiser und Nanako Umemoto, BMW Event and Delivery Center, München, Entwurf 2001. 3D-Modell der Gebäudeform mit abgehobener Dachstruktur in Umgebung, Montage aus Computerrendering und Luftfotografie (Ausschnitt).



Abb. 1168: Jesse Reiser und Nanako Umemoto, Switchback road – a primary complexity. Fotografie, abgebildet in: Jesse Reiser, *Solid-State Architecture*, 1998.

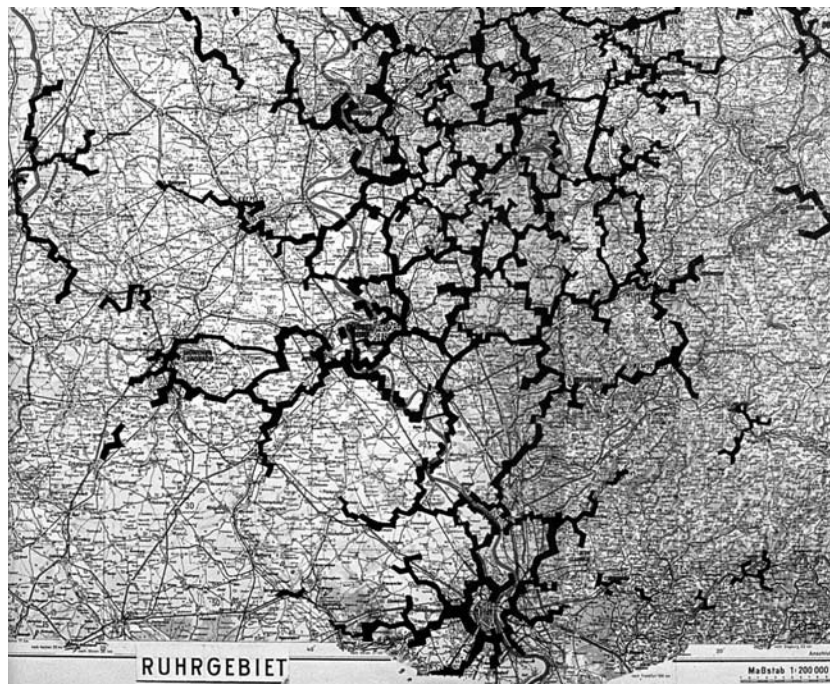


Abb. 1169: Lars Spuybroek/NOX, Paris Brain. Transurbaner Plan für das Gebiet westlich von La Défense, Paris, Frankreich, Entwurf 2001. Studie „New Structure“, Computerzeichnung auf Stadtplan.

Abb. 1170: Constant A. Nieuwenhuys, New Babylon, Entwurf 1957–74. Ruhrgebiet, 1963. Zeichnung, Tusche auf Landkarte, 52,5 x 63,5 cm.



Altkatholisches Dorf

Rhein-Kauffhaus
Lengen, Niegens, 2000

ParisBRAIN

ParisBRAIN

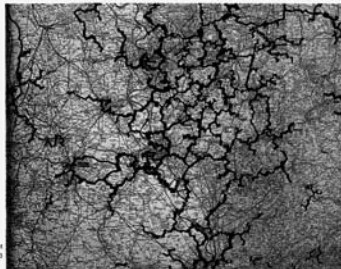
Transurbanner Plan für das Gebiet westlich von La Défense, Paris.
Entwicklungsprojekt für die Ausstellung „Expériences d'urbanisme“ im Institut
Néerlandais, Paris, 2001

Die Ausstellung zu Visionen des Städtebaus umfasste Arbeiten wie Constant's New Babylon, Aldo van Eyck's Waisenhaus, Piet Blom's Kasbah, Theo van Doesburg's Kubette und das Yokohama Project von OMA/Ren Koolhaas. Wir haben diese historischen Optionen und ihre Beziehung zum frühen Situationismus sowie zu Phänomenen unserer Zeit wie Globalisierung, Migration und Transnationalismus untersucht.

Wir haben die Beziehung zwischen Action Painting und psychogeographischer Kartierung als Mittel, intensive Entwürfsverfahren zu entwickeln, in unsere Überlegungen einbezogen. Obwohl die geistliche Bewegung der Situationisten, der „Schritt zum System“ sich von Jackson Pollocks gestochener Drip-Technik unterscheidet, hinterlassen beide Spuren, bei Pollock als System von Wegen, während Guy Debord versuchte, vom Weg weg zu kommen und eine Spur zu legen. Für Pollock war für Debord ist die Vorstellung von Landschaft entscheidend, seien es Linien, die sich zu einem komplexen Netz fügen, sei es ein psychogeographischer Raum, in dem das Gitter durch flüchtige Linien kurzgeschlossen wird.

Um optimale Wegsysteme zu erhalten, verwendeten wir in unserem rechnergestützten Verfahren Frei Otto's Wolffoden-Technik, doch in etwas anderer Form als bei früheren Projekten (siehe: SOU Office, oblique/OTC).

A. Sprachlandschaft: Statt ein horizontales Wolffodenmodell mit einem offenen Ring herauszubilden, ließen wir bewegliche, zusammenlaufende Linien mit einer glatten, röhrenförmigen Interaktion, mit einer transparenten Perspektive, deren Form das Konvergieren und Gabeln der Wolffoden beeinflusst. Wir definierten die Fläche in vertikaler Ebene zu einer Landschaft, die die Abtaufgeschwindigkeit des Wassers beeinflusst, wenn das System aus einem Touchpod kam. Die Geographie sollte eine Aufzeichnung der kollektiven Bewegungen der Einwohner sein. Um dafür Informationen zu erhalten, führten wir Interviews zu Sprache und Bewegungen und ordneten die Personen nach ihrer „Sprachweise“ – Sprache, Dialekt, Akzent, jargon, die Sprache von Bonheim, Arabern, Siamen, Taiwan, Kopenhagen, Kuba und so fort. Das Ergebnis war eine Struktur von

Constant
New Babylon/Ruhrgebiet, 1963

2001 habe ich René Koolhaas zu seinen Reuschen in Lagos befragt (veröffentlicht als „Africa Comes First“). Seine flexiblen Strukturen in Wasser oder risiger Märkte entlang der Autobahn lösten die starke Interesse an Selbstorganisation als einem Aspekt des Städtebaus erkennen. Selbstorganisation sei für ihn wichtig, aber nur in Kombination mit Organisation, mit Planung, nicht um diese zu ersetzen. Die Frage ist dann, wie diese Systeme miteinander kooperieren und voneinander profitieren können. Viele Fotos zeigen, wie Autobahnen oder Straßen plötzlich ohne Funktion sind, in ein Feld aus Sand oder Wasser übergehen, zu etwas anderem werden. Diese müssen die Grenzen zwischen Linie-Autobahn und Feld-Fläche umgrenzen und öffnen sein.

Für Debord war Flüssigkeit eine flüchtige Linie-Igor, für Pollock hatte sie mehr Struktur, denn die Spuren mussten sich miteinander verspannen, um eine Fläche-Landschaft zu bilden. Constant legte Strukturen zwischen starr und flüssig, zwischen ungeplant und geplant. Frei Otto entwickelte Frei Otto's präzise Techniken und Methoden, um dazwischen Mischungen von Offenen und Ausgerichtetem, von Fläche und Linie zu erzeugen.

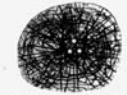
Guy Debord mit Asger Jørn
Mémoires, 1959Jackson Pollock
Autumn Rhythm, 1950S. 114
S. 219
S. 302Round Etching with Three Holes,
1958

Abb. 1171: Lars Spuybroek/NOX, Paris Brain. Transurbanner Plan für das Gebiet westlich von La Défense, Paris, Frankreich, Entwurf 2001. Projektdarstellung mit Abbildungen der Vorbilder: Constant, New Babylon/Ruhrgebiet (1963), Guy Debord und Asger Jørn, Mémoires, (1959), Jackson Pollock, Autumn Rhythm (1950), Frei Otto, Minimiertes Umwegenetz (1995) und Constant, Round Etching with Three Holes (1958), abgebildet in: Lars Spuybroek, NOX: Machining Architecture, München 2004, S. 246 f.

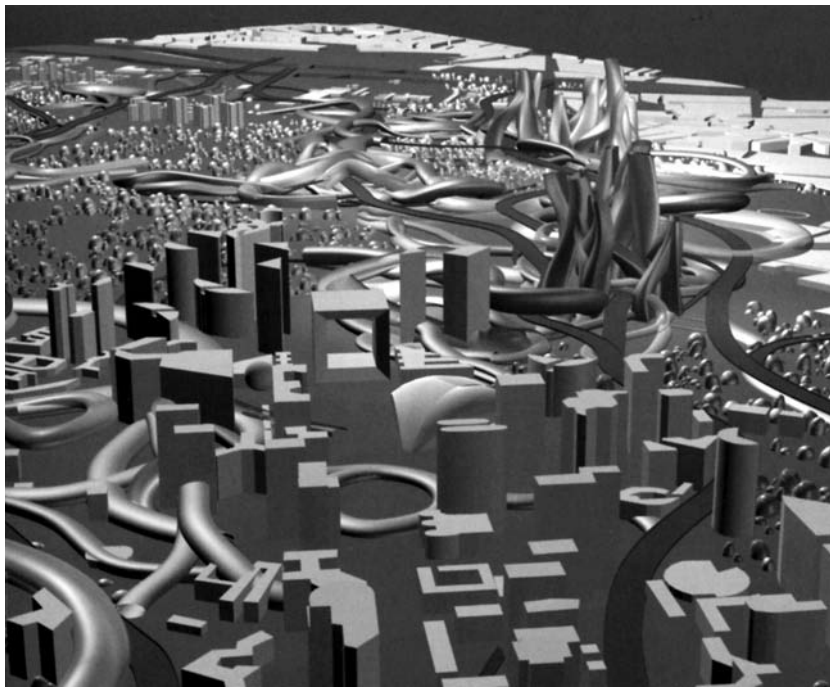


Abb. 1172: Lars Spuybroek/NOX, Paris Brain. Transurbaner Plan für das Gebiet westlich von La Défense, Paris, Frankreich, Entwurf 2001. Digitales Lageplanmodell, Aufsicht, Computerrendering.

Abb. 1173: Digitales Lageplanmodell, Perspektive, Blick von La Défense in Richtung Nanterre, Computerrendering (Ausschnitt).

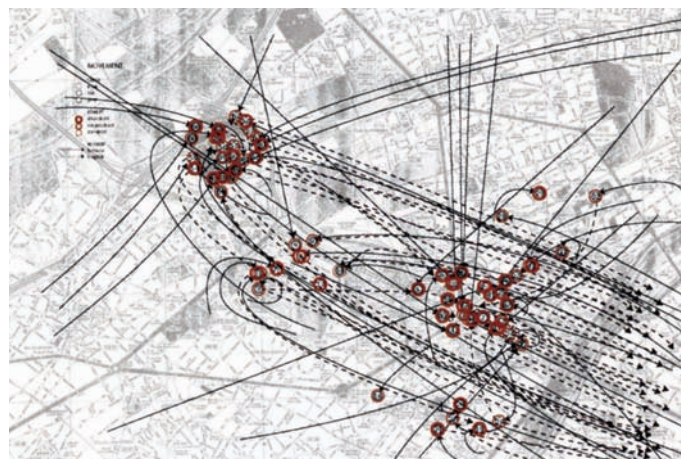
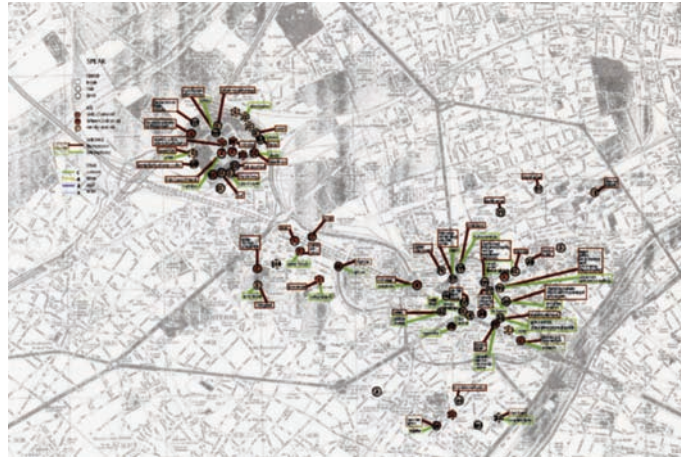


Abb. 1174: Lars Spuybroek/NOX, Paris Brain. Transurbaner Plan für das Gebiet westlich von La Défense, Paris, Frankreich, Entwurf 2001. Studie „Speak“, Computerzeichnung auf Stadtplan.
 Abb. 1175: Studie „Speak Movement“, Computerzeichnung auf Stadtplan.
 Abb. 1176: Studie „Movement“, Computerzeichnung auf Stadtplan.



Abb. 1177: Guy-Ernest Debord und Asger Jørn, The Naked City, 1957. Siebdruck.

Abb. 1178: Lars Spuybroek/NOX, Paris Brain. Transurbaner Plan für das Gebiet westlich von La Défense, Paris, Frankreich, Entwurf 2001. Studie „Speak Forces“, Computerzeichnung auf Stadtplan.

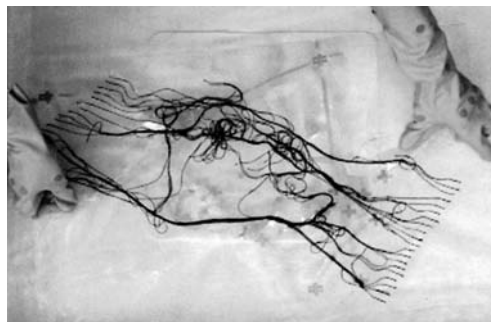
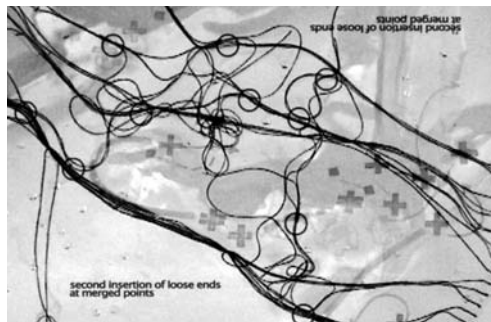
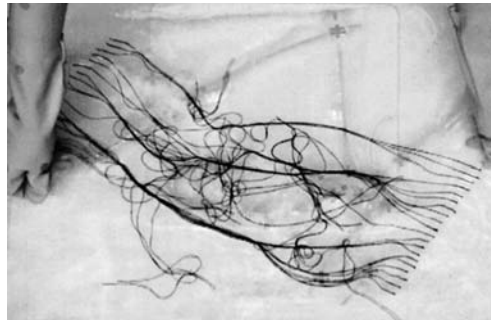
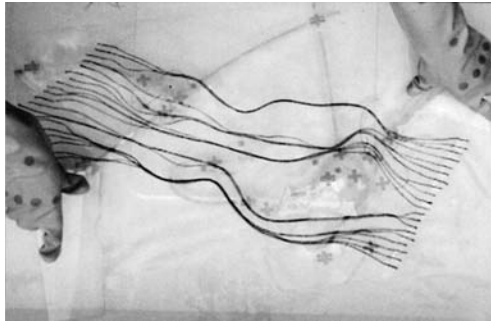


Abb. 1179: Lars Spuybroek/NOX, Paris Brain. Transurbaner Plan für das Gebiet westlich von La Défense, Paris, Frankreich, Entwurf 2001. Studie mit 20 Wollfäden auf verformter Perspexplatte, in Wasser getaucht, Fotografie.

Abb. 1180: Verhedderung der Wollfäden durch Schütteln unter Wasser, Fotografie.

Abb. 1181: Auswählen der Verhedderungen und Verbinden der losen Enden, Fotografie.

Abb. 1182: Erneutes Eintauchen und Schütteln der Wollfäden unter Wasser, Fotografie.

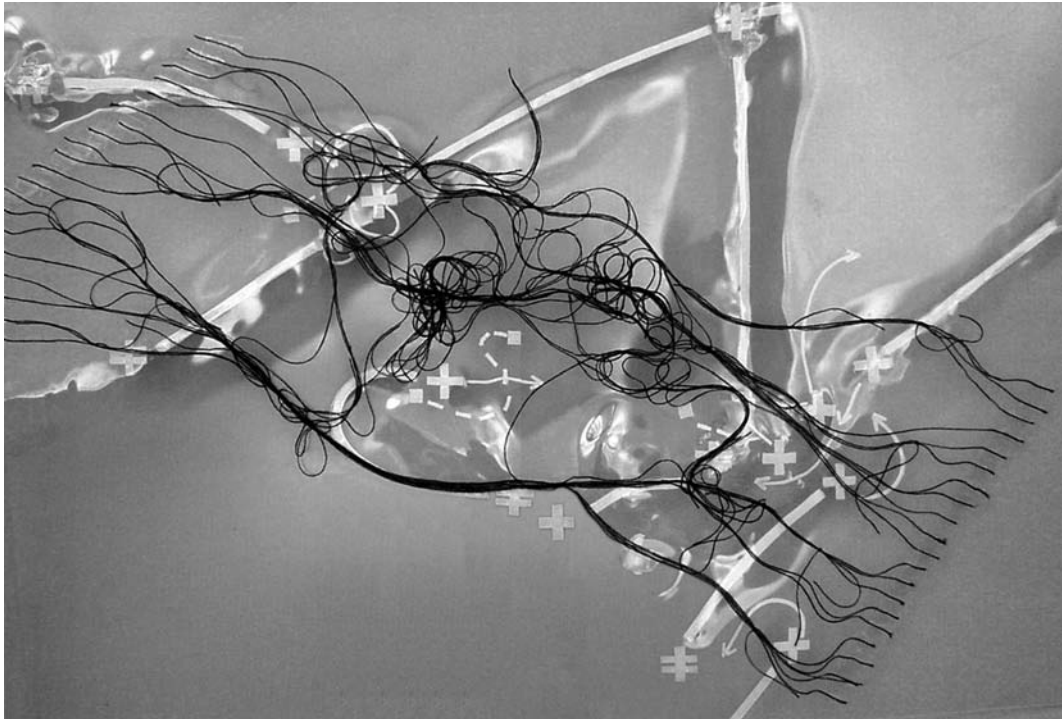


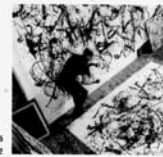
Abb. 1183: Lars Spuybroek/NOX, Paris Brain. Transurbaner Plan für das Gebiet westlich von La Défense, Paris, Frankreich, Entwurf 2001. Studie mit Wollfäden auf verformter Perspexplatte, Fotografie.

2001 habe ich Rem Koolhaas zu seinen Besuchen in Lagos befragt (veröffentlicht als „Africa Comes First“). Fotos flexibler Strukturen in Wasser oder riesiger Märkte entlang der Autobahn lassen das starke Interesse an Selbstorganisation als einem Aspekt des Städtebaus erkennen. Selbstorganisation sei für ihn wichtig, aber nur in Kombination mit Organisation, mit Planung, nicht um diese zu ersetzen. Die Frage ist dann, wie diese Systeme miteinander kooperieren und voneinander profitieren können. Viele Fotos zeigen, wie Autobahnen oder Straßen plötzlich ohne Funktion sind, in ein Feld aus Sand oder Wasser übergehen, zu etwas anderem werden. Dazu müssen die Grenzen zwischen Linie-Autobahn und Feld-Fläche ungenau und offen sein.

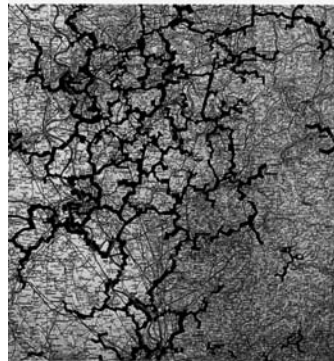


S. 42
Guy Debord mit Asger Jorn
Mémores, 1959

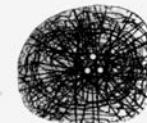
Für Debord war Flüssigkeit eine flüchtige Linie-Spur, für Pollock hatte sie mehr Struktur, denn die Spuren mussten sich miteinander verzahnen, um eine Fläche-Landschaft zu bilden. Constant legte Strukturen zwischen starr und flüssig, zwischen ungeplant und geplant frei. Später entwickelte Frei Otto präzise Techniken und Methoden, um derartige Mischungen von Offenem und Ausgerichtetem, von Fläche und Linie zu erzeugen.



S. 66
S. 272
Jackson Pollock
Autumn Rhythm, 1950



S. 114
S. 218
S. 352



Round Etching with Three Holes,
1958

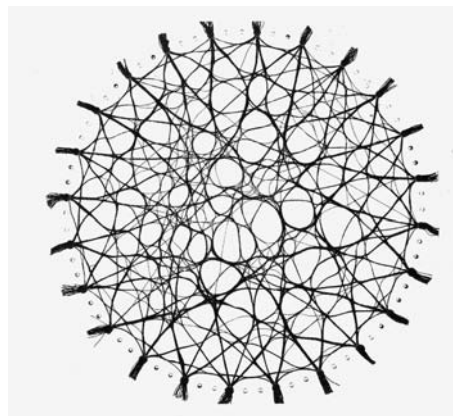


Abb. 1184: Lars Spuybroek/NOX, Paris Brain. Transurbanner Plan für das Gebiet westlich von La Défense, Paris, Frankreich, Entwurf 2001. Projektdarstellung mit Abbildungen der Vorbilder, abgebildet in: Lars Spuybroek, NOX: Machining Architecture, München 2004, S. 247.
Abb. 1185: Frei Otto, Minimiertes Umwegenetz nach Eintauchen in Wasser, 1995. Fotografie.

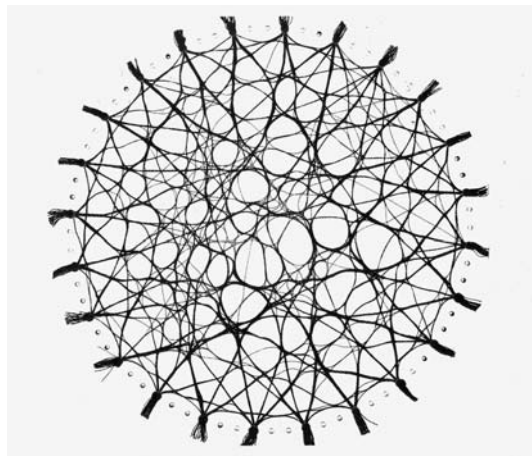
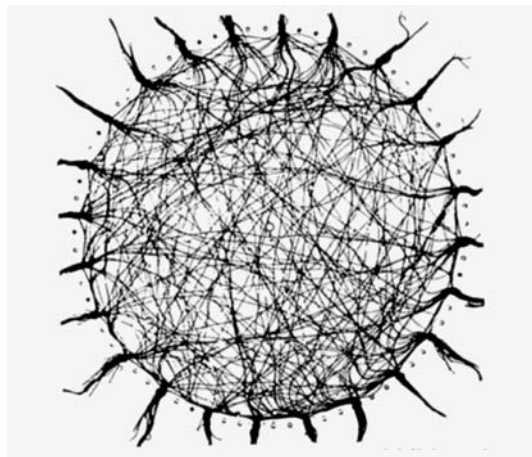
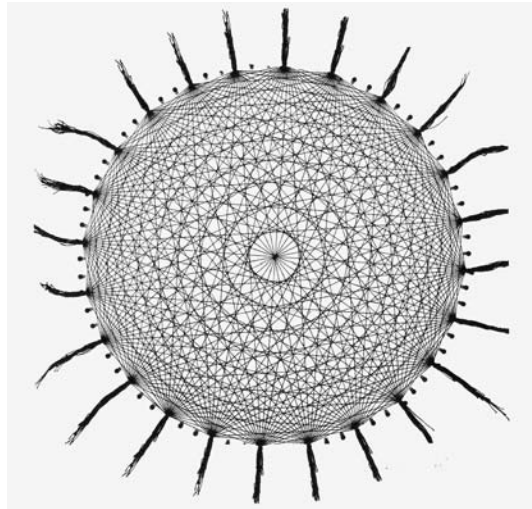


Abb. 1186: Frei Otto, Zweidimensionales Fadenmodell, 1995. Direktwegenetz, Fotografie.

Abb. 1187: Wegenetz mit überlangen Fäden, Fotografie.

Abb. 1188: Minimiertes Umwegenetz nach Eintauchen in Wasser, Fotografie, abgebildet in: Lars Spuybroek, NOX: Machining Architecture, München, 2004, S. 3 (und sieben weiteren Seiten)

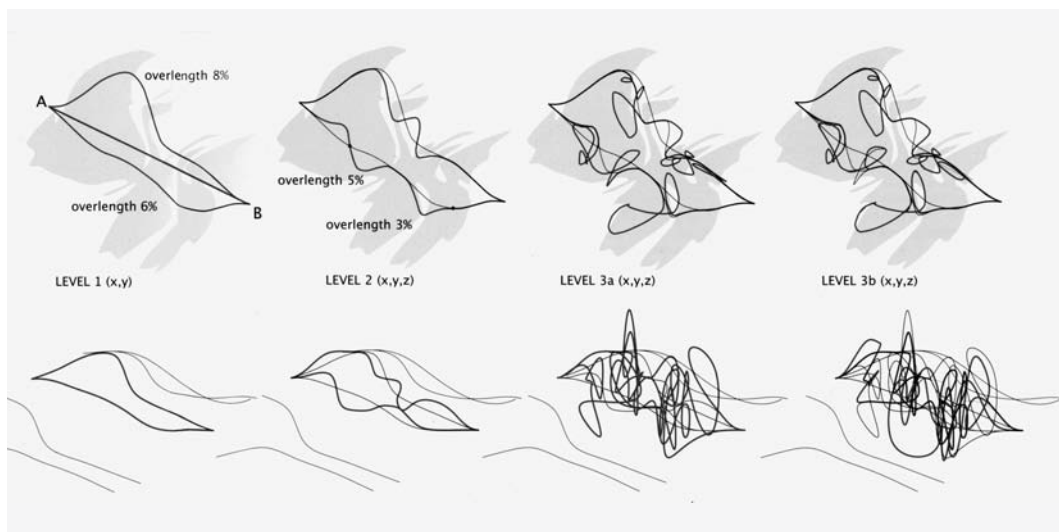
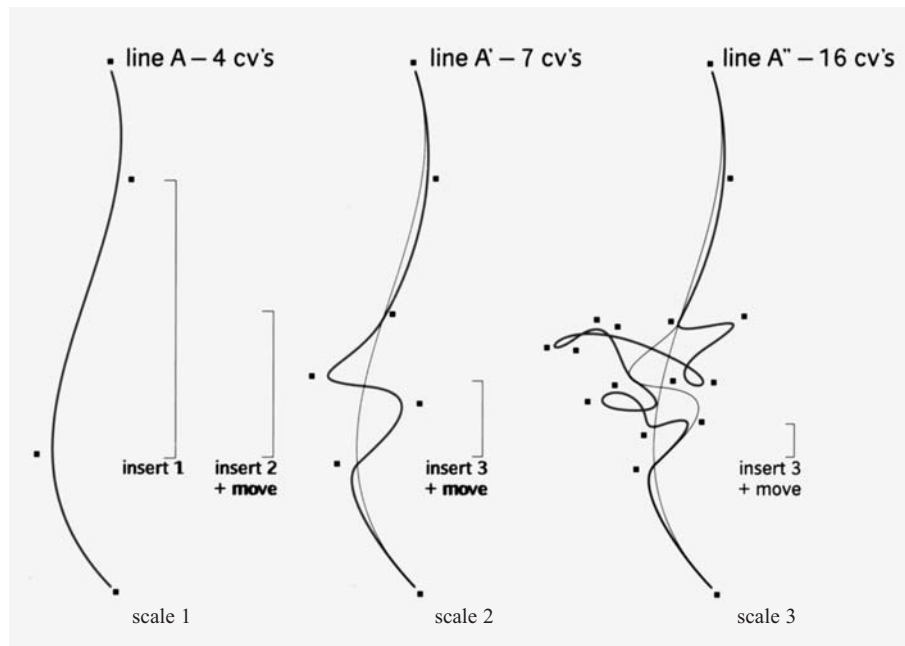


Abb. 1189: Lars Spuybroek/NOX, La Tana di Alice. Pavillon „Alice im Wunderland“, „Pinopoli“, Erweiterung des Pinocchio-Parks in Collodi, Italien, Entwurf 2001. Studie, algorithmische Verlängerung von digitalen *Splines*, Computerzeichnung.

Abb. 1190: Studie, Verlängerung der Strecke von A nach B durch iterative Krümmung, Grundrisse (oben) und Axonometrien (unten), Computerzeichnungen.

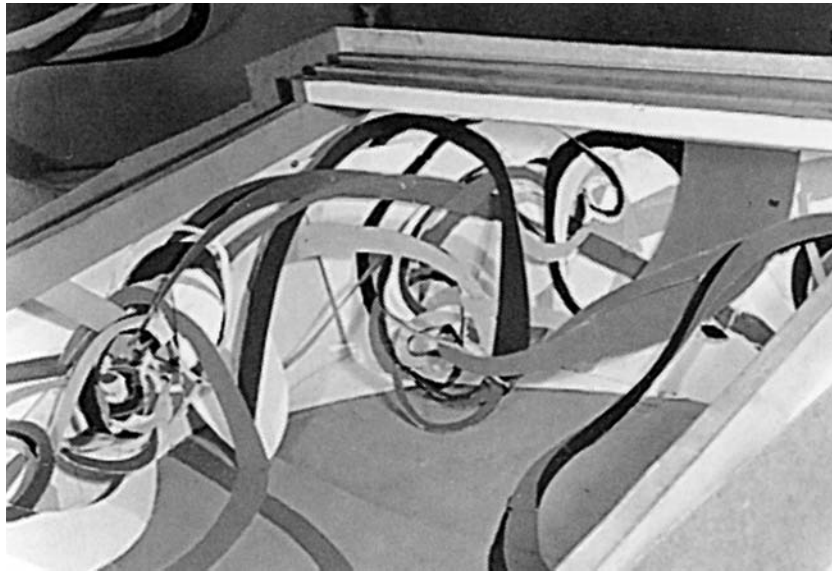


Abb. 1192: GEFLECHT, Ambiente, begehbare Malerei, Entwurf 1966. Gemeinschaftsarbeit, Modell für eine nicht ausgeführte Installation im Palazzo Grassi in Venedig, Italien, Fotografie.

Abb. 1193: Kubistische Schnellbahn, vorgeführt im Luna-Park in Berlin-Halensee, möglicherweise von Hans Belling und Max Pechstein bemalt, 1920/21. Postkarte.

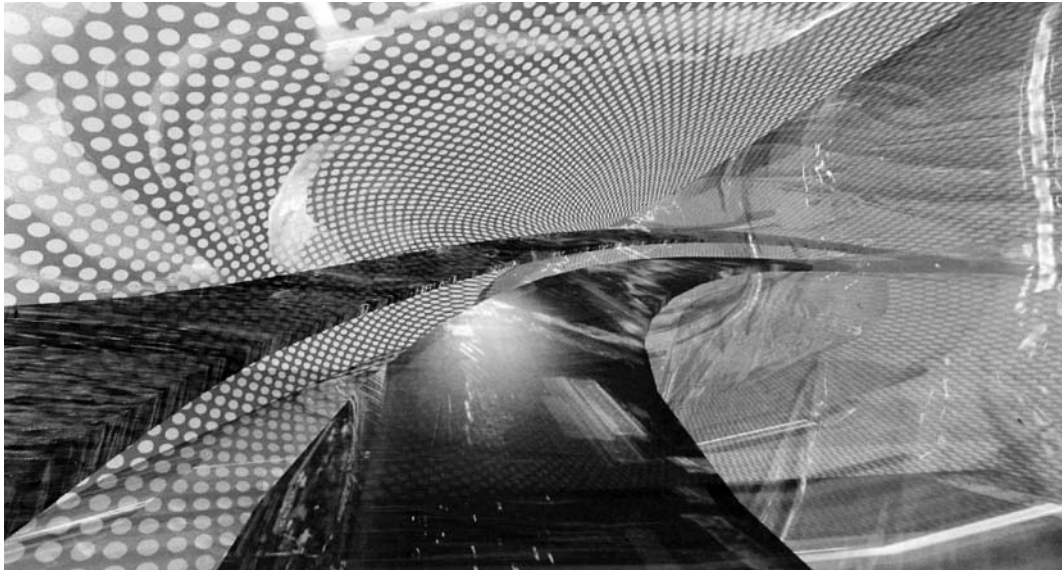


Abb. 1194: Ben van Berkel, Yokohama International Port Terminal, Japan, Entwurf 1994. Kaleidoskop-Garten, 3D-Modell, Perspektive, Montage aus Computerrendering und Fotografie.

Abb. 1195: Mikroskop-Garten, 3D-Modell, Perspektive, Montage aus Computerrendering und Fotografie.



Abb. 1196: GEFLECHT, Ambiente, begehbare Malerei, Entwurf 1966. Gemeinschaftsarbeit, Modell für eine nicht ausgeführte Installation im Palazzo Grassi in Venedig, Italien (Ausschnitt), Fotografie.
Abb. 1197: Lars Spuybroek/NOX, H₂Oexpo, Wasser-Erlebnispavillon und interaktive Installation für „WaterLand“, Neeltje Jans, Niederlande, 1993–97. Blick in den Ausstellungsraum, Fotografie.

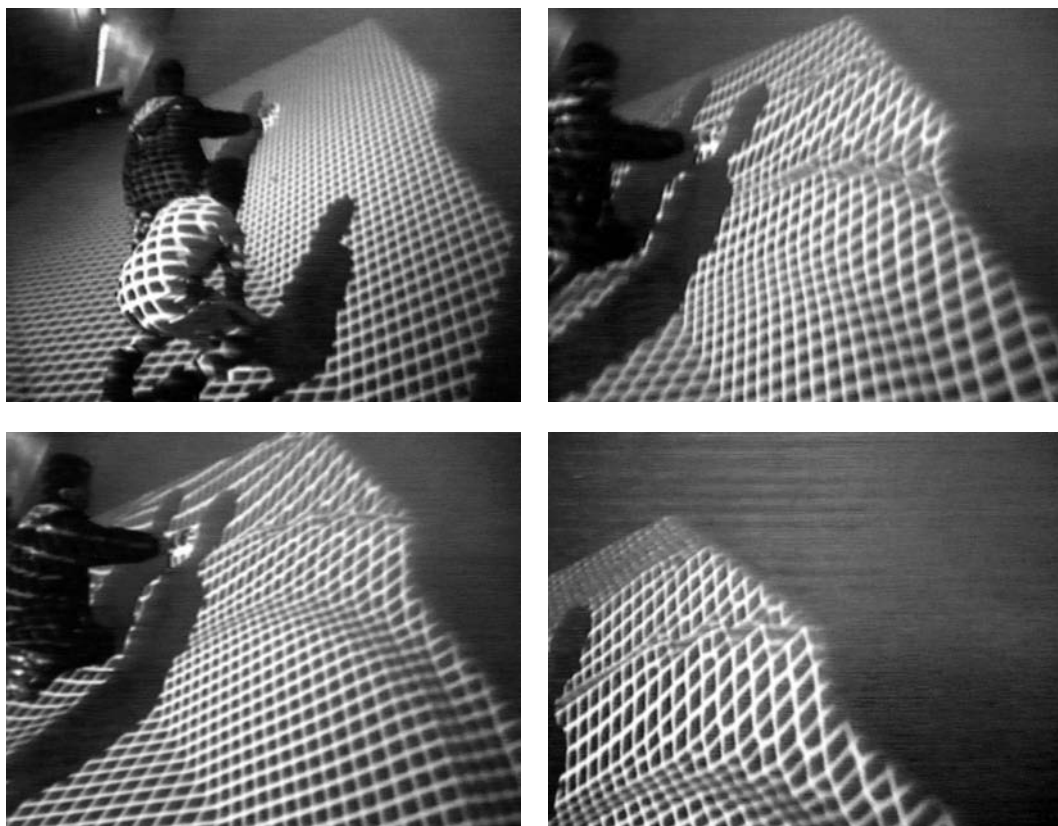


Abb. 1198: Lars Spuybroek/NOX, H₂Oexpo, Wasser-Erlebnispavillon und interaktive Installation für „WaterLand“, Neeltje Jans, Niederlande, 1993–97. Aktivierung der interaktiven Wellenrasterprojektion durch einen Drucksensor, Filmstandbilder.



Abb. 1199: Lars Spuybroek/NOX, Son-O-House, Kunstwerk im öffentlichen Bereich für den Industrieschap Ekkersrijt, in Zusammenarbeit mit dem Komponisten Edwin van der Heide, Son en Breugel, Niederlande, 2000–04. Blick in den Innenraum, Fotografie.

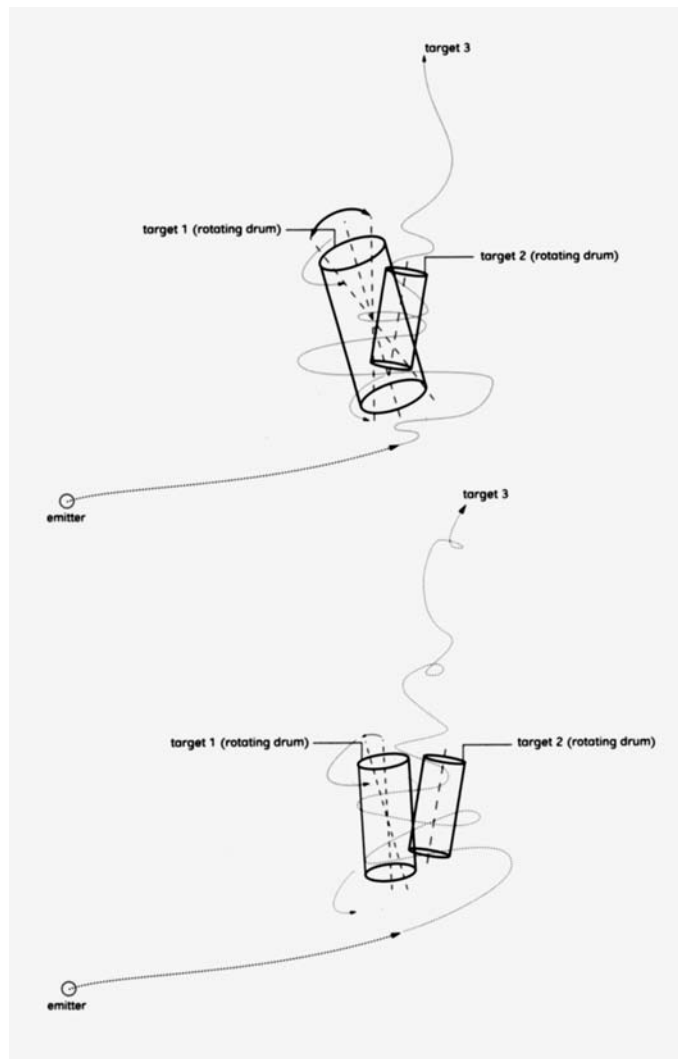


Abb. 1200: Lars Spuybroek/NOX, Beachness, Entwicklungsprojekt für ein Strandhotel und eine Promenade, Noordwijk, Niederlande, Entwurf 1997. Schematische Darstellung der Formbildung durch Animation sich drehender Zylinder, die einen Strom digitaler Kugelkörper steuern, Computerzeichnungen.

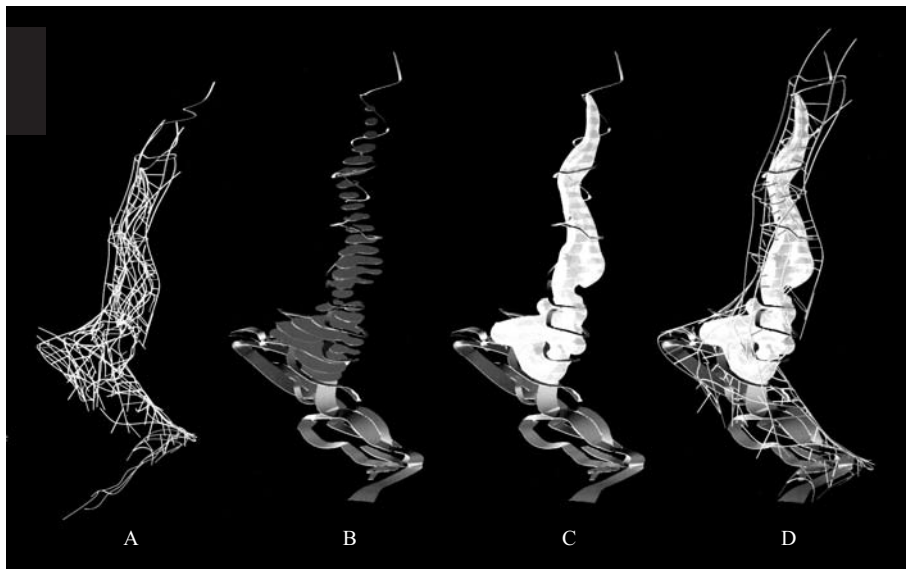
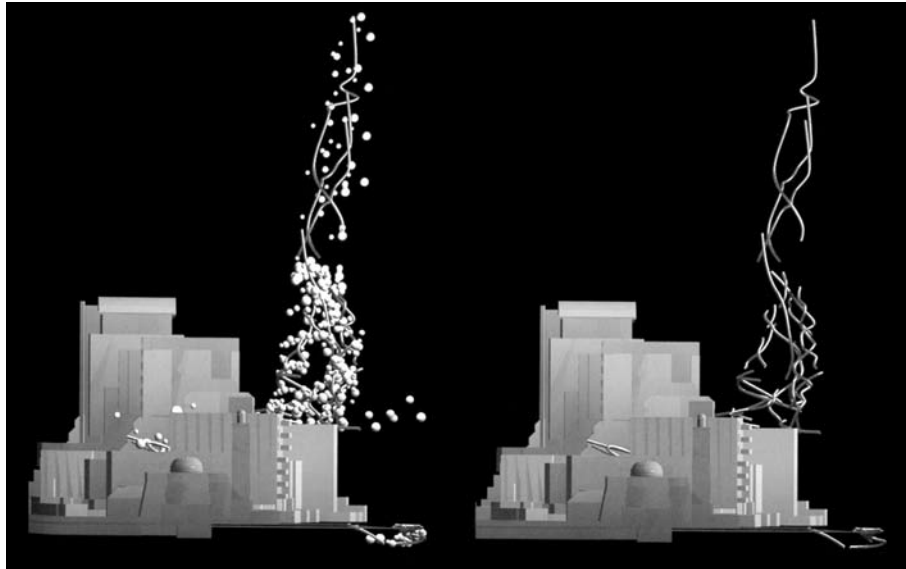


Abb. 1201: Lars Spuybroek/NOX, Beachness, Entwicklungsprojekt für ein Strandhotel und eine Promenade, Noordwijk, Niederlande, Entwurf 1997. Ansichten der Linienstruktur mit und ohne Kugelkörpern, Computerrenderings.

Abb. 1202: Bewegungslinien der Kugelkörper (A), Rampen und Ebenen (B), Volumen (C) und Konstruktion (D), Axonometrien, Computerzeichnungen und -renderings.

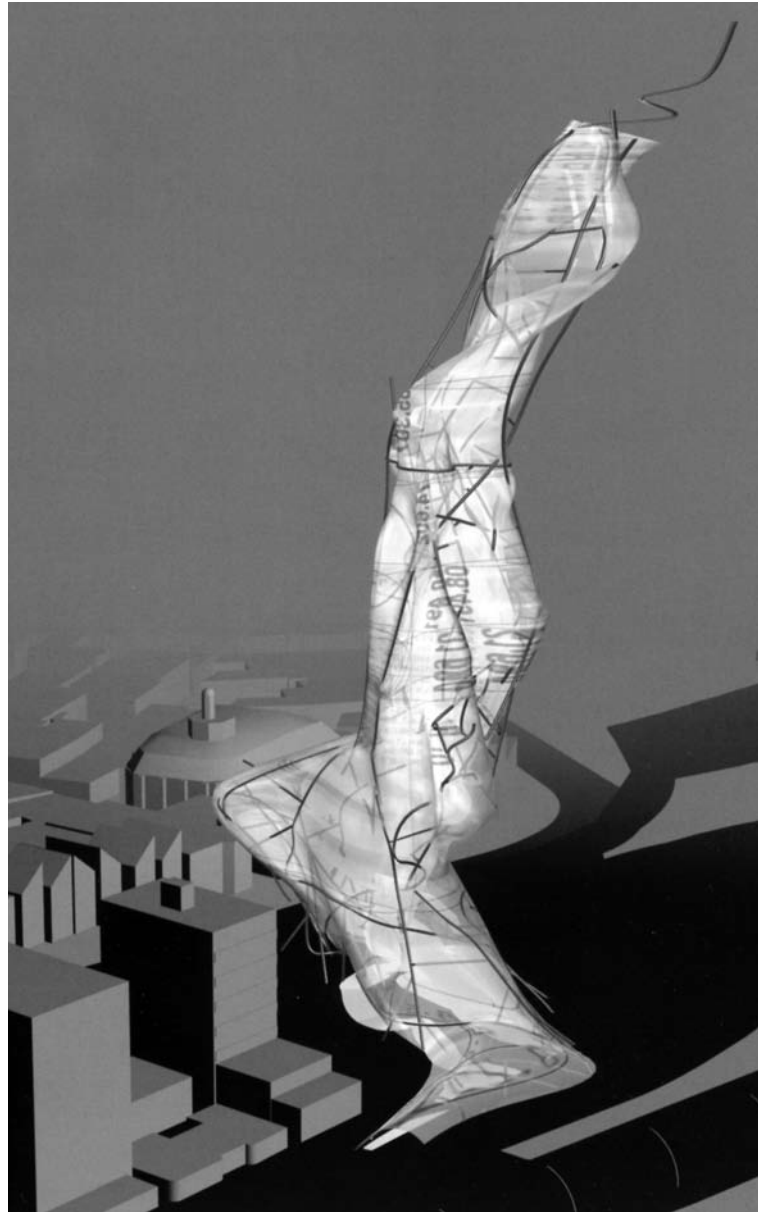


Abb. 1203: Lars Spuybroek/NOX, Beachness, Entwicklungsprojekt für ein Strandhotel und eine Promenade, Noordwijk, Niederlande, Entwurf 1997. 3D-Modell mit Umgebung, Axonometrie, Computerrendering.

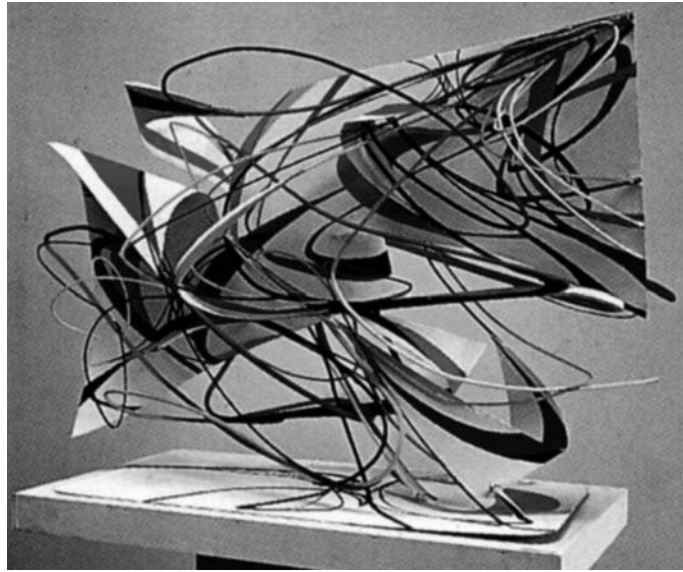


Abb. 1204: Helmut Rieger/GEFLECHT, Antiobjekt, 1966. Stehendes Objekt aus farbig bemaltem Draht und Eisenblech, ca. 75 x 100 x 55 cm, Fotografie.

Abb. 1205: Lars Spuybroek/NOX, Beachness, Entwicklungsprojekt für ein Strandhotel und eine Promenade, Noordwijk, Niederlande, Entwurf 1997. 3D-Modell, Perspektive, Blick ins Atrium, Computerrendering.

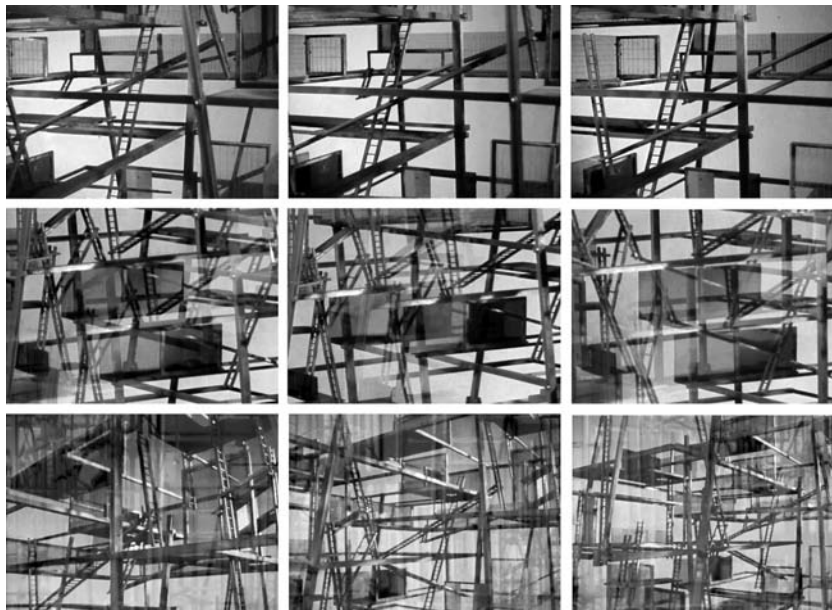
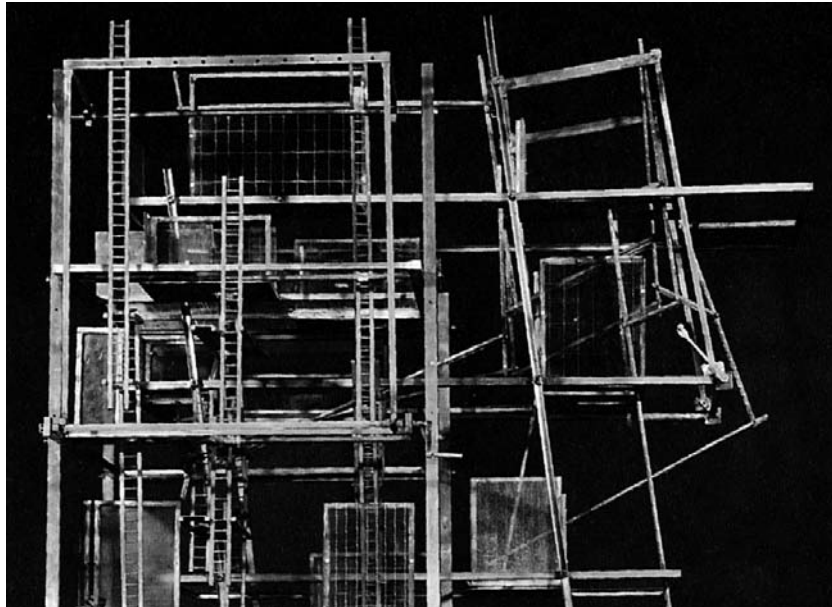


Abb. 1206: Constant A. Nieuwenhuys, New Babylon, Entwurf 1957–74. Mobiel ladderlabyrinth (Mobile Ladder Labyrinth), 1967. Bewegliches Modell aus Messing, Plexiglas und Holz, 73 x 96 x 67,5 cm, Fotografie.

Abb. 1207: Mobiel ladderlabyrinth (Mobile Ladder Labyrinth), 1967. Bewegliches Modell aus Messing, Plexiglas und Holz, 73 x 96 x 67,5 cm, Standbilder aus dem Film *Constant oder der Weg nach New Babylon* von Carlheinz Caspari, Sendung des Norddeutsches Rundfunks vom 10.12.1968 (ausgewählt und zusammengestellt von der Verf.).

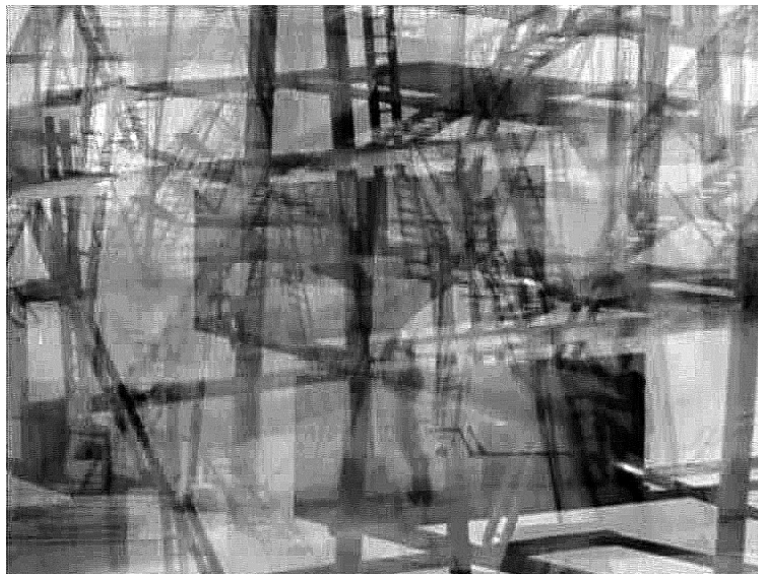
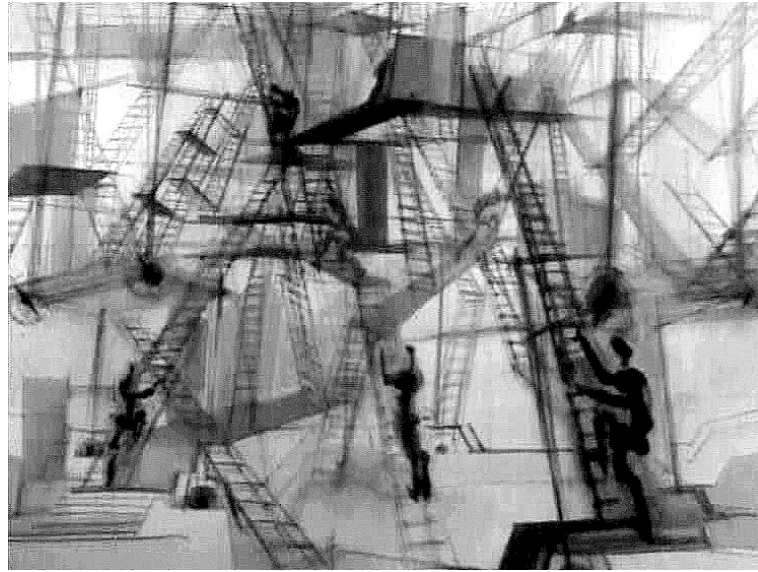


Abb. 1208: Constant A. Nieuwenhuys, New Babylon, Entwurf 1957–74. Mobil ladderlabyrinth (Mobile Ladder Labyrinth), 1967. Zeichnung, Bleistift und Aquarell auf Papier, 99 x 110 cm. Den Haag, Gemeentemuseum, Bewegung, Standbild aus dem Film *Constant oder der Weg nach New Babylon* von Carlheinz Caspari, Sendung des Norddeutsches Rundfunks vom 10.12.1968.

Abb. 1209: Überlagerung der Zeichnung *Mobil ladderlabyrinth* mit dem gleichnamigen Modell in Bewegung, Standbild aus dem Film *Constant oder der Weg nach New Babylon* von Carlheinz Caspari, Sendung des Norddeutsches Rundfunks vom 10.12.1968.



Abb. 1210: Constant A. Nieuwenhuys, Windharp, Entwurf für den Evoluon-Platz, Eindhoven, Niederlande, 1965. Modell aus Nylon, Holz und Metall, 200 x 200 cm, Fotografie.



Abb. 1211: André Bloc, Sculpture habitacle, 1962–1964. Skulptur, Gips auf Metallrahmen, (h) 60 x 45 x 50 cm, Fotografie.

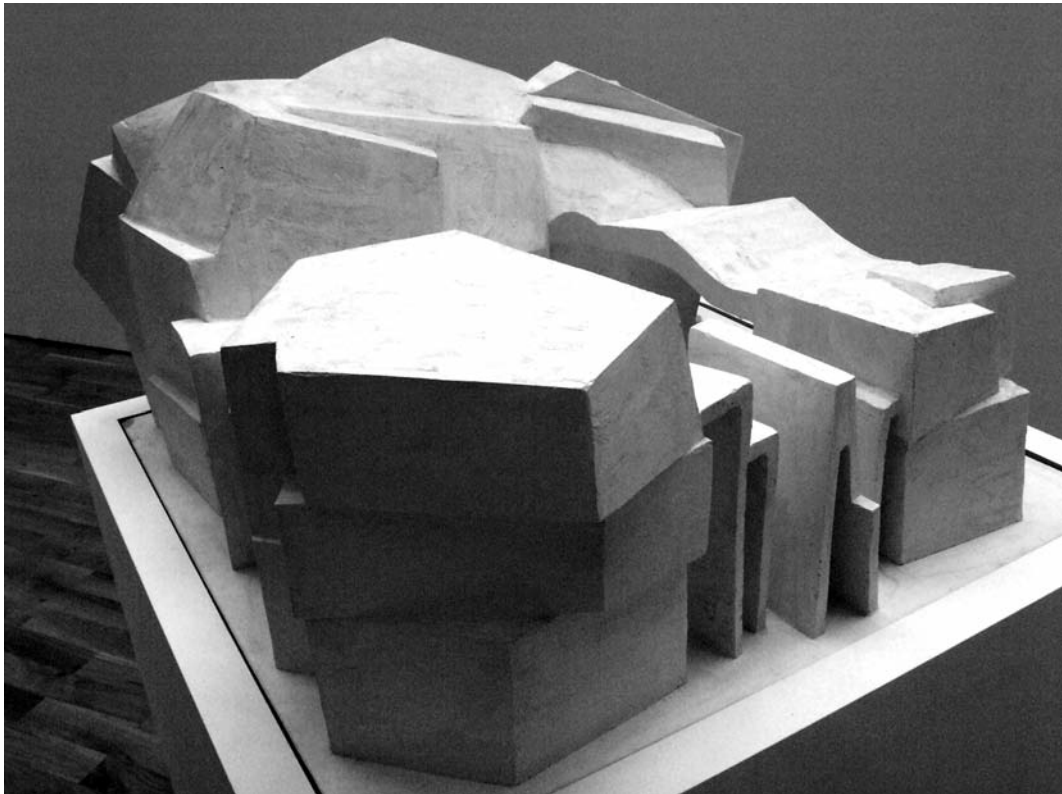


Abb. 1212: André Bloc, Projet pour une Maison de la Culture en Iran, Entwurf 1965. Modell aus gegossenem Gips, (h) 58 x 106,5 x 115,5 cm, Fotografie.



Abb. 1213: André Bloc, Sculpture habitacle „La Tour“, Meudon, Frankreich, um 1964–66. Skulptur aus Backstein, Fotografie.

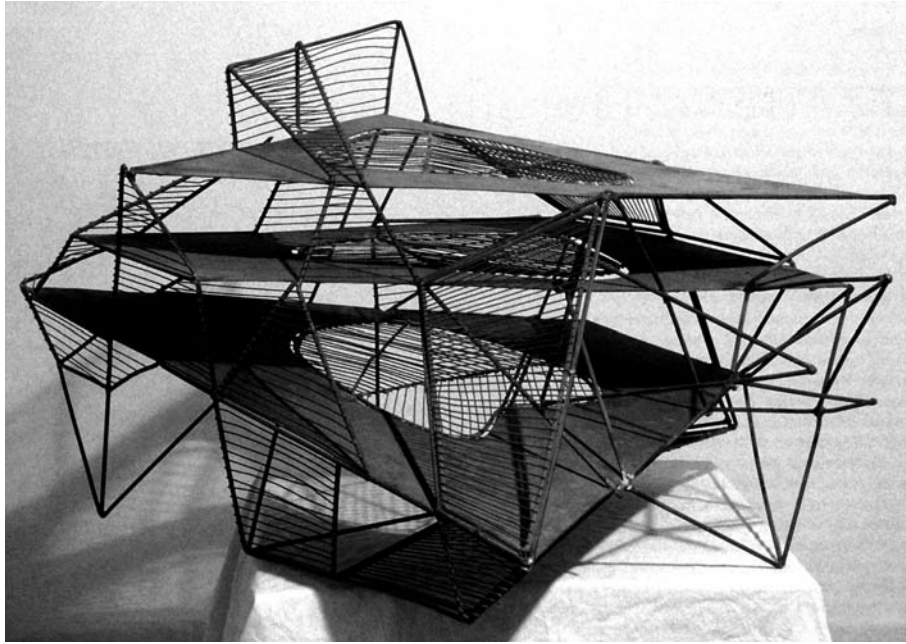


Abb. 1214: André Bloc, Sans titre, 1960. Skulptur aus Metall, 57 x 102 x 98 cm, Fotografie.

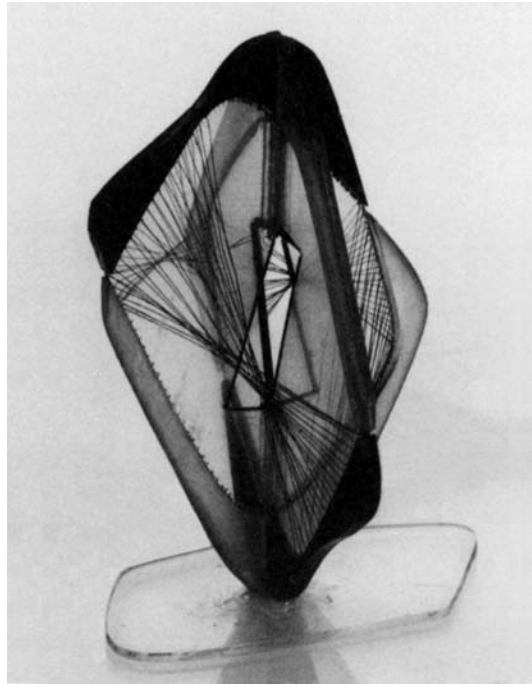


Abb. 1215: Naum Gabo, Lineare Konstruktion im Raum Nr. 3, mit Rot, 1952. Modell aus Kunststoff mit Nylonfäden, h = 9,5 cm, Fotografie (Ausschnitt).

Abb. 1216: Antoine Pevsner, Projektion in den Raum, 1938/39. Bronze, h = 49 cm, Fotografie.

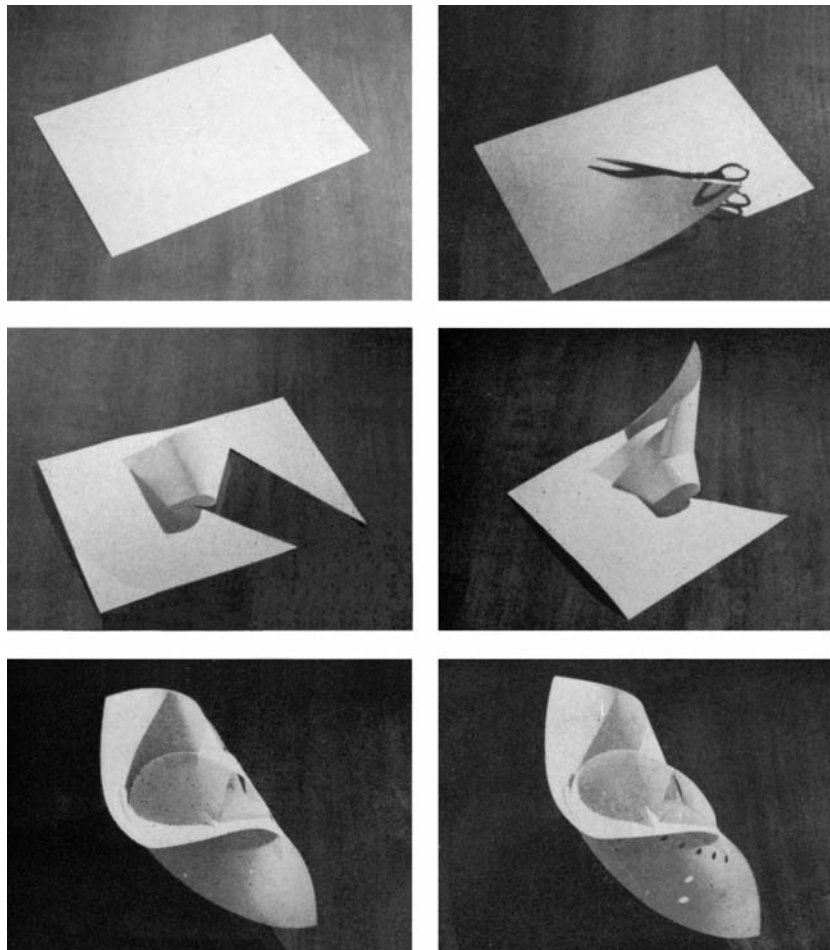


Abb. 1217: Jean Kendall, Dictionary of the light modulator, Studentenarbeit am Insitute of Design, Chicago/Illinois, USA, 1946. Faltung eines Papierbogens zu einem Raummodell, Fotografien, abgebildet in: L. Moholy-Nagy, Vision in Motion, Chicago 1947, S. 202 f., Abb. 263–269.



Abb. 1218: L. Moholy-Nagy, Convex-concave, 1940. Modell aus verformtem Plexiglas, Fotografie, abgebildet in: L. Moholy-Nagy, *Vision in Motion*, Chicago 1947, S. S. 76, Abb. 61.

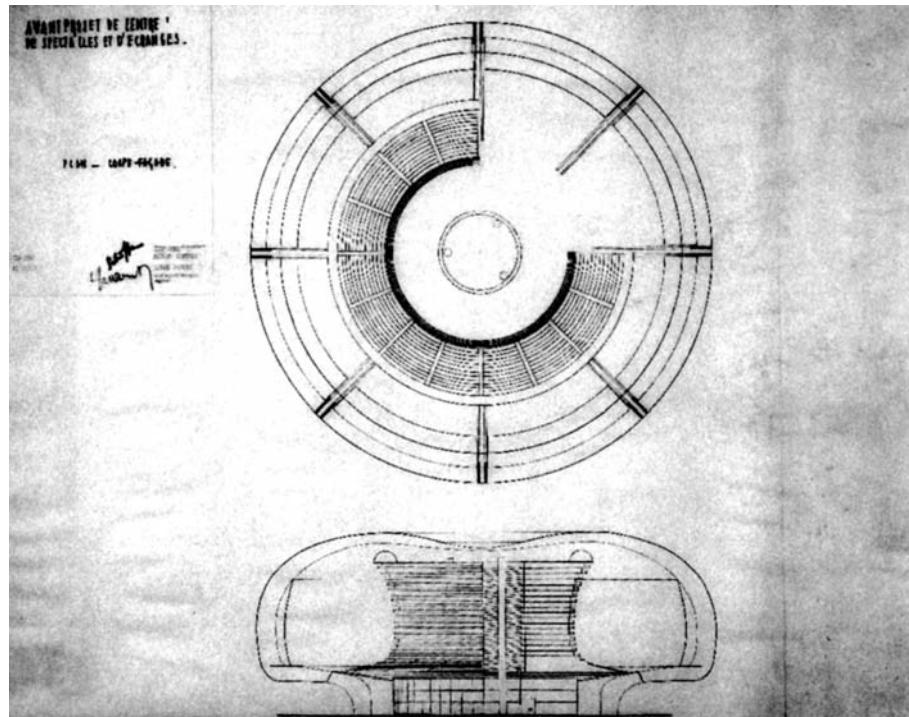


Abb. 1219: Claude Parent und Nicolas Schöffer, Projets spatiodynamiques, Entwurf 1954–57. Théâtre circulaire mobile, 1957. Grundriss und Schnitt, Tusche auf Transparentpapier, 67 x 92 cm.

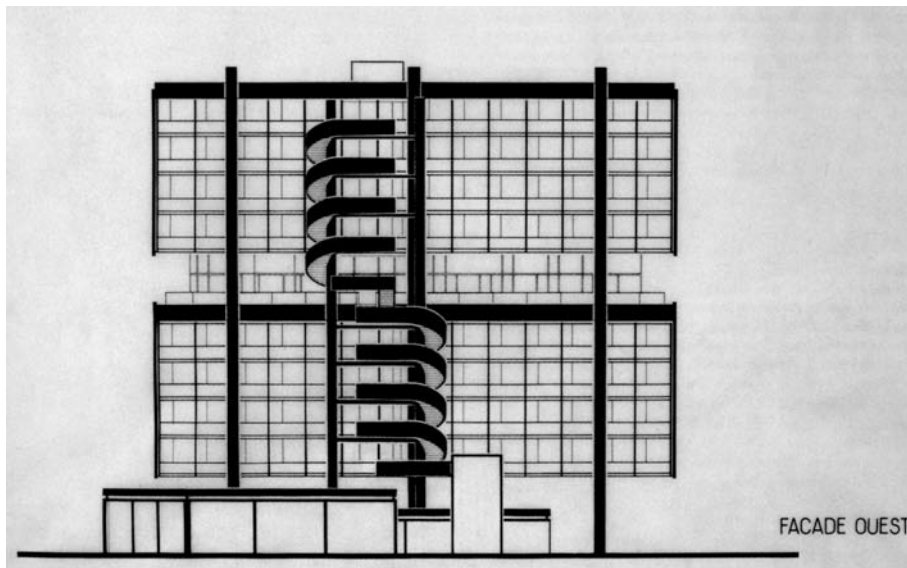
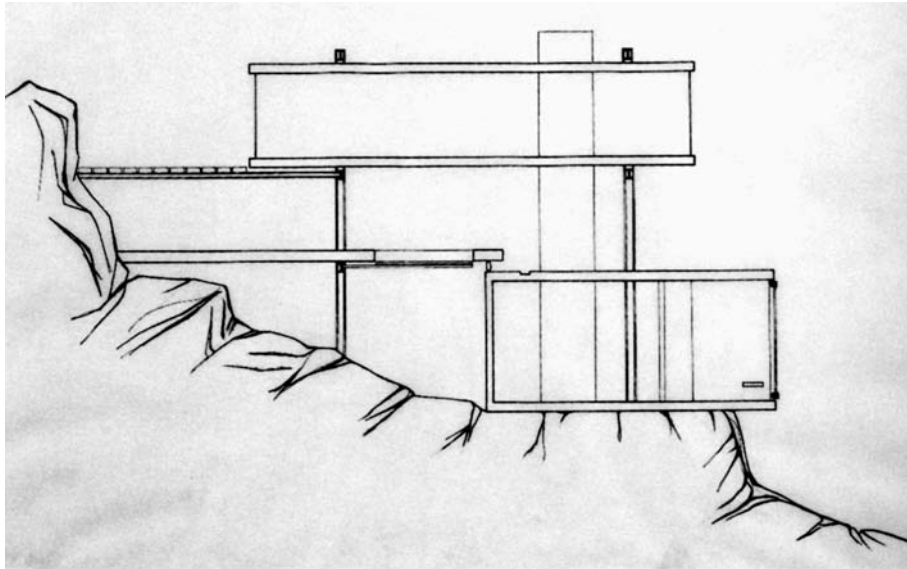


Abb. 1220: Claude Parent, Habitation expérimentale d'André Bloc, Cap d'Antibes, Frankreich, 1959–64. Schnitt, Tusche auf Transparentpapier, 46 x 82 cm.

Abb. 1221: Claude Parent, Maison de l'Iran, Cité universitaire internationale, Paris, 1962–68. Ansicht der Ostseite, Tusche auf Transparentpapier, 57 x 85,5 cm.

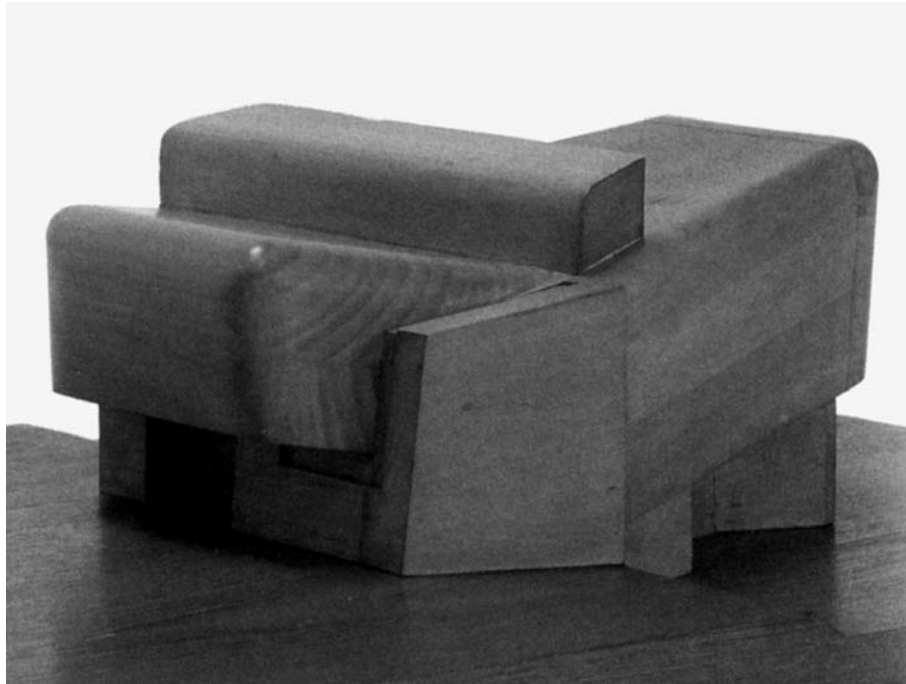


Abb. 1222: Claude Parent und Paul Virilio/Architecture Principe, Église Sainte-Bernadette du Banlay, Nevers, Frankreich, 1963–66. Modell aus gewachstem Holz, 32 x 120 x 86 cm, Südwestseite, Fotografie (Ausschnitt).

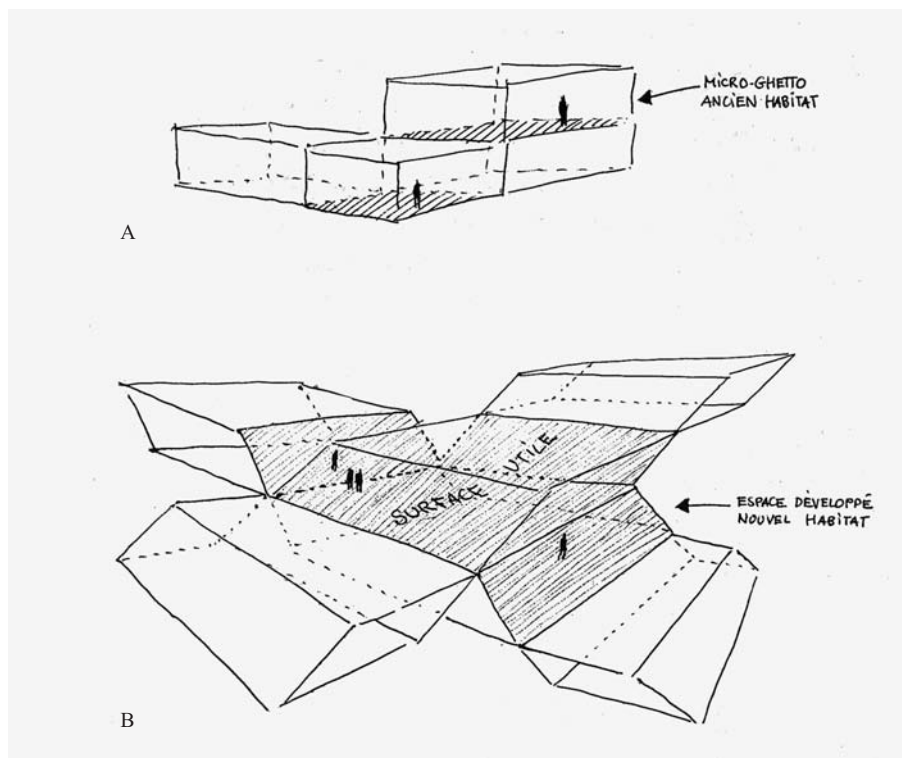
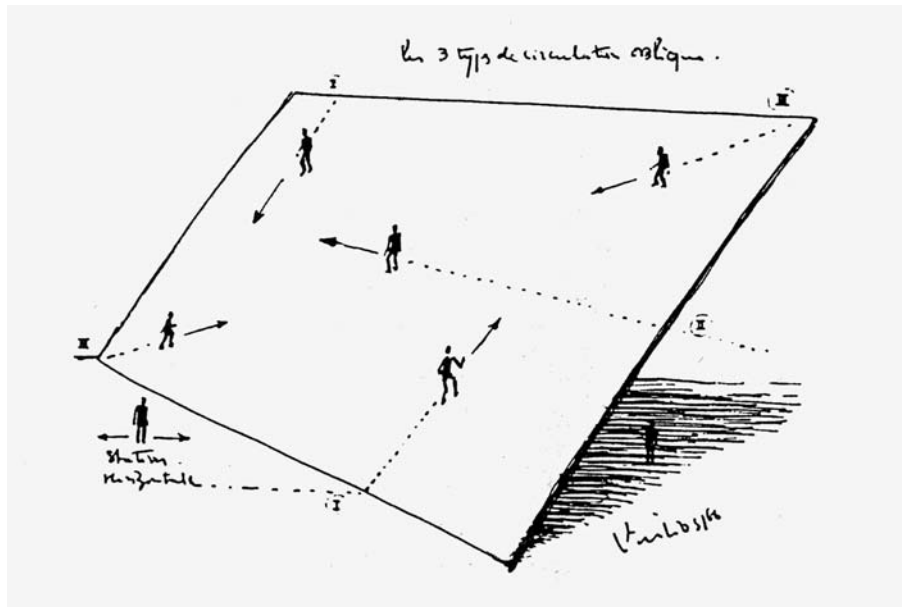


Abb. 1223: Paul Virilio, Circulation habitable. Les trois types de circulation oblique, 1966. Skizze.
 Abb. 1224: Claude Parent und Paul Virilio/Architecture Principe, Station habitable (A) und Circulation habitable (B), 1966. Skizze.

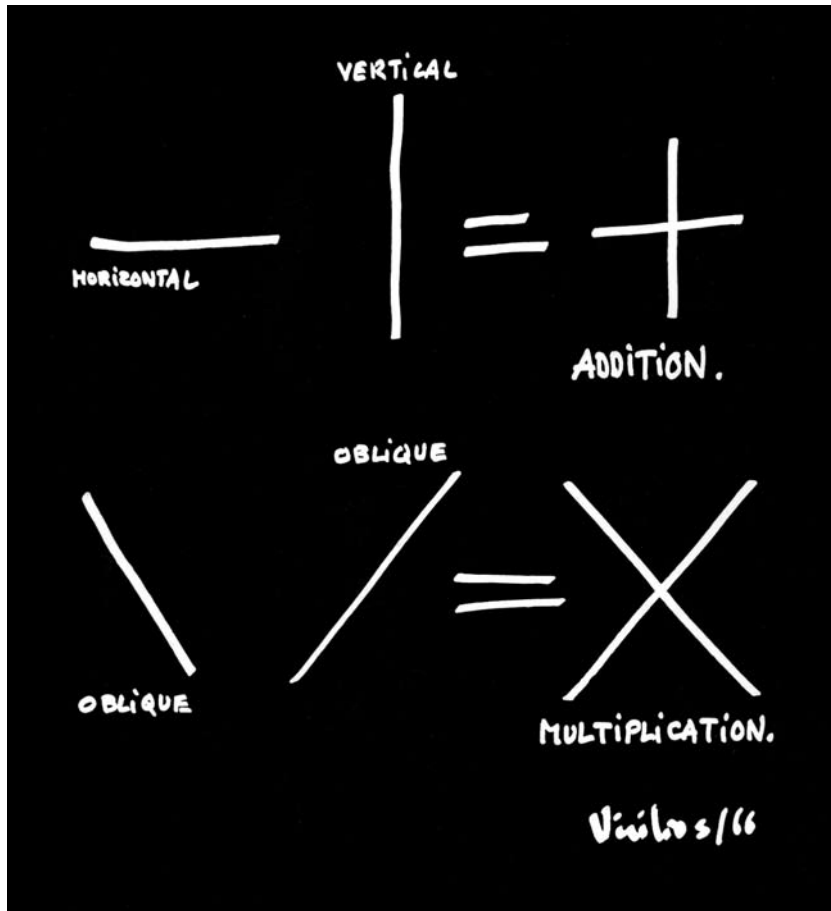


Abb. 1225: Paul Virilio/Architecture Principe, La Fonction oblique, 1966. Ideogramm.

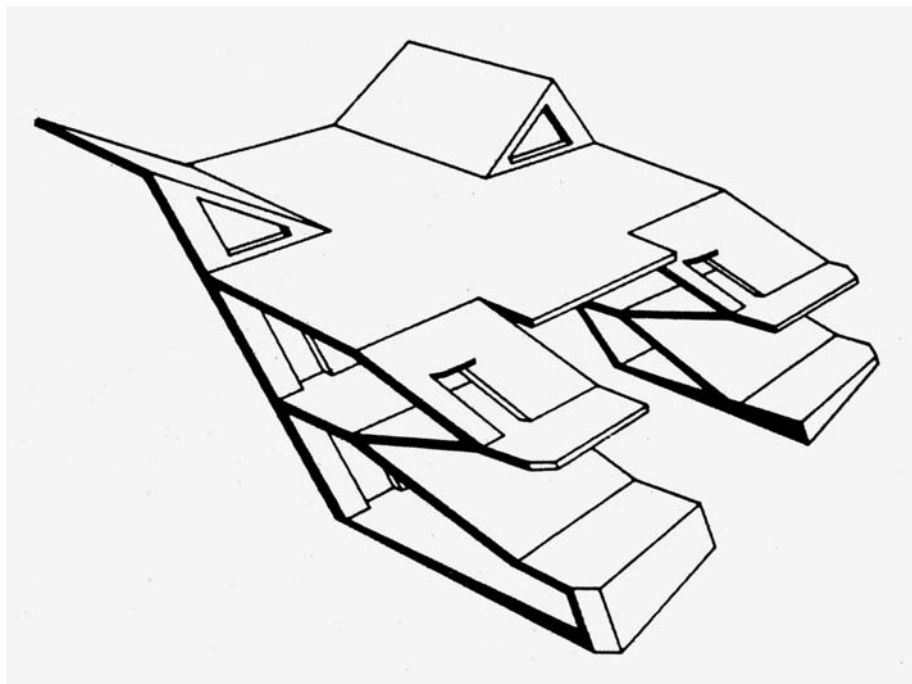
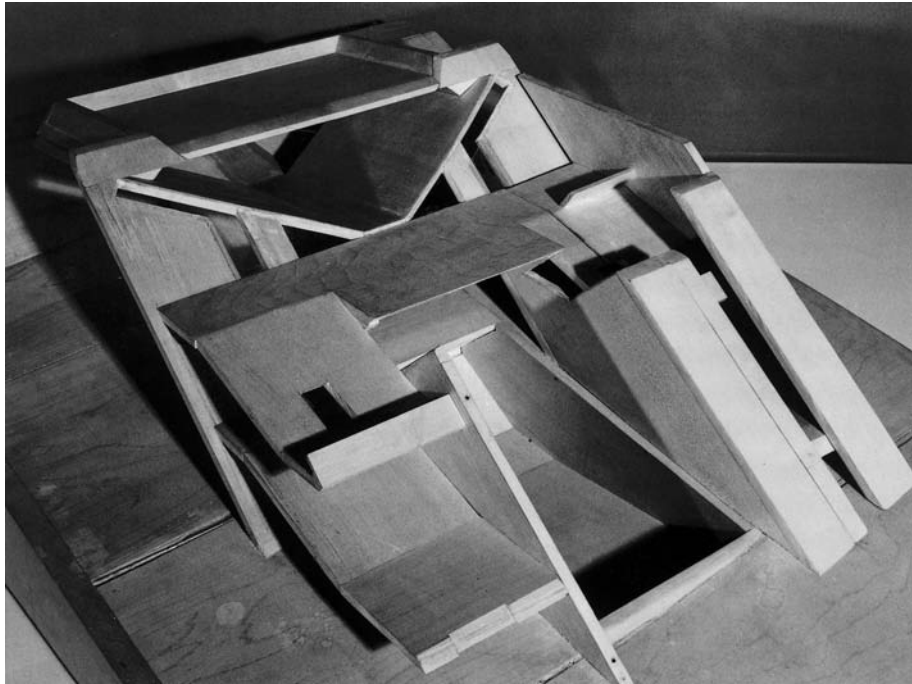


Abb. 1226: Claude Parent und Paul Virilio/Architecture Principe, Maison Mariotti, St. Germain-en-Laye, Frankreich, Entwurf 1967–70. Modell der Innenstruktur aus Holz, Fotografie.
Abb. 1227: Axonometrie der Innenstruktur, Tusche auf Papier, 46,5 x 57 cm.

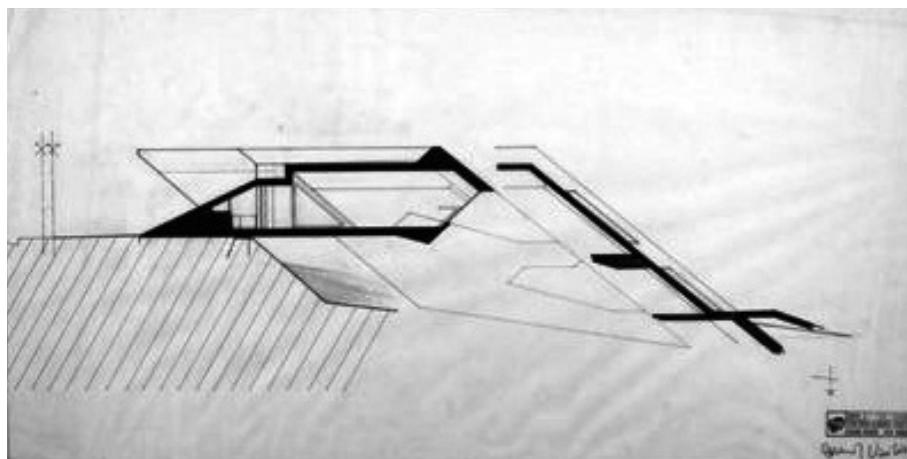
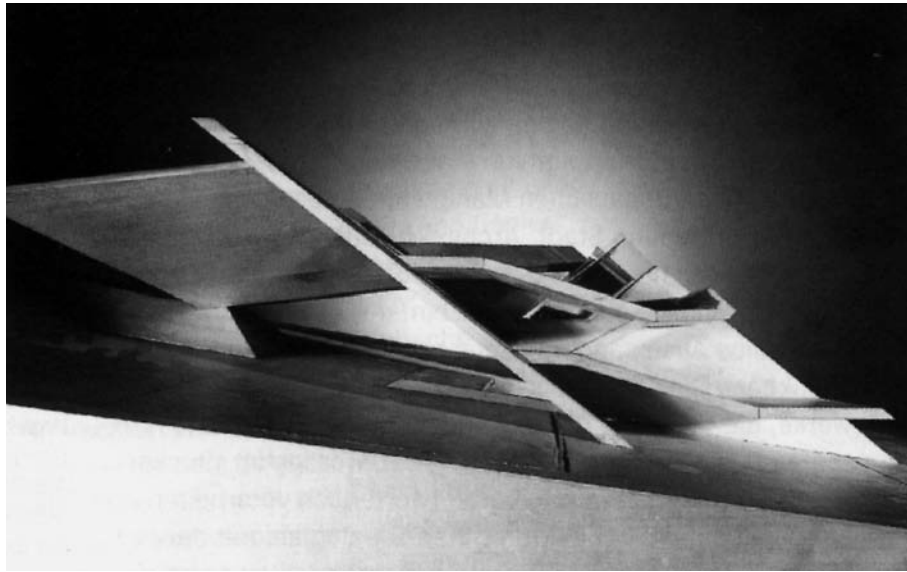


Abb. 1228: Claude Parent und Paul Virilio/Architecture Principe, Maison Mariotti, St. Germain-en-Laye, Frankreich, Entwurf 1967–70. Modell der Innenstruktur aus Holz, Längsansicht, Fotografie.
Abb. 1229: Längsschnitt, 1967, Tusche auf Transparentpapier, 65 x 116 cm.

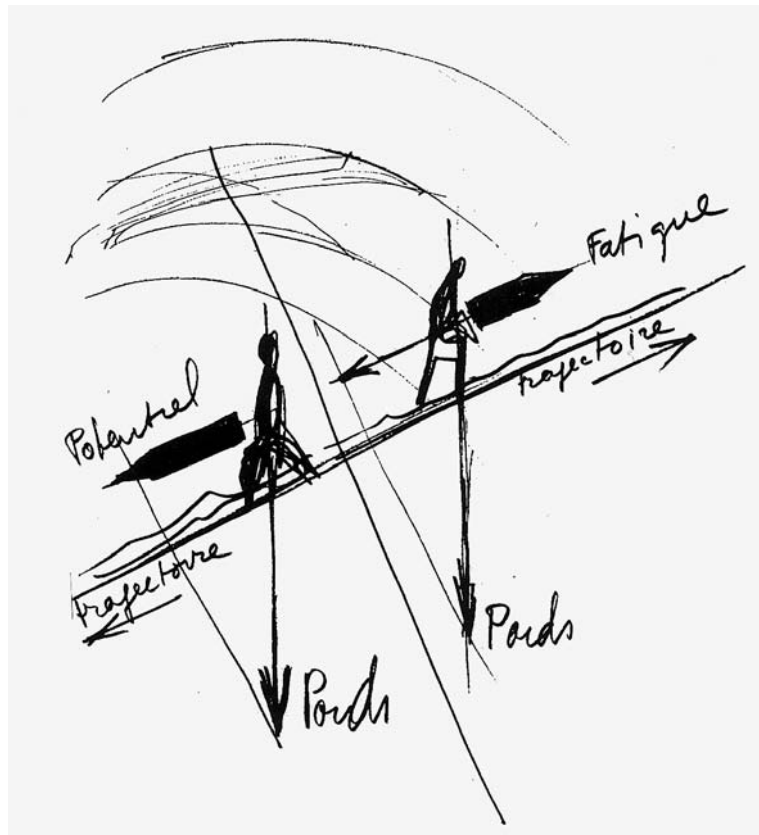


Abb. 1230: Claude Parent und Paul Virilio/Architecture Principe, Ermüdungs- und Euphorie-vektoren, 1966. Skizze.

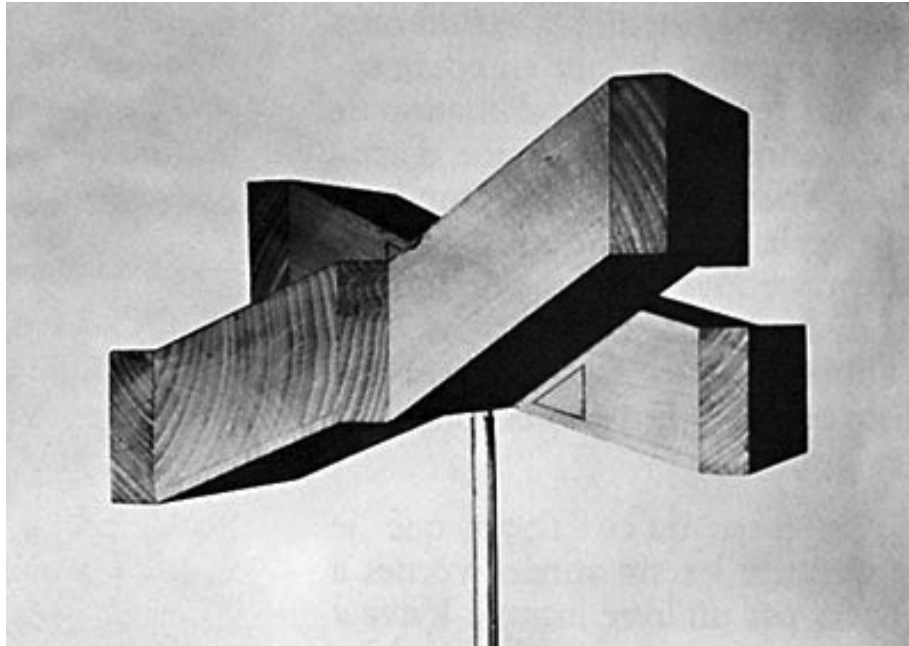


Abb. 1231: Claude Parent und Paul Virilio/Architecture Principe, IP 1, Instabilisateur pendulaire, Nanterre, Frankreich, Entwurf 1968. Modell aus Holz und Metall, (h) 22 x 22 x 13 cm, Fotografie.

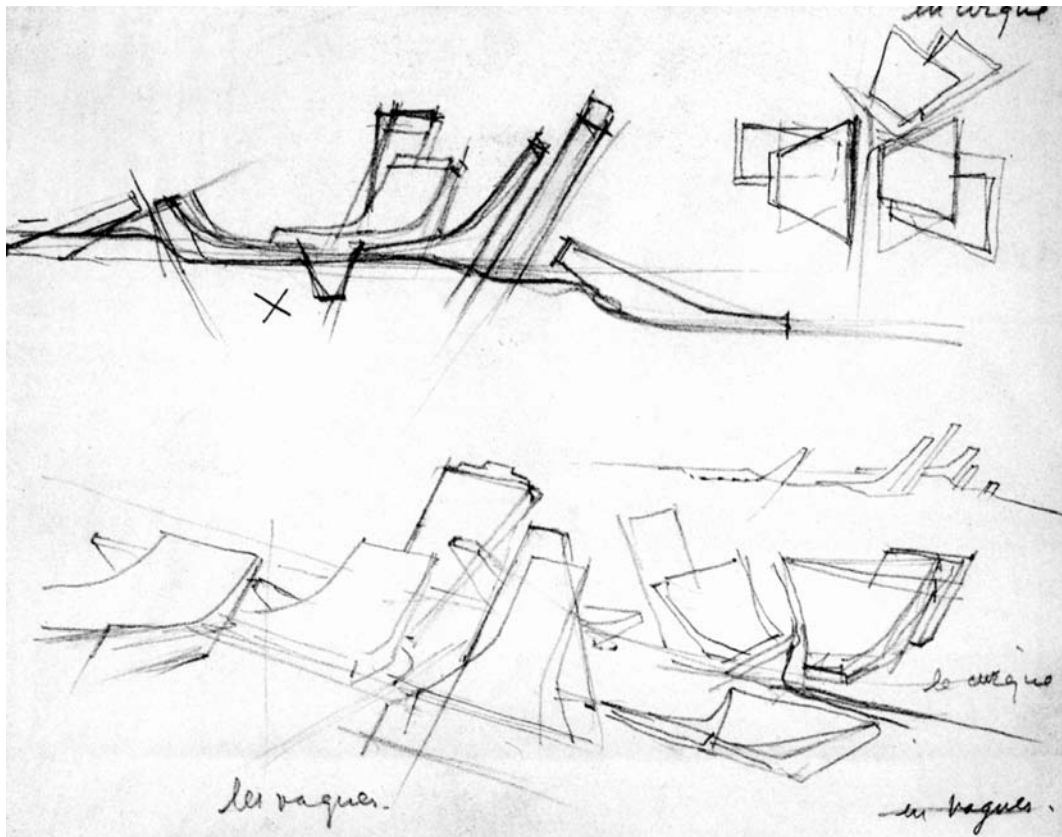
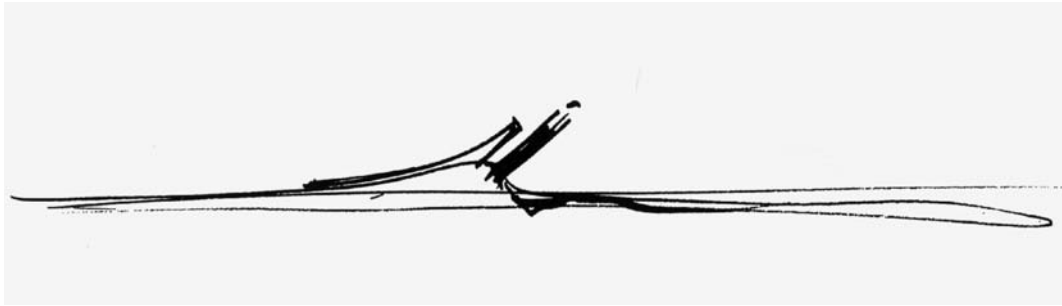


Abb. 1232: Claude Parent und Paul Virilio/Architecture Principe, Les Vagues, Entwurf 1965–67. Skizze.

Abb. 1233: Skizze mit schematischem Schnitt, Aufsicht und Perspektive, Bleistift auf Papier, 29,7 x 21 cm.

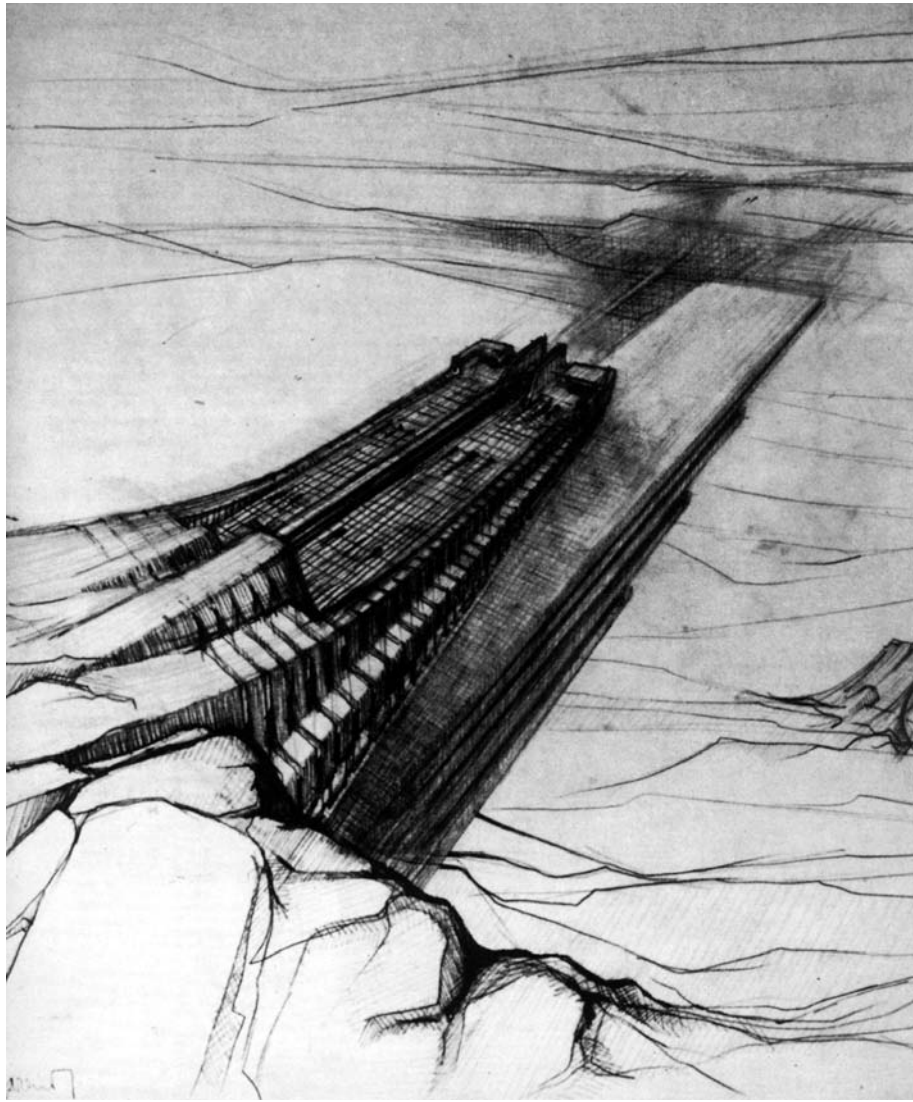


Abb. 1234: Claude Parent/Architecture Principe, La Vague, Entwurf 1966. Zeichnung.

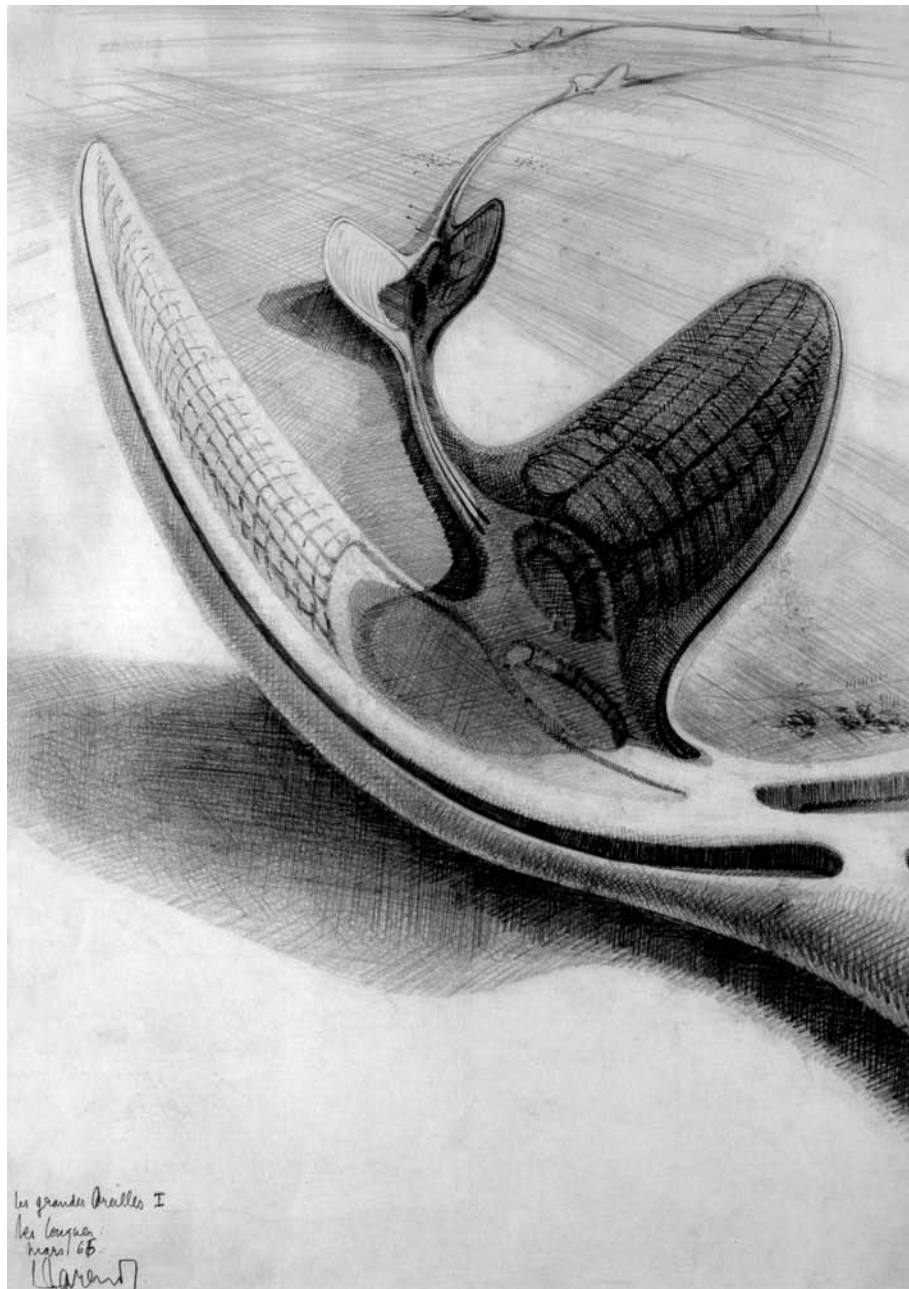


Abb. 1235: Claude Parent, Les Grandes Oreilles I, les Conques, Entwurf 1966. Zeichnung, Bleistift auf Papier, 105,5 x 86 cm.



Abb. 1236: Claude Parent, Les Grandes Oreilles, Entwurf 1966. Skizze.

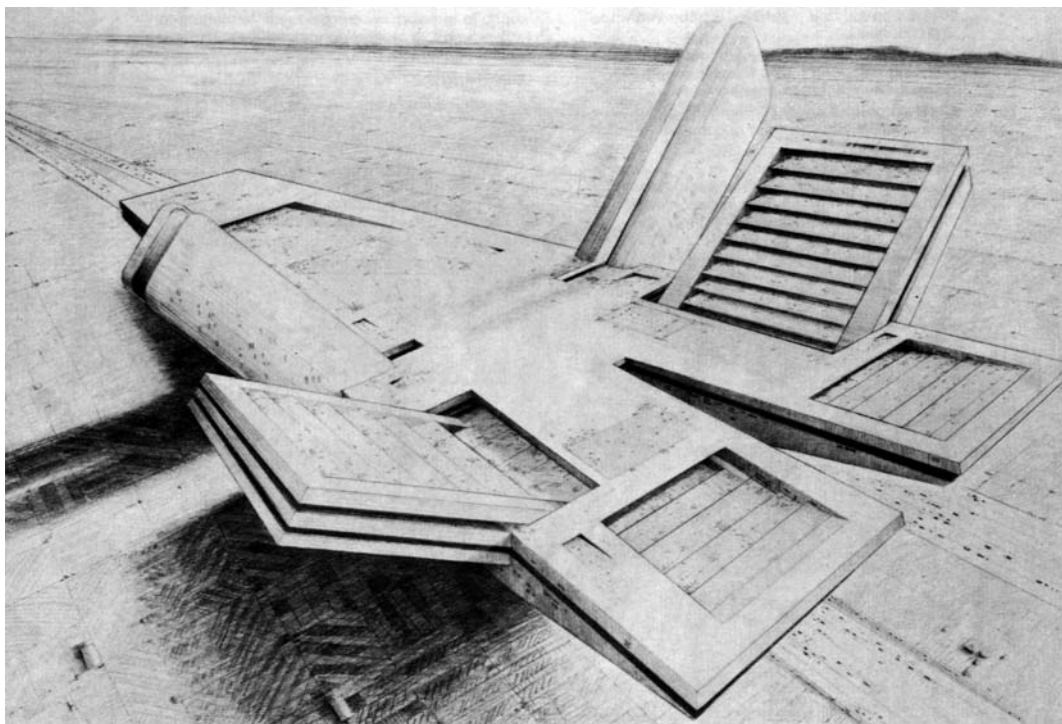
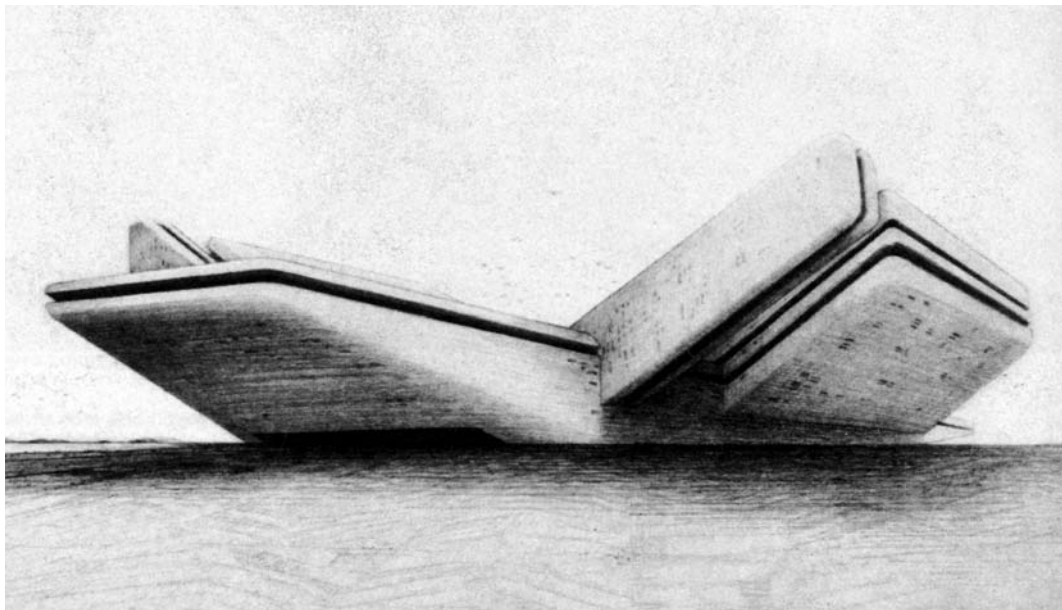


Abb. 1237: Claude Parent und Paul Virilio/Architecture Principe, Nautacit , Entwurf 1966. Froschperspektive.
Abb. 1238: Vogelperspektive.

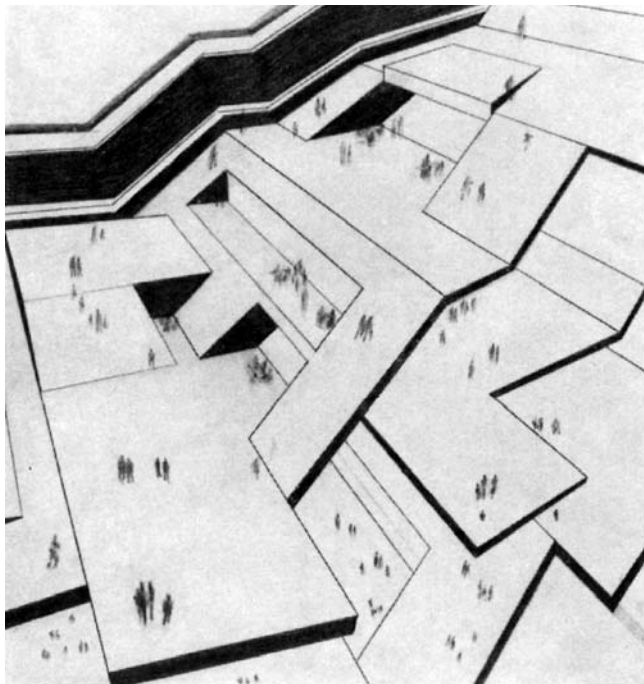
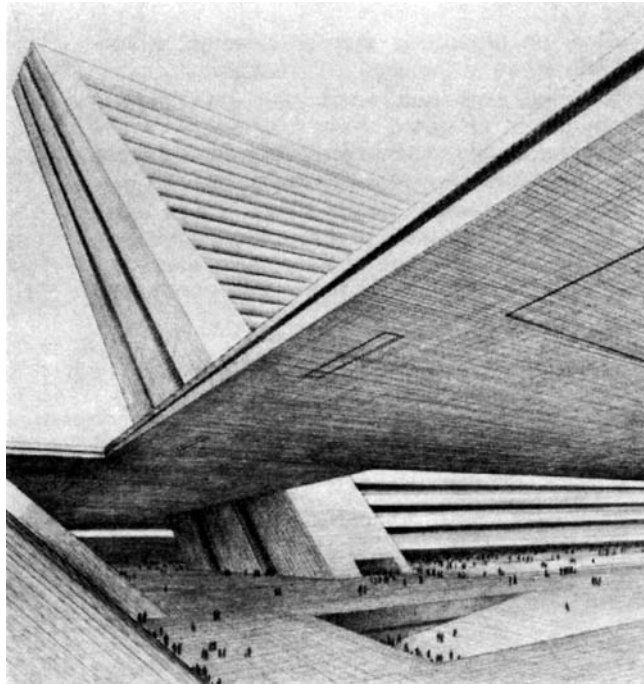


Abb. 1239: Claude Parent und Paul Virilio/Architecture Principe, Nautacit , Entwurf 1966. Detail, Perspektive.

Abb. 1240: Habitat sur plan inclin , Zeichnung.

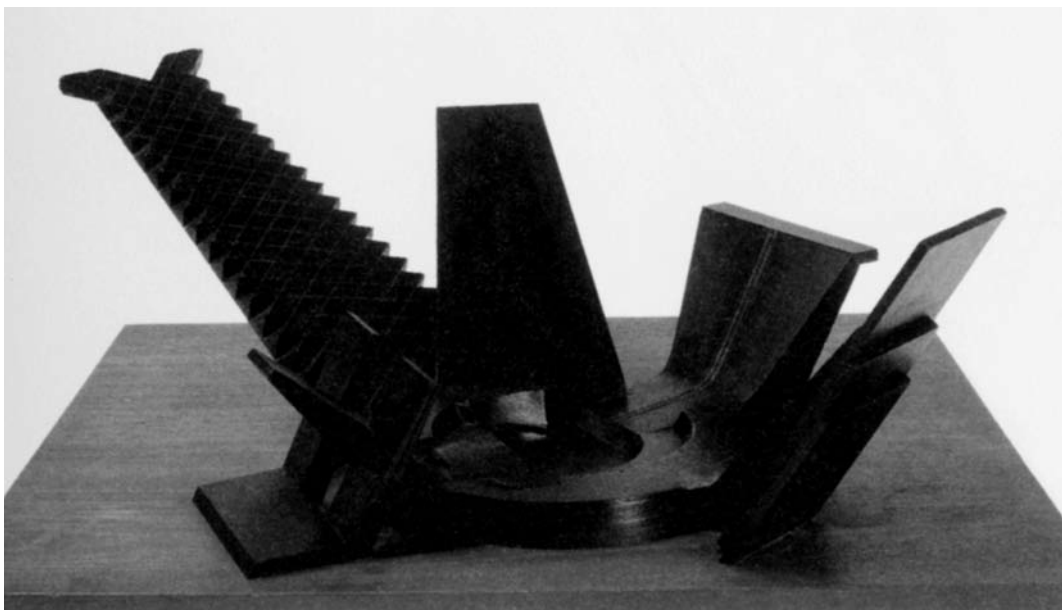
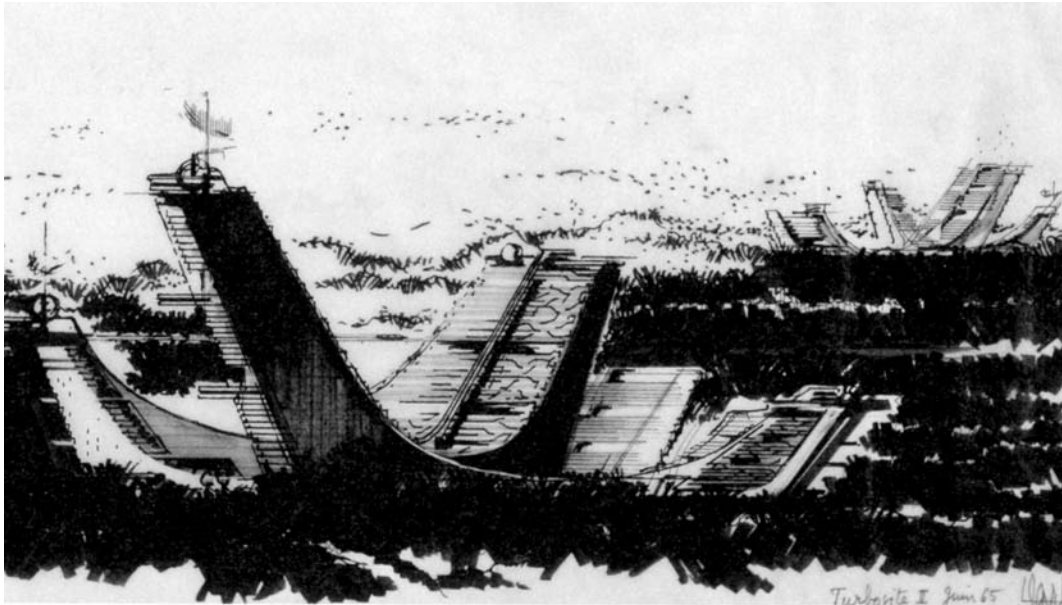


Abb. 1241: Claude Parent und Paul Virilio/Architecture Principe, Le Turbosites II, Entwurf 1965. Zeichnung, Filzstift auf Transparentpapier, 44,5 x 103 cm (Ausschnitt).

Abb. 1242: Claude Parent und Paul Virilio/Architecture Principe, La Ville noire, Entwurf 1965. Modell aus bemaltem Sperrholz, (h) 30,5 x 60 x 76 cm, Fotografie.

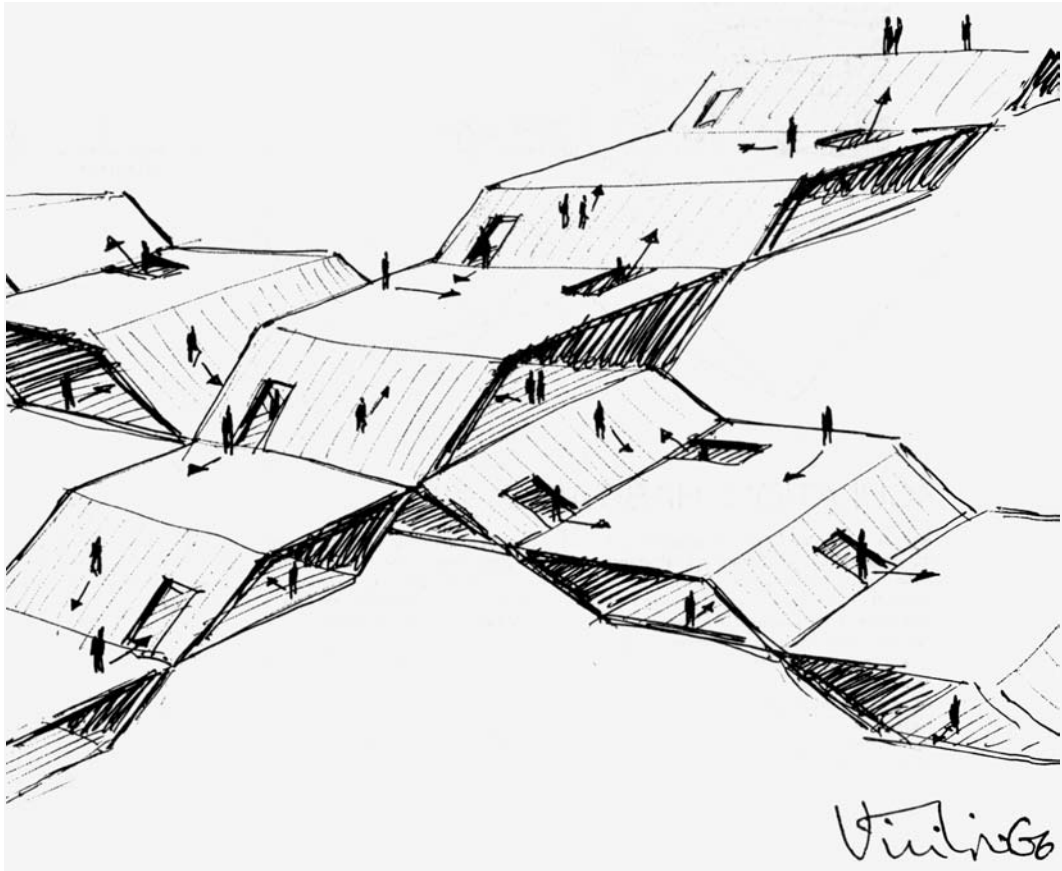


Abb. 1243: Paul Virilio/Architecture Principe, Circulation habitable, Entwurf 1966. Skizze.

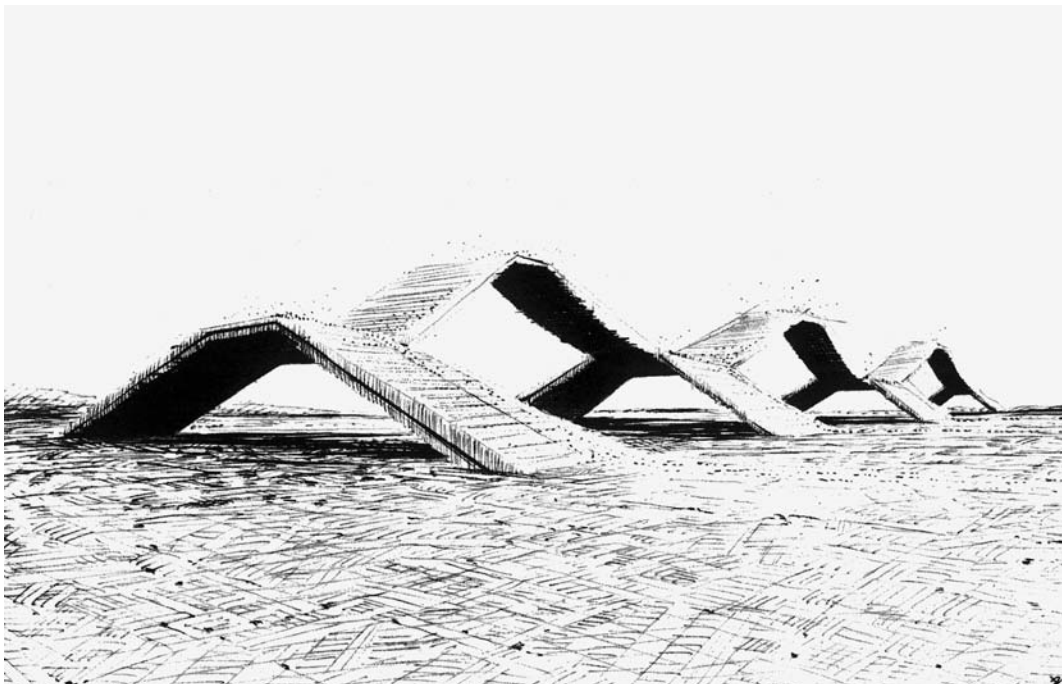
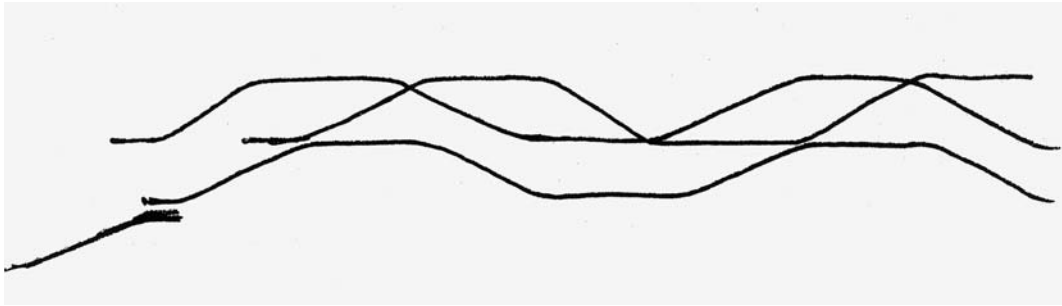


Abb. 1244: Claude Parent und Paul Virilio/Architecture Principe, Le Potentialisme, 1966. Skizze.
Abb. 1245: Claude Parent und Paul Virilio/Architecture Principe, Topotonique, Entwurf 1966.
Perspektive.

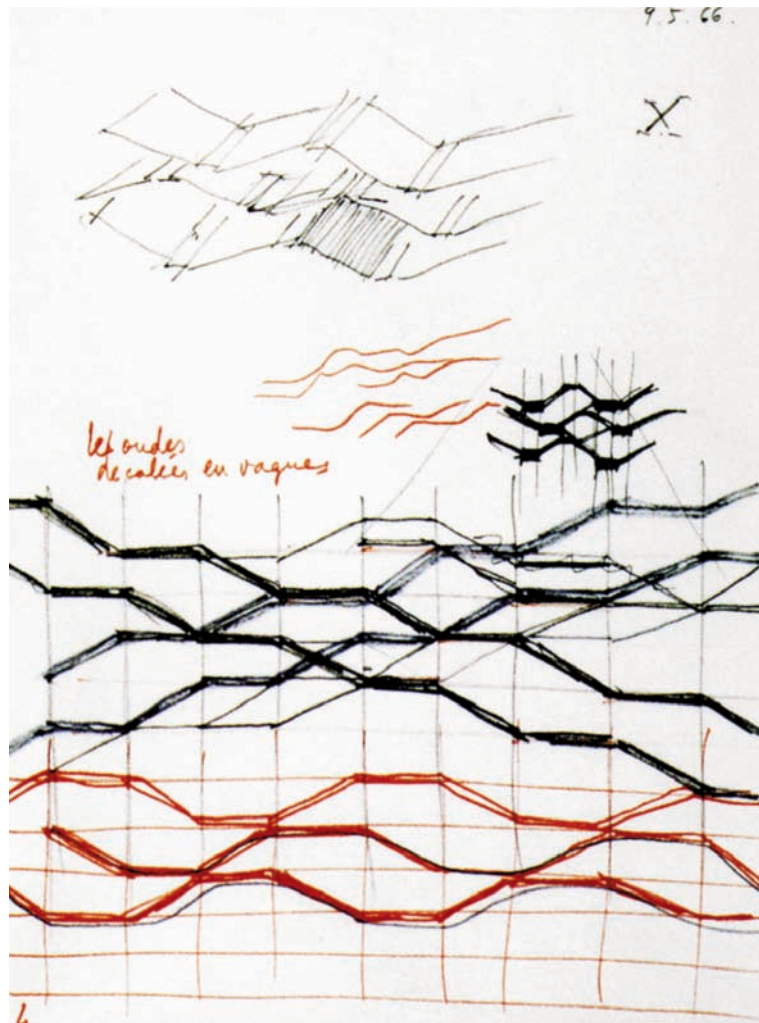


Abb. 1246: Claude Parent und Paul Virilio/Architecture Principe, Les ondes décalées en vagues, Entwurf 1966. Zeichnung, roter und schwarzer Filzstift auf Papier, 29,7 x 21 cm.

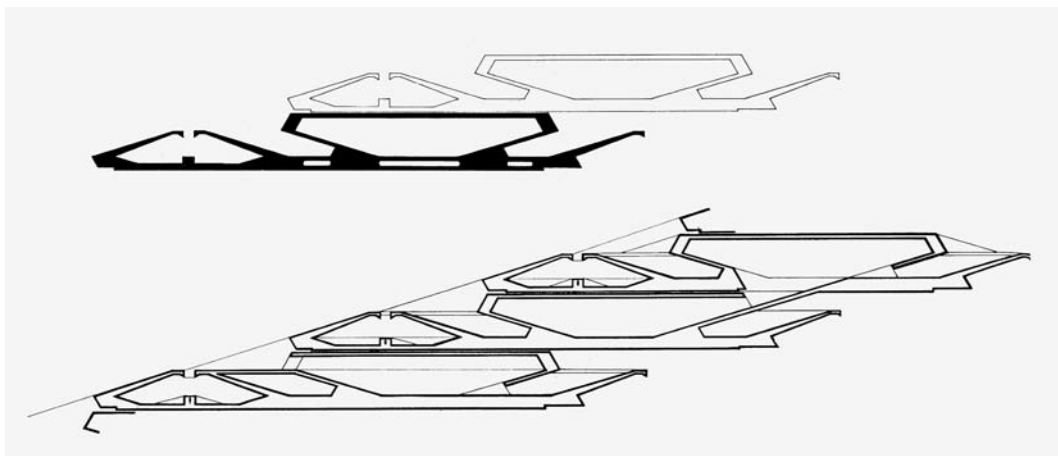
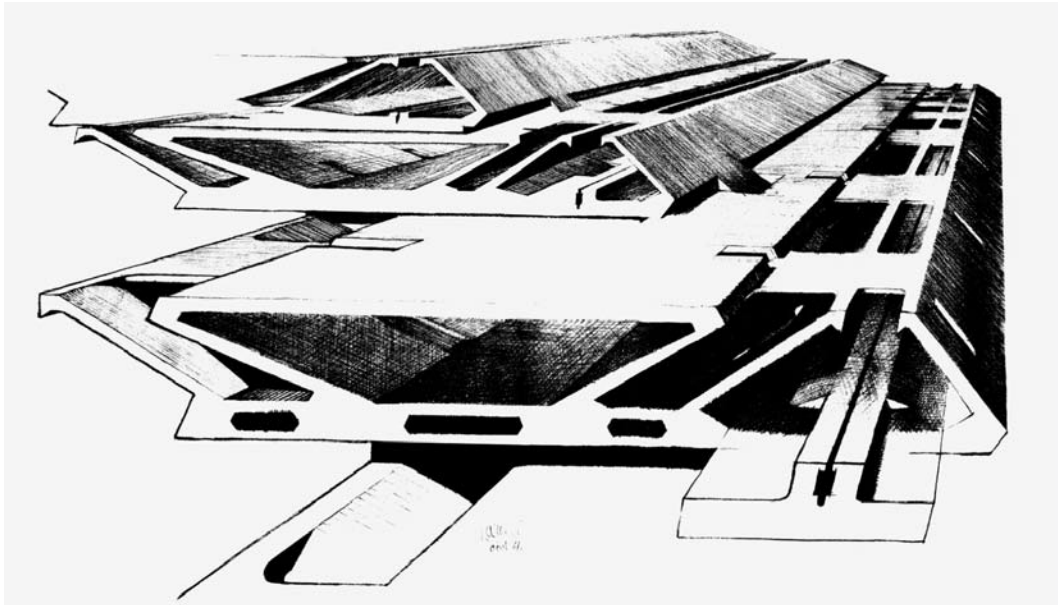


Abb. 1247: Claude Parent und Paul Virilio/Architecture Principe, Erweiterbares System aus schrägen Wohneinheiten, Entwurf 1966. Perspektive.

Abb. 1248: Claude Parent und Paul Virilio/Architecture Principe, Ineinander verzahnte, schräge Wohneinheiten, Entwurf 1966. Schnitt durch vorgefertigte Strukturelemente, durchschnittliche Neigung 25 % (invertiert von der Verf.).

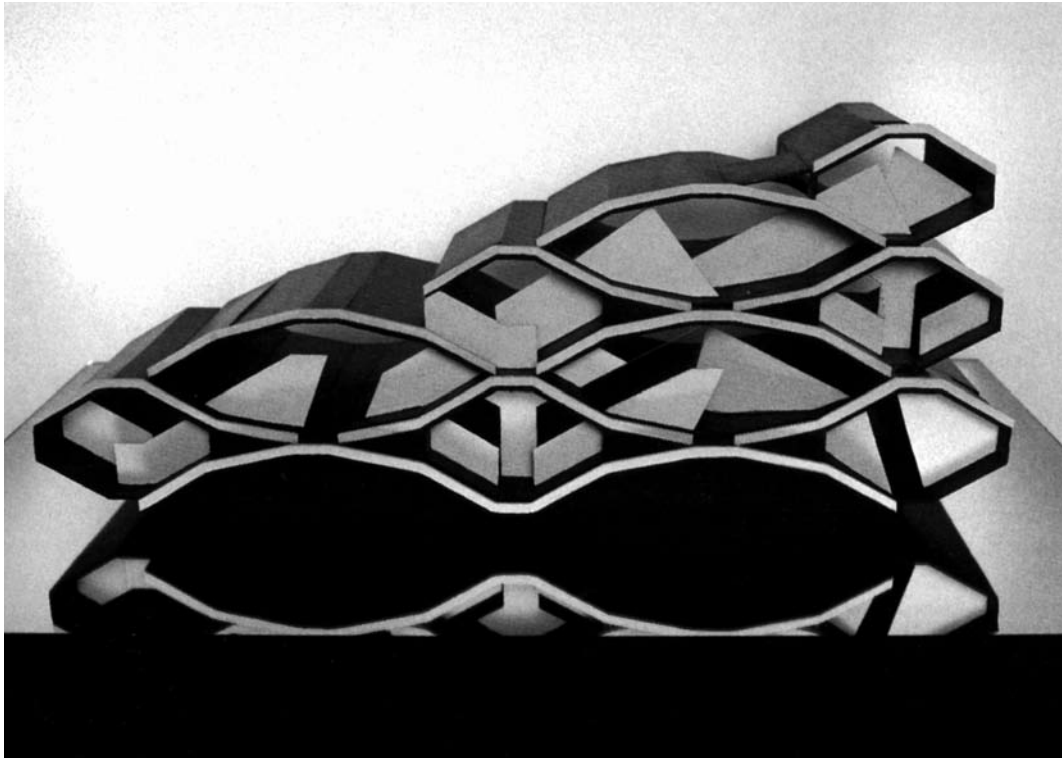


Abb. 1249: Claude Parent und Paul Virilio/Architecture Principe, Les inclisites, Entwurf 1968. Modell aus Holz (schwarze und weiß bemalt) und Kunststoff, 42 x 100 x 54 cm, Fotografie.

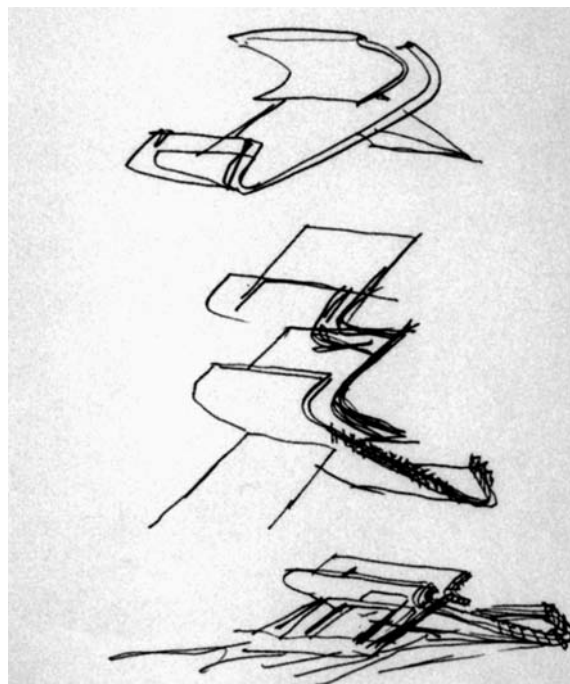
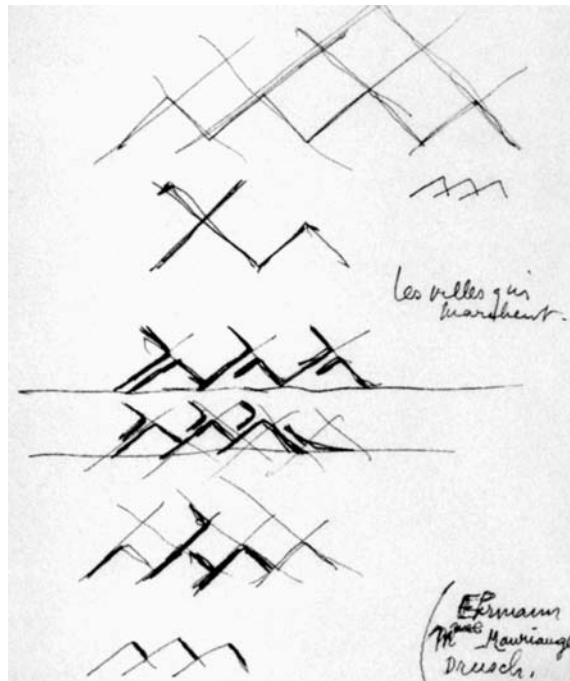


Abb. 1250: Claude Parent und Paul Virilio/Architecture Principe, Skizzen zur Verbindung umgekehrter Schrägen, 1965–67. Schnitte, 29,7 x 21 cm.
Abb. 1251: Axonometrien, 29,7 x 21 cm.

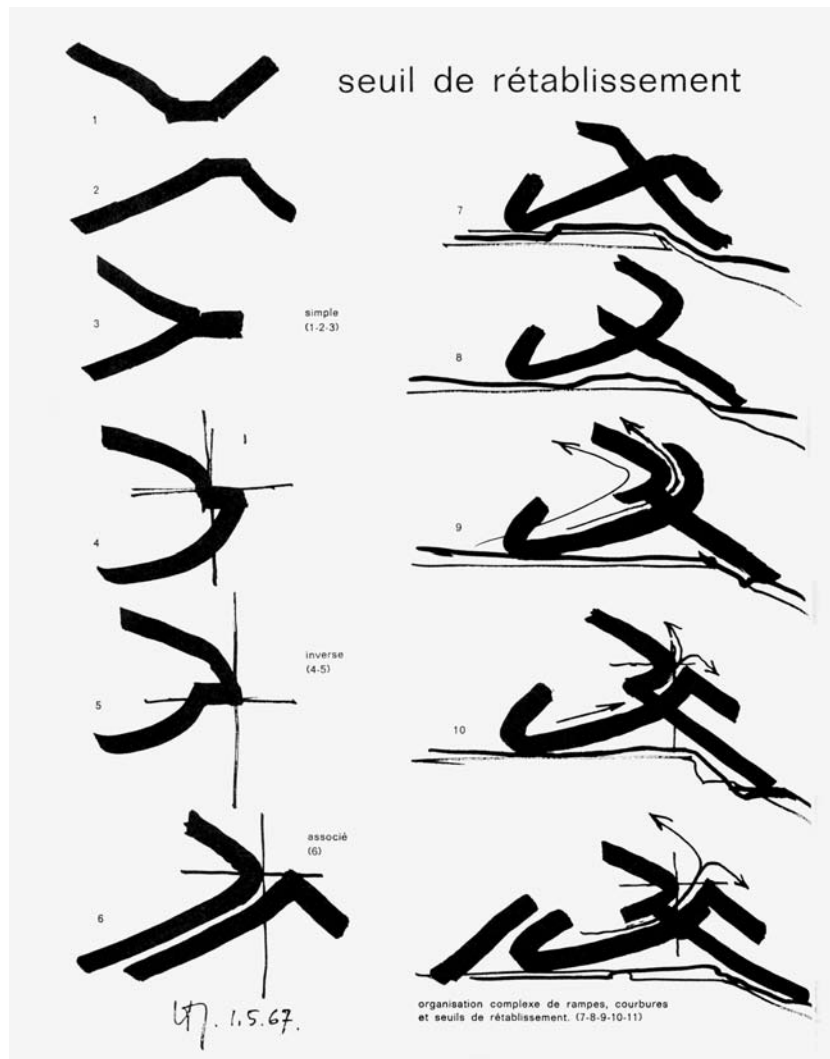


Abb. 1252: Claude Parent und Paul Virilio/Architecture Principe, Seuil de rétablissement, 1967. Schnittskizzen.

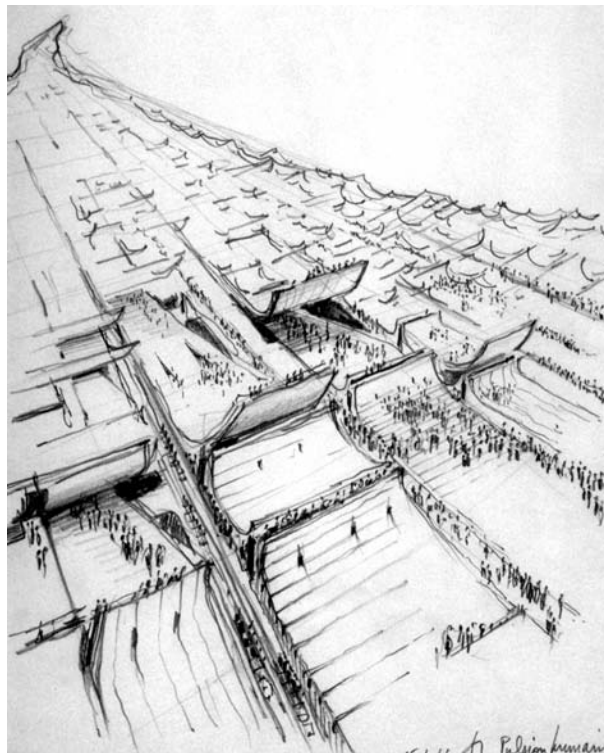
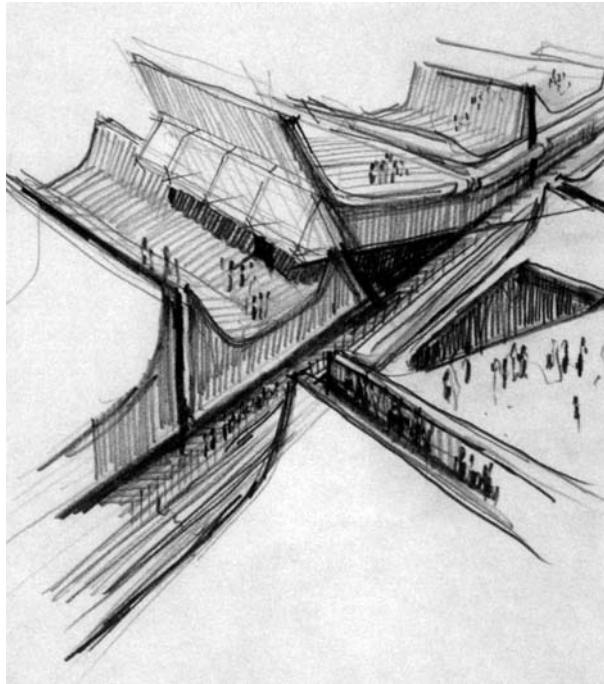


Abb. 1253: Claude Parent und Paul Virilio/Architecture Principe, Skizze zur Funktion der Schräge, 1965–67. Perspektive, 29,7 x 21 cm.

Abb. 1254: Claude Parent und Paul Virilio/Architecture Principe, Skizze zur Funktion der Schräge mit der Unterschrift „Pulsion humaine“, 1966. Perspektive, 29,7 x 21 cm.

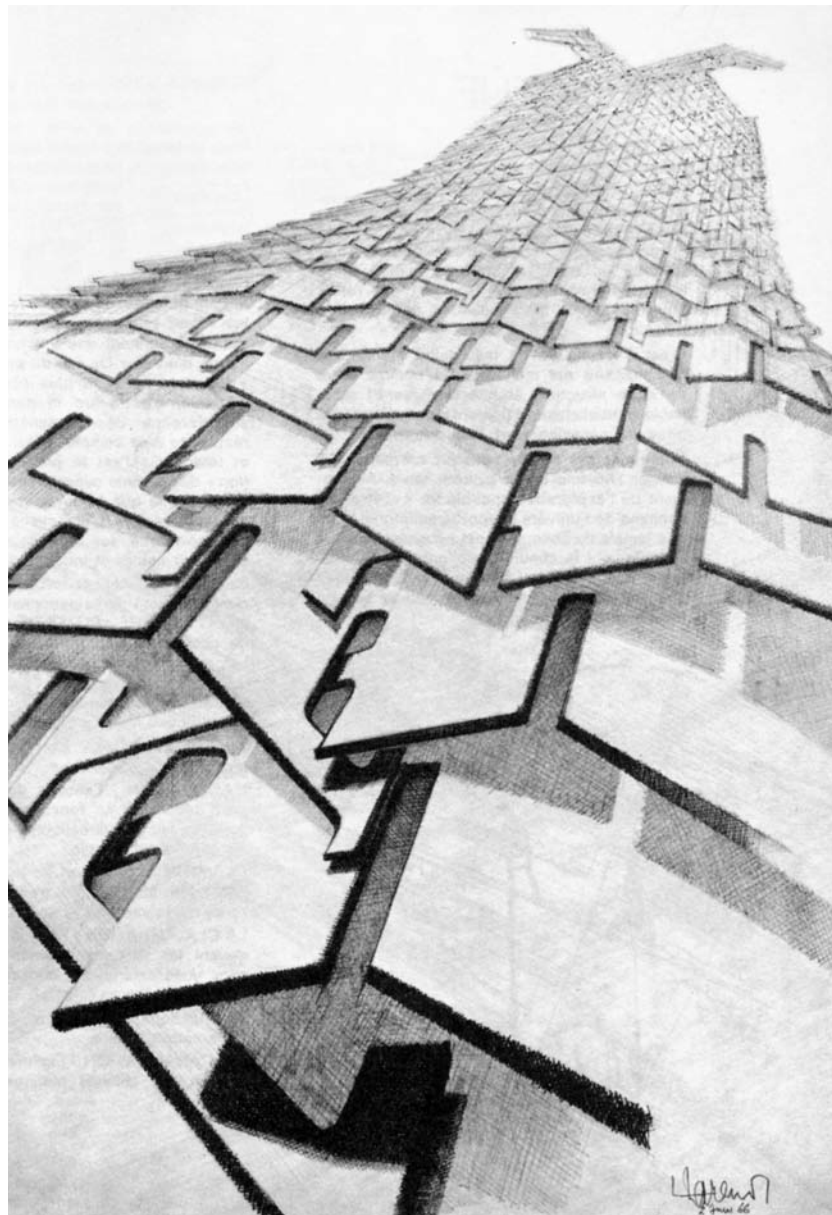


Abb. 1255: Claude Parent und Paul Virilio/Architecture Principe, Urbanistische Struktur, Entwurf 1966. Zeichnung.

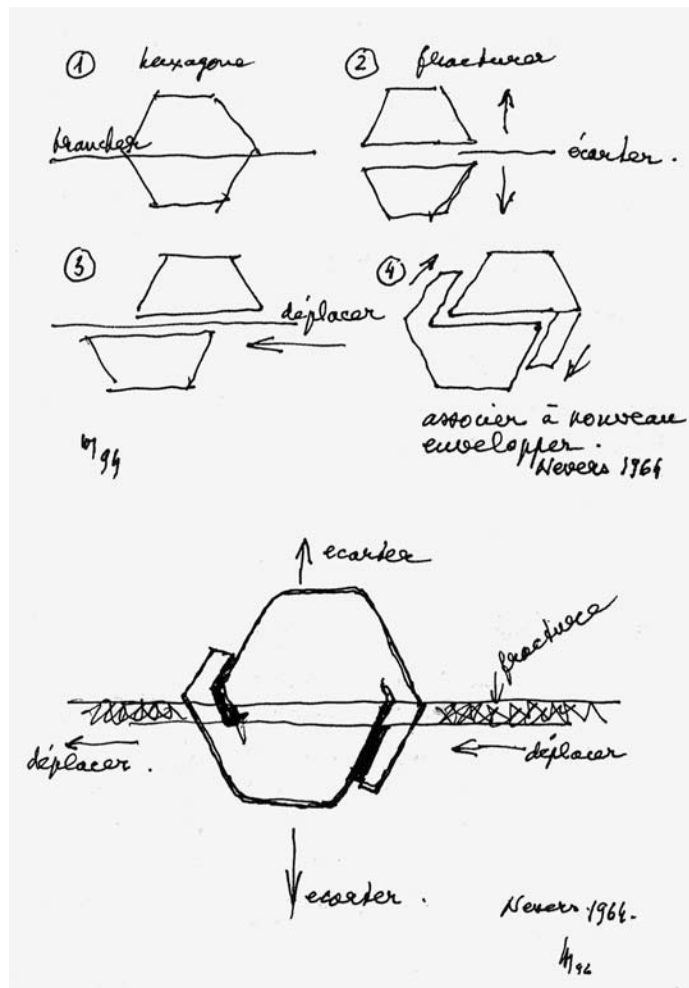


Abb. 1256: Claude Parent und Paul Virilio/Architecture Principe, Église Sainte-Bernadette du Banlay, Nevers, Frankreich, 1963–66. Grundrisskizzen aus Parents Skizzenbüchern, 1964.
 Abb. 1257: Signet (invertiert)

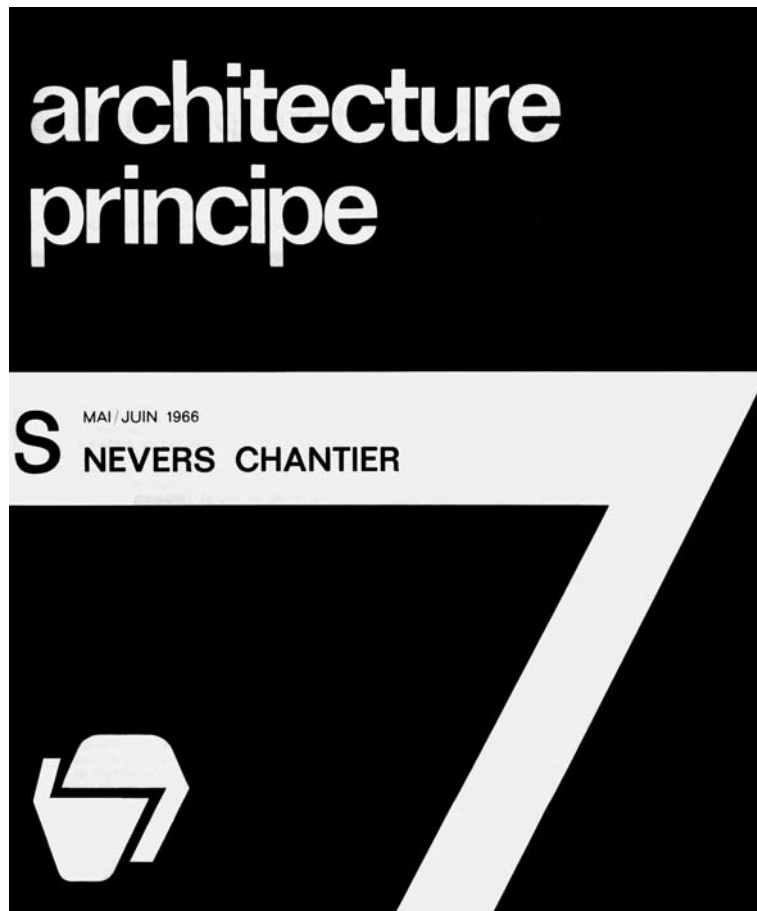


Abb. 1258: Titelseite der vierten Ausgabe (Spezialausgabe) der Zeitschrift *Architecture Principe*, Mai/Juni 1966.

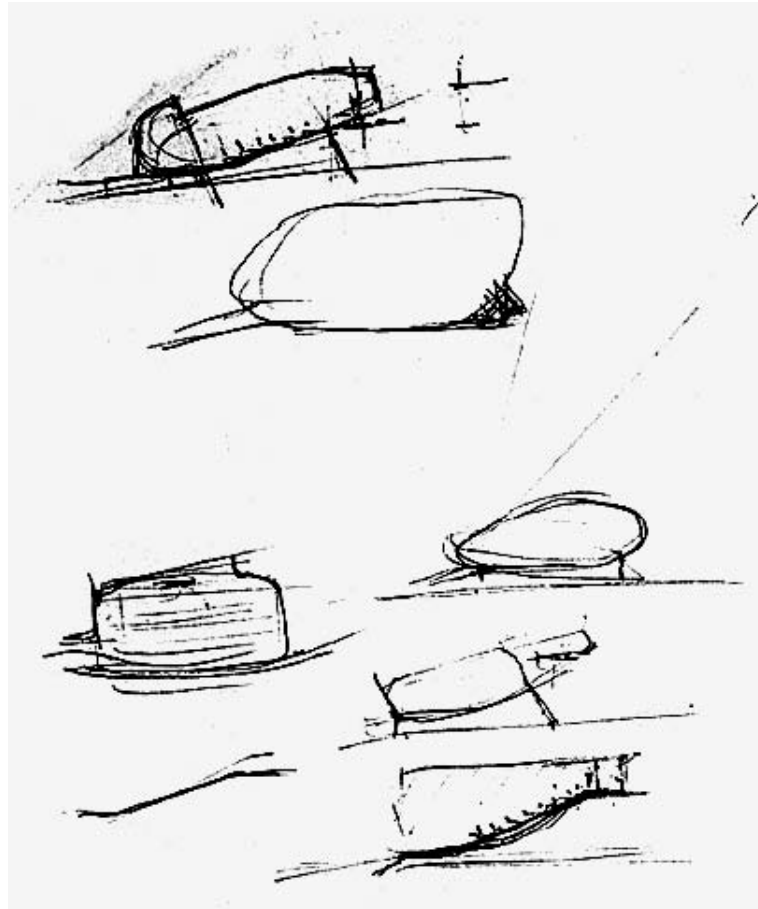


Abb. 1259: Claude Parent und Paul Virilio/Architecture Principe, Église Sainte-Bernadette du Banlay, Nevers, Frankreich, 1963–66. Entwurfsvariante, Skizzen, Tinte auf Papier, 26,5 x 20,5 cm.

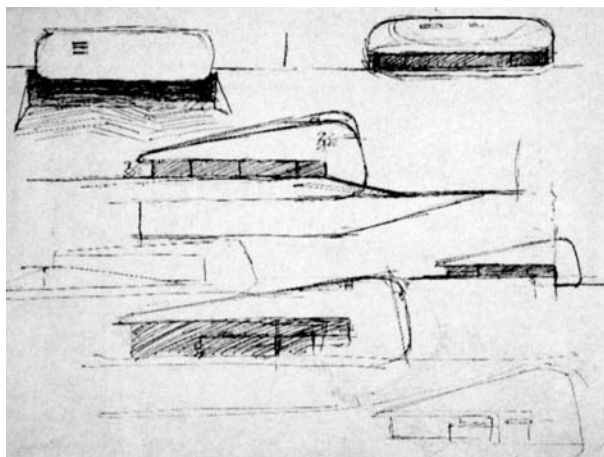
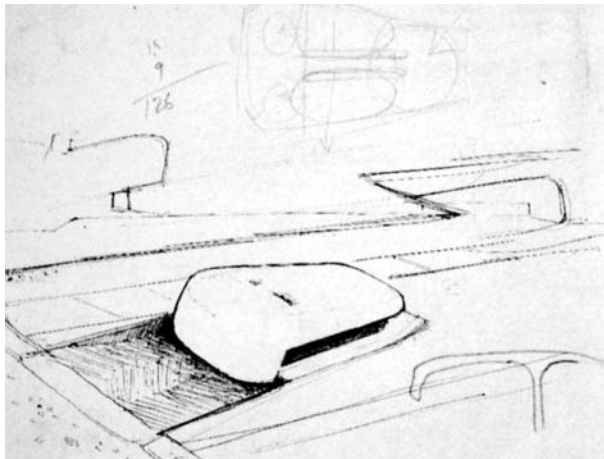
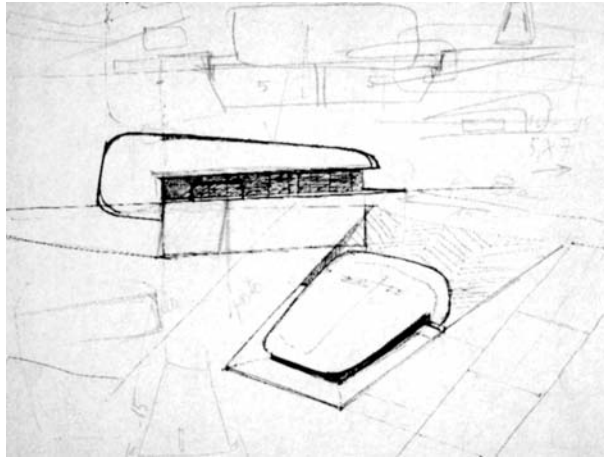


Abb. 1260: Claude Parent und Paul Virilio/Architecture Principe, Église Sainte-Bernadette du Banlay, Nevers, Frankreich, 1963–66. Entwurfsvariante, Skizzen (recto und verso), Bleistift auf Papier, 21 x 27 cm.

Abb. 1261: Entwurfsvariante, Skizzen (recto und verso), Bleistift auf Papier, 21 x 27 cm.

Abb. 1262: Entwurfsvariante, Skizzen (recto und verso), Bleistift auf Papier, 21 x 27 cm.

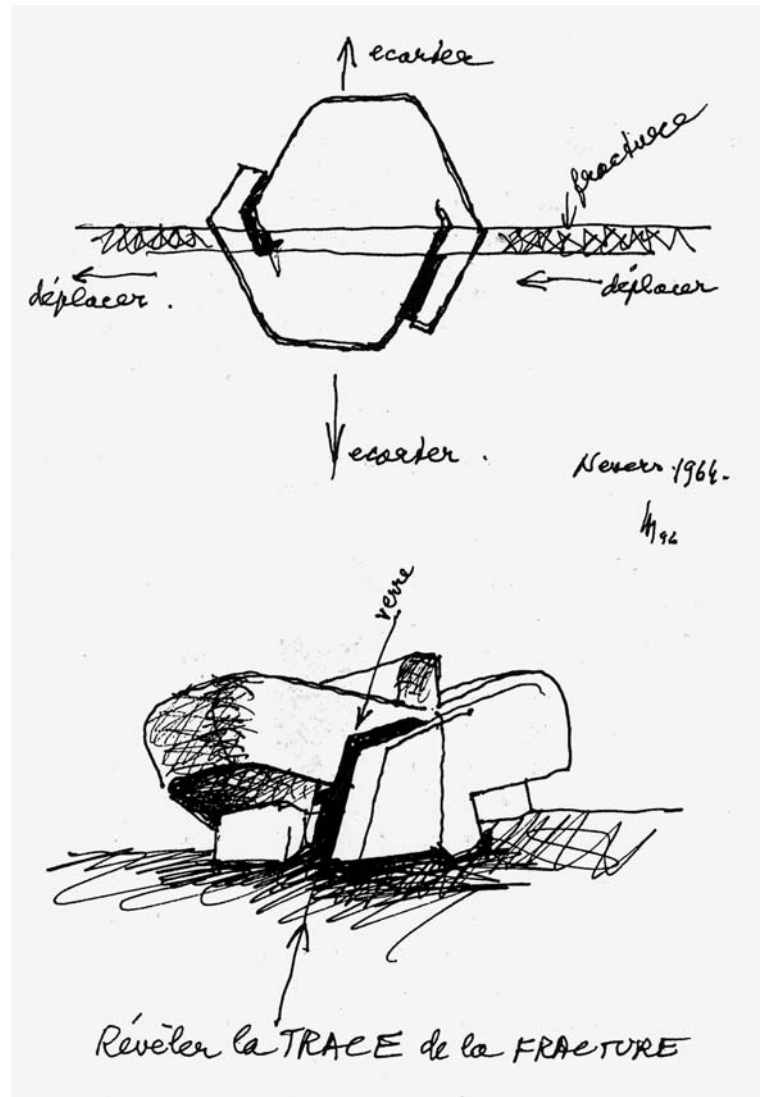


Abb. 1263: Claude Parent und Paul Virilio/Architecture Principe, Église Sainte-Bernadette du Banlay, Nevers, Frankreich, 1963–66. Schematischer Grundriss und Perspektive des Realisierungsentwurfes, Skizzen aus Parents Skizzenbüchern.

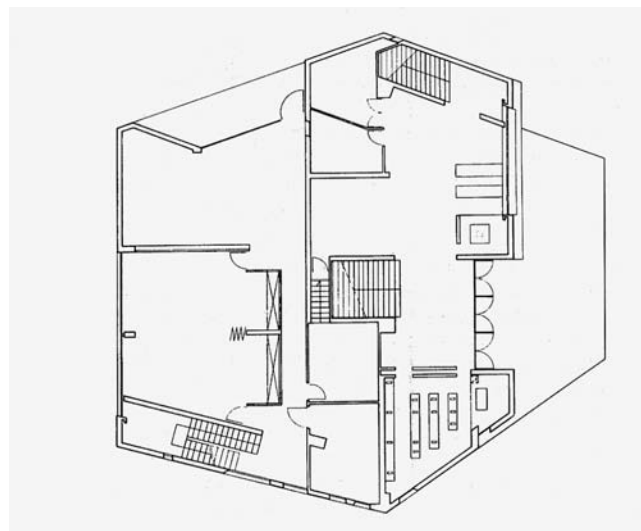
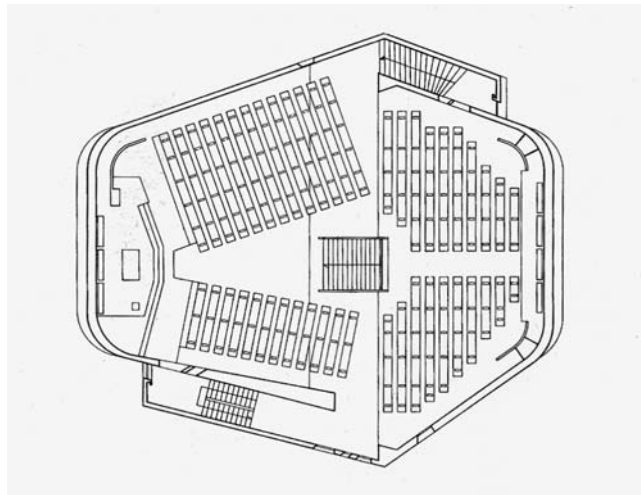
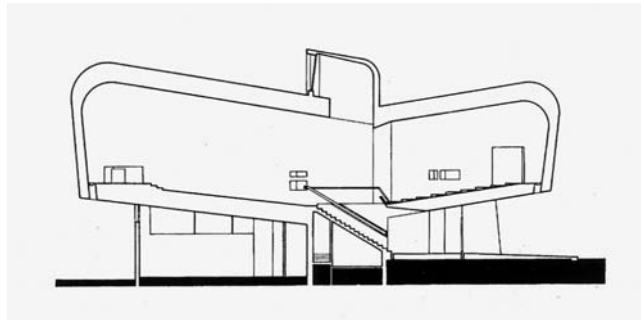


Abb. 1264: Claude Parent und Paul Virilio/Architecture Principe, Église Sainte-Bernadette du Banlay, Nevers, Frankreich, 1963–66. Längsschnitt, Tinte auf Transparentpapier, 79 x 96 cm.

Abb. 1265: Grundriss des ersten Obergeschosses, Tinte auf Transparentpapier, 79 x 99,5 cm.

Abb. 1266: Grundriss des Erdgeschosses, Tinte auf Transparentpapier, 79 x 114 cm.



Abb. 1267: Claude Parent und Paul Virilio/Architecture Principe, Église Sainte-Bernadette du Banlay, Nevers, Frankreich, 1963–66. Südwestseite, Fotografie.

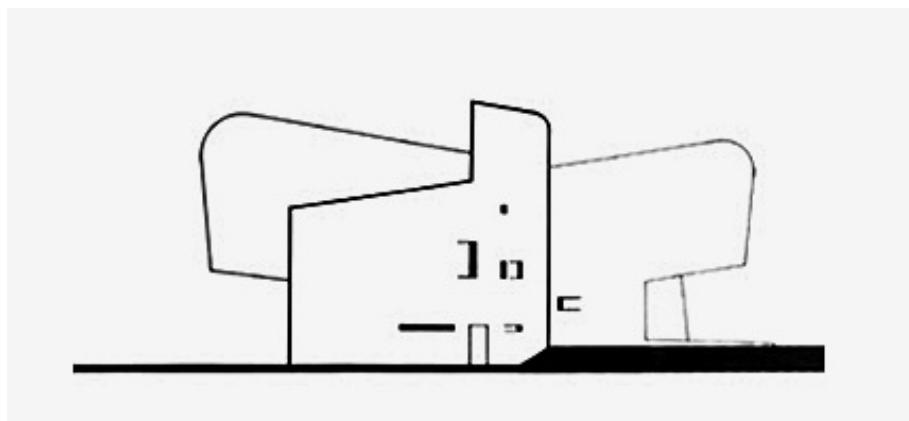
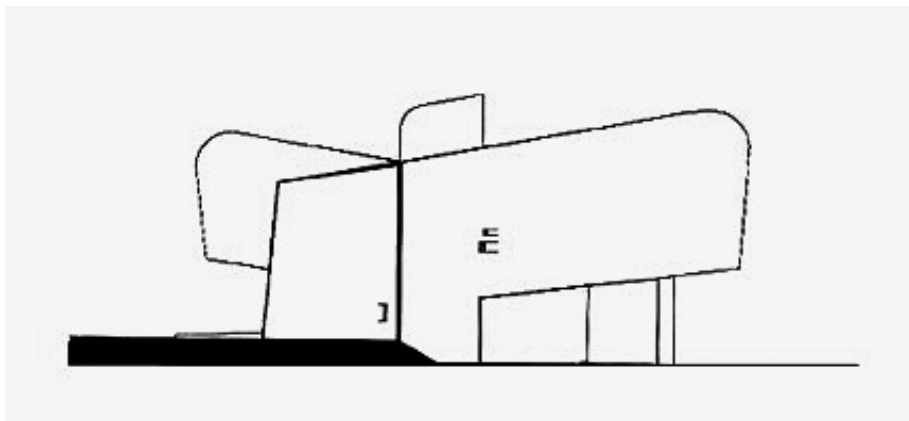


Abb. 1268: Claude Parent und Paul Virilio/Architecture Principe, Église Sainte-Bernadette du Banlay, Nevers, Frankreich, 1963–66. Modell aus Holz, 29 x 54 x 65 cm, Südwestseite, Fotografie.
Abb. 1269: Ansicht der Südseite, Tinte auf Transparentpapier, 64 x 106 cm.
Abb. 1270: Ansicht der Nordseite, Tinte auf Transparentpapier, 64 x 106 cm.



Abb. 1271: Claude Parent und Paul Virilio/Architecture Principe, Église Sainte-Bernadette du Banlay, Nevers, Frankreich, 1963–66. Kirche im Bau, Südwestseite, Fotografie.

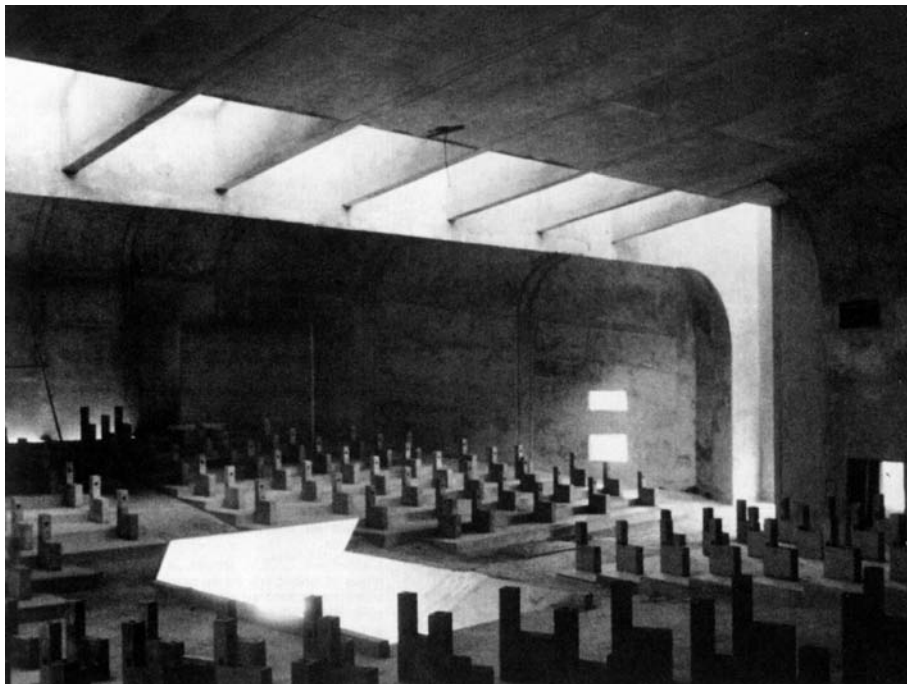
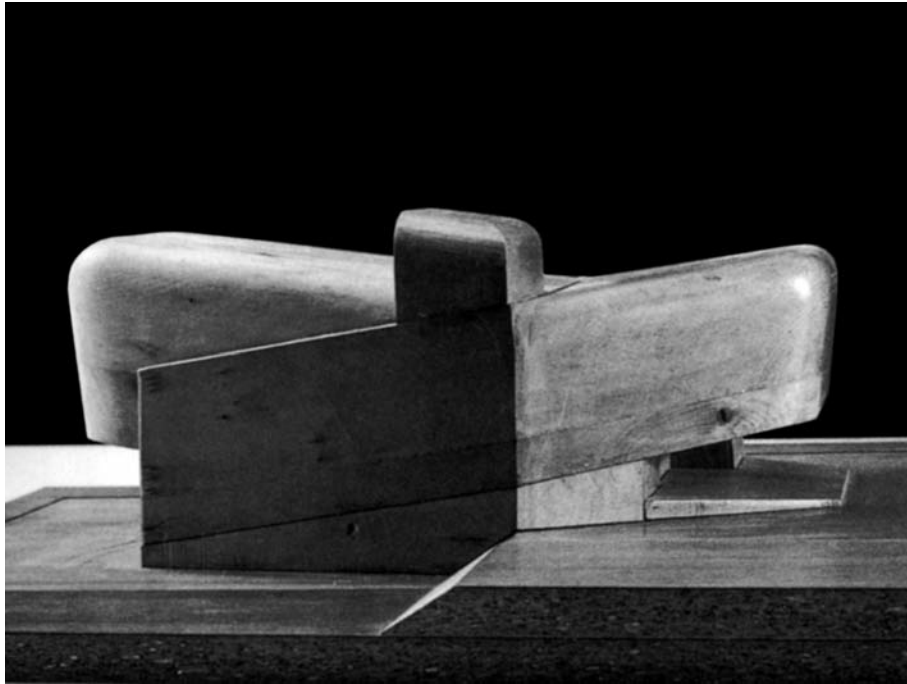


Abb. 1272: Claude Parent und Paul Virilio/Architecture Principe, Église Sainte-Bernadette du Banlay, Nevers, Frankreich, 1963–66. Modell aus Holz, Nordseite, Fotografie (Ausschnitt).
Abb. 1273: Kircheninnenraum im Bau, Blick nach Nordwesten auf die Nebenrampe, Fotografie.

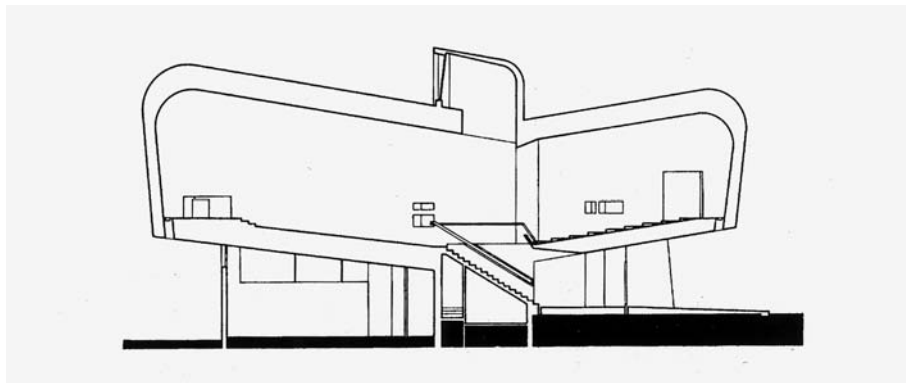
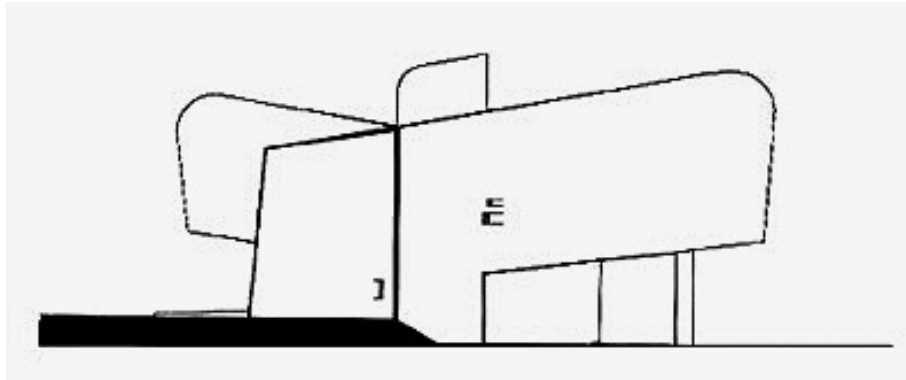


Abb. 1274: Claude Parent und Paul Virilio/Architecture Principe, Église Sainte-Bernadette du Banlay, Nevers, Frankreich, 1963–66. Ansicht der Südseite, Tinte auf Transparentpapier, 64 x 106 cm.
Abb. 1275: Längsschnitt, 79 x 96 cm, Tinte auf Transparentpapier.

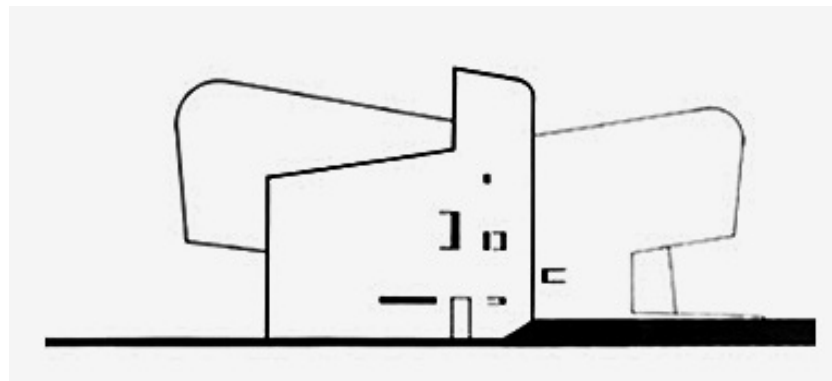
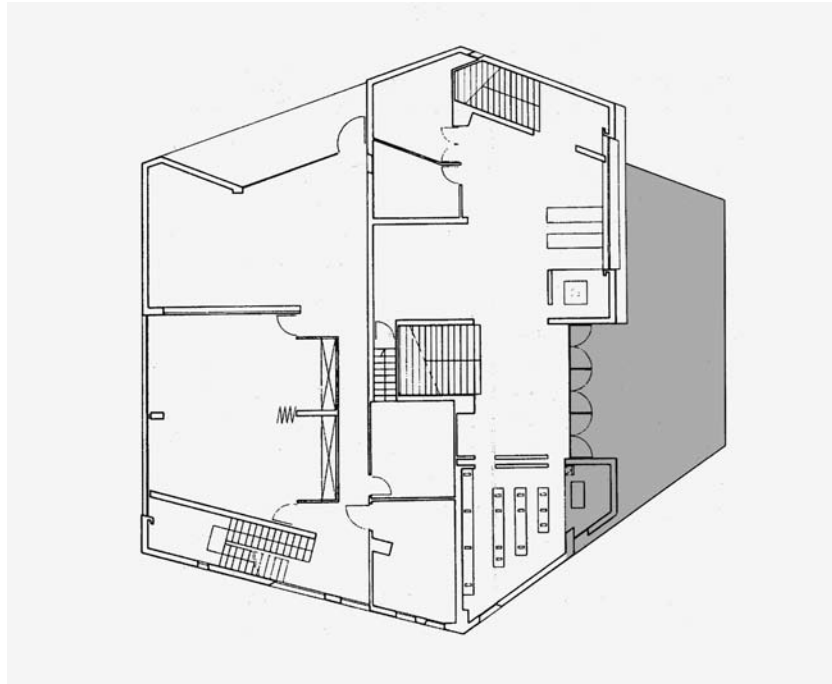


Abb. 1276: Claude Parent und Paul Virilio/Architecture Principe, Église Sainte-Bernadette du Banlay, Nevers, Frankreich, 1963–66. Grundriss des Erdgeschosses, 79 x 114 cm, Tinte auf Transparentpapier (graue Unterlegung von der Verf.).

Abb. 1277: Ansicht der Nordseite, Tinte auf Transparentpapier, 64 x 106 cm.



Abb. 1278: Claude Parent und Paul Virilio/Architecture Principe, Église Sainte-Bernadette du Banlay, Nevers, Frankreich, 1963–66. Modell aus Holz, Haupteingang auf der Westseite, Fotografie (Ausschnitt).

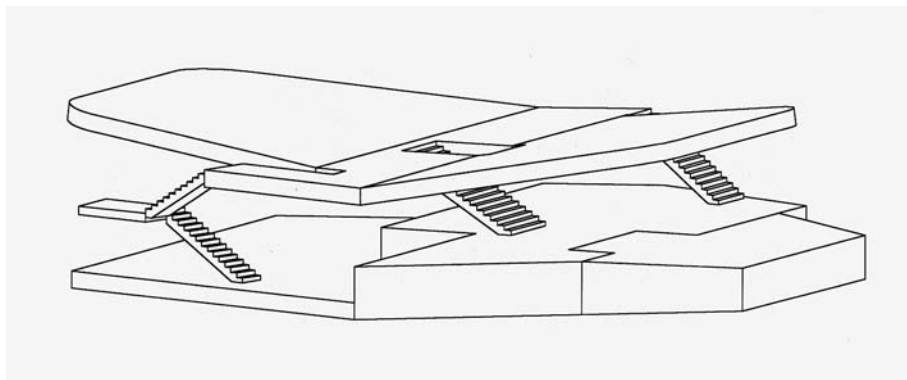
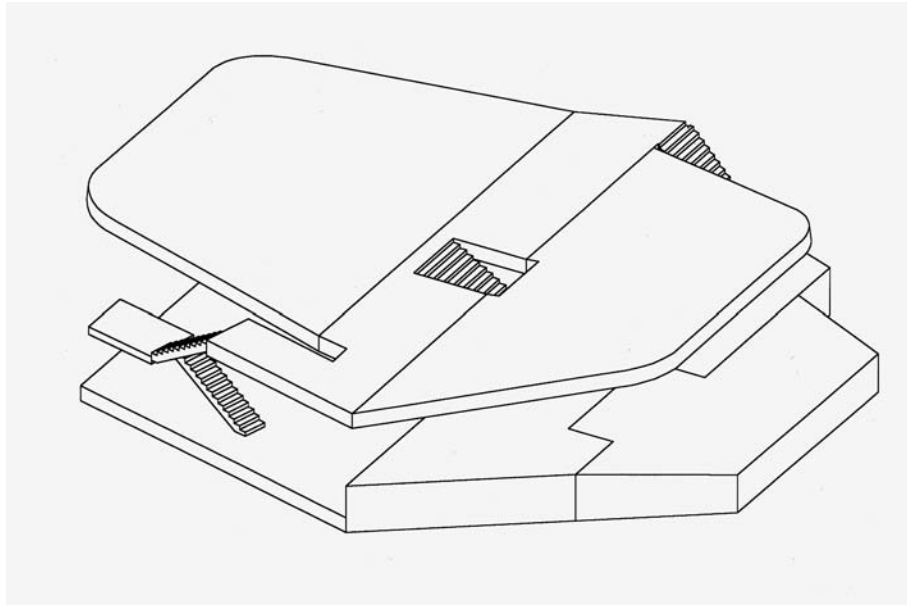


Abb. 1279: Claude Parent und Paul Virilio/Architecture Principe, Église Sainte-Bernadette du Banlay, Nevers, Frankreich, 1963–66. 3D-Modell der Bodenflächen und Treppen, Axonometrie, Blick von oben, Computerzeichnung von der Verf. (abgeleitet von Grundrissen und Längsschnitt), 2006.
Abb. 1280: Blick von der Seite, Computerzeichnung von der Verf.



Abb. 1281: Claude Parent und Paul Virilio/Architecture Principe, Église Sainte-Bernadette du Banlay, Nevers, Frankreich, 1963–66. Kirchenraum, Blick auf Nebenrampe, Fotografie.
Abb. 1282: Kirchenraum, Blick auf Seiteneingang und Hauptrampe mit Altar, Fotografie.



Abb. 1283: Claude Parent und Paul Virilio/Architecture Principe, Église Sainte-Bernadette du Banlay, Nevers, Frankreich, 1963–66. Kirchenraum im Bau, Blick auf Nebenrampe, Fotografie.

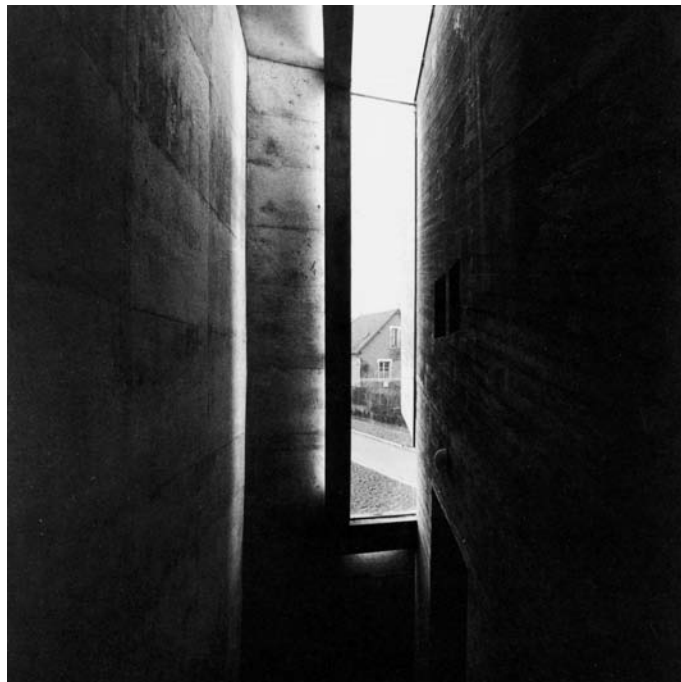
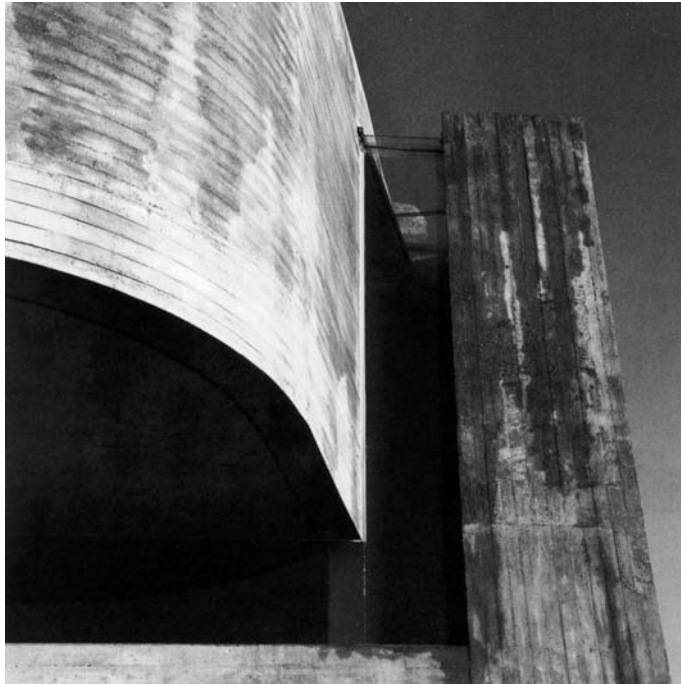


Abb. 1284: Claude Parent und Paul Virilio/Architecture Principe, Église Sainte-Bernadette du Banlay, Nevers, Frankreich, 1963–66. Tageslichtöffnung, Blick von außen, Fotografie.
Abb. 1285: Tageslichtöffnung, Blick von innen, Fotografie.

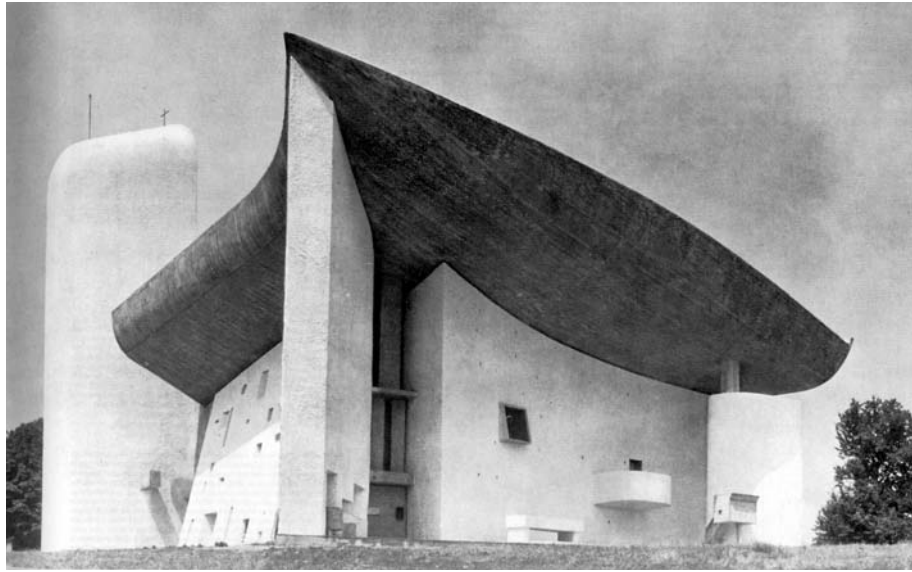


Abb. 1286: Le Corbusier, Chapelle de Ronchamp, Frankreich, 1950–55. Südostseite, Fotografie (Ausschnitt).

Abb. 1287: Innenraum der Kapelle, Fotografie.

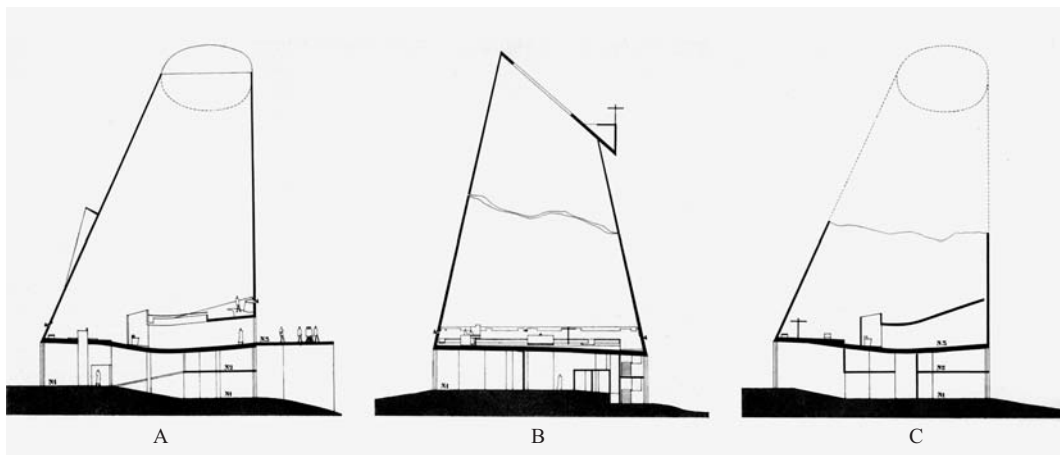
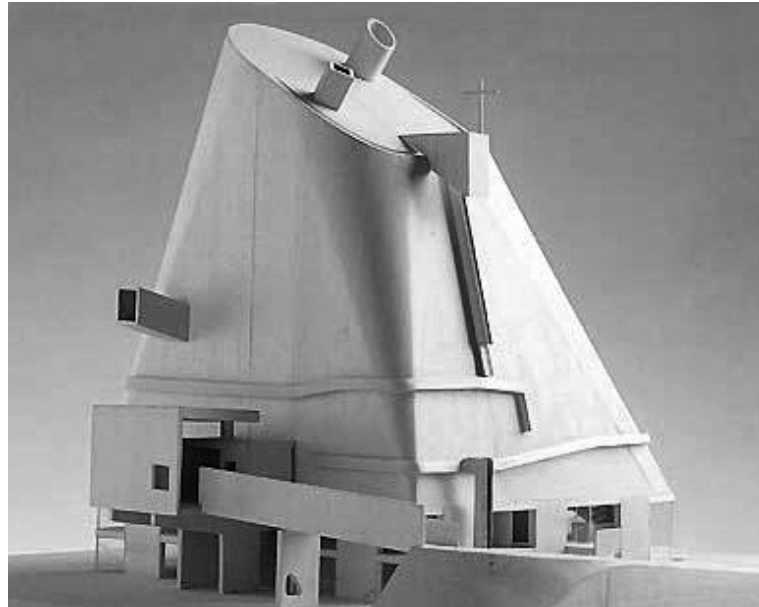


Abb. 1288: Le Corbusier, Église Saint-Pierre, Firminy-Vert, Frankreich, 1960–64 (Fragment), Fertigstellung 2006. Modell aus Holz, Fotografie.
Abb. 1289: Schnitte in Ost-West- (A), Nord-Süd- (B) und Ost-West-Richtung (C).



Abb. 1290: Bunkeranlage am Atlantikwall, Frankreich, 1942–44. Aussichtsposten, Fotografie von Paul Virilio, erstellt zwischen 1958–1965, abgebildet in: Paul Virilio, *Bunker Archeology*, Paris 1994, S. 97.

Abb. 1291: Claude Parent und Paul Virilio/Architecture Principe, Église Sainte-Bernadette du Banlay, Nevers, Frankreich, 1963–66. Ostseite, Fotografie.

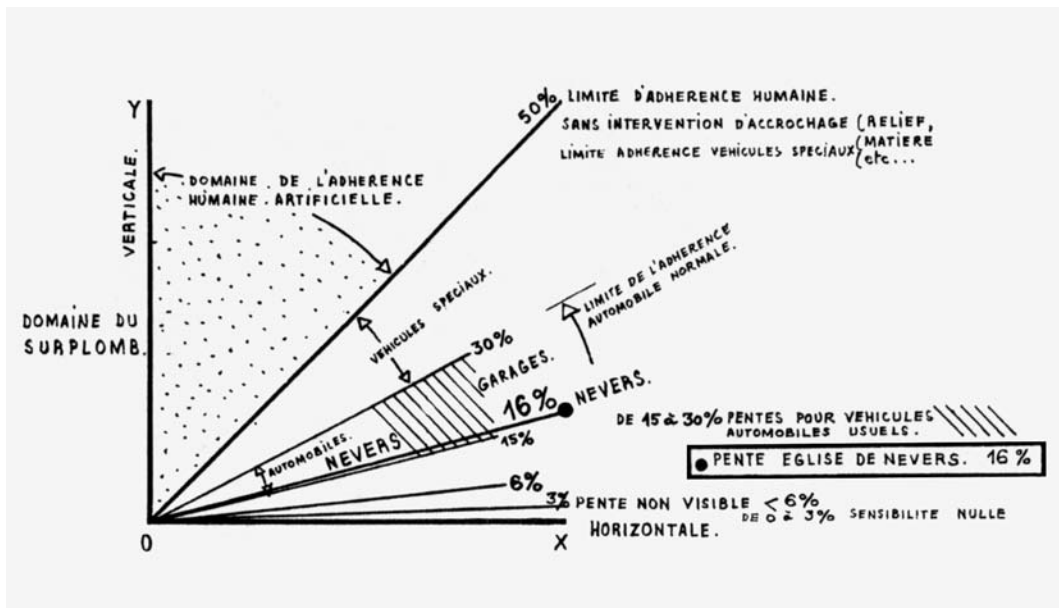


Abb. 1292: Claude Parent und Paul Virilio/Architecture Principe, Église Sainte-Bernadette du Banlay, Nevers, Frankreich, 1963–66. Diagramm zur Klassifikation von Steigungen und Rampen.

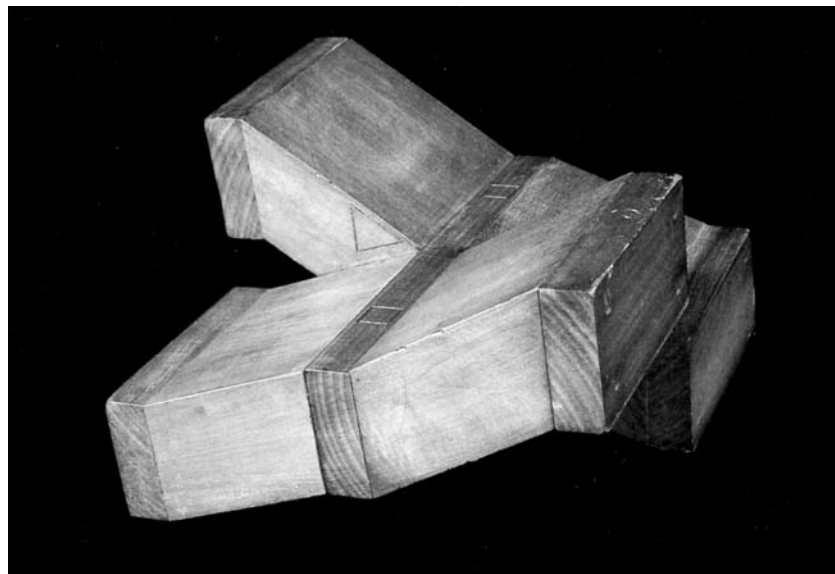
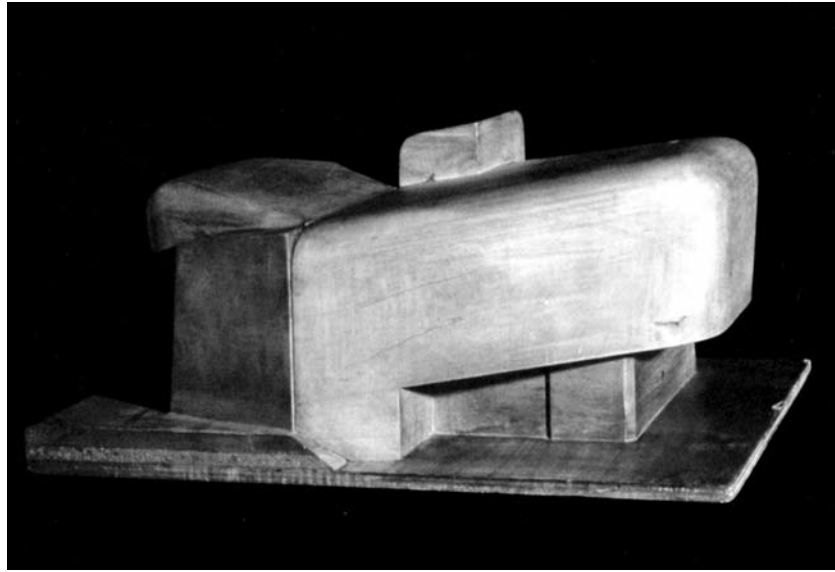


Abb. 1293: Claude Parent und Paul Virilio/Architecture Principe, Église Sainte-Bernadette du Banlay, Nevers, Frankreich, 1963–66. Modell aus Holz, 29 x 54 x 65 cm, Südwestseite, Fotografie.
Abb. 1294: Claude Parent und Paul Virilio/Architecture Principe, IP 1, Instabilisateur pendulaire, Nanterre, Frankreich, Entwurf 1968. Modell aus Holz, Metall, (h) 22 x 22 x 13 cm, Fotografie.

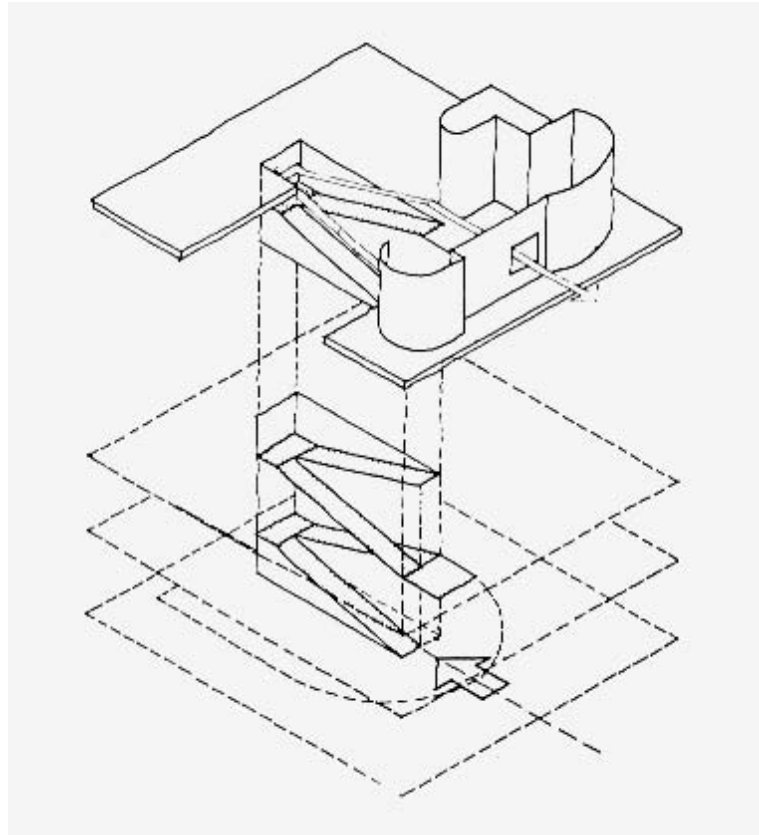


Abb. 1295: Le Corbusier und Pierre Jeanneret, Villa Savoye, Poissy, Frankreich, 1929–31. Isometrie der Rampe, Wegführung und Bewegungsrichtung.



Abb. 1296: Le Corbusier und Pierre Jeanneret, Villa Savoye, Poissy, Frankreich, 1929–31. Rampe auf die Dachterrasse, Fotografie.

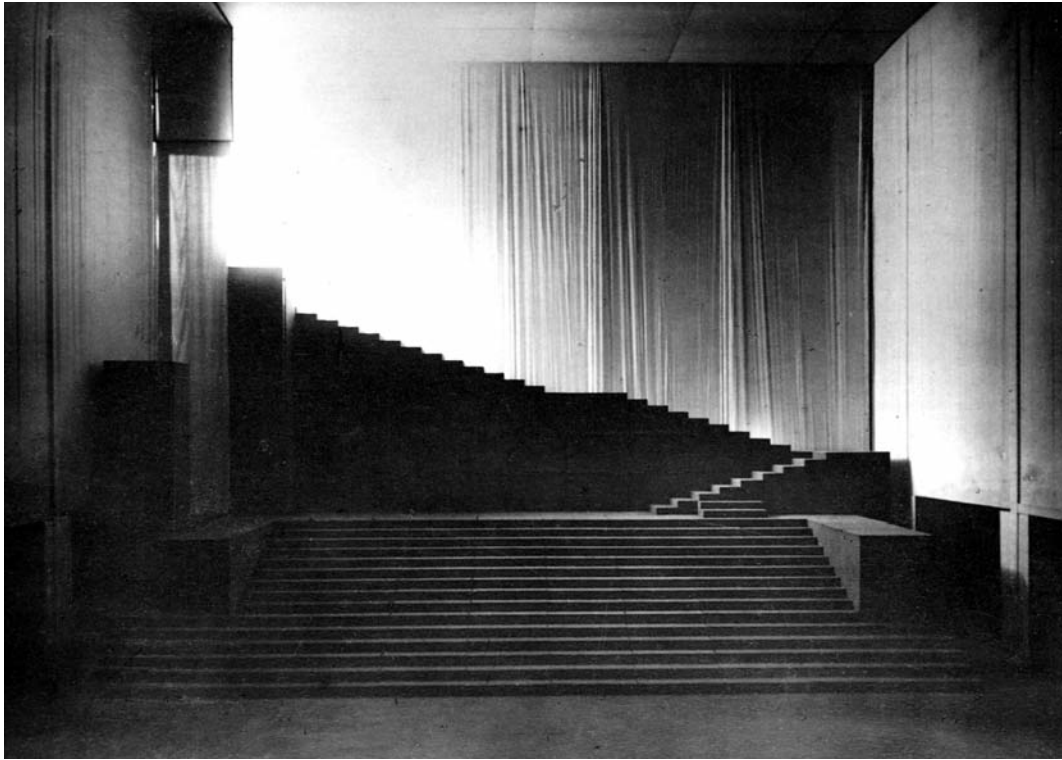


Abb. 1297: Adolphe Appia, Bühnenbild für den zweiten Akt von Christoph Willibald Glucks *Orpheus und Eurydike* in Heinrich Tessenows Festspielhaus Hellerau, 1912. Fotografie.

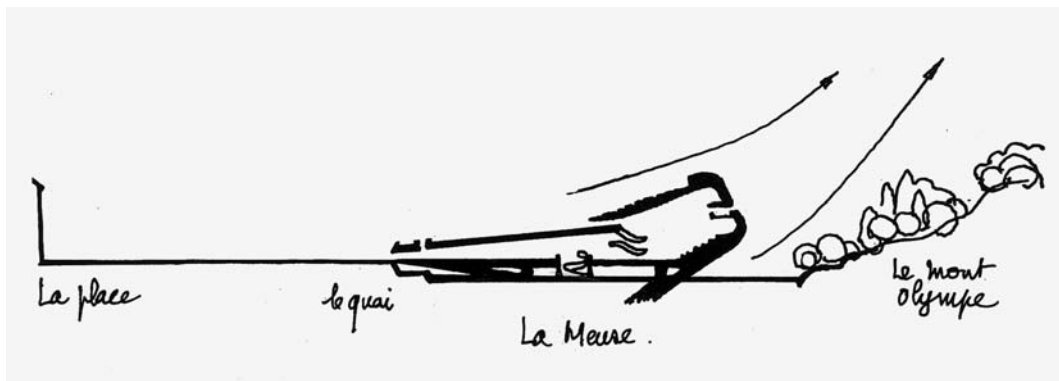
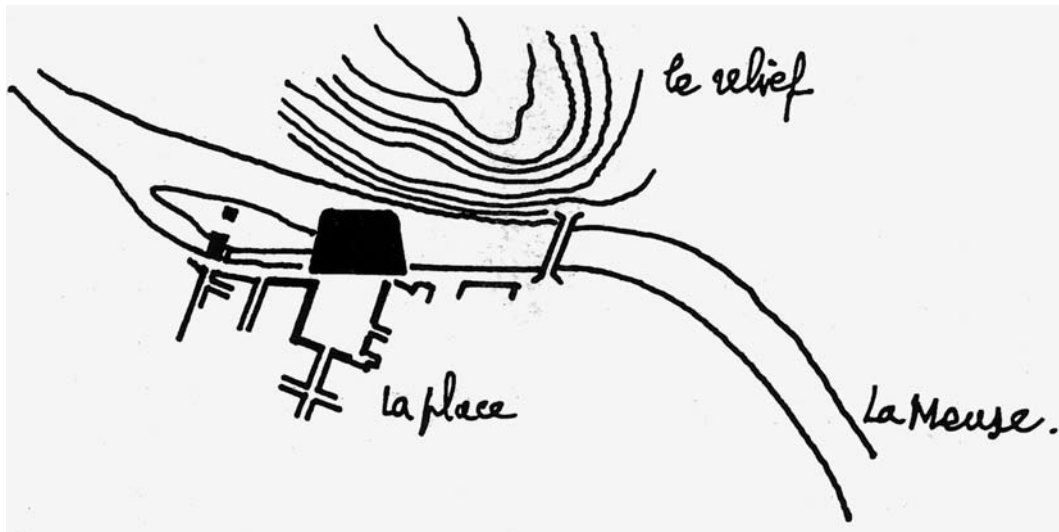


Abb. 1298: Claude Parent und Paul Virilio/Architecture Principe, Palais des expositions de Charleville, Frankreich, Entwurf 1966/67. Schematischer Lageplan.
 Abb. 1299: Schematischer Längsschnitt.

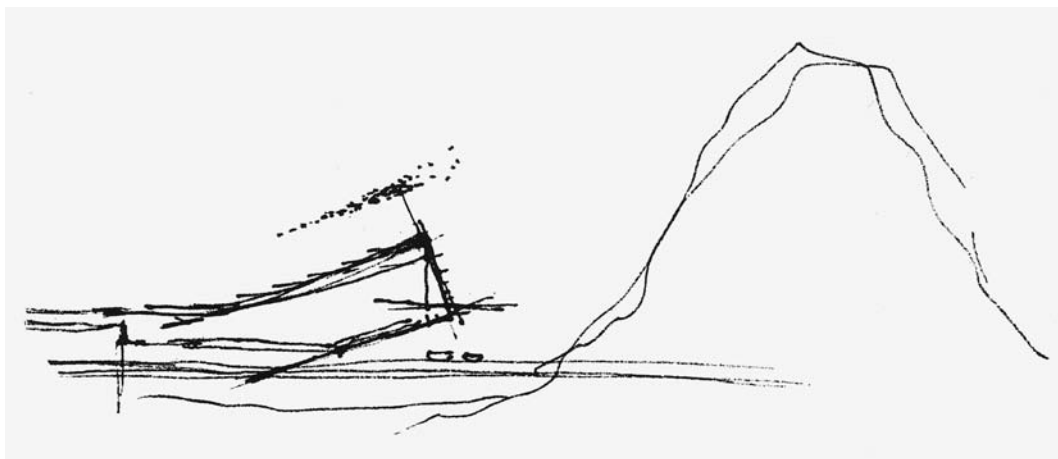
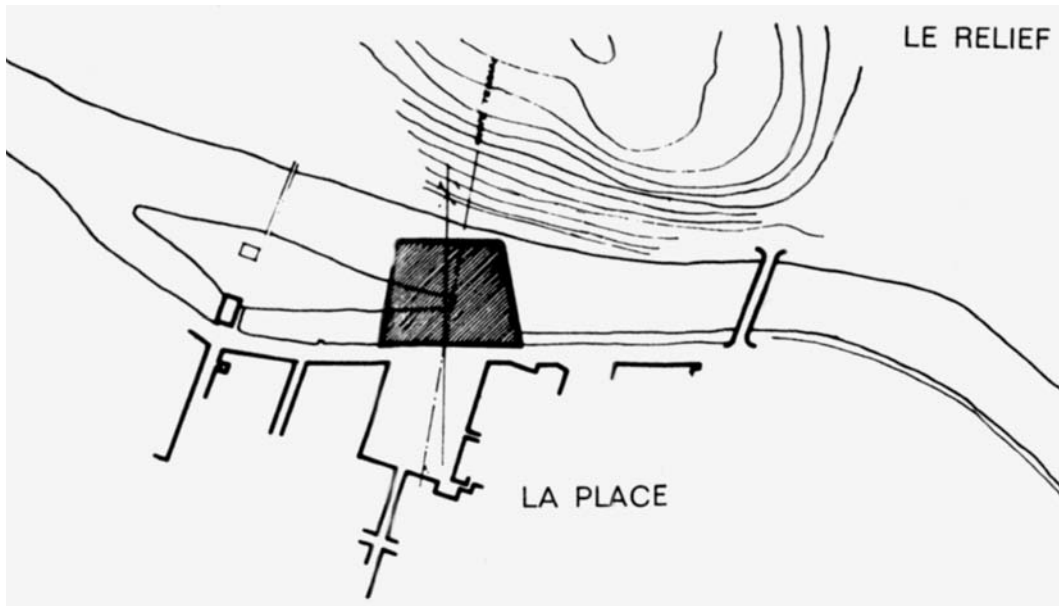


Abb. 1300: Claude Parent und Paul Virilio/Architecture Principe, Palais des expositions de Charleville, Frankreich, Entwurf 1966/67. Schematischer Lageplan, Tinte auf Transparentpapier, 73 x 103,5 cm (Ausschnitt).

Abb. 1301: Schematischer Längsschnitt mit Umgebung, Skizze.

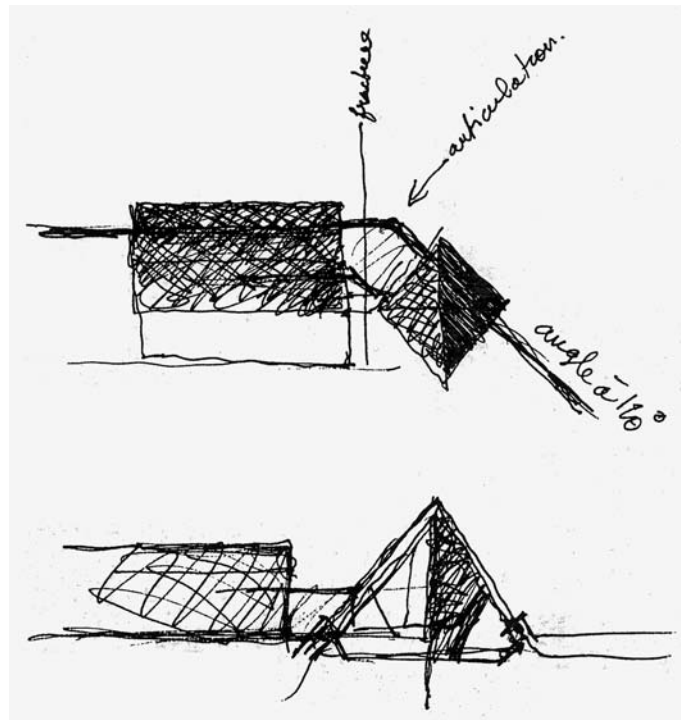


Abb. 1302: Claude Parent, Maison Soutrait, Domont, Frankreich, Entwurf 1957. Aufsicht und Ansicht, Skizzen.

Abb. 1303: Claude Parent, Maison Drusch, Versailles, Frankreich, 1963–66. Fotografie.

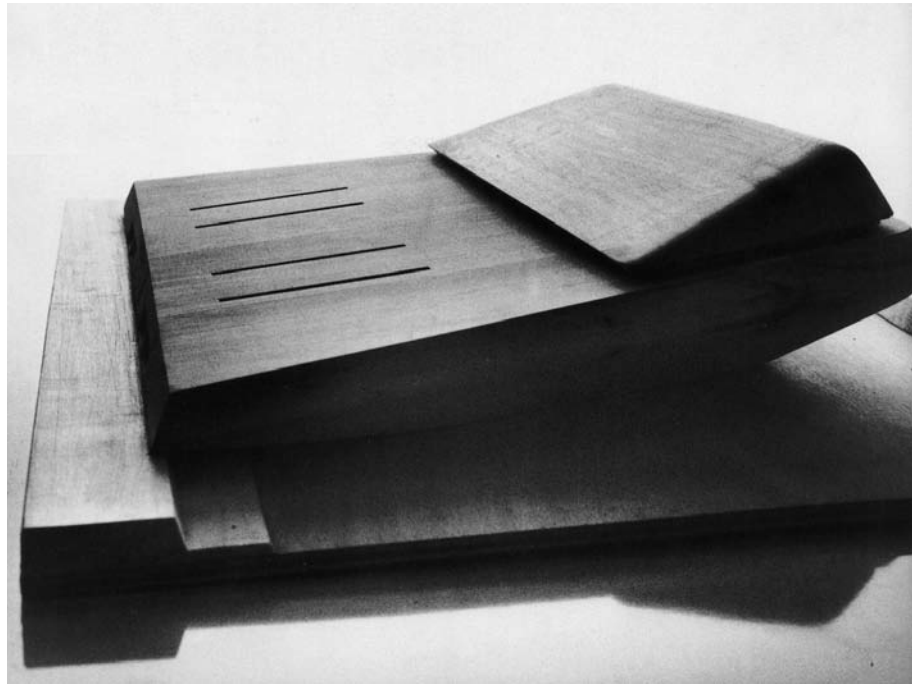
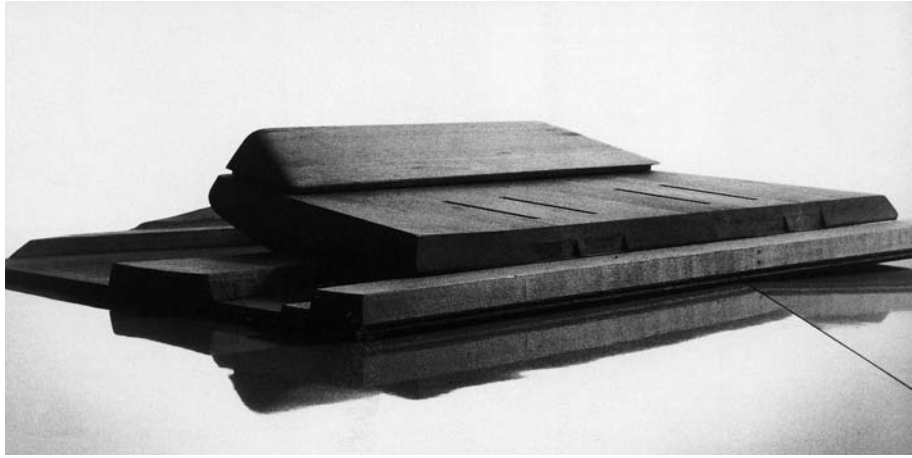


Abb. 1304: Claude Parent und Paul Virilio/Architecture Principe, Palais des expositions de Charleville, Frankreich, Entwurf 1966/67. Modell aus Holz, Südwestseite, Fotografie.
Abb. 1305: Modell aus Holz, Ostseite, Fotografie.

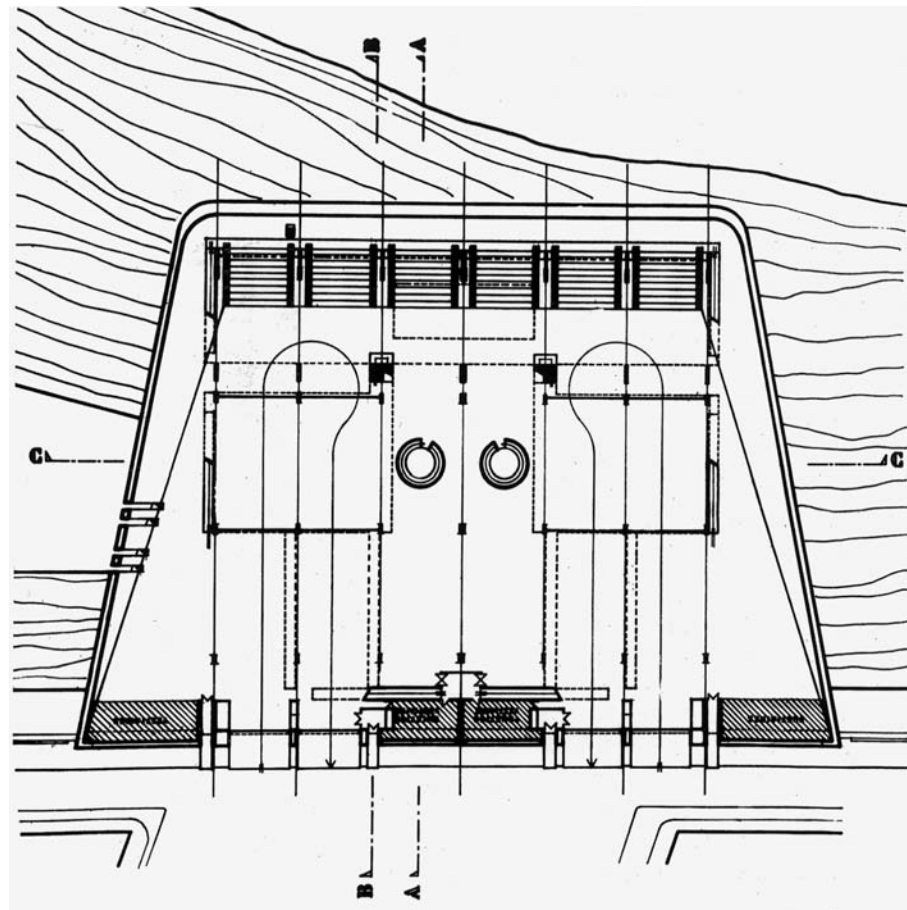
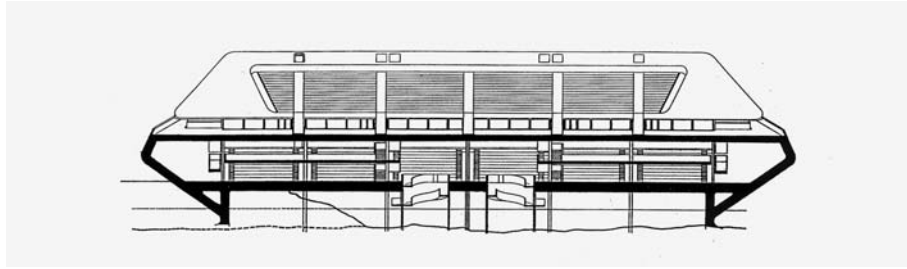
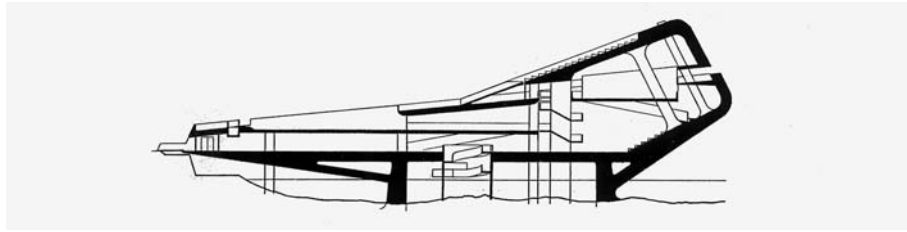


Abb. 1306: Claude Parent und Paul Virilio/Architecture Principe, Palais des expositions de Charleville, Frankreich, Entwurf 1966/67. Längsschnitt, Tinte auf Transparentpapier.

Abb. 1307: Querschnitt, Tinte auf Transparentpapier.

Abb. 1308: Grundriss des Erdgeschosses, Tinte auf Transparentpapier, 74 x 107 cm.

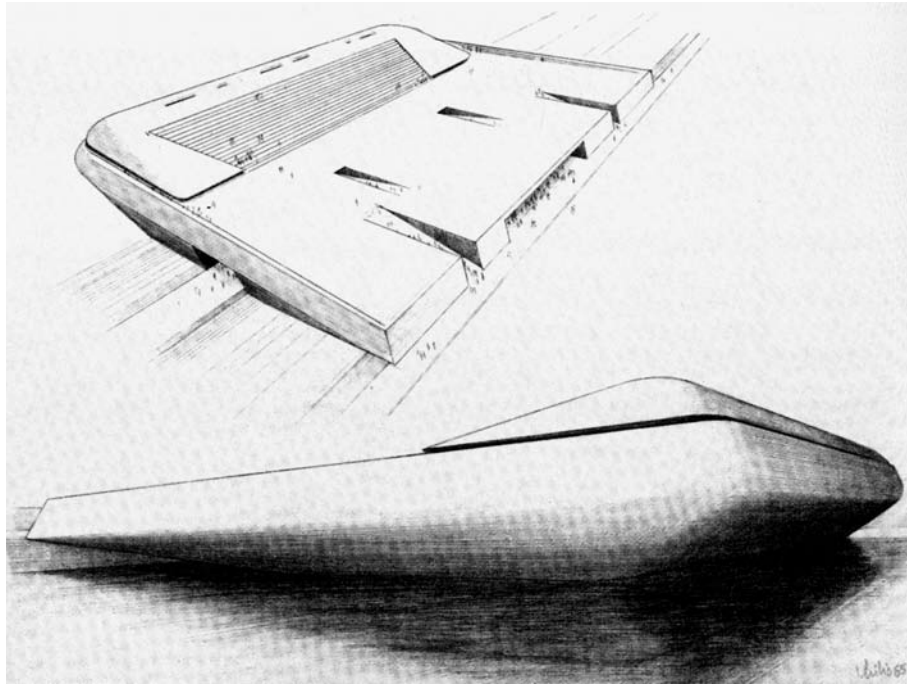


Abb. 1309: Claude Parent und Paul Virilio/Architecture Principe, Palais des expositions de Charleville, Frankreich, Entwurf 1966/67. Entwurfsvariante, Zeichnung mit Vogel- und Froschperspektive.

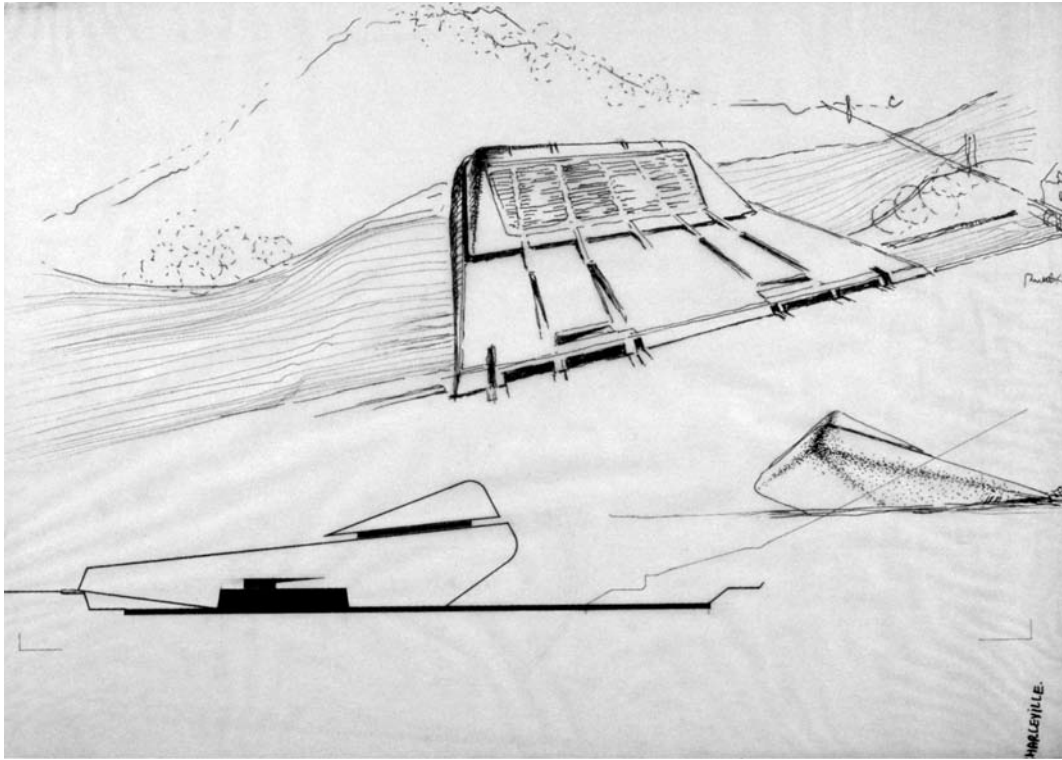


Abb. 1310: Claude Parent und Paul Virilio/Architecture Principe, Palais des expositions de Charleville, Frankreich, Entwurf 1966/67. Entwurfsvariante, Zeichnung mit Ansicht, Vogel- und Froschperspektive, Tinte auf Transparentpapier, 74 x 106 cm.

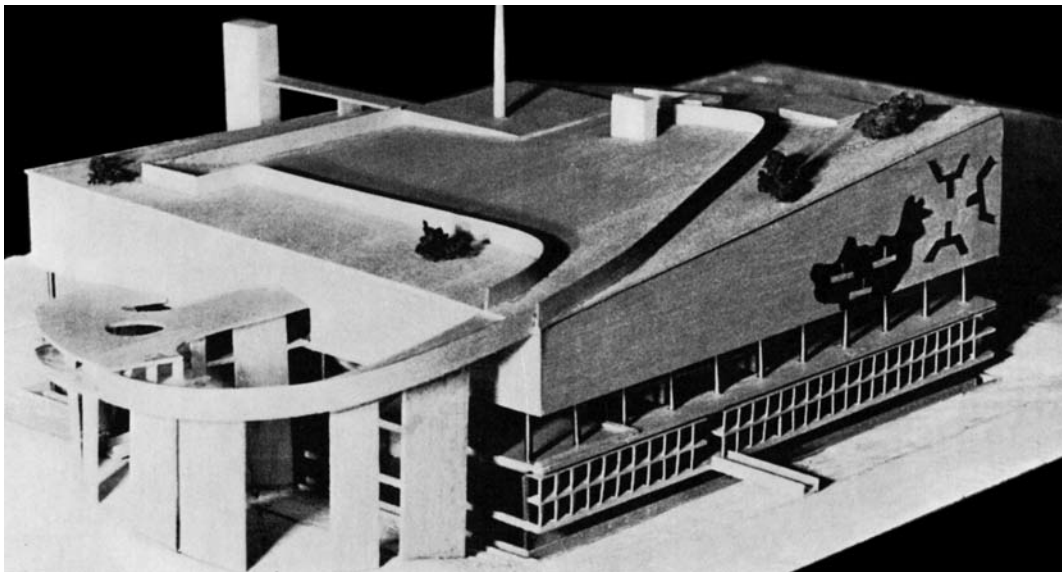
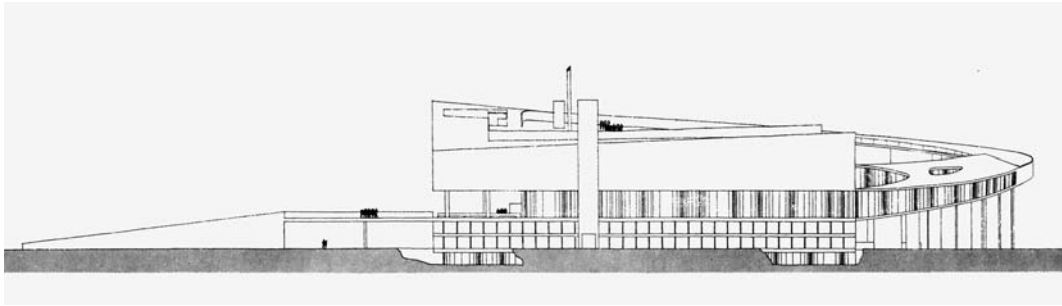


Abb. 1311: Le Corbusier, Palais des Congrès, Strasbourg, Frankreich, Entwurf 1964. Ansicht der Ostseite.

Abb. 1312: Modell aus Holz, Nordwestseite, Fotografie.

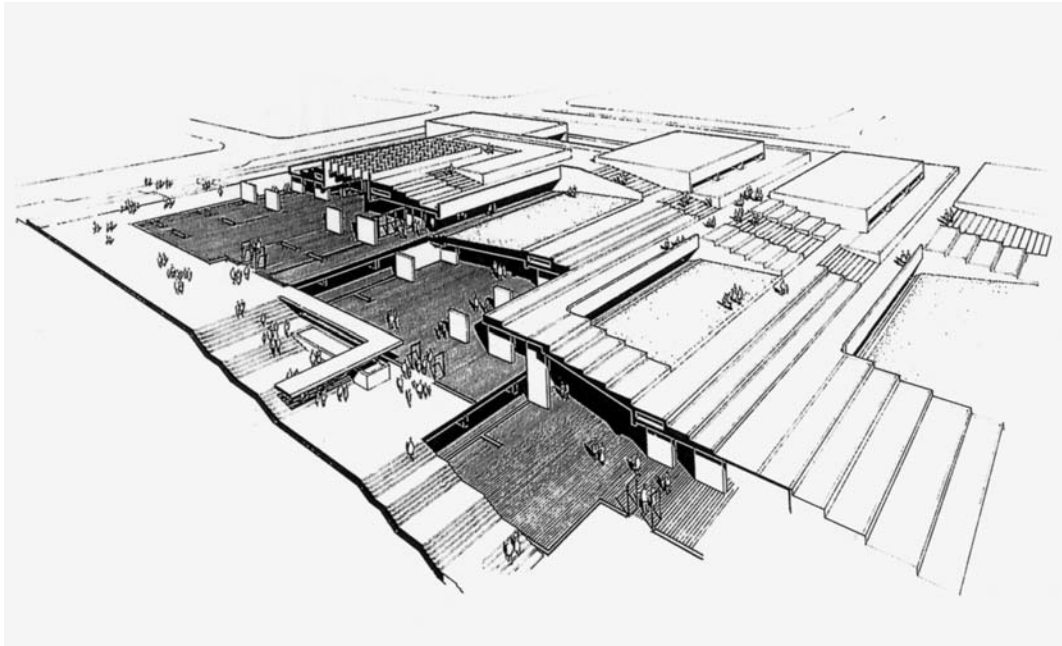


Abb. 1313: Kevin Roche und John Dinkeloo, Oakland Museum of California, Oakland, USA, 1961–69. Schnittperspektive.

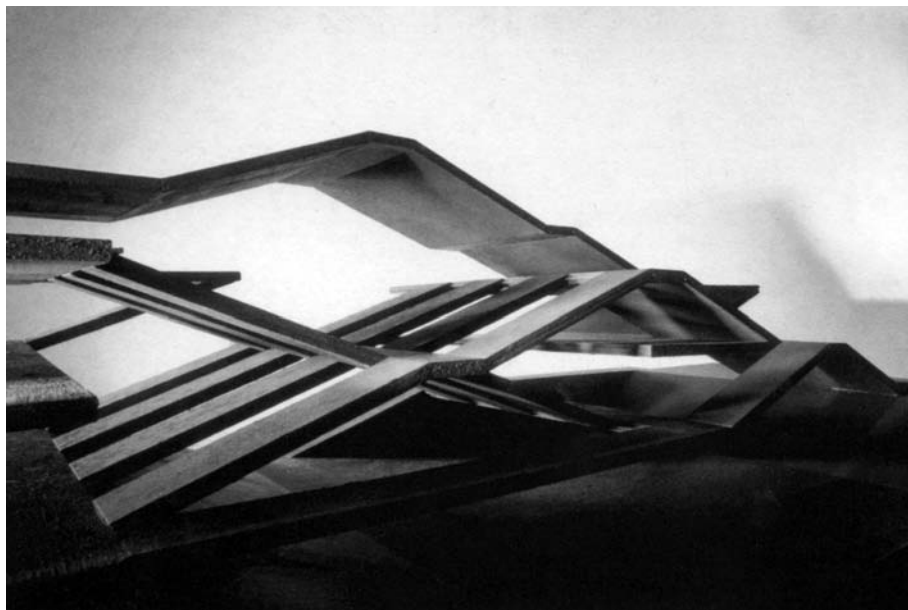


Abb. 1314: Claude Parent, Maison Tueg, Gif-sur-Yvette, Frankreich, Entwurf 1969/70. Modell aus Holz, (h) 28 x 33 x 70 cm, Fotografie.

Abb. 1315: Claude Parent, Théâtre oblique, Le Havre, Frankreich, Entwurf 1972. Modell aus Holz, Fotografie.



Abb. 1316: Claude Parent, Les pont urbains, Entwurf 1971. Zeichnung, Tusche auf Papier, 83,5 x 98 cm.

Abb. 1317: Modell aus Holz, (h) 14 x 29 x 81,5 cm, Fotografie.

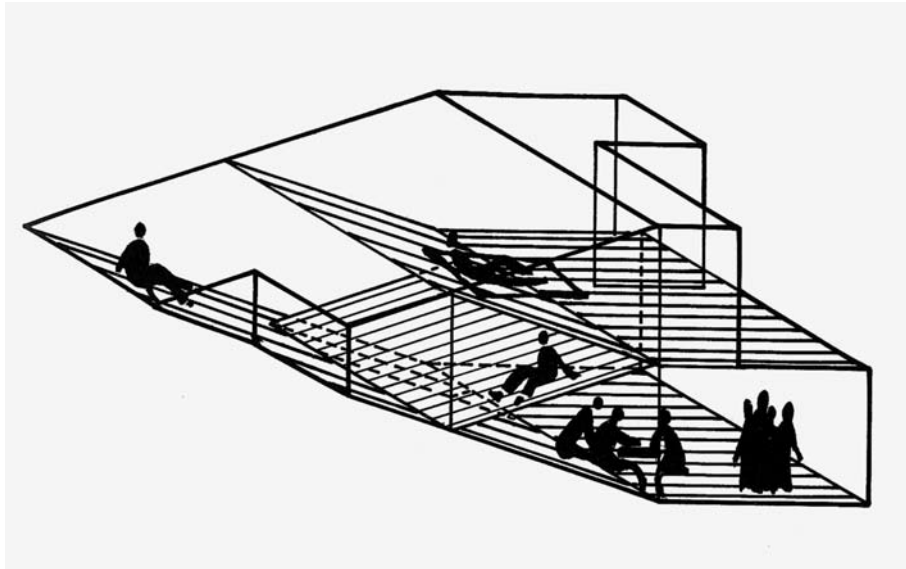


Abb. 1318: Claude Parent, Inclipan, Entwurf 1974. Detail einer Wohneinheit, Axonometrie.

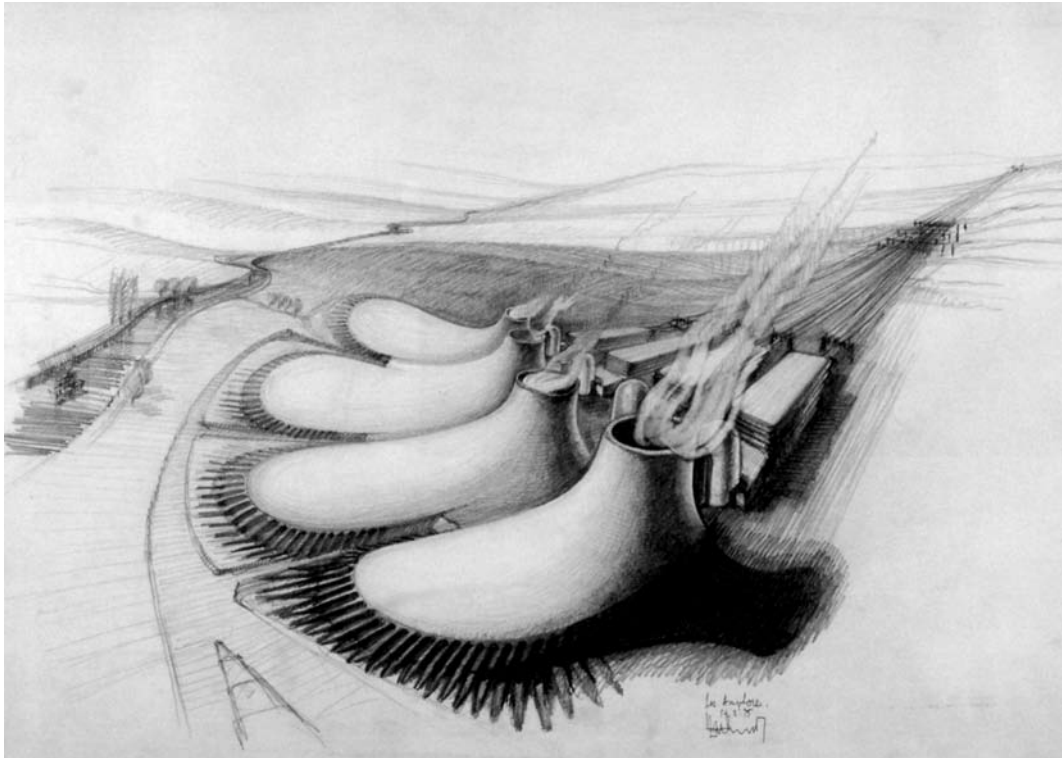


Abb. 1319: Claude Parent, Les Amphores, Entwurf 1975. Zeichnung, Bleistift auf Papier, 137,5 x 103,5 cm.

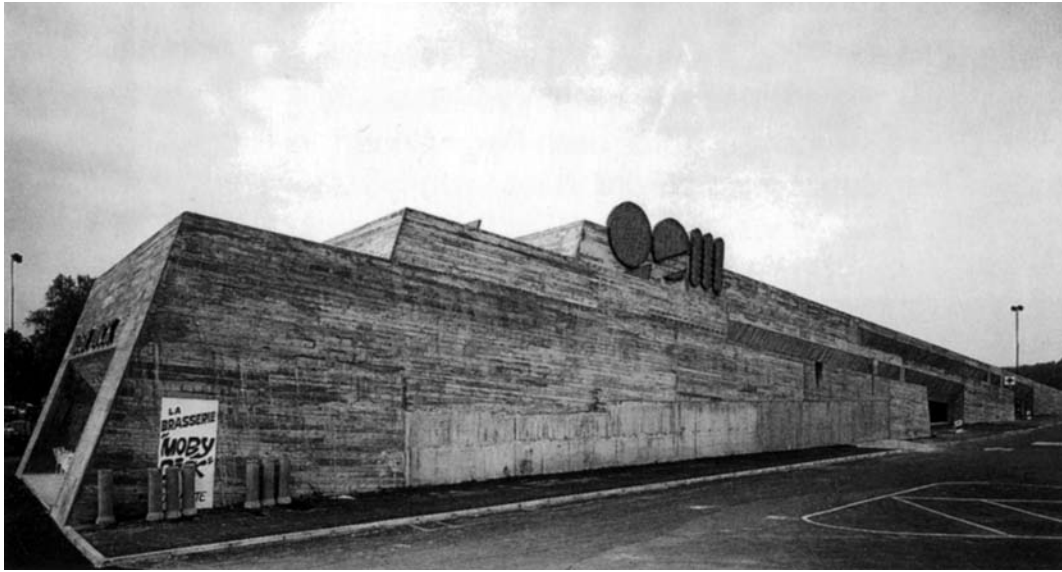


Abb. 1320: Claude Parent, Centre Commercial, Sens, Frankreich, 1970. Eingangsseite, Fotografie.
Abb. 1321: Kundenzugang, Fotografie.

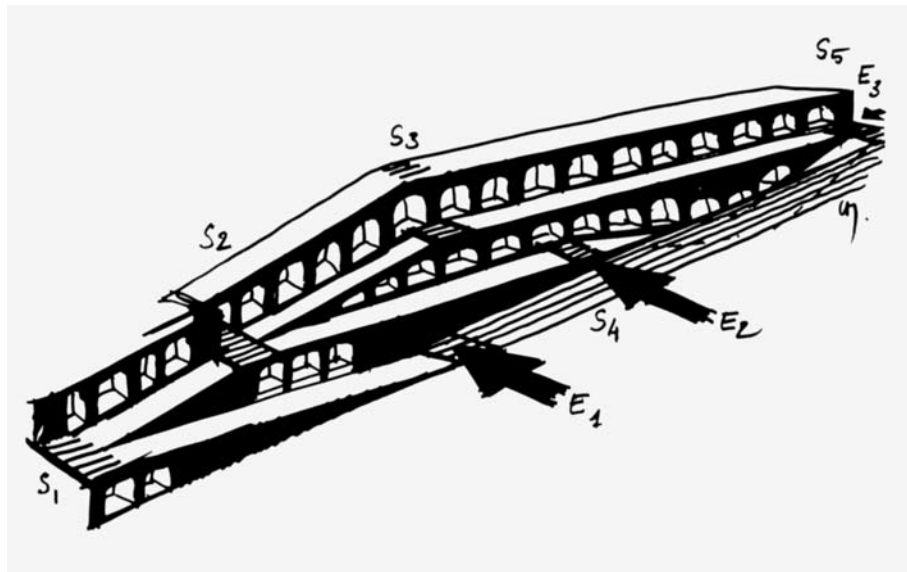


Abb. 1322: Claude Parent, Centre Commercial, Sens, Frankreich, 1970. Schematische Darstellung der Zugangsrampen, Tusche auf Papier, 21 x 29,7 cm (Ausschnitt).
Abb. 1323: Blick auf Zugangsrampen, Fotografie.



Abb. 1324: Claude Parent (Architekt und Kurator), Französischer Pavillon, Biennale Venedig, Italien, 1970. Begehbare Bodenskulptur aus Holz, Fotografie.

Abb. 1325: Claude Parent, Practicable, Rauminstallation im Maison de la Culture, Amiens, Frankreich, 1972. Fotografie.



Abb. 1326: Rem Koolhaas/OMA, Kunsthalle, Rotterdam, Niederlande, 1987–92. Westseite, Luftfotografie.

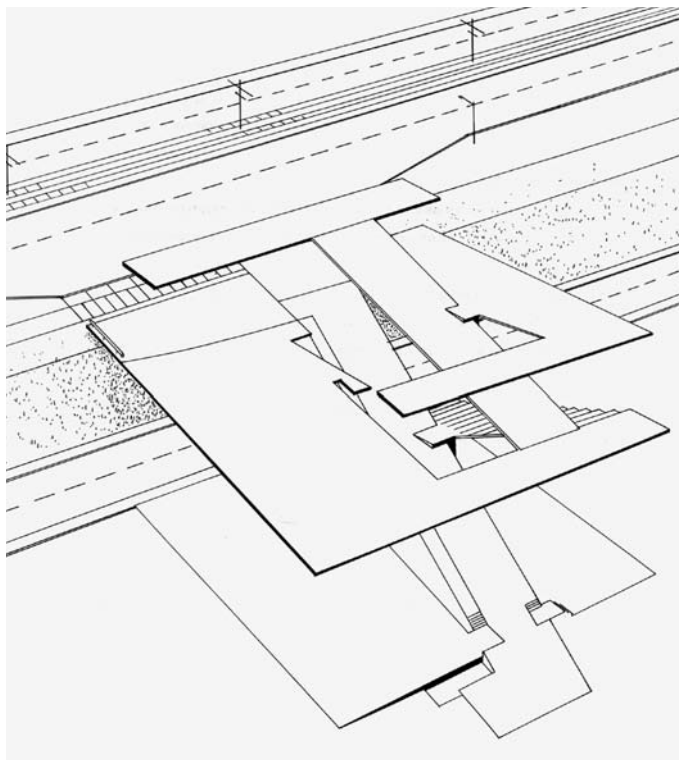
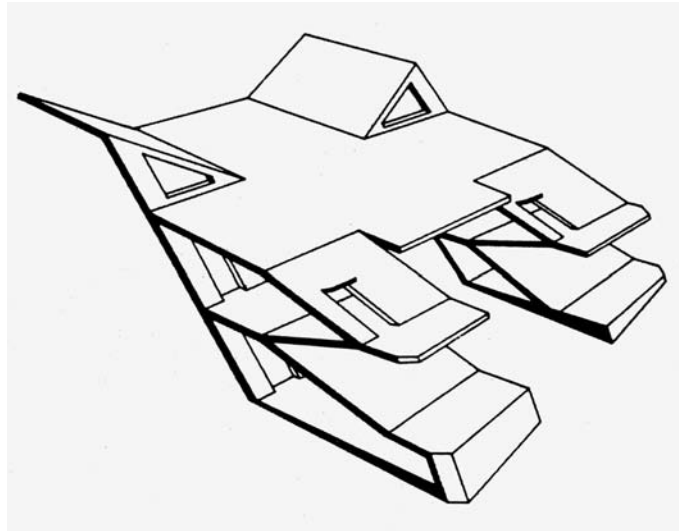


Abb. 1327: Claude Parent und Paul Virilio/Architecture Principe, Maison Mariotti, St. Germain-en-Laye, Frankreich, Entwurf 1967–70. Axonometrie der Innenstruktur, Tusche auf Papier, 46,5 x 57 cm.

Abb. 1328: Rem Koolhaas/OMA, Kunsthal, Rotterdam, Niederlande, 1987–92. Axonometrie der Erschließungs- und Nutzflächen.

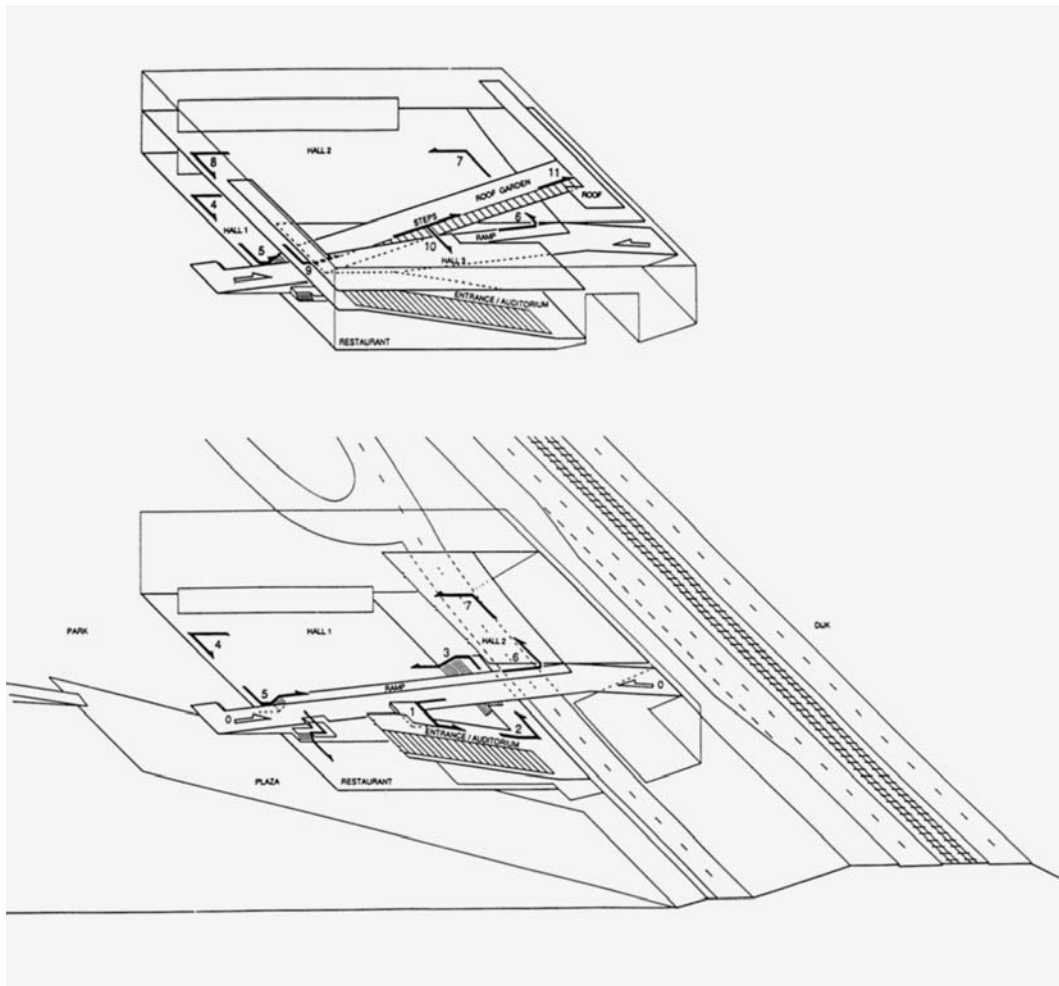


Abb. 1329: Rem Koolhaas/OMA, Kunsthalle, Rotterdam, Niederlande, 1987–92. Wege- und Nutzrampen in den unteren und oberen Geschossen, Axonometrie.

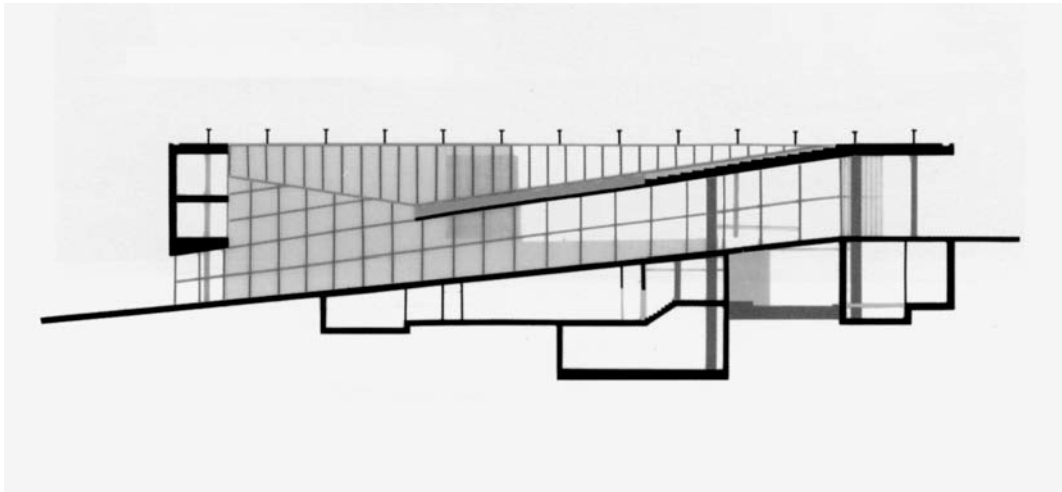
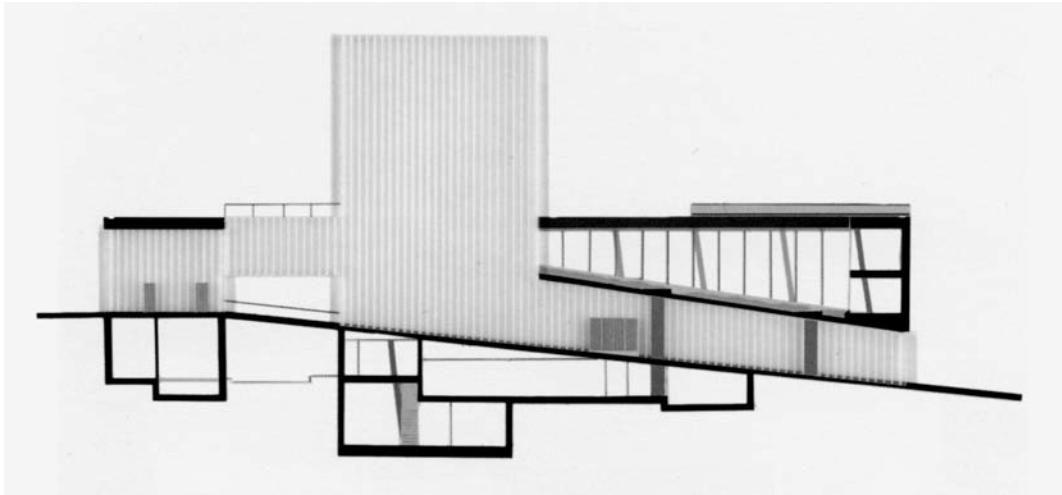


Abb. 1330: Rem Koolhaas/OMA, Kunsthal, Rotterdam, Niederlande, 1987–92. Schematischer Längsschnitt entlang der innen liegenden Wegerampe in Nord-Süd-Richtung mit Blick nach Westen.
Abb. 1331: Schematischer Längsschnitt entlang der Rampe in Nord-Süd-Richtung mit Blick nach Osten.

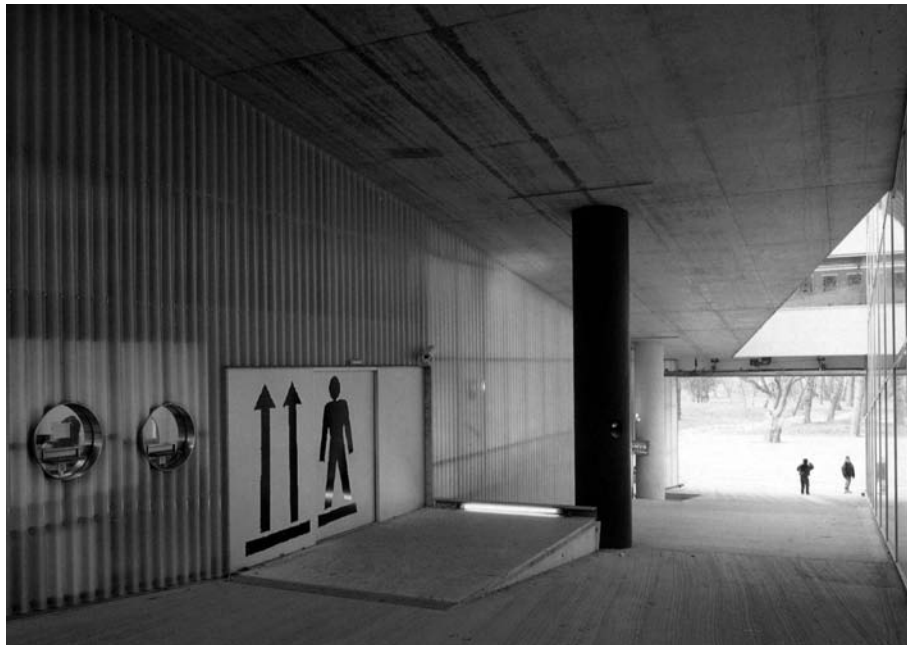


Abb. 1332: Rem Koolhaas/OMA, Kunsthalle, Rotterdam, Niederlande, 1987–92. Außen liegende Fußgängerrampe durch das Gebäude, Blick nach Norden, Fotografie.
Abb. 1333: Blick auf den Haupteingang, Fotografie.

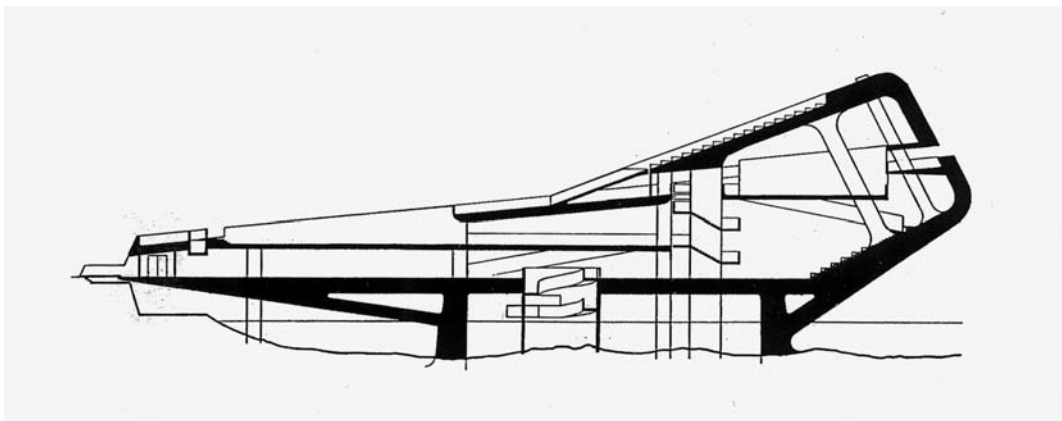


Abb. 1334: Rem Koolhaas/OMA, Kunsthalle, Rotterdam, Niederlande, 1987–92. Präsentationsmodell, Westseite, Fotografie.

Abb. 1335: Claude Parent und Paul Virilio/Architecture Principe, Palais des expositions de Charleville, Frankreich, Entwurf 1966/67. Längsschnitt, Tinte auf Transparentpapier, 73 x 103,5 cm (Ausschnitt).



Abb. 1336: Rem Koolhaas/OMA, Kunsthalle, Rotterdam, Niederlande, 1987–92. Blick nach Süden in das Auditorium und auf die Treppe zum Dachgarten, Fotografie.
Abb. 1337: Blick nach Norden in das Auditorium, Fotografie.

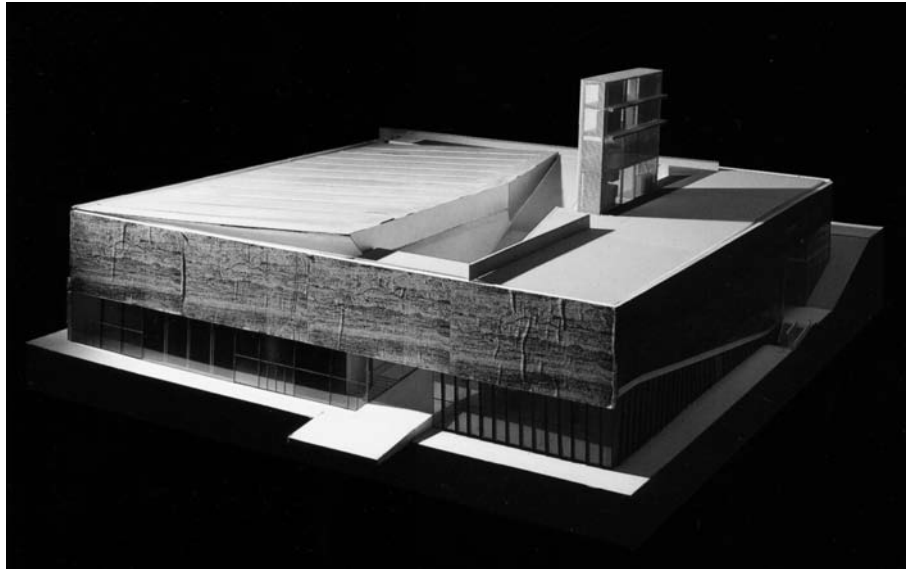


Abb. 1338: Rem Koolhaas/OMA, Kunsthalle, Rotterdam, Niederlande, 1987–92. Präsentationsmodell, Nordwestseite, Fotografie.

Abb. 1339: Le Corbusier und Pierre Jeanneret, Villa Savoye, Poissy, Frankreich, 1929–31. Fotografie.

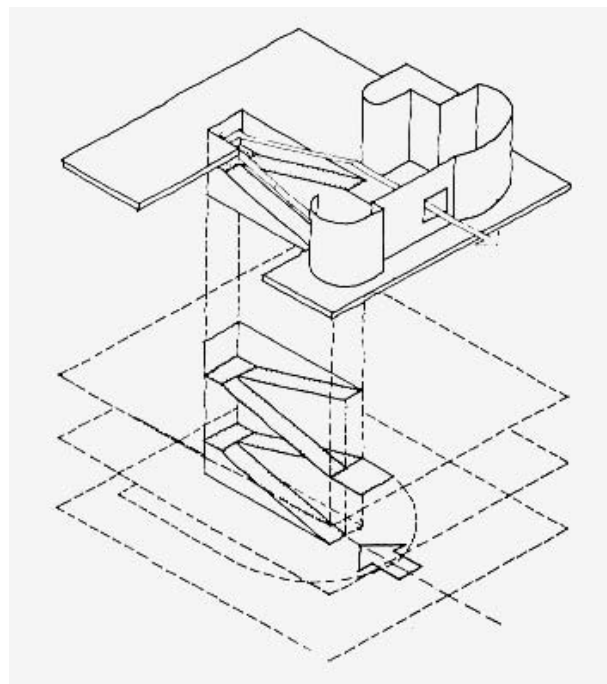
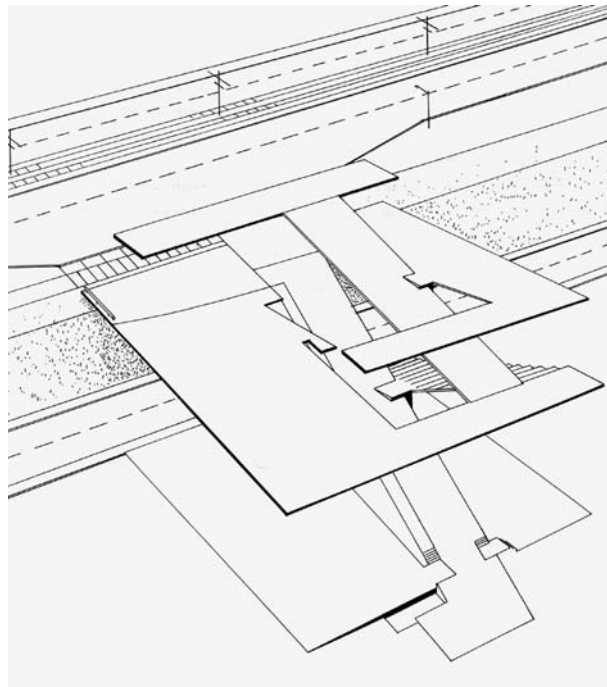


Abb. 1340: Rem Koolhaas/OMA, Kunsthal, Rotterdam, Niederlande, 1987–92. Axonometrie der Erschließungs- und Nutzflächen.

Abb. 1341: Le Corbusier und Pierre Jeanneret, Villa Savoye, Poissy, Frankreich, 1929–31. Isometrie der Rampe, Wegführung und Bewegungsrichtung.

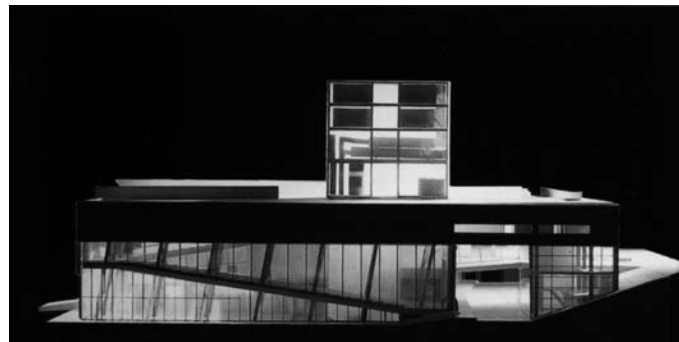
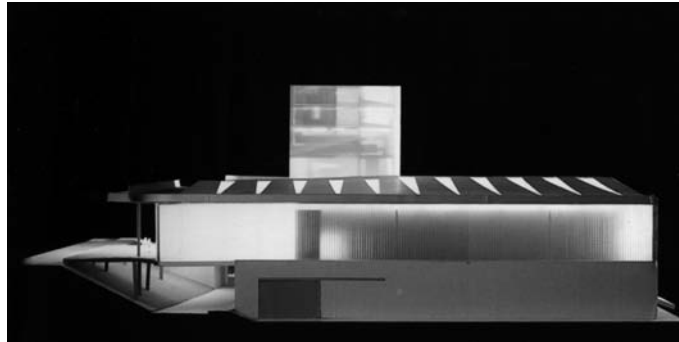


Abb. 1342: Rem Koolhaas/OMA, Kunsthal, Rotterdam, Niederlande, 1987–92. Präsentationsmodell, Ostseite, Fotografie.

Abb. 1343: Präsentationsmodell, Nordseite, Fotografie.

Abb. 1344: Präsentationsmodell, Westseite, Fotografie.

Abb. 1345: Präsentationsmodell, Südseite, Fotografie.



Abb. 1346: Rem Koolhaas/OMA, Kunsthalle, Rotterdam, Niederlande, 1987–92. Außen und innen liegende Fußgängerrampe, Blick nach Süden, Fotografie.



Abb. 1347: Rem Koolhaas/OMA, Kunsthalle, Rotterdam, Niederlande, 1987–92. Blick nach Norden in das Auditorium und das Restaurant, Fotografie.



Abb. 1348: Rem Koolhaas/OMA, Kunsthalle, Rotterdam, Niederlande, 1987–92. Blick in die erste Ausstellungshalle auf der unteren Ebene des Museumspark, Fotografie.

Abb. 1349: Blick in die zweite Ausstellungshalle auf der oberen Ebene des Maasboulevard, Fotografie.



Abb. 1350: Rem Koolhaas/OMA, Kunsthalle, Rotterdam, Niederlande, 1987–92. Gebäude bei Abendbeleuchtung, Westseite, Fotografie.

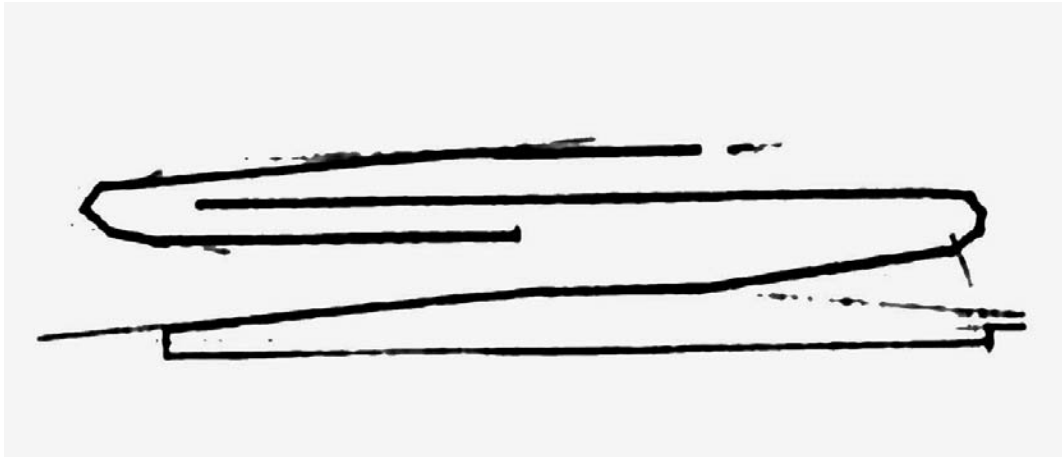


Abb. 1351: Rem Koolhaas/OMA, Educatorium, Utrecht, Niederlande, 1994–97. Schnittskizze.

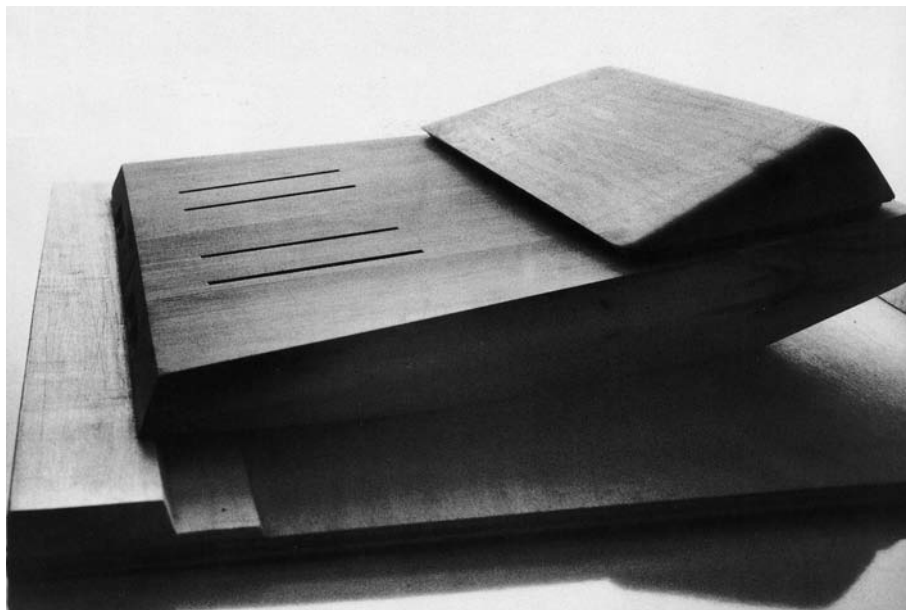


Abb. 1352: Rem Koolhaas/OMA, Educatorium, Utrecht, Niederlande, 1994–97. Präsentationsmodell, Nordwestseite, Fotografie.

Abb. 1353: Claude Parent und Paul Virilio/Architecture Principe, Palais des expositions de Charleville, Frankreich, Entwurf 1966/67. Modell aus Holz, Ostseite, Fotografie.



Abb. 1354: Rem Koolhaas/OMA, Educatorium, Utrecht, Niederlande, 1994–97. Präsentationsmodell, Nordseite, Fotografie.

Abb. 1355: Präsentationsmodell, Südseite, Fotografie.

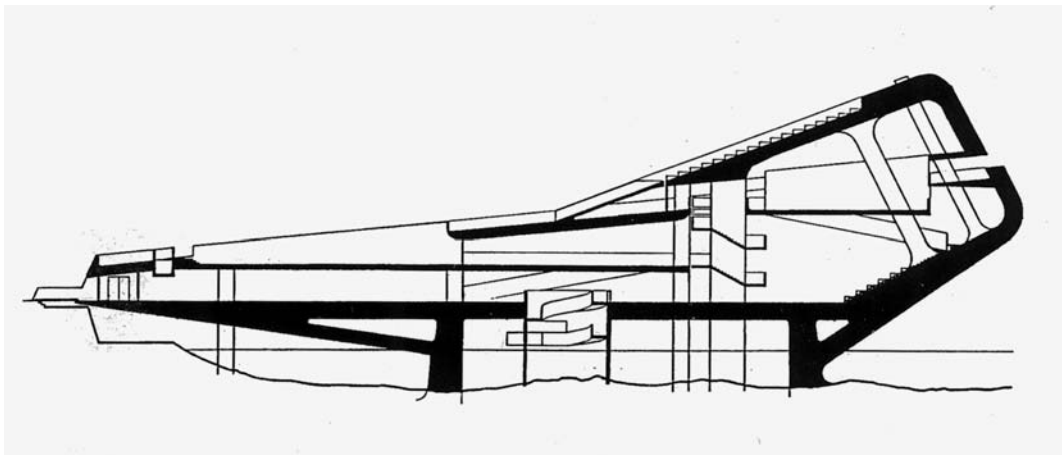


Abb. 1356: Rem Koolhaas/OMA, Educatorium, Utrecht, Niederlande, 1994–97. Nordwestseite, Fotografie (Ausschnitt).

Abb. 1357: Claude Parent und Paul Virilio/Architecture Principe, Palais des expositions de Charleville, Frankreich, Entwurf 1966/67. Längsschnitt, Tinte auf Transparentpapier.

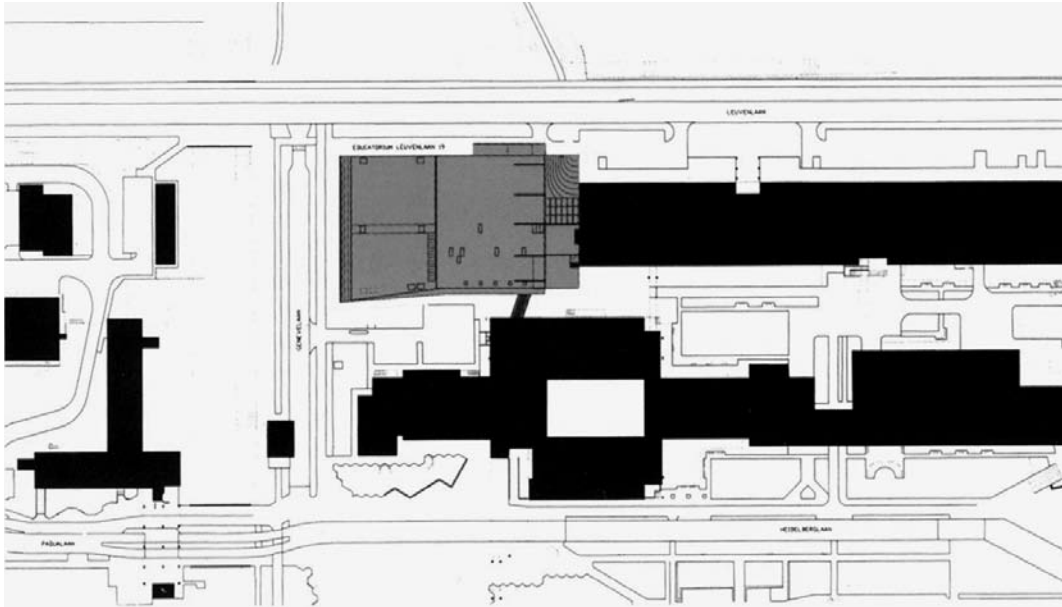


Abb. 1358: Rem Koolhaas/OMA, Educatorium, Utrecht, Niederlande, 1994–97. Lageplan.

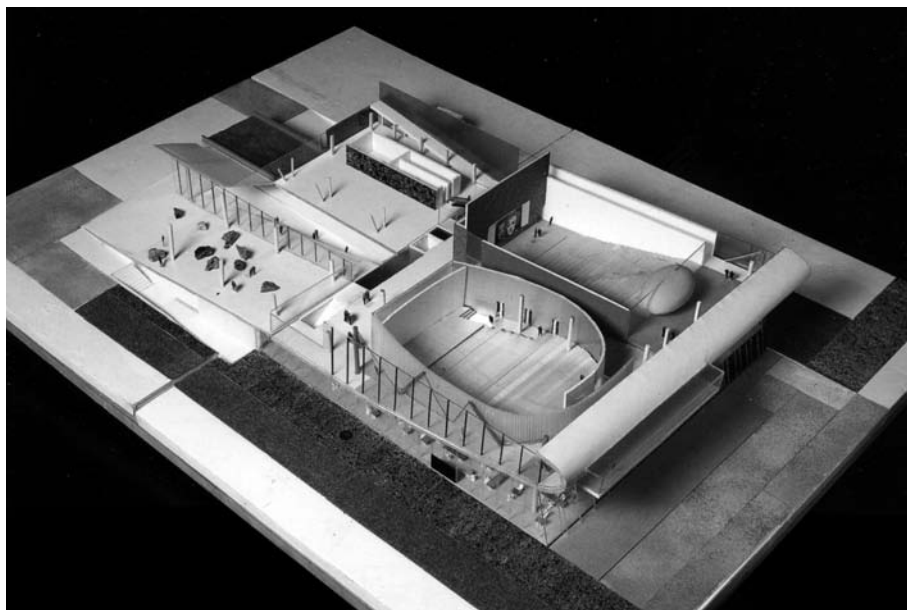
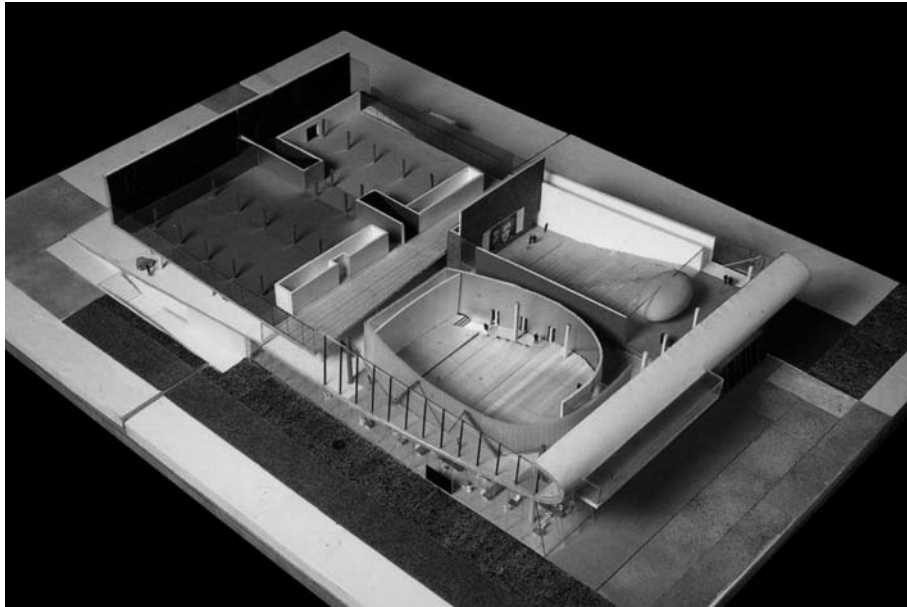


Abb. 1359: Rem Koolhaas/OMA, Educatorium, Utrecht, Niederlande, 1994–97. Präsentationsmodell mit teilweise entfernten Geschossebenen, Blick auf Ebene +8.00 m, Nordwestseite, Fotografie.

Abb. 1360: Präsentationsmodell mit teilweise entfernten Geschossebenen, Blick auf Ebene +4.00 m, Nordwestseite, Fotografie.

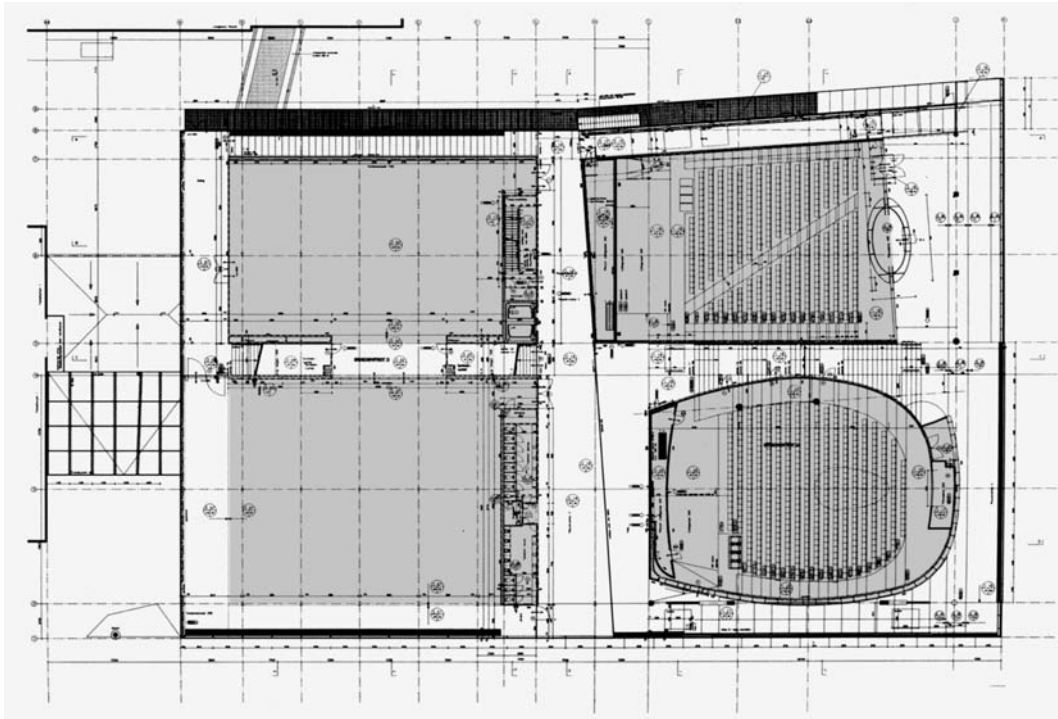


Abb. 1361: Rem Koolhaas/OMA, Educatorium, Utrecht, Niederlande, 1994–97. Grundriss der zweiten Ebene, +8.00 m. Prüfungs- und Hörsäle (graue Unterlegungen von der Verf.).

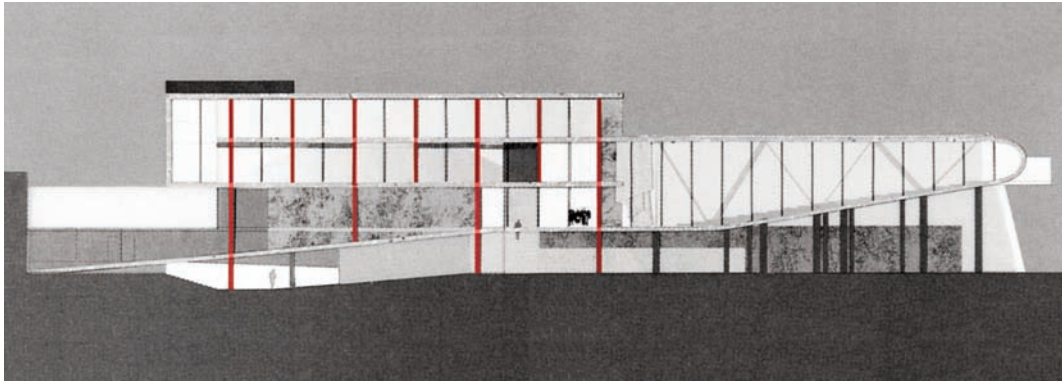


Abb. 1362: Rem Koolhaas/OMA, Educatorium, Utrecht, Niederlande, 1994–97. Studie der Nordfassade, Zeichnung (rote Einfärbung der Stützen von der Verf.).

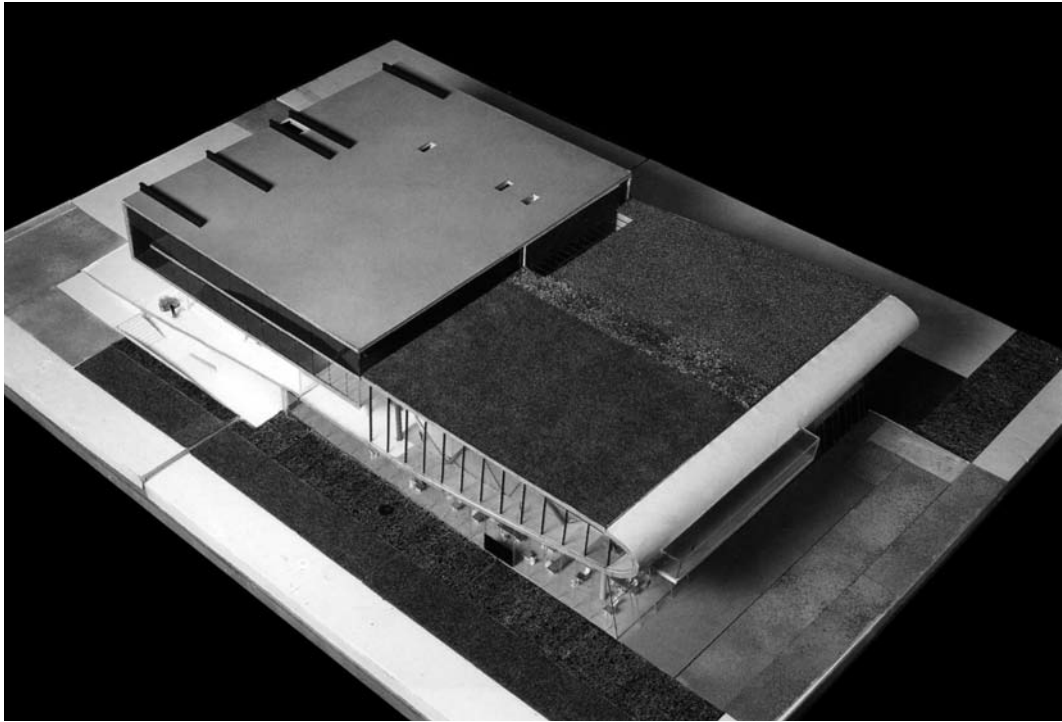


Abb. 1363: Rem Koolhaas/OMA, Educatorium, Utrecht, Niederlande, 1994–97. Präsentationsmodell, Nordwestseite, Blick von oben, Fotografie.



Abb. 1364: Rem Koolhaas/OMA, Educatorium, Utrecht, Niederlande, 1994–97. Auditorium, Nordseite, Fotografie.

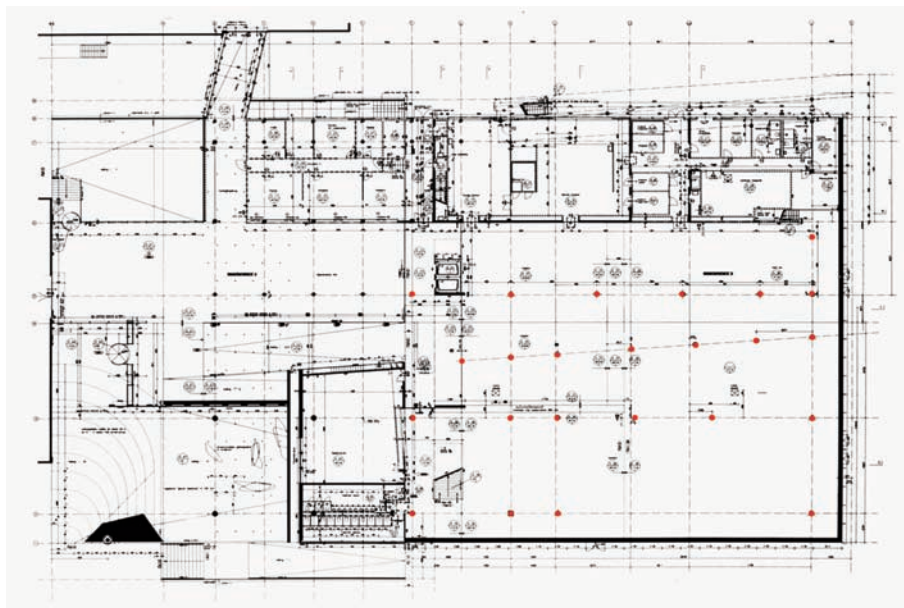
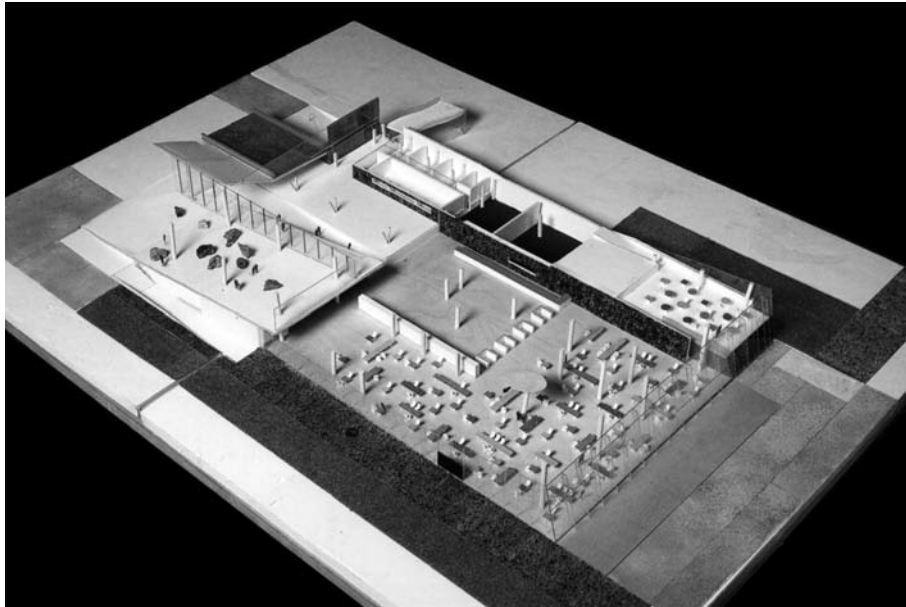


Abb. 1365: Rem Koolhaas/OMA, Educatorium, Utrecht, Niederlande, 1994–97. Präsentationsmodell mit teilweise entfernten Geschossebenen, Blick auf Ebene ± 0.00 m, Nordwestseite, Fotografie.

Abb. 1366: Grundriss der Ebene ± 0.00 m (rote Einfärbung der Stützen von der Verf.).



Abb. 1367: Rem Koolhaas/OMA, Educatorium, Utrecht, Niederlande, 1994–97. Blick in den großen Hörsaal, Fotografie.

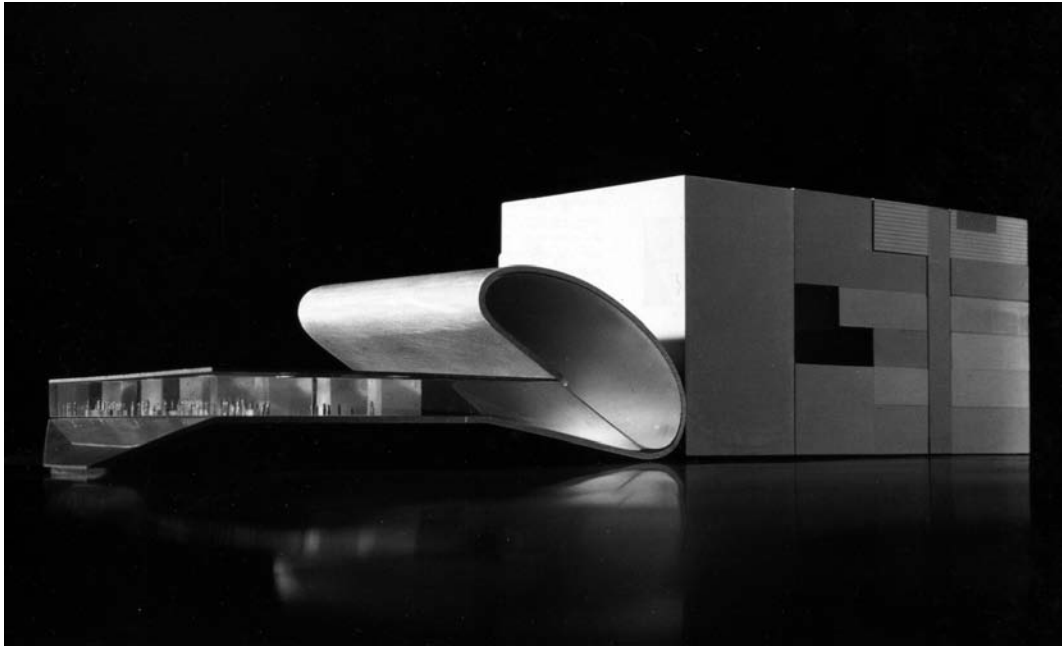


Abb. 1368: Rem Koolhaas/OMA, Cardiff Bay Opera House, Cardiff/Wales, Großbritannien, Entwurf 1994. Präsentationsmodell, Fotografie.

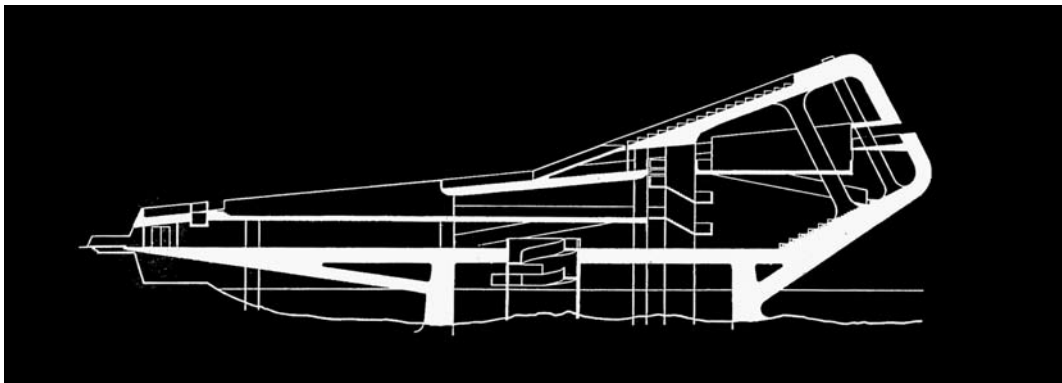
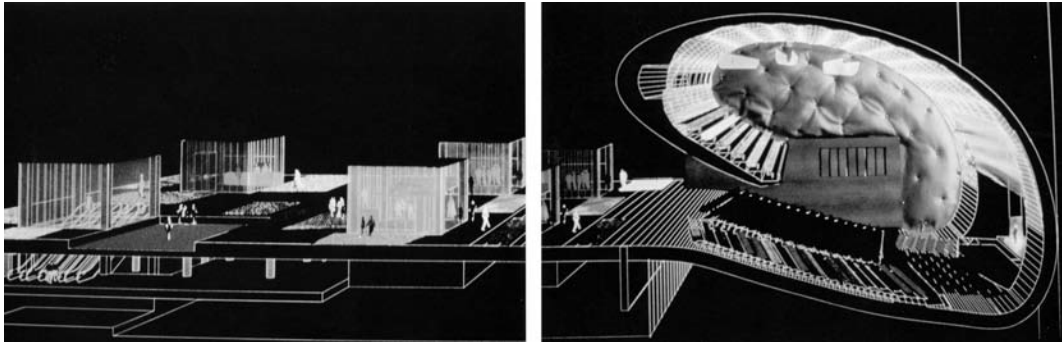


Abb. 1369: Rem Koolhaas/OMA, Luxor Theater, Rotterdam, Niederlande, Entwurf 1996. Foyer und Auditorium, Schnittperspektive mit eingefügten Fotografien.

Abb. 1370: Claude Parent und Paul Virilio/Architecture Principe, Palais des expositions de Charleville, Frankreich, Entwurf 1966/67. Längsschnitt, Tinte auf Transparentpapier, 73 x 103,5 cm (invertiert von der Verf.).

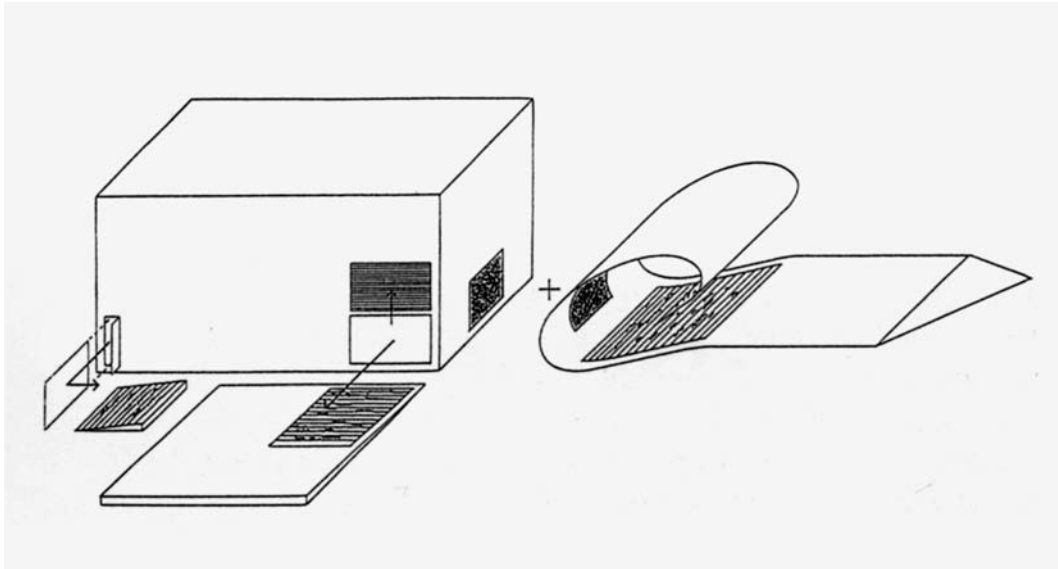


Abb. 1371: Rem Koolhaas/OMA, Luxor Theater, Rotterdam, Niederlande, Entwurf 1996. Schematische Darstellung von Bühne (Box), Zuschauerraum und Foyer (Fläche).

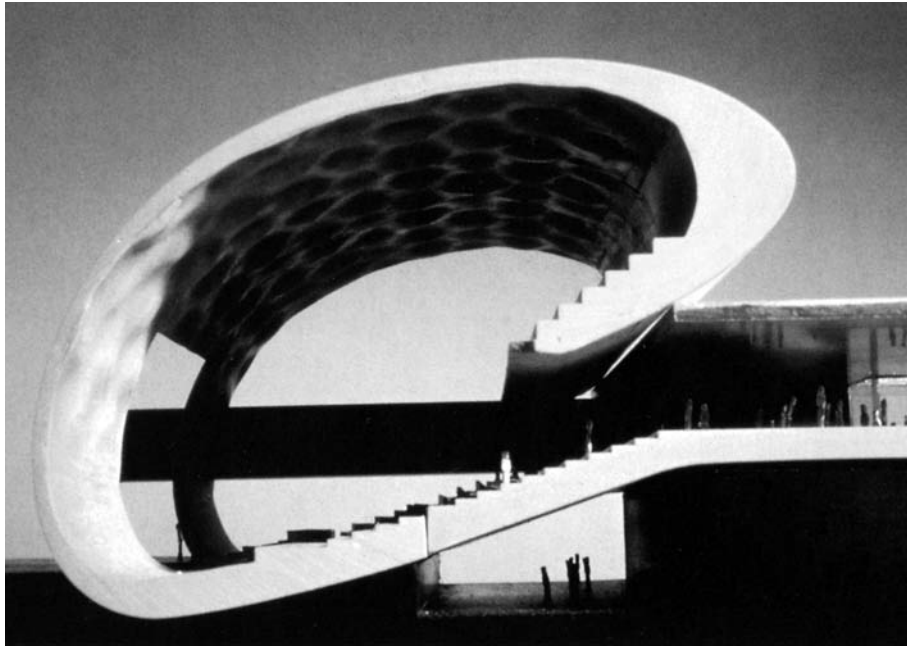


Abb. 1372: Rem Koolhaas/OMA, Luxor Theater, Rotterdam, Niederlande, Entwurf 1996. Präsentationsmodell, Auditorium, Fotografie.

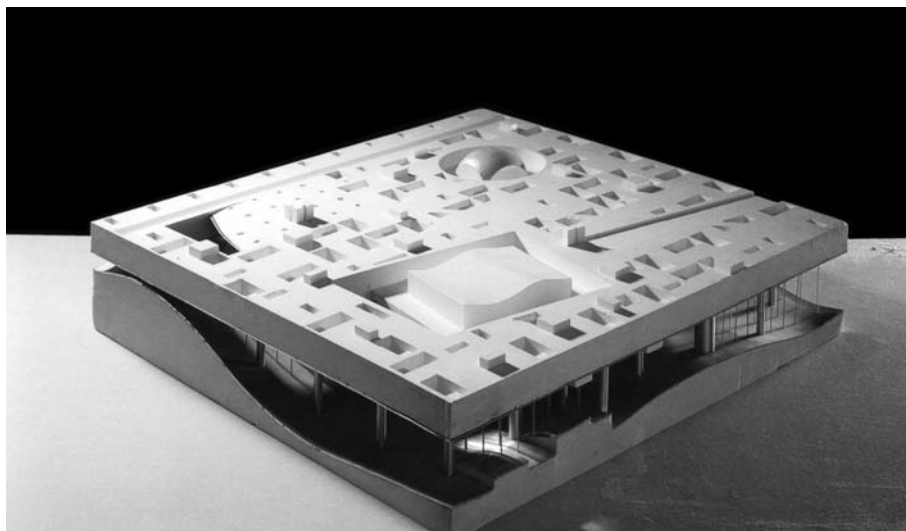


Abb. 1373: Rem Koolhaas/OMA, Hotel and Convention Center, Agadir, Marokko, Entwurf 1990.
Präsentationsmodell aus Gips und Metall, Nordwestseite, Fotografie.
Abb. 1374: Präsentationsmodell aus Gips und Metall, Nordostseite, Fotografie.

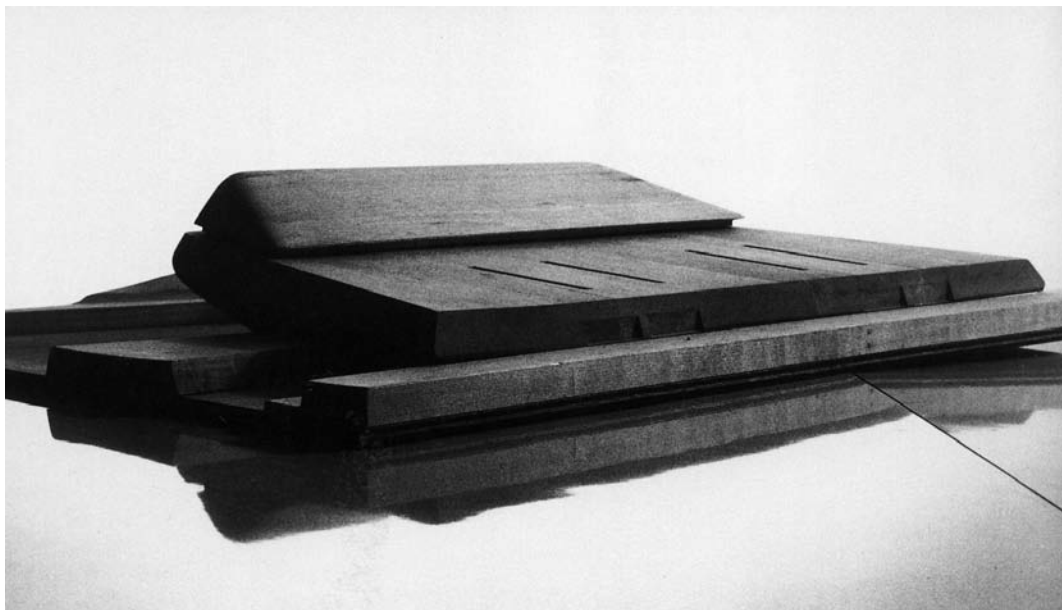
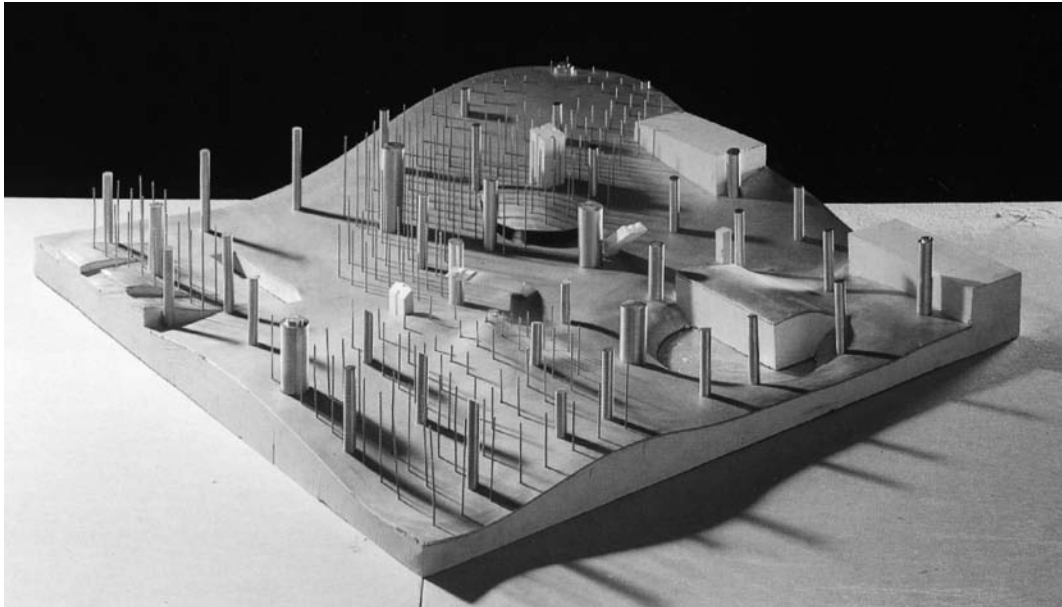


Abb. 1375: Rem Koolhaas/OMA, Hotel and Convention Center, Agadir, Marokko, Entwurf 1990. Präsentationsmodell aus Gips und Metall, Sockel, Nordwestseite, Fotografie.

Abb. 1376: Claude Parent und Paul Virilio/Architecture Principe, Palais des expositions de Charleville, Frankreich, Entwurf 1966/67. Modell aus Holz, Südwestseite, Fotografie.

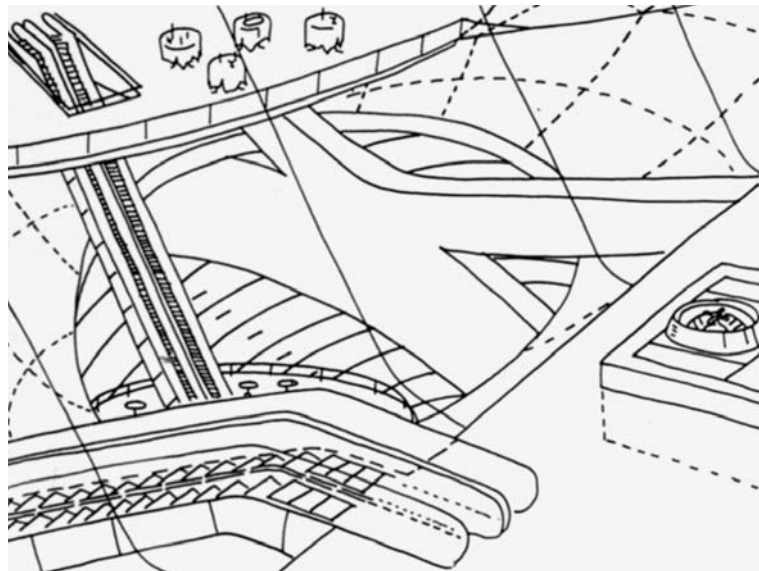
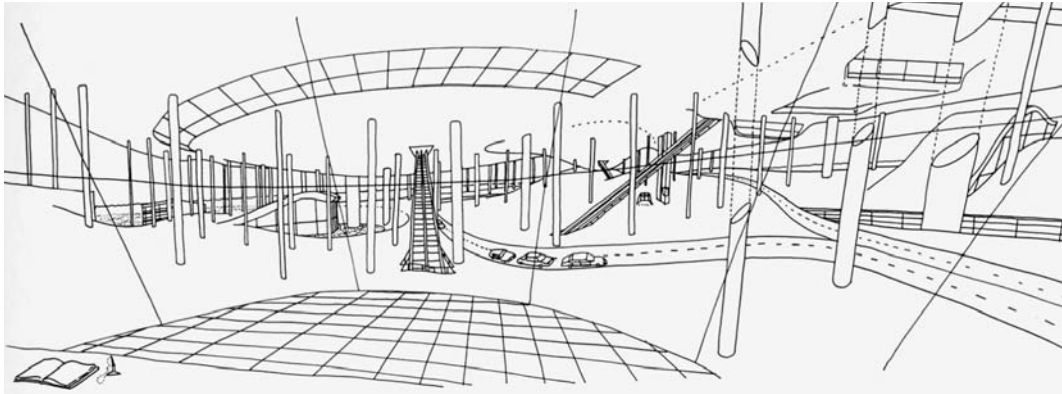


Abb. 1377: Rem Koolhaas/OMA, Hotel and Convention Center, Agadir, Marokko, Entwurf 1990.
Blick von der Rezeption auf den überdachten, städtischen Platz, Skizze.
Abb. 1378: Foyer, Skizze.

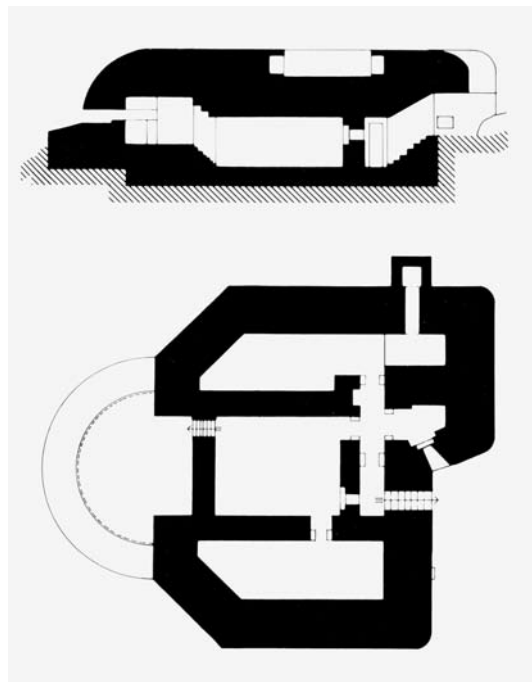
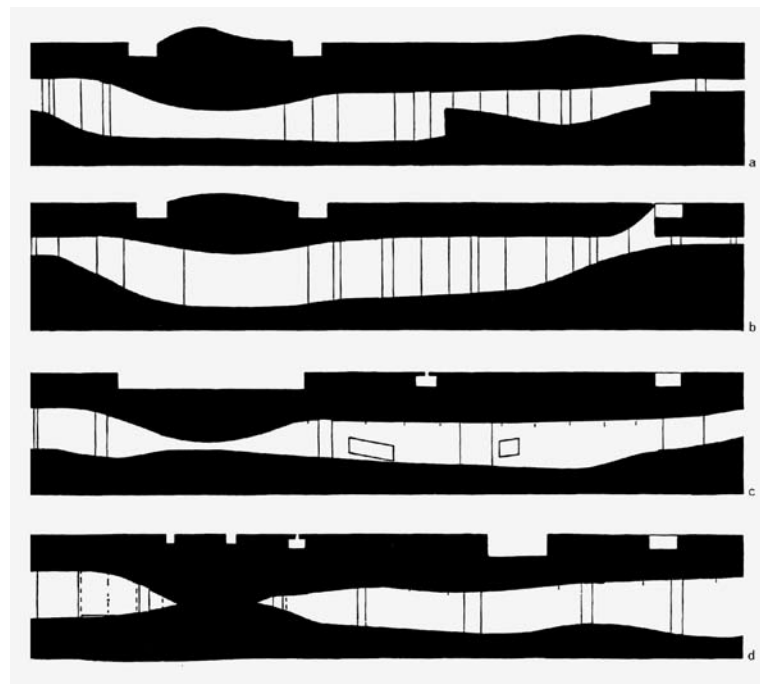


Abb. 1379: Rem Koolhaas/OMA, Hotel and Convention Center, Agadir, Marokko, Entwurf 1990. Schematische Schnitte (Ausschnitt).

Abb. 1380: Bunkeranlage am Atlantikwall, Frankreich, 1942–44. Beobachterposten mit Container, Schematischer Schnitt und Grundriss, abgebildet in: Paul Virilio, Bunker Archeology, Paris 1994, S. 51.

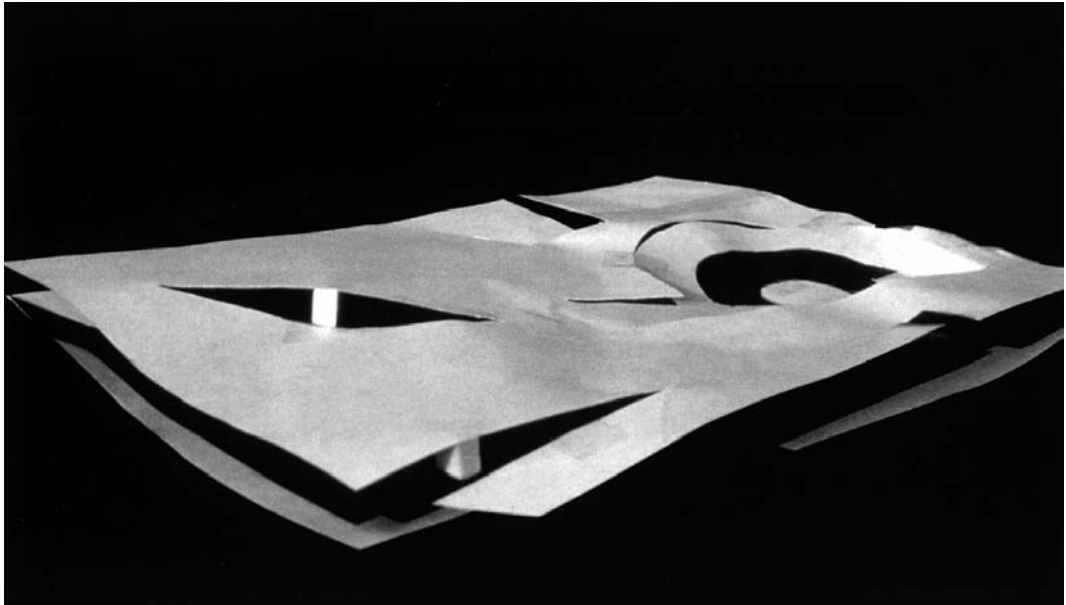


Abb. 1381: Rem Koolhaas/OMA, Yokohama Urban Ring, Japan, Entwurf 1992. Studienmodell der gefalteten Verkehrsebene, Fotografie.

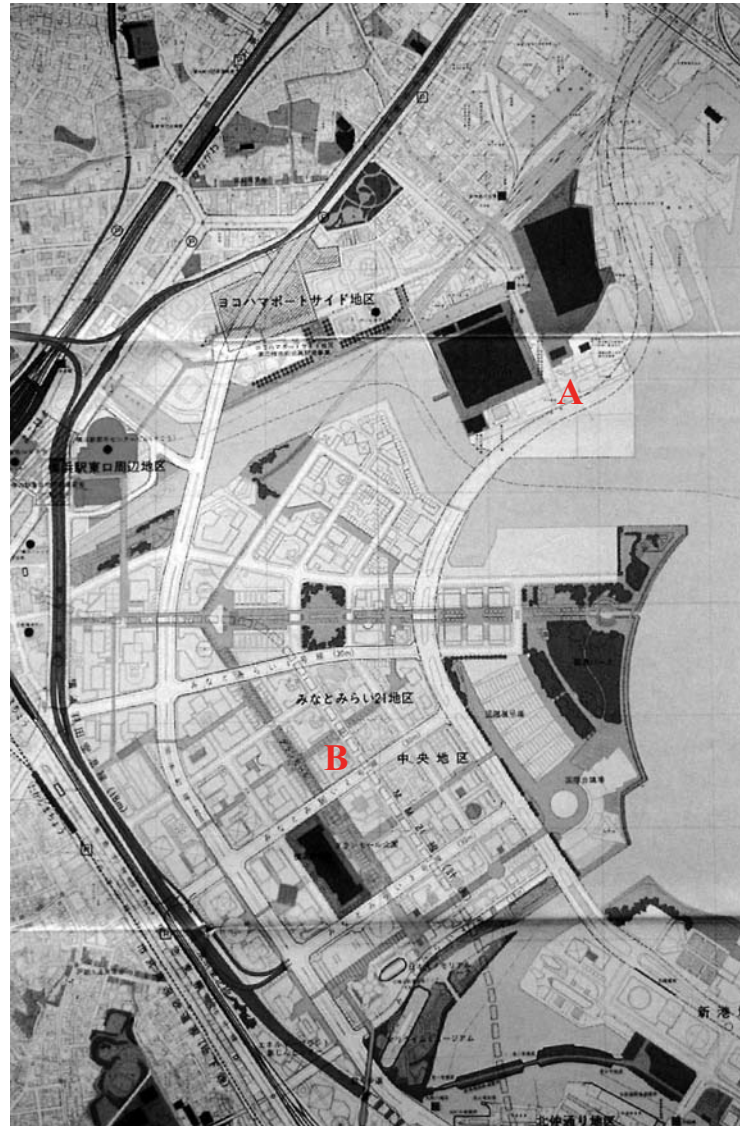


Abb. 1382: Rem Koolhaas/OMA, Yokohama Urban Ring, Japan, Entwurf 1992. Stadtplan von Yokohama (Ausschnitt) mit Planungsprojekt (A) und Neustadt Minato Mirai (B) (Kennzeichnung durch Buchstaben von der Verf.).

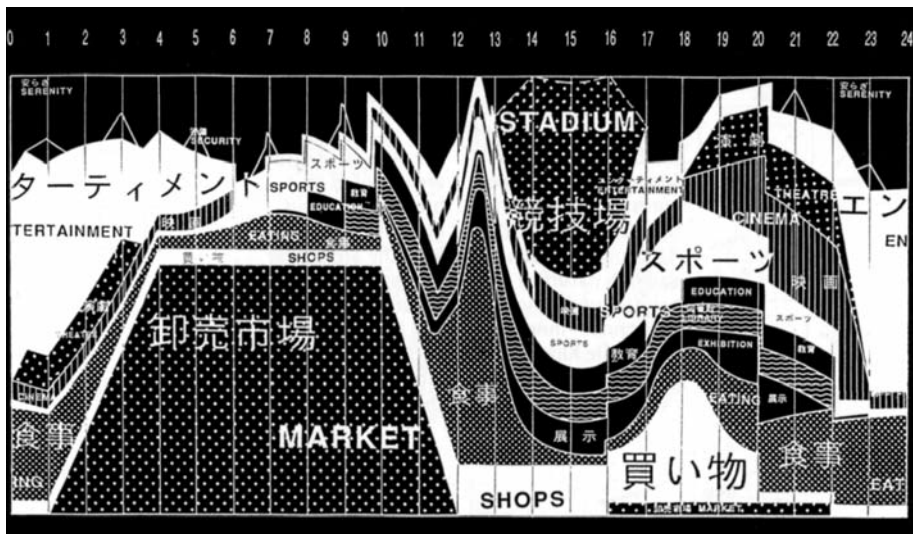
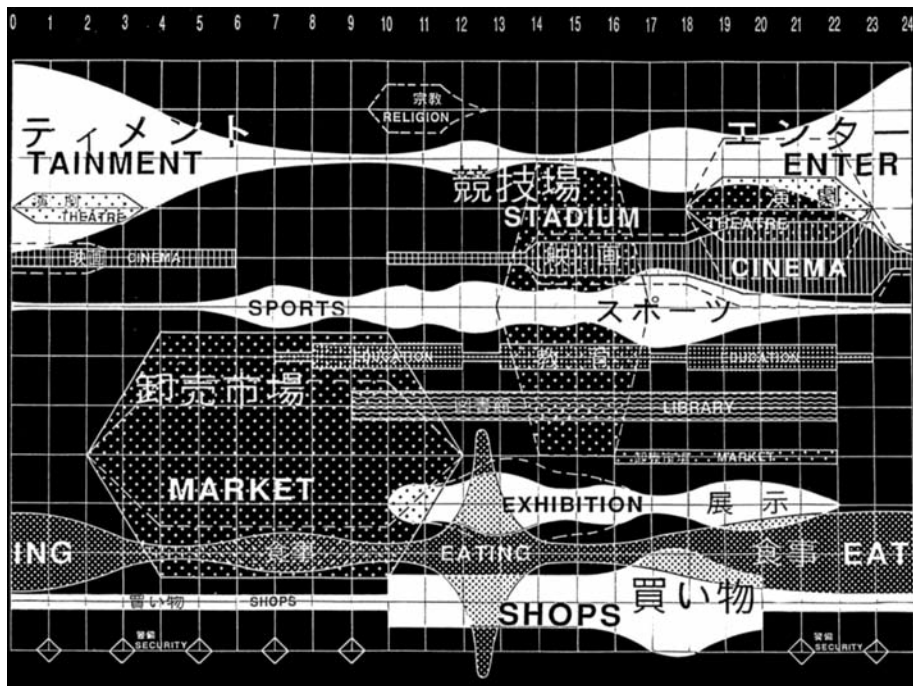


Abb. 1383: Rem Koolhaas/OMA, Yokohama Urban Ring, Japan, Entwurf 1992. Städtebauliche Studie, Diagramm der baulichen Programme und der Hauptnutzungszeiten (durchgehende Linie = werktags; gestrichelte Linie = Wochenende).
 Abb. 1384: Diagramm der Programmassemblage.

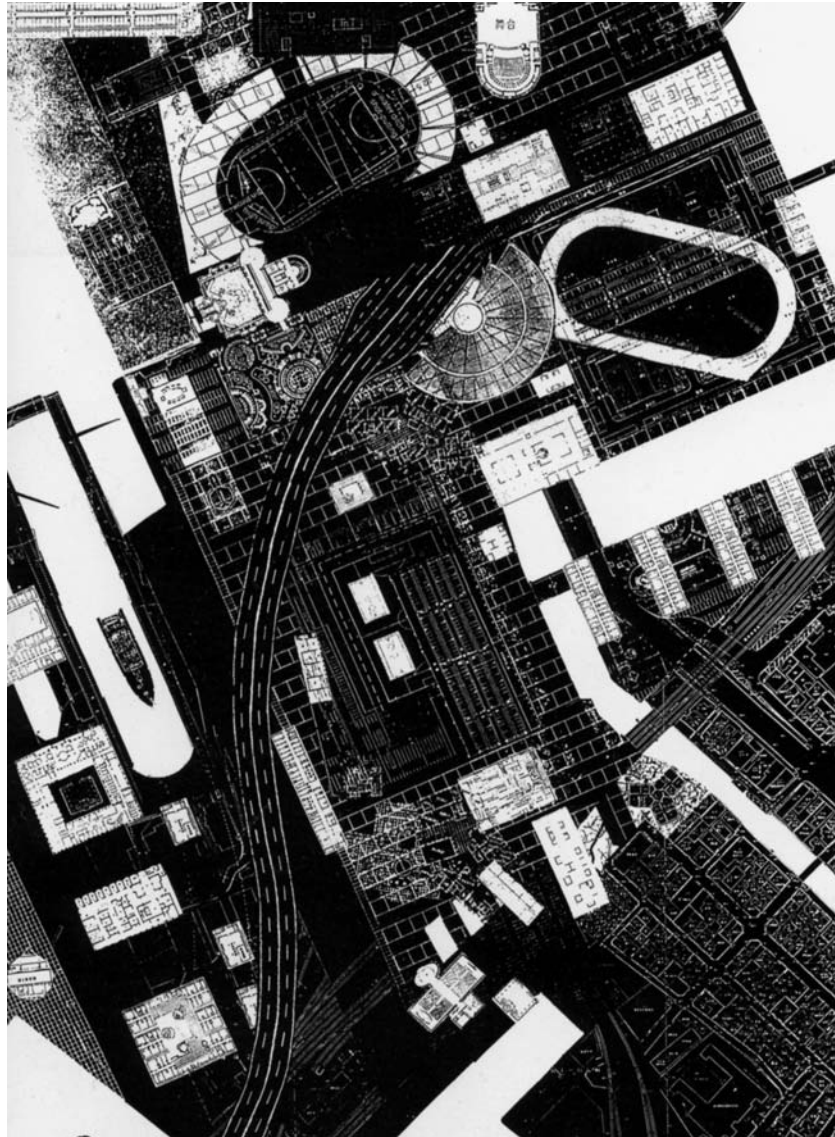


Abb. 1385: Rem Koolhaas/OMA, Yokohama Urban Ring, Japan, Entwurf 1992. Plancollage.

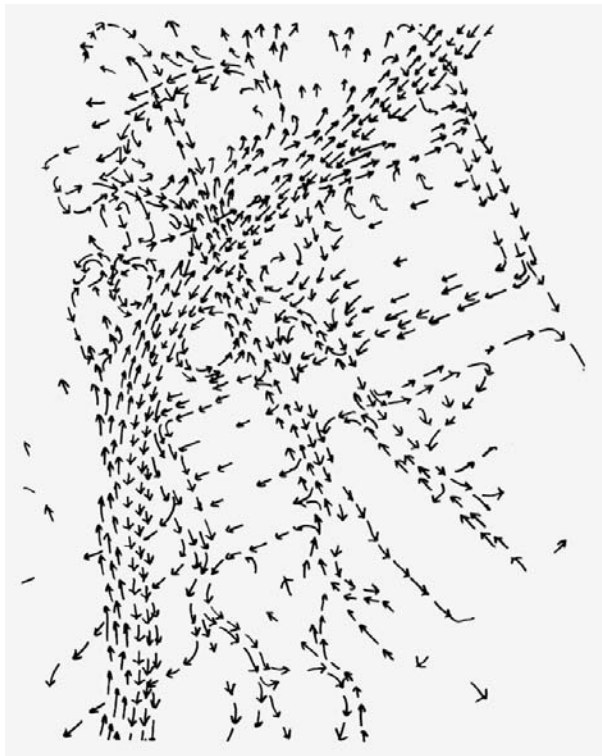
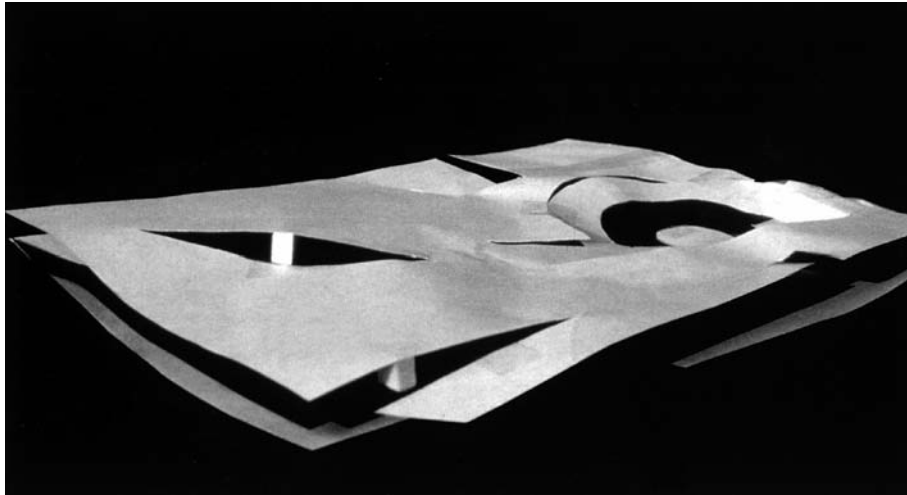


Abb. 1386: Rem Koolhaas/OMA, Yokohama Urban Ring, Japan, Entwurf 1992. Studienmodell der gefalteten Verkehrsebene, Fotografie.

Abb. 1387: Schematische Darstellung der Bewegungsströme auf dem zu planenden Areal.

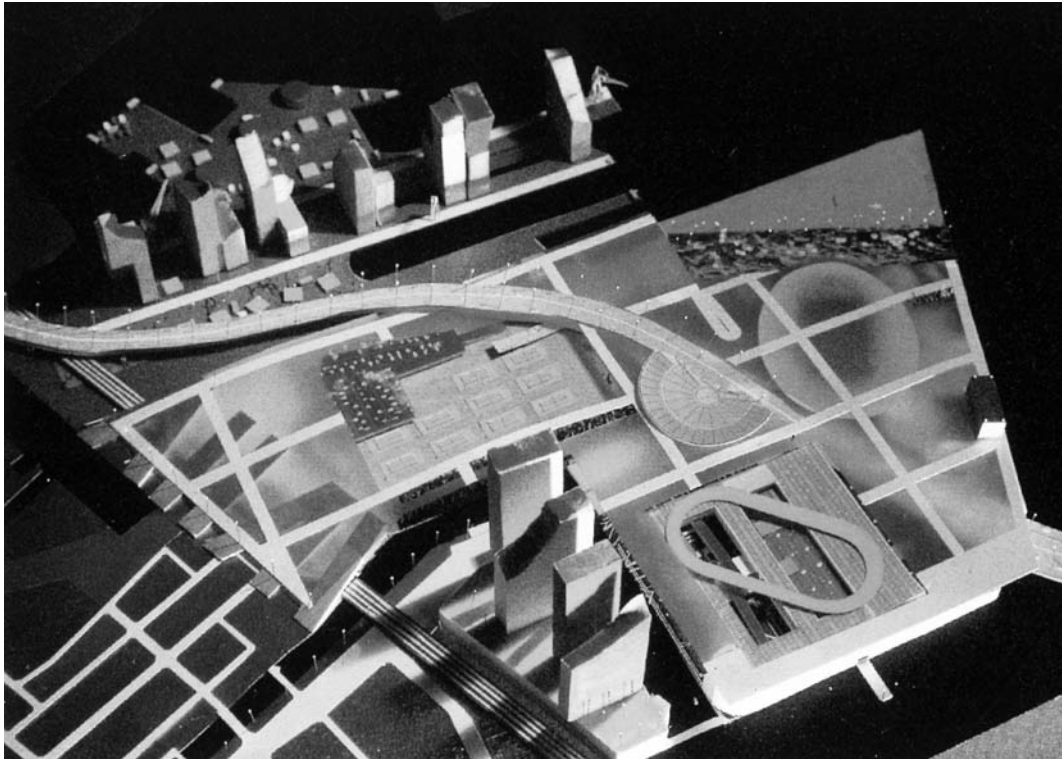


Abb. 1388: Rem Koolhaas/OMA, Yokohama Urban Ring, Japan, Entwurf 1992. Präsentationsmodell, Fotografie.

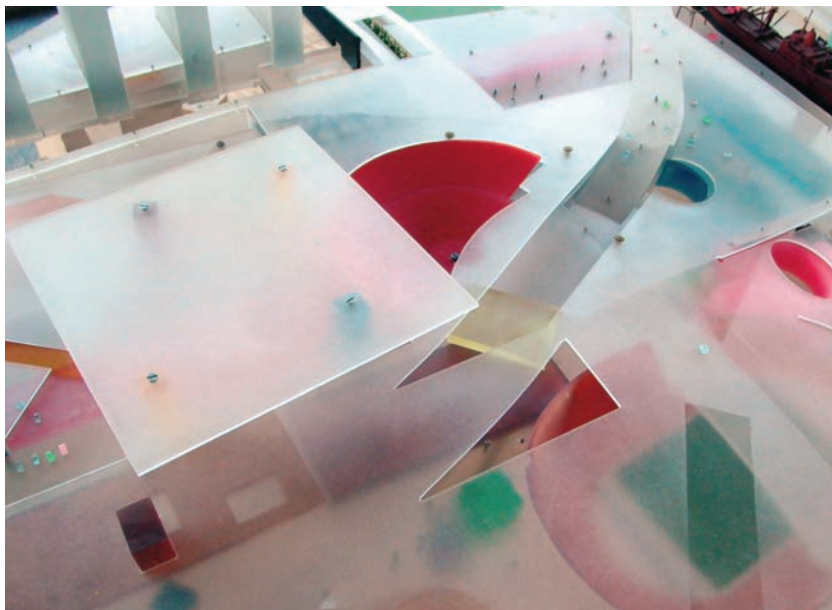


Abb. 1389: Rem Koolhaas/OMA, Yokohama Urban Ring, Japan, Entwurf 1992. Präsentationsmodell aus Plexiglas und Metall, Fotografie.

Abb. 1390: Präsentationsmodell aus Plexiglas und Metall (Ausschnitt), Fotografie.

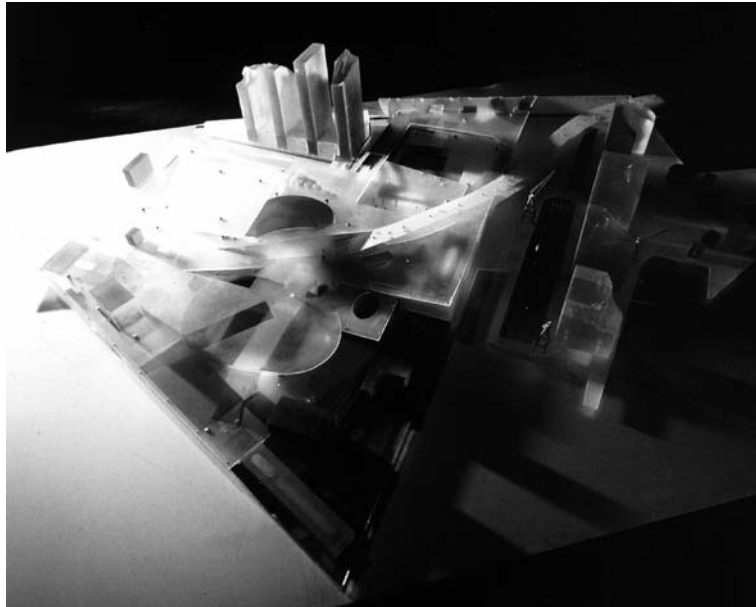


Abb. 1391: Rem Koolhaas/OMA, Yokohama Urban Ring, Japan, Entwurf 1992. Präsentationsmodell aus Plexiglas und Metall, Fotografie.

Abb. 1392: Präsentationsmodell aus Plexiglas und Metall (von unten beleuchtet), Fotografie.

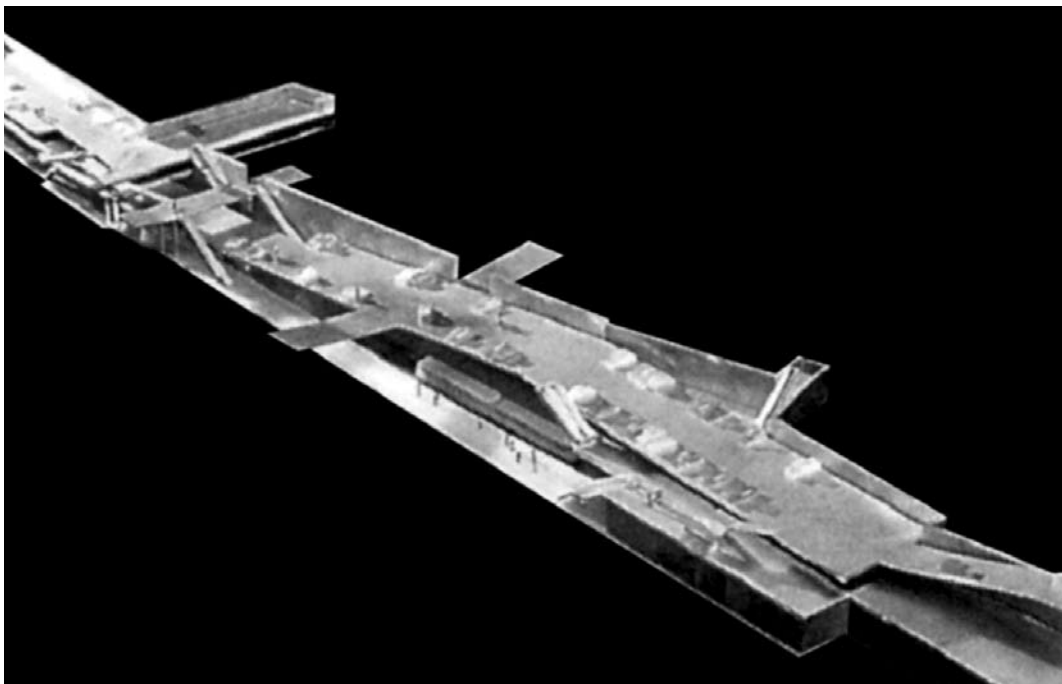


Abb. 1393: Rem Koolhaas/OMA, Service Tunnel, Den Haag, Niederlande, 1994–2004. Schnitt-
axonometrie, Südwestseite.

Abb. 1394: Modell (Ausschnitt), Fotografie.

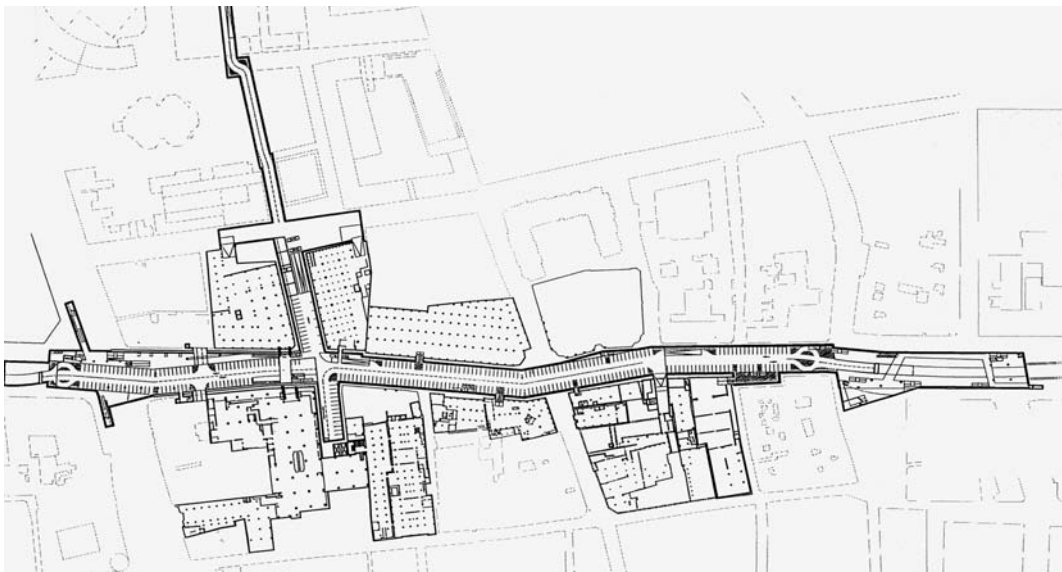
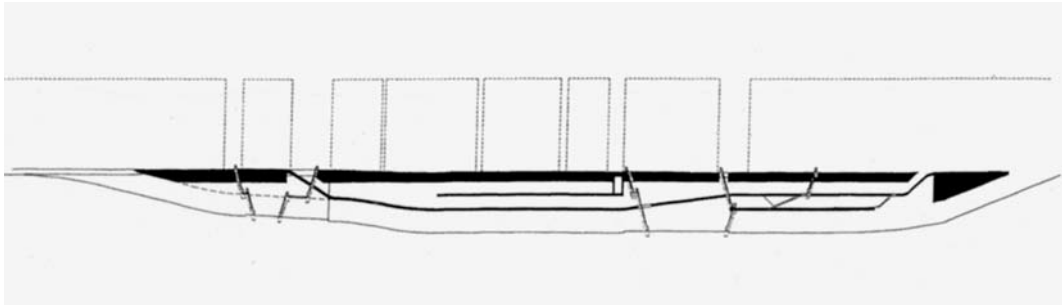


Abb. 1395: Rem Koolhaas/OMA, Service Tunnel, Den Haag, Niederlande, 1994–2004. Schematischer Längsschnitt.

Abb. 1396: Schematischer Lageplan mit Grundrissen der Tiefgaragenebene und angrenzenden Warenhäuser.

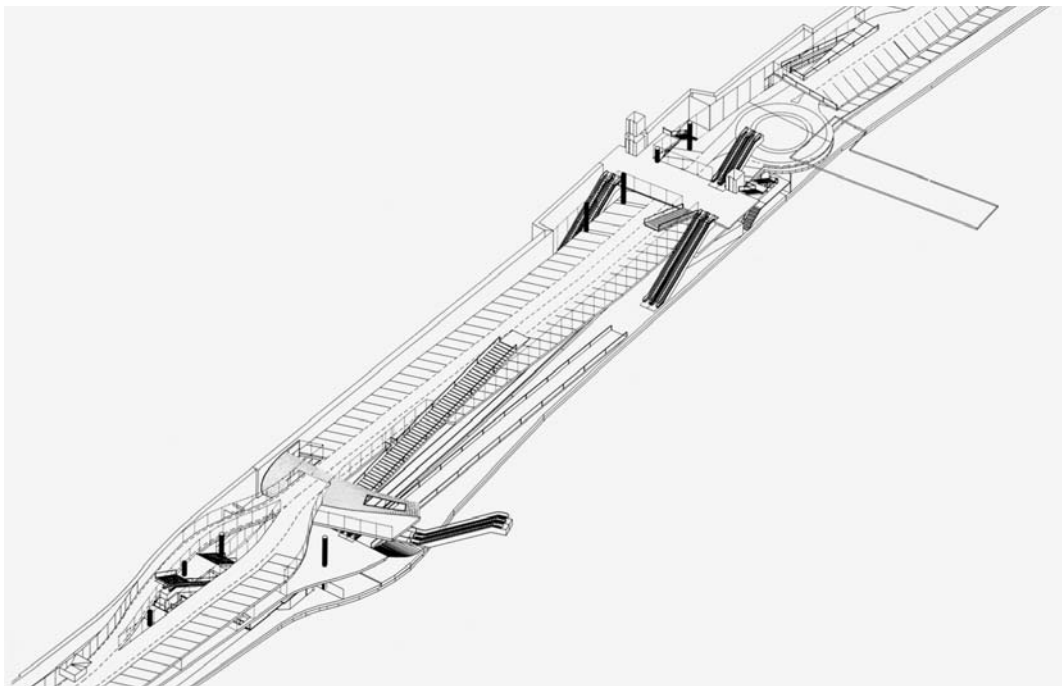
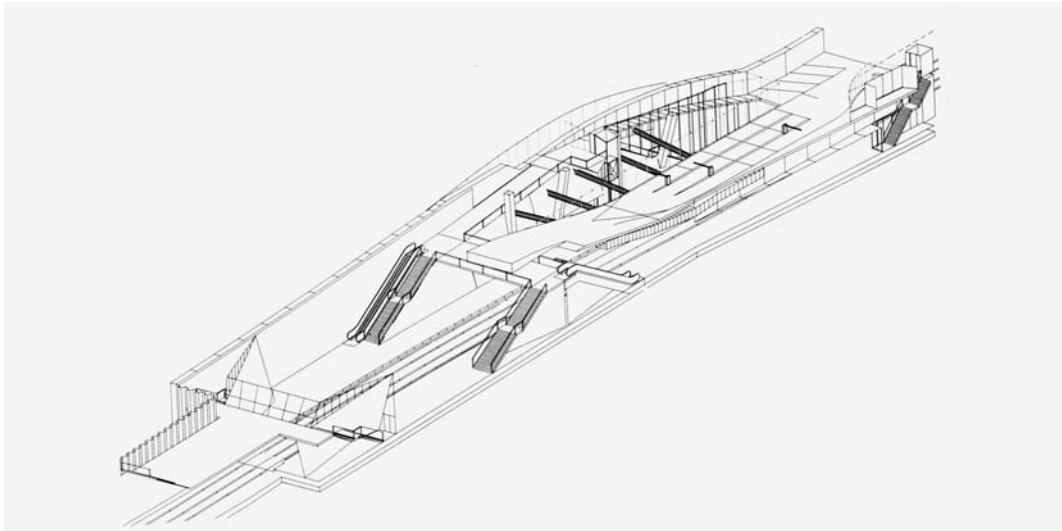


Abb. 1397: Rem Koolhaas/OMA, Service Tunnel, Den Haag, Niederlande, 1994–2004. Grote Markt Station, Axonometrie.

Abb. 1398: Spui Station, Axonometrie.

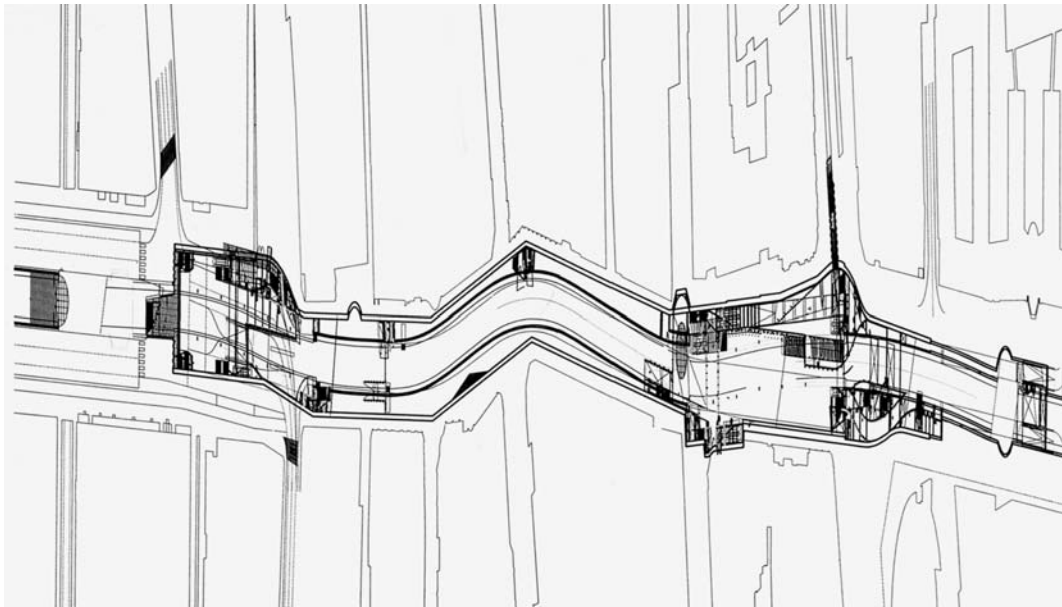
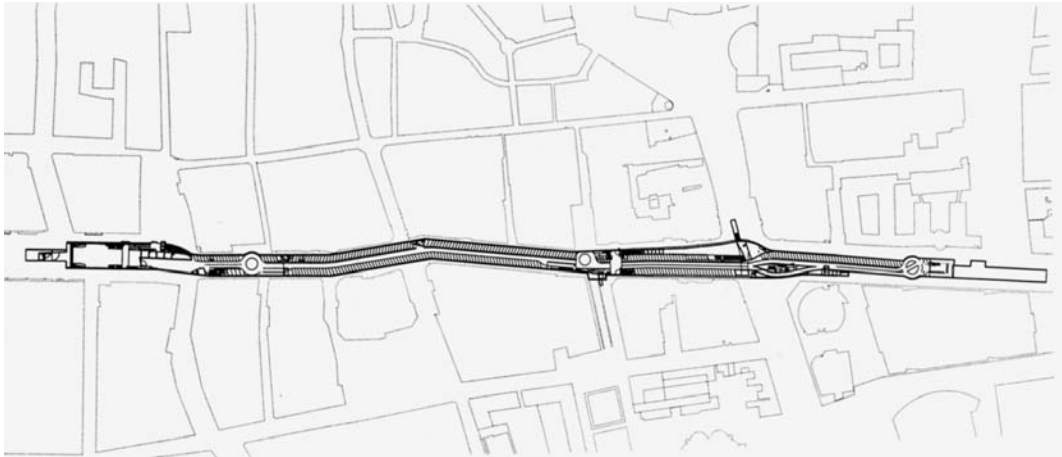


Abb. 1399: Rem Koolhaas/OMA, Service Tunnel, Den Haag, Niederlande, 1994–2004. Schematischer Lageplan mit Grundriss der Tiefgaragenebene.

Abb. 1400: Gestauchter Lageplan mit Grundriss des Untergeschosses.

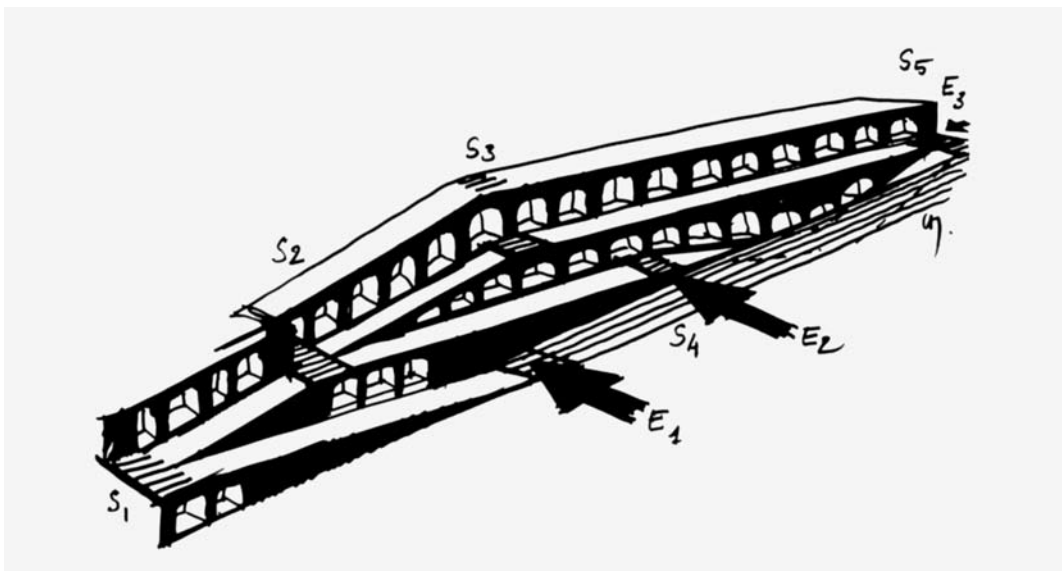
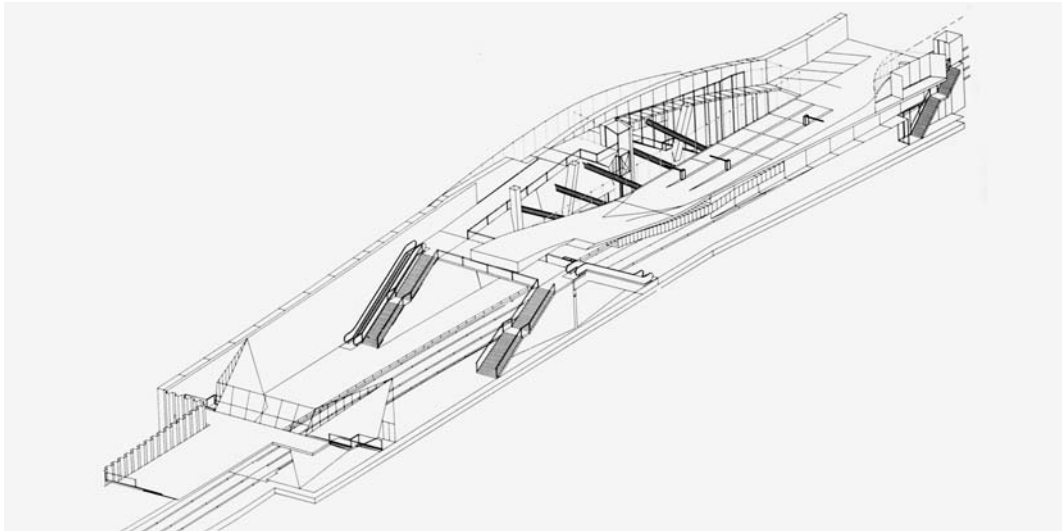


Abb. 1401: Rem Koolhaas/OMA, Service Tunnel, Den Haag, Niederlande, 1994–2004. Grote Markt Station, Axonometrie.

Abb. 1402: Claude Parent, Centre Commercial, Sens, Frankreich, 1970. Schematische Darstellung der Zugangsrampen, Tusche auf Papier, 21 x 29,7 cm.



Abb. 1403: Rem Koolhaas/OMA, Service Tunnel, Den Haag, Niederlande, 1994–2004. Blick in den Tunnel, Fotografie.

Abb. 1404: Claude Parent, Centre Commercial, Sens, Frankreich, 1970. Blick auf Zugangsrampen, Fotografie.

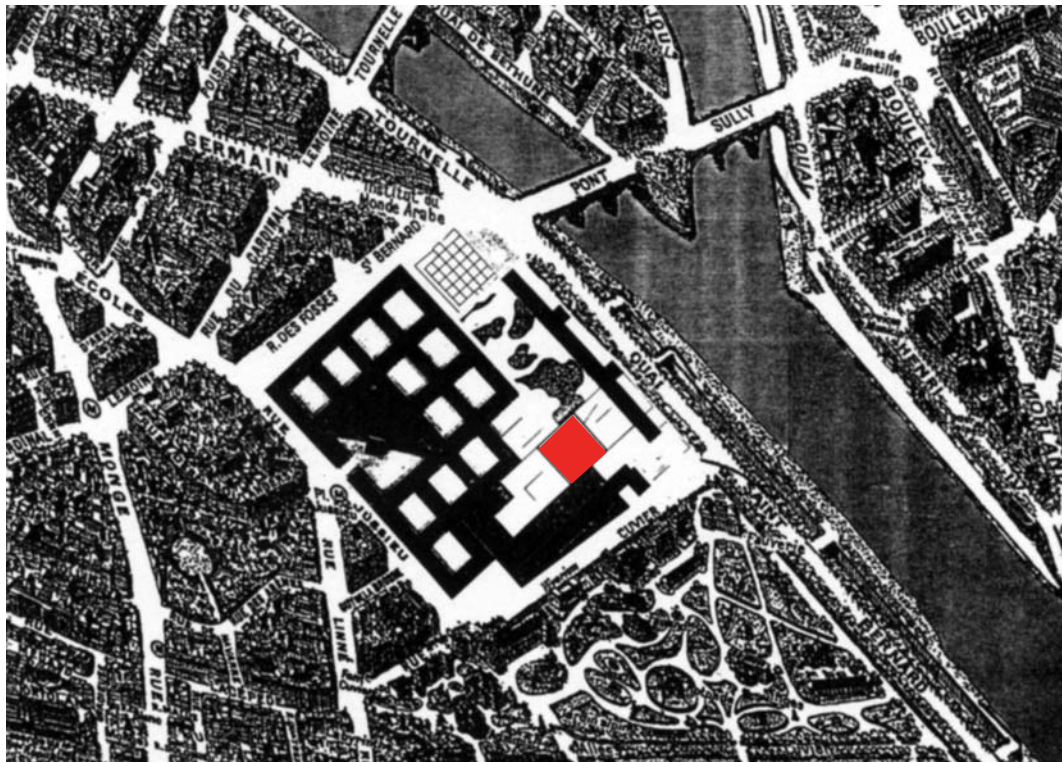


Abb. 1405: Rem Koolhaas/OMA, Bibliothèques de Jussieu, Paris, Frankreich, Entwurf 1992/93. Lageplan, bestehende Gebäude der Universität Sorbonne (schwarz) und Neubau der Bibliotheken (rot), Montage aus historischem Stadtplan und Schwarzplan (rote Markierung von der Verf.).

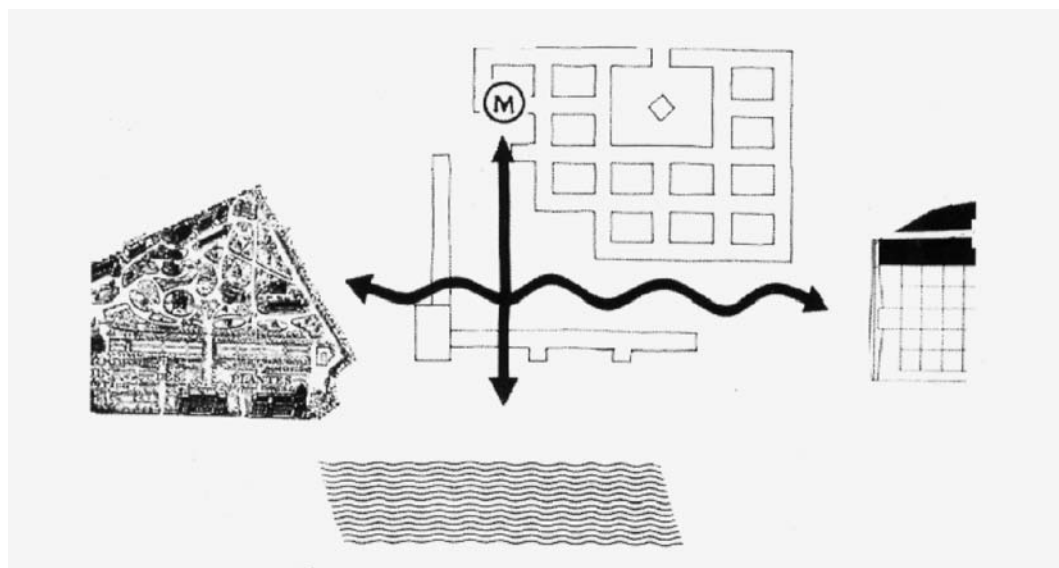
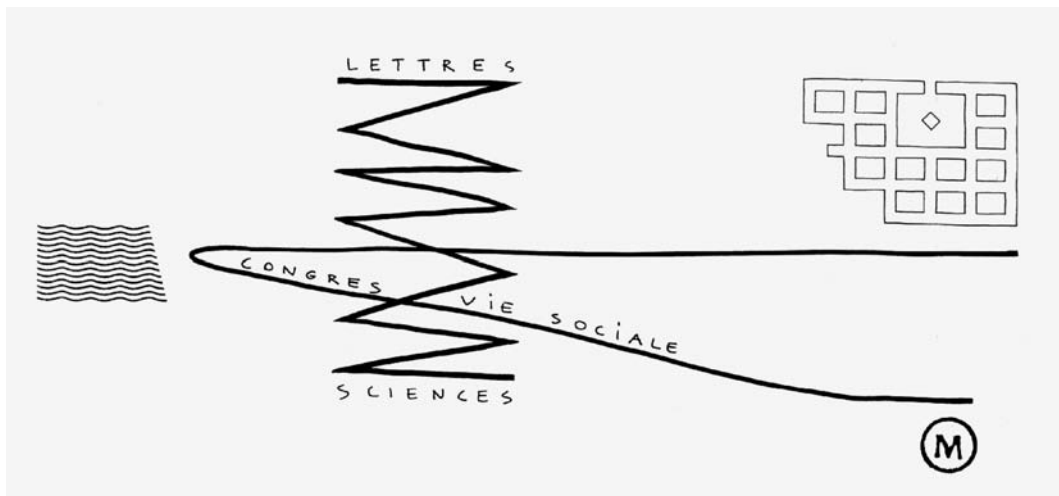


Abb. 1406: Rem Koolhaas/OMA, Bibliothèques de Jussieu, Paris, Frankreich, Entwurf 1992/93. Schema „Urbane Achse“.

Abb. 1407: Schema „Urbane Achse – Grüne Achse“.

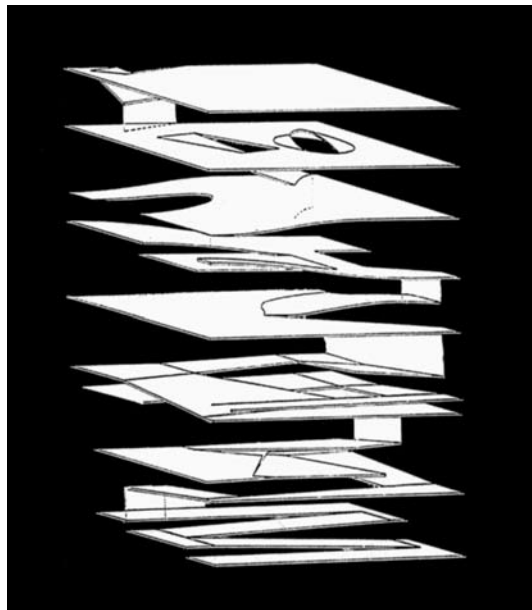
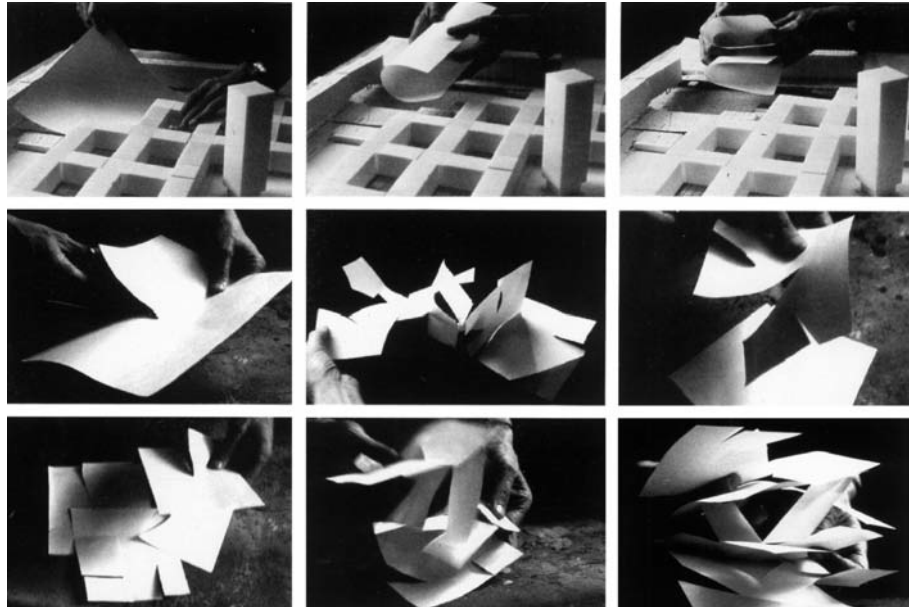


Abb. 1408: Rem Koolhaas/OMA, Bibliothèques de Jussieu, Paris, Frankreich, Entwurf 1992/93.
 Modellstudie, Faltung der Geschossebenen aus der Fläche des Baugrundstücks, Fotografien.
 Abb. 1409: Axonometrisches Schema der gefalteten Geschossebenen (invertiert von der Verf.).

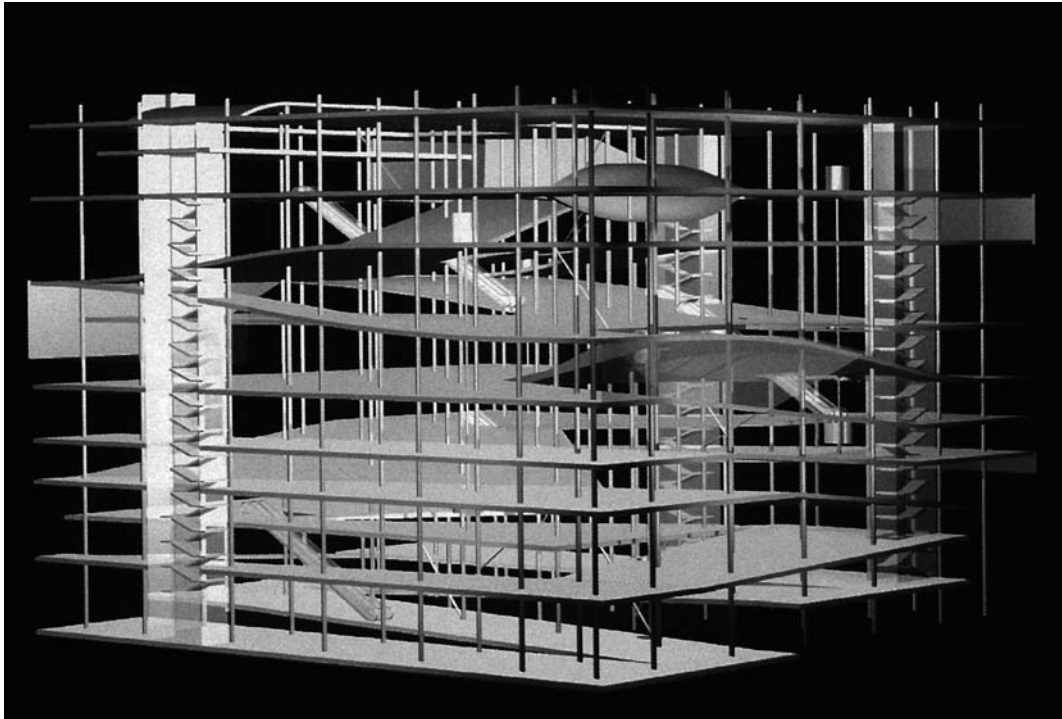


Abb. 1410: Rem Koolhaas/OMA, Bibliothèques de Jussieu, Paris, Frankreich, Entwurf 1992/93.
3D-Modell, Axonometrie, Computerrendering.

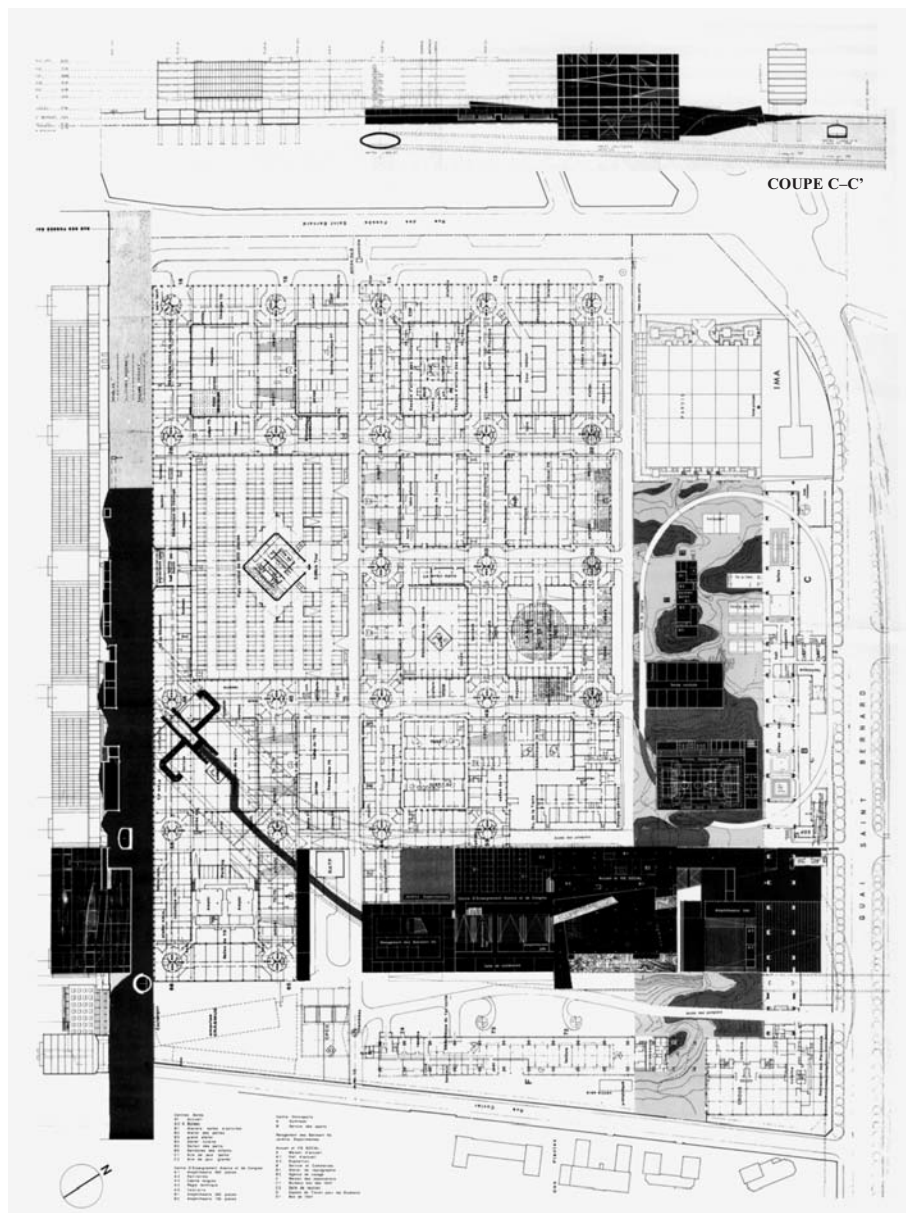


Abb. 1411: Rem Koolhaas/OMA, Bibliothèques de Jussieu, Paris, Frankreich, Entwurf 1992/93. Grundriss der Ebene auf Höhe des nördlich gelegenen Quai St. Bernard und Vertikalschnitte C–C' und D–D'.

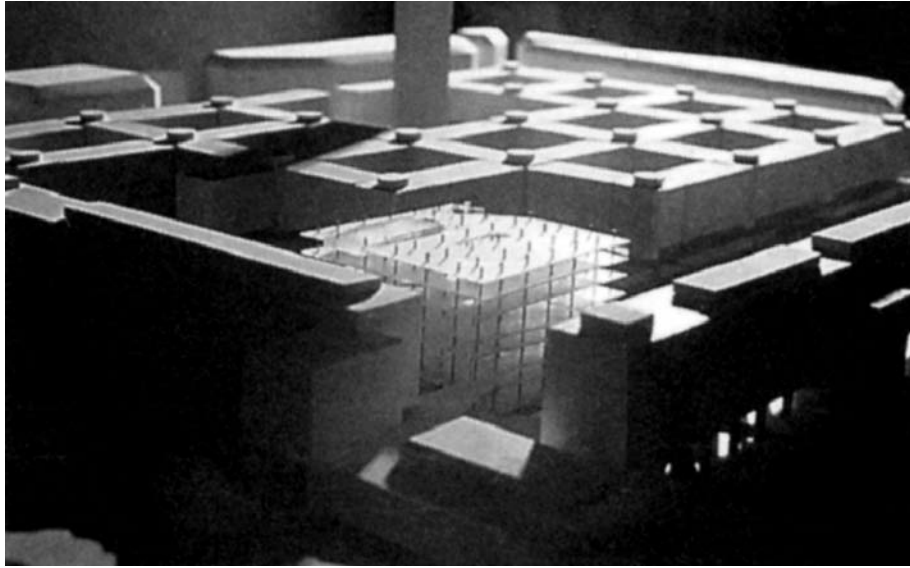


Abb. 1412: Rem Koolhaas/OMA, Bibliothèques de Jussieu, Paris, Frankreich, Entwurf 1992/93. Lageplanmodell, Ostseite, Fotografie.

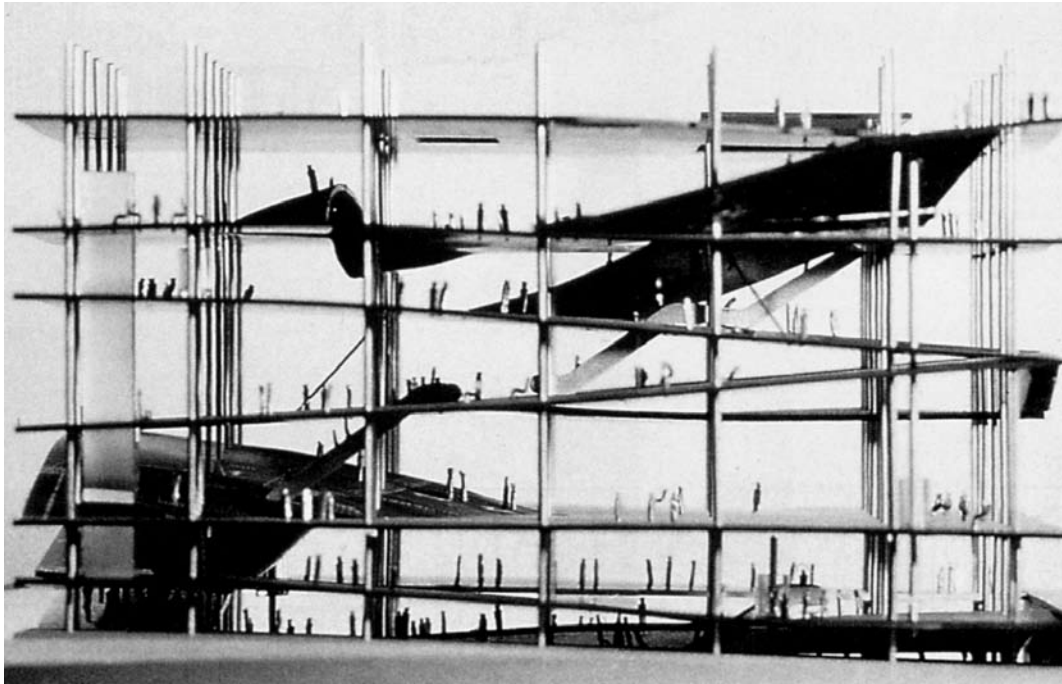


Abb. 1413: Rem Koolhaas/OMA, Bibliothèques de Jussieu, Paris, Frankreich, Entwurf 1992/93.
Modell, Fotografie.

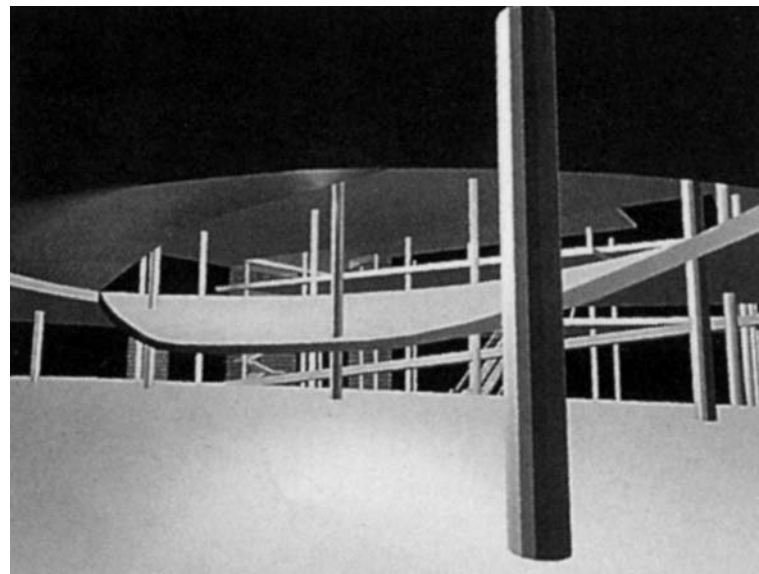
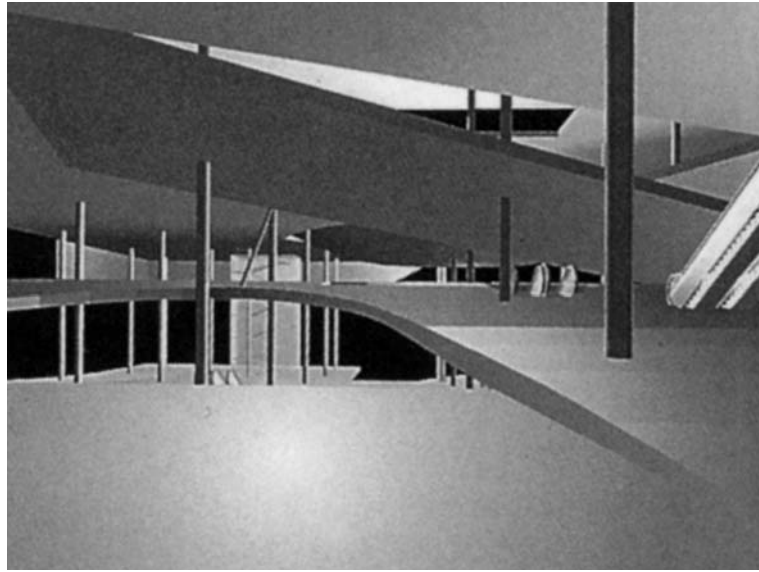


Abb. 1414: Rem Koolhaas/OMA, Bibliothèques de Jussieu, Paris, Frankreich, Entwurf 1992/93.
Innenraumperspektive, Computerrendering.
Abb. 1415: Innenraumperspektive, Computerrendering.

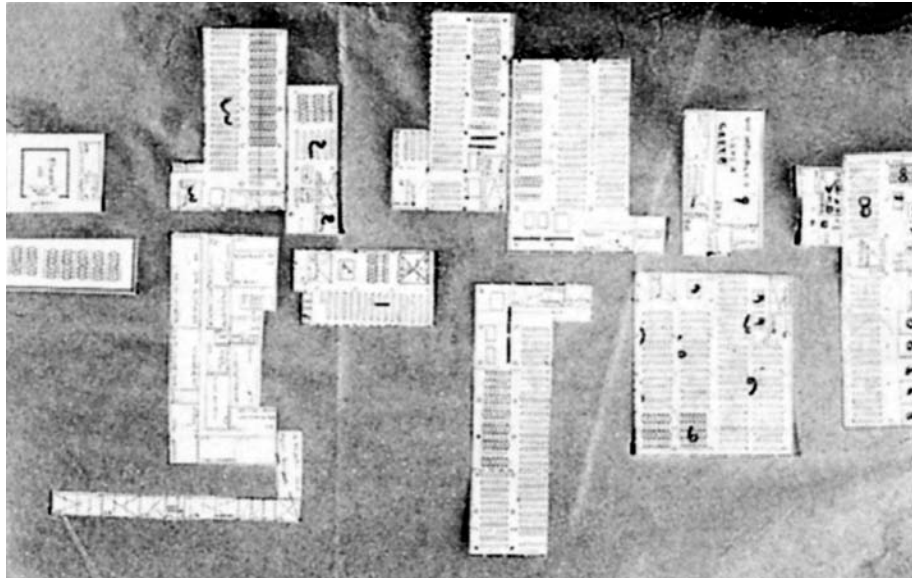


Abb. 1416: Rem Koolhaas/OMA, Bibliothèques de Jussieu, Paris, Frankreich, Entwurf 1992/93. Modellstudie der verschiedenen Bibliotheksbereiche, Fotografie.

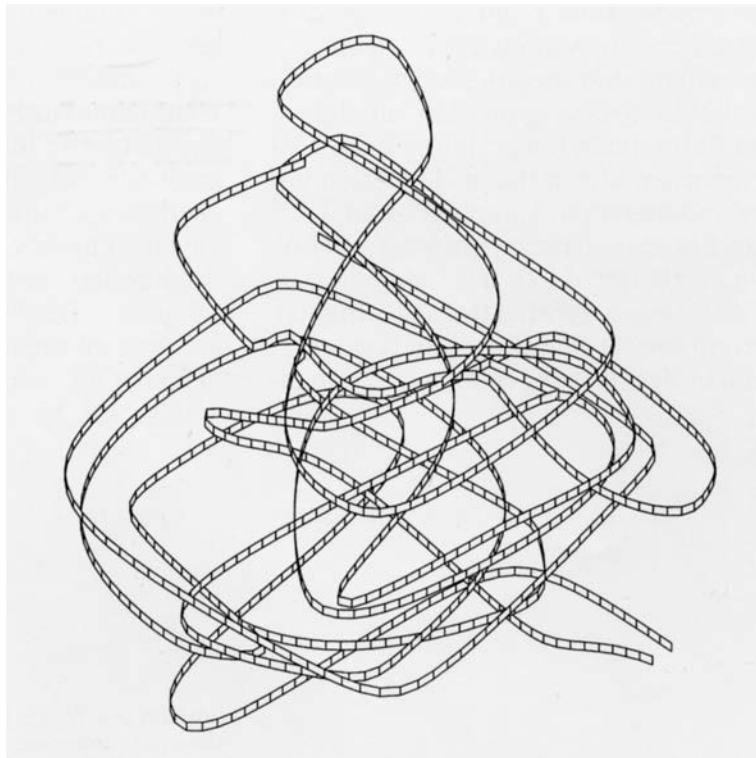
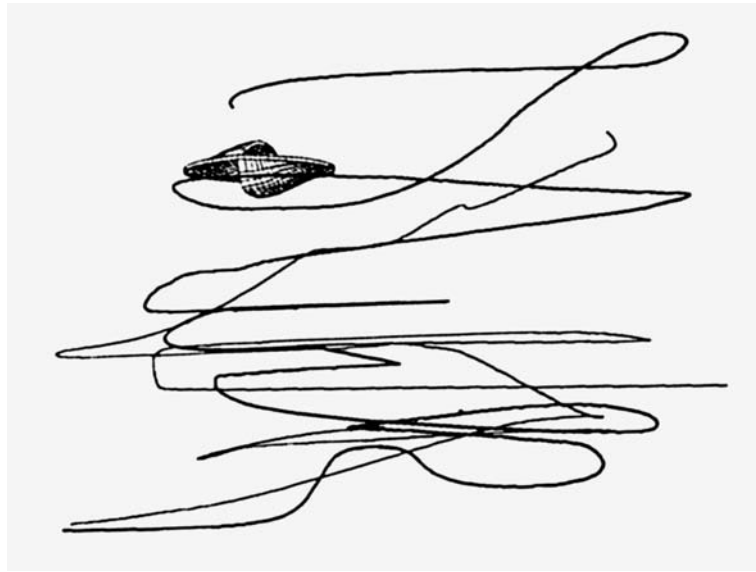


Abb. 1417: Rem Koolhaas/OMA, Bibliothèques de Jussieu, Paris, Frankreich, Entwurf 1992/93.
Bewegungslinien mit Auditorium, Ansicht (invertiert von der Verf.).
Abb. 1418: Bewegungslinien durch das Gebäude, Axonometrie.

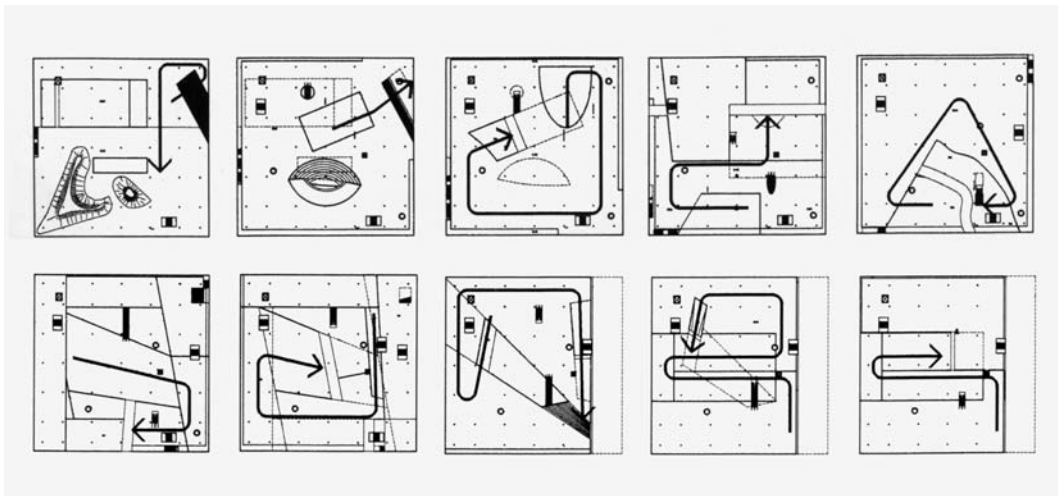


Abb. 1419: Rem Koolhaas/OMA, Bibliothèques de Jussieu, Paris, Frankreich, Entwurf 1992/93. Schematische Grundrisse mit Bewegungslinien.

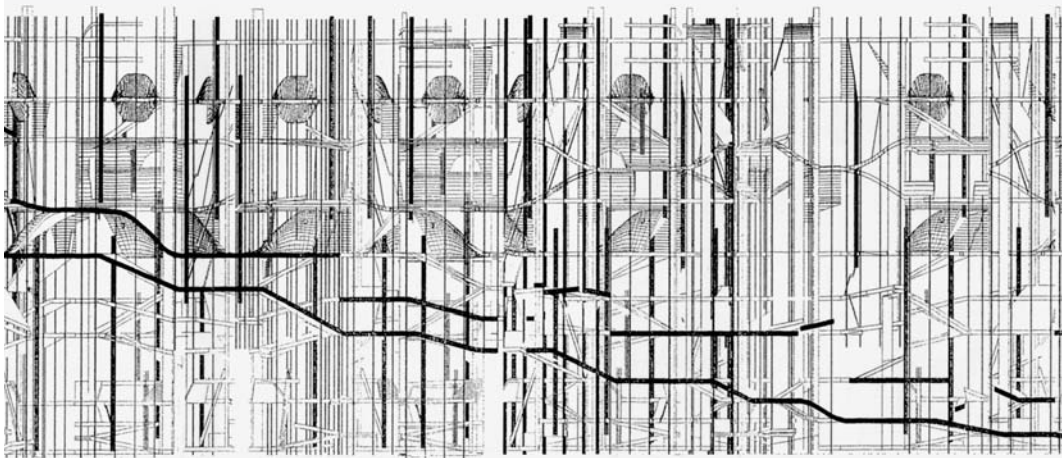


Abb. 1420: Rem Koolhaas/OMA, Bibliothèques de Jussieu, Paris, Frankreich, Entwurf 1992/93. Abwicklung des Wegraumes, zusammengesetzt aus Vertikalschnitten, in Längsrichtung gestaucht (oben) und ungestaucht (unten) (Ausschnitt).
Abb. 1421: Abwicklung des „Boulevard intérieur“.

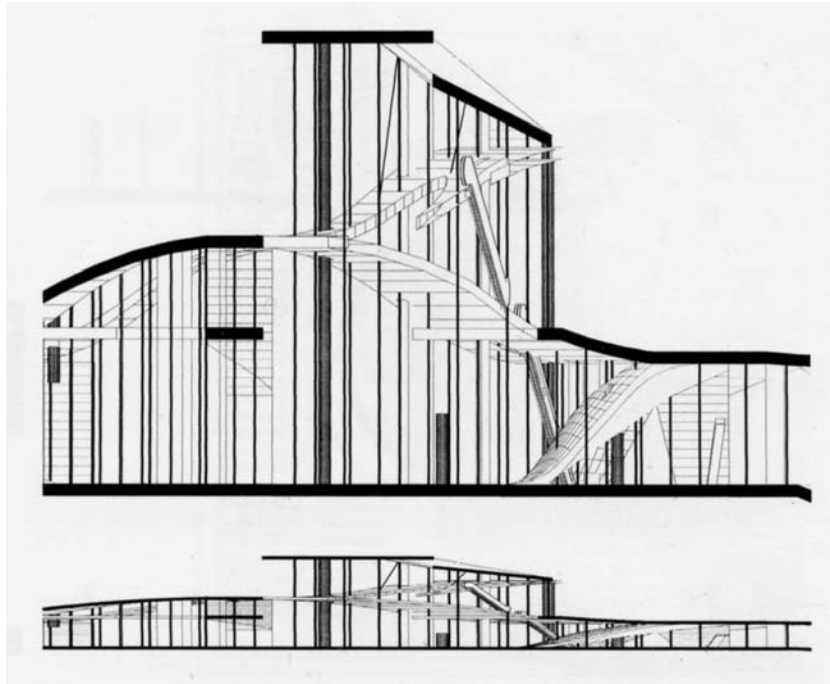


Abb. 1422: Rem Koolhaas/OMA, Bibliothèques de Jussieu, Paris, Frankreich, Entwurf 1992/93.
Schnitt durch das erste Obergeschoss, +44.40 m (unten) und gestauchter Schnitt (oben).

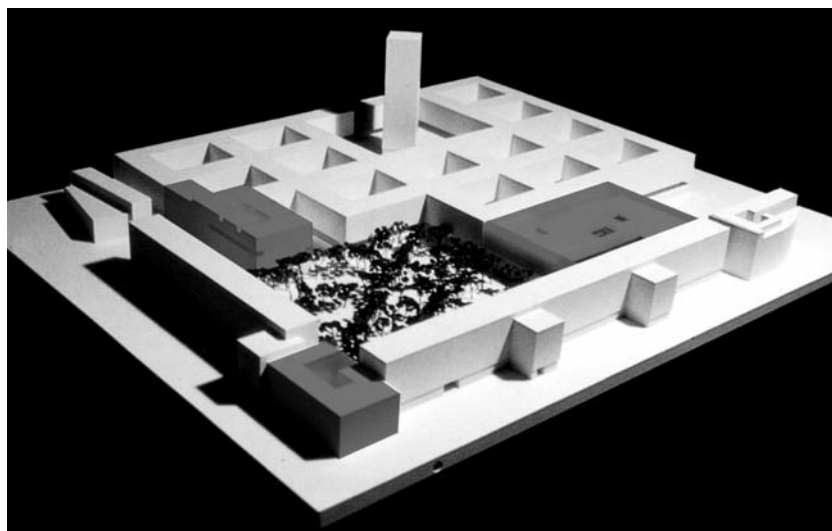
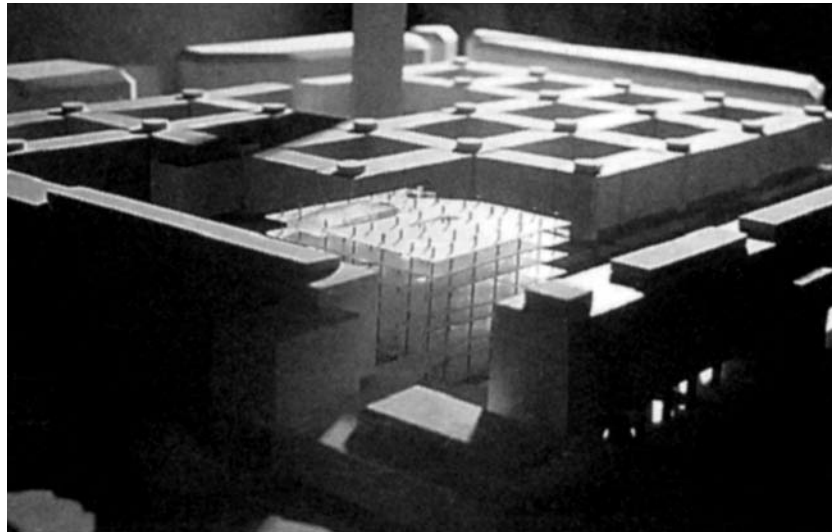


Abb. 1423: Rem Koolhaas/OMA, Bibliothèques de Jussieu, Paris, Frankreich, Entwurf 1992/93. Lageplanmodell, Ostseite, Fotografie.

Abb. 1424: Jacques Herzog und Pierre de Meuron, Bibliothèques de Jussieu, Paris, Frankreich, Entwurf 1992/93. Lageplanmodell, Ostseite, Fotografie (graue Einfärbung der drei Ergänzungsbauten von der Verf.).

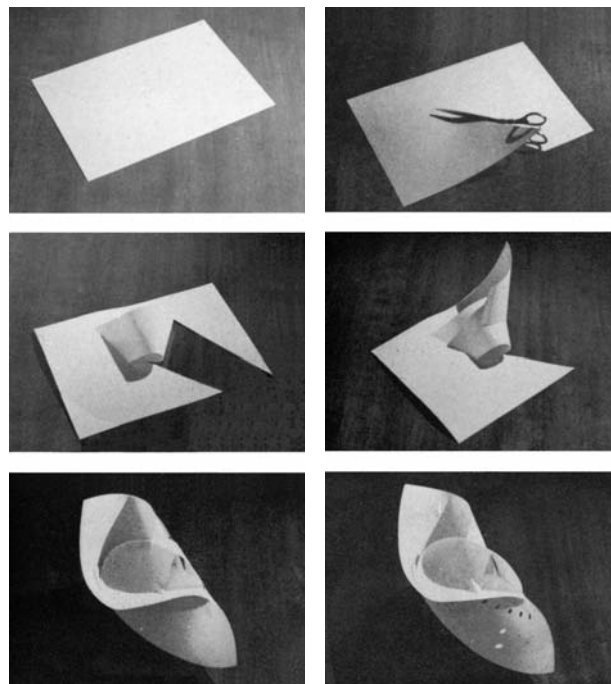
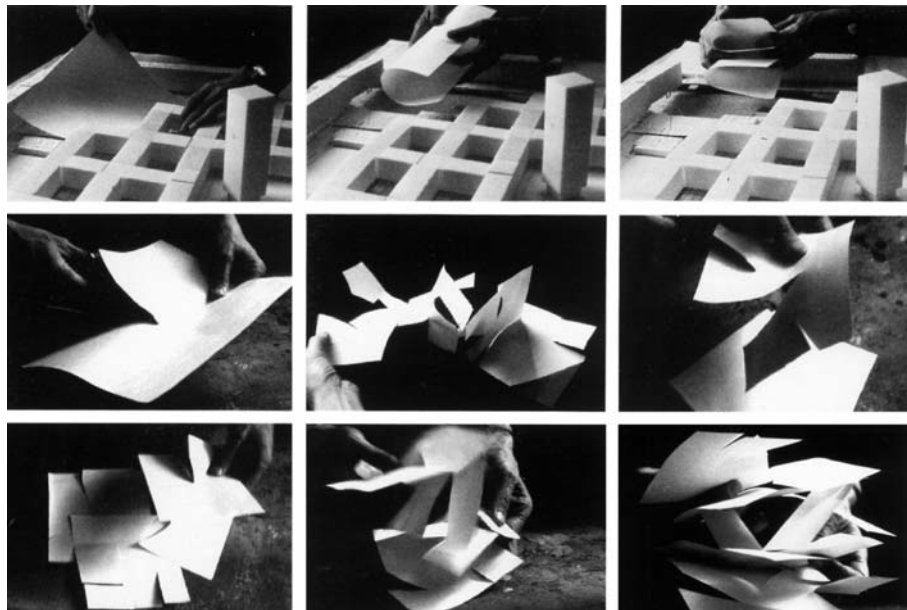


Abb. 1425: Rem Koolhaas/OMA, Bibliothèques de Jussieu, Paris, Frankreich, Entwurf 1992/93. Modellstudie, Faltung der Geschossebenen aus der Fläche des Baugrundstücks, Fotografien.

Abb. 1426: Jean Kendall, Dictionary of the light modulator, Studentenarbeit am Insitute of Design, Chicago/Illinois, USA, 1946. Faltung eines Papierbogens zu einem Raummodell, Fotografien, abgebildet in: L. Moholy-Nagy, Vision in Motion, Chicago 1947, S. 202 f., Abb. 263–269.

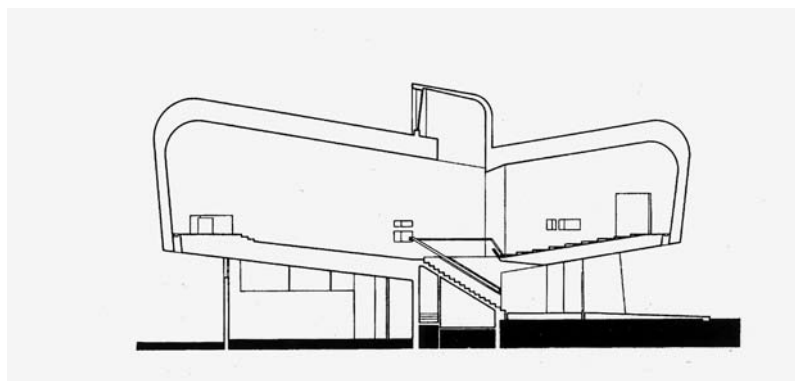
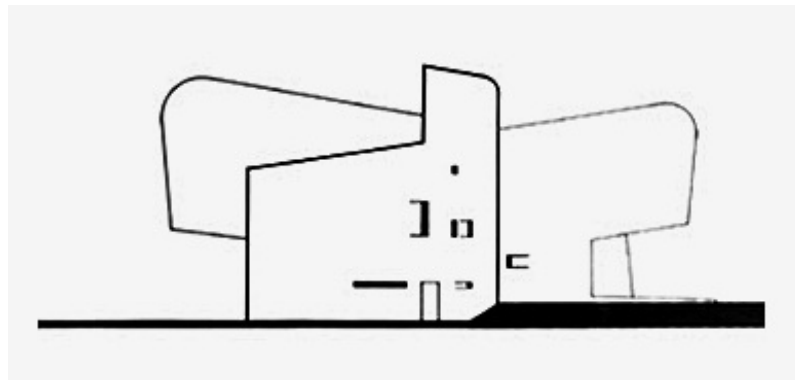
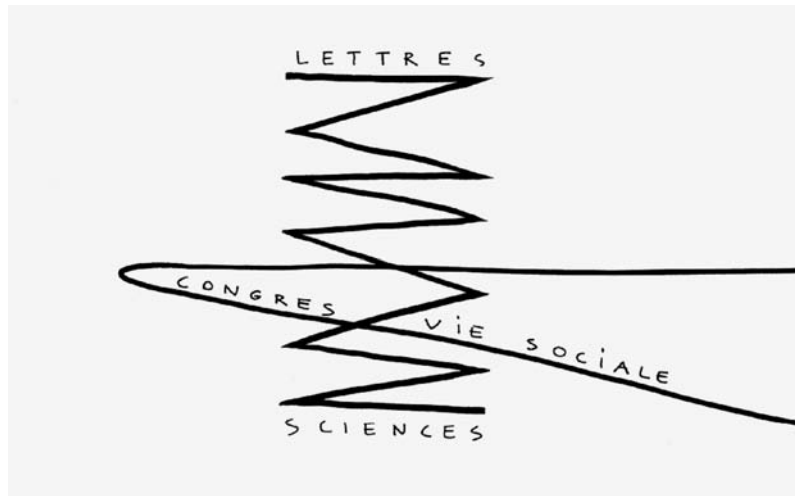


Abb. 1427: Rem Koolhaas/OMA, Bibliothèques de Jussieu, Paris, Frankreich, Entwurf 1992/93. Schema „Urbane Achse“ (Ausschnitt).

Abb. 1428: Claude Parent und Paul Virilio/Architecture Principe, Église Sainte-Bernadette du Banlay, Nevers, Frankreich, 1963–66. Ansicht der Nordseite, Tinte auf Transparentpapier, 64 x 106 cm.

Abb. 1429: Längsschnitt, 79 x 96 cm, Tinte auf Transparentpapier.

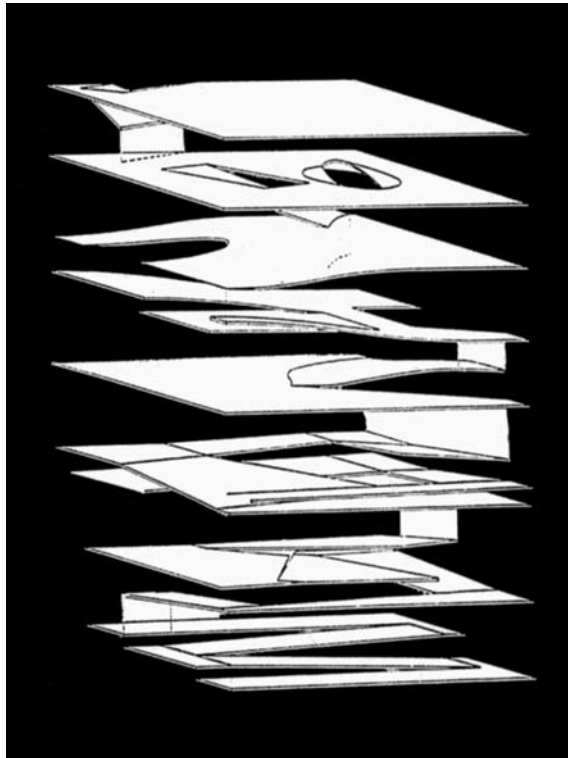
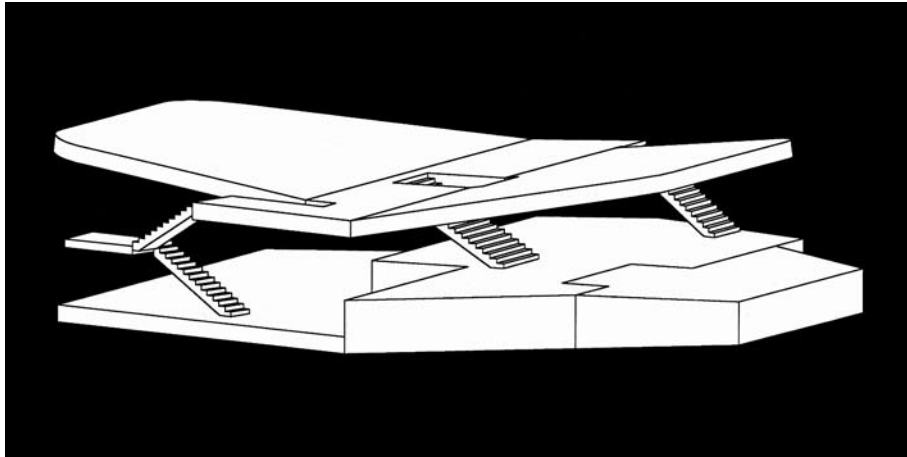


Abb. 1430: Claude Parent und Paul Virilio/Architecture Principe, Église Sainte-Bernadette du Banlay, Nevers, Frankreich, 1963–66. 3D-Modell der Bodenflächen und Treppen, Axonometrie, Computerzeichnung von der Verf. (abgeleitet von Grundrissen und Längsschnitt), 2006.

Abb. 1431: Rem Koolhaas/OMA, Bibliothèques de Jussieu, Paris, Frankreich, Entwurf 1992/1993. Axonometrisches Schema der gefalteten Geschossebenen (invertiert von der Verf.).

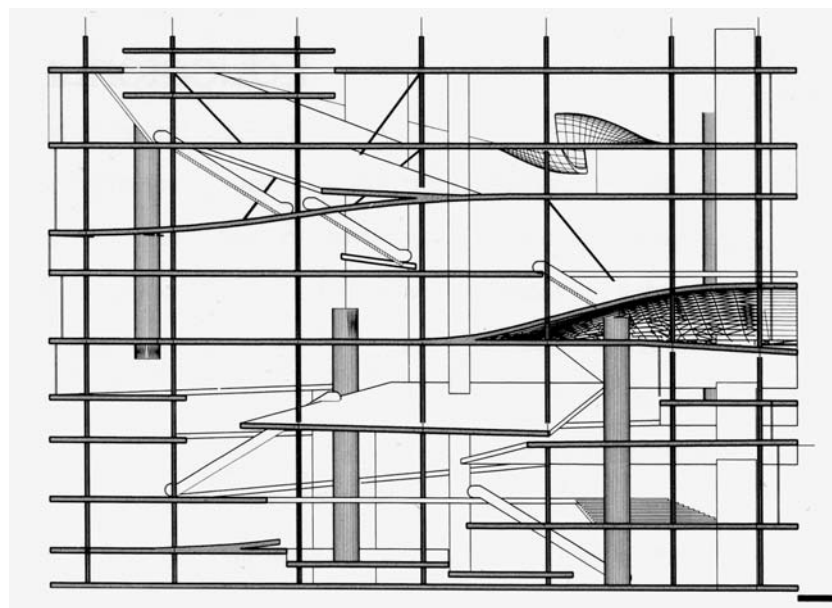
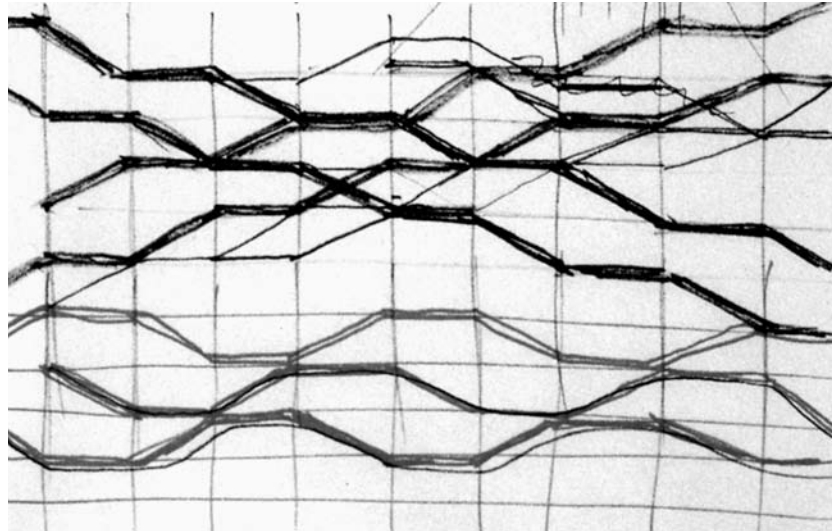


Abb. 1432: Claude Parent und Paul Virilio/Architecture Principe, Les ondes décalées en vagues, Entwurf 1966. Zeichnung, roter und schwarzer Filzstift auf Papier, 29,7 x 21 cm (Ausschnitt).
Abb. 1433: Rem Koolhaas/OMA, Bibliothèques de Jussieu, Paris, Frankreich, Entwurf 1992/93. Schnitt.

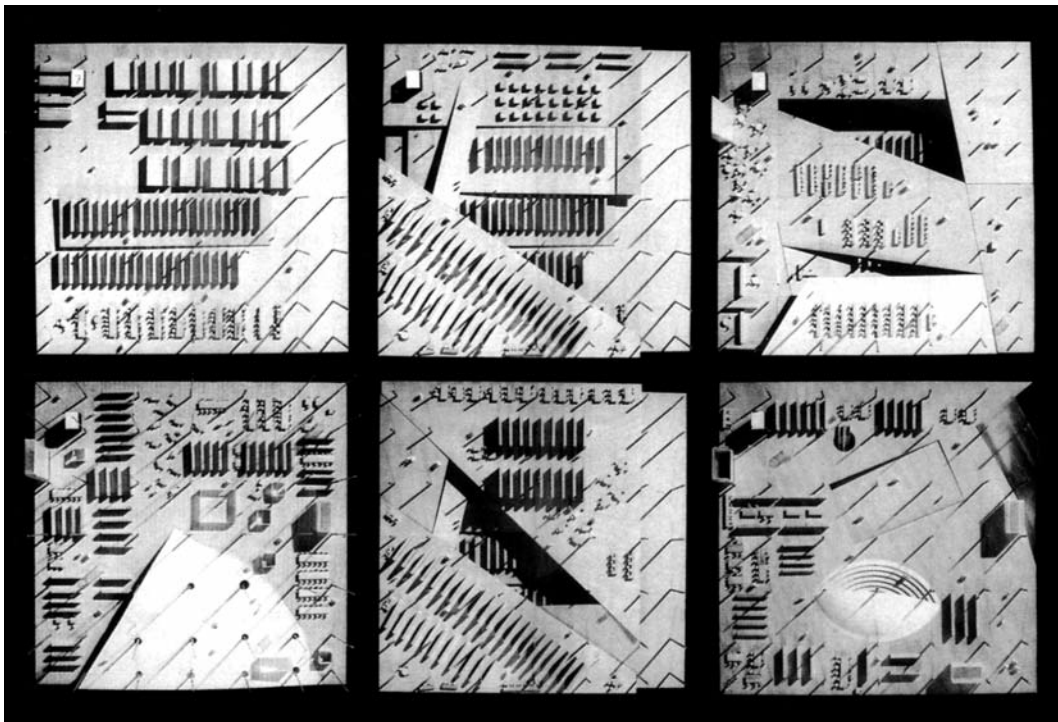


Abb. 1434: Rem Koolhaas/OMA, Bibliothèques de Jussieu, Paris, Frankreich, Entwurf 1992/93. Modelle ausgewählter Ebenen, Aufsicht, Fotografie.



Abb. 1435: Rem Koolhaas/OMA, Bibliothèques de Jussieu, Paris, Frankreich, Entwurf 1992/93. Präsentationsmodell aus Holz, Metall und Plexiglas, Fotografie.



Abb. 1436: Rem Koolhaas/OMA, Bibliothèques de Jussieu, Paris, Frankreich, Entwurf 1992/93. Präsentationsmodell aus Holz, Metall und Plexiglas (Ausschnitt), Fotografie.

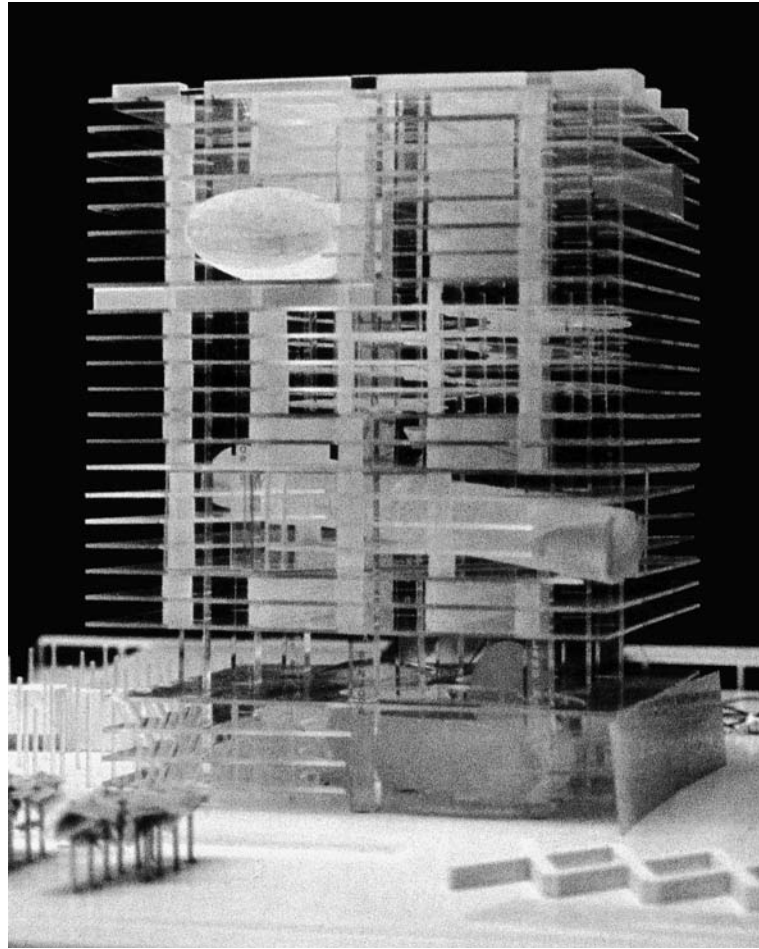


Abb. 1437: Rem Koolhaas/OMA, Bibliothèque Nationale de France, Paris, Frankreich, Entwurf 1989. Präsentationsmodell, Fotografie.

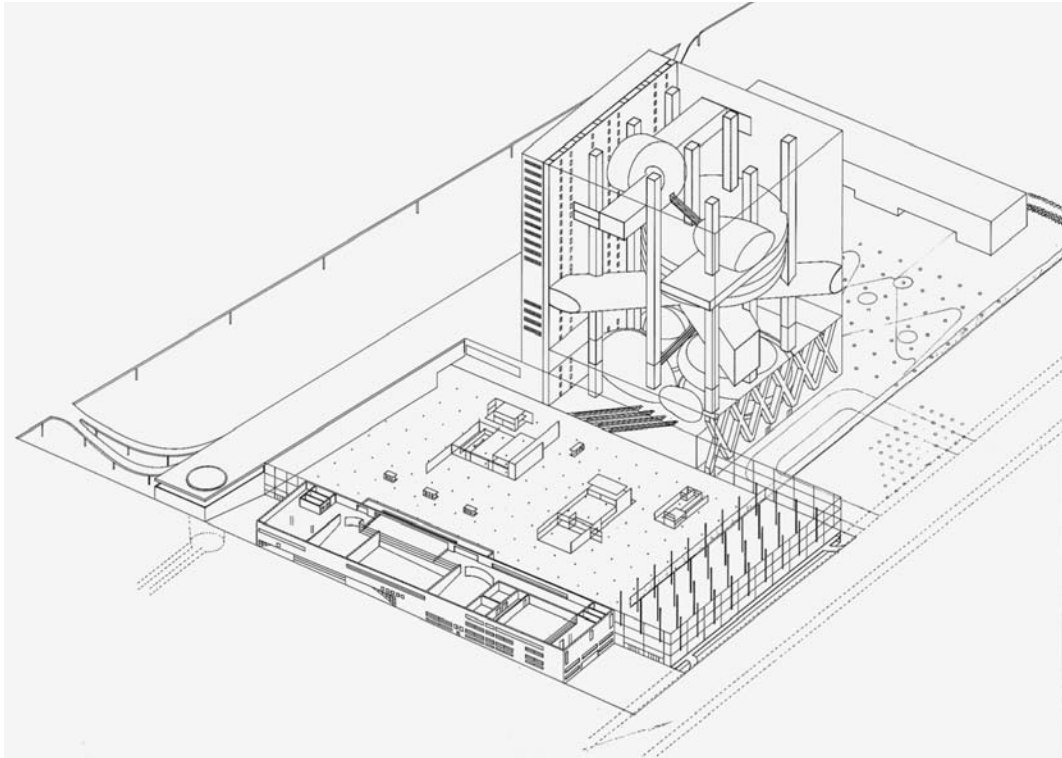


Abb. 1438: Rem Koolhaas/OMA, Bibliothèque Nationale de France, Paris, Frankreich, Entwurf 1989. Axonometrie der Gesamtanlage.

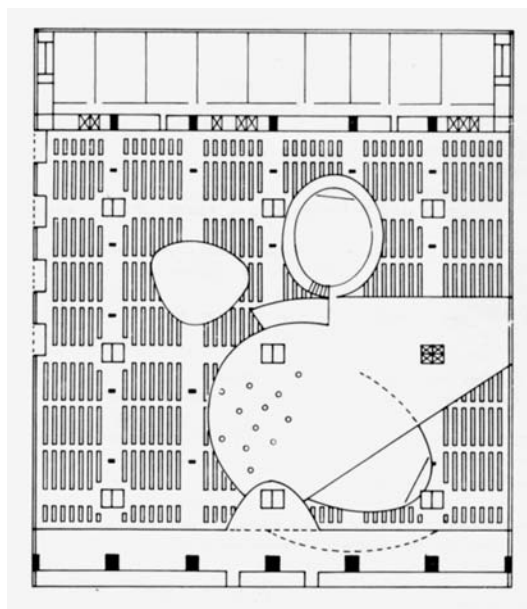
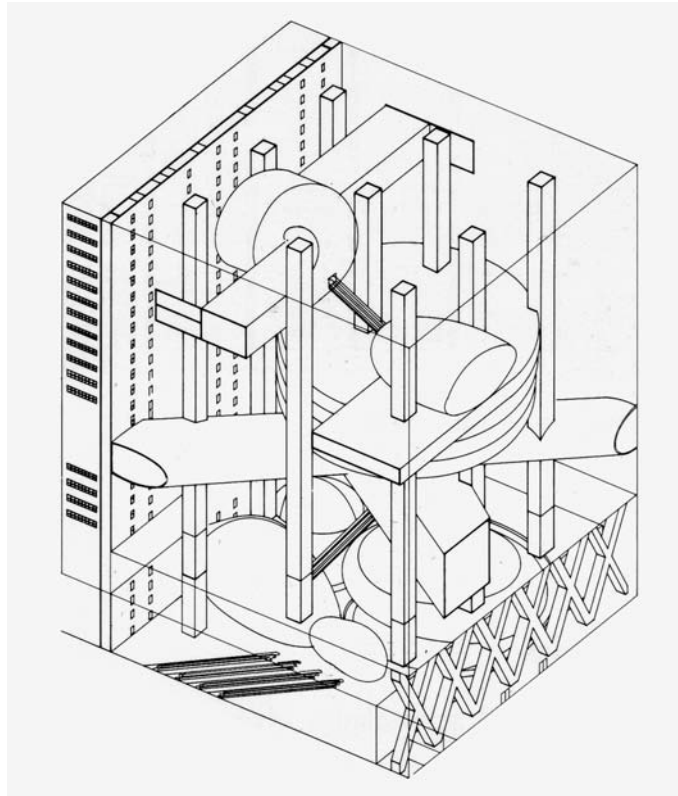


Abb. 1439: Rem Koolhaas/OMA, Bibliothèque Nationale de France, Paris, Frankreich, Entwurf 1989. Axonometrie des Gebäudes ohne Geschossebenen (Ausschnitt aus Abb. 1438).
Abb. 1440: Grundriss, Ebene -4.00 m.

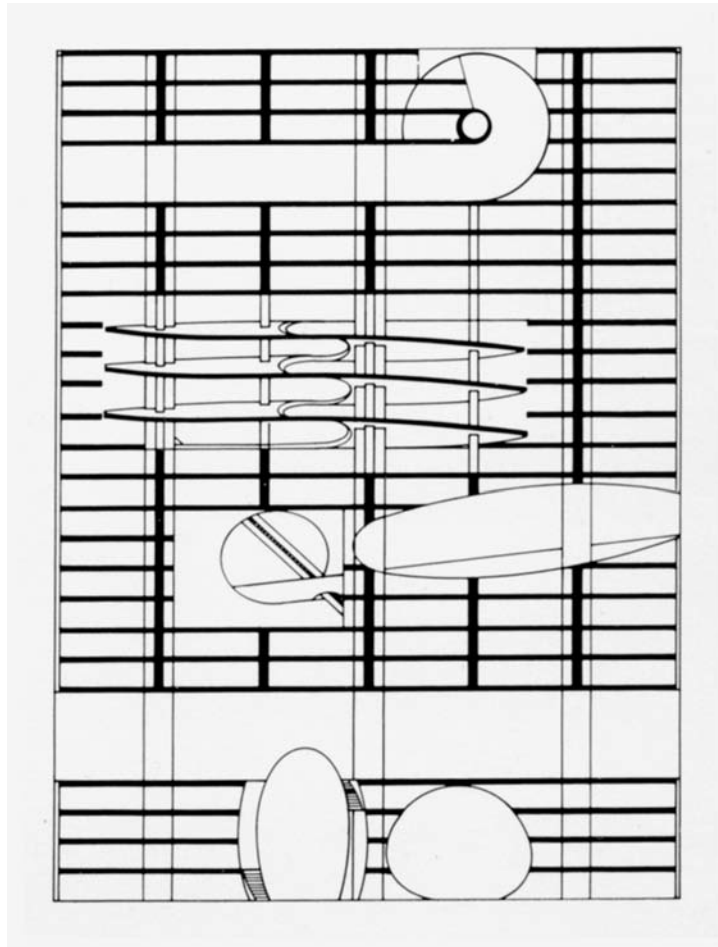


Abb. 1441: Rem Koolhaas/OMA, Bibliothèque Nationale de France, Paris, Frankreich, Entwurf 1989. Querschnitt.

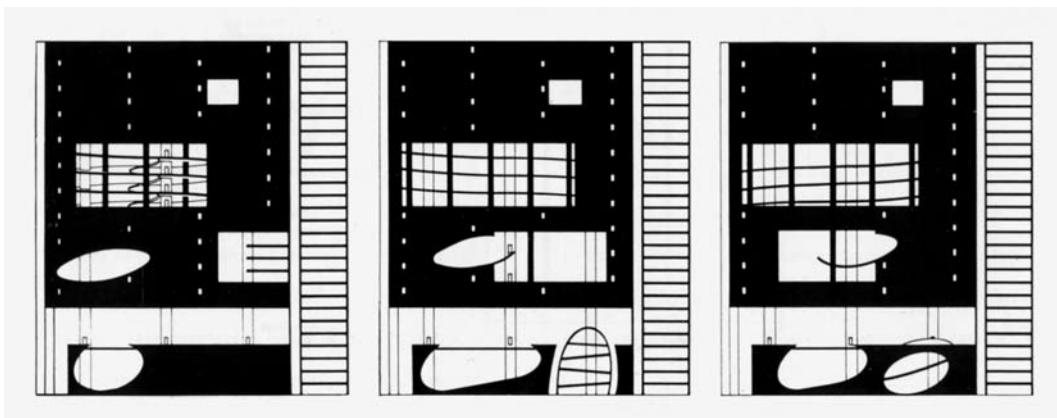
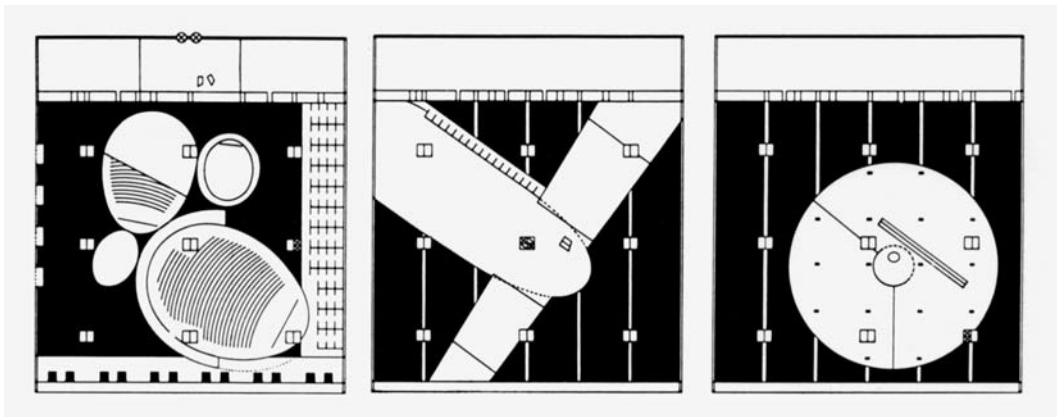


Abb. 1442: Rem Koolhaas/OMA, Bibliothèque Nationale de France, Paris, Frankreich, Entwurf 1989. Schematische Grundrisse, von links nach rechts: Ebene -2.00 m, Ebene +6.00 m und Ebene +9.00 m.

Abb. 1443: Schematische Querschnitte.

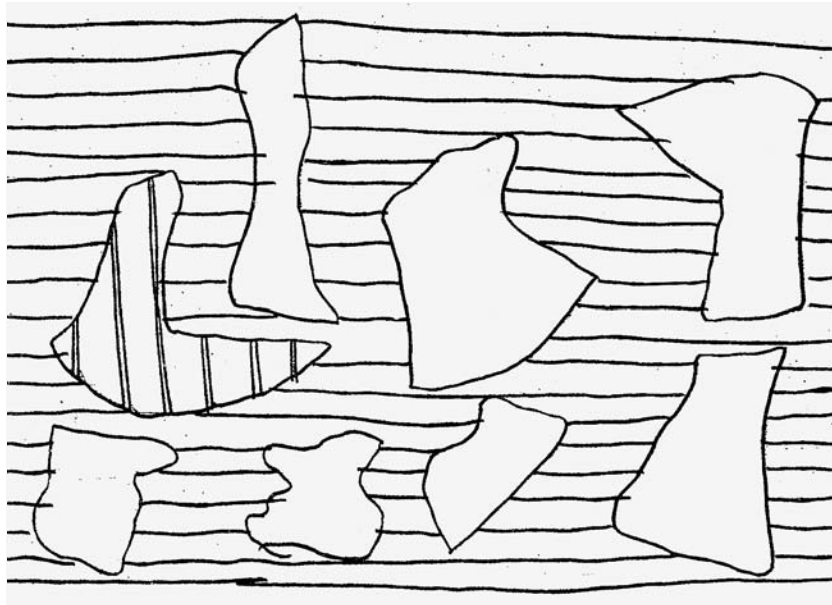


Abb. 1444: Rem Koolhaas/OMA, Bibliothèque Nationale de France, Paris, Frankreich, Entwurf 1989. Schnittkizze (ursprünglich entstanden im Rahmen des architektonischen Realisierungswettbewerbs des Zentrums für Kunst und Medientechnologie, Karlsruhe, 1989–92).
Abb. 1445: Studie, Gebäudeform als Schichtmodell, Fotografie.

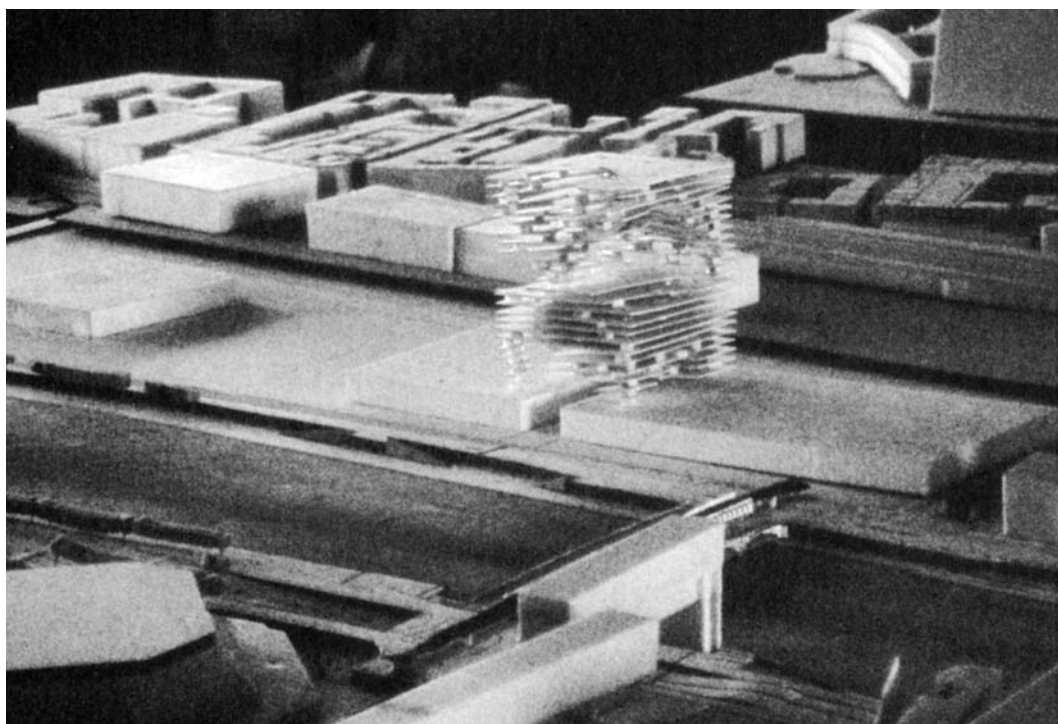


Abb. 1446: Rem Koolhaas/OMA, Bibliothèque Nationale de France, Paris, Frankreich, Entwurf 1989. Lageplanmodell mit Gebäude als Schichtmodell, Fotografie.

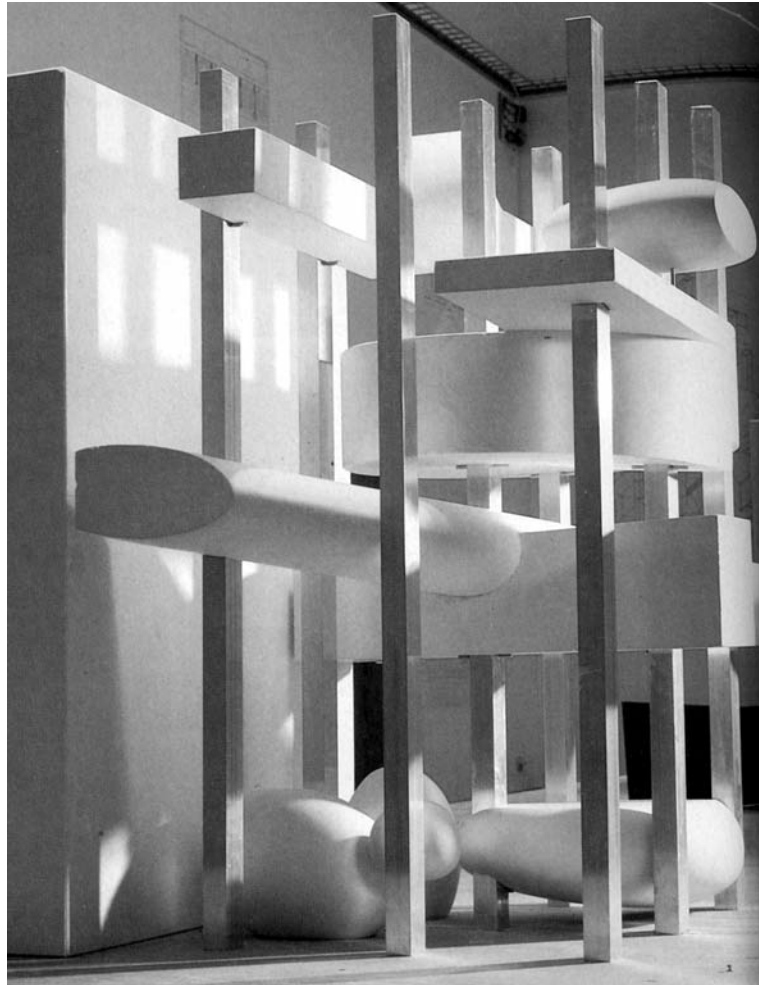


Abb. 1447: Rem Koolhaas/OMA, Bibliothèque Nationale de France, Paris, Frankreich, Entwurf 1989. Präsentationsmodell der Publikums- und Erschließungsräume als Positivformen ohne Geschossebenen, Fotografie.

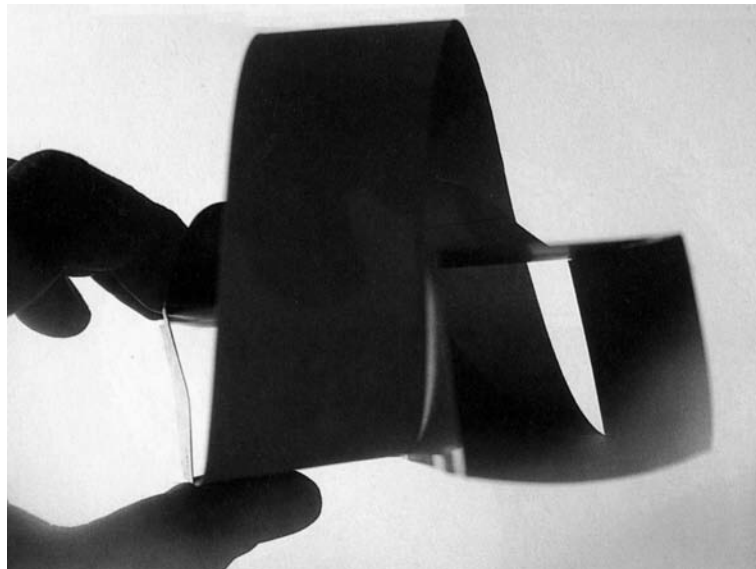
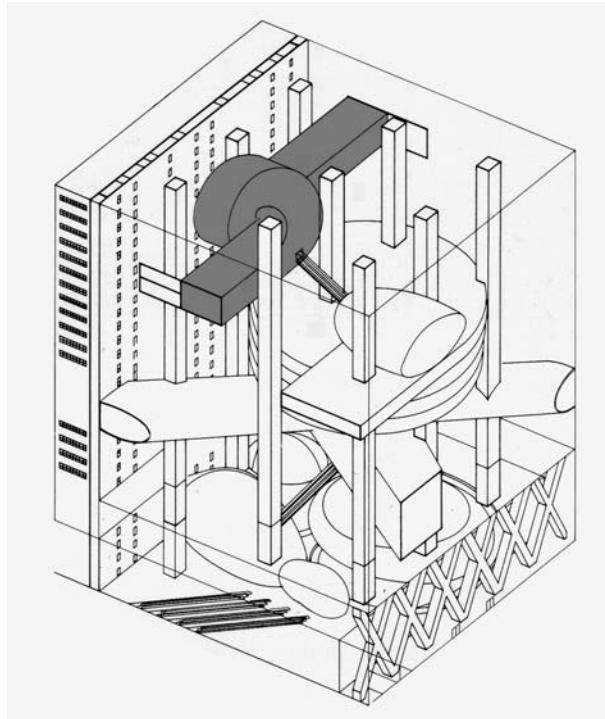


Abb. 1448: Rem Koolhaas/OMA, Bibliothèque Nationale de France, Paris, Frankreich, Entwurf 1989. Axonometrie des Gebäudes ohne Geschossebenen (Ausschnitt aus Abb. 1438, graue Einfärbung von der Verf.).

Abb. 1449: Modellstudie der Raumschleife, Fotografie.



Abb. 1450: Rem Koolhaas/OMA, Bibliothèque Nationale de France, Paris, Frankreich, Entwurf 1989. Präsentationsmodell aus transluzentem Plexiglas, Fotografie.

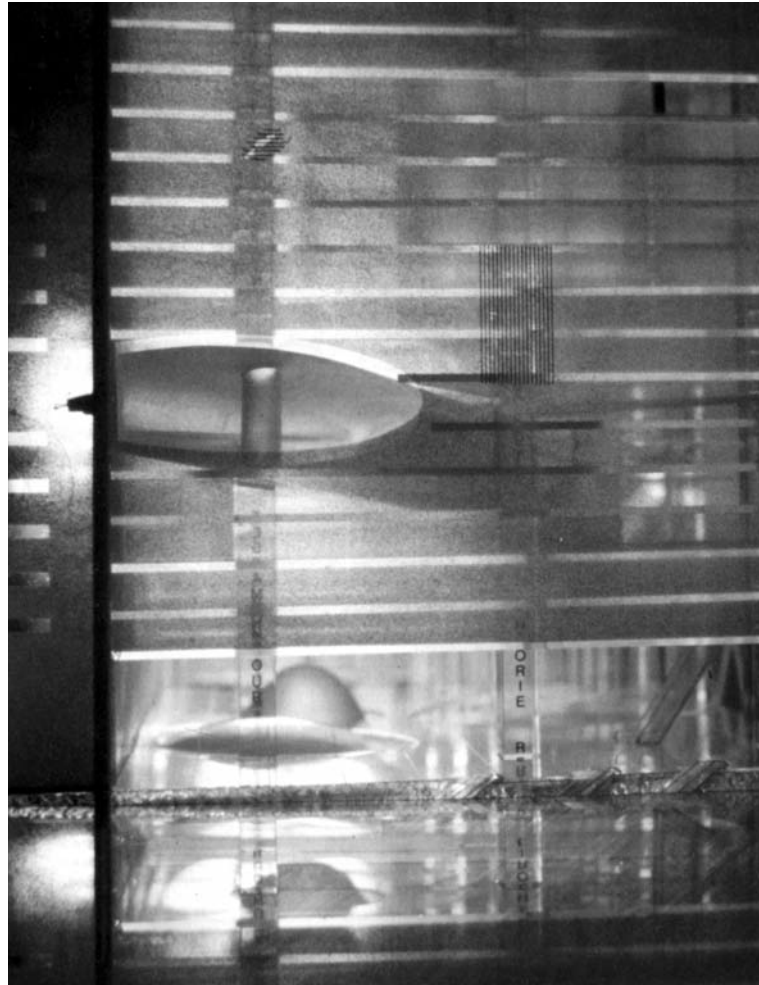


Abb. 1451: Rem Koolhaas/OMA, Bibliothèque Nationale de France, Paris, Frankreich, Entwurf 1989. Präsentationsmodell aus transluzentem Plexiglas, Fotografie.

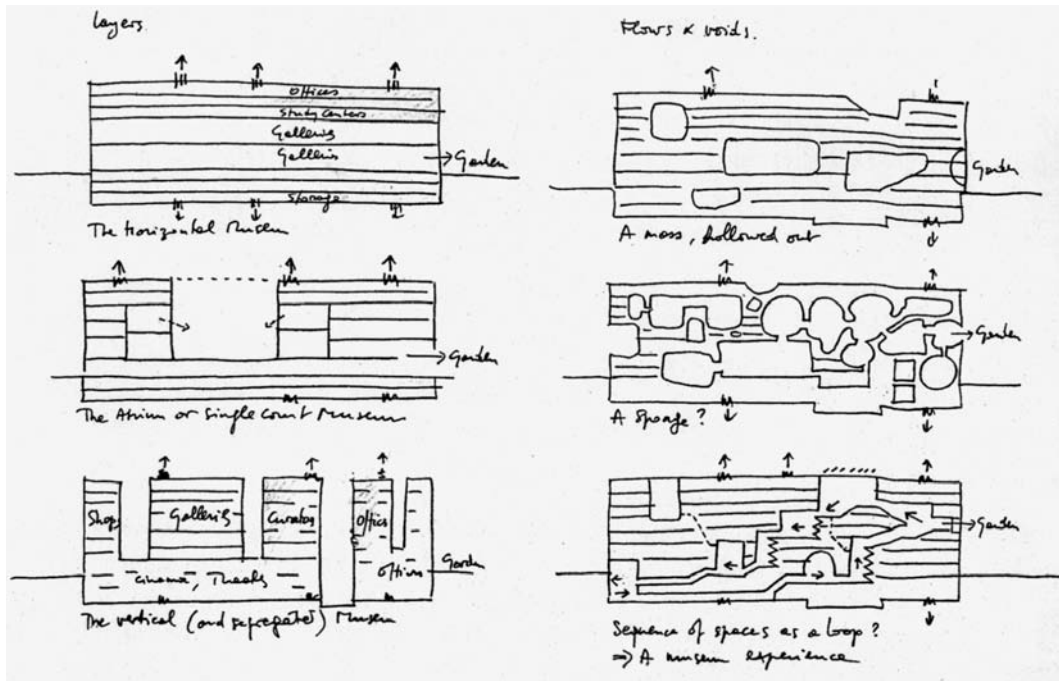


Abb. 1452: Bernard Tschumi, New Museum of Modern Art, New York, USA, Entwurf 1997. Schnittskizzen zur Verteilung der Publikumsräume.

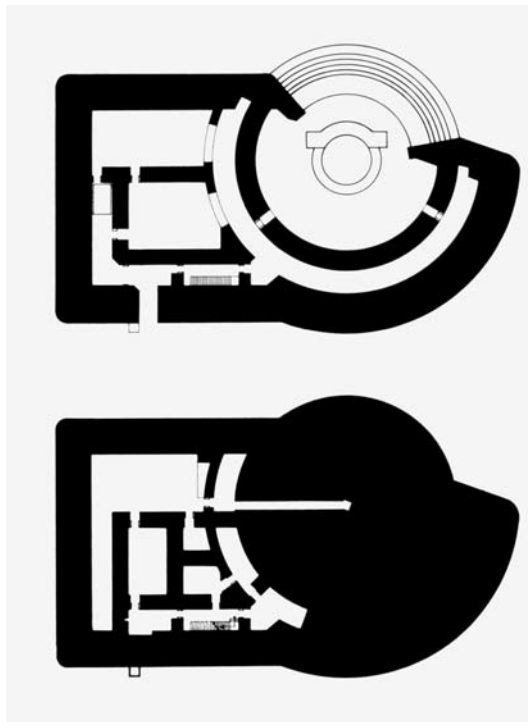
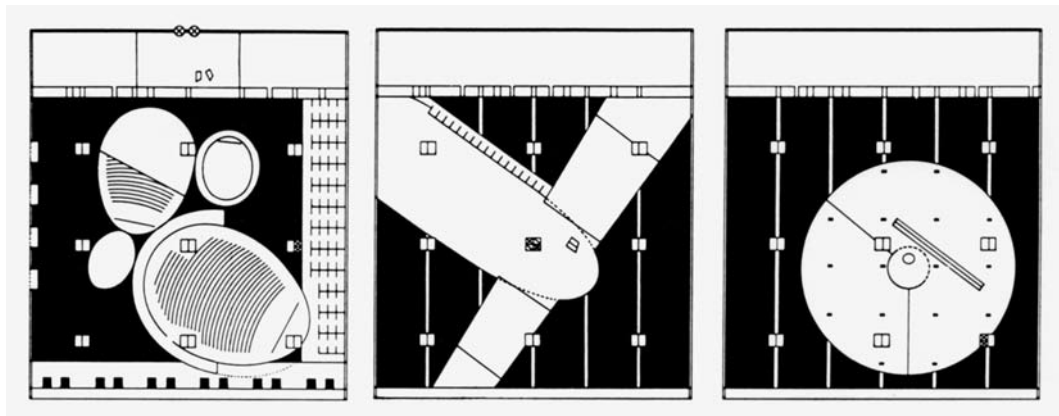


Abb. 1453: Rem Koolhaas/OMA, Bibliothèque Nationale de France, Paris, Frankreich, Entwurf 1989. Schematische Grundrisse, von links nach rechts: Ebene -2.00 m, Ebene +6.00 m und Ebene +9.00 m.

Abb. 1454: Bunkeranlage am Atlantikwall, Frankreich, 1942–44. Bunker für weitreichende Artillerie, Fritz Todt gewidmet, Grundriss und Schnitt, abgebildet in: Paul Virilio, Bunker Archeology, Paris 1994, S. 53.



Abb. 1455: Rem Koolhaas/OMA, Bibliothèque Nationale de France, Paris, Frankreich, Entwurf 1989. Studie, Gebäudeform als Schichtmodell, Fotografie.

Abb. 1456: Bunkeranlage am Atlantikwall, Frankreich, 1942–44. Versuchsbunker mit drehbarem Aufsatz, Fotografie von Paul Virilio, erstellt zwischen 1958–65, abgebildet in: Paul Virilio, Bunker Archeology, Paris 1994, S. 148.



Abb. 1457: Rem Koolhaas/OMA, Botschaft des Königreichs der Niederlande, Berlin, Deutschland, 1997–2003. Präsentationsmodell, Südseite, Fotografie.

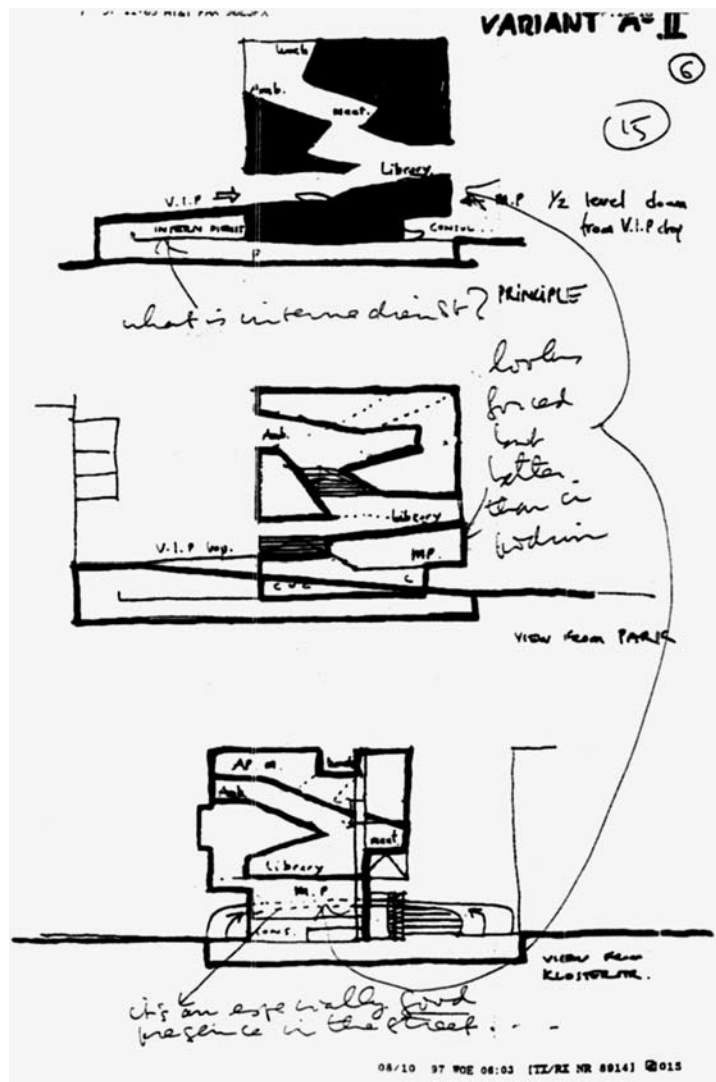


Abb. 1458: Rem Koolhaas/OMA, Botschaft des Königreichs der Niederlande, Berlin, Deutschland, 1997–2003. Schnittskizzen, Fax von Rem Koolhaas vom 10.8.1997.

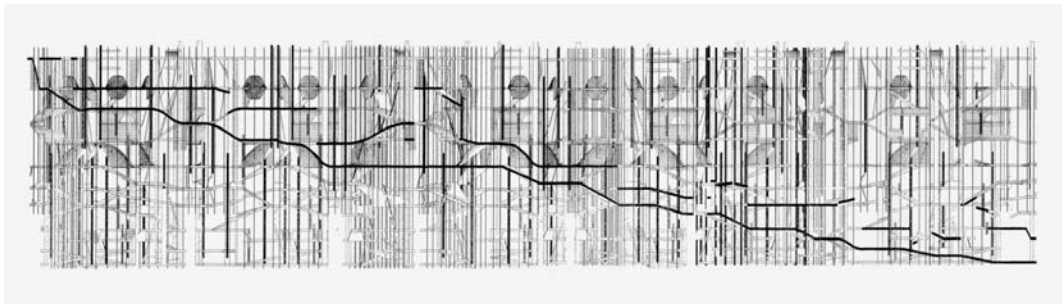
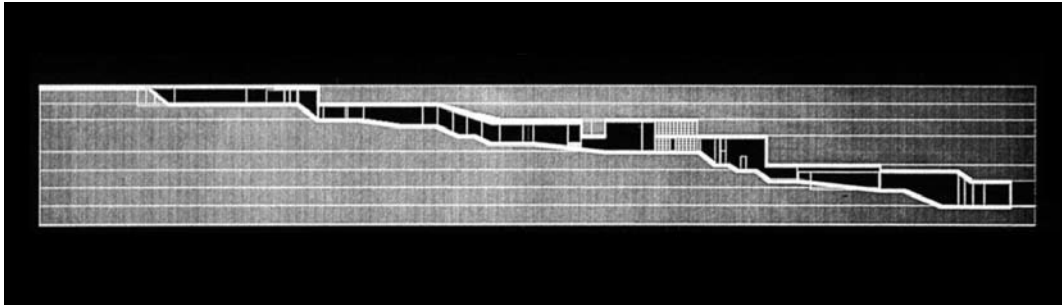


Abb. 1459: Rem Koolhaas/OMA, Botschaft des Königreichs der Niederlande, Berlin, Deutschland, 1997–2003. Wegeabwicklung, Zeichnung.

Abb. 1460: Rem Koolhaas/OMA, Bibliothèques de Jussieu, Paris, Frankreich, Entwurf 1992/93. Abwicklung des Wegraumes, zusammengesetzt aus Vertikalschnitten, in Längsrichtung gestaucht.

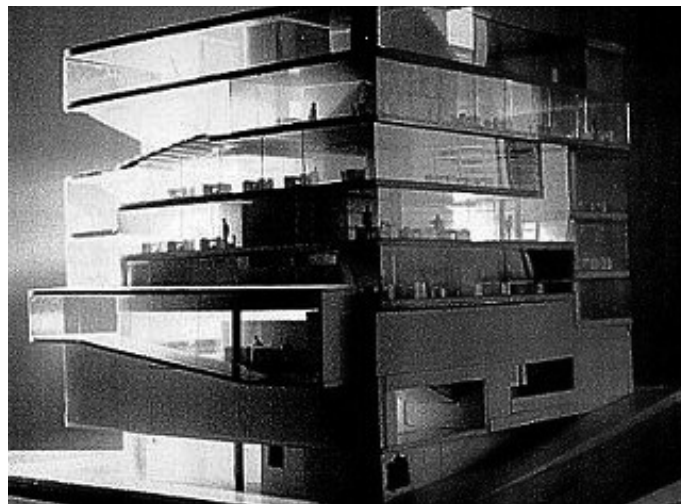
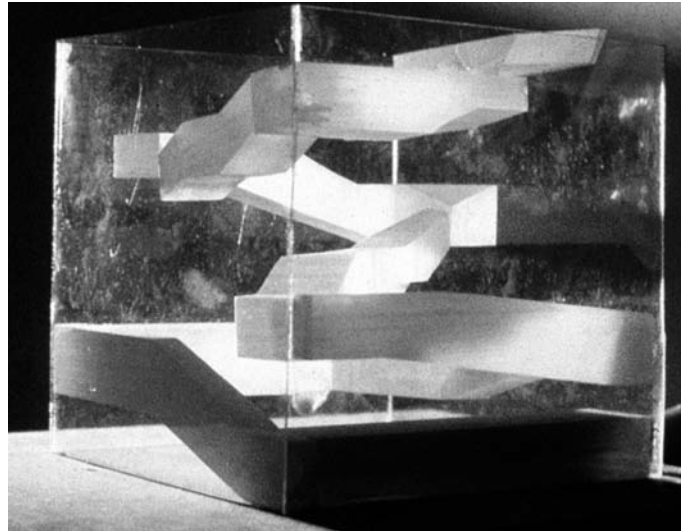


Abb. 1461: Rem Koolhaas/OMA, Botschaft des Königreichs der Niederlande, Berlin, Deutschland, 1997–2003. Modell des aus der Gebäudemasse ausgehöhlten Wegraumes als Positivform, Fotografie.
Abb. 1462: Modell, Nordostseite, Fotografie.

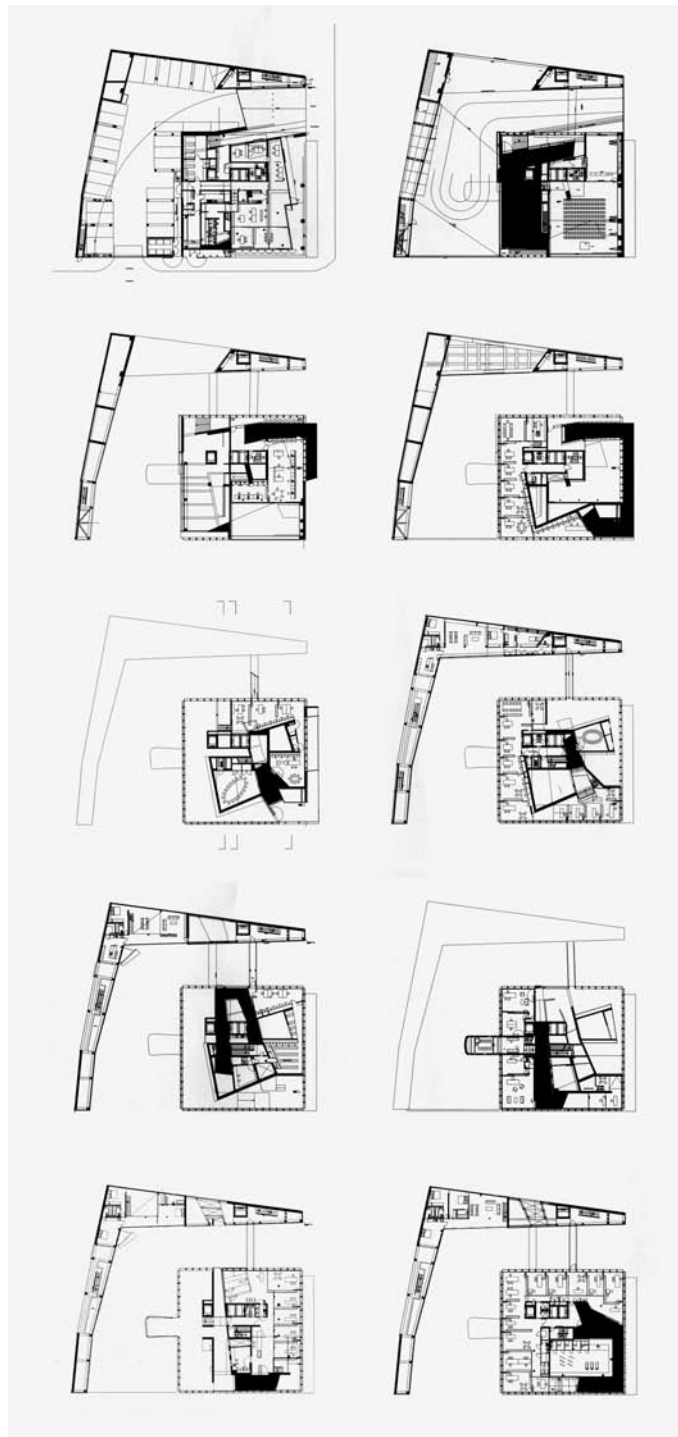


Abb. 1463: Rem Koolhaas/OMA, Botschaft des Königreichs der Niederlande, Berlin, Deutschland, 1997–2003. Grundrisse, Verlauf des Trajekts (schwarze Fläche) durch das Gebäude.



Abb. 1464: Rem Koolhaas/OMA, Botschaft des Königreichs der Niederlande, Berlin, Deutschland, 1997–2003. Südwestseite, Fotografie.



Abb. 1465: Rem Koolhaas/OMA, Botschaft des Königreichs der Niederlande, Berlin, Deutschland, 1997–2003. Ausblick auf den Berliner Fernsehturm, Fotografie.



Abb. 1466: Rem Koolhaas/OMA, Botschaft des Königreichs der Niederlande, Berlin, Deutschland, 1997–2003. Südostseite, Fotografie.

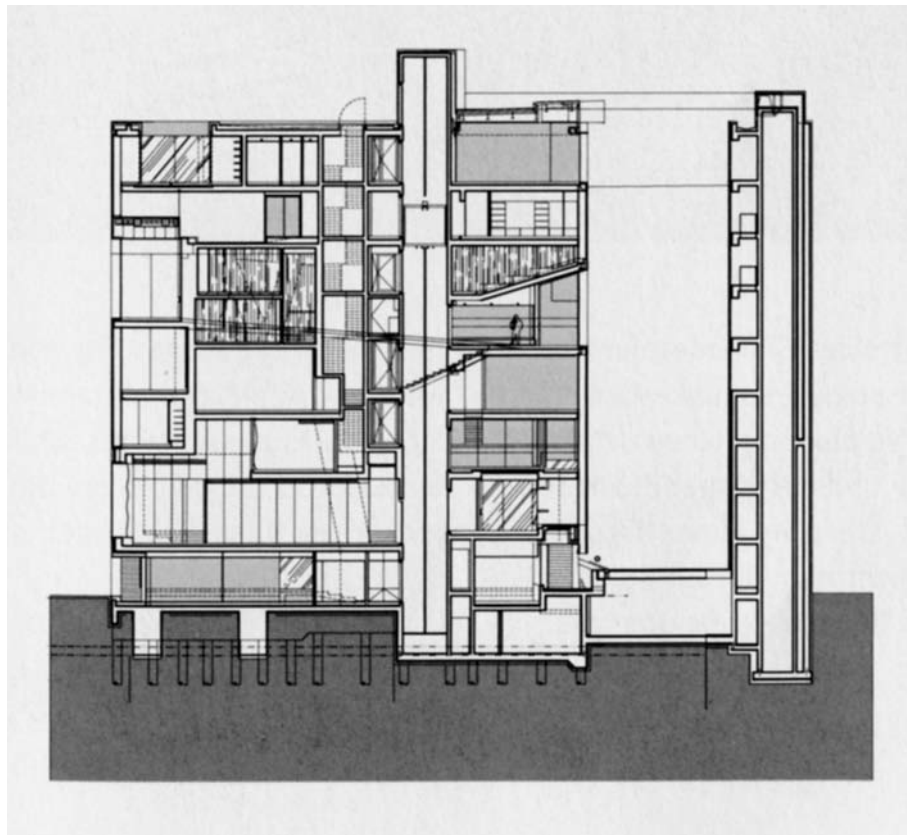


Abb. 1467: Rem Koolhaas/OMA, Botschaft des Königreichs der Niederlande, Berlin, Deutschland, 1997–2003. Nord-Süd-Schnitt.

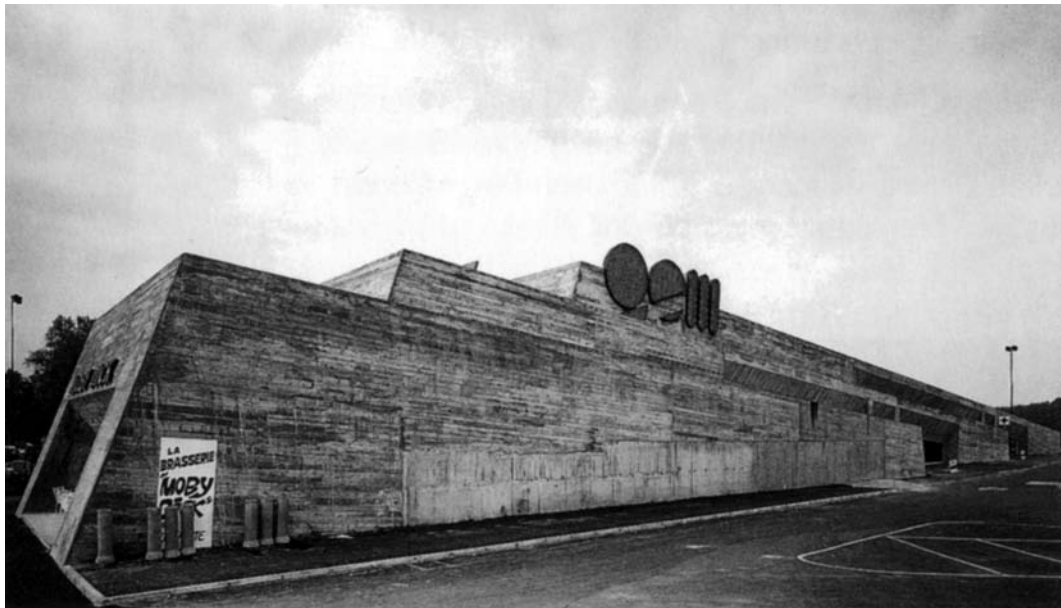


Abb. 1468: Rem Koolhaas/OMA, Central Library, Seattle, USA, 1998–2004. Fotografie (Ausschnitt).
Abb. 1469: Claude Parent, Centre Commercial, Sens, Frankreich, 1970. Eingangsseite, Fotografie.

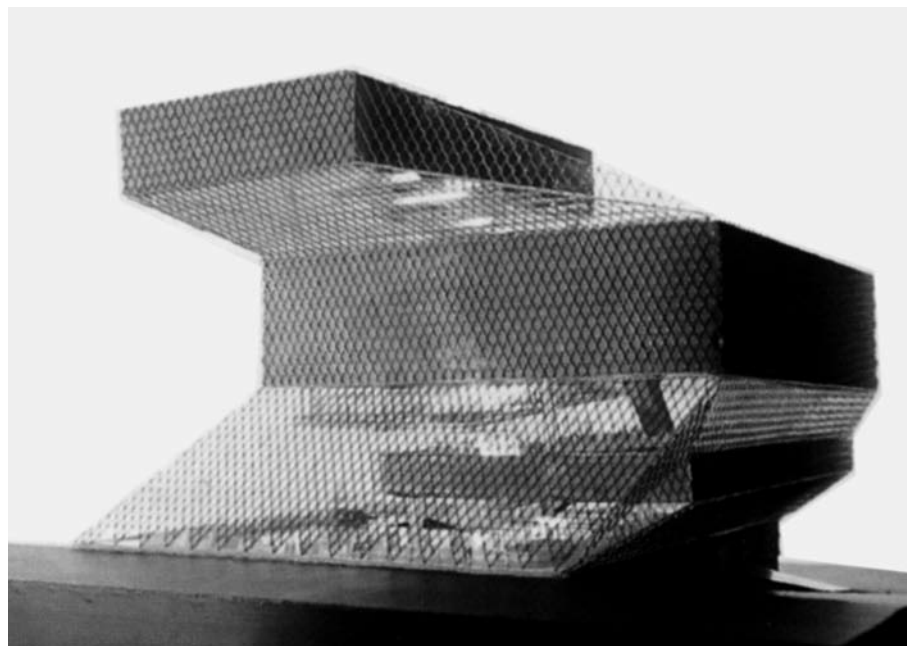
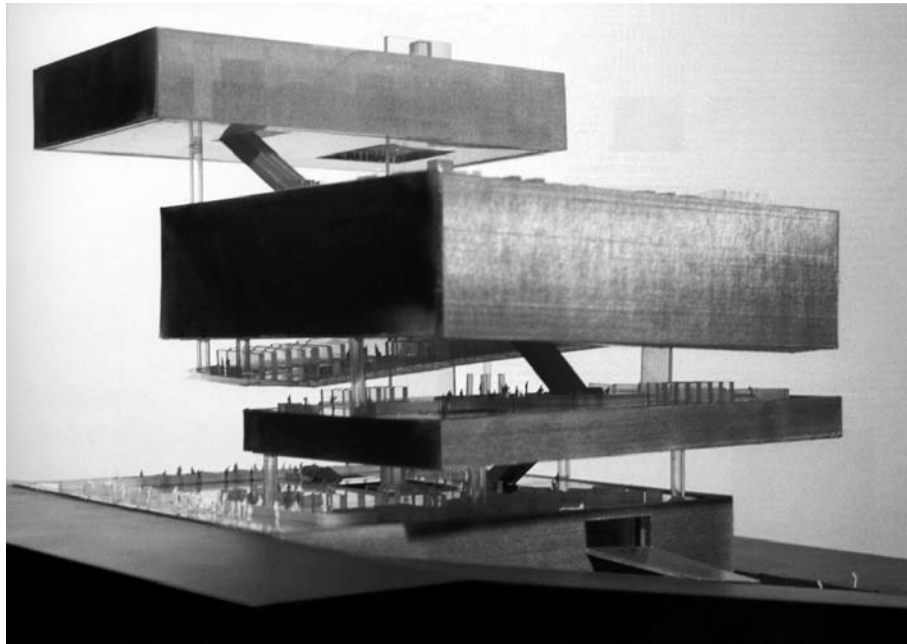


Abb. 1470: Rem Koolhaas/OMA, Central Library, Seattle, USA, 1998–2004. Modell der Funktionscontainer ohne Fassade, Fotografie.

Abb. 1471: Modell mit Rautengitterfassade, Fotografie.

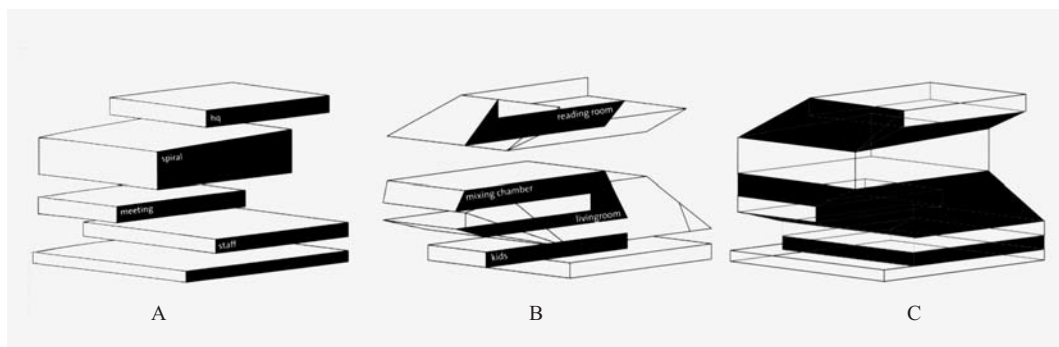
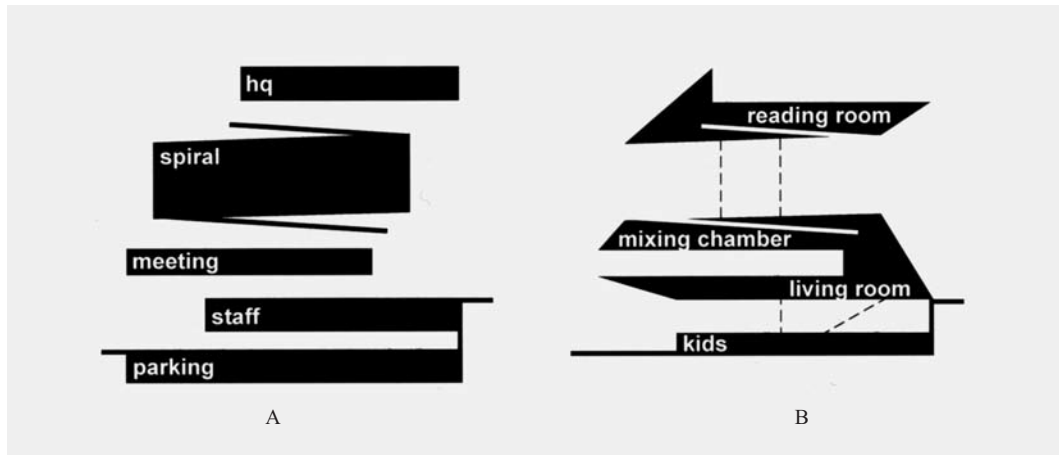


Abb. 1472: Rem Koolhaas/OMA, Central Library, Seattle, USA, 1998–2004. Schnittdiagramme: Bibliotheksnutzungen (A) und publikumsorientierte Funktionen (B).

Abb. 1473: Axonometrisches Diagramme: „Stabile Räume“ (A), „Instabile Räume“ (B) und „Durchdringung“ (C).

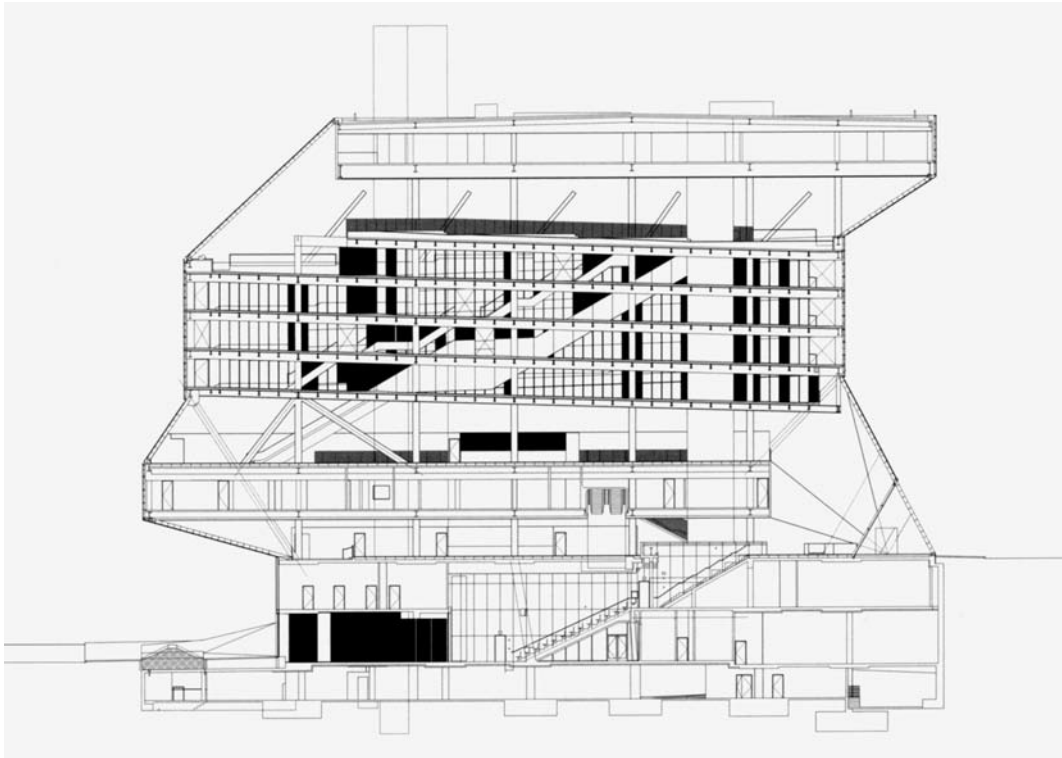


Abb. 1474: Rem Koolhaas/OMA, Central Library, Seattle, USA, 1998–2004. Schnitt.

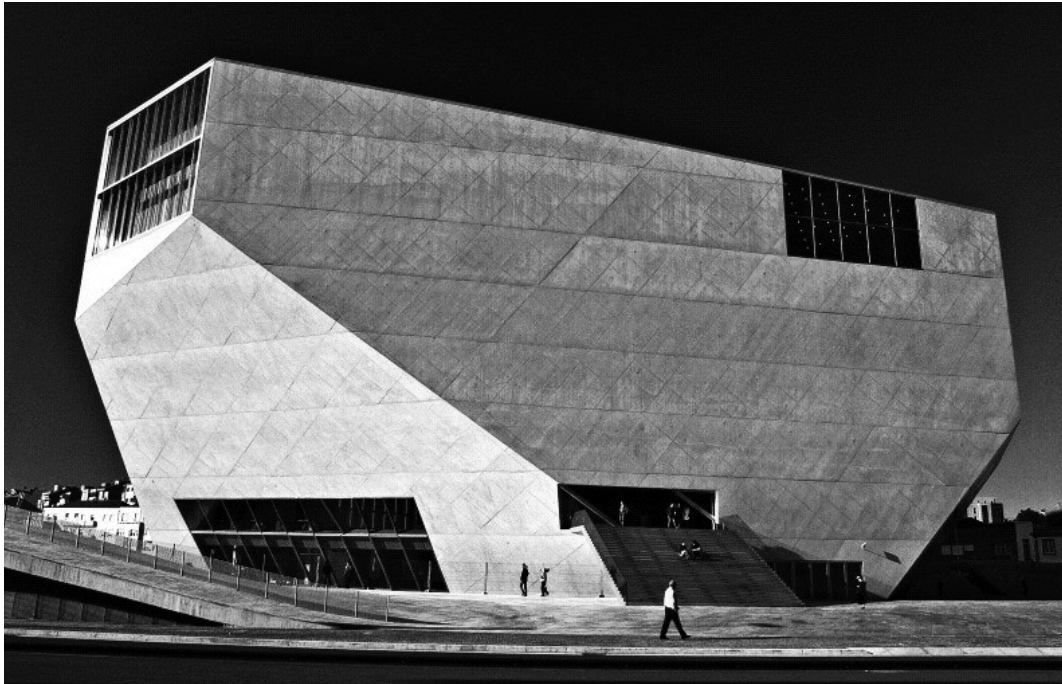


Abb. 1475: Rem Koolhaas/OMA, Casa da Música, Porto, Portugal, 1999–2005. Südseite, Fotografie.

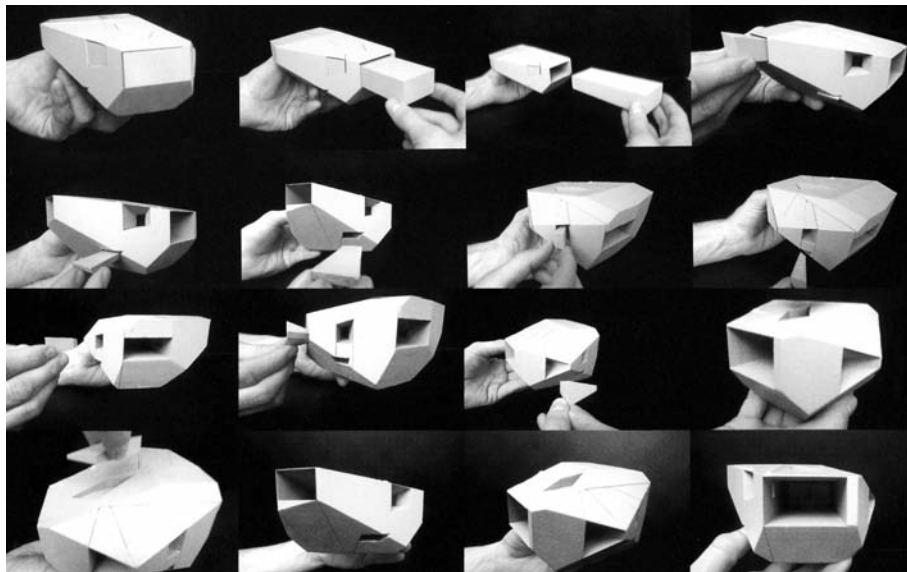
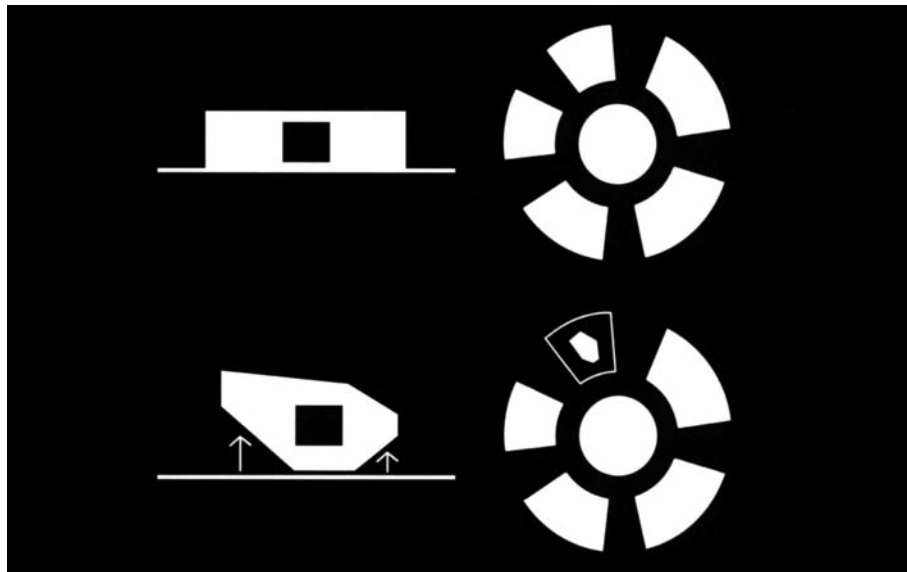


Abb. 1476: Rem Koolhaas/OMA, Casa da Música, Porto, Portugal, 1999–2005. Schematische Darstellung der Formbildung des Gebäudes in Ansicht und Lageplan (invertiert von der Verf.).
 Abb. 1477: Herausbildung der Gebäudeform durch Entfernen von Einzelvolumen aus der Bau-
 masse, Fotosequenz.

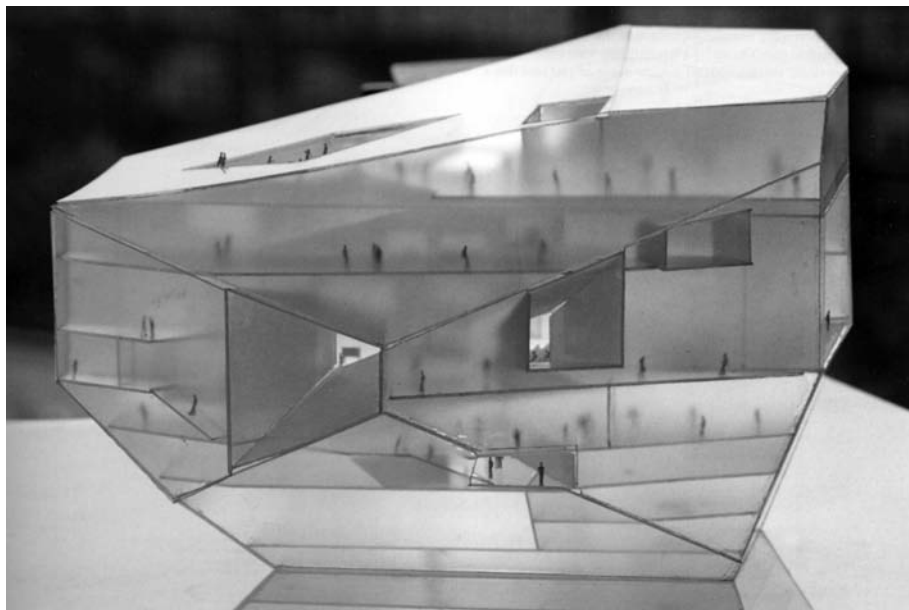
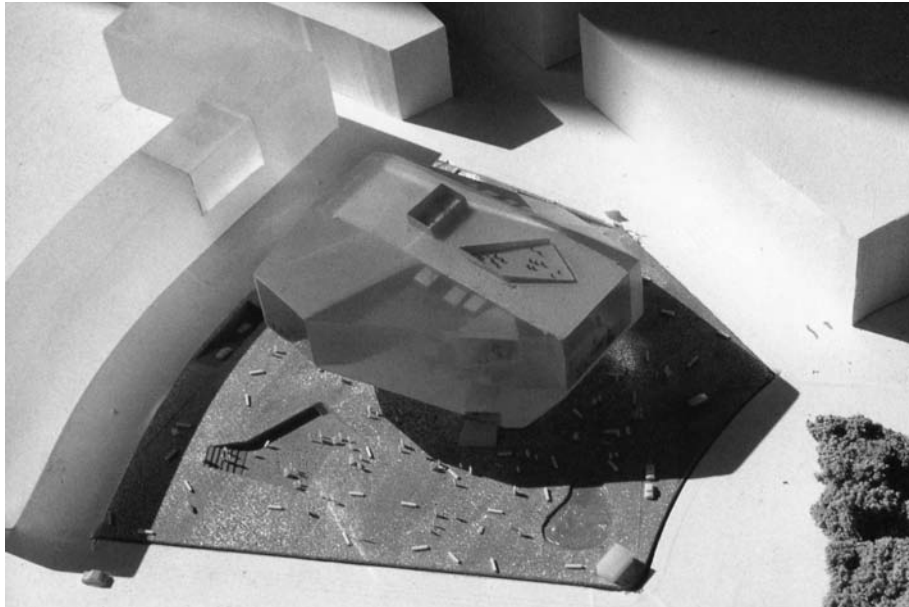


Abb. 1478: Rem Koolhaas/OMA, Casa da Música, Porto, Portugal, 1999–2005. Modell des Gebäudes mit Umgebung, Fotografie.

Abb. 1479: Modell aus transluzentem Kunststoff, Fotografie.

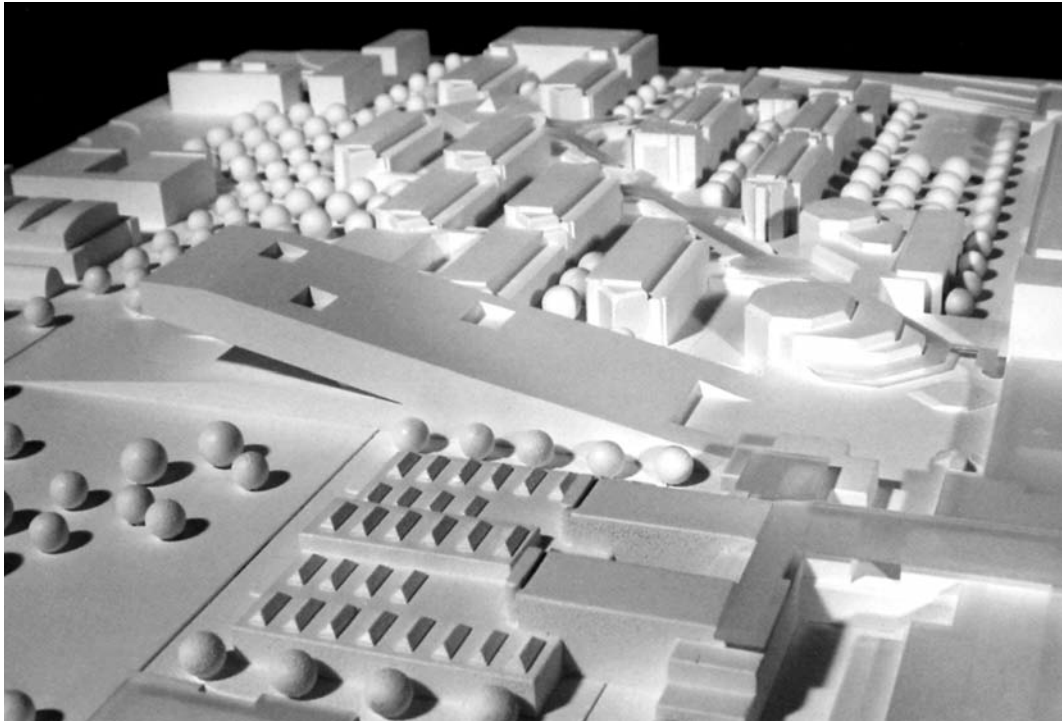


Abb. 1480: Jacques Herzog und Pierre de Meuron, Learning Center, École Polytechnique Fédérale de Lausanne, Schweiz, Entwurf 2004. Modell des Gebäudes mit Umgebung, Südwestseite, Fotografie.

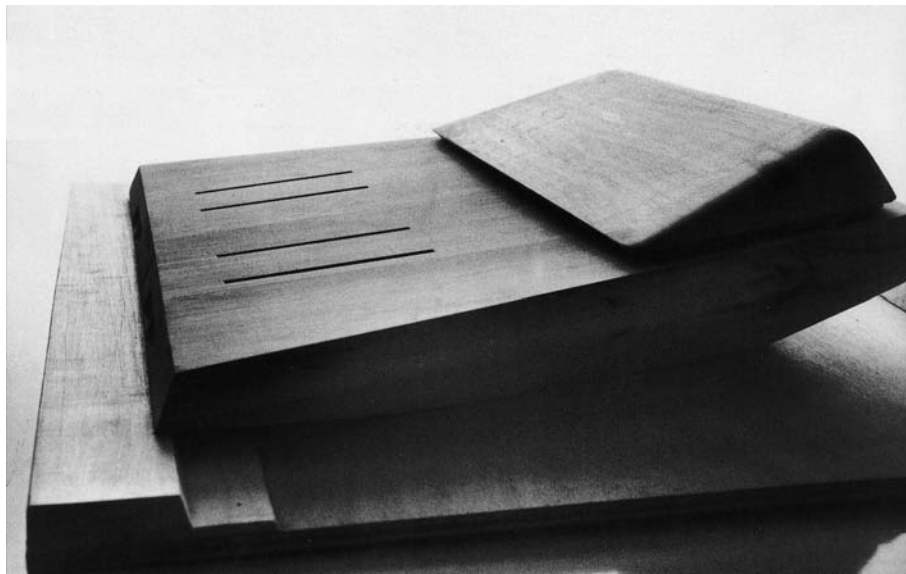
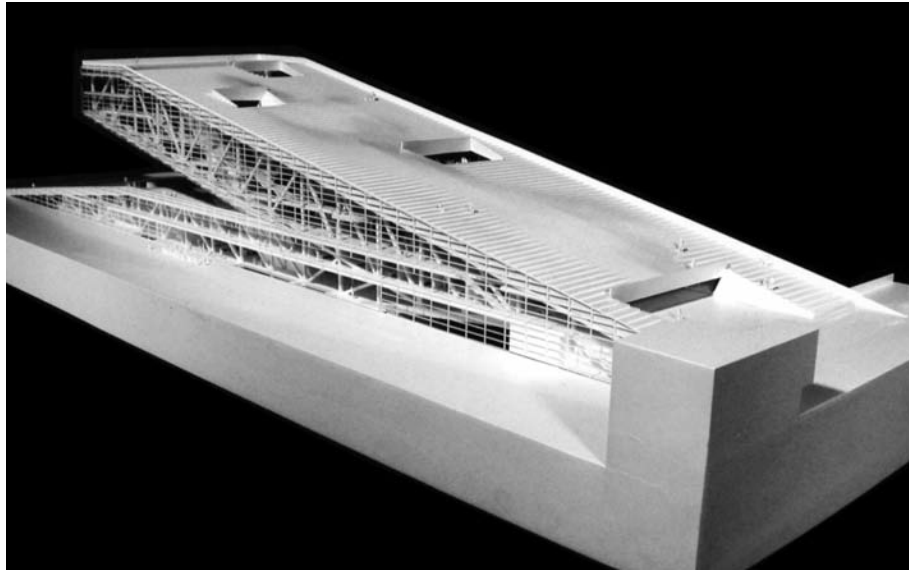


Abb. 1481: Jacques Herzog und Pierre de Meuron, Learning Center, École Polytechnique Fédérale de Lausanne, Schweiz, Entwurf 2004. Präsentationsmodell, Südwestseite, Fotografie.

Abb. 1482: Claude Parent und Paul Virilio/Architecture Principe, Palais des expositions de Charleville, Frankreich, Entwurf 1966/67. Modell aus Holz, Ostseite, Fotografie.

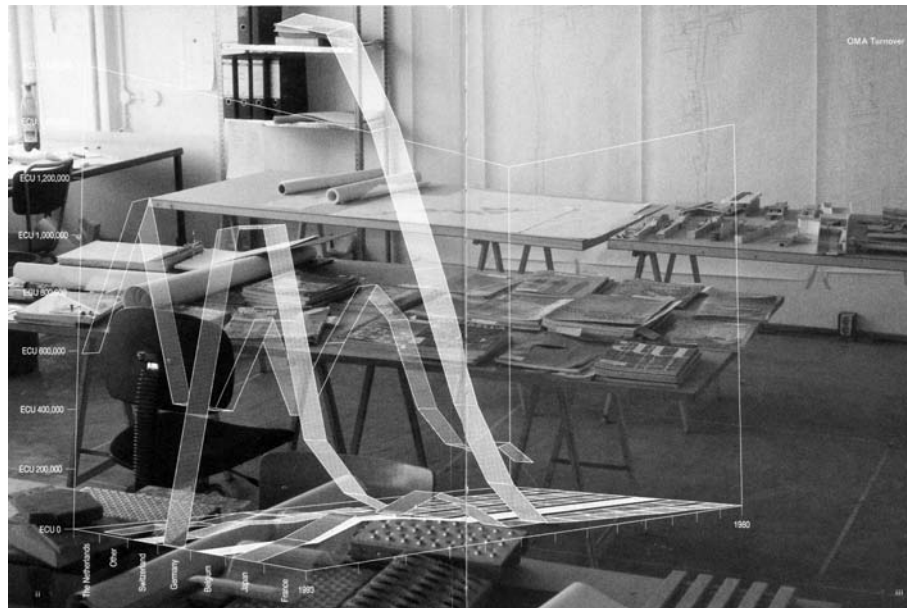


Abb. 1483: Rem Koolhaas/OMA, OMA Turnover, Fotocollage, abgebildet in: Rem Koolhaas und Bruce Mau/OMA, S, M, L, XL, Rotterdam 1995, S. iii.

Abb. 1484: Rem Koolhaas/OMA, OMA Income and Expenditure, Fotocollage, abgebildet in: Rem Koolhaas und Bruce Mau/OMA, S, M, L, XL, Rotterdam 1995, S. i.

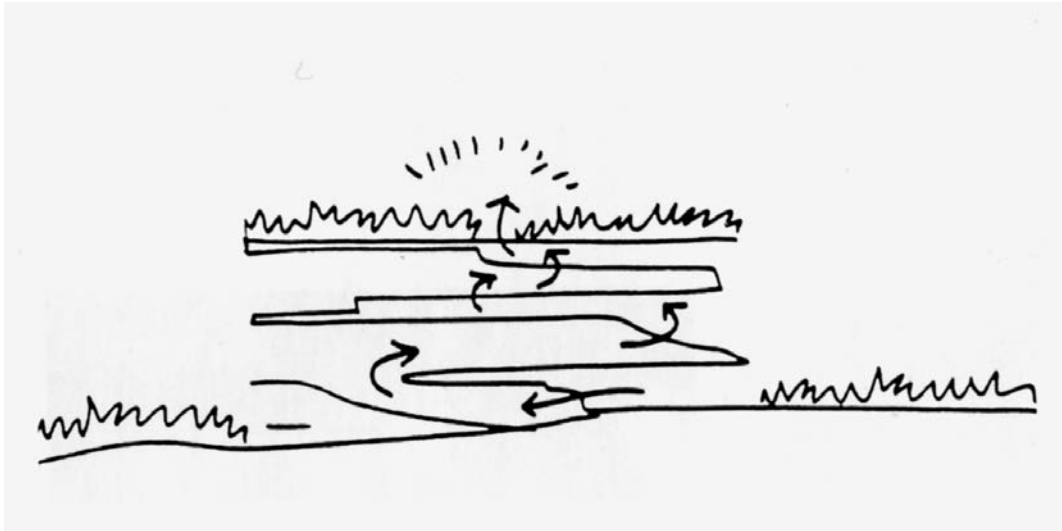


Abb. 1485: MVRDV, Villa VPRO, Hilversum, Niederlande, 1993–97. Schnittskizze der gefalteten Geschossebenen mit Wegpfeilen.

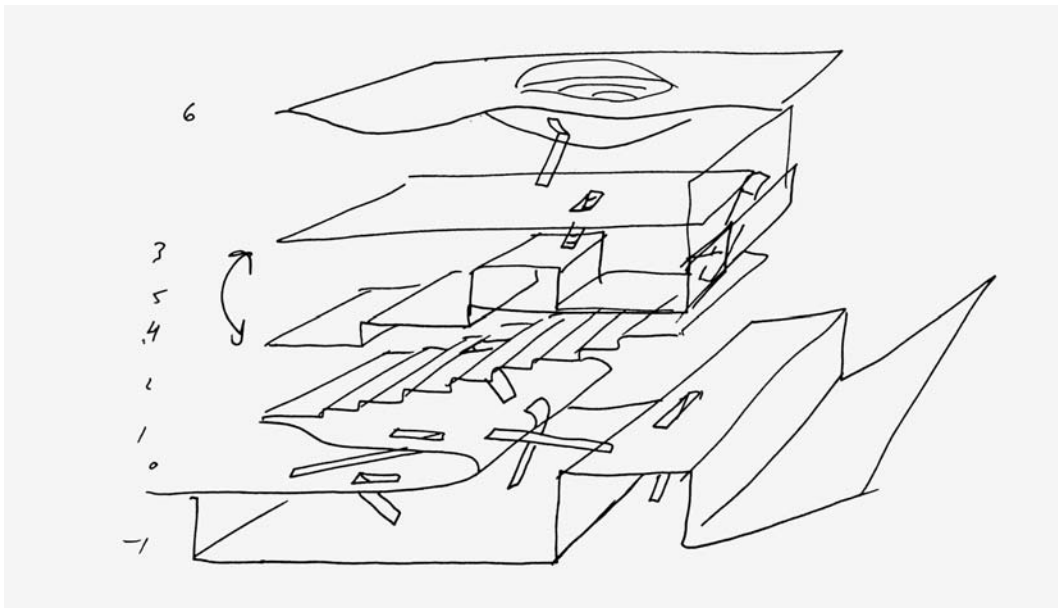


Abb. 1486: MVRDV, Villa VPRO, Hilversum, Niederlande, 1993–97. Skizze der gefalteten und gekurvten Geschossebenen (invertiert von der Verf.).

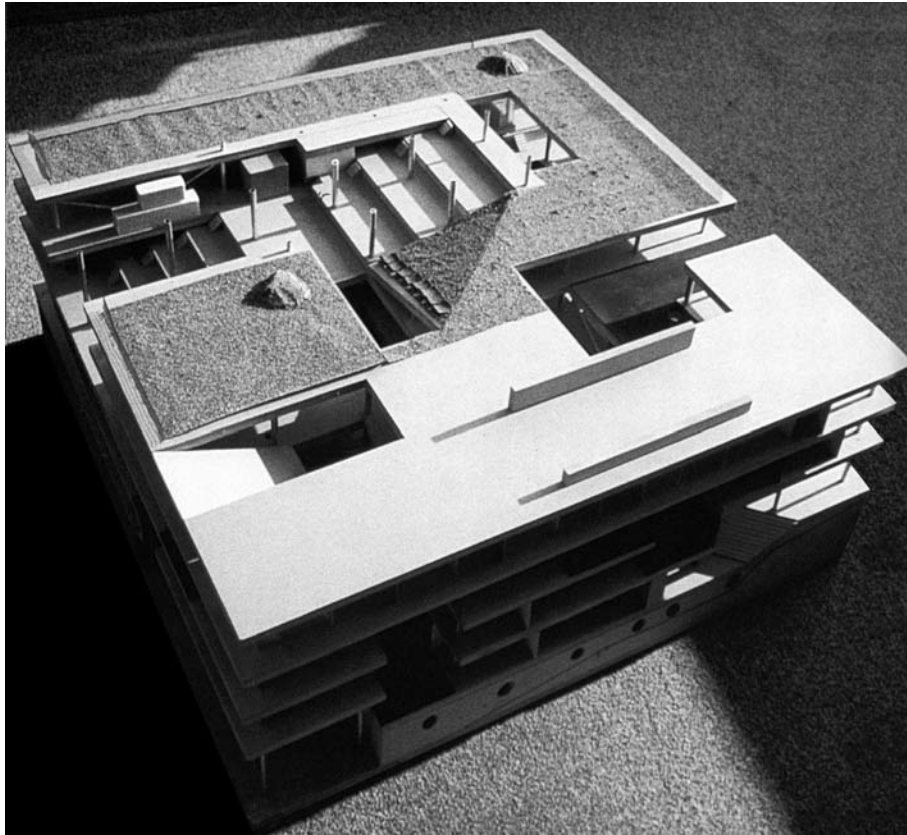


Abb. 1487: MVRDV, Villa VPRO, Hilversum, Niederlande, 1993–97. Präsentationsmodell mit teilweise entferntem Dach, Blick in die terrassierte Halle, Nordwestseite, Fotografie.

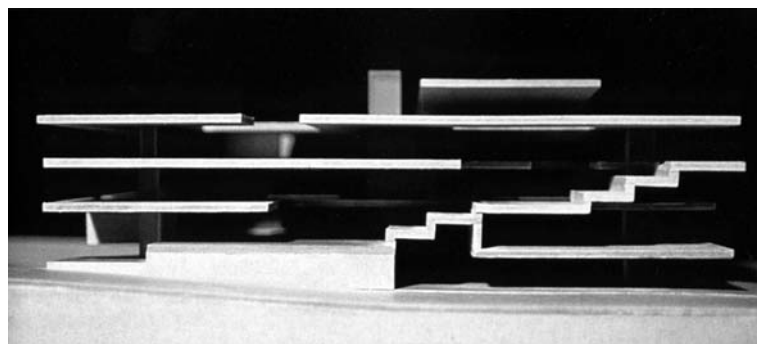
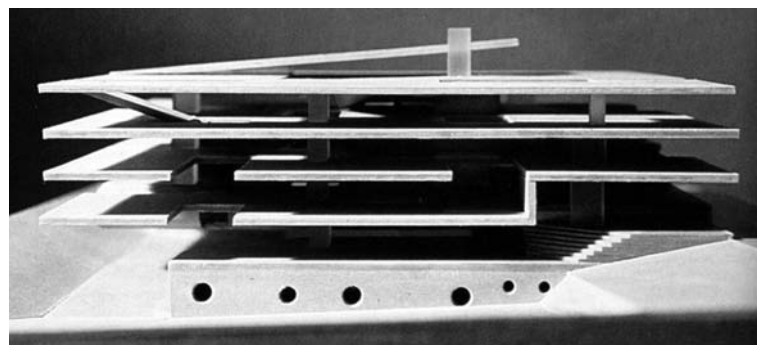
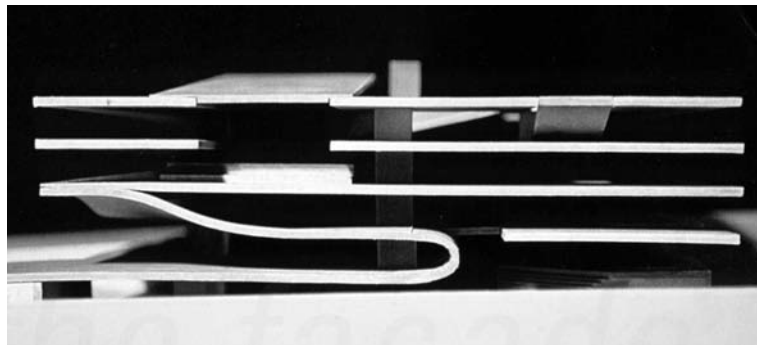
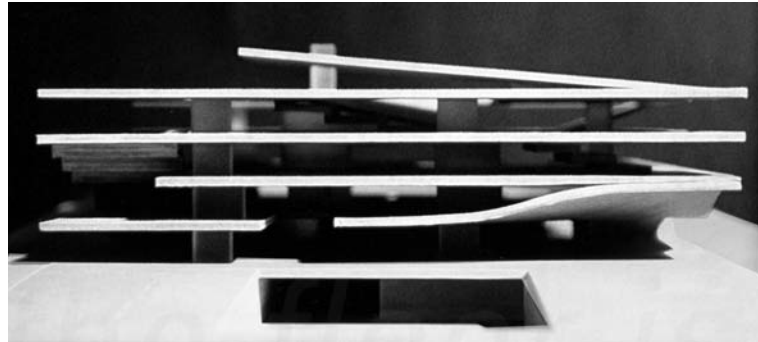


Abb. 1488: MVRDV, Villa VPRO, Hilversum, Niederlande, 1993–97. Modell der Geschossebenen, Ostseite, Fotografie.

Abb. 1489: Modell der Geschossebenen, Nordseite, Fotografie.

Abb. 1490: Modell der Geschossebenen, Westseite, Fotografie.

Abb. 1491: Modell der Geschossebenen, Südseite, Fotografie.

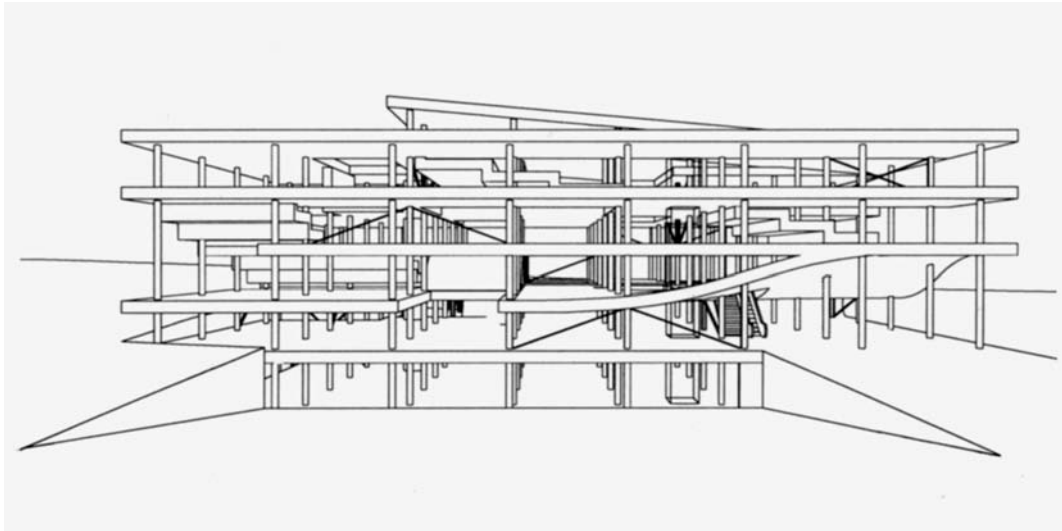


Abb. 1492: MVRDV, Villa VPRO, Hilversum, Niederlande, 1993–97. Ostseite, Perspektive.

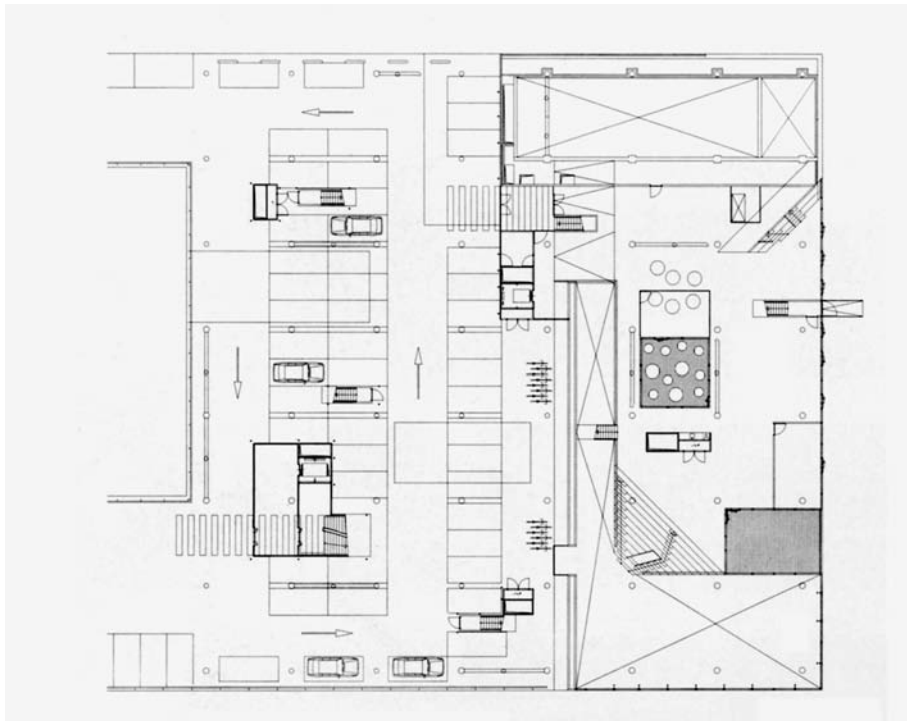
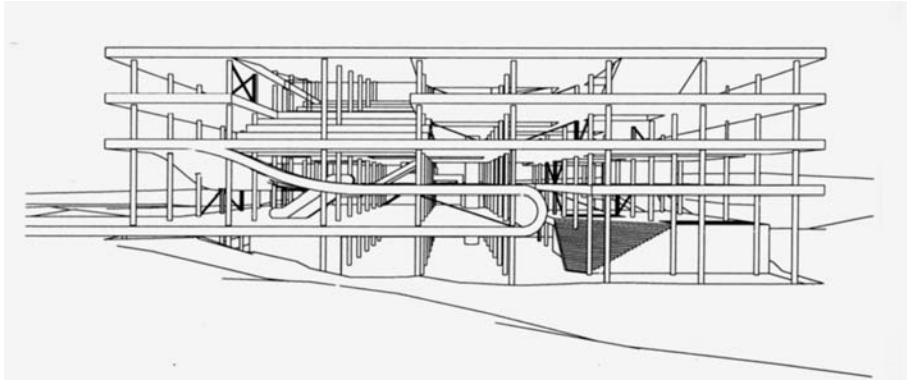


Abb. 1493: MVRDV, Villa VPRO, Hilversum, Niederlande, 1993–97. Nordseite, Perspektive.
Abb. 1494: Grundriss des ersten Obergeschosses.

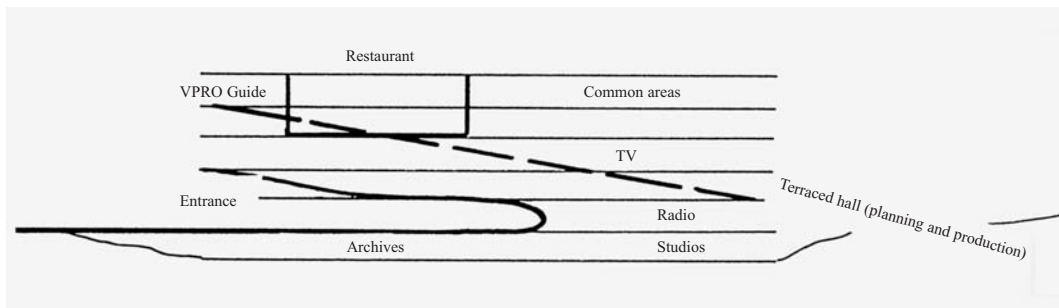
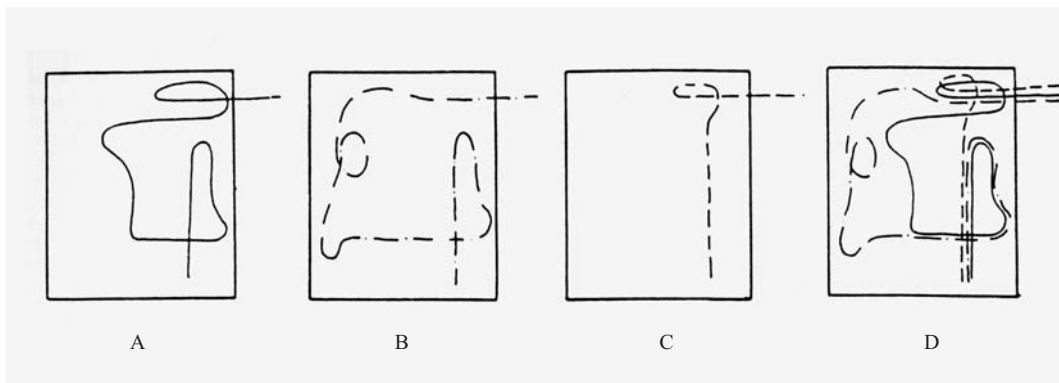


Abb. 1495: MVRDV, Villa VPRO, Hilversum, Niederlande, 1993–97. Schematische Darstellung der Verkehrswege im Grundriss: Route zu den Fernsehstudios (A), Route zu den Rundfunkstudios (B), öffentliche Route (C), Überlagerung der drei Routen durch das Gebäude (D), Zeichnungen.
 Abb. 1496: Schematischer Schnitt mit Raumprogramm.

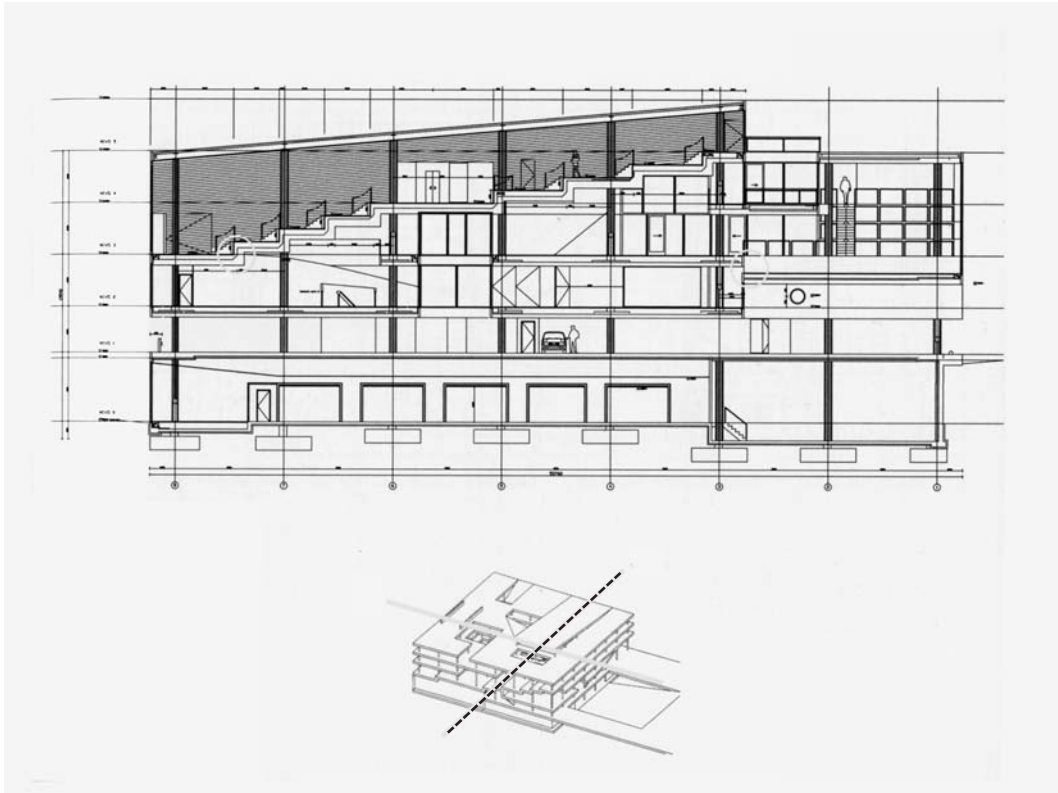


Abb. 1497: MVRDV, Villa VPRO, Hilversum, Niederlande, 1993–97. Schnitt in Nord-Süd-Richtung durch terrassierte Halle (oben) und verkleinerte Axonometrie des Gebäudes mit Schnittlinie (unten).

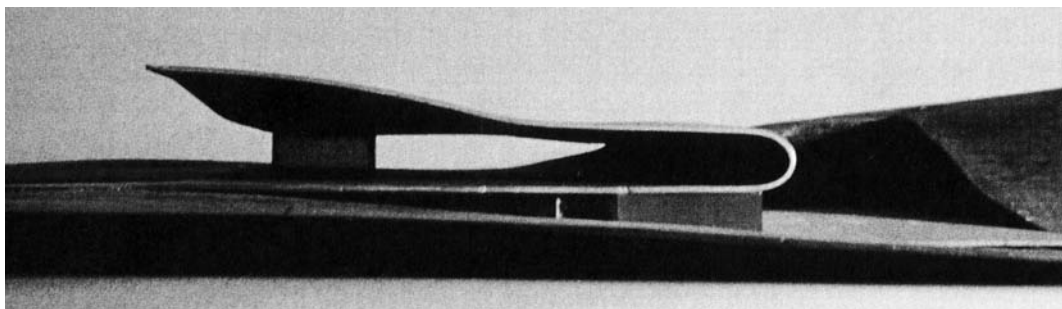
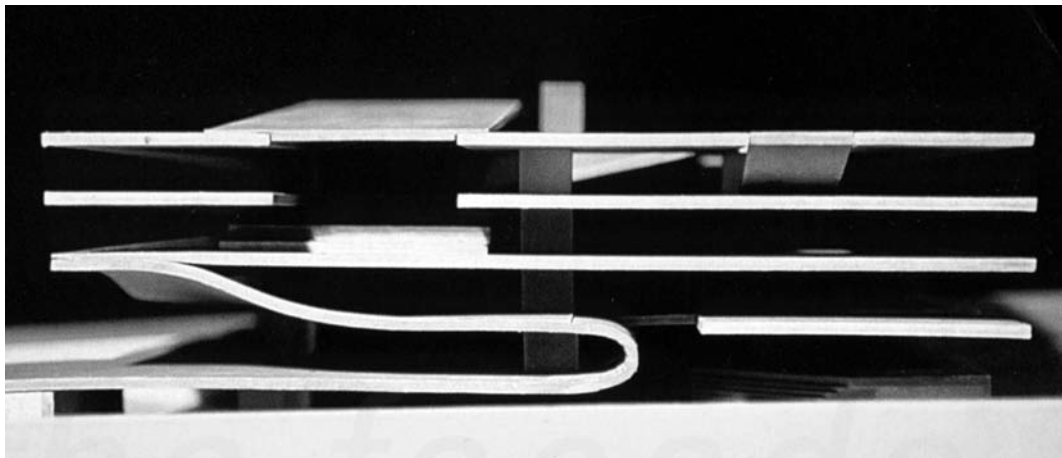


Abb. 1498: MVRDV, Villa VPRO, Hilversum, Niederlande, 1993–97. Modell der Geschossebenen, Nordseite, Fotografie.

Abb. 1499: Modellstudie der eingerollten Ebene mit umgebender Topografie, Nordseite, Fotografie.

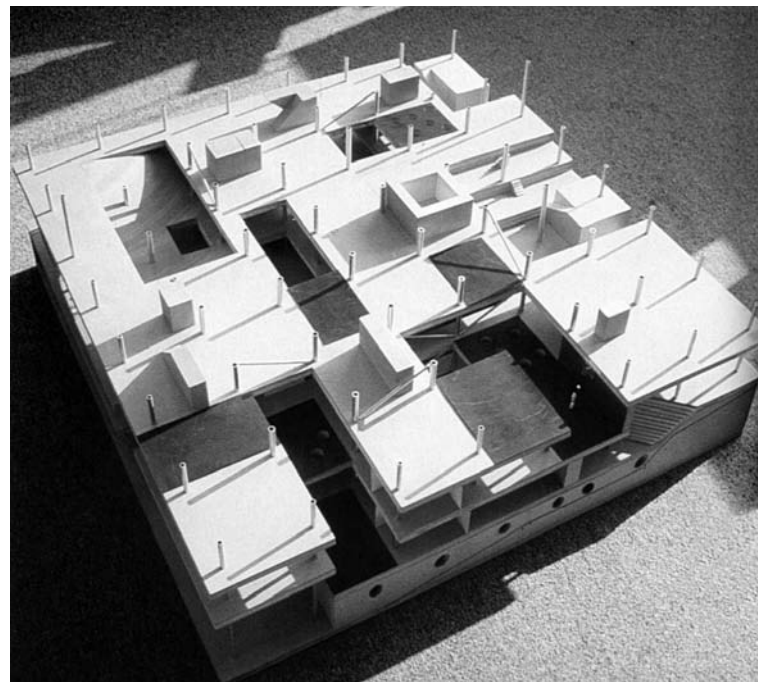
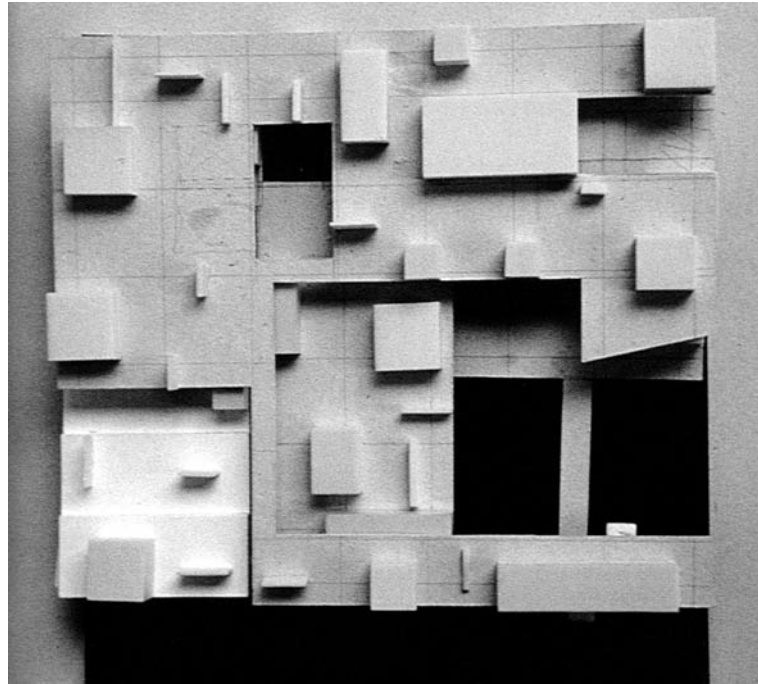


Abb. 1500: MVRDV, Villa VPRO, Hilversum, Niederlande, 1993–97. Studienmodell, Aufsicht, Fotografie.

Abb. 1501: Präsentationsmodell mit teilweise entfernten Geschossebenen, Blick auf Ebene 3, Nordwestseite, Fotografie.

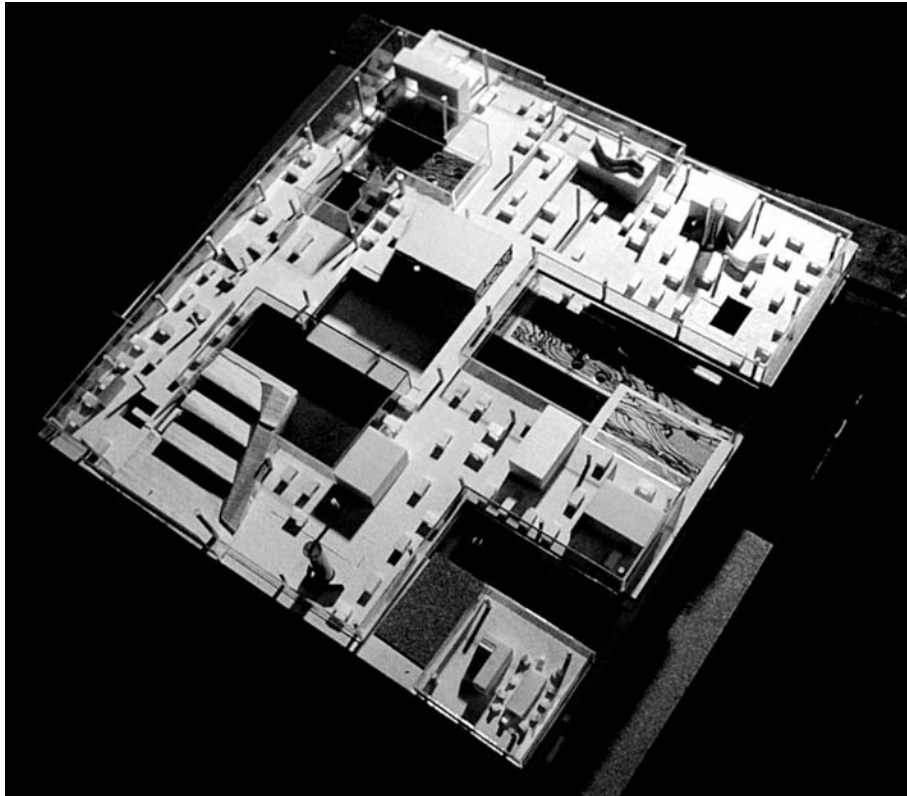


Abb. 1502: MVRDV, Villa VPRO, Hilversum, Niederlande, 1993–97. Studienmodell, mit teilweise entfernten Geschossebenen, Blick auf Ebene 3, Nordwestseite, Fotografie.

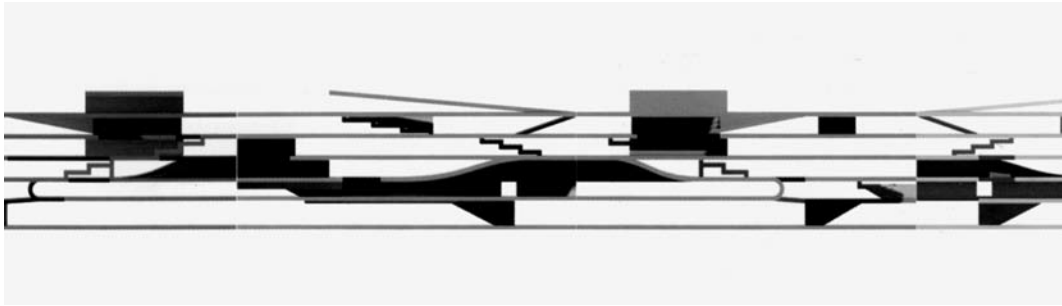


Abb. 1503: MVRDV, Villa VPRO, Hilversum, Niederlande, 1993–97. Schnittmontage, Computerzeichnung (Ausschnitt).

Abb. 1504: Schematische Grundrisse und Vertikalschnitte.



Abb. 1505: MVRDV, Villa VPRO, Hilversum, Niederlande, 1993–97. Nordseite, Fotografie.
Abb. 1506: Westseite, Fotografie.



Abb. 1507: MVRDV, Villa VPRO, Hilversum, Niederlande, 1993–97. Dachgarten, Fotografie.
Abb. 1508: Blick auf die verformte Decke, Ebene 2, Fotografie.



Abb. 1509: Rem Koolhaas/OMA, Educatorium, Utrecht, Niederlande, 1994–97. Nordwestseite, Fotografie (Ausschnitt).

Abb. 1510: MVRDV, Villa VPRO, Hilversum, Niederlande, 1993–97. Nordseite, Fotografie.

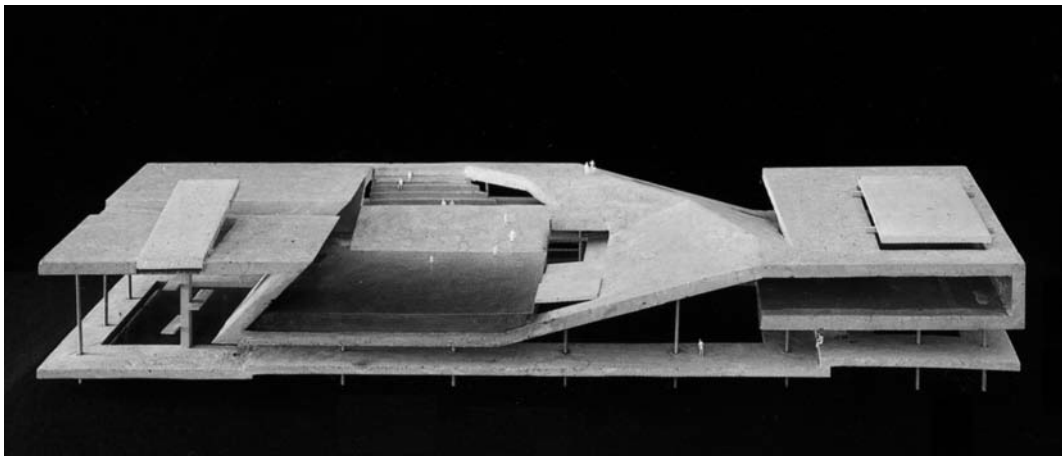
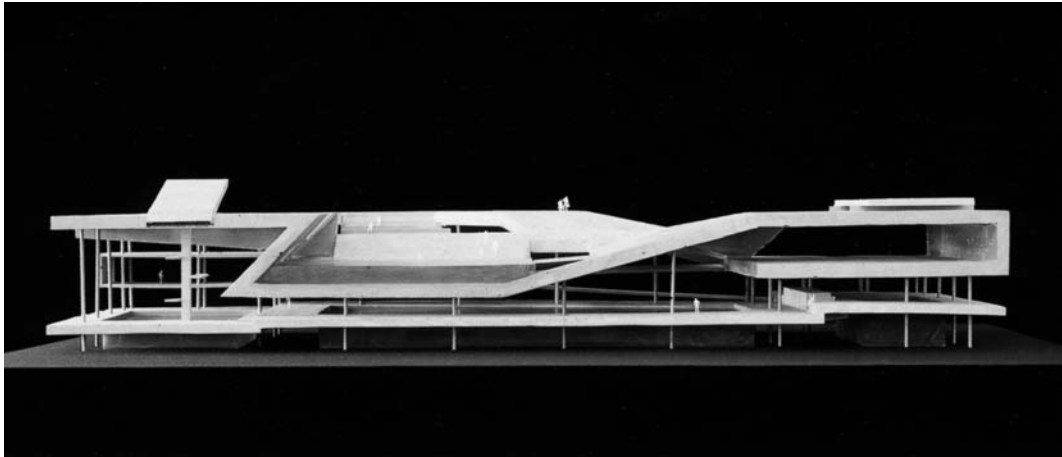


Abb. 1511: MVRDV, Sloterpark Swimming-pool, Amsterdam, Niederlande, Entwurf 1994. Präsentationsmodell, Ostseite, Ansicht, Fotografie.

Abb. 1512: Präsentationsmodell, Ostseite, Schrägaufsicht, Fotografie.

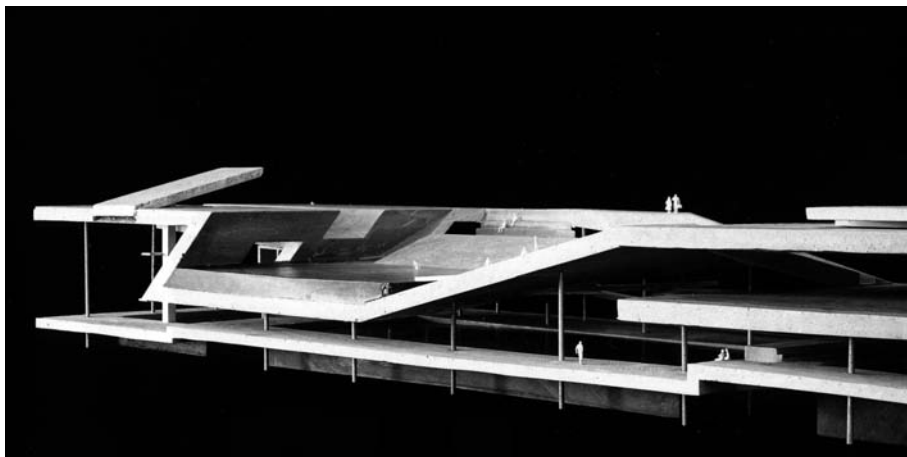
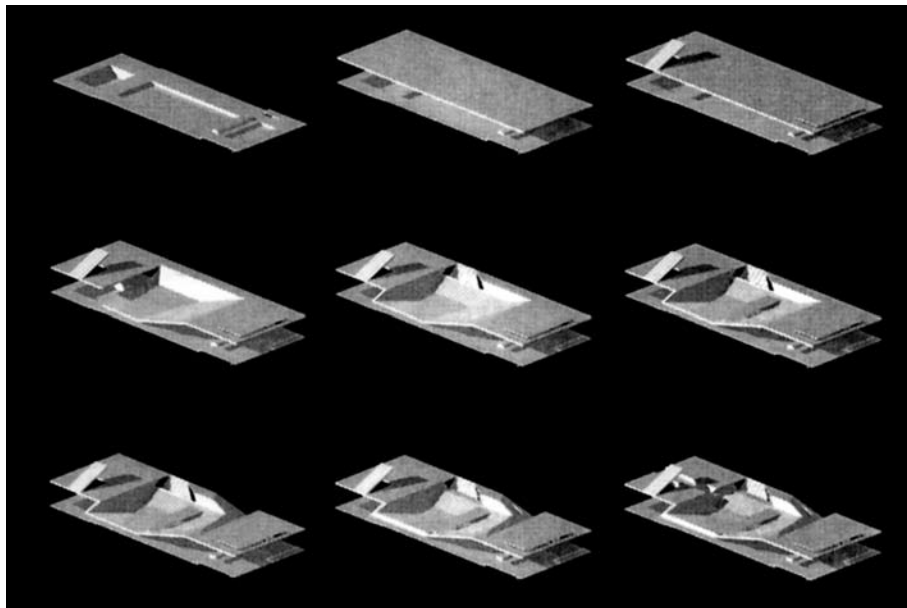


Abb. 1513: MVRDV, Sloterpark Swimming-pool, Amsterdam, Niederlande, Entwurf 1994. Faltung der Geschossebenen, Axonometrien, Computerrenderings.
Abb. 1514: Präsentationsmodell, Ostseite, Fotografie.



Abb. 1515: MVRDV, Sloterpark Swimming-pool, Amsterdam, Niederlande, Entwurf 1994. 3D-Modell mit Umgebung, Perspektive, Südostseite, Montage aus Computerrendering und Fotografie.

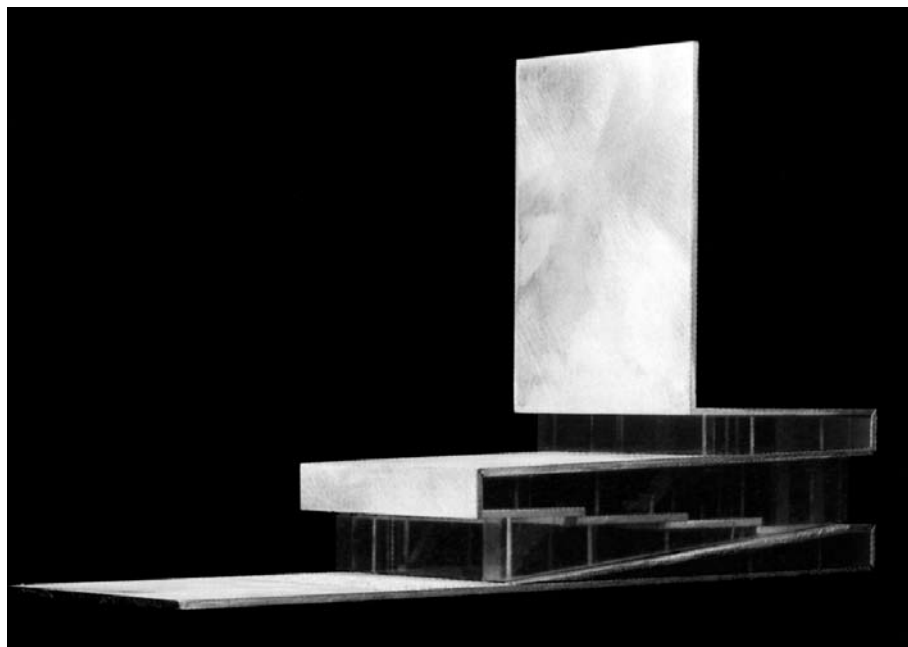
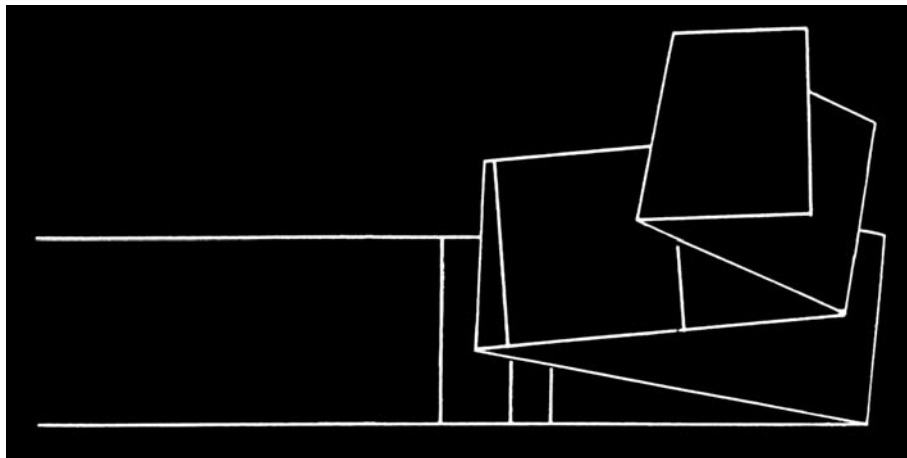


Abb. 1516: MVRDV, Department Store at the Meent, Rotterdam, Niederlande, Entwurf 1994.
Studie des gefalteten Bandes, Zeichnung (invertiert von der Verf.).
Abb. 1517: Modell, Südostseite, Fotografie.

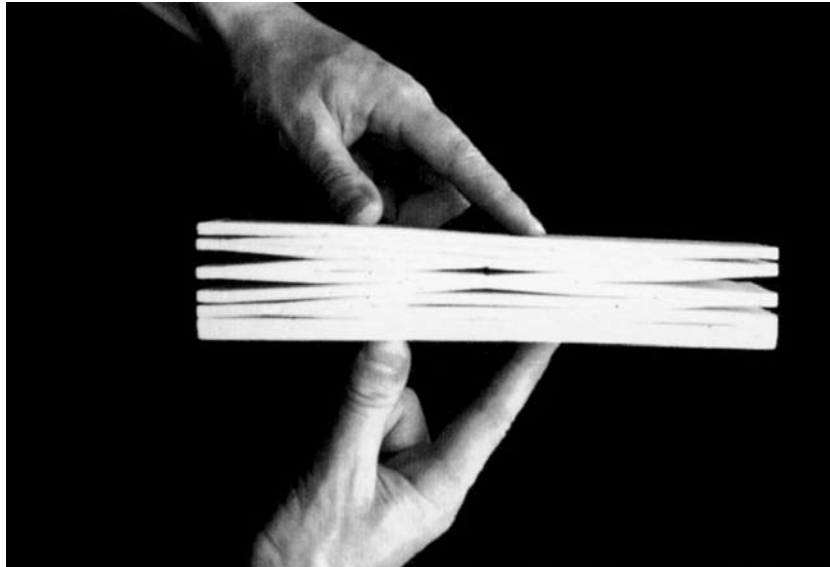


Abb. 1518: MVRDV, Z-Mall, Main Centre for the new district of Leidschenveen, Niederlande, Entwurf 1997. Modellstudie, zusammengedrücktes Zickzackband, zusammengeschoben, Fotografie.
Abb. 1519: Modellstudie, auseinandergezogenes Zickzackband, Fotografie.

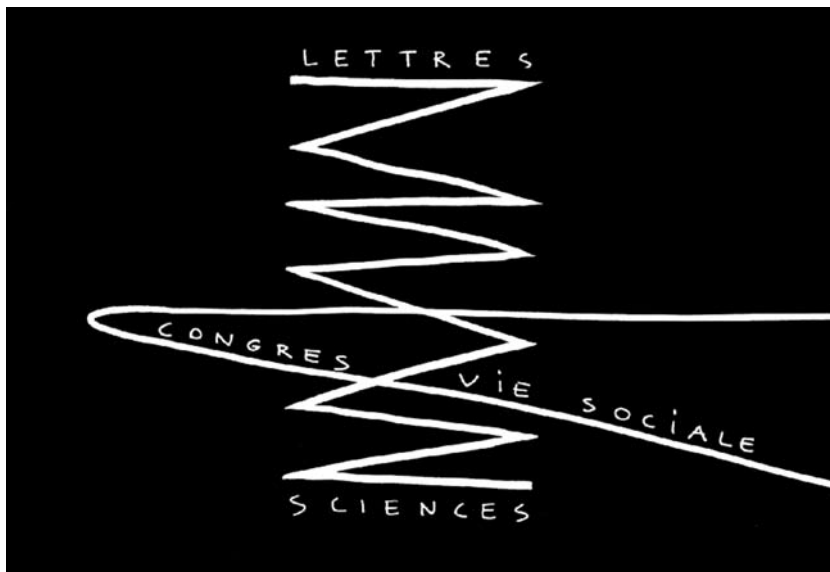
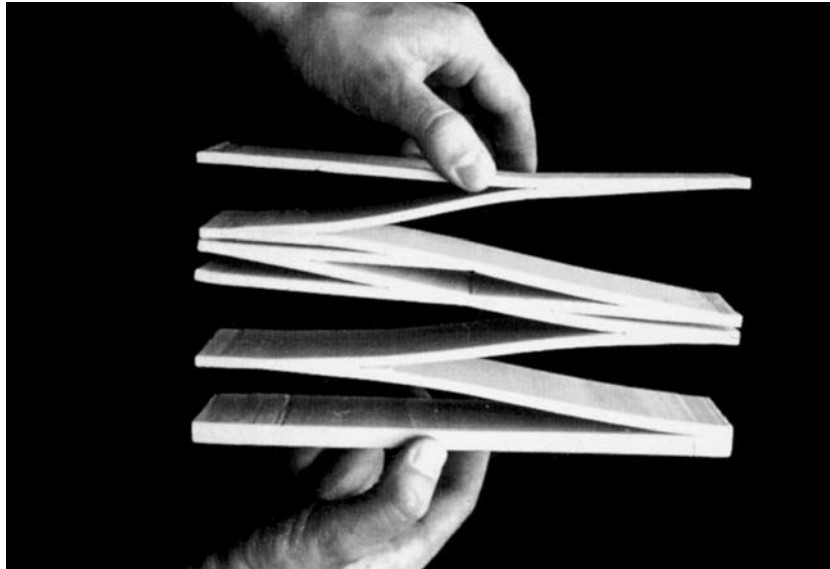


Abb. 1520: MVRDV, Z-Mall, Main Centre for the new district of Leidschenveen, Niederlande, Entwurf 1997. Modellstudie, auseinandergezogenes Zickzackband, Fotografie.

Abb. 1521: Rem Koolhaas/OMA, Bibliothèques de Jussieu, Paris, Frankreich, Entwurf 1992/93. Schema „Urbane Achse“ (Ausschnitt, invertiert von der Verf.).

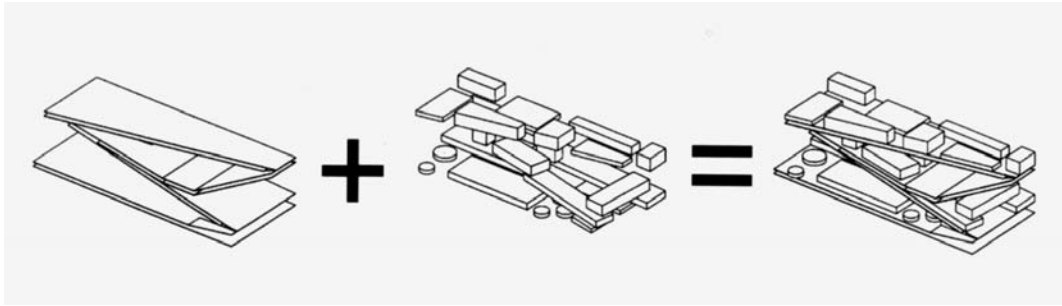


Abb. 1522: MVRDV, Z-Mall, Main Centre for the new district of Leidschenveen, Niederlande, Entwurf 1997. Schematische Darstellung der Addition von z-förmig verbundenen Ebenen und Boxen zu einem vertikal organisierten Stadtzentrum.

Abb. 1523: Präsentationsmodell, Südseite, Fotografie

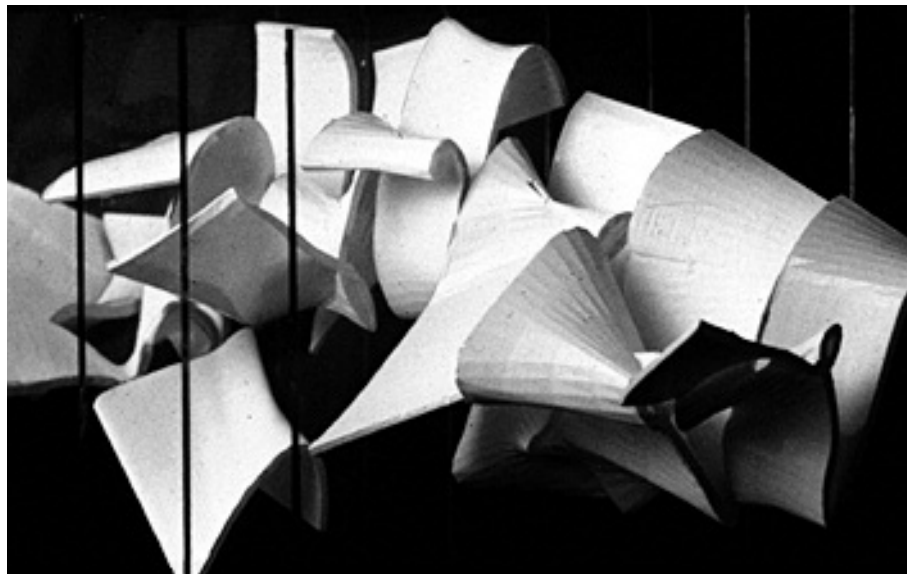
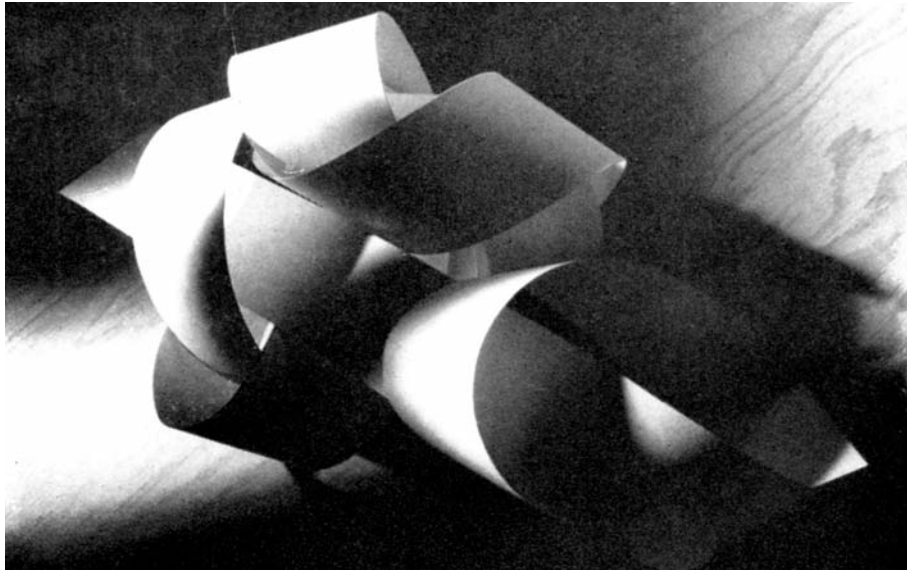


Abb. 1524: Margareth Roth, Paper modulator contrasted with a flat panel of grained wood, 1939. Studentenarbeit, Insitute of Design, Chicago/Illinois, USA. Modell aus gefaltetem Papier, Fotografie, abgebildet in: L. Moholy-Nagy, *Vision in Motion*, Chicago 1947, S. 203, Abb. 272.

Abb. 1525: Greg Lynn, Port Authority Gateway, New York, USA, Entwurf 1995. Stereolithografiemodell des Faltwerkes, befestigt zwischen transparenten Scheiben, Fotografie (Ausschnitt).

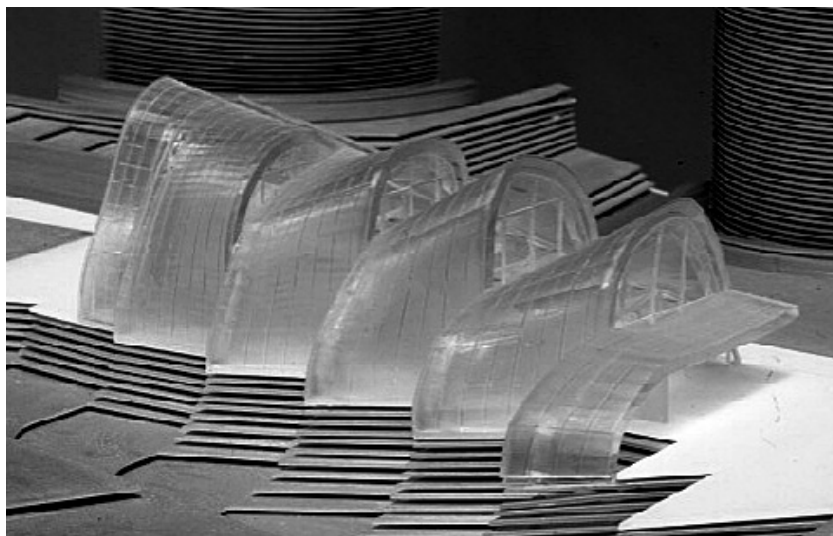


Abb. 1526: L. Moholy-Nagy, Convex-concave, 1940. Modell aus verformtem Plexiglas, Fotografie, abgebildet in: L. Moholy-Nagy, *Vision in Motion*, Chicago 1947, S. 76, Abb. 61.

Abb. 1527: Greg Lynn, Hydrogen House Visitors Pavilion & Information Center, Schwechat, Österreich, Entwurf 1996. Stereolithografiemodell, Fotografie:



Abb. 1528: Claude Parent, Open Limit 3, Entwurf 1999/2000. Zeichnung mit Bleistift.

Abb. 1529: Farshid Moussavi und Alejandro Zarea Polo/FOA, Virtual House, Entwurf 1997. 3D-Modell, Perspektive, Computerrendering.

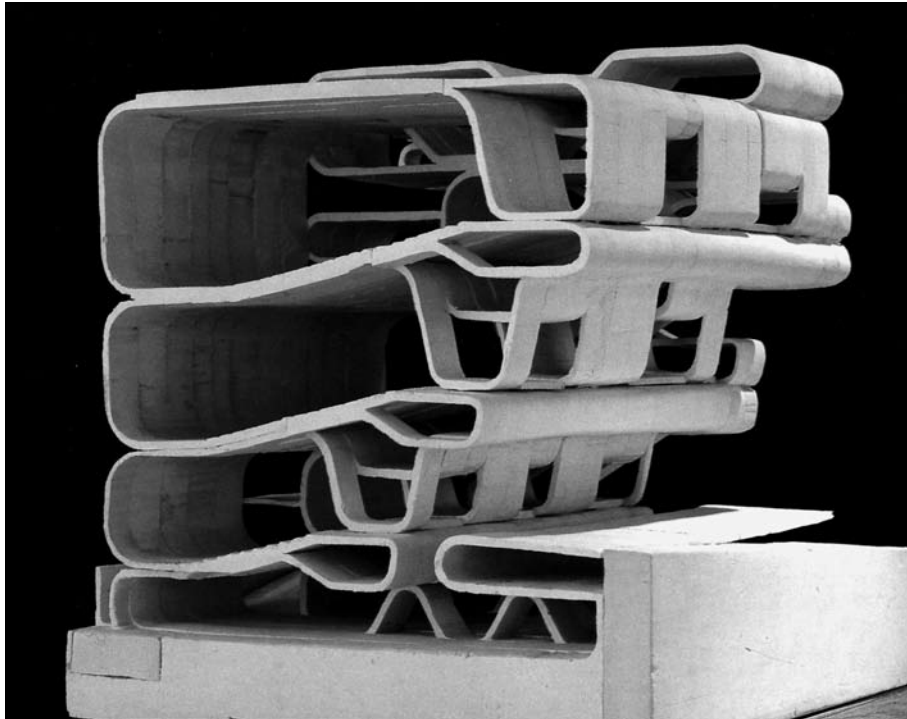


Abb. 1530: Farshid Moussavi und Alejandro Zaera-Polo/FOA, Azadi Cineplex, Teheran, Iran, Entwurf 1996. Präsentationsmodell, Nordwestseite, Fotografie.

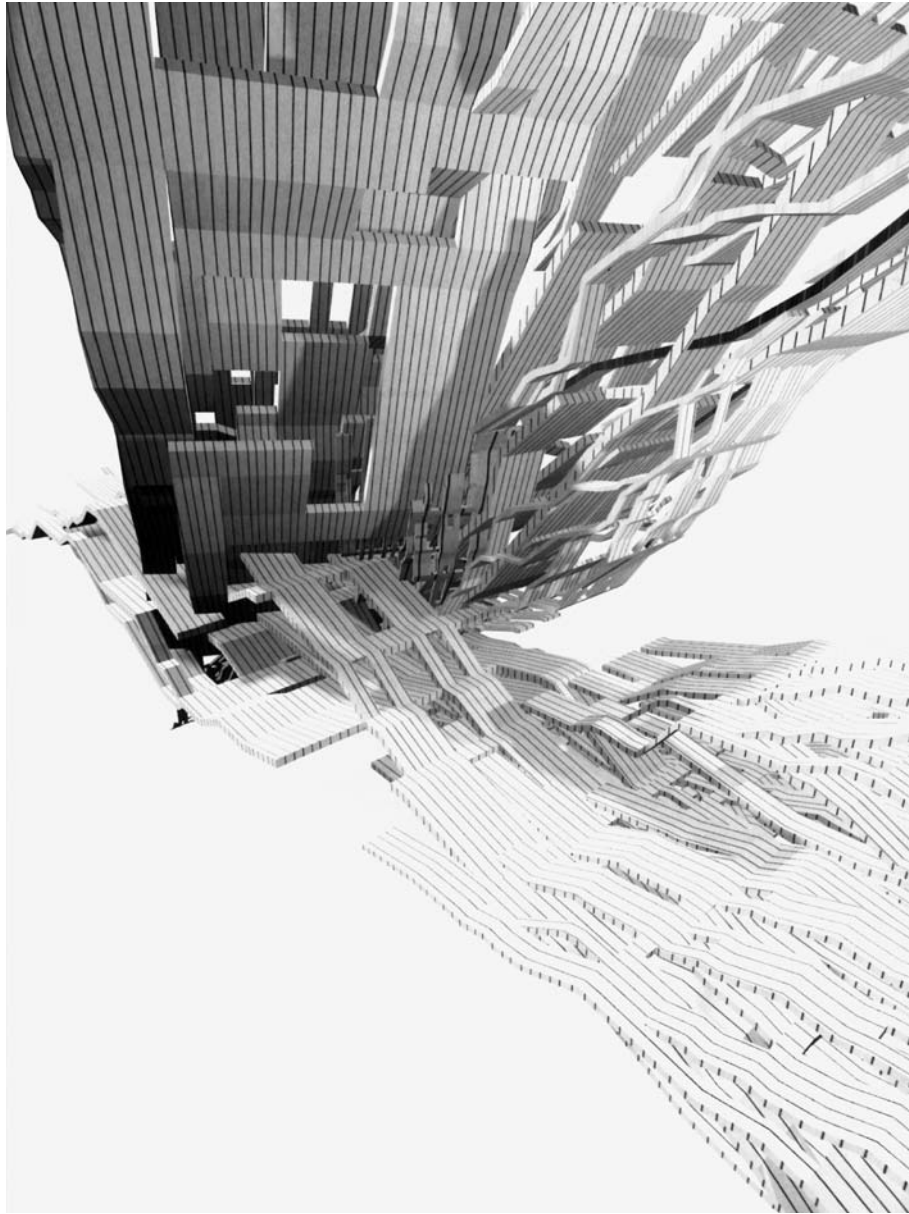


Abb. 1531: Claude Parent, Durchdringung von schrägen Raumbündeln, Entwurf 2001. Perspektive, Computeranimation: Nikolas Firket und Gyuri Macsai.

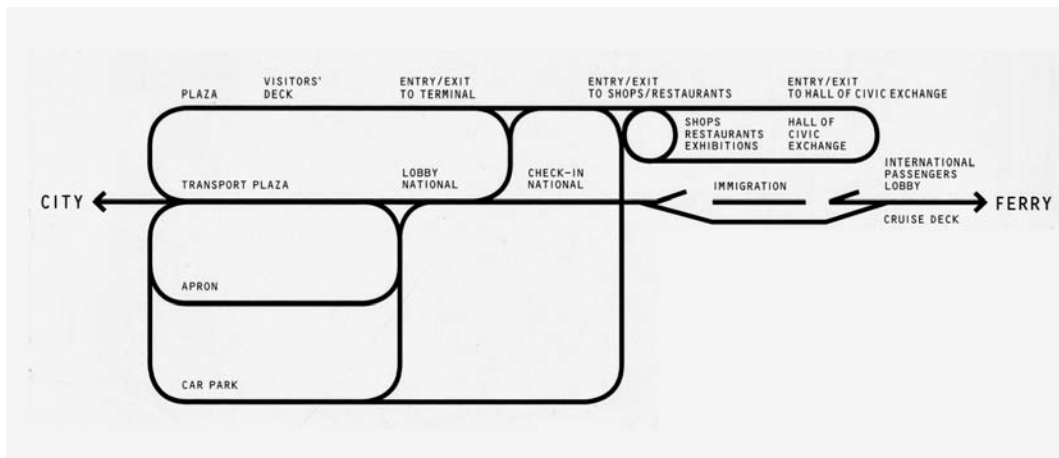
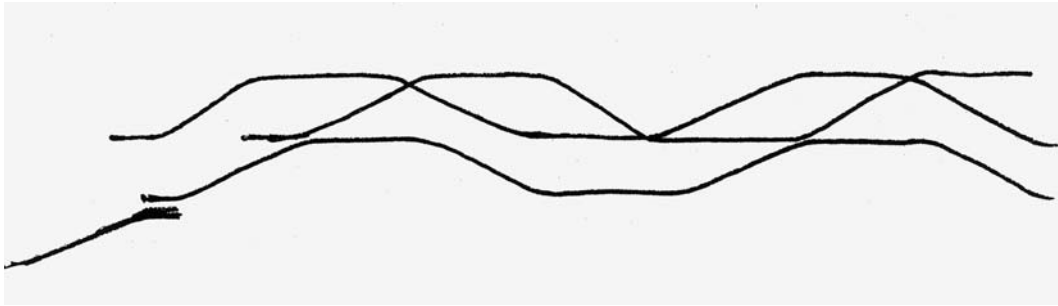


Abb. 1532: Claude Parent und Paul Virilio/Architecture Principe, *Le Potentialisme*, 1966. Skizze.
 Abb. 1533: Farshid Moussavi und Alejandro Zaera-Polo/FOA, Yokohama International Port Terminal, Japan, 1994–2002. Wettbewerbsentwurf, Zirkulationsschema, Längsschnitt, Computerzeichnung.

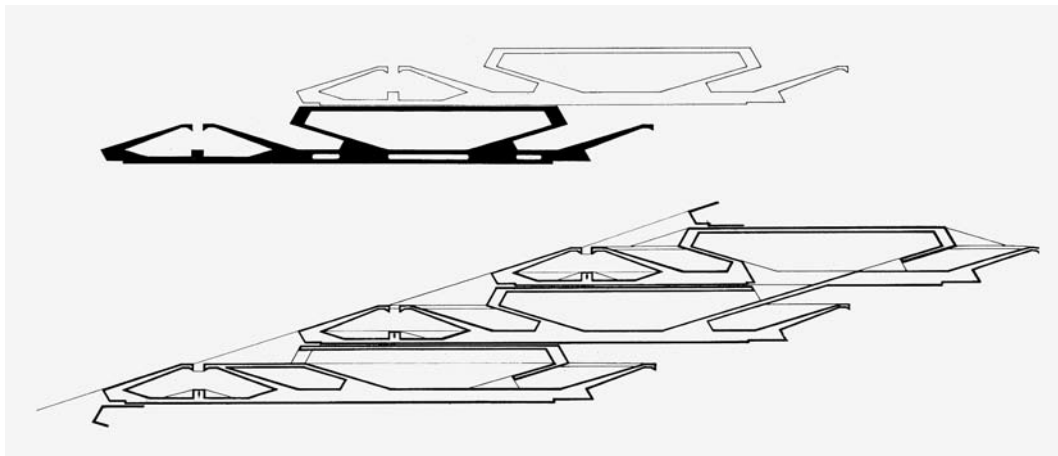


Abb. 1534: Claude Parent und Paul Virilio/Architecture Principe, Ineinander verzahnte, schräge Wohneinheiten, Entwurf 1966. Schnitt durch vorfabrizierte Strukturelemente, durchschnittliche Neigung 25 % (invertiert von der Verf.).

Abb. 1535: Farshid Moussavi und Alejandro Zaera-Polo/FOA, Yokohama International Port Terminal, Japan, 1994–2002. Querschnitte, Computerzeichnung (Ausschnitt).

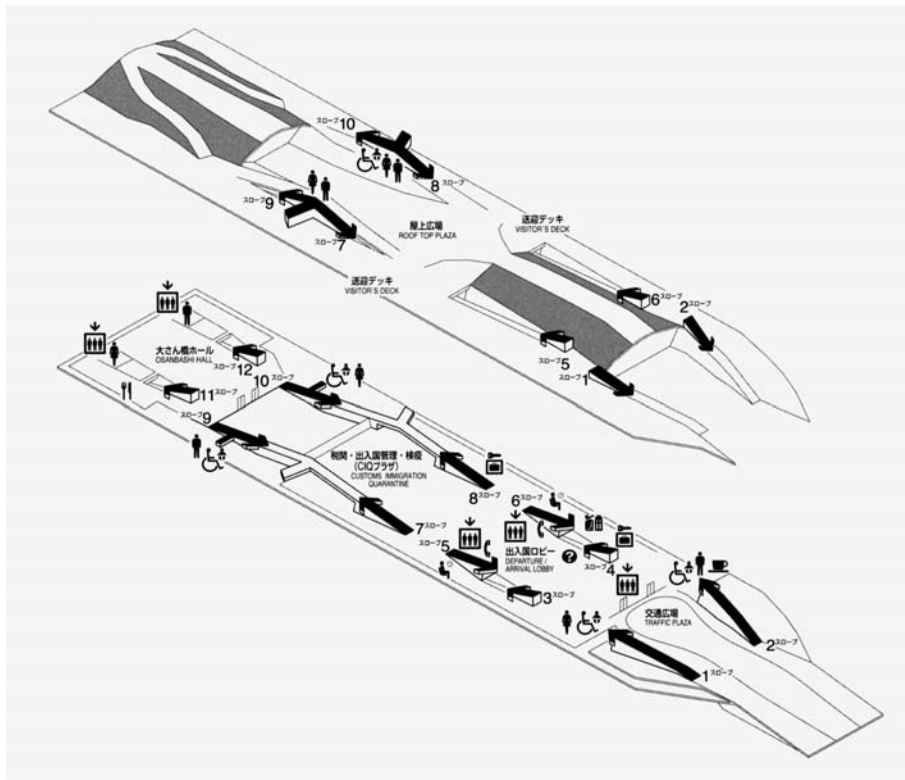
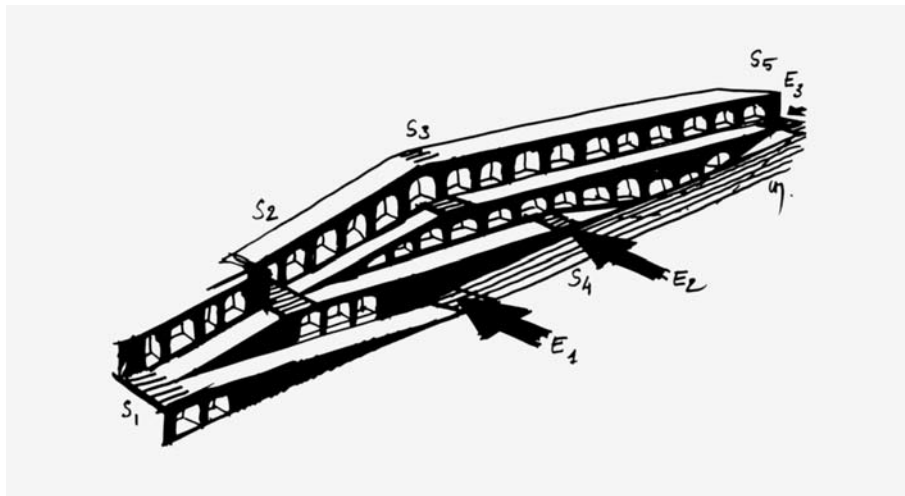


Abb. 1536: Claude Parent, Centre Commercial, Sens, Frankreich, 1970. Schematische Darstellung der Zugangsrampen, Tusche auf Papier, 21 x 29,7 cm (Ausschnitt).

Abb. 1537: Farshid Moussavi und Alejandro Zaera-Polo/FOA, Yokohama International Port Terminal, Japan, 1994–2002. Schematische Darstellung der Erschließung von Dach- und Terminal-ebene, Axonometrien (invertiert von der Verf.).



Abb. 1538: Claude Parent, Centre Commercial, Sens, Frankreich, 1970. Blick auf Zugangsrampen, Fotografie.

Abb. 1539: Farshid Moussavi und Alejandro Zaera-Polo/FOA, Yokohama International Port Terminal, Japan, 1994–2002. Hintere Rampe von Terminal- auf Dachebene, Fotografie.

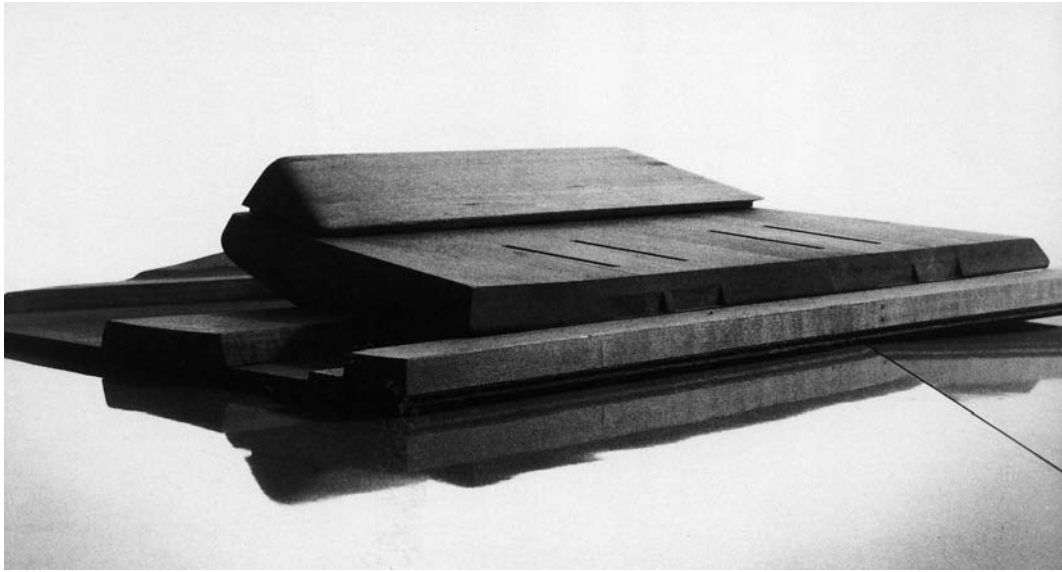


Abb. 1540: Claude Parent und Paul Virilio/Architecture Principe, Palais des expositions de Charleville, Frankreich, Entwurf 1966/67. Modell aus Holz, Südwestseite, Fotografie.

Abb. 1541: Farshid Moussavi und Alejandro Zaera-Polo/FOA, Yokohama International Port Terminal, Japan, 1994–2002. Nordwestseite, Fotografie.

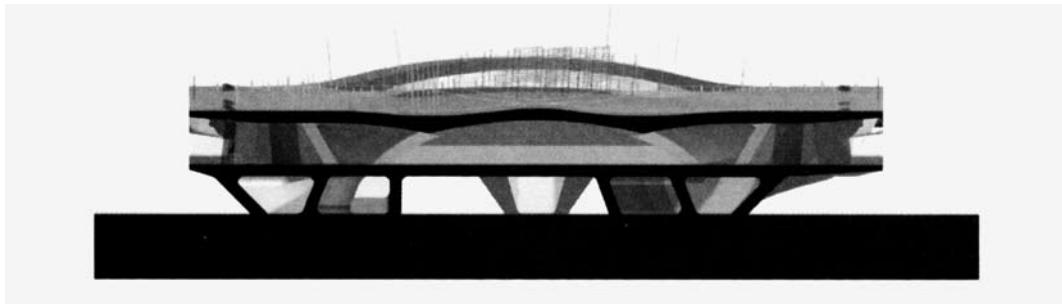
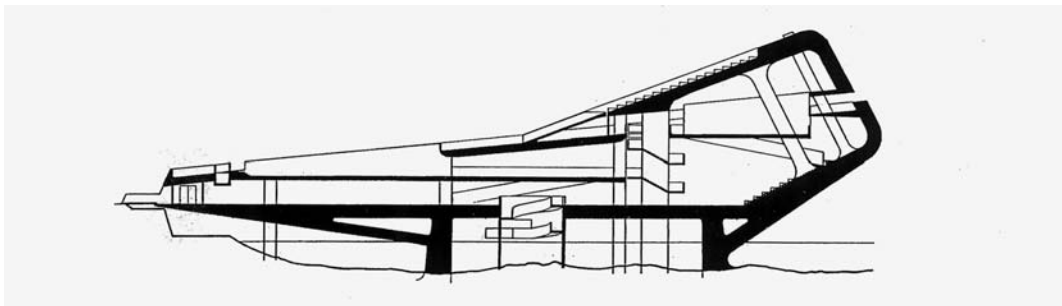
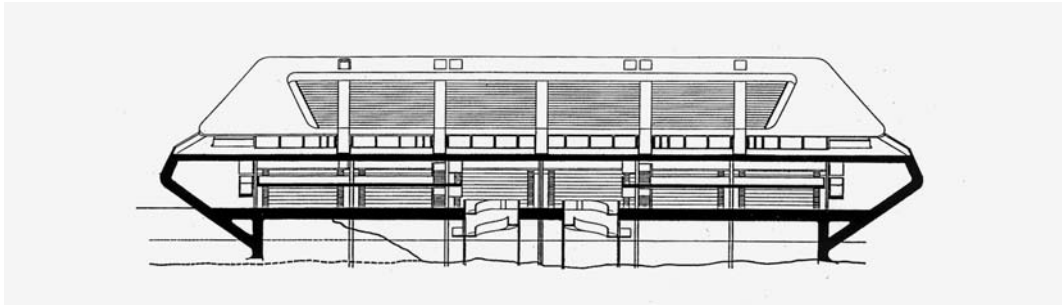


Abb. 1542: Claude Parent und Paul Virilio/Architecture Principe, Palais des expositions de Charleville, Frankreich, Entwurf 1966/67. Querschnitt, Tinte auf Transparentpapier.

Abb. 1543: Längsschnitt, Tinte auf Transparentpapier.

Abb. 1544: Farshid Moussavi und Alejandro Zaera-Polo/FOA, Yokohama International Port Terminal, Japan, 1994–2002. Erster überarbeiteter Entwurf nach dem Wettbewerb, Querschnitt, Computerrendering.

Abb. 1545: Längsschnitt, Computerrendering (Ausschnitt).

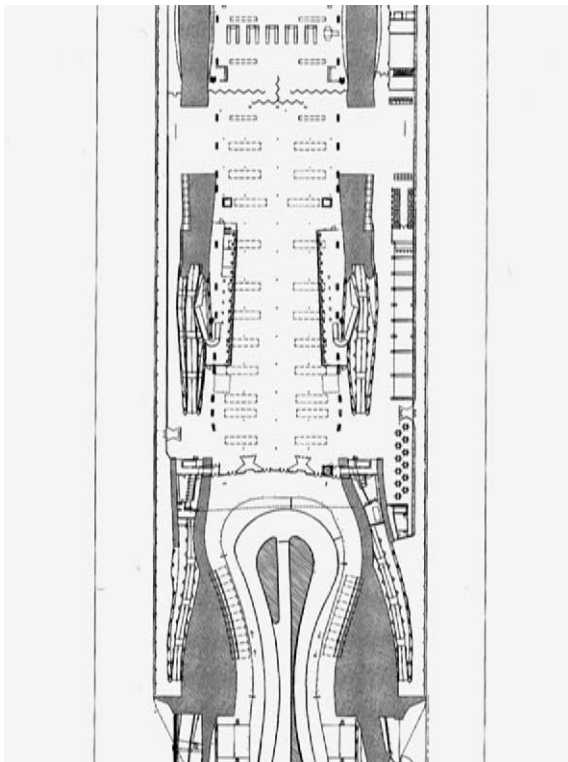
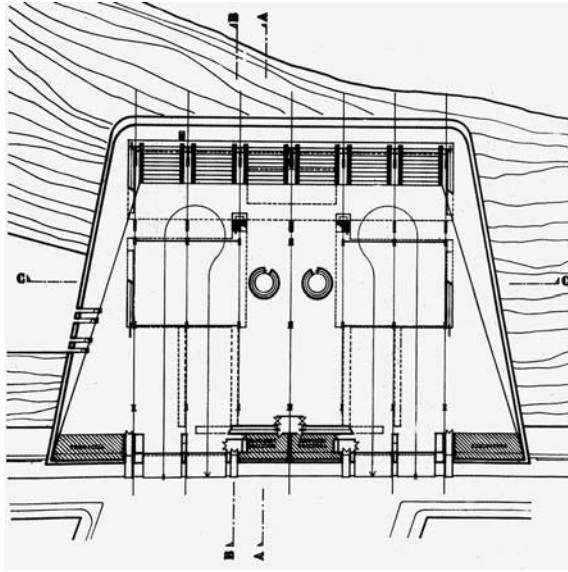


Abb. 1546: Claude Parent und Paul Virilio/Architecture Principe, Palais des expositions de Charleville, Frankreich, Entwurf 1966/67. Grundriss des Erdgeschosses, Tinte auf Transparentpapier, 74 x 107 cm.

Abb. 1547: Farshid Moussavi und Alejandro Zaera-Polo/FOA, Yokohama International Port Terminal, Japan, 1994–2002. Grundriss der Terminalebene, Computerzeichnung (Ausschnitt).

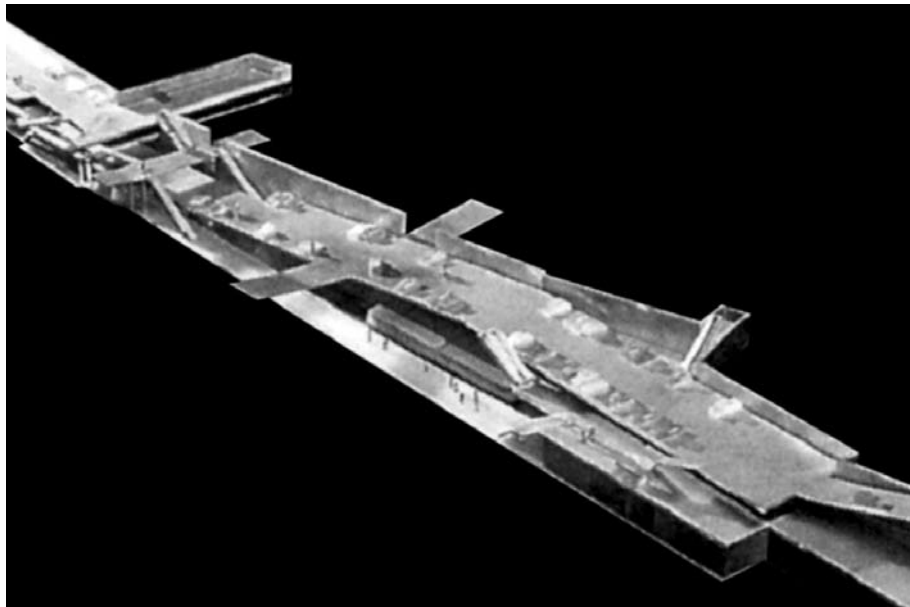
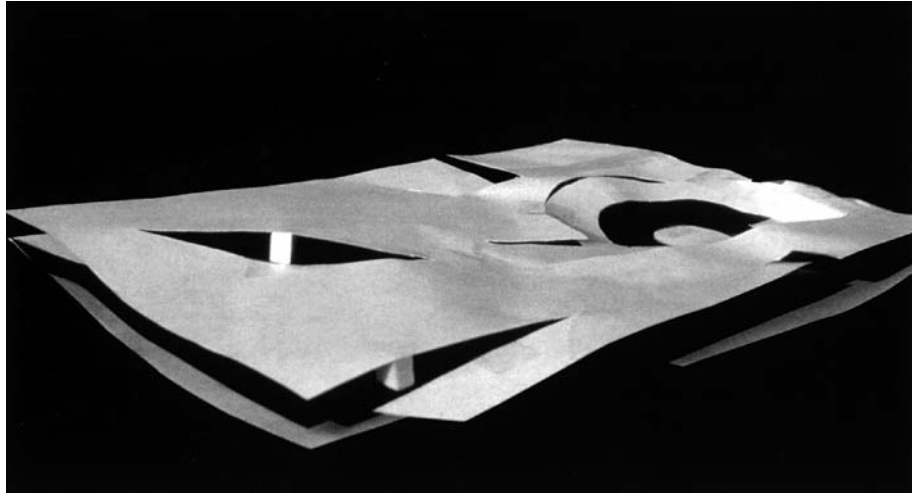


Abb. 1548: Rem Koolhaas/OMA, Yokohama Urban Ring, Japan, Entwurf 1992. Studienmodell der gefalteten Verkehrsebene, Fotografie.

Abb. 1549: Rem Koolhaas/OMA, Service Tunnel, Den Haag, Niederlande, 1994–2004. Modell, Fotografie (Ausschnitt).

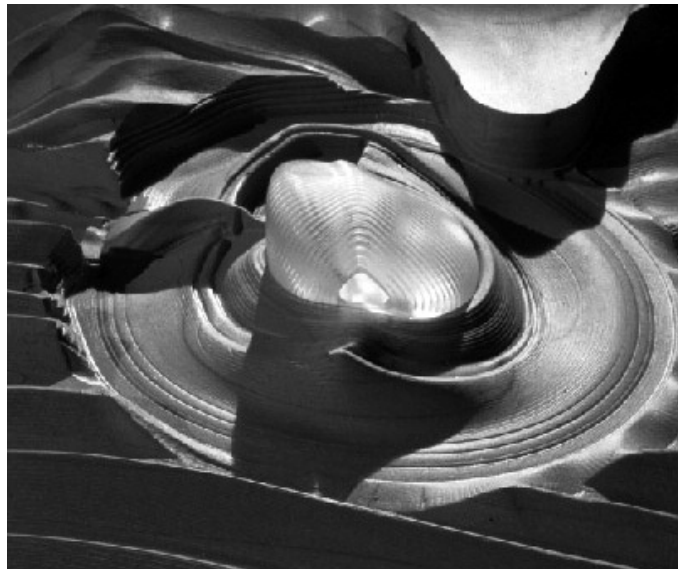


Abb. 1550: Claude Parent, Les Grandes Oreilles, Entwurf 1966. Skizze.

Abb. 1551: Greg Lynn, Embryological House, Entwurf 1997–2001. Small Case Study. Präsentationsmodell aus Stereolithografieharz und CNC-gefrästem MDF, 15 x 20 x 20 cm (Haus), 15 x 120 x 150 cm (Basis), Fotografie (Ausschnitt).

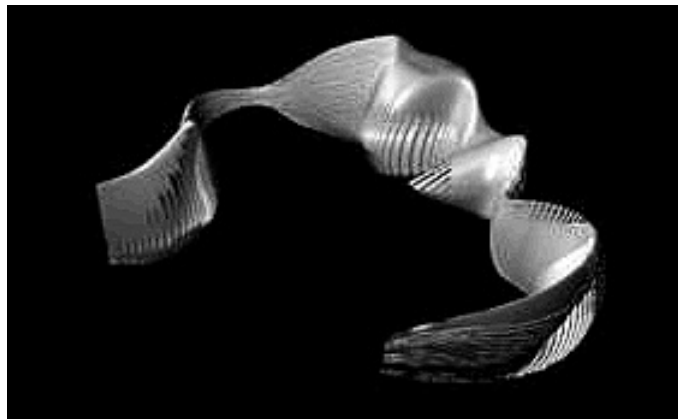
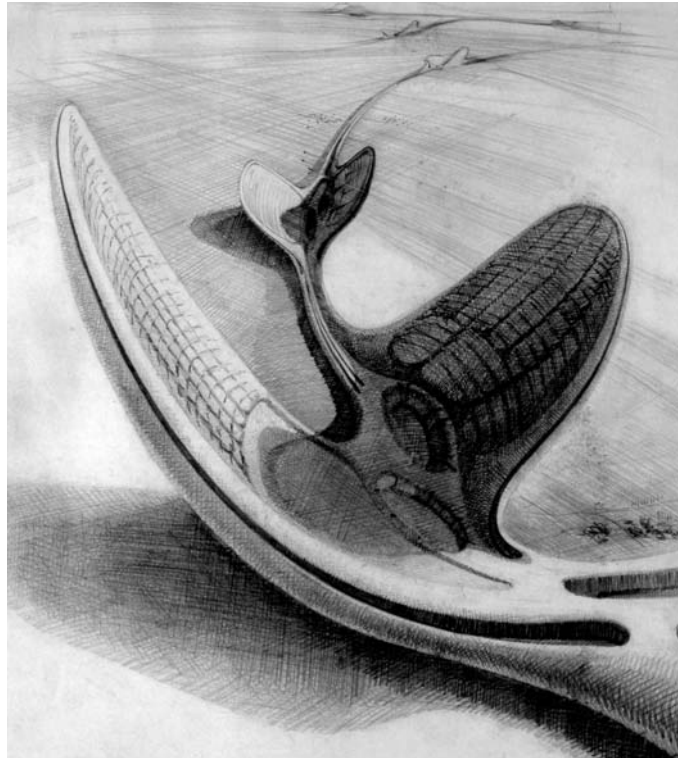


Abb. 1552: Claude Parent, Les Grandes Oreilles I, les Conques, Entwurf 1966. Zeichnung, Bleistift auf Papier, 105,5 x 86 cm (Ausschnitt).

Abb. 1553: Greg Lynn und Fabian Marcaccio, Predator, Rauminstallation, Wexner Center for the Arts, Columbus/Ohio, USA, 1999. 3D-Modell, Perspektive, Computerrendering.

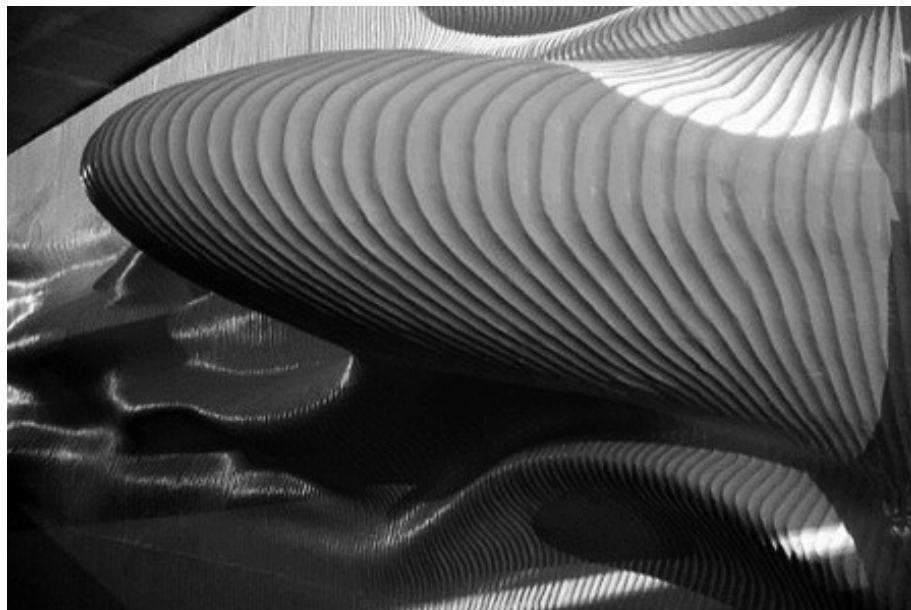
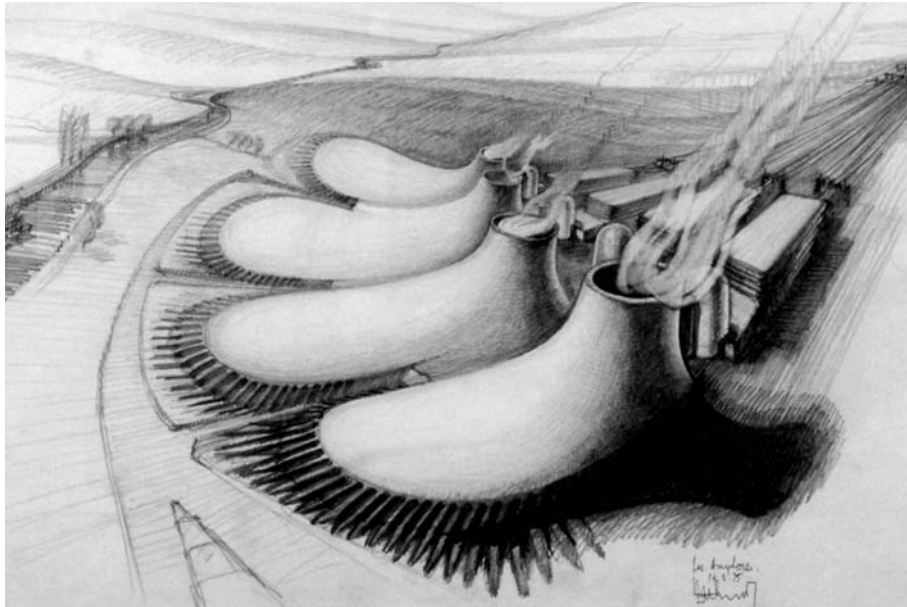


Abb. 1554: Claude Parent, Les Amphores, Entwurf 1975. Zeichnung, Bleistift auf Papier, 137,5 x 103,5 cm (Ausschnitt).

Abb. 1555: Greg Lynn, Computergefrästes Wandobjekt in der Ausstellung *Das Weite suchen*, Werbeagentur Rendel & Spitz, Köln, Deutschland, 2002 (seitdem in Pinakothek der Moderne, Designausstellung, München). Fotografie.

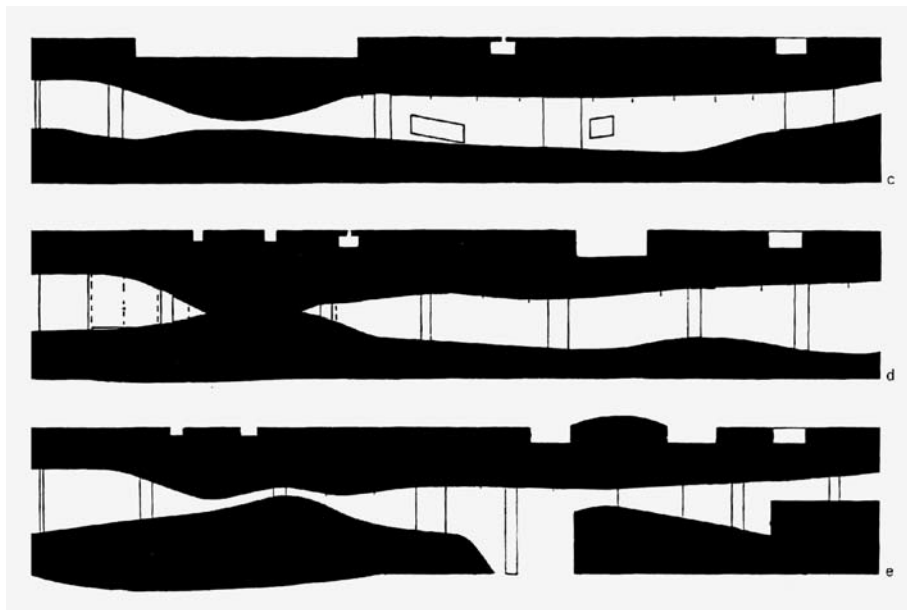


Abb. 1556: Bunkeranlage am Atlantikwall, Frankreich, 1942–44. Beobachterposten mit Container, Schnitt, abgebildet in: Paul Virilio, *Bunker Archeology*, Paris 1994, S. 51.

Abb. 1557: Rem Koolhaas/OMA, Hotel and Convention Center, Agadir, Marokko, Entwurf 1990. Schematische Schnitte (Ausschnitt).

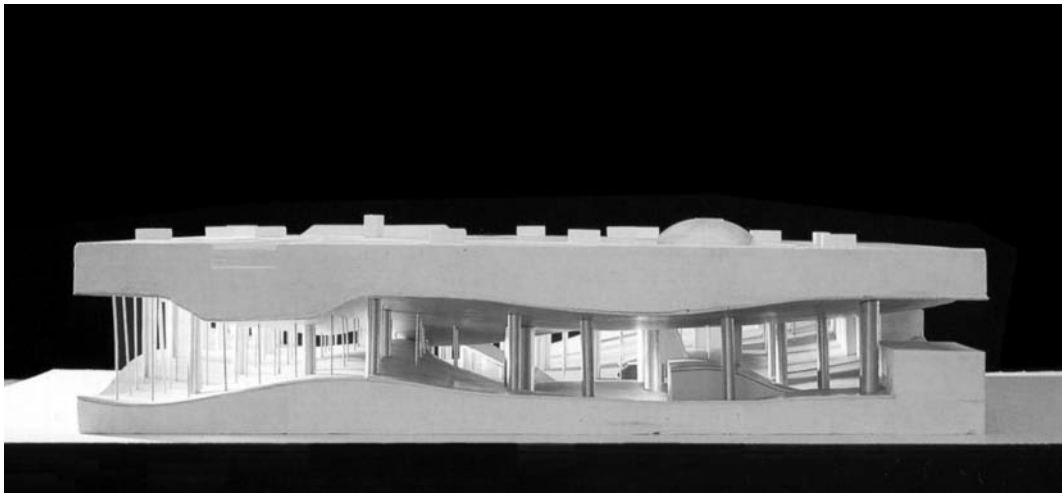
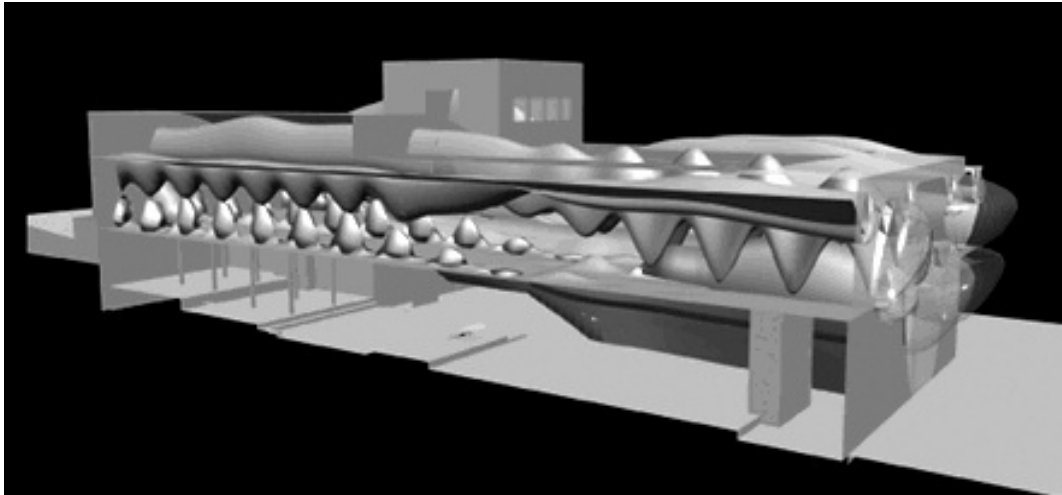


Abb. 1558: Greg Lynn, Lords on Sunset, West Hollywood/Kalifornien, USA, Entwurf 2001. 3D-Modell, Perspektive, Computerrendering.

Abb. 1559: Rem Koolhaas/OMA, Hotel and Convention Center Agadir, Marokko, Entwurf 1990. Präsentationsmodell aus Gips und Metall, Westseite, Fotografie.

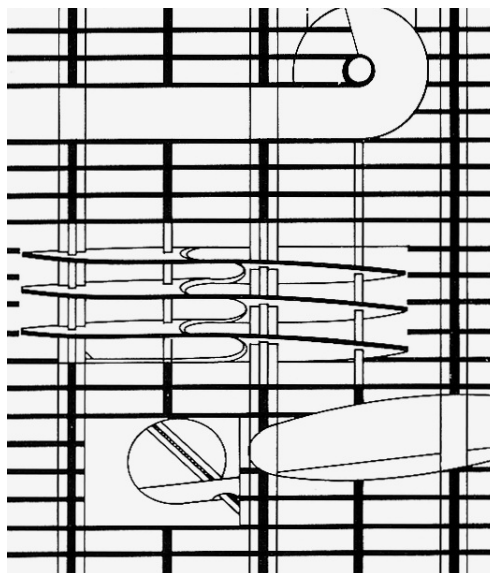
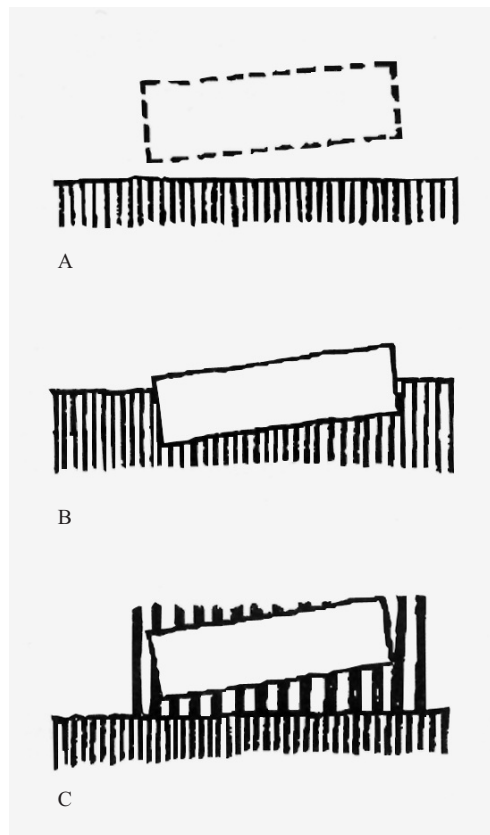


Abb. 1560: Greg Lynn, Coincidental ground with dematerialized lightness (A), with diffused structure (B) with subterranean burrowing (C). Skizzen, abgebildet in: Greg Lynn, *Differential Gravities*, 1994.

Abb. 1561: Rem Koolhaas/OMA, Bibliothèque Nationale de France, Paris, Frankreich, Entwurf 1989. Querschnitt (Ausschnitt).

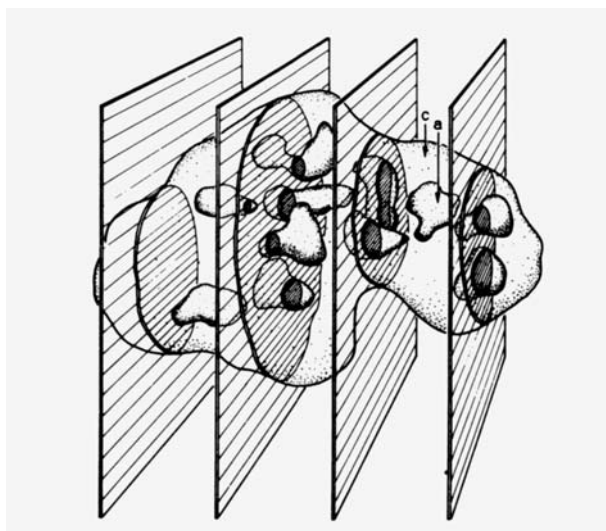
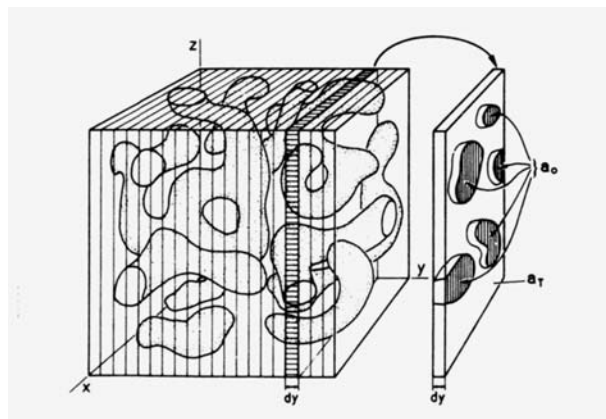
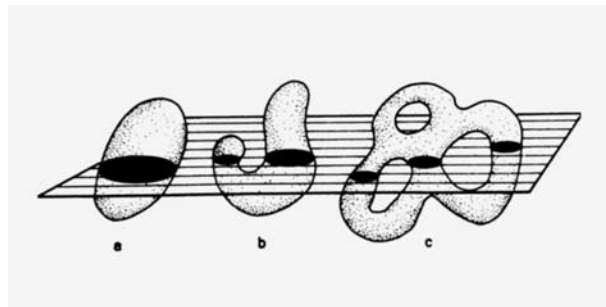


Abb. 1562: John C. Russ, Convex, non-convex and topological elements yielding circles, Illustration aus *Practical Stereology*, 1986, abgebildet in: Greg Lynn, *Probable Geometries*, 1993.

Abb. 1563: Ewald R. Weibel und Hans Elias, Tubular anisotropic elements, Illustration aus *Quantitative Methods in Morphology*, 1967, abgebildet in: Greg Lynn, *Probable Geometries*, 1993.

Abb. 1564: Ewald R. Weibel und Hans Elias, Variable profile sections of an irregular solid, Illustration aus *Quantitative Methods in Morphology*, 1967, abgebildet in: Greg Lynn, *Probable Geometries*, 1993.

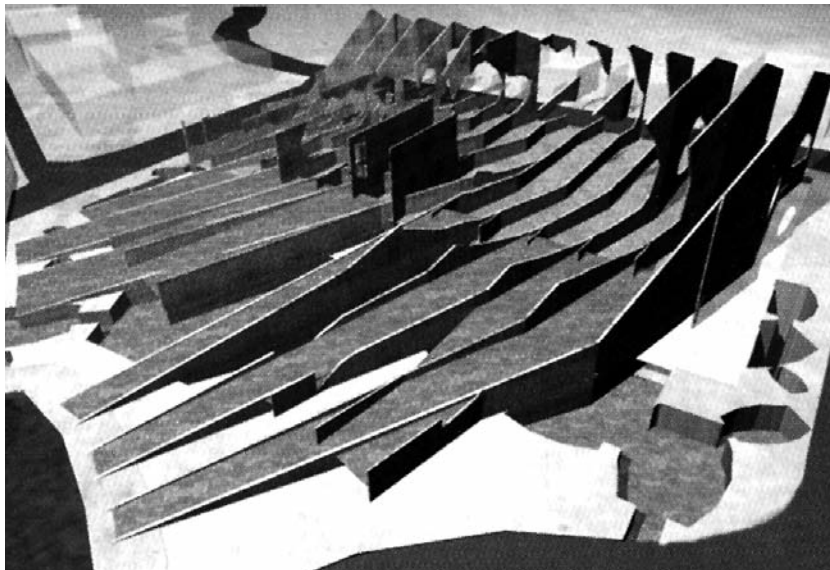


Abb. 1565: Rem Koolhaas/OMA, Bibliothèque Nationale de France, Paris, Frankreich, Entwurf 1989. Studie, Gebäudeform als Schichtmodell, Fotografie.

Abb. 1566: Greg Lynn, Cardiff Bay Opera House, Cardiff/Wales, Großbritannien, Entwurf 1994. 3D-Modell, Rippenkonstruktion, Vogelperspektive, Südseite, Computerrendering.

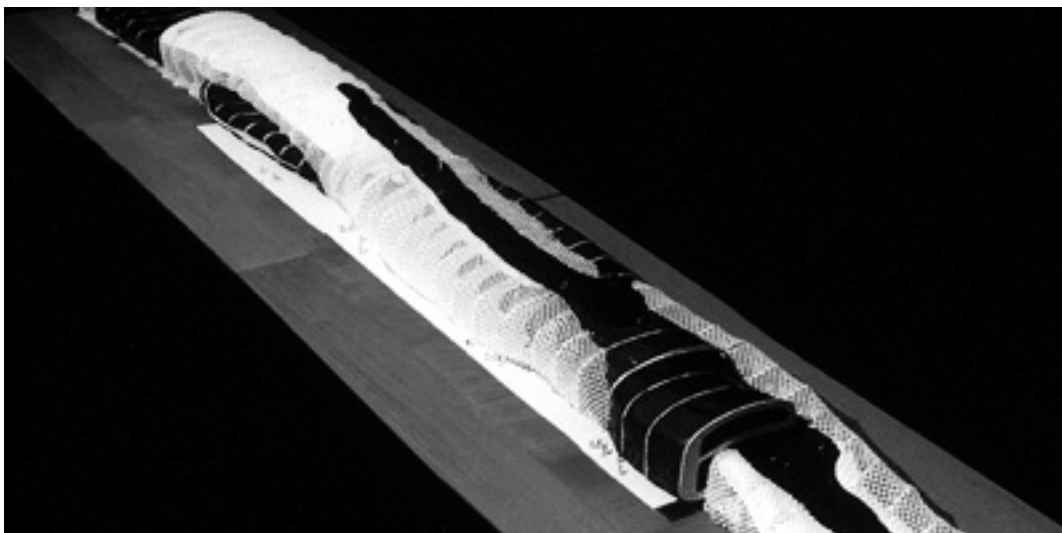
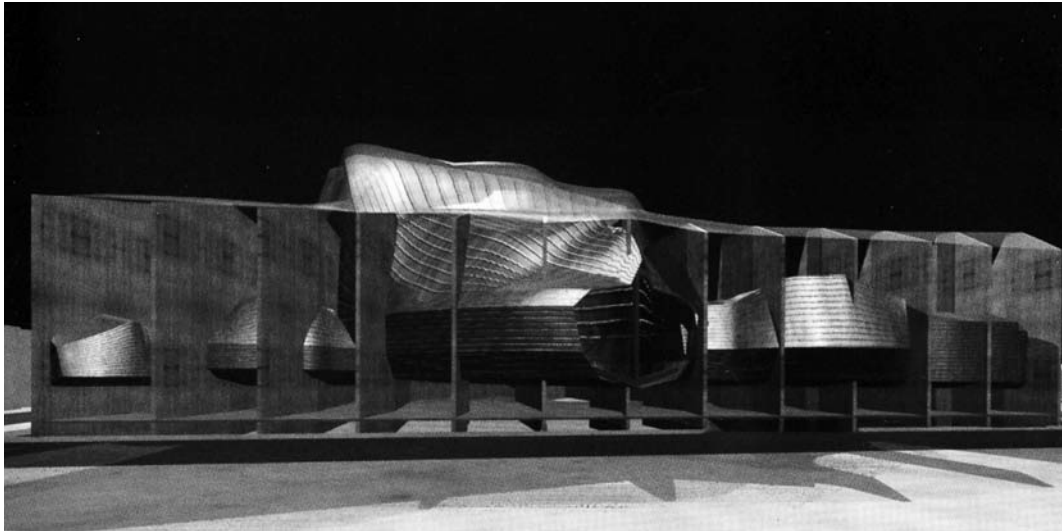


Abb. 1567: Greg Lynn, Cardiff Bay Opera House, Cardiff/Wales, Großbritannien, Entwurf 1994. 3D-Modell, Perspektive, Nordostseite, Computerrendering.

Abb. 1568: Greg Lynn, Yokohama International Port Terminal, Japan, Entwurf 1994. Präsentationsmodell (Ausschnitt), Fotografie.

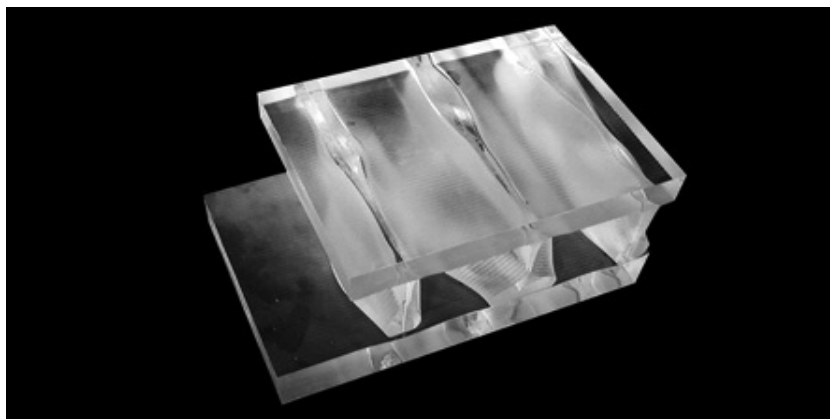
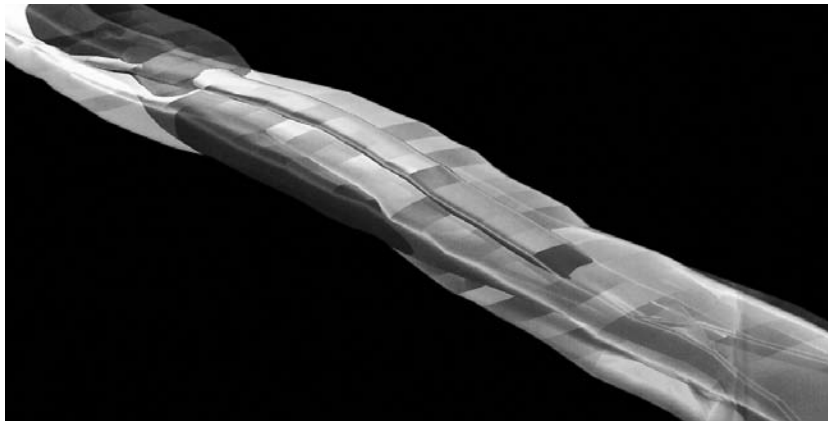


Abb. 1569: Rem Koolhaas/OMA, Bibliothèque Nationale de France, Paris, Frankreich, Entwurf 1989. Präsentationsmodell aus transluzentem Plexiglas, Fotografie.

Abb. 1570: Greg Lynn, Yokohama International Port Terminal, Japan, Entwurf 1994. Studie, 3D-Modell, Axonometrie, Computerrendering (Ausschnitt).

Abb. 1571: Greg Lynn, Kunstmuseum St. Gallen, Schweiz, Entwurf 2001. Stereolithografiemodell, Schrägansicht von oben, Fotografie.

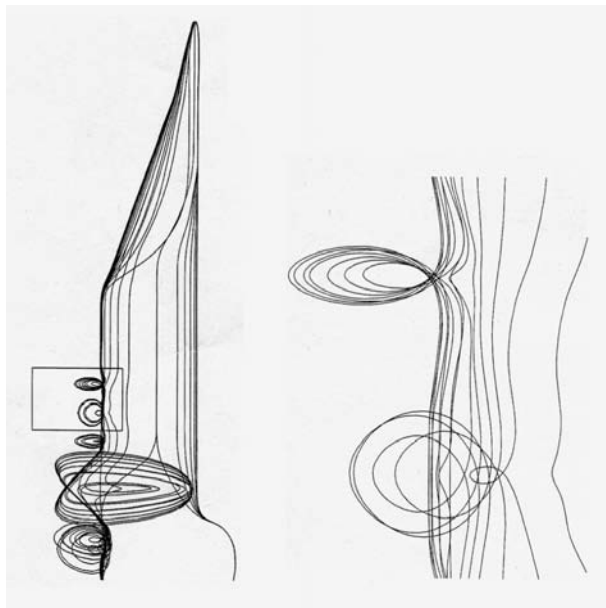
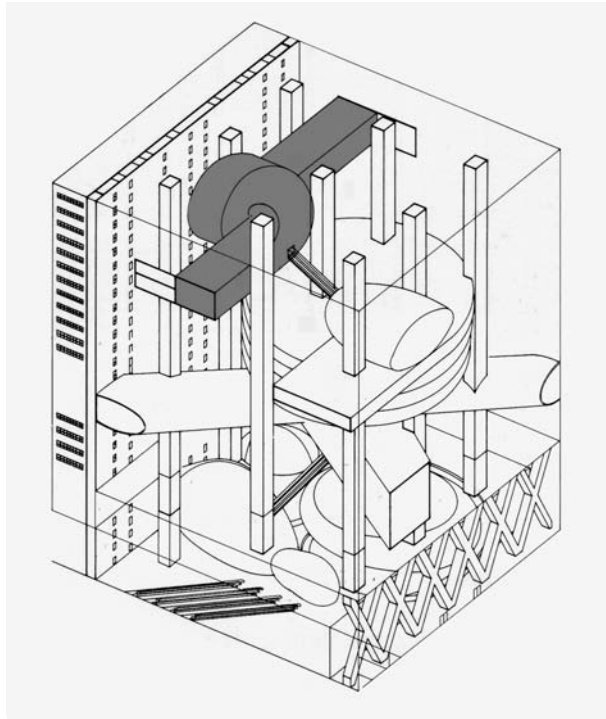


Abb. 1572: Rem Koolhaas/OMA, Bibliothèque Nationale de France, Paris, Frankreich, Entwurf 1989. Axonometrie des Gebäudes ohne Geschossebenen (Ausschnitt aus Abb. 1438, graue Einfärbung von der Verf.).

Abb. 1573: Greg Lynn, Eyebeam Museum of Art and Technology, New York, USA, Entwurf 2001. Studie, Seitenansicht und Detail, Computerzeichnung.

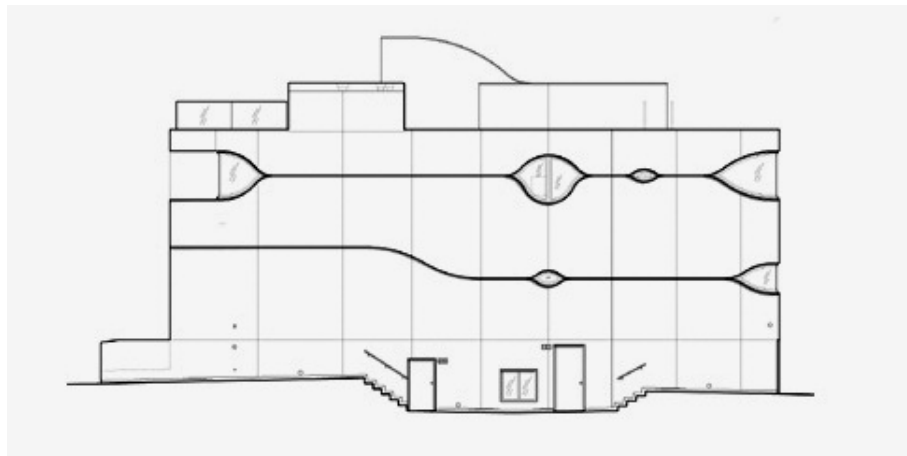
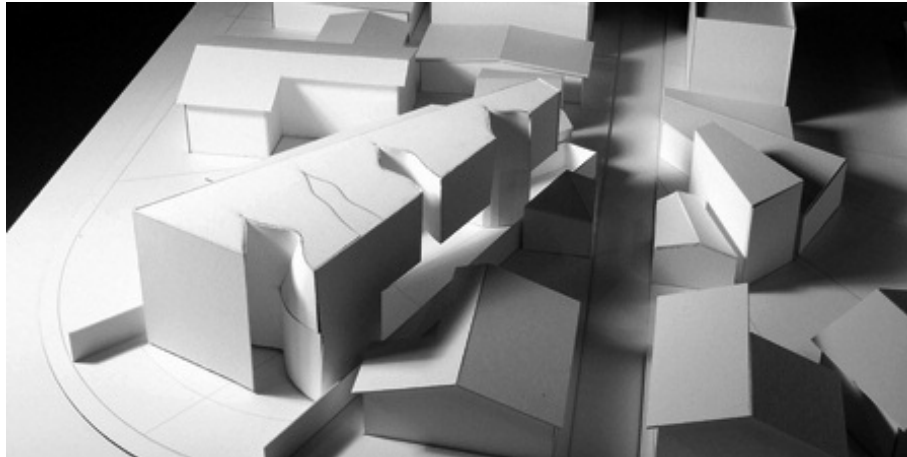


Abb. 1574: Greg Lynn, Slavin House, Venice, Kalifornien, USA, Entwurf 2004. Präsentationsmodell, Fotografie.

Abb. 1575: Greg Lynn, Bloom House, Kalifornien, USA, Entwurf 2004. Ansicht.

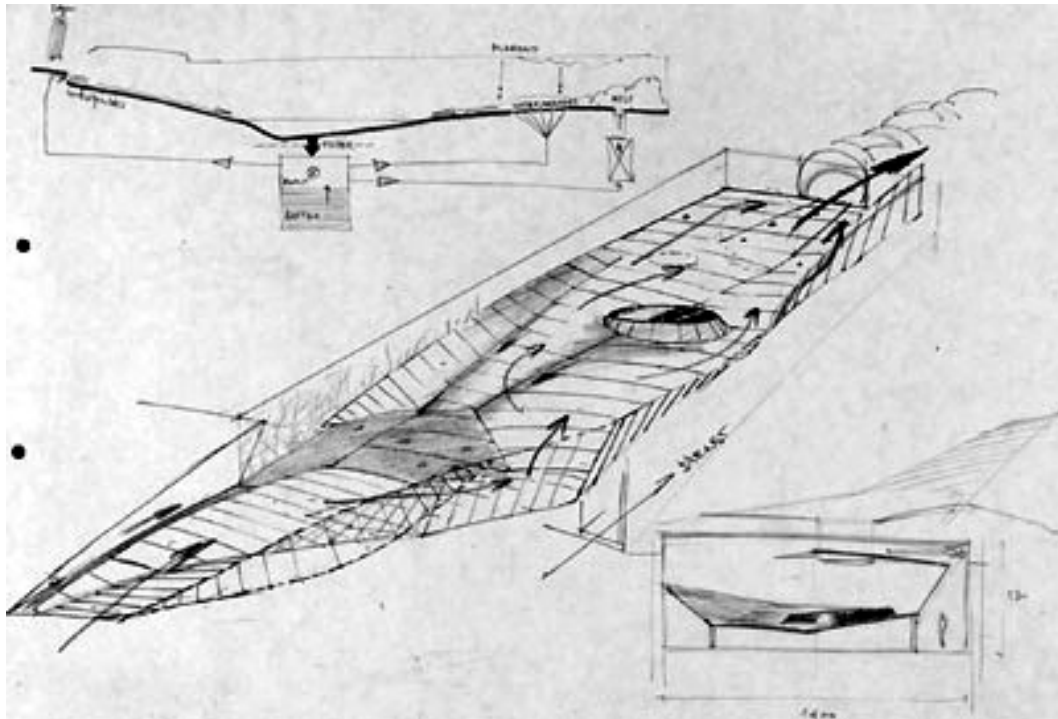


Abb. 1576: Lars Spuybroek/NOX, H₂Oexpo, Wasser-Erlebnispavillon und interaktive Installation für „WaterLand“, Neeltje Jans, Niederlande, 1993–97. Handzeichnung, 1994, Buntstifte auf Papier, Kugelschreiber, Perforationen, 29,7 x 42 cm.

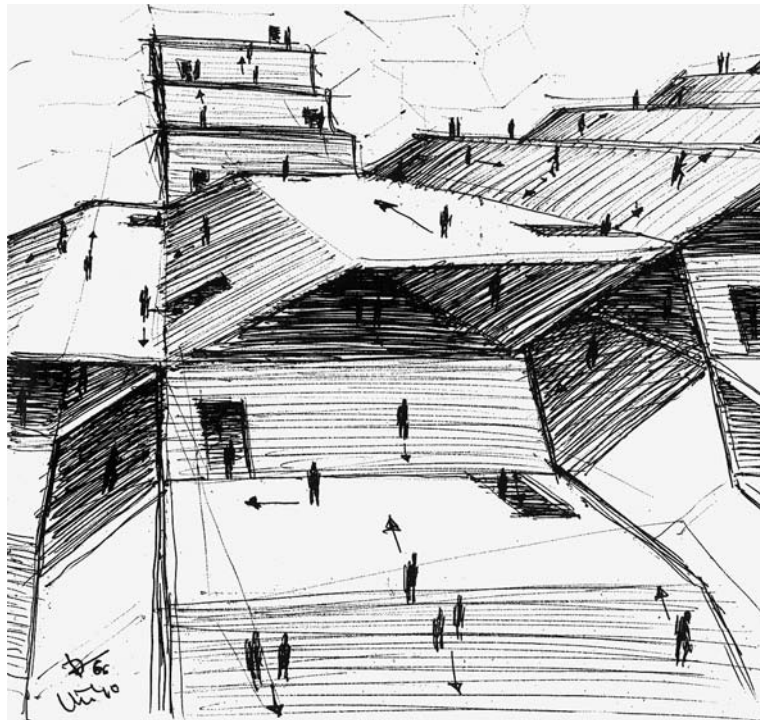
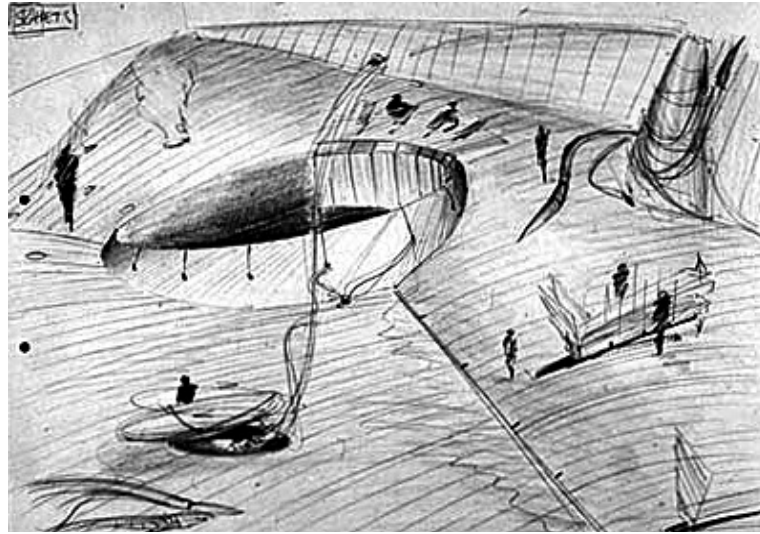


Abb. 1577: Lars Spuybroek/NOX, H₂Oexpo, Wasser-Erlebnispavillon und interaktive Installation für „WaterLand“, Neeltje Jans, Niederlande, 1993–97. Handzeichnung, 1994, Buntstifte auf Papier, Kugelschreiber, Perforationen, 29,7 x 42 cm.

Abb. 1578: Paul Virilio/Architecture Principe, Circulation habitable, Entwurf 1966. Skizze.

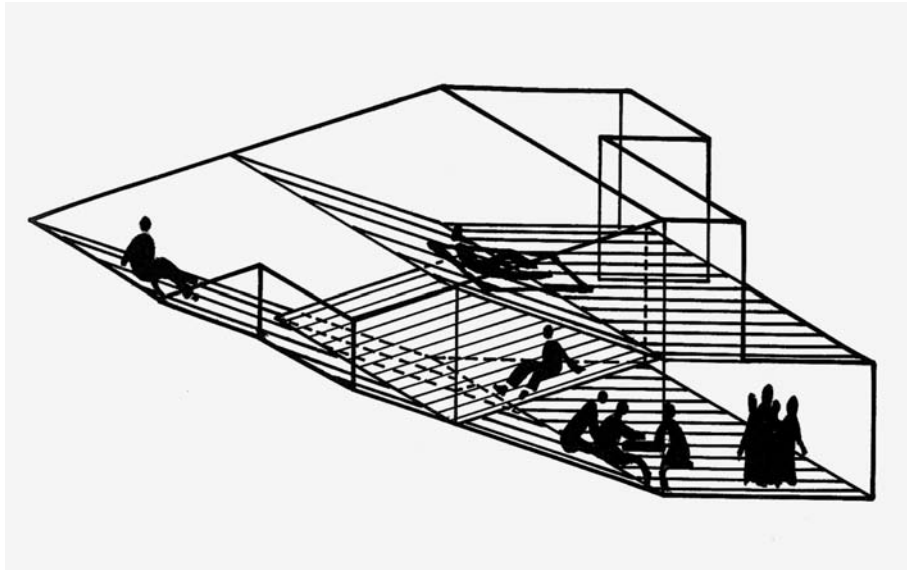


Abb. 1579: Claude Parent, Inclipan, Entwurf 1974. Detail einer Wohneinheit, Axonometrie.



Abb. 1580: Lars Spuybroek/NOX, H₂Oexpo, Wasser-Erlebnispavillon und interaktive Installation für „WaterLand“, Neeltje Jans, Niederlande, 1993–97. Blick in den Ausstellungsraum, Fotografie.



Abb. 1581: Ben van Berkel und Caroline Bos/UN Studio, Inklusiv-Prinzip, *Manimal* von Daniel Lee, Computerbild, 1992, abgebildet in: Ben van Berkel und Caroline Bos, UN Studio – Designmodelle, Sulgen und Zürich 2006, S. 25.

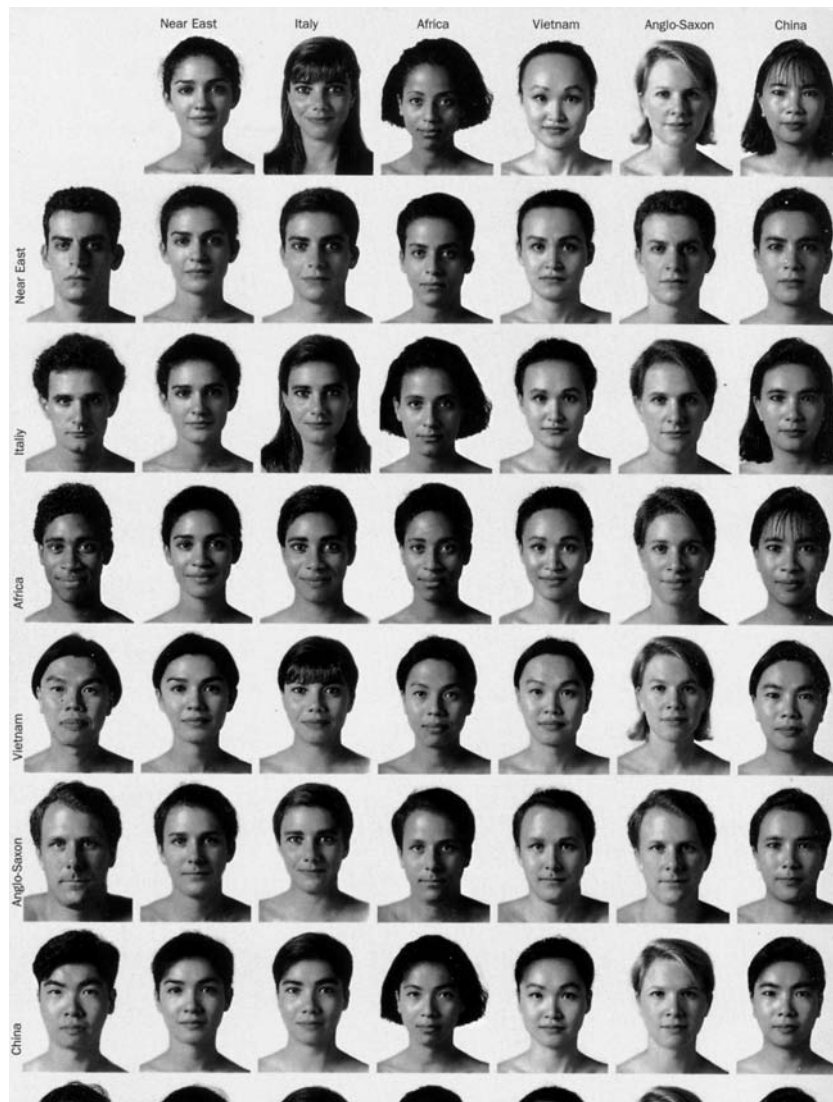


Abb. 1582: Ben van Berkel und Caroline Bos/UN Studio, Koordinatensystem mit Frauen (X-Achse) und Männern (Y-Achse) aus verschiedenen Ländern und Kontinenten, abgebildet in: Ben van Berkel und Caroline Bos/UN Studio, Move, Bd. 2, Rotterdam 1999, S. 78.

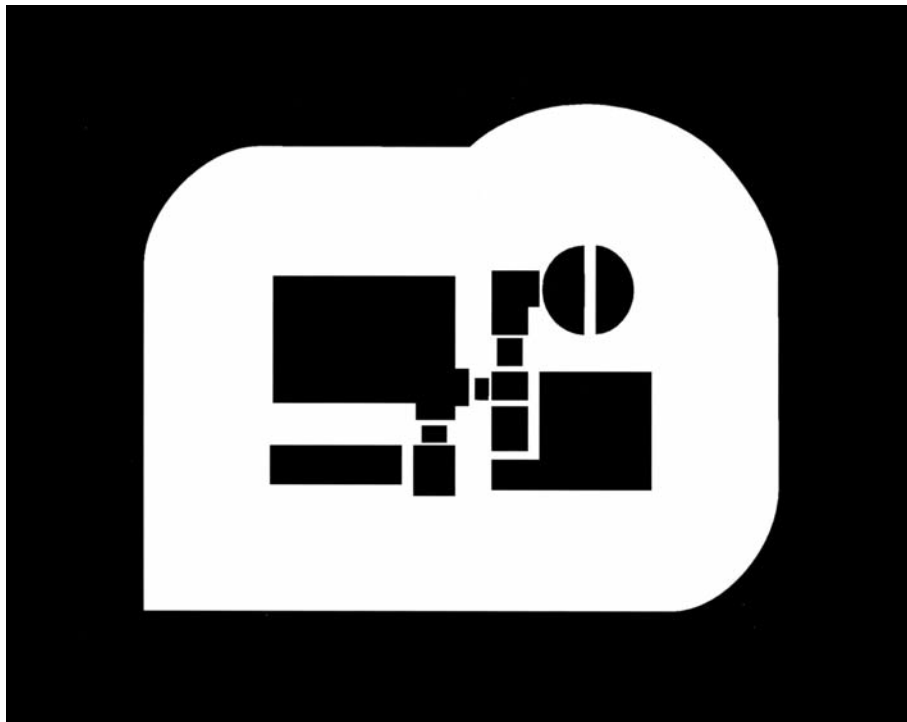


Abb. 1583: Ben van Berkel und Caroline Bos/UN Studio, Villa Wilbrink, Amersfoort, Niederlande, 1992–94. Modell „Physische Kompaktheit“, schematischer Grundriss eines deutschen Bunkers, Typ 98 (invertiert), abgebildet in: Ben van Berkel und Caroline Bos, UN Studio – Designmodelle, Sulgen und Zürich 2006, S. 26.



Abb. 1584: Ben van Berkel und Caroline Bos/UN Studio, Arnhem Central, Arnhem, Niederlande, 1996–2014. Mathematisches Modell „Kleinsche Flasche“, Perspektive, Computerrendering, abgebildet in: Ben van Berkel und Caroline Bos, UN Studio – Designmodelle, Sulgen und Zürich 2006, S. 137.

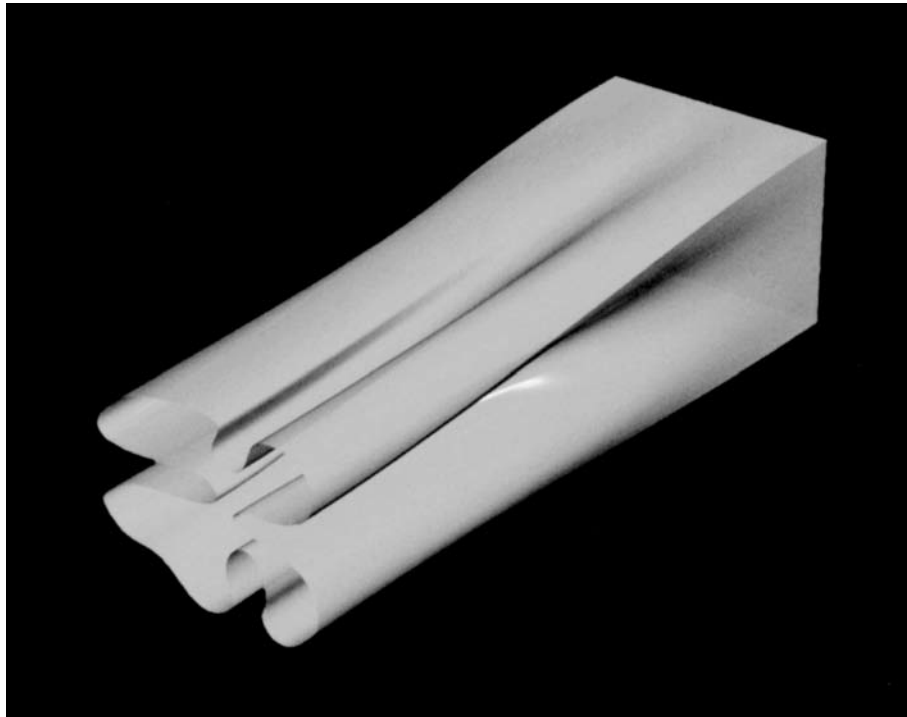


Abb. 1585: Ben van Berkel und Caroline Bos/UN Studio, Musiktheater, Graz, Österreich, 1998–2008. *Blob-to-box*-Modell, Perspektive, Computerrendering, abgebildet in: Ben van Berkel und Caroline Bos, UN Studio – Designmodelle, Sulgen und Zürich 2006, S. 215.

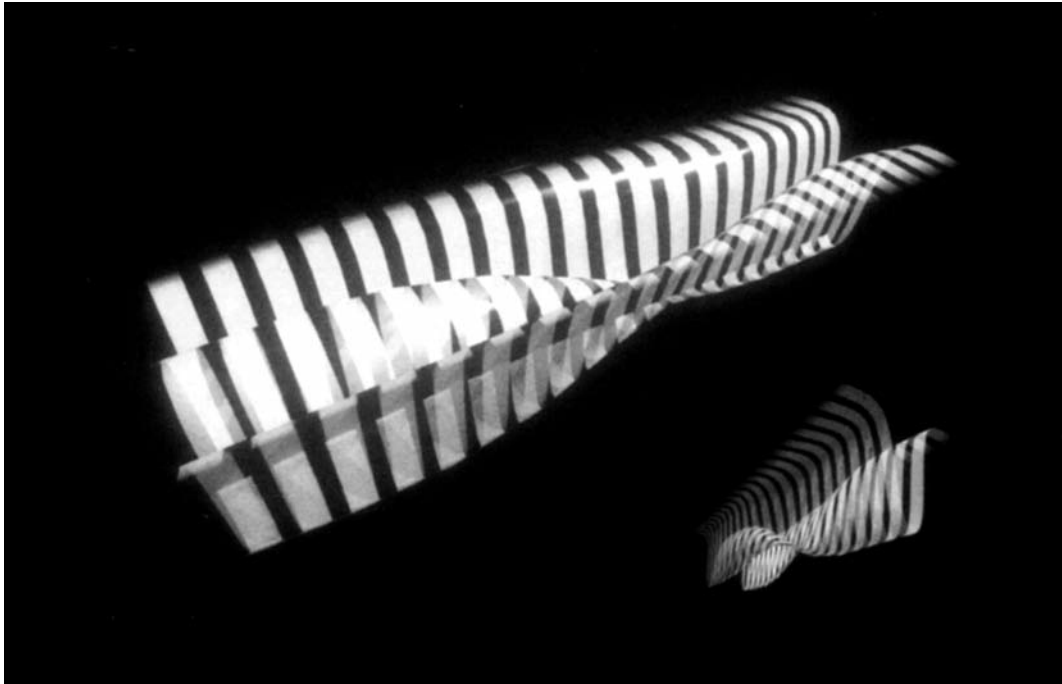


Abb. 1586: Ben van Berkel und Caroline Bos/UN Studio, Arnhem Central, Arnhem, Niederlande, 1996–2014. V-Modell, Perspektive, Computerrendering (Ausschnitt), abgebildet in: Ben van Berkel und Caroline Bos, UN Studio – Designmodelle, Sulgen und Zürich 2006, S. 269.

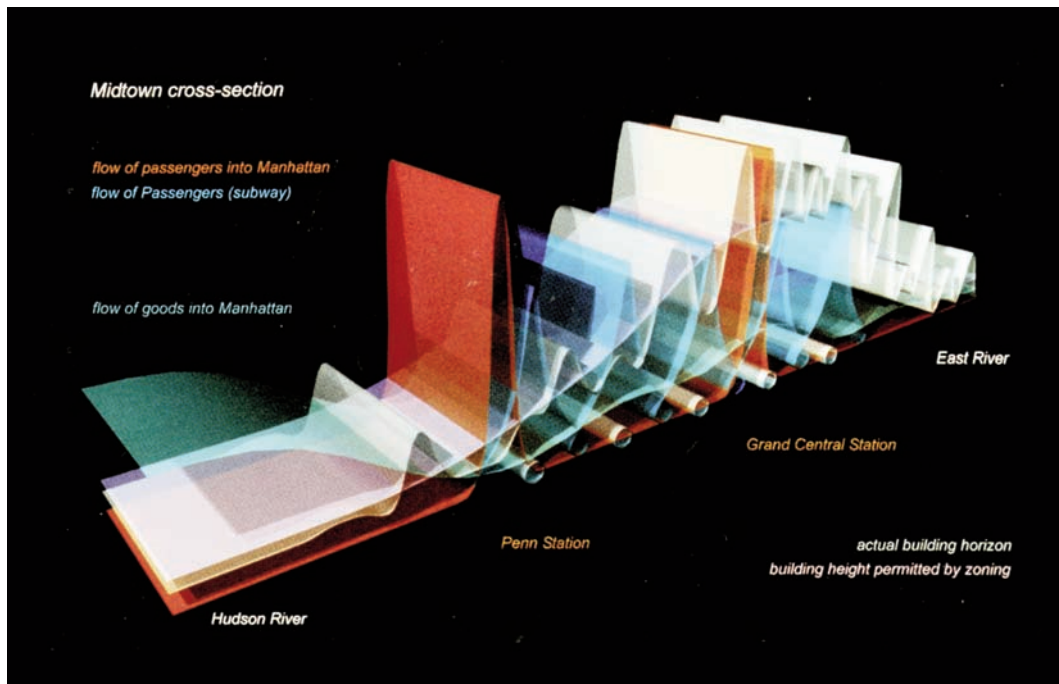


Abb. 1587: Ben van Berkel und Caroline Bos/UN Studio, IFCCA Competition for the Design of Cities, New York, USA, 1999. Prinzip des *Deep Planning*, Diagramm eines Querschnitts durch Midtown New York: Pendler-Zustrom der Grand Central Station und der Penn Station (rot), Gebäudevolumen (weiß), Subway-Verkehr (blau), Computerrendering, abgebildet in: Ben van Berkel und Caroline Bos, UN Studio – Designmodelle, Sulgen und Zürich 2006, S. 313 und 330.

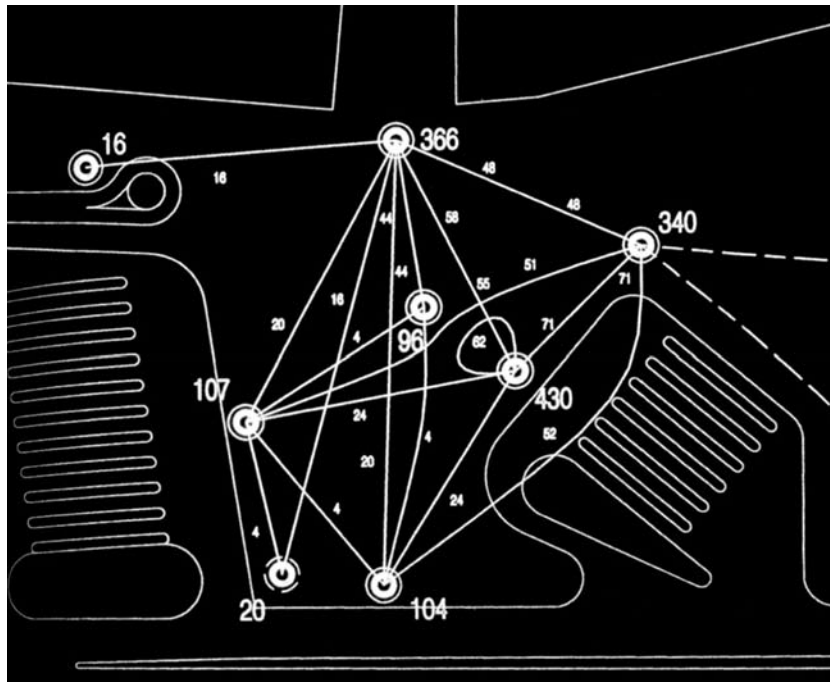
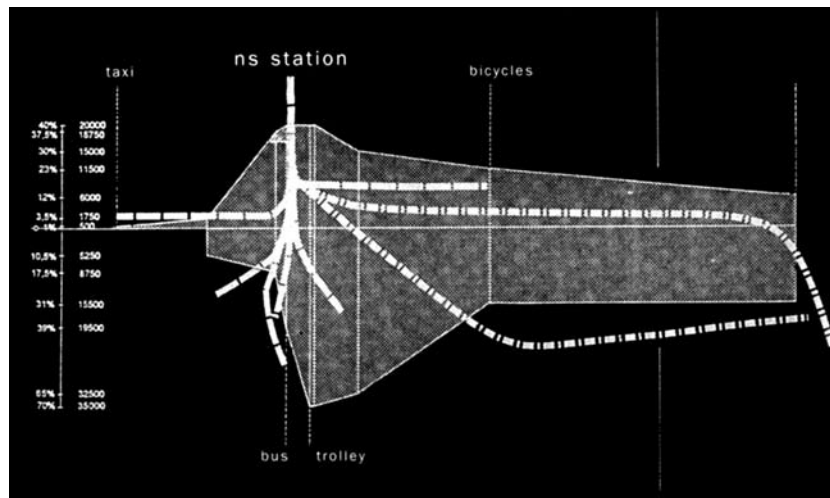


Abb. 1588: Ben van Berkel und Caroline Bos/UN Studio, Arnhem Central, Arnhem, Niederlande, 1996–2014. Schematische Darstellung der Verteilung der 65.000 Verkehrsteilnehmer pro Tag nach den einzelnen Verkehrsarten, Computerzeichnung.

Abb. 1589: Schematische Darstellung der Verbindung aller Verkehrsarten untereinander mit der maximalen Anzahl von Menschen pro Minute während der Hauptverkehrszeit, Computerzeichnung.

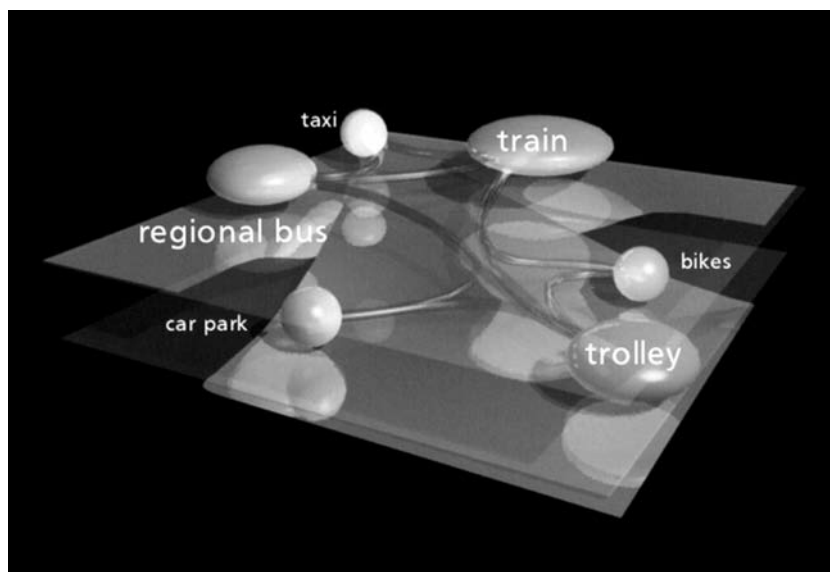
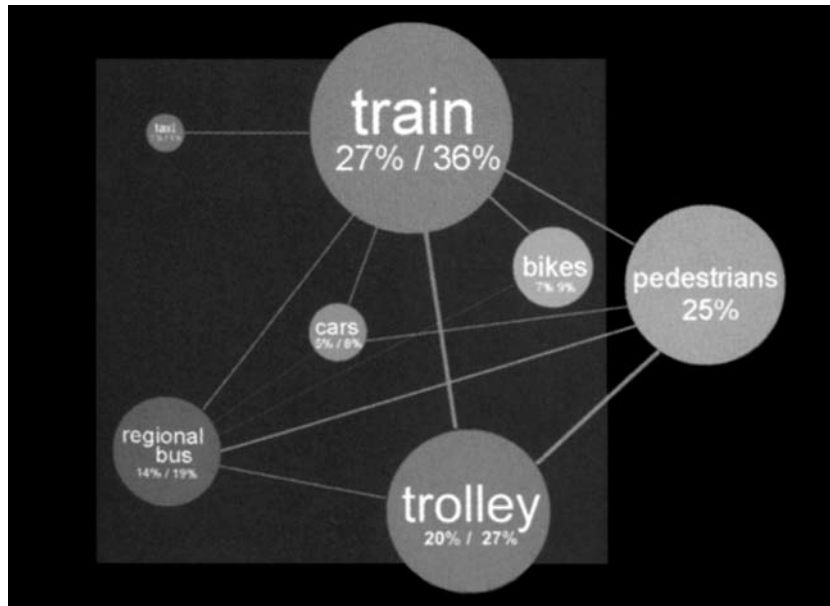


Abb. 1590: Ben van Berkel und Caroline Bos/UN Studio, Arnhem Central, Arnhem, Niederlande, 1996–2014. Schematische Darstellung der Rangordnung der Verbindungen der verschiedenen Verkehrssysteme. 75 % aller Verkehrsteilnehmer steigen um, d. h. benutzen pro Tag verschiedene Verkehrsmittel in demselben Gebiet (angelegte Fläche), Computerzeichnung.

Abb. 1591: Schematische Darstellung der Verteilung und Verbindungen der Verkehrssysteme, Computerrendering.

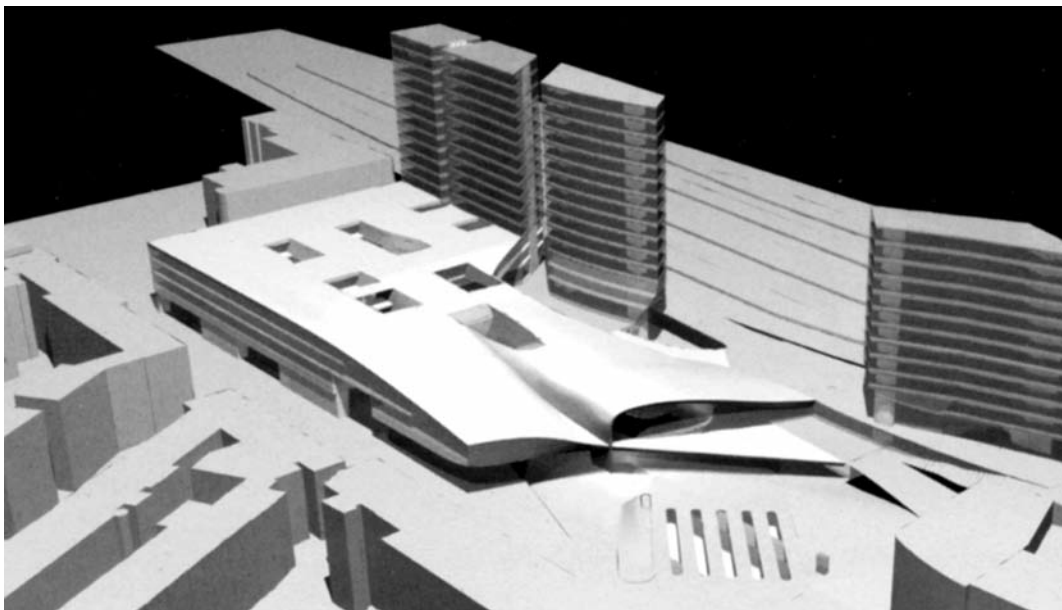
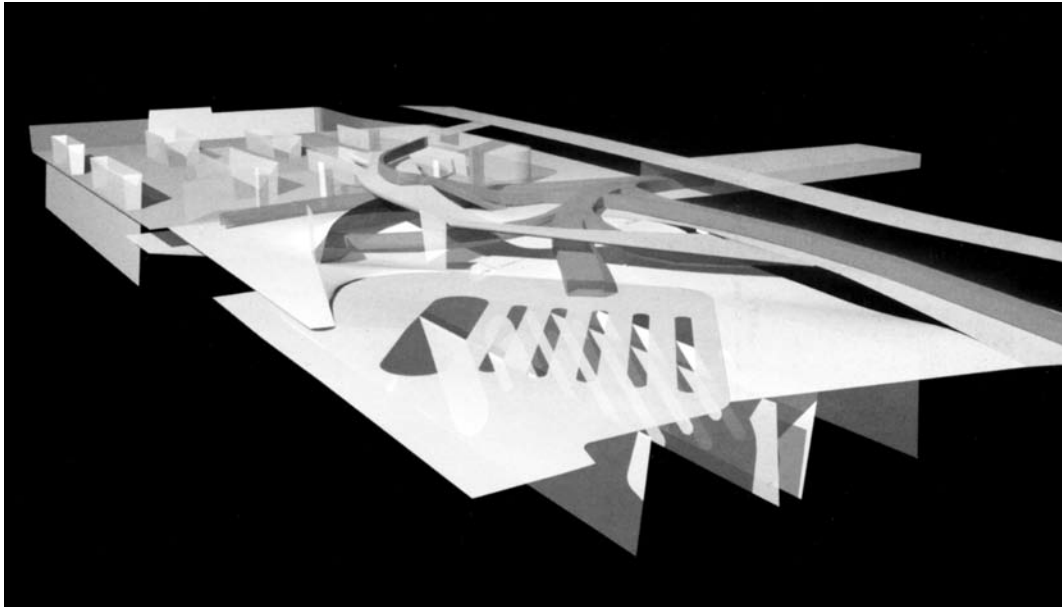


Abb. 1592: Ben van Berkel und Caroline Bos/UN Studio, Arnhem Central, Arnhem, Niederlande, 1996–2014. 3D-Modell der Verkehrswege, Perspektive von Südosten, Computerrendering.
Abb. 1593: 3D-Modell, Perspektive von Südosten, Computerrendering.

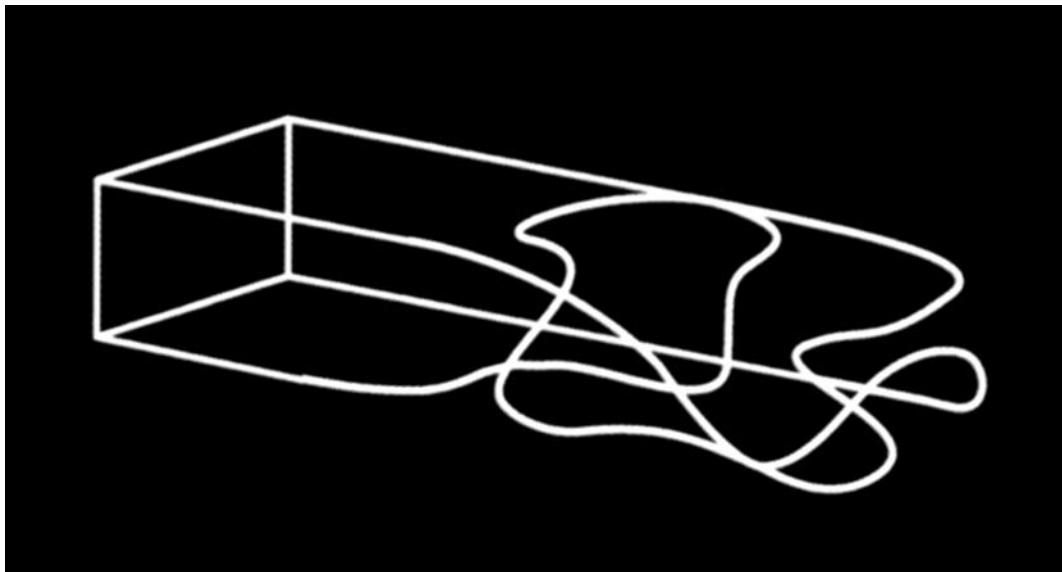


Abb. 1594: Ben van Berkel und Caroline Bos/UN Studio, Arnhem Central, Arnhem, Niederlande, 1996–2014. *Blob-to-box*-Modell im Drahtgittermodus, Axonometrie, Computerzeichnung, abgebildet in: Ben van Berkel und Caroline Bos, UN Studio – Designmodelle, Sulgen und Zürich 2006, S. 274.



Abb. 1595: Ben van Berkel und Caroline Bos/UN Studio, Arnhem Central, Arnhem, Niederlande, 1996–2014. Präsentationsmodell, Blick von Osten auf den Balkon der ersten Etage und in die darunterliegende Eingangshalle.

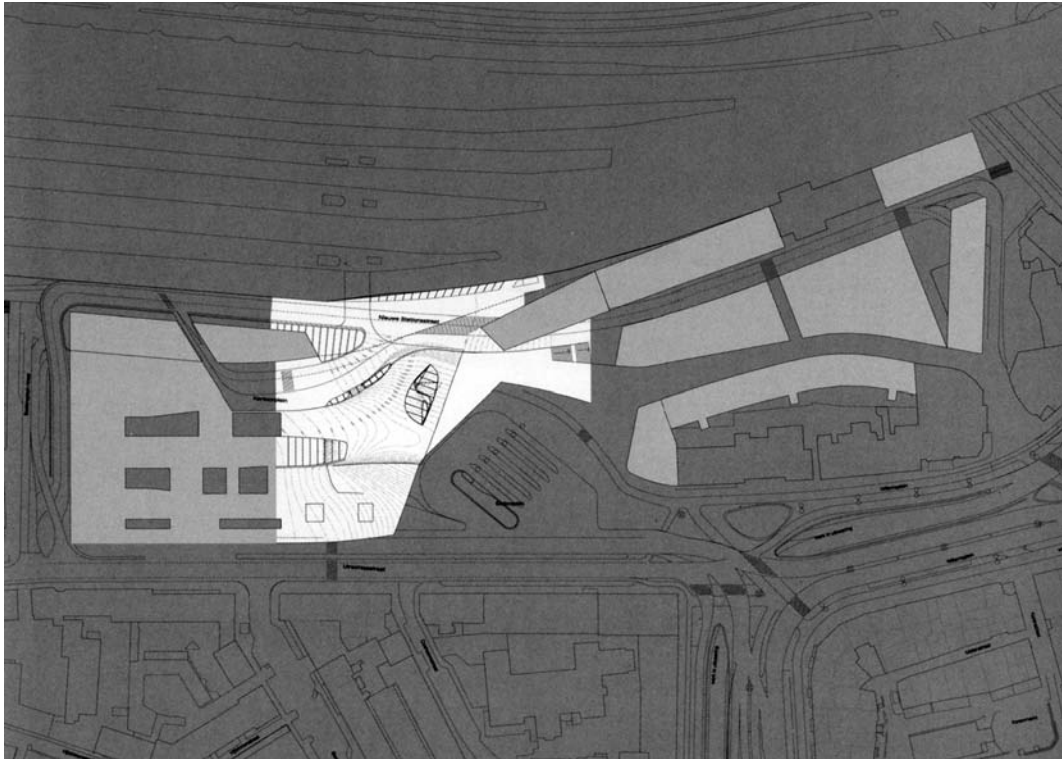


Abb. 1596: Ben van Berkel und Caroline Bos/UN Studio, Arnhem Central, Arnhem, Niederlande, 1996–2014. Lageplan des Bahnhofsgeländes mit Transithalle.

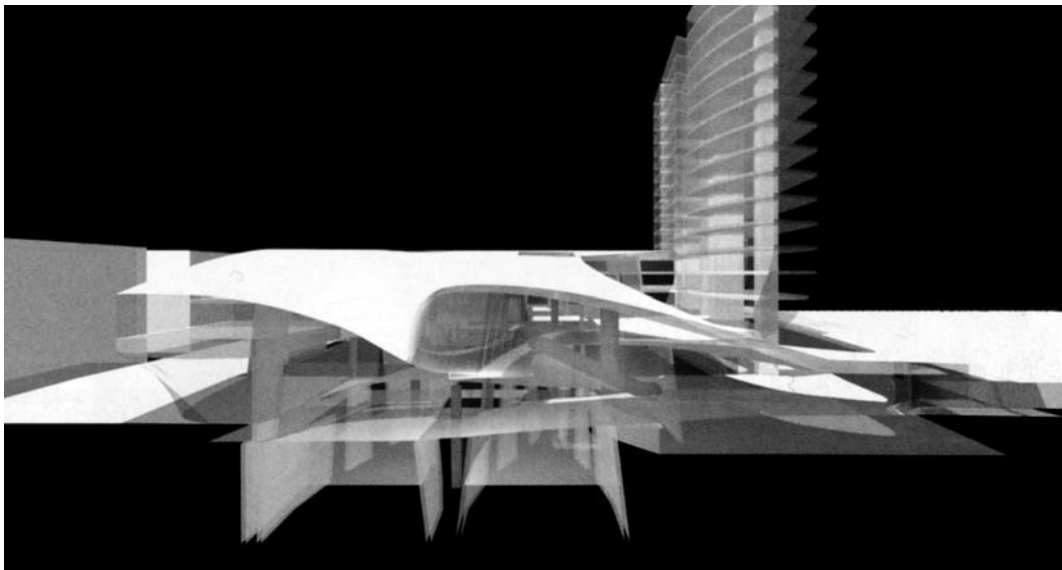
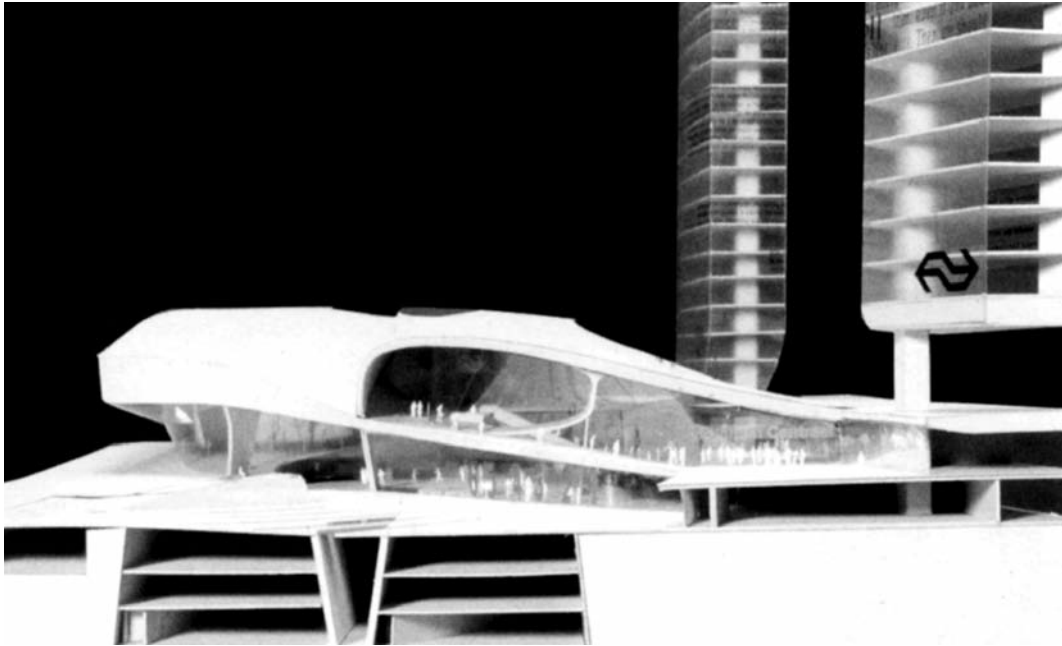


Abb. 1597: Ben van Berkel und Caroline Bos/UN Studio, Arnhem Central, Arnhem, Niederlande, 1996–2014. Präsentationsmodell mit Schnitt durch die Tiefgarage, Blick von Osten, Fotografie.
Abb. 1598: Schnittperspektive von Osten, Computerrendering.

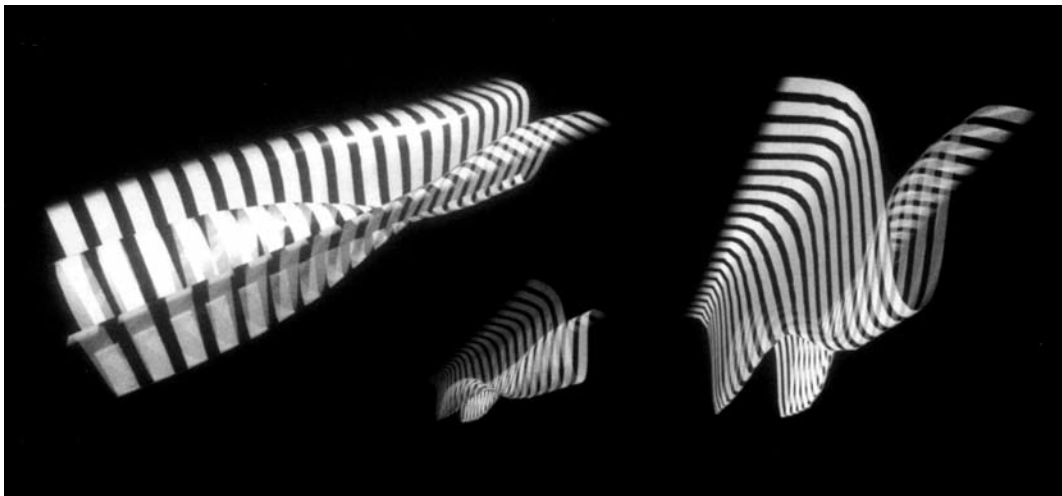
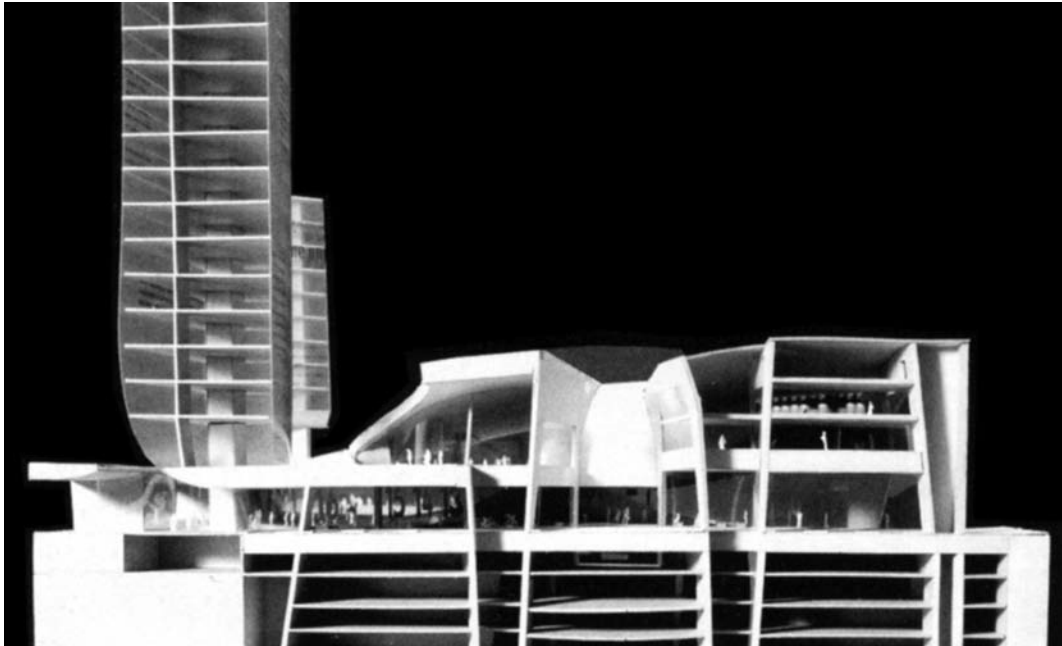
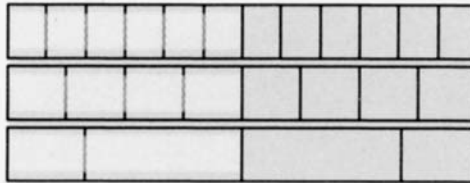


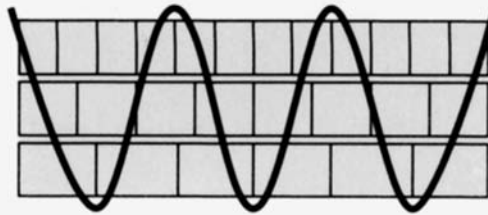
Abb. 1599: Ben van Berkel und Caroline Bos/UN Studio, Arnhem Central, Arnhem, Niederlande, 1996–2014. Schnittmodell, Blick von Westen, Fotografie.

Abb. 1600: Tragstruktur der V-Schächte. Links: Perspektive von Südwesten, Kombination aus zwei V-Schächten für den Westteil mit dreireihiger Tiefgarage, rechts und mittig: Perspektive von Südosten, ein V-Schacht für die Ostseite mit zweireihiger Tiefgarage, Computerrenderings.

Einzelne modulare Raster
Raster 1: Büros
Raster 2: öffentlicher Raum
Raster 3: Parkfläche



Überlagerung durch
integrierendes System



Integration sämtlicher
relevanter Parameter
in ein einziges System

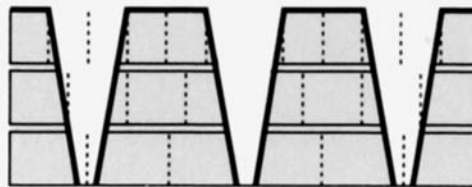


Abb. 1601: Ben van Berkel und Caroline Bos/UN Studio, Arnhem Central, Arnhem, Niederlande, 1996–2014. Diagramm zur Transformation des modularen Rasters in eine V-Struktur.

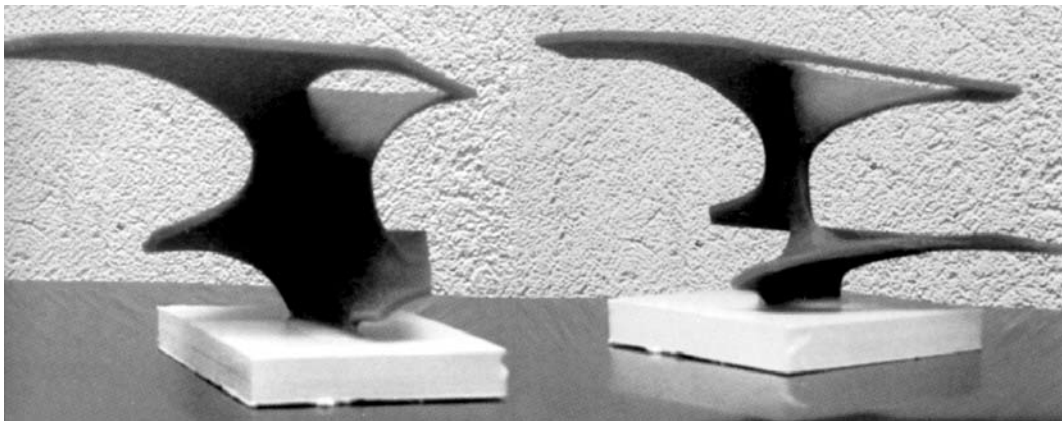
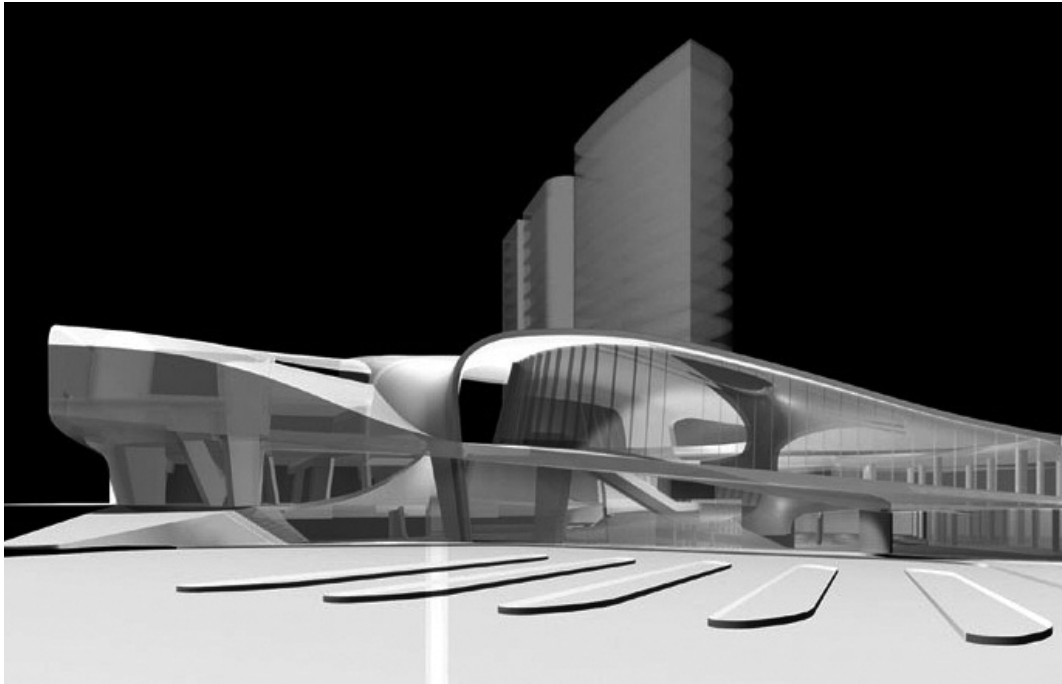


Abb. 1602: Ben van Berkel und Caroline Bos/UN Studio, Arnhem Central, Arnhem, Niederlande, 1996–2014. 3D-Modell, Perspektive, Ostseite, Computerrendering.
Abb. 1603: Modelle gefalteter Stützsysteme, Fotografie.

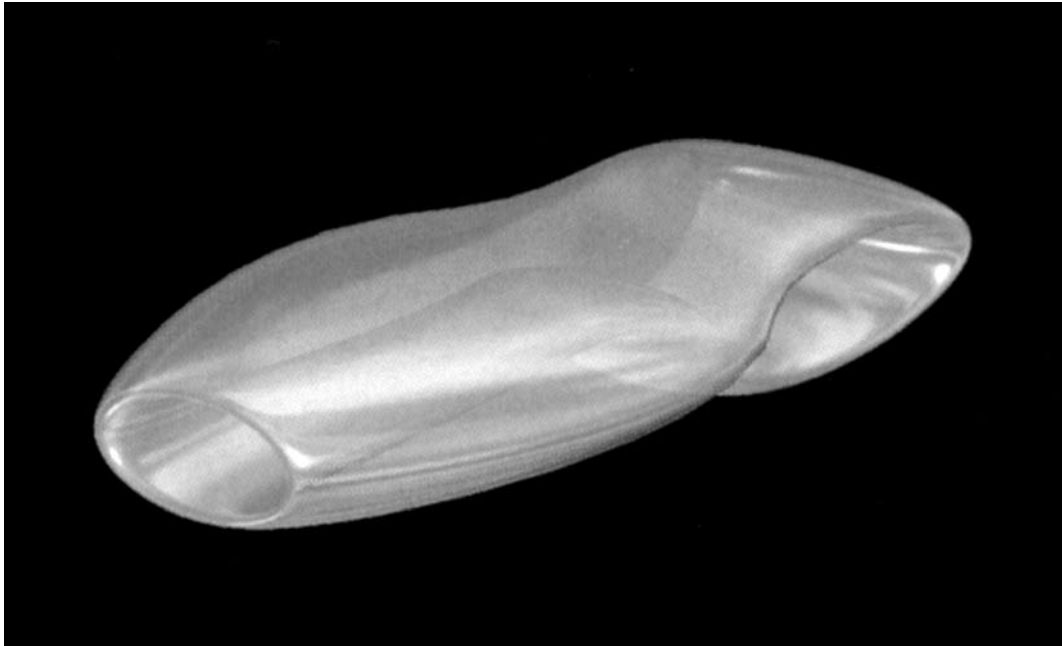


Abb. 1604: Ben van Berkel und Caroline Bos/UN Studio, Arnhem Central, Arnhem, Niederlande, 1996–2014. Mathematisches Modell „Kleinsche Flasche“ in abgeflachter Version als Analogie zur Raumorganisation, Computerrendering.

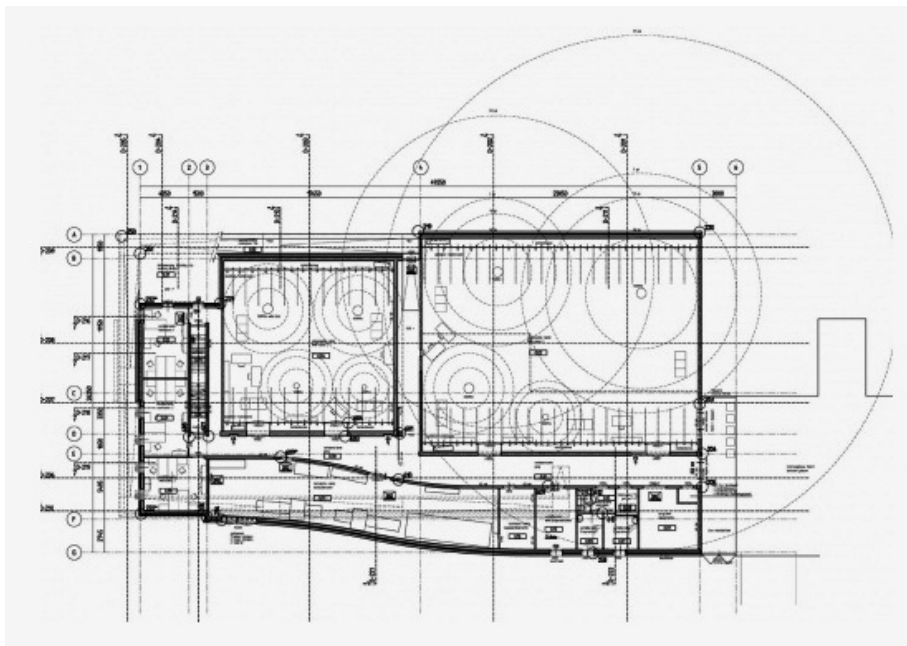
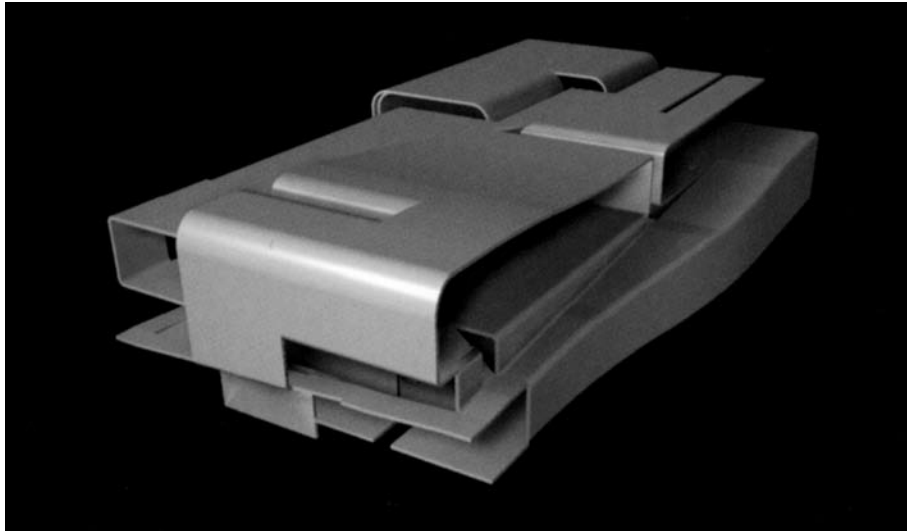


Abb. 1605: Ben van Berkel und Caroline Bos/UN Studio, NMR Facility, Utrecht, Niederlande, 1997–2000. 3D-Modell der gefalteten Betonfläche, Perspektive, Computerrendering.
Abb. 1606: Grundriss des ersten Obergeschosses mit Radien der Magnetfelder.



Abb. 1607: Mithilfe von NMR (Neutron Magnetic Resonance) entschlüsselte Molekularstrukturen als Analogie zur Betonhülle des NMR-Labors, abgebildet in: UN Studio: Evolution of Space, Ausstellungskatalog, Frankfurt/M. 2006, S. 96.



Abb. 1608: Rem Koolhaas/OMA, Educatorium, Utrecht, Niederlande, 1994–97. Nordwestseite, Fotografie (Ausschnitt).

Abb. 1609: Ben van Berkel und Caroline Bos/UN Studio, NMR Facility, Utrecht, Niederlande, 1997–2000. Nordwestseite, Fotografie.

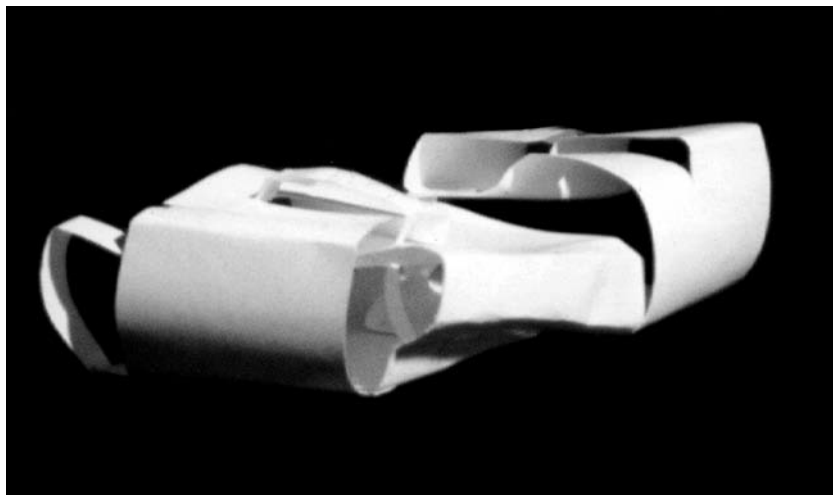
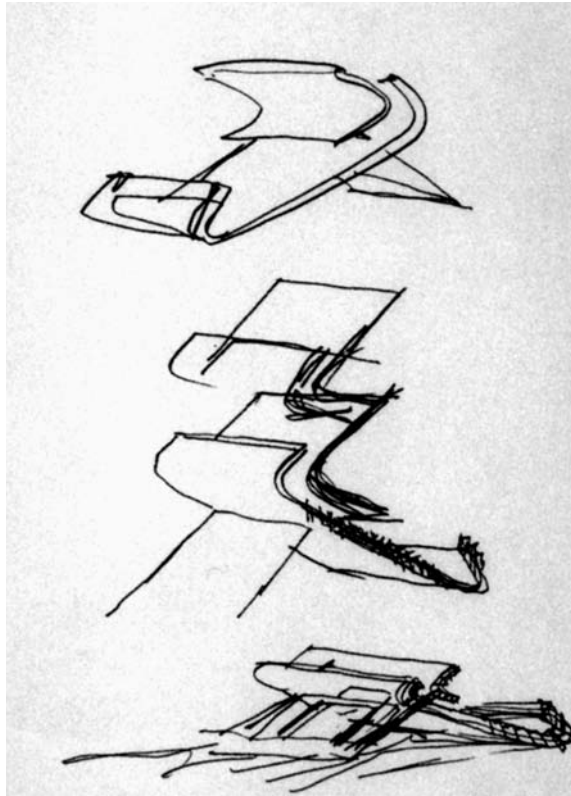


Abb. 1610: Claude Parent und Paul Virilio/Architecture Principe, Skizzen zur Verbindung umgekehrter Schrägen, 1965–67. Axonometrien, 29,7 x 21 cm.

Abb. 1611: Ben van Berkel und Caroline Bos/UN Studio, NMR Facility, Utrecht, Niederlande, 1997–2000. Papiermodell der Hülle, Fotografie.

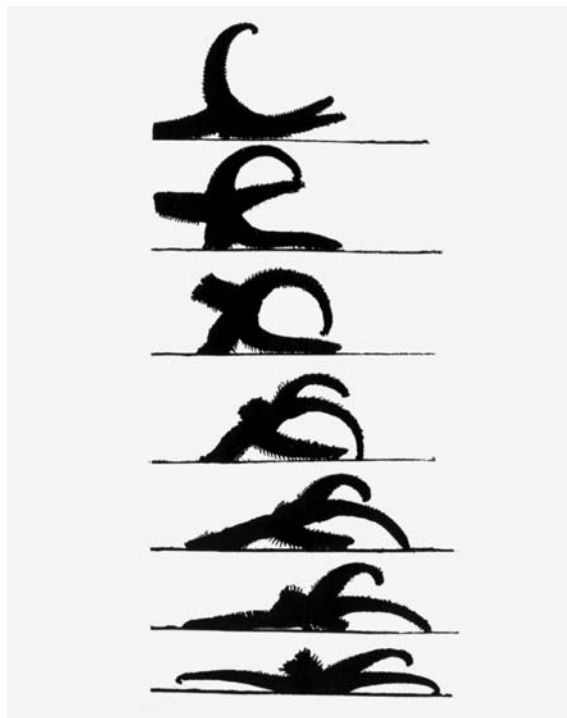
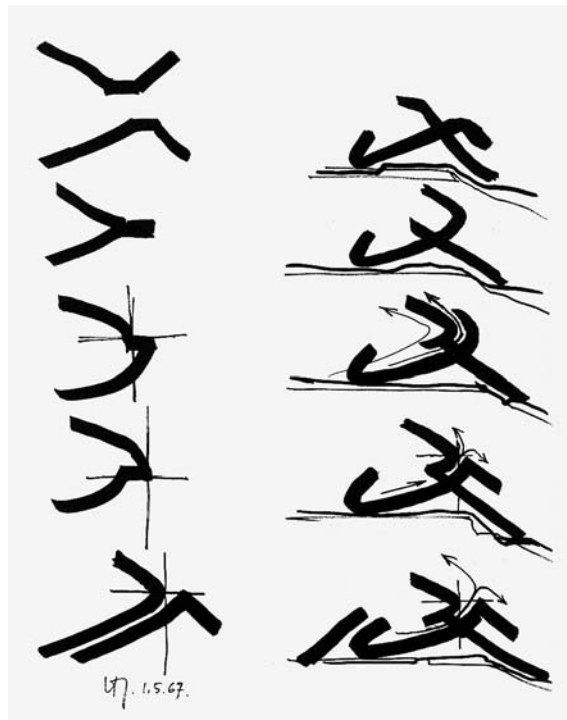


Abb. 1612: Claude Parent und Paul Virilio/Architecture Principe, Seuil de rétablissement, 1967. Schnittskizzen.

Abb. 1613: Ben van Berkel und Caroline Bos/UN Studio, NMR Facility, Utrecht, Niederlande, 1997–2000. Sich drehender Seestern als Analogie zur Betonhülle, bearb. Fotografie.

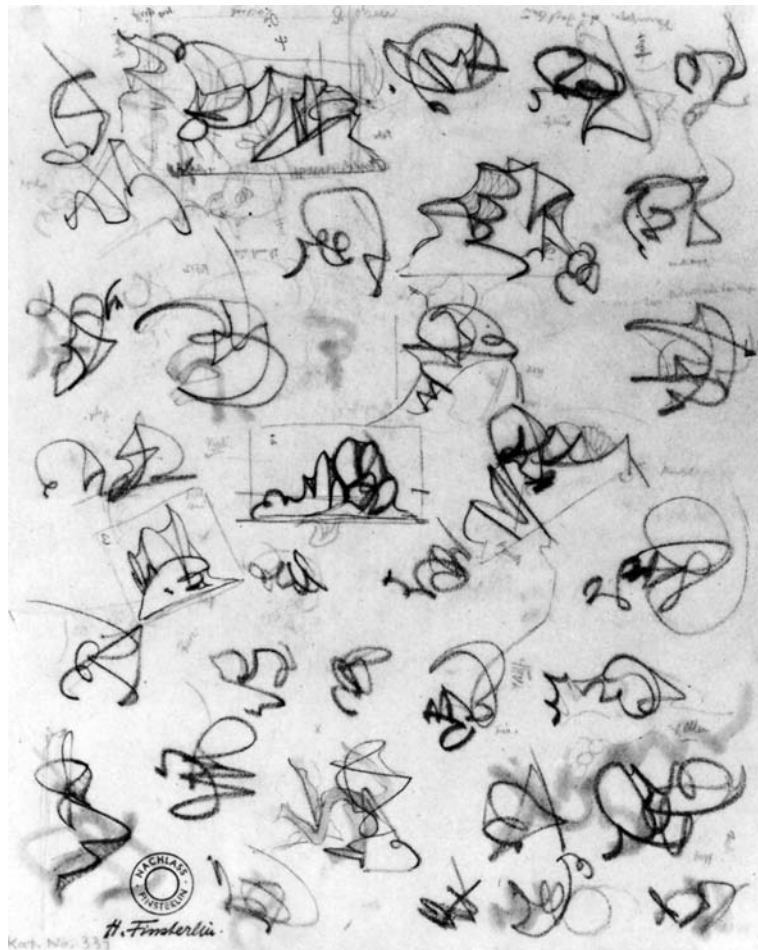


Abb. 1614: Hermann Finsterlin, Skizzen (recto und verso), um 1920, später bearbeitet. Bleistift, rote Kreide auf Transparentpapier, 32,0 x 25,5 cm.

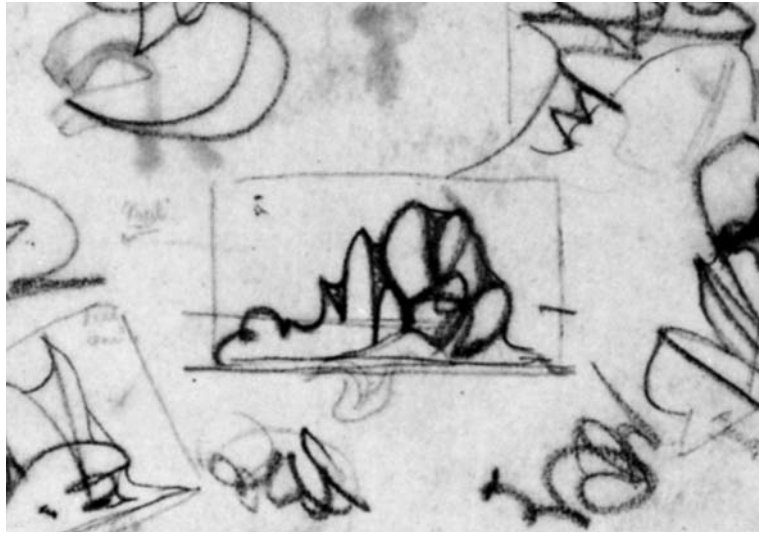


Abb. 1615 und 1616: Hermann Finsterlin, Skizzen (recto und verso), um 1920, später bearbeitet. Bleistift, rote Kreide auf Transparentpapier, 32,0 x 25,5 cm (Ausschnitt aus Abb. 1614).

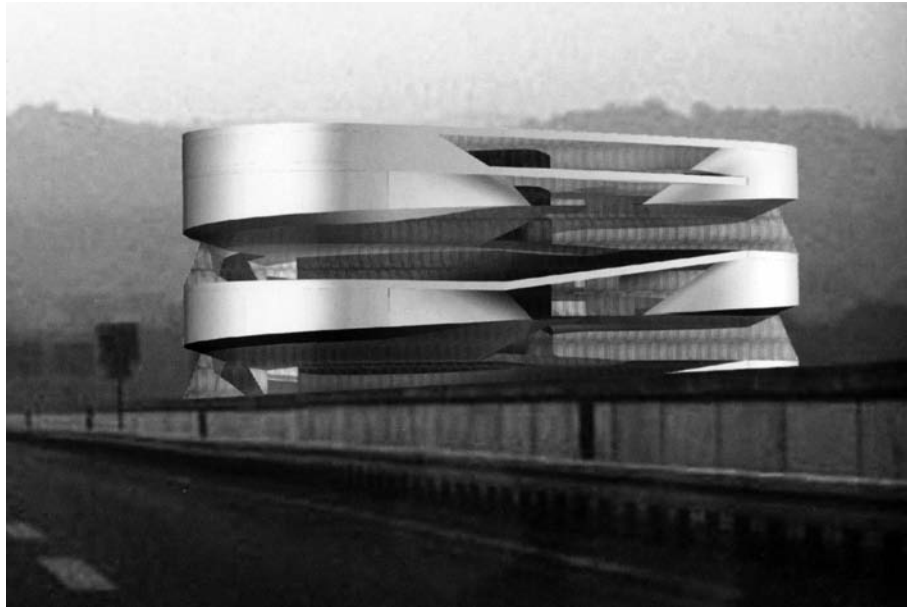


Abb. 1617: Ben van Berkel und Caroline Bos/UN Studio, Mercedes-Benz Museum, Stuttgart, Deutschland, 2001–06. 3D-Modell mit Umgebung, Perspektive, Montage aus Computerrendering und Fotografie (Ausschnitt).

Abb. 1618: Ben van Berkel und Caroline Bos/UN Studio, Mediathek, New Orleans, USA, Entwurf 2005. 3D-Modell mit Umgebung, Perspektive.

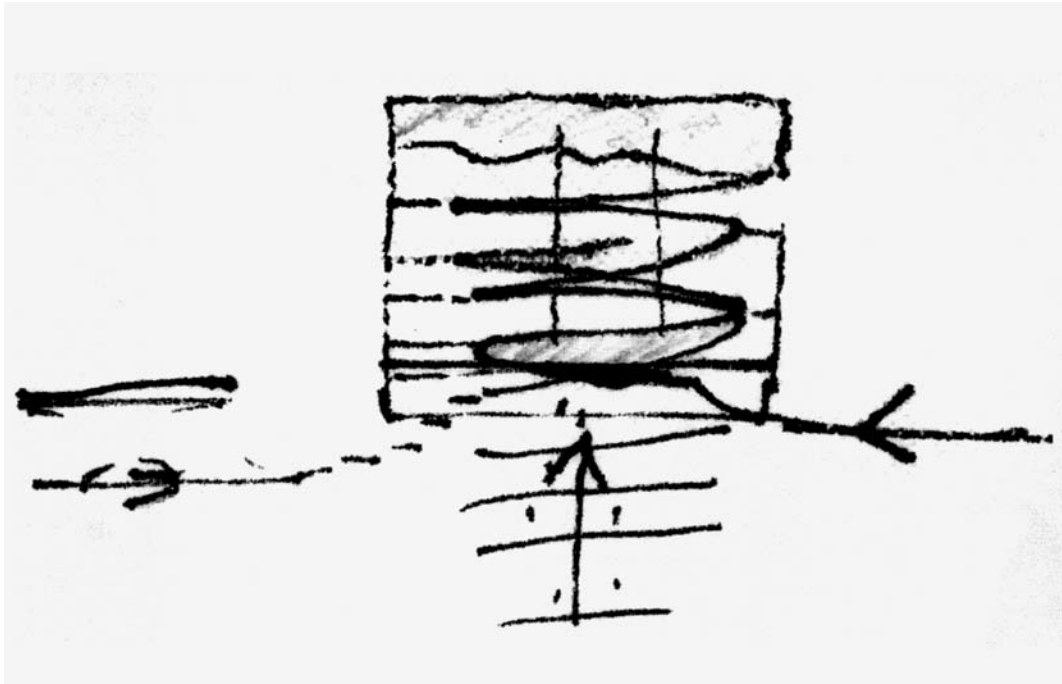


Abb. 1619: Ben van Berkel und Caroline Bos/UN Studio, Mercedes-Benz Museum, Stuttgart, Deutschland, 2001–06. Erste Entwurfsskizze des erweiterten geometrischen Modells auf der Rückseite einer Strumpfhosenverpackung.

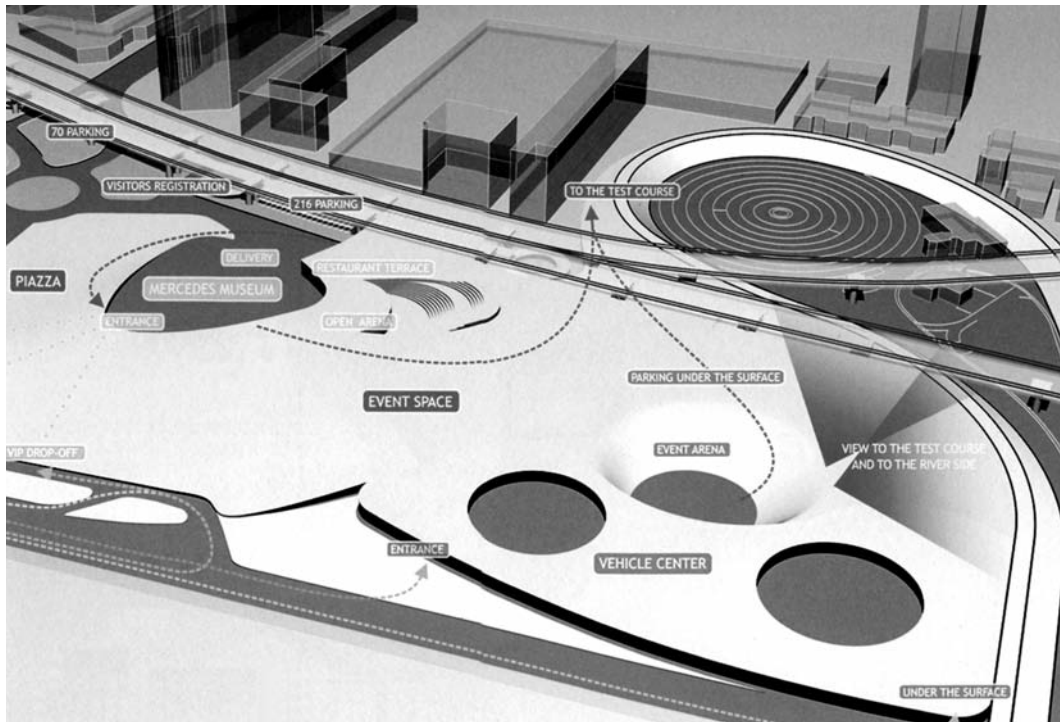


Abb. 1620: Ben van Berkel und Caroline Bos/UN Studio, Mercedes-Benz Museum, Stuttgart, Deutschland, 2001–06. Plateau als verbindendes Element, Axonometrie, Computerrendering.

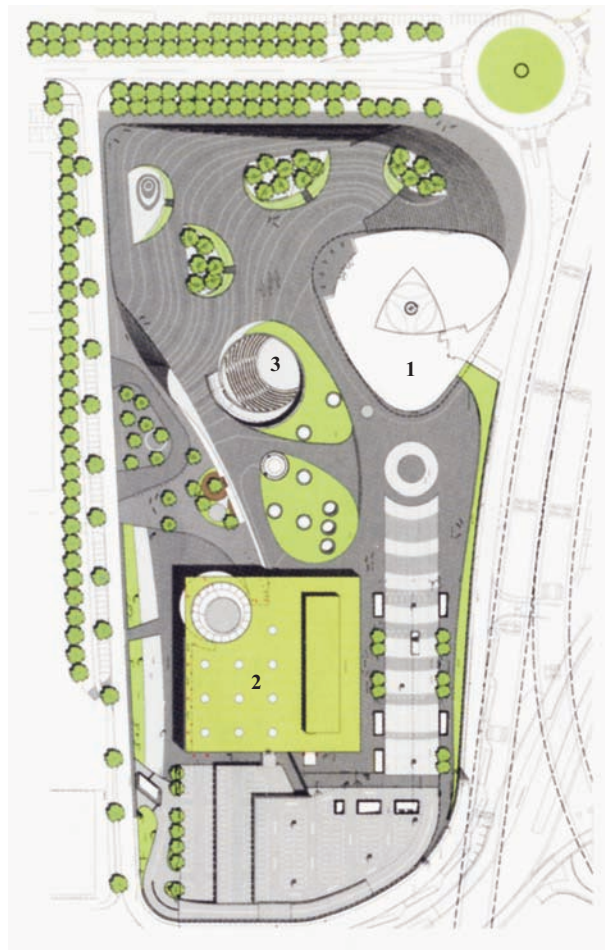


Abb. 1621: Ben van Berkel und Caroline Bos/UN Studio, Mercedes-Benz Museum, Stuttgart, Deutschland, 2001–06. Lageplan mit Museum von UN Studio (1), Mercedes-Benz Center von Kohlbecker Architekten (2) und Freiluftarena (3) (Nummerierung von der Verf.).



Abb. 1622: Ben van Berkel und Caroline Bos/UN Studio, Mercedes-Benz Museum, Stuttgart, Deutschland, 2001–06. 3D-Modell der Gesamtanlage mit Umgebung, Nordwestseite, Vogelperspektive, Montage aus Computerrendering und Fotografie.

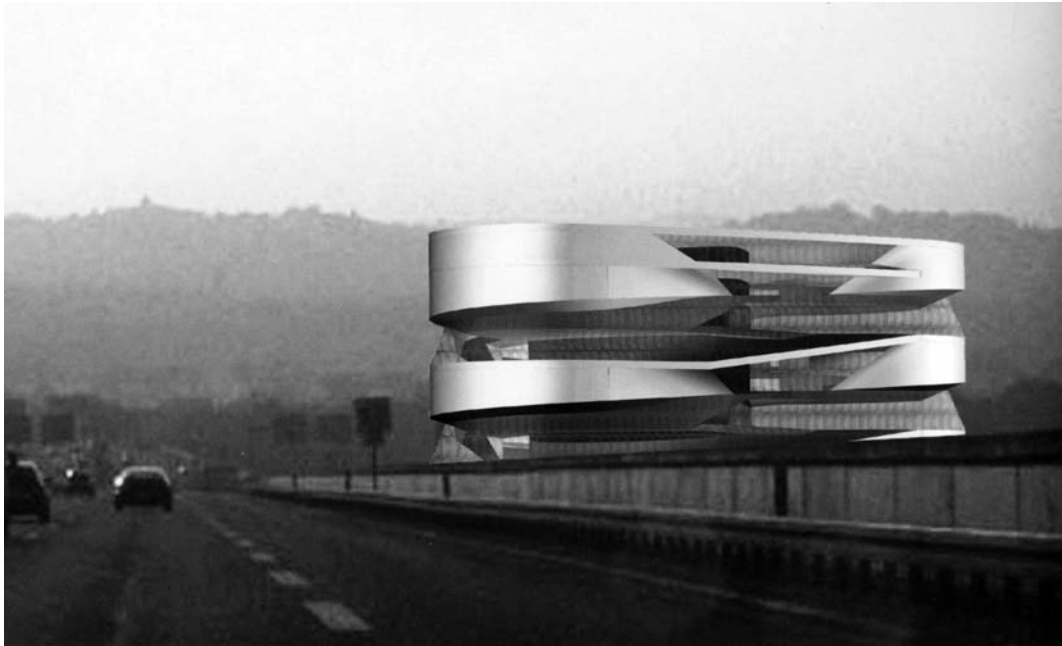


Abb. 1623: Ben van Berkel und Caroline Bos/UN Studio, Mercedes-Benz Museum, Stuttgart, Deutschland, 2001–06. Museum als neuer Städteneingang. 3D-Modell mit Umgebung, Perspektive, Montage aus Computerrendering und Fotografie.

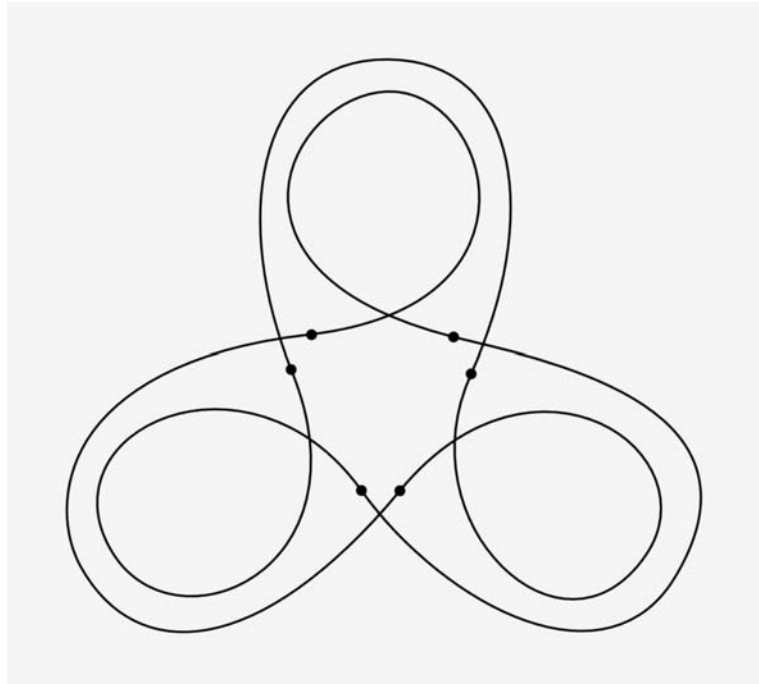


Abb. 1624: Ben van Berkel und Caroline Bos/UN Studio, Mercedes-Benz Museum, Stuttgart, Deutschland, 2001–06. Organisationsform Kleeblatt, Computerzeichnung.

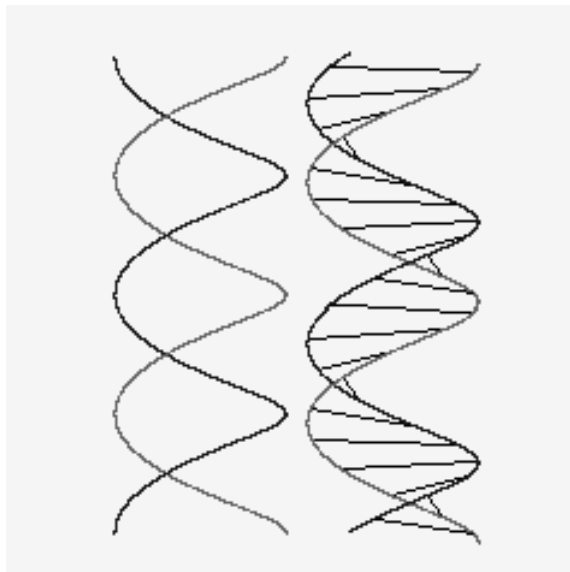
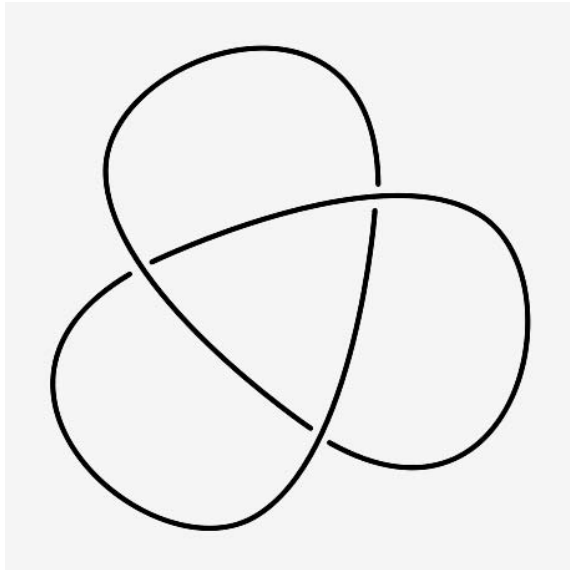


Abb. 1625: Kleeblattknoten, Computerzeichnung.

Abb. 1626: Zweigängige Schraube und DNA-Doppelhelix, Ansicht, Computerzeichnung.

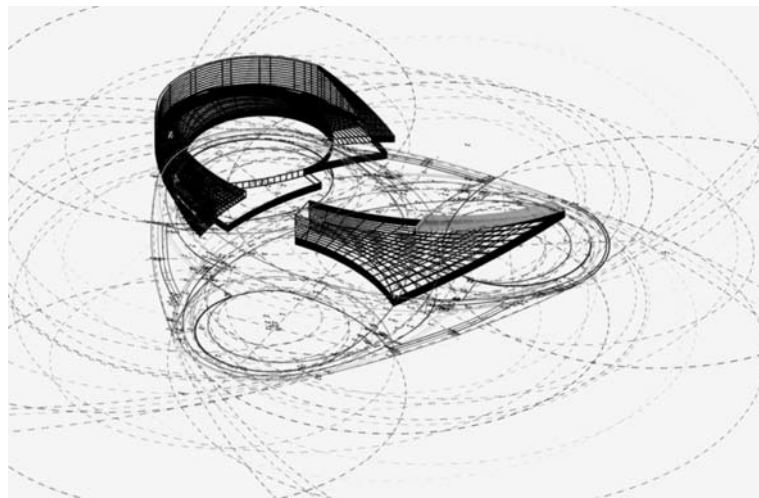
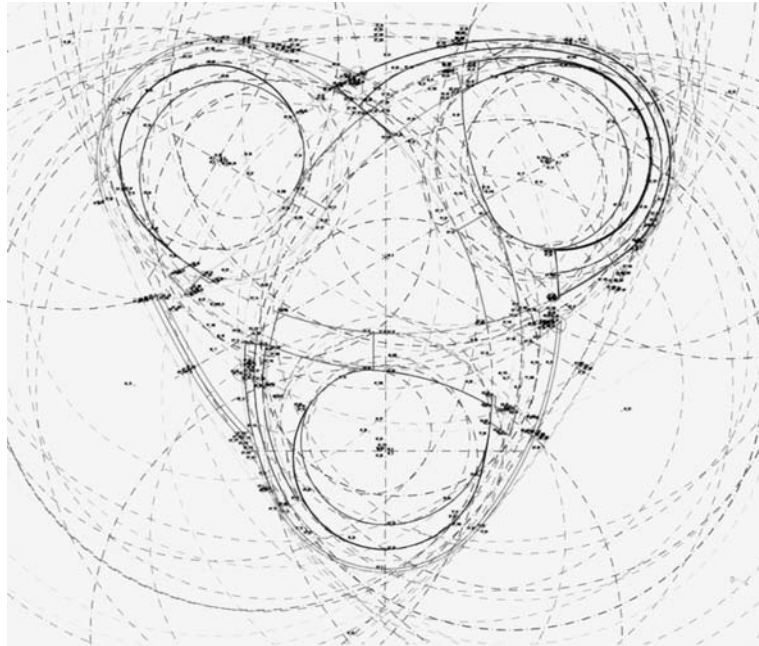


Abb. 1627: Ben van Berkel und Caroline Bos/UN Studio, Mercedes-Benz Museum, Stuttgart, Deutschland, 2001–06. Geometrisches System tangential verbundener Kreise und Kreisbögen, schematischer Grundriss, Computerzeichnung.

Abb. 1628: Geometrisches System tangential verbundener Kreise und Kreisbögen, Axonometrie von Ringträger und „Twist“ auf schematischem Grundriss, Computerzeichnung.

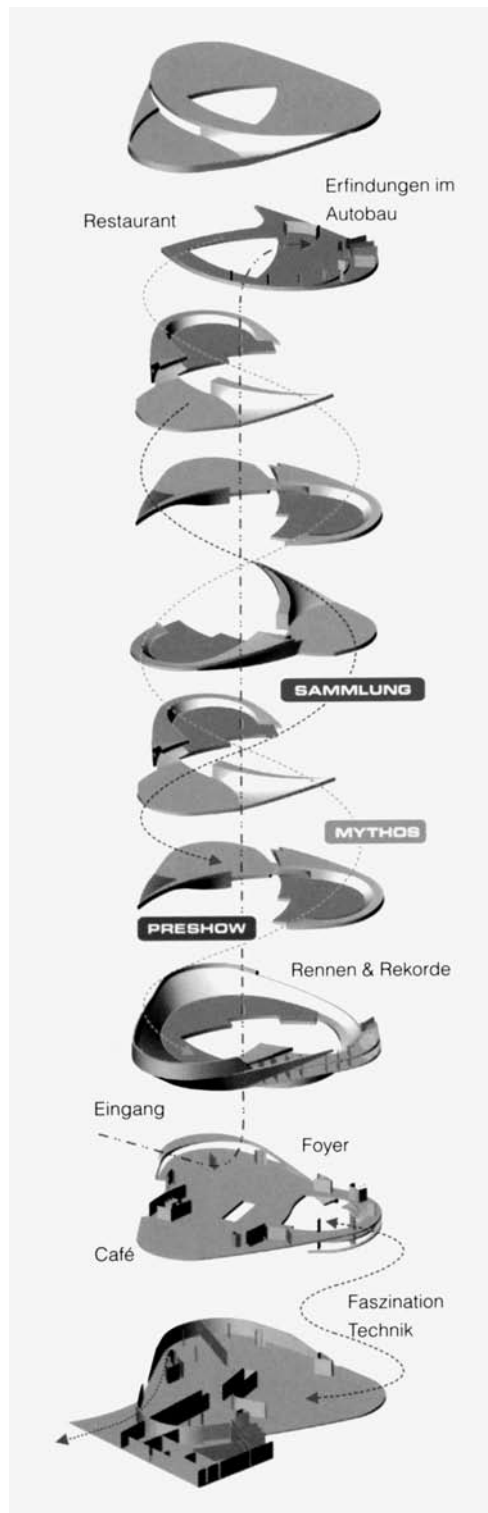


Abb. 1629: Ben van Berkel und Caroline Bos/UN Studio, Mercedes-Benz Museum, Stuttgart, Deutschland, 2001–06. Mythen- und Sammlungsebenen, verbunden durch zwei schraubenartig geführte Promenaden, Explosionsaxonometrie, Computerrendering.

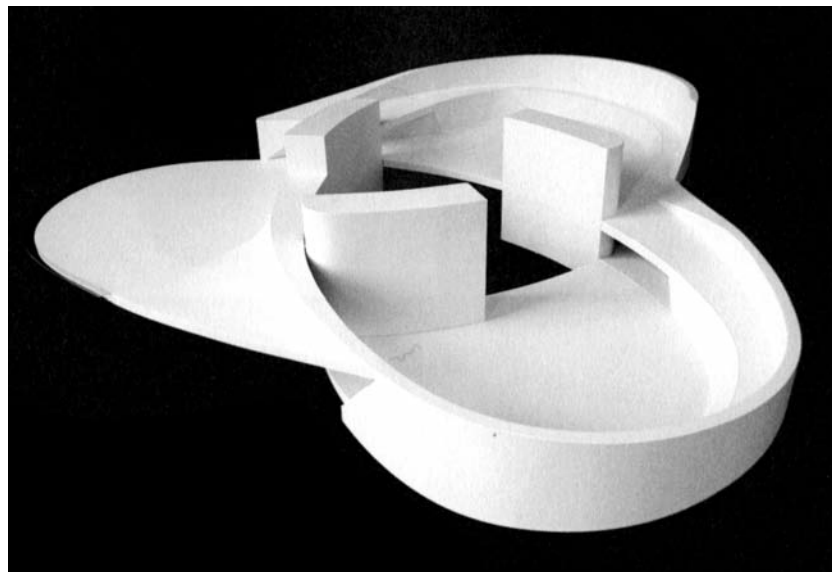
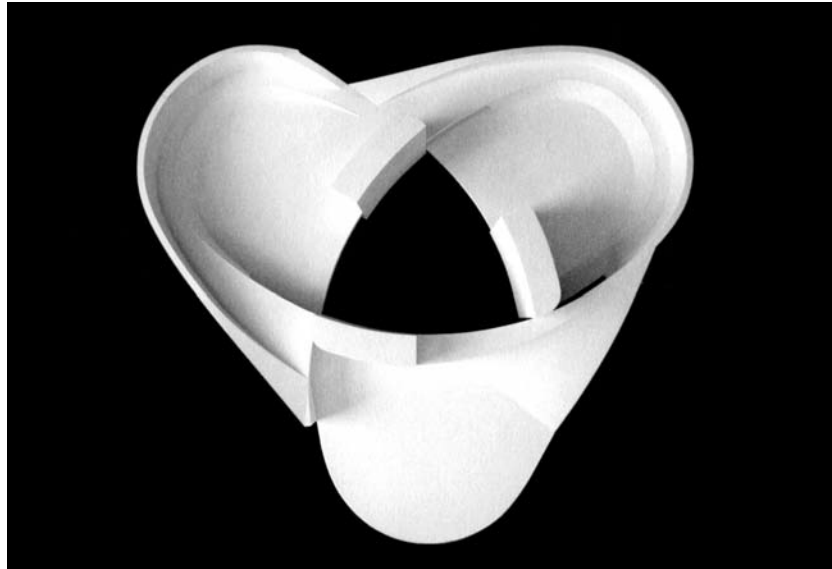


Abb. 1630: Ben van Berkel und Caroline Bos/UN Studio, Mercedes-Benz Museum, Stuttgart, Deutschland, 2001–06. Modell eines Geschossmoduls, Blick von oben, Fotografie.
Abb. 1631: Modell eines Geschossmoduls, Blick von der Seite, Fotografie.

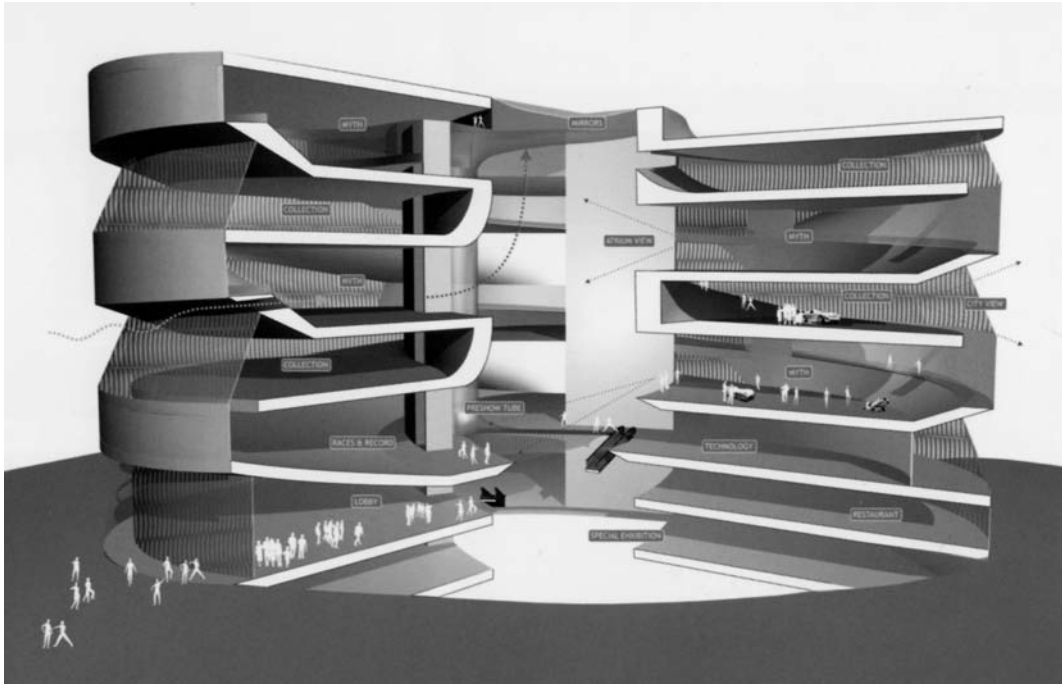
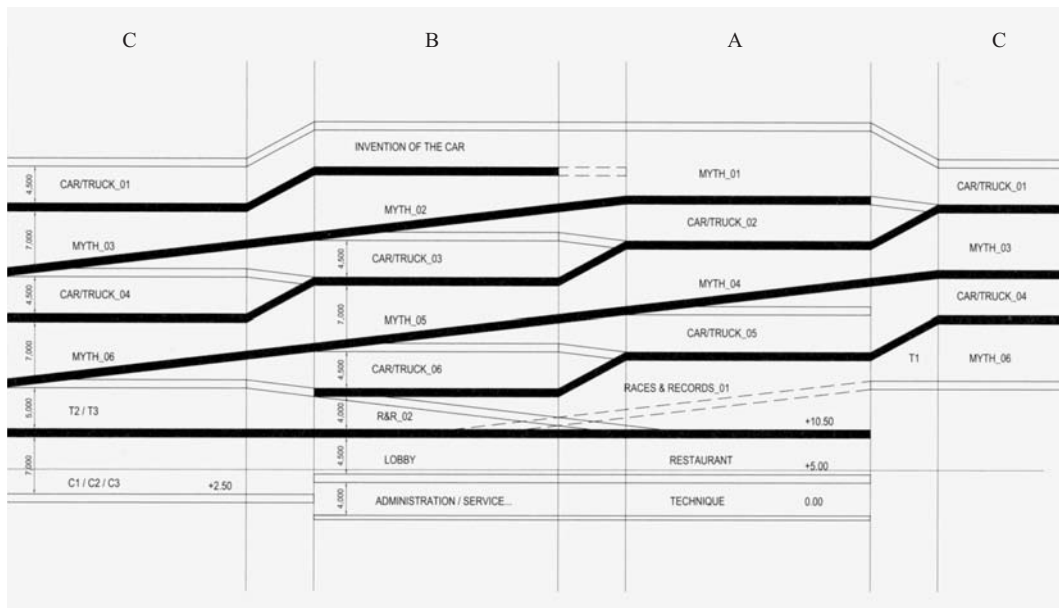


Abb. 1632: Ben van Berkel und Caroline Bos/UN Studio, Mercedes-Benz Museum, Stuttgart, Deutschland, 2001–06. 3D-Modell, Schnittperspektive, Computerrendering.



A = Nordwestflügel
 B = Nordostflügel
 C = Südlicher Flügel

Abb. 1633: Ben van Berkel und Caroline Bos/UN Studio, Mercedes-Benz Museum, Stuttgart, Deutschland, 2001–06. Abgewickelter Schnitt der nebeneinandergelegten Blätter des Kleeblattes.

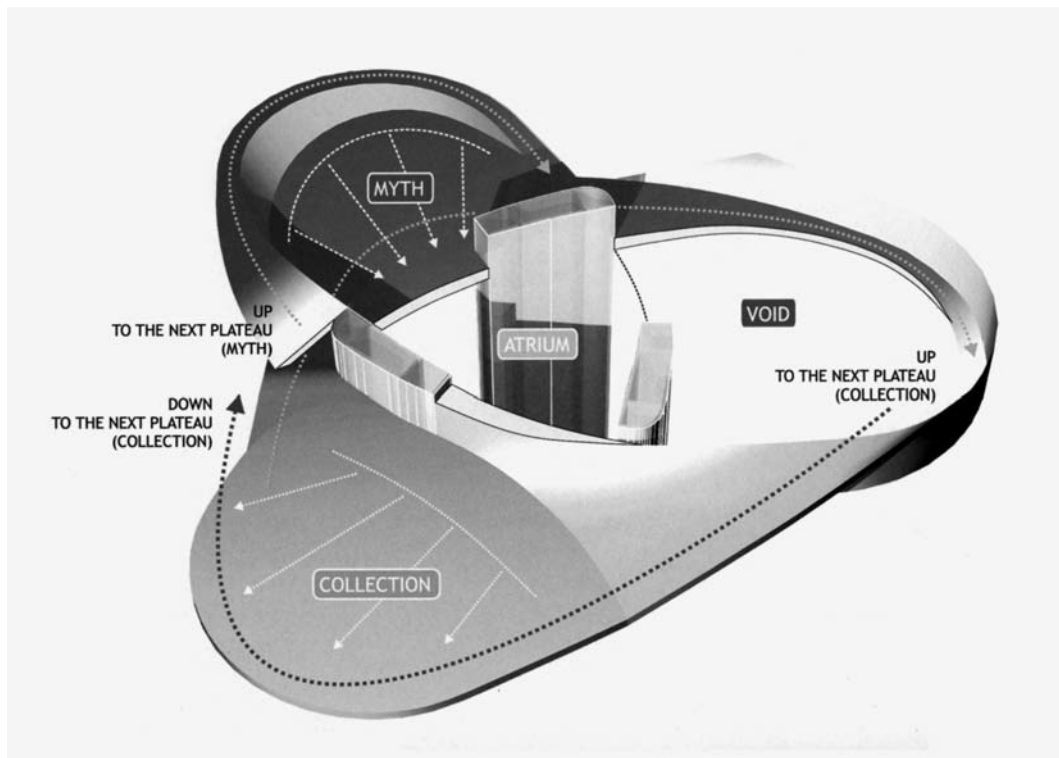
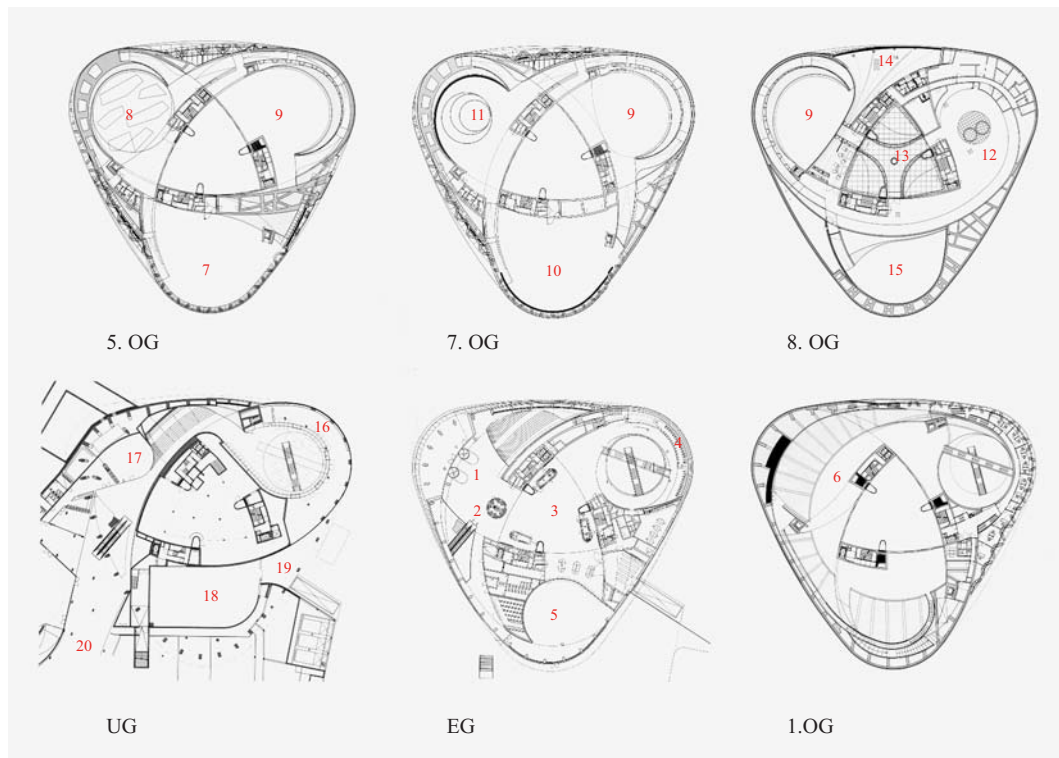


Abb. 1634: Ben van Berkel und Caroline Bos/UN Studio, Mercedes-Benz Museum, Stuttgart, Deutschland, 2001–06. Geschossmodul, bestehend aus Mythos- und Sammlungsebene, Axonometrie, Computerrendering.



- 1 Eingang
- 2 Infotheke/Kasse
- 3 Atrium
- 4 Café
- 5 Wechselausstellung
- 6 „Rennen & Rekorde“
- 7 Sammlung 4: „Galerie der Namen“
- 8 Mythos 5: „Vordenker – Sicherheit und Umwelt“
- 9 Luftraum
- 10 Sammlung 1: „Galerie der Reisen“
- 11 Mythos 2: „Mercedes – Die Geburt der Marke“
- 12 Mythos 1: „Pioniere – Die Erfindung des Automobils“
- 13 „Pre-Show“
- 14 Eventbereich
- 15 Dachterrasse
- 16 „Faszination Technik“
- 17 Kinderbereich
- 18 Depot
- 19 Anlieferung
- 20 Übergang zum MB-Center

Abb. 1635: Ben van Berkel und Caroline Bos/UN Studio, Mercedes-Benz Museum, Stuttgart, Deutschland, 2001–06. Grundrisse.



Abb. 1636: Ben van Berkel und Caroline Bos/UN Studio, Mercedes-Benz Museum, Stuttgart, Deutschland, 2001–06. Blick in einen Mythosraum auf Besucherrampe und Ausstellungsebene, Fotografie.



Abb. 1637: Ben van Berkel und Caroline Bos/UN Studio, Mercedes-Benz Museum, Stuttgart, Deutschland, 2001–06. Blick auf Abgang Sammlungsrundgang über „Twist“, Fotografie.



Abb. 1638: Ben van Berkel und Caroline Bos/UN Studio, Mercedes-Benz Museum, Stuttgart, Deutschland, 2001–06. Blick in das kleine Atrium, erstes Obergeschoss, Fotografie.

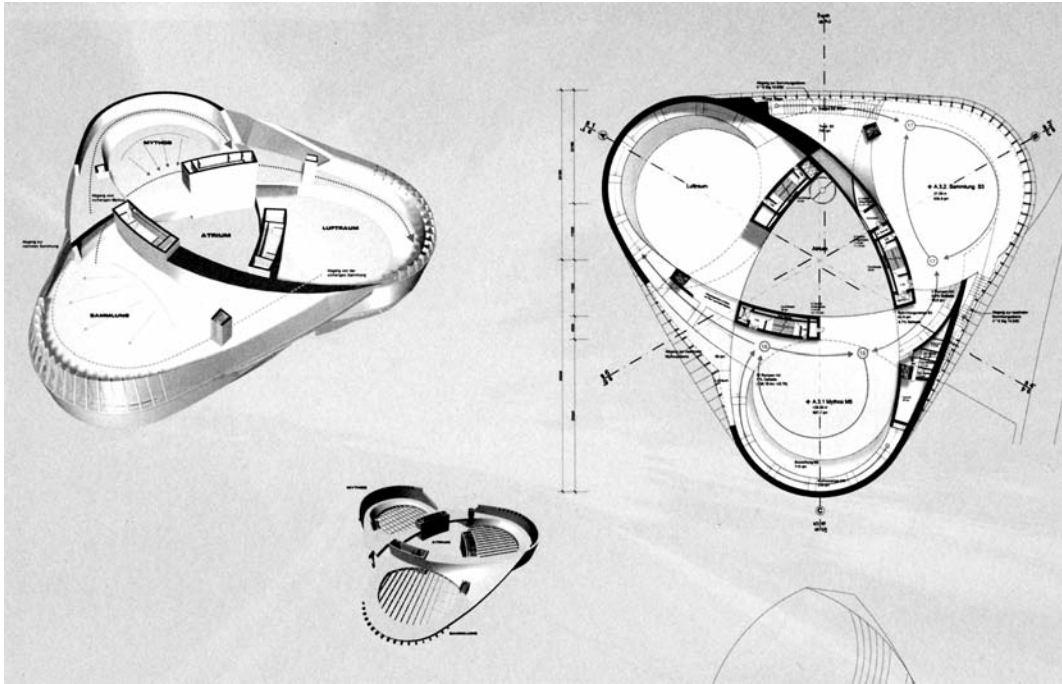


Abb. 1639: Ben van Berkel und Caroline Bos/UN Studio, Mercedes-Benz Museum, Stuttgart, Deutschland, 2001–06. Regelgeschoss, Ebene 4 bis 6, Axonometrie und Aufsicht, Computerrendering.

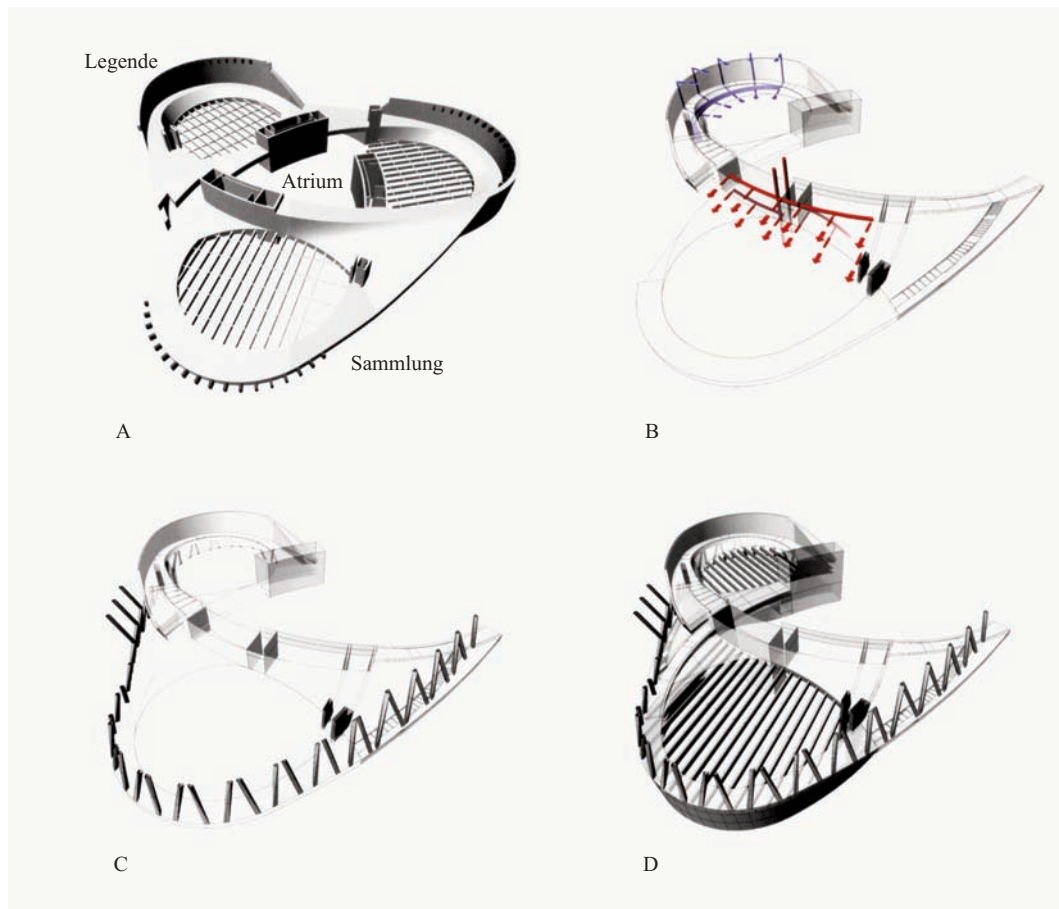


Abb. 1640: Ben van Berkel und Caroline Bos/UN Studio, Mercedes-Benz Museum, Stuttgart, Deutschland, 2001–06. Diagramme der integrierten Konstruktion, der Be- und Entlüftung sowie der technischen Installationen: Geschossmodul mit integrierter Tragstruktur (A), Richtung des Luftstroms (B), Anordnung der Stützen (C), Fundamente (D), Computerrenderings.

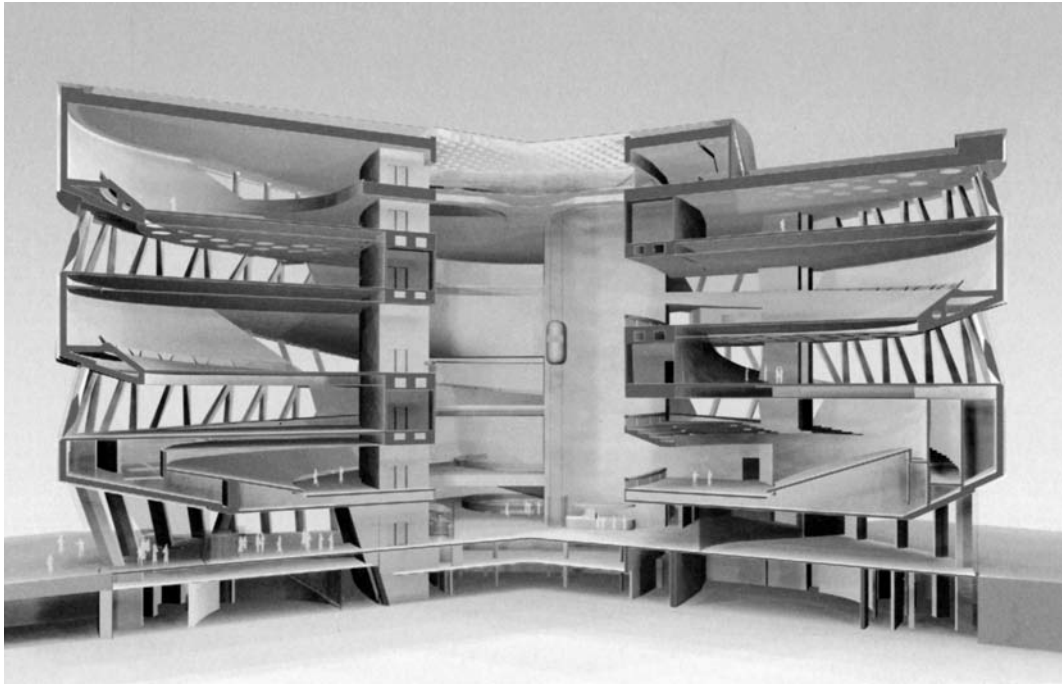


Abb. 1641: Ben van Berkel und Caroline Bos/UN Studio, Mercedes-Benz Museum, Stuttgart, Deutschland, 2001–06. 3D-Modell, Schnittperspektive, Computerrendering.

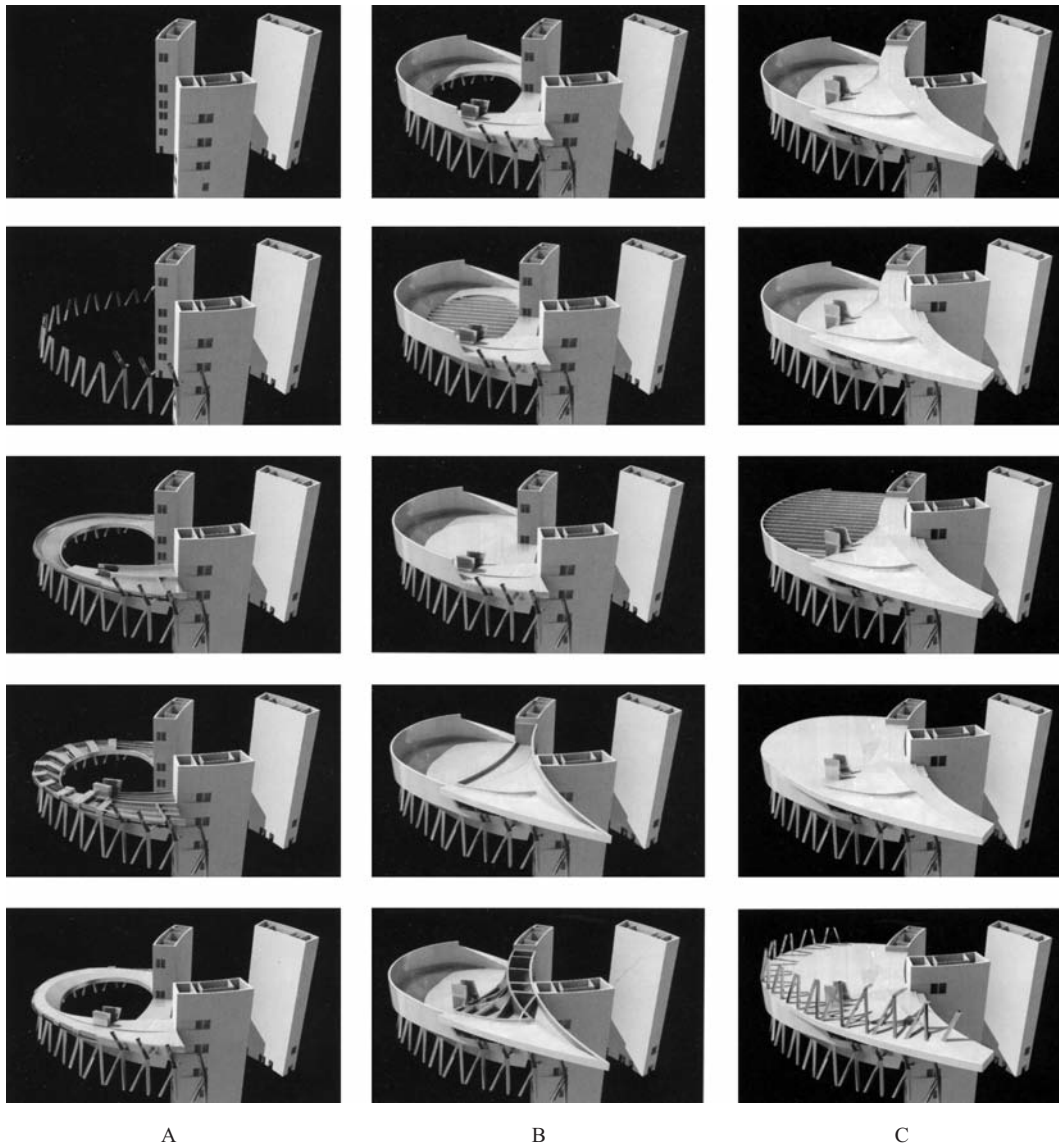


Abb. 1642: Ben van Berkel und Caroline Bos/UN Studio, Mercedes-Benz Museum, Stuttgart, Deutschland, 2001–06. Abfolge der Rohbauarbeiten (von links oben nach rechts unten). Linke Spalte (A): Treppenkerne, Stützen der Sammlungsebene und Ringträger der Mythosebene, mittlere Spalte (B): aufgehende Außenwand am Ringträger, Geschossdecke und „Twist“, rechte Spalte (C): „Twist“, Geschossdecke und Stützen der Sammlungsebene, Perspektiven, Computerrenderings.

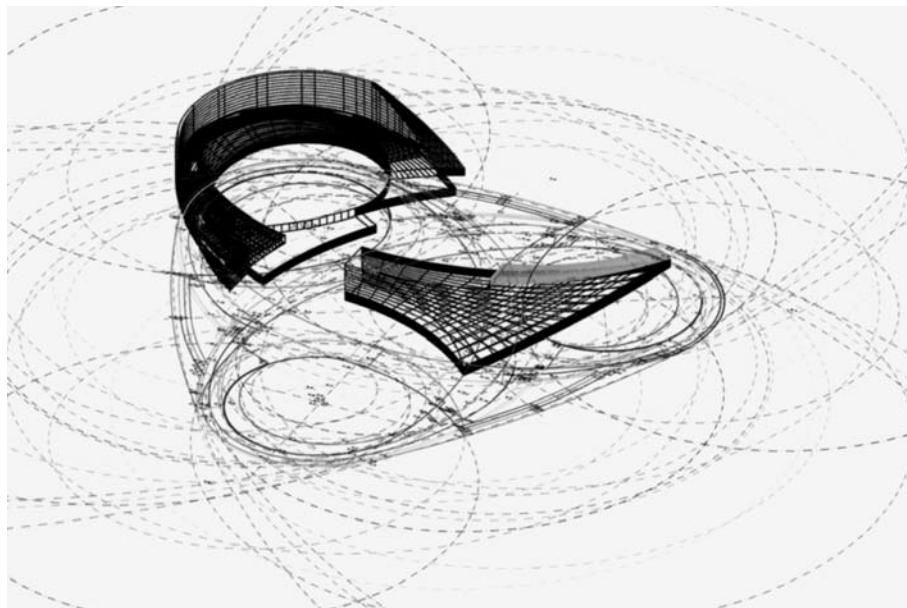
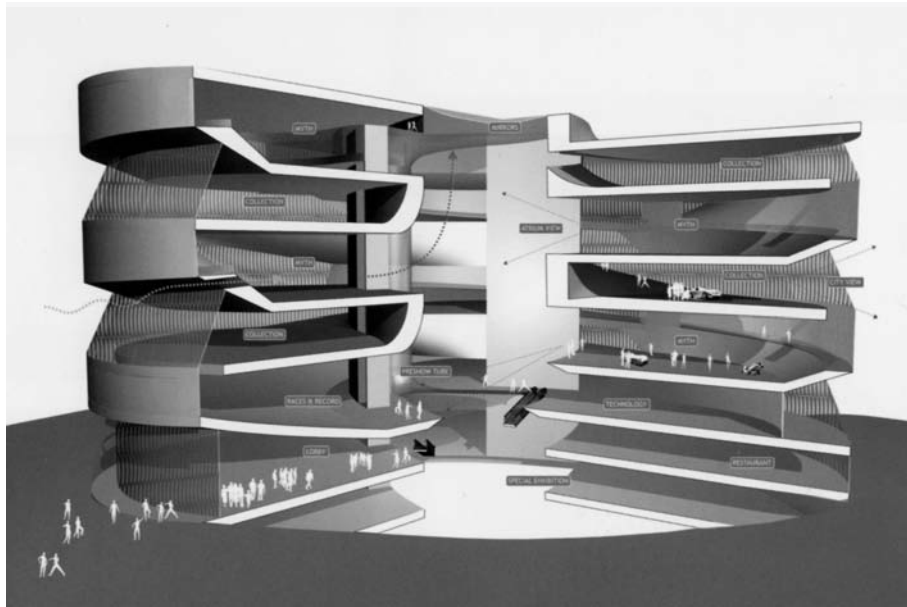


Abb. 1643: Ben van Berkel und Caroline Bos/UN Studio, Mercedes-Benz Museum, Stuttgart, Deutschland, 2001–06. 3D-Modell, Schnittperspektive, Computerrendering.

Abb. 1644: Geometrisches System tangential verbundener Kreise und Kreisbögen, Axonometrie von Ringträger und „Twist“ auf schematischem Grundriss, Computerzeichnung



Abb. 1645: Ben van Berkel und Caroline Bos/UN Studio, Mercedes-Benz Museum, Stuttgart, Deutschland, 2001–06. Museum im Bau (November 2005), Blick vom Atrium auf „Twist“, Fotografie.



Abb. 1646: Ben van Berkel und Caroline Bos/UN Studio, Mercedes-Benz Museum, Stuttgart, Deutschland, 2001–06. Blick auf Abgang Sammlungsrundgang über „Twist“, Fotografie.

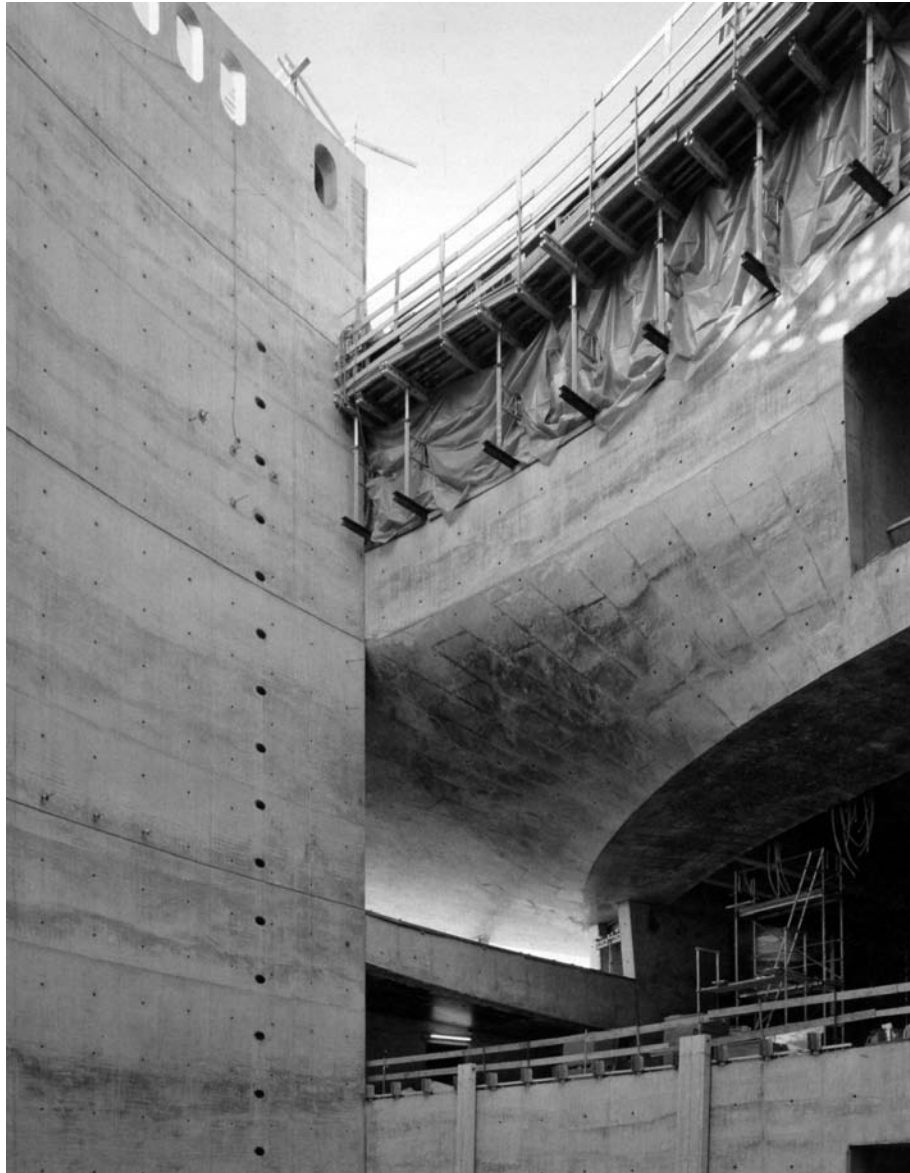


Abb. 1647: Ben van Berkel und Caroline Bos/UN Studio, Mercedes-Benz Museum, Stuttgart, Deutschland, 2001–06. Museum im Bau, Blick auf Anschluss eines „Twists“ an einen Treppenkern, Fotografie.



Abb. 1648: Ben van Berkel und Caroline Bos/UN Studio, Mercedes-Benz Museum, Stuttgart, Deutschland, 2001–06. Blick auf Fensterfront der Sammlungsebene, Fotografie.



Abb. 1649: Ben van Berkel und Caroline Bos/UN Studio, Mercedes-Benz Museum, Stuttgart, Deutschland, 2001–06. Museum im Bau, Blick in das Atrium, Fotografie.



Abb. 1650: Ben van Berkel und Caroline Bos/UN Studio, Mercedes-Benz Museum, Stuttgart, Deutschland, 2001–06. Museum im Bau, Blick in das Atrium und auf die Unterseite eines „Twists“, Fotografie.



Abb. 1651: Ben van Berkel und Caroline Bos/UN Studio, Mercedes-Benz Museum, Stuttgart, Deutschland, 2001–06. Südostseite, Fotografie.

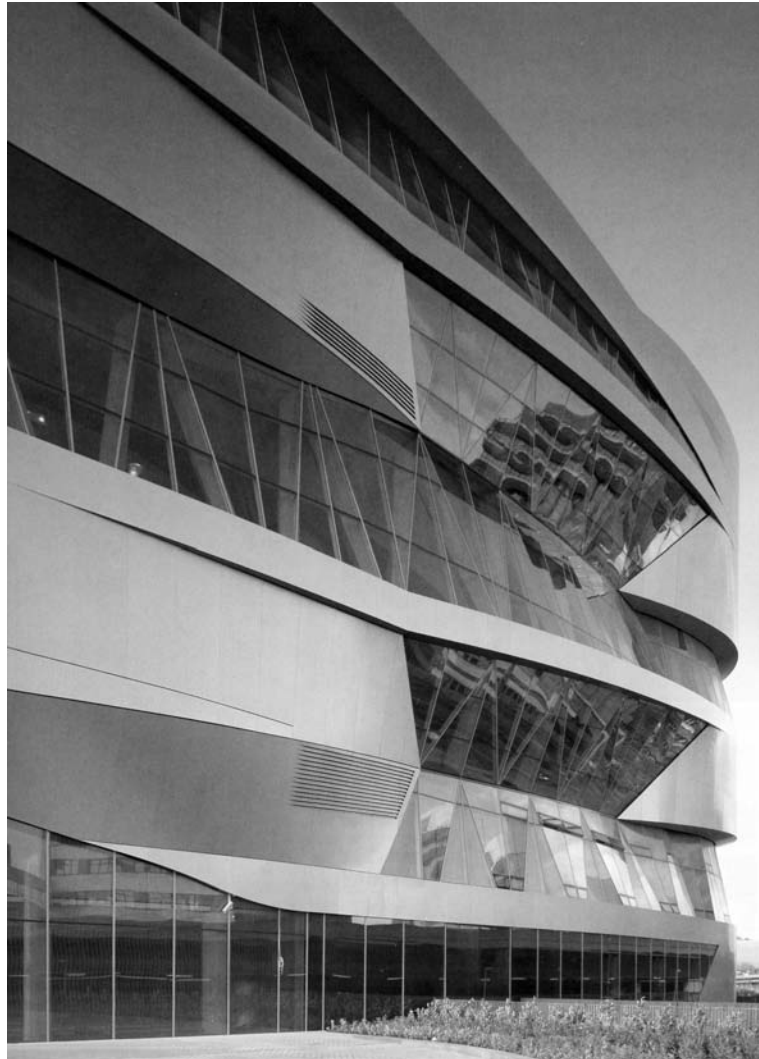


Abb. 1652: Ben van Berkel und Caroline Bos/UN Studio, Mercedes-Benz Museum, Stuttgart, Deutschland, 2001–06. Ostseite, Fotografie.



Abb. 1653: Ben van Berkel und Caroline Bos/UN Studio, Mercedes-Benz Museum, Stuttgart, Deutschland, 2001–06. Blick auf das Gesamtgelände, Nordseite, Fotografie.

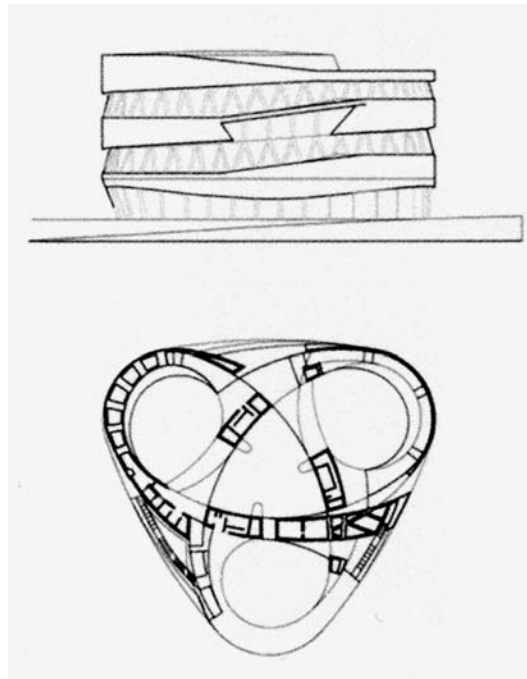
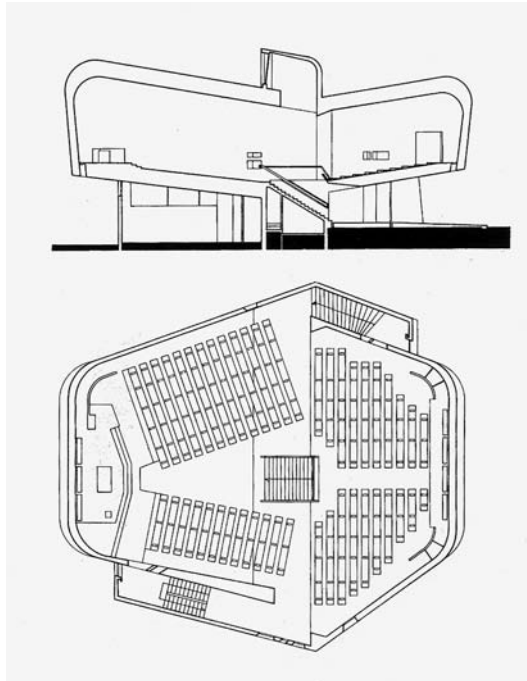


Abb. 1654: Claude Parent und Paul Virilio/Architecture Principe, Église Sainte-Bernadette du Banlay, Nevers, Frankreich, 1963–66. Längsschnitt, 79 x 96 cm, und Grundriss des ersten Obergeschosses, 79 x 99,5 cm, Tinte auf Transparentpapier.

Abb. 1655: Ben van Berkel und Caroline Bos/UN Studio, Mercedes-Benz Museum, Stuttgart, Deutschland, 2001–06. Schematische Ansicht und Grundriss.



Abb. 1656: Claude Parent und Paul Virilio/Architecture Principe, Église Sainte-Bernadette du Banlay, Nevers, Frankreich, 1963–66. Kirche im Bau, Südwestseite, Fotografie.

Abb. 1657: Ben van Berkel und Caroline Bos/UN Studio, Mercedes-Benz Museum, Stuttgart, Deutschland, 2001–06. Museum im Bau, Blick auf Anschluss eines „Twists“ an Treppen Kern, Fotografie.



Abb. 1658: Claude Parent und Paul Virilio/Architecture Principe, Église Sainte-Bernadette du Banlay, Nevers, Frankreich, 1963–66. Kirchenraum im Bau, Blick auf Nebenrampe, Fotografie (Ausschnitt).

Abb. 1659: Ben van Berkel und Caroline Bos/UN Studio, Mercedes-Benz Museum, Stuttgart, Deutschland, 2001–06. Museum im Bau, Blick in das Atrium, Fotografie.



Abb. 1660: Ben van Berkel und Caroline Bos/UN Studio, Mercedes-Benz Museum, Stuttgart, Deutschland, 2001–06. Blick vom Atrium auf die Ausstellungsebenen, Fotografie.

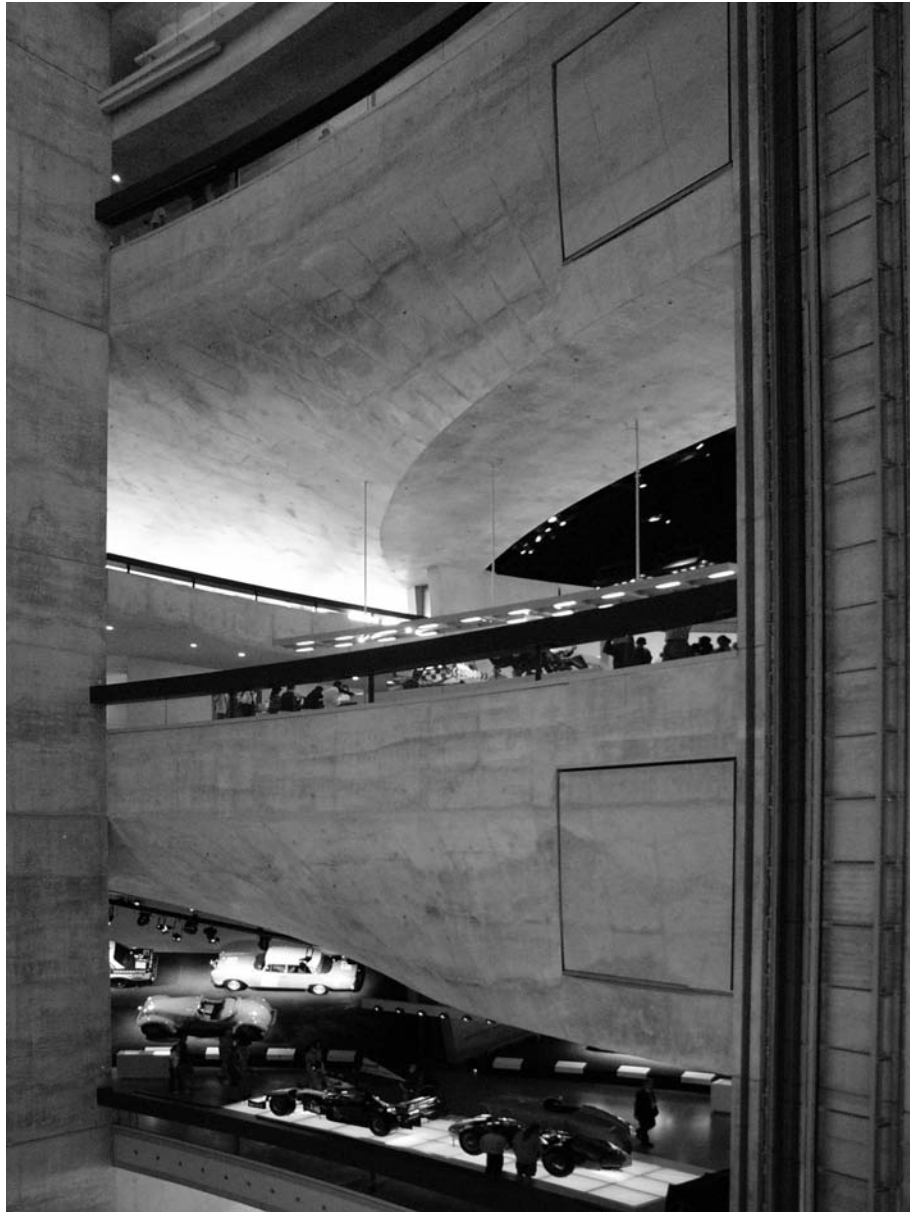


Abb. 1661: Ben van Berkel und Caroline Bos/UN Studio, Mercedes-Benz Museum, Stuttgart, Deutschland, 2001–06. Blick vom Atrium auf die Ausstellungsebenen, Fotografie.

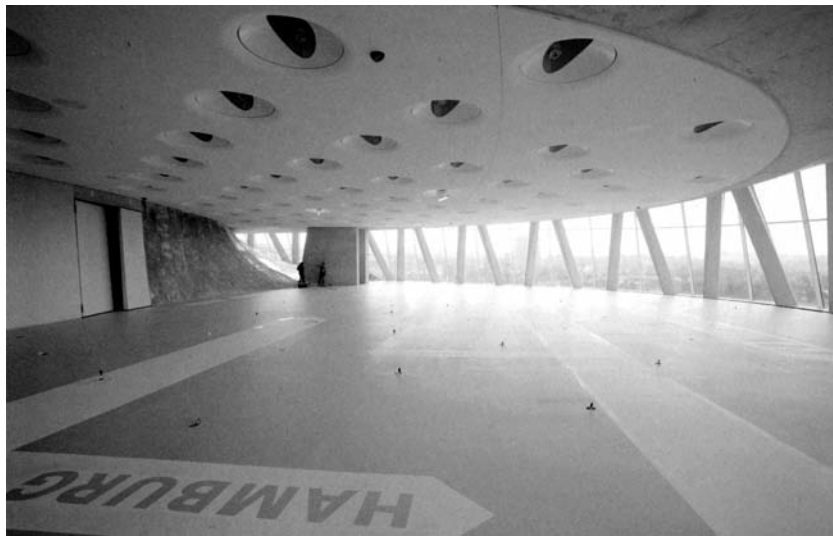
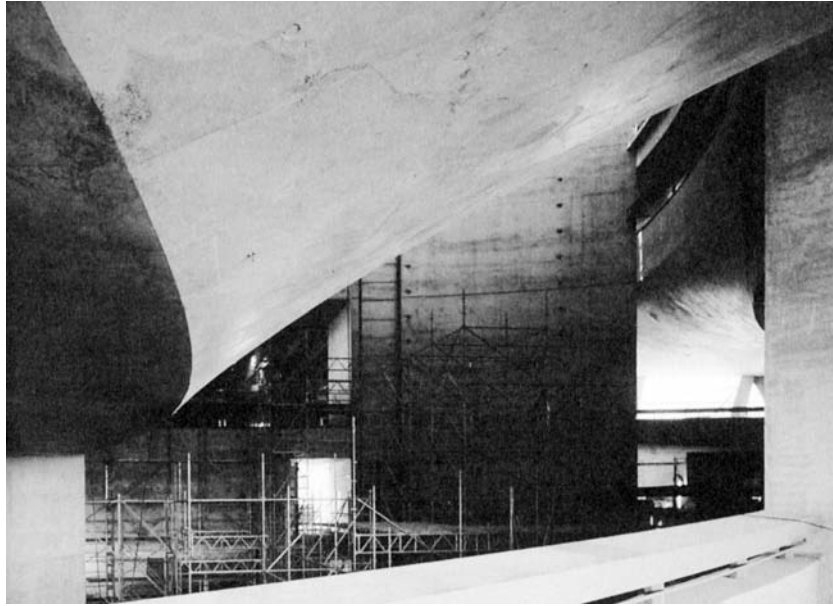


Abb. 1662: Ben van Berkel und Caroline Bos/UN Studio, Mercedes-Benz Museum, Stuttgart, Deutschland, 2001–06. Museum im Bau, Blick in das Atrium, Fotografie.
Abb. 1663: Museum im Bau, Blick in die Sammlungsebene, Fotografie.

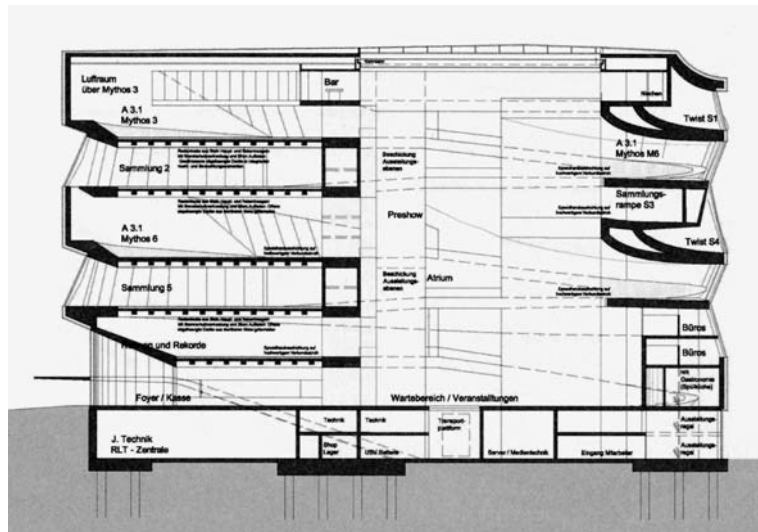
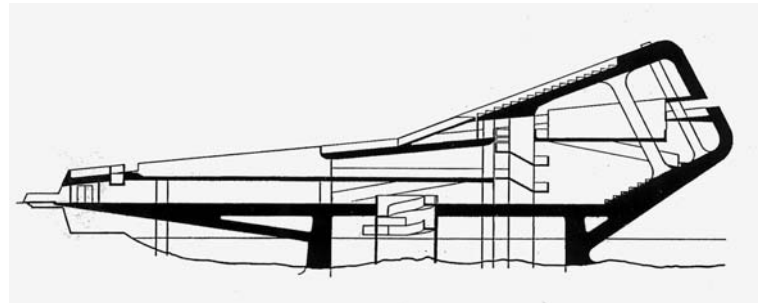
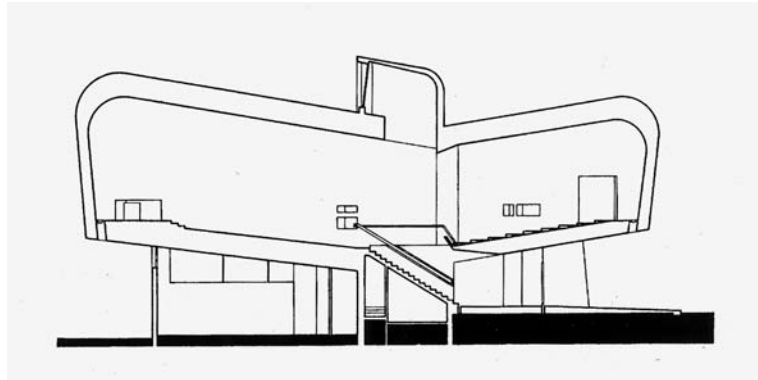


Abb. 1664: Claude Parent und Paul Virilio/Architecture Principe, Église Sainte-Bernadette du Banlay, Nevers, Frankreich, 1963–66. Längsschnitt, 79 x 96 cm, Tinte auf Transparentpapier.

Abb. 1665: Claude Parent und Paul Virilio/Architecture Principe, Palais des expositions de Charleville, Frankreich, Entwurf 1966/67. Längsschnitt, Tinte auf Transparentpapier.

Abb. 1666: Ben van Berkel und Caroline Bos/UN Studio, Mercedes-Benz Museum, Stuttgart, Deutschland, 2001–06. Gebäudeschnitt in der Achse des Haupteingangs.



Abb. 1667: Ben van Berkel und Caroline Bos/UN Studio, Mercedes-Benz Museum, Stuttgart, Deutschland, 2001–06. Blick von Ausstellungsebene in das Atrium, Fotografie.



Abb. 1668: Claude Parent, Centre Commercial, Sens, Frankreich, 1970. Blick auf Zugangsrampen, Fotografie vom Atelier Claude Parent und Gilles Ehrmann, Paris.

Abb. 1669: Ben van Berkel und Caroline Bos/UN Studio, Mercedes-Benz Museum, Stuttgart, Deutschland, 2001–06. Blick in das Atrium auf Treppenkern mit Aufzug und Ausstellungsebenen, Fotografie.



Abb. 1670: Ben van Berkel und Caroline Bos/UN Studio, Mercedes-Benz Museum, Stuttgart, Deutschland, 2001–06. Blick auf Abgang Sammlungsrundgang über „Twist“, Fotografie.



Abb. 1671: Ben van Berkel und Caroline Bos/UN Studio, Mercedes-Benz Museum, Stuttgart, Deutschland, 2001–06. Blick auf die Decke des Atriums, Fotografie.



Abb. 1672: Ben van Berkel und Caroline Bos/UN Studio, Mercedes-Benz Museum, Stuttgart, Deutschland, 2001–06. Museum im Bau (November 2005), Blick auf die Deckenunterseite des Atriums, Fotografie.

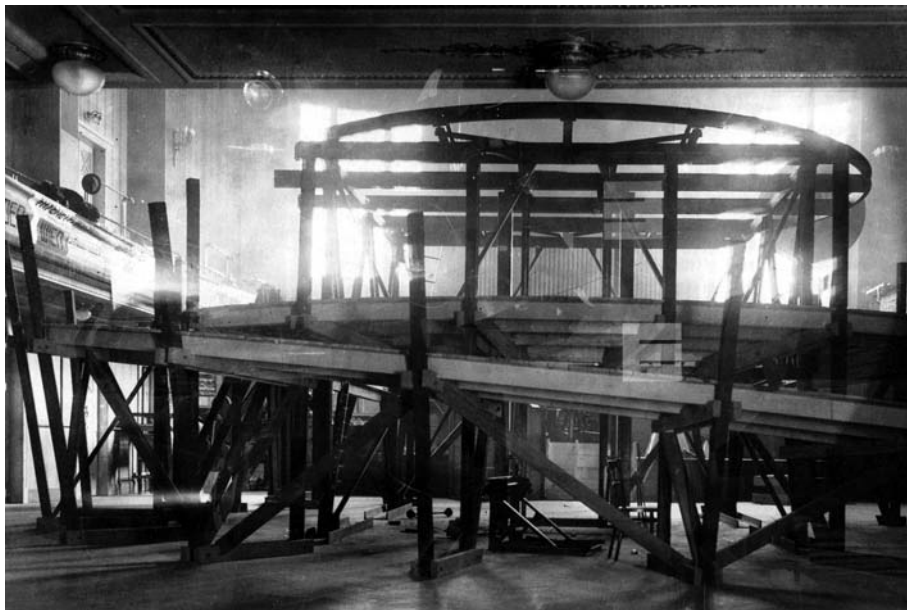
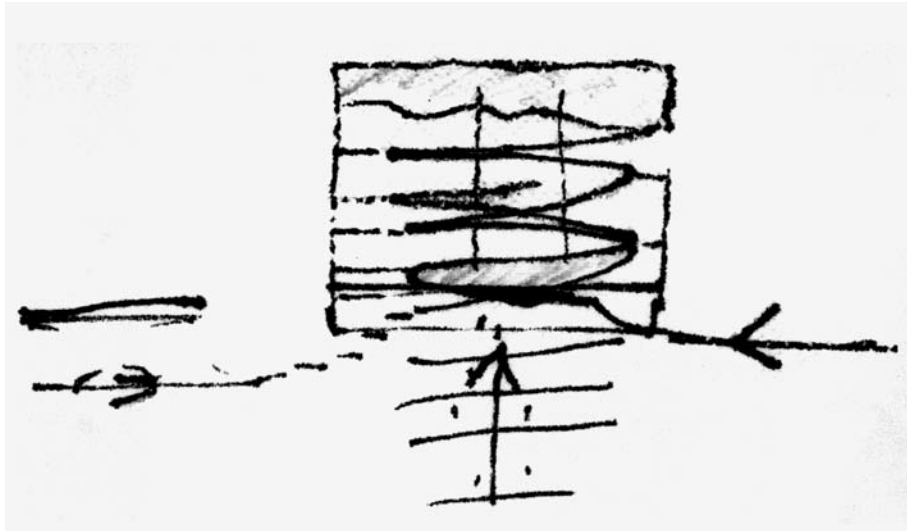


Abb. 1673: Ben van Berkel und Caroline Bos/UN Studio, Mercedes-Benz Museum, Stuttgart, Deutschland, 2001–06. Erste Entwurfsskizze des erweiterten geometrischen Modells auf der Rückseite einer Strumpfhosenverpackung.

Abb. 1674: Friedrich Kiesler, Raumbühne auf der *Internationalen Ausstellung neuer Theater-technik*, Wiener Konzerthaus, Mozartsaal, Wien, Österreich, 1924. Temporäre Holz-Stahl-Konstruktion, Blick vom Zuschauerraum auf die Raumbühne, Fotografie.

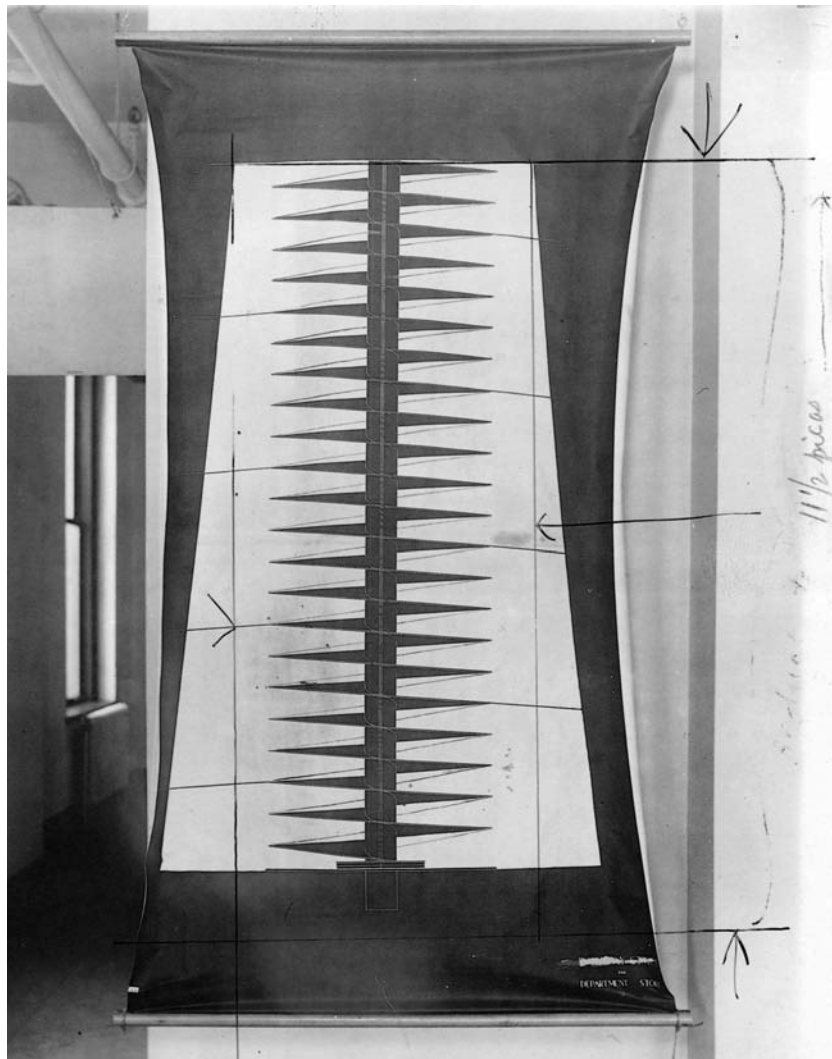


Abb. 1675: Friedrich Kiesler, Projekt für ein Warenhaus in Spiralenform, Entwurf 1925. Licht-pause auf Karton, Fotografie.



Abb. 1676: Friedrich Kiesler, Modell der Raumbühne von 1924, Rekonstruktion, Wien, Österreich, 1986. Vorderseite, Fotografie.

Abb. 1677: Ben van Berkel und Caroline Bos/UN Studio, Mercedes-Benz Museum, Stuttgart, Deutschland, 2001–06. Blick in das Atrium, Fotografie.

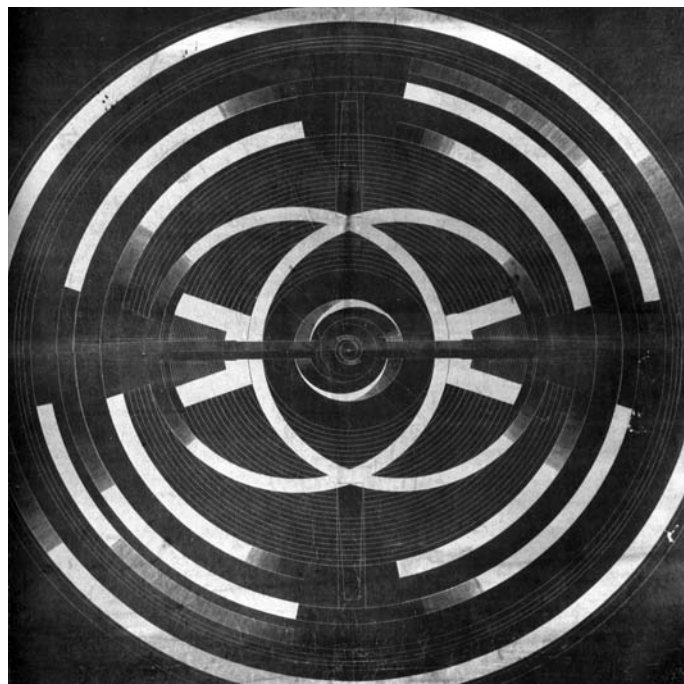
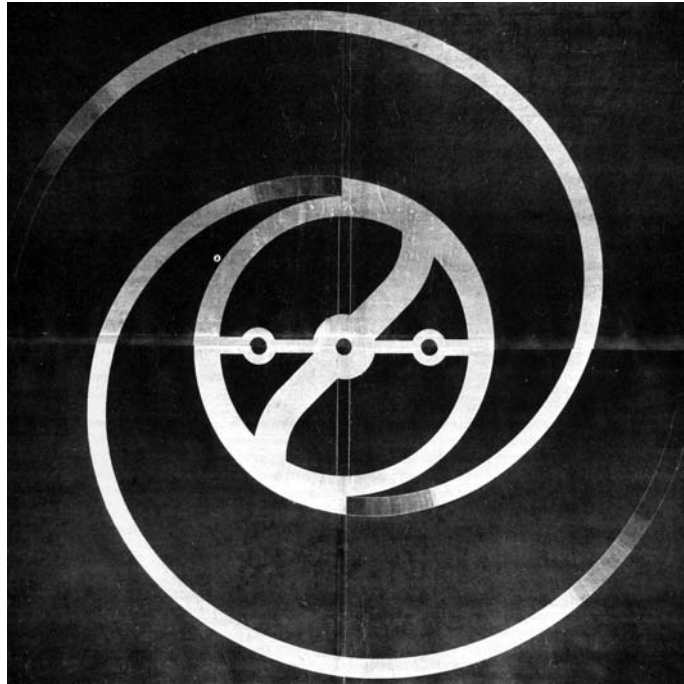


Abb. 1678: Friedrich Kiesler, Entwurf einer Bühne in Form einer Doppelspirale, um 1924. Lichtpause auf Karton, 196,8 x 213,4 cm.

Abb. 1679: Friedrich Kiesler, Projekt für ein Endless Theatre, Entwurf 1925. Lichtpause auf Karton, 210,8 x 213,4 cm.

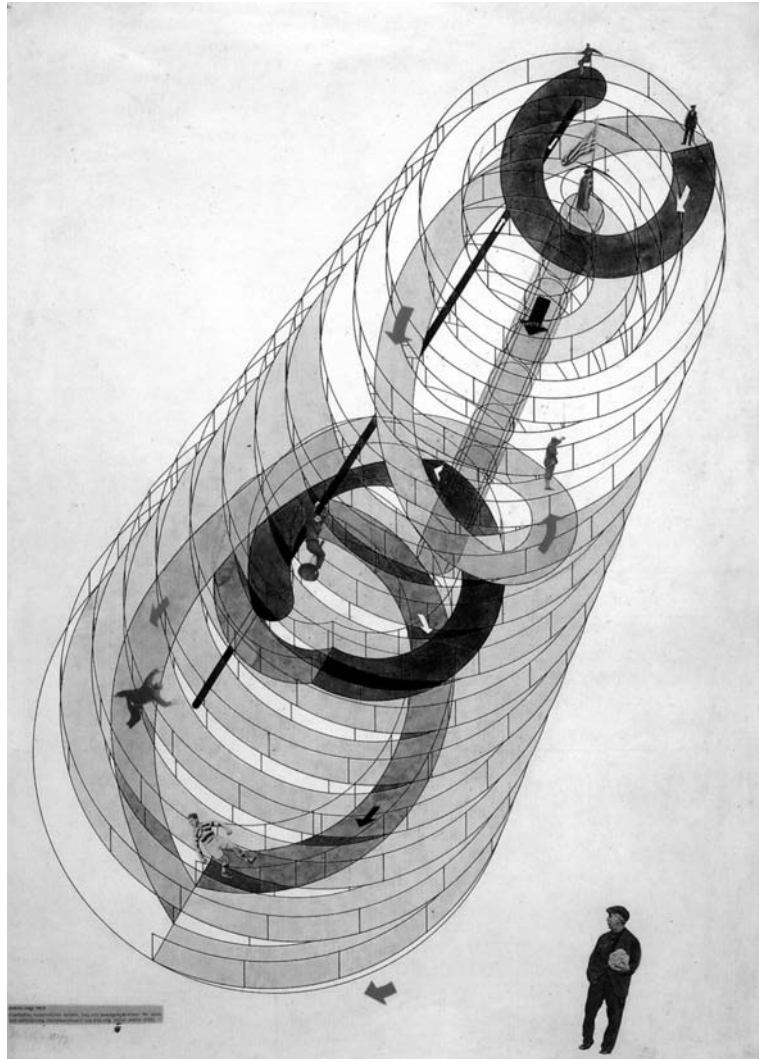


Abb. 1680: László Moholy-Nagy, Kinetisch-konstruktives System, o. J. Bau mit Bewegungsbahnen für Spiel und Beförderung (Ausführung von Dipl.-Ing. Stefan Sebök 1928 nach früherem Entwurf). Collage über Lichtpause, Tusche, Aquarell und Fotomontage auf Karton, 76 x 54,5 cm.



Abb. 1681: Ladislav Tuszynsky, „Die Raumbühne oder: A so a Hetz war no net da“, Karikatur, abgebildet in: Der Götz von Berlichingen, Nr. 40, 3.10.1924, S. 1.



Abb. 1682: Ben van Berkel und Caroline Bos/UN Studio, Mercedes-Benz Museum, Stuttgart, Deutschland, 2001–06. Blick in Mythosraum 7 „Rennen und Rekorde“, Fotografie.
Abb. 1683: Blick in das kleine Atrium, erstes Obergeschoss, Fotografie.

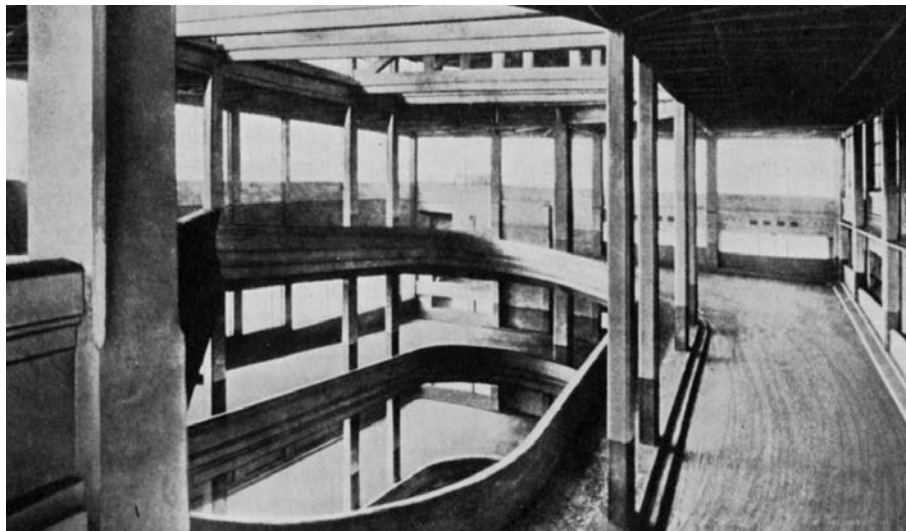
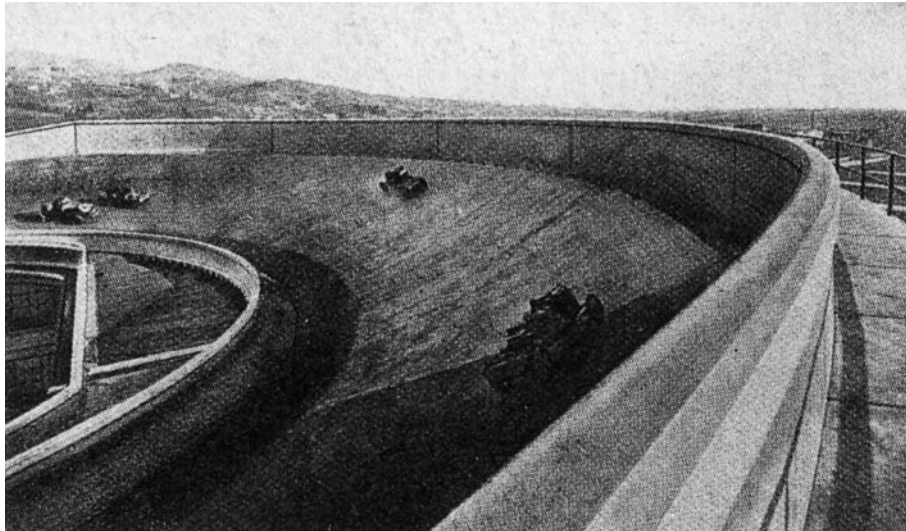


Abb. 1684: Giacomo Mattè Trucco, Fabrik der Fiatwerke, Lingotto bei Turin, Italien, 1919–26.
Blick auf die südliche Kurve der Einfahrbahn auf dem Dach, Fotografie.
Abb. 1685: Blick auf den Ausgang zur Einfahrbahn, Fotografie.



Abb. 1686: Ben van Berkel und Caroline Bos/UN Studio, Mercedes-Benz Museum, Stuttgart, Deutschland, 2001–06. Blick in einen Mythosraum auf Besucherrampe und Ausstellungsebene, Fotografie.

Abb. 1687: Blick in das Atrium auf Treppenkern und Ausstellungsebenen, Fotografie.



Abb. 1688: Friedrich Kiesler, Endless House, Entwurf 1947–1961. Einblick in das Modell für das Museum of Modern Art, New York, USA, 1959. Maschendraht, Zement und Plexiglas, 96,5 x 247 x 106,7 cm, Fotografie.

Abb. 1689: Claude Parent und Paul Virilio/Architecture Principe, Église Sainte-Bernadette du Banlay, Nevers, Frankreich, 1963–66. Kirche im Bau, Südwestseite, Fotografie.

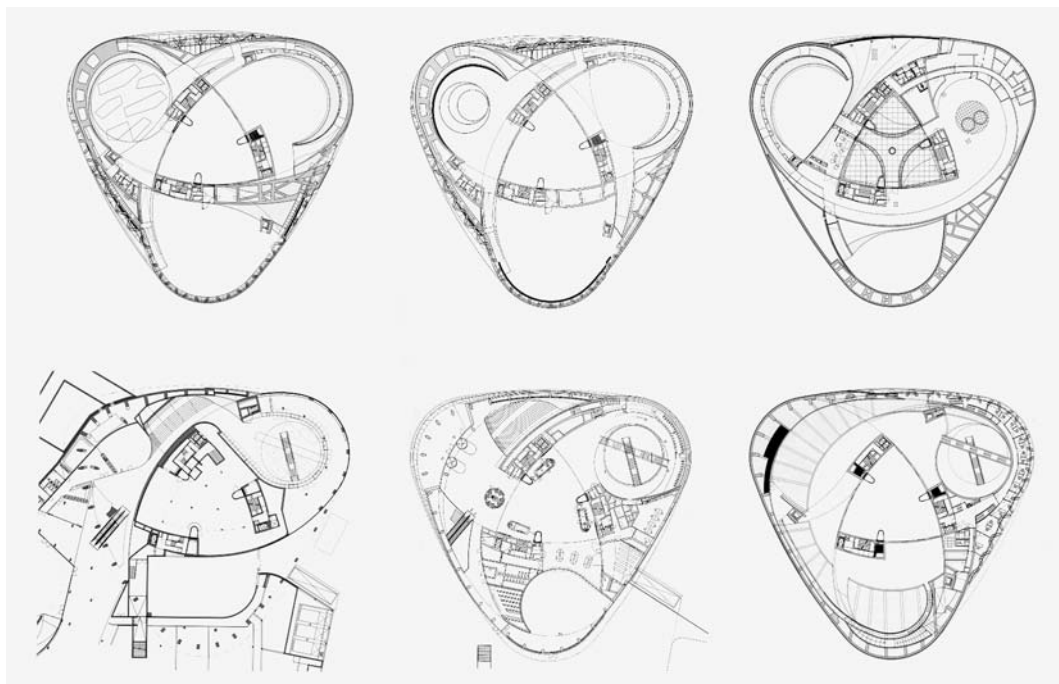
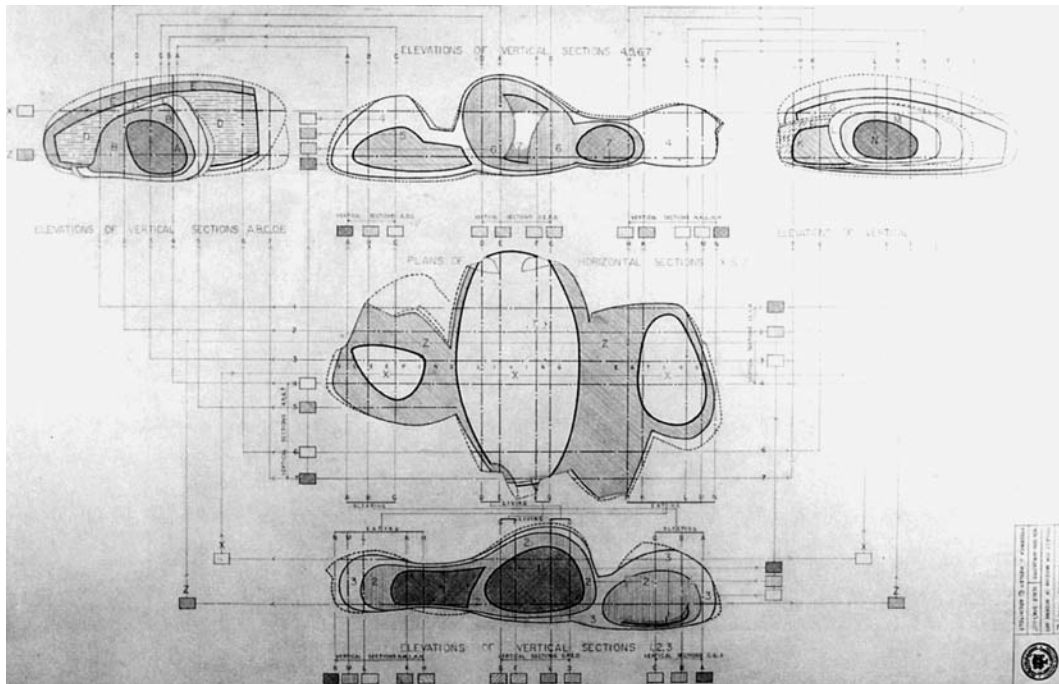


Abb. 1690: Friedrich Kiesler, Endless House, Entwurf 1947–1961. Projekt für das Museum of Modern Art, New York, USA, 1959. Horizontal- und Vertikalschnitte, Bleistift auf Transparentpapier, 95,5 x 132 cm.

Abb. 1691: Ben van Berkel und Caroline Bos/UN Studio, Mercedes-Benz Museum, Stuttgart, Deutschland, 2001–06. Grundrisse.

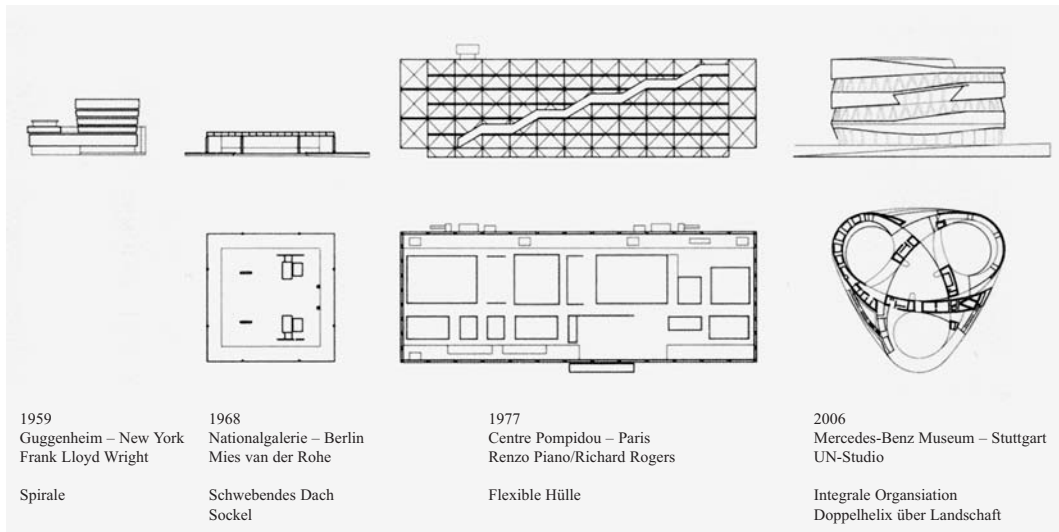


Abb. 1692: Ben van Berkel und Caroline Bos/UN Studio, Mercedes-Benz Museum, Stuttgart, Deutschland, 2001–06. Paradigmatische Museumsbauten des 20. Jahrhunderts, Schnitte und Grundrisse.



Abb. 1693: Frank Lloyd Wright, Solomon R. Guggenheim Museum, New York, USA, 1943, 1956–59. Südwestseite, Fotografie.

Abb. 1694: Ben van Berkel und Caroline Bos/UN Studio, Mercedes-Benz Museum, Stuttgart, Deutschland, 2001–06. Südostseite, Fotografie.



Abb. 1695: Frank Lloyd Wright, Solomon R. Guggenheim Museum, New York, USA, 1943, 1956–59. Blick in Atrium und Ausstellungsebenen, Fotografie.

Abb. 1696: Ben van Berkel und Caroline Bos/UN Studio, Mercedes-Benz Museum, Stuttgart, Deutschland, 2001–06. Blick in Atrium und Ausstellung, Fotografie.



Abb. 1697: Ludwig Mies van der Rohe, Neue Nationalgalerie, Berlin, 1962–68. Südostseite, Fotografie.

Abb. 1698: Ben van Berkel und Caroline Bos/UN Studio, Mercedes-Benz Museum, Stuttgart, Deutschland, 2001–06. Südostseite, Fassade nach Gerüstabbau im September 2005, Fotografie.

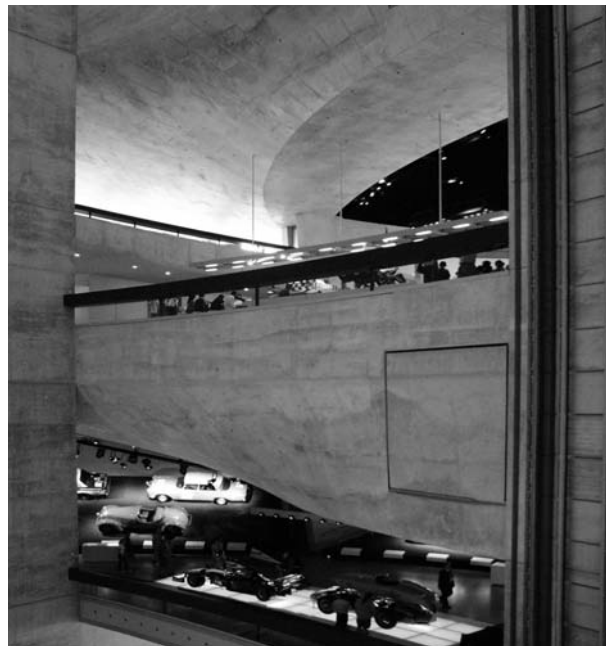


Abb. 1699: Ludwig Mies van der Rohe, Neue Nationalgalerie, Berlin, 1962–68. Obere Halle, Blick auf freitragenden Kern und Garderobe, Fotografie von Candida Höfer, 2001.

Abb. 1700: Ben van Berkel und Caroline Bos/UN Studio, Mercedes-Benz Museum, Stuttgart, Deutschland, 2001–06. Blick vom Atrium auf die Ausstellungsebenen, Fotografie.

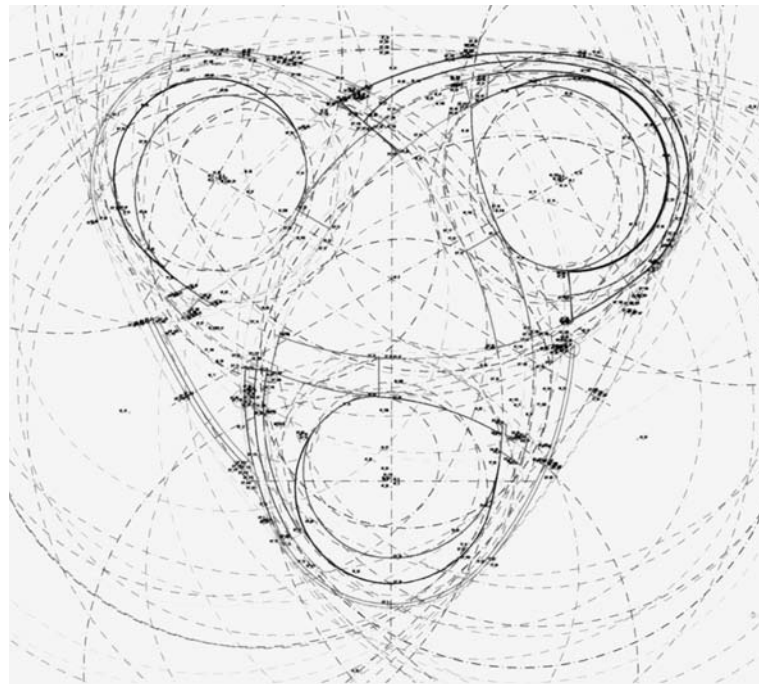
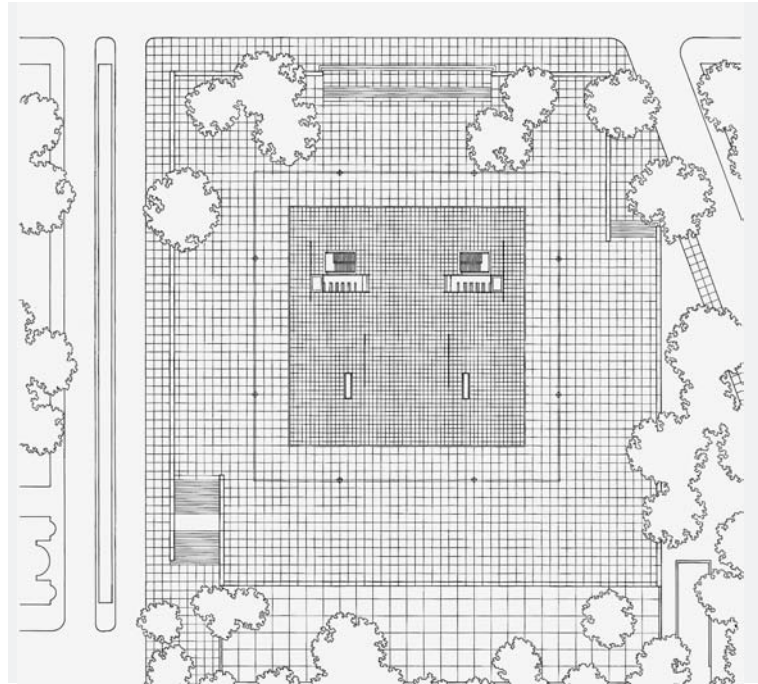


Abb. 1701: Ludwig Mies van der Rohe, Galerie des 20. Jahrhunderts, Berlin, 1926–28. Lageplan mit Grundriss der Ausstellungshalle.

Abb. 1702: Ben van Berkel und Caroline Bos/UN Studio, Mercedes-Benz Museum, Stuttgart, Deutschland, 2001–06. Geometrisches System tangential verbundener Kreise und Kreisbögen, schematischer Grundriss, Computerzeichnung.

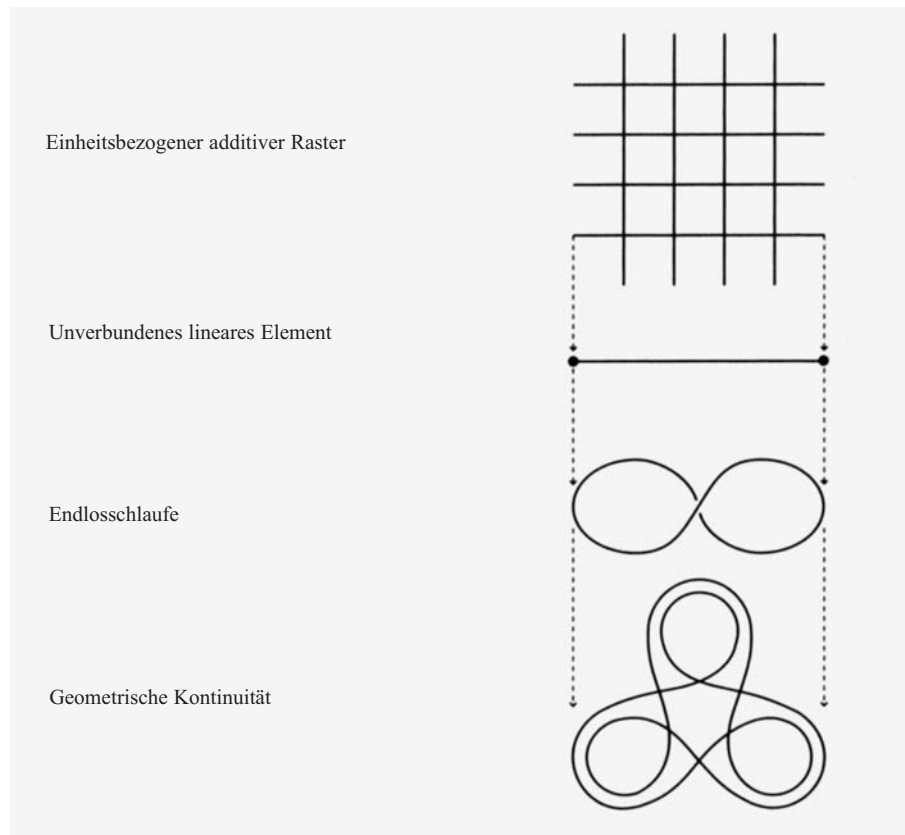


Abb. 1703: Ben van Berkel und Caroline Bos/UN Studio, Mercedes-Benz Museum, Stuttgart, Deutschland, 2001–06. Verwandlung des geometrischen Ordnungssystems vom Quadratraster zur Kleeblattschleife, Computerzeichnungen.



Abb. 1704: Renzo Piano und Richard Rogers, Centre national d'art et de culture Georges Pompidou, Paris, Frankreich, 1971–78. Westseite, Fotografie.

Abb. 1705: Ben van Berkel und Caroline Bos/UN Studio, Mercedes-Benz Museum, Stuttgart, Deutschland, 2001–06. Ostseite, Bau als Betonskulptur im November 2004, Fotografie.

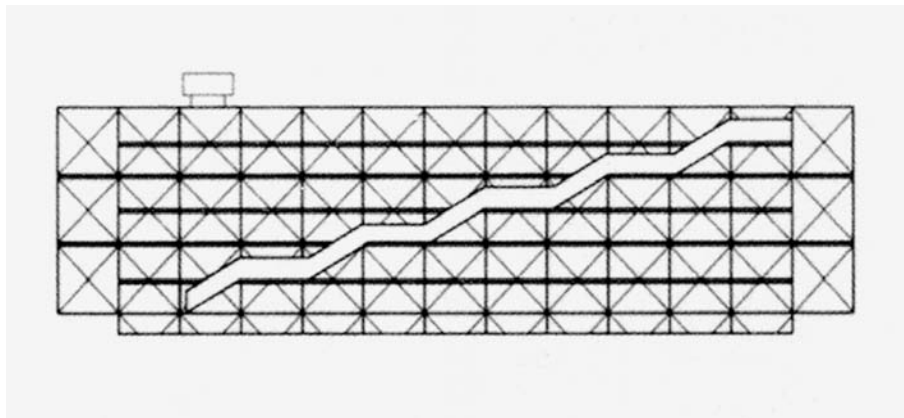
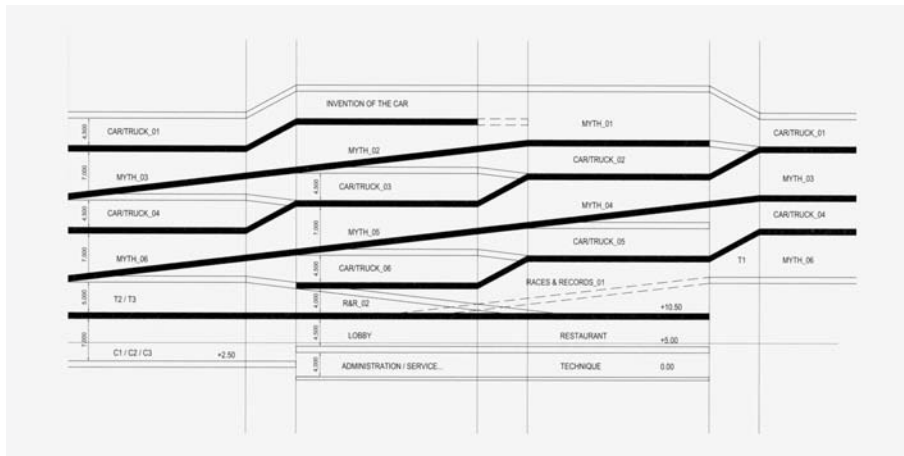


Abb. 1706: Ben van Berkel und Caroline Bos/UN Studio, Mercedes-Benz Museum, Stuttgart, Deutschland, 2001–06. Abgewickelter Schnitt der nebeneinandergelegten Blätter des Kleeblattes.
 Abb. 1707: Paradigmatische Museumsbauten des 20. Jahrhunderts, Beispiel Centre Pompidou, Westseite, schematische Ansicht, abgebildet in: UN Studio. Mercedes-Benz Museum, Ausstellungskatalog, Stuttgart 2006, S. 8.



Abb. 1708: Ben van Berkel und Caroline Bos/UN Studio, Mercedes-Benz Museum, Stuttgart, Deutschland, 2001–06. 3D-Modell der Gesamtanlage mit Umgebung, Vogelperspektive, Nordwestseite, Montage aus Computerrendering und Fotografie.



Abb. 1709: Ben van Berkel und Caroline Bos/UN Studio, Mercedes-Benz Museum, Stuttgart, Deutschland, 2001–06. Blick auf das Gesamtgelände mit B 14 und Museum im Vordergrund, Nordostseite, Fotografie.

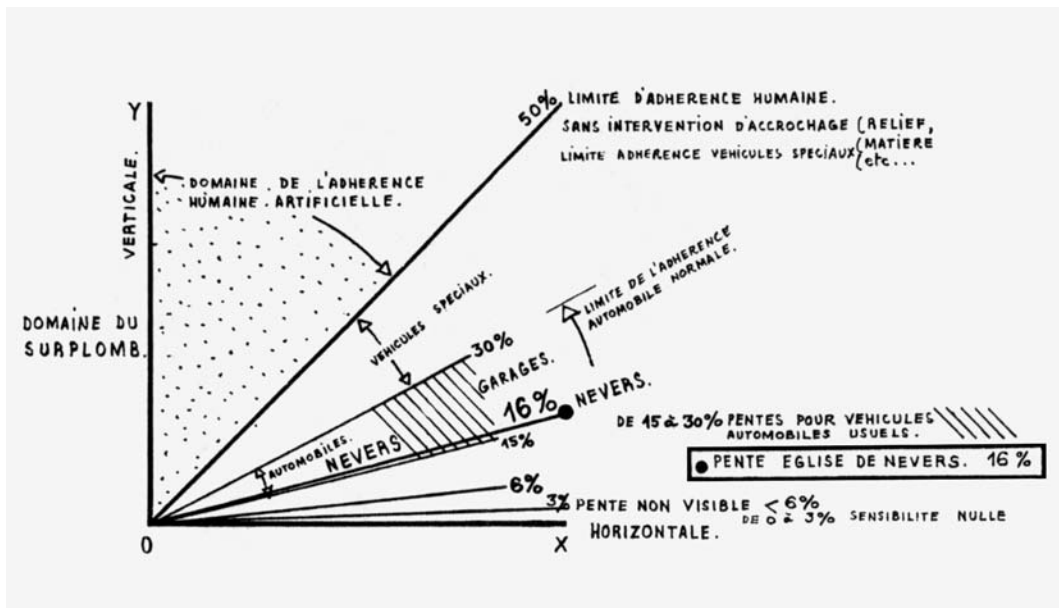


Abb. 1710: Claude Parent und Paul Virilio/Architecture Principe, Église Sainte-Bernadette du Banlay, Nevers, Frankreich, 1963–66. Diagramm zur Klassifikation von Steigungen und Rampen.

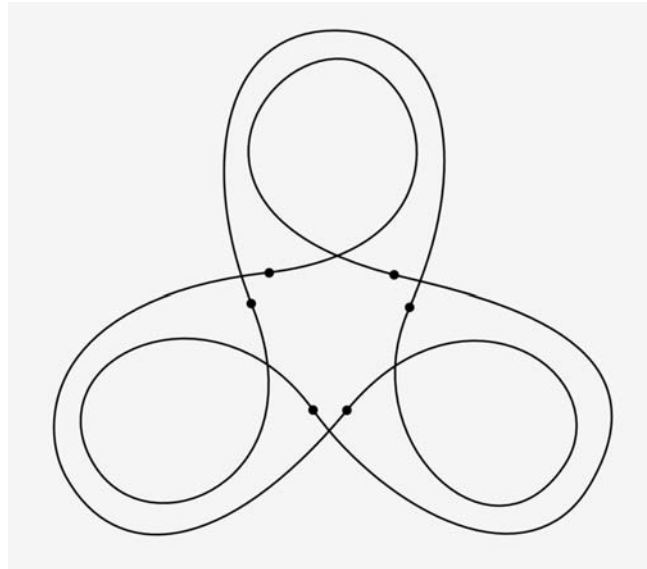


Abb. 1711: Ben van Berkel und Caroline Bos/UN Studio, Mercedes-Benz Museum, Stuttgart, Deutschland, 2001–06. Organisationsform Kleeblatt, Computerzeichnung.
Abb. 1712: Mercedes-Benz Logo, Zeichnung.

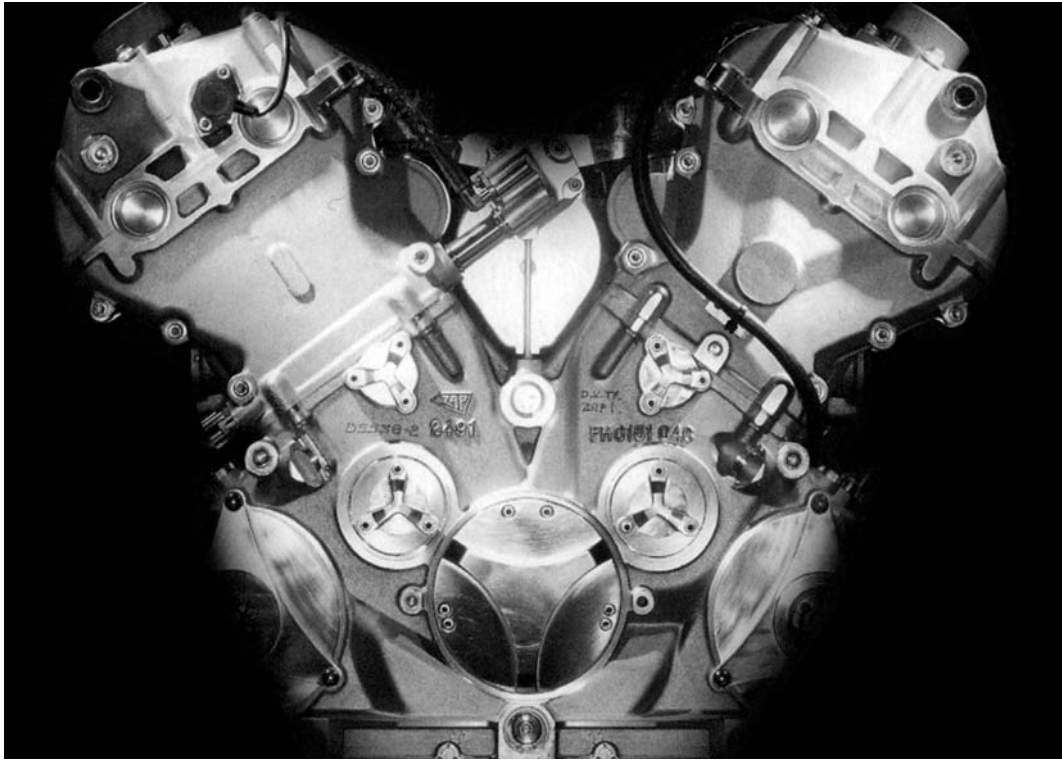


Abb. 1713: Ben van Berkel und Caroline Bos/UN Studio, Mercedes-Benz Museum, Stuttgart, Deutschland, 2001–06. Formel-1-Motorblock Mercedes-Benz, Fotomontage, abgebildet in: UN Studio. Mercedes-Benz Museum. Design Evolution, Ludwigsburg 2006, S. 42.

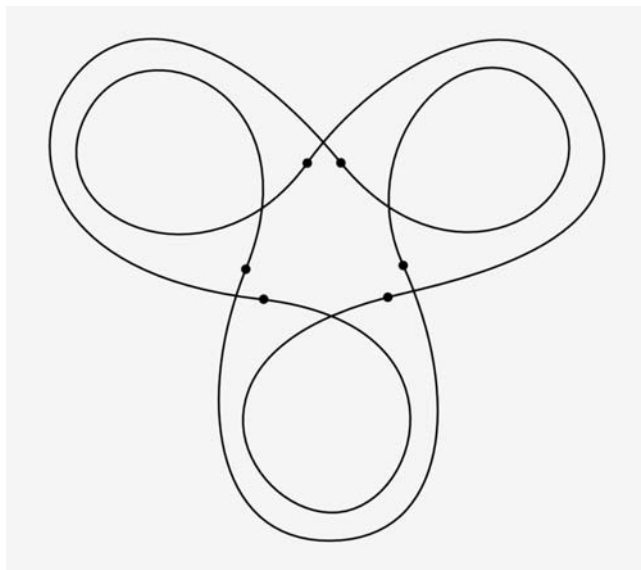
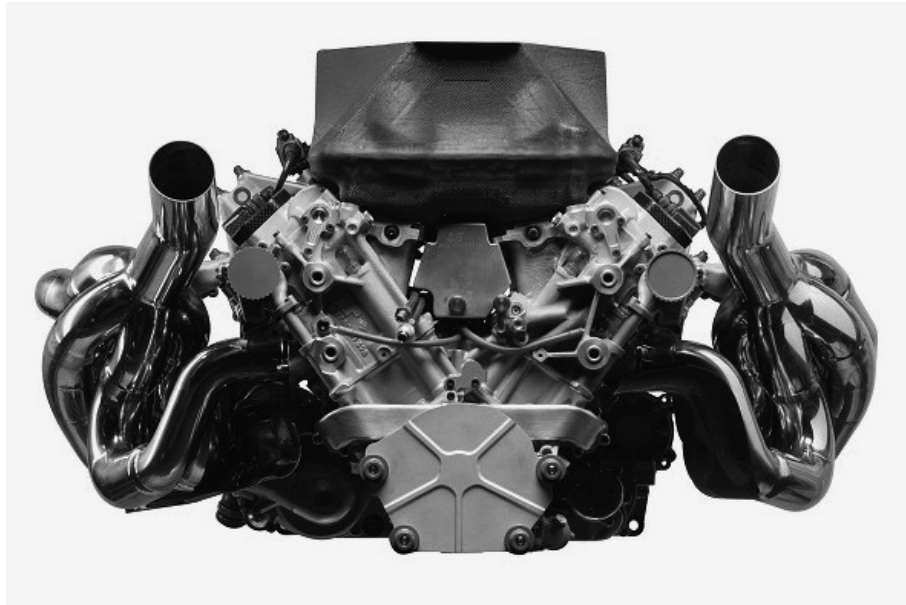


Abb. 1714: Formel-1-Motorblock, Fotografie.

Abb. 1715: Ben van Berkel und Caroline Bos/UN Studio, Mercedes-Benz Museum, Stuttgart, Deutschland, 2001–06. Organisationsform Kleeblatt, Computerzeichnung (von der Verf. um 180 Grad gedreht).

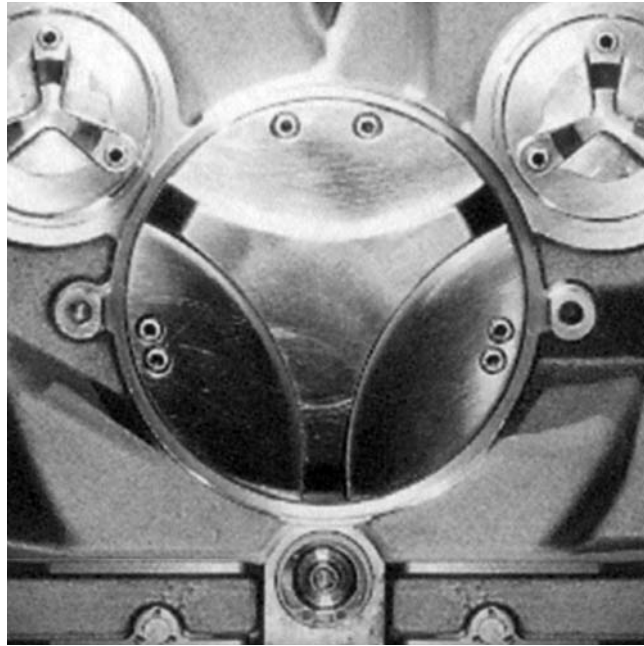


Abb. 1716: Ben van Berkel und Caroline Bos/UN Studio, Mercedes-Benz Museum, Stuttgart, Deutschland, 2001–06. Formel-1-Motorblock Mercedes-Benz, Fotomontage (Ausschnitt aus Abb. 1713).

Abb. 1717: Blick auf die Deckenunterseite des Atriums, Fotografie (Ausschnitt).

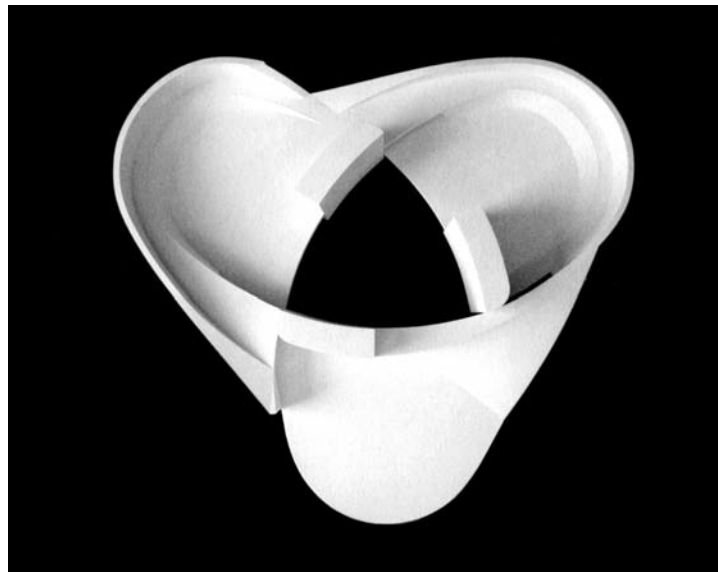
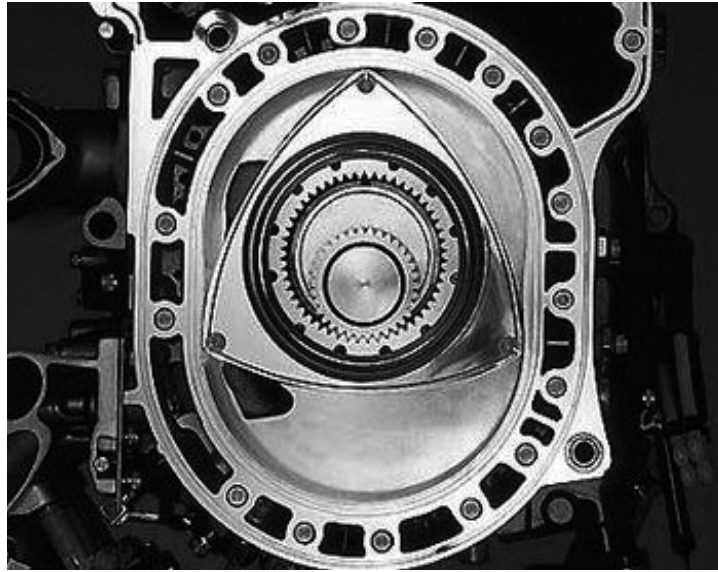


Abb. 1718: Wankelmotor, Fotografie (Ausschnitt, von der Verf. um 180 Grad gedreht).

Abb. 1719: Ben van Berkel und Caroline Bos/UN Studio, Mercedes-Benz Museum, Stuttgart, Deutschland, 2001–06. Modell eines Geschossmoduls, Blick von oben, Fotografie.

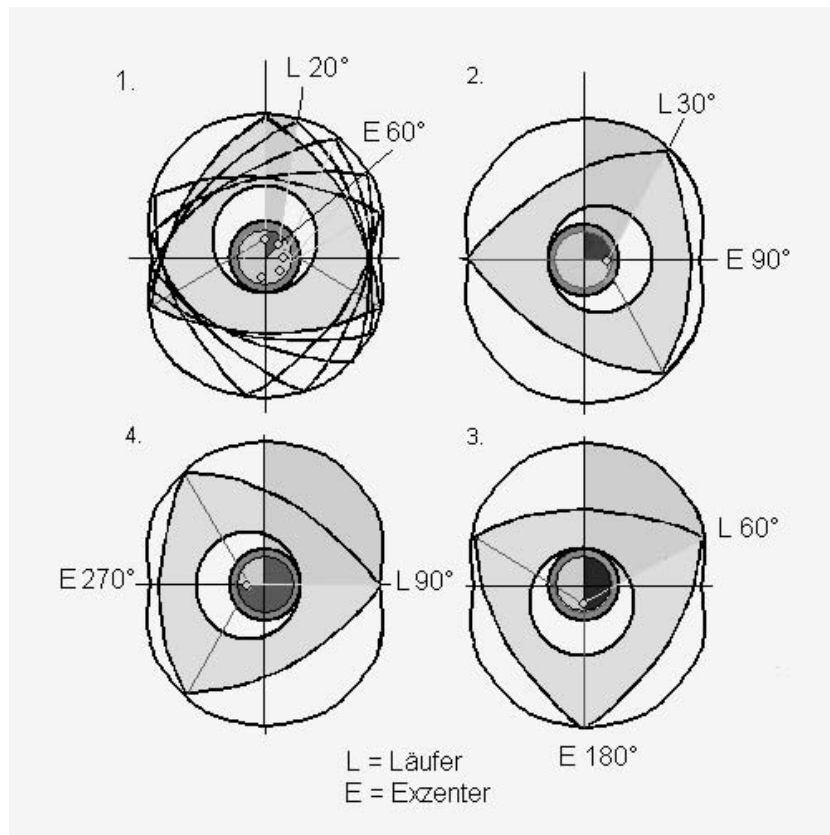


Abb. 1720: Kolbenbewegung am Wankelmotor, Läufer (Kolben) und Exzenterbewegung, Ansichten.

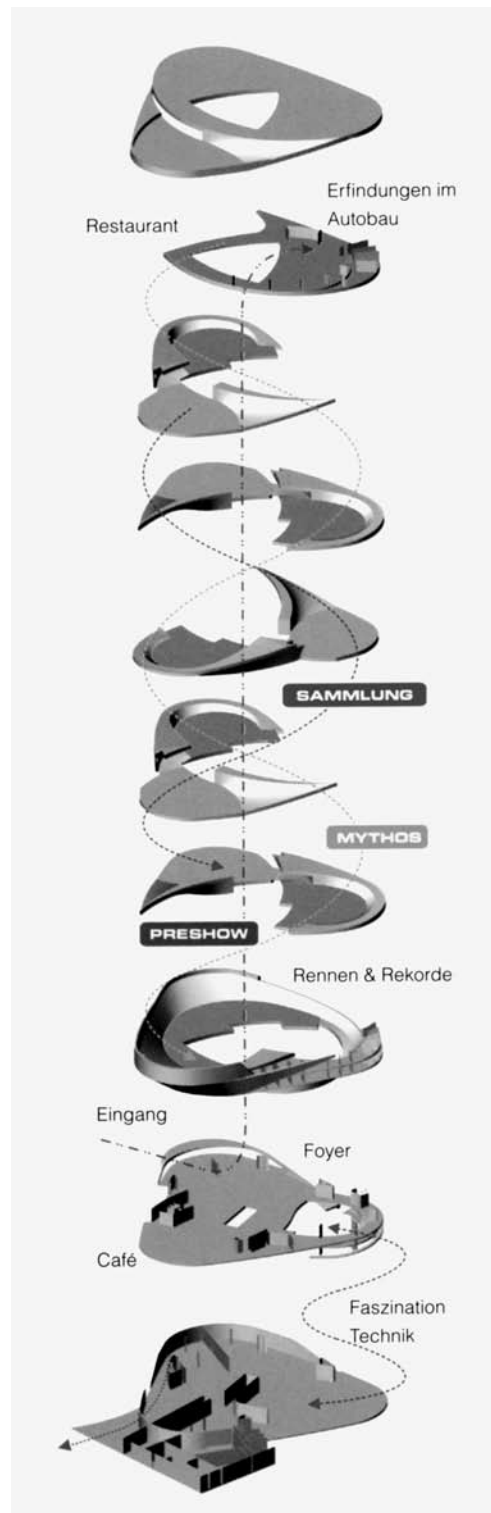


Abb. 1721: Ben van Berkel und Caroline Bos/UN Studio, Mercedes-Benz Museum, Stuttgart, Deutschland, 2001–06. Mythen- und Sammlungsebenen, verbunden durch zwei schraubenartig geführte Promenaden, Explosionsaxonometrie, Computerrendering.



Abb. 1722: Karl Moszberger, BMW Verwaltungsgebäude und Museum, München, Deutschland, 1968–73. Blick vom Olympiaturm, Fotografie.

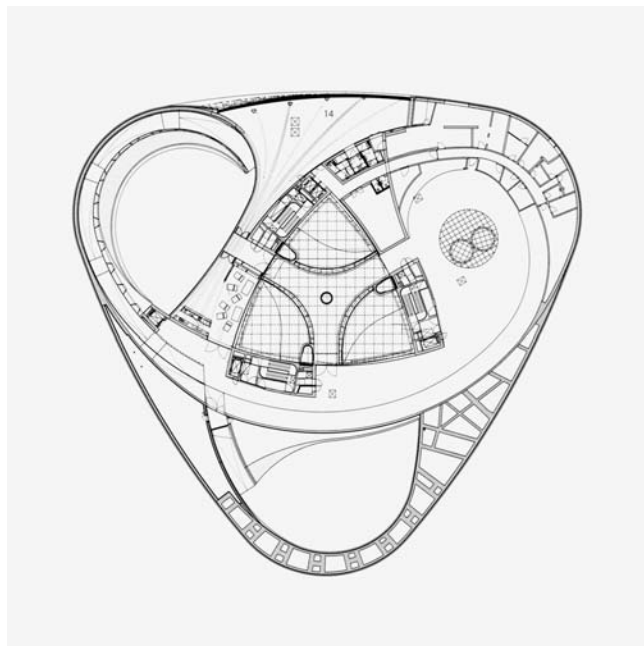
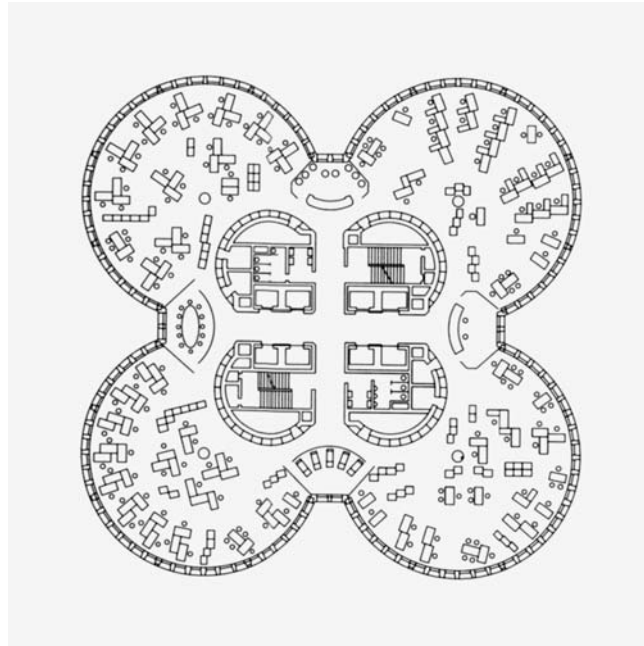


Abb. 1723: Karl Schwanzer, BMW Verwaltungsgebäude, München, Deutschland, 1968–73. Bürogrundriss.

Abb. 1724: Ben van Berkel und Caroline Bos/UN Studio, Mercedes-Benz Museum, Stuttgart, Deutschland, 2001–06. Grundriss achtes Obergeschoss.



Abb. 1725: Karl Schwanzer, BMW Museum, München, Deutschland, 1968–73. Blick auf die Ausstellungsebenen, Fotografie.

Abb. 1726: Blick auf Steilkurve, Fotografie.

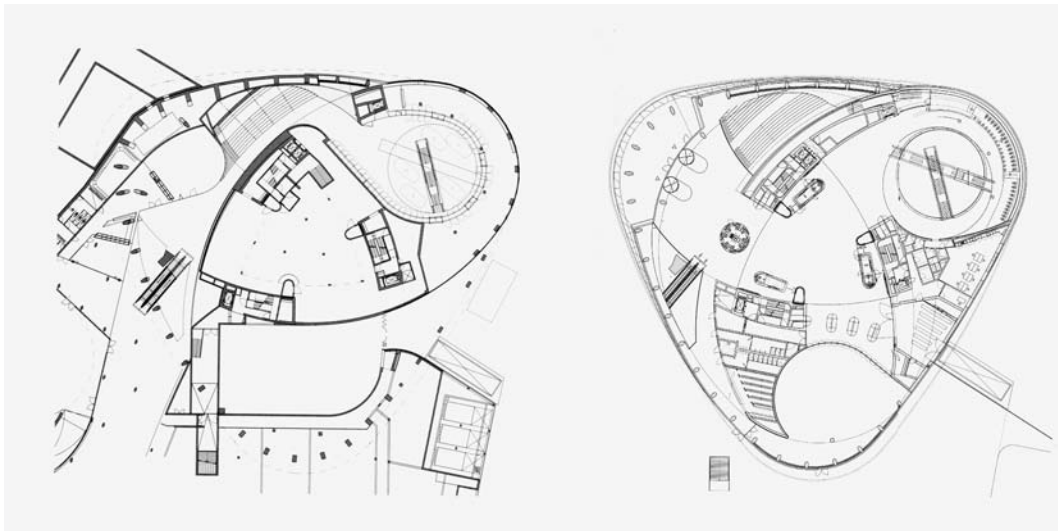
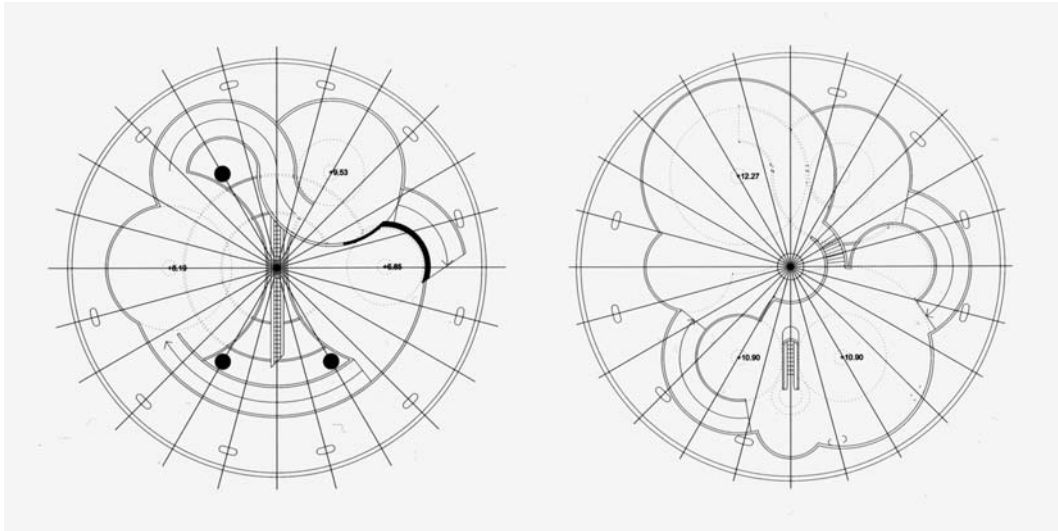


Abb. 1727: Karl Schwanzer, BMW Museum, München, Deutschland, 1968–73. Grundrisse.
 Abb. 1728: Ben van Berkel und Caroline Bos/UN Studio, Mercedes-Benz Museum, Stuttgart, Deutschland, 2001–06. Grundrisse Untergeschoss und Erdgeschoss.

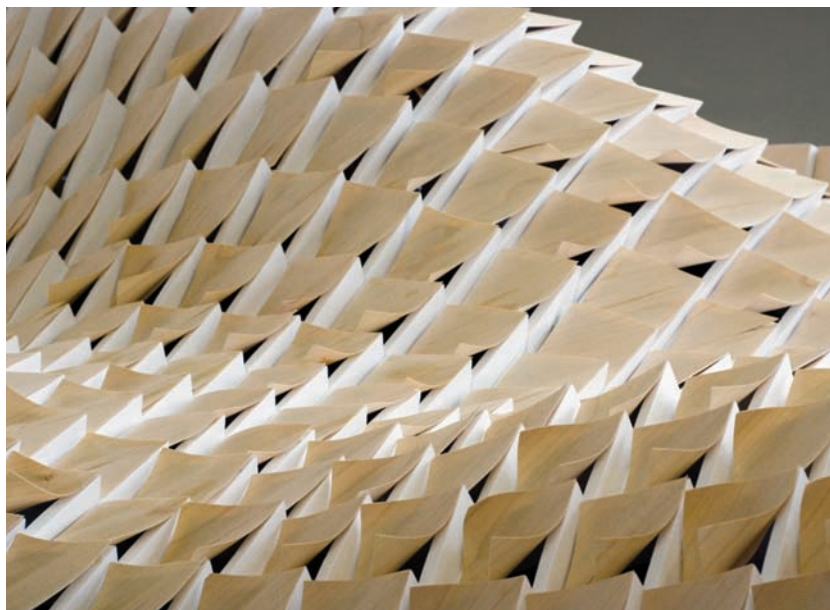
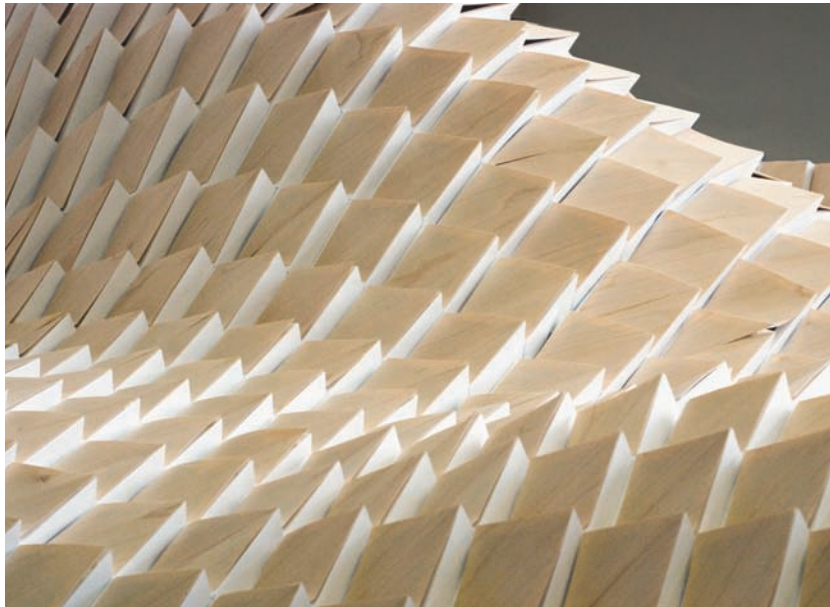


Abb. 1729: Steffen Reichert, Reaktive Flächenstruktur, 2005–07, HfG Offenbach, Lehrbereich Formgenerierung und Materialisierung, Projektbetreuung: Achim Menges. Prototyp mit geschlossenen Holzfurnierelementen, Fotografie.

Abb. 1730: Prototyp mit geöffneten Holzfurnierelementen, Fotografie.

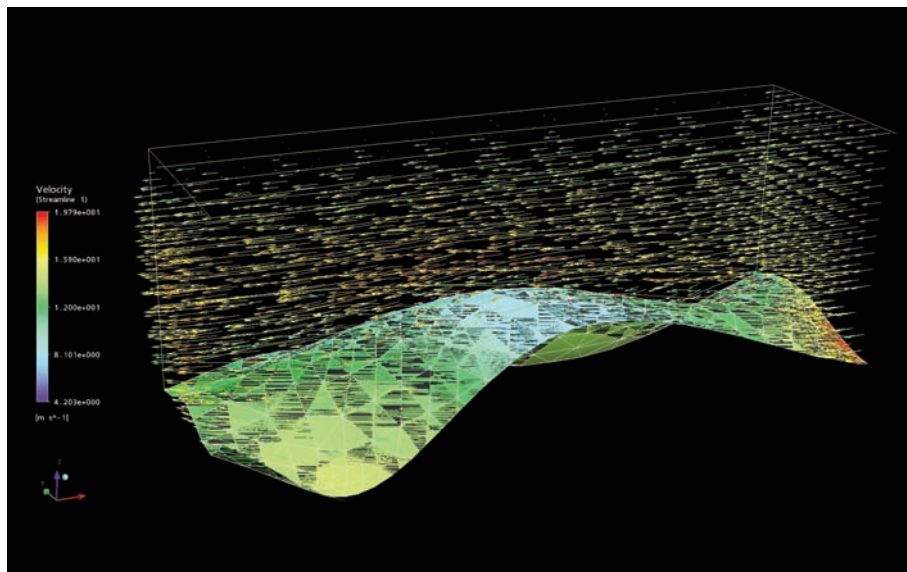
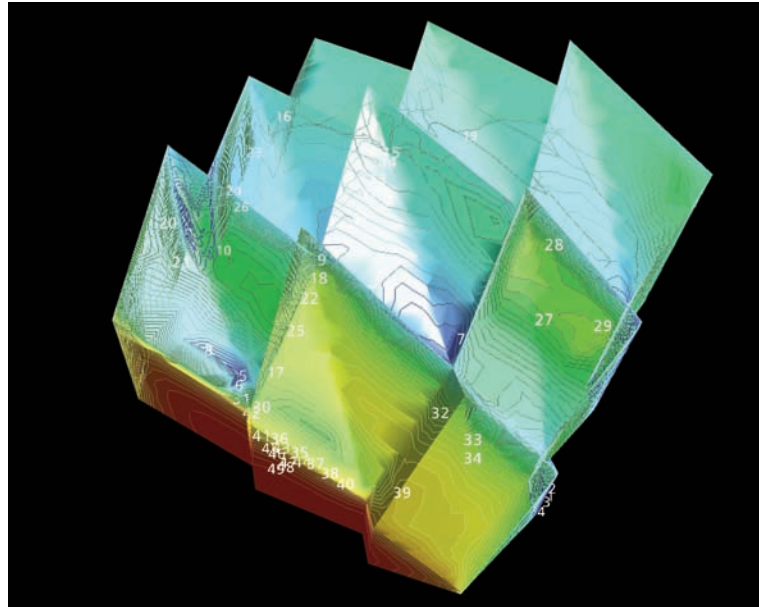


Abb. 1731: Steffen Reichert, Reaktive Flächenstruktur, 2005–07, HfG Offenbach, Lehrbereich Form-generierung und Materialisierung, Projektbetreuung: Achim Menges. Thermodynamische Analyse der einzelnen Komponenten, Perspektive, Computerrendering.

Abb. 1732: Thermodynamische Analyse der Gesamtstruktur, Perspektive, Computerrendering.